

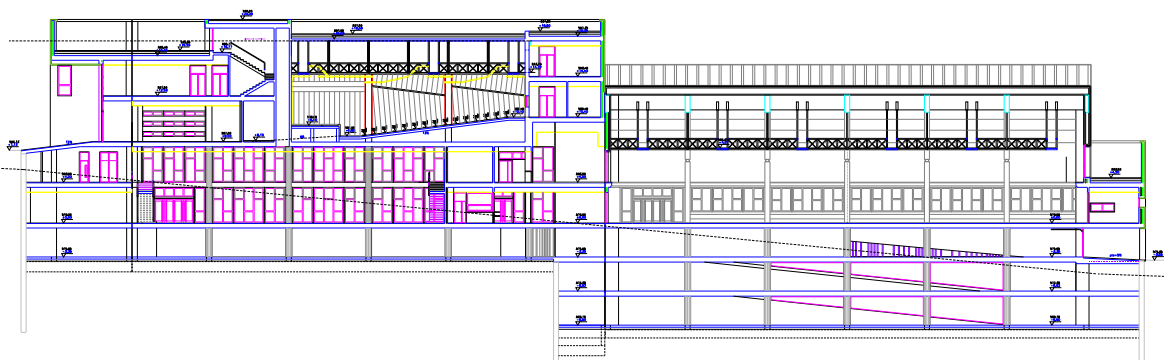
TOMO II. ANEXOS DE CALCULOS

**VICERRECTORADO DE
INFRAESTRUCTURA Y MANTENIMIENTO**

UNIVERSIDAD POLITECNICA DE VALENCIA



**PROYECTO DE EJECUCION DE EDIFICIO
NUEVO Y URBANIZACION EN EL
CAMPUS DE ALCOY**

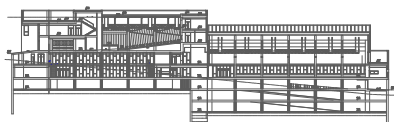


**INSTALACION DE CLIMATIZACION,
EXTRACCION Y A.C.S.**

OCTUBRE 2010

INGENIERÍA





INDICE GENERAL TOMO II

ANEXO DE CALCULOS (INCLUIDOS EN EL TOMO II)

DOCUMENTO HE 1

CALCULO DE CARGAS TERMICAS

CALCULOS DE CIRCUITOS HIDRAULICOS

Anexo Circuito Hidráulico C1 Clima Calor
Anexo Circuito Hidráulico C1 Clima Frio
Anexo Circuito Hidráulico C2 Clima Frio
Anexo Circuito Hidráulico C2 Clima Calor

CALCULOS DE CONDUCTOS

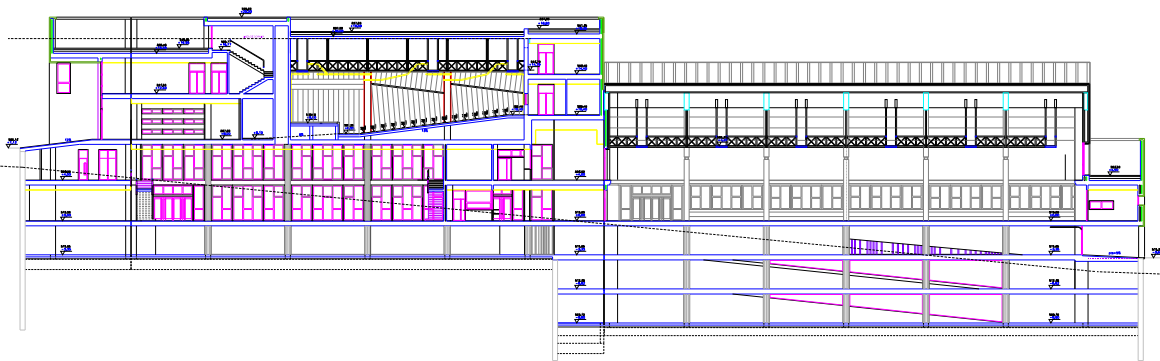
Anexo Circuito Radiadores
Anexo CL Escenario SA Impulsión
Anexo CL Escenario SA Retorno
Anexo CL Oficinas Impulsión
Anexo CL Oficinas Retorno
Anexo CL Pabellón Deportivo Impulsión
Anexo CL Pabellón Deportivo Retorno
Anexo CL Sala Deportiva Doble Altura Impulsión
Anexo CL Sala Deportiva Doble Altura Retorno
Anexo CL Sala Deportiva Planta Baja Zona 1 Impulsión
Anexo CL Sala Deportiva Planta Baja Zona 1 Retorno
Anexo CL Sala Deportiva Planta Primera Zona 1 Impulsión
Anexo CL Sala Deportiva Planta Primera Zona 1 Retorno
Anexo CL Sala Deportiva Planta Primera Zona 2 Impulsión
Anexo CL Sala Deportiva Planta Primera Zona 2 Retorno
Anexo CL Sala Deportiva Retorno
Anexo CL Salón de Actos Impulsión
Anexo CL Salón de Actos Retorno
Anexo CL Vestíbulo SA Impulsión
Anexo CL Vestíbulo SA Retorno
Anexo CL Vestuarios Impulsión
Anexo CL Vestuarios Retorno

**VICERRECTORADO DE
INFRAESTRUCTURA Y
MANTENIMIENTO**

UNIVERSIDAD POLITÉCNICA DE VALENCIA



PROYECTO DE EJECUCION DE EDIFICIO NUEVO Y URBANIZACION EN EL CAMPUS DE ALCOY



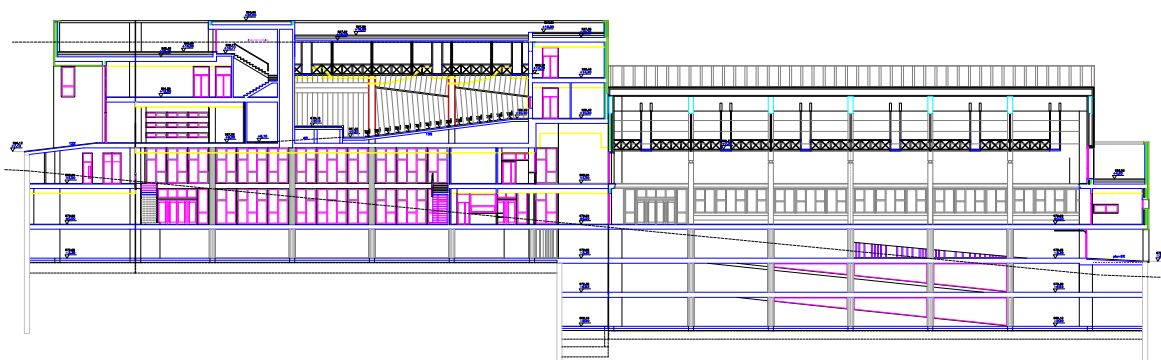
ANEXO DE CALCULOS

**VICERRECTORADO DE
INFRAESTRUCTURA Y
MANTENIMIENTO**

UNIVERSIDAD POLITÉCNICA DE VALENCIA



PROYECTO DE EJECUCION DE EDIFICIO NUEVO Y URBANIZACION EN EL CAMPUS DE ALCOY



DOCUMENTO HE-1

EXIGENCIA BÁSICA HE 1. **OPCIÓN SIMPLIFICADA**

CONDICIONES DE APLICACIÓN	CUMPLE
Porcentaje de huecos en cada fachada inferior al 60% de su superficie	SI
Porcentaje de lucernarios inferior al 5% de la superficie total de cubierta	SI
Cerramientos no formados por soluciones constructivas no convencionales tales como <i>Muros Trombe</i> , <i>muros parietodinámicos</i> , <i>invernaderos adosados</i> , etc.	SI

Se admiten porcentajes de huecos superiores al 60% en aquellas fachadas cuyas áreas supongan un porcentaje inferior al 10% del área total de las fachadas del edificio

Si no se cumplen estas condiciones → Aplicar Opción General

HE 1. FICHA 1. Cálculo de los parámetros característicos medios

ZONA CLIMÁTICA:	B4	Zona de baja carga interna <input type="checkbox"/>	Zona de alta carga interna <input checked="" type="checkbox"/>
------------------------	-----------	--	---

MUROS (U_{Mm}) y (U_{Tm})						
Tipos		A (m ²)	U (W/m ² °K)	A · U (W/°K)	Resultados	
		A(m)	U _L (W/m °K)			
N	Cerrameinto E.2B	33.08	0.23	7.49	$\Sigma A=$	838.33
	Cerrameinto exterior E.4A	111.50	0.79	87.92	$\Sigma A \cdot U=$	453.70
	Cerramiento ext. 30cm	42.18	0.37	15.71	$U_{Mm} = \Sigma A \cdot U / \Sigma A =$	0.54
	Cerramiento exterior E.2A	157.75	0.23	36.08		
	Cerramiento exterior E.3A	182.79	0.26	46.80		
	Cerramiento exterior E.4B	41.18	0.82	33.68		
	Cerramiento interior I.5	32.71	0.47	15.26		
	Cerramiento interior I.6A	39.61	0.45	17.75		
	Cerramiento interior I.6C	18.48	0.43	7.91		
	Cerramiento interior I7	102.31	1.07	109.36		
	Divisor 14,5cm	76.73	0.99	75.74		
E	Cerrameinto exterior E.1	74.92	0.21	15.54	$\Sigma A=$	1.300.86
	Cerramiento ext. 30cm	439.40	0.37	163.63	$\Sigma A \cdot U=$	498.73
	Cerramiento exterior E.2A	129.00	0.40	51.21	$U_{Mm} = \Sigma A \cdot U / \Sigma A =$	0.38
	Cerramiento exterior E.3A	390.03	0.26	99.85		
	Cerramiento interior I.6A	105.39	0.32	33.37		
	Cerramiento interiores I.1	53.88	0.52	28.28		
	Divisor 14,5cm	108.24	0.99	106.84		
O	Cerrameinto exterior E.1	336.91	0.21	69.87	$\Sigma A=$	1.377.27
	Cerramiento ext. 30cm	193.20	0.37	71.95	$\Sigma A \cdot U=$	510.84
	Cerramiento exterior E.3A	308.64	0.26	79.02	$U_{Mm} = \Sigma A \cdot U / \Sigma A =$	0.37
	Cerramiento exterior E.4C	132.83	0.82	108.90		
	Cerramiento exterior E.4D	200.12	0.46	92.89		
	Cerramiento interior I.6A	109.45	0.32	34.66		
	Cerramiento interior I7	15.51	1.07	16.58		
	Cerramiento interiores I.1	65.96	0.43	28.66		
	Divisor 14,5cm	14.65	0.57	8.33		
S	Cerrameinto exterior E.1	14.52	0.21	3.01	$\Sigma A=$	800.48
	Cerramiento ext. 30cm	155.71	0.37	57.99	$\Sigma A \cdot U=$	293.80
	Cerramiento exterior E.2A	147.00	0.40	58.36	$U_{Mm} = \Sigma A \cdot U / \Sigma A =$	0.37
	Cerramiento exterior E.3A	160.02	0.26	40.97		
	Cerramiento exterior E.5C	27.90	0.49	13.75		
	Cerramiento interior I.2	22.43	0.54	12.21		
	Cerramiento interior I.5	16.36	0.43	6.97		
	Cerramiento interior I.6A	132.49	0.32	41.95		
	Cerramiento interior I7	88.60	0.38	33.79		
	Divisor 14,5cm	35.45	0.70	24.79		

SUELOS (U_{Sm})					
Tipos	A (m ²)	U (W/m ² °K)	A · U (W/°K)	Resultados	
Forjado interior FR35	2.629.61	0.44	1.151.69	$\Sigma A=$	2.629.61
				$\Sigma A \cdot U=$	1.151.69
				$U_{Mm} = \Sigma A \cdot U / \Sigma A =$	0.44

CUBIERTAS Y LUCERNARIOS (U_{cm} , F_{Lm})					
Tipos	A (m^2)	U ($W/m^2 \text{ } ^\circ K$)	$A \cdot U$ ($W/^\circ K$)	Resultados	
	$A(m)$	U_L ($W/m \text{ } ^\circ K$)			
<i>Cubierta No Transible</i>	979.65	0.43	416.52	$\Sigma A=$	2.820.44
<i>Cubierta Polideportivo</i>	1.556.75	0.40	624.41	$\Sigma A \cdot U=$	1.166.33
<i>Cubierta exterior c-35</i>	132.43	0.45	59.00	$U_{Mm} = \Sigma A \cdot U / \Sigma A =$	0.41
<i>Forjado interior FR35</i>	151.61	0.44	66.40		

HUECOS DE FACHADA (U_{Hm} , F_{Hm})							
	Tipos	A (m^2)	U	F	$A \cdot U$	$A \cdot F$ (m^2)	Resultados
E	V25	87.47	3.23	0.45	282.9	39.49	$\Sigma A=$ 248.90
					3		$\Sigma A \cdot U=$ 801.15
							$\Sigma A \cdot F=$ 113.18
	V35	161.4	3.21	0.46	518.2	73.69	$U_{Mm} = \Sigma A \cdot U / \Sigma A =$ 3.22
		4			2		$F_{Mm} = \Sigma A \cdot F / \Sigma A =$ 0.45
							$\Sigma A=$ 248.90
O	V11	7.94	3.35	0.43	26.55	3.43	$\Sigma A=$ 233.78
		3.68	3.26	0.45	12.00	1.65	$\Sigma A \cdot U=$ 752.05
							$\Sigma A \cdot F=$ 106.23
	V3	51.41	3.22	0.45	165.5	23.21	$U_{Mm} = \Sigma A \cdot U / \Sigma A =$ 3.22
					5		$F_{Mm} = \Sigma A \cdot F / \Sigma A =$ 0.45
							$\Sigma A=$ 233.78
O	V35	145.9	3.21	0.46	468.3	66.60	$\Sigma A=$ 233.78
		1			7		
	V395	24.85	3.20	0.46	79.58	11.34	
S	V09	4.03	3.39	0.43	13.66	1.72	$\Sigma A=$ 4.03
							$\Sigma A \cdot U=$ 13.66
							$\Sigma A \cdot F=$ 1.72
							$U_{Mm} = \Sigma A \cdot U / \Sigma A =$ 3.39
							$F_{Mm} = \Sigma A \cdot F / \Sigma A =$ 0.43
							$\Sigma A=$ 4.03

HE 1. FICHA 2. CONFORMIDAD. Demanda Energética

ZONA CLIMÁTICA:	B4	Zona de baja carga interna <input type="checkbox"/>	Zona de alta carga interna <input checked="" type="checkbox"/>
------------------------	-----------	--	---

Cerramientos y particiones interiores de la envolvente térmica	$U_{\max(\text{proyecto})}^{(1)}$		$U_{\max}^{(2)}$
Muros de fachada	1.07	\leq	1.07
Primer metro del perímetro de suelos apoyados y muros en contacto con el terreno	0.00		
Particiones interiores en contacto con espacios no habitables	0.70		
Suelos	0.44	\leq	0.68
Cubiertas	0.45	\leq	0.59
Vidrios de huecos y lucernarios (U_{Hv})	3.00	\leq	5.70
Marcos de huecos y lucernarios (U_{Hm})	4.20		
Medianerías	0.00	\leq	1.07

Particiones interiores (edificios de viviendas) ⁽³⁾	0.00	\leq	1,2 W/m ² K
--	------	--------	------------------------

Muros de fachada			
$U_{Mm}^{(4)}$		$U_{Mlim}^{(5)}$	
N	0.54	\leq	0.82
E	0.38		
O	0.37		
S	0.37		
SE			
SO			

Huecos					
$U_{Hm}^{(4)}$		$U_{Hlim}^{(5)}$		$F_{Hm}^{(4)}$	$F_{Hlim}^{(5)}$
	\leq	-			
3.22		5.70		0.45	-
3.22	\leq	5.70		0.45	-
3.39	\leq	5.70		0.43	-
		-			-
	\leq	-			-

Cerr. Contacto con terreno		
$U_{Tm}^{(4)}$		$U_{Tlim}^{(5)}$
	\leq	0.82

Suelos		
$U_{Sm}^{(4)}$		$U_{Slim}^{(5)}$
0.44	\leq	0.52

Cubiertas		
$U_{Cm}^{(4)}$		$U_{Clim}^{(5)}$
0.41	\leq	0.45

Lucernarios		
F_{Lm}		F_{Llim}
	\leq	0.28

⁽¹⁾ $U_{\max(\text{proyecto})}$ corresponde al mayor valor de la transmitancia de los cerramientos o particiones interiores indicados en proyecto.

⁽²⁾ U_{\max} corresponde a la transmitancia térmica máxima definida en la tabla 2.1 para cada tipo de cerramiento o partición interior.

⁽³⁾ En edificios de viviendas, $U_{\max(\text{proyecto})}$ de particiones interiores que limiten unidades de uso con un sistema de calefacción previsto desde proyecto con las zonas comunes no calefactadas.

⁽⁴⁾ Parámetros característicos medios obtenidos en la ficha 1.

⁽⁵⁾ Valores límite de los parámetros característicos medios definidos en la tabla 2.2.

HE 1. FICHA 3. CONFORMIDAD. Condensaciones

CERRAMIENTOS, PARTICIONES INTERIORES, PUENTES TÉRMICOS										
TIPOS	C. superficiales		C. intersticiales							
	$f_{Rsi} \geq f_{Rmin}$		$P_n \leq P_{sat,n}$	Capa 1	Capa 2	Capa 3	Capa 4	Capa 5	Capa 6	Capa 7
Suelo contra terreno	f_{Rsi}	0.9190	$P_{sat,n}$	2323	2225	2183	1402			
	f_{Rmin}	0.1110	P_n	1161.5	955.07	942.68	941.03			
Cerramien to exterior E.4C	f_{Rsi}	0.8680	$P_{sat,n}$	2548	2323	2281	2090	1913	1749	1609
	f_{Rmin}	0.2370	P_n	1274	940	940	940	940	940	940
Cerramien to exterior E.3A	f_{Rsi}	0.9680	$P_{sat,n}$	2548	2486	2411	2352	1987	1900	1900
	f_{Rmin}	0.2370	P_n	1274	1268.22	1234.48	1234	1185.8	1127.97	1103.87
Cerramein to exterior E.1	f_{Rsi}	0.9740	$P_{sat,n}$	2548	2502	2411	2367	1900	1829	1794
	f_{Rmin}	0.2370	P_n	1274	1269.12	1220.3	1217.45	1152.36	1103.54	1098.66
Cerramien to ext. 30cm	f_{Rsi}	0.9540	$P_{sat,n}$	2548	2456	2441	2396	2295	2211	1497
	f_{Rmin}	0.2370	P_n	1274	1265.85	1245.49	1218.33	1214.94	1211.54	1102.93
Cerramien to exterior E.5C	f_{Rsi}	0.9390	$P_{sat,n}$	2548	2426	2309	2183	1488		
	f_{Rmin}	0.2370	P_n	1274	1272.67	1264.88	1264.77	1251.42		
Cubierta Polideporti vo	f_{Rsi}	0.9620	$P_{sat,n}$	2548	2486	1421				
	f_{Rmin}	0.2370	P_n	1274	1107	1107				
Cerramien to exterior E.2A	f_{Rsi}	0.9510	$P_{sat,n}$	2548	2456	2295	2211	1537	1478	1411
	f_{Rmin}	0.2370	P_n	1274	1274	1274	1274	1274	1274	1274
Cerramein to E.2B	f_{Rsi}	0.9470	$P_{sat,n}$	2548	2441	2281	2183	1478		
	f_{Rmin}	0.2370	P_n	1274	1264.27	1166.99	1150.78	1037.28		
Vidrio	f_{Rsi}	0.6280	$P_{sat,n}$	2548	2012	1999	1507	1488		
	f_{Rmin}	0.2370	P_n	1274	1190.5	1107	1107	1023.5		
Cerramien to exterior E.5B	f_{Rsi}	0.9310	$P_{sat,n}$	2323	2252	2156	2064	1598		
	f_{Rmin}	0.0000	P_n	1161.5	940	940	940	940		
Cerramien to exterior E.4B	f_{Rsi}	0.8700	$P_{sat,n}$	2548	2266	2077	1900	1749	1609	
	f_{Rmin}	0.2370	P_n	1274	1271.81	1266.12	1265.71	1265.3	1265.14	
Cubierta No Transible	f_{Rsi}	0.9600	$P_{sat,n}$	2548	2323	2309	1478	1459		
	f_{Rmin}	0.2370	P_n	1274	1272.39	1269.18	1265.32	943.86		
Cerramien to exterior E.4D	f_{Rsi}	0.9240	$P_{sat,n}$	2548	2411	2295	2183	1705	1578	1497
	f_{Rmin}	0.2370	P_n	1274	1273.07	1267.67	1267.28	1261.11	1251.85	1248.76
Cerramein to exterior E.4A	f_{Rsi}	0.8740	$P_{sat,n}$	2548	2323	2051	1888	1738	1598	
	f_{Rmin}	0.2370	P_n	1274	1273.03	1263.36	1263.2	1262.8	1262.39	
Cubierta exterior c-35	f_{Rsi}	0.9580	$P_{sat,n}$	2548	2471	2252	2238	2225	2197	1440
	f_{Rmin}	0.2370	P_n	1274	1273.82	1263.49	1251.68	1251.64	1251.52	1239.71

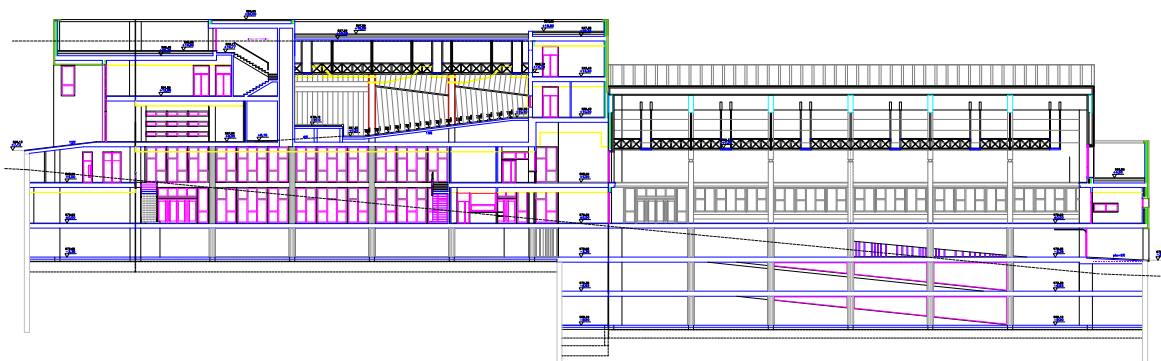
	CUMPLE
El proyecto evaluado con el Código técnico de la Edificación HE1	SI

**VICERRECTORADO DE
INFRAESTRUCTURA Y
MANTENIMIENTO**

UNIVERSIDAD POLITECNICA DE VALENCIA



PROYECTO DE EJECUCION DE EDIFICIO NUEVO Y URBANIZACION EN EL CAMPUS DE ALCOY



CALCULOS DE CARGAS TÉRMICAS

CALCULO DE LAS CARGAS TERMICAS ESTIVALES E INVERNALES

Método RTS - ASHRAE Handbook 2001

Proyecto	:		
Revisión	:0	Fecha	
Cliente	:		
Proyectista	:		
Localidad	: Alicante		
Condiciones exteriores de proyecto		Invierno	Verano
Temperatura b. s.	[°C]:	0	31.5
Temperatura b. h.	[°C]:	-1	20.8
Humedad relativa	[%]:	81.7	38.5

1. DATOS GENERALES

1.1) Datos de la Localidad

Localidad:	Alicante		
Altitud s.n.m.	[m]:	7.00	
Latitud	[°N]:	38.23	
Longitud	[°]:	0.30	
Meridiano de referencia	[DEG]:	0	
Condiciones exteriores de proyecto		Invierno	Verano
Temperatura b.s.	[°C]:	0	31.5
Temperatura b.h.	[°C]:	-1	20.8
Humedad Relativa	[%]:	81.7	38.5
Variación térmica diaria	[°C]:		9.8
Factor de nubosidad	[0.85 ÷ 1]:		0.85
Reflectividad terreno circundante	[0 ÷ 1]:		0.2

1.2) Orientaciones

Orientación	Tipo	Orient.	Grad.	Temp. b.s.		Incr.
Descripción	E/I	[Deg]	[Deg]	Verano [°C]	Invierno [°C]	[%]
Sur	E	180	90			0
Este	E	90	90			15
Norte	E	0	90			20
No	E	315	90			15
Oeste	E	270	90			10
O-NO	E	292.5	90			10
SO	E	225	90			5
Suelo exterior	E	0	180			0
Tejado exterior	E	0	0			0
NE	E	45	90			20
N-NE	E	22.5	90			20
	E	0	90			0

LEYENDA

Tipo: E = Exterior; I = Interior; T= Contraterreno

Orientación: 0 o vacío = Norte; 90 = Este; 180 = Sur; 270 = Oeste

Gradiente: 0 o vacío = Techos; 90 = Paredes verticales; 180 = Suelos

Temperaturas b.s.: Válidas para orientaciones del tipo Interior y Contraterreno

1.3) Perfiles horarios

Hora																								
g																								
0	1	2	3	4	5	6	7	8	9	10	11	12	13	14	15	16	17	18	19	20	21	22	23	
Temp. 20C																								
20	20	20	20	20	20	20	20	20	20	20	20	20	20	20	20	20	20	20	20	20	20	20	20	
Temp. 24C																								
24	24	24	24	24	24	24	24	24	24	24	24	24	24	24	24	24	24	24	24	24	24	24	24	
Personal																								
0	0	0	0	0	0	0	0	0	0	100	100	100	100	100	0	0	100	100	100	100	0	0	0	0
Iluminación																								
25	25	25	25	25	25	25	25	25	25	100	100	100	100	100	25	25	100	100	100	100	25	25	25	25
Equipos																								
25	25	25	25	25	25	25	25	25	25	100	100	100	100	100	100	100	100	100	100	100	25	25	25	25
Residencial 1																								
0	0	0	0	0	0	0	0	50	100	100	50	50	50	100	100	100	50	50	50	50	100	100	100	50
Residencial 2																								
100	0	0	0	0	0	0	0	0	0	100	100	100	100	100	100	100	100	100	100	100	100	100	100	100
24 h.																								
100	100	100	100	100	100	100	100	100	100	100	100	100	100	100	100	100	100	100	100	100	100	100	100	100
iluminación residencial																								
100	50	50	50	50	50	50	50	50	50	50	50	50	50	50	50	50	50	50	50	50	100	100	100	100
Temp.21.5																								
0	0	0	0	0	0	0	21.5	21.5	21.5	21.5	21.5	21.5	21.5	21.5	21.5	21.5	21.5	21.5	21.5	21.5	21.5	21.5	0	
Temp. 23																								
0	0	0	0	0	0	0	23	23	23	23	23	23	23	23	23	23	23	23	23	23	23	23	0	
Pdeporte																								
0	0	0	0	0	0	0	50	50	75	100	100	100	100	100	100	50	100	100	100	100	75	50	0	

1.4) Cerramientos opacos: Cálculo del coeficiente de transmisión térmica K

Descripción: Cubierta exterior c-35					
Hi [W/m²°C]	10	He [W/m²°C]			25
Coeficiente de transmisión térmica K [W/m²°C]	0.445	Color [C /M /D]:			M
Peso [kg/m²]	652.6	Incremento de seguridad:			1
Estratigrafía					
MATERIAL	Espesor	Conductividad	Conductancia	Cal. espec.	Densidad
(Orden: del exterior al interior)	[cm]	[W/m°C]	[W/m²°C]	[kJ/(kg*°C)]	[kg/m³]
Plaqueta o baldosa de gres (2	5.1	2.300		1.000	2,500.0
Polietileno baja densidad [LDP	0.1	0.330		2.200	920.0
XPS Expandido con Hidrofluorca	4	0.025		1.000	37.5
EPS Poliestireno Expandido [0.	0.2	0.046		1.000	30.0
Subcapa, fieltro (0,1 cm)	0.1	0.050		1.300	120.0
Hormigón en masa, 2300 < d < 2	5	2.000		1.000	2,450.0
FU Entrevigado cerámico, canto	35	0.937		1.000	1,110.0
Enlucido de yeso, 1000 < d < 1	1	0.570		1.000	1,150.0

Descripción: Suelo contra terreno					
Hi [W/m²°C]	5.882	He [W/m²°C]			25
Coeficiente de transmisión térmica K [W/m²°C]	0.493	Color [C /M /D]:			M
Peso [kg/m²]	393.24	Incremento de seguridad:			1
Estratigrafía					
MATERIAL	Espesor	Conductividad	Conductancia	Cal. espec.	Densidad
(Orden: del exterior al interior)	[cm]	[W/m²°C]	[W/m²°C]	[kJ/(kg*°C)]	[kg/m³]
Arena o grava, 1700 < d < 2200	2	2.000		1.050	1,450.0
EPS Poliestireno Expandido [0.	8	0.046		1.000	30.0
Hormigón armado, 2300 < d < 25	15	2.300		1.000	2,400.0
Polietileno baja densidad [LDP	0.2	0.330		2.200	920.0

Descripción: Forjado interior FR35					
Hi [W/m²°C]	10	He [W/m²°C]			10
Coeficiente de transmisión térmica K [W/m²°C]	0.438	Color [C /M /D]:			M
Peso [kg/m²]	743.17	Incremento de seguridad:			1
Estratigrafía					
MATERIAL	Espesor	Conductividad	Conductancia	Cal. espec.	Densidad
(Orden: del exterior al interior)	[cm]	[W/m°C]	[W/m²°C]	[kJ/(kg*°C)]	[kg/m³]
Azulejo cerámico (2 cm)	2	1.300		0.840	2,300.0
Mortero cemento o cal (albañil	1.5	1.800		1.000	2,100.0
Arenisca, 2200 < d < 2600 (2 c	2	3.000		1.000	2,400.0
FR Entrevigado de hormigón, ca	35	2.000		1.000	1,670.0
EPS Poliestireno Expandido [0.	8	0.046		1.000	30.0
Mortero de yeso (1,5 cm)	1.5	0.800		1.000	1,500.0
Cámara de aire ligeramente ven	2		12.500	1.000	1.0
Placa yeso o escayola, 750 < d	1	0.250		1.000	825.0

Descripción: Cerramiento ext. 30cm					
Hi [W/m²°C]	7.692	He [W/m²°C]		25	
Coeficiente de transmisión térmica K [W/m²°C]	0.372	Color [C /M /D]:		M	
Peso [kg/m²]	347.75	Incremento de seguridad:		1	
Estratigrafía					
MATERIAL	Espesor	Conductividad	Conductancia	Cal. espec.	Densidad
(Orden: del exterior al interior)	[cm]	[W/m°C]	[W/m²°C]	[kJ/(kg*°C)]	[kg/m³]
Plaqueta o baldosa cerámica (2	2	1.000		0.800	2,000.0
Mortero cemento o cal (albañil	3	0.700		1.000	1,350.0
BH convencional, espesor 150 m	15	0.789		1.000	1,040.0
EPS Poliestireno Expandido [0.	8	0.046		1.000	30.0
Cámara de aire sin ventilar ve	5		5.560	1.000	1.0
Cámara de aire sin ventilar ve	5		5.560	1.000	1.0
Tabique de LH sencillo (4 cm)	4	0.440		1.000	1,000.0
Mortero cemento o cal (albañil	3	0.800		1.000	1,525.0
Enlucido de yeso, 1000 < d < 1	2	0.570		1.000	1,150.0

Descripción: Divisor 14,5cm					
-----------------------------	--	--	--	--	--

Descripción: Vidrio					
Hi [W/m²°C]	7.963	He [W/m²°C]			25
Coeficiente de transmisión térmica K [W/m²°C]	3	Color [C /M /D]:			M
Peso [kg/m²]	16.006	Incremento de seguridad:			1
Estratigrafía					
MATERIAL	Espesor	Conductividad	Conductancia	Cal. espec.	Densidad
(Orden: del exterior al interior)	[cm]	[W/m²°C]	[W/m²°C]	[kJ/(kg*°C)]	[kg/m³]
Vidrio claro sin impurezas 3mm	0.4	0.900		0.840	1,000.0
Vidrio claro sin impurezas 3mm	0.4	0.900		0.840	1,000.0
Cámara de aire sin ventilar ve	0.6		6.670	1.000	1.0
Vidrio claro sin impurezas 3mm	0.4	0.900		0.840	1,000.0
Vidrio claro sin impurezas 3mm	0.4	0.900		0.840	1,000.0

Descripción: Cerramiento exterior E.2A					
Hi [W/m²°C]	7.692	He [W/m²°C]			28.593
Coeficiente de transmisión térmica K [W/m²°C]	0.397	Color [C /M /D]:			M
Peso [kg/m²]	290.119	Incremento de seguridad:			1
Estratigrafía					
MATERIAL	Espesor	Conductividad	Conductancia	Cal. espec.	Densidad
(Orden: del exterior al interior)	[cm]	[W/m²°C]	[W/m²°C]	[kJ/(kg*°C)]	[kg/m³]
Acero inoxidable (0,1 cm)	0.1	17.000		0.460	7,900.0
Cámara de aire sin ventilar ve	11.9		5.560	1.000	1.0
1 pie LP catalán, 40 mm < G <	12	0.743		1.000	1,220.0
EPS Poliestireno Expandido [0.	7	0.046		1.000	30.0
Cámara de aire sin ventilar ve	20		5.560	1.000	1.0
Tabique de LH triple (11,5 cm)	12	0.435		1.000	920.0
Enlucido de yeso, 1000 < d < 1	2	0.570		1.000	1,150.0

Proyecto: fecha: Página 5

MATERIAL	Espesor	Conductividad	Conductancia	Cal. espec.	Densidad
(Orden: del exterior al interior)	[cm]	[W/m°C]	[W/m²°C]	[kJ/(kg*°C)]	[kg/m³]
1 pie LP catalán, 40 mm < G <	12	0.743		1.000	1,220.0
EPS Poliestireno Expandido [0.	7	0.046		1.000	30.0
Cámara de aire sin ventilar ve	20		5.560	1.000	1.0
Tabique de LH triple (11,5 cm)	12	0.435		1.000	920.0
Enlucido de yeso, 1000 < d < 1	2	0.570		1.000	1,150.0

Descripción: Cerramiento exterior E.3A					
Hi [W/m²°C]	7.692	He [W/m²°C]			25
Coeficiente de transmisión térmica K [W/m²°C]	0.256	Color [C /M /D]:			M
Peso [kg/m²]	266.21	Incremento de seguridad:			1
Estratigrafía					
MATERIAL	Espesor	Conductividad	Conductancia	Cal. espec.	Densidad
(Orden: del exterior al interior)	[cm]	[W/m°C]	[W/m²°C]	[kJ/(kg*°C)]	[kg/m³]
Hormigón en masa, 2300 < d < 2	1	2.000		1.000	2,450.0
EPS Poliestireno Expandido [0.	9	0.046		1.000	30.0
Hormigón en masa, 2300 < d < 2	1	2.000		1.000	2,450.0
Arena o grava, 1700 < d < 2200	1	2.000		1.050	1,450.0
Tabique de LH triple (11,5 cm)	12	0.435		1.000	920.0
EPS Poliestireno Expandido [0.	5	0.046		1.000	30.0
Cámara de aire sin ventilar ve	1		5.560	1.000	1.0
Tabique de LH doble (7 cm)	7	0.375		1.000	930.0
Enlucido de yeso, 1000 < d < 1	2	0.570		1.000	1,150.0

Descripción: Cerramiento exterior E.4A					
Hi [W/m²°C]	5.882	He [W/m²°C]		25	
Coeficiente de transmisión térmica K [W/m²°C]	0.42	Color [C /M /D]:		M	
Peso [kg/m²]	1333.52	Incremento de seguridad:		1	
Estratigrafía					
MATERIAL	Espesor	Conductividad	Conductancia	Cal. espec.	Densidad
(Orden: del exterior al interior)	[cm]	[W/m°C]	[W/m²°C]	[kJ/(kg*°C)]	[kg/m³]
Hormigón armado, 2300 < d < 25	50	2.300		1.000	2,400.0
Cámara de aire sin ventilar ve	5		5.560	1.000	1.0
Cámara de aire sin ventilar ve	5		5.560	1.000	1.0
Cámara de aire sin ventilar ve	2		5.880	1.000	1.0
Tabique de LH triple (11,5 cm)	12	0.435		1.000	920.0
Enlucido de yeso, 1000 < d < 1	2	0.570		1.000	1,150.0

Descripción: Cerramiento exterior E.4B					
Hi [W/m²°C]	5.882	He [W/m²°C]		25	
Coeficiente de transmisión térmica K [W/m²°C]	0.42	Color [C /M /D]:		M	
Peso [kg/m²]	1316.97	Incremento de seguridad:		1	
Estratigrafía					
MATERIAL	Espesor	Conductividad	Conductancia	Cal. espec.	Densidad
(Orden: del exterior al interior)	[cm]	[W/m°C]	[W/m²°C]	[kJ/(kg*°C)]	[kg/m³]
Hormigón armado, 2300 < d < 25	50	2.300		1.000	2,400.0
Cámara de aire sin ventilar ve	2		5.880	1.000	1.0
Cámara de aire sin ventilar ve	5		5.560	1.000	1.0
Cámara de aire sin ventilar ve	5		5.560	1.000	1.0
Tabique de LH doble (7 cm)	7	0.375		1.000	930.0
Enlucido de yeso, 1000 < d < 1	4.5	0.570		1.000	1,150.0

Descripción: Cerramiento exterior E.4C					
Hi [W/m²°C]	5.882	He [W/m²°C]		20.015	
Coeficiente de transmisión térmica K [W/m²°C]	0.42	Color [C /M /D]:		M	
Peso [kg/m²]	1374.72	Incremento de seguridad:		1	
Estratigrafía					
MATERIAL	Espesor	Conductividad	Conductancia	Cal. espec.	Densidad
(Orden: del exterior al interior)	[cm]	[W/m²°C]	[W/m²°C]	[kJ/(kg*°C)]	[kg/m³]
Hormigón armado, 2300 < d < 25	50	2.300		1.000	2,400.0
Cámara de aire sin ventilar ve	2		5.880	1.000	1.0
Cámara de aire sin ventilar ve	5		5.560	1.000	1.0
Cámara de aire sin ventilar ve	5		5.560	1.000	1.0
Tabique de LH doble (7 cm)	7	0.375		1.000	930.0

Mortero cemento o cal (albañil)	3	0.700	1.000	1,350.0
Azulejo cerámico (2 cm)	3	1.300	0.840	2,300.0

Descripción: Cerramiento exterior E.4D					
Hi [W/m²°C]	5.882	He [W/m²°C]		25	
Coeficiente de transmisión térmica K [W/m²°C]	0.35	Color [C /M /D]:		M	
Peso [kg/m²]	1400.15	Incremento de seguridad:		1	
Estratigrafía					
MATERIAL	Espesor	Conductividad	Conductancia	Cal. espec.	Densidad
(Orden: del exterior al interior)	[cm]	[W/m°C]	[W/m²°C]	[kJ/(kg*°C)]	[kg/m³]
Hormigón armado, 2300 < d < 25	50	2.300		1.000	2,400.0
Cámara de aire sin ventilar ve	40		5.560	1.000	1.0
Tabique de LH triple (11,5 cm)	12	0.435		1.000	920.0
EPS Poliestireno Expandido [0.	4	0.046		1.000	30.0
Cámara de aire sin ventilar ve	5		5.560	1.000	1.0
Tabique de LH doble (7 cm)	7	0.375		1.000	930.0
Enlucido de yeso, 1000 < d < 1	2	0.570		1.000	1,150.0

Descripción: Cerramiento exterior E.5B					
Hi [W/m²°C]	7.692	He [W/m²°C]			25
Coeficiente de transmisión térmica K [W/m²°C]	0.565	Color [C /M /D]:			M
Peso [kg/m²]	832.71	Incremento de seguridad:			1
Estratigrafía					
MATERIAL	Espesor	Conductividad	Conductancia	Cal. espec.	Densidad
(Orden: del exterior al interior)	[cm]	[W/m°C]	[W/m²°C]	[kJ/(kg*°C)]	[kg/m³]
Hormigón armado, 2300 < d < 25	30	2.300		1.000	2,400.0
EPS Poliestireno Expandido [0.	5	0.046		1.000	30.0
Cámara de aire sin ventilar ve	11		5.560	1.000	1.0
Tabique de LH doble (7 cm)	7	0.375		1.000	930.0
Azulejo cerámico (2 cm)	2	1.300		0.840	2,300.0

Descripción: Cerramiento exterior E.5C					
Hi [W/m²°C]	7.692	He [W/m²°C]		25	
Coeficiente de transmisión térmica K [W/m²°C]	0.493	Color [C /M /D]:		M	
Peso [kg/m²]	929.91	Incremento de seguridad:		1	
Estratigrafía					
MATERIAL	Espesor	Conductividad	Conductancia	Cal. espec.	Densidad
(Orden: del exterior al interior)	[cm]	[W/m°C]	[W/m²°C]	[kJ/(kg*°C)]	[kg/m³]
Hormigón armado, 2300 < d < 25	35	2.300		1.000	2,400.0
EPS Poliestireno Expandido [0.	6	0.046		1.000	30.0
Cámara de aire sin ventilar ve	1		5.560	1.000	1.0
Tabique de LH doble (7 cm)	7	0.375		1.000	930.0
Enlucido de yeso, 1000 < d < 1	2	0.570		1.000	1,150.0

Descripción: Cerramiento interiores I.1					
Hi [W/m²°C]	7.692	He [W/m²°C]			7.692
Coeficiente de transmisión térmica K [W/m²°C]	0.911	Color [C /M /D]:			M
Peso [kg/m²]	221.64	Incremento de seguridad:			1
Estratigrafía					
MATERIAL	Espesor	Conductividad	Conductancia	Cal. espec.	Densidad
(Orden: del exterior al interior)	[cm]	[W/m²°C]	[W/m²°C]	[kJ/(kg*°C)]	[kg/m³]
Azulejo cerámico (2 cm)	2	1.300		0.840	2,300.0
Tabique de LH doble (7 cm)	7	0.375		1.000	930.0
Cámara de aire sin ventilar ve	9		5.560	1.000	1.0
Cámara de aire sin ventilar ve	5		5.560	1.000	1.0
Tabique de LH triple (11,5 cm)	12	0.435		1.000	920.0

Descripción: Cerramiento interior I.2						
Hi [W/m²°C]		7.692	He [W/m²°C]		7.692	
Coeficiente de transmisión térmica K [W/m²°C]		1.028	Color [C /M /D]:		M	
Peso [kg/m²]		221.57	Incremento de seguridad:		1	
Estratigrafía						
MATERIAL		Espesor	Conductividad	Conductancia	Cal. espec.	Densidad
(Orden: del exterior al interior)		[cm]	[W/m°C]	[W/m²°C]	[kJ/(kg*°C)]	[kg/m³]

Enlucido de yeso, $1000 < d < 1$	2	0.570		1.000	1,150.0
Tabique de LH doble (7 cm)	7	0.375		1.000	930.0
Cámara de aire sin ventilar ve	7		5.560	1.000	1.0
Tabique de LH triple (11,5 cm)	12	0.435		1.000	920.0
Enlucido de yeso, $1000 < d < 1$	2	0.570		1.000	1,150.0

Descripción: Cerramiento interior I.5					
Hi [W/m²°C]	7.692	He [W/m²°C]			7.692
Coeficiente de transmisión térmica K [W/m²°C]	0.978	Color [C /M /D]:			M
Peso [kg/m²]	249.28	Incremento de seguridad:			1
Estratigrafía					
MATERIAL	Espesor	Conductividad	Conductancia	Cal. espec.	Densidad
(Orden: del exterior al interior)	[cm]	[W/m°C]	[W/m²°C]	[kJ/(kg*°C)]	[kg/m³]
Azulejo cerámico (2 cm)	2	1.300		0.840	2,300.0
Mortero cemento o cal (albañil	1	0.700		1.000	1,350.0
Tabique de LH doble (7 cm)	7	0.375		1.000	930.0
Cámara de aire sin ventilar ve	1		6.670	1.000	1.0
Cámara de aire sin ventilar ve	7		5.560	1.000	1.0
Tabique de LH doble (7 cm)	7	0.375		1.000	930.0
Mortero cemento o cal (albañil	1	0.700		1.000	1,350.0
Azulejo cerámico (2 cm)	2	1.300		0.840	2,300.0

Descripción: Cerramiento interior I.6A					
Hi [W/m²°C]	7.692	He [W/m²°C]			7.692
Coefficiente de transmisión térmica K [W/m²°C]	1.053	Color [C /M /D]:			M
Peso [kg/m²]	139.7	Incremento de seguridad:			1
Estratigrafía					
MATERIAL	Espesor	Conductividad	Conductancia	Cal. espec.	Densidad
(Orden: del exterior al interior)	[cm]	[W/m°C]	[W/m²°C]	[kJ/(kg*°C)]	[kg/m³]
Enlucido de yeso, 1000 < d < 1	1.5	0.570		1.000	1,150.0
Tabique de LH doble (7 cm)	7	0.375		1.000	930.0
Cámara de aire sin ventilar ve	5		5.560	1.000	1.0
Cámara de aire sin ventilar ve	5		5.560	1.000	1.0
Tabique de LH sencillo (4 cm)	4	0.440		1.000	1,000.0
Enlucido de yeso, 1000 < d < 1	1.5	0.570		1.000	1,150.0

Descripción: Cerramiento interior I.6B					
Hi [W/m²°C]	7.692	He [W/m²°C]		7.692	
Coeficiente de transmisión térmica K [W/m²°C]	1.047	Color [C /M /D]:		M	
Peso [kg/m²]	225.95	Incremento de seguridad:		1	
Estratigrafía					
MATERIAL	Espesor	Conductividad	Conductancia	Cal. espec.	Densidad
(Orden: del exterior al interior)	[cm]	[W/m²°C]	[W/m²°C]	[kJ/(kg*°C)]	[kg/m³]
Azulejo cerámico (2 cm)	2	1.300		0.840	2,300.0
Mortero cemento o cal (albañil)	1	0.800		1.000	1,525.0
Tabique de LH doble (7 cm)	7	0.375		1.000	930.0
Cámara de aire sin ventilar ve	5		5.560	1.000	1.0
Cámara de aire sin ventilar ve	5		5.560	1.000	1.0
Tabique de LH sencillo (4 cm)	4	0.440		1.000	1,000.0
Mortero cemento o cal (albañil)	1	0.700		1.000	1,350.0
Azulejo cerámico (2 cm)	2	1.300		0.840	2,300.0

Descripción: Cerramiento interior I.6C					
Hi [W/m²°C]	7.692	He [W/m²°C]			7.692
Coefficiente de transmisión térmica K [W/m²°C]	1.053	Color [C /M /D]:			M
Peso [kg/m²]	170.45	Incremento de seguridad:			1
Estratigrafía					
MATERIAL	Espesor	Conductividad	Conductancia	Cal. espec.	Densidad
(Orden: del exterior al interior)	[cm]	[W/m°C]	[W/m²°C]	[kJ/(kg*°C)]	[kg/m³]
Azulejo cerámico (2 cm)	1.5	1.300		0.840	2,300.0
Mortero cemento o cal (albañil)	1	0.700		1.000	1,350.0
Tabique de LH doble (7 cm)	7	0.375		1.000	930.0
Cámara de aire sin ventilar ve	5		5.560	1.000	1.0
Cámara de aire sin ventilar ve	5		5.560	1.000	1.0
Tabique de LH sencillo (4 cm)	4	0.440		1.000	1,000.0

Enlucido de yeso, $1000 < d < 1$	1.5	0.570		1.000	1,150.0
----------------------------------	-----	-------	--	-------	---------

Descripción: Cerramiento interior I7					
Hi [W/m²°C]	7.692	He [W/m²°C]		7.692	
Coeficiente de transmisión térmica K [W/m²°C]	1.069	Color [C /M /D]:		M	
Peso [kg/m²]	327.32	Incremento de seguridad:		1	
Estratigrafía					
MATERIAL	Espesor	Conductividad	Conductancia	Cal. espec.	Densidad
(Orden: del exterior al interior)	[cm]	[W/m²°C]	[W/m²°C]	[kJ/(kg*°C)]	[kg/m³]
Enlucido de yeso, 1000 < d < 1	1.5	0.570		1.000	1,150.0
1 pie LP catalán, 40 mm < G <	12	0.743		1.000	1,220.0
Cámara de aire sin ventilar ve	1		6.670	1.000	1.0
Cámara de aire sin ventilar ve	1		6.670	1.000	1.0
1 pie LP catalán, 40 mm < G <	12	0.743		1.000	1,220.0
Enlucido de yeso, 1000 < d < 1	1.5	0.570		1.000	1,150.0

Descripción: Cubierta No Transible					
Hi [W/m²°C]	10	He [W/m²°C]			25
Coeficiente de transmisión térmica K [W/m²°C]	0.425	Color [C /M /D]:			M
Peso [kg/m²]	605.75	Incremento de seguridad:			1
Estratigrafía					
MATERIAL	Espesor	Conductividad	Conductancia	Cal. espec.	Densidad
(Orden: del exterior al interior)	[cm]	[W/m²°C]	[W/m²°C]	[kJ/(kg*°C)]	[kg/m³]
Hormigón con áridos ligeros, 1	10	1.150		1.000	1,700.0
Betún fieltro o lámina (0,2 cm	1	0.230		1.000	1,100.0
XPS Expandido con Dióxido de c	6	0.034		1.000	37.5
Arena o grava, 1700 < d < 2200	10	2.000		1.050	1,450.0
FU Entrevigado cerámico, canto	25	0.937		1.000	1,110.0

Descripción: Cubierta Polideportivo					
Hi [W/m²°C]	10	He [W/m²°C]			25
Coeficiente de transmisión térmica K [W/m²°C]	0.401	Color [C /M /D]:			M
Peso [kg/m²]	34.6	Incremento de seguridad:			1
Estratigrafía					
MATERIAL	Espesor	Conductividad	Conductancia	Cal. espec.	Densidad
(Orden: del exterior al interior)	[cm]	[W/m²°C]	[W/m²°C]	[kJ/(kg*°C)]	[kg/m³]
Acero inoxidable (0,1 cm)	0.2	17.000		0.460	7,900.0
XPS Expandido con Dióxido de c	8	0.034		1.000	37.5
Acero inoxidable (0,1 cm)	0.2	17.000		0.460	7,900.0

1.5) Ventanas, y paredes de vidrio

Descripción	K	Area	Vidrio	I.S.	Sombras		Dimensiones [m]			Obs. Horizontales [m]		Obs. derecha [m]		Obs. izquierda [m]	
	[W/m ² °C]	[m ²]	[%]	[0 ÷ 1]	Pos.	F.G. Solar	H	L	Retr.	Prof.	Dist.	Prof.	Dist.	Prof.	Dist.
V05	3.58	0.80	80	0	0	1	0.5	1.6	0	0	0	0	0	0	0
V09	3.39	1.44	87	0	0	1	0.9	1.6	0	0	0	0	0	0	0
V175	3.27	2.80	91	0	0	1	1.75	1.6	0	0	0	0	0	0	0
V11	3.35	1.76	88	0	0	1	1.1	1.6	0	0	0	0	0	0	0
V25	3.23	4.00	92	0	0	1	2.5	1.6	0	0	0	0	0	0	0
V2	3.26	3.20	91	0	0	1	2	1.6	0	0	0	0	0	0	0
V3	3.22	4.80	92	0	0	1	3	1.6	0	0	0	0	0	0	0
V35	3.21	5.60	93	0	0	1	3.5	1.6	0	0	0	0	0	0	0
V395	3.20	6.32	93	0	0	1	3.95	1.6	0	0	0	0	0	0	0

LEGENDA

K = Coeficiente de transmisión térmica

Vidrio = Porcentaje de superficie vidriada;

I.S. = Incremento de seguridad

Sombras: Pos. = Posición (interior, exterior, nulo) – FG Solar. = Factor de sombra

Dimensiones: Altura H, Longitud L, Retranqueo del vidrio respecto a la pared

Obs. dcha / izqda = Obstáculos derecha / izquierda * ; Prof. = Profundidad; Dist. = Distancia

* Los términos derecha e izquierda de refieren a un observador situado en el interior.

1.8) Zonas

a) Datos Generales

Zona	Tipo de sistema	Perfil horario de funcionamiento	
		Verano	Invierno
CL oficinas 1	Todo aire con mezcla	PdeportivoVer	PdeportivoInv
CL oficinas 2	Todo aire con mezcla	PdeportivoVer	PdeportivoInv
CL sa escenario	Todo aire con mezcla	PdeportivoVer	PdeportivoInv
CL sa vestibulo	Todo aire con mezcla	PdeportivoVer	PdeportivoInv
CL sala deportiva PB Doble Altura	Todo aire con mezcla	PdeportivoVer	PdeportivoInv
CL sala deportiva PB Zona 1	Todo aire con mezcla	PdeportivoVer	PdeportivoInv
CL sala deportiva P1ª Zona 1	Todo aire con mezcla	PdeportivoVer	PdeportivoInv
CL sala deportiva P1ª Zona 2	Todo aire con mezcla	PdeportivoVer	PdeportivoInv
CL vestuarios	Todo aire exterior	PdeportivoVer	PdeportivoInv
CL salón de actos	Todo aire exterior	PdeportivoVer	PdeportivoInv
No climatizada		PdeportivoVer	PdeportivoVer
Z calefactada	Radiadores		
Z VRV	Fan - Coil	PdeportivoVer	PdeportivoInv

b) Condiciones internas de proyecto

Zona	Verano		Invierno		Diferencial ±		Incr. Interm. [≥1]	
	Temp. B.S. [°C]	H.R. [%]	Temp. B.S. [°C]	H.R. [%]	T [°C]	H.R. [%]	Verano	Invierno
CL oficinas 1	23	50	21.5	50	1	10	1.1	1.1
CL oficinas 2	23	50	21.5	50	1	10	1.1	1.1
CL sa escenario	23	50	21.5	50	1	10	1.1	1.1
CL sa vestibulo	23	50	21.5	50	1	10	1.1	1.1
CL sala deportiva PB Doble Altura	23	50	21.5	50	1	10	1.1	1.1
CL sala deportiva PB Zona 1	23	50	21.5	50	1	10	1.1	1.1
CL sala deportiva P1ª Zona 1	23	50	21.5	50	1	10	1.1	1.1
CL sala deportiva P1ª Zona 2	23	50	21.5	50	1	10	1.1	1.1
CL vestuarios	23	50	21.5	50	1	10	1.1	1.1
CL salón de actos	23	50	21.5	50	1	10	1.1	1.1
No climatizada	30	50	20	50	1	10	1	1
Z calefactada	23	50	21.5	50	1	10	1	1
Z VRV	23	50	21.5	50	1	10	1	1

c) Ventilación

Zona	Perfil horario de funcionamiento		Temperatura de impulsión del aire al espacio			
			Verano		Invierno	
	Verano	Invierno	B.S. [°C]	B.H. [°C]	B.S. [°C]	B.H. [°C]
CL oficinas 1	PdeportivoVer%	PdeportivoInv%	13.5	13.5	23.5	15.3
CL oficinas 2	PdeportivoVer%	PdeportivoInv%	13.5	13.5	23.5	15.3
CL sa escenario	PdeportivoVer%	PdeportivoInv%	13.5	12.6	24.9	16.1
CL sa vestibulo	PdeportivoVer%	PdeportivoInv%	13.5	12.6	23.6	14.3
CL sala deportiva PB Doble Altura	PdeportivoVer%	PdeportivoInv%	13.5	12.6	23.7	15.4
CL sala deportiva PB Zona 1	PdeportivoVer%	PdeportivoInv%	13.5	12.6	23.7	15.4
CL sala deportiva P1ª Zona 1	PdeportivoVer%	PdeportivoInv%	13.5	12.6	23.7	15.4
CL sala deportiva P1ª Zona 2	PdeportivoVer%	PdeportivoInv%	13.5	12.6	23.7	15.4
CL vestuarios	PdeportivoVer%	PdeportivoInv%	13.5	12.6	24.3	11.4
CL salón de actos	PdeportivoVer%	PdeportivoInv%	13.5	12.6	22.3	10.5
No climatizada			0	0	0	0
Z calefactada			0	0	0	0
Z VRV			0	0	0	0

1.9) Espacios

a) Datos generales y ventilación

Cod.	Descripción	Area	H	Zona	Personas				Ventil.	Infiltraciones	
					Oc.	Ap. Sens.	Ap. Lat.	Perfil horario		Verano	Invierno
		[m²]	[m]		[n.]	[W]	[W]		[m³/h]	[m³/h]	[m³/h]
E-1	Parking-3	2258.14	3.13	No climatizada	0	0	0	Temp. 20C	0	0	3530
E-1.1	Parking-2	2258.24	2.85	No climatizada	0	0	0	Temp. 20C	0	0	3220
E-1.2	Parking-1.1	1371.4	3.13	No climatizada	0	0	0	Temp. 20C	0	0	2145
E-2	Parking -1.2	2206.55	2.85	No climatizada	0	0	0	Temp. 20C	0	0	3145
		0	0	No climatizada	0	0	0	Temp. 20C	0	0	0
E-1	Polideportivo PB	1552.04	12.7	Climatizada	1552	185	340	Pdeporte	310850	5915	3940
E-10	Vestuario 0.1 PB	36.57	3.5	CL vestuarios	12	75	75	Pdeporte	1125	40	25
E-11	Gimnasio 0.1 PB	674.28	8.71	CL sala deportiva (4 zonas)	160	185	340	Pdeporte	5115	1760	1175
E-12	Escalera 0.3 PB	21.37	3.5	No climatizada	0	0	0	Temp. 20C	0	0	35
E-13	Monitor 0.3 PB	22.64	3.5	CL oficinas 2	3	75	75	Pdeporte	150	25	15
E-14	Vestibulo PB	121.12	3.5	No climatizada	0	0	0	Temp. 20C	0	0	210
E-15	Escalera y vestibulo 0.1 PB	58.9	3.5	No climatizada	0	0	0	Temp. 20C	0	0	105
E-16	Monitor 0.1 PB	28.07	3.5	Z VRV	3	185	340	Pdeporte	0	0	0
E-17	Almacén 0.1 PB	13.18	3.5	No climatizada	0	0	0	Temp. 20C	0	0	25
E-18	Monitor 0.2 PB	40.17	3.5	Z VRV	5	185	340	Pdeporte	0	0	0
E-19	Escalera 0.6 PB	13.44	3.5	No climatizada	0	0	0	Temp. 20C	0	0	25
E-3	Office PB	14.91	3.5	No climatizada	0	0	0	Temp. 20C	0	0	25
E-4	Vestuario 0.6 PB	17.62	3.5	CL vestuarios	6	75	75	Pdeporte	560	20	10
E-5	Vestuarios 0.5 PB	16.8	3.5	CL vestuarios	6	75	75	Pdeporte	505	20	10
E-6	Vestuario 0.4 PB	35.61	3.5	CL vestuarios	12	75	75	Pdeporte	985	35	25
E-7	Vestuario 0.3 PB	35.37	3.5	CL vestuarios	12	75	75	Pdeporte	1020	35	25
E-8	Servicios 2 y 1 PB	72.06	3.5	No climatizada	0	0	0	Temp. 20C	0	0	125
E-9	Vestuarios 0.2 PB	35.37	3.5	CL vestuarios	12	75	75	Pdeporte	1080	35	25
E-10	Vestibulo y escaleras P1	61.51	5.9	No climatizada	0	0	0	Temp. 20C	0	0	180
E-12	Vestibulo P1	113.86	5.9	No climatizada	0	0	0	Temp. 20C	0	0	335
E-13	Oficina	12.5	5.9	No climatizada	0	0	0	Temp. 20C	0	0	35
E-14	Oficina	10.39	5.9	No climatizada	0	0	0	Temp. 20C	0	0	30
E-2	Monitor 1.1 P1	17.21	5.9	CL oficinas 2	2	75	75	Pdeporte	85	30	20
E-3	Monitor 1.2 P1	21.74	5.9	CL oficinas 2	2	75	75	Pdeporte	95	40	25
E-4	Recepcion 1.1 P1	31.32	5.9	CL oficinas 2	4	75	75	Pdeporte	225	55	35
E-8	Escalera 1.6 P1	14.11	5.9	No climatizada	0	0	0	Temp. 20C	0	0	40
E-1	Servicios, Office y Vestibulo 3 P2	58.23	3.5	No climatizada	0	0	0	Temp. 20C	0	0	100
E-10	Parking PS-1	31.09	3.5	No climatizada	0	0	0	Temp. 20C	0	0	55
E-11	Escaleras, pasos y vestibulos P2	123.48	3.5	No climatizada	0	0	0	Temp. 20C	0	0	215
E-12	ESCENARIO	128.58	12	CL sa escenario	9	90	95	Pdeporte	360	465	310
E-4	Salon de Actos P2	308.74	12	CL salón de actos	252	75	75	Pdeporte	56990	1110	740
E-6	Vestibulo 2.2 P2	204.58	3.5	CL sa vestibulo	100	90	95	Pdeporte	3380	215	145
E-1	Vestibulo y zona de paso P3	97.13	3.5	No climatizada	0	0	0	Temp. 20C	0	0	170
E-10	Escalera y vestibulo P3	61.83	3.5	No climatizada	0	0	0	Temp. 20C	0	0	110
E-2	Office 3.1 P3	59.98	3.5	CL oficinas 1	6	75	75	Pdeporte	560	65	40
E-3	Office 3.2 P3	33.86	3.5	CL oficinas 1	4	75	75	Pdeporte	360	35	25
E-4	Office 3.3 P3	36.88	3.5	CL oficinas 1	4	75	75	Pdeporte	150	40	25
E-5	Office 3.4 P3	42.08	3.5	CL oficinas 1	5	75	75	Pdeporte	270	45	30
E-6	Paso 3.3 P3	16.81	3.5	No climatizada	0	0	0	Temp. 20C	0	0	30
E-7	Sala tecnica P3	32.1	3.5	CL sa vestibulo	3	90	95	Pdeporte	300	35	20
E-8	Paso 3.4 P3	16.93	3.5	No climatizada	0	0	0	Temp. 20C	0	0	30
E-9	Almacén y Paso P3	60.24	3.5	No climatizada	0	0	0	Temp. 20C	0	0	105
E-1	Cuarto instalaciones PSCM	40.86	3.85	No climatizada	0	0	0	Temp. 20C	0	0	80
E-2	Cuarto instalaciones 2 PSCM	16.88	3.85	No climatizada	0	0	0	Temp. 20C	0	0	35
E-5	Escalera 3.8 PSMC	6.8	3.85	No climatizada	0	0	0	Temp. 20C	0	0	15

E-6	Escalera y vestíbulo PSMC	63.67	3.85	No climatizada	0	0	0	Temp. 20C	0	0	125
E-7	Paso PSMC	14.2	3.85	No climatizada	0	0	0	Temp. 20C	0	0	25

b) Cargas térmicas

Cod.	Descripción	Iluminación				Equipamientos				Sist.
		Fija	Var.	Cod.	Perfil	Sens.	Lat.	R/S	Perfil	Tipo
		[W/m²]	[W/m²]		Orario	[W]	[W]		Horario	Cod.
E-1	Parking-3	0	0	0	Temp. 20C	0	0	0	Temp. 20C	0
E-1.1	Parking-2	0	0	0	Temp. 20C	0	0	0	Temp. 20C	0
E-1.2	Parking-1.1	0	0	0	Temp. 20C	0	0	0	Temp. 20C	0
E-2	Parking -1.2	0	0	0	Temp. 20C	0	0	0	Temp. 20C	0
		0	0	0	Temp. 20C	0	0	0	Temp. 20C	0
E-1	Polideportivo PB	20	0	2	Pdeporte	23280.5	0	0.45	Pdeporte	3
E-10	Vestuario 0.1 PB	20	0	2	Pdeporte	300	0	0.45	Pdeporte	3
E-11	Gimnasio 0.1 PB	26	0	2	Pdeporte	1000	0	0.45	Pdeporte	3
E-12	Escalera 0.3 PB	0	0	0	Temp. 20C	0	0	0	Temp. 20C	0
E-13	Monitor 0.3 PB	25	0	2	Pdeporte	1100	0	0.45	Pdeporte	3
E-14	Vestíbulo PB	0	0	0	Temp. 20C	0	0	0	Temp. 20C	0
E-15	Escalera y vestíbulo 0.1 PB	0	0	0	Temp. 20C	0	0	0	Temp. 20C	0
E-16	Monitor 0.1 PB	60	0	2	Pdeporte	2500	0	0.45	Pdeporte	3
E-17	Almacén 0.1 PB	0	0	0	Temp. 20C	0	0	0	Temp. 20C	0
E-18	Monitor 0.2 PB	60	0	2	Pdeporte	3700	0	0.45	Pdeporte	3
E-19	Escalera 0.6 PB	0	0	0	Temp. 20C	0	0	0	Temp. 20C	0
E-3	Office PB	0	0	0	Temp. 20C	0	0	0	Temp. 20C	0
E-4	Vestuario 0.6 PB	20	0	2	Pdeporte	264.3	0	0.45	Pdeporte	3
E-5	Vestuarios 0.5 PB	20	0	2	Pdeporte	252	0	0.45	Pdeporte	3
E-6	Vestuario 0.4 PB	20	0	2	Pdeporte	300	0	0.45	Pdeporte	3
E-7	Vestuario 0.3 PB	20	0	2	Pdeporte	300	0	0.45	Pdeporte	3
E-8	Servicios 2 y 1 PB	0	0	0	Temp. 20C	0	0	0	Temp. 20C	0
E-9	Vestuarios 0.2 PB	20	0	2	Pdeporte	300	0	0.45	Pdeporte	3
E-10	Vestíbulo y escaleras P1	0	0	0	Temp. 20C	0	0	0	Temp. 20C	0
E-12	Vestíbulo P1	0	0	0	Temp. 20C	0	0	0	Temp. 20C	0
E-13	Oficina	0	0	0	Temp. 20C	0	0	0	Temp. 20C	0
E-14	Oficina	0	0	0	Temp. 20C	0	0	0	Temp. 20C	0
E-2	Monitor 1.1 P1	25	0	2	Pdeporte	1100	0	0.45	Pdeporte	3
E-3	Monitor 1.2 P1	25	0	2	Pdeporte	1100	0	0.45	Pdeporte	3
E-4	Recepción 1.1 P1	25	0	2	Pdeporte	1700	0	0.45	Pdeporte	3
E-8	Escalera 1.6 P1	0	0	0	Temp. 20C	0	0	0	Temp. 20C	0
E-1	Servicios, Office y Vestíbulo 3 P2	0	0	0	Temp. 20C	0	0	0	Temp. 20C	0
E-10	Parking PS-1	0	0	0	Temp. 20C	0	0	0	Temp. 20C	0
E-11	Escaleras, pasos y vestíbulos P2	0	0	0	Temp. 20C	0	0	0	Temp. 20C	0
E-12	ESCENARIO	80	0	2	Pdeporte	4500	0	0.45	Pdeporte	3
E-4	Salón de Actos P2	20	0	2	Pdeporte	4648.5	0	0.45	Pdeporte	3
E-6	Vestíbulo 2.2 P2	20	0	2	Pdeporte	600	0	0.45	Pdeporte	3
E-1	Vestíbulo y zona de paso P3	0	0	0	Temp. 20C	0	0	0	Temp. 20C	0
E-10	Escalera y vestíbulo P3	0	0	0	Temp. 20C	0	0	0	Temp. 20C	0
E-2	Office 3.1 P3	25	0	2	Pdeporte	2300	0	0.45	Pdeporte	3
E-3	Office 3.2 P3	25	0	2	Pdeporte	1700	0	0.45	Pdeporte	3
E-4	Office 3.3 P3	25	0	2	Pdeporte	1700	0	0.45	Pdeporte	3
E-5	Office 3.4 P3	25	0	2	Pdeporte	2000	0	0.45	Pdeporte	3
E-6	Paso 3.3 P3	0	0	0	Temp. 20C	0	0	0	Temp. 20C	0
E-7	Sala técnica P3	20	0	2	Pdeporte	900	0	0.45	Pdeporte	3
E-8	Paso 3.4 P3	0	0	0	Temp. 20C	0	0	0	Temp. 20C	0
E-9	Almacén y Paso P3	0	0	0	Temp. 20C	0	0	0	Temp. 20C	0

E-1	Cuarto instalaciones PSCM	0	0	0	Temp. 20C	0	0	0	Temp. 20C	0
E-2	Cuarto instalaciones 2 PSCM	0	0	0	Temp. 20C	0	0	0	Temp. 20C	0
E-5	Escalera 3.8 PSMC	0	0	0	Temp. 20C	0	0	0	Temp. 20C	0
E-6	Escalera y vestíbulo PSMC	0	0	0	Temp. 20C	0	0	0	Temp. 20C	0
E-7	Paso PSMC	0	0	0	Temp. 20C	0	0	0	Temp. 20C	0

LEYENDA

Códigos Iluminación:

1. Lámparas incandescentes
2. Lámparas fluorescentes no ventiladas
3. Lámparas fluorescentes con ventilación superior
4. Lámparas fluorescentes con ventilación a través de la luminaria

Sistema de movimientos de aire (válido para pavimentos recubierto de moqueta; para pavimentos diferentes considerar el código siguiente del que sería seleccionado):

1. Sistema de radiadores o con movimiento de aire $\leq 1 \text{ Vol/h}$.
2. Sistema con movimiento de aire ≤ 5 volúmenes/hora.
3. Sistema con ventilconvector o con inducción o con movimiento de aire ≤ 8 volúmenes / hora.
4. Sistema con movimiento de aire > 8 volúmenes / hora.
5. Como el punto 4 pero con un revestimiento diferente a la moqueta.

2.0) Resumen de cerramientos intercambiantes (por espacio y por orientación)

Espacio	E-1		Parking-3	
	Tipo	Descripción	K [W/m ² °C] Klin [W/m ² °C]	Area [m ²] Long. [m]
	Orientación	Suelo exterior		
	Pared Principal	Suelo contra terreno	0.493	2258.14
	Orientación	Contra espacio E-1.1 - Parking-2		
	Pared Principal	Forjado interior FR35	0.438	2258.14
	Orientación	Oeste		
	Pared Principal	Cerramiento exterior E.4C	0.42	177.03
	Orientación	Sur		
	Pared Principal	Cerramiento exterior E.4C	0.42	124.41
	Orientación	Este		
	Pared Principal	Cerramiento exterior E.4C	0.42	159.9
	Orientación	NE		
	Pared Principal	Cerramiento exterior E.4C	0.42	27.18
	Orientación	Norte		
	Pared Principal	Cerramiento exterior E.4C	0.42	107.52
Espacio	E-1.1		Parking-2	
	Tipo	Descripción	K [W/m ² °C] Klin [W/m ² °C]	Area [m ²] Long. [m]
	Orientación	Contra espacio E-1 - Parking-3		
	Pared Principal	Forjado interior FR35	0.438	2258.24
	Orientación	Tejado exterior		
	Pared Principal	Forjado interior FR35	0.438	48.37
	Orientación	Contra espacio E-2 - Parking -1.2		
	Pared Principal	Forjado interior FR35	0.438	2209.87
	Orientación	Oeste		
	Pared Principal	Cerramiento exterior E.4C	0.42	161.31
	Orientación	Sur		
	Pared Principal	Cerramiento exterior E.4C	0.42	113.35
	Orientación	Este		
	Pared Principal	Cerramiento exterior E.4C	0.42	145.69
	Orientación	NE		
	Pared Principal	Cerramiento exterior E.4C	0.42	24.76
	Orientación	Norte		
	Pared Principal	Cerramiento exterior E.4C	0.42	97.96
Espacio	E-1.2		Parking-1.1	
	Tipo	Descripción	K [W/m ² °C] Klin [W/m ² °C]	Area [m ²] Long. [m]
	Orientación	Contra espacio E-4 - Vestuario 0.6 PB		
	Pared Principal	Forjado interior FR35	0.438	19.63
	Orientación	No		
	Pared	Cerramiento exterior E.4C	0.42	10.52

Principal			
Orientación	N-NE		
Pared Principal	Cerramiento exterior E.4C	0.42	75.13
Orientación	Este		
Pared Principal	Cerrameinto exterior E.1	0.207	135.18
Orientación	Norte		
Pared Principal	Cerrameinto exterior E.1	0.207	8.56
Orientación	NE		
Pared Principal	Cerrameinto exterior E.1	0.207	11.53
Orientación	Contra espacio E-2 - Parking -1.2		
Pared Principal	Cerramiento exterior E.5C	0.493	96.6
Orientación	Oeste		
Pared Principal	Cerramiento exterior E.4C	0.42	161.71
Orientación	Contra espacio E-12 - Escalera 0.3 PB		
Pared Principal	Forjado interior FR35	0.438	29.11
Orientación	Contra espacio E-3 - Office PB		
Pared Principal	Forjado interior FR35	0.438	16.15
Orientación	Suelo exterior		
Pared Principal	Suelo contra terreno	0.493	1371.4
Orientación	Contra espacio E-5 - Vestuarios 0.5 PB		
Pared Principal	Forjado interior FR35	0.438	18.79
Orientación	Contra espacio E-6 - Vestuario 0.4 PB		
Pared Principal	Forjado interior FR35	0.438	38.3
Orientación	Contra espacio E-7 - Vestuario 0.3 PB		
Pared Principal	Forjado interior FR35	0.438	38.06
Orientación	Contra espacio E-8 - Servicios 2 y 1 PB		
Pared Principal	Forjado interior FR35	0.438	76.11
Orientación	Contra espacio E-9 - Vestuarios 0.2 PB		
Pared Principal	Forjado interior FR35	0.438	38.06
Orientación	Contra espacio E-10 - Vestuario 0.1 PB		
Pared Principal	Forjado interior FR35	0.438	11.61
Orientación	Contra espacio E-13 - Monitor 0.3 PB		
Pared Principal	Forjado interior FR35	0.438	25.17
Orientación	Contra espacio E-14 - Vestibulo PB		
Pared Principal	Forjado interior FR35	0.438	99.08
Orientación	Contra espacio E-11 - Gimansio 0.1 PB		
Pared Principal	Forjado interior FR35	0.438	494.65
Espacio	E-2	Parking -1.2	
Tipo	Descripción	K [W/m²°C] Klin [W/m²°C]	Area [m²] Long. [m]
Orientación	Contra espacio E-16 - Monitor 0.1 PB		
Pared	Forjado interior FR35	0.438	0.49

Principal			
Orientación	Contra espacio E-1.2 - Parking-1.1		
Pared Principal	Cerramiento exterior E.5C	0.493	97.74
Orientación	NE		
Pared Principal	Cerramiento exterior E.1	0.207	25.11
Orientación	Este		
Pared Principal	Cerramiento exterior E.3A	0.256	17.09
Pared Principal	Cerramiento exterior E.1	0.207	146.04
Orientación	Sur		
Pared Principal	Cerramiento exterior E.3A	0.256	28.82
Pared Principal	Cerramiento exterior E.1	0.207	83.8
Pared Principal	Cerramiento ext. 30cm	0.372	0.72
Orientación	Oeste		
Pared Principal	Cerramiento exterior E.4C	0.42	147.96
Pared Principal	Cerramiento exterior E.3A	0.256	32.02
Orientación	Contra espacio E-1 - Polideportivo PB		
Pared Principal	Forjado interior FR35	0.438	1590.74
Orientación	Contra espacio E-1.1 - Parking-2		
Pared Principal	Forjado interior FR35	0.438	2206.55
Orientación	Contra espacio E-17 - Almacén 0.1 PB		
Pared Principal	Forjado interior FR35	0.438	0.52
Orientación	Contra espacio E-18 - Monitor 0.2 PB		
Pared Principal	Forjado interior FR35	0.438	41.79
Orientación	Contra espacio E-19 - Escalera 0.6 PB		
Pared Principal	Forjado interior FR35	0.438	14.46
Orientación	Contra espacio E-10 - Vestuario 0.1 PB		
Pared Principal	Forjado interior FR35	0.438	25.19
Orientación	Contra espacio E-14 - Vestíbulo PB		
Pared Principal	Forjado interior FR35	0.438	30.32
Orientación	Contra espacio E-15 - Escalera y vestíbulo 0.1 PB		
Pared Principal	Forjado interior FR35	0.438	68.52
Orientación	Tejado exterior		
Pared Principal	Forjado interior FR35	0.438	434.54
Espacio			
	Tipo	Descripción	K [W/m²°C] Klin [W/m²°C]
	Orientación		Area [m²] Long. [m]
	Pared Principal		0.438
Espacio	E-1	Polideportivo PB	
	Tipo	Descripción	K [W/m²°C] Klin [W/m²°C]
	Orientación		Area [m²] Long. [m]
		Sur	

Pared Principal	Cerrameinto exterior E.1	0.207	14.52
Pared Principal	Cerramiento exterior E.3A	0.256	49.51
Pared Principal	Cerramiento exterior E.2A	0.397	147
Pared Principal	Cerramiento ext. 30cm	0.372	79.39
Ventana	V09	3.389	1.54
Orientación	Contra espacio E-11 - Escaleras, pasos y vestíbulos P2		
Pared Principal	Cerramiento ext. 30cm	0.372	40.7
Orientación	Contra espacio E-12 - Vestíbulo P1		
Pared Principal	Cerrameinto E.2B	0.428	33.08
Orientación	Contra espacio E-10 - Vestíbulo y escaleras P1		
Pared Principal	Divisor 14,5cm	0.987	75.96
Orientación	Contra espacio E-8 - Escalera 1.6 P1		
Pared Principal	Divisor 14,5cm	0.987	16.52
Orientación	Contra espacio E-19 - Escalera 0.6 PB		
Pared Principal	Cerramiento interior I7	1.069	9.8
Orientación	Contra espacio E-17 - Almacén 0.1 PB		
Pared Principal	Cerramiento interior I.6A	1.053	9.38
Orientación	Suelo exterior		
Pared Principal	Forjado interior FR35	0.438	0.07
Orientación	Este		
Pared Principal	Cerramiento exterior E.3A	0.256	3.78
Pared Principal	Cerrameinto exterior E.1	0.207	15.25
Pared Principal	Cerramiento ext. 30cm	0.372	334.43
Pared Principal	Divisor 14,5cm	0.987	0.93
Pared Principal	Cerramiento exterior E.2A	0.397	129
Ventana	V25	3.235	17.48
Ventana	V25	3.235	17.49
Ventana	V25	3.235	17.49
Ventana	V25	3.235	17.5
Ventana	V25	3.235	17.51
Orientación	Norte		
Pared Principal	Cerramiento exterior E.3A	0.256	64.65
Pared Principal	Cerramiento exterior E.2A	0.397	92.64
Pared Principal	Divisor 14,5cm	0.987	0.77
Pared Principal	Cerramiento ext. 30cm	0.372	0.65
Orientación	Contra espacio E-15 - Escalera y vestíbulo 0.1 PB		
Pared Principal	Cerramiento exterior E.2A	0.397	45.06
Orientación	Contra espacio E-14 - Vestíbulo PB		
Pared	Cerramiento exterior E.2A	0.397	20.04

	Principal			
	Orientación	Oeste		
	Pared Principal	Cerrameinto exterior E.1	0.207	266.67
	Pared Principal	Cerramiento ext. 30cm	0.372	153.53
	Ventana	V395	3.203	24.85
	Ventana	V35	3.21	25.42
	Ventana	V35	3.21	25.24
	Ventana	V35	3.21	24.49
	Ventana	V35	3.21	22.51
	Ventana	V35	3.21	22.88
	Ventana	V35	3.21	25.38
	Orientación	Tejado exterior		
	Pared Principal	Cubierta Polideportivo	0.401	1556.75
	Orientación	Contra espacio E-2 - Parking -1.2		
	Pared Principal	Forjado interior FR35	0.438	1551.96
Espacio	E-10	Vestuario 0.1 PB		
	Tipo	Descripción	K [W/m²°C] Klin [W/m²°C]	Area [m²] Long. [m]
	Orientación	Contra espacio E-1.2 - Parking-1.1		
	Pared Principal	Forjado interior FR35	0.438	11.73
	Orientación	Contra espacio E-2 - Parking -1.2		
	Pared Principal	Forjado interior FR35	0.438	24.84
	Orientación	Tejado exterior		
	Pared Principal	Cubierta No Transible	0.425	31.65
	Orientación	Contra espacio E-12 - Vestibulo P1		
	Pared Principal	Cubierta No Transible	0.425	2.06
	Orientación	Oeste		
	Pared Principal	Cerramiento exterior E.4C	0.42	27.39
	Orientación	Contra espacio E-14 - Vestibulo PB		
	Pared Principal	Cerramiento interiores I.1	0.911	27.39
Espacio	E-11	Gimansio 0.1 PB		
	Tipo	Descripción	K [W/m²°C] Klin [W/m²°C]	Area [m²] Long. [m]
	Orientación	Este		
	Ventana	V35	3.21	25.31
	Ventana	V35	3.21	21.95
	Ventana	V35	3.21	25.31
	Ventana	V35	3.21	25.32
	Pared Principal	Cerramiento ext. 30cm	0.372	82.51
	Pared Principal	Cerrameinto exterior E.1	0.207	34.07
	Ventana	V35	3.21	14
	Ventana	V35	3.21	14
	Ventana	V35	3.21	14
	Ventana	V35	3.21	21.55
	Pared Principal	Divisor 14,5cm	0.987	47.18
	Orientación	Contra espacio E-12 - Vestibulo P1		
	Pared	Cerramiento interior I.2	1.028	22.43

Principal			
Orientación	No		
Pared Principal	Cerrameinto exterior E.4A	0.42	19.85
Orientación	Oeste		
Pared Principal	Cerramiento exterior E.4D	0.35	200.12
Pared Principal	Cerrameinto exterior E.1	0.207	1.01
Pared Principal	Cerramiento ext. 30cm	0.372	34.63
Ventana	V11	3.345	7.94
Orientación	Contra espacio E-14 - Vestibulo PB		
Pared Principal	Cerramiento interior I.6A	1.053	20.38
Orientación	Contra espacio E-12 - Escalera 0.3 PB		
Pared Principal	Cerrameinto exterior E.1	0.207	25.6
Orientación	Contra espacio E-1.2 - Parking-1.1		
Pared Principal	Forjado interior FR35	0.438	467.99
Orientación	N-NE		
Pared Principal	Cerramiento exterior E.4B	0.42	41.18
Pared Principal	Cerrameinto exterior E.4A	0.42	91.65
Orientación	Contra espacio E-10 - Parking PS-1		
Pared Principal	Forjado interior FR35	0.438	35.22
Orientación	Contra espacio E-1 - Servicios, Office y Vestibulo 3 P2		
Pared Principal	Forjado interior FR35	0.438	61.28
Orientación	Tejado exterior		
Pared Principal	Forjado interior FR35	0.438	55.11
Orientación	Contra espacio E-3 - Office PB		
Pared Principal	Forjado interior FR35	0.438	16.15
Pared Principal	Cerramiento interiores I.1	0.911	11.43
Orientación	Contra espacio E-8 - Servicios 2 y 1 PB		
Pared Principal	Forjado interior FR35	0.438	75.38
Pared Principal	Cerramiento interiores I.1	0.911	54.53
Espacio	E-12	Escalera 0.3 PB	
	Tipo	Descripción	K [W/m²°C] Klin [W/m²°C]
	Orientación	Contra espacio E-1.2 - Parking-1.1	
	Pared Principal	Forjado interior FR35	21.37
	Orientación	Contra espacio E-14 - Oficina	
	Pared Principal	Forjado interior FR35	9.82
	Orientación	Contra espacio E-13 - Oficina	
	Pared Principal	Forjado interior FR35	11.55
	Orientación	Contra espacio E-11 - Gimansio 0.1 PB	
	Pared Principal	Cerrameinto exterior E.1	25.21

	Orientación	Sur		
	Pared Principal	Cerramiento exterior E.5B	0.565	11.23
	Orientación	Este		
	Pared Principal	Cerramiento exterior E.5B	0.565	21.42
	Orientación	N-NE		
	Pared Principal	Cerramiento exterior E.4B	0.42	11.85
Espacio	E-13	Monitor 0.3 PB		
	Tipo	Descripción	K [W/m²°C] Klin [W/m²°C]	Area [m²] Long. [m]
	Orientación	Contra espacio E-1.2 - Parking-1.1		
	Pared Principal	Forjado interior FR35	0.438	22.64
	Orientación	Contra espacio E-14 - Vestibulo PB		
	Pared Principal	Divisor 14,5cm	0.987	48.23
Espacio	E-14	Vestibulo PB		
	Tipo	Descripción	K [W/m²°C] Klin [W/m²°C]	Area [m²] Long. [m]
	Orientación	Contra espacio E-1 - Polideportivo PB		
	Pared Principal	Cerramiento exterior E.2A	0.397	18.92
	Orientación	Contra espacio E-13 - Monitor 0.3 PB		
	Pared Principal	Divisor 14,5cm	0.987	51.8
	Orientación	Contra espacio E-11 - Gimansio 0.1 PB		
	Pared Principal	Cerramiento interior I.6A	1.053	19.54
	Orientación	Este		
	Pared Principal	Cerrameinto exterior E.1	0.207	4.25
	Ventana	V35	3.21	8
	Ventana	V35	3.21	25.31
	Orientación	Contra espacio E-15 - Escalera y vestibulo 0.1 PB		
	Pared Principal	Cerramiento interior I7	1.069	17.6
	Pared Principal	Cerramiento exterior E.5C	0.493	21.23
	Orientación	Contra espacio E-1.2 - Parking-1.1		
	Pared Principal	Forjado interior FR35	0.438	92.84
	Orientación	Contra espacio E-10 - Vestuario 0.1 PB		
	Pared Principal	Cerramiento interiores I.1	0.911	27.21
	Orientación	Contra espacio E-9 - Vestuarios 0.2 PB		
	Pared Principal	Cerramiento interiores I.1	0.911	27.06
	Orientación	Contra espacio E-12 - Vestibulo P1		
	Pared Principal	Forjado interior FR35	0.438	112.65
	Orientación	Contra espacio E-4 - Recepcion 1.1 P1		
	Pared Principal	Forjado interior FR35	0.438	8.48
	Orientación	Contra espacio E-2 - Parking -1.2		
	Pared Principal	Forjado interior FR35	0.438	28.29
Espacio	E-15	Escalera y vestibulo 0.1 PB		
	Tipo	Descripción	K [W/m²°C] Klin [W/m²°C]	Area [m²] Long. [m]

	Orientación	Contra espacio E-2 - Parking -1.2		
	Pared Principal	Forjado interior FR35	0.438	58.9
	Orientación	Contra espacio E-10 - Vestibulo y escaleras P1		
	Pared Principal	Forjado interior FR35	0.438	58.9
	Orientación	Contra espacio E-14 - Vestibulo PB		
	Pared Principal	Cerramiento interior I7	1.069	15.82
	Pared Principal	Cerramiento exterior E.5C	0.493	20.21
	Orientación	Contra espacio E-1 - Polideportivo PB		
	Pared Principal	Cerramiento exterior E.2A	0.397	44.56
	Orientación	Este		
	Pared Principal	Cerramiento exterior E.5C	0.493	13.53
	Orientación	NE		
	Pared Principal	Cerramiento exterior E.5C	0.493	0.35
	Pared Principal	Cerramiento ext. 30cm	0.372	1.78
	Ventana	V2	3.257	2.37
	Orientación	Norte		
	Pared Principal	Cerramiento exterior E.5C	0.493	21.17
Espacio	E-16	Monitor 0.1 PB		
	Tipo	Descripción	K [W/m²°C] Klin [W/m²°C]	Area [m²] Long. [m]
	Orientación	Suelo exterior		
	Pared Principal	Forjado interior FR35	0.438	27.75
	Orientación	Contra espacio E-2 - Parking -1.2		
	Pared Principal	Forjado interior FR35	0.438	0.31
	Orientación	Tejado exterior		
	Pared Principal	Cubierta No Transible	0.425	27.88
	Orientación	Contra espacio E-17 - Almacen 0.1 PB		
	Pared Principal	Cerramiento interior I.6A	1.053	19.07
	Orientación	Este		
	Pared Principal	Cerramiento exterior E.3A	0.256	11.71
	Pared Principal	Cerramiento ext. 30cm	0.372	6.83
	Orientación	Sur		
	Pared Principal	Cerramiento ext. 30cm	0.372	15.15
	Ventana	V09	3.389	2.5
Espacio	E-17	Almacen 0.1 PB		
	Tipo	Descripción	K [W/m²°C] Klin [W/m²°C]	Area [m²] Long. [m]
	Orientación	Suelo exterior		
	Pared Principal	Forjado interior FR35	0.438	11.22
	Orientación	Contra espacio E-2 - Parking -1.2		
	Pared Principal	Forjado interior FR35	0.438	1.96
	Orientación	Tejado exterior		
	Pared	Cubierta No Transible	0.425	13.18

	Principal			
	Orientación	Contra espacio E-18 - Monitor 0.2 PB		
	Pared Principal	Cerramiento interior I.6A	1.053	18.75
	Orientación	Contra espacio E-1 - Polideportivo PB		
	Pared Principal	Cerramiento interior I.6A	1.053	8.54
	Orientación	Contra espacio E-16 - Monitor 0.1 PB		
	Pared Principal	Cerramiento interior I.6A	1.053	19.04
	Orientación	Sur		
	Pared Principal	Cerramiento exterior E.3A	0.256	1.63
	Pared Principal	Cerramiento ext. 30cm	0.372	5.93
Espacio	E-18	Monitor 0.2 PB		
	Tipo	Descripción	K [W/m²°C] Klin [W/m²°C]	Area [m²] Long. [m]
	Orientación	Contra espacio E-2 - Parking -1.2		
	Pared Principal	Forjado interior FR35	0.438	40.17
	Orientación	Tejado exterior		
	Pared Principal	Cubierta No Transible	0.425	38.26
	Orientación	Contra espacio E-8 - Escalera 1.6 P1		
	Pared Principal	Cubierta No Transible	0.425	1.34
	Orientación	Contra espacio E-19 - Escalera 0.6 PB		
	Pared Principal	Cerramiento interior I.6A	1.053	17.82
	Orientación	Sur		
	Pared Principal	Cerramiento exterior E.3A	0.256	1.66
	Pared Principal	Cerramiento ext. 30cm	0.372	21.45
	Orientación	Contra espacio E-17 - Almacen 0.1 PB		
	Pared Principal	Cerramiento interior I.6A	1.053	18.72
Espacio	E-19	Escalera 0.6 PB		
	Tipo	Descripción	K [W/m²°C] Klin [W/m²°C]	Area [m²] Long. [m]
	Orientación	Contra espacio E-2 - Parking -1.2		
	Pared Principal	Forjado interior FR35	0.438	13.44
	Orientación	Contra espacio E-8 - Escalera 1.6 P1		
	Pared Principal	Forjado interior FR35	0.438	13.44
	Orientación	Oeste		
	Pared Principal	Cerramiento exterior E.3A	0.256	3.33
	Pared Principal	Cerramiento ext. 30cm	0.372	12.49
	Orientación	Sur		
	Pared Principal	Cerramiento exterior E.3A	0.256	9.39
	Orientación	Contra espacio E-18 - Monitor 0.2 PB		
	Pared Principal	Cerramiento interior I.6A	1.053	17.71
	Orientación	Contra espacio E-1 - Polideportivo PB		
	Pared Principal	Cerramiento interior I7	1.069	9.38

Espacio	E-3		Office PB	
	Tipo	Descripción	K [W/m ² °C] Klin [W/m ² °C]	Area [m ²] Long. [m]
	Orientación	Contra espacio E-1.2 - Parking-1.1		
	Pared Principal	Forjado interior FR35	0.438	14.91
	Orientación	Contra espacio E-11 - Gimnasio 0.1 PB		
	Pared Principal	Forjado interior FR35	0.438	14.91
	Pared Principal	Cerramiento interiores I.1	0.911	11.35
	Orientación	Oeste		
	Pared Principal	Cerramiento exterior E.4C	0.42	6.78
	Orientación	No		
	Pared Principal	Cerramiento exterior E.4C	0.42	11.77
	Orientación	N-NE		
	Pared Principal	Cerramiento exterior E.4C	0.42	7.17
	Orientación	Contra espacio E-4 - Vestuario 0.6 PB		
	Pared Principal	Cerramiento interior I.5	0.978	16.36
Espacio	E-4		Vestuario 0.6 PB	
	Tipo	Descripción	K [W/m ² °C] Klin [W/m ² °C]	Area [m ²] Long. [m]
	Orientación	Contra espacio E-1.2 - Parking-1.1		
	Pared Principal	Forjado interior FR35	0.438	17.62
	Orientación	Oeste		
	Pared Principal	Cerramiento exterior E.4C	0.42	13.2
	Orientación	Contra espacio E-3 - Office PB		
	Pared Principal	Cerramiento interior I.5	0.978	16.36
Espacio	E-5		Vestuarios 0.5 PB	
	Tipo	Descripción	K [W/m ² °C] Klin [W/m ² °C]	Area [m ²] Long. [m]
	Orientación	Contra espacio E-1.2 - Parking-1.1		
	Pared Principal	Forjado interior FR35	0.438	16.8
	Orientación	Oeste		
	Pared Principal	Cerramiento exterior E.4C	0.42	12.58
Espacio	E-6		Vestuario 0.4 PB	
	Tipo	Descripción	K [W/m ² °C] Klin [W/m ² °C]	Area [m ²] Long. [m]
	Orientación	Contra espacio E-1.2 - Parking-1.1		
	Pared Principal	Forjado interior FR35	0.438	35.61
	Orientación	Oeste		
	Pared Principal	Cerramiento exterior E.4C	0.42	26.67
Espacio	E-7		Vestuario 0.3 PB	
	Tipo	Descripción	K [W/m ² °C] Klin [W/m ² °C]	Area [m ²] Long. [m]
	Orientación	Contra espacio E-1.2 - Parking-1.1		
	Pared Principal	Forjado interior FR35	0.438	35.37
	Orientación	Oeste		
	Pared Principal	Cerramiento exterior E.4C	0.42	26.5

	Orientación	Contra espacio E-8 - Servicios 2 y 1 PB		
	Pared Principal	Cerramiento interior I.5	0.978	16.36
Espacio	E-8	Servicios 2 y 1 PB		
	Tipo	Descripción	K [W/m²°C] Klin [W/m²°C]	Area [m²] Long. [m]
	Orientación	Contra espacio E-1.2 - Parking-1.1		
	Pared Principal	Forjado interior FR35	0.438	72.06
	Orientación	Contra espacio E-11 - Gimnasio 0.1 PB		
	Pared Principal	Forjado interior FR35	0.438	72.06
	Pared Principal	Cerramiento interiores I.1	0.911	53.97
	Orientación	Oeste		
	Pared Principal	Cerramiento exterior E.4C	0.42	53.97
	Orientación	Contra espacio E-7 - Vestuario 0.3 PB		
	Pared Principal	Cerramiento interior I.5	0.978	16.36
	Orientación	Contra espacio E-9 - Vestuarios 0.2 PB		
	Pared Principal	Cerramiento interior I.5	0.978	16.36
Espacio	E-9	Vestuarios 0.2 PB		
	Tipo	Descripción	K [W/m²°C] Klin [W/m²°C]	Area [m²] Long. [m]
	Orientación	Contra espacio E-1.2 - Parking-1.1		
	Pared Principal	Forjado interior FR35	0.438	35.37
	Orientación	Oeste		
	Pared Principal	Cerramiento exterior E.4C	0.42	26.5
	Orientación	Contra espacio E-8 - Servicios 2 y 1 PB		
	Pared Principal	Cerramiento interior I.5	0.978	16.36
	Orientación	Contra espacio E-14 - Vestibulo PB		
	Pared Principal	Cerramiento interiores I.1	0.911	26.5
Espacio	E-10	Vestibulo y escaleras P1		
	Tipo	Descripción	K [W/m²°C] Klin [W/m²°C]	Area [m²] Long. [m]
	Orientación	Contra espacio E-15 - Escalera y vestibulo 0.1 PB		
	Pared Principal	Forjado interior FR35	0.438	61.51
	Orientación	Contra espacio E-11 - Escaleras, pasos y vestibulos P2		
	Pared Principal	Forjado interior FR35	0.438	61.51
	Orientación	Contra espacio E-12 - Vestibulo P1		
	Pared Principal	Cerramiento interior I7	1.069	27.88
	Pared Principal	Cerramiento exterior E.5C	0.493	34.07
	Orientación	Contra espacio E-1 - Polideportivo PB		
	Pared Principal	Divisor 14,5cm	0.987	75.11
	Orientación	Este		
	Pared Principal	Cerramiento exterior E.5C	0.493	24.03
	Orientación	NE		
	Pared Principal	Cerramiento exterior E.5C	0.493	0.96

	Pared Principal	Cerramiento ext. 30cm	0.372	4.38
	Ventana	V2	3.257	2.24
	Orientación	Norte		
	Pared Principal	Cerramiento exterior E.5C	0.493	35.68
Espacio	E-12	Vestibulo P1		
	Tipo	Descripción	K [W/m²°C] Klin [W/m²°C]	Area [m²] Long. [m]
	Orientación	Contra espacio E-11 - Gimansio 0.1 PB		
	Pared Principal	Cerramiento interior I.2	1.028	21.01
	Orientación	Contra espacio E-1 - Polideportivo PB		
	Pared Principal	Cerrameinto E.2B	0.428	32.93
	Orientación	Contra espacio E-10 - Vestibulo y escaleras P1		
	Pared Principal	Cerramiento exterior E.5C	0.493	35.78
	Pared Principal	Cerramiento interior I7	1.069	30.03
	Orientación	Este		
	Pared Principal	Cerrameinto exterior E.1	0.207	6.93
	Ventana	V35	3.21	25.33
	Pared Principal	Cerramiento ext. 30cm	0.372	22.86
	Ventana	V35	3.21	8.01
	Orientación	Contra espacio E-4 - Recepcion 1.1 P1		
	Pared Principal	Cerramiento interior I.6A	1.053	99.21
	Orientación	Contra espacio E-14 - Vestibulo PB		
	Pared Principal	Forjado interior FR35	0.438	113.86
	Orientación	Contra espacio E-2 - Monitor 1.1 P1		
	Pared Principal	Divisor 14,5cm	0.987	20.56
	Orientación	Contra espacio E-3 - Monitor 1.2 P1		
	Pared Principal	Divisor 14,5cm	0.987	26.34
	Orientación	Oeste		
	Pared Principal	Cerramiento exterior E.3A	0.256	7.77
	Pared Principal	Cerramiento ext. 30cm	0.372	12.22
	Orientación	Contra espacio E-12 - ESCENARIO		
	Pared Principal	Forjado interior FR35	0.438	56.45
	Orientación	Contra espacio E-11 - Escaleras, pasos y vestibulos P2		
	Pared Principal	Forjado interior FR35	0.438	57.41
Espacio	E-13	Oficina		
	Tipo	Descripción	K [W/m²°C] Klin [W/m²°C]	Area [m²] Long. [m]
	Orientación	Contra espacio E-12 - Escalera 0.3 PB		
	Pared Principal	Forjado interior FR35	0.438	12.5
	Orientación	Tejado exterior		
	Pared Principal	Cubierta No Transible	0.425	10.8
	Orientación	Contra espacio E-10 - Parking PS-1		
	Pared	Cubierta No Transible	0.425	1.69

	Principal			
	Orientación	Oeste		
	Pared Principal	Cerrameinto exterior E.1	0.207	24.39
	Orientación	Contra espacio E-14 - Oficina		
	Pared Principal	Divisor 14,5cm	0.987	20.84
	Orientación	Este		
	Pared Principal	Cerrameinto exterior E.1	0.207	17.35
	Orientación	N-NE		
	Pared Principal	Cerramiento exterior E.4B	0.42	22
Espacio	E-14	Oficina		
	Tipo	Descripción	K [W/m²°C] Klin [W/m²°C]	Area [m²] Long. [m]
	Orientación	Contra espacio E-12 - Escalera 0.3 PB		
	Pared Principal	Forjado interior FR35	0.438	10.39
	Orientación	Tejado exterior		
	Pared Principal	Cubierta No Transible	0.425	9.24
	Orientación	Contra espacio E-10 - Parking PS-1		
	Pared Principal	Cubierta No Transible	0.425	1.15
	Orientación	Oeste		
	Pared Principal	Cerrameinto exterior E.1	0.207	17.35
	Orientación	Sur		
	Pared Principal	Cerrameinto exterior E.1	0.207	20.84
	Orientación	Este		
	Pared Principal	Cerrameinto exterior E.1	0.207	17.35
	Orientación	Contra espacio E-13 - Oficina		
	Pared Principal	Divisor 14,5cm	0.987	20.84
Espacio	E-2	Monitor 1.1 P1		
	Tipo	Descripción	K [W/m²°C] Klin [W/m²°C]	Area [m²] Long. [m]
	Orientación	Oeste		
	Pared Principal	Cerrameinto exterior E.1	0.207	15.59
	Pared Principal	Cerramiento ext. 30cm	0.372	1.46
	Orientación	Contra espacio E-12 - Vestibulo P1		
	Pared Principal	Divisor 14,5cm	0.987	19.85
Espacio	E-3	Monitor 1.2 P1		
	Tipo	Descripción	K [W/m²°C] Klin [W/m²°C]	Area [m²] Long. [m]
	Orientación	Oeste		
	Pared Principal	Cerrameinto exterior E.1	0.207	20.18
	Pared Principal	Cerramiento ext. 30cm	0.372	1.7
	Orientación	Sur		
	Pared Principal	Cerramiento exterior E.5C	0.493	27.9
	Orientación	Contra espacio E-12 - Vestibulo P1		
	Pared	Divisor 14,5cm	0.987	25.64

	Principal			
Espacio	E-4	Recepcion 1.1 P1		
	Tipo	Descripción	K [W/m²°C] Klin [W/m²°C]	Area [m²] Long. [m]
	Orientación	Contra espacio E-14 - Vestibulo PB		
	Pared Principal	Forjado interior FR35	0.438	8.19
	Orientación	Contra espacio E-12 - Vestibulo P1		
	Pared Principal	Cerramiento interior I.6A	1.053	93.54
Espacio	E-8	Escalera 1.6 P1		
	Tipo	Descripción	K [W/m²°C] Klin [W/m²°C]	Area [m²] Long. [m]
	Orientación	Contra espacio E-19 - Escalera 0.6 PB		
	Pared Principal	Forjado interior FR35	0.438	14.11
	Orientación	Tejado exterior		
	Pared Principal	Cubierta No Transible	0.425	14.11
	Orientación	Oeste		
	Pared Principal	Cerramiento exterior E.3A	0.256	29.46
	Orientación	Sur		
	Pared Principal	Cerramiento exterior E.3A	0.256	16.53
	Orientación	Este		
	Pared Principal	Cerramiento exterior E.3A	0.256	30.02
	Orientación	Contra espacio E-1 - Polideportivo PB		
	Pared Principal	Divisor 14,5cm	0.987	16.52
Espacio	E-1	Servicios, Office y Vestibulo 3 P2		
	Tipo	Descripción	K [W/m²°C] Klin [W/m²°C]	Area [m²] Long. [m]
	Orientación	Contra espacio E-11 - Gimansio 0.1 PB		
	Pared Principal	Forjado interior FR35	0.438	58.2
	Orientación	Contra espacio E-2 - Office 3.1 P3		
	Pared Principal	Forjado interior FR35	0.438	58.23
	Orientación	Oeste		
	Pared Principal	Cerramiento exterior E.3A	0.256	33.95
	Pared Principal	Cerramiento ext. 30cm	0.372	2.48
	Orientación	Contra espacio E-6 - Vestibulo 2.2 P2		
	Pared Principal	Cerramiento interior I.6C	1.053	17.64
	Pared Principal	Cerramiento interior I.6A	1.053	10.76
	Orientación	Este		
	Pared Principal	Cerramiento exterior E.3A	0.256	24.38
	Pared Principal	Cerramiento ext. 30cm	0.372	1.97
	Orientación	Norte		
	Pared Principal	Cerramiento exterior E.3A	0.256	13.46
	Pared Principal	Cerramiento ext. 30cm	0.372	1.97
Espacio	E-10	Parking PS-1		

	Tipo	Descripción	K [W/m²°C] Klin [W/m²°C]	Area [m²] Long. [m]
	Orientación	Contra espacio E-11 - Gimnasio 0.1 PB		
	Pared Principal	Forjado interior FR35	0.438	31.09
	Orientación	Contra espacio E-14 - Oficina		
	Pared Principal	Forjado interior FR35	0.438	2.41
	Orientación	Contra espacio E-13 - Oficina		
	Pared Principal	Forjado interior FR35	0.438	2.77
	Orientación	Contra espacio E-5 - Office 3.4 P3		
	Pared Principal	Forjado interior FR35	0.438	1.53
	Orientación	Contra espacio E-1 - Vestibulo y zona de paso P3		
	Pared Principal	Forjado interior FR35	0.438	29.56
	Orientación	Contra espacio E-6 - Vestibulo 2.2 P2		
	Pared Principal	Cerramiento interior I.6A	1.053	25.9
	Orientación	Este		
	Pared Principal	Cerramiento exterior E.3A	0.256	23.47
	Orientación	Norte		
	Pared Principal	Cerramiento exterior E.3A	0.256	13.72
	Orientación	Oeste		
	Pared Principal	Cerramiento exterior E.3A	0.256	10.89
Espacio	E-11	Escaleras, pasos y vestibulos P2		
	Tipo	Descripción	K [W/m²°C] Klin [W/m²°C]	Area [m²] Long. [m]
	Orientación	Sur		
	Pared Principal	Cerramiento ext. 30cm	0.372	21.37
	Orientación	Contra espacio E-12 - ESCENARIO		
	Pared Principal	Cerramiento ext. 30cm	0.372	39.25
	Orientación	Norte		
	Pared Principal	Cerramiento exterior E.5C	0.493	11.89
	Pared Principal	Cerramiento exterior E.3A	0.256	9.27
	Orientación	NE		
	Pared Principal	Cerramiento exterior E.5C	0.493	0.95
	Pared Principal	Cerramiento ext. 30cm	0.372	1.52
	Ventana	V2	3.257	2.02
	Orientación	Este		
	Pared Principal	Cerramiento exterior E.5C	0.493	13.85
	Pared Principal	Cerramiento exterior E.3A	0.256	9.63
	Orientación	Contra espacio E-1 - Polideportivo PB		
	Pared Principal	Cerramiento ext. 30cm	0.372	40.7
	Orientación	Suelo exterior		
	Pared Principal	Forjado interior FR35	0.438	4.88
	Orientación	Oeste		

	Pared Principal	Cerramiento exterior E.1	0.207	25.83
	Orientación	Contra espacio E-10 - Escalera y vestibulo P3		
	Pared Principal	Forjado interior FR35	0.438	62.22
	Orientación	Contra espacio E-9 - ALmacen y Paso P3		
	Pared Principal	Forjado interior FR35	0.438	61.25
	Orientación	Contra espacio E-12 - Vestibulo P1		
	Pared Principal	Forjado interior FR35	0.438	55.14
	Orientación	Contra espacio E-10 - Vestibulo y escaleras P1		
	Pared Principal	Forjado interior FR35	0.438	63.46
Espacio	E-12	ESCENARIO		
	Tipo	Descripción	K [W/m²°C] Klin [W/m²°C]	Area [m²] Long. [m]
	Orientación	Suelo exterior		
	Pared Principal	Forjado interior FR35	0.438	16.92
	Orientación	Contra espacio E-12 - Vestibulo P1		
	Pared Principal	Forjado interior FR35	0.438	56.72
	Orientación	Tejado exterior		
	Pared Principal	Cubierta No Transible	0.425	263.24
	Orientación	Oeste		
	Pared Principal	Cerramiento exterior E.3A	0.256	96.37
	Orientación	Este		
	Pared Principal	Cerramiento exterior E.3A	0.256	94.19
	Orientación	Contra espacio E-11 - Escaleras, pasos y vestibulos P2		
	Pared Principal	Cerramiento ext. 30cm	0.372	39.25
	Orientación	Sur		
	Pared Principal	Cerramiento exterior E.3A	0.256	84.96
	Pared Principal	Cerramiento ext. 30cm	0.372	0.48
	Orientación	Contra espacio E-9 - ALmacen y Paso P3		
	Pared Principal	Cerramiento interior I.6A	1.053	39.25
	Pared Principal	Cerramiento exterior E.3A	0.256	0.13
	Orientación	Contra espacio E-7 - Paso PSMC		
	Pared Principal	Cerramiento exterior E.3A	0.256	23.76
Espacio	E-4	Salon de Actos P2		
	Tipo	Descripción	K [W/m²°C] Klin [W/m²°C]	Area [m²] Long. [m]
	Orientación	Tejado exterior		
	Pared Principal	Cubierta No Transible	0.425	615.21
	Orientación	Oeste		
	Pared Principal	Cerramiento exterior E.3A	0.256	192.37
	Pared Principal	Cerramiento interior I7	1.069	0.65
	Orientación	Norte		
	Pared	Cerramiento interior I7	1.069	59.87

	Principal			
	Pared Principal	Cerramiento exterior E.3A	0.256	58.88
	Orientación	Este		
	Pared Principal	Cerramiento exterior E.3A	0.256	218.61
	Orientación	Contra espacio E-8 - Paso 3.4 P3		
	Pared Principal	Cerramiento exterior E.3A	0.256	20.26
	Orientación	Contra espacio E-5 - Escalera 3.8 PSMC		
	Pared Principal	Cerramiento interior I7	1.069	17.62
Espacio	E-6	Vestibulo 2.2 P2		
	Tipo	Descripción	K [W/m²°C] Klin [W/m²°C]	Area [m²] Long. [m]
	Orientación	Oeste		
	Pared Principal	Cerramiento exterior E.1	0.207	19.94
	Ventana	V3	3.22	18.51
	Orientación	Contra espacio E-1 - Servicios, Office y Vestibulo 3 P2		
	Pared Principal	Cerramiento interior I.6C	1.053	18.48
	Pared Principal	Cerramiento interior I.6A	1.053	11.64
	Orientación	Norte		
	Pared Principal	Cerramiento exterior E.3A	0.256	25.11
	Orientación	Contra espacio E-10 - Parking PS-1		
	Pared Principal	Cerramiento interior I.6A	1.053	27.58
	Orientación	Este		
	Pared Principal	Cerramiento exterior E.3A	0.256	20.24
	Pared Principal	Cerramiento ext. 30cm	0.372	3.3
	Orientación	Sur		
	Pared Principal	Cerramiento interior I7	1.069	57.73
Espacio	E-1	Vestibulo y zona de paso P3		
	Tipo	Descripción	K [W/m²°C] Klin [W/m²°C]	Area [m²] Long. [m]
	Orientación	Este		
	Pared Principal	Cerramiento exterior E.3A	0.256	26.32
	Orientación	Contra espacio E-3 - Office 3.2 P3		
	Pared Principal	Cerramiento interior I.6A	1.053	25.31
	Orientación	Contra espacio E-4 - Office 3.3 P3		
	Pared Principal	Cerramiento interior I.6A	1.053	20.85
	Orientación	Sur		
	Pared Principal	Cerramiento interior I7	1.069	15.73
	Orientación	Contra espacio E-6 - Paso 3.3 P3		
	Pared Principal	Cerramiento interior I.6A	1.053	12.1
	Orientación	Contra espacio E-5 - Office 3.4 P3		
	Pared Principal	Cerramiento interior I.6A	1.053	47.3
	Orientación	Suelo exterior		
	Pared	Forjado interior FR35	0.438	67.65

	Principal			
	Orientación	Oeste		
	Pared Principal	Cerramiento exterior E.3A	0.256	15.55
	Orientación	Norte		
	Pared Principal	Cerramiento exterior E.3A	0.256	15.17
	Ventana	V395	3.203	24.5
	Orientación	Contra espacio E-2 - Office 3.1 P3		
	Pared Principal	Cerramiento interior I.6A	1.053	10.78
	Orientación	Contra espacio E-2 - Cuarto instalaciones 2 PSCM		
	Pared Principal	Cubierta exterior c-35	0.445	0.83
	Orientación	Tejado exterior		
	Pared Principal	Cubierta exterior c-35	0.445	96.3
	Orientación	Contra espacio E-10 - Parking PS-1		
	Pared Principal	Forjado interior FR35	0.438	29.48
Espacio	E-10	Escalea y vestibulo P3		
	Tipo	Descripción	K [W/m²°C] Klin [W/m²°C]	Area [m²] Long. [m]
	Orientación	Contra espacio E-11 - Escaleras, pasos y vestíbulos P2		
	Pared Principal	Forjado interior FR35	0.438	61.83
	Orientación	Contra espacio E-6 - Escalera y vestibulo PSMC		
	Pared Principal	Cubierta exterior c-35	0.445	61.83
	Orientación	Contra espacio E-9 - ALmacen y Paso P3		
	Pared Principal	Cerramiento exterior E.5C	0.493	46.06
	Orientación	Sur		
	Pared Principal	Cerramiento exterior E.5C	0.493	44.17
	Orientación	Este		
	Pared Principal	Cerramiento exterior E.5C	0.493	14.67
	Orientación	NE		
	Pared Principal	Cerramiento exterior E.5C	0.493	4.49
	Orientación	Norte		
	Pared Principal	Cerramiento exterior E.5C	0.493	11.89
Espacio	E-2	Office 3.1 P3		
	Tipo	Descripción	K [W/m²°C] Klin [W/m²°C]	Area [m²] Long. [m]
	Orientación	Contra espacio E-1 - Servicios, Office y Vestibulo 3 P2		
	Pared Principal	Forjado interior FR35	0.438	59.98
	Orientación	Contra espacio E-2 - Cuarto instalaciones 2 PSCM		
	Pared Principal	Cubierta exterior c-35	0.445	16.64
	Orientación	Contra espacio E-1 - Cuarto instalaciones PSCM		
	Pared Principal	Cubierta exterior c-35	0.445	41.61
	Orientación	Oeste		
	Pared Principal	Cerrameinto exterior E.1	0.207	8.11
	Pared Principal	Cerramiento exterior E.3A	0.256	6.05

	Pared Principal	Cerramiento ext. 30cm	0.372	0.92
	Ventana	V2	3.257	3.68
	Ventana	V3	3.22	20.99
	Orientación	Norte		
	Pared Principal	Cerramiento exterior E.3A	0.256	13.9
	Pared Principal	Cerramiento ext. 30cm	0.372	0.83
	Orientación	Este		
	Pared Principal	Cerramiento exterior E.3A	0.256	21.96
	Pared Principal	Cerramiento ext. 30cm	0.372	3.01
	Orientación	Contra espacio E-1 - Vestibulo y zona de paso P3		
	Pared Principal	Cerramiento interior I.6A	1.053	10.78
Espacio	E-3	Office 3.2 P3		
	Tipo	Descripción	K [W/m²°C] Klin [W/m²°C]	Area [m²] Long. [m]
	Orientación	Suelo exterior		
	Pared Principal	Forjado interior FR35	0.438	33.86
	Orientación	Oeste		
	Pared Principal	Cerramiento exterior E.1	0.207	5.41
	Ventana	V3	3.22	11.91
	Orientación	Contra espacio E-1 - Vestibulo y zona de paso P3		
	Pared Principal	Cerramiento interior I.6A	1.053	23.52
Espacio	E-4	Office 3.3 P3		
	Tipo	Descripción	K [W/m²°C] Klin [W/m²°C]	Area [m²] Long. [m]
	Orientación	Oeste		
	Pared Principal	Cerramiento exterior E.3A	0.256	13.86
	Pared Principal	Cerramiento ext. 30cm	0.372	0.95
	Orientación	Sur		
	Pared Principal	Cerramiento interior I7	1.069	21.07
	Orientación	Contra espacio E-1 - Vestibulo y zona de paso P3		
	Pared Principal	Cerramiento interior I.6A	1.053	20.46
Espacio	E-5	Office 3.4 P3		
	Tipo	Descripción	K [W/m²°C] Klin [W/m²°C]	Area [m²] Long. [m]
	Orientación	Suelo exterior		
	Pared Principal	Forjado interior FR35	0.438	40.5
	Orientación	Contra espacio E-10 - Parking PS-1		
	Pared Principal	Forjado interior FR35	0.438	1.58
	Orientación	Tejado exterior		
	Pared Principal	Cubierta exterior c-35	0.445	42.08
	Orientación	Contra espacio E-1 - Vestibulo y zona de paso P3		
	Pared Principal	Cerramiento interior I.6A	1.053	45.23
	Orientación	Contra espacio E-6 - Paso 3.3 P3		
	Pared	Cerramiento interior I.6A	1.053	19.31

	Principal			
	Orientación	Este		
	Pared Principal	Cerramiento exterior E.3A	0.256	5.81
	Pared Principal	Cerramiento ext. 30cm	0.372	9.33
Espacio	E-6	Paso 3.3 P3		
	Tipo	Descripción	K [W/m²°C] Klin [W/m²°C]	Area [m²] Long. [m]
	Orientación	Suelo exterior		
	Pared Principal	Forjado interior FR35	0.438	16.81
	Orientación	Tejado exterior		
	Pared Principal	Cubierta exterior c-35	0.445	16.81
	Orientación	Contra espacio E-1 - Vestibulo y zona de paso P3		
	Pared Principal	Cerramiento interior I.6A	1.053	11.64
	Orientación	Sur		
	Pared Principal	Cerramiento interior I7	1.069	13.65
	Orientación	Contra espacio E-7 - Sala tecnica P3		
	Pared Principal	Cerramiento interior I7	1.069	5.6
	Orientación	Este		
	Pared Principal	Cerramiento exterior E.3A	0.256	9.54
	Orientación	Contra espacio E-5 - Office 3.4 P3		
	Pared Principal	Cerramiento interior I.6A	1.053	19.31
Espacio	E-7	Sala tecnica P3		
	Tipo	Descripción	K [W/m²°C] Klin [W/m²°C]	Area [m²] Long. [m]
	Orientación	Suelo exterior		
	Pared Principal	Forjado interior FR35	0.438	32.1
	Orientación	Tejado exterior		
	Pared Principal	Cubierta exterior c-35	0.445	32.1
	Orientación	Contra espacio E-8 - Paso 3.4 P3		
	Pared Principal	Cerramiento interior I.6A	1.053	10.24
	Orientación	Norte		
	Pared Principal	Cerramiento interior I7	1.069	30.57
	Orientación	Oeste		
	Pared Principal	Cerramiento interior I7	1.069	3.52
	Orientación	Contra espacio E-6 - Paso 3.3 P3		
	Pared Principal	Cerramiento interior I7	1.069	5.6
	Orientación	Este		
	Pared Principal	Cerramiento exterior E.3A	0.256	13.73
Espacio	E-8	Paso 3.4 P3		
	Tipo	Descripción	K [W/m²°C] Klin [W/m²°C]	Area [m²] Long. [m]
	Orientación	Suelo exterior		
	Pared Principal	Forjado interior FR35	0.438	16.93
	Orientación	Tejado exterior		

	Pared Principal	Cubierta exterior c-35	0.445	11.6
	Orientación	Contra espacio E-5 - Escalera 3.8 PSMC		
	Pared Principal	Cubierta exterior c-35	0.445	5.32
	Orientación	Oeste		
	Pared Principal	Cerramiento exterior E.3A	0.256	10.21
	Orientación	Contra espacio E-4 - Salon de Actos P2		
	Pared Principal	Cerramiento exterior E.3A	0.256	19.89
	Orientación	Contra espacio E-7 - Sala tecnica P3		
	Pared Principal	Cerramiento interior I.6A	1.053	10.24
	Orientación	Norte		
	Pared Principal	Cerramiento interior I7	1.069	20.72
Espacio	E-9	ALmacen y Paso P3		
	Tipo	Descripción	K [W/m²°C] Klin [W/m²°C]	Area [m²] Long. [m]
	Orientación	Contra espacio E-11 - Escaleras, pasos y vestibulos P2		
	Pared Principal	Forjado interior FR35	0.438	60.24
	Orientación	Contra espacio E-6 - Escalera y vestibulo PSMC		
	Pared Principal	Cubierta exterior c-35	0.445	1.23
	Orientación	Contra espacio E-7 - Paso PSMC		
	Pared Principal	Cubierta exterior c-35	0.445	16.56
	Orientación	Oeste		
	Pared Principal	Cerrameinto exterior E.1	0.207	5.85
	Ventana	V3	3.22	18.17
	Pared Principal	Cerramiento ext. 30cm	0.372	3.03
	Orientación	Contra espacio E-12 - ESCENARIO		
	Pared Principal	Cerramiento interior I.6A	1.053	39.25
	Orientación	Norte		
	Pared Principal	Cerramiento exterior E.3A	0.256	9.27
	Orientación	Este		
	Pared Principal	Cerramiento exterior E.3A	0.256	8.73
	Orientación	Contra espacio E-10 - Escalea y vestibulo P3		
	Pared Principal	Cerramiento exterior E.5C	0.493	49.63
	Orientación	Sur		
	Pared Principal	Cerramiento exterior E.3A	0.256	17.64
Espacio	E-1	Cuarto instalaciones PSCM		
	Tipo	Descripción	K [W/m²°C] Klin [W/m²°C]	Area [m²] Long. [m]
	Orientación	Contra espacio E-2 - Office 3.1 P3		
	Pared Principal	Forjado interior FR35	0.438	40.86
	Orientación	Tejado exterior		
	Pared Principal	Cubierta No Transible	0.425	40.86
	Orientación	Oeste		
	Pared	Cerramiento exterior E.3A	0.256	23.19

	Principal			
	Pared Principal	Cerramiento ext. 30cm	0.372	3.51
	Orientación	Norte		
	Pared Principal	Cerramiento exterior E.3A	0.256	12.7
	Pared Principal	Cerramiento ext. 30cm	0.372	3.44
	Orientación	Este		
	Pared Principal	Cerramiento exterior E.3A	0.256	23.45
	Pared Principal	Cerramiento ext. 30cm	0.372	3.38
	Orientación	Contra espacio E-2 - Cuarto instalaciones 2 PSCM		
	Pared Principal	Cerramiento interior I7	1.069	19.87
Espacio	E-2	Cuarto instalaciones 2 PSCM		
	Tipo	Descripción	K [W/m²°C] Klin [W/m²°C]	Area [m²] Long. [m]
	Orientación	Contra espacio E-2 - Office 3.1 P3		
	Pared Principal	Forjado interior FR35	0.438	16.88
	Orientación	Tejado exterior		
	Pared Principal	Cubierta No Transible	0.425	16.88
	Orientación	Oeste		
	Pared Principal	Cerramiento exterior E.3A	0.256	12.6
	Orientación	Contra espacio E-1 - Cuarto instalaciones PSCM		
	Pared Principal	Cerramiento interior I7	1.069	19.87
	Orientación	Este		
	Pared Principal	Cerramiento exterior E.3A	0.256	12.6
	Orientación	Sur		
	Pared Principal	Cerramiento exterior E.3A	0.256	19.87
Espacio	E-5	Escalera 3.8 PSMC		
	Tipo	Descripción	K [W/m²°C] Klin [W/m²°C]	Area [m²] Long. [m]
	Orientación	Suelo exterior		
	Pared Principal	Forjado interior FR35	0.438	1.57
	Orientación	Contra espacio E-8 - Paso 3.4 P3		
	Pared Principal	Forjado interior FR35	0.438	5.23
	Orientación	Tejado exterior		
	Pared Principal	Cubierta No Transible	0.425	6.8
	Orientación	Oeste		
	Pared Principal	Cerramiento exterior E.3A	0.256	15.21
	Orientación	Norte		
	Pared Principal	Cerramiento exterior E.3A	0.256	7.03
	Orientación	Este		
	Pared Principal	Cerramiento exterior E.3A	0.256	4.43
	Orientación	Contra espacio E-4 - Salon de Actos P2		
	Pared Principal	Cerramiento interior I7	1.069	17.25

Espacio	E-6		Escalera y vestibulo PSMC	
	Tipo	Descripción	K [W/m ² °C] Klin [W/m ² °C]	Area [m ²] Long. [m]
	Orientación	Contra espacio E-10 - Escalera y vestibulo P3		
	Pared Principal	Forjado interior FR35	0.438	63.67
	Orientación	Tejado exterior		
	Pared Principal	Cubierta No Transible	0.425	63.67
	Orientación	Oeste		
	Pared Principal	Cerramiento exterior E.3A	0.256	18.65
	Orientación	Sur		
	Pared Principal	Cerramiento exterior E.5C	0.493	49.57
	Orientación	Este		
	Pared Principal	Cerramiento exterior E.5C	0.493	16.14
	Orientación	NE		
	Pared Principal	Cerramiento exterior E.5C	0.493	4.94
	Orientación	Norte		
	Pared Principal	Cerramiento exterior E.5C	0.493	22.31
	Orientación	Contra espacio E-7 - Paso PSMC		
	Pared Principal	Cerramiento exterior E.5C	0.493	23.76
Espacio	E-7		Paso PSMC	
	Tipo	Descripción	K [W/m ² °C] Klin [W/m ² °C]	Area [m ²] Long. [m]
	Orientación	Contra espacio E-9 - ALmacen y Paso P3		
	Pared Principal	Forjado interior FR35	0.438	14.2
	Orientación	Tejado exterior		
	Pared Principal	Cubierta No Transible	0.425	14.2
	Orientación	Oeste		
	Pared Principal	Cerramiento exterior E.3A	0.256	8.86
	Orientación	Contra espacio E-6 - Escalera y vestibulo PSMC		
	Pared Principal	Cerramiento exterior E.5C	0.493	23.76
	Orientación	Este		
	Pared Principal	Cerramiento exterior E.3A	0.256	8.86
	Orientación	Contra espacio E-12 - ESCENARIO		
	Pared Principal	Cerramiento exterior E.3A	0.256	23.76

2. Dimensionado del sistema

2.1) Centrales de tratamiento de aire

Descripción	CTA-CL oficinas 1					
Caudal [m³/h]:	14000	Aire exterior (7.4 [%])			[m³/h]:	1035
Refrigeración						
	T _{b.s.} [°C]	U.R. [%]				
Aire exterior	31.5	38.5				
Mezcla (*)	23.2	50.3				
			Sensible [kW]	Recuperación [%]		
Aire expulsado (retorno) (**)	13.4	92				
	Sensible [kW]	Latente [kW]	Total [kW]	S/T	Hora	Mes
Potencia max (***)	38.2	9.5	47.7	0.80	17	7
Calefacción						
	T _{b.s.} [°C]	H.R. [%]				
Aire exterior	0	81.7				
Mezcla (*)	20.4	50.1				
			Sensible [kW]	Recuperación [%]		
Aire expulsado (retorno) (**)	21.5	50				
	Sensible [kW]	Latente [kW]	Total [kW]	S/T	Hora	Mes
Potencia max (***)	38.2	9.5	47.7	0.80	10	1

LEYENDA

(*) Mezcla entre el aire de retorno y el aire exterior después de pasar por el recuperador.

(**) Condiciones del aire de retorno

(***) Potencia total considerando la recuperación (solo sensible).

a) Post-calentamiento

ZONA: CL oficinas 1			
Caudal [m³/h]: 14000			
Refrigeración			
Impulsión:	T _{ds} [°C]: 13.4	T _{bh} [°C]:	12.7
Post-calentamiento:		[kW]: 0	
Calefacción			
Impulsión:	T _{ds} [°C]: 30.5	T _{bu} [°C]:	18.0

b) Potencia Espacios

Espacio [Cod.]	Refrigeración Pot.			Calefacción Pot. tot.		S/T	Rej. [N]	Caudal Aire [m³/h]	Ren. Aire [Vol/h]	Ren. Aire [(l/s)/p]
	T. In. [°C]	Re-Heat [kW]	Tot. [kW]	Demandad [kW]	Instalada [kW]					
E-2	13.4	0	14.5	3.5	3.5	0.96	6	3757	0	12.50
E-3	13.4	0	12.2	2.9	2.9	0.82	6	3610	0	12.5

E-4	13.4	0	6.3	2.3	2.3	0.91	6	3581	0	12.50
E-5	13.4	0	7.8	2	2	0.76	5	3082	0	12.5

Descripción	CTA-CL oficinas 2					
Caudal [m³/h]:	5700	Aire exterior (7.8 [%])			[m³/h]:	450
Refrigeración						
	T _{b.s.} [°C]	U.R. [%]				
Aire exterior	31.5	38.5				
Mezcla (*)	23.2	50.3				
			Sensible [kW]	Recuperación [%]		
Aire expulsado (retorno) (**)	23	50				
	Sensible [kW]	Latente [kW]	Total [kW]	S/T	Hora	Mes
Potencia max (***)	15.4	3.8	19.2	0.80	17	7
Calefacción						
	T _{b.s.} [°C]	H.R. [%]				
Aire exterior	0	81.7				
Mezcla (*)	20.4	50.1				
			Sensible [kW]	Recuperación [%]		
Aire expulsado (retorno) (**)	21.4	50				
	Sensible [kW]	Latente [kW]	Total [kW]	S/T	Hora	Mes
Potencia max (***)	15.4	3.8	19.2	0.80	10	1

LEYENDA

(*) Mezcla entre el aire de retorno y el aire exterior después de pasar por el recuperador.

(**) Condiciones del aire de retorno

(***) Potencia total considerando la recuperación (solo sensible).

a) Post-calentamiento

ZONA: CL oficinas 2			
Caudal [m³/h]:		5700	
Refrigeración			
Impulsión:	T _{bs} [°C]: 13.6	T _{bh} [°C]:	12.7
Post-calentamiento:	[kW]: 0		
Calefacción			
Impulsión:	T _{bs} [°C]: 30.4	T _{bu} [°C]:	17.9

b) Potencia Espacios

Espacio [Cod.]	Refrigeración Pot.			Calefacción Pot. tot.		S/T	Rej. [N]	Caudal Aire [m³/h]	Ren. Aire [Vol/h]	Ren. Aire [(l/s)/p]
	T. In. [°C]	Re-Heat [kW]	Tot. [kW]	Demandad [kW]	Instalada [kW]					
E-13	13.6	0	3.6	0.8	0.8	0.69	3	1599	0	12.50
E-4	13.6	0	5.4	1.3	1.3	0.72	4	1773.3	0	12.50

E-2	13.6	0	2	0.5	0.5	0.89	2	1148	0	12.5
E-3	13.6	0	2.3	0.9	0.9	0.90	2	1155	0	12.5

Descripción	CTA-CL sa escenario					
Caudal [m³/h]:	7,160	Aire exterior (5.0 [%])			[m³/h]:	360
Refrigeración						
	T _{b.s.} [°C]	U.R. [%]				
Aria exterior	31.5	38.5				
Mezcla (*)	23.4	49.4				
			Sensible [kW]	Recuperación [%]		
Aire expulsado (retorno) (**)	23	50	1			
	Sensible [kW]	Latente [kW]	Total [kW]	S/T	Hora	Mes
Potencia max (***)	23.2	4.8	28	0.83	15	7
Calefacción						
	T _{b.s.} [°C]	H.R. [%]				
Aire exterior	0	81.7				
Mezcla (*)	20.6	50.1				
			Sensible [kW]	Recuperación [%]		
Aire expulsado (retorno) (**)	21.0	50	2.5			
	Sensible [kW]	Latente [kW]	Total [kW]	S/T	Hora	Mes
Potencia max (***)	23.2	4.8	28	0.89	10	1

LEYENDA

(*) Mezcla entre el aire de retorno y el aire exterior después de pasar por el recuperador.

(**) Condiciones del aire de retorno

(***) Potencia total considerando la recuperación (solo sensible).

a) Post-calentamiento

ZONA: CL sa escenario			
Caudal [m³/h]: 7,160			
Refrigeración			
Impulsión:	T _{bs} [°C]: 12.7	T _{bh} [°C]:	12.0
Post-calentamiento:	[kW]:		
Calefacción			
Impulsión:	T _{bs} [°C]: 32.2	T _{bu} [°C]:	18.7

b) Potencia Espacios

Espacio [Cod.]	Refrigeración Pot.			Calefacción Pot. tot.		S/T	Rej. [N]	Caudal Aire [m³/h]	Ren. Aire [Vol/h]	Ren. Aire [(l/s)/p]
	T. In. [°C]	Re-Heat [kW]	Tot. [kW]	Demandad [kW]	Instalada [kW]					
E-12	12.7	0	22.4	8	8	0.82	9	7160	0	11.0478

Descripción	CTA-CL sa vestibulo					
Caudal [m³/h]:	10,525	Aire exterior (35.0 [%])			[m³/h]:	3,685
Refrigeración						
	T _{b.s.} [°C]	U.R. [%]				
Aria exterior	31.5	38.5				
Mezcla (*)	24.1	51.1				
			Sensible [kW]	Recuperación [%]		
Aire expulsado (retorno) (**)	23	50	10.2			
	Sensible [kW]	Latente [kW]	Total [kW]	S/T	Hora	Mes
Potencia max (***)	37.5	17.4	54.9	0.68	17	7
Calefacción						
	T _{b.s.} [°C]	H.R. [%]				
Aire exterior	0	81.7				
Mezcla (*)	18.3	49.9				
			Sensible [kW]	Recuperación [%]		
Aire expulsado (retorno) (**)	21.0	50	26			
	Sensible [kW]	Latente [kW]	Total [kW]	S/T	Hora	Mes
Potencia max (***)	37.5	17.4	54.9	0.78	10	1

LEYENDA

(*) Mezcla entre el aire de retorno y el aire exterior después de pasar por el recuperador.

(**) Condiciones del aire de retorno

(***) Potencia total considerando la recuperación (solo sensible).

a) Post-calentamiento

ZONA: CL sa vestibulo			
Caudal [m³/h]:		10,525	
Refrigeración			
Impulsión:	T _{bs} [°C]: 11.6	T _{bh} [°C]:	11.5
Post-calentamiento:	[kW]:		
Calefacción			
Impulsión:	T _{bs} [°C]: 33.8	T _{bu} [°C]:	18.4

b) Potencia Espacios

Espacio [Cod.]	Refrigeración Pot.			Calefacción Pot. tot.		S/T	Rej. [N]	Caudal Aire [m³/h]	Ren. Aire [Vol/h]	Ren. Aire [(l/s)/p]
	T. In. [°C]	Re-Heat [kW]	Tot. [kW]	Demandad [kW]	Instalada [kW]					
E-6	11.6	0	30.2	5.1	5.1	0.66	100	10.525	0	9.40

Descripción	CTA-CL sala deportiva PB Doble Altura						
Caudal [m³/h]:	13000	Aire exterior (32.3 [%])			[m³/h]:	4200	
Refrigeración							
	T _{b.s.} [°C]	U.R. [%]					
Aria exterior	31.5	38.5					
Mezcla (*)	27.7	49.3					
			Sensible [kW]	Recuperación [%]			
Aire expulsado (retorno) (**)	27.5	50					
	Sensible [kW]	Latente [kW]	Total [kW]	S/T			
Potencia max (***)	75.0	18.4	93.40	0.65	10	7	
Calefacción							
	T _{b.s.} [°C]	H.R. [%]					
Aire exterior	0	81.7					
Mezcla (*)	19.7	50.1					
			Sensible [kW]	Recuperación [%]			
Aire expulsado (retorno) (**)	21.0	50					
	Sensible [kW]	Latente [kW]	Total [kW]	S/T			
Potencia max (***)	46.7	11.7	58.4	0.80	10	1	

LEYENDA

(*) Mezcla entre el aire de retorno y el aire exterior después de pasar por el recuperador.

(**) Condiciones del aire de retorno

(***) Potencia total considerando la recuperación (solo sensible).

a) Post-calentamiento

ZONA: CL sala deportiva PB Doble Altura			
Caudal [m³/h]: 13000			
Refrigeración			
Impulsión:	T _{bs} [°C]: 12.6	T _{bh} [°C]: 12.4	
Post-calentamiento:	[kW]:		
Calefacción			
Impulsión:	T _{bs} [°C]: 33.1	T _{bu} [°C]: 18.7	

b) Potencia Espacios

Espacio [Cod.]	Refrigeración Pot.			Calefacción Pot. tot.		S/T	Rej. [N]	Caudal Aire [m³/h]	Ren. Aire [Vol/h]	Ren. Aire [(l/s)/p]
	T. In. [°C]	Re-Heat [kW]	Tot. [kW]	Demandad [kW]	Instalada [kW]					
E-11.1	12.6	0	159.9	36.2	36.2	0.62	160	13000	0	8.88

Descripción	CTA-CL sala deportiva PB Zona 1					
Caudal [m³/h]:	4200	Aire exterior (15.7 [%])			[m³/h]:	662
Refrigeración						
	T _{b.s.} [°C]	U.R. [%]				
Aria exterior	31.5	38.5				
Mezcla (*)	26.2	49.7				
			Sensible [kW]	Recuperación [%]		
Aire expulsado (retorno) (**)	26	50				
	Sensible [kW]	Latente [kW]	Total [kW]	S/T	Hora	Mes
Potencia max (***)	22.5	5.7	28.2	0.65	10	7
Calefacción						
	T _{b.s.} [°C]	H.R. [%]				
Aire exterior	0	81.7				
Mezcla (*)	20.2	50.1				
			Sensible [kW]	Recuperación [%]		
Aire expulsado (retorno) (**)	21.0	50.1				
	Sensible [kW]	Latente [kW]	Total [kW]	S/T	Hora	Mes
Potencia max (***)	14.7	11.7	3.7	0.80	10	1

LEYENDA

(*) Mezcla entre el aire de retorno y el aire exterior después de pasar por el recuperador.

(**) Condiciones del aire de retorno

(***) Potencia total considerando la recuperación (solo sensible).

a) Post-calentamiento

ZONA: CL sala deportiva PB Zona 1			
Caudal [m³/h]:		4200	
Refrigeración			
Impulsión:	T _{bs} [°C]: 11.7	T _{bh} [°C]:	11.5
Post-calentamiento:	[kW]:		
Calefacción			
Impulsión:	T _{bs} [°C]: 33.1	T _{bu} [°C]:	18.8

b) Potencia Espacios

Espacio	Refrigeración			Calefacción		S/T	Rej.	Caudal Aire [m³/h]	Ren. Aire [Vol/h]	Ren. Aire [(l/s)/p]
	T. In. [°C]	Re-Heat [kW]	Tot. [kW]	Demandad [kW]	Instalada [kW]					
[Cod.]										
E-11.2	11.7	0	159.9	36.2	36.2	0.62	160	4200	0	8.88

Descripción	CTA-CL sala deportiva P1ª Zona 1					
Caudal [m³/h]:	6000	Aire exterior (20.0 [%])			[m³/h]:	1200
Refrigeración						
	T _{b.s.} [°C]	U.R. [%]				
Aria exterior	31.5	38.5				
Mezcla (*)	26.3	49.6				
			Sensible [kW]	Recuperación [%]		
Aire expulsado (retorno) (**)	26.0	50				
	Sensible [kW]	Latente [kW]	Total [kW]	S/T	Hora	Mes
Potencia max (***)	30.4	7.6	38	0.65	10	7
Calefacción						
	T _{b.s.} [°C]	H.R. [%]				
Aire exterior	0	81.7				
Mezcla (*)	20.0	50.1				
			Sensible [kW]	Recuperación [%]		
Aire expulsado (retorno) (**)	21.0	50				
	Sensible [kW]	Latente [kW]	Total [kW]	S/T	Hora	Mes
Potencia max (***)	21.2	5.3	26.5	0.80	10	1

LEYENDA

(*) Mezcla entre el aire de retorno y el aire exterior después de pasar por el recuperador.

(**) Condiciones del aire de retorno

(***) Potencia total considerando la recuperación (solo sensible).

a) Post-calentamiento

ZONA: CL sala deportiva P1ª Zona 1			
Caudal [m³/h]: 6000			
Refrigeración			
Impulsión:	T_{bs} [°C]: 12.2	T_{bh} [°C]:	12.0
Post-calentamiento:	[kW]:		
Calefacción			
Impulsión:	T_{bs} [°C]: 33.1	T_{bu} [°C]:	18.7

b) Potencia Espacios

Espacio	Refrigeración			Calefacción		S/T	Rej.	Caudal Aire [m³/h]	Ren. Aire [Vol/h]	Ren. Aire [(l/s)/p]
	T. In. [°C]	Re-Heat [kW]	Tot. [kW]	Demandad [kW]	Instalada [kW]					
[Cod.]							[N]			
E-11.3	12.2	0	159.9	36.2	36.2	0.62	160	6000	0	8.88

Descripción	CTA-CL sala deportiva P1ª Zona 2					
Caudal [m³/h]:	8043	Aire exterior (15.4 [%])			[m³/h]:	1238
Refrigeración						
	T _{b.s.} [°C]	U.R. [%]				
Aria exterior	31.5	38.5				
Mezcla (*)	26.2	49.7				
			Sensible [kW]	Recuperación [%]		
Aire expulsado (retorno) (**)	26.0	50				
	Sensible [kW]	Latente [kW]	Total [kW]	S/T	Hora	Mes
Potencia max (***)	43.3	10.8	54.1	0.65	10	7
Calefacción						
	T _{b.s.} [°C]	H.R. [%]				
Aire exterior	0	81.7				
Mezcla (*)	20.2	50.1				
			Sensible [kW]	Recuperación [%]		
Aire expulsado (retorno) (**)	21.0	50				
	Sensible [kW]	Latente [kW]	Total [kW]	S/T	Hora	Mes
Potencia max (***)	27.9	7.0	34.9	0.80	10	1

LEYENDA

(*) Mezcla entre el aire de retorno y el aire exterior después de pasar por el recuperador.

(**) Condiciones del aire de retorno

(***) Potencia total considerando la recuperación (solo sensible).

a) Post-calentamiento

ZONA: CL sala deportiva P1ª Zona 2			
Caudal [m³/h]:		8043	
Refrigeración			
Impulsión:	T_{bs} [°C]: 11.7	T_{bh} [°C]:	11.5
Post-calentamiento:		[kW]:	
Calefacción			
Impulsión:	T_{bs} [°C]: 33.1	T_{bu} [°C]:	18.8

b) Potencia Espacios

Espacio	Refrigeración			Calefacción		S/T	Rej.	Caudal	Ren.	Ren.
	T. In. [°C]	Re-Heat [kW]	Tot. [kW]	Demandad [kW]	Instalada [kW]					
[Cod.]							[N]	Aire [m³/h]	Aire [Vol/h]	Aire [(l/s)/p]
E-11.4	11.7	0	159.9	36.2	36.2	0.62	160	8043	0	8.88

Descripción	CTA-CL salon de actos					
Caudal [m³/h]:	11340	Aire exterior (64.1 [%])			[m³/h]:	7274
Refrigeración						
	T _{b.s.} [°C]	U.R. [%]				
Aria exterior	31.5	38.5				
Mezcla (*)	27.5	51.6				
			Sensible [kW]	Recuperación [%]		
Aire expulsado (retorno) (**)	30	50				
	Sensible [kW]	Latente [kW]	Total [kW]	S/T	Hora	Mes
Potencia max (***)	40	10.0	50	0.65	10	7
Calefacción						
	T _{b.s.} [°C]	H.R. [%]				
Aire exterior	0	81.7				
Mezcla (*)	16.1	48.6				
			Sensible [kW]	Recuperación [%]		
Aire expulsado (retorno) (**)	21.0	50				
	Sensible [kW]	Latente [kW]	Total [kW]	S/T	Hora	Mes
Potencia max (***)	37.6	9.4	47.0	0.80	10	1

LEYENDA

(*) Mezcla entre el aire de retorno y el aire exterior después de pasar por el recuperador.

(**) Condiciones del aire de retorno

(***) Potencia total considerando la recuperación (solo sensible).

a) Post-calentamiento

ZONA: CL salón de actos			
Caudal [m³/h]:		11340	
Refrigeración			
Impulsión:	T _{ds} [°C]: 17.0	T _{bh} [°C]:	15.9
Post-calentamiento:		[kW]:	
Calefacción			
Impulsión:	T _{ds} [°C]: 28.4	T _{bu} [°C]:	15.6

b) Potencia Espacios

Espacio [Cod.]	Refrigeración Pot.			Calefacción Pot. tot.		S/T	Rej. [N]	Caudal Aire [m³/h]	Ren. Aire [Vol/h]	Ren. Aire [(l/s)/p]
	T. In. [°C]	Re-Heat [kW]	Tot. [kW]	Demandad [kW]	Instalada [kW]					
E-4	17.0	0	159.9	36.2	36.2	0.62	160	11340	0	8.0

2.2) Potencias totales de refrigeración y calefacción

a) Potencia Máxima del Edificio

Area	[m²]:	12,641	Volumen	[m³]:	62,230
Zona	[n.]:	9	Espacios	[n.]:	52
Personas	[n.]:	2226			

	Refrigeración			Calefacción
	Potencia máxima [W]	Hora	Mes	Potencia maxima [W]
Espacios	1,406,119	17	7	166,525
Ventilación (*)	3,306,333	15	7	2,875,961
Máximo total simultáneo (**)	4,142,500	15	7	2,934,085

(*)= Se considera el aire en el punto de rocío

(**)=El aporte de la ventilación es algebraicamente sumado en base a la temperatura de impulsión del aire en la zona

b) Detalle Zonas

Zona:	Climatizada				
Area	[m²]:	1,861	Volumen	[m³]:	23,416
Espacios	[n.]:	2	Personas	[n.]:	1856
Caudal de ventilación	[l/s]: 102,177				

Refrigeración							
Máx Espacios				Máx VENTILACIÓN			
Mes:	7	Hora:	17	Mes:	7	Hora:	15
Sensible	[W]:	506,991.2		Sensible	[W]:	2,446,753.4	
Latente	[W]:	641,801.9		Deshumidificación	[W]:	690,155.9	
TOTAL	[W]:	1,148,793.1		TOTAL	[W]:	3,136,909.3	
Máx simultáneo	Mes: 7			Hora:	15		
Espacios			Sensible:	[W]:	499,416.9		
			Latente:	[W]:	632,502.7		
VENTILACION (*)			Sensible:	[W]:	2,446,753.4		
			Deshumidificación:	[W]:	690,155.9		
Ganancia por ventilación en espacios (sólo aire de renovación) (**)				[W]:	-508,347.6		
TOTAL				[W]:	3,760,481.3		

(*)= Se considera el aire en el punto de rocío

(**)= Un valor negativo significa que el aire resta potencia térmica.

Calefacción			
Máx Simultáneo	Mes:	1	Hora: 10

Espacios	Sensible:	[W]:	95,731.7
VENTILACION	Sensible:	[W]:	2,692,548.5
	Latente:	[W]:	20,208.8
Ganancia por ventilación en espacios (sólo aire de renovación) (***)		[W]:	-95,731.7
TOTAL		[W]:	2,712,757.3
(***) = Un valor negativo significa que el aire añade potencia al espacio.			

c) Potencia Espacios

Zona:		Climatizada														
Datos Generales					Potencia estival									Potencia invernal		
Esp.	Vol.	P	Ventilación		Sensible			Latente			H	M	S/T	Sensible		
					Esp.	Ventil.	Total	Esp.	Ventil.	Total				Pérd.	Vent.	Total
Cod.	[m³]	[n.]	[l/s]	Vol/h	[W]	[W]	[W]	[W]	[W]	[W]				[W]	[W]	[W]
E-1	19,710.86	155 2	86,346. 67	15.8	434,530. 0	- 964,094. 8	- 529,564. 7	536,85 3.8	-7,287.7	529,566. 1	17	7	0.45	80,001. 9	- 80,900. 2	-898.3
E-4	3,704.92	304	15,830. 00	15.4	72,737.1	- 176,748. 2	- 104,011. 1	105,34 7.7	-1,336.1	104,011. 6	13	7	0.41	15,729. 8	- 14,831. 5	898.3

Zona:	No climatizada		
Area	[m²]: 9,230	Volumen	[m³]: 28,619
Espacios	[n.]: 29	Personas	[n.]: 0
Caudal de ventilación	[l/s]:		

Refrigeración							
Máx Espacios				Máx VENTILACIÓN			
Mes:	1	Hora:	0	Mes:	0	Hora:	24
Sensible	[W]:			Sensible	[W]:		
Latente	[W]:			Deshumidificación	[W]:		
TOTAL	[W]:			TOTAL	[W]:		
Máx simultáneo	Mes:	0		Hora:	0		
Espacios			Sensible:	[W]:			
			Latente:	[W]:			
VENTILACION (*)			Sensible:	[W]:			
			Deshumidificación:	[W]:			
Ganancia por ventilación en espacios (sólo aire de renovación) (**)				[W]:			
TOTAL				[W]:			
(*)= Se considera el aire en el punto de rocío							
(**)= Un valor negativo significa que el aire resta potencia térmica.							

Calefacción				
Máx Simultáneo	Mes:	1	Hora:	24
Espacios			Sensible:	[W]:
VENTILACION			Sensible:	[W]:
			Latente:	[W]:
Ganancia por ventilación en espacios (sólo aire de renovación) (***)			[W]:	
TOTAL			[W]:	
(***) = Un valor negativo significa que el aire añade potencia al espacio.				

c) Potencia Espacios

Zona:		No climatizada														
Datos Generales					Potencia estival									Potencia invernal		
Esp.	Vol.	P	Ventilación		Sensible			Latente			H	M	S/T	Sensible		
Cod.	[m³]	[n.]	[l/s]	Vol/h	Esp.	Ventil.	Total	Esp.	Ventil.	Total				Pérd.	Vent.	Total
					[W]	[W]	[W]	[W]	[W]	[W]				[W]	[W]	[W]
E-1	7,063.45	0									24	1				
E-1.1	6,435.98	0									24	1				
E-1.2	4,289.73	0									24	1				
E-2	6,288.68	0									24	1				
E-12	74.80	0									24	1				
E-14	423.94	0									24	1				
E-15	206.15	0									24	1				
E-17	46.13	0									24	1				
E-19	47.03	0									24	1				
E-3	52.17	0									24	1				

E-8	252.20	0									24	1				
E-10	362.91	0									24	1				
E-12	671.76	0									24	1				
E-13	73.72	0									24	1				
E-14	61.28	0									24	1				
E-8	83.27	0									24	1				
E-1	203.80	0									24	1				
E-10	108.83	0									24	1				
E-11	432.17	0									24	1				
E-1	339.95	0									24	1				
E-10	216.40	0									24	1				
E-6	58.83	0									24	1				
E-8	59.25	0									24	1				
E-9	210.82	0									24	1				
E-1	157.32	0									24	1				
E-2	65.01	0									24	1				
E-5	26.19	0									24	1				
E-6	245.15	0									24	1				
E-7	54.66	0									24	1				

Zona:	CL sala deportiva		
Area	[m²]: 674	Volumen	[m³]: 5,873
Espacios	[n.]: 1	Personas	[n.]: 160
Caudal de ventilación	[l/s]: 1,421		

Refrigeración							
Máx Espacios				Máx VENTILACIÓN			
Mes:	7	Hora:	10	Mes:	7	Hora:	15
Sensible		[W]:	98,684.3	Sensible		[W]:	59,196.8
Latente		[W]:	61,180.8	Deshumidificación		[W]:	9,598.6
TOTAL		[W]:	159,865.1	TOTAL		[W]:	68,795.4
Máx simultáneo		Mes: 7		Hora: 10			
Espacios				Sensible:	[W]:	98,684.3	
				Latente:	[W]:	61,180.8	
VENTILACION (*)				Sensible:	[W]:	49,704.7	
				Deshumidificación:	[W]:	9,598.6	
Ganancia por ventilación en espacios (sólo aire de renovación) (**)					[W]:	-16,555.6	
TOTAL					[W]:	202,612.8	
(*)= Se considera el aire en el punto de rocío							
(**)= Un valor negativo significa que el aire resta potencia térmica.							

Calefacción			
Máx Simultáneo	Mes:	1	Hora: 10
Espacios	Sensible:		[W]: 36,197.3
VENTILACION	Sensible:		[W]: 39,463.7
	Latente:		[W]: 18,211.4
Ganancia por ventilación en espacios (sólo aire de renovación) (***)			[W]: -3,609.4
TOTAL			[W]: 90,263.0
(**) = Un valor negativo significa que el aire añade potencia al espacio.			

c) Potencia Espacios

Proyecto:

fecha:

Página 54

Zona:		CL sala deportiva														
Datos Generales					Potencia estival									Potencia invernal		
Esp.	Vol.	P	Ventilación		Sensible			Latente			H	M	S/T	Sensible		
					Esp.	Ventil.	Total	Esp.	Ventil.	Total				Pérd.	Vent.	Total
Cod.	[m³]	[n.]	[l/s]	Vol/h	[W]	[W]	[W]	[W]	[W]	[W]				[W]	[W]	[W]
E-11	5,873.61	160	1,421.06	0.9	98,684.3	-15,866.6	82,817.7	61,180.8	-119.9	61,060.8	10	7	0.62	36,197.3	-3,619.7	32,577.6

Zona:	CL oficinas					
Area	[m²]:	356	Volumen	[m³]:	1,413	
Espacios	[n.]:	9	Personas	[n.]:	39	
Caudal de ventilación	[l/s]: 576					

Refrigeración							
Máx Espacios				Máx VENTILACIÓN			
Mes:	7	Hora:	17	Mes:	7	Hora:	15
Sensible		[W]:	51,327.4	Sensible		[W]:	12,724.5
Latente		[W]:	10,130.4	Deshumidificación		[W]:	2,311.0
TOTAL		[W]:	61,457.8	TOTAL		[W]:	15,035.5
Máx simultáneo		Mes: 7		Hora:		17	
Espacios				Sensible:		[W]:	51,327.4
				Latente:		[W]:	10,130.4
VENTILACION (*)				Sensible:		[W]:	12,037.8
		Deshumidificación:		[W]:		2,311.0	
Ganancia por ventilación en espacios (sólo aire de				[W]:		-5,129.5	

renovación) (**)		
TOTAL	[W]:	70,677.1
(*)= Se considera el aire en el punto de rocío		
(**)= Un valor negativo significa que el aire resta potencia térmica.		

Calefacción			
Máx Simultáneo	Mes:	1	Hora: 10
Espacios	Sensible:	[W]:	16,308.2
VENTILACION	Sensible:	[W]:	15,879.6
	Latente:	[W]:	7,553.3
Ganancia por ventilación en espacios (sólo aire de renovación) (***)		[W]:	-1,346.4
TOTAL		[W]:	38,394.7
(***) = Un valor negativo significa que el aire añade potencia al espacio.			

c) Potencia Espacios

Zona:		CL oficinas														
Datos Generales					Potencia estival									Potencia invernal		
Esp.	Vol.	P	Ventilación		Sensible			Latente			H	M	S/T	Sensible		
					Esp.	Ventil.	Total	Esp.	Ventil.	Total				Pérd.	Vent.	Total
Cod.	[m³]	[n.]	[l/s]	Vol/h	[W]	[W]	[W]	[W]	[W]	[W]				[W]	[W]	[W]
E-13	79.23	3	33.80	1.5	2,514.4	-377.4	2,137.0	1,119.6	86.6	1,206.2	14	7	0.69	762.7	-76.6	686.1
E-2	101.56	2	18.38	0.7	1,762.2	-205.2	1,557.0	213.9	47.1	260.9	15	7	0.89	450.9	-41.6	409.2
E-3	128.25	2	21.11	0.6	2,040.3	-235.7	1,804.6	229.7	54.1	283.8	15	7	0.90	901.5	-47.8	853.7
E-4	184.82	4	49.80	1.0	3,830.3	-556.0	3,274.2	1,526.6	127.6	1,654.1	14	7	0.72	1,298.6	-112.9	1,185.8
E-2	209.93	6	135.16	2.3	13,956.2	-1,509.1	12,447.2	578.9	346.2	925.1	17	7	0.96	3,536.5	-306.3	3,230.2
E-3	191.39	6	113.31	2.1	9,978.5	-1,265.2	8,713.3	2,207.6	290.3	2,497.9	17	7	0.82	2,940.9	-256.8	2,684.1
E-4	196.01	6	58.96	1.1	5,754.5	-658.3	5,096.3	586.8	151.0	737.8	14	7	0.91	2,318.2	-133.6	2,184.6
E-5	163.01	5	72.62	1.6	5,926.4	-810.9	5,115.5	1,884.3	186.0	2,070.4	13	7	0.76	2,125.9	-164.6	1,961.3
E-5	158.93	5	72.58	1.6	5,925.6	-810.4	5,115.3	1,879.3	185.9	2,065.3	14	7	0.76	1,973.0	-164.5	1,808.5

Zona:	CL sa vestibulo		
Area	[m²]: 237	Volumen	[m³]: 828
Espacios	[n.]: 2	Personas	[n.]: 103
Caudal de ventilación	[l/s]: 1,023		

Refrigeración							
Máx Espacios				Máx VENTILACIÓN			
Mes:	7	Hora:	17	Mes:	7	Hora:	15
Sensible		[W]:	22,314.2	Sensible		[W]:	28,243.0
Latente		[W]:	10,532.6	Deshumidificación		[W]:	6,911.7
TOTAL		[W]:	32,846.8	TOTAL		[W]:	35,154.7
Máx simultáneo		Mes:	7	Hora:		17	
Espacios			Sensible:	[W]:	22,314.2		
			Latente:	[W]:	10,532.6		
VENTILACION (*)			Sensible:	[W]:	27,022.4		
			Deshumidificación:	[W]:	6,911.7		
Ganancia por ventilación en espacios (sólo aire de renovación) (**)				[W]:	-11,921.2		
TOTAL				[W]:	54,859.7		
(*)= Se considera el aire en el punto de rocío							
(**)= Un valor negativo significa que el aire resta potencia térmica.							

Calefacción				
Máx Simultáneo	Mes:	1	Hora:	10
Espacios	Sensible:		[W]:	7,342.0
VENTILACION	Sensible:		[W]:	28,393.9
	Latente:		[W]:	9,531.4
Ganancia por ventilación en espacios (sólo aire de renovación) (***)			[W]:	-2,553.8
TOTAL			[W]:	42,713.5
(**) = Un valor negativo significa que el aire añade potencia al espacio.				

c) Potencia Espacios

Zona:		CL sa vestibulo							
Datos Generales				Potencia estival					Potencia invernal
Esp.	Vol.	P	Ventilación	Sensible	Latente	H	M	S/T	Sensible

					Esp.	Ventil.	Total	Esp.	Ventil.	Total				Pérd.	Vent.	Total
Cod.	[m³]	[n.]	[l/s]	Vol/h	[W]	[W]	[W]	[W]	[W]	[W]				[W]	[W]	[W]
E-6	716.02	100	939.26	4.7	20,019.6	-10,487.3	9,532.3	10,171.8	-79.3	10,092.5	17	7	0.66	5,118.4	-2,358.8	2,759.6

Zona:	CL sa escenario		
Area	[m²]: 129	Volumen	[m³]: 1,543
Espacios	[n.]: 1	Personas	[n.]: 9
Caudal de ventilación	[l/s]: 99		

Refrigeración							
Máx Espacios				Máx VENTILACIÓN			
Mes:	7	Hora:	15	Mes:	7	Hora:	15
Sensible		[W]:	18,248.8	Sensible		[W]:	6,098.6
Latente		[W]:	4,123.6	Deshumidificación		[W]:	671.6
TOTAL		[W]:	22,372.4	TOTAL		[W]:	6,770.2
Máx simultáneo		Mes:	7	Hora:	15		
Espacios				Sensible:	[W]:	18,248.8	
				Latente:	[W]:	4,123.6	
VENTILACION (*)				Sensible:	[W]:	6,098.6	
				Deshumidificación:	[W]:	671.6	
Ganancia por ventilación en espacios (sólo aire de renovación) (**)					[W]:	-1,158.4	
TOTAL					[W]:	27,984.2	
(*)= Se considera el aire en el punto de rocío							
(**)= Un valor negativo significa que el aire resta potencia térmica.							

Calefacción			
Máx Simultáneo	Mes:	1	Hora: 10
Espacios	Sensible:		[W]: 8,020.4
VENTILACION	Sensible:		[W]: 2,894.3
	Latente:		[W]: 1,342.1
Ganancia por ventilación en espacios (sólo aire de renovación) (***)			[W]: -396.5
TOTAL			[W]: 11,860.3
(**) = Un valor negativo significa que el aire añade potencia al espacio.			

c) Potencia Espacios

Zona:		CL sa escenario														
Datos Generales					Potencia estival									Potencia invernal		
Esp.	Vol.	P	Ventilación		Sensible			Latente			H	M	S/T	Sensible		
					Esp.	Ventil.	Total	Esp.	Ventil.	Total				Pérd.	Vent.	Total
Cod.	[m³]	[n.]	[l/s]	Vol/h	[W]	[W]	[W]	[W]	[W]	[W]				[W]	[W]	[W]
E-12	1,542.95	9	99.43	0.2	18,248.8	-1,110.2	17,138.6	4,123.6	-8.4	4,115.3	15	7	0.82	8,020.4	-401.0	7,619.4

Zona:	Z VRV		
Area	[m²]: 68	Volumen	[m³]: 239
Espacios	[n.]: 2	Personas	[n.]: 8
Caudal de ventilación	[l/s]:		

Refrigeración							
Máx Espacios				Máx VENTILACIÓN			
Mes:	8	Hora:	15	Mes:	0	Hora:	24
Sensible		[W]:	11,701.1	Sensible		[W]:	
Latente		[W]:	2,720.0	Deshumidificación		[W]:	
TOTAL		[W]:	14,421.1	TOTAL		[W]:	
Máx simultáneo		Mes:	0	Hora:		0	
Espacios				Sensible:		[W]:	
				Latente:		[W]:	
VENTILACION (*)				Sensible:		[W]:	
				Deshumidificación:		[W]:	
Ganancia por ventilación en espacios (sólo aire de renovación) (**)						[W]:	
TOTAL						[W]:	
(*)= Se considera el aire en el punto de rocío							
(**)= Un valor negativo significa que el aire resta potencia térmica.							

Calefacción				
Máx Simultáneo	Mes:	1	Hora:	24
Espacios			Sensible:	[W]: 2,023.7
VENTILACION			Sensible:	[W]:
			Latente:	[W]:
Ganancia por ventilación en espacios (sólo aire de renovación) (***)				[W]:
TOTAL				[W]: 2,023.7
(***) = Un valor negativo significa que el aire añade potencia al espacio.				

c) Potencia Espacios

Zona:		Z VRV														
Datos Generales					Potencia estival									Potencia invernal		
Esp.	Vol.	P	Ventilación		Sensible			Latente			H	M	S/T	Sensible		
					Esp.	Ventil.	Total	Esp.	Ventil.	Total				Pérd.	Vent.	Total
Cod.	[m³]	[n.]	[l/s]	Vol/h	[W]	[W]	[W]	[W]	[W]	[W]				[W]	[W]	[W]
E-16	98.23	3			4,929.9		4,929.9	1,020.0		1,020.0	15	7	0.83	1,084.7		1,084.7
E-18	140.59	5			6,771.1		6,771.1	1,700.0		1,700.0	12	6	0.80	939.0		939.0

Zona:	Z calefactada		
Area	[m²]:	Volumen	[m³]:
Espacios	[n.]: 0	Personas	[n.]: 0
Caudal de ventilación	[l/s]:		

Refrigeración							
Máx Espacios				Máx VENTILACIÓN			
Mes:	0	Hora:	0	Mes:	0	Hora:	0
Sensible	[W]:			Sensible	[W]:		
Latente	[W]:			Deshumidificación	[W]:		
TOTAL	[W]:			TOTAL	[W]:		
Máx simultáneo		Mes:	0	Hora:	0		
Espacios				Sensible:	[W]:		
				Latente:	[W]:		
VENTILACION (*)				Sensible:	[W]:		
				Deshumidificación:	[W]:		
Ganancia por ventilación en espacios (sólo aire de renovación) (**)					[W]:		
TOTAL					[W]:		
(*)= Se considera el aire en el punto de rocío							
(**)= Un valor negativo significa que el aire resta potencia térmica.							

Calefacción							
Máx Simultáneo		Mes:	0	Hora:	0		
Espacios				Sensible:	[W]:		
VENTILACION				Sensible:	[W]:		
				Latente:	[W]:		
Ganancia por ventilación en espacios (sólo aire de renovación) (***)					[W]:		
TOTAL					[W]:		
(***) = Un valor negativo significa que el aire añade potencia al espacio.							

c) Potencia Espacios

Proyecto:

fecha:

Página 61

Zona:		Z calefactada														
Datos Generales					Potencia estival									Potencia invernal		
Esp.	Vol.	P	Ventilación		Sensible			Latente			H	M	S/T	Sensible		
					Esp.	Ventil.	Total	Esp.	Ventil.	Total				Pérd.	Vent.	Total
Cod.	[m³]	[n.]	[l/s]	Vol/h	[W]	[W]	[W]	[W]	[W]	[W]				[W]	[W]	[W]

4. DETALLE DE LAS POTENCIAS Y DE LAS CARGAS TERMICAS ESTIVALES E INVERNALES

Planta	PLANTA SOTANO-3		Zona	No climatizada		Esp.	E-1-Parking-3	
Sup. [m²]:	2,258.14		Volumen [m³]:	7,063.45		Altura [m]:	3.13	
PERSONAS								
Ocupación [n.]:	0		Sens. [W]/p:	0		Latente [W]/p:		
						Perfil horario:	1	
ILUMINACION								
Fijo [W/m²]:			Variable [W/m²]:			Código iluminación:	0	
						Perfil horario:	1	
EQUIPAMIENTOS								
Sensible. [W]:			Radiante [%]:			Latente [W/m²]:		
						Perfil horario:	1	
INFILTRACIONES								
Verano [Vol/h]:						Invierno [Vol/h]: 0.50		
AIRE EXTERIOR TRATADO								
[Vol/h]:						[l/s]:		

SUPERFICIES INTERCAMBIANTES			
Tipo	Orientación	Descripción	Area [m²]
Pared	Suelo exterior	Suelo contra terreno	2,258.14
Pared	Orientacion hacia espacio	Forjado interior FR35	2,258.14
Pared	Oeste	Cerramiento exterior E.4C	177.03
Pared	Sur	Cerramiento exterior E.4C	124.41
Pared	Este	Cerramiento exterior E.4C	159.90
Pared	NE	Cerramiento exterior E.4C	27.18
Pared	Norte	Cerramiento exterior E.4C	107.52

POTENCIA FRIGORIFICA Y CARGA TERMICA MAXIMA									
CARGA TERMICA MAXIMA EN VERANO						Mes:	0	Hora:	0
		Sensible [W]				Latente [W]			
Radiación solar									
Conducción									
Iluminación									
Ocupación									
Equipamientos									
Infiltraciones									S/T
Total									
Totale (Sensible + Latente) [W]:									
POTENCIA MAXIMA	Sens. [W]:		Total [W]:			Mes:	0	Hora:	0
CARGA TERMICA MAXIMA INVERNAL									
		Sensible [W]							
Conducción									
Infiltraciones									
		23,415.30							
Total									
		23,415.30							
POTENCIA MAXIMA						Mes:	1	Hora:	0

Planta	PLANTA SOTANO-2		Zona	No climatizada		Esp.	E-1.1-Parking-2	
Sup. [m²]:	2,258.24		Volumen [m³]:	6,435.98		Altura [m]:	2.85	
PERSONAS								
Ocupación [n.]:	0		Sens. [W]/p:	0		Latente [W]/p:		
						Perfil horario:	1	
ILUMINACION								
Fijo [W/m²]:			Variable [W/m²]:			Código iluminación:	0	
						Perfil horario:	1	
EQUIPAMIENTOS								
Sensible. [W]:			Radiante [%]:			Latente [W/m²]:		
						Perfil horario:	1	
INFILTRACIONES								
Verano [Vol/h]:						Invierno [Vol/h]: 0.50		
AIRE EXTERIOR TRATADO								
[Vol/h]:						[l/s]:		

SUPERFICIES INTERCAMBIANTES			
Tipo	Orientación	Descripción	Area [m²]
Pared	Orientacion hacia espacio	Forjado interior FR35	2,258.24
Pared	Tejado exterior	Forjado interior FR35	48.37
Pared	Orientacion hacia espacio	Forjado interior FR35	2,209.87
Pared	Oeste	Cerramiento exterior E.4C	161.31
Pared	Sur	Cerramiento exterior E.4C	113.35
Pared	Este	Cerramiento exterior E.4C	145.69
Pared	NE	Cerramiento exterior E.4C	24.76
Pared	Norte	Cerramiento exterior E.4C	97.96

POTENCIA FRIGORIFICA Y CARGA TERMICA MAXIMA									
CARGA TERMICA MAXIMA EN VERANO						Mes:	0	Hora:	0
		Sensible [W]				Latente [W]			
Radiación solar									
Conducción									
Iluminación									
Ocupación									
Equipamientos									
Infiltraciones								S/T	
Total									
Totale (Sensible + Latente) [W]:									
POTENCIA MAXIMA	Sens. [W]:		Total [W]:		Mes:	0	Hora:	0	
CARGA TERMICA MAXIMA INVERNAL									
		Sensible [W]							
Conducción									
Infiltraciones		21,335.30							
Total		21,335.30							
POTENCIA MAXIMA					Mes:	1	Hora:	0	

Planta	PLANTA SOTANO-1		Zona	No climatizada		Esp.	E-1.2-Parking-1.1	
Sup. [m²]:	1,371.40		Volumen [m³]:	4,289.73		Altura [m]:	3.13	
PERSONAS								
Ocupación [n.]:	0		Sens. [W]/p:	0		Latente [W]/p:		
						Perfil horario:	1	
ILUMINACION								
Fijo [W/m²]:			Variable [W/m²]:			Código iluminación:	0	
						Perfil horario:	1	
EQUIPAMIENTOS								
Sensible. [W]:			Radiante [%]:			Latente [W/m²]:		
						Perfil horario:	1	
INFILTRACIONES								
Verano [Vol/h]:						Invierno [Vol/h]: 0.50		
AIRE EXTERIOR TRATADO								
[Vol/h]:						[l/s]:		

SUPERFICIES INTERCAMBIANTES			
Tipo	Orientación	Descripción	Area [m²]
Pared	Suelo exterior	Suelo contra terreno	1,371.40
Pared	Orientacion hacia espacio	Forjado interior FR35	494.65
Pared	Orientacion hacia espacio	Forjado interior FR35	99.08
Pared	Orientacion hacia espacio	Forjado interior FR35	25.17
Pared	Orientacion hacia espacio	Forjado interior FR35	11.61
Pared	Orientacion hacia espacio	Forjado interior FR35	38.06
Pared	Orientacion hacia espacio	Forjado interior FR35	76.11
Pared	Orientacion hacia espacio	Forjado interior FR35	38.06
Pared	Orientacion hacia espacio	Forjado interior FR35	38.30
Pared	Orientacion hacia espacio	Forjado interior FR35	18.79
Pared	Orientacion hacia espacio	Forjado interior FR35	19.63
Pared	Orientacion hacia espacio	Forjado interior FR35	16.15
Pared	Orientacion hacia espacio	Forjado interior FR35	29.11
Pared	Oeste	Cerramiento exterior E.4C	161.71
Pared	Orientacion hacia espacio	Cerramiento exterior E.5C	96.60
Pared	NE	Cerrameinto exterior E.1	11.53
Pared	Norte	Cerrameinto exterior E.1	8.56
Pared	Este	Cerrameinto exterior E.1	135.18
Pared	N-NE	Cerramiento exterior E.4C	75.13
Pared	No	Cerramiento exterior E.4C	10.52

POTENCIA FRIGORIFICA Y CARGA TERMICA MAXIMA									
CARGA TERMICA MAXIMA EN VERANO						Mes:	0	Hora:	0
		Sensible [W]				Latente [W]			
Radiación solar									
Conducción									
Iluminación									
Ocupación									
Equipamientos									
Infiltraciones								S/T	
Total									
Totale (Sensible + Latente) [W]:									
POTENCIA MAXIMA		Sens. [W]:		Total [W]:		Mes:		0	Hora:
CARGA TERMICA MAXIMA INVERNAL									
		Sensible [W]							
Conducción									
Infiltraciones				14,220.50					
Total				14,220.50					
POTENCIA MAXIMA						Mes:		1	Hora:
									0

Planta	PLANTA SOTANO-1		Zona	No climatizada		Esp.	E-2-Parking -1.2	
Sup. [m²]:	2,206.55		Volumen [m³]:	6,288.68		Altura [m]:	2.85	
PERSONAS								
Ocupación [n.]:	0		Sens. [W]/p:	0		Latente [W]/p:		
						Perfil horario:	1	
ILUMINACION								
Fijo [W/m²]:			Variable [W/m²]:			Código iluminación:	0	
						Perfil horario:	1	
EQUIPAMIENTOS								
Sensible. [W]:			Radiante [%]:			Latente [W/m²]:		
						Perfil horario:	1	
INFILTRACIONES								
Verano [Vol/h]:						Invierno [Vol/h]: 0.50		
AIRE EXTERIOR TRATADO								
[Vol/h]:						[l/s]:		

SUPERFICIES INTERCAMBIANTES			
Tipo	Orientación	Descripción	Area [m²]
Pared	Orientacion hacia espacio	Forjado interior FR35	2,206.55
Pared	Tejado exterior	Forjado interior FR35	434.54
Pared	Orientacion hacia espacio	Forjado interior FR35	68.52
Pared	Orientacion hacia espacio	Forjado interior FR35	30.32
Pared	Orientacion hacia espacio	Forjado interior FR35	25.19
Pared	Orientacion hacia espacio	Forjado interior FR35	14.46
Pared	Orientacion hacia espacio	Forjado interior FR35	41.79
Pared	Orientacion hacia espacio	Forjado interior FR35	0.52
Pared	Orientacion hacia espacio	Forjado interior FR35	0.49
Pared	Orientacion hacia espacio	Forjado interior FR35	1,590.74
Pared	Oeste	Cerramiento exterior E.4C	147.96
Pared	Sur	Cerramiento exterior E.3A	28.82
Pared	Oeste	Cerramiento exterior E.3A	32.02
Pared	Sur	Cerramiento exterior E.1	83.80
Pared	Este	Cerramiento exterior E.3A	17.09
Pared	Sur	Cerramiento ext. 30cm	0.72
Pared	Este	Cerramiento exterior E.1	146.04
Pared	NE	Cerramiento exterior E.1	25.11
Pared	Orientacion hacia espacio	Cerramiento exterior E.5C	97.74

POTENCIA FRIGORIFICA Y CARGA TERMICA MAXIMA										
CARGA TERMICA MAXIMA EN VERANO						Mes:	0	Hora:	0	
		Sensible [W]				Latente [W]				
Radiación solar										
Conducción										
Iluminación										
Ocupación										
Equipamientos										
Infiltraciones								S/T		
Total										
Totale (Sensible + Latente) [W]:										
POTENCIA MAXIMA	Sens. [W]:			Total [W]:			Mes:	0	Hora:	0
CARGA TERMICA MAXIMA INVERNAL										
		Sensible [W]								
Conducción										
Infiltraciones		20,846.90								
Total		20,846.90								
POTENCIA MAXIMA							Mes:	1	Hora:	0

Planta	PLANTA BAJA	Zona		Esp.	-
Sup. [m²]:		Volumen [m³]:		Altura [m]:	
PERSONAS					
Ocupación [n.]:	0	Sens. [W]/p:	0	Latente [W]/p:	Perfil horario: 1
ILUMINACION					
Fijo [W/m²]:		Variable [W/m²]:		Código iluminación:	0 Perfil horario: 1
EQUIPAMIENTOS					
Sensible. [W]:		Radiante [%]:		Latente [W/m²]:	Perfil horario: 1
INFILTRACIONES					
Verano [Vol/h]:		NAN		Invierno [Vol/h]: NAN	
AIRE EXTERIOR TRATADO					
[Vol/h]:		NAN		[l/s]:	

SUPERFICIES INTERCAMBIANTES			
Tipo	Orientación	Descripción	Area [m²]

POTENCIA FRIGORIFICA Y CARGA TERMICA MAXIMA					
CARGA TERMICA MAXIMA EN VERANO				Mes:	0
		Sensible [W]		Latente [W]	
Radiación solar					
Conducción					
Iluminación					
Ocupación					
Equipamientos					
Infiltraciones					S/T
Total					
Totale (Sensible + Latente) [W]:					
POTENCIA MAXIMA	Sens. [W]:		Total [W]:	Mes:	0
CARGA TERMICA MAXIMA INVERNAL					
		Sensible [W]			
Conducción					
Infiltraciones					
Total					
POTENCIA MAXIMA				Mes:	1
				Hora:	0

Planta	PLANTA BAJA	Zona	Climatizada	Esp.	E-1-Polideportivo PB
Sup. [m²]:	1,552.04	Volumen [m³]:	19,710.86	Altura [m]:	12.70
PERSONAS					
Ocupación [n.]:	1552	Sens. [W]/p:	185	Latente [W]/p:	340.0
				Perfil horario:	12
ILUMINACION					
Fijo [W/m²]:	20.00	Variable [W/m²]:		Código iluminación:	2
				Perfil horario:	12
EQUIPAMIENTOS					
Sensible. [W]:	23,280.50	Radiante [%]:	0.45	Latente [W/m²]:	
				Perfil horario:	12
INFILTRACIONES					
Verano [Vol/h]:	0.30	Invierno [Vol/h]:	0.20		
AIRE EXTERIOR TRATADO					
[Vol/h]:	15.77	[l/s]:	86,346.67		

SUPERFICIES INTERCAMBIANTES			
Tipo	Orientación	Descripción	Area [m²]
Pared	Suelo exterior	Forjado interior FR35	0.07
Pared	Orientacion hacia espacio	Forjado interior FR35	1,551.96
Pared	Tejado exterior	Cubierta Polideportivo	1,556.75
Pared	Oeste	Cerrameinto exterior E.1	266.67
Pared	Orientacion hacia espacio	Cerramiento exterior E.2A	20.04
Pared	Orientacion hacia espacio	Cerramiento exterior E.2A	45.06
Pared	Norte	Cerramiento exterior E.3A	64.65
Pared	Este	Cerramiento exterior E.3A	3.78
Pared	Este	Cerrameinto exterior E.1	15.25
Pared	Sur	Cerrameinto exterior E.1	14.52
Pared	Sur	Cerramiento exterior E.3A	49.51
Pared	Orientacion hacia espacio	Cerramiento interior I.6A	9.38
Pared	Orientacion hacia espacio	Cerramiento interior I7	9.80
Pared	Oeste	Cerramiento ext. 30cm	153.53
Pared	Orientacion hacia espacio	Divisor 14,5cm	16.52
Pared	Sur	Cerramiento exterior E.2A	147.00
Pared	Este	Cerramiento ext. 30cm	334.43
Pared	Norte	Cerramiento exterior E.2A	92.64
Pared	Norte	Divisor 14,5cm	0.77
Pared	Orientacion hacia espacio	Divisor 14,5cm	75.96
Pared	Este	Divisor 14,5cm	0.93
Pared	Orientacion hacia espacio	Cerrameinto E.2B	33.08
Pared	Este	Cerramiento exterior E.2A	129.00
Pared	Norte	Cerramiento ext. 30cm	0.65
Pared	Orientacion hacia espacio	Cerramiento ext. 30cm	40.70
Ventana	Este	V25	17.48
Ventana	Este	V25	17.49
Ventana	Este	V25	17.49
Ventana	Este	V25	17.50
Ventana	Este	V25	17.51
Pared	Sur	Cerramiento ext. 30cm	79.39
Ventana	Sur	V09	1.54
Ventana	Oeste	V395	24.85
Ventana	Oeste	V35	25.42
Ventana	Oeste	V35	25.24
Ventana	Oeste	V35	24.49
Ventana	Oeste	V35	22.51
Ventana	Oeste	V35	22.88
Ventana	Oeste	V35	25.38

POTENCIA FRIGORIFICA Y CARGA TERMICA MAXIMA					
CARGA TERMICA MAXIMA EN VERANO				Mes:	7
				Hora:	17
	Sensible [W]		Latente [W]		
Radiación solar	60,669.50				
Conducción	30,617.20				
Iluminación	22,651.00				

Ocupación	287,120.00		527,680.00	
Equipamientos	20,014.90			
Infiltraciones	14,591.50		10,574.90	S/T
Total	435,664.00		538,254.90	0.45
Totale (Sensible + Latente) [W]:	973,918.90			
POTENCIA MAXIMA	Sens. [W]: 434,530.00	Total [W]: 971,383.80	Mes: 7	Hora: 17
CARGA TERMICA MAXIMA INVERNAL				
	Sensible [W]			
Conducción	52,048.40			
Infiltraciones	27,953.60			
Total	80,001.90			
POTENCIA MAXIMA	80,001.90		Mes: 1	Hora: 0

Planta	PLANTA BAJA	Zona	CL vestuarios	Esp.	E-10-Vestuario 0.1 P
Sup. [m²]:	36.57	Volumen [m³]:	127.98	Altura [m]:	3.50
PERSONAS					
Ocupación [n.]:	12	Sens. [W]/p:	75	Latente [W]/p:	75.0
				Perfil horario:	12
ILUMINACION					
Fijo [W/m²]:	20.00	Variable [W/m²]:		Código iluminación:	2
				Perfil horario:	12
EQUIPAMIENTOS					
Sensible. [W]:	300.00	Radiante [%]:	0.45	Latente [W/m²]:	
				Perfil horario:	12
INFILTRACIONES					
Verano [Vol/h]:	0.30	Invierno [Vol/h]:	0.20		
AIRE EXTERIOR TRATADO					
[Vol/h]:	8.78	[l/s]:	312.22		

SUPERFICIES INTERCAMBIANTES			
Tipo	Orientación	Descripción	Area [m²]
Pared	Orientacion hacia espacio	Forjado interior FR35	11.73
Pared	Orientacion hacia espacio	Forjado interior FR35	24.84
Pared	Tejado exterior	Cubierta No Transible	31.65
Pared	Orientacion hacia espacio	Cubierta No Transible	2.06
Pared	Oeste	Cerramiento exterior E.4C	27.39
Pared	Orientacion hacia espacio	Cerramiento interiores I.1	27.39

POTENCIA FRIGORIFICA Y CARGA TERMICA MAXIMA					
CARGA TERMICA MAXIMA EN VERANO			Mes:	7	Hora: 15
	Sensible [W]		Latente [W]		
Radiación solar					
Conducción	560.50				
Iluminación	577.20				
Ocupación	793.10		900.00		
Equipamientos	262.70				
Infiltraciones	107.10		68.70		S/T
Total	2,300.50		968.70		0.70
Totale (Sensible + Latente) [W]:	3,269.20				
POTENCIA MAXIMA	Sens. [W]: 2,470.70	Total [W]: 3,511.00	Mes:	7	Hora: 13
CARGA TERMICA MAXIMA INVERNAL					
	Sensible [W]				
Conducción	975.00				
Infiltraciones	181.50				
Total	1,156.50				
POTENCIA MAXIMA	1,272.20		Mes:	1	Hora: 0

Planta	PLANTA BAJA		Zona	CL sala deportiva		Esp.	E-11-Gimansio 0.1 PB	
Sup. [m²]:	674.28		Volumen [m³]:	5,873.61		Altura [m]:	8.71	
PERSONAS								
Ocupación [n.]:	160	Sens. [W]/p:	185	Latente [W]/p:	340.0	Perfil horario:	12	
ILUMINACION								
Fijo [W/m²]:	26.00	Variable [W/m²]:		Código iluminación:	2	Perfil horario:	12	
EQUIPAMIENTOS								
Sensible. [W]:	1,000.00	Radiante [%]:	0.45	Latente [W/m²]:		Perfil horario:	12	
INFILTRACIONES								
Verano [Vol/h]:	0.30			Invierno [Vol/h]:	0.20			
AIRE EXTERIOR TRATADO								
[Vol/h]:	0.87			[l/s]:	1,421.06			

SUPERFICIES INTERCAMBIANTES			
Tipo	Orientación	Descripción	Area [m²]
Pared	Orientacion hacia espacio	Forjado interior FR35	467.99
Pared	Orientacion hacia espacio	Forjado interior FR35	75.38
Pared	Orientacion hacia espacio	Forjado interior FR35	16.15
Pared	Tejado exterior	Forjado interior FR35	55.11
Pared	Orientacion hacia espacio	Forjado interior FR35	61.28
Pared	Orientacion hacia espacio	Forjado interior FR35	35.22
Pared	Orientacion hacia espacio	Cerramiento interiores I.1	11.43
Pared	N-NE	Cerramiento exterior E.4B	41.18
Pared	Este	Cerrameinto exterior E.1	34.07
Pared	Orientacion hacia espacio	Cerrameinto exterior E.1	25.60
Pared	Orientacion hacia espacio	Cerramiento interior I.6A	20.38
Pared	Orientacion hacia espacio	Cerramiento interiores I.1	54.53
Pared	Oeste	Cerramiento exterior E.4D	200.12
Pared	Oeste	Cerrameinto exterior E.1	1.01
Pared	N-NE	Cerrameinto exterior E.4A	91.65
Pared	No	Cerrameinto exterior E.4A	19.85
Pared	Orientacion hacia espacio	Cerramiento interior I.2	22.43
Pared	Este	Divisor 14,5cm	47.18
Ventana	Este	V35	21.55
Ventana	Este	V35	14.00
Ventana	Este	V35	14.00
Ventana	Este	V35	14.00
Pared	Oeste	Cerramiento ext. 30cm	34.63
Ventana	Oeste	V11	7.94
Ventana	Este	V35	25.31
Pared	Este	Cerramiento ext. 30cm	82.51
Ventana	Este	V35	25.32
Ventana	Este	V35	25.31
Ventana	Este	V35	21.95

POTENCIA FRIGORIFICA Y CARGA TERMICA MAXIMA					
CARGA TERMICA MAXIMA EN VERANO			Mes:	7	Hora: 10
	Sensible [W]		Latente [W]		
Radiación solar	46,564.10				
Conducción	6,252.50				
Iluminación	12,398.10				
Ocupación	25,033.30		54,400.00		
Equipamientos	840.30				
Infiltraciones	1,741.60		3,151.20	S/T	
Total	92,829.90		57,551.20		0.62
Totale (Sensible + Latente) [W]:	150,381.10				
POTENCIA MAXIMA	Sens. [W]: 98,684.30	Total [W]: 159,865.10	Mes: 7	Hora: 10	
CARGA TERMICA MAXIMA INVERNAL					
	Sensible [W]				

Conducción	24,576.80				
Infiltraciones	8,329.80				
Total	32,906.70				
POTENCIA MAXIMA	36,197.30		Mes:	1	Hora: 0

Planta	PLANTA BAJA		Zona	No climatizada		Esp.	E-12-Escalera 0.3 PB	
Sup. [m²]:	21.37		Volumen [m³]:	74.80		Altura [m]:	3.50	
PERSONAS								
Ocupación [n.]:	0		Sens. [W]/p:	0		Latente [W]/p:	Perfil horario: 1	
ILUMINACION								
Fijo [W/m²]:			Variable [W/m²]:			Código iluminación:	0 Perfil horario: 1	
EQUIPAMIENTOS								
Sensible. [W]:			Radiante [%]:			Latente [W/m²]:	Perfil horario: 1	
INFILTRACIONES								
Verano [Vol/h]:			Invierno [Vol/h]:			0.50		
AIRE EXTERIOR TRATADO								
[Vol/h]:			[l/s]:					

SUPERFICIES INTERCAMBIANTES			
Tipo	Orientación	Descripción	Area [m²]
Pared	Orientacion hacia espacio	Forjado interior FR35	21.37
Pared	Orientacion hacia espacio	Forjado interior FR35	9.82
Pared	Orientacion hacia espacio	Forjado interior FR35	11.55
Pared	Orientacion hacia espacio	Cerrameinto exterior E.1	25.21
Pared	Sur	Cerramiento exterior E.5B	11.23
Pared	Este	Cerramiento exterior E.5B	21.42
Pared	N-NE	Cerramiento exterior E.4B	11.85

POTENCIA FRIGORIFICA Y CARGA TERMICA MAXIMA									
CARGA TERMICA MAXIMA EN VERANO						Mes:	0	Hora:	0
	Sensible [W]		Latente [W]						
Radiación solar									
Conducción									
Iluminación									
Ocupación									
Equipamientos									
Infiltraciones						S/T			
Total									
Totale (Sensible + Latente) [W]:									
POTENCIA MAXIMA	Sens. [W]:	Total [W]:		Mes:	0	Hora:	0		
CARGA TERMICA MAXIMA INVERNAL									
	Sensible [W]								
Conducción									
Infiltraciones	247.90								
Total	247.90								
POTENCIA MAXIMA			Mes:	1	Hora:	0			

Planta	PLANTA BAJA		Zona	CL oficinas		Esp.	E-13-Monitor 0.3 PB	
Sup. [m²]:	22.64		Volumen [m³]:	79.23		Altura [m]:	3.50	
PERSONAS								
Ocupación [n.]:	3	Sens. [W]/p:	185	Latente [W]/p:	340.0	Perfil horario:	12	
ILUMINACION								
Fijo [W/m²]:	25.00	Variable [W/m²]:		Código iluminación:	2	Perfil horario:	12	
EQUIPAMIENTOS								
Sensible. [W]:	1,100.00	Radiante [%]:	0.45	Latente [W/m²]:		Perfil horario:	12	
INFILTRACIONES								
Verano [Vol/h]:	0.30			Invierno [Vol/h]:	0.20			
AIRE EXTERIOR TRATADO								
[Vol/h]:	1.92			[l/s]:	42.25			

SUPERFICIES INTERCAMBIANTES			
Tipo	Orientación	Descripción	Area [m²]
Pared	Orientacion hacia espacio	Forjado interior FR35	22.64
Pared	Orientacion hacia espacio	Divisor 14,5cm	48.23

POTENCIA FRIGORIFICA Y CARGA TERMICA MAXIMA											
CARGA TERMICA MAXIMA EN VERANO						Mes:	7	Hora:	18		
				Sensible [W]			Latente [W]				
Radiación solar											
Conducción					399.80						
Iluminación					457.90						
Ocupación					495.70		1,020.00				
Equipamientos					982.50						
Infiltraciones					50.20		42.50	S/T			
Total					2,386.10		1,062.50	0.69			
Totale (Sensible + Latente) [W]:					3,448.70						
POTENCIA MAXIMA		Sens. [W]:		2,514.40	Total [W]:		3,634.00	Mes:	7	Hora:	14
CARGA TERMICA MAXIMA INVERNAL											
				Sensible [W]							
Conducción					581.00						
Infiltraciones					112.40						
Total					693.30						
POTENCIA MAXIMA					762.70			Mes:	1	Hora:	0

Planta	PLANTA BAJA		Zona	No climatizada		Esp.	E-14-Vestibulo PB	
Sup. [m²]:	121.12		Volumen [m³]:	423.94		Altura [m]:	3.50	
PERSONAS								
Ocupación [n.]:	0		Sens. [W]/p:	0		Latente [W]/p:		
						Perfil horario:	1	
ILUMINACION								
Fijo [W/m²]:			Variable [W/m²]:			Código iluminación:	0	
						Perfil horario:	1	
EQUIPAMIENTOS								
Sensible. [W]:			Radiante [%]:			Latente [W/m²]:		
						Perfil horario:	1	
INFILTRACIONES								
Verano [Vol/h]:						Invierno [Vol/h]: 0.50		
AIRE EXTERIOR TRATADO								
[Vol/h]:						[l/s]:		

SUPERFICIES INTERCAMBIANTES			
Tipo	Orientación	Descripción	Area [m²]
Pared	Orientacion hacia espacio	Forjado interior FR35	92.84
Pared	Orientacion hacia espacio	Forjado interior FR35	28.29
Pared	Orientacion hacia espacio	Forjado interior FR35	8.48
Pared	Orientacion hacia espacio	Forjado interior FR35	112.65
Pared	Orientacion hacia espacio	Cerramiento interiores I.1	27.06
Pared	Orientacion hacia espacio	Cerramiento interiores I.1	27.21
Pared	Orientacion hacia espacio	Cerramiento exterior E.2A	18.92
Pared	Orientacion hacia espacio	Cerramiento interior I7	17.60
Pared	Orientacion hacia espacio	Cerramiento exterior E.5C	21.23
Pared	Este	Cerrameinto exterior E.1	4.25
Pared	Orientacion hacia espacio	Cerramiento interior I.6A	19.54
Pared	Orientacion hacia espacio	Divisor 14,5cm	51.80
Ventana	Este	V35	8.00
Ventana	Este	V35	25.31

POTENCIA FRIGORIFICA Y CARGA TERMICA MAXIMA										
CARGA TERMICA MAXIMA EN VERANO						Mes:	0	Hora:	0	
		Sensible [W]				Latente [W]				
Radiación solar										
Conducción										
Iluminación										
Ocupación										
Equipamientos										
Infiltraciones								S/T		
Total										
Totale (Sensible + Latente) [W]:										
POTENCIA MAXIMA	Sens. [W]:			Total [W]:			Mes:	0	Hora:	0
CARGA TERMICA MAXIMA INVERNAL										
		Sensible [W]								
Conducción										
Infiltraciones				1,405.40						
Total				1,405.40						
POTENCIA MAXIMA						Mes:		1	Hora:	0

Planta	PLANTA BAJA	Zona	No climatizada	Esp.	E-15-Escalera y vest
Sup. [m²]:	58.90	Volumen [m³]:	206.15	Altura [m]:	3.50
PERSONAS					
Ocupación [n.]:	0	Sens. [W]/p:	0	Latente [W]/p:	Perfil horario: 1
ILUMINACION					
Fijo [W/m²]:		Variable [W/m²]:		Código iluminación:	0 Perfil horario: 1
EQUIPAMIENTOS					
Sensible. [W]:		Radiante [%]:		Latente [W/m²]:	Perfil horario: 1
INFILTRACIONES					
Verano [Vol/h]:				Invierno [Vol/h]:	0.50
AIRE EXTERIOR TRATADO					
[Vol/h]:				[l/s]:	

SUPERFICIES INTERCAMBIANTES			
Tipo	Orientación	Descripción	Area [m²]
Pared	Orientacion hacia espacio	Forjado interior FR35	58.90
Pared	Orientacion hacia espacio	Forjado interior FR35	58.90
Pared	Orientacion hacia espacio	Cerramiento interior I7	15.82
Pared	Orientacion hacia espacio	Cerramiento exterior E.2A	44.56
Pared	Este	Cerramiento exterior E.5C	13.53
Pared	NE	Cerramiento exterior E.5C	0.35
Pared	Norte	Cerramiento exterior E.5C	21.17
Pared	Orientacion hacia espacio	Cerramiento exterior E.5C	20.21
Pared	NE	Cerramiento ext. 30cm	1.78
Ventana	NE	V2	2.37

POTENCIA FRIGORIFICA Y CARGA TERMICA MAXIMA									
CARGA TERMICA MAXIMA EN VERANO						Mes:	0	Hora:	0
		Sensible [W]		Latente [W]					
Radiación solar									
Conducción									
Iluminación									
Ocupación									
Equipamientos									
Infiltraciones								S/T	
Total									
Totale (Sensible + Latente) [W]:									
POTENCIA MAXIMA	Sens. [W]:		Total [W]:			Mes:	0	Hora:	0
CARGA TERMICA MAXIMA INVERNAL									
		Sensible [W]							
Conducción									
Infiltraciones		683.40							
Total		683.40							
POTENCIA MAXIMA						Mes:	1	Hora:	0

Planta	PLANTA BAJA		Zona	Z VRV		Esp.	E-16-Monitor 0.1 PB	
Sup. [m²]:	28.07		Volumen [m³]:	98.23		Altura [m]:	3.50	
PERSONAS								
Ocupación [n.]:	3	Sens. [W]/p:	185	Latente [W]/p:	340.0	Perfil horario:	12	
ILUMINACION								
Fijo [W/m²]:	60.00	Variable [W/m²]:		Código iluminación:	2	Perfil horario:	12	
EQUIPAMIENTOS								
Sensible. [W]:	2,500.00	Radiante [%]:	0.45	Latente [W/m²]:		Perfil horario:	12	
INFILTRACIONES								
Verano [Vol/h]:			Invierno [Vol/h]:					
AIRE EXTERIOR TRATADO								
[Vol/h]:			[l/s]:					

SUPERFICIES INTERCAMBIANTES			
Tipo	Orientación	Descripción	Area [m²]
Pared	Suelo exterior	Forjado interior FR35	27.75
Pared	Orientacion hacia espacio	Forjado interior FR35	0.31
Pared	Tejado exterior	Cubierta No Transible	27.88
Pared	Orientacion hacia espacio	Cerramiento interior I.6A	19.07
Pared	Este	Cerramiento exterior E.3A	11.71
Pared	Sur	Cerramiento ext. 30cm	15.15
Pared	Este	Cerramiento ext. 30cm	6.83
Ventana	Sur	V09	2.50

POTENCIA FRIGORIFICA Y CARGA TERMICA MAXIMA									
CARGA TERMICA MAXIMA EN VERANO						Mes:	9	Hora:	14
		Sensible [W]				Latente [W]			
Radiación solar		689.80							
Conducción		233.90							
Iluminación		1,318.20							
Ocupación		486.50				1,020.00			
Equipamientos		2,201.60							
Infiltraciones								S/T	
Total		4,929.90				1,020.00		0.83	
Totale (Sensible + Latente) [W]:		5,949.90							
POTENCIA MAXIMA	Sens. [W]:	4,929.90	Total [W]:	5,949.90	Mes:	7	Hora:	15	
CARGA TERMICA MAXIMA INVERNAL									
		Sensible [W]							
Conducción		1,084.70							
Infiltraciones									
Total		1,084.70							
POTENCIA MAXIMA		1,084.70			Mes:	1	Hora:	0	

Planta	PLANTA BAJA		Zona	No climatizada		Esp.	E-17-Almacén 0.1 PB	
Sup. [m²]:	13.18		Volumen [m³]:	46.13		Altura [m]:	3.50	
PERSONAS								
Ocupación [n.]:	0		Sens. [W]/p:	0		Latente [W]/p:		
						Perfil horario:	1	
ILUMINACION								
Fijo [W/m²]:			Variable [W/m²]:			Código iluminación:	0	
						Perfil horario:	1	
EQUIPAMIENTOS								
Sensible. [W]:			Radiante [%]:			Latente [W/m²]:		
						Perfil horario:	1	
INFILTRACIONES								
Verano [Vol/h]:						Invierno [Vol/h]: 0.50		
AIRE EXTERIOR TRATADO								
[Vol/h]:						[l/s]:		

SUPERFICIES INTERCAMBIANTES			
Tipo	Orientación	Descripción	Area [m²]
Pared	Suelo exterior	Forjado interior FR35	11.22
Pared	Orientación hacia espacio	Forjado interior FR35	1.96
Pared	Tejado exterior	Cubierta No Transible	13.18
Pared	Orientación hacia espacio	Cerramiento interior I.6A	18.75
Pared	Orientación hacia espacio	Cerramiento interior I.6A	8.54
Pared	Orientación hacia espacio	Cerramiento interior I.6A	19.04
Pared	Sur	Cerramiento exterior E.3A	1.63
Pared	Sur	Cerramiento ext. 30cm	5.93

POTENCIA FRIGORIFICA Y CARGA TERMICA MAXIMA									
CARGA TERMICA MAXIMA EN VERANO						Mes:	0	Hora:	0
		Sensible [W]				Latente [W]			
Radiación solar									
Conducción									
Iluminación									
Ocupación									
Equipamientos									
Infiltraciones									S/T
Total									
Totale (Sensible + Latente) [W]:									
POTENCIA MAXIMA	Sens. [W]:		Total [W]:			Mes:	0	Hora:	0
CARGA TERMICA MAXIMA INVERNAL									
		Sensible [W]							
Conducción									
Infiltraciones									
Total									
POTENCIA MAXIMA						Mes:	1	Hora:	0

Planta	PLANTA BAJA		Zona	Z VRV		Esp.	E-18-Monitor 0.2 PB	
Sup. [m²]:	40.17		Volumen [m³]:	140.59		Altura [m]:	3.50	
PERSONAS								
Ocupación [n.]:	5	Sens. [W]/p:	185		Latente [W]/p:	340.0	Perfil horario:	12
ILUMINACION								
Fijo [W/m²]:	60.00	Variable [W/m²]:			Código iluminación:	2	Perfil horario:	12
EQUIPAMIENTOS								
Sensible. [W]:	3,700.00	Radiante [%]:	0.45		Latente [W/m²]:		Perfil horario:	12
INFILTRACIONES								
Verano [Vol/h]:			Invierno [Vol/h]:					
AIRE EXTERIOR TRATADO								
[Vol/h]:			[l/s]:					

SUPERFICIES INTERCAMBIANTES			
Tipo	Orientación	Descripción	Area [m²]
Pared	Orientacion hacia espacio	Forjado interior FR35	40.17
Pared	Tejado exterior	Cubierta No Transible	38.26
Pared	Orientacion hacia espacio	Cubierta No Transible	1.34
Pared	Orientacion hacia espacio	Cerramiento interior I.6A	17.82
Pared	Sur	Cerramiento exterior E.3A	1.66
Pared	Orientacion hacia espacio	Cerramiento interior I.6A	18.72
Pared	Sur	Cerramiento ext. 30cm	21.45

POTENCIA FRIGORIFICA Y CARGA TERMICA MAXIMA									
CARGA TERMICA MAXIMA EN VERANO						Mes:	7	Hora:	20
	Sensible [W]				Latente [W]				
Radiación solar									
Conducción	659.60								
Iluminación	1,962.90								
Ocupación	827.20				1,700.00				
Equipamientos	3,321.50								
Infiltraciones							S/T		
Total	6,771.10				1,700.00		0.80		
Totale (Sensible + Latente) [W]:			8,471.10						
POTENCIA MAXIMA	Sens. [W]:	6,771.10	Total [W]:	8,471.10	Mes:	6	Hora:	12	
CARGA TERMICA MAXIMA INVERNAL									
	Sensible [W]								
Conducción	939.00								
Infiltraciones									
Total	939.00								
POTENCIA MAXIMA	939.00				Mes:	1	Hora:	0	

Planta	PLANTA BAJA		Zona	No climatizada		Esp.	E-19-Escalera 0.6 PB	
Sup. [m²]:	13.44		Volumen [m³]:	47.03		Altura [m]:	3.50	
PERSONAS								
Ocupación [n.]:	0		Sens. [W]/p:	0		Latente [W]/p:	Perfil horario: 1	
ILUMINACION								
Fijo [W/m²]:			Variable [W/m²]:			Código iluminación:	0 Perfil horario: 1	
EQUIPAMIENTOS								
Sensible. [W]:			Radiante [%]:			Latente [W/m²]:	Perfil horario: 1	
INFILTRACIONES								
Verano [Vol/h]:			Invierno [Vol/h]:			0.50		
AIRE EXTERIOR TRATADO								
[Vol/h]:			[l/s]:					

SUPERFICIES INTERCAMBIANTES			
Tipo	Orientación	Descripción	Area [m²]
Pared	Orientacion hacia espacio	Forjado interior FR35	13.44
Pared	Orientacion hacia espacio	Forjado interior FR35	13.44
Pared	Oeste	Cerramiento exterior E.3A	3.33
Pared	Sur	Cerramiento exterior E.3A	9.39
Pared	Orientacion hacia espacio	Cerramiento interior I.6A	17.71
Pared	Orientacion hacia espacio	Cerramiento interior I7	9.38
Pared	Oeste	Cerramiento ext. 30cm	12.49

POTENCIA FRIGORIFICA Y CARGA TERMICA MAXIMA									
CARGA TERMICA MAXIMA EN VERANO						Mes:	0	Hora:	0
	Sensible [W]		Latente [W]						
Radiación solar									
Conducción									
Iluminación									
Ocupación									
Equipamientos									
Infiltraciones						S/T			
Total									
Totale (Sensible + Latente) [W]:									
POTENCIA MAXIMA	Sens. [W]:	Total [W]:		Mes:	0	Hora:	0		
CARGA TERMICA MAXIMA INVERNAL									
	Sensible [W]								
Conducción									
Infiltraciones	155.90								
Total	155.90								
POTENCIA MAXIMA			Mes:	1	Hora:	0			

Planta	PLANTA BAJA		Zona	No climatizada		Esp.	E-3-Office PB	
Sup. [m²]:	14.91		Volumen [m³]:	52.17		Altura [m]:	3.50	
PERSONAS								
Ocupación [n.]:	0		Sens. [W]/p:	0		Latente [W]/p:		
						Perfil horario:	1	
ILUMINACION								
Fijo [W/m²]:			Variable [W/m²]:			Código iluminación:	0	
						Perfil horario:	1	
EQUIPAMIENTOS								
Sensible. [W]:			Radiante [%]:			Latente [W/m²]:		
						Perfil horario:	1	
INFILTRACIONES								
Verano [Vol/h]:						Invierno [Vol/h]: 0.50		
AIRE EXTERIOR TRATADO								
[Vol/h]:						[l/s]:		

SUPERFICIES INTERCAMBIANTES			
Tipo	Orientación	Descripción	Area [m²]
Pared	Orientacion hacia espacio	Forjado interior FR35	14.91
Pared	Orientacion hacia espacio	Forjado interior FR35	14.91
Pared	Oeste	Cerramiento exterior E.4C	6.78
Pared	No	Cerramiento exterior E.4C	11.77
Pared	N-NE	Cerramiento exterior E.4C	7.17
Pared	Orientacion hacia espacio	Cerramiento interiores I.1	11.35
Pared	Orientacion hacia espacio	Cerramiento interior I.5	16.36

POTENCIA FRIGORIFICA Y CARGA TERMICA MAXIMA										
CARGA TERMICA MAXIMA EN VERANO						Mes:	0	Hora:	0	
		Sensible [W]				Latente [W]				
Radiación solar										
Conducción										
Iluminación										
Ocupación										
Equipamientos										
Infiltraciones								S/T		
Total										
Totale (Sensible + Latente) [W]:										
POTENCIA MAXIMA	Sens. [W]:			Total [W]:			Mes:	0	Hora:	0
CARGA TERMICA MAXIMA INVERNAL										
		Sensible [W]								
Conducción										
Infiltraciones		173.00								
Total		173.00								
POTENCIA MAXIMA							Mes:	1	Hora:	0

Planta	PLANTA BAJA	Zona	CL vestuarios	Esp.	E-4-Vestuario 0.6 PB
Sup. [m²]:	17.62	Volumen [m³]:	61.66	Altura [m]:	3.50
PERSONAS					
Ocupación [n.]:	6	Sens. [W]/p:	75	Latente [W]/p:	75.0
				Perfil horario:	12
ILUMINACION					
Fijo [W/m²]:	20.00	Variable [W/m²]:		Código iluminación:	2
				Perfil horario:	12
EQUIPAMIENTOS					
Sensible. [W]:	264.30	Radiante [%]:	0.45	Latente [W/m²]:	
				Perfil horario:	12
INFILTRACIONES					
Verano [Vol/h]:	0.30	Invierno [Vol/h]:	0.20		
AIRE EXTERIOR TRATADO					
[Vol/h]:	9.05	[l/s]:	155.00		

SUPERFICIES INTERCAMBIANTES			
Tipo	Orientación	Descripción	Area [m²]
Pared	Orientacion hacia espacio	Forjado interior FR35	17.62
Pared	Oeste	Cerramiento exterior E.4C	13.20
Pared	Orientacion hacia espacio	Cerramiento interior I.5	16.36

POTENCIA FRIGORIFICA Y CARGA TERMICA MAXIMA					
CARGA TERMICA MAXIMA EN VERANO			Mes:	7	Hora: 15
	Sensible [W]		Latente [W]		
Radiación solar					
Conducción	217.10				
Iluminación	276.40				
Ocupación	394.00		450.00		
Equipamientos	228.40				
Infiltraciones	51.60		33.10		S/T
Total	1,167.50		483.10		0.71
Totale (Sensible + Latente) [W]:		1,650.60			
POTENCIA MAXIMA	Sens. [W]: 1,233.20	Total [W]: 1,743.50	Mes:	7	Hora: 14
CARGA TERMICA MAXIMA INVERNAL					
	Sensible [W]				
Conducción	373.00				
Infiltraciones	87.40				
Total	460.40				
POTENCIA MAXIMA	506.50		Mes:	1	Hora: 0

Planta	PLANTA BAJA	Zona	CL vestuarios	Esp.	E-5-Vestuarios 0.5 P
Sup. [m²]:	16.80	Volumen [m³]:	58.80	Altura [m]:	3.50
PERSONAS					
Ocupación [n.]:	6	Sens. [W]/p:	75	Latente [W]/p:	75.0
				Perfil horario:	12
ILUMINACION					
Fijo [W/m²]:	20.00	Variable [W/m²]:		Código iluminación:	2
				Perfil horario:	12
EQUIPAMIENTOS					
Sensible. [W]:	252.00	Radiante [%]:	0.45	Latente [W/m²]:	
				Perfil horario:	12
INFILTRACIONES					
Verano [Vol/h]:	0.30	Invierno [Vol/h]:	0.20		
AIRE EXTERIOR TRATADO					
[Vol/h]:	8.62	[l/s]:	140.83		

SUPERFICIES INTERCAMBIANTES

Tipo	Orientación	Descripción	Area [m²]
Pared	Orientacion hacia espacio	Forjado interior FR35	16.80
Pared	Oeste	Cerramiento exterior E.4C	12.58

POTENCIA FRIGORIFICA Y CARGA TERMICA MAXIMA

CARGA TERMICA MAXIMA EN VERANO				Mes:	7	Hora:	15	
	Sensible [W]			Latente [W]				
Radiación solar								
Conducción	101.90							
Iluminación	263.60							
Ocupación	394.00			450.00				
Equipamientos	217.80							
Infiltraciones	49.20			31.50		S/T		
Total	1,026.50			481.50		0.68		
Totale (Sensible + Latente) [W]:			1,508.00					
POTENCIA MAXIMA	Sens. [W]:	1,078.30	Total [W]:	1,584.20	Mes:	7	Hora:	15
CARGA TERMICA MAXIMA INVERNAL								
	Sensible [W]							
Conducción	249.20							
Infiltraciones	83.40							
Total	332.60							
POTENCIA MAXIMA	365.80			Mes:	1	Hora:	0	

Planta	PLANTA BAJA	Zona	CL vestuarios	Esp.	E-6-Vestuario 0.4 PB
Sup. [m²]:	35.61	Volumen [m³]:	124.63	Altura [m]:	3.50
PERSONAS					
Ocupación [n.]:	12	Sens. [W]/p:	75	Latente [W]/p:	75.0
				Perfil horario:	12
ILUMINACION					
Fijo [W/m²]:	20.00	Variable [W/m²]:		Código iluminación:	2
				Perfil horario:	12
EQUIPAMIENTOS					
Sensible. [W]:	300.00	Radiante [%]:	0.45	Latente [W/m²]:	
				Perfil horario:	12
INFILTRACIONES					
Verano [Vol/h]:	0.30	Invierno [Vol/h]:	0.20		
AIRE EXTERIOR TRATADO					
[Vol/h]:	7.90	[l/s]:	273.33		

SUPERFICIES INTERCAMBIANTES

Tipo	Orientación	Descripción	Area [m²]
Pared	Orientacion hacia espacio	Forjado interior FR35	35.61
Pared	Oeste	Cerramiento exterior E.4C	26.67

POTENCIA FRIGORIFICA Y CARGA TERMICA MAXIMA

CARGA TERMICA MAXIMA EN VERANO					Mes:	7	Hora:	15
	Sensible [W]			Latente [W]				
Radiación solar								
Conducción	219.90							
Iluminación	562.10							
Ocupación	793.10			900.00				
Equipamientos	262.70							
Infiltraciones	104.30			66.90		S/T		
Total	1,942.00			966.90		0.67		
Totale (Sensible + Latente) [W]:			2,908.90					
POTENCIA MAXIMA	Sens. [W]:	2,052.40	Total [W]:	3,074.20	Mes:	7	Hora:	15
CARGA TERMICA MAXIMA INVERNAL								
	Sensible [W]							
Conducción	528.10							
Infiltraciones	176.70							
Total	704.90							
POTENCIA MAXIMA	775.40			Mes:	1	Hora:	0	

Planta	PLANTA BAJA	Zona	CL vestuarios	Esp.	E-7-Vestuario 0.3 PB
Sup. [m²]:	35.37	Volumen [m³]:	123.81	Altura [m]:	3.50
PERSONAS					
Ocupación [n.]:	12	Sens. [W]/p:	75	Latente [W]/p:	75.0
				Perfil horario:	12
ILUMINACION					
Fijo [W/m²]:	20.00	Variable [W/m²]:		Código iluminación:	2
				Perfil horario:	12
EQUIPAMIENTOS					
Sensible. [W]:	300.00	Radiante [%]:	0.45	Latente [W/m²]:	
				Perfil horario:	12
INFILTRACIONES					
Verano [Vol/h]:	0.30	Invierno [Vol/h]:	0.20		
AIRE EXTERIOR TRATADO					
[Vol/h]:	8.25	[l/s]:	283.61		

SUPERFICIES INTERCAMBIANTES			
Tipo	Orientación	Descripción	Area [m²]
Pared	Orientacion hacia espacio	Forjado interior FR35	35.37
Pared	Oeste	Cerramiento exterior E.4C	26.50
Pared	Orientacion hacia espacio	Cerramiento interior I.5	16.36

POTENCIA FRIGORIFICA Y CARGA TERMICA MAXIMA							
CARGA TERMICA MAXIMA EN VERANO				Mes:	7	Hora:	15
	Sensible [W]		Latente [W]				
Radiación solar							
Conducción	326.70						
Iluminación	558.40						
Ocupación	793.10		900.00				
Equipamientos	262.70						
Infiltraciones	103.60		66.40			S/T	
Total	2,044.50		966.40			0.68	
Totale (Sensible + Latente) [W]:	3,010.90						
POTENCIA MAXIMA	Sens. [W]: 2,167.40	Total [W]: 3,191.90	Mes:	7	Hora:	14	
CARGA TERMICA MAXIMA INVERNAL							
	Sensible [W]						
Conducción	629.30						
Infiltraciones	175.60						
Total	804.90						
POTENCIA MAXIMA	885.40		Mes:	1	Hora:	0	

Planta	PLANTA BAJA		Zona	No climatizada		Esp.	E-8-Servicios 2 y 1	
Sup. [m²]:	72.06		Volumen [m³]:	252.20		Altura [m]:	3.50	
PERSONAS								
Ocupación [n.]:	0		Sens. [W]/p:	0		Latente [W]/p:	Perfil horario: 1	
ILUMINACION								
Fijo [W/m²]:			Variable [W/m²]:			Código iluminación:	0 Perfil horario: 1	
EQUIPAMIENTOS								
Sensible. [W]:			Radiante [%]:			Latente [W/m²]:	Perfil horario: 1	
INFILTRACIONES								
Verano [Vol/h]:			Invierno [Vol/h]:			0.50		
AIRE EXTERIOR TRATADO								
[Vol/h]:			[l/s]:					

SUPERFICIES INTERCAMBIANTES			
Tipo	Orientación	Descripción	Area [m²]
Pared	Orientacion hacia espacio	Forjado interior FR35	72.06
Pared	Orientacion hacia espacio	Forjado interior FR35	72.06
Pared	Oeste	Cerramiento exterior E.4C	53.97
Pared	Orientacion hacia espacio	Cerramiento interior I.5	16.36
Pared	Orientacion hacia espacio	Cerramiento interiores I.1	53.97
Pared	Orientacion hacia espacio	Cerramiento interior I.5	16.36

POTENCIA FRIGORIFICA Y CARGA TERMICA MAXIMA										
CARGA TERMICA MAXIMA EN VERANO						Mes:	0	Hora:	0	
		Sensible [W]				Latente [W]				
Radiación solar										
Conducción										
Iluminación										
Ocupación										
Equipamientos										
Infiltraciones								S/T		
Total										
Totale (Sensible + Latente) [W]:										
POTENCIA MAXIMA	Sens. [W]:			Total [W]:			Mes:	0	Hora:	0
CARGA TERMICA MAXIMA INVERNAL										
		Sensible [W]								
Conducción										
Infiltraciones		836.10								
Total		836.10								
POTENCIA MAXIMA						Mes:	1	Hora:	0	

Planta	PLANTA BAJA	Zona	CL vestuarios	Esp.	E-9-Vestuarios 0.2 P
Sup. [m²]:	35.37	Volumen [m³]:	123.81	Altura [m]:	3.50
PERSONAS					
Ocupación [n.]:	12	Sens. [W]/p:	75	Latente [W]/p:	75.0
				Perfil horario:	12
ILUMINACION					
Fijo [W/m²]:	20.00	Variable [W/m²]:		Código iluminación:	2
				Perfil horario:	12
EQUIPAMIENTOS					
Sensible. [W]:	300.00	Radiante [%]:	0.45	Latente [W/m²]:	
				Perfil horario:	12
INFILTRACIONES					
Verano [Vol/h]:	0.30	Invierno [Vol/h]:	0.20		
AIRE EXTERIOR TRATADO					
[Vol/h]:	8.72	[l/s]:	300.00		

SUPERFICIES INTERCAMBIANTES			
Tipo	Orientación	Descripción	Area [m²]
Pared	Orientacion hacia espacio	Forjado interior FR35	35.37
Pared	Oeste	Cerramiento exterior E.4C	26.50
Pared	Orientacion hacia espacio	Cerramiento interior I.5	16.36
Pared	Orientacion hacia espacio	Cerramiento interiores I.1	26.50

POTENCIA FRIGORIFICA Y CARGA TERMICA MAXIMA					
CARGA TERMICA MAXIMA EN VERANO				Mes:	7
				Hora:	15
	Sensible [W]		Latente [W]		
Radiación solar					
Conducción	494.30				
Iluminación	558.40				
Ocupación	793.10		900.00		
Equipamientos	262.70				
Infiltraciones	103.60		66.40		S/T
Total	2,212.10		966.40		0.70
Totale (Sensible + Latente) [W]:	3,178.50				
POTENCIA MAXIMA	Sens. [W]: 2,349.60	Total [W]: 3,376.20	Mes:	7	Hora: 14
CARGA TERMICA MAXIMA INVERNAL					
	Sensible [W]				
Conducción	839.00				
Infiltraciones	175.60				
Total	1,014.60				
POTENCIA MAXIMA	1,116.10		Mes:	1	Hora: 0

Planta	PLANTA PRIMERA	Zona	No climatizada	Esp.	E-10-Vestibulo y esc
Sup. [m²]:	61.51	Volumen [m³]:	362.91	Altura [m]:	5.90
PERSONAS					
Ocupación [n.]:	0	Sens. [W]/p:	0	Latente [W]/p:	Perfil horario: 1
ILUMINACION					
Fijo [W/m²]:		Variable [W/m²]:		Código iluminación:	0 Perfil horario: 1
EQUIPAMIENTOS					
Sensible. [W]:		Radiante [%]:		Latente [W/m²]:	Perfil horario: 1
INFILTRACIONES					
Verano [Vol/h]:				Invierno [Vol/h]:	0.50
AIRE EXTERIOR TRATADO					
[Vol/h]:				[l/s]:	

SUPERFICIES INTERCAMBIANTES			
Tipo	Orientación	Descripción	Area [m²]
Pared	Orientacion hacia espacio	Forjado interior FR35	61.51
Pared	Orientacion hacia espacio	Forjado interior FR35	61.51
Pared	Orientacion hacia espacio	Cerramiento interior I7	27.88
Pared	Orientacion hacia espacio	Divisor 14,5cm	75.11
Pared	Este	Cerramiento exterior E.5C	24.03
Pared	NE	Cerramiento exterior E.5C	0.96
Pared	Norte	Cerramiento exterior E.5C	35.68
Pared	Orientacion hacia espacio	Cerramiento exterior E.5C	34.07
Pared	NE	Cerramiento ext. 30cm	4.38
Ventana	NE	V2	2.24

POTENCIA FRIGORIFICA Y CARGA TERMICA MAXIMA									
CARGA TERMICA MAXIMA EN VERANO						Mes:	0	Hora:	0
		Sensible [W]		Latente [W]					
Radiación solar									
Conducción									
Iluminación									
Ocupación									
Equipamientos									
Infiltraciones								S/T	
Total									
Totale (Sensible + Latente) [W]:									
POTENCIA MAXIMA	Sens. [W]:		Total [W]:			Mes:	0	Hora:	0
CARGA TERMICA MAXIMA INVERNAL									
		Sensible [W]							
Conducción									
Infiltraciones		1,203.10							
Total		1,203.10							
POTENCIA MAXIMA						Mes:	1	Hora:	0

Planta	PLANTA PRIMERA		Zona	No climatizada		Esp.	E-12-Vestibulo P1	
Sup. [m²]:	113.86		Volumen [m³]:	671.76		Altura [m]:	5.90	
PERSONAS								
Ocupación [n.]:	0		Sens. [W]/p:	0		Latente [W]/p:		
						Perfil horario:	1	
ILUMINACION								
Fijo [W/m²]:			Variable [W/m²]:			Código iluminación:	0	
						Perfil horario:	1	
EQUIPAMIENTOS								
Sensible. [W]:			Radiante [%]:			Latente [W/m²]:		
						Perfil horario:	1	
INFILTRACIONES								
Verano [Vol/h]:						Invierno [Vol/h]: 0.50		
AIRE EXTERIOR TRATADO								
[Vol/h]:						[l/s]:		

SUPERFICIES INTERCAMBIANTES			
Tipo	Orientación	Descripción	Area [m²]
Pared	Orientacion hacia espacio	Forjado interior FR35	113.86
Pared	Orientacion hacia espacio	Forjado interior FR35	57.41
Pared	Orientacion hacia espacio	Forjado interior FR35	56.45
Pared	Oeste	Cerramiento exterior E.3A	7.77
Pared	Orientacion hacia espacio	Divisor 14,5cm	26.34
Pared	Orientacion hacia espacio	Divisor 14,5cm	20.56
Pared	Orientacion hacia espacio	Cerramiento interior I.2	21.01
Pared	Orientacion hacia espacio	Cerramiento interior I.6A	99.21
Pared	Este	Cerrameinto exterior E.1	6.93
Pared	Orientacion hacia espacio	Cerramiento exterior E.5C	35.78
Pared	Orientacion hacia espacio	Cerramiento interior I7	30.03
Pared	Orientacion hacia espacio	Cerrameinto E.2B	32.93
Pared	Oeste	Cerramiento ext. 30cm	12.22
Ventana	Este	V35	25.33
Pared	Este	Cerramiento ext. 30cm	22.86
Ventana	Este	V35	8.01

POTENCIA FRIGORIFICA Y CARGA TERMICA MAXIMA									
CARGA TERMICA MAXIMA EN VERANO						Mes:	0	Hora:	0
		Sensible [W]		Latente [W]					
Radiación solar									
Conducción									
Iluminación									
Ocupación									
Equipamientos									
Infiltraciones						S/T			
Total									
Totale (Sensible + Latente) [W]:									
POTENCIA MAXIMA	Sens. [W]:		Total [W]:		Mes:	0	Hora:	0	
CARGA TERMICA MAXIMA INVERNAL									
		Sensible [W]							
Conducción									
Infiltraciones			2,226.90						
Total			2,226.90						
POTENCIA MAXIMA				Mes:	1	Hora:	0		

Planta	PLANTA PRIMERA		Zona	No climatizada		Esp.	E-13-Oficina	
Sup. [m²]:	12.50		Volumen [m³]:	73.72		Altura [m]:	5.90	
PERSONAS								
Ocupación [n.]:	0		Sens. [W]/p:	0		Latente [W]/p:		
						Perfil horario:	1	
ILUMINACION								
Fijo [W/m²]:			Variable [W/m²]:			Código iluminación:	0	
						Perfil horario:	1	
EQUIPAMIENTOS								
Sensible. [W]:			Radiante [%]:			Latente [W/m²]:		
						Perfil horario:	1	
INFILTRACIONES								
Verano [Vol/h]:						Invierno [Vol/h]: 0.50		
AIRE EXTERIOR TRATADO								
[Vol/h]:						[l/s]:		

SUPERFICIES INTERCAMBIANTES			
Tipo	Orientación	Descripción	Area [m²]
Pared	Orientacion hacia espacio	Forjado interior FR35	12.50
Pared	Tejado exterior	Cubierta No Transible	10.80
Pared	Orientacion hacia espacio	Cubierta No Transible	1.69
Pared	Oeste	Cerrameinto exterior E.1	24.39
Pared	Orientacion hacia espacio	Divisor 14,5cm	20.84
Pared	Este	Cerrameinto exterior E.1	17.35
Pared	N-NE	Cerramiento exterior E.4B	22.00

POTENCIA FRIGORIFICA Y CARGA TERMICA MAXIMA									
CARGA TERMICA MAXIMA EN VERANO						Mes:	0	Hora:	0
		Sensible [W]				Latente [W]			
Radiación solar									
Conducción									
Iluminación									
Ocupación									
Equipamientos									
Infiltraciones								S/T	
Total									
Totale (Sensible + Latente) [W]:									
POTENCIA MAXIMA	Sens. [W]:			Total [W]:			Mes:	0	Hora: 0
CARGA TERMICA MAXIMA INVERNAL									
		Sensible [W]							
Conducción									
Infiltraciones		244.40							
Total		244.40							
POTENCIA MAXIMA							Mes:	1	Hora: 0

Planta	PLANTA PRIMERA		Zona	No climatizada		Esp.	E-14-Oficina	
Sup. [m²]:	10.39		Volumen [m³]:	61.28		Altura [m]:	5.90	
PERSONAS								
Ocupación [n.]:	0		Sens. [W]/p:	0		Latente [W]/p:		
						Perfil horario:	1	
ILUMINACION								
Fijo [W/m²]:			Variable [W/m²]:			Código iluminación:	0	
						Perfil horario:	1	
EQUIPAMIENTOS								
Sensible. [W]:			Radiante [%]:			Latente [W/m²]:		
						Perfil horario:	1	
INFILTRACIONES								
Verano [Vol/h]:						Invierno [Vol/h]: 0.50		
AIRE EXTERIOR TRATADO								
[Vol/h]:						[l/s]:		

SUPERFICIES INTERCAMBIANTES			
Tipo	Orientación	Descripción	Area [m²]
Pared	Orientacion hacia espacio	Forjado interior FR35	10.39
Pared	Tejado exterior	Cubierta No Transible	9.24
Pared	Orientacion hacia espacio	Cubierta No Transible	1.15
Pared	Oeste	Cerrameinto exterior E.1	17.35
Pared	Sur	Cerrameinto exterior E.1	20.84
Pared	Este	Cerrameinto exterior E.1	17.35
Pared	Orientacion hacia espacio	Divisor 14,5cm	20.84

POTENCIA FRIGORIFICA Y CARGA TERMICA MAXIMA									
CARGA TERMICA MAXIMA EN VERANO						Mes:	0	Hora:	0
		Sensible [W]				Latente [W]			
Radiación solar									
Conducción									
Iluminación									
Ocupación									
Equipamientos									
Infiltraciones								S/T	
Total									
Totale (Sensible + Latente) [W]:									
POTENCIA MAXIMA	Sens. [W]:			Total [W]:			Mes:	0	Hora: 0
CARGA TERMICA MAXIMA INVERNAL									
		Sensible [W]							
Conducción									
Infiltraciones				203.10					
Total				203.10					
POTENCIA MAXIMA						Mes:	1	Hora:	0

Planta	PLANTA PRIMERA	Zona	CL oficinas	Esp.	E-2-Monitor 1.1 P1
Sup. [m²]:	17.21	Volumen [m³]:	101.56	Altura [m]:	5.90
PERSONAS					
Ocupación [n.]:	2	Sens. [W]/p:	75	Latente [W]/p:	75.0
				Perfil horario:	12
ILUMINACION					
Fijo [W/m²]:	25.00	Variable [W/m²]:		Código iluminación:	2
				Perfil horario:	12
EQUIPAMIENTOS					
Sensible. [W]:	1,100.00	Radiante [%]:	0.45	Latente [W/m²]:	
				Perfil horario:	12
INFILTRACIONES					
Verano [Vol/h]:	0.30	Invierno [Vol/h]:	0.20		
AIRE EXTERIOR TRATADO					
[Vol/h]:	0.81	[l/s]:	22.97		

SUPERFICIES INTERCAMBIANTES			
Tipo	Orientación	Descripción	Area [m²]
Pared	Oeste	Cerramiento exterior E.1	15.59
Pared	Orientacion hacia espacio	Divisor 14,5cm	19.85
Pared	Oeste	Cerramiento ext. 30cm	1.46

POTENCIA FRIGORIFICA Y CARGA TERMICA MAXIMA					
CARGA TERMICA MAXIMA EN VERANO			Mes:	7	Hora: 15
	Sensible [W]		Latente [W]		
Radiación solar					
Conducción	162.00				
Iluminación	338.30				
Ocupación	129.70		150.00		
Equipamientos	970.00				
Infiltraciones	85.00		54.50		S/T
Total	1,685.00		204.50		0.89
Totale (Sensible + Latente) [W]:	1,889.50				
POTENCIA MAXIMA	Sens. [W]: 1,762.20	Total [W]: 1,976.10	Mes:	7	Hora: 15
CARGA TERMICA MAXIMA INVERNAL					
	Sensible [W]				
Conducción	265.90				
Infiltraciones	144.00				
Total	409.90				
POTENCIA MAXIMA	450.90		Mes:	1	Hora: 0

Planta	PLANTA PRIMERA		Zona	CL oficinas		Esp.	E-3-Monitor 1.2 P1	
Sup. [m²]:	21.74		Volumen [m³]:	128.25		Altura [m]:	5.90	
PERSONAS								
Ocupación [n.]:	2	Sens. [W]/p:	75	Latente [W]/p:	75.0	Perfil horario:	12	
ILUMINACION								
Fijo [W/m²]:	25.00	Variable [W/m²]:		Código iluminación:	2	Perfil horario:	12	
EQUIPAMIENTOS								
Sensible. [W]:	1,100.00	Radiante [%]:	0.45	Latente [W/m²]:		Perfil horario:	12	
INFILTRACIONES								
Verano [Vol/h]:	0.30			Invierno [Vol/h]:	0.20			
AIRE EXTERIOR TRATADO								
[Vol/h]:	0.74			[l/s]:	26.39			

SUPERFICIES INTERCAMBIANTES			
Tipo	Orientación	Descripción	Area [m²]
Pared	Oeste	Cerramiento exterior E.1	20.18
Pared	Sur	Cerramiento exterior E.5C	27.90
Pared	Orientacion hacia espacio	Divisor 14,5cm	25.64
Pared	Oeste	Cerramiento ext. 30cm	1.70

POTENCIA FRIGORIFICA Y CARGA TERMICA MAXIMA					
CARGA TERMICA MAXIMA EN VERANO				Mes:	7
				Hora:	15
	Sensible [W]		Latente [W]		
Radiación solar					
Conducción	318.20				
Iluminación	422.60				
Ocupación	129.20		150.00		
Equipamientos	966.20				
Infiltraciones	107.30		68.80		
Total	1,943.50		218.80		S/T
Totale (Sensible + Latente) [W]:	2,162.30				0.90
POTENCIA MAXIMA	Sens. [W]:	2,040.30	Total [W]:	2,270.00	Mes: 7 Hora: 15
CARGA TERMICA MAXIMA INVERNAL					
	Sensible [W]				
Conducción	637.70				
Infiltraciones	181.90				
Total	819.60				
POTENCIA MAXIMA	901.50			Mes:	1
				Hora:	0

Planta	PLANTA PRIMERA		Zona	CL oficinas		Esp.	E-4-Recepcion 1.1 P1	
Sup. [m²]:	31.32		Volumen [m³]:	184.82		Altura [m]:	5.90	
PERSONAS								
Ocupación [n.]:	4	Sens. [W]/p:	185	Latente [W]/p:	340.0	Perfil horario:	12	
ILUMINACION								
Fijo [W/m²]:	25.00	Variable [W/m²]:		Código iluminación:	2	Perfil horario:	12	
EQUIPAMIENTOS								
Sensible. [W]:	1,700.00	Radiante [%]:	0.45	Latente [W/m²]:		Perfil horario:	12	
INFILTRACIONES								
Verano [Vol/h]:	0.30			Invierno [Vol/h]:	0.20			
AIRE EXTERIOR TRATADO								
[Vol/h]:	1.21			[l/s]:	62.25			

SUPERFICIES INTERCAMBIANTES

Tipo	Orientación	Descripción	Area [m²]
Pared	Orientacion hacia espacio	Forjado interior FR35	8.19
Pared	Orientacion hacia espacio	Cerramiento interior I.6A	93.54

POTENCIA FRIGORIFICA Y CARGA TERMICA MAXIMA

CARGA TERMICA MAXIMA EN VERANO			Mes:	7	Hora:	15
	Sensible [W]		Latente [W]			
Radiación solar						
Conducción	709.00					
Iluminación	628.80					
Ocupación	656.30		1,360.00			
Equipamientos	1,512.40					
Infiltraciones	154.60		99.20		S/T	
Total	3,661.10		1,459.20		0.72	
Totale (Sensible + Latente) [W]:			5,120.30			
POTENCIA MAXIMA	Sens. [W]:	3,830.30	Total [W]:	5,356.80	Mes:	7
					Hora:	14
CARGA TERMICA MAXIMA INVERNAL						
	Sensible [W]					
Conducción	918.50					
Infiltraciones	262.10					
Total	1,180.60					
POTENCIA MAXIMA	1,298.60			Mes:	1	Hora:
					0	

Planta	PLANTA PRIMERA		Zona	No climatizada		Esp.	E-8-Escalera 1.6 P1	
Sup. [m²]:	14.11		Volumen [m³]:	83.27		Altura [m]:	5.90	
PERSONAS								
Ocupación [n.]:	0		Sens. [W]/p:	0		Latente [W]/p:	Perfil horario: 1	
ILUMINACION								
Fijo [W/m²]:			Variable [W/m²]:			Código iluminación:	0 Perfil horario: 1	
EQUIPAMIENTOS								
Sensible. [W]:			Radiante [%]:			Latente [W/m²]:	Perfil horario: 1	
INFILTRACIONES								
Verano [Vol/h]:						Invierno [Vol/h]: 0.50		
AIRE EXTERIOR TRATADO								
[Vol/h]:						[l/s]:		

SUPERFICIES INTERCAMBIANTES			
Tipo	Orientación	Descripción	Area [m²]
Pared	Orientacion hacia espacio	Forjado interior FR35	14.11
Pared	Tejado exterior	Cubierta No Transible	14.11
Pared	Oeste	Cerramiento exterior E.3A	29.46
Pared	Sur	Cerramiento exterior E.3A	16.53
Pared	Este	Cerramiento exterior E.3A	30.02
Pared	Orientacion hacia espacio	Divisor 14,5cm	16.52

POTENCIA FRIGORIFICA Y CARGA TERMICA MAXIMA										
CARGA TERMICA MAXIMA EN VERANO						Mes:	0	Hora:	0	
		Sensible [W]				Latente [W]				
Radiación solar										
Conducción										
Iluminación										
Ocupación										
Equipamientos										
Infiltraciones								S/T		
Total										
Totale (Sensible + Latente) [W]:										
POTENCIA MAXIMA	Sens. [W]:			Total [W]:			Mes:	0	Hora:	0
CARGA TERMICA MAXIMA INVERNAL										
		Sensible [W]								
Conducción										
Infiltraciones		276.00								
Total		276.00								
POTENCIA MAXIMA						Mes:		1	Hora:	0

Planta	PLANTA SEGUNDA	Zona	No climatizada	Esp.	E-1-Servicios, Offic
Sup. [m²]:	58.23	Volumen [m³]:	203.80	Altura [m]:	3.50
PERSONAS					
Ocupación [n.]:	0	Sens. [W]/p:	0	Latente [W]/p:	Perfil horario: 1
ILUMINACION					
Fijo [W/m²]:		Variable [W/m²]:		Código iluminación:	0 Perfil horario: 1
EQUIPAMIENTOS					
Sensible. [W]:		Radiante [%]:		Latente [W/m²]:	Perfil horario: 1
INFILTRACIONES					
Verano [Vol/h]:				Invierno [Vol/h]:	0.50
AIRE EXTERIOR TRATADO					
[Vol/h]:				[l/s]:	

SUPERFICIES INTERCAMBIANTES			
Tipo	Orientación	Descripción	Area [m²]
Pared	Orientacion hacia espacio	Forjado interior FR35	58.20
Pared	Orientacion hacia espacio	Forjado interior FR35	58.23
Pared	Oeste	Cerramiento exterior E.3A	33.95
Pared	Orientacion hacia espacio	Cerramiento interior I.6C	17.64
Pared	Orientacion hacia espacio	Cerramiento interior I.6A	10.76
Pared	Este	Cerramiento exterior E.3A	24.38
Pared	Norte	Cerramiento exterior E.3A	13.46
Pared	Este	Cerramiento ext. 30cm	1.97
Pared	Norte	Cerramiento ext. 30cm	1.97
Pared	Oeste	Cerramiento ext. 30cm	2.48

POTENCIA FRIGORIFICA Y CARGA TERMICA MAXIMA									
CARGA TERMICA MAXIMA EN VERANO						Mes:	0	Hora:	0
		Sensible [W]		Latente [W]					
Radiación solar									
Conducción									
Iluminación									
Ocupación									
Equipamientos									
Infiltraciones								S/T	
Total									
Totale (Sensible + Latente) [W]:									
POTENCIA MAXIMA	Sens. [W]:		Total [W]:			Mes:	0	Hora:	0
CARGA TERMICA MAXIMA INVERNAL									
		Sensible [W]							
Conducción									
Infiltraciones		675.60							
Total		675.60							
POTENCIA MAXIMA						Mes:	1	Hora:	0

Planta	PLANTA SEGUNDA		Zona	No climatizada		Esp.	E-10-Parking PS-1	
Sup. [m²]:	31.09		Volumen [m³]:	108.83		Altura [m]:	3.50	
PERSONAS								
Ocupación [n.]:	0		Sens. [W]/p:	0		Latente [W]/p:		
						Perfil horario:	1	
ILUMINACION								
Fijo [W/m²]:			Variable [W/m²]:			Código iluminación:	0	
						Perfil horario:	1	
EQUIPAMIENTOS								
Sensible. [W]:			Radiante [%]:			Latente [W/m²]:		
						Perfil horario:	1	
INFILTRACIONES								
Verano [Vol/h]:						Invierno [Vol/h]: 0.50		
AIRE EXTERIOR TRATADO								
[Vol/h]:						[l/s]:		

SUPERFICIES INTERCAMBIANTES			
Tipo	Orientación	Descripción	Area [m²]
Pared	Orientacion hacia espacio	Forjado interior FR35	31.09
Pared	Orientacion hacia espacio	Forjado interior FR35	2.41
Pared	Orientacion hacia espacio	Forjado interior FR35	2.77
Pared	Orientacion hacia espacio	Forjado interior FR35	1.53
Pared	Orientacion hacia espacio	Forjado interior FR35	29.56
Pared	Orientacion hacia espacio	Cerramiento interior I.6A	25.90
Pared	Este	Cerramiento exterior E.3A	23.47
Pared	Norte	Cerramiento exterior E.3A	13.72
Pared	Oeste	Cerramiento exterior E.3A	10.89

POTENCIA FRIGORIFICA Y CARGA TERMICA MAXIMA										
CARGA TERMICA MAXIMA EN VERANO						Mes:	0	Hora:	0	
		Sensible [W]				Latente [W]				
Radiación solar										
Conducción										
Iluminación										
Ocupación										
Equipamientos										
Infiltraciones								S/T		
Total										
Totale (Sensible + Latente) [W]:										
POTENCIA MAXIMA	Sens. [W]:			Total [W]:			Mes:	0	Hora:	0
CARGA TERMICA MAXIMA INVERNAL										
		Sensible [W]								
Conducción										
Infiltraciones		360.80								
Total		360.80								
POTENCIA MAXIMA						Mes:		1	Hora:	0

Planta	PLANTA SEGUNDA		Zona	No climatizada		Esp.	E-11-Escaleras, paso	
Sup. [m²]:	123.48		Volumen [m³]:	432.17		Altura [m]:	3.50	
PERSONAS								
Ocupación [n.]:	0		Sens. [W]/p:	0		Latente [W]/p:		
						Perfil horario:	1	
ILUMINACION								
Fijo [W/m²]:			Variable [W/m²]:			Código iluminación:	0	
						Perfil horario:	1	
EQUIPAMIENTOS								
Sensible. [W]:			Radiante [%]:			Latente [W/m²]:		
						Perfil horario:	1	
INFILTRACIONES								
Verano [Vol/h]:						Invierno [Vol/h]: 0.50		
AIRE EXTERIOR TRATADO								
[Vol/h]:						[l/s]:		

SUPERFICIES INTERCAMBIANTES			
Tipo	Orientación	Descripción	Area [m²]
Pared	Suelo exterior	Forjado interior FR35	4.88
Pared	Orientacion hacia espacio	Forjado interior FR35	63.46
Pared	Orientacion hacia espacio	Forjado interior FR35	55.14
Pared	Orientacion hacia espacio	Forjado interior FR35	61.25
Pared	Orientacion hacia espacio	Forjado interior FR35	62.22
Pared	Oeste	Cerrameinto exterior E.1	25.83
Pared	Sur	Cerramiento ext. 30cm	21.37
Pared	Orientacion hacia espacio	Cerramiento ext. 30cm	40.70
Pared	Este	Cerramiento exterior E.5C	13.85
Pared	NE	Cerramiento exterior E.5C	0.95
Pared	Norte	Cerramiento exterior E.5C	11.89
Pared	Este	Cerramiento exterior E.3A	9.63
Pared	Norte	Cerramiento exterior E.3A	9.27
Pared	Orientacion hacia espacio	Cerramiento ext. 30cm	39.25
Pared	NE	Cerramiento ext. 30cm	1.52
Ventana	NE	V2	2.02

POTENCIA FRIGORIFICA Y CARGA TERMICA MAXIMA									
CARGA TERMICA MAXIMA EN VERANO						Mes:	0	Hora:	0
		Sensible [W]		Latente [W]					
Radiación solar									
Conducción									
Iluminación									
Ocupación									
Equipamientos									
Infiltraciones						S/T			
Total									
Totale (Sensible + Latente) [W]:									
POTENCIA MAXIMA	Sens. [W]:		Total [W]:		Mes:	0	Hora:	0	
CARGA TERMICA MAXIMA INVERNAL									
		Sensible [W]							
Conducción									
Infiltraciones			1,432.60						
Total			1,432.60						
POTENCIA MAXIMA				Mes:	1	Hora:	0		

Planta	PLANTA SEGUNDA	Zona	CL sa escenario	Esp.	E-12-ESCENARIO
Sup. [m²]:	128.58	Volumen [m³]:	1,542.95	Altura [m]:	12.00
PERSONAS					
Ocupación [n.]:	9	Sens. [W]/p:	185	Latente [W]/p:	340.0
				Perfil horario:	12
ILUMINACION					
Fijo [W/m²]:	80.00	Variable [W/m²]:		Código iluminación:	2
				Perfil horario:	12
EQUIPAMIENTOS					
Sensible. [W]:	4,500.00	Radiante [%]:	0.45	Latente [W/m²]:	
				Perfil horario:	12
INFILTRACIONES					
Verano [Vol/h]:	0.30	Invierno [Vol/h]:	0.20		
AIRE EXTERIOR TRATADO					
[Vol/h]:	0.23	[l/s]:	99.43		

SUPERFICIES INTERCAMBIANTES			
Tipo	Orientación	Descripción	Area [m²]
Pared	Suelo exterior	Forjado interior FR35	16.92
Pared	Orientacion hacia espacio	Forjado interior FR35	56.72
Pared	Tejado exterior	Cubierta No Transible	263.24
Pared	Oeste	Cerramiento exterior E.3A	96.37
Pared	Este	Cerramiento exterior E.3A	94.19
Pared	Orientacion hacia espacio	Cerramiento ext. 30cm	39.25
Pared	Sur	Cerramiento exterior E.3A	84.96
Pared	Orientacion hacia espacio	Cerramiento interior I.6A	39.25
Pared	Orientacion hacia espacio	Cerramiento exterior E.3A	23.76
Pared	Orientacion hacia espacio	Cerramiento exterior E.3A	0.13
Pared	Sur	Cerramiento ext. 30cm	0.48

POTENCIA FRIGORIFICA Y CARGA TERMICA MAXIMA					
CARGA TERMICA MAXIMA EN VERANO			Mes:	7	Hora: 15
	Sensible [W]		Latente [W]		
Radiación solar					
Conducción	2,493.90				
Iluminación	8,004.40				
Ocupación	1,461.10		3,060.00		
Equipamientos	3,954.60				
Infiltraciones	1,291.10		827.80		S/T
Total	17,205.00		3,887.80		0.82
Totale (Sensible + Latente) [W]:	21,092.80				
POTENCIA MAXIMA	Sens. [W]: 18,248.80	Total [W]: 22,372.40	Mes:	7	Hora: 15
CARGA TERMICA MAXIMA INVERNAL					
	Sensible [W]				
Conducción	5,103.10				
Infiltraciones	2,188.20				
Total	7,291.30				
POTENCIA MAXIMA	8,020.40		Mes:	1	Hora: 0

Planta	PLANTA SEGUNDA	Zona	Climatizada	Esp.	E-4-Salon de Actos P
Sup. [m²]:	308.74	Volumen [m³]:	3,704.92	Altura [m]:	12.00
PERSONAS					
Ocupación [n.]:	304	Sens. [W]/p:	185	Latente [W]/p:	340.0
				Perfil horario:	12
ILUMINACION					
Fijo [W/m²]:	20.00	Variable [W/m²]:		Código iluminación:	2
				Perfil horario:	12
EQUIPAMIENTOS					
Sensible. [W]:	4,648.50	Radiante [%]:	0.45	Latente [W/m²]:	
				Perfil horario:	12
INFILTRACIONES					
Verano [Vol/h]:	0.30	Invierno [Vol/h]:	0.20		
AIRE EXTERIOR TRATADO					
[Vol/h]:	15.38	[l/s]:	15,830.00		

SUPERFICIES INTERCAMBIANTES			
Tipo	Orientación	Descripción	Area [m²]
Pared	Tejado exterior	Cubierta No Transible	615.21
Pared	Oeste	Cerramiento exterior E.3A	192.37
Pared	Norte	Cerramiento interior I7	59.87
Pared	Este	Cerramiento exterior E.3A	218.61
Pared	Orientacion hacia espacio	Cerramiento exterior E.3A	20.26
Pared	Orientacion hacia espacio	Cerramiento interior I7	17.62
Pared	Oeste	Cerramiento interior I7	0.65
Pared	Norte	Cerramiento exterior E.3A	58.88

POTENCIA FRIGORIFICA Y CARGA TERMICA MAXIMA					
CARGA TERMICA MAXIMA EN VERANO			Mes:	7	Hora: 15
	Sensible [W]		Latente [W]		
Radiación solar					
Conducción	4,591.50				
Iluminación	4,740.80				
Ocupación	56,240.00		103,360.00		
Equipamientos	4,064.60				
Infiltraciones	3,100.10		1,987.70		S/T
Total	72,737.10		105,347.70		0.41
Totale (Sensible + Latente) [W]:		178,084.80			
POTENCIA MAXIMA	Sens. [W]:	72,737.10	Total [W]:	178,084.80	Mes: 7 Hora: 13
CARGA TERMICA MAXIMA INVERNAL					
	Sensible [W]				
Conducción	10,475.50				
Infiltraciones	5,254.20				
Total	15,729.80				
POTENCIA MAXIMA		15,729.80		Mes: 1 Hora: 0	

Planta	PLANTA SEGUNDA	Zona	CL sa vestibulo	Esp.	E-6-Vestibulo 2.2 P2
Sup. [m²]:	204.58	Volumen [m³]:	716.02	Altura [m]:	3.50
PERSONAS					
Ocupación [n.]:	100	Sens. [W]/p:	90	Latente [W]/p:	95.0
				Perfil horario:	12
ILUMINACION					
Fijo [W/m²]:	20.00	Variable [W/m²]:		Código iluminación:	2
				Perfil horario:	12
EQUIPAMIENTOS					
Sensible. [W]:	600.00	Radiante [%]:	0.45	Latente [W/m²]:	
				Perfil horario:	12
INFILTRACIONES					
Verano [Vol/h]:	0.30	Invierno [Vol/h]:	0.20		
AIRE EXTERIOR TRATADO					
[Vol/h]:	4.72	[l/s]:	939.26		

SUPERFICIES INTERCAMBIANTES			
Tipo	Orientación	Descripción	Area [m²]
Pared	Oeste	Cerrameinto exterior E.1	19.94
Pared	Orientacion hacia espacio	Cerramiento interior I.6C	18.48
Pared	Orientacion hacia espacio	Cerramiento interior I.6A	11.64
Pared	Norte	Cerramiento exterior E.3A	25.11
Pared	Orientacion hacia espacio	Cerramiento interior I.6A	27.58
Pared	Este	Cerramiento exterior E.3A	20.24
Pared	Sur	Cerramiento interior I7	57.73
Ventana	Oeste	V3	18.51
Pared	Este	Cerramiento ext. 30cm	3.30

POTENCIA FRIGORIFICA Y CARGA TERMICA MAXIMA					
CARGA TERMICA MAXIMA EN VERANO			Mes:	7	Hora: 17
	Sensible [W]		Latente [W]		
Radiación solar	5,828.00				
Conducción	1,408.30				
Iluminación	3,211.50				
Ocupación	7,949.90		9,500.00		
Equipamientos	525.80				
Infiltraciones	530.10		384.10		S/T
Total	19,453.50		9,884.10		0.66
Totale (Sensible + Latente) [W]:	29,337.60				
POTENCIA MAXIMA	Sens. [W]: 20,019.60	Total [W]: 30,191.30	Mes:	7	Hora: 17
CARGA TERMICA MAXIMA INVERNAL					
	Sensible [W]				
Conducción	3,637.60				
Infiltraciones	1,015.40				
Total	4,653.10				
POTENCIA MAXIMA	5,118.40		Mes:	1	Hora: 0

Planta	PLANTA TERCERA	Zona	No climatizada	Esp.	E-1-Vestibulo y zona
Sup. [m²]:	97.13	Volumen [m³]:	339.95	Altura [m]:	3.50
PERSONAS					
Ocupación [n.]:	0	Sens. [W]/p:	0	Latente [W]/p:	Perfil horario: 1
ILUMINACION					
Fijo [W/m²]:		Variable [W/m²]:		Código iluminación:	0 Perfil horario: 1
EQUIPAMIENTOS					
Sensible. [W]:		Radiante [%]:		Latente [W/m²]:	Perfil horario: 1
INFILTRACIONES					
Verano [Vol/h]:		Invierno [Vol/h]:		0.50	
AIRE EXTERIOR TRATADO					
[Vol/h]:		[l/s]:			

SUPERFICIES INTERCAMBIANTES			
Tipo	Orientación	Descripción	Area [m²]
Pared	Suelo exterior	Forjado interior FR35	67.65
Pared	Orientacion hacia espacio	Forjado interior FR35	29.48
Pared	Tejado exterior	Cubierta exterior c-35	96.30
Pared	Orientacion hacia espacio	Cubierta exterior c-35	0.83
Pared	Orientacion hacia espacio	Cerramiento interior I.6A	10.78
Pared	Norte	Cerramiento exterior E.3A	15.17
Pared	Oeste	Cerramiento exterior E.3A	15.55
Pared	Este	Cerramiento exterior E.3A	26.32
Pared	Orientacion hacia espacio	Cerramiento interior I.6A	47.30
Pared	Orientacion hacia espacio	Cerramiento interior I.6A	12.10
Pared	Sur	Cerramiento interior I7	15.73
Pared	Orientacion hacia espacio	Cerramiento interior I.6A	20.85
Pared	Orientacion hacia espacio	Cerramiento interior I.6A	25.31
Ventana	Norte	V395	24.50

POTENCIA FRIGORIFICA Y CARGA TERMICA MAXIMA									
CARGA TERMICA MAXIMA EN VERANO						Mes:	0	Hora:	0
		Sensible [W]		Latente [W]					
Radiación solar									
Conducción									
Iluminación									
Ocupación									
Equipamientos									
Infiltraciones								S/T	
Total									
Totale (Sensible + Latente) [W]:									
POTENCIA MAXIMA	Sens. [W]:		Total [W]:		Mes:	0	Hora:	0	
CARGA TERMICA MAXIMA INVERNAL									
		Sensible [W]							
Conducción									
Infiltraciones			1,126.90						
Total			1,126.90						
POTENCIA MAXIMA				Mes:		1	Hora:	0	

Planta	PLANTA TERCERA		Zona	No climatizada		Esp.	E-10-Escalea y vesti	
Sup. [m²]:	61.83		Volumen [m³]:	216.40		Altura [m]:	3.50	
PERSONAS								
Ocupación [n.]:	0		Sens. [W]/p:	0		Latente [W]/p:	Perfil horario: 1	
ILUMINACION								
Fijo [W/m²]:			Variable [W/m²]:			Código iluminación:	0 Perfil horario: 1	
EQUIPAMIENTOS								
Sensible. [W]:			Radiante [%]:			Latente [W/m²]:	Perfil horario: 1	
INFILTRACIONES								
Verano [Vol/h]:			Invierno [Vol/h]:			0.50		
AIRE EXTERIOR TRATADO								
[Vol/h]:			[l/s]:					

SUPERFICIES INTERCAMBIANTES			
Tipo	Orientación	Descripción	Area [m²]
Pared	Orientacion hacia espacio	Forjado interior FR35	61.83
Pared	Orientacion hacia espacio	Cubierta exterior c-35	61.83
Pared	Orientacion hacia espacio	Cerramiento exterior E.5C	46.06
Pared	Sur	Cerramiento exterior E.5C	44.17
Pared	Este	Cerramiento exterior E.5C	14.67
Pared	NE	Cerramiento exterior E.5C	4.49
Pared	Norte	Cerramiento exterior E.5C	11.89

POTENCIA FRIGORIFICA Y CARGA TERMICA MAXIMA										
CARGA TERMICA MAXIMA EN VERANO						Mes:	0	Hora:	0	
		Sensible [W]				Latente [W]				
Radiación solar										
Conducción										
Iluminación										
Ocupación										
Equipamientos										
Infiltraciones								S/T		
Total										
Totale (Sensible + Latente) [W]:										
POTENCIA MAXIMA	Sens. [W]:			Total [W]:			Mes:	0	Hora:	0
CARGA TERMICA MAXIMA INVERNAL										
		Sensible [W]								
Conducción										
Infiltraciones				717.40						
Total				717.40						
POTENCIA MAXIMA							Mes:	1	Hora:	0

Planta	PLANTA TERCERA		Zona	CL oficinas		Esp.	E-2-Office 3.1 P3	
Sup. [m²]:	59.98		Volumen [m³]:	209.93		Altura [m]:	3.50	
PERSONAS								
Ocupación [n.]:	6	Sens. [W]/p:	75	Latente [W]/p:	75.0	Perfil horario:	12	
ILUMINACION								
Fijo [W/m²]:	25.00	Variable [W/m²]:		Código iluminación:	2	Perfil horario:	12	
EQUIPAMIENTOS								
Sensible. [W]:	2,300.00	Radiante [%]:	0.45	Latente [W/m²]:		Perfil horario:	12	
INFILTRACIONES								
Verano [Vol/h]:		0.30		Invierno [Vol/h]:		0.20		
AIRE EXTERIOR TRATADO								
[Vol/h]:		2.67		[l/s]:		155.97		

SUPERFICIES INTERCAMBIANTES			
Tipo	Orientación	Descripción	Area [m²]
Pared	Orientacion hacia espacio	Forjado interior FR35	59.98
Pared	Orientacion hacia espacio	Cubierta exterior c-35	16.64
Pared	Orientacion hacia espacio	Cubierta exterior c-35	41.61
Pared	Oeste	Cerrameinto exterior E.1	8.11
Pared	Oeste	Cerramiento exterior E.3A	6.05
Pared	Norte	Cerramiento exterior E.3A	13.90
Pared	Este	Cerramiento exterior E.3A	21.96
Pared	Orientacion hacia espacio	Cerramiento interior I.6A	10.78
Pared	Oeste	Cerramiento ext. 30cm	0.92
Ventana	Oeste	V2	3.68
Pared	Norte	Cerramiento ext. 30cm	0.83
Pared	Este	Cerramiento ext. 30cm	3.01
Ventana	Oeste	V3	20.99

POTENCIA FRIGORIFICA Y CARGA TERMICA MAXIMA									
CARGA TERMICA MAXIMA EN VERANO						Mes:	7	Hora:	17
		Sensible [W]				Latente [W]			
Radiación solar		7,732.00							
Conducción		1,030.60							
Iluminación		1,170.20							
Ocupación		392.50				450.00			
Equipamientos		2,023.70							
Infiltraciones		155.40				112.60		S/T	
Total		12,504.40				562.60		0.96	
Totale (Sensible + Latente) [W]:		13,067.00							
POTENCIA MAXIMA	Sens. [W]:	12,840.60	Total [W]:	13,418.40	Mes:	7	Hora:	17	
CARGA TERMICA MAXIMA INVERNAL									
		Sensible [W]							
Conducción		2,937.20							
Infiltraciones		297.70							
Total		3,234.90							
POTENCIA MAXIMA		3,558.40				Mes:	1	Hora:	0

Planta	PLANTA TERCERA		Zona	CL oficinas		Esp.	E-3-Office 3.2 P3	
Sup. [m²]:	33.86		Volumen [m³]:	118.52		Altura [m]:	3.50	
PERSONAS								
Ocupación [n.]:	4	Sens. [W]/p:	185	Latente [W]/p:	340.0	Perfil horario:	12	
ILUMINACION								
Fijo [W/m²]:	25.00	Variable [W/m²]:		Código iluminación:	2	Perfil horario:	12	
EQUIPAMIENTOS								
Sensible. [W]:	1,700.00	Radiante [%]:	0.45	Latente [W/m²]:		Perfil horario:	12	
INFILTRACIONES								
Verano [Vol/h]:	0.30			Invierno [Vol/h]:	0.20			
AIRE EXTERIOR TRATADO								
[Vol/h]:	3.03			[l/s]:	99.89			

SUPERFICIES INTERCAMBIANTES			
Tipo	Orientación	Descripción	Area [m²]
Pared	Suelo exterior	Forjado interior FR35	33.86
Pared	Oeste	Cerrameinto exterior E.1	5.41
Pared	Orientacion hacia espacio	Cerramiento interior I.6A	23.52
Ventana	Oeste	V3	11.91

POTENCIA FRIGORIFICA Y CARGA TERMICA MAXIMA					
CARGA TERMICA MAXIMA EN VERANO				Mes:	7
				Hora:	17
	Sensible [W]		Latente [W]		
Radiación solar	3,663.90				
Conducción	426.40				
Iluminación	646.40				
Ocupación	644.70		1,360.00		
Equipamientos	1,485.20				
Infiltraciones	87.70		63.60		
Total	6,954.30		1,423.60		
Totale (Sensible + Latente) [W]:	8,377.90				
POTENCIA MAXIMA	Sens. [W]:	7,132.90	Total [W]:	8,593.10	Mes: 7 Hora: 17
CARGA TERMICA MAXIMA INVERNAL					
	Sensible [W]				
Conducción	1,596.60				
Infiltraciones	168.10				
Total	1,764.70				
POTENCIA MAXIMA		1,941.10		Mes: 1	Hora: 0

Planta	PLANTA TERCERA		Zona	CL oficinas		Esp.	E-4-Office 3.3 P3	
Sup. [m²]:	36.88		Volumen [m³]:	129.07		Altura [m]:	3.50	
PERSONAS								
Ocupación [n.]:	4	Sens. [W]/p:	75	Latente [W]/p:	75.0	Perfil horario:	12	
ILUMINACION								
Fijo [W/m²]:	25.00	Variable [W/m²]:		Código iluminación:	2	Perfil horario:	12	
EQUIPAMIENTOS								
Sensible. [W]:	1,700.00	Radiante [%]:	0.45	Latente [W/m²]:		Perfil horario:	12	
INFILTRACIONES								
Verano [Vol/h]:		0.30		Invierno [Vol/h]:		0.20		
AIRE EXTERIOR TRATADO								
[Vol/h]:		1.14		[l/s]:		40.97		

SUPERFICIES INTERCAMBIANTES

Tipo	Orientación	Descripción	Area [m²]
Pared	Oeste	Cerramiento exterior E.3A	13.86
Pared	Sur	Cerramiento interior I7	21.07
Pared	Orientacion hacia espacio	Cerramiento interior I.6A	20.46
Pared	Oeste	Cerramiento ext. 30cm	0.95

POTENCIA FRIGORIFICA Y CARGA TERMICA MAXIMA

CARGA TERMICA MAXIMA EN VERANO				Mes:	7	Hora:	20	
		Sensible [W]		Latente [W]				
Radiación solar								
Conducción		379.40						
Iluminación		737.50						
Ocupación		265.30		300.00				
Equipamientos		1,515.20						
Infiltraciones		49.50		69.20		S/T		
Total		2,946.90		369.20		0.89		
Totale (Sensible + Latente) [W]:		3,316.10						
POTENCIA MAXIMA	Sens. [W]:	3,132.40	Total [W]:	3,524.90	Mes:	7	Hora:	14
CARGA TERMICA MAXIMA INVERNAL								
		Sensible [W]						
Conducción		876.10						
Infiltraciones		183.00						
Total		1,059.10						
POTENCIA MAXIMA		1,165.00		Mes:		1	Hora:	0

Planta	PLANTA TERCERA	Zona	CL oficinas	Esp.	E-5-Office 3.4 P3		
Sup. [m²]:	42.08	Volumen [m³]:	147.28	Altura [m]:	3.50		
PERSONAS							
Ocupación [n.]:	5	Sens. [W]/p:	185	Latente [W]/p:	340.0	Perfil horario:	12
ILUMINACION							
Fijo [W/m²]:	25.00	Variable [W/m²]:		Código iluminación:	2	Perfil horario:	12
EQUIPAMIENTOS							
Sensible. [W]:	2,000.00	Radiante [%]:	0.45	Latente [W/m²]:		Perfil horario:	12
INFILTRACIONES							
Verano [Vol/h]:	0.30	Invierno [Vol/h]:			0.20		
AIRE EXTERIOR TRATADO							
[Vol/h]:	1.83	[l/s]:			74.92		

SUPERFICIES INTERCAMBIANTES			
Tipo	Orientación	Descripción	Area [m²]
Pared	Suelo exterior	Forjado interior FR35	40.50
Pared	Orientacion hacia espacio	Forjado interior FR35	1.58
Pared	Tejado exterior	Cubierta exterior c-35	42.08
Pared	Orientacion hacia espacio	Cerramiento interior I.6A	45.23
Pared	Orientacion hacia espacio	Cerramiento interior I.6A	19.31
Pared	Este	Cerramiento exterior E.3A	5.81
Pared	Este	Cerramiento ext. 30cm	9.33

POTENCIA FRIGORIFICA Y CARGA TERMICA MAXIMA												
CARGA TERMICA MAXIMA EN VERANO							Mes:	7	Hora:	18		
				Sensible [W]			Latente [W]					
Radiación solar												
Conducción				781.70								
Iluminación				844.50								
Ocupación				821.90			1,700.00					
Equipamientos				1,782.00								
Infiltraciones				93.40			79.00		S/T			
Total				4,323.60			1,779.00		0.71			
Totale (Sensible + Latente) [W]:				6,102.60								
POTENCIA MAXIMA		Sens. [W]:		4,566.10	Total [W]:		6,444.90		Mes:	7	Hora:	13
CARGA TERMICA MAXIMA INVERNAL												
				Sensible [W]								
Conducción				1,800.20								
Infiltraciones				208.90								
Total				2,009.00								
POTENCIA MAXIMA				2,209.90			Mes:	1	Hora:	0		

Planta	PLANTA TERCERA		Zona	No climatizada		Esp.	E-6-Paso 3.3 P3	
Sup. [m²]:	16.81		Volumen [m³]:	58.83		Altura [m]:	3.50	
PERSONAS								
Ocupación [n.]:	0		Sens. [W]/p:	0		Latente [W]/p:	Perfil horario: 1	
ILUMINACION								
Fijo [W/m²]:			Variable [W/m²]:			Código iluminación:	0 Perfil horario: 1	
EQUIPAMIENTOS								
Sensible. [W]:			Radiante [%]:			Latente [W/m²]:	Perfil horario: 1	
INFILTRACIONES								
Verano [Vol/h]:			Invierno [Vol/h]:			0.50		
AIRE EXTERIOR TRATADO								
[Vol/h]:			[l/s]:					

SUPERFICIES INTERCAMBIANTES			
Tipo	Orientación	Descripción	Area [m²]
Pared	Suelo exterior	Forjado interior FR35	16.81
Pared	Tejado exterior	Cubierta exterior c-35	16.81
Pared	Orientacion hacia espacio	Cerramiento interior I.6A	11.64
Pared	Sur	Cerramiento interior I7	13.65
Pared	Orientacion hacia espacio	Cerramiento interior I7	5.60
Pared	Este	Cerramiento exterior E.3A	9.54
Pared	Orientacion hacia espacio	Cerramiento interior I.6A	19.31

POTENCIA FRIGORIFICA Y CARGA TERMICA MAXIMA										
CARGA TERMICA MAXIMA EN VERANO						Mes:	0	Hora:	0	
		Sensible [W]		Latente [W]						
Radiación solar										
Conducción										
Iluminación										
Ocupación										
Equipamientos										
Infiltraciones						S/T				
Total										
Totale (Sensible + Latente) [W]:										
POTENCIA MAXIMA	Sens. [W]:			Total [W]:			Mes:	0	Hora:	0
CARGA TERMICA MAXIMA INVERNAL										
		Sensible [W]								
Conducción										
Infiltraciones		195.00								
Total		195.00								
POTENCIA MAXIMA							Mes:	1	Hora:	0

Planta	PLANTA TERCERA		Zona	CL sa vestibulo		Esp.	E-7-Sala tecnica P3		
Sup. [m²]:		32.10	Volumen [m³]:		112.35	Altura [m]:		3.50	
PERSONAS									
Ocupación [n.]:		3	Sens. [W]/p:		90	Latente [W]/p:		95.0	Perfil horario: 12
ILUMINACION									
Fijo [W/m²]:		20.00	Variable [W/m²]:			Código iluminación:		2	Perfil horario: 12
EQUIPAMIENTOS									
Sensible. [W]:		900.00	Radiante [%]:		0.45	Latente [W/m²]:			Perfil horario: 12
INFILTRACIONES									
Verano [Vol/h]:		0.30			Invierno [Vol/h]:		0.20		
AIRE EXTERIOR TRATADO									
[Vol/h]:		2.69			[l/s]:		84.00		

SUPERFICIES INTERCAMBIANTES			
Tipo	Orientación	Descripción	Area [m²]
Pared	Suelo exterior	Forjado interior FR35	32.10
Pared	Tejado exterior	Cubierta exterior c-35	32.10
Pared	Orientacion hacia espacio	Cerramiento interior I.6A	10.24
Pared	Norte	Cerramiento interior I7	30.57
Pared	Oeste	Cerramiento interior I7	3.52
Pared	Orientacion hacia espacio	Cerramiento interior I7	5.60
Pared	Este	Cerramiento exterior E.3A	13.73

POTENCIA FRIGORIFICA Y CARGA TERMICA MAXIMA									
CARGA TERMICA MAXIMA EN VERANO						Mes:	7	Hora:	18
		Sensible [W]				Latente [W]			
Radiación solar									
Conducción		589.60							
Iluminación		504.60							
Ocupación		236.70				285.00			
Equipamientos		793.30							
Infiltraciones		71.20				60.30		S/T	
Total		2,195.40				345.30		0.86	
Totale (Sensible + Latente) [W]:		2,540.70							
POTENCIA MAXIMA	Sens. [W]:	2,333.10	Total [W]:	2,700.00	Mes:	7	Hora:	12	
CARGA TERMICA MAXIMA INVERNAL									
		Sensible [W]							
Conducción		1,862.20							
Infiltraciones		159.30							
Total		2,021.50							
POTENCIA MAXIMA		2,223.60				Mes:	1	Hora:	0

Planta	PLANTA TERCERA		Zona	No climatizada		Esp.	E-8-Paso 3.4 P3	
Sup. [m²]:	16.93		Volumen [m³]:	59.25		Altura [m]:	3.50	
PERSONAS								
Ocupación [n.]:	0		Sens. [W]/p:	0		Latente [W]/p:	Perfil horario: 1	
ILUMINACION								
Fijo [W/m²]:			Variable [W/m²]:			Código iluminación:	0 Perfil horario: 1	
EQUIPAMIENTOS								
Sensible. [W]:			Radiante [%]:			Latente [W/m²]:	Perfil horario: 1	
INFILTRACIONES								
Verano [Vol/h]:			Invierno [Vol/h]:			0.50		
AIRE EXTERIOR TRATADO								
[Vol/h]:			[l/s]:					

SUPERFICIES INTERCAMBIANTES			
Tipo	Orientación	Descripción	Area [m²]
Pared	Suelo exterior	Forjado interior FR35	16.93
Pared	Tejado exterior	Cubierta exterior c-35	11.60
Pared	Orientacion hacia espacio	Cubierta exterior c-35	5.32
Pared	Oeste	Cerramiento exterior E.3A	10.21
Pared	Orientacion hacia espacio	Cerramiento exterior E.3A	19.89
Pared	Orientacion hacia espacio	Cerramiento interior I.6A	10.24
Pared	Norte	Cerramiento interior I7	20.72

POTENCIA FRIGORIFICA Y CARGA TERMICA MAXIMA										
CARGA TERMICA MAXIMA EN VERANO						Mes:	0	Hora:	0	
		Sensible [W]				Latente [W]				
Radiación solar										
Conducción										
Iluminación										
Ocupación										
Equipamientos										
Infiltraciones								S/T		
Total										
Totale (Sensible + Latente) [W]:										
POTENCIA MAXIMA	Sens. [W]:			Total [W]:			Mes:	0	Hora:	0
CARGA TERMICA MAXIMA INVERNAL										
		Sensible [W]								
Conducción										
Infiltraciones		196.40								
Total		196.40								
POTENCIA MAXIMA							Mes:	1	Hora:	0

Planta	PLANTA TERCERA		Zona	No climatizada		Esp.	E-9-ALmacén y Paso P	
Sup. [m²]:	60.24		Volumen [m³]:	210.82		Altura [m]:	3.50	
PERSONAS								
Ocupación [n.]:	0		Sens. [W]/p:	0		Latente [W]/p:		
						Perfil horario:	1	
ILUMINACION								
Fijo [W/m²]:			Variable [W/m²]:			Código iluminación:	0	
						Perfil horario:	1	
EQUIPAMIENTOS								
Sensible. [W]:			Radiante [%]:			Latente [W/m²]:		
						Perfil horario:	1	
INFILTRACIONES								
Verano [Vol/h]:						Invierno [Vol/h]: 0.50		
AIRE EXTERIOR TRATADO								
[Vol/h]:						[l/s]:		

SUPERFICIES INTERCAMBIANTES			
Tipo	Orientación	Descripción	Area [m²]
Pared	Orientacion hacia espacio	Forjado interior FR35	60.24
Pared	Orientacion hacia espacio	Cubierta exterior c-35	1.23
Pared	Orientacion hacia espacio	Cubierta exterior c-35	16.56
Pared	Oeste	Cerrameinto exterior E.1	5.85
Pared	Orientacion hacia espacio	Cerramiento interior I.6A	39.25
Pared	Norte	Cerramiento exterior E.3A	9.27
Pared	Este	Cerramiento exterior E.3A	8.73
Pared	Orientacion hacia espacio	Cerramiento exterior E.5C	49.63
Pared	Sur	Cerramiento exterior E.3A	17.64
Ventana	Oeste	V3	18.17
Pared	Oeste	Cerramiento ext. 30cm	3.03

POTENCIA FRIGORIFICA Y CARGA TERMICA MAXIMA									
CARGA TERMICA MAXIMA EN VERANO						Mes:	0	Hora:	0
		Sensible [W]		Latente [W]					
Radiación solar									
Conducción									
Iluminación									
Ocupación									
Equipamientos									
Infiltraciones						S/T			
Total									
Totale (Sensible + Latente) [W]:									
POTENCIA MAXIMA	Sens. [W]:	Total [W]:		Mes:	0	Hora:	0		
CARGA TERMICA MAXIMA INVERNAL									
		Sensible [W]							
Conducción									
Infiltraciones		698.90							
Total		698.90							
POTENCIA MAXIMA				Mes:	1	Hora:	0		

Planta	PLANTA SM CUBIERTA		Zona	No climatizada		Esp.	E-1-Cuarto instalaci	
Sup. [m²]:	40.86		Volumen [m³]:	157.32		Altura [m]:	3.85	
PERSONAS								
Ocupación [n.]:	0		Sens. [W]/p:	0		Latente [W]/p:		
						Perfil horario:	1	
ILUMINACION								
Fijo [W/m²]:			Variable [W/m²]:			Código iluminación:	0	
						Perfil horario:	1	
EQUIPAMIENTOS								
Sensible. [W]:			Radiante [%]:			Latente [W/m²]:		
						Perfil horario:	1	
INFILTRACIONES								
Verano [Vol/h]:						Invierno [Vol/h]: 0.50		
AIRE EXTERIOR TRATADO								
[Vol/h]:						[l/s]:		

SUPERFICIES INTERCAMBIANTES			
Tipo	Orientación	Descripción	Area [m²]
Pared	Orientacion hacia espacio	Forjado interior FR35	40.86
Pared	Tejado exterior	Cubierta No Transible	40.86
Pared	Oeste	Cerramiento exterior E.3A	23.19
Pared	Norte	Cerramiento exterior E.3A	12.70
Pared	Este	Cerramiento exterior E.3A	23.45
Pared	Orientacion hacia espacio	Cerramiento interior I7	19.87
Pared	Oeste	Cerramiento ext. 30cm	3.51
Pared	Norte	Cerramiento ext. 30cm	3.44
Pared	Este	Cerramiento ext. 30cm	3.38

POTENCIA FRIGORIFICA Y CARGA TERMICA MAXIMA									
CARGA TERMICA MAXIMA EN VERANO						Mes:	0	Hora:	0
		Sensible [W]		Latente [W]					
Radiación solar									
Conducción									
Iluminación									
Ocupación									
Equipamientos									
Infiltraciones						S/T			
Total									
Totale (Sensible + Latente) [W]:									
POTENCIA MAXIMA	Sens. [W]:		Total [W]:		Mes:	0	Hora:	0	
CARGA TERMICA MAXIMA INVERNAL									
		Sensible [W]							
Conducción									
Infiltraciones			521.50						
Total			521.50						
POTENCIA MAXIMA				Mes:	1	Hora:	0		

Planta	PLANTA SM CUBIERTA		Zona	No climatizada		Esp.	E-2-Cuarto instalaci	
Sup. [m²]:	16.88		Volumen [m³]:	65.01		Altura [m]:	3.85	
PERSONAS								
Ocupación [n.]:	0		Sens. [W]/p:	0		Latente [W]/p:	Perfil horario: 1	
ILUMINACION								
Fijo [W/m²]:			Variable [W/m²]:			Código iluminación:	0 Perfil horario: 1	
EQUIPAMIENTOS								
Sensible. [W]:			Radiante [%]:			Latente [W/m²]:	Perfil horario: 1	
INFILTRACIONES								
Verano [Vol/h]:						Invierno [Vol/h]: 0.50		
AIRE EXTERIOR TRATADO								
[Vol/h]:						[l/s]:		

SUPERFICIES INTERCAMBIANTES			
Tipo	Orientación	Descripción	Area [m²]
Pared	Orientacion hacia espacio	Forjado interior FR35	16.88
Pared	Tejado exterior	Cubierta No Transible	16.88
Pared	Oeste	Cerramiento exterior E.3A	12.60
Pared	Orientacion hacia espacio	Cerramiento interior I7	19.87
Pared	Este	Cerramiento exterior E.3A	12.60
Pared	Sur	Cerramiento exterior E.3A	19.87

POTENCIA FRIGORIFICA Y CARGA TERMICA MAXIMA										
CARGA TERMICA MAXIMA EN VERANO						Mes:	0	Hora:	0	
		Sensible [W]				Latente [W]				
Radiación solar										
Conducción										
Iluminación										
Ocupación										
Equipamientos										
Infiltraciones								S/T		
Total										
Totale (Sensible + Latente) [W]:										
POTENCIA MAXIMA	Sens. [W]:			Total [W]:			Mes:	0	Hora:	0
CARGA TERMICA MAXIMA INVERNAL										
		Sensible [W]								
Conducción										
Infiltraciones		215.50								
Total		215.50								
POTENCIA MAXIMA							Mes:	1	Hora:	0

Planta	PLANTA SM CUBIERTA		Zona	No climatizada		Esp.	E-5-Escalera 3.8 PSM	
Sup. [m²]:	6.80		Volumen [m³]:	26.19		Altura [m]:	3.85	
PERSONAS								
Ocupación [n.]:	0		Sens. [W]/p:	0		Latente [W]/p:	Perfil horario: 1	
ILUMINACION								
Fijo [W/m²]:			Variable [W/m²]:			Código iluminación:	0 Perfil horario: 1	
EQUIPAMIENTOS								
Sensible. [W]:			Radiante [%]:			Latente [W/m²]:	Perfil horario: 1	
INFILTRACIONES								
Verano [Vol/h]:						Invierno [Vol/h]: 0.50		
AIRE EXTERIOR TRATADO								
[Vol/h]:						[l/s]:		

SUPERFICIES INTERCAMBIANTES			
Tipo	Orientación	Descripción	Area [m²]
Pared	Suelo exterior	Forjado interior FR35	1.57
Pared	Orientacion hacia espacio	Forjado interior FR35	5.23
Pared	Tejado exterior	Cubierta No Transible	6.80
Pared	Oeste	Cerramiento exterior E.3A	15.21
Pared	Norte	Cerramiento exterior E.3A	7.03
Pared	Este	Cerramiento exterior E.3A	4.43
Pared	Orientacion hacia espacio	Cerramiento interior I7	17.25

POTENCIA FRIGORIFICA Y CARGA TERMICA MAXIMA										
CARGA TERMICA MAXIMA EN VERANO						Mes:	0	Hora:	0	
		Sensible [W]				Latente [W]				
Radiación solar										
Conducción										
Iluminación										
Ocupación										
Equipamientos										
Infiltraciones								S/T		
Total										
Totale (Sensible + Latente) [W]:										
POTENCIA MAXIMA	Sens. [W]:			Total [W]:			Mes:	0	Hora:	0
CARGA TERMICA MAXIMA INVERNAL										
		Sensible [W]								
Conducción										
Infiltraciones				86.80						
Total				86.80						
POTENCIA MAXIMA							Mes:	1	Hora:	0

Planta	PLANTA SM CUBIERTA		Zona	No climatizada		Esp.	E-6-Escalera y vesti	
Sup. [m²]:	63.67		Volumen [m³]:	245.15		Altura [m]:	3.85	
PERSONAS								
Ocupación [n.]:	0		Sens. [W]/p:	0		Latente [W]/p:	Perfil horario: 1	
ILUMINACION								
Fijo [W/m²]:			Variable [W/m²]:			Código iluminación:	0 Perfil horario: 1	
EQUIPAMIENTOS								
Sensible. [W]:			Radiante [%]:			Latente [W/m²]:	Perfil horario: 1	
INFILTRACIONES								
Verano [Vol/h]:						Invierno [Vol/h]: 0.50		
AIRE EXTERIOR TRATADO								
[Vol/h]:						[l/s]:		

SUPERFICIES INTERCAMBIANTES			
Tipo	Orientación	Descripción	Area [m²]
Pared	Orientacion hacia espacio	Forjado interior FR35	63.67
Pared	Tejado exterior	Cubierta No Transible	63.67
Pared	Oeste	Cerramiento exterior E.3A	18.65
Pared	Sur	Cerramiento exterior E.5C	49.57
Pared	Este	Cerramiento exterior E.5C	16.14
Pared	NE	Cerramiento exterior E.5C	4.94
Pared	Norte	Cerramiento exterior E.5C	22.31
Pared	Orientacion hacia espacio	Cerramiento exterior E.5C	23.76

POTENCIA FRIGORIFICA Y CARGA TERMICA MAXIMA									
CARGA TERMICA MAXIMA EN VERANO						Mes:	0	Hora:	0
		Sensible [W]		Latente [W]					
Radiación solar									
Conducción									
Iluminación									
Ocupación									
Equipamientos									
Infiltraciones						S/T			
Total									
Totale (Sensible + Latente) [W]:									
POTENCIA MAXIMA	Sens. [W]:		Total [W]:		Mes:	0	Hora:	0	
CARGA TERMICA MAXIMA INVERNAL									
		Sensible [W]							
Conducción									
Infiltraciones			812.70						
Total			812.70						
POTENCIA MAXIMA				Mes:	1	Hora:	0		

Planta	PLANTA SM CUBIERTA		Zona	No climatizada		Esp.	E-7-Paso PSMC	
Sup. [m²]:	14.20		Volumen [m³]:	54.66		Altura [m]:	3.85	
PERSONAS								
Ocupación [n.]:	0		Sens. [W]/p:	0		Latente [W]/p:	Perfil horario: 1	
ILUMINACION								
Fijo [W/m²]:			Variable [W/m²]:			Código iluminación:	0 Perfil horario: 1	
EQUIPAMIENTOS								
Sensible. [W]:			Radiante [%]:			Latente [W/m²]:	Perfil horario: 1	
INFILTRACIONES								
Verano [Vol/h]:			Invierno [Vol/h]:			0.50		
AIRE EXTERIOR TRATADO								
[Vol/h]:			[l/s]:					

SUPERFICIES INTERCAMBIANTES			
Tipo	Orientación	Descripción	Area [m²]
Pared	Orientacion hacia espacio	Forjado interior FR35	14.20
Pared	Tejado exterior	Cubierta No Transible	14.20
Pared	Oeste	Cerramiento exterior E.3A	8.86
Pared	Orientacion hacia espacio	Cerramiento exterior E.5C	23.76
Pared	Este	Cerramiento exterior E.3A	8.86
Pared	Orientacion hacia espacio	Cerramiento exterior E.3A	23.76

POTENCIA FRIGORIFICA Y CARGA TERMICA MAXIMA									
CARGA TERMICA MAXIMA EN VERANO						Mes:	0	Hora:	0
		Sensible [W]		Latente [W]					
Radiación solar									
Conducción									
Iluminación									
Ocupación									
Equipamientos									
Infiltraciones						S/T			
Total									
Totale (Sensible + Latente) [W]:									
POTENCIA MAXIMA	Sens. [W]:	Total [W]:		Mes:	0	Hora:	0		
CARGA TERMICA MAXIMA INVERNAL									
		Sensible [W]							
Conducción									
Infiltraciones		181.20							
Total		181.20							
POTENCIA MAXIMA				Mes:	1	Hora:	0		

6. CONDICIONES HORARIAS Y MENSUALES DE LA POTENCIA TERMICA ESTIVAL DE LAS ZONAS (Consumo diario)

Zona	1 : Climatizada											
	Mes: Enero			Mes: Febrero			Mes: Marzo			Mes: Abril		
Hora	Esp. [W]	Vent. [W]	Total [W]	Esp. [W]	Vent. [W]	Total [W]	Esp. [W]	Vent. [W]	Total [W]	Esp. [W]	Vent. [W]	Total [W]
1												
2												
3												
4												
5												
6												
7	207,649			246,621			355,777	49,850	49,850	428,460	202,763	202,763
8	245,174			297,063			385,879	103,832	103,832	461,074	256,977	256,977
9	470,664	5,617	5,617	515,712	63,993	63,993	598,807	272,710	272,710	677,761	502,931	502,931
10	685,200	186,472	186,472	728,224	264,543	264,543	808,483	543,553	543,553	890,540	851,291	851,291
11	697,674	389,319	389,319	739,430	467,659	467,659	817,592	747,485	747,485	903,102	1,056,102	1,056,102
12	708,901	580,233	580,233	749,064	658,827	658,827	826,708	939,421	939,421	909,409	1,248,865	1,248,865
13	733,335	723,419	723,419	773,268	802,203	802,203	852,892	1,083,374	1,083,374	917,000	1,393,438	1,393,438
14	766,961	818,876	821,485	809,412	897,787	897,787	889,073	1,179,342	1,179,342	942,070	1,489,819	1,489,819
15	788,294	854,673	866,781	834,765	933,631	933,631	913,933	1,215,330	1,215,330	972,466	1,525,963	1,525,963
16	389,775	409,438	413,863	446,211	448,894	452,403	527,288	589,671	589,671	596,147	744,910	803,656
17	728,108	735,351	735,351	806,337	814,151	814,151	900,206	1,095,370	1,095,370	991,122	1,405,485	1,411,294
18	723,882	604,098	604,098	760,468	682,723	682,723	830,333	963,413	963,413	976,992	1,272,961	1,272,961
19	717,356	448,979	448,979	752,097	527,399	527,399	819,169	807,465	807,465	924,456	1,116,340	1,116,340
20	710,896	293,861	293,861	744,264	372,075	372,075	809,612	651,517	651,517	882,540	959,720	959,720
21	508,225	121,956	121,956	540,458	180,486	180,486	604,338	389,671	389,671	674,627	620,397	620,397
22	304,031	21,643	21,643	335,314	60,584	60,584	397,921	199,800	199,800	466,182	353,359	353,359
23												
24												
Tot. diario [Wh]	6,213,078			[Wh]:	7,178,465			[Wh]:	10,831,804			[Wh]: 15,065,876

NOTA.: El total diario, referido al día-tipo, considera la ganancia por ventilación mecánica de los espacios.

Zona	1 : Climatizada											
	Mes: Mayo			Mes: Junio			Mes: Julio			Mes: Agosto		
Hora	Esp. [W]	Vent. [W]	Total [W]	Esp. [W]	Vent. [W]	Total [W]	Esp. [W]	Vent. [W]	Total [W]	Esp. [W]	Vent. [W]	Total [W]
1												
2												
3												
4												
5												
6												
7	520,470	435,528	560,820	586,064	804,789	1,058,694	633,615	1,001,734	1,351,582	602,003	969,508	1,287,273
8	540,498	489,978	626,336	601,079	859,443	1,121,616	648,435	1,056,578	1,414,565	624,174	1,024,310	1,354,286
9	753,504	852,943	1,025,549	812,793	1,407,583	1,751,238	860,357	1,703,695	2,177,925	838,086	1,655,201	2,095,303
10	964,261	1,318,757	1,526,393	1,022,646	2,058,959	2,483,091	1,069,886	2,454,407	3,043,582	1,048,175	2,389,606	2,937,745
11	975,347	1,524,457	1,738,283	1,033,073	2,265,432	2,695,382	1,079,892	2,661,595	3,256,350	1,058,192	2,596,634	3,150,361
12	980,829	1,718,057	1,934,966	1,038,017	2,459,759	2,892,489	1,084,145	2,856,596	3,453,742	1,062,151	2,791,483	3,347,442
13	988,357	1,863,257	2,084,370	1,044,165	2,605,505	3,041,668	1,088,422	3,002,846	3,602,379	1,067,276	2,937,621	3,496,445
14	1,011,775	1,960,057	2,194,144	1,064,374	2,702,668	3,150,025	1,106,060	3,100,347	3,709,627	1,088,830	3,035,045	3,605,803
15	1,039,613	1,996,357	2,245,847	1,090,681	2,739,105	3,201,013	1,131,920	3,136,909	3,760,481	1,116,050	3,071,580	3,657,390
16	661,562	980,029	1,183,575	712,154	1,351,334	1,675,117	754,407	1,550,173	1,966,907	736,934	1,517,523	1,910,016
17	1,055,996	1,875,357	2,133,858	1,106,741	2,617,650	3,088,380	1,148,793	3,015,034	3,647,905	1,129,261	2,949,799	3,542,851
18	1,044,683	1,742,257	1,994,495	1,097,153	2,484,050	2,949,465	1,138,556	2,880,971	3,508,165	1,112,769	2,815,840	3,399,760
19	1,006,587	1,584,957	1,816,112	1,065,013	2,326,159	2,773,778	1,104,193	2,722,533	3,330,698	1,060,220	2,657,524	3,212,368
20	945,696	1,427,657	1,625,130	1,001,960	2,168,268	2,581,006	1,038,792	2,564,095	3,136,078	1,016,990	2,499,209	3,030,125
21	736,309	970,918	1,134,142	786,101	1,526,001	1,854,953	826,207	1,822,524	2,277,873	807,499	1,773,938	2,197,154
22	526,670	586,778	715,602	575,607	956,607	1,204,725	615,427	1,154,078	1,493,779	597,584	1,121,735	1,437,003
23												
24												
Tot. diario [Wh]	24,539,622			[Wh]:	37,522,639			[Wh]:	45,131,636			[Wh]: 43,661,323

NOTA.: El total diario, referido al día-tipo, considera la ganancia por ventilación mecánica de los espacios.

Zona	1 : Climatizada											
	Mes: Septiembre			Mes: Octubre			Mes: Noviembre			Mes: Diciembre		
Hora	Esp. [W]	Vent. [W]	Total [W]	Esp. [W]	Vent. [W]	Total [W]	Esp. [W]	Vent. [W]	Total [W]	Esp. [W]	Vent. [W]	Total [W]
1												
2												
3												
4												
5												
6												
7	523,219	834,571	1,052,042	420,272	398,968	435,249	309,781	64,378	64,378	226,071		
8	555,273	889,211	1,124,385	445,795	453,316	503,734	350,302	118,411	118,411	260,228		
9	773,532	1,452,204	1,771,765	671,136	797,729	874,669	566,266	294,687	294,687	484,098	64,414	64,414
10	984,932	2,118,407	2,518,588	884,931	1,244,799	1,341,904	775,737	573,025	573,025	697,300	265,134	265,134
11	995,366	2,324,826	2,730,835	896,608	1,450,113	1,553,746	785,373	777,149	777,149	709,041	468,283	468,283
12	999,537	2,519,103	2,927,468	902,434	1,643,351	1,750,266	799,222	969,265	969,265	721,968	659,482	659,482
13	1,006,515	2,664,811	3,077,072	912,677	1,788,279	1,900,907	829,816	1,113,352	1,113,352	749,439	802,881	802,881
14	1,032,457	2,761,950	3,188,577	941,724	1,884,898	2,013,617	859,461	1,209,411	1,209,411	780,357	898,480	898,480
15	1,060,547	2,798,377	3,240,543	969,226	1,921,130	2,065,072	871,951	1,245,432	1,245,432	795,389	934,330	934,330
16	680,213	1,380,975	1,685,457	586,093	942,449	1,070,755	454,911	604,705	604,705	381,088	449,240	449,240
17	1,068,047	2,676,954	3,123,216	964,703	1,800,356	1,941,768	808,381	1,125,360	1,125,360	739,501	814,831	814,831
18	1,035,480	2,543,388	2,971,639	901,676	1,667,506	1,774,079	803,463	993,280	993,280	735,879	683,381	683,381
19	975,277	2,385,538	2,780,486	888,686	1,510,500	1,609,871	796,131	837,185	837,185	729,689	528,032	528,032
20	962,912	2,227,688	2,615,770	878,865	1,353,495	1,447,413	788,863	681,091	681,091	723,453	372,683	372,683
21	755,353	1,570,592	1,880,197	673,290	915,483	993,818	585,391	411,758	411,758	520,922	180,925	180,925
22	546,931	986,350	1,216,986	466,555	549,935	612,032	380,405	214,469	214,469	316,802	60,867	60,867
23												
24												
Tot. diario [Wh]	37,905,024			[Wh]:	21,888,897			[Wh]:	11,232,957			[Wh]: 7,182,962

NOTA.: El total diario, referido al día-tipo, considera la ganancia por ventilación mecánica de los espacios.

Zona	2 : No climatizada											
	Mes: Enero			Mes: Febrero			Mes: Marzo			Mes: Abril		
Hora	Esp. [W]	Vent. [W]	Total [W]	Esp. [W]	Vent. [W]	Total [W]	Esp. [W]	Vent. [W]	Total [W]	Esp. [W]	Vent. [W]	Total [W]
1												
2												
3												
4												
5												
6												
7												
8												
9												
10												
11												
12												
13												
14												
15												
16												
17												
18												
19												
20												
21												
22												
23												
24												
Tot. diario [Wh]				[Wh]:				[Wh]:				[Wh]:

NOTA.: El total diario, referido al día-tipo, considera la ganancia por ventilación mecánica de los espacios.

Zona	2 : No climatizada											
	Mes: Mayo			Mes: Junio			Mes: Julio			Mes: Agosto		
Hora	Esp. [W]	Vent. [W]	Total [W]	Esp. [W]	Vent. [W]	Total [W]	Esp. [W]	Vent. [W]	Total [W]	Esp. [W]	Vent. [W]	Total [W]
1												
2												
3												
4												
5												
6												
7												
8												
9												
10												
11												
12												
13												
14												
15												
16												
17												
18												
19												
20												
21												
22												
23												
24												
Tot. diario [Wh]				[Wh]:				[Wh]:				[Wh]:

NOTA.: El total diario, referido al día-tipo, considera la ganancia por ventilación mecánica de los espacios.

Zona	2 : No climatizada											
	Mes: Septiembre			Mes: Octubre			Mes: Noviembre			Mes: Diciembre		
Hora	Esp. [W]	Vent. [W]	Total [W]	Esp. [W]	Vent. [W]	Total [W]	Esp. [W]	Vent. [W]	Total [W]	Esp. [W]	Vent. [W]	Total [W]
1												
2												
3												
4												
5												
6												
7												
8												
9												
10												
11												
12												
13												
14												
15												
16												
17												
18												
19												
20												
21												
22												
23												
24												
Tot. diario [Wh]				[Wh]:				[Wh]:				[Wh]:

NOTA.: El total diario, referido al día-tipo, considera la ganancia por ventilación mecánica de los espacios.

Zona	3 : CL vestuarios											
	Mes: Enero			Mes: Febrero			Mes: Marzo			Mes: Abril		
Hora	Esp. [W]	Vent. [W]	Total [W]	Esp. [W]	Vent. [W]	Total [W]	Esp. [W]	Vent. [W]	Total [W]	Esp. [W]	Vent. [W]	Total [W]
1												
2												
3												
4												
5												
6												
7	2,045		164	2,933		335	5,145	631	1,147	7,529	2,832	3,535
8	2,161		243	3,049		414	5,145	1,402	1,918	7,404	3,608	4,224
9	3,999		893	4,869	838	1,669	6,928	3,774	4,008	9,144	7,091	7,091
10	5,924	2,529	4,132	6,778	3,675	4,984	8,801	7,603	7,616	10,979	12,039	12,039
11	6,176	5,423	7,200	7,015	6,573	8,045	9,004	10,516	10,669	11,145	14,968	14,968
12	6,396	8,147	10,075	7,221	9,302	10,915	9,178	13,258	13,531	11,284	17,724	17,724
13	6,588	10,189	12,250	7,399	11,348	13,084	9,327	15,314	15,690	11,399	19,791	19,791
14	6,751	11,551	13,724	7,549	12,712	14,552	9,450	16,685	17,145	11,490	21,170	21,170
15	6,879	12,062	14,323	7,666	13,224	15,144	9,540	17,199	17,721	11,551	21,686	21,686
16	3,492	5,776	6,936	4,267	6,356	7,609	6,116	8,343	9,527	8,100	10,585	11,680
17	6,875	10,360	12,618	7,640	11,518	13,421	9,466	15,486	15,957	11,423	19,964	19,964
18	6,952	8,487	10,799	7,706	9,643	11,591	9,511	13,601	14,103	11,442	18,069	18,069
19	6,968	6,274	8,597	7,713	7,426	9,379	9,497	11,373	11,866	11,404	15,829	15,829
20	6,981	4,061	6,393	7,718	5,209	7,166	9,482	9,145	9,628	11,365	13,590	13,590
21	5,266	1,641	3,408	5,995	2,500	4,107	7,741	5,445	6,239	9,602	8,771	8,771
22	3,478	243	1,395	4,200	814	2,023	5,929	2,773	3,830	7,770	4,986	5,855
23												
24												
Tot. diario [Wh]	113,150			[Wh]:	124,437			[Wh]:	160,594			[Wh]: 215,985

NOTA.: El total diario, referido al día-tipo, considera la ganancia por ventilación mecánica de los espacios.

Zona	3 : CL vestuarios											
	Mes: Mayo			Mes: Junio			Mes: Julio			Mes: Agosto		
Hora	Esp. [W]	Vent. [W]	Total [W]	Esp. [W]	Vent. [W]	Total [W]	Esp. [W]	Vent. [W]	Total [W]	Esp. [W]	Vent. [W]	Total [W]
1												
2												
3												
4												
5												
6												
7	9,691	6,229	7,588	11,619	11,614	14,866	13,341	14,363	19,170	12,821	13,928	18,263
8	9,454	7,008	8,131	11,280	12,397	15,310	12,912	15,149	19,527	12,420	14,714	18,647
9	11,157	12,201	12,201	12,950	20,291	22,664	14,550	24,427	28,857	14,068	23,773	27,717
10	12,958	18,866	18,866	14,719	29,665	32,037	16,291	35,191	40,132	15,817	34,316	38,662
11	13,093	21,811	21,811	14,824	32,623	35,028	16,369	38,162	43,127	15,904	37,284	41,656
12	13,202	24,582	24,582	14,905	35,407	37,838	16,424	40,958	45,941	15,967	40,077	44,470
13	13,290	26,660	26,660	14,965	37,495	39,945	16,460	43,055	48,049	16,011	42,172	46,578
14	13,355	28,046	28,046	15,005	38,887	41,349	16,477	44,453	49,453	16,035	43,569	47,983
15	13,391	28,565	28,565	15,018	39,409	41,875	16,468	44,977	49,974	16,032	44,093	48,506
16	9,916	14,023	15,607	11,521	19,444	22,598	12,950	22,226	26,642	12,520	21,784	25,818
17	13,217	26,833	26,833	14,800	37,669	40,068	16,211	43,229	48,147	15,787	42,347	46,684
18	13,216	24,928	24,928	14,779	35,755	38,147	16,171	41,307	46,212	15,753	40,426	44,753
19	13,159	22,677	22,677	14,703	33,493	35,861	16,077	39,035	43,911	15,664	38,157	42,456
20	13,101	20,425	20,425	14,627	31,231	33,576	15,985	36,764	41,611	15,577	35,887	40,159
21	11,320	13,890	13,890	12,829	21,988	24,324	14,172	26,131	30,445	13,769	25,475	29,327
22	9,472	8,394	9,535	10,965	13,789	16,387	12,293	16,547	20,307	11,894	16,111	19,522
23												
24												
Tot. diario [Wh]	310,343			[Wh]:	491,874			[Wh]:	601,505			[Wh]: 581,200

NOTA.: El total diario, referido al día-tipo, considera la ganancia por ventilación mecánica de los espacios.

Zona	3 : CL vestuarios											
	Mes: Septiembre			Mes: Octubre			Mes: Noviembre			Mes: Diciembre		
Hora	Esp. [W]	Vent. [W]	Total [W]	Esp. [W]	Vent. [W]	Total [W]	Esp. [W]	Vent. [W]	Total [W]	Esp. [W]	Vent. [W]	Total [W]
1												
2												
3												
4												
5												
6												
7	11,091	12,085	14,853	8,190	5,795	6,112	5,153	947	1,151	2,663		93
8	10,781	12,868	15,326	8,032	6,573	6,781	5,153	1,719	1,923	2,793		183
9	12,461	20,997	23,150	9,762	11,544	11,544	6,936	4,252	4,252	4,619	887	1,464
10	14,240	30,606	32,738	11,589	17,984	17,984	8,811	8,243	8,243	6,533	3,741	4,772
11	14,354	33,563	35,730	11,747	20,921	20,921	9,015	11,159	11,159	6,775	6,640	7,837
12	14,443	36,346	38,542	11,879	23,686	23,686	9,190	13,904	13,904	6,985	9,369	10,711
13	14,512	38,433	40,650	11,987	25,759	25,759	9,339	15,963	15,963	7,168	11,415	12,884
14	14,558	39,825	42,057	12,071	27,142	27,142	9,462	17,335	17,335	7,322	12,780	14,355
15	14,577	40,347	42,584	12,125	27,660	27,660	9,553	17,850	17,850	7,443	13,291	14,949
16	11,086	19,912	22,675	8,667	13,571	14,216	6,129	8,668	9,543	4,047	6,390	7,437
17	14,371	38,607	40,781	11,984	25,932	25,932	9,478	16,134	16,134	7,423	11,586	13,230
18	14,356	36,694	38,863	11,998	24,031	24,031	9,523	14,247	14,247	7,493	9,710	11,402
19	14,285	34,433	36,579	11,955	21,785	21,785	9,509	12,017	12,017	7,503	7,493	9,192
20	14,214	32,171	34,296	11,912	19,539	19,539	9,494	9,787	9,787	7,509	5,275	6,980
21	12,421	22,693	24,835	10,144	13,228	13,228	7,752	5,925	6,250	5,788	2,550	3,932
22	10,562	14,259	16,498	8,307	7,955	8,353	5,937	3,092	3,836	3,993	847	1,858
23												
24												
Tot. diario [Wh]	500,156			[Wh]:	294,672			[Wh]:	163,594			[Wh]: 121,278

NOTA.: El total diario, referido al día-tipo, considera la ganancia por ventilación mecánica de los espacios.

Zona	4 : CL sala deportiva											
	Mes: Enero			Mes: Febrero			Mes: Marzo			Mes: Abril		
Hora	Esp. [W]	Vent. [W]	Total [W]	Esp. [W]	Vent. [W]	Total [W]	Esp. [W]	Vent. [W]	Total [W]	Esp. [W]	Vent. [W]	Total [W]
1		25,168	25,168		25,168	25,168		25,168	25,168		25,168	25,168
2		25,168	25,168		25,168	25,168		25,168	25,168		25,168	25,168
3		25,168	25,168		25,168	25,168		25,168	25,168		25,168	25,168
4		25,168	25,168		25,168	25,168		25,168	25,168		25,168	25,168
5		25,168	25,168		25,168	25,168		25,168	25,168		25,168	25,168
6		25,168	25,168		25,168	25,168		25,168	25,168		25,168	25,168
7		25,168	25,168	4,445	25,168	27,107	56,657	25,168	78,295	62,549	25,168	82,934
8	26,621	25,168	49,708	45,127	25,168	67,789	75,664	25,168	97,302	90,331	25,875	111,424
9	58,823	25,168	80,870	64,660	25,168	86,069	88,604	25,168	108,476	110,088	27,860	130,774
10	69,786	25,168	90,793	72,196	25,168	92,352	93,383	25,168	111,491	120,239	31,266	141,940
11	58,490	25,168	79,496	61,719	25,168	81,875	81,279	27,393	101,612	113,269	34,110	137,814
12	48,213	25,168	69,220	51,535	25,168	71,691	71,390	30,056	94,386	100,696	36,786	127,917
13	49,490	25,168	70,496	52,605	26,031	73,625	72,474	32,053	97,467	92,526	38,793	121,754
14	50,856	25,243	71,938	54,237	27,357	76,581	73,896	33,385	100,221	93,031	40,131	123,597
15	50,715	25,740	72,294	54,654	27,854	77,496	73,986	33,884	100,810	93,459	40,633	124,527
16	23,012	25,206	46,138	31,827	26,262	55,584	50,951	29,276	76,697	70,957	32,649	98,823
17	42,562	25,168	63,569	49,092	26,197	70,277	68,497	32,220	93,656	89,529	38,960	118,924
18	40,954	25,168	61,960	45,423	25,168	65,579	62,471	30,389	85,800	85,818	37,120	113,373
19	39,036	25,168	60,043	43,907	25,168	64,063	60,577	28,225	81,742	79,730	34,946	105,110
20	37,115	25,168	58,122	42,377	25,168	62,533	58,737	26,062	77,739	75,386	32,772	98,592
21	22,871	25,168	44,918	30,328	25,168	51,737	46,395	25,168	66,267	62,742	29,491	85,059
22	8,594	25,168	31,681	18,075	25,168	40,737	33,863	25,168	55,501	49,941	27,214	72,372
23		25,168	25,168		25,168	25,168		25,168	25,168		25,168	25,168
24		25,168	25,168		25,168	25,168		25,168	25,168		25,168	25,168
Tot. diario [Wh]	1,177,756			[Wh]:	1,266,437			[Wh]:	1,628,801			[Wh]: 1,996,275

NOTA.: El total diario, referido al día-tipo, considera la ganancia por ventilación mecánica de los espacios.

Zona	4 : CL sala deportiva											
	Mes: Mayo			Mes: Junio			Mes: Julio			Mes: Agosto		
Hora	Esp. [W]	Vent. [W]	Total [W]	Esp. [W]	Vent. [W]	Total [W]	Esp. [W]	Vent. [W]	Total [W]	Esp. [W]	Vent. [W]	Total [W]
1		25,168	25,168		25,168	25,168		25,168	25,168		25,168	25,168
2		25,168	25,168		25,168	25,168		25,168	25,168		25,168	25,168
3		25,168	25,168		25,168	25,168		25,168	25,168		25,168	25,168
4		25,168	25,168		25,168	25,168		25,168	25,168		25,168	25,168
5		25,168	25,168		25,168	25,168		25,168	25,168		25,168	25,168
6		25,168	25,168		25,168	25,168		25,168	25,168		25,168	25,168
7	94,093	28,659	116,501	109,326	35,199	137,059	115,030	39,100	145,852	98,979	38,458	129,320
8	110,508	29,415	133,673	123,447	35,958	151,941	132,389	39,863	163,973	124,369	39,220	155,472
9	126,907	33,178	150,708	139,552	43,000	171,354	149,981	48,863	186,427	144,139	47,897	179,861
10	135,973	38,370	161,841	148,807	51,476	185,353	159,865	59,303	202,613	154,285	58,013	196,064
11	128,675	41,227	157,400	141,922	54,346	181,338	153,333	62,185	198,962	147,320	60,892	191,979
12	116,587	43,917	148,001	130,272	57,047	172,389	141,573	64,897	189,914	134,804	63,602	182,172
13	109,394	45,934	142,825	122,313	59,073	166,455	132,300	66,931	182,675	126,095	65,634	175,496
14	109,543	47,279	144,320	122,080	60,424	167,573	131,683	68,287	183,415	125,915	66,989	176,670
15	109,714	47,783	144,995	122,094	60,930	168,094	131,584	68,795	183,824	125,848	67,497	177,111
16	87,012	36,223	116,984	99,288	42,796	134,619	108,670	46,727	147,120	102,879	46,078	140,840
17	105,454	46,102	139,053	117,664	59,242	161,976	126,926	67,100	177,470	120,987	65,803	170,557
18	101,768	44,253	133,518	113,991	57,385	156,445	123,096	65,236	171,777	116,787	63,941	164,494
19	96,242	42,068	125,808	108,702	55,190	148,962	117,550	63,032	164,027	110,194	61,739	155,699
20	89,742	39,883	117,122	101,505	52,995	139,570	110,177	60,829	154,450	105,287	59,537	148,591
21	76,876	34,817	102,316	88,013	44,646	121,461	96,908	50,515	135,006	92,301	49,548	129,674
22	63,879	30,760	88,388	74,875	37,309	104,718	83,689	41,219	116,629	79,183	40,574	111,640
23		25,168	25,168		25,168	25,168		25,168	25,168		25,168	25,168
24		25,168	25,168		25,168	25,168		25,168	25,168		25,168	25,168
Tot. diario [Wh]	2,324,795			[Wh]:	2,670,649			[Wh]:	2,905,476			[Wh]: 2,786,982

NOTA.: El total diario, referido al día-tipo, considera la ganancia por ventilación mecánica de los espacios.

Zona	4 : CL sala deportiva											
	Mes: Septiembre			Mes: Octubre			Mes: Noviembre			Mes: Diciembre		
Hora	Esp. [W]	Vent. [W]	Total [W]	Esp. [W]	Vent. [W]	Total [W]	Esp. [W]	Vent. [W]	Total [W]	Esp. [W]	Vent. [W]	Total [W]
1		25,168	25,168		25,168	25,168		25,168	25,168		25,168	25,168
2		25,168	25,168		25,168	25,168		25,168	25,168		25,168	25,168
3		25,168	25,168		25,168	25,168		25,168	25,168		25,168	25,168
4		25,168	25,168		25,168	25,168		25,168	25,168		25,168	25,168
5		25,168	25,168		25,168	25,168		25,168	25,168		25,168	25,168
6		25,168	25,168		25,168	25,168		25,168	25,168		25,168	25,168
7	66,294	35,737	94,555	42,375	27,326	63,811	15,848	25,168	36,830		25,168	25,168
8	101,555	36,496	130,576	65,818	28,080	88,009	48,639	25,168	69,620	19,187	25,168	41,707
9	126,069	43,806	158,662	97,781	31,172	120,119	66,692	25,168	85,581	45,996	25,168	67,193
10	137,077	52,550	174,676	110,539	35,689	134,450	72,568	26,591	90,786	55,402	25,168	75,276
11	129,812	55,419	170,281	103,589	38,541	130,352	62,258	29,423	83,308	46,623	25,168	66,497
12	116,775	58,120	159,944	91,187	41,225	120,632	58,898	32,089	82,614	41,499	25,168	61,373
13	109,692	60,145	154,886	86,527	43,237	117,986	60,722	34,088	86,437	43,520	26,424	64,650
14	110,065	61,495	156,610	87,428	44,579	120,228	61,969	35,421	89,017	45,141	27,750	67,596
15	110,140	62,002	157,191	87,698	45,082	121,002	61,638	35,921	89,186	45,212	28,247	68,165
16	87,213	43,332	123,069	64,863	34,874	93,847	37,348	30,294	63,456	21,348	26,459	45,160
17	105,206	60,314	150,569	82,650	43,405	114,276	55,269	34,255	81,151	39,800	26,590	61,095
18	100,332	58,457	143,839	76,799	41,560	106,580	54,175	32,422	78,224	38,945	25,168	58,819
19	94,439	56,263	135,752	74,722	39,380	102,322	52,670	30,256	74,554	37,663	25,168	57,537
20	92,172	54,069	131,291	72,806	37,199	98,227	51,139	28,090	70,857	36,342	25,168	56,216
21	79,452	45,452	113,690	60,397	32,807	84,370	39,091	25,985	58,796	24,491	25,168	45,689
22	66,569	37,846	96,940	47,807	29,422	71,340	26,838	25,168	47,819	12,426	25,168	34,947
23		25,168	25,168		25,168	25,168		25,168	25,168		25,168	25,168
24		25,168	25,168		25,168	25,168		25,168	25,168		25,168	25,168
Tot. diario [Wh]	2,453,871			[Wh]:	1,888,892			[Wh]:	1,389,579			[Wh]: 1,098,427

NOTA.: El total diario, referido al día-tipo, considera la ganancia por ventilación mecánica de los espacios.

Zona	5 : CL oficinas											
	Mes: Enero			Mes: Febrero			Mes: Marzo			Mes: Abril		
Hora	Esp. [W]	Vent. [W]	Total [W]	Esp. [W]	Vent. [W]	Total [W]	Esp. [W]	Vent. [W]	Total [W]	Esp. [W]	Vent. [W]	Total [W]
1												
2												
3												
4												
5												
6												
7	5,142		4,572	7,485		6,796	12,578		11,593	17,562		16,220
8	5,706		5,137	8,131		7,443	12,910		11,925	17,672		16,330
9	10,444		9,590	12,789		11,756	17,452		15,974	22,154	520	20,661
10	15,237		14,098	17,531		16,153	22,096		20,126	26,747	1,622	25,685
11	15,958		14,818	18,209		16,832	22,684	318	21,032	27,301	2,674	27,291
12	16,598		15,459	18,811		17,434	23,221	1,304	22,555	27,744	3,664	28,724
13	18,098		16,959	20,301		18,924	24,958	2,042	25,030	28,160	4,406	29,882
14	20,905		19,766	23,373	404	22,400	28,085	2,535	28,651	30,035	4,901	32,252
15	22,825		21,685	25,725	588	24,935	30,449	2,720	31,199	32,861	5,087	35,264
16	14,314		13,744	18,291	202	17,804	23,281	1,268	23,564	26,658	2,451	27,767
17	17,184		16,045	23,567		22,190	29,990	2,104	30,124	35,588	4,468	37,372
18	17,152		16,013	19,272		17,895	23,332	1,427	22,788	34,822	3,788	35,926
19	17,043		15,904	19,096		17,719	23,011	626	21,667	30,349	2,983	30,648
20	16,926		15,787	18,935		17,557	22,787		20,817	26,954	2,179	26,449
21	12,719		11,864	14,685		13,652	18,480		17,002	22,568	1,124	21,678
22	8,398		7,829	10,325		9,637	14,065		13,080	18,093	440	17,191
23												
24												
Tot. diario [Wh]	219,268			[Wh]:	259,126			[Wh]:	337,126			[Wh]: 429,340

NOTA.: El total diario, referido al día-tipo, considera la ganancia por ventilación mecánica de los espacios.

Zona	5 : CL oficinas											
	Mes: Mayo			Mes: Junio			Mes: Julio			Mes: Agosto		
Hora	Esp. [W]	Vent. [W]	Total [W]	Esp. [W]	Vent. [W]	Total [W]	Esp. [W]	Vent. [W]	Total [W]	Esp. [W]	Vent. [W]	Total [W]
1												
2												
3												
4												
5												
6												
7	22,453	893	21,591	26,378	2,581	26,860	29,585	3,948	31,192	28,220	3,723	29,650
8	22,250	1,172	21,668	25,950	2,862	26,713	29,011	4,230	30,900	27,771	4,005	29,483
9	26,625	2,365	26,358	30,252	4,902	32,005	33,273	6,957	36,718	32,079	6,618	35,258
10	31,124	4,086	31,701	34,684	7,473	37,958	37,660	10,216	43,193	36,500	9,764	41,678
11	31,592	5,143	33,226	35,090	8,535	39,426	38,023	11,282	44,622	36,888	10,828	43,132
12	31,957	6,138	34,586	35,399	9,534	40,735	38,290	12,285	45,892	37,175	11,831	44,420
13	32,336	6,884	35,711	35,726	10,283	41,811	38,565	13,038	46,920	37,464	12,582	45,461
14	34,108	7,382	37,980	37,202	10,783	43,786	39,861	13,539	48,717	39,099	13,083	47,598
15	36,714	7,568	40,773	39,670	10,970	46,442	42,321	13,727	51,365	41,697	13,271	50,383
16	30,365	3,691	32,301	33,286	5,392	36,579	35,960	6,770	40,388	35,292	6,542	39,541
17	39,262	6,947	42,700	42,212	10,346	48,359	44,896	13,100	53,313	44,034	12,645	52,094
18	38,813	6,262	41,567	41,953	9,659	47,414	44,595	12,411	52,322	43,105	11,956	50,475
19	35,899	5,454	37,844	39,677	8,847	44,326	42,113	11,596	49,025	38,726	11,142	45,282
20	30,642	4,646	31,778	34,264	8,035	38,101	36,468	10,781	42,565	35,290	10,327	41,032
21	26,198	2,971	26,537	29,205	5,511	31,568	31,758	7,568	35,814	30,813	7,229	34,603
22	21,678	1,670	21,593	24,647	3,362	25,910	27,176	4,732	29,567	26,251	4,506	28,465
23												
24												
Tot. diario [Wh]	517,913			[Wh]:	607,990			[Wh]:	682,514			[Wh]: 658,558

NOTA.: El total diario, referido al día-tipo, considera la ganancia por ventilación mecánica de los espacios.

Zona	5 : CL oficinas											
	Mes: Septiembre			Mes: Octubre			Mes: Noviembre			Mes: Diciembre		
Hora	Esp. [W]	Vent. [W]	Total [W]	Esp. [W]	Vent. [W]	Total [W]	Esp. [W]	Vent. [W]	Total [W]	Esp. [W]	Vent. [W]	Total [W]
1												
2												
3												
4												
5												
6												
7	24,256	2,770	24,928	18,010	407	16,773	11,427		10,270	6,267		5,542
8	23,981	3,051	24,934	17,859	686	16,901	11,816		10,659	6,754		6,029
9	28,383	5,186	30,420	22,402	1,634	21,571	16,390		14,655	11,458		10,371
10	32,878	7,851	36,531	27,012	3,109	26,833	21,042		18,728	16,217		14,767
11	33,331	8,912	38,045	27,565	4,164	28,442	21,648	963	20,297	16,904		15,454
12	33,673	9,911	39,387	28,023	5,157	29,893	22,254	1,949	21,889	17,523		16,073
13	34,018	10,660	40,480	28,507	5,902	31,121	24,526	2,689	24,901	19,379	34	17,963
14	36,091	11,160	43,052	30,870	6,398	33,981	27,047	3,182	27,915	21,949	525	21,024
15	38,778	11,347	45,927	33,471	6,584	36,767	28,166	3,367	29,219	23,252	709	22,511
16	32,251	5,580	35,732	26,625	3,199	28,181	17,813	1,591	18,247	13,102	262	12,639
17	40,526	10,723	47,051	33,892	5,964	36,568	22,295	2,750	22,732	18,023	96	16,668
18	37,900	10,036	43,738	27,949	5,281	29,942	22,209	2,072	21,967	18,000		16,550
19	32,577	9,224	37,604	27,418	4,474	28,605	22,038	1,271	20,995	17,887		16,437
20	32,220	8,413	36,434	27,163	3,668	27,543	21,862	470	20,017	17,766		16,316
21	27,810	5,794	30,456	22,828	2,239	22,601	17,599		15,863	13,555		12,468
22	23,299	3,551	24,751	18,389	1,182	17,927	13,225		12,068	9,230		8,505
23												
24												
Tot. diario [Wh]	579,468			[Wh]:	433,648			[Wh]:	310,422			[Wh]: 229,317

NOTA.: El total diario, referido al día-tipo, considera la ganancia por ventilación mecánica de los espacios.

Zona	6 : CL sa vestibulo											
	Mes: Enero			Mes: Febrero			Mes: Marzo			Mes: Abril		
Hora	Esp. [W]	Vent. [W]	Total [W]	Esp. [W]	Vent. [W]	Total [W]	Esp. [W]	Vent. [W]	Total [W]	Esp. [W]	Vent. [W]	Total [W]
1		3,740	3,740		3,740	3,740		3,740	3,740		3,740	3,740
2		3,740	3,740		3,740	3,740		3,740	3,740		3,740	3,740
3		3,740	3,740		3,740	3,740		3,740	3,740		3,740	3,740
4		3,740	3,740		3,740	3,740		3,740	3,740		3,740	3,740
5		3,740	3,740		3,740	3,740		3,740	3,740		3,740	3,740
6		3,740	3,740		3,740	3,740		3,740	3,740		3,740	3,740
7	6,787	3,740	7,806	8,239	3,740	9,043	10,999	3,740	11,257	14,250	4,215	14,331
8	6,973	3,740	7,992	8,472	3,740	9,276	11,078	3,740	11,336	14,182	4,757	14,805
9	10,169	3,740	9,828	11,616	3,740	10,952	14,426	3,740	12,944	17,489	6,440	17,728
10	13,578	3,740	11,877	15,178	3,740	13,046	17,885	4,721	15,644	20,912	9,147	21,791
11	14,069	3,740	12,368	15,640	3,740	13,507	18,303	6,758	18,099	21,305	11,194	24,231
12	14,502	3,740	12,802	16,046	4,685	14,859	18,680	8,676	20,393	21,618	13,121	26,471
13	15,478	4,748	14,786	17,014	6,116	17,258	19,818	10,114	22,970	21,907	14,566	28,206
14	17,295	5,701	17,556	19,001	7,071	20,200	21,857	11,073	25,967	23,125	15,530	30,388
15	18,561	6,058	19,179	20,546	7,429	22,102	23,423	11,432	27,893	24,960	15,891	32,583
16	12,456	4,720	14,456	14,946	5,405	17,416	17,936	7,406	21,861	20,071	9,635	25,572
17	14,953	4,867	14,380	19,184	6,236	19,548	23,169	10,234	26,440	26,717	14,687	33,136
18	14,914	3,740	13,213	16,446	4,923	15,497	18,952	8,916	20,905	26,282	13,362	31,376
19	14,824	3,740	13,124	16,296	3,740	14,163	18,710	7,358	19,105	23,440	11,796	26,969
20	14,729	3,740	13,028	16,166	3,740	14,034	18,547	5,800	17,384	21,249	10,231	23,212
21	11,557	3,740	11,217	12,855	3,740	12,191	15,296	4,296	14,370	17,932	7,614	19,345
22	8,528	3,740	9,547	9,714	3,740	10,518	11,941	3,740	12,199	14,534	5,720	16,120
23		3,740	3,740		3,740	3,740		3,740	3,740		3,740	3,740
24		3,740	3,740		3,740	3,740		3,740	3,740		3,740	3,740
Tot. diario [Wh]	233,076			[Wh]:	263,527			[Wh]:	328,684			[Wh]: 416,181

NOTA.: El total diario, referido al día-tipo, considera la ganancia por ventilación mecánica de los espacios.

Zona	6 : CL sa vestibulo											
	Mes: Mayo			Mes: Junio			Mes: Julio			Mes: Agosto		
Hora	Esp. [W]	Vent. [W]	Total [W]	Esp. [W]	Vent. [W]	Total [W]	Esp. [W]	Vent. [W]	Total [W]	Esp. [W]	Vent. [W]	Total [W]
1		3,740	3,740		3,740	3,740		3,740	3,740		3,740	3,740
2		3,740	3,740		3,740	3,740		3,740	3,740		3,740	3,740
3		3,740	3,740		3,740	3,740		3,740	3,740		3,740	3,740
4		3,740	3,740		3,740	3,740		3,740	3,740		3,740	3,740
5		3,740	3,740		3,740	3,740		3,740	3,740		3,740	3,740
6		3,740	3,740		3,740	3,740		3,740	3,740		3,740	3,740
7	17,465	6,529	19,111	20,101	11,190	25,780	22,244	13,772	30,055	21,388	13,349	28,869
8	17,190	7,074	19,381	19,669	11,737	25,896	21,708	14,321	30,068	20,929	13,898	28,958
9	20,426	9,921	23,023	22,853	16,921	31,509	24,861	20,802	36,722	24,112	20,166	35,475
10	23,787	13,797	27,819	26,167	23,138	38,285	28,143	28,320	44,541	27,414	27,470	43,147
11	24,122	15,855	30,212	26,459	25,204	40,644	28,404	30,395	46,878	27,691	29,543	45,498
12	24,383	17,792	32,410	26,681	27,150	42,810	28,596	32,347	49,022	27,895	31,494	47,652
13	24,648	19,244	34,127	26,909	28,608	44,498	28,788	33,812	50,678	28,094	32,958	49,315
14	25,800	20,212	36,247	27,869	29,581	46,430	29,629	34,789	52,496	29,150	33,933	51,346
15	27,491	20,576	38,302	29,467	29,946	48,393	31,217	35,155	54,451	30,829	34,299	53,391
16	22,504	11,976	29,597	24,452	16,660	35,603	26,215	19,264	39,518	25,803	18,836	38,771
17	29,121	19,365	38,721	31,081	28,730	48,791	32,847	33,934	54,860	32,316	33,079	53,659
18	28,883	18,034	37,152	30,959	27,393	47,332	32,697	32,592	53,367	31,766	31,738	51,767
19	27,037	16,460	33,732	29,518	25,812	44,310	31,122	31,005	50,206	28,975	30,153	47,391
20	23,663	14,886	28,785	26,047	24,232	39,259	27,501	29,418	44,998	26,750	28,568	43,580
21	20,297	11,101	24,075	22,287	18,106	32,128	23,960	21,992	37,011	23,367	21,354	35,919
22	16,864	8,042	20,024	18,825	12,709	26,024	20,485	15,297	29,821	19,908	14,873	28,912
23		3,740	3,740		3,740	3,740		3,740	3,740		3,740	3,740
24		3,740	3,740		3,740	3,740		3,740	3,740		3,740	3,740
Tot. diario [Wh]	502,633			[Wh]:	647,606			[Wh]:	734,607			[Wh]: 713,566

NOTA.: El total diario, referido al día-tipo, considera la ganancia por ventilación mecánica de los espacios.

Zona	6 : CL sa vestibulo											
	Mes: Septiembre			Mes: Octubre			Mes: Noviembre			Mes: Diciembre		
Hora	Esp. [W]	Vent. [W]	Total [W]	Esp. [W]	Vent. [W]	Total [W]	Esp. [W]	Vent. [W]	Total [W]	Esp. [W]	Vent. [W]	Total [W]
1		3,740	3,740		3,740	3,740		3,740	3,740		3,740	3,740
2		3,740	3,740		3,740	3,740		3,740	3,740		3,740	3,740
3		3,740	3,740		3,740	3,740		3,740	3,740		3,740	3,740
4		3,740	3,740		3,740	3,740		3,740	3,740		3,740	3,740
5		3,740	3,740		3,740	3,740		3,740	3,740		3,740	3,740
6		3,740	3,740		3,740	3,740		3,740	3,740		3,740	3,740
7	18,841	11,559	24,893	14,637	5,660	15,623	10,134	3,740	10,090	7,301	3,740	8,041
8	18,496	12,106	25,095	14,392	6,204	15,923	10,229	3,740	10,185	7,447	3,740	8,187
9	21,739	17,473	30,953	17,734	8,613	19,337	13,572	4,035	11,932	10,625	3,740	9,865
10	25,090	23,874	37,951	21,164	12,049	23,866	17,041	5,934	15,408	14,133	3,740	11,874
11	25,408	25,940	40,335	21,554	14,103	26,309	17,476	7,973	17,882	14,604	3,740	12,345
12	25,648	27,885	42,519	21,873	16,035	28,561	17,901	9,893	20,226	15,027	4,913	13,941
13	25,881	29,343	44,211	22,202	17,485	30,339	19,385	11,333	23,150	16,233	6,344	16,579
14	27,217	30,316	46,520	23,730	18,451	32,834	21,043	12,292	25,768	17,905	7,299	19,205
15	28,959	30,680	48,626	25,426	18,813	34,892	21,817	12,652	26,902	18,778	7,657	20,437
16	23,860	17,028	35,381	20,129	11,095	26,551	14,286	8,016	18,518	11,505	5,519	14,024
17	30,081	29,465	48,533	25,710	17,605	33,969	18,064	11,453	21,949	15,416	6,464	15,881
18	28,447	28,128	45,562	21,948	16,277	28,878	18,015	10,133	20,581	15,392	5,151	14,545
19	25,038	26,548	40,572	21,576	14,707	26,935	17,899	8,573	18,905	15,302	3,740	13,043
20	24,766	24,968	38,721	21,393	13,136	25,183	17,777	7,013	17,223	15,206	3,740	12,947
21	21,442	18,658	31,840	18,127	9,791	20,907	14,562	5,205	14,092	11,924	3,740	11,164
22	18,020	13,078	25,591	14,759	7,170	17,255	11,238	4,117	11,571	8,882	3,740	9,622
23		3,740	3,740		3,740	3,740		3,740	3,740		3,740	3,740
24		3,740	3,740		3,740	3,740		3,740	3,740		3,740	3,740
Tot. diario [Wh]	637,220			[Wh]:	437,281			[Wh]:	314,296			[Wh]: 241,618

NOTA.: El total diario, referido al día-tipo, considera la ganancia por ventilación mecánica de los espacios.

Zona	7 : CL sa escenario											
	Mes: Enero			Mes: Febrero			Mes: Marzo			Mes: Abril		
Hora	Esp. [W]	Vent. [W]	Total [W]	Esp. [W]	Vent. [W]	Total [W]	Esp. [W]	Vent. [W]	Total [W]	Esp. [W]	Vent. [W]	Total [W]
1		3,718	3,718		3,718	3,718		3,718	3,718		3,718	3,718
2		3,718	3,718		3,718	3,718		3,718	3,718		3,718	3,718
3		3,718	3,718		3,718	3,718		3,718	3,718		3,718	3,718
4		3,718	3,718		3,718	3,718		3,718	3,718		3,718	3,718
5		3,718	3,718		3,718	3,718		3,718	3,718		3,718	3,718
6		3,718	3,718		3,718	3,718		3,718	3,718		3,718	3,718
7	1,138	3,718	4,783	2,627	3,718	6,236	5,827	3,718	9,354	9,138	3,718	12,562
8	1,510	3,718	5,155	2,915	3,718	6,525	5,939	3,718	9,466	9,066	3,757	12,529
9	4,352	3,718	7,961	5,728	3,718	9,284	8,691	3,718	12,122	11,756	3,890	15,206
10	7,305	3,718	10,878	8,654	3,718	12,156	11,561	3,718	14,897	14,569	4,123	18,105
11	7,768	3,718	11,341	9,091	3,718	12,594	11,946	3,845	15,409	14,899	4,322	18,634
12	8,192	3,718	11,765	9,492	3,718	12,994	12,296	4,031	15,945	15,198	4,509	19,120
13	8,549	3,718	12,122	9,826	3,745	13,355	12,587	4,170	16,375	15,440	4,649	19,502
14	8,841	3,718	12,414	10,098	3,838	13,720	12,820	4,263	16,702	15,626	4,742	19,781
15	9,055	3,721	12,631	10,296	3,872	13,953	12,981	4,298	16,897	15,742	4,778	19,933
16	4,008	3,718	7,653	5,233	3,778	8,903	7,883	3,990	11,682	10,602	4,230	14,538
17	9,065	3,718	12,638	10,276	3,757	13,817	12,893	4,182	16,693	15,574	4,661	19,648
18	9,095	3,718	12,668	10,293	3,718	13,795	12,878	4,054	16,550	15,526	4,532	19,471
19	9,054	3,718	12,627	10,239	3,718	13,741	12,795	3,903	16,316	15,411	4,380	19,205
20	9,006	3,718	12,578	10,179	3,718	13,681	12,708	3,752	16,078	15,295	4,228	18,936
21	6,395	3,718	10,004	7,557	3,718	11,114	10,061	3,718	13,492	12,622	4,004	16,186
22	3,704	3,718	7,349	4,857	3,718	8,467	7,336	3,718	10,863	9,875	3,850	13,432
23		3,718	3,718		3,718	3,718		3,718	3,718		3,718	3,718
24		3,718	3,718		3,718	3,718		3,718	3,718		3,718	3,718
Tot. diario [Wh]	194,307			[Wh]:	214,077			[Wh]:	258,581			[Wh]: 306,529

NOTA.: El total diario, referido al día-tipo, considera la ganancia por ventilación mecánica de los espacios.

Zona	7 : CL sa escenario											
	Mes: Mayo			Mes: Junio			Mes: Julio			Mes: Agosto		
Hora	Esp. [W]	Vent. [W]	Total [W]	Esp. [W]	Vent. [W]	Total [W]	Esp. [W]	Vent. [W]	Total [W]	Esp. [W]	Vent. [W]	Total [W]
1		3,718	3,718		3,718	3,718		3,718	3,718		3,718	3,718
2		3,718	3,718		3,718	3,718		3,718	3,718		3,718	3,718
3		3,718	3,718		3,718	3,718		3,718	3,718		3,718	3,718
4		3,718	3,718		3,718	3,718		3,718	3,718		3,718	3,718
5		3,718	3,718		3,718	3,718		3,718	3,718		3,718	3,718
6		3,718	3,718		3,718	3,718		3,718	3,718		3,718	3,718
7	12,270	3,958	15,813	14,876	4,419	18,782	17,041	4,692	21,154	16,219	4,648	20,301
8	12,026	4,010	15,622	14,488	4,473	18,447	16,534	4,746	20,701	15,759	4,701	19,894
9	14,658	4,271	18,307	17,071	4,965	21,265	19,078	5,376	23,585	18,318	5,309	22,777
10	17,416	4,632	21,219	19,785	5,558	24,315	21,755	6,106	26,703	21,010	6,017	25,894
11	17,696	4,832	21,699	20,023	5,759	24,753	21,959	6,308	27,108	21,228	6,218	26,313
12	17,948	5,020	22,139	20,236	5,948	25,155	22,139	6,497	27,478	21,422	6,408	26,697
13	18,146	5,161	22,478	20,397	6,089	25,458	22,270	6,640	27,751	21,564	6,550	26,981
14	18,293	5,255	22,719	20,510	6,184	25,665	22,353	6,735	27,929	21,656	6,645	27,168
15	18,373	5,290	22,834	20,557	6,219	25,748	22,372	6,770	27,984	21,685	6,681	27,233
16	13,197	4,486	17,269	15,352	4,951	19,788	17,142	5,226	21,789	16,464	5,181	21,079
17	18,136	5,173	22,480	20,261	6,101	25,334	22,027	6,652	27,521	21,359	6,562	26,788
18	18,056	5,043	22,270	20,154	5,971	25,097	21,898	6,521	27,261	21,238	6,432	26,537
19	17,912	4,891	21,973	19,984	5,818	24,774	21,708	6,367	26,917	21,056	6,278	26,200
20	17,767	4,738	21,676	19,816	5,664	24,452	21,521	6,213	26,575	20,876	6,124	25,867
21	15,068	4,386	18,832	17,095	5,080	21,404	18,782	5,491	23,404	18,144	5,424	22,718
22	12,298	4,104	15,987	14,304	4,567	18,357	15,974	4,841	20,235	15,342	4,796	19,572
23		3,718	3,718		3,718	3,718		3,718	3,718		3,718	3,718
24		3,718	3,718		3,718	3,718		3,718	3,718		3,718	3,718
Tot. diario [Wh]	353,058			[Wh]:	398,532			[Wh]:	433,835			[Wh]: 421,758

NOTA.: El total diario, referido al día-tipo, considera la ganancia por ventilación mecánica de los espacios.

Zona	7 : CL sa escenario											
	Mes: Septiembre			Mes: Octubre			Mes: Noviembre			Mes: Diciembre		
Hora	Esp. [W]	Vent. [W]	Total [W]	Esp. [W]	Vent. [W]	Total [W]	Esp. [W]	Vent. [W]	Total [W]	Esp. [W]	Vent. [W]	Total [W]
1		3,718	3,718		3,718	3,718		3,718	3,718		3,718	3,718
2		3,718	3,718		3,718	3,718		3,718	3,718		3,718	3,718
3		3,718	3,718		3,718	3,718		3,718	3,718		3,718	3,718
4		3,718	3,718		3,718	3,718		3,718	3,718		3,718	3,718
5		3,718	3,718		3,718	3,718		3,718	3,718		3,718	3,718
6		3,718	3,718		3,718	3,718		3,718	3,718		3,718	3,718
7	13,750	4,459	17,694	9,670	3,865	13,149	5,280	3,718	8,750	1,880	3,718	5,477
8	13,427	4,512	17,423	9,572	3,918	13,104	5,425	3,718	8,895	2,212	3,718	5,810
9	16,033	5,025	20,285	12,255	4,132	15,808	8,190	3,718	11,537	5,041	3,718	8,579
10	18,769	5,637	23,376	15,062	4,446	18,736	11,073	3,800	14,379	7,982	3,718	11,460
11	19,028	5,838	23,835	15,387	4,646	19,260	11,470	3,998	14,974	8,434	3,718	11,912
12	19,261	6,027	24,256	15,682	4,833	19,743	11,832	4,184	15,522	8,848	3,718	12,326
13	19,437	6,169	24,575	15,917	4,974	20,119	12,131	4,324	15,960	9,195	3,775	12,731
14	19,562	6,263	24,793	16,095	5,068	20,390	12,369	4,417	16,292	9,478	3,868	13,106
15	19,620	6,298	24,888	16,203	5,103	20,533	12,535	4,452	16,493	9,683	3,902	13,346
16	14,427	4,990	18,902	11,056	4,393	15,062	7,441	4,067	11,262	4,627	3,793	8,300
17	19,349	6,180	24,498	16,020	4,986	20,234	12,454	4,335	16,295	9,676	3,787	13,223
18	19,253	6,051	24,272	15,965	4,857	20,049	12,442	4,207	16,156	9,698	3,718	13,175
19	19,094	5,897	23,960	15,844	4,704	19,776	12,361	4,056	15,923	9,648	3,718	13,126
20	18,935	5,744	23,648	15,721	4,552	19,500	12,275	3,905	15,686	9,592	3,718	13,070
21	16,223	5,140	20,590	13,041	4,247	16,709	9,627	3,762	13,019	6,973	3,718	10,511
22	13,440	4,607	17,531	10,288	4,012	13,913	6,901	3,718	10,372	4,274	3,718	7,872
23		3,718	3,718		3,718	3,718		3,718	3,718		3,718	3,718
24		3,718	3,718		3,718	3,718		3,718	3,718		3,718	3,718
Tot. diario [Wh]	384,266			[Wh]:	315,825			[Wh]:	251,257			[Wh]: 203,762

NOTA.: El total diario, referido al día-tipo, considera la ganancia por ventilación mecánica de los espacios.

Zona	8 : Z VRV											
	Mes: Enero			Mes: Febrero			Mes: Marzo			Mes: Abril		
Hora	Esp. [W]	Vent. [W]	Total [W]	Esp. [W]	Vent. [W]	Total [W]	Esp. [W]	Vent. [W]	Total [W]	Esp. [W]	Vent. [W]	Total [W]
1												
2												
3												
4												
5												
6												
7	7,112		7,112	7,445		7,445	8,168		8,168	8,783		8,783
8	7,113		7,113	7,463		7,463	8,082		8,082	8,582		8,582
9	9,673		9,673	9,965		9,965	10,540		10,540	10,959		10,959
10	12,223		12,223	12,493		12,493	13,044		13,044	13,429		13,429
11	12,359		12,359	12,616		12,616	13,145		13,145	13,534		13,534
12	12,442		12,442	12,691		12,691	13,200		13,200	13,603		13,603
13	12,479		12,479	12,724		12,724	13,217		13,217	13,639		13,639
14	12,469		12,469	12,715		12,715	13,195		13,195	13,638		13,638
15	12,410		12,410	12,664		12,664	13,134		13,134	13,602		13,602
16	7,476		7,476	7,760		7,760	8,231		8,231	8,724		8,724
17	11,985		11,985	12,329		12,329	12,841		12,841	13,358		13,358
18	12,033		12,033	12,292		12,292	12,814		12,814	13,340		13,340
19	12,056		12,056	12,311		12,311	12,827		12,827	13,317		13,317
20	12,078		12,078	12,330		12,330	12,840		12,840	13,312		13,312
21	9,692		9,692	9,941		9,941	10,446		10,446	10,918		10,918
22	7,259		7,259	7,506		7,506	8,009		8,009	8,473		8,473
23												
24												
Tot. diario [Wh]	170,859			[Wh]:	175,246			[Wh]:	183,730			[Wh]: 191,210

NOTA.: El total diario, referido al día-tipo, considera la ganancia por ventilación mecánica de los espacios.

Zona	8 : Z VRV											
	Mes: Mayo			Mes: Junio			Mes: Julio			Mes: Agosto		
Hora	Esp. [W]	Vent. [W]	Total [W]	Esp. [W]	Vent. [W]	Total [W]	Esp. [W]	Vent. [W]	Total [W]	Esp. [W]	Vent. [W]	Total [W]
1												
2												
3												
4												
5												
6												
7	9,461		9,461	10,154		10,154	10,965		10,965	10,789		10,789
8	9,216		9,216	9,861		9,861	10,612		10,612	10,452		10,452
9	11,553		11,553	12,180		12,180	12,905		12,905	12,775		12,775
10	13,967		13,967	14,295		14,295	14,420		14,420	14,420		14,420
11	14,042		14,042	14,353		14,353	14,421		14,421	14,421		14,421
12	14,088		14,088	14,399		14,399	14,421		14,421	14,421		14,421
13	14,107		14,107	14,420		14,420	14,421		14,421	14,421		14,421
14	14,096		14,096	14,413		14,413	14,421		14,421	14,421		14,421
15	14,055		14,055	14,378		14,378	14,421		14,421	14,421		14,421
16	9,186		9,186	9,774		9,774	10,593		10,593	10,519		10,519
17	13,850		13,850	14,252		14,252	14,420		14,420	14,420		14,420
18	13,857		13,857	14,237		14,237	14,421		14,421	14,421		14,421
19	13,832		13,832	14,206		14,206	14,421		14,421	14,421		14,421
20	13,809		13,809	14,167		14,167	14,421		14,421	14,421		14,421
21	11,411		11,411	11,981		11,981	12,747		12,747	12,609		12,609
22	8,956		8,956	9,507		9,507	10,228		10,228	10,099		10,099
23												
24												
Tot. diario [Wh]	199,485			[Wh]:	206,576			[Wh]:	212,259			[Wh]: 211,451

NOTA.: El total diario, referido al día-tipo, considera la ganancia por ventilación mecánica de los espacios.

Zona	8 : Z VRV											
	Mes: Septiembre			Mes: Octubre			Mes: Noviembre			Mes: Diciembre		
Hora	Esp. [W]	Vent. [W]	Total [W]	Esp. [W]	Vent. [W]	Total [W]	Esp. [W]	Vent. [W]	Total [W]	Esp. [W]	Vent. [W]	Total [W]
1												
2												
3												
4												
5												
6												
7	10,087		10,087	9,102		9,102	8,079		8,079	7,278		7,278
8	9,828		9,828	8,920		8,920	8,111		8,111	7,276		7,276
9	12,236		12,236	11,403		11,403	10,613		10,613	9,843		9,843
10	14,421		14,421	13,906		13,906	13,129		13,129	12,390		12,390
11	14,421		14,421	14,023		14,023	13,230		13,230	12,518		12,518
12	14,421		14,421	14,088		14,088	13,278		13,278	12,590		12,590
13	14,421		14,421	14,085		14,085	13,281		13,281	12,614		12,614
14	14,421		14,421	14,083		14,083	13,237		13,237	12,589		12,589
15	14,421		14,421	14,055		14,055	13,143		13,143	12,506		12,506
16	9,978		9,978	9,150		9,150	8,158		8,158	7,518		7,518
17	14,421		14,421	13,724		13,724	12,753		12,753	12,114		12,114
18	14,396		14,396	13,594		13,594	12,792		12,792	12,161		12,161
19	14,335		14,335	13,591		13,591	12,804		12,804	12,182		12,182
20	14,319		14,319	13,594		13,594	12,817		12,817	12,202		12,202
21	11,983		11,983	11,196		11,196	10,421		10,421	9,815		9,815
22	9,511		9,511	8,740		8,740	7,982		7,982	7,380		7,380
23												
24												
Tot. diario [Wh]	207,620			[Wh]:	197,253			[Wh]:	183,828			[Wh]: 172,973

NOTA.: El total diario, referido al día-tipo, considera la ganancia por ventilación mecánica de los espacios.

Zona	9 : Z calefactada											
	Mes: Enero			Mes: Febrero			Mes: Marzo			Mes: Abril		
Hora	Esp. [W]	Vent. [W]	Total [W]	Esp. [W]	Vent. [W]	Total [W]	Esp. [W]	Vent. [W]	Total [W]	Esp. [W]	Vent. [W]	Total [W]
1												
2												
3												
4												
5												
6												
7												
8												
9												
10												
11												
12												
13												
14												
15												
16												
17												
18												
19												
20												
21												
22												
23												
24												
Tot. diario [Wh]				[Wh]:				[Wh]:				[Wh]:

NOTA.: El total diario, referido al día-tipo, considera la ganancia por ventilación mecánica de los espacios.

Zona	9 : Z calefactada											
	Mes: Mayo			Mes: Junio			Mes: Julio			Mes: Agosto		
Hora	Esp. [W]	Vent. [W]	Total [W]	Esp. [W]	Vent. [W]	Total [W]	Esp. [W]	Vent. [W]	Total [W]	Esp. [W]	Vent. [W]	Total [W]
1												
2												
3												
4												
5												
6												
7												
8												
9												
10												
11												
12												
13												
14												
15												
16												
17												
18												
19												
20												
21												
22												
23												
24												
Tot. diario [Wh]				[Wh]:				[Wh]:				[Wh]:

NOTA.: El total diario, referido al día-tipo, considera la ganancia por ventilación mecánica de los espacios.

Zona	9 : Z calefactada											
	Mes: Septiembre			Mes: Octubre			Mes: Noviembre			Mes: Diciembre		
Hora	Esp. [W]	Vent. [W]	Total [W]	Esp. [W]	Vent. [W]	Total [W]	Esp. [W]	Vent. [W]	Total [W]	Esp. [W]	Vent. [W]	Total [W]
1												
2												
3												
4												
5												
6												
7												
8												
9												
10												
11												
12												
13												
14												
15												
16												
17												
18												
19												
20												
21												
22												
23												
24												
Tot. diario [Wh]				[Wh]:				[Wh]:				[Wh]:

NOTA.: El total diario, referido al día-tipo, considera la ganancia por ventilación mecánica de los espacios.

13. PERDIDAS INVERNALES POR ESPACIO

ZONA: CL oficinas

ESPACIO					RESULTADOS		
Cod.	Descripción	Esp. iguales	Temp.Int	Volumen	Pérdidas	Infiltr.	Total
		[n.]	[°C]	[m³]	[W]	[W]	[W]
E-13	Monitor 0.3 PB	1	21.5	79.2	581	112	693
E-2	Monitor 1.1 P1	1	21.5	101.6	266	144	410
E-3	Monitor 1.2 P1	1	21.5	128.3	638	182	820
E-4	Recepcion 1.1 P1	1	21.5	184.8	919	262	1,181
E-2	Office 3.1 P3	1	21.5	209.9	2,923	298	3,220
E-3	Office 3.2 P3	1	21.5	191.4	2,402	271	2,673
E-4	Office 3.3 P3	1	21.5	196.0	1,829	278	2,107
E-5	Office 3.5 P3	1	21.5	163.0	1,701	231	1,932
E-5	Office 3.4 P3	1	21.5	158.9	1,568	225	1,793

TOTAL ZONA [W]:	12,825	2,004	14,829
------------------------	--------	-------	--------

ZONA: CL sa escenario

ESPACIO					RESULTADOS		
Cod.	Descripción	Esp. iguales	Temp.Int	Volumen	Pérdidas	Infiltr.	Total
		[n.]	[°C]	[m³]	[W]	[W]	[W]
E-12	ESCENARIO	1	21.5	1,543.0	5,103	2,188	7,291

TOTAL ZONA [W]:	5,103	2,188	7,291
------------------------	-------	-------	-------

ZONA: CL sa vestibulo

ESPACIO					RESULTADOS		
Cod.	Descripción	Esp. iguales	Temp.Int	Volumen	Pérdidas	Infiltr.	Total
		[n.]	[°C]	[m³]	[W]	[W]	[W]
E-6	Vestibulo 2.2 P2	1	21.5	716.0	3,638	1,015	4,653

TOTAL ZONA [W]:	5,500	1,175	6,675
------------------------	-------	-------	-------

ZONA: CL sala deportiva

ESPACIO					RESULTADOS		
Cod.	Descripción	Esp. iguales	Temp.Int	Volumen	Pérdidas	Infiltr.	Total
		[n.]	[°C]	[m³]	[W]	[W]	[W]
E-11	Gimansio 0.1 PB	1	21.5	5,873.6	24,577	8,330	32,907

TOTAL ZONA [W]:	24,577	8,330	32,907
------------------------	--------	-------	--------

ZONA: vestuarios

ESPACIO					RESULTADOS		
Cod.	Descripción	Esp. iguales	Temp.Int	Volumen	Pérdidas	Infiltr.	Total
		[n.]	[°C]	[m³]	[W]	[W]	[W]
E-10	Vestuario 0.1 PB	1	21.5	128.0	975	182	1,157
E-4	Vestuario 0.6 PB	1	21.5	61.7	373	87	460
E-5	Vestuarios 0.5 PB	1	21.5	58.8	249	83	333
E-6	Vestuario 0.4 PB	1	21.5	124.6	528	177	705
E-7	Vestuario 0.3 PB	1	21.5	123.8	629	176	805
E-9	Vestuarios 0.2 PB	1	21.5	123.8	839	176	1,015

TOTAL ZONA [W]:	3,594	880	4,474
------------------------	-------	-----	-------

ZONA: Climatizada

ESPACIO					RESULTADOS		
Cod.	Descripción	Esp. iguales	Temp.Int	Volumen	Pérdidas	Infiltr.	Total
		[n.]	[°C]	[m³]	[W]	[W]	[W]
E-1	Polideportivo PB	1	21.5	19,710.9	52,048	27,954	80,002
E-4	Salon de Actos P2	1	21.5	3,704.9	10,476	5,254	15,730
TOTAL ZONA [W]:					62,524	33,208	95,732

ZONA: Z calefactada

ESPACIO					RESULTADOS		
Cod.	Descripción	Esp. iguales	Temp.Int	Volumen	Pérdidas	Infiltr.	Total
		[n.]	[°C]	[m³]	[W]	[W]	[W]
TOTAL ZONA [W]:							

ZONA: Z VRV

ESPACIO					RESULTADOS		
Cod.	Descripción	Esp. iguales	Temp.Int	Volumen	Pérdidas	Infiltr.	Total
		[n.]	[°C]	[m³]	[W]	[W]	[W]
E-16	Monitor 0.1 PB	1	21.5	98.2	1,085		1,085
E-18	Monitor 0.2 PB	1	21.5	140.6	939		939
TOTAL ZONA [W]:					2,024		2,024

TOTAL GENERAL

PERDIDAS	INFILTRACIONES	TOTAL
[W]	[W]	[W]
112,934	47,339	160,273

14. SUMARIO MAXIMA CARGA FRIGORIFICA

ZONA: Climatizada

Espacio				SENSIBLE							LATENTE				TOTAL
Esp.	=	Mes	Hora	Cond.	Rad Solar	Illum.	Pers.	Equip.	Infiltr.	Total	Pers.	Equip	Infiltr.	Total	
[Cod.]	[n.]			[W]	[W]	[W]	[W]	[W]	[W]	[W]	[W]	[W]	[W]	[W]	[W]
E-1	1	7	17	30,617	60,670	22,651	287,120	20,015	14,592	435,664	527,680		10,575	538,255	973,919
E-4	1	7	15	4,592		4,741	56,240	4,065	3,100	72,737	103,360		1,988	105,348	178,085
TOTAL (*) [W]:															1,152,004

MES:	7	HORA:	17	TOTAL [W]:	1,148,793
------	---	-------	----	------------	-----------

(*) no considera la intermitencia de la instalación (perfil de funcionamiento)

ZONA: vestuarios

Espacio				SENSIBLE							LATENTE				TOTAL
Esp.	=	Mes	Hora	Cond.	Rad Solar	Illum.	Pers.	Equip.	Infiltr.	Total	Pers.	Equip	Infiltr.	Total	
[Cod.]	[n.]			[W]	[W]	[W]	[W]	[W]	[W]	[W]	[W]	[W]	[W]	[W]	[W]
E-10	1	7	15	561		577	793	263	107	2,301	900		69	969	3,269
E-4	1	7	15	217		276	394	228	52	1,168	450		33	483	1,651
E-5	1	7	15	102		264	394	218	49	1,027	450		32	482	1,508
E-6	1	7	15	220		562	793	263	104	1,942	900		67	967	2,909
E-7	1	7	15	327		558	793	263	104	2,045	900		66	966	3,011
E-9	1	7	15	494		558	793	263	104	2,212	900		66	966	3,179
TOTAL (*) [W]:															15,526

MES:	7	HORA:	14	TOTAL [W]:	16,477
------	---	-------	----	------------	--------

(*) no considera la intermitencia de la instalación (perfil de funcionamiento)

ZONA: CL sala deportiva

Espacio				SENSIBLE							LATENTE				TOTAL
Esp.	=	Mes	Hora	Cond.	Rad Solar	Illum.	Pers.	Equip.	Infiltr.	Total	Pers.	Equip	Infiltr.	Total	
[Cod.]	[n.]			[W]	[W]	[W]	[W]	[W]	[W]	[W]	[W]	[W]	[W]	[W]	[W]
E-11	1	7	10	6,253	46,564	12,398	25,033	840	1,742	92,830	54,400		3,151	57,551	150,381
TOTAL (*) [W]:															150,381

MES:	7	HORA:	10	TOTAL [W]:	159,865
------	---	-------	----	------------	---------

(*) no considera la intermitencia de la instalación (perfil de funcionamiento)

ZONA: CL oficinas

Espacio				SENSIBLE							LATENTE				TOTAL
Esp.	=	Mes	Hora	Cond.	Rad Solar	Illum.	Pers.	Equip.	Infiltr.	Total	Pers.	Equip	Infiltr.	Total	
[Cod.]	[n.]			[W]	[W]	[W]	[W]	[W]	[W]	[W]	[W]	[W]	[W]	[W]	[W]
E-13	1	7	18	400		458	496	983	50	2,386	1,020		43	1,063	3,449
E-2	1	7	15	162		338	130	970	85	1,685	150		55	205	1,890
E-3	1	7	15	318		423	129	966	107	1,944	150		69	219	2,162
E-4	1	7	15	709		629	656	1,512	155	3,661	1,360		99	1,459	5,120
E-2	1	7	17	1,034	7,732	1,170	393	3,084	155	13,567	450		113	563	14,130
E-3	1	7	17	785	3,675	1,050	968	3,065	142	9,685	2,040		103	2,143	11,828
E-4	1	7	20	703		1,133	399	3,134	75	5,445	450		105	555	6,000
E-5	1	7	20	664		938	825	3,132	63	5,622	1,700		88	1,788	7,409
E-5	1	7	20	675		923	828	3,143	61	5,629	1,700		85	1,785	7,414
TOTAL (*) [W]:															59,402

MES:	7	HORA:	17	TOTAL [W]:	61,461
------	---	-------	----	------------	--------

(*) no considera la intermitencia de la instalación (perfil de funcionamiento)

ZONA: CL sa vestibulo

Espacio				SENSIBLE							LATENTE				TOTAL
Esp.	=	Mes	Hora	Cond.	Rad Solar	Illum.	Pers.	Equip.	Infiltr.	Total	Pers.	Equip	Infiltr.	Total	
[Cod.]	[n.]			[W]	[W]	[W]	[W]	[W]	[W]	[W]	[W]	[W]	[W]	[W]	[W]
E-6	1	7	17	1,408	5,828	3,212	7,950	526	530	19,454	9,500		384	9,884	29,338
TOTAL (*) [W]:															31,878

MES:	7	HORA:	17	TOTAL [W]:	32,847
------	---	-------	----	------------	--------

(*) no considera la intermitencia de la instalación (perfil de funcionamiento)

ZONA: CL sa escenario

Espacio				SENSIBLE							LATENTE				TOTAL
Esp.	=	Mes	Hora	Cond.	Rad Solar	Illum.	Pers.	Equip.	Infiltr.	Total	Pers.	Equip	Infiltr.	Total	
[Cod.]	[n.]			[W]	[W]	[W]	[W]	[W]	[W]	[W]	[W]	[W]	[W]	[W]	[W]
E-12	1	7	15	2,494		8,004	1,461	3,955	1,291	17,205	3,060		828	3,888	21,093
TOTAL (*) [W]:															21,093

MES:	7	HORA:	15	TOTAL [W]:	22,372
------	---	-------	----	------------	--------

(*) no considera la intermitencia de la instalación (perfil de funcionamiento)

ZONA: Z VRV

Espacio				SENSIBLE							LATENTE				TOTAL
Esp.	=	Mes	Hora	Cond.	Rad Solar	Illum.	Pers.	Equip.	Infiltr.	Total	Pers.	Equip	Infiltr.	Total	
[Cod.]	[n.]			[W]	[W]	[W]	[W]	[W]	[W]	[W]	[W]	[W]	[W]	[W]	[W]
E-16	1	9	14	234	690	1,318	487	2,202		4,930	1,020			1,020	5,950
E-18	1	7	20	660		1,963	827	3,322		6,771	1,700			1,700	8,471
TOTAL (*) [W]:															14,421

MES:	8	HORA:	15	TOTAL [W]:	14,421
------	---	-------	----	------------	--------

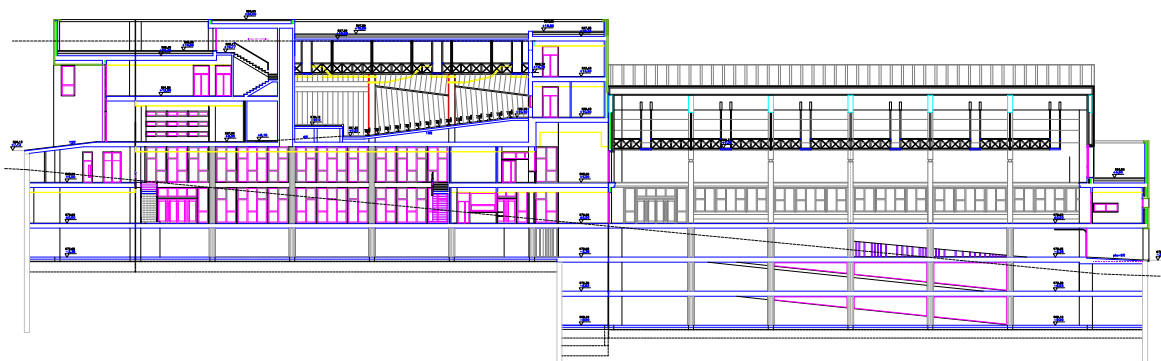
(*) no considera la intermitencia de la instalación (perfil de funcionamiento)

**VICERRECTORADO DE
INFRAESTRUCTURA Y
MANTENIMIENTO**

UNIVERSIDAD POLITECNICA DE VALENCIA



PROYECTO DE EJECUCION DE EDIFICIO NUEVO Y URBANIZACION EN EL CAMPUS DE ALCOY



CALCULOS DE CIRCUITOS HIDRAULICOS

PROYECTO DE FONTANERÍA

1.- ANEJO CÁLCULO DE TRAMOS

Acometida [1]											
Tramo	S	Qins	Qmax	Dn	L	Leq	ΔH	V	JUni	JTra	JAcu
Tramo [1-2]	Espe cial	12,81	12,81	125x17,1 PPR SDR7,4 Fibra	6,44	0,00	0,00	1,98	37	0,24	0,24
Tramo [2-3]	Espe cial	12,81	12,81	125x17,1 PPR SDR7,4 Fibra	4,73	0,00	0,00	1,98	37	0,18	0,42
Tramo [3-4]	Espe cial	10,50	10,50	125x17,1 PPR SDR7,4 Fibra	3,59	0,00	0,00	1,62	26	0,09	0,51
Tramo [4-5]	Espe cial	10,50	10,50	125x17,1 PPR SDR7,4 Fibra	27,22	0,00	1,00	1,62	26	1,71	2,22
Tramo [5-6]	Espe cial	0,93	0,93	50x6,9 PPR SDR7,4 Fibra	7,32	0,00	0,00	0,90	28	0,20	2,42
Tramo [5-8]	Espe cial	9,57	9,57	125x17,1 PPR SDR7,4 Fibra	13,11	0,00	0,00	1,48	22	0,29	2,50
Tramo [8-9]	Espe cial	9,57	9,57	125x17,1 PPR SDR7,4 Fibra	2,00	0,00	0,00	1,48	22	0,04	2,55
Tramo [9-10]	Espe cial	9,57	9,57	125x17,1 PPR SDR7,4 Fibra	50,76	0,00	0,00	1,48	22	1,11	3,66
Tramo [10-11]	Espe cial	9,57	9,57	125x17,1 PPR SDR7,4 Fibra	24,20	0,00	0,00	1,48	22	0,53	4,19
Tramo [11-12]	Espe cial	9,57	9,57	125x17,1 PPR SDR7,4 Fibra	7,54	0,00	0,00	1,48	22	0,17	4,36
Tramo [3-14]	Espe cial	2,31	2,31	75x10,3 PPR SDR7,4 Fibra	4,72	0,00	0,00	0,99	20	0,09	0,51
Tramo [14-15]	Espe cial	2,31	2,31	75x10,3 PPR SDR7,4 Fibra	0,77	0,00	0,00	0,99	20	0,02	0,53

Donde:

- S = Número y tipo de suministros.
- Qins = Caudal instalado (l/s).
- Qmax = Caudal máximo previsible (l/s).
- Dn = Diámetro nominal.
- L = Longitud (m).
- Leq = Longitud equivalente correspondiente a los accesorios (m).
- ΔH = Diferencia de cotas (m)
- V = Velocidad de circulación (m/s).
- JUni = Pérdida de carga unitaria (mm.c.a./m).
- JTra = Pérdida de carga en el tramo (m.c.a.).
- JAcu = Pérdida de carga acumulada (m.c.a.)

2.- ANEJO PÉRDIDAS DE CARGA Y PRESIÓN

Acometida [1]									
Elemento	Dn	L	Leq	ΔH	JUni	JEI	JAcu	Pmin	Pmax
Acometida [1]							0,000	7,000	7,000
Tramo [1-2]	125x17,1 PPR SDR7,4	6,44	0,00	0,00	37	0,240	0,240	6,760	6,760

	Fibra								
Tramo [2-3]	125x17,1 PPR SDR7,4 Fibra	4,73	0,00	0,00	37	0,176	0,416	6,584	6,584
Tramo [3-4]	125x17,1 PPR SDR7,4 Fibra	3,59	0,00	0,00	26	0,093	0,510	6,490	6,490
Tramo [4-5]	125x17,1 PPR SDR7,4 Fibra	27,22	0,00	1,00	26	1,707	2,216	4,784	4,784
Tramo [5-6]	50x6,9 PPR SDR7,4 Fibra	7,32	0,00	0,00	28	0,205	2,421	4,579	4,579
Válvula [6-7]	1 1/2"		0,21		28	0,006	2,427	4,573	4,573
CL OFICINAS 2 [7]							2,427	4,573	4,573
Tramo [5-8]	125x17,1 PPR SDR7,4 Fibra	13,11	0,00	0,00	22	0,288	2,504	4,496	4,496
Tramo [8-9]	125x17,1 PPR SDR7,4 Fibra	2,00	0,00	0,00	22	0,044	2,548	4,452	4,452
Tramo [9-10]	125x17,1 PPR SDR7,4 Fibra	50,76	0,00	0,00	22	1,114	3,662	3,338	3,338
Tramo [10-11]	125x17,1 PPR SDR7,4 Fibra	24,20	0,00	0,00	22	0,531	4,192	2,808	2,808
Tramo [11-12]	125x17,1 PPR SDR7,4 Fibra	7,54	0,00	0,00	22	0,165	4,358	2,642	2,642
Válvula [12-13]	4"		0,53		22	0,012	4,370	2,630	2,630
CL. PABELLON DEPORTIVO [13]							4,370	2,630	2,630
Tramo [3-14]	75x10,3 PPR SDR7,4 Fibra	4,72	0,00	0,00	20	0,094	0,511	6,489	6,489
Tramo [14-15]	75x10,3 PPR SDR7,4 Fibra	0,77	0,00	0,00	20	0,016	0,526	6,474	6,474
Válvula [15-16]	2 1/2"		0,34		20	0,007	0,533	6,467	6,467
CL OFICINAS 1 [16]							0,533	6,467	6,467

Donde:

- Dn = Diámetro nominal.
- L = Longitud (m).
- Leq = Longitud equivalente (m).
- ΔH = Diferencia de cotas (m)
- JUn = Pérdida de carga unitaria (mm.c.a./m).
- JEI = Pérdida de carga en el elemento (m.c.a.).
- JAcu = Pérdida de carga acumulada (m.c.a.)
- Pmin = Presión mínima disponible (m.c.a.)
- Pmax = Presión máxima disponible (m.c.a.)

PROYECTO DE FONTANERÍA

1.- ANEJO CÁLCULO DE TRAMOS

Acometida [1]											
Tramo	S	Qins	Qmax	Dn	L	Leq	ΔH	V	JUni	JTra	JAcu
Tramo [1-2]	Especial	6,80	6,80	110x15,1 PPR SDR7,4 Fibra	6,44	0,00	0,00	1,36	22	0,14	0,14
Tramo [2-3]	Especial	6,80	6,80	110x15,1 PPR SDR7,4 Fibra	4,73	0,00	0,00	1,36	22	0,10	0,25
Tramo [3-4]	Especial	4,53	4,53	90x12,3 PPR SDR7,4 Fibra	3,59	0,00	0,00	1,35	28	0,10	0,35
Tramo [4-5]	Especial	4,53	4,53	90x12,3 PPR SDR7,4 Fibra	27,22	0,00	1,00	1,35	28	1,75	2,10
Tramo [5-6]	Especial	0,91	0,91	50x6,9 PPR SDR7,4 Fibra	7,32	0,00	0,00	0,89	27	0,20	2,30
Tramo [5-8]	Especial	3,62	3,62	90x12,3 PPR SDR7,4 Fibra	13,11	0,00	0,00	1,08	18	0,24	2,34
Tramo [8-9]	Especial	3,62	3,62	90x12,3 PPR SDR7,4 Fibra	2,00	0,00	0,00	1,08	18	0,04	2,38
Tramo [9-10]	Especial	3,62	3,62	90x12,3 PPR SDR7,4 Fibra	50,76	0,00	0,00	1,08	18	0,94	3,32
Tramo [10-11]	Especial	3,62	3,62	90x12,3 PPR SDR7,4 Fibra	24,20	0,00	0,00	1,08	18	0,45	3,76
Tramo [11-12]	Especial	3,62	3,62	90x12,3 PPR SDR7,4 Fibra	7,54	0,00	0,00	1,08	18	0,14	3,90
Tramo [3-14]	Especial	2,27	2,27	75x10,3 PPR SDR7,4 Fibra	4,72	0,00	0,00	0,98	19	0,09	0,34
Tramo [14-15]	Especial	2,27	2,27	75x10,3 PPR SDR7,4 Fibra	0,77	0,00	0,00	0,98	19	0,02	0,35

Donde:

- S = Número y tipo de suministros.
- Qins = Caudal instalado (l/s).
- Qmax = Caudal máximo previsible (l/s).
- Dn = Diámetro nominal.
- L = Longitud (m).
- Leq = Longitud equivalente correspondiente a los accesorios (m).
- ΔH = Diferencia de cotas (m)
- V = Velocidad de circulación (m/s).
- JUni = Pérdida de carga unitaria (mm.c.a./m).
- JTra = Pérdida de carga en el tramo (m.c.a.).
- JAcu = Pérdida de carga acumulada (m.c.a.)

2.- ANEJO PÉRDIDAS DE CARGA Y PRESIÓN

Acometida [1]									
Elemento	Dn	L	Leq	ΔH	JUni	JEI	JAcu	Pmin	Pmax
Acometida [1]							0,000	6,000	6,000
Tramo [1-2]	110x15,1 PPR SDR7,4	6,44	0,00	0,00	22	0,142	0,142	5,858	5,858

	Fibra								
Tramo [2-3]	110x15,1 PPR SDR7,4 Fibra	4,73	0,00	0,00	22	0,104	0,247	5,753	5,753
Tramo [3-4]	90x12,3 PPR SDR7,4 Fibra	3,59	0,00	0,00	28	0,099	0,346	5,654	5,654
Tramo [4-5]	90x12,3 PPR SDR7,4 Fibra	27,22	0,00	1,00	28	1,754	2,100	3,900	3,900
Tramo [5-6]	50x6,9 PPR SDR7,4 Fibra	7,32	0,00	0,00	27	0,198	2,298	3,702	3,702
Válvula [6-7]	1 1/2"		0,21		27	0,006	2,304	3,696	3,696
CL OFICINAS 2 [7]							2,304	3,696	3,696
Tramo [5-8]	90x12,3 PPR SDR7,4 Fibra	13,11	0,00	0,00	18	0,242	2,342	3,658	3,658
Tramo [8-9]	90x12,3 PPR SDR7,4 Fibra	2,00	0,00	0,00	18	0,037	2,379	3,621	3,621
Tramo [9-10]	90x12,3 PPR SDR7,4 Fibra	50,76	0,00	0,00	18	0,937	3,316	2,684	2,684
Tramo [10-11]	90x12,3 PPR SDR7,4 Fibra	24,20	0,00	0,00	18	0,447	3,763	2,237	2,237
Tramo [11-12]	90x12,3 PPR SDR7,4 Fibra	7,54	0,00	0,00	18	0,139	3,902	2,098	2,098
Válvula [12-13]	2 1/2"		0,34		18	0,006	3,908	2,092	2,092
CL. PABELLON DEPORTIVO [13]							3,908	2,092	2,092
Tramo [3-14]	75x10,3 PPR SDR7,4 Fibra	4,72	0,00	0,00	19	0,092	0,338	5,662	5,662
Tramo [14-15]	75x10,3 PPR SDR7,4 Fibra	0,77	0,00	0,00	19	0,015	0,353	5,647	5,647
Válvula [15-16]	2 1/2"		0,34		19	0,007	0,360	5,640	5,640
CL OFICINAS 1 [16]							0,360	5,640	5,640

Donde:

- Dn = Diámetro nominal.
- L = Longitud (m).
- Leq = Longitud equivalente (m).
- ΔH = Diferencia de cotas (m)
- JUn = Pérdida de carga unitaria (mm.c.a./m).
- JEl = Pérdida de carga en el elemento (m.c.a.).
- JAcu = Pérdida de carga acumulada (m.c.a.)
- Pmin = Presión mínima disponible (m.c.a.)
- Pmax = Presión máxima disponible (m.c.a.)

PROYECTO DE FONTANERÍA

1.- ANEJO CÁLCULO DE TRAMOS

Acometida [1]											
Tramo	S	Qins	Qmax	Dn	L	Leq	ΔH	V	JUni	JTra	JAcu
Tramo [1-2]	Espe cial	13,20	13,20	160x21,9 PPR SDR7,4 Fibra	5,75	0,00	0,00	1,24	12	0,07	0,07
Tramo [2-3]	Espe cial	4,93	4,93	90x12,3 PPR SDR7,4 Fibra	7,87	0,00	0,00	1,47	32	0,25	0,32
Tramo [3-4]	Espe cial	2,27	2,27	75x10,3 PPR SDR7,4 Fibra	0,93	0,00	0,00	0,98	20	0,02	0,34
Tramo [3-6]	Espe cial	2,66	2,66	75x10,3 PPR SDR7,4 Fibra	1,21	0,00	0,00	1,14	26	0,03	0,35
Tramo [2-8]	Espe cial	8,27	8,27	110x15,1 PPR SDR7,4 Fibra	8,07	0,00	0,00	1,65	31	0,25	0,32
Tramo [8-9]	Espe cial	8,27	8,27	110x15,1 PPR SDR7,4 Fibra	26,17	0,00	0,00	1,65	31	0,82	1,14
Tramo [9-10]	Espe cial	8,27	8,27	110x15,1 PPR SDR7,4 Fibra	4,59	0,00	0,00	1,65	31	0,14	1,29
Tramo [10-11]	Espe cial	6,10	6,10	110x15,1 PPR SDR7,4 Fibra	1,20	0,00	0,00	1,22	18	0,02	1,31
Tramo [11-12]	Espe cial	1,58	1,58	63x8,6 PPR SDR7,4 Fibra	4,79	0,00	0,00	0,96	23	0,11	1,42
Tramo [12-13]	Espe cial	0,23	0,23	32x4,4 PPR SDR7,4 Fibra	0,67	0,00	0,00	0,54	20	0,01	1,44
Tramo [12-15]	Espe cial	1,36	1,36	63x8,6 PPR SDR7,4 Fibra	1,40	0,00	0,00	0,82	18	0,02	1,45
Tramo [11-17]	Espe cial	4,52	4,52	90x12,3 PPR SDR7,4 Fibra	6,86	0,00	0,00	1,34	28	0,19	1,50
Tramo [17-18]	Espe cial	4,52	4,52	90x12,3 PPR SDR7,4 Fibra	4,25	0,00	0,00	1,34	28	0,12	1,62
Tramo [18-19]	Espe cial	2,83	2,83	75x10,3 PPR SDR7,4 Fibra	0,95	0,00	0,00	1,22	29	0,03	1,64
Tramo [18-21]	Espe cial	1,69	1,69	63x8,6 PPR SDR7,4 Fibra	1,47	0,00	0,00	1,03	26	0,04	1,66
Tramo [10-23]	Espe cial	2,17	2,17	75x10,3 PPR SDR7,4 Fibra	3,90	0,00	0,00	0,93	18	0,07	1,36
Tramo [23-24]	Espe cial	1,28	1,28	63x8,6 PPR SDR7,4 Fibra	1,67	0,00	0,00	0,78	16	0,03	1,39
Tramo [23-26]	Espe cial	0,88	0,88	50x6,9 PPR SDR7,4 Fibra	1,86	0,00	0,00	0,86	26	0,05	1,41

Donde:

- S = Número y tipo de suministros.
- Qins = Caudal instalado (l/s).
- Qmax = Caudal máximo previsible (l/s).
- Dn = Diámetro nominal.
- L = Longitud (m).
- Leq = Longitud equivalente correspondiente a los accesorios (m).
- ΔH = Diferencia de cotas (m)
- V = Velocidad de circulación (m/s).
- JUni = Pérdida de carga unitaria (mm.c.a./m).

JTra = Pérdida de carga en el tramo (m.c.a.).
 JAcu = Pérdida de carga acumulada (m.c.a.)

2.- ANEJO PÉRDIDAS DE CARGA Y PRESIÓN

Acometida [1]									
Elemento	Dn	L	Leq	ΔH	JUni	JEI	JAcu	Pmin	Pmax
Acometida [1]							0,000	8,000	8,000
Tramo [1-2]	160x21,9 PPR SDR7,4 Fibra	5,75	0,00	0,00	12	0,069	0,069	7,931	7,931
Tramo [2-3]	90x12,3 PPR SDR7,4 Fibra	7,87	0,00	0,00	32	0,254	0,323	7,677	7,677
Tramo [3-4]	75x10,3 PPR SDR7,4 Fibra	0,93	0,00	0,00	20	0,018	0,341	7,659	7,659
Válvula [4-5]	2 1/2"		0,34		20	0,007	0,348	7,652	7,652
CL SALON DE ACTOS [5]							0,348	7,652	7,652
Tramo [3-6]	75x10,3 PPR SDR7,4 Fibra	1,21	0,00	0,00	26	0,031	0,354	7,646	7,646
Válvula [6-7]	2 1/2"		0,34		26	0,009	0,363	7,637	7,637
CL VESTIBULO [7]							0,363	7,637	7,637
Tramo [2-8]	110x15,1 PPR SDR7,4 Fibra	8,07	0,00	0,00	31	0,254	0,322	7,678	7,678
Tramo [8-9]	110x15,1 PPR SDR7,4 Fibra	26,17	0,00	0,00	31	0,822	1,145	6,855	6,855
Tramo [9-10]	110x15,1 PPR SDR7,4 Fibra	4,59	0,00	0,00	31	0,144	1,289	6,711	6,711
Tramo [10-11]	110x15,1 PPR SDR7,4 Fibra	1,20	0,00	0,00	18	0,022	1,311	6,689	6,689
Tramo [11-12]	63x8,6 PPR SDR7,4 Fibra	4,79	0,00	0,00	23	0,112	1,423	6,577	6,577
Tramo [12-13]	32x4,4 PPR SDR7,4 Fibra	0,67	0,00	0,00	20	0,013	1,436	6,564	6,564
Válvula [13-14]	1"		0,14		20	0,003	1,439	6,561	6,561
CL VESTUARIO [14]							1,439	6,561	6,561
Tramo [12-15]	63x8,6 PPR SDR7,4 Fibra	1,40	0,00	0,00	18	0,025	1,448	6,552	6,552
Válvula [15-16]	2"		0,27		18	0,005	1,452	6,548	6,548
CL ESCENARIO [16]							1,452	6,548	6,548
Tramo [11-17]	90x12,3 PPR SDR7,4 Fibra	6,86	0,00	0,00	28	0,189	1,500	6,500	6,500
Tramo [17-18]	90x12,3 PPR SDR7,4 Fibra	4,25	0,00	0,00	28	0,117	1,617	6,383	6,383
Tramo [18-19]	75x10,3 PPR SDR7,4 Fibra	0,95	0,00	0,00	29	0,027	1,644	6,356	6,356

Válvula [19-20]	2 1/2"		0,34		29	0,010	1,654	6,346	6,346
SALA DEPORTIVA DOBLE ALTURA [20]							1,654	6,346	6,346
Tramo [18-21]	63x8,6 PPR SDR7,4 Fibra	1,47	0,00	0,00	26	0,039	1,656	6,344	6,344
Válvula [21-22]	2"		0,27		26	0,007	1,663	6,337	6,337
P1Z2 [22]							1,663	6,337	6,337
Tramo [10-23]	75x10,3 PPR SDR7,4 Fibra	3,90	0,00	0,00	18	0,070	1,359	6,641	6,641
Tramo [23-24]	63x8,6 PPR SDR7,4 Fibra	1,67	0,00	0,00	16	0,027	1,386	6,614	6,614
Válvula [24-25]	2"		0,27		16	0,004	1,390	6,610	6,610
P1Z1 [25]							1,390	6,610	6,610
Tramo [23-26]	50x6,9 PPR SDR7,4 Fibra	1,86	0,00	0,00	26	0,048	1,406	6,594	6,594
Válvula [26-27]	1 1/2"		0,21		26	0,005	1,412	6,588	6,588
PBZ1 [27]							1,412	6,588	6,588

Donde:

- Dn = Diámetro nominal.
- L = Longitud (m).
- Leq = Longitud equivalente (m).
- ΔH = Diferencia de cotas (m)
- JUni = Pérdida de carga unitaria (mm.c.a./m).
- JEI = Pérdida de carga en el elemento (m.c.a.).
- JAcu = Pérdida de carga acumulada (m.c.a.)
- Pmin = Presión mínima disponible (m.c.a.)
- Pmax = Presión máxima disponible (m.c.a.)

PROYECTO DE FONTANERÍA

1.- ANEJO CÁLCULO DE TRAMOS

Acometida [1]											
Tramo	S	Qins	Qmax	Dn	L	Leq	ΔH	V	JUni	JTra	JAcu
Tramo [1-2]	Espe cial	16,50	16,50	160x21,9 PPR SDR7,4 Fibra	5,75	0,00	0,00	1,56	18	0,10	0,10
Tramo [2-3]	Espe cial	4,99	4,99	90x12,3 PPR SDR7,4 Fibra	7,87	0,00	0,00	1,49	33	0,26	0,36
Tramo [3-4]	Espe cial	2,38	2,38	75x10,3 PPR SDR7,4 Fibra	0,93	0,00	0,00	1,02	21	0,02	0,38
Tramo [3-6]	Espe cial	2,61	2,61	75x10,3 PPR SDR7,4 Fibra	1,21	0,00	0,00	1,12	25	0,03	0,39
Tramo [2-8]	Espe cial	11,50	11,50	125x17,1 PPR SDR7,4 Fibra	8,07	0,00	0,00	1,78	31	0,25	0,35
Tramo [8-9]	Espe cial	11,50	11,50	125x17,1 PPR SDR7,4 Fibra	26,17	0,00	0,00	1,78	31	0,80	1,15
Tramo [9-10]	Espe cial	11,50	11,50	125x17,1 PPR SDR7,4 Fibra	4,59	0,00	0,00	1,78	31	0,14	1,29
Tramo [10-11]	Espe cial	8,35	8,35	110x15,1 PPR SDR7,4 Fibra	1,20	0,00	0,00	1,67	32	0,04	1,33
Tramo [11-12]	Espe cial	1,33	1,33	63x8,6 PPR SDR7,4 Fibra	4,79	0,00	0,00	0,81	17	0,08	1,41
Tramo [12-13]	Espe cial	1,33	1,33	63x8,6 PPR SDR7,4 Fibra	1,40	0,00	0,00	0,81	17	0,02	1,44
Tramo [11-15]	Espe cial	7,02	7,02	110x15,1 PPR SDR7,4 Fibra	12,43	0,00	0,00	1,40	23	0,29	1,62
Tramo [15-16]	Espe cial	4,44	4,44	90x12,3 PPR SDR7,4 Fibra	1,87	0,00	0,00	1,32	27	0,05	1,67
Tramo [15-18]	Espe cial	2,57	2,57	75x10,3 PPR SDR7,4 Fibra	1,98	0,00	0,00	1,11	24	0,05	1,67
Tramo [10-20]	Espe cial	3,15	3,15	75x10,3 PPR SDR7,4 Fibra	4,02	0,00	0,00	1,36	35	0,14	1,43
Tramo [20-21]	Espe cial	1,81	1,81	63x8,6 PPR SDR7,4 Fibra	1,55	0,00	0,00	1,10	30	0,05	1,48
Tramo [20-23]	Espe cial	1,34	1,34	63x8,6 PPR SDR7,4 Fibra	1,64	0,00	0,00	0,81	17	0,03	1,46

Donde:

- S = Número y tipo de suministros.
- Qins = Caudal instalado (l/s).
- Qmax = Caudal máximo previsible (l/s).
- Dn = Diámetro nominal.
- L = Longitud (m).
- Leq = Longitud equivalente correspondiente a los accesorios (m).
- ΔH = Diferencia de cotas (m)
- V = Velocidad de circulación (m/s).
- JUni = Pérdida de carga unitaria (mm.c.a./m).
- JTra = Pérdida de carga en el tramo (m.c.a.).
- JAcu = Pérdida de carga acumulada (m.c.a.)

2.- ANEJO PÉRDIDAS DE CARGA Y PRESIÓN

Acometida [1]									
Elemento	Dn	L	Leq	ΔH	JUn	JEI	JAcu	Pmin	Pmax
Acometida [1]							0,000	7,000	7,000
Tramo [1-2]	160x21,9 PPR SDR7,4 Fibra	5,75	0,00	0,00	18	0,103	0,103	6,897	6,897
Tramo [2-3]	90x12,3 PPR SDR7,4 Fibra	7,87	0,00	0,00	33	0,260	0,363	6,637	6,637
Tramo [3-4]	75x10,3 PPR SDR7,4 Fibra	0,93	0,00	0,00	21	0,020	0,382	6,618	6,618
Válvula [4-5]	2 1/2"		0,34		21	0,007	0,390	6,610	6,610
CL SALON DE ACTOS [5]							0,390	6,610	6,610
Tramo [3-6]	75x10,3 PPR SDR7,4 Fibra	1,21	0,00	0,00	25	0,030	0,393	6,607	6,607
Válvula [6-7]	2 1/2"		0,34		25	0,009	0,402	6,598	6,598
CL VESTIBULO [7]							0,402	6,598	6,598
Tramo [2-8]	125x17,1 PPR SDR7,4 Fibra	8,07	0,00	0,00	31	0,247	0,350	6,650	6,650
Tramo [8-9]	125x17,1 PPR SDR7,4 Fibra	26,17	0,00	0,00	31	0,802	1,152	5,848	5,848
Tramo [9-10]	125x17,1 PPR SDR7,4 Fibra	4,59	0,00	0,00	31	0,141	1,293	5,707	5,707
Tramo [10-11]	110x15,1 PPR SDR7,4 Fibra	1,20	0,00	0,00	32	0,039	1,331	5,669	5,669
Tramo [11-12]	63x8,6 PPR SDR7,4 Fibra	4,79	0,00	0,00	17	0,082	1,414	5,586	5,586
Tramo [12-13]	63x8,6 PPR SDR7,4 Fibra	1,40	0,00	0,00	17	0,024	1,438	5,562	5,562
Válvula [13-14]	2"		0,27		17	0,005	1,442	5,558	5,558
CL ESCENARIO [14]							1,442	5,558	5,558
Tramo [11-15]	110x15,1 PPR SDR7,4 Fibra	12,43	0,00	0,00	23	0,290	1,622	5,378	5,378
Tramo [15-16]	90x12,3 PPR SDR7,4 Fibra	1,87	0,00	0,00	27	0,050	1,672	5,328	5,328
Válvula [16-17]	2 1/2"		0,34		27	0,009	1,681	5,319	5,319
SALA DEPORTIVA DOBLE ALTURA [17]							1,681	5,319	5,319
Tramo [15-18]	75x10,3 PPR SDR7,4 Fibra	1,98	0,00	0,00	24	0,048	1,670	5,330	5,330
Válvula [18-19]	2 1/2"		0,34		24	0,008	1,679	5,321	5,321
SALA DEPORTIVA P1 ZONA2 [19]							1,679	5,321	5,321

Tramo [10-20]	75x10,3 PPR SDR7,4 Fibra	4,02	0,00	0,00	35	0,141	1,434	5,566	5,566
Tramo [20-21]	63x8,6 PPR SDR7,4 Fibra	1,55	0,00	0,00	30	0,046	1,480	5,520	5,520
Válvula [21-22]	2"		0,27		30	0,008	1,487	5,513	5,513
P1Z1 ?????? [22]							1,487	5,513	5,513
Tramo [20-23]	63x8,6 PPR SDR7,4 Fibra	1,64	0,00	0,00	17	0,029	1,462	5,538	5,538
Válvula [23-24]	2"		0,27		17	0,005	1,467	5,533	5,533
PBZ1 [24]							1,467	5,533	5,533

Donde:

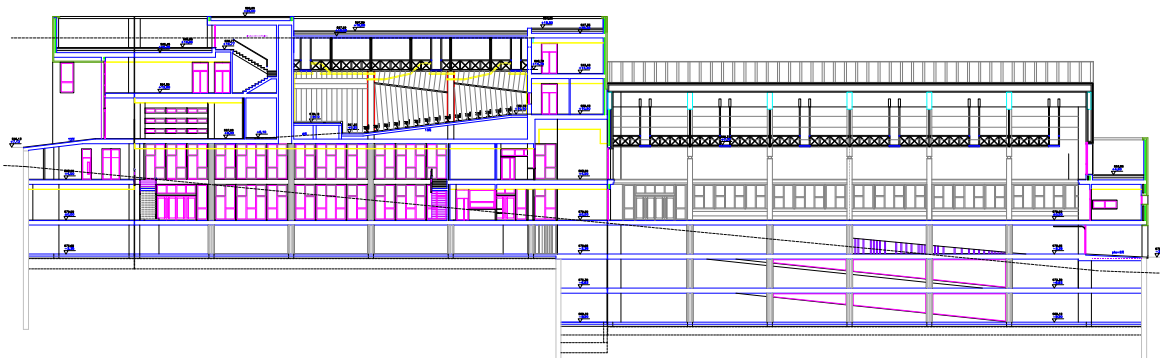
- Dn = Diámetro nominal.
- L = Longitud (m).
- Leq = Longitud equivalente (m).
- ΔH = Diferencia de cotas (m)
- JUni = Pérdida de carga unitaria (mm.c.a./m).
- JEl = Pérdida de carga en el elemento (m.c.a.).
- JAcu = Pérdida de carga acumulada (m.c.a.)
- Pmin = Presión mínima disponible (m.c.a.)
- Pmax = Presión máxima disponible (m.c.a.)

**VICERRECTORADO DE
INFRAESTRUCTURA Y
MANTENIMIENTO**

UNIVERSIDAD POLITÉCNICA DE VALENCIA



PROYECTO DE EJECUCION DE EDIFICIO NUEVO Y URBANIZACION EN EL CAMPUS DE ALCOY



ANEXO DE CALCULOS DE CONDUCTOS

PROYECTO DE FONTANERÍA

1.- ANEJO CÁLCULO DE TRAMOS. ANEXO CIRCUITO RADIADORES

Acometida [1]											
Tramo	S	Qins	Qmax	Dn	L	Leq	ΔH	V	JUni	JTra	JAcu
Tramo [1-2]	A	0,20	0,20	3/4" Acero	31,30	0,00	-15,00	0,53	20	-14,39	-14,39
Tramo [2-3]	A	0,02	0,02	1/2" Acero	3,34	0,00	0,00	0,10	1	0,00	-14,38
Tramo [2-4]	A	0,18	0,18	3/4" Acero	3,98	0,00	0,00	0,48	16	0,06	-14,33
Tramo [4-5]	A	0,10	0,10	3/4" Acero	7,01	0,00	0,00	0,27	5	0,04	-14,29
Tramo [5-6]	A	0,02	0,02	1/2" Acero	3,88	0,00	0,00	0,10	1	0,01	-14,28
Tramo [5-7]	A	0,08	0,08	3/4" Acero	1,12	0,00	0,00	0,21	4	0,00	-14,28
Tramo [7-8]	A	0,02	0,02	1/2" Acero	7,00	0,00	-3,00	0,10	1	-2,99	-17,27
Tramo [7-9]	A	0,06	0,06	3/4" Acero	6,67	0,00	0,00	0,16	2	0,01	-14,27
Tramo [9-10]	A	0,02	0,02	1/2" Acero	7,00	0,00	-3,00	0,10	1	-2,99	-17,26
Tramo [9-11]	A	0,04	0,04	1/2" Acero	2,37	0,00	0,00	0,20	5	0,01	-14,26
Tramo [11-12]	A	0,02	0,02	1/2" Acero	3,83	0,00	-3,00	0,10	1	-2,99	-17,25
Tramo [11-13]	A	0,02	0,02	1/2" Acero	4,55	0,00	0,00	0,10	1	0,01	-14,25
Tramo [13-14]	A	0,02	0,02	1/2" Acero	3,83	0,00	-3,00	0,10	1	-2,99	-17,25
Tramo [4-15]	A	0,08	0,08	3/4" Acero	16,44	0,00	0,00	0,21	4	0,06	-14,27
Tramo [15-16]	A	0,02	0,02	1/2" Acero	7,00	0,00	-3,00	0,10	1	-2,99	-17,26
Tramo [15-17]	A	0,06	0,06	3/4" Acero	7,08	0,00	0,00	0,16	2	0,02	-14,25
Tramo [17-18]	A	0,02	0,02	1/2" Acero	7,00	0,00	-3,00	0,10	1	-2,99	-17,24
Tramo [17-19]	A	0,04	0,04	1/2" Acero	0,84	0,00	0,00	0,19	4	0,00	-14,25
Tramo [19-20]	A	0,02	0,02	1/2" Acero	7,00	0,00	-3,00	0,10	1	-2,99	-17,24
Tramo [19-21]	A	0,02	0,02	1/2" Acero	6,63	0,00	0,00	0,10	1	0,01	-14,24
Tramo [21-22]	A	0,02	0,02	1/2" Acero	7,10	0,00	-3,00	0,10	1	-2,99	-17,23

Donde:

- S = Número y tipo de suministros.
- Qins = Caudal instalado (l/s).
- Qmax = Caudal máximo previsible (l/s).
- Dn = Diámetro nominal.
- L = Longitud (m).
- Leq = Longitud equivalente correspondiente a los accesorios (m).
- ΔH = Diferencia de cotas (m).
- V = Velocidad de circulación (m/s).
- JUni = Pérdida de carga unitaria (mm.c.a./m).
- JTra = Pérdida de carga en el tramo (m.c.a.).
- JAcu = Pérdida de carga acumulada (m.c.a.)

2.- ANEJO PÉRDIDAS DE CARGA Y PRESIÓN

Acometida [1]

Elemento	Dn	L	Leq	ΔH	JUni	JEI	JAcu	Pmin	Pmax
Acometida [1]							0,000	31,500	38,500
Tramo [1-2]	3/4" Acero	31,30	0,00	-15,00	20	-14,389	-14,389	45,889	52,889
Tramo [2-3]	1/2" Acero	3,34	0,00	0,00	1	0,004	-14,384	45,884	52,884
Grifo [3]							-14,384	45,884	52,884
Tramo [2-4]	3/4" Acero	3,98	0,00	0,00	16	0,064	-14,325	45,825	52,825
Tramo [4-5]	3/4" Acero	7,01	0,00	0,00	5	0,038	-14,287	45,787	52,787
Tramo [5-6]	1/2" Acero	3,88	0,00	0,00	1	0,005	-14,282	45,782	52,782
Grifo [6]							-14,282	45,782	52,782
Tramo [5-7]	3/4" Acero	1,12	0,00	0,00	4	0,004	-14,283	45,783	52,783
Tramo [7-8]	1/2" Acero	7,00	0,00	-3,00	1	-2,991	-17,274	48,774	55,774
Grifo [8]							-17,274	48,774	55,774
Tramo [7-9]	3/4" Acero	6,67	0,00	0,00	2	0,014	-14,268	45,768	52,768
Tramo [9-10]	1/2" Acero	7,00	0,00	-3,00	1	-2,991	-17,259	48,759	55,759
Grifo [10]							-17,259	48,759	55,759
Tramo [9-11]	1/2" Acero	2,37	0,00	0,00	5	0,011	-14,258	45,758	52,758
Tramo [11-12]	1/2" Acero	3,83	0,00	-3,00	1	-2,995	-17,252	48,752	55,752
Grifo [12]							-17,252	48,752	55,752
Tramo [11-13]	1/2" Acero	4,55	0,00	0,00	1	0,006	-14,251	45,751	52,751
Tramo [13-14]	1/2" Acero	3,83	0,00	-3,00	1	-2,995	-17,246	48,746	55,746
Grifo [14]							-17,246	48,746	55,746
Tramo [4-15]	3/4" Acero	16,44	0,00	0,00	4	0,059	-14,266	45,766	52,766
Tramo [15-16]	1/2" Acero	7,00	0,00	-3,00	1	-2,991	-17,256	48,756	55,756
Grifo [16]							-17,256	48,756	55,756
Tramo [15-17]	3/4" Acero	7,08	0,00	0,00	2	0,015	-14,251	45,751	52,751
Tramo [17-18]	1/2" Acero	7,00	0,00	-3,00	1	-2,991	-17,241	48,741	55,741
Grifo [18]							-17,241	48,741	55,741
Tramo [17-19]	1/2" Acero	0,84	0,00	0,00	4	0,004	-14,247	45,747	52,747
Tramo [19-20]	1/2" Acero	7,00	0,00	-3,00	1	-2,991	-17,238	48,738	55,738
Grifo [20]							-17,238	48,738	55,738
Tramo [19-21]	1/2" Acero	6,63	0,00	0,00	1	0,008	-14,239	45,739	52,739
Tramo [21-22]	1/2" Acero	7,10	0,00	-3,00	1	-2,991	-17,229	48,729	55,729
Grifo [22]							-17,229	48,729	55,729

Donde:

- Dn = Diámetro nominal.
- L = Longitud (m).
- Leq = Longitud equivalente (m).
- ΔH = Diferencia de cotas (m)
- JUni = Pérdida de carga unitaria (mm.c.a./m).
- JEI = Pérdida de carga en el elemento (m.c.a.).
- JAcu = Pérdida de carga acumulada (m.c.a.)
- Pmin = Presión mínima disponible (m.c.a.)
- Pmax = Presión máxima disponible (m.c.a.)

DATOS GENERALES**Cliente:****Ciudad:** Alicante**Proyectista:****SISTEMA:****Nº Expediente:****Dibujo n.º:****Referencia:****Construcción:****Sistema:****Zona:** CL Escenario SA impulsión**Circuito:****Altitud s.n.m** [m]: 7 **Altura** [m]: 0**Temperatura aire** [°C]: 20 **Humedad Relativa aire** [%]:**Método de cálculo: DIMENSIONADO DEL LA RED CON EL METODO DE PERDIDA DE CARGA CONSTANTE****DATOS DE CALCULO****Viscosidad del aire** [Pa*s]: 0.01816**Densidad del aire** [kg/m³]: 1.2**Revestimiento interior** :**Espesor** [mm]: 0**Rugosidad pared** [mm]: 0.15**CONDUCTOS Ratio B/A:** 0.5**OPCIONES****Tipo de cálculo elegido:** : 2

- Pérdida de carga distribuida [Pa/m]: 0.8
- Máxima velocidad en los tramos [m/s]: 6
- Máxima velocidad en los ramales [m/s]: 6

Cálculo con dimensiones normalizadas [Si/No]: Si

- Paso para el cálculo con dimensiones no normalizadas [mm]: 0
- Dimensión mínima [mm]: 0
- Dimensión máxima [mm]: 0

LIMITES**Mínimo desequilibrio para justificar el equilibrado y la inserción de compuertas en ramales** (Δp_{mr}) [Pa]: 10**Mínimo desequilibrio para justificar el equilibrado y la inserción de compuertas en terminales** (Δp_{msr}) [Pa]: 10**Máxima pérdida de carga admisible para las compuertas en terminales** (Δp_{MT}) [Pa]: 0**MAXIMA PERDIDA****Presión total para el camino más desfavorable** [Pa]: 628.62**Presión estática para el camino más desfavorable** [Pa]: 610.2**CAMINO MAS DESFAVOR.**

000-001-003-005-007-009-011-013-015-017-019-021-023-025-027-030-028

SEGMENTO 1:

Tipo: Tramo

1 ELEMENTO		2 Caudal Q	3 Diam. D/D _e	4 Ancho A	5 Alto B	6 Long. L	7 $\Delta p/L$	8 Fuente Tab	9 Ashrae X	10 Ashrae Y	11 Coeff. C _o	12 Veloc. V	13 P.Dinám P _v	14 Pérdida Δp_r o Δp_c
N. pz.	Cod.	[m³/h]	[mm]	[mm]	[mm]	[m]	[Pa/m]	n.	-	-	-	[m/s]	[Pa]	[Pa]
1	310R	7170	656	600	600	0.61	0.54					5.5	18.21	0.33
2	079R	7170	656	600	600	0	0	3.5	1.000	0.833	0.163	5.5	18.21	8.07
3	310R	7170	656	600	600	1.83	0.54					5.5	18.21	0.98
5	079R	7170	656	600	600	0	0	3.5	1.000	0.833	0.163	5.5	18.21	8.07
6	310R	7170	656	600	600	0.74	0.54					5.5	18.21	0.4
8	079R	7170	656	600	600	0	0	3.5	1.000	0.833	0.363	5.5	18.21	6.69
9	310R	7170	656	600	600	3.22	0.53					5.5	18.21	1.72
112	023R	7170	656	600	600	0.36	0	4.3	30.000	1.000	0.300	5.5	18.21	5.52
12	310R	7170	643	900	400	3.1	0.59					5.5	18.21	1.83
11	079R	7170	643	900	400	0	0	3.5	0.444	0.722	0.617	5.5	18.21	10.08
13	310R	7170	643	900	400	0.67	0.58					5.5	18.21	0.39
15	079R	7170	643	900	400	0	0	3.5	0.444	0.722	0.481	5.5	18.21	8.86
16	310R	7170	643	900	400	1.24	0.59					5.5	18.21	0.73
18	079R	7170	643	900	400	0	0	3.5	0.444	0.722	0.481	5.5	18.21	6.21
19	310R	7170	643	900	400	0.49	0.59					5.5	18.21	0.29

Pérdida de carga acumulada del segmento

Velocidad en la sección inicial del segmento

Velocidad en la sección final del segmento

Recuperación de presión estática del segmento

Pérdida de carga acumulada del segmento, considerando la recuperación

Pérdida de carga acumulada neta – total acumulado

Δp_t [Pa] : 60.18

V_m [m/s] : 5.5

V_v [m/s] : 4

Δp_r [Pa] : 8.58

Δp_{tm} [Pa] : 87.47

$\Sigma \Delta p_{tm}$ [Pa] : 87.47

SEGMENTO 3:

Tipo: Tramo

1 ELEMENTO		2 Caudal Q	3 Diam. D/D _e	4 Ancho A	5 Alto B	6 Long. L	7 $\Delta p/L$	8 Fuente Tab	9 Ashrae X	10 Ashrae Y	11 Coeff. C _o	12 Veloc. V	13 P.Dinám P _v	14 Pérdida Δp_r o Δp_c
N. pz.	Cod.	[m³/h]	[mm]	[mm]	[mm]	[m]	[Pa/m]	n.	-	-	-	[m/s]	[Pa]	[Pa]
113	39RA	6720	643	900	400	0	0	IDELM	0.938		2.320	5.2	16.28	22.13
25	310R	6720	643	900	400	0.91	0.53					5.2	16.28	0.48

Pérdida de carga acumulada del segmento

Velocidad en la sección inicial del segmento

Velocidad en la sección final del segmento

Recuperación de presión estática del segmento

Pérdida de carga acumulada del segmento, considerando la recuperación

Pérdida de carga acumulada neta – total acumulado

Δp_t [Pa] : 22.61

V_m [m/s] : 4

V_v [m/s] : 5.8

Δp_r [Pa] : -10.62

Δp_{tm} [Pa] : 35.38

$\Sigma \Delta p_{tm}$ [Pa] : 122.85

SEGMENTO 5:

Tipo: Tramo

1 ELEMENTO		2 Caudal Q	3 Diam. D/D _e	4 Ancho A	5 Alto B	6 Long. L	7 $\Delta p/L$	8 Fuente Tab	9 Ashrae X	10 Ashrae Y	11 Coeff. C _o	12 Veloc. V	13 P.Dinám P _v	14 Pérdida Δp_r o Δp_c
N. pz.	Cod.	[m³/h]	[mm]	[mm]	[mm]	[m]	[Pa/m]	n.	-	-	-	[m/s]	[Pa]	[Pa]
115	39RA	6270	643	900	400	0	0	IDELM	0.933		2.310	4.8	13.87	47.25
31	310R	6270	643	900	400	0.91	0.46					4.8	13.87	0.42

Pérdida de carga acumulada del segmento	Δp_t	[Pa]	: 47.67
Velocidad en la sección inicial del segmento	V_m	[m/s]	: 5.8
Velocidad en la sección final del segmento	V_v	[m/s]	: 5.4
Recuperación de presión estática del segmento	Δp_r	[Pa]	: 2.7
Pérdida de carga acumulada del segmento, considerando la recuperación	Δp_{tn}	[Pa]	: 51.27
Pérdida de carga acumulada neta – total acumulado	$\Sigma \Delta p_{tn}$	[Pa]	: 174.13

SEGMENTO 7:

Tipo: Tramo

1 ELEMENTO		2 Caudal Q	3 Diam. D/D _e	4 Ancho A	5 Alto B	6 Long. L	7 $\Delta p/L$	8 Fuente Tab	9 Ashrae X	10 Ashrae Y	11 Coeff. C _o	12 Veloc. V	13 P.Dinám P _v	14 Pérdida Δp_r o Δp_c
N. pz.	Cod.	[m³/h]	[mm]	[mm]	[mm]	[m]	[Pa/m]	n.	-	-	-	[m/s]	[Pa]	[Pa]
117	39RA	5825	643	900	400	0	0	IDELM	0.929		2.290	4.5	12.19	40.92
37	310R	5825	643	900	400	0.91	0.4					4.5	12.19	0.36

Pérdida de carga acumulada del segmento	Δp_t	[Pa]	: 41.29
Velocidad en la sección inicial del segmento	V_m	[m/s]	: 5.4
Velocidad en la sección final del segmento	V_v	[m/s]	: 5.1
Recuperación de presión estática del segmento	Δp_r	[Pa]	: 1.9
Pérdida de carga acumulada del segmento, considerando la recuperación	Δp_{tn}	[Pa]	: 44.21
Pérdida de carga acumulada neta – total acumulado	$\Sigma \Delta p_{tn}$	[Pa]	: 218.34

SEGMENTO 9:

Tipo: Tramo

1 ELEMENTO		2 Caudal Q	3 Diam. D/D _e	4 Ancho A	5 Alto B	6 Long. L	7 $\Delta p/L$	8 Fuente Tab	9 Ashrae X	10 Ashrae Y	11 Coeff. C _o	12 Veloc. V	13 P.Dinám P _v	14 Pérdida Δp_r o Δp_c
N. pz.	Cod.	[m³/h]	[mm]	[mm]	[mm]	[m]	[Pa/m]	n.	-	-	-	[m/s]	[Pa]	[Pa]
119	39RA	5375	643	900	400	0	0	IDELM	0.923		2.280	4.1	10.12	35.05
122	283R	5375	609	800	400	0.27	0	5.1	30.000	1.130	0.050	4.7	13.3	0
43	310R	5375	609	800	400	0.91	0.45					4.7	13.3	0.41

Pérdida de carga acumulada del segmento	Δp_t	[Pa]	: 35.46
Velocidad en la sección inicial del segmento	V_m	[m/s]	: 5.1
Velocidad en la sección final del segmento	V_v	[m/s]	: 4.7
Recuperación de presión estática del segmento	Δp_r	[Pa]	: 2.36
Pérdida de carga acumulada del segmento, considerando la recuperación	Δp_{tn}	[Pa]	: 33.18
Pérdida de carga acumulada neta – total acumulado	$\Sigma \Delta p_{tn}$	[Pa]	: 251.53

SEGMENTO 11:

Tipo: Tramo

1 ELEMENTO		2 Caudal Q	3 Diam. D/D _e	4 Ancho A	5 Alto B	6 Long. L	7 $\Delta p/L$	8 Fuente Tab	9 Ashrae X	10 Ashrae Y	11 Coeff. C _o	12 Veloc. V	13 P.Dinám P _v	14 Pérdida Δp_r o Δp_c
N. pz.	Cod.	[m³/h]	[mm]	[mm]	[mm]	[m]	[Pa/m]	n.	-	-	-	[m/s]	[Pa]	[Pa]
121	39RA	4930	609	800	400	0	0	IDELM	0.917		2.260	4.3	11.13	29.63
49	310R	4930	609	800	400	0.91	0.38					4.3	11.13	0.35

Pérdida de carga acumulada del segmento	Δp_t	[Pa]	: 29.98
Velocidad en la sección inicial del segmento	V_m	[m/s]	: 4.7
Velocidad en la sección final del segmento	V_v	[m/s]	: 4.3

Recuperación de presión estática del segmento
 Pérdida de carga acumulada del segmento, considerando la recuperación
 Pérdida de carga acumulada neta – total acumulado

Δp_r [Pa] : 2.17
 Δp_{tn} [Pa] : 27.89
 $\Sigma \Delta p_{tn}$ [Pa] : 279.41

SEGMENTO 13:

Tipo: Tramo

1 ELEMENTO		2 Caudal Q	3 Diam. D/D _e	4 Ancho A	5 Alto B	6 Long. L	7 $\Delta p/L$	8 Fuente Tab	9 Ashrae X	10 Ashrae Y	11 Coeff. C _o	12 Veloc. V	13 P.Dinám P _v	14 Pérdida Δp_r o Δp_c
N. pz.	Cod.	[m³/h]	[mm]	[mm]	[mm]	[m]	[Pa/m]	n.	-	-	-	[m/s]	[Pa]	[Pa]
124	39RA	4480	609	800	400	0	0	IDELM	0.909		2.240	3.9	9.16	24.67
127	283R	4480	520	800	300	0.19	0	5.1	30.000	1.330	0.050	5.2	16.28	0.81
55	310R	4480	520	800	300	0.91	0.7					5.2	16.28	0.64

Pérdida de carga acumulada del segmento
 Velocidad en la sección inicial del segmento
 Velocidad en la sección final del segmento
 Recuperación de presión estática del segmento
 Pérdida de carga acumulada del segmento, considerando la recuperación
 Pérdida de carga acumulada neta – total acumulado

Δp_t [Pa] : 26.12
 V_m [m/s] : 4.3
 V_v [m/s] : 3.9
 Δp_r [Pa] : 1.97
 Δp_{tn} [Pa] : 25.02
 $\Sigma \Delta p_{tn}$ [Pa] : 304.43

SEGMENTO 15:

Tipo: Tramo

1 ELEMENTO		2 Caudal Q	3 Diam. D/D _e	4 Ancho A	5 Alto B	6 Long. L	7 $\Delta p/L$	8 Fuente Tab	9 Ashrae X	10 Ashrae Y	11 Coeff. C _o	12 Veloc. V	13 P.Dinám P _v	14 Pérdida Δp_r o Δp_c
N. pz.	Cod.	[m³/h]	[mm]	[mm]	[mm]	[m]	[Pa/m]	n.	-	-	-	[m/s]	[Pa]	[Pa]
126	39RA	4030	520	800	300	0	0	IDELM	0.900		2.220	4.7	13.3	20.17
61	310R	4030	520	800	300	0.91	0.57					4.7	13.3	0.52

Pérdida de carga acumulada del segmento
 Velocidad en la sección inicial del segmento
 Velocidad en la sección final del segmento
 Recuperación de presión estática del segmento
 Pérdida de carga acumulada del segmento, considerando la recuperación
 Pérdida de carga acumulada neta – total acumulado

Δp_t [Pa] : 20.69
 V_m [m/s] : 3.9
 V_v [m/s] : 3.5
 Δp_r [Pa] : 1.78
 Δp_{tn} [Pa] : 20.27
 $\Sigma \Delta p_{tn}$ [Pa] : 324.7

SEGMENTO 17:

Tipo: Tramo

1 ELEMENTO		2 Caudal Q	3 Diam. D/D _e	4 Ancho A	5 Alto B	6 Long. L	7 $\Delta p/L$	8 Fuente Tab	9 Ashrae X	10 Ashrae Y	11 Coeff. C _o	12 Veloc. V	13 P.Dinám P _v	14 Pérdida Δp_r o Δp_c
N. pz.	Cod.	[m³/h]	[mm]	[mm]	[mm]	[m]	[Pa/m]	n.	-	-	-	[m/s]	[Pa]	[Pa]
129	39RA	3585	520	800	300	0	0	IDELM	0.889		2.190	4.1	10.12	16.11
132	283R	3585	457	600	300	0.45	0	5.1	30.000	1.330	0.050	5.5	18.21	0.92
67	310R	3585	457	600	300	0.91	0.88					5.5	18.21	0.8

Pérdida de carga acumulada del segmento
 Velocidad en la sección inicial del segmento
 Velocidad en la sección final del segmento
 Recuperación de presión estática del segmento
 Pérdida de carga acumulada del segmento, considerando la recuperación

Δp_t [Pa] : 17.83
 V_m [m/s] : 3.5
 V_v [m/s] : 5.5
 Δp_r [Pa] : -10.84
 Δp_{tn} [Pa] : 28.87

Pérdida de carga acumulada neta – total acumulado

 $\Sigma \Delta p_{tn}$ [Pa] : 353.58**SEGMENTO 19:****Tipo:** Tramo

1 ELEMENTO		2 Caudal Q	3 Diam. D/D _e	4 Ancho A	5 Alto B	6 Long. L	7 $\Delta p/L$	8 Fuente Tab	9 Ashrae X	10 Ashrae Y	11 Coeff. C _o	12 Veloc. V	13 P.Dinám P _v	14 Pérdida Δp_r o Δp_e
N. pz.	Cod.	[m³/h]	[mm]	[mm]	[mm]	[m]	[Pa/m]	n.	-	-	-	[m/s]	[Pa]	[Pa]
131	39RA	3135	457	600	300	0	0	IDELM	0.875		2.150	4.8	13.87	39.56
73	310R	3135	457	600	300	0.91	0.68					4.8	13.87	0.62

Pérdida de carga acumulada del segmento

 Δp_t [Pa] : 40.19

Velocidad en la sección inicial del segmento

 V_m [m/s] : 5.5

Velocidad en la sección final del segmento

 V_v [m/s] : 4.8

Recuperación de presión estática del segmento

 Δp_r [Pa] : 4.34

Pérdida de carga acumulada del segmento, considerando la recuperación

 Δp_{tn} [Pa] : 35.87

Pérdida de carga acumulada neta – total acumulado

 $\Sigma \Delta p_{tn}$ [Pa] : 389.45**SEGMENTO 21:****Tipo:** Tramo

1 ELEMENTO		2 Caudal Q	3 Diam. D/D _e	4 Ancho A	5 Alto B	6 Long. L	7 $\Delta p/L$	8 Fuente Tab	9 Ashrae X	10 Ashrae Y	11 Coeff. C _o	12 Veloc. V	13 P.Dinám P _v	14 Pérdida Δp_r o Δp_e
N. pz.	Cod.	[m³/h]	[mm]	[mm]	[mm]	[m]	[Pa/m]	n.	-	-	-	[m/s]	[Pa]	[Pa]
134	39RA	2690	457	600	300	0	0	IDELM	0.857		2.100	4.1	10.12	29.64
137	283R	2690	398	550	250	0.19	0	5.1	30.000	1.310	0.050	5.4	17.55	0.89
79	310R	2690	398	550	250	0.91	1.01					5.4	17.55	0.92

Pérdida de carga acumulada del segmento

 Δp_t [Pa] : 31.45

Velocidad en la sección inicial del segmento

 V_m [m/s] : 4.8

Velocidad en la sección final del segmento

 V_v [m/s] : 4.1

Recuperación de presión estática del segmento

 Δp_r [Pa] : 3.75

Pérdida de carga acumulada del segmento, considerando la recuperación

 Δp_{tn} [Pa] : 33.03

Pérdida de carga acumulada neta – total acumulado

 $\Sigma \Delta p_{tn}$ [Pa] : 422.48**SEGMENTO 23:****Tipo:** Tramo

1 ELEMENTO		2 Caudal Q	3 Diam. D/D _e	4 Ancho A	5 Alto B	6 Long. L	7 $\Delta p/L$	8 Fuente Tab	9 Ashrae X	10 Ashrae Y	11 Coeff. C _o	12 Veloc. V	13 P.Dinám P _v	14 Pérdida Δp_r o Δp_e
N. pz.	Cod.	[m³/h]	[mm]	[mm]	[mm]	[m]	[Pa/m]	n.	-	-	-	[m/s]	[Pa]	[Pa]
136	39RA	2240	398	550	250	0	0	IDELM	0.833		2.040	4.5	12.19	21.15
85	310R	2240	398	550	250	0.91	0.73					4.5	12.19	0.66

Pérdida de carga acumulada del segmento

 Δp_t [Pa] : 21.8

Velocidad en la sección inicial del segmento

 V_m [m/s] : 4.1

Velocidad en la sección final del segmento

 V_v [m/s] : 5

Recuperación de presión estática del segmento

 Δp_r [Pa] : -4.93

Pérdida de carga acumulada del segmento, considerando la recuperación

 Δp_{tn} [Pa] : 27.72

Pérdida de carga acumulada neta – total acumulado

 $\Sigma \Delta p_{tn}$ [Pa] : 450.2

SEGMENTO 25:**Tipo:** Tramo

1 ELEMENTO		2 Caudal Q	3 Diam. D/D _e	4 Ancho A	5 Alto B	6 Long. L	7 $\Delta p/L$	8 Fuente Tab	9 Ashrae X	10 Ashrae Y	11 Coeff. C _o	12 Veloc. V	13 P.Dinám P _v	14 Pérdida Δp_r o Δp_e
N. pz.	Cod.	[m³/h]	[mm]	[mm]	[mm]	[m]	[Pa/m]	n.	-	-	-	[m/s]	[Pa]	[Pa]
138	39RA	1790	398	550	250	0	0	IDELM	0.800		1.960	3.6	7.8	29.24
140	283R	1790	322	350	250	0.45	0	5.1	30.000	1.570	0.050	5.7	19.56	0.97
91	310R	1790	322	350	250	0.91	1.36					5.7	19.56	1.24

Pérdida de carga acumulada del segmento

 Δp_t [Pa] : 31.45

Velocidad en la sección inicial del segmento

 V_m [m/s] : 5

Velocidad en la sección final del segmento

 V_v [m/s] : 4

Recuperación de presión estática del segmento

 Δp_r [Pa] : 5.42

Pérdida de carga acumulada del segmento, considerando la recuperación

 Δp_{tn} [Pa] : 27.06

Pérdida de carga acumulada neta – total acumulado

 $\Sigma \Delta p_{tn}$ [Pa] : 477.26**SEGMENTO 27:****Tipo:** Tramo

1 ELEMENTO		2 Caudal Q	3 Diam. D/D _e	4 Ancho A	5 Alto B	6 Long. L	7 $\Delta p/L$	8 Fuente Tab	9 Ashrae X	10 Ashrae Y	11 Coeff. C _o	12 Veloc. V	13 P.Dinám P _v	14 Pérdida Δp_r o Δp_e
N. pz.	Cod.	[m³/h]	[mm]	[mm]	[mm]	[m]	[Pa/m]	n.	-	-	-	[m/s]	[Pa]	[Pa]
139	39RA	1345	322	350	250	0	0	IDELM	0.750		1.840	4.3	11.13	17.6
97	310R	1345	322	350	250	0.91	0.79					4.3	11.13	0.72

Pérdida de carga acumulada del segmento

 Δp_t [Pa] : 18.32

Velocidad en la sección inicial del segmento

 V_m [m/s] : 4

Velocidad en la sección final del segmento

 V_v [m/s] : 4.7

Recuperación de presión estática del segmento

 Δp_r [Pa] : -3.67

Pérdida de carga acumulada del segmento, considerando la recuperación

 Δp_{tn} [Pa] : 23.09

Pérdida de carga acumulada neta – total acumulado

 $\Sigma \Delta p_{tn}$ [Pa] : 500.35**SEGMENTO 31:****Tipo:** Terminal TRM-7

1 ELEMENTO		2 Caudal Q	3 Diam. D/D _e	4 Ancho A	5 Alto B	6 Long. L	7 $\Delta p/L$	8 Fuente Tab	9 Ashrae X	10 Ashrae Y	11 Coeff. C _o	12 Veloc. V	13 P.Dinám P _v	14 Pérdida Δp_r o Δp_e
N. pz.	Cod.	[m³/h]	[mm]	[mm]	[mm]	[m]	[Pa/m]	n.	-	-	-	[m/s]	[Pa]	[Pa]
141	39RA	450	498	915	250	0	0	IDELM	0.128		1.030	0.5	0.15	13.53
108	310R	450	498	915	250	0.08	0					0.5	0.15	0
110	05LR	450	915	915	250	0	0	MC4				0.5	0.15	63.36

Pérdida de carga acumulada del segmento

 Δp_t [Pa] : 13.53

Velocidad en la sección inicial del segmento

 V_m [m/s] : 4.7

Velocidad en la sección final del segmento

 V_v [m/s] : 0.5

Recuperación de presión estática del segmento

 Δp_r [Pa] : 13.15

Pérdida de carga acumulada del segmento, considerando la recuperación

 Δp_{tn} [Pa] : 0.68

Pérdida de carga acumulada neta – total acumulado

 $\Sigma \Delta p_{tn}$ [Pa] : 564.4

Desequilibrio del terminal respecto al camino más desfavorable

 Δp_{Tmr} [Pa] : 45.81**SEGMENTO 30:**

Tipo: Tramo

1 ELEMENTO		2 Caudal Q	3 Diam. D/D _e	4 Ancho A	5 Alto B	6 Long. L	7 $\Delta p/L$	8 Fuente Tab	9 Ashrae X	10 Ashrae Y	11 Coeff. C _o	12 Veloc. V	13 P.Dinám P _v	14 Pérdida Δp_r o Δp_e
N. pz.	Cod.	[m³/h]	[mm]	[mm]	[mm]	[m]	[Pa/m]	n.	-	-	-	[m/s]	[Pa]	[Pa]
142	39RA	895	322	350	250	0	0	IDELM	0.667		1.670	2.8	4.72	21.85
145	283R	895	244	200	250	0.36	0	5.1	30.000	1.750	0.050	5	15.05	4.47
100	310R	895	244	200	250	0.91	1.48					5	15.05	1.35

Pérdida de carga acumulada del segmento	Δp_t	[Pa]	: 27.67
Velocidad en la sección inicial del segmento	V_m	[m/s]	: 4.7
Velocidad en la sección final del segmento	V_v	[m/s]	: 3.6
Recuperación de presión estática del segmento	Δp_r	[Pa]	: 5.5
Pérdida de carga acumulada del segmento, considerando la recuperación	Δp_{tm}	[Pa]	: 22.92
Pérdida de carga acumulada neta – total acumulado	$\Sigma \Delta p_{tm}$	[Pa]	: 523.27

SEGMENTO 29:**Tipo:** Terminal TRM-7

1 ELEMENTO		2 Caudal Q	3 Diam. D/D _e	4 Ancho A	5 Alto B	6 Long. L	7 $\Delta p/L$	8 Fuente Tab	9 Ashrae X	10 Ashrae Y	11 Coeff. C _o	12 Veloc. V	13 P.Dinám P _v	14 Pérdida Δp_r o Δp_e
N. pz.	Cod.	[m³/h]	[mm]	[mm]	[mm]	[m]	[Pa/m]	n.	-	-	-	[m/s]	[Pa]	[Pa]
143	39RA	450	498	915	250	0	0	IDELM	0.109		1.050	0.5	0.15	8.03
105	310R	450	498	915	250	0.08	0					0.5	0.15	0
107	05LR	450	915	915	250	0	0	MC4				0.5	0.15	63.36

Pérdida de carga acumulada del segmento	Δp_t	[Pa]	: 8.03
Velocidad en la sección inicial del segmento	V_m	[m/s]	: 3.6
Velocidad en la sección final del segmento	V_v	[m/s]	: 0.5
Recuperación de presión estática del segmento	Δp_r	[Pa]	: 7.65
Pérdida de carga acumulada del segmento, considerando la recuperación	Δp_{tm}	[Pa]	: 0.68
Pérdida de carga acumulada neta – total acumulado	$\Sigma \Delta p_{tm}$	[Pa]	: 587.32
Desequilibrio del terminal respecto al camino más desfavorable	Δp_{Tmr}	[Pa]	: 22.89

SEGMENTO 28:**Tipo:** Terminal TRM-7

1 ELEMENTO		2 Caudal Q	3 Diam. D/D _e	4 Ancho A	5 Alto B	6 Long. L	7 $\Delta p/L$	8 Fuente Tab	9 Ashrae X	10 Ashrae Y	11 Coeff. C _o	12 Veloc. V	13 P.Dinám P _v	14 Pérdida Δp_r o Δp_e
N. pz.	Cod.	[m³/h]	[mm]	[mm]	[mm]	[m]	[Pa/m]	n.	-	-	-	[m/s]	[Pa]	[Pa]
144	39RA	450	244	200	250	0	0	IDELM	0.500		1.380	2.5	3.76	10.46
101	310R	450	244	200	250	0.91	0.41					2.5	3.76	0.37
99	10RAT	450	244	200	250	0	0	2.6f	1.000	1.020	2.800	2.5	3.76	18.56
102	310R	450	498	915	250	0.08	0					0.5	0.15	0
104	05LR	450	915	915	250	0	0	MC4				0.5	0.15	63.36

Pérdida de carga acumulada del segmento	Δp_t	[Pa]	: 29.4
Velocidad en la sección inicial del segmento	V_m	[m/s]	: 3.6
Velocidad en la sección final del segmento	V_v	[m/s]	: 0.5
Recuperación de presión estática del segmento	Δp_r	[Pa]	: 7.65
Pérdida de carga acumulada del segmento, considerando la recuperación	Δp_{tm}	[Pa]	: 23.57
Pérdida de carga acumulada neta – total acumulado	$\Sigma \Delta p_{tm}$	[Pa]	: 610.2

SEGMENTO 26:**Tipo:** Terminal TRM-7

1 ELEMENTO		2 Caudal Q	3 Diam. D/D _e	4 Ancho A	5 Alto B	6 Long. L	7 $\Delta p/L$	8 Fuente Tab	9 Ashrae X	10 Ashrae Y	11 Coeff. C _o	12 Veloc. V	13 P.Dinám P _v	14 Pérdida Δp_r o Δp_e
N. pz.	Cod.	[m³/h]	[mm]	[mm]	[mm]	[m]	[Pa/m]	n.	-	-	-	[m/s]	[Pa]	[Pa]
95	39RA	450	498	915	250	0	0	IDELM	0.096		1.030	0.5	0.15	9.81
94	310R	450	498	915	250	0.08	0					0.5	0.15	0
96	05LR	450	915	915	250	0	0	MC4				0.5	0.15	63.36

Pérdida de carga acumulada del segmento	Δp_t	[Pa]	: 9.81
Velocidad en la sección inicial del segmento	V_m	[m/s]	: 4
Velocidad en la sección final del segmento	V_v	[m/s]	: 0.5
Recuperación de presión estática del segmento	Δp_r	[Pa]	: 9.48
Pérdida de carga acumulada del segmento, considerando la recuperación	Δp_{tn}	[Pa]	: 0.45
Pérdida de carga acumulada neta – total acumulado	$\Sigma \Delta p_{tn}$	[Pa]	: 541.07
Desequilibrio del terminal respecto al camino más desfavorable	Δp_{Tmr}	[Pa]	: 69.13

SEGMENTO 24:**Tipo:** Terminal TRM-7

1 ELEMENTO		2 Caudal Q	3 Diam. D/D _e	4 Ancho A	5 Alto B	6 Long. L	7 $\Delta p/L$	8 Fuente Tab	9 Ashrae X	10 Ashrae Y	11 Coeff. C _o	12 Veloc. V	13 P.Dinám P _v	14 Pérdida Δp_r o Δp_e
N. pz.	Cod.	[m³/h]	[mm]	[mm]	[mm]	[m]	[Pa/m]	n.	-	-	-	[m/s]	[Pa]	[Pa]
89	39RA	450	498	915	250	0	0	IDELM	0.120		1.020	0.5	0.15	15.18
88	310R	450	498	915	250	0.08	0					0.5	0.15	0
90	05LR	450	915	915	250	0	0	MC4				0.5	0.15	63.36

Pérdida de carga acumulada del segmento	Δp_t	[Pa]	: 15.18
Velocidad en la sección inicial del segmento	V_m	[m/s]	: 5
Velocidad en la sección final del segmento	V_v	[m/s]	: 0.5
Recuperación de presión estática del segmento	Δp_r	[Pa]	: 14.9
Pérdida de carga acumulada del segmento, considerando la recuperación	Δp_{tn}	[Pa]	: 0.45
Pérdida de carga acumulada neta – total acumulado	$\Sigma \Delta p_{tn}$	[Pa]	: 514.01
Desequilibrio del terminal respecto al camino más desfavorable	Δp_{Tmr}	[Pa]	: 96.19

SEGMENTO 22:**Tipo:** Terminal TRM-7

1 ELEMENTO		2 Caudal Q	3 Diam. D/D _e	4 Ancho A	5 Alto B	6 Long. L	7 $\Delta p/L$	8 Fuente Tab	9 Ashrae X	10 Ashrae Y	11 Coeff. C _o	12 Veloc. V	13 P.Dinám P _v	14 Pérdida Δp_r o Δp_e
N. pz.	Cod.	[m³/h]	[mm]	[mm]	[mm]	[m]	[Pa/m]	n.	-	-	-	[m/s]	[Pa]	[Pa]
83	39RA	450	498	915	250	0	0	IDELM	0.100		1.020	0.5	0.15	10.54
82	310R	450	498	915	250	0.08	0					0.5	0.15	0
84	05LR	450	915	915	250	0	0	MC4				0.5	0.15	63.36

Pérdida de carga acumulada del segmento	Δp_t	[Pa]	: 10.55
Velocidad en la sección inicial del segmento	V_m	[m/s]	: 4.1
Velocidad en la sección final del segmento	V_v	[m/s]	: 0.5
Recuperación de presión estática del segmento	Δp_r	[Pa]	: 9.97
Pérdida de carga acumulada del segmento, considerando la recuperación	Δp_{tn}	[Pa]	: 0.37
Pérdida de carga acumulada neta – total acumulado	$\Sigma \Delta p_{tn}$	[Pa]	: 486.22
Desequilibrio del terminal respecto al camino más desfavorable	Δp_{Tmr}	[Pa]	: 123.99

SEGMENTO 20:

Tipo: Terminal TRM-7

1 ELEMENTO		2 Caudal Q	3 Diam. D/D _e	4 Ancho A	5 Alto B	6 Long. L	7 $\Delta p/L$	8 Fuente Tab	9 Ashrae X	10 Ashrae Y	11 Coeff. C _o	12 Veloc. V	13 P.Dinám P _v	14 Pérdida Δp_r o Δp_e
N. pz.	Cod.	[m³/h]	[mm]	[mm]	[mm]	[m]	[Pa/m]	n.	-	-	-	[m/s]	[Pa]	[Pa]
77	39RA	450	552	915	300	0	0	IDELM	0.094		1.010	0.5	0.15	14.28
135	283R	450	498	915	250	0.04	0	5.1	30.000	1.200	0.050	0.5	0.15	0.01
76	310R	450	498	915	250	0.08	0					0.5	0.15	0
78	05LR	450	915	915	250	0	0	MC4				0.5	0.15	63.36

Pérdida de carga acumulada del segmento

Δp_t [Pa] : 14.29

Velocidad en la sección inicial del segmento

V_m [m/s] : 4.8

Velocidad en la sección final del segmento

V_v [m/s] : 0.5

Recuperación de presión estática del segmento

Δp_r [Pa] : 13.72

Pérdida de carga acumulada del segmento, considerando la recuperación

Δp_{tn} [Pa] : 0.37

Pérdida de carga acumulada neta – total acumulado

$\Sigma \Delta p_{tn}$ [Pa] : 453.18

Desequilibrio del terminal respecto al camino más desfavorable

Δp_{Tmr} [Pa] : 157.02

SEGMENTO 18:

Tipo: Terminal TRM-7

1 ELEMENTO		2 Caudal Q	3 Diam. D/D _e	4 Ancho A	5 Alto B	6 Long. L	7 $\Delta p/L$	8 Fuente Tab	9 Ashrae X	10 Ashrae Y	11 Coeff. C _o	12 Veloc. V	13 P.Dinám P _v	14 Pérdida Δp_r o Δp_e
N. pz.	Cod.	[m³/h]	[mm]	[mm]	[mm]	[m]	[Pa/m]	n.	-	-	-	[m/s]	[Pa]	[Pa]
71	39RA	450	552	915	300	0	0	IDELM	0.082		1.010	0.5	0.15	18.6
133	283R	450	498	915	250	0.04	0	5.1	30.000	1.200	0.050	0.5	0.15	0.01
70	310R	450	498	915	250	0.08	0					0.5	0.15	0
72	05LR	450	915	915	250	0	0	MC4				0.5	0.15	63.36

Pérdida de carga acumulada del segmento

Δp_t [Pa] : 18.61

Velocidad en la sección inicial del segmento

V_m [m/s] : 5.5

Velocidad en la sección final del segmento

V_v [m/s] : 0.5

Recuperación de presión estática del segmento

Δp_r [Pa] : 18.06

Pérdida de carga acumulada del segmento, considerando la recuperación

Δp_{tn} [Pa] : 0.37

Pérdida de carga acumulada neta – total acumulado

$\Sigma \Delta p_{tn}$ [Pa] : 417.31

Desequilibrio del terminal respecto al camino más desfavorable

Δp_{Tmr} [Pa] : 192.89

SEGMENTO 16:

Tipo: Terminal TRM-7

1 ELEMENTO		2 Caudal Q	3 Diam. D/D _e	4 Ancho A	5 Alto B	6 Long. L	7 $\Delta p/L$	8 Fuente Tab	9 Ashrae X	10 Ashrae Y	11 Coeff. C _o	12 Veloc. V	13 P.Dinám P _v	14 Pérdida Δp_r o Δp_e
N. pz.	Cod.	[m³/h]	[mm]	[mm]	[mm]	[m]	[Pa/m]	n.	-	-	-	[m/s]	[Pa]	[Pa]
65	39RA	450	552	915	300	0	0	IDELM	0.097		1.010	0.5	0.15	7.48
130	283R	450	498	915	250	0.04	0	5.1	30.000	1.200	0.050	0.5	0.15	0.01
64	310R	450	498	915	250	0.08	0					0.5	0.15	0
66	05LR	450	915	915	250	0	0	MC4				0.5	0.15	63.36

Pérdida de carga acumulada del segmento

Δp_t [Pa] : 7.49

Velocidad en la sección inicial del segmento

V_m [m/s] : 3.5

Velocidad en la sección final del segmento

V_v [m/s] : 0.5

Recuperación de presión estática del segmento	Δp_r	[Pa]	: 7.22
Pérdida de carga acumulada del segmento, considerando la recuperación	Δp_{tn}	[Pa]	: 0.29
Pérdida de carga acumulada neta – total acumulado	$\Sigma \Delta p_{tn}$	[Pa]	: 388.36
Desequilibrio del terminal respecto al camino más desfavorable	Δp_{Tmr}	[Pa]	: 221.84

SEGMENTO 14:

Tipo: Terminal TRM-7

1 ELEMENTO		2 Caudal Q	3 Diam. D/D _e	4 Ancho A	5 Alto B	6 Long. L	7 $\Delta p/L$	8 Fuente Tab	9 Ashrae X	10 Ashrae Y	11 Coeff. C _o	12 Veloc. V	13 P.Dinám P _v	14 Pérdida Δp_r o Δp_e
N. pz.	Cod.	[m³/h]	[mm]	[mm]	[mm]	[m]	[Pa/m]	n.	-	-	-	[m/s]	[Pa]	[Pa]
59	39RA	450	552	915	300	0	0	IDELM	0.087		1.010	0.5	0.15	9.21
128	283R	450	498	915	250	0.04	0	5.1	30.000	1.200	0.050	0.5	0.15	0.01
58	310R	450	498	915	250	0.08	0					0.5	0.15	0
60	05LR	450	915	915	250	0	0	MC4				0.5	0.15	63.36

Pérdida de carga acumulada del segmento	Δp_t	[Pa]	: 9.22
Velocidad en la sección inicial del segmento	V_m	[m/s]	: 3.9
Velocidad en la sección final del segmento	V_v	[m/s]	: 0.5
Recuperación de presión estática del segmento	Δp_r	[Pa]	: 9.01
Pérdida de carga acumulada del segmento, considerando la recuperación	Δp_{tn}	[Pa]	: 0.29
Pérdida de carga acumulada neta – total acumulado	$\Sigma \Delta p_{tn}$	[Pa]	: 368.09
Desequilibrio del terminal respecto al camino más desfavorable	Δp_{Tmr}	[Pa]	: 242.12

SEGMENTO 12:

Tipo: Terminal TRM-7

1 ELEMENTO		2 Caudal Q	3 Diam. D/D _e	4 Ancho A	5 Alto B	6 Long. L	7 $\Delta p/L$	8 Fuente Tab	9 Ashrae X	10 Ashrae Y	11 Coeff. C _o	12 Veloc. V	13 P.Dinám P _v	14 Pérdida Δp_r o Δp_e
N. pz.	Cod.	[m³/h]	[mm]	[mm]	[mm]	[m]	[Pa/m]	n.	-	-	-	[m/s]	[Pa]	[Pa]
53	39RA	450	648	915	400	0	0	IDELM	0.079		1.010	0.3	0.05	11.12
125	283R	450	498	915	250	0.13	0	5.1	30.000	1.600	0.050	0.5	0.15	0.01
52	310R	450	498	915	250	0.08	0					0.5	0.15	0
54	05LR	450	915	915	250	0	0	MC4				0.5	0.15	63.36

Pérdida de carga acumulada del segmento	Δp_t	[Pa]	: 11.13
Velocidad en la sección inicial del segmento	V_m	[m/s]	: 4.3
Velocidad en la sección final del segmento	V_v	[m/s]	: 0.5
Recuperación de presión estática del segmento	Δp_r	[Pa]	: 10.98
Pérdida de carga acumulada del segmento, considerando la recuperación	Δp_{tn}	[Pa]	: 0.29
Pérdida de carga acumulada neta – total acumulado	$\Sigma \Delta p_{tn}$	[Pa]	: 343.07
Desequilibrio del terminal respecto al camino más desfavorable	Δp_{Tmr}	[Pa]	: 267.13

SEGMENTO 10:

Tipo: Terminal TRM-7

1 ELEMENTO		2 Caudal Q	3 Diam. D/D _e	4 Ancho A	5 Alto B	6 Long. L	7 $\Delta p/L$	8 Fuente Tab	9 Ashrae X	10 Ashrae Y	11 Coeff. C _o	12 Veloc. V	13 P.Dinám P _v	14 Pérdida Δp_r o Δp_e
N. pz.	Cod.	[m³/h]	[mm]	[mm]	[mm]	[m]	[Pa/m]	n.	-	-	-	[m/s]	[Pa]	[Pa]
47	39RA	450	648	915	400	0	0	IDELM	0.073		1.010	0.3	0.05	13.21
123	283R	450	498	915	250	0.13	0	5.1	30.000	1.600	0.050	0.5	0.15	0.01
46	310R	450	498	915	250	0.08	0					0.5	0.15	0
48	05LR	450	915	915	250	0	0	MC4				0.5	0.15	63.36

Pérdida de carga acumulada del segmento	Δp_t	[Pa]	: 13.22
Velocidad en la sección inicial del segmento	V_m	[m/s]	: 4.7
Velocidad en la sección final del segmento	V_v	[m/s]	: 0.5
Recuperación de presión estática del segmento	Δp_r	[Pa]	: 13.15
Pérdida de carga acumulada del segmento, considerando la recuperación	Δp_{tn}	[Pa]	: 0.29
Pérdida de carga acumulada neta – total acumulado	$\Sigma \Delta p_{tn}$	[Pa]	: 315.18
Desequilibrio del terminal respecto al camino más desfavorable	Δp_{Tmr}	[Pa]	: 295.02

SEGMENTO 8:

Tipo: Terminal TRM-7

1 ELEMENTO		2 Caudal Q	3 Diam. D/D _e	4 Ancho A	5 Alto B	6 Long. L	7 $\Delta p/L$	8 Fuente Tab	9 Ashrae X	10 Ashrae Y	11 Coeff. C _o	12 Veloc. V	13 P.Dinám P _v	14 Pérdida Δp_r o Δp_e
N. pz.	Cod.	[m³/h]	[mm]	[mm]	[mm]	[m]	[Pa/m]	n.	-	-	-	[m/s]	[Pa]	[Pa]
41	39RA	450	648	915	400	0	0	IDELM	0.076		1.010	0.3	0.05	15.49
120	283R	450	498	915	250	0.13	0	5.1	30.000	1.600	0.050	0.5	0.15	0.01
40	310R	450	498	915	250	0.08	0					0.5	0.15	0
42	05LR	450	915	915	250	0	0	MC4				0.5	0.15	63.36

Pérdida de carga acumulada del segmento	Δp_t	[Pa]	: 15.5
Velocidad en la sección inicial del segmento	V_m	[m/s]	: 5.1
Velocidad en la sección final del segmento	V_v	[m/s]	: 0.5
Recuperación de presión estática del segmento	Δp_r	[Pa]	: 15.51
Pérdida de carga acumulada del segmento, considerando la recuperación	Δp_{tn}	[Pa]	: 0.29
Pérdida de carga acumulada neta – total acumulado	$\Sigma \Delta p_{tn}$	[Pa]	: 282
Desequilibrio del terminal respecto al camino más desfavorable	Δp_{Tmr}	[Pa]	: 328.2

SEGMENTO 6:

Tipo: Terminal TRM-7

1 ELEMENTO		2 Caudal Q	3 Diam. D/D _e	4 Ancho A	5 Alto B	6 Long. L	7 $\Delta p/L$	8 Fuente Tab	9 Ashrae X	10 Ashrae Y	11 Coeff. C _o	12 Veloc. V	13 P.Dinám P _v	14 Pérdida Δp_r o Δp_e
N. pz.	Cod.	[m³/h]	[mm]	[mm]	[mm]	[m]	[Pa/m]	n.	-	-	-	[m/s]	[Pa]	[Pa]
35	39RA	450	648	915	400	0	0	IDELM	0.070		1.010	0.3	0.05	17.95
118	283R	450	498	915	250	0.13	0	5.1	30.000	1.600	0.050	0.5	0.15	0.01
34	310R	450	498	915	250	0.08	0					0.5	0.15	0
36	05LR	450	915	915	250	0	0	MC4				0.5	0.15	63.36

Pérdida de carga acumulada del segmento	Δp_t	[Pa]	: 17.96
Velocidad en la sección inicial del segmento	V_m	[m/s]	: 5.4
Velocidad en la sección final del segmento	V_v	[m/s]	: 0.5
Recuperación de presión estática del segmento	Δp_r	[Pa]	: 17.4
Pérdida de carga acumulada del segmento, considerando la recuperación	Δp_{tn}	[Pa]	: 0.29
Pérdida de carga acumulada neta – total acumulado	$\Sigma \Delta p_{tn}$	[Pa]	: 237.78
Desequilibrio del terminal respecto al camino más desfavorable	Δp_{Tmr}	[Pa]	: 372.42

SEGMENTO 4:

Tipo: Terminal TRM-7

1 ELEMENTO		2 Caudal Q	3 Diam. D/D _e	4 Ancho A	5 Alto B	6 Long. L	7 $\Delta p/L$	8 Fuente Tab	9 Ashrae X	10 Ashrae Y	11 Coeff. C _o	12 Veloc. V	13 P.Dinám P _v	14 Pérdida Δp_r o Δp_e
N. pz.	Cod.	[m³/h]	[mm]	[mm]	[mm]	[m]	[Pa/m]	n.	-	-	-	[m/s]	[Pa]	[Pa]

29	39RA	450	648	915	400	0	0	IDELM	0.066		1.010	0.3	0.05	20.59
116	283R	450	498	915	250	0.13	0	5.1	30.000	1.600	0.050	0.5	0.15	0.01
28	310R	450	498	915	250	0.08	0					0.5	0.15	0
30	05LR	450	915	915	250	0	0	MC4				0.5	0.15	63.36

Pérdida de carga acumulada del segmento	Δp_t	[Pa]	: 20.6
Velocidad en la sección inicial del segmento	V_m	[m/s]	: 5.8
Velocidad en la sección final del segmento	V_v	[m/s]	: 0.5
Recuperación de presión estática del segmento	Δp_r	[Pa]	: 20.1
Pérdida de carga acumulada del segmento, considerando la recuperación	Δp_{tn}	[Pa]	: 0.29
Pérdida de carga acumulada neta – total acumulado	$\Sigma \Delta p_{tn}$	[Pa]	: 186.51
Desequilibrio del terminal respecto al camino más desfavorable	Δp_{Tmr}	[Pa]	: 423.69

SEGMENTO 2:

Tipo: Terminal TRM-7

1 ELEMENTO		2 Caudal Q	3 Diam. D/D _e	4 Ancho A	5 Alto B	6 Long. L	7 $\Delta p/L$	8 Fuente Tab	9 Ashrae X	10 Ashrae Y	11 Coeff. C _o	12 Veloc. V	13 P.Dinám P _v	14 Pérdida Δp_r o Δp_c
N. pz.	Cod.	[m³/h]	[mm]	[mm]	[mm]	[m]	[Pa/m]	n.	-	-	-	[m/s]	[Pa]	[Pa]
23	39RA	450	648	915	400	0	0	IDELM	0.061		1.010	0.3	0.05	9.61
114	283R	450	498	915	250	0.13	0	5.1	30.000	1.600	0.050	0.5	0.15	0.01
22	310R	450	498	915	250	0.08	0					0.5	0.15	0
24	05LR	450	915	915	250	0	0	MC4				0.5	0.15	63.36

Pérdida de carga acumulada del segmento	Δp_t	[Pa]	: 9.62
Velocidad en la sección inicial del segmento	V_m	[m/s]	: 4
Velocidad en la sección final del segmento	V_v	[m/s]	: 0.5
Recuperación de presión estática del segmento	Δp_r	[Pa]	: 9.48
Pérdida de carga acumulada del segmento, considerando la recuperación	Δp_{tn}	[Pa]	: 0.25
Pérdida de carga acumulada neta – total acumulado	$\Sigma \Delta p_{tn}$	[Pa]	: 151.09
Desequilibrio del terminal respecto al camino más desfavorable	Δp_{Tmr}	[Pa]	: 459.11

DATOS GENERALES**Cliente:****Ciudad:** Alicante**Proyectista:****SISTEMA:****Nº Expediente:****Dibujo n.:****Referencia:****Construcción:****Sistema:****Zona:** CL Escenario SA retorno**Circuito:****Altitud s.n.m** [m]: 7 **Altura** [m]: 0**Temperatura aire** [°C]: 20 **Humedad Relativa aire** [%]:**Método de cálculo: DIMENSIONADO DEL LA RED CON EL METODO DE PERDIDA DE CARGA CONSTANTE****DATOS DE CALCULO****Viscosidad del aire** [Pa*s]: 0.01816**Densidad del aire** [kg/m³]: 1.2**Revestimiento interior** :**Espesor** [mm]: 0**Rugosidad pared** [mm]: 0.15**CONDUCTOS Ratio B/A:** 0.5**OPCIONES****Tipo de cálculo elegido:** : 2

- Pérdida de carga distribuida [Pa/m]: 0.8
- Máxima velocidad en los tramos [m/s]: 6
- Máxima velocidad en los ramales [m/s]: 6

Cálculo con dimensiones normalizadas [Si/No]: Si

- Paso para el cálculo con dimensiones no normalizadas [mm]: 0
- Dimensión mínima [mm]: 0
- Dimensión máxima [mm]: 0

LIMITES**Mínimo desequilibrio para justificar el equilibrado y la inserción de compuertas en ramales** (Δp_{mr}) [Pa]: 10**Mínimo desequilibrio para justificar el equilibrado y la inserción de compuertas en terminales** (Δp_{msr}) [Pa]: 10**Máxima pérdida de carga admisible para las compuertas en terminales** (Δp_{MT}) [Pa]: 0**MAXIMA PERDIDA****Presión total para el camino más desfavorable** [Pa]: 610.38**Presión estática para el camino más desfavorable** [Pa]: 628.8**CAMINO MAS DESFAVOR.**

000-001-003-005-007-009-011-013-015-017-019-021-023-025-027-030-028

SEGMENTO 1:

Tipo: Tramo

1 ELEMENTO		2 Caudal Q	3 Diam. D/D _e	4 Ancho A	5 Alto B	6 Long. L	7 $\Delta p/L$	8 Fuente Tab	9 Ashrae X	10 Ashrae Y	11 Coeff. C _o	12 Veloc. V	13 P.Dinám P _v	14 Pérdida Δp_r o Δp_c
N. pz.	Cod.	[m³/h]	[mm]	[mm]	[mm]	[m]	[Pa/m]	n.	-	-	-	[m/s]	[Pa]	[Pa]
1	310R	7170	656	600	600	0.61	0.54					5.5	18.21	0.33
2	079R	7170	656	600	600	0	0	3.5	1.000	0.833	0.163	5.5	18.21	8.07
3	310R	7170	656	600	600	1.83	0.54					5.5	18.21	0.98
5	079R	7170	656	600	600	0	0	3.5	1.000	0.833	0.163	5.5	18.21	8.07
6	310R	7170	656	600	600	0.74	0.54					5.5	18.21	0.4
8	079R	7170	656	600	600	0	0	3.5	1.000	0.833	0.363	5.5	18.21	6.69
9	310R	7170	656	600	600	3.22	0.53					5.5	18.21	1.72
112	023R	7170	656	600	600	0.36	0	4.3	30.000	1.000	0.300	5.5	18.21	5.52
12	310R	7170	643	900	400	3.1	0.59					5.5	18.21	1.83
11	079R	7170	643	900	400	0	0	3.5	0.444	0.722	0.617	5.5	18.21	10.08
13	310R	7170	643	900	400	0.67	0.58					5.5	18.21	0.39
15	079R	7170	643	900	400	0	0	3.5	0.444	0.722	0.481	5.5	18.21	8.86
16	310R	7170	643	900	400	1.24	0.59					5.5	18.21	0.73
18	079R	7170	643	900	400	0	0	3.5	0.444	0.722	0.481	5.5	18.21	6.21
19	310R	7170	643	900	400	0.49	0.59					5.5	18.21	0.29

Pérdida de carga acumulada del segmento

Δp_t [Pa] : 60.18

Velocidad en la sección inicial del segmento

V_m [m/s] : 5.5

Velocidad en la sección final del segmento

V_v [m/s] : 4

Recuperación de presión estática del segmento

Δp_r [Pa] : 8.58

Pérdida de carga acumulada del segmento, considerando la recuperación

Δp_{tm} [Pa] : 87.47

Pérdida de carga acumulada neta – total acumulado

$\Sigma \Delta p_{tm}$ [Pa] : 87.47

SEGMENTO 3:

Tipo: Tramo

1 ELEMENTO		2 Caudal Q	3 Diam. D/D _e	4 Ancho A	5 Alto B	6 Long. L	7 $\Delta p/L$	8 Fuente Tab	9 Ashrae X	10 Ashrae Y	11 Coeff. C _o	12 Veloc. V	13 P.Dinám P _v	14 Pérdida Δp_r o Δp_c
N. pz.	Cod.	[m³/h]	[mm]	[mm]	[mm]	[m]	[Pa/m]	n.	-	-	-	[m/s]	[Pa]	[Pa]
113	39RA	6720	643	900	400	0	0	IDELM	0.938		2.320	5.2	16.28	22.13
25	310R	6720	643	900	400	0.91	0.53					5.2	16.28	0.48

Pérdida de carga acumulada del segmento

Δp_t [Pa] : 22.61

Velocidad en la sección inicial del segmento

V_m [m/s] : 4

Velocidad en la sección final del segmento

V_v [m/s] : 5.8

Recuperación de presión estática del segmento

Δp_r [Pa] : -10.62

Pérdida de carga acumulada del segmento, considerando la recuperación

Δp_{tm} [Pa] : 35.38

Pérdida de carga acumulada neta – total acumulado

$\Sigma \Delta p_{tm}$ [Pa] : 122.85

SEGMENTO 5:

Tipo: Tramo

1 ELEMENTO		2 Caudal Q	3 Diam. D/D _e	4 Ancho A	5 Alto B	6 Long. L	7 $\Delta p/L$	8 Fuente Tab	9 Ashrae X	10 Ashrae Y	11 Coeff. C _o	12 Veloc. V	13 P.Dinám P _v	14 Pérdida Δp_r o Δp_c
N. pz.	Cod.	[m³/h]	[mm]	[mm]	[mm]	[m]	[Pa/m]	n.	-	-	-	[m/s]	[Pa]	[Pa]
115	39RA	6270	643	900	400	0	0	IDELM	0.933		2.310	4.8	13.87	47.25
31	310R	6270	643	900	400	0.91	0.46					4.8	13.87	0.42

Pérdida de carga acumulada del segmento	Δp_t	[Pa]	: 47.67
Velocidad en la sección inicial del segmento	V_m	[m/s]	: 5.8
Velocidad en la sección final del segmento	V_v	[m/s]	: 5.4
Recuperación de presión estática del segmento	Δp_r	[Pa]	: 2.7
Pérdida de carga acumulada del segmento, considerando la recuperación	Δp_{tn}	[Pa]	: 51.27
Pérdida de carga acumulada neta – total acumulado	$\Sigma \Delta p_{tn}$	[Pa]	: 174.13

SEGMENTO 7:

Tipo: Tramo

1 ELEMENTO		2 Caudal Q	3 Diam. D/D _e	4 Ancho A	5 Alto B	6 Long. L	7 $\Delta p/L$	8 Fuente Tab	9 Ashrae X	10 Ashrae Y	11 Coeff. C _o	12 Veloc. V	13 P.Dinám P _v	14 Pérdida Δp_r o Δp_c
N. pz.	Cod.	[m³/h]	[mm]	[mm]	[mm]	[m]	[Pa/m]	n.	-	-	-	[m/s]	[Pa]	[Pa]
117	39RA	5825	643	900	400	0	0	IDELM	0.929		2.290	4.5	12.19	40.92
37	310R	5825	643	900	400	0.91	0.4					4.5	12.19	0.36

Pérdida de carga acumulada del segmento	Δp_t	[Pa]	: 41.29
Velocidad en la sección inicial del segmento	V_m	[m/s]	: 5.4
Velocidad en la sección final del segmento	V_v	[m/s]	: 5.1
Recuperación de presión estática del segmento	Δp_r	[Pa]	: 1.9
Pérdida de carga acumulada del segmento, considerando la recuperación	Δp_{tn}	[Pa]	: 44.21
Pérdida de carga acumulada neta – total acumulado	$\Sigma \Delta p_{tn}$	[Pa]	: 218.34

SEGMENTO 9:

Tipo: Tramo

1 ELEMENTO		2 Caudal Q	3 Diam. D/D _e	4 Ancho A	5 Alto B	6 Long. L	7 $\Delta p/L$	8 Fuente Tab	9 Ashrae X	10 Ashrae Y	11 Coeff. C _o	12 Veloc. V	13 P.Dinám P _v	14 Pérdida Δp_r o Δp_c
N. pz.	Cod.	[m³/h]	[mm]	[mm]	[mm]	[m]	[Pa/m]	n.	-	-	-	[m/s]	[Pa]	[Pa]
119	39RA	5375	643	900	400	0	0	IDELM	0.923		2.280	4.1	10.12	35.05
122	283R	5375	609	800	400	0.27	0	5.1	30.000	1.130	0.050	4.7	13.3	0
43	310R	5375	609	800	400	0.91	0.45					4.7	13.3	0.41

Pérdida de carga acumulada del segmento	Δp_t	[Pa]	: 35.46
Velocidad en la sección inicial del segmento	V_m	[m/s]	: 5.1
Velocidad en la sección final del segmento	V_v	[m/s]	: 4.7
Recuperación de presión estática del segmento	Δp_r	[Pa]	: 2.36
Pérdida de carga acumulada del segmento, considerando la recuperación	Δp_{tn}	[Pa]	: 33.18
Pérdida de carga acumulada neta – total acumulado	$\Sigma \Delta p_{tn}$	[Pa]	: 251.53

SEGMENTO 11:

Tipo: Tramo

1 ELEMENTO		2 Caudal Q	3 Diam. D/D _e	4 Ancho A	5 Alto B	6 Long. L	7 $\Delta p/L$	8 Fuente Tab	9 Ashrae X	10 Ashrae Y	11 Coeff. C _o	12 Veloc. V	13 P.Dinám P _v	14 Pérdida Δp_r o Δp_c
N. pz.	Cod.	[m³/h]	[mm]	[mm]	[mm]	[m]	[Pa/m]	n.	-	-	-	[m/s]	[Pa]	[Pa]
121	39RA	4930	609	800	400	0	0	IDELM	0.917		2.260	4.3	11.13	29.63
49	310R	4930	609	800	400	0.91	0.38					4.3	11.13	0.35

Pérdida de carga acumulada del segmento	Δp_t	[Pa]	: 29.98
Velocidad en la sección inicial del segmento	V_m	[m/s]	: 4.7
Velocidad en la sección final del segmento	V_v	[m/s]	: 4.3

Recuperación de presión estática del segmento	Δp_r	[Pa] : 2.17
Pérdida de carga acumulada del segmento, considerando la recuperación	Δp_{tn}	[Pa] : 27.89
Pérdida de carga acumulada neta – total acumulado	$\Sigma \Delta p_{tn}$	[Pa] : 279.41

SEGMENTO 13:

Tipo: Tramo

1 ELEMENTO		2 Caudal Q	3 Diam. D/D _e	4 Ancho A	5 Alto B	6 Long. L	7 $\Delta p/L$	8 Fuente Tab	9 Ashrae X	10 Ashrae Y	11 Coeff. C _o	12 Veloc. V	13 P.Dinám P _v	14 Pérdida Δp_r o Δp_c
N. pz.	Cod.	[m³/h]	[mm]	[mm]	[mm]	[m]	[Pa/m]	n.	-	-	-	[m/s]	[Pa]	[Pa]
124	39RA	4480	609	800	400	0	0	IDELM	0.909		2.240	3.9	9.16	24.67
127	283R	4480	520	800	300	0.19	0	5.1	30.000	1.330	0.050	5.2	16.28	0.81
55	310R	4480	520	800	300	0.91	0.7					5.2	16.28	0.64

Pérdida de carga acumulada del segmento	Δp_t	[Pa] : 26.12
Velocidad en la sección inicial del segmento	V_m	[m/s] : 4.3
Velocidad en la sección final del segmento	V_v	[m/s] : 3.9
Recuperación de presión estática del segmento	Δp_r	[Pa] : 1.97
Pérdida de carga acumulada del segmento, considerando la recuperación	Δp_{tn}	[Pa] : 25.02
Pérdida de carga acumulada neta – total acumulado	$\Sigma \Delta p_{tn}$	[Pa] : 304.43

SEGMENTO 15:

Tipo: Tramo

1 ELEMENTO		2 Caudal Q	3 Diam. D/D _e	4 Ancho A	5 Alto B	6 Long. L	7 $\Delta p/L$	8 Fuente Tab	9 Ashrae X	10 Ashrae Y	11 Coeff. C _o	12 Veloc. V	13 P.Dinám P _v	14 Pérdida Δp_r o Δp_c
N. pz.	Cod.	[m³/h]	[mm]	[mm]	[mm]	[m]	[Pa/m]	n.	-	-	-	[m/s]	[Pa]	[Pa]
126	39RA	4030	520	800	300	0	0	IDELM	0.900		2.220	4.7	13.3	20.17
61	310R	4030	520	800	300	0.91	0.57					4.7	13.3	0.52

Pérdida de carga acumulada del segmento	Δp_t	[Pa] : 20.69
Velocidad en la sección inicial del segmento	V_m	[m/s] : 3.9
Velocidad en la sección final del segmento	V_v	[m/s] : 3.5
Recuperación de presión estática del segmento	Δp_r	[Pa] : 1.78
Pérdida de carga acumulada del segmento, considerando la recuperación	Δp_{tn}	[Pa] : 20.27
Pérdida de carga acumulada neta – total acumulado	$\Sigma \Delta p_{tn}$	[Pa] : 324.7

SEGMENTO 17:

Tipo: Tramo

1 ELEMENTO		2 Caudal Q	3 Diam. D/D _e	4 Ancho A	5 Alto B	6 Long. L	7 $\Delta p/L$	8 Fuente Tab	9 Ashrae X	10 Ashrae Y	11 Coeff. C _o	12 Veloc. V	13 P.Dinám P _v	14 Pérdida Δp_r o Δp_c
N. pz.	Cod.	[m³/h]	[mm]	[mm]	[mm]	[m]	[Pa/m]	n.	-	-	-	[m/s]	[Pa]	[Pa]
129	39RA	3585	520	800	300	0	0	IDELM	0.889		2.190	4.1	10.12	16.11
132	283R	3585	457	600	300	0.45	0	5.1	30.000	1.330	0.050	5.5	18.21	0.92
67	310R	3585	457	600	300	0.91	0.88					5.5	18.21	0.8

Pérdida de carga acumulada del segmento	Δp_t	[Pa] : 17.83
Velocidad en la sección inicial del segmento	V_m	[m/s] : 3.5
Velocidad en la sección final del segmento	V_v	[m/s] : 5.5
Recuperación de presión estática del segmento	Δp_r	[Pa] : -10.84
Pérdida de carga acumulada del segmento, considerando la recuperación	Δp_{tn}	[Pa] : 28.87

Pérdida de carga acumulada neta – total acumulado

 $\Sigma \Delta p_{tn}$ [Pa] : 353.58**SEGMENTO 19:****Tipo:** Tramo

1 ELEMENTO		2 Caudal Q	3 Diam. D/D _e	4 Ancho A	5 Alto B	6 Long. L	7 $\Delta p/L$	8 Fuente Tab	9 Ashrae X	10 Ashrae Y	11 Coeff. C _o	12 Veloc. V	13 P.Dinám P _v	14 Pérdida Δp_r o Δp_e
N. pz.	Cod.	[m³/h]	[mm]	[mm]	[mm]	[m]	[Pa/m]	n.	-	-	-	[m/s]	[Pa]	[Pa]
131	39RA	3135	457	600	300	0	0	IDELM	0.875		2.150	4.8	13.87	39.56
73	310R	3135	457	600	300	0.91	0.68					4.8	13.87	0.62

Pérdida de carga acumulada del segmento

 Δp_t [Pa] : 40.19

Velocidad en la sección inicial del segmento

 V_m [m/s] : 5.5

Velocidad en la sección final del segmento

 V_v [m/s] : 4.8

Recuperación de presión estática del segmento

 Δp_r [Pa] : 4.34

Pérdida de carga acumulada del segmento, considerando la recuperación

 Δp_{tn} [Pa] : 35.87

Pérdida de carga acumulada neta – total acumulado

 $\Sigma \Delta p_{tn}$ [Pa] : 389.45**SEGMENTO 21:****Tipo:** Tramo

1 ELEMENTO		2 Caudal Q	3 Diam. D/D _e	4 Ancho A	5 Alto B	6 Long. L	7 $\Delta p/L$	8 Fuente Tab	9 Ashrae X	10 Ashrae Y	11 Coeff. C _o	12 Veloc. V	13 P.Dinám P _v	14 Pérdida Δp_r o Δp_e
N. pz.	Cod.	[m³/h]	[mm]	[mm]	[mm]	[m]	[Pa/m]	n.	-	-	-	[m/s]	[Pa]	[Pa]
134	39RA	2690	457	600	300	0	0	IDELM	0.857		2.100	4.1	10.12	29.64
137	283R	2690	398	550	250	0.19	0	5.1	30.000	1.310	0.050	5.4	17.55	0.89
79	310R	2690	398	550	250	0.91	1.01					5.4	17.55	0.92

Pérdida de carga acumulada del segmento

 Δp_t [Pa] : 31.45

Velocidad en la sección inicial del segmento

 V_m [m/s] : 4.8

Velocidad en la sección final del segmento

 V_v [m/s] : 4.1

Recuperación de presión estática del segmento

 Δp_r [Pa] : 3.75

Pérdida de carga acumulada del segmento, considerando la recuperación

 Δp_{tn} [Pa] : 33.03

Pérdida de carga acumulada neta – total acumulado

 $\Sigma \Delta p_{tn}$ [Pa] : 422.48**SEGMENTO 23:****Tipo:** Tramo

1 ELEMENTO		2 Caudal Q	3 Diam. D/D _e	4 Ancho A	5 Alto B	6 Long. L	7 $\Delta p/L$	8 Fuente Tab	9 Ashrae X	10 Ashrae Y	11 Coeff. C _o	12 Veloc. V	13 P.Dinám P _v	14 Pérdida Δp_r o Δp_e
N. pz.	Cod.	[m³/h]	[mm]	[mm]	[mm]	[m]	[Pa/m]	n.	-	-	-	[m/s]	[Pa]	[Pa]
136	39RA	2240	398	550	250	0	0	IDELM	0.833		2.040	4.5	12.19	21.15
85	310R	2240	398	550	250	0.91	0.73					4.5	12.19	0.66

Pérdida de carga acumulada del segmento

 Δp_t [Pa] : 21.8

Velocidad en la sección inicial del segmento

 V_m [m/s] : 4.1

Velocidad en la sección final del segmento

 V_v [m/s] : 5

Recuperación de presión estática del segmento

 Δp_r [Pa] : -4.93

Pérdida de carga acumulada del segmento, considerando la recuperación

 Δp_{tn} [Pa] : 27.72

Pérdida de carga acumulada neta – total acumulado

 $\Sigma \Delta p_{tn}$ [Pa] : 450.2

SEGMENTO 25:**Tipo:** Tramo

1 ELEMENTO		2 Caudal Q	3 Diam. D/D _e	4 Ancho A	5 Alto B	6 Long. L	7 $\Delta p/L$	8 Fuente Tab	9 Ashrae X	10 Ashrae Y	11 Coeff. C _o	12 Veloc. V	13 P.Dinám P _v	14 Pérdida Δp_r o Δp_e
N. pz.	Cod.	[m³/h]	[mm]	[mm]	[mm]	[m]	[Pa/m]	n.	-	-	-	[m/s]	[Pa]	[Pa]
138	39RA	1790	398	550	250	0	0	IDELM	0.800		1.960	3.6	7.8	29.24
140	283R	1790	322	350	250	0.45	0	5.1	30.000	1.570	0.050	5.7	19.56	0.97
91	310R	1790	322	350	250	0.91	1.36					5.7	19.56	1.24

Pérdida de carga acumulada del segmento

 Δp_t [Pa] : 31.45

Velocidad en la sección inicial del segmento

 V_m [m/s] : 5

Velocidad en la sección final del segmento

 V_v [m/s] : 4

Recuperación de presión estática del segmento

 Δp_r [Pa] : 5.42

Pérdida de carga acumulada del segmento, considerando la recuperación

 Δp_{tn} [Pa] : 27.06

Pérdida de carga acumulada neta – total acumulado

 $\Sigma \Delta p_{tn}$ [Pa] : 477.26**SEGMENTO 27:****Tipo:** Tramo

1 ELEMENTO		2 Caudal Q	3 Diam. D/D _e	4 Ancho A	5 Alto B	6 Long. L	7 $\Delta p/L$	8 Fuente Tab	9 Ashrae X	10 Ashrae Y	11 Coeff. C _o	12 Veloc. V	13 P.Dinám P _v	14 Pérdida Δp_r o Δp_e
N. pz.	Cod.	[m³/h]	[mm]	[mm]	[mm]	[m]	[Pa/m]	n.	-	-	-	[m/s]	[Pa]	[Pa]
139	39RA	1345	322	350	250	0	0	IDELM	0.750		1.840	4.3	11.13	17.6
97	310R	1345	322	350	250	0.91	0.79					4.3	11.13	0.72

Pérdida de carga acumulada del segmento

 Δp_t [Pa] : 18.32

Velocidad en la sección inicial del segmento

 V_m [m/s] : 4

Velocidad en la sección final del segmento

 V_v [m/s] : 4.7

Recuperación de presión estática del segmento

 Δp_r [Pa] : -3.67

Pérdida de carga acumulada del segmento, considerando la recuperación

 Δp_{tn} [Pa] : 23.09

Pérdida de carga acumulada neta – total acumulado

 $\Sigma \Delta p_{tn}$ [Pa] : 500.35**SEGMENTO 31:****Tipo:** Terminal TRM-7

1 ELEMENTO		2 Caudal Q	3 Diam. D/D _e	4 Ancho A	5 Alto B	6 Long. L	7 $\Delta p/L$	8 Fuente Tab	9 Ashrae X	10 Ashrae Y	11 Coeff. C _o	12 Veloc. V	13 P.Dinám P _v	14 Pérdida Δp_r o Δp_e
N. pz.	Cod.	[m³/h]	[mm]	[mm]	[mm]	[m]	[Pa/m]	n.	-	-	-	[m/s]	[Pa]	[Pa]
141	39RA	450	498	915	250	0	0	IDELM	0.128		1.030	0.5	0.15	13.53
108	310R	450	498	915	250	0.08	0					0.5	0.15	0
110	05LR	450	915	915	250	0	0	MC4				0.5	0.15	63.54

Pérdida de carga acumulada del segmento

 Δp_t [Pa] : 13.53

Velocidad en la sección inicial del segmento

 V_m [m/s] : 4.7

Velocidad en la sección final del segmento

 V_v [m/s] : 0.5

Recuperación de presión estática del segmento

 Δp_r [Pa] : 13.15

Pérdida de carga acumulada del segmento, considerando la recuperación

 Δp_{tn} [Pa] : 0.68

Pérdida de carga acumulada neta – total acumulado

 $\Sigma \Delta p_{tn}$ [Pa] : 564.57

Desequilibrio del terminal respecto al camino más desfavorable

 Δp_{Tmr} [Pa] : 45.81**SEGMENTO 30:**

Tipo: Tramo

1 ELEMENTO		2 Caudal Q	3 Diam. D/D _e	4 Ancho A	5 Alto B	6 Long. L	7 $\Delta p/L$	8 Fuente Tab	9 Ashrae X	10 Ashrae Y	11 Coeff. C _o	12 Veloc. V	13 P.Dinám P _v	14 Pérdida Δp_r o Δp_e
N. pz.	Cod.	[m³/h]	[mm]	[mm]	[mm]	[m]	[Pa/m]	n.	-	-	-	[m/s]	[Pa]	[Pa]
142	39RA	895	322	350	250	0	0	IDELM	0.667		1.670	2.8	4.72	21.85
145	283R	895	244	200	250	0.36	0	5.1	30.000	1.750	0.050	5	15.05	4.47
100	310R	895	244	200	250	0.91	1.48					5	15.05	1.35

Pérdida de carga acumulada del segmento	Δp_t	[Pa]	: 27.67
Velocidad en la sección inicial del segmento	V_m	[m/s]	: 4.7
Velocidad en la sección final del segmento	V_v	[m/s]	: 3.6
Recuperación de presión estática del segmento	Δp_r	[Pa]	: 5.5
Pérdida de carga acumulada del segmento, considerando la recuperación	Δp_{tm}	[Pa]	: 22.92
Pérdida de carga acumulada neta – total acumulado	$\Sigma \Delta p_{tm}$	[Pa]	: 523.27

SEGMENTO 29:**Tipo:** Terminal TRM-7

1 ELEMENTO		2 Caudal Q	3 Diam. D/D _e	4 Ancho A	5 Alto B	6 Long. L	7 $\Delta p/L$	8 Fuente Tab	9 Ashrae X	10 Ashrae Y	11 Coeff. C _o	12 Veloc. V	13 P.Dinám P _v	14 Pérdida Δp_r o Δp_e
N. pz.	Cod.	[m³/h]	[mm]	[mm]	[mm]	[m]	[Pa/m]	n.	-	-	-	[m/s]	[Pa]	[Pa]
143	39RA	450	498	915	250	0	0	IDELM	0.109		1.050	0.5	0.15	8.03
105	310R	450	498	915	250	0.08	0					0.5	0.15	0
107	05LR	450	915	915	250	0	0	MC4				0.5	0.15	63.54

Pérdida de carga acumulada del segmento	Δp_t	[Pa]	: 8.03
Velocidad en la sección inicial del segmento	V_m	[m/s]	: 3.6
Velocidad en la sección final del segmento	V_v	[m/s]	: 0.5
Recuperación de presión estática del segmento	Δp_r	[Pa]	: 7.65
Pérdida de carga acumulada del segmento, considerando la recuperación	Δp_{tm}	[Pa]	: 0.68
Pérdida de carga acumulada neta – total acumulado	$\Sigma \Delta p_{tm}$	[Pa]	: 587.49
Desequilibrio del terminal respecto al camino más desfavorable	Δp_{Tmr}	[Pa]	: 22.89

SEGMENTO 28:**Tipo:** Terminal TRM-7

1 ELEMENTO		2 Caudal Q	3 Diam. D/D _e	4 Ancho A	5 Alto B	6 Long. L	7 $\Delta p/L$	8 Fuente Tab	9 Ashrae X	10 Ashrae Y	11 Coeff. C _o	12 Veloc. V	13 P.Dinám P _v	14 Pérdida Δp_r o Δp_e
N. pz.	Cod.	[m³/h]	[mm]	[mm]	[mm]	[m]	[Pa/m]	n.	-	-	-	[m/s]	[Pa]	[Pa]
144	39RA	450	244	200	250	0	0	IDELM	0.500		1.380	2.5	3.76	10.46
101	310R	450	244	200	250	0.91	0.41					2.5	3.76	0.37
99	10RAT	450	244	200	250	0	0	2.6f	1.000	1.020	2.800	2.5	3.76	18.56
102	310R	450	498	915	250	0.08	0					0.5	0.15	0
104	05LR	450	915	915	250	0	0	MC4				0.5	0.15	63.54

Pérdida de carga acumulada del segmento	Δp_t	[Pa]	: 29.4
Velocidad en la sección inicial del segmento	V_m	[m/s]	: 3.6
Velocidad en la sección final del segmento	V_v	[m/s]	: 0.5
Recuperación de presión estática del segmento	Δp_r	[Pa]	: 7.65
Pérdida de carga acumulada del segmento, considerando la recuperación	Δp_{tm}	[Pa]	: 23.57
Pérdida de carga acumulada neta – total acumulado	$\Sigma \Delta p_{tm}$	[Pa]	: 610.38

SEGMENTO 26:**Tipo:** Terminal TRM-7

1 ELEMENTO		2 Caudal Q	3 Diam. D/D _e	4 Ancho A	5 Alto B	6 Long. L	7 $\Delta p/L$	8 Fuente Tab	9 Ashrae X	10 Ashrae Y	11 Coeff. C _o	12 Veloc. V	13 P.Dinám P _v	14 Pérdida Δp_r o Δp_e
N. pz.	Cod.	[m³/h]	[mm]	[mm]	[mm]	[m]	[Pa/m]	n.	-	-	-	[m/s]	[Pa]	[Pa]
95	39RA	450	498	915	250	0	0	IDELM	0.096		1.030	0.5	0.15	9.81
94	310R	450	498	915	250	0.08	0					0.5	0.15	0
96	05LR	450	915	915	250	0	0	MC4				0.5	0.15	63.54

Pérdida de carga acumulada del segmento	Δp_t	[Pa]	: 9.81
Velocidad en la sección inicial del segmento	V_m	[m/s]	: 4
Velocidad en la sección final del segmento	V_v	[m/s]	: 0.5
Recuperación de presión estática del segmento	Δp_r	[Pa]	: 9.48
Pérdida de carga acumulada del segmento, considerando la recuperación	Δp_{tn}	[Pa]	: 0.45
Pérdida de carga acumulada neta – total acumulado	$\Sigma \Delta p_{tn}$	[Pa]	: 541.25
Desequilibrio del terminal respecto al camino más desfavorable	Δp_{Tmr}	[Pa]	: 69.13

SEGMENTO 24:**Tipo:** Terminal TRM-7

1 ELEMENTO		2 Caudal Q	3 Diam. D/D _e	4 Ancho A	5 Alto B	6 Long. L	7 $\Delta p/L$	8 Fuente Tab	9 Ashrae X	10 Ashrae Y	11 Coeff. C _o	12 Veloc. V	13 P.Dinám P _v	14 Pérdida Δp_r o Δp_e
N. pz.	Cod.	[m³/h]	[mm]	[mm]	[mm]	[m]	[Pa/m]	n.	-	-	-	[m/s]	[Pa]	[Pa]
89	39RA	450	498	915	250	0	0	IDELM	0.120		1.020	0.5	0.15	15.18
88	310R	450	498	915	250	0.08	0					0.5	0.15	0
90	05LR	450	915	915	250	0	0	MC4				0.5	0.15	63.54

Pérdida de carga acumulada del segmento	Δp_t	[Pa]	: 15.18
Velocidad en la sección inicial del segmento	V_m	[m/s]	: 5
Velocidad en la sección final del segmento	V_v	[m/s]	: 0.5
Recuperación de presión estática del segmento	Δp_r	[Pa]	: 14.9
Pérdida de carga acumulada del segmento, considerando la recuperación	Δp_{tn}	[Pa]	: 0.45
Pérdida de carga acumulada neta – total acumulado	$\Sigma \Delta p_{tn}$	[Pa]	: 514.19
Desequilibrio del terminal respecto al camino más desfavorable	Δp_{Tmr}	[Pa]	: 96.19

SEGMENTO 22:**Tipo:** Terminal TRM-7

1 ELEMENTO		2 Caudal Q	3 Diam. D/D _e	4 Ancho A	5 Alto B	6 Long. L	7 $\Delta p/L$	8 Fuente Tab	9 Ashrae X	10 Ashrae Y	11 Coeff. C _o	12 Veloc. V	13 P.Dinám P _v	14 Pérdida Δp_r o Δp_e
N. pz.	Cod.	[m³/h]	[mm]	[mm]	[mm]	[m]	[Pa/m]	n.	-	-	-	[m/s]	[Pa]	[Pa]
83	39RA	450	498	915	250	0	0	IDELM	0.100		1.020	0.5	0.15	10.54
82	310R	450	498	915	250	0.08	0					0.5	0.15	0
84	05LR	450	915	915	250	0	0	MC4				0.5	0.15	63.54

Pérdida de carga acumulada del segmento	Δp_t	[Pa]	: 10.55
Velocidad en la sección inicial del segmento	V_m	[m/s]	: 4.1
Velocidad en la sección final del segmento	V_v	[m/s]	: 0.5
Recuperación de presión estática del segmento	Δp_r	[Pa]	: 9.97
Pérdida de carga acumulada del segmento, considerando la recuperación	Δp_{tn}	[Pa]	: 0.37
Pérdida de carga acumulada neta – total acumulado	$\Sigma \Delta p_{tn}$	[Pa]	: 486.4
Desequilibrio del terminal respecto al camino más desfavorable	Δp_{Tmr}	[Pa]	: 123.99

SEGMENTO 20:

Tipo: Terminal TRM-7

1 ELEMENTO		2 Caudal Q	3 Diam. D/D _e	4 Ancho A	5 Alto B	6 Long. L	7 $\Delta p/L$	8 Fuente Tab	9 Ashrae X	10 Ashrae Y	11 Coeff. C _o	12 Veloc. V	13 P.Dinám P _v	14 Pérdida Δp_r o Δp_e
N. pz.	Cod.	[m³/h]	[mm]	[mm]	[mm]	[m]	[Pa/m]	n.	-	-	-	[m/s]	[Pa]	[Pa]
77	39RA	450	552	915	300	0	0	IDELM	0.094		1.010	0.5	0.15	14.28
135	283R	450	498	915	250	0.04	0	5.1	30.000	1.200	0.050	0.5	0.15	0.01
76	310R	450	498	915	250	0.08	0					0.5	0.15	0
78	05LR	450	915	915	250	0	0	MC4				0.5	0.15	63.54

Pérdida de carga acumulada del segmento

Δp_t [Pa] : 14.29

Velocidad en la sección inicial del segmento

V_m [m/s] : 4.8

Velocidad en la sección final del segmento

V_v [m/s] : 0.5

Recuperación de presión estática del segmento

Δp_r [Pa] : 13.72

Pérdida de carga acumulada del segmento, considerando la recuperación

Δp_{tn} [Pa] : 0.37

Pérdida de carga acumulada neta – total acumulado

$\Sigma \Delta p_{tn}$ [Pa] : 453.36

Desequilibrio del terminal respecto al camino más desfavorable

Δp_{Tmr} [Pa] : 157.02

SEGMENTO 18:

Tipo: Terminal TRM-7

1 ELEMENTO		2 Caudal Q	3 Diam. D/D _e	4 Ancho A	5 Alto B	6 Long. L	7 $\Delta p/L$	8 Fuente Tab	9 Ashrae X	10 Ashrae Y	11 Coeff. C _o	12 Veloc. V	13 P.Dinám P _v	14 Pérdida Δp_r o Δp_e
N. pz.	Cod.	[m³/h]	[mm]	[mm]	[mm]	[m]	[Pa/m]	n.	-	-	-	[m/s]	[Pa]	[Pa]
71	39RA	450	552	915	300	0	0	IDELM	0.082		1.010	0.5	0.15	18.6
133	283R	450	498	915	250	0.04	0	5.1	30.000	1.200	0.050	0.5	0.15	0.01
70	310R	450	498	915	250	0.08	0					0.5	0.15	0
72	05LR	450	915	915	250	0	0	MC4				0.5	0.15	63.54

Pérdida de carga acumulada del segmento

Δp_t [Pa] : 18.61

Velocidad en la sección inicial del segmento

V_m [m/s] : 5.5

Velocidad en la sección final del segmento

V_v [m/s] : 0.5

Recuperación de presión estática del segmento

Δp_r [Pa] : 18.06

Pérdida de carga acumulada del segmento, considerando la recuperación

Δp_{tn} [Pa] : 0.37

Pérdida de carga acumulada neta – total acumulado

$\Sigma \Delta p_{tn}$ [Pa] : 417.49

Desequilibrio del terminal respecto al camino más desfavorable

Δp_{Tmr} [Pa] : 192.89

SEGMENTO 16:

Tipo: Terminal TRM-7

1 ELEMENTO		2 Caudal Q	3 Diam. D/D _e	4 Ancho A	5 Alto B	6 Long. L	7 $\Delta p/L$	8 Fuente Tab	9 Ashrae X	10 Ashrae Y	11 Coeff. C _o	12 Veloc. V	13 P.Dinám P _v	14 Pérdida Δp_r o Δp_e
N. pz.	Cod.	[m³/h]	[mm]	[mm]	[mm]	[m]	[Pa/m]	n.	-	-	-	[m/s]	[Pa]	[Pa]
65	39RA	450	552	915	300	0	0	IDELM	0.097		1.010	0.5	0.15	7.48
130	283R	450	498	915	250	0.04	0	5.1	30.000	1.200	0.050	0.5	0.15	0.01
64	310R	450	498	915	250	0.08	0					0.5	0.15	0
66	05LR	450	915	915	250	0	0	MC4				0.5	0.15	63.54

Pérdida de carga acumulada del segmento

Δp_t [Pa] : 7.49

Velocidad en la sección inicial del segmento

V_m [m/s] : 3.5

Velocidad en la sección final del segmento

V_v [m/s] : 0.5

Recuperación de presión estática del segmento	Δp_r	[Pa]	: 7.22
Pérdida de carga acumulada del segmento, considerando la recuperación	Δp_{tn}	[Pa]	: 0.29
Pérdida de carga acumulada neta – total acumulado	$\Sigma \Delta p_{tn}$	[Pa]	: 388.54
Desequilibrio del terminal respecto al camino más desfavorable	Δp_{Tmr}	[Pa]	: 221.84

SEGMENTO 14:

Tipo: Terminal TRM-7

1 ELEMENTO		2 Caudal Q	3 Diam. D/D _e	4 Ancho A	5 Alto B	6 Long. L	7 $\Delta p/L$	8 Fuente Tab	9 Ashrae X	10 Ashrae Y	11 Coeff. C _o	12 Veloc. V	13 P.Dinám P _v	14 Pérdida Δp_r o Δp_e
N. pz.	Cod.	[m³/h]	[mm]	[mm]	[mm]	[m]	[Pa/m]	n.	-	-	-	[m/s]	[Pa]	[Pa]
59	39RA	450	552	915	300	0	0	IDELM	0.087		1.010	0.5	0.15	9.21
128	283R	450	498	915	250	0.04	0	5.1	30.000	1.200	0.050	0.5	0.15	0.01
58	310R	450	498	915	250	0.08	0					0.5	0.15	0
60	05LR	450	915	915	250	0	0	MC4				0.5	0.15	63.54

Pérdida de carga acumulada del segmento	Δp_t	[Pa]	: 9.22
Velocidad en la sección inicial del segmento	V_m	[m/s]	: 3.9
Velocidad en la sección final del segmento	V_v	[m/s]	: 0.5
Recuperación de presión estática del segmento	Δp_r	[Pa]	: 9.01
Pérdida de carga acumulada del segmento, considerando la recuperación	Δp_{tn}	[Pa]	: 0.29
Pérdida de carga acumulada neta – total acumulado	$\Sigma \Delta p_{tn}$	[Pa]	: 368.27
Desequilibrio del terminal respecto al camino más desfavorable	Δp_{Tmr}	[Pa]	: 242.12

SEGMENTO 12:

Tipo: Terminal TRM-7

1 ELEMENTO		2 Caudal Q	3 Diam. D/D _e	4 Ancho A	5 Alto B	6 Long. L	7 $\Delta p/L$	8 Fuente Tab	9 Ashrae X	10 Ashrae Y	11 Coeff. C _o	12 Veloc. V	13 P.Dinám P _v	14 Pérdida Δp_r o Δp_e
N. pz.	Cod.	[m³/h]	[mm]	[mm]	[mm]	[m]	[Pa/m]	n.	-	-	-	[m/s]	[Pa]	[Pa]
53	39RA	450	648	915	400	0	0	IDELM	0.079		1.010	0.3	0.05	11.12
125	283R	450	498	915	250	0.13	0	5.1	30.000	1.600	0.050	0.5	0.15	0.01
52	310R	450	498	915	250	0.08	0					0.5	0.15	0
54	05LR	450	915	915	250	0	0	MC4				0.5	0.15	63.54

Pérdida de carga acumulada del segmento	Δp_t	[Pa]	: 11.13
Velocidad en la sección inicial del segmento	V_m	[m/s]	: 4.3
Velocidad en la sección final del segmento	V_v	[m/s]	: 0.5
Recuperación de presión estática del segmento	Δp_r	[Pa]	: 10.98
Pérdida de carga acumulada del segmento, considerando la recuperación	Δp_{tn}	[Pa]	: 0.29
Pérdida de carga acumulada neta – total acumulado	$\Sigma \Delta p_{tn}$	[Pa]	: 343.25
Desequilibrio del terminal respecto al camino más desfavorable	Δp_{Tmr}	[Pa]	: 267.13

SEGMENTO 10:

Tipo: Terminal TRM-7

1 ELEMENTO		2 Caudal Q	3 Diam. D/D _e	4 Ancho A	5 Alto B	6 Long. L	7 $\Delta p/L$	8 Fuente Tab	9 Ashrae X	10 Ashrae Y	11 Coeff. C _o	12 Veloc. V	13 P.Dinám P _v	14 Pérdida Δp_r o Δp_e
N. pz.	Cod.	[m³/h]	[mm]	[mm]	[mm]	[m]	[Pa/m]	n.	-	-	-	[m/s]	[Pa]	[Pa]
47	39RA	450	648	915	400	0	0	IDELM	0.073		1.010	0.3	0.05	13.21
123	283R	450	498	915	250	0.13	0	5.1	30.000	1.600	0.050	0.5	0.15	0.01
46	310R	450	498	915	250	0.08	0					0.5	0.15	0
48	05LR	450	915	915	250	0	0	MC4				0.5	0.15	63.54

Pérdida de carga acumulada del segmento	Δp_t	[Pa]	: 13.22
Velocidad en la sección inicial del segmento	V_m	[m/s]	: 4.7
Velocidad en la sección final del segmento	V_v	[m/s]	: 0.5
Recuperación de presión estática del segmento	Δp_r	[Pa]	: 13.15
Pérdida de carga acumulada del segmento, considerando la recuperación	Δp_{tn}	[Pa]	: 0.29
Pérdida de carga acumulada neta – total acumulado	$\Sigma \Delta p_{tn}$	[Pa]	: 315.36
Desequilibrio del terminal respecto al camino más desfavorable	Δp_{Tmr}	[Pa]	: 295.02

SEGMENTO 8:

Tipo: Terminal TRM-7

1 ELEMENTO		2 Caudal Q	3 Diam. D/D _e	4 Ancho A	5 Alto B	6 Long. L	7 $\Delta p/L$	8 Fuente Tab	9 Ashrae X	10 Ashrae Y	11 Coeff. C _o	12 Veloc. V	13 P.Dinám P _v	14 Pérdida Δp_r o Δp_e
N. pz.	Cod.	[m³/h]	[mm]	[mm]	[mm]	[m]	[Pa/m]	n.	-	-	-	[m/s]	[Pa]	[Pa]
41	39RA	450	648	915	400	0	0	IDELM	0.076		1.010	0.3	0.05	15.49
120	283R	450	498	915	250	0.13	0	5.1	30.000	1.600	0.050	0.5	0.15	0.01
40	310R	450	498	915	250	0.08	0					0.5	0.15	0
42	05LR	450	915	915	250	0	0	MC4				0.5	0.15	63.54

Pérdida de carga acumulada del segmento	Δp_t	[Pa]	: 15.5
Velocidad en la sección inicial del segmento	V_m	[m/s]	: 5.1
Velocidad en la sección final del segmento	V_v	[m/s]	: 0.5
Recuperación de presión estática del segmento	Δp_r	[Pa]	: 15.51
Pérdida de carga acumulada del segmento, considerando la recuperación	Δp_{tn}	[Pa]	: 0.29
Pérdida de carga acumulada neta – total acumulado	$\Sigma \Delta p_{tn}$	[Pa]	: 282.18
Desequilibrio del terminal respecto al camino más desfavorable	Δp_{Tmr}	[Pa]	: 328.2

SEGMENTO 6:

Tipo: Terminal TRM-7

1 ELEMENTO		2 Caudal Q	3 Diam. D/D _e	4 Ancho A	5 Alto B	6 Long. L	7 $\Delta p/L$	8 Fuente Tab	9 Ashrae X	10 Ashrae Y	11 Coeff. C _o	12 Veloc. V	13 P.Dinám P _v	14 Pérdida Δp_r o Δp_e
N. pz.	Cod.	[m³/h]	[mm]	[mm]	[mm]	[m]	[Pa/m]	n.	-	-	-	[m/s]	[Pa]	[Pa]
35	39RA	450	648	915	400	0	0	IDELM	0.070		1.010	0.3	0.05	17.95
118	283R	450	498	915	250	0.13	0	5.1	30.000	1.600	0.050	0.5	0.15	0.01
34	310R	450	498	915	250	0.08	0					0.5	0.15	0
36	05LR	450	915	915	250	0	0	MC4				0.5	0.15	63.54

Pérdida de carga acumulada del segmento	Δp_t	[Pa]	: 17.96
Velocidad en la sección inicial del segmento	V_m	[m/s]	: 5.4
Velocidad en la sección final del segmento	V_v	[m/s]	: 0.5
Recuperación de presión estática del segmento	Δp_r	[Pa]	: 17.4
Pérdida de carga acumulada del segmento, considerando la recuperación	Δp_{tn}	[Pa]	: 0.29
Pérdida de carga acumulada neta – total acumulado	$\Sigma \Delta p_{tn}$	[Pa]	: 237.96
Desequilibrio del terminal respecto al camino más desfavorable	Δp_{Tmr}	[Pa]	: 372.42

SEGMENTO 4:

Tipo: Terminal TRM-7

1 ELEMENTO		2 Caudal Q	3 Diam. D/D _e	4 Ancho A	5 Alto B	6 Long. L	7 $\Delta p/L$	8 Fuente Tab	9 Ashrae X	10 Ashrae Y	11 Coeff. C _o	12 Veloc. V	13 P.Dinám P _v	14 Pérdida Δp_r o Δp_e
N. pz.	Cod.	[m³/h]	[mm]	[mm]	[mm]	[m]	[Pa/m]	n.	-	-	-	[m/s]	[Pa]	[Pa]

29	39RA	450	648	915	400	0	0	IDELM	0.066		1.010	0.3	0.05	20.59
116	283R	450	498	915	250	0.13	0	5.1	30.000	1.600	0.050	0.5	0.15	0.01
28	310R	450	498	915	250	0.08	0					0.5	0.15	0
30	05LR	450	915	915	250	0	0	MC4				0.5	0.15	63.54

Pérdida de carga acumulada del segmento	Δp_t	[Pa]	: 20.6
Velocidad en la sección inicial del segmento	V_m	[m/s]	: 5.8
Velocidad en la sección final del segmento	V_v	[m/s]	: 0.5
Recuperación de presión estática del segmento	Δp_r	[Pa]	: 20.1
Pérdida de carga acumulada del segmento, considerando la recuperación	Δp_{tn}	[Pa]	: 0.29
Pérdida de carga acumulada neta – total acumulado	$\Sigma \Delta p_{tn}$	[Pa]	: 186.69
Desequilibrio del terminal respecto al camino más desfavorable	Δp_{Tmr}	[Pa]	: 423.69

SEGMENTO 2:

Tipo: Terminal TRM-7

1 ELEMENTO		2 Caudal Q	3 Diam. D/D _e	4 Ancho A	5 Alto B	6 Long. L	7 $\Delta p/L$	8 Fuente Tab	9 Ashrae X	10 Ashrae Y	11 Coeff. C _o	12 Veloc. V	13 P.Dinám P _v	14 Pérdida Δp_r o Δp_c
N. pz.	Cod.	[m³/h]	[mm]	[mm]	[mm]	[m]	[Pa/m]	n.	-	-	-	[m/s]	[Pa]	[Pa]
23	39RA	450	648	915	400	0	0	IDELM	0.061		1.010	0.3	0.05	9.61
114	283R	450	498	915	250	0.13	0	5.1	30.000	1.600	0.050	0.5	0.15	0.01
22	310R	450	498	915	250	0.08	0					0.5	0.15	0
24	05LR	450	915	915	250	0	0	MC4				0.5	0.15	63.54

Pérdida de carga acumulada del segmento	Δp_t	[Pa]	: 9.62
Velocidad en la sección inicial del segmento	V_m	[m/s]	: 4
Velocidad en la sección final del segmento	V_v	[m/s]	: 0.5
Recuperación de presión estática del segmento	Δp_r	[Pa]	: 9.48
Pérdida de carga acumulada del segmento, considerando la recuperación	Δp_{tn}	[Pa]	: 0.25
Pérdida de carga acumulada neta – total acumulado	$\Sigma \Delta p_{tn}$	[Pa]	: 151.27
Desequilibrio del terminal respecto al camino más desfavorable	Δp_{Tmr}	[Pa]	: 459.11

DATOS GENERALES**Cliente:****Ciudad:** Alicante**Proyectista:****SISTEMA:****Nº Expediente:****Dibujo n.º:****Referencia:****Construcción:****Sistema:****Zona:** CL Oficinas

Impulsion

Circuito:**Altitud s.n.m** [m]: 7**Altura** [m]: 0**Temperatura aire** [°C]: 20**Humedad Relativa aire** [%]:**Método de cálculo: DIMENSIONADO DEL LA RED CON EL METODO DE PERDIDA DE CARGA CONSTANTE****DATOS DE CALCULO****Viscosidad del aire** [Pa*s]: 0.01816**Densidad del aire** [kg/m³]: 1.2**Revestimiento interior** :**Espesor** [mm]: 0**Rugosidad pared** [mm]: 0.15**CONDUCTOS Ratio B/A:** 0.5**OPCIONES****Tipo de cálculo elegido:** : 2

- Pérdida de carga distribuida [Pa/m]: 0.8
- Máxima velocidad en los tramos [m/s]: 6
- Máxima velocidad en los ramales [m/s]: 6

Cálculo con dimensiones normalizadas [Si/No]: Si

- Paso para el cálculo con dimensiones no normalizadas [mm]: 0
- Dimensión mínima [mm]: 0
- Dimensión máxima [mm]: 0

LIMITES**Mínimo desequilibrio para justificar el equilibrado y la inserción de compuertas en ramales** (Δp_{mr}) [Pa]: 10**Mínimo desequilibrio para justificar el equilibrado y la inserción de compuertas en terminales** (Δp_{msr}) [Pa]: 10**Máxima pérdida de carga admisible para las compuertas en terminales** (Δp_{MT}) [Pa]: 0**MAXIMA PERDIDA****Presión total para el camino más desfavorable** [Pa]: 282.93**Presión estática para el camino más desfavorable** [Pa]: 261.07**CAMINO MAS DESFAVOR.**

000-001-036-019-032-026-022-021

SEGMENTO 1:

Tipo: Tramo

1 ELEMENTO		2 Caudal Q	3 Diam. D/D _e	4 Ancho A	5 Alto B	6 Long. L	7 $\Delta p/L$	8 Fuente Tab	9 Ashrae X	10 Ashrae Y	11 Coeff. C _o	12 Veloc. V	13 P.Dinám P _v	14 Pérdida Δp_r o Δp_e
N. pz.	Cod.	[m³/h]	[mm]	[mm]	[mm]	[m]	[Pa/m]	n.	-	-	-	[m/s]	[Pa]	[Pa]
1	310R	26030	1177	1600	750	0.81	0.33					6	21.67	0.27
2	079R	26030	1177	1600	750	0	0	3.5	0.469	0.688	0.648	6	21.67	12.36
3	310R	26030	1177	1600	750	1.52	0.33					6	21.67	0.5
5	079R	26030	1177	1600	750	0	0	3.5	0.469	0.688	0.648	6	21.67	14.15
6	310R	26030	1177	1600	750	3.85	0.33					6	21.67	1.27

Pérdida de carga acumulada del segmento

Δp_t [Pa] : 28.56

Velocidad en la sección inicial del segmento

V_m [m/s] : 6

Velocidad en la sección final del segmento

V_v [m/s] : 5.6

Recuperación de presión estática del segmento

Δp_r [Pa] : 2.79

Pérdida de carga acumulada del segmento, considerando la recuperación

Δp_{tm} [Pa] : 29.19

Pérdida de carga acumulada neta – total acumulado

$\Sigma \Delta p_{tm}$ [Pa] : 29.19

SEGMENTO 37:

Tipo: Tramo

1 ELEMENTO		2 Caudal Q	3 Diam. D/D _e	4 Ancho A	5 Alto B	6 Long. L	7 $\Delta p/L$	8 Fuente Tab	9 Ashrae X	10 Ashrae Y	11 Coeff. C _o	12 Veloc. V	13 P.Dinám P _v	14 Pérdida Δp_r o Δp_e
N. pz.	Cod.	[m³/h]	[mm]	[mm]	[mm]	[m]	[Pa/m]	n.	-	-	-	[m/s]	[Pa]	[Pa]
336	3722D	13830	991	1600	550	0	0	MC4	0.469	1.090	0.481	4.4	11.65	5.6
402	273R	13830	904	1300	550	0.36	0	5.1	30.000	1.230	0.050	5.4	17.55	0.87
189	310R	13830	904	1300	550	1.37	0.37					5.4	17.55	0.51
191	079R	13830	904	1300	550	0	0	3.5	0.423	0.692	0.712	5.4	17.55	12.37
192	310R	13830	904	1300	550	4.69	0.37					5.4	17.55	1.75
194	079R	13830	904	1300	550	0	0	3.5	0.423	0.692	0.712	5.4	17.55	13.25
195	310R	13830	904	1300	550	1.67	0.37					5.4	17.55	0.62

Pérdida de carga acumulada del segmento

Δp_t [Pa] : 34.97

Velocidad en la sección inicial del segmento

V_m [m/s] : 5.6

Velocidad en la sección final del segmento

V_v [m/s] : 5.3

Recuperación de presión estática del segmento

Δp_r [Pa] : 1.97

Pérdida de carga acumulada del segmento, considerando la recuperación

Δp_{tm} [Pa] : 40.75

Pérdida de carga acumulada neta – total acumulado

$\Sigma \Delta p_{tm}$ [Pa] : 69.94

SEGMENTO 45:

Tipo: Tramo

1 ELEMENTO		2 Caudal Q	3 Diam. D/D _e	4 Ancho A	5 Alto B	6 Long. L	7 $\Delta p/L$	8 Fuente Tab	9 Ashrae X	10 Ashrae Y	11 Coeff. C _o	12 Veloc. V	13 P.Dinám P _v	14 Pérdida Δp_r o Δp_e
N. pz.	Cod.	[m³/h]	[mm]	[mm]	[mm]	[m]	[Pa/m]	n.	-	-	-	[m/s]	[Pa]	[Pa]
403	3722D	11175	904	1300	550	0	0	MC4	0.808	2.890	1.190	4.3	11.13	13.24
415	273R	11175	808	1300	450	0.19	0	5.1	30.000	1.220	0.050	5.3	16.91	0.85
220	310R	11175	808	1300	450	2.92	0.44					5.3	16.91	1.28
222	079R	11175	808	1300	450	0	0	3.5	0.346	0.692	0.724	5.3	16.91	12.27
223	310R	11175	808	1300	450	8.27	0.44					5.3	16.91	3.62

Pérdida de carga acumulada del segmento

Δp_t [Pa] : 31.25

Velocidad en la sección inicial del segmento	V_m	[m/s]	: 5.3
Velocidad en la sección final del segmento	V_v	[m/s]	: 5.3
Recuperación de presión estática del segmento	Δp_r	[Pa]	: 0
Pérdida de carga acumulada del segmento, considerando la recuperación	Δp_{tm}	[Pa]	: 31.07
Pérdida de carga acumulada neta – total acumulado	$\Sigma \Delta p_{tm}$	[Pa]	: 101.01

SEGMENTO 59:

Tipo: Tramo

1 ELEMENTO		2 Caudal Q	3 Diam. D/D _e	4 Ancho A	5 Alto B	6 Long. L	7 $\Delta p/L$	8 Fuente Tab	9 Ashrae X	10 Ashrae Y	11 Coeff. C _o	12 Veloc. V	13 P.Dinám P _v	14 Pérdida Δp_r o Δp_c
N. pz.	Cod.	[m³/h]	[mm]	[mm]	[mm]	[m]	[Pa/m]	n.	-	-	-	[m/s]	[Pa]	[Pa]
416	3722D	6080	610	700	450	0	0	MC4	0.456	0.857	0.050	5.4	17.55	0.87
273	310R	6080	610	700	450	3.85	0.56					5.4	17.55	2.17
275	079R	6080	610	700	450	0	0	3.5	0.643	0.786	0.460	5.4	17.55	7.96
276	310R	6080	610	700	450	4.02	0.56					5.4	17.55	2.27
278	079R	6080	610	700	450	0	0	3.5	0.643	0.786	0.460	5.4	17.55	7.96
279	310R	6080	610	700	450	1.5	0.57					5.4	17.55	0.85
281	079R	6080	610	700	450	0	0	3.5	0.643	0.786	0.207	5.4	17.55	3.58
282	310R	6080	610	700	450	0.61	0.56					5.4	17.55	0.34
284	079R	6080	610	700	450	0	0	3.5	0.643	0.786	0.207	5.4	17.55	3.58
285	310R	6080	610	700	450	2.59	0.56					5.4	17.55	1.46

Pérdida de carga acumulada del segmento	Δp_t	[Pa]	: 31.04
Velocidad en la sección inicial del segmento	V_m	[m/s]	: 5.3
Velocidad en la sección final del segmento	V_v	[m/s]	: 5.3
Recuperación de presión estática del segmento	Δp_r	[Pa]	: 0
Pérdida de carga acumulada del segmento, considerando la recuperación	Δp_{tm}	[Pa]	: 31.72
Pérdida de carga acumulada neta – total acumulado	$\Sigma \Delta p_{tm}$	[Pa]	: 132.73

SEGMENTO 63:

Tipo: Tramo

1 ELEMENTO		2 Caudal Q	3 Diam. D/D _e	4 Ancho A	5 Alto B	6 Long. L	7 $\Delta p/L$	8 Fuente Tab	9 Ashrae X	10 Ashrae Y	11 Coeff. C _o	12 Veloc. V	13 P.Dinám P _v	14 Pérdida Δp_r o Δp_c
N. pz.	Cod.	[m³/h]	[mm]	[mm]	[mm]	[m]	[Pa/m]	n.	-	-	-	[m/s]	[Pa]	[Pa]
437	3736	1520	400	300	450	0	0	MC4	0.250	0.429	1.050	3.1	5.79	6.08
444	273R	1520	299	300	250	0.27	0	5.1	30.000	1.800	0.050	5.6	18.88	0.95
297	310R	1520	299	300	250	0.7	1.46					5.6	18.88	1.02

Pérdida de carga acumulada del segmento	Δp_t	[Pa]	: 8.06
Velocidad en la sección inicial del segmento	V_m	[m/s]	: 5.3
Velocidad en la sección final del segmento	V_v	[m/s]	: 3.4
Recuperación de presión estática del segmento	Δp_r	[Pa]	: 9.95
Pérdida de carga acumulada del segmento, considerando la recuperación	Δp_{tm}	[Pa]	: -0.89
Pérdida de carga acumulada neta – total acumulado	$\Sigma \Delta p_{tm}$	[Pa]	: 131.84

SEGMENTO 65:

Tipo: Terminal TRM-1

1 ELEMENTO		2 Caudal Q	3 Diam. D/D _e	4 Ancho A	5 Alto B	6 Long. L	7 $\Delta p/L$	8 Fuente Tab	9 Ashrae X	10 Ashrae Y	11 Coeff. C _o	12 Veloc. V	13 P.Dinám P _v	14 Pérdida Δp_r o Δp_c
N. pz.	Cod.	[m³/h]	[mm]	[mm]	[mm]	[m]	[Pa/m]	n.	-	-	-	[m/s]	[Pa]	[Pa]
443	3733D	760	273	250	250	0	0	ASH6_33			0.300	3.4	6.96	2.06

303	310R	760	273	250	250	1.2	0.62					3.4	6.96	0.75
446	42C1	760	248	248	248	0	0	4.7	30.000	1.290	0.300	4.4	11.65	3.45
305	05LC	760	248	248	248	0	0	MC4				4.4	11.65	15.49

Pérdida de carga acumulada del segmento	Δp_t	[Pa]	: 6.26
Velocidad en la sección inicial del segmento	V_m	[m/s]	: 3.4
Velocidad en la sección final del segmento	V_v	[m/s]	: 4.4
Recuperación de presión estática del segmento	Δp_r	[Pa]	: -4.7
Pérdida de carga acumulada del segmento, considerando la recuperación	Δp_{tm}	[Pa]	: 10.89
Pérdida de carga acumulada neta – total acumulado	$\Sigma \Delta p_{tm}$	[Pa]	: 158.22
Desequilibrio del terminal respecto al camino más desfavorable	Δp_{Tmr}	[Pa]	: 102.85

SEGMENTO 64:

Tipo: Terminal TRM-1

1 ELEMENTO		2 Caudal Q	3 Diam. D/D _e	4 Ancho A	5 Alto B	6 Long. L	7 $\Delta p/L$	8 Fuente Tab	9 Ashrae X	10 Ashrae Y	11 Coeff. C _o	12 Veloc. V	13 P.Dinám P _v	14 Pérdida Δp_r o Δp_c
N. pz.	Cod.	[m³/h]	[mm]	[mm]	[mm]	[m]	[Pa/m]	n.	-	-	-	[m/s]	[Pa]	[Pa]
301	3733D	760	273	250	250	0	0	ASH6_33	0.833		0.300	3.4	6.96	2.06
300	310R	760	273	250	250	1.2	0.62					3.4	6.96	0.75
445	42C1	760	248	248	248	0	0	4.7	30.000	1.290	0.300	4.4	11.65	3.45
302	05LC	760	248	248	248	0	0	MC4				4.4	11.65	15.49

Pérdida de carga acumulada del segmento	Δp_t	[Pa]	: 6.26
Velocidad en la sección inicial del segmento	V_m	[m/s]	: 3.4
Velocidad en la sección final del segmento	V_v	[m/s]	: 4.4
Recuperación de presión estática del segmento	Δp_r	[Pa]	: -4.7
Pérdida de carga acumulada del segmento, considerando la recuperación	Δp_{tm}	[Pa]	: 10.89
Pérdida de carga acumulada neta – total acumulado	$\Sigma \Delta p_{tm}$	[Pa]	: 158.22
Desequilibrio del terminal respecto al camino más desfavorable	Δp_{Tmr}	[Pa]	: 102.85

SEGMENTO 62:

Tipo: Tramo

1 ELEMENTO		2 Caudal Q	3 Diam. D/D _e	4 Ancho A	5 Alto B	6 Long. L	7 $\Delta p/L$	8 Fuente Tab	9 Ashrae X	10 Ashrae Y	11 Coeff. C _o	12 Veloc. V	13 P.Dinám P _v	14 Pérdida Δp_r o Δp_c
N. pz.	Cod.	[m³/h]	[mm]	[mm]	[mm]	[m]	[Pa/m]	n.	-	-	-	[m/s]	[Pa]	[Pa]
289	3736	1520	400	300	450	0	0	MC4	0.250	0.429	1.050	3.1	5.79	6.08
440	273R	1520	299	300	250	0.27	0	5.1	30.000	1.800	0.050	5.6	18.88	0.95
288	310R	1520	299	300	250	0.7	1.44					5.6	18.88	1.01

Pérdida de carga acumulada del segmento	Δp_t	[Pa]	: 8.05
Velocidad en la sección inicial del segmento	V_m	[m/s]	: 5.3
Velocidad en la sección final del segmento	V_v	[m/s]	: 3.4
Recuperación de presión estática del segmento	Δp_r	[Pa]	: 9.95
Pérdida de carga acumulada del segmento, considerando la recuperación	Δp_{tm}	[Pa]	: -0.9
Pérdida de carga acumulada neta – total acumulado	$\Sigma \Delta p_{tm}$	[Pa]	: 131.83

SEGMENTO 61:

Tipo: Terminal TRM-1

1 ELEMENTO		2 Caudal Q	3 Diam. D/D _e	4 Ancho A	5 Alto B	6 Long. L	7 $\Delta p/L$	8 Fuente Tab	9 Ashrae X	10 Ashrae Y	11 Coeff. C _o	12 Veloc. V	13 P.Dinám P _v	14 Pérdida Δp_r o Δp_c
---------------	--	------------------	--------------------------------	-----------------	----------------	-----------------	-------------------	--------------------	------------------	-------------------	--------------------------------	-------------------	---------------------------------	--

N. pz.	Cod.	[m³/h]	[mm]	[mm]	[mm]	[m]	[Pa/m]	n.	-	-	-	[m/s]	[Pa]	[Pa]
439	3733D	760	273	250	250	0	0	ASH6_33	0.833		0.300	3.4	6.96	2.06
294	310R	760	273	250	250	1.2	0.62					3.4	6.96	0.75
442	42C1	760	248	248	248	0	0	4.7	30.000	1.290	0.300	4.4	11.65	3.45
296	05LC	760	248	248	248	0	0	MC4				4.4	11.65	15.49

Pérdida de carga acumulada del segmento	Δp_t	[Pa]	: 6.26
Velocidad en la sección inicial del segmento	V_m	[m/s]	: 3.4
Velocidad en la sección final del segmento	V_v	[m/s]	: 4.4
Recuperación de presión estática del segmento	Δp_r	[Pa]	: -4.7
Pérdida de carga acumulada del segmento, considerando la recuperación	Δp_{tm}	[Pa]	: 10.89
Pérdida de carga acumulada neta – total acumulado	$\Sigma \Delta p_{tm}$	[Pa]	: 158.21
Desequilibrio del terminal respecto al camino más desfavorable	Δp_{Tmr}	[Pa]	: 102.86

SEGMENTO 60:

Tipo: Terminal TRM-1

1 ELEMENTO		2 Caudal Q	3 Diam. D/D _e	4 Ancho A	5 Alto B	6 Long. L	7 $\Delta p/L$	8 Fuente Tab	9 Ashrae X	10 Ashrae Y	11 Coeff. C _o	12 Veloc. V	13 P.Dinám P _v	14 Pérdida Δp_r o Δp_c
N. pz.	Cod.	[m³/h]	[mm]	[mm]	[mm]	[m]	[Pa/m]	n.	-	-	-	[m/s]	[Pa]	[Pa]
292	3733D	760	273	250	250	0	0	ASH6_33			0.300	3.4	6.96	2.06
291	310R	760	273	250	250	1.2	0.62					3.4	6.96	0.75
441	42C1	760	248	248	248	0	0	4.7	30.000	1.290	0.300	4.4	11.65	3.45
293	05LC	760	248	248	248	0	0	MC4				4.4	11.65	15.49

Pérdida de carga acumulada del segmento	Δp_t	[Pa]	: 6.26
Velocidad en la sección inicial del segmento	V_m	[m/s]	: 3.4
Velocidad en la sección final del segmento	V_v	[m/s]	: 4.4
Recuperación de presión estática del segmento	Δp_r	[Pa]	: -4.7
Pérdida de carga acumulada del segmento, considerando la recuperación	Δp_{tm}	[Pa]	: 10.89
Pérdida de carga acumulada neta – total acumulado	$\Sigma \Delta p_{tm}$	[Pa]	: 158.21
Desequilibrio del terminal respecto al camino más desfavorable	Δp_{Tmr}	[Pa]	: 102.86

SEGMENTO 66:

Tipo: Tramo

1 ELEMENTO		2 Caudal Q	3 Diam. D/D _e	4 Ancho A	5 Alto B	6 Long. L	7 $\Delta p/L$	8 Fuente Tab	9 Ashrae X	10 Ashrae Y	11 Coeff. C _o	12 Veloc. V	13 P.Dinám P _v	14 Pérdida Δp_r o Δp_c
N. pz.	Cod.	[m³/h]	[mm]	[mm]	[mm]	[m]	[Pa/m]	n.	-	-	-	[m/s]	[Pa]	[Pa]
438	3736	3040	433	350	450	0	0	MC4	1.000		0.063	5.4	17.55	1.1
306	310R	3040	433	350	450	2.59	0.84					5.4	17.55	2.17

Pérdida de carga acumulada del segmento	Δp_t	[Pa]	: 3.27
Velocidad en la sección inicial del segmento	V_m	[m/s]	: 5.3
Velocidad en la sección final del segmento	V_v	[m/s]	: 4.7
Recuperación de presión estática del segmento	Δp_r	[Pa]	: 3.61
Pérdida de carga acumulada del segmento, considerando la recuperación	Δp_{tm}	[Pa]	: 7.18
Pérdida de carga acumulada neta – total acumulado	$\Sigma \Delta p_{tm}$	[Pa]	: 139.92

SEGMENTO 68:

Tipo: Tramo

1 ELEMENTO		2 Caudal Q	3 Diam. D/D _e	4 Ancho A	5 Alto B	6 Long. L	7 $\Delta p/L$	8 Fuente Tab	9 Ashrae X	10 Ashrae Y	11 Coeff. C _o	12 Veloc. V	13 P.Dinám P _v	14 Pérdida Δp_r o Δp_c
N. pz.	Cod.	[m³/h]	[mm]	[mm]	[mm]	[m]	[Pa/m]	n.	-	-	-	[m/s]	[Pa]	[Pa]
447	3736	1520	400	300	450	0	0	MC4	0.583			3.1	5.79	0
452	273R	1520	299	300	250	0.27	0	5.1	30.000	1.800	0.050	5.6	18.88	0.95
315	310R	1520	299	300	250	2.4	1.45					5.6	18.88	3.48

Pérdida de carga acumulada del segmento	Δp_t	[Pa]	: 4.43
Velocidad en la sección inicial del segmento	V_m	[m/s]	: 4.7
Velocidad en la sección final del segmento	V_v	[m/s]	: 5.6
Recuperación de presión estática del segmento	Δp_r	[Pa]	: -5.58
Pérdida de carga acumulada del segmento, considerando la recuperación	Δp_{tn}	[Pa]	: 10.26
Pérdida de carga acumulada neta – total acumulado	$\Sigma \Delta p_{tn}$	[Pa]	: 150.18

SEGMENTO 70:

Tipo: Terminal TRM-1

1 ELEMENTO		2 Caudal Q	3 Diam. D/D _e	4 Ancho A	5 Alto B	6 Long. L	7 $\Delta p/L$	8 Fuente Tab	9 Ashrae X	10 Ashrae Y	11 Coeff. C _o	12 Veloc. V	13 P.Dinám P _v	14 Pérdida Δp_r o Δp_c
N. pz.	Cod.	[m³/h]	[mm]	[mm]	[mm]	[m]	[Pa/m]	n.	-	-	-	[m/s]	[Pa]	[Pa]
451	3733D	760	273	250	250	0	0	ASH6_33	0.833		0.267	3.4	6.96	5.09
324	310R	760	273	250	250	0.7	0.63					3.4	6.96	0.44
326	079R	760	273	250	250	0	0	3.5	1.000	0.900	0.440	3.4	6.96	6.49
327	310R	760	273	250	250	1.01	0.62					3.4	6.96	0.63
454	42C1	760	248	248	248	0	0	4.7	30.000	1.290	0.300	4.4	11.65	3.45
329	05LC	760	248	248	248	0	0	MC4				4.4	11.65	15.49

Pérdida de carga acumulada del segmento	Δp_t	[Pa]	: 16.1
Velocidad en la sección inicial del segmento	V_m	[m/s]	: 5.6
Velocidad en la sección final del segmento	V_v	[m/s]	: 4.4
Recuperación de presión estática del segmento	Δp_r	[Pa]	: 7.22
Pérdida de carga acumulada del segmento, considerando la recuperación	Δp_{tn}	[Pa]	: 12.08
Pérdida de carga acumulada neta – total acumulado	$\Sigma \Delta p_{tn}$	[Pa]	: 177.75
Desequilibrio del terminal respecto al camino más desfavorable	Δp_{Tmr}	[Pa]	: 83.32

SEGMENTO 69:

Tipo: Terminal TRM-1

1 ELEMENTO		2 Caudal Q	3 Diam. D/D _e	4 Ancho A	5 Alto B	6 Long. L	7 $\Delta p/L$	8 Fuente Tab	9 Ashrae X	10 Ashrae Y	11 Coeff. C _o	12 Veloc. V	13 P.Dinám P _v	14 Pérdida Δp_r o Δp_c
N. pz.	Cod.	[m³/h]	[mm]	[mm]	[mm]	[m]	[Pa/m]	n.	-	-	-	[m/s]	[Pa]	[Pa]
319	3733D	760	273	250	250	0	0	ASH6_33			0.267	3.4	6.96	5.09
318	310R	760	273	250	250	0.7	0.61					3.4	6.96	0.43
320	079R	760	273	250	250	0	0	3.5	1.000	0.900	0.440	3.4	6.96	6.49
321	310R	760	273	250	250	1.01	0.62					3.4	6.96	0.63
453	42C1	760	248	248	248	0	0	4.7	30.000	1.290	0.300	4.4	11.65	3.45
323	05LC	760	248	248	248	0	0	MC4				4.4	11.65	15.49

Pérdida de carga acumulada del segmento	Δp_t	[Pa]	: 16.1
Velocidad en la sección inicial del segmento	V_m	[m/s]	: 5.6
Velocidad en la sección final del segmento	V_v	[m/s]	: 4.4
Recuperación de presión estática del segmento	Δp_r	[Pa]	: 7.22
Pérdida de carga acumulada del segmento, considerando la recuperación	Δp_{tn}	[Pa]	: 12.08

Pérdida de carga acumulada neta – total acumulado
Desequilibrio del terminal respecto al camino más desfavorable

$\Sigma \Delta p_{tn}$ [Pa] : 177.75
 Δp_{Tmr} [Pa] : 83.33

SEGMENTO 67:

Tipo: Terminal TRM-1

1 ELEMENTO		2 Caudal Q	3 Diam. D/D _e	4 Ancho A	5 Alto B	6 Long. L	7 $\Delta p/L$	8 Fuente Tab	9 Ashrae X	10 Ashrae Y	11 Coeff. C _o	12 Veloc. V	13 P.Dinám P _v	14 Pérdida Δp_r o Δp_c
N. pz.	Cod.	[m³/h]	[mm]	[mm]	[mm]	[m]	[Pa/m]	n.	-	-	-	[m/s]	[Pa]	[Pa]
310	3736	760	363	250	450	0	0	MC4	0.250	0.714	2.350	1.9	2.17	5.11
449	273R	760	273	250	250	0.27	0	5.1	30.000	1.800	0.050	3.4	6.96	0.34
309	310R	760	273	250	250	0.7	0.61					3.4	6.96	0.43
311	079R	760	273	250	250	0	0	3.5	1.000	0.900	0.440	3.4	6.96	6.49
312	310R	760	273	250	250	1.01	0.62					3.4	6.96	0.63
450	42C1	760	248	248	248	0	0	4.7	30.000	1.290	0.300	4.4	11.65	3.45
314	05LC	760	248	248	248	0	0	MC4				4.4	11.65	15.49

Pérdida de carga acumulada del segmento
Velocidad en la sección inicial del segmento
Velocidad en la sección final del segmento
Recuperación de presión estática del segmento
Pérdida de carga acumulada del segmento, considerando la recuperación
Pérdida de carga acumulada neta – total acumulado
Desequilibrio del terminal respecto al camino más desfavorable

Δp_t [Pa] : 16.46
 V_m [m/s] : 4.7
 V_v [m/s] : 4.4
 Δp_r [Pa] : 1.64
 Δp_{tn} [Pa] : 18.28
 $\Sigma \Delta p_{tn}$ [Pa] : 173.68
 Δp_{Tmr} [Pa] : 87.39

SEGMENTO 71:

Tipo: Terminal TRM-1

1 ELEMENTO		2 Caudal Q	3 Diam. D/D _e	4 Ancho A	5 Alto B	6 Long. L	7 $\Delta p/L$	8 Fuente Tab	9 Ashrae X	10 Ashrae Y	11 Coeff. C _o	12 Veloc. V	13 P.Dinám P _v	14 Pérdida Δp_r o Δp_c
N. pz.	Cod.	[m³/h]	[mm]	[mm]	[mm]	[m]	[Pa/m]	n.	-	-	-	[m/s]	[Pa]	[Pa]
448	3736	760	363	250	450	0	0	MC4	0.250	0.714	2.350	1.9	2.17	5.11
455	273R	760	273	250	250	0.27	0	5.1	30.000	1.800	0.050	3.4	6.96	0.34
330	310R	760	273	250	250	0.7	0.63					3.4	6.96	0.44
332	079R	760	273	250	250	0	0	3.5	1.000	0.900	0.440	3.4	6.96	6.49
333	310R	760	273	250	250	1.01	0.62					3.4	6.96	0.63
456	42C1	760	248	248	248	0	0	4.7	30.000	1.290	0.300	4.4	11.65	3.45
335	05LC	760	248	248	248	0	0	MC4				4.4	11.65	15.49

Pérdida de carga acumulada del segmento
Velocidad en la sección inicial del segmento
Velocidad en la sección final del segmento
Recuperación de presión estática del segmento
Pérdida de carga acumulada del segmento, considerando la recuperación
Pérdida de carga acumulada neta – total acumulado
Desequilibrio del terminal respecto al camino más desfavorable

Δp_t [Pa] : 16.47
 V_m [m/s] : 4.7
 V_v [m/s] : 4.4
 Δp_r [Pa] : 1.64
 Δp_{tn} [Pa] : 18.28
 $\Sigma \Delta p_{tn}$ [Pa] : 173.68
 Δp_{Tmr} [Pa] : 87.39

SEGMENTO 58:

Tipo: Tramo

1 ELEMENTO		2 Caudal Q	3 Diam. D/D _e	4 Ancho A	5 Alto B	6 Long. L	7 $\Delta p/L$	8 Fuente Tab	9 Ashrae X	10 Ashrae Y	11 Coeff. C _o	12 Veloc. V	13 P.Dinám P _v	14 Pérdida Δp_r o Δp_c
N. pz.	Cod.	[m³/h]	[mm]	[mm]	[mm]	[m]	[Pa/m]	n.	-	-	-	[m/s]	[Pa]	[Pa]
227	3722D	5095	567	600	450	0	0	MC4	0.456	0.857	0.555	5.2	16.28	9.04
226	310R	5095	567	600	450	2.32	0.58					5.2	16.28	1.35

Pérdida de carga acumulada del segmento	Δp_t	[Pa]	: 10.39
Velocidad en la sección inicial del segmento	V_m	[m/s]	: 5.3
Velocidad en la sección final del segmento	V_v	[m/s]	: 4.4
Recuperación de presión estática del segmento	Δp_r	[Pa]	: 5.26
Pérdida de carga acumulada del segmento, considerando la recuperación	Δp_{tm}	[Pa]	: 6.04
Pérdida de carga acumulada neta – total acumulado	$\Sigma \Delta p_{tm}$	[Pa]	: 107.06

SEGMENTO 53:

Tipo: Tramo

1 ELEMENTO		2 Caudal Q	3 Diam. D/D _e	4 Ancho A	5 Alto B	6 Long. L	7 $\Delta p/L$	8 Fuente Tab	9 Ashrae X	10 Ashrae Y	11 Coeff. C _o	12 Veloc. V	13 P.Dinám P _v	14 Pérdida Δp_r o Δp_c
N. pz.	Cod.	[m³/h]	[mm]	[mm]	[mm]	[m]	[Pa/m]	n.	-	-	-	[m/s]	[Pa]	[Pa]
417	3722D	2185	400	300	450	0	0	MC4	0.429	0.857	0.464	4.5	12.19	5.66
430	273R	2185	378	300	400	0.14	0	5.1	30.000	1.130	0.050	5.1	15.66	8.21
252	310R	2185	378	300	400	0.63	0.9					5.1	15.66	0.57

Pérdida de carga acumulada del segmento	Δp_t	[Pa]	: 14.43
Velocidad en la sección inicial del segmento	V_m	[m/s]	: 4.4
Velocidad en la sección final del segmento	V_v	[m/s]	: 4.9
Recuperación de presión estática del segmento	Δp_r	[Pa]	: -2.8
Pérdida de carga acumulada del segmento, considerando la recuperación	Δp_{tm}	[Pa]	: 9.39
Pérdida de carga acumulada neta – total acumulado	$\Sigma \Delta p_{tm}$	[Pa]	: 116.45

SEGMENTO 55:

Tipo: Tramo

1 ELEMENTO		2 Caudal Q	3 Diam. D/D _e	4 Ancho A	5 Alto B	6 Long. L	7 $\Delta p/L$	8 Fuente Tab	9 Ashrae X	10 Ashrae Y	11 Coeff. C _o	12 Veloc. V	13 P.Dinám P _v	14 Pérdida Δp_r o Δp_c
N. pz.	Cod.	[m³/h]	[mm]	[mm]	[mm]	[m]	[Pa/m]	n.	-	-	-	[m/s]	[Pa]	[Pa]
429	3722D	1455	378	300	400	0	0	MC4	0.333	1.000	0.126	3.4	6.96	0.88
433	273R	1455	299	300	250	0.23	0	5.1	30.000	1.600	0.050	5.4	17.55	6.6
261	310R	1455	299	300	250	1.33	1.34					5.4	17.55	1.78
263	079R	1455	299	300	250	0	0	3.5	0.833	0.900	0.409	5.4	17.55	13.13
264	310R	1455	299	300	250	0.58	1.33					5.4	17.55	0.77

Pérdida de carga acumulada del segmento	Δp_t	[Pa]	: 23.16
Velocidad en la sección inicial del segmento	V_m	[m/s]	: 4.9
Velocidad en la sección final del segmento	V_v	[m/s]	: 3.2
Recuperación de presión estática del segmento	Δp_r	[Pa]	: 8.29
Pérdida de carga acumulada del segmento, considerando la recuperación	Δp_{tm}	[Pa]	: 10.43
Pérdida de carga acumulada neta – total acumulado	$\Sigma \Delta p_{tm}$	[Pa]	: 126.88

SEGMENTO 57:

Tipo: Terminal TRM-1

1 ELEMENTO		2 Caudal Q	3 Diam. D/D _e	4 Ancho A	5 Alto B	6 Long. L	7 $\Delta p/L$	8 Fuente Tab	9 Ashrae X	10 Ashrae Y	11 Coeff. C _o	12 Veloc. V	13 P.Dinám P _v	14 Pérdida Δp_r o Δp_c
N. pz.	Cod.	[m³/h]	[mm]	[mm]	[mm]	[m]	[Pa/m]	n.	-	-	-	[m/s]	[Pa]	[Pa]
434	3733D	730	273	250	250	0	0	ASH6_33	0.833		0.300	3.2	6.16	1.89
270	310R	730	273	250	250	1.01	0.57					3.2	6.16	0.58

436	42C1	730	248	248	248	0	0	4.7	30.000	1.290	0.300	4.2	10.62	3.17
272	05LC	730	248	248	248	0	0	MC4				4.2	10.62	14.21

Pérdida de carga acumulada del segmento	Δp_t	[Pa]	: 5.64
Velocidad en la sección inicial del segmento	V_m	[m/s]	: 3.2
Velocidad en la sección final del segmento	V_v	[m/s]	: 4.2
Recuperación de presión estática del segmento	Δp_r	[Pa]	: -4.45
Pérdida de carga acumulada del segmento, considerando la recuperación	Δp_{tn}	[Pa]	: 9.89
Pérdida de carga acumulada neta – total acumulado	$\Sigma \Delta p_{tn}$	[Pa]	: 150.98
Desequilibrio del terminal respecto al camino más desfavorable	Δp_{Tmr}	[Pa]	: 110.1

SEGMENTO 56:

Tipo: Terminal TRM-1

1 ELEMENTO		2 Caudal Q	3 Diam. D/D _e	4 Ancho A	5 Alto B	6 Long. L	7 $\Delta p/L$	8 Fuente Tab	9 Ashrae X	10 Ashrae Y	11 Coeff. C _o	12 Veloc. V	13 P.Dinám P _v	14 Pérdida Δp_r o Δp_e
N. pz.	Cod.	[m³/h]	[mm]	[mm]	[mm]	[m]	[Pa/m]	n.	-	-	-	[m/s]	[Pa]	[Pa]
268	3733D	730	273	250	250	0	0	ASH6_33			0.300	3.2	6.16	1.89
267	310R	730	273	250	250	0.99	0.58					3.2	6.16	0.57
435	42C1	730	248	248	248	0	0	4.7	30.000	1.290	0.300	4.2	10.62	3.17
269	05LC	730	248	248	248	0	0	MC4				4.2	10.62	14.21

Pérdida de carga acumulada del segmento	Δp_t	[Pa]	: 5.62
Velocidad en la sección inicial del segmento	V_m	[m/s]	: 3.2
Velocidad en la sección final del segmento	V_v	[m/s]	: 4.2
Recuperación de presión estática del segmento	Δp_r	[Pa]	: -4.45
Pérdida de carga acumulada del segmento, considerando la recuperación	Δp_{tn}	[Pa]	: 9.87
Pérdida de carga acumulada neta – total acumulado	$\Sigma \Delta p_{tn}$	[Pa]	: 150.96
Desequilibrio del terminal respecto al camino más desfavorable	Δp_{Tmr}	[Pa]	: 110.11

SEGMENTO 54:

Tipo: Terminal TRM-1

1 ELEMENTO		2 Caudal Q	3 Diam. D/D _e	4 Ancho A	5 Alto B	6 Long. L	7 $\Delta p/L$	8 Fuente Tab	9 Ashrae X	10 Ashrae Y	11 Coeff. C _o	12 Veloc. V	13 P.Dinám P _v	14 Pérdida Δp_r o Δp_e
N. pz.	Cod.	[m³/h]	[mm]	[mm]	[mm]	[m]	[Pa/m]	n.	-	-	-	[m/s]	[Pa]	[Pa]
256	3722D	730	378	300	400	0	0	MC4	0.333	1.000	3.610	1.7	1.74	6.29
431	273R	730	299	300	250	0.23	0	5.1	30.000	1.600	0.050	2.7	4.39	6.6
255	310R	730	299	300	250	0.62	0.37					2.7	4.39	0.23
257	079R	730	299	300	250	0	0	3.5	0.833	0.900	0.479	2.7	4.39	6.01
258	310R	730	273	250	250	0.92	0.58					3.2	6.16	0.53
432	42C1	730	248	248	248	0	0	4.7	30.000	1.290	0.300	4.2	10.62	3.17
260	05LC	730	248	248	248	0	0	MC4				4.2	10.62	14.21

Pérdida de carga acumulada del segmento	Δp_t	[Pa]	: 22.83
Velocidad en la sección inicial del segmento	V_m	[m/s]	: 4.9
Velocidad en la sección final del segmento	V_v	[m/s]	: 4.2
Recuperación de presión estática del segmento	Δp_r	[Pa]	: 3.83
Pérdida de carga acumulada del segmento, considerando la recuperación	Δp_{tn}	[Pa]	: 15.8
Pérdida de carga acumulada neta – total acumulado	$\Sigma \Delta p_{tn}$	[Pa]	: 146.46
Desequilibrio del terminal respecto al camino más desfavorable	Δp_{Tmr}	[Pa]	: 114.62

SEGMENTO 52:

Tipo: Tramo

1 ELEMENTO		2 Caudal Q	3 Diam. D/D _e	4 Ancho A	5 Alto B	6 Long. L	7 $\Delta p/L$	8 Fuente Tab	9 Ashrae X	10 Ashrae Y	11 Coeff. C _o	12 Veloc. V	13 P.Dinám P _v	14 Pérdida Δp_r o Δp_c
N. pz.	Cod.	[m³/h]	[mm]	[mm]	[mm]	[m]	[Pa/m]	n.	-	-	-	[m/s]	[Pa]	[Pa]
418	3722D	2910	433	350	450	0	0	MC4	0.429	0.857	0.064	5.1	15.66	1
229	310R	2910	433	350	450	0.66	0.77					5.1	15.66	0.51

Pérdida de carga acumulada del segmento	Δp_t	[Pa]	: 1.52
Velocidad en la sección inicial del segmento	V_m	[m/s]	: 4.4
Velocidad en la sección final del segmento	V_v	[m/s]	: 4.5
Recuperación de presión estática del segmento	Δp_r	[Pa]	: -0.54
Pérdida de carga acumulada del segmento, considerando la recuperación	Δp_{tm}	[Pa]	: 8.72
Pérdida de carga acumulada neta – total acumulado	$\Sigma \Delta p_{tm}$	[Pa]	: 115.77

SEGMENTO 49:

Tipo: Tramo

1 ELEMENTO		2 Caudal Q	3 Diam. D/D _e	4 Ancho A	5 Alto B	6 Long. L	7 $\Delta p/L$	8 Fuente Tab	9 Ashrae X	10 Ashrae Y	11 Coeff. C _o	12 Veloc. V	13 P.Dinám P _v	14 Pérdida Δp_r o Δp_c
N. pz.	Cod.	[m³/h]	[mm]	[mm]	[mm]	[m]	[Pa/m]	n.	-	-	-	[m/s]	[Pa]	[Pa]
419	3722D	1455	400	300	450	0	0	MC4	0.500	1.000	0.887	3	5.42	4.81
426	273R	1455	299	300	250	0.27	0	5.1	30.000	1.800	0.050	5.4	17.55	0.88
243	310R	1455	299	300	250	0.74	1.34					5.4	17.55	0.99

Pérdida de carga acumulada del segmento	Δp_t	[Pa]	: 6.68
Velocidad en la sección inicial del segmento	V_m	[m/s]	: 4.5
Velocidad en la sección final del segmento	V_v	[m/s]	: 3.2
Recuperación de presión estática del segmento	Δp_r	[Pa]	: 6.03
Pérdida de carga acumulada del segmento, considerando la recuperación	Δp_{tm}	[Pa]	: 1.7
Pérdida de carga acumulada neta – total acumulado	$\Sigma \Delta p_{tm}$	[Pa]	: 117.47

SEGMENTO 51:

Tipo: Terminal TRM-1

1 ELEMENTO		2 Caudal Q	3 Diam. D/D _e	4 Ancho A	5 Alto B	6 Long. L	7 $\Delta p/L$	8 Fuente Tab	9 Ashrae X	10 Ashrae Y	11 Coeff. C _o	12 Veloc. V	13 P.Dinám P _v	14 Pérdida Δp_r o Δp_c
N. pz.	Cod.	[m³/h]	[mm]	[mm]	[mm]	[m]	[Pa/m]	n.	-	-	-	[m/s]	[Pa]	[Pa]
425	3733D	730	273	250	250	0	0	ASH6_33			0.300	3.2	6.16	1.89
249	310R	730	273	250	250	1.24	0.57					3.2	6.16	0.71
428	42C1	730	248	248	248	0	0	4.7	30.000	1.290	0.300	4.2	10.62	3.17
251	05LC	730	248	248	248	0	0	MC4				4.2	10.62	14.21

Pérdida de carga acumulada del segmento	Δp_t	[Pa]	: 5.77
Velocidad en la sección inicial del segmento	V_m	[m/s]	: 3.2
Velocidad en la sección final del segmento	V_v	[m/s]	: 4.2
Recuperación de presión estática del segmento	Δp_r	[Pa]	: -4.45
Pérdida de carga acumulada del segmento, considerando la recuperación	Δp_{tm}	[Pa]	: 10.02
Pérdida de carga acumulada neta – total acumulado	$\Sigma \Delta p_{tm}$	[Pa]	: 141.7
Desequilibrio del terminal respecto al camino más desfavorable	Δp_{Tmr}	[Pa]	: 119.38

SEGMENTO 50:

Tipo: Terminal TRM-1

1 ELEMENTO		2 Caudal Q	3 Diam. D/D _e	4 Ancho A	5 Alto B	6 Long. L	7 $\Delta p/L$	8 Fuente Tab	9 Ashrae X	10 Ashrae Y	11 Coeff. C _o	12 Veloc. V	13 P.Dinám P _v	14 Pérdida Δp_r o Δp_c
N. pz.	Cod.	[m³/h]	[mm]	[mm]	[mm]	[m]	[Pa/m]	n.	-	-	-	[m/s]	[Pa]	[Pa]
247	3733D	730	273	250	250	0	0	ASH6_33	0.833		0.300	3.2	6.16	1.89
246	310R	730	273	250	250	1.16	0.58					3.2	6.16	0.67
427	42C1	730	248	248	248	0	0	4.7	30.000	1.290	0.300	4.2	10.62	3.17
248	05LC	730	248	248	248	0	0	MC4				4.2	10.62	14.21

Pérdida de carga acumulada del segmento	Δp_t	[Pa]	: 5.73
Velocidad en la sección inicial del segmento	V_m	[m/s]	: 3.2
Velocidad en la sección final del segmento	V_v	[m/s]	: 4.2
Recuperación de presión estática del segmento	Δp_r	[Pa]	: -4.45
Pérdida de carga acumulada del segmento, considerando la recuperación	Δp_{tm}	[Pa]	: 9.97
Pérdida de carga acumulada neta – total acumulado	$\Sigma \Delta p_{tm}$	[Pa]	: 141.65
Desequilibrio del terminal respecto al camino más desfavorable	Δp_{Tmr}	[Pa]	: 119.42

SEGMENTO 48:

Tipo: Tramo

1 ELEMENTO		2 Caudal Q	3 Diam. D/D _e	4 Ancho A	5 Alto B	6 Long. L	7 $\Delta p/L$	8 Fuente Tab	9 Ashrae X	10 Ashrae Y	11 Coeff. C _o	12 Veloc. V	13 P.Dinám P _v	14 Pérdida Δp_r o Δp_c
N. pz.	Cod.	[m³/h]	[mm]	[mm]	[mm]	[m]	[Pa/m]	n.	-	-	-	[m/s]	[Pa]	[Pa]
420	3722D	1455	400	300	450	0	0	MC4	0.500	1.000		3	5.42	0
421	273R	1455	299	300	250	0.27	0	5.1	30.000	1.800	0.050	5.4	17.55	0.88
230	310R	1455	299	300	250	0.54	1.33					5.4	17.55	0.72
228	079R	1455	299	300	250	0	0	3.5	0.833	0.900	0.409	5.4	17.55	7.15
231	310R	1455	299	300	250	1.97	1.34					5.4	17.55	2.63
233	079R	1455	299	300	250	0	0	3.5	0.833	0.900	0.409	5.4	17.55	13.13
234	310R	1455	299	300	250	0.62	1.34					5.4	17.55	0.83

Pérdida de carga acumulada del segmento	Δp_t	[Pa]	: 25.34
Velocidad en la sección inicial del segmento	V_m	[m/s]	: 4.5
Velocidad en la sección final del segmento	V_v	[m/s]	: 3.2
Recuperación de presión estática del segmento	Δp_r	[Pa]	: 6.03
Pérdida de carga acumulada del segmento, considerando la recuperación	Δp_{tm}	[Pa]	: 21.24
Pérdida de carga acumulada neta – total acumulado	$\Sigma \Delta p_{tm}$	[Pa]	: 137.01

SEGMENTO 47:

Tipo: Terminal TRM-1

1 ELEMENTO		2 Caudal Q	3 Diam. D/D _e	4 Ancho A	5 Alto B	6 Long. L	7 $\Delta p/L$	8 Fuente Tab	9 Ashrae X	10 Ashrae Y	11 Coeff. C _o	12 Veloc. V	13 P.Dinám P _v	14 Pérdida Δp_r o Δp_c
N. pz.	Cod.	[m³/h]	[mm]	[mm]	[mm]	[m]	[Pa/m]	n.	-	-	-	[m/s]	[Pa]	[Pa]
422	3733D	730	273	250	250	0	0	ASH6_33	0.833		0.300	3.2	6.16	1.89
240	310R	730	273	250	250	0.99	0.58					3.2	6.16	0.57
424	42C1	730	248	248	248	0	0	4.7	30.000	1.290	0.300	4.2	10.62	3.17
242	05LC	730	248	248	248	0	0	MC4				4.2	10.62	14.21

Pérdida de carga acumulada del segmento	Δp_t	[Pa]	: 5.62
Velocidad en la sección inicial del segmento	V_m	[m/s]	: 3.2
Velocidad en la sección final del segmento	V_v	[m/s]	: 4.2
Recuperación de presión estática del segmento	Δp_r	[Pa]	: -4.45

Pérdida de carga acumulada del segmento, considerando la recuperación
 Pérdida de carga acumulada neta – total acumulado
 Desequilibrio del terminal respecto al camino más desfavorable

Δp_{tm} [Pa] : 9.87
 $\Sigma \Delta p_{tm}$ [Pa] : 161.09
 Δp_{Tmr} [Pa] : 99.98

SEGMENTO 46:**Tipo:** Terminal TRM-1

1 ELEMENTO		2 Caudal Q	3 Diam. D/D _e	4 Ancho A	5 Alto B	6 Long. L	7 $\Delta p/L$	8 Fuente Tab	9 Ashrae X	10 Ashrae Y	11 Coeff. C _o	12 Veloc. V	13 P.Dinám P _v	14 Pérdida Δp_r o Δp_e
N. pz.	Cod.	[m³/h]	[mm]	[mm]	[mm]	[m]	[Pa/m]	n.	-	-	-	[m/s]	[Pa]	[Pa]
238	3733D	730	273	250	250	0	0	ASH6_33			0.300	3.2	6.16	1.89
237	310R	730	273	250	250	1.01	0.57					3.2	6.16	0.58
423	42C1	730	248	248	248	0	0	4.7	30.000	1.290	0.300	4.2	10.62	3.17
239	05LC	730	248	248	248	0	0	MC4				4.2	10.62	14.21

Pérdida de carga acumulada del segmento
 Velocidad en la sección inicial del segmento
 Velocidad en la sección final del segmento
 Recuperación de presión estática del segmento
 Pérdida de carga acumulada del segmento, considerando la recuperación
 Pérdida de carga acumulada neta – total acumulado
 Desequilibrio del terminal respecto al camino más desfavorable

Δp_t [Pa] : 5.64
 V_m [m/s] : 3.2
 V_v [m/s] : 4.2
 Δp_r [Pa] : -4.45
 Δp_{tm} [Pa] : 9.89
 $\Sigma \Delta p_{tm}$ [Pa] : 161.11
 Δp_{Tmr} [Pa] : 99.97

SEGMENTO 44:**Tipo:** Tramo

1 ELEMENTO		2 Caudal Q	3 Diam. D/D _e	4 Ancho A	5 Alto B	6 Long. L	7 $\Delta p/L$	8 Fuente Tab	9 Ashrae X	10 Ashrae Y	11 Coeff. C _o	12 Veloc. V	13 P.Dinám P _v	14 Pérdida Δp_r o Δp_e
N. pz.	Cod.	[m³/h]	[mm]	[mm]	[mm]	[m]	[Pa/m]	n.	-	-	-	[m/s]	[Pa]	[Pa]
404	3722D	2650	543	450	550	0	0	MC4	0.808	2.890	0.421	3	5.42	2.28
406	273R	2650	400	450	300	0.32	0	5.1	30.000	1.830	0.050	5.5	18.21	0.9
198	310R	2650	400	450	300	1.92	0.96					5.5	18.21	1.85

Pérdida de carga acumulada del segmento
 Velocidad en la sección inicial del segmento
 Velocidad en la sección final del segmento
 Recuperación de presión estática del segmento
 Pérdida de carga acumulada del segmento, considerando la recuperación
 Pérdida de carga acumulada neta – total acumulado

Δp_t [Pa] : 5.03
 V_m [m/s] : 5.3
 V_v [m/s] : 4.1
 Δp_r [Pa] : 6.79
 Δp_{tm} [Pa] : -1.12
 $\Sigma \Delta p_{tm}$ [Pa] : 68.82

SEGMENTO 41:**Tipo:** Tramo

1 ELEMENTO		2 Caudal Q	3 Diam. D/D _e	4 Ancho A	5 Alto B	6 Long. L	7 $\Delta p/L$	8 Fuente Tab	9 Ashrae X	10 Ashrae Y	11 Coeff. C _o	12 Veloc. V	13 P.Dinám P _v	14 Pérdida Δp_r o Δp_e
N. pz.	Cod.	[m³/h]	[mm]	[mm]	[mm]	[m]	[Pa/m]	n.	-	-	-	[m/s]	[Pa]	[Pa]
405	3722D	1325	328	300	300	0	0	MC4	0.500	1.000		4.1	10.12	0
411	273R	1325	299	300	250	0.14	0	5.1	30.000	1.200	0.050	4.9	14.45	0.73
208	310R	1325	299	300	250	0.5	1.12					4.9	14.45	0.56
210	079R	1325	299	300	250	0	0	3.5	0.833	0.900	0.420	4.9	14.45	14.04
211	310R	1325	299	300	250	1.22	1.12					4.9	14.45	1.37

Pérdida de carga acumulada del segmento	Δp_t	[Pa]	: 16.69
Velocidad en la sección inicial del segmento	V_m	[m/s]	: 4.1
Velocidad en la sección final del segmento	V_v	[m/s]	: 4.6
Recuperación de presión estática del segmento	Δp_r	[Pa]	: -2.62
Pérdida de carga acumulada del segmento, considerando la recuperación	Δp_{tn}	[Pa]	: 27.62
Pérdida de carga acumulada neta – total acumulado	$\Sigma \Delta p_{tn}$	[Pa]	: 96.44

SEGMENTO 43:

Tipo: Terminal TRM-1

1 ELEMENTO		2 Caudal Q	3 Diam. D/D _e	4 Ancho A	5 Alto B	6 Long. L	7 $\Delta p/L$	8 Fuente Tab	9 Ashrae X	10 Ashrae Y	11 Coeff. C _o	12 Veloc. V	13 P.Dinám P _v	14 Pérdida Δp_r o Δp_e
N. pz.	Cod.	[m³/h]	[mm]	[mm]	[mm]	[m]	[Pa/m]	n.	-	-	-	[m/s]	[Pa]	[Pa]
412	3733D	665	273	250	250	0	0	ASH6_33			0.287	2.9	5.06	3.67
217	310R	665	273	250	250	1.39	0.49					2.9	5.06	0.68
414	42C1	665	248	248	248	0	0	4.7	30.000	1.290	0.300	3.8	8.69	2.63
219	05LC	665	248	248	248	0	0	MC4				3.8	8.69	11.79

Pérdida de carga acumulada del segmento	Δp_t	[Pa]	: 6.97
Velocidad en la sección inicial del segmento	V_m	[m/s]	: 4.6
Velocidad en la sección final del segmento	V_v	[m/s]	: 3.8
Recuperación de presión estática del segmento	Δp_r	[Pa]	: 4.05
Pérdida de carga acumulada del segmento, considerando la recuperación	Δp_{tn}	[Pa]	: 5.41
Pérdida de carga acumulada neta – total acumulado	$\Sigma \Delta p_{tn}$	[Pa]	: 113.64
Desequilibrio del terminal respecto al camino más desfavorable	Δp_{Tmr}	[Pa]	: 147.44

SEGMENTO 42:

Tipo: Terminal TRM-1

1 ELEMENTO		2 Caudal Q	3 Diam. D/D _e	4 Ancho A	5 Alto B	6 Long. L	7 $\Delta p/L$	8 Fuente Tab	9 Ashrae X	10 Ashrae Y	11 Coeff. C _o	12 Veloc. V	13 P.Dinám P _v	14 Pérdida Δp_r o Δp_e
N. pz.	Cod.	[m³/h]	[mm]	[mm]	[mm]	[m]	[Pa/m]	n.	-	-	-	[m/s]	[Pa]	[Pa]
215	3733D	665	273	250	250	0	0	ASH6_33	0.833		0.287	2.9	5.06	3.67
214	310R	665	273	250	250	0.71	0.49					2.9	5.06	0.35
413	42C1	665	248	248	248	0	0	4.7	30.000	1.290	0.300	3.8	8.69	2.63
216	05LC	665	248	248	248	0	0	MC4				3.8	8.69	11.79

Pérdida de carga acumulada del segmento	Δp_t	[Pa]	: 6.64
Velocidad en la sección inicial del segmento	V_m	[m/s]	: 4.6
Velocidad en la sección final del segmento	V_v	[m/s]	: 3.8
Recuperación de presión estática del segmento	Δp_r	[Pa]	: 4.05
Pérdida de carga acumulada del segmento, considerando la recuperación	Δp_{tn}	[Pa]	: 5.08
Pérdida de carga acumulada neta – total acumulado	$\Sigma \Delta p_{tn}$	[Pa]	: 113.31
Desequilibrio del terminal respecto al camino más desfavorable	Δp_{Tmr}	[Pa]	: 147.77

SEGMENTO 40:

Tipo: Tramo

1 ELEMENTO		2 Caudal Q	3 Diam. D/D _e	4 Ancho A	5 Alto B	6 Long. L	7 $\Delta p/L$	8 Fuente Tab	9 Ashrae X	10 Ashrae Y	11 Coeff. C _o	12 Veloc. V	13 P.Dinám P _v	14 Pérdida Δp_r o Δp_e
N. pz.	Cod.	[m³/h]	[mm]	[mm]	[mm]	[m]	[Pa/m]	n.	-	-	-	[m/s]	[Pa]	[Pa]
200	3722D	1325	328	300	300	0	0	MC4	0.500	1.000	0.404	4.1	10.12	4.09

408	273R	1325	299	300	250	0.14	0	5.1	30.000	1.200	0.050	4.9	14.45	0.73
199	310R	1325	299	300	250	1.78	1.12					4.9	14.45	1.99

Pérdida de carga acumulada del segmento	Δp_t	[Pa]	: 6.81
Velocidad en la sección inicial del segmento	V_m	[m/s]	: 4.1
Velocidad en la sección final del segmento	V_v	[m/s]	: 4.6
Recuperación de presión estática del segmento	Δp_r	[Pa]	: -2.62
Pérdida de carga acumulada del segmento, considerando la recuperación	Δp_{tm}	[Pa]	: 10.21
Pérdida de carga acumulada neta – total acumulado	$\Sigma \Delta p_{tm}$	[Pa]	: 79.03

SEGMENTO 39:

Tipo: Terminal TRM-1

1 ELEMENTO		2 Caudal Q	3 Diam. D/D _e	4 Ancho A	5 Alto B	6 Long. L	7 $\Delta p/L$	8 Fuente Tab	9 Ashrae X	10 Ashrae Y	11 Coeff. C _o	12 Veloc. V	13 P.Dinám P _v	14 Pérdida Δp_r o Δp_e
N. pz.	Cod.	[m³/h]	[mm]	[mm]	[mm]	[m]	[Pa/m]	n.	-	-	-	[m/s]	[Pa]	[Pa]
407	3733D	665	273	250	250	0	0	ASH6_33	0.833		0.287	2.9	5.06	3.67
205	310R	665	273	250	250	0.89	0.48					2.9	5.06	0.43
410	42C1	665	248	248	248	0	0	4.7	30.000	1.290	0.300	3.8	8.69	2.63
207	05LC	665	248	248	248	0	0	MC4				3.8	8.69	11.79

Pérdida de carga acumulada del segmento	Δp_t	[Pa]	: 6.73
Velocidad en la sección inicial del segmento	V_m	[m/s]	: 4.6
Velocidad en la sección final del segmento	V_v	[m/s]	: 3.8
Recuperación de presión estática del segmento	Δp_r	[Pa]	: 4.05
Pérdida de carga acumulada del segmento, considerando la recuperación	Δp_{tm}	[Pa]	: 5.17
Pérdida de carga acumulada neta – total acumulado	$\Sigma \Delta p_{tm}$	[Pa]	: 95.98
Desequilibrio del terminal respecto al camino más desfavorable	Δp_{Tmr}	[Pa]	: 165.09

SEGMENTO 38:

Tipo: Terminal TRM-1

1 ELEMENTO		2 Caudal Q	3 Diam. D/D _e	4 Ancho A	5 Alto B	6 Long. L	7 $\Delta p/L$	8 Fuente Tab	9 Ashrae X	10 Ashrae Y	11 Coeff. C _o	12 Veloc. V	13 P.Dinám P _v	14 Pérdida Δp_r o Δp_e
N. pz.	Cod.	[m³/h]	[mm]	[mm]	[mm]	[m]	[Pa/m]	n.	-	-	-	[m/s]	[Pa]	[Pa]
203	3733D	665	273	250	250	0	0	ASH6_33			0.287	2.9	5.06	3.67
202	310R	665	273	250	250	1.21	0.49					2.9	5.06	0.59
409	42C1	665	248	248	248	0	0	4.7	30.000	1.290	0.300	3.8	8.69	2.63
204	05LC	665	248	248	248	0	0	MC4				3.8	8.69	11.79

Pérdida de carga acumulada del segmento	Δp_t	[Pa]	: 6.88
Velocidad en la sección inicial del segmento	V_m	[m/s]	: 4.6
Velocidad en la sección final del segmento	V_v	[m/s]	: 3.8
Recuperación de presión estática del segmento	Δp_r	[Pa]	: 4.05
Pérdida de carga acumulada del segmento, considerando la recuperación	Δp_{tm}	[Pa]	: 5.32
Pérdida de carga acumulada neta – total acumulado	$\Sigma \Delta p_{tm}$	[Pa]	: 96.14
Desequilibrio del terminal respecto al camino más desfavorable	Δp_{Tmr}	[Pa]	: 164.94

SEGMENTO 36:

Tipo: Tramo

1 ELEMENTO	2 Caudal	3 Diam.	4 Ancho	5 Alto	6 Long.	7 $\Delta p/L$	8 Fuente	9 Ashrae	10 Ashrae	11 Coeff.	12 Veloc.	13 P.Dinám	14 Pérdida
---------------	-------------	------------	------------	-----------	------------	-------------------	-------------	-------------	--------------	--------------	--------------	---------------	---------------

		Q	D/D _e	A	B	L		Tab	X	Y	C _o	V	P _v	Δp _r o Δp _e
N. pz.	Cod.	[m³/h]	[mm]	[mm]	[mm]	[m]	[Pa/m]	n.	-	-	-	[m/s]	[Pa]	[Pa]
10	3722D	12200	1041	1600	600	0	0	MC4	0.469	1.090	1.780	3.5	7.37	13.09
338	273R	12200	896	1150	600	0.49	0	5.1	30.000	1.390	0.050	4.9	14.45	0.73
9	310R	12200	896	1150	600	1.57	0.31					4.9	14.45	0.48

Pérdida de carga acumulada del segmento	Δp _t	[Pa]	: 14.3
Velocidad en la sección inicial del segmento	V _m	[m/s]	: 5.6
Velocidad en la sección final del segmento	V _v	[m/s]	: 4.7
Recuperación de presión estática del segmento	Δp _r	[Pa]	: 5.58
Pérdida de carga acumulada del segmento, considerando la recuperación	Δp _{tm}	[Pa]	: 9.16
Pérdida de carga acumulada neta – total acumulado	ΣΔp _{tm}	[Pa]	: 38.35

SEGMENTO 19:

Tipo: Tramo

1 ELEMENTO		2 Caudal Q	3 Diam. D/D _e	4 Ancho A	5 Alto B	6 Long. L	7 Δp/L	8 Fuente Tab	9 Ashrae X	10 Ashrae Y	11 Coeff. C _o	12 Veloc. V	13 P.Dinám P _v	14 Pérdida Δp _r o Δp _e
N. pz.	Cod.	[m³/h]	[mm]	[mm]	[mm]	[m]	[Pa/m]	n.	-	-	-	[m/s]	[Pa]	[Pa]
337	3733D	5670	628	600	550	0	0	ASH6_33			0.300	4.8	13.87	4
368	273R	5670	573	500	550	0.19	0	5.1	30.000	1.200	0.050	5.7	19.56	0.99
83	310R	5670	573	500	550	3.47	0.67					5.7	19.56	2.34
85	079R	5670	573	500	550	0	0	3.5	1.100	0.740	0.462	5.7	19.56	9.12
86	310R	5670	573	500	550	22.39	0.67					5.7	19.56	15.08
88	079R	5670	573	500	550	0	0	3.5	1.100	0.740	0.462	5.7	19.56	9.12
89	310R	5670	573	500	550	5.07	0.67					5.7	19.56	3.42
91	079R	5670	573	500	550	0	0	3.5	1.100	0.740	0.462	5.7	19.56	9.12
92	310R	5670	573	500	550	5.22	0.67					5.7	19.56	3.52
94	079R	5670	573	500	550	0	0	3.5	1.100	0.740	0.462	5.7	19.56	9.12
95	310R	5670	573	500	550	5.63	0.67					5.7	19.56	3.79
97	079R	5670	573	500	550	0	0	3.5	1.100	0.740	0.462	5.7	19.56	9.12
98	310R	5670	573	500	550	12.76	0.67					5.7	19.56	8.6

Pérdida de carga acumulada del segmento	Δp _t	[Pa]	: 87.34
Velocidad en la sección inicial del segmento	V _m	[m/s]	: 4.7
Velocidad en la sección final del segmento	V _v	[m/s]	: 4.9
Recuperación de presión estática del segmento	Δp _r	[Pa]	: -1.16
Pérdida de carga acumulada del segmento, considerando la recuperación	Δp _{tm}	[Pa]	: 89.58
Pérdida de carga acumulada neta – total acumulado	ΣΔp _{tm}	[Pa]	: 127.92

SEGMENTO 33:

Tipo: Tramo

1 ELEMENTO		2 Caudal Q	3 Diam. D/D _e	4 Ancho A	5 Alto B	6 Long. L	7 Δp/L	8 Fuente Tab	9 Ashrae X	10 Ashrae Y	11 Coeff. C _o	12 Veloc. V	13 P.Dinám P _v	14 Pérdida Δp _r o Δp _e
N. pz.	Cod.	[m³/h]	[mm]	[mm]	[mm]	[m]	[Pa/m]	n.	-	-	-	[m/s]	[Pa]	[Pa]
369	3722D	1520	381	500	250	0	0	MC4	0.732	1.800	0.864	3.4	6.96	6.01
394	273R	1520	299	300	250	0.27	0	5.1	30.000	1.670	0.050	5.6	18.88	0.89
169	310R	1520	299	300	250	6.01	1.45					5.6	18.88	8.72
171	079R	1520	299	300	250	0	0	3.5	0.833	0.900	0.403	5.6	18.88	7.69
172	310R	1520	299	300	250	1.65	1.45					5.6	18.88	2.39
174	079R	1520	299	300	250	0	0	3.5	0.833	0.900	0.403	5.6	18.88	7.69
175	310R	1520	299	300	250	4.51	1.45					5.6	18.88	6.55
396	023R	1520	299	300	250	0.53	0	4.3	30.000	1.100	0.300	5.6	18.88	5.72
178	310R	1520	299	550	150	2.04	1.45					5.1	15.66	2.95
398	033R	1520	299	300	250	0.53	0	4.3	30.000	1.100	0.300	5.6	18.88	5.72
179	310R	1520	299	300	250	3.78	1.45					5.6	18.88	5.48
177	079R	1520	299	300	250	0	0	3.5	0.833	0.900	0.403	5.6	18.88	14.16
180	310R	1520	299	300	250	0.55	1.45					5.6	18.88	0.8

Pérdida de carga acumulada del segmento	Δp_t	[Pa]	: 74.78
Velocidad en la sección inicial del segmento	V_m	[m/s]	: 4.9
Velocidad en la sección final del segmento	V_v	[m/s]	: 5.6
Recuperación de presión estática del segmento	Δp_r	[Pa]	: -4.42
Pérdida de carga acumulada del segmento, considerando la recuperación	Δp_{tm}	[Pa]	: 80.23
Pérdida de carga acumulada neta – total acumulado	$\Sigma \Delta p_{tm}$	[Pa]	: 208.16

SEGMENTO 35:

Tipo: Terminal TRM-3

1 ELEMENTO		2 Caudal Q	3 Diam. D/D _e	4 Ancho A	5 Alto B	6 Long. L	7 $\Delta p/L$	8 Fuente Tab	9 Ashrae X	10 Ashrae Y	11 Coeff. C _o	12 Veloc. V	13 P.Dinám P _v	14 Pérdida Δp_r o Δp_e
N. pz.	Cod.	[m³/h]	[mm]	[mm]	[mm]	[m]	[Pa/m]	n.	-	-	-	[m/s]	[Pa]	[Pa]
399	3733D	760	273	250	250	0	0	ASH6_33	0.833		0.267	3.4	6.96	5.09
186	310R	760	273	250	250	0.9	0.62					3.4	6.96	0.56
401	42C1	760	248	248	248	0	0	4.7	30.000	1.290	0.300	4.4	11.65	3.45
188	05LC	760	248	248	248	0	0	MC4				4.4	11.65	15.49

Pérdida de carga acumulada del segmento	Δp_t	[Pa]	: 9.1
Velocidad en la sección inicial del segmento	V_m	[m/s]	: 5.6
Velocidad en la sección final del segmento	V_v	[m/s]	: 4.4
Recuperación de presión estática del segmento	Δp_r	[Pa]	: 7.22
Pérdida de carga acumulada del segmento, considerando la recuperación	Δp_{tm}	[Pa]	: 1.52
Pérdida de carga acumulada neta – total acumulado	$\Sigma \Delta p_{tm}$	[Pa]	: 225.16
Desequilibrio del terminal respecto al camino más desfavorable	Δp_{Tmr}	[Pa]	: 35.91

SEGMENTO 34:

Tipo: Terminal TRM-3

1 ELEMENTO		2 Caudal Q	3 Diam. D/D _e	4 Ancho A	5 Alto B	6 Long. L	7 $\Delta p/L$	8 Fuente Tab	9 Ashrae X	10 Ashrae Y	11 Coeff. C _o	12 Veloc. V	13 P.Dinám P _v	14 Pérdida Δp_r o Δp_e
N. pz.	Cod.	[m³/h]	[mm]	[mm]	[mm]	[m]	[Pa/m]	n.	-	-	-	[m/s]	[Pa]	[Pa]
184	3733D	760	273	250	250	0	0	ASH6_33			0.267	3.4	6.96	5.09
183	310R	760	273	250	250	0.99	0.63					3.4	6.96	0.62
400	42C1	760	248	248	248	0	0	4.7	30.000	1.290	0.300	4.4	11.65	3.45
185	05LC	760	248	248	248	0	0	MC4				4.4	11.65	15.49

Pérdida de carga acumulada del segmento	Δp_t	[Pa]	: 9.16
Velocidad en la sección inicial del segmento	V_m	[m/s]	: 5.6
Velocidad en la sección final del segmento	V_v	[m/s]	: 4.4
Recuperación de presión estática del segmento	Δp_r	[Pa]	: 7.22
Pérdida de carga acumulada del segmento, considerando la recuperación	Δp_{tm}	[Pa]	: 1.57
Pérdida de carga acumulada neta – total acumulado	$\Sigma \Delta p_{tm}$	[Pa]	: 225.22
Desequilibrio del terminal respecto al camino más desfavorable	Δp_{Tmr}	[Pa]	: 35.86

SEGMENTO 32:

Tipo: Tramo

1 ELEMENTO		2 Caudal Q	3 Diam. D/D _e	4 Ancho A	5 Alto B	6 Long. L	7 $\Delta p/L$	8 Fuente Tab	9 Ashrae X	10 Ashrae Y	11 Coeff. C _o	12 Veloc. V	13 P.Dinám P _v	14 Pérdida Δp_r o Δp_e
N. pz.	Cod.	[m³/h]	[mm]	[mm]	[mm]	[m]	[Pa/m]	n.	-	-	-	[m/s]	[Pa]	[Pa]

102	3722D	4150	518	500	450	0	0	MC4	0.732	1.800	0.524	5.1	15.66	8.21
370	273R	4150	492	450	450	0.14	0	5.1	30.000	1.110	0.050	5.7	19.56	0.98
101	310R	4150	492	450	450	2.18	0.8					5.7	19.56	1.74
103	079R	4150	492	450	450	0	0	3.5	1.000	0.767	0.440	5.7	19.56	8.58
104	310R	4150	492	450	450	6.19	0.8					5.7	19.56	4.95
106	079R	4150	492	450	450	0	0	3.5	1.000	0.767	0.440	5.7	19.56	4.62
107	310R	4150	492	450	450	1	0.8					5.7	19.56	0.8
109	079R	4150	492	450	450	0	0	3.5	1.000	0.767	0.440	5.7	19.56	4.62
110	310R	4150	492	450	450	0.7	0.8					5.7	19.56	0.56

Pérdida de carga acumulada del segmento	Δp_t	[Pa]	: 35.05
Velocidad en la sección inicial del segmento	V_m	[m/s]	: 4.9
Velocidad en la sección final del segmento	V_v	[m/s]	: 3.6
Recuperación de presión estática del segmento	Δp_r	[Pa]	: 6.65
Pérdida de carga acumulada del segmento, considerando la recuperación	Δp_{tm}	[Pa]	: 33.15
Pérdida de carga acumulada neta – total acumulado	$\Sigma \Delta p_{tm}$	[Pa]	: 161.08

SEGMENTO 27:

Tipo: Tramo

1 ELEMENTO		2 Caudal Q	3 Diam. D/D _e	4 Ancho A	5 Alto B	6 Long. L	7 $\Delta p/L$	8 Fuente Tab	9 Ashrae X	10 Ashrae Y	11 Coeff. C _o	12 Veloc. V	13 P.Dinám P _v	14 Pérdida Δp_r o Δp_e
N. pz.	Cod.	[m³/h]	[mm]	[mm]	[mm]	[m]	[Pa/m]	n.	-	-	-	[m/s]	[Pa]	[Pa]
371	3722D	2240	492	450	450	0	0	MC4	0.539	1.290	0.915	3.1	5.79	5.3
387	273R	2240	363	450	250	0.27	0	5.1	30.000	1.800	0.050	5.5	18.21	0.92
144	310R	2240	363	450	250	0.8	1.14					5.5	18.21	0.91
146	079R	2240	363	450	250	0	0	3.5	0.556	0.767	0.580	5.5	18.21	9.82
147	310R	2240	363	450	250	1	1.14					5.5	18.21	1.14
149	079R	2240	363	450	250	0	0	3.5	0.556	0.767	0.580	5.5	18.21	10.67
150	310R	2240	363	450	250	0.63	1.13					5.5	18.21	0.71

Pérdida de carga acumulada del segmento	Δp_t	[Pa]	: 29.47
Velocidad en la sección inicial del segmento	V_m	[m/s]	: 3.6
Velocidad en la sección final del segmento	V_v	[m/s]	: 5
Recuperación de presión estática del segmento	Δp_r	[Pa]	: -7.25
Pérdida de carga acumulada del segmento, considerando la recuperación	Δp_{tm}	[Pa]	: 39.31
Pérdida de carga acumulada neta – total acumulado	$\Sigma \Delta p_{tm}$	[Pa]	: 200.38

SEGMENTO 29:

Tipo: Tramo

1 ELEMENTO		2 Caudal Q	3 Diam. D/D _e	4 Ancho A	5 Alto B	6 Long. L	7 $\Delta p/L$	8 Fuente Tab	9 Ashrae X	10 Ashrae Y	11 Coeff. C _o	12 Veloc. V	13 P.Dinám P _v	14 Pérdida Δp_r o Δp_e
N. pz.	Cod.	[m³/h]	[mm]	[mm]	[mm]	[m]	[Pa/m]	n.	-	-	-	[m/s]	[Pa]	[Pa]
388	3722D	1490	299	300	250	0	0	MC4	0.667	1.200	0.439	5.5	18.21	7.99
160	310R	1490	299	300	250	0.56	1.41					5.5	18.21	0.79

Pérdida de carga acumulada del segmento	Δp_t	[Pa]	: 8.78
Velocidad en la sección inicial del segmento	V_m	[m/s]	: 5
Velocidad en la sección final del segmento	V_v	[m/s]	: 3.3
Recuperación de presión estática del segmento	Δp_r	[Pa]	: 8.49
Pérdida de carga acumulada del segmento, considerando la recuperación	Δp_{tm}	[Pa]	: 1.43
Pérdida de carga acumulada neta – total acumulado	$\Sigma \Delta p_{tm}$	[Pa]	: 201.81

SEGMENTO 31:

Tipo: Terminal TRM-2

1 ELEMENTO		2 Caudal Q	3 Diam. D/D _e	4 Ancho A	5 Alto B	6 Long. L	7 $\Delta p/L$	8 Fuente Tab	9 Ashrae X	10 Ashrae Y	11 Coeff. C _o	12 Veloc. V	13 P.Dinám P _v	14 Pérdida Δp_r o Δp_c
N. pz.	Cod.	[m³/h]	[mm]	[mm]	[mm]	[m]	[Pa/m]	n.	-	-	-	[m/s]	[Pa]	[Pa]
391	3733D	745	273	250	250	0	0	ASH6_33			0.300	3.3	6.56	1.99
166	310R	745	273	250	250	1.3	0.61					3.3	6.56	0.79
393	42C1	745	248	248	248	0	0	4.7	30.000	1.290	0.300	4.3	11.13	3.32
168	05LC	745	248	248	248	0	0	MC4				4.3	11.13	14.92

Pérdida de carga acumulada del segmento	Δp_t	[Pa]	: 6.09
Velocidad en la sección inicial del segmento	V_m	[m/s]	: 3.3
Velocidad en la sección final del segmento	V_v	[m/s]	: 4.3
Recuperación de presión estática del segmento	Δp_r	[Pa]	: -4.58
Pérdida de carga acumulada del segmento, considerando la recuperación	Δp_{tn}	[Pa]	: 10.55
Pérdida de carga acumulada neta – total acumulado	$\Sigma \Delta p_{tn}$	[Pa]	: 227.29
Desequilibrio del terminal respecto al camino más desfavorable	Δp_{Tmr}	[Pa]	: 33.79

SEGMENTO 30:

Tipo: Terminal TRM-2

1 ELEMENTO		2 Caudal Q	3 Diam. D/D _e	4 Ancho A	5 Alto B	6 Long. L	7 $\Delta p/L$	8 Fuente Tab	9 Ashrae X	10 Ashrae Y	11 Coeff. C _o	12 Veloc. V	13 P.Dinám P _v	14 Pérdida Δp_r o Δp_c
N. pz.	Cod.	[m³/h]	[mm]	[mm]	[mm]	[m]	[Pa/m]	n.	-	-	-	[m/s]	[Pa]	[Pa]
164	3733D	745	273	250	250	0	0	ASH6_33	0.833		0.300	3.3	6.56	1.99
163	310R	745	273	250	250	1.3	0.61					3.3	6.56	0.79
392	42C1	745	248	248	248	0	0	4.7	30.000	1.290	0.300	4.3	11.13	3.32
165	05LC	745	248	248	248	0	0	MC4				4.3	11.13	14.92

Pérdida de carga acumulada del segmento	Δp_t	[Pa]	: 6.09
Velocidad en la sección inicial del segmento	V_m	[m/s]	: 3.3
Velocidad en la sección final del segmento	V_v	[m/s]	: 4.3
Recuperación de presión estática del segmento	Δp_r	[Pa]	: -4.58
Pérdida de carga acumulada del segmento, considerando la recuperación	Δp_{tn}	[Pa]	: 10.55
Pérdida de carga acumulada neta – total acumulado	$\Sigma \Delta p_{tn}$	[Pa]	: 227.29
Desequilibrio del terminal respecto al camino más desfavorable	Δp_{Tmr}	[Pa]	: 33.79

SEGMENTO 28:

Tipo: Terminal TRM-2

1 ELEMENTO		2 Caudal Q	3 Diam. D/D _e	4 Ancho A	5 Alto B	6 Long. L	7 $\Delta p/L$	8 Fuente Tab	9 Ashrae X	10 Ashrae Y	11 Coeff. C _o	12 Veloc. V	13 P.Dinám P _v	14 Pérdida Δp_r o Δp_c
N. pz.	Cod.	[m³/h]	[mm]	[mm]	[mm]	[m]	[Pa/m]	n.	-	-	-	[m/s]	[Pa]	[Pa]
389	3722D	745	273	250	250	0	0	MC4	0.667	1.200	0.296	3.3	6.56	1.94
153	310R	745	273	250	250	1.62	0.6					3.3	6.56	0.98
152	079R	745	273	250	250	0	0	3.5	1.000	0.900	0.265	3.3	6.56	1.75
154	310R	745	273	250	250	0.8	0.6					3.3	6.56	0.48
156	079R	745	273	250	250	0	0	3.5	1.000	0.900	0.265	3.3	6.56	3.77
157	310R	745	273	250	250	1.11	0.6					3.3	6.56	0.67
390	42C1	745	248	248	248	0	0	4.7	30.000	1.290	0.300	4.3	11.13	3.32
159	05LC	745	248	248	248	0	0	MC4				4.3	11.13	14.92

Pérdida de carga acumulada del segmento	Δp_t	[Pa]	: 12.91
Velocidad en la sección inicial del segmento	V_m	[m/s]	: 5
Velocidad en la sección final del segmento	V_v	[m/s]	: 4.3

Recuperación de presión estática del segmento	Δp_r	[Pa] : 3.92
Pérdida de carga acumulada del segmento, considerando la recuperación	Δp_{tm}	[Pa] : 12.53
Pérdida de carga acumulada neta – total acumulado	$\Sigma \Delta p_{tm}$	[Pa] : 227.84
Desequilibrio del terminal respecto al camino más desfavorable	Δp_{Tmr}	[Pa] : 33.23

SEGMENTO 26:

Tipo: Tramo

1 ELEMENTO		2 Caudal Q	3 Diam. D/D _e	4 Ancho A	5 Alto B	6 Long. L	7 $\Delta p/L$	8 Fuente Tab	9 Ashrae X	10 Ashrae Y	11 Coeff. C _o	12 Veloc. V	13 P.Dinám P _v	14 Pérdida Δp_r o Δp_e
N. pz.	Cod.	[m³/h]	[mm]	[mm]	[mm]	[m]	[Pa/m]	n.	-	-	-	[m/s]	[Pa]	[Pa]
372	3722D	1910	433	350	450	0	0	MC4	0.539	1.290	0.062	3.4	6.96	0.43
373	273R	1910	322	350	250	0.27	0	5.1	30.000	1.800	0.050	6.1	22.4	1.11
113	310R	1910	322	350	250	1.82	1.54					6.1	22.4	2.8
112	079R	1910	322	350	250	0	0	3.5	0.714	0.843	0.466	6.1	22.4	15.44
114	310R	1910	322	350	250	0.8	1.54					6.1	22.4	1.23
116	079R	1910	322	350	250	0	0	3.5	0.714	0.843	0.466	6.1	22.4	7.57
117	310R	1910	322	350	250	1	1.54					6.1	22.4	1.54

Pérdida de carga acumulada del segmento	Δp_t	[Pa] : 30.12
Velocidad en la sección inicial del segmento	V_m	[m/s] : 3.6
Velocidad en la sección final del segmento	V_v	[m/s] : 4.2
Recuperación de presión estática del segmento	Δp_r	[Pa] : -2.82
Pérdida de carga acumulada del segmento, considerando la recuperación	Δp_{tm}	[Pa] : 37.61
Pérdida de carga acumulada neta – total acumulado	$\Sigma \Delta p_{tm}$	[Pa] : 198.68

SEGMENTO 23:

Tipo: Tramo

1 ELEMENTO		2 Caudal Q	3 Diam. D/D _e	4 Ancho A	5 Alto B	6 Long. L	7 $\Delta p/L$	8 Fuente Tab	9 Ashrae X	10 Ashrae Y	11 Coeff. C _o	12 Veloc. V	13 P.Dinám P _v	14 Pérdida Δp_r o Δp_e
N. pz.	Cod.	[m³/h]	[mm]	[mm]	[mm]	[m]	[Pa/m]	n.	-	-	-	[m/s]	[Pa]	[Pa]
374	3733D	955	322	350	250	0	0	ASH6_33	1.000		0.250	3	5.42	2.72
381	273R	955	244	200	250	0.23	0	5.1	30.000	1.750	0.050	5.3	16.91	0.81
132	310R	955	244	200	250	3.13	1.67					5.3	16.91	5.22
134	079R	955	244	200	250	0	0	3.5	1.250	1.000	0.271	5.3	16.91	4.61
135	310R	955	244	200	250	1.22	1.66					5.3	16.91	2.03

Pérdida de carga acumulada del segmento	Δp_t	[Pa] : 15.39
Velocidad en la sección inicial del segmento	V_m	[m/s] : 4.2
Velocidad en la sección final del segmento	V_v	[m/s] : 5.3
Recuperación de presión estática del segmento	Δp_r	[Pa] : -6.29
Pérdida de carga acumulada del segmento, considerando la recuperación	Δp_{tm}	[Pa] : 21.5
Pérdida de carga acumulada neta – total acumulado	$\Sigma \Delta p_{tm}$	[Pa] : 220.19

SEGMENTO 25:

Tipo: Terminal TRM-2

1 ELEMENTO		2 Caudal Q	3 Diam. D/D _e	4 Ancho A	5 Alto B	6 Long. L	7 $\Delta p/L$	8 Fuente Tab	9 Ashrae X	10 Ashrae Y	11 Coeff. C _o	12 Veloc. V	13 P.Dinám P _v	14 Pérdida Δp_r o Δp_e
N. pz.	Cod.	[m³/h]	[mm]	[mm]	[mm]	[m]	[Pa/m]	n.	-	-	-	[m/s]	[Pa]	[Pa]
382	3733D	480	244	200	250	0	0	ASH6_33	1.000		0.250	2.7	4.39	4.25
386	273R	480	219	200	200	0.04	0	5.1	30.000	1.250	0.050	3.3	6.56	0.33

141	310R	480	219	200	200	0.8	0.79					3.3	6.56	0.63
385	42C1	480	198	198	198	0	0	4.7	30.000	1.300	0.300	4.3	11.13	3.36
143	05LC	480	198	198	198	0	0	MC4				4.3	11.13	22.29

Pérdida de carga acumulada del segmento	Δp_t	[Pa]	: 8.56
Velocidad en la sección inicial del segmento	V_m	[m/s]	: 5.3
Velocidad en la sección final del segmento	V_v	[m/s]	: 4.3
Recuperación de presión estática del segmento	Δp_r	[Pa]	: 5.78
Pérdida de carga acumulada del segmento, considerando la recuperación	Δp_{tm}	[Pa]	: 2.78
Pérdida de carga acumulada neta – total acumulado	$\Sigma \Delta p_{tm}$	[Pa]	: 245.26
Desequilibrio del terminal respecto al camino más desfavorable	Δp_{Tmr}	[Pa]	: 15.82

SEGMENTO 24:

Tipo: Terminal TRM-2

1 ELEMENTO		2 Caudal Q	3 Diam. D/D _e	4 Ancho A	5 Alto B	6 Long. L	7 $\Delta p/L$	8 Fuente Tab	9 Ashrae X	10 Ashrae Y	11 Coeff. C _o	12 Veloc. V	13 P.Dinám P _v	14 Pérdida Δp_r o Δp_e
N. pz.	Cod.	[m³/h]	[mm]	[mm]	[mm]	[m]	[Pa/m]	n.	-	-	-	[m/s]	[Pa]	[Pa]
139	3733D	480	244	200	250	0	0	ASH6_33			0.250	2.7	4.39	4.25
384	273R	480	219	200	200	0.04	0	5.1	30.000	1.250	0.050	3.3	6.56	0.33
138	310R	480	219	200	200	0.8	0.79					3.3	6.56	0.63
383	42C1	480	198	198	198	0	0	4.7	30.000	1.300	0.300	4.3	11.13	3.36
140	05LC	480	198	198	198	0	0	MC4				4.3	11.13	22.29

Pérdida de carga acumulada del segmento	Δp_t	[Pa]	: 8.56
Velocidad en la sección inicial del segmento	V_m	[m/s]	: 5.3
Velocidad en la sección final del segmento	V_v	[m/s]	: 4.3
Recuperación de presión estática del segmento	Δp_r	[Pa]	: 5.78
Pérdida de carga acumulada del segmento, considerando la recuperación	Δp_{tm}	[Pa]	: 2.78
Pérdida de carga acumulada neta – total acumulado	$\Sigma \Delta p_{tm}$	[Pa]	: 245.26
Desequilibrio del terminal respecto al camino más desfavorable	Δp_{Tmr}	[Pa]	: 15.82

SEGMENTO 22:

Tipo: Tramo

1 ELEMENTO		2 Caudal Q	3 Diam. D/D _e	4 Ancho A	5 Alto B	6 Long. L	7 $\Delta p/L$	8 Fuente Tab	9 Ashrae X	10 Ashrae Y	11 Coeff. C _o	12 Veloc. V	13 P.Dinám P _v	14 Pérdida Δp_r o Δp_e
N. pz.	Cod.	[m³/h]	[mm]	[mm]	[mm]	[m]	[Pa/m]	n.	-	-	-	[m/s]	[Pa]	[Pa]
121	3733D	955	322	350	250	0	0	ASH6_33			0.250	3	5.42	2.72
375	273R	955	244	200	250	0.23	0	5.1	30.000	1.750	0.050	5.3	16.91	0.81
120	310R	955	244	200	250	0.87	1.68					5.3	16.91	1.46
122	079R	955	244	200	250	0	0	3.5	1.250	1.000	0.271	5.3	16.91	15.38
123	310R	955	244	200	250	1.22	1.66					5.3	16.91	2.03

Pérdida de carga acumulada del segmento	Δp_t	[Pa]	: 22.4
Velocidad en la sección inicial del segmento	V_m	[m/s]	: 4.2
Velocidad en la sección final del segmento	V_v	[m/s]	: 5.3
Recuperación de presión estática del segmento	Δp_r	[Pa]	: -6.29
Pérdida de carga acumulada del segmento, considerando la recuperación	Δp_{tm}	[Pa]	: 37.32
Pérdida de carga acumulada neta – total acumulado	$\Sigma \Delta p_{tm}$	[Pa]	: 236

SEGMENTO 21:

Tipo: Terminal TRM-2

1 ELEMENTO		2 Caudal Q	3 Diam. D/D _e	4 Ancho A	5 Alto B	6 Long. L	7 $\Delta p/L$	8 Fuente Tab	9 Ashrae X	10 Ashrae Y	11 Coeff. C _o	12 Veloc. V	13 P.Dinám P _v	14 Pérdida Δp_r o Δp_c
N. pz.	Cod.	[m³/h]	[mm]	[mm]	[mm]	[m]	[Pa/m]	n.	-	-	-	[m/s]	[Pa]	[Pa]
376	3733D	480	244	200	250	0	0	ASH6_33	1.000		0.250	2.7	4.39	4.25
380	273R	480	219	200	200	0.04	0	5.1	30.000	1.250	0.050	3.3	6.56	0.33
129	310R	480	219	200	200	0.8	0.79					3.3	6.56	0.63
379	42C1	480	198	198	198	0	0	4.7	30.000	1.300	0.300	4.3	11.13	3.36
131	05LC	480	198	198	198	0	0	MC4				4.3	11.13	22.29

Pérdida de carga acumulada del segmento

Δp_t [Pa] : 8.56

Velocidad en la sección inicial del segmento

V_m [m/s] : 5.3

Velocidad en la sección final del segmento

V_v [m/s] : 4.3

Recuperación de presión estática del segmento

Δp_r [Pa] : 5.78

Pérdida de carga acumulada del segmento, considerando la recuperación

Δp_{tn} [Pa] : 2.78

Pérdida de carga acumulada neta – total acumulado

$\Sigma \Delta p_{tn}$ [Pa] : 261.07

SEGMENTO 20:

Tipo: Terminal TRM-2

1 ELEMENTO		2 Caudal Q	3 Diam. D/D _e	4 Ancho A	5 Alto B	6 Long. L	7 $\Delta p/L$	8 Fuente Tab	9 Ashrae X	10 Ashrae Y	11 Coeff. C _o	12 Veloc. V	13 P.Dinám P _v	14 Pérdida Δp_r o Δp_c
N. pz.	Cod.	[m³/h]	[mm]	[mm]	[mm]	[m]	[Pa/m]	n.	-	-	-	[m/s]	[Pa]	[Pa]
127	3733D	480	244	200	250	0	0	ASH6_33			0.250	2.7	4.39	4.25
378	273R	480	219	200	200	0.04	0	5.1	30.000	1.250	0.050	3.3	6.56	0.33
126	310R	480	219	200	200	0.8	0.79					3.3	6.56	0.63
377	42C1	480	198	198	198	0	0	4.7	30.000	1.300	0.300	4.3	11.13	3.36
128	05LC	480	198	198	198	0	0	MC4				4.3	11.13	22.29

Pérdida de carga acumulada del segmento

Δp_t [Pa] : 8.56

Velocidad en la sección inicial del segmento

V_m [m/s] : 5.3

Velocidad en la sección final del segmento

V_v [m/s] : 4.3

Recuperación de presión estática del segmento

Δp_r [Pa] : 5.78

Pérdida de carga acumulada del segmento, considerando la recuperación

Δp_{tn} [Pa] : 2.78

Pérdida de carga acumulada neta – total acumulado

$\Sigma \Delta p_{tn}$ [Pa] : 261.07

SEGMENTO 18:

Tipo: Tramo

1 ELEMENTO		2 Caudal Q	3 Diam. D/D _e	4 Ancho A	5 Alto B	6 Long. L	7 $\Delta p/L$	8 Fuente Tab	9 Ashrae X	10 Ashrae Y	11 Coeff. C _o	12 Veloc. V	13 P.Dinám P _v	14 Pérdida Δp_r o Δp_c
N. pz.	Cod.	[m³/h]	[mm]	[mm]	[mm]	[m]	[Pa/m]	n.	-	-	-	[m/s]	[Pa]	[Pa]
13	3733D	6530	628	600	550	0	0	ASH6_33	0.478		0.300	5.5	18.21	4
12	310R	6530	628	600	550	9.84	0.56					5.5	18.21	5.47
14	079R	6530	628	600	550	0	0	3.5	0.917	0.833	0.374	5.5	18.21	17.88
15	310R	6530	628	600	550	1.37	0.55					5.5	18.21	0.76
17	079R	6530	628	600	550	0	0	3.5	0.917	0.833	0.374	5.5	18.21	6.81
18	310R	6530	628	600	550	6.26	0.56					5.5	18.21	3.48
20	079R	6530	628	600	550	0	0	3.5	0.917	0.833	0.374	5.5	18.21	10.06
21	310R	6530	628	600	550	1.39	0.55					5.5	18.21	0.77
23	079R	6530	628	600	550	0	0	3.5	0.917	0.833	0.374	5.5	18.21	17.88
24	310R	6530	628	600	550	2.81	0.56					5.5	18.21	1.56
26	079R	6530	628	600	550	0	0	3.5	0.917	0.833	0.374	5.5	18.21	17.88
27	310R	6530	628	600	550	1.41	0.56					5.5	18.21	0.79

Pérdida de carga acumulada del segmento	Δp_t	[Pa]	: 87.34
Velocidad en la sección inicial del segmento	V_m	[m/s]	: 4.7
Velocidad en la sección final del segmento	V_v	[m/s]	: 5.7
Recuperación de presión estática del segmento	Δp_r	[Pa]	: -6.26
Pérdida de carga acumulada del segmento, considerando la recuperación	Δp_{tn}	[Pa]	: 130.04
Pérdida de carga acumulada neta – total acumulado	$\Sigma \Delta p_{tn}$	[Pa]	: 168.38

SEGMENTO 10:

Tipo: Tramo

1 ELEMENTO		2 Caudal Q	3 Diam. D/D _e	4 Ancho A	5 Alto B	6 Long. L	7 $\Delta p/L$	8 Fuente Tab	9 Ashrae X	10 Ashrae Y	11 Coeff. C _o	12 Veloc. V	13 P.Dinám P _v	14 Pérdida Δp_r o Δp_e
N. pz.	Cod.	[m³/h]	[mm]	[mm]	[mm]	[m]	[Pa/m]	n.	-	-	-	[m/s]	[Pa]	[Pa]
339	3722D	3265	511	400	550	0	0	MC4	0.500	1.000		4.1	10.12	0
353	273R	3265	464	400	450	0.19	0	5.1	30.000	1.220	0.050	5	15.05	5.8
57	310R	3265	464	400	450	6.97	0.68					5	15.05	4.75
59	079R	3265	464	400	450	0	0	3.5	1.130	0.800	0.428	5	15.05	16.54
60	310R	3265	464	400	450	2.33	0.68					5	15.05	1.59

Pérdida de carga acumulada del segmento	Δp_t	[Pa]	: 28.68
Velocidad en la sección inicial del segmento	V_m	[m/s]	: 5.7
Velocidad en la sección final del segmento	V_v	[m/s]	: 5
Recuperación de presión estática del segmento	Δp_r	[Pa]	: 4.51
Pérdida de carga acumulada del segmento, considerando la recuperación	Δp_{tn}	[Pa]	: 35.7
Pérdida de carga acumulada neta – total acumulado	$\Sigma \Delta p_{tn}$	[Pa]	: 204.08

SEGMENTO 14:

Tipo: Terminal TRM-1

1 ELEMENTO		2 Caudal Q	3 Diam. D/D _e	4 Ancho A	5 Alto B	6 Long. L	7 $\Delta p/L$	8 Fuente Tab	9 Ashrae X	10 Ashrae Y	11 Coeff. C _o	12 Veloc. V	13 P.Dinám P _v	14 Pérdida Δp_r o Δp_e
N. pz.	Cod.	[m³/h]	[mm]	[mm]	[mm]	[m]	[Pa/m]	n.	-	-	-	[m/s]	[Pa]	[Pa]
354	3736	655	363	250	450	0	0	MC4	0.200	0.625	7.610	1.6	1.54	11.72
361	273R	655	273	250	250	0.27	0	5.1	30.000	1.800	0.050	2.9	5.06	0.25
70	310R	655	273	250	250	0.77	0.47					2.9	5.06	0.36
72	079R	655	273	250	250	0	0	3.5	1.000	0.900	0.452	2.9	5.06	2.29
73	310R	655	273	250	250	1.18	0.47					2.9	5.06	0.55
362	42C1	655	248	248	248	0	0	4.7	30.000	1.290	0.300	3.8	8.69	2.55
75	05LC	655	248	248	248	0	0	MC4				3.8	8.69	11.43

Pérdida de carga acumulada del segmento	Δp_t	[Pa]	: 17.73
Velocidad en la sección inicial del segmento	V_m	[m/s]	: 5
Velocidad en la sección final del segmento	V_v	[m/s]	: 3.8
Recuperación de presión estática del segmento	Δp_r	[Pa]	: 6.36
Pérdida de carga acumulada del segmento, considerando la recuperación	Δp_{tn}	[Pa]	: 10.93
Pérdida de carga acumulada neta – total acumulado	$\Sigma \Delta p_{tn}$	[Pa]	: 226.45
Desequilibrio del terminal respecto al camino más desfavorable	Δp_{Tmr}	[Pa]	: 34.62

SEGMENTO 13:

Tipo: Tramo

1 ELEMENTO		2 Caudal Q	3 Diam. D/D _e	4 Ancho A	5 Alto B	6 Long. L	7 $\Delta p/L$	8 Fuente Tab	9 Ashrae X	10 Ashrae Y	11 Coeff. C _o	12 Veloc. V	13 P.Dinám P _v	14 Pérdida Δp_r o Δp_e
N. pz.	Cod.	[m³/h]	[mm]	[mm]	[mm]	[m]	[Pa/m]	n.	-	-	-	[m/s]	[Pa]	[Pa]

355	3736	1305	400	300	450	0	0	MC4	0.533		0.772	2.7	4.39	3.39
358	273R	1305	299	300	250	0.27	0	5.1	30.000	1.800	0.050	4.8	13.87	0.7
63	310R	1305	299	300	250	1.22	1.1					4.8	13.87	1.34

Pérdida de carga acumulada del segmento	Δp_t	[Pa]	: 5.43
Velocidad en la sección inicial del segmento	V_m	[m/s]	: 5
Velocidad en la sección final del segmento	V_v	[m/s]	: 4.8
Recuperación de presión estática del segmento	Δp_r	[Pa]	: 1.18
Pérdida de carga acumulada del segmento, considerando la recuperación	Δp_{tn}	[Pa]	: 4.23
Pérdida de carga acumulada neta – total acumulado	$\Sigma \Delta p_{tn}$	[Pa]	: 208.32

SEGMENTO 12:

Tipo: Terminal TRM-1

1 ELEMENTO		2 Caudal Q	3 Diam. D/D _e	4 Ancho A	5 Alto B	6 Long. L	7 $\Delta p/L$	8 Fuente Tab	9 Ashrae X	10 Ashrae Y	11 Coeff. C _o	12 Veloc. V	13 P.Dinám P _v	14 Pérdida Δp_r o Δp_e
N. pz.	Cod.	[m³/h]	[mm]	[mm]	[mm]	[m]	[Pa/m]	n.	-	-	-	[m/s]	[Pa]	[Pa]
357	3733D	655	273	250	250	0	0	ASH6_33			0.267	2.9	5.06	3.76
67	310R	655	273	250	250	1.12	0.47					2.9	5.06	0.53
360	42C1	655	248	248	248	0	0	4.7	30.000	1.290	0.300	3.8	8.69	2.55
69	05LC	655	248	248	248	0	0	MC4				3.8	8.69	11.43

Pérdida de carga acumulada del segmento	Δp_t	[Pa]	: 6.83
Velocidad en la sección inicial del segmento	V_m	[m/s]	: 4.8
Velocidad en la sección final del segmento	V_v	[m/s]	: 3.8
Recuperación de presión estática del segmento	Δp_r	[Pa]	: 5.18
Pérdida de carga acumulada del segmento, considerando la recuperación	Δp_{tn}	[Pa]	: 1.24
Pérdida de carga acumulada neta – total acumulado	$\Sigma \Delta p_{tn}$	[Pa]	: 220.99
Desequilibrio del terminal respecto al camino más desfavorable	Δp_{Tmr}	[Pa]	: 40.09

SEGMENTO 11:

Tipo: Terminal TRM-1

1 ELEMENTO		2 Caudal Q	3 Diam. D/D _e	4 Ancho A	5 Alto B	6 Long. L	7 $\Delta p/L$	8 Fuente Tab	9 Ashrae X	10 Ashrae Y	11 Coeff. C _o	12 Veloc. V	13 P.Dinám P _v	14 Pérdida Δp_r o Δp_e
N. pz.	Cod.	[m³/h]	[mm]	[mm]	[mm]	[m]	[Pa/m]	n.	-	-	-	[m/s]	[Pa]	[Pa]
65	3733D	655	273	250	250	0	0	ASH6_33	0.833		0.267	2.9	5.06	3.76
64	310R	655	273	250	250	0.77	0.47					2.9	5.06	0.36
359	42C1	655	248	248	248	0	0	4.7	30.000	1.290	0.300	3.8	8.69	2.55
66	05LC	655	248	248	248	0	0	MC4				3.8	8.69	11.43

Pérdida de carga acumulada del segmento	Δp_t	[Pa]	: 6.67
Velocidad en la sección inicial del segmento	V_m	[m/s]	: 4.8
Velocidad en la sección final del segmento	V_v	[m/s]	: 3.8
Recuperación de presión estática del segmento	Δp_r	[Pa]	: 5.18
Pérdida de carga acumulada del segmento, considerando la recuperación	Δp_{tn}	[Pa]	: 1.07
Pérdida de carga acumulada neta – total acumulado	$\Sigma \Delta p_{tn}$	[Pa]	: 220.82
Desequilibrio del terminal respecto al camino más desfavorable	Δp_{Tmr}	[Pa]	: 40.25

SEGMENTO 15:

Tipo: Tramo

1	2	3	4	5	6	7	8	9	10	11	12	13	14
---	---	---	---	---	---	---	---	---	----	----	----	----	----

ELEMENTO		Caudal Q	Diam. D/D _e	Ancho A	Alto B	Long. L	Δp/L	Fuente Tab	Ashrae X	Ashrae Y	Coeff. C _o	Veloc. V	P.Dinám P _v	Pérdida Δp _r o Δp _c
N. pz.	Cod.	[m³/h]	[mm]	[mm]	[mm]	[m]	[Pa/m]	n.	-	-	-	[m/s]	[Pa]	[Pa]
356	3736	1305	400	300	450	0	0	MC4	0.400	0.750	1.490	2.7	4.39	6.55
365	273R	1305	299	300	250	0.27	0	5.1	30.000	1.800	0.050	4.8	13.87	0.7
76	310R	1305	299	300	250	1.12	1.1					4.8	13.87	1.23

Pérdida de carga acumulada del segmento	Δp _t	[Pa]	: 8.48
Velocidad en la sección inicial del segmento	V _m	[m/s]	: 5
Velocidad en la sección final del segmento	V _v	[m/s]	: 4.8
Recuperación de presión estática del segmento	Δp _r	[Pa]	: 1.18
Pérdida de carga acumulada del segmento, considerando la recuperación	Δp _{tn}	[Pa]	: 7.28
Pérdida de carga acumulada neta – total acumulado	ΣΔp _{tn}	[Pa]	: 211.36

SEGMENTO 17:

Tipo: Terminal TRM-1

1 ELEMENTO		2 Caudal Q	3 Diam. D/D _e	4 Ancho A	5 Alto B	6 Long. L	7 Δp/L	8 Fuente Tab	9 Ashrae X	10 Ashrae Y	11 Coeff. C _o	12 Veloc. V	13 P.Dinám P _v	14 Pérdida Δp _r o Δp _c
N. pz.	Cod.	[m³/h]	[mm]	[mm]	[mm]	[m]	[Pa/m]	n.	-	-	-	[m/s]	[Pa]	[Pa]
363	3722D	655	273	250	250	0	0	MC4	0.500	1.000	1.110	2.9	5.06	5.61
80	310R	655	273	250	250	1.18	0.47					2.9	5.06	0.55
367	42C1	655	248	248	248	0	0	4.7	30.000	1.290	0.300	3.8	8.69	2.55
82	05LC	655	248	248	248	0	0	MC4				3.8	8.69	11.43

Pérdida de carga acumulada del segmento	Δp _t	[Pa]	: 8.71
Velocidad en la sección inicial del segmento	V _m	[m/s]	: 4.8
Velocidad en la sección final del segmento	V _v	[m/s]	: 3.8
Recuperación de presión estática del segmento	Δp _r	[Pa]	: 5.18
Pérdida de carga acumulada del segmento, considerando la recuperación	Δp _{tn}	[Pa]	: 3.11
Pérdida de carga acumulada neta – total acumulado	ΣΔp _{tn}	[Pa]	: 225.91
Desequilibrio del terminal respecto al camino más desfavorable	Δp _{Tmr}	[Pa]	: 35.16

SEGMENTO 16:

Tipo: Terminal TRM-1

1 ELEMENTO		2 Caudal Q	3 Diam. D/D _e	4 Ancho A	5 Alto B	6 Long. L	7 Δp/L	8 Fuente Tab	9 Ashrae X	10 Ashrae Y	11 Coeff. C _o	12 Veloc. V	13 P.Dinám P _v	14 Pérdida Δp _r o Δp _c
N. pz.	Cod.	[m³/h]	[mm]	[mm]	[mm]	[m]	[Pa/m]	n.	-	-	-	[m/s]	[Pa]	[Pa]
364	3722D	655	273	250	250	0	0	MC4	0.500	1.000	0.593	2.9	5.06	3
79	310R	655	273	250	250	1.3	0.47					2.9	5.06	0.61
366	42C1	655	248	248	248	0	0	4.7	30.000	1.290	0.300	3.8	8.69	2.55
78	05LC	655	248	248	248	0	0	MC4				3.8	8.69	11.43

Pérdida de carga acumulada del segmento	Δp _t	[Pa]	: 6.16
Velocidad en la sección inicial del segmento	V _m	[m/s]	: 4.8
Velocidad en la sección final del segmento	V _v	[m/s]	: 3.8
Recuperación de presión estática del segmento	Δp _r	[Pa]	: 5.18
Pérdida de carga acumulada del segmento, considerando la recuperación	Δp _{tn}	[Pa]	: 0.56
Pérdida de carga acumulada neta – total acumulado	ΣΔp _{tn}	[Pa]	: 223.36
Desequilibrio del terminal respecto al camino más desfavorable	Δp _{Tmr}	[Pa]	: 37.71

SEGMENTO 9:

Tipo: Tramo

1 ELEMENTO		2 Caudal Q	3 Diam. D/D _e	4 Ancho A	5 Alto B	6 Long. L	7 $\Delta p_f/L$	8 Fuente Tab	9 Ashrae X	10 Ashrae Y	11 Coeff. C _o	12 Veloc. V	13 P.Dinám P _v	14 Pérdida Δp_r o Δp_e
N. pz.	Cod.	[m³/h]	[mm]	[mm]	[mm]	[m]	[Pa/m]	n.	-	-	-	[m/s]	[Pa]	[Pa]
31	3722D	3265	511	400	550	0	0	MC4	0.500	1.000	0.820	4.1	10.12	8.3
342	273R	3265	464	400	450	0.19	0	5.1	30.000	1.220	0.050	5	15.05	5.8
30	310R	3265	464	400	450	2.33	0.68					5	15.05	1.59

Pérdida de carga acumulada del segmento	Δp_t	[Pa]	: 15.69
Velocidad en la sección inicial del segmento	V_m	[m/s]	: 5.7
Velocidad en la sección final del segmento	V_v	[m/s]	: 5
Recuperación de presión estática del segmento	Δp_r	[Pa]	: 4.51
Pérdida de carga acumulada del segmento, considerando la recuperación	Δp_{tm}	[Pa]	: 12.4
Pérdida de carga acumulada neta – total acumulado	$\Sigma \Delta p_{tm}$	[Pa]	: 180.78

SEGMENTO 3:

Tipo: Tramo

1 ELEMENTO		2 Caudal Q	3 Diam. D/D _e	4 Ancho A	5 Alto B	6 Long. L	7 $\Delta p_f/L$	8 Fuente Tab	9 Ashrae X	10 Ashrae Y	11 Coeff. C _o	12 Veloc. V	13 P.Dinám P _v	14 Pérdida Δp_r o Δp_e
N. pz.	Cod.	[m³/h]	[mm]	[mm]	[mm]	[m]	[Pa/m]	n.	-	-	-	[m/s]	[Pa]	[Pa]
340	3736	1305	400	300	450	0	0	MC4	0.400	0.750	1.730	2.7	4.39	7.61
346	273R	1305	299	300	250	0.27	0	5.1	30.000	1.800	0.050	4.8	13.87	0.7
39	310R	1305	299	300	250	0.85	1.09					4.8	13.87	0.93

Pérdida de carga acumulada del segmento	Δp_t	[Pa]	: 9.24
Velocidad en la sección inicial del segmento	V_m	[m/s]	: 5
Velocidad en la sección final del segmento	V_v	[m/s]	: 4.5
Recuperación de presión estática del segmento	Δp_r	[Pa]	: 2.86
Pérdida de carga acumulada del segmento, considerando la recuperación	Δp_{tm}	[Pa]	: 7.04
Pérdida de carga acumulada neta – total acumulado	$\Sigma \Delta p_{tm}$	[Pa]	: 187.82

SEGMENTO 5:

Tipo: Terminal TRM-1

1 ELEMENTO		2 Caudal Q	3 Diam. D/D _e	4 Ancho A	5 Alto B	6 Long. L	7 $\Delta p_f/L$	8 Fuente Tab	9 Ashrae X	10 Ashrae Y	11 Coeff. C _o	12 Veloc. V	13 P.Dinám P _v	14 Pérdida Δp_r o Δp_e
N. pz.	Cod.	[m³/h]	[mm]	[mm]	[mm]	[m]	[Pa/m]	n.	-	-	-	[m/s]	[Pa]	[Pa]
345	3722D	655	273	250	250	0	0	MC4	0.500	1.000	0.342	2.9	5.06	1.73
45	310R	655	273	250	250	1.45	0.47					2.9	5.06	0.68
348	42C1	655	248	248	248	0	0	4.7	30.000	1.290	0.300	3.8	8.69	2.55
47	05LC	655	248	248	248	0	0	MC4				3.8	8.69	11.43

Pérdida de carga acumulada del segmento	Δp_t	[Pa]	: 4.96
Velocidad en la sección inicial del segmento	V_m	[m/s]	: 4.5
Velocidad en la sección final del segmento	V_v	[m/s]	: 3.8
Recuperación de presión estática del segmento	Δp_r	[Pa]	: 3.5
Pérdida de carga acumulada del segmento, considerando la recuperación	Δp_{tm}	[Pa]	: 3.45
Pérdida de carga acumulada neta – total acumulado	$\Sigma \Delta p_{tm}$	[Pa]	: 202.7
Desequilibrio del terminal respecto al camino más desfavorable	Δp_{Tmr}	[Pa]	: 58.37

SEGMENTO 4:

Tipo: Terminal TRM-1

1 ELEMENTO		2 Caudal Q	3 Diam. D/D _e	4 Ancho A	5 Alto B	6 Long. L	7 $\Delta p/L$	8 Fuente Tab	9 Ashrae X	10 Ashrae Y	11 Coeff. C _o	12 Veloc. V	13 P.Dinám P _v	14 Pérdida Δp_r o Δp_c
N. pz.	Cod.	[m³/h]	[mm]	[mm]	[mm]	[m]	[Pa/m]	n.	-	-	-	[m/s]	[Pa]	[Pa]
43	3722D	655	273	250	250	0	0	MC4	0.500	1.000	1.080	2.9	5.06	5.47
42	310R	655	273	250	250	1.18	0.47					2.9	5.06	0.55
347	42C1	655	248	248	248	0	0	4.7	30.000	1.290	0.300	3.8	8.69	2.55
44	05LC	655	248	248	248	0	0	MC4				3.8	8.69	11.43

Pérdida de carga acumulada del segmento	Δp_t	[Pa]	: 8.57
Velocidad en la sección inicial del segmento	V_m	[m/s]	: 4.5
Velocidad en la sección final del segmento	V_v	[m/s]	: 3.8
Recuperación de presión estática del segmento	Δp_r	[Pa]	: 3.5
Pérdida de carga acumulada del segmento, considerando la recuperación	Δp_{tm}	[Pa]	: 7.06
Pérdida de carga acumulada neta – total acumulado	$\Sigma \Delta p_{tm}$	[Pa]	: 206.31
Desequilibrio del terminal respecto al camino más desfavorable	Δp_{Tmr}	[Pa]	: 54.77

SEGMENTO 2:

Tipo: Terminal TRM-1

1 ELEMENTO		2 Caudal Q	3 Diam. D/D _e	4 Ancho A	5 Alto B	6 Long. L	7 $\Delta p/L$	8 Fuente Tab	9 Ashrae X	10 Ashrae Y	11 Coeff. C _o	12 Veloc. V	13 P.Dinám P _v	14 Pérdida Δp_r o Δp_c
N. pz.	Cod.	[m³/h]	[mm]	[mm]	[mm]	[m]	[Pa/m]	n.	-	-	-	[m/s]	[Pa]	[Pa]
34	3736	655	363	250	450	0	0	MC4	0.200	0.625	4.780	1.6	1.54	7.36
343	273R	655	273	250	250	0.27	0	5.1	30.000	1.800	0.050	2.9	5.06	0.25
33	310R	655	273	250	250	0.76	0.47					2.9	5.06	0.36
35	079R	655	273	250	250	0	0	3.5	1.000	0.900	0.452	2.9	5.06	7.34
36	310R	655	273	250	250	1.18	0.47					2.9	5.06	0.55
344	42C1	655	248	248	248	0	0	4.7	30.000	1.290	0.300	3.8	8.69	2.55
38	05LC	655	248	248	248	0	0	MC4				3.8	8.69	11.43

Pérdida de carga acumulada del segmento	Δp_t	[Pa]	: 18.42
Velocidad en la sección inicial del segmento	V_m	[m/s]	: 5
Velocidad en la sección final del segmento	V_v	[m/s]	: 3.8
Recuperación de presión estática del segmento	Δp_r	[Pa]	: 6.36
Pérdida de carga acumulada del segmento, considerando la recuperación	Δp_{tm}	[Pa]	: 16.34
Pérdida de carga acumulada neta – total acumulado	$\Sigma \Delta p_{tm}$	[Pa]	: 208.55
Desequilibrio del terminal respecto al camino más desfavorable	Δp_{Tmr}	[Pa]	: 52.52

SEGMENTO 6:

Tipo: Tramo

1 ELEMENTO		2 Caudal Q	3 Diam. D/D _e	4 Ancho A	5 Alto B	6 Long. L	7 $\Delta p/L$	8 Fuente Tab	9 Ashrae X	10 Ashrae Y	11 Coeff. C _o	12 Veloc. V	13 P.Dinám P _v	14 Pérdida Δp_r o Δp_c
N. pz.	Cod.	[m³/h]	[mm]	[mm]	[mm]	[m]	[Pa/m]	n.	-	-	-	[m/s]	[Pa]	[Pa]
341	3736	1305	400	300	450	0	0	MC4	0.533		0.487	2.7	4.39	2.14
350	273R	1305	299	300	250	0.27	0	5.1	30.000	1.800	0.050	4.8	13.87	0.7
48	310R	1305	299	300	250	1.22	1.1					4.8	13.87	1.34

Pérdida de carga acumulada del segmento	Δp_t	[Pa]	: 4.18
Velocidad en la sección inicial del segmento	V_m	[m/s]	: 5
Velocidad en la sección final del segmento	V_v	[m/s]	: 4.5
Recuperación de presión estática del segmento	Δp_r	[Pa]	: 2.86
Pérdida de carga acumulada del segmento, considerando la recuperación	Δp_{tm}	[Pa]	: 1.98

Pérdida de carga acumulada neta – total acumulado

$\Sigma \Delta p_{tn}$ [Pa] : 182.76

SEGMENTO 8:

Tipo: Terminal TRM-1

1 ELEMENTO		2 Caudal Q	3 Diam. D/D _e	4 Ancho A	5 Alto B	6 Long. L	7 $\Delta p/L$	8 Fuente Tab	9 Ashrae X	10 Ashrae Y	11 Coeff. C _o	12 Veloc. V	13 P.Dinám P _v	14 Pérdida Δp_r o Δp_e
N. pz.	Cod.	[m³/h]	[mm]	[mm]	[mm]	[m]	[Pa/m]	n.	-	-	-	[m/s]	[Pa]	[Pa]
349	3733D	655	273	250	250	0	0	ASH6_33			0.287	2.9	5.06	3.56
54	310R	655	273	250	250	0.85	0.47					2.9	5.06	0.4
352	42C1	655	248	248	248	0	0	4.7	30.000	1.290	0.300	3.8	8.69	2.55
56	05LC	655	248	248	248	0	0	MC4				3.8	8.69	11.43

Pérdida de carga acumulada del segmento

Δp_t [Pa] : 6.51

Velocidad en la sección inicial del segmento

V_m [m/s] : 4.5

Velocidad en la sección final del segmento

V_v [m/s] : 3.8

Recuperación de presión estática del segmento

Δp_r [Pa] : 3.5

Pérdida de carga acumulada del segmento, considerando la recuperación

Δp_{tn} [Pa] : 4.99

Pérdida de carga acumulada neta – total acumulado

$\Sigma \Delta p_{tn}$ [Pa] : 199.19

Desequilibrio del terminal respecto al camino más desfavorable

Δp_{Tmr} [Pa] : 61.89

SEGMENTO 7:

Tipo: Terminal TRM-1

1 ELEMENTO		2 Caudal Q	3 Diam. D/D _e	4 Ancho A	5 Alto B	6 Long. L	7 $\Delta p/L$	8 Fuente Tab	9 Ashrae X	10 Ashrae Y	11 Coeff. C _o	12 Veloc. V	13 P.Dinám P _v	14 Pérdida Δp_r o Δp_e
N. pz.	Cod.	[m³/h]	[mm]	[mm]	[mm]	[m]	[Pa/m]	n.	-	-	-	[m/s]	[Pa]	[Pa]
52	3733D	655	273	250	250	0	0	ASH6_33	0.833		0.287	2.9	5.06	3.56
51	310R	655	273	250	250	0.76	0.47					2.9	5.06	0.36
351	42C1	655	248	248	248	0	0	4.7	30.000	1.290	0.300	3.8	8.69	2.55
53	05LC	655	248	248	248	0	0	MC4				3.8	8.69	11.43

Pérdida de carga acumulada del segmento

Δp_t [Pa] : 6.47

Velocidad en la sección inicial del segmento

V_m [m/s] : 4.5

Velocidad en la sección final del segmento

V_v [m/s] : 3.8

Recuperación de presión estática del segmento

Δp_r [Pa] : 3.5

Pérdida de carga acumulada del segmento, considerando la recuperación

Δp_{tn} [Pa] : 4.95

Pérdida de carga acumulada neta – total acumulado

$\Sigma \Delta p_{tn}$ [Pa] : 199.15

Desequilibrio del terminal respecto al camino más desfavorable

Δp_{Tmr} [Pa] : 61.93

DATOS GENERALES**Cliente:****Ciudad:** Alicante**Proyectista:****SISTEMA:****Nº Expediente:****Dibujo n.º:****Referencia:****Construcción:****Sistema:****Zona:** CL Oficinas
retorno**Circuito:****Altitud s.n.m** [m]: 7**Altura** [m]: 0**Temperatura aire** [°C]: 20**Humedad Relativa aire** [%]:**Método de cálculo: DIMENSIONADO DEL LA RED CON EL METODO DE PERDIDA DE CARGA CONSTANTE****DATOS DE CALCULO****Viscosidad del aire** [Pa*s]: 0.01816**Densidad del aire** [kg/m³]: 1.2**Revestimiento interior** :**Espesor** [mm]: 0**Rugosidad pared** [mm]: 0.15**CONDUCTOS Ratio B/A:** 0.5**OPCIONES****Tipo de cálculo elegido:** : 2

- Pérdida de carga distribuida [Pa/m]: 0.8
- Máxima velocidad en los tramos [m/s]: 6
- Máxima velocidad en los ramales [m/s]: 6

Cálculo con dimensiones normalizadas [Si/No]: Si

- Paso para el cálculo con dimensiones no normalizadas [mm]: 0
- Dimensión mínima [mm]: 0
- Dimensión máxima [mm]: 0

LIMITES**Mínimo desequilibrio para justificar el equilibrado y la inserción de compuertas en ramales** (Δp_{mr}) [Pa]: 10**Mínimo desequilibrio para justificar el equilibrado y la inserción de compuertas en terminales** (Δp_{msr}) [Pa]: 10**Máxima pérdida de carga admisible para las compuertas en terminales** (Δp_{MT}) [Pa]: 0**MAXIMA PERDIDA****Presión total para el camino más desfavorable** [Pa]: 272.27**Presión estática para el camino más desfavorable** [Pa]: 294.12**CAMINO MAS DESFAVOR.**

000-001-036-019-032-026-022-021

SEGMENTO 1:

Tipo: Tramo

1 ELEMENTO		2 Caudal Q	3 Diam. D/D _e	4 Ancho A	5 Alto B	6 Long. L	7 $\Delta p/L$	8 Fuente Tab	9 Ashrae X	10 Ashrae Y	11 Coeff. C _o	12 Veloc. V	13 P.Dinám P _v	14 Pérdida Δp_r o Δp_e
N. pz.	Cod.	[m³/h]	[mm]	[mm]	[mm]	[m]	[Pa/m]	n.	-	-	-	[m/s]	[Pa]	[Pa]
1	310R	26030	1177	1600	750	0.81	0.33					6	21.67	0.27
2	079R	26030	1177	1600	750	0	0	3.5	0.469	0.688	0.648	6	21.67	12.36
3	310R	26030	1177	1600	750	1.52	0.33					6	21.67	0.5
5	079R	26030	1177	1600	750	0	0	3.5	0.469	0.688	0.648	6	21.67	14.15
6	310R	26030	1177	1600	750	3.85	0.33					6	21.67	1.27

Pérdida de carga acumulada del segmento

Δp_t [Pa] : 28.56

Velocidad en la sección inicial del segmento

V_m [m/s] : 6

Velocidad en la sección final del segmento

V_v [m/s] : 5.6

Recuperación de presión estática del segmento

Δp_r [Pa] : 2.79

Pérdida de carga acumulada del segmento, considerando la recuperación

Δp_{tm} [Pa] : 29.19

Pérdida de carga acumulada neta – total acumulado

$\Sigma \Delta p_{tm}$ [Pa] : 29.19

SEGMENTO 37:

Tipo: Tramo

1 ELEMENTO		2 Caudal Q	3 Diam. D/D _e	4 Ancho A	5 Alto B	6 Long. L	7 $\Delta p/L$	8 Fuente Tab	9 Ashrae X	10 Ashrae Y	11 Coeff. C _o	12 Veloc. V	13 P.Dinám P _v	14 Pérdida Δp_r o Δp_e
N. pz.	Cod.	[m³/h]	[mm]	[mm]	[mm]	[m]	[Pa/m]	n.	-	-	-	[m/s]	[Pa]	[Pa]
336	3722D	13830	991	1600	550	0	0	MC4	0.469	1.090	0.481	4.4	11.65	5.6
402	273R	13830	904	1300	550	0.36	0	5.1	30.000	1.230	0.050	5.4	17.55	0.87
189	310R	13830	904	1300	550	1.37	0.37					5.4	17.55	0.51
191	079R	13830	904	1300	550	0	0	3.5	0.423	0.692	0.712	5.4	17.55	12.37
192	310R	13830	904	1300	550	4.69	0.37					5.4	17.55	1.75
194	079R	13830	904	1300	550	0	0	3.5	0.423	0.692	0.712	5.4	17.55	13.25
195	310R	13830	904	1300	550	1.67	0.37					5.4	17.55	0.62

Pérdida de carga acumulada del segmento

Δp_t [Pa] : 34.97

Velocidad en la sección inicial del segmento

V_m [m/s] : 5.6

Velocidad en la sección final del segmento

V_v [m/s] : 5.3

Recuperación de presión estática del segmento

Δp_r [Pa] : 1.97

Pérdida de carga acumulada del segmento, considerando la recuperación

Δp_{tm} [Pa] : 40.75

Pérdida de carga acumulada neta – total acumulado

$\Sigma \Delta p_{tm}$ [Pa] : 69.94

SEGMENTO 45:

Tipo: Tramo

1 ELEMENTO		2 Caudal Q	3 Diam. D/D _e	4 Ancho A	5 Alto B	6 Long. L	7 $\Delta p/L$	8 Fuente Tab	9 Ashrae X	10 Ashrae Y	11 Coeff. C _o	12 Veloc. V	13 P.Dinám P _v	14 Pérdida Δp_r o Δp_e
N. pz.	Cod.	[m³/h]	[mm]	[mm]	[mm]	[m]	[Pa/m]	n.	-	-	-	[m/s]	[Pa]	[Pa]
403	3722D	11175	904	1300	550	0	0	MC4	0.808	2.890	1.190	4.3	11.13	13.24
415	273R	11175	808	1300	450	0.19	0	5.1	30.000	1.220	0.050	5.3	16.91	0.85
220	310R	11175	808	1300	450	2.92	0.44					5.3	16.91	1.28
222	079R	11175	808	1300	450	0	0	3.5	0.346	0.692	0.724	5.3	16.91	12.27
223	310R	11175	808	1300	450	8.27	0.44					5.3	16.91	3.62

Pérdida de carga acumulada del segmento

Δp_t [Pa] : 31.25

Velocidad en la sección inicial del segmento	V_m	[m/s]	: 5.3
Velocidad en la sección final del segmento	V_v	[m/s]	: 5.3
Recuperación de presión estática del segmento	Δp_r	[Pa]	: 0
Pérdida de carga acumulada del segmento, considerando la recuperación	Δp_{tm}	[Pa]	: 31.07
Pérdida de carga acumulada neta – total acumulado	$\Sigma \Delta p_{tm}$	[Pa]	: 101.01

SEGMENTO 59:

Tipo: Tramo

1 ELEMENTO		2 Caudal Q	3 Diam. D/D _e	4 Ancho A	5 Alto B	6 Long. L	7 $\Delta p/L$	8 Fuente Tab	9 Ashrae X	10 Ashrae Y	11 Coeff. C _o	12 Veloc. V	13 P.Dinám P _v	14 Pérdida Δp_r o Δp_c
N. pz.	Cod.	[m³/h]	[mm]	[mm]	[mm]	[m]	[Pa/m]	n.	-	-	-	[m/s]	[Pa]	[Pa]
416	3722D	6080	610	700	450	0	0	MC4	0.456	0.857	0.050	5.4	17.55	0.87
273	310R	6080	610	700	450	3.85	0.56					5.4	17.55	2.17
275	079R	6080	610	700	450	0	0	3.5	0.643	0.786	0.460	5.4	17.55	7.96
276	310R	6080	610	700	450	4.02	0.56					5.4	17.55	2.27
278	079R	6080	610	700	450	0	0	3.5	0.643	0.786	0.460	5.4	17.55	7.96
279	310R	6080	610	700	450	1.5	0.57					5.4	17.55	0.85
281	079R	6080	610	700	450	0	0	3.5	0.643	0.786	0.207	5.4	17.55	3.58
282	310R	6080	610	700	450	0.61	0.56					5.4	17.55	0.34
284	079R	6080	610	700	450	0	0	3.5	0.643	0.786	0.207	5.4	17.55	3.58
285	310R	6080	610	700	450	2.59	0.56					5.4	17.55	1.46

Pérdida de carga acumulada del segmento	Δp_t	[Pa]	: 31.04
Velocidad en la sección inicial del segmento	V_m	[m/s]	: 5.3
Velocidad en la sección final del segmento	V_v	[m/s]	: 5.3
Recuperación de presión estática del segmento	Δp_r	[Pa]	: 0
Pérdida de carga acumulada del segmento, considerando la recuperación	Δp_{tm}	[Pa]	: 31.72
Pérdida de carga acumulada neta – total acumulado	$\Sigma \Delta p_{tm}$	[Pa]	: 132.73

SEGMENTO 63:

Tipo: Tramo

1 ELEMENTO		2 Caudal Q	3 Diam. D/D _e	4 Ancho A	5 Alto B	6 Long. L	7 $\Delta p/L$	8 Fuente Tab	9 Ashrae X	10 Ashrae Y	11 Coeff. C _o	12 Veloc. V	13 P.Dinám P _v	14 Pérdida Δp_r o Δp_c
N. pz.	Cod.	[m³/h]	[mm]	[mm]	[mm]	[m]	[Pa/m]	n.	-	-	-	[m/s]	[Pa]	[Pa]
437	3736	1520	400	300	450	0	0	MC4	0.250	0.429	1.050	3.1	5.79	6.08
444	273R	1520	299	300	250	0.27	0	5.1	30.000	1.800	0.050	5.6	18.88	0.95
297	310R	1520	299	300	250	0.7	1.46					5.6	18.88	1.02

Pérdida de carga acumulada del segmento	Δp_t	[Pa]	: 8.06
Velocidad en la sección inicial del segmento	V_m	[m/s]	: 5.3
Velocidad en la sección final del segmento	V_v	[m/s]	: 3.4
Recuperación de presión estática del segmento	Δp_r	[Pa]	: 9.95
Pérdida de carga acumulada del segmento, considerando la recuperación	Δp_{tm}	[Pa]	: -0.89
Pérdida de carga acumulada neta – total acumulado	$\Sigma \Delta p_{tm}$	[Pa]	: 131.84

SEGMENTO 65:

Tipo: Terminal TRM-1

1 ELEMENTO		2 Caudal Q	3 Diam. D/D _e	4 Ancho A	5 Alto B	6 Long. L	7 $\Delta p/L$	8 Fuente Tab	9 Ashrae X	10 Ashrae Y	11 Coeff. C _o	12 Veloc. V	13 P.Dinám P _v	14 Pérdida Δp_r o Δp_c
N. pz.	Cod.	[m³/h]	[mm]	[mm]	[mm]	[m]	[Pa/m]	n.	-	-	-	[m/s]	[Pa]	[Pa]
443	3733D	760	273	250	250	0	0	ASH6_33			0.300	3.4	6.96	2.06

303	310R	760	273	250	250	1.2	0.62					3.4	6.96	0.75
446	42C1	760	248	248	248	0	0	4.7	30.000	1.290	0.300	4.4	11.65	3.45
305	05LC	760	248	248	248	0	0	MC4				4.4	11.65	26.99

Pérdida de carga acumulada del segmento	Δp_t	[Pa]	: 6.26
Velocidad en la sección inicial del segmento	V_m	[m/s]	: 3.4
Velocidad en la sección final del segmento	V_v	[m/s]	: 4.4
Recuperación de presión estática del segmento	Δp_r	[Pa]	: -4.7
Pérdida de carga acumulada del segmento, considerando la recuperación	Δp_{tm}	[Pa]	: 10.89
Pérdida de carga acumulada neta – total acumulado	$\Sigma \Delta p_{tm}$	[Pa]	: 169.72
Desequilibrio del terminal respecto al camino más desfavorable	Δp_{Tmr}	[Pa]	: 102.55

SEGMENTO 64:

Tipo: Terminal TRM-1

1 ELEMENTO		2 Caudal Q	3 Diam. D/D _e	4 Ancho A	5 Alto B	6 Long. L	7 $\Delta p/L$	8 Fuente Tab	9 Ashrae X	10 Ashrae Y	11 Coeff. C _o	12 Veloc. V	13 P.Dinám P _v	14 Pérdida Δp_r o Δp_c
N. pz.	Cod.	[m³/h]	[mm]	[mm]	[mm]	[m]	[Pa/m]	n.	-	-	-	[m/s]	[Pa]	[Pa]
301	3733D	760	273	250	250	0	0	ASH6_33	0.833		0.300	3.4	6.96	2.06
300	310R	760	273	250	250	1.2	0.62					3.4	6.96	0.75
445	42C1	760	248	248	248	0	0	4.7	30.000	1.290	0.300	4.4	11.65	3.45
302	05LC	760	248	248	248	0	0	MC4				4.4	11.65	26.99

Pérdida de carga acumulada del segmento	Δp_t	[Pa]	: 6.26
Velocidad en la sección inicial del segmento	V_m	[m/s]	: 3.4
Velocidad en la sección final del segmento	V_v	[m/s]	: 4.4
Recuperación de presión estática del segmento	Δp_r	[Pa]	: -4.7
Pérdida de carga acumulada del segmento, considerando la recuperación	Δp_{tm}	[Pa]	: 10.89
Pérdida de carga acumulada neta – total acumulado	$\Sigma \Delta p_{tm}$	[Pa]	: 169.72
Desequilibrio del terminal respecto al camino más desfavorable	Δp_{Tmr}	[Pa]	: 102.55

SEGMENTO 62:

Tipo: Tramo

1 ELEMENTO		2 Caudal Q	3 Diam. D/D _e	4 Ancho A	5 Alto B	6 Long. L	7 $\Delta p/L$	8 Fuente Tab	9 Ashrae X	10 Ashrae Y	11 Coeff. C _o	12 Veloc. V	13 P.Dinám P _v	14 Pérdida Δp_r o Δp_c
N. pz.	Cod.	[m³/h]	[mm]	[mm]	[mm]	[m]	[Pa/m]	n.	-	-	-	[m/s]	[Pa]	[Pa]
289	3736	1520	400	300	450	0	0	MC4	0.250	0.429	1.050	3.1	5.79	6.08
440	273R	1520	299	300	250	0.27	0	5.1	30.000	1.800	0.050	5.6	18.88	0.95
288	310R	1520	299	300	250	0.7	1.44					5.6	18.88	1.01

Pérdida de carga acumulada del segmento	Δp_t	[Pa]	: 8.05
Velocidad en la sección inicial del segmento	V_m	[m/s]	: 5.3
Velocidad en la sección final del segmento	V_v	[m/s]	: 3.4
Recuperación de presión estática del segmento	Δp_r	[Pa]	: 9.95
Pérdida de carga acumulada del segmento, considerando la recuperación	Δp_{tm}	[Pa]	: -0.9
Pérdida de carga acumulada neta – total acumulado	$\Sigma \Delta p_{tm}$	[Pa]	: 131.83

SEGMENTO 61:

Tipo: Terminal TRM-1

1 ELEMENTO		2 Caudal Q	3 Diam. D/D _e	4 Ancho A	5 Alto B	6 Long. L	7 $\Delta p/L$	8 Fuente Tab	9 Ashrae X	10 Ashrae Y	11 Coeff. C _o	12 Veloc. V	13 P.Dinám P _v	14 Pérdida Δp_r o Δp_c
---------------	--	------------------	--------------------------------	-----------------	----------------	-----------------	-------------------	--------------------	------------------	-------------------	--------------------------------	-------------------	---------------------------------	--

N. pz.	Cod.	[m³/h]	[mm]	[mm]	[mm]	[m]	[Pa/m]	n.	-	-	-	[m/s]	[Pa]	[Pa]
439	3733D	760	273	250	250	0	0	ASH6_33	0.833		0.300	3.4	6.96	2.06
294	310R	760	273	250	250	1.2	0.62					3.4	6.96	0.75
442	42C1	760	248	248	248	0	0	4.7	30.000	1.290	0.300	4.4	11.65	3.45
296	05LC	760	248	248	248	0	0	MC4				4.4	11.65	26.99

Pérdida de carga acumulada del segmento	Δp_t	[Pa]	: 6.26
Velocidad en la sección inicial del segmento	V_m	[m/s]	: 3.4
Velocidad en la sección final del segmento	V_v	[m/s]	: 4.4
Recuperación de presión estática del segmento	Δp_r	[Pa]	: -4.7
Pérdida de carga acumulada del segmento, considerando la recuperación	Δp_{tm}	[Pa]	: 10.89
Pérdida de carga acumulada neta – total acumulado	$\Sigma \Delta p_{tm}$	[Pa]	: 169.71
Desequilibrio del terminal respecto al camino más desfavorable	Δp_{Tmr}	[Pa]	: 102.56

SEGMENTO 60:

Tipo: Terminal TRM-1

1 ELEMENTO		2 Caudal Q	3 Diam. D/D _e	4 Ancho A	5 Alto B	6 Long. L	7 $\Delta p/L$	8 Fuente Tab	9 Ashrae X	10 Ashrae Y	11 Coeff. C _o	12 Veloc. V	13 P.Dinám P _v	14 Pérdida Δp_r o Δp_c
N. pz.	Cod.	[m³/h]	[mm]	[mm]	[mm]	[m]	[Pa/m]	n.	-	-	-	[m/s]	[Pa]	[Pa]
292	3733D	760	273	250	250	0	0	ASH6_33			0.300	3.4	6.96	2.06
291	310R	760	273	250	250	1.2	0.62					3.4	6.96	0.75
441	42C1	760	248	248	248	0	0	4.7	30.000	1.290	0.300	4.4	11.65	3.45
293	05LC	760	248	248	248	0	0	MC4				4.4	11.65	26.99

Pérdida de carga acumulada del segmento	Δp_t	[Pa]	: 6.26
Velocidad en la sección inicial del segmento	V_m	[m/s]	: 3.4
Velocidad en la sección final del segmento	V_v	[m/s]	: 4.4
Recuperación de presión estática del segmento	Δp_r	[Pa]	: -4.7
Pérdida de carga acumulada del segmento, considerando la recuperación	Δp_{tm}	[Pa]	: 10.89
Pérdida de carga acumulada neta – total acumulado	$\Sigma \Delta p_{tm}$	[Pa]	: 169.71
Desequilibrio del terminal respecto al camino más desfavorable	Δp_{Tmr}	[Pa]	: 102.56

SEGMENTO 66:

Tipo: Tramo

1 ELEMENTO		2 Caudal Q	3 Diam. D/D _e	4 Ancho A	5 Alto B	6 Long. L	7 $\Delta p/L$	8 Fuente Tab	9 Ashrae X	10 Ashrae Y	11 Coeff. C _o	12 Veloc. V	13 P.Dinám P _v	14 Pérdida Δp_r o Δp_c
N. pz.	Cod.	[m³/h]	[mm]	[mm]	[mm]	[m]	[Pa/m]	n.	-	-	-	[m/s]	[Pa]	[Pa]
438	3736	3040	433	350	450	0	0	MC4	1.000		0.063	5.4	17.55	1.1
306	310R	3040	433	350	450	2.59	0.84					5.4	17.55	2.17

Pérdida de carga acumulada del segmento	Δp_t	[Pa]	: 3.27
Velocidad en la sección inicial del segmento	V_m	[m/s]	: 5.3
Velocidad en la sección final del segmento	V_v	[m/s]	: 4.7
Recuperación de presión estática del segmento	Δp_r	[Pa]	: 3.61
Pérdida de carga acumulada del segmento, considerando la recuperación	Δp_{tm}	[Pa]	: 7.18
Pérdida de carga acumulada neta – total acumulado	$\Sigma \Delta p_{tm}$	[Pa]	: 139.92

SEGMENTO 68:

Tipo: Tramo

1 ELEMENTO		2 Caudal Q	3 Diam. D/D _e	4 Ancho A	5 Alto B	6 Long. L	7 $\Delta p/L$	8 Fuente Tab	9 Ashrae X	10 Ashrae Y	11 Coeff. C _o	12 Veloc. V	13 P.Dinám P _v	14 Pérdida Δp_r o Δp_c
N. pz.	Cod.	[m³/h]	[mm]	[mm]	[mm]	[m]	[Pa/m]	n.	-	-	-	[m/s]	[Pa]	[Pa]
447	3736	1520	400	300	450	0	0	MC4	0.583			3.1	5.79	0
452	273R	1520	299	300	250	0.27	0	5.1	30.000	1.800	0.050	5.6	18.88	0.95
315	310R	1520	299	300	250	2.4	1.45					5.6	18.88	3.48

Pérdida de carga acumulada del segmento	Δp_t	[Pa]	: 4.43
Velocidad en la sección inicial del segmento	V_m	[m/s]	: 4.7
Velocidad en la sección final del segmento	V_v	[m/s]	: 5.6
Recuperación de presión estática del segmento	Δp_r	[Pa]	: -5.58
Pérdida de carga acumulada del segmento, considerando la recuperación	Δp_{tm}	[Pa]	: 10.26
Pérdida de carga acumulada neta – total acumulado	$\Sigma \Delta p_{tm}$	[Pa]	: 150.18

SEGMENTO 70:

Tipo: Terminal TRM-1

1 ELEMENTO		2 Caudal Q	3 Diam. D/D _e	4 Ancho A	5 Alto B	6 Long. L	7 $\Delta p/L$	8 Fuente Tab	9 Ashrae X	10 Ashrae Y	11 Coeff. C _o	12 Veloc. V	13 P.Dinám P _v	14 Pérdida Δp_r o Δp_c
N. pz.	Cod.	[m³/h]	[mm]	[mm]	[mm]	[m]	[Pa/m]	n.	-	-	-	[m/s]	[Pa]	[Pa]
451	3733D	760	273	250	250	0	0	ASH6_33	0.833		0.267	3.4	6.96	5.09
324	310R	760	273	250	250	0.7	0.63					3.4	6.96	0.44
326	079R	760	273	250	250	0	0	3.5	1.000	0.900	0.440	3.4	6.96	6.49
327	310R	760	273	250	250	1.01	0.62					3.4	6.96	0.63
454	42C1	760	248	248	248	0	0	4.7	30.000	1.290	0.300	4.4	11.65	3.45
329	05LC	760	248	248	248	0	0	MC4				4.4	11.65	26.99

Pérdida de carga acumulada del segmento	Δp_t	[Pa]	: 16.1
Velocidad en la sección inicial del segmento	V_m	[m/s]	: 5.6
Velocidad en la sección final del segmento	V_v	[m/s]	: 4.4
Recuperación de presión estática del segmento	Δp_r	[Pa]	: 7.22
Pérdida de carga acumulada del segmento, considerando la recuperación	Δp_{tm}	[Pa]	: 12.08
Pérdida de carga acumulada neta – total acumulado	$\Sigma \Delta p_{tm}$	[Pa]	: 189.25
Desequilibrio del terminal respecto al camino más desfavorable	Δp_{Tmr}	[Pa]	: 83.02

SEGMENTO 69:

Tipo: Terminal TRM-1

1 ELEMENTO		2 Caudal Q	3 Diam. D/D _e	4 Ancho A	5 Alto B	6 Long. L	7 $\Delta p/L$	8 Fuente Tab	9 Ashrae X	10 Ashrae Y	11 Coeff. C _o	12 Veloc. V	13 P.Dinám P _v	14 Pérdida Δp_r o Δp_c
N. pz.	Cod.	[m³/h]	[mm]	[mm]	[mm]	[m]	[Pa/m]	n.	-	-	-	[m/s]	[Pa]	[Pa]
319	3733D	760	273	250	250	0	0	ASH6_33			0.267	3.4	6.96	5.09
318	310R	760	273	250	250	0.7	0.61					3.4	6.96	0.43
320	079R	760	273	250	250	0	0	3.5	1.000	0.900	0.440	3.4	6.96	6.49
321	310R	760	273	250	250	1.01	0.62					3.4	6.96	0.63
453	42C1	760	248	248	248	0	0	4.7	30.000	1.290	0.300	4.4	11.65	3.45
323	05LC	760	248	248	248	0	0	MC4				4.4	11.65	26.99

Pérdida de carga acumulada del segmento	Δp_t	[Pa]	: 16.1
Velocidad en la sección inicial del segmento	V_m	[m/s]	: 5.6
Velocidad en la sección final del segmento	V_v	[m/s]	: 4.4
Recuperación de presión estática del segmento	Δp_r	[Pa]	: 7.22
Pérdida de carga acumulada del segmento, considerando la recuperación	Δp_{tm}	[Pa]	: 12.08

Pérdida de carga acumulada neta – total acumulado
Desequilibrio del terminal respecto al camino más desfavorable

$\Sigma \Delta p_{tn}$ [Pa] : 189.24
 Δp_{Tmr} [Pa] : 83.02

SEGMENTO 67:

Tipo: Terminal TRM-1

1 ELEMENTO		2 Caudal Q	3 Diam. D/D _e	4 Ancho A	5 Alto B	6 Long. L	7 $\Delta p/L$	8 Fuente Tab	9 Ashrae X	10 Ashrae Y	11 Coeff. C _o	12 Veloc. V	13 P.Dinám P _v	14 Pérdida Δp_r o Δp_c
N. pz.	Cod.	[m³/h]	[mm]	[mm]	[mm]	[m]	[Pa/m]	n.	-	-	-	[m/s]	[Pa]	[Pa]
310	3736	760	363	250	450	0	0	MC4	0.250	0.714	2.350	1.9	2.17	5.11
449	273R	760	273	250	250	0.27	0	5.1	30.000	1.800	0.050	3.4	6.96	0.34
309	310R	760	273	250	250	0.7	0.61					3.4	6.96	0.43
311	079R	760	273	250	250	0	0	3.5	1.000	0.900	0.440	3.4	6.96	6.49
312	310R	760	273	250	250	1.01	0.62					3.4	6.96	0.63
450	42C1	760	248	248	248	0	0	4.7	30.000	1.290	0.300	4.4	11.65	3.45
314	05LC	760	248	248	248	0	0	MC4				4.4	11.65	26.99

Pérdida de carga acumulada del segmento
Velocidad en la sección inicial del segmento
Velocidad en la sección final del segmento
Recuperación de presión estática del segmento
Pérdida de carga acumulada del segmento, considerando la recuperación
Pérdida de carga acumulada neta – total acumulado
Desequilibrio del terminal respecto al camino más desfavorable

Δp_t [Pa] : 16.46
 V_m [m/s] : 4.7
 V_v [m/s] : 4.4
 Δp_r [Pa] : 1.64
 Δp_{tn} [Pa] : 18.28
 $\Sigma \Delta p_{tn}$ [Pa] : 185.18
 Δp_{Tmr} [Pa] : 87.09

SEGMENTO 71:

Tipo: Terminal TRM-1

1 ELEMENTO		2 Caudal Q	3 Diam. D/D _e	4 Ancho A	5 Alto B	6 Long. L	7 $\Delta p/L$	8 Fuente Tab	9 Ashrae X	10 Ashrae Y	11 Coeff. C _o	12 Veloc. V	13 P.Dinám P _v	14 Pérdida Δp_r o Δp_c
N. pz.	Cod.	[m³/h]	[mm]	[mm]	[mm]	[m]	[Pa/m]	n.	-	-	-	[m/s]	[Pa]	[Pa]
448	3736	760	363	250	450	0	0	MC4	0.250	0.714	2.350	1.9	2.17	5.11
455	273R	760	273	250	250	0.27	0	5.1	30.000	1.800	0.050	3.4	6.96	0.34
330	310R	760	273	250	250	0.7	0.63					3.4	6.96	0.44
332	079R	760	273	250	250	0	0	3.5	1.000	0.900	0.440	3.4	6.96	6.49
333	310R	760	273	250	250	1.01	0.62					3.4	6.96	0.63
456	42C1	760	248	248	248	0	0	4.7	30.000	1.290	0.300	4.4	11.65	3.45
335	05LC	760	248	248	248	0	0	MC4				4.4	11.65	26.99

Pérdida de carga acumulada del segmento
Velocidad en la sección inicial del segmento
Velocidad en la sección final del segmento
Recuperación de presión estática del segmento
Pérdida de carga acumulada del segmento, considerando la recuperación
Pérdida de carga acumulada neta – total acumulado
Desequilibrio del terminal respecto al camino más desfavorable

Δp_t [Pa] : 16.47
 V_m [m/s] : 4.7
 V_v [m/s] : 4.4
 Δp_r [Pa] : 1.64
 Δp_{tn} [Pa] : 18.28
 $\Sigma \Delta p_{tn}$ [Pa] : 185.18
 Δp_{Tmr} [Pa] : 87.09

SEGMENTO 58:

Tipo: Tramo

1 ELEMENTO		2 Caudal Q	3 Diam. D/D _e	4 Ancho A	5 Alto B	6 Long. L	7 $\Delta p/L$	8 Fuente Tab	9 Ashrae X	10 Ashrae Y	11 Coeff. C _o	12 Veloc. V	13 P.Dinám P _v	14 Pérdida Δp_r o Δp_c
N. pz.	Cod.	[m³/h]	[mm]	[mm]	[mm]	[m]	[Pa/m]	n.	-	-	-	[m/s]	[Pa]	[Pa]
227	3722D	5095	567	600	450	0	0	MC4	0.456	0.857	0.555	5.2	16.28	9.04
226	310R	5095	567	600	450	2.32	0.58					5.2	16.28	1.35

Pérdida de carga acumulada del segmento	Δp_t	[Pa]	: 10.39
Velocidad en la sección inicial del segmento	V_m	[m/s]	: 5.3
Velocidad en la sección final del segmento	V_v	[m/s]	: 4.4
Recuperación de presión estática del segmento	Δp_r	[Pa]	: 5.26
Pérdida de carga acumulada del segmento, considerando la recuperación	Δp_{tm}	[Pa]	: 6.04
Pérdida de carga acumulada neta – total acumulado	$\Sigma \Delta p_{tm}$	[Pa]	: 107.06

SEGMENTO 53:

Tipo: Tramo

1 ELEMENTO		2 Caudal Q	3 Diam. D/D _e	4 Ancho A	5 Alto B	6 Long. L	7 $\Delta p/L$	8 Fuente Tab	9 Ashrae X	10 Ashrae Y	11 Coeff. C _o	12 Veloc. V	13 P.Dinám P _v	14 Pérdida Δp_r o Δp_c
N. pz.	Cod.	[m³/h]	[mm]	[mm]	[mm]	[m]	[Pa/m]	n.	-	-	-	[m/s]	[Pa]	[Pa]
417	3722D	2185	400	300	450	0	0	MC4	0.429	0.857	0.464	4.5	12.19	5.66
430	273R	2185	378	300	400	0.14	0	5.1	30.000	1.130	0.050	5.1	15.66	8.21
252	310R	2185	378	300	400	0.63	0.9					5.1	15.66	0.57

Pérdida de carga acumulada del segmento	Δp_t	[Pa]	: 14.43
Velocidad en la sección inicial del segmento	V_m	[m/s]	: 4.4
Velocidad en la sección final del segmento	V_v	[m/s]	: 4.9
Recuperación de presión estática del segmento	Δp_r	[Pa]	: -2.8
Pérdida de carga acumulada del segmento, considerando la recuperación	Δp_{tm}	[Pa]	: 9.39
Pérdida de carga acumulada neta – total acumulado	$\Sigma \Delta p_{tm}$	[Pa]	: 116.45

SEGMENTO 55:

Tipo: Tramo

1 ELEMENTO		2 Caudal Q	3 Diam. D/D _e	4 Ancho A	5 Alto B	6 Long. L	7 $\Delta p/L$	8 Fuente Tab	9 Ashrae X	10 Ashrae Y	11 Coeff. C _o	12 Veloc. V	13 P.Dinám P _v	14 Pérdida Δp_r o Δp_c
N. pz.	Cod.	[m³/h]	[mm]	[mm]	[mm]	[m]	[Pa/m]	n.	-	-	-	[m/s]	[Pa]	[Pa]
429	3722D	1455	378	300	400	0	0	MC4	0.333	1.000	0.126	3.4	6.96	0.88
433	273R	1455	299	300	250	0.23	0	5.1	30.000	1.600	0.050	5.4	17.55	6.6
261	310R	1455	299	300	250	1.33	1.34					5.4	17.55	1.78
263	079R	1455	299	300	250	0	0	3.5	0.833	0.900	0.409	5.4	17.55	13.13
264	310R	1455	299	300	250	0.58	1.33					5.4	17.55	0.77

Pérdida de carga acumulada del segmento	Δp_t	[Pa]	: 23.16
Velocidad en la sección inicial del segmento	V_m	[m/s]	: 4.9
Velocidad en la sección final del segmento	V_v	[m/s]	: 3.2
Recuperación de presión estática del segmento	Δp_r	[Pa]	: 8.29
Pérdida de carga acumulada del segmento, considerando la recuperación	Δp_{tm}	[Pa]	: 10.43
Pérdida de carga acumulada neta – total acumulado	$\Sigma \Delta p_{tm}$	[Pa]	: 126.88

SEGMENTO 57:

Tipo: Terminal TRM-1

1 ELEMENTO		2 Caudal Q	3 Diam. D/D _e	4 Ancho A	5 Alto B	6 Long. L	7 $\Delta p/L$	8 Fuente Tab	9 Ashrae X	10 Ashrae Y	11 Coeff. C _o	12 Veloc. V	13 P.Dinám P _v	14 Pérdida Δp_r o Δp_c
N. pz.	Cod.	[m³/h]	[mm]	[mm]	[mm]	[m]	[Pa/m]	n.	-	-	-	[m/s]	[Pa]	[Pa]
434	3733D	730	273	250	250	0	0	ASH6_33	0.833		0.300	3.2	6.16	1.89
270	310R	730	273	250	250	1.01	0.57					3.2	6.16	0.58

436	42C1	730	248	248	248	0	0	4.7	30.000	1.290	0.300	4.2	10.62	3.17
272	05LC	730	248	248	248	0	0	MC4				4.2	10.62	24.76

Pérdida de carga acumulada del segmento	Δp_t	[Pa]	: 5.64
Velocidad en la sección inicial del segmento	V_m	[m/s]	: 3.2
Velocidad en la sección final del segmento	V_v	[m/s]	: 4.2
Recuperación de presión estática del segmento	Δp_r	[Pa]	: -4.45
Pérdida de carga acumulada del segmento, considerando la recuperación	Δp_{tn}	[Pa]	: 9.89
Pérdida de carga acumulada neta – total acumulado	$\Sigma \Delta p_{tn}$	[Pa]	: 161.53
Desequilibrio del terminal respecto al camino más desfavorable	Δp_{Tmr}	[Pa]	: 110.74

SEGMENTO 56:

Tipo: Terminal TRM-1

1 ELEMENTO		2 Caudal Q	3 Diam. D/D _e	4 Ancho A	5 Alto B	6 Long. L	7 $\Delta p/L$	8 Fuente Tab	9 Ashrae X	10 Ashrae Y	11 Coeff. C _o	12 Veloc. V	13 P.Dinám P _v	14 Pérdida Δp_r o Δp_e
N. pz.	Cod.	[m³/h]	[mm]	[mm]	[mm]	[m]	[Pa/m]	n.	-	-	-	[m/s]	[Pa]	[Pa]
268	3733D	730	273	250	250	0	0	ASH6_33			0.300	3.2	6.16	1.89
267	310R	730	273	250	250	0.99	0.58					3.2	6.16	0.57
435	42C1	730	248	248	248	0	0	4.7	30.000	1.290	0.300	4.2	10.62	3.17
269	05LC	730	248	248	248	0	0	MC4				4.2	10.62	24.76

Pérdida de carga acumulada del segmento	Δp_t	[Pa]	: 5.62
Velocidad en la sección inicial del segmento	V_m	[m/s]	: 3.2
Velocidad en la sección final del segmento	V_v	[m/s]	: 4.2
Recuperación de presión estática del segmento	Δp_r	[Pa]	: -4.45
Pérdida de carga acumulada del segmento, considerando la recuperación	Δp_{tn}	[Pa]	: 9.87
Pérdida de carga acumulada neta – total acumulado	$\Sigma \Delta p_{tn}$	[Pa]	: 161.51
Desequilibrio del terminal respecto al camino más desfavorable	Δp_{Tmr}	[Pa]	: 110.75

SEGMENTO 54:

Tipo: Terminal TRM-1

1 ELEMENTO		2 Caudal Q	3 Diam. D/D _e	4 Ancho A	5 Alto B	6 Long. L	7 $\Delta p/L$	8 Fuente Tab	9 Ashrae X	10 Ashrae Y	11 Coeff. C _o	12 Veloc. V	13 P.Dinám P _v	14 Pérdida Δp_r o Δp_e
N. pz.	Cod.	[m³/h]	[mm]	[mm]	[mm]	[m]	[Pa/m]	n.	-	-	-	[m/s]	[Pa]	[Pa]
256	3722D	730	378	300	400	0	0	MC4	0.333	1.000	3.610	1.7	1.74	6.29
431	273R	730	299	300	250	0.23	0	5.1	30.000	1.600	0.050	2.7	4.39	6.6
255	310R	730	299	300	250	0.62	0.37					2.7	4.39	0.23
257	079R	730	299	300	250	0	0	3.5	0.833	0.900	0.479	2.7	4.39	6.01
258	310R	730	273	250	250	0.92	0.58					3.2	6.16	0.53
432	42C1	730	248	248	248	0	0	4.7	30.000	1.290	0.300	4.2	10.62	3.17
260	05LC	730	248	248	248	0	0	MC4				4.2	10.62	24.76

Pérdida de carga acumulada del segmento	Δp_t	[Pa]	: 22.83
Velocidad en la sección inicial del segmento	V_m	[m/s]	: 4.9
Velocidad en la sección final del segmento	V_v	[m/s]	: 4.2
Recuperación de presión estática del segmento	Δp_r	[Pa]	: 3.83
Pérdida de carga acumulada del segmento, considerando la recuperación	Δp_{tn}	[Pa]	: 15.8
Pérdida de carga acumulada neta – total acumulado	$\Sigma \Delta p_{tn}$	[Pa]	: 157.01
Desequilibrio del terminal respecto al camino más desfavorable	Δp_{Tmr}	[Pa]	: 115.26

SEGMENTO 52:

Tipo: Tramo

1 ELEMENTO		2 Caudal Q	3 Diam. D/D _e	4 Ancho A	5 Alto B	6 Long. L	7 $\Delta p/L$	8 Fuente Tab	9 Ashrae X	10 Ashrae Y	11 Coeff. C _o	12 Veloc. V	13 P.Dinám P _v	14 Pérdida Δp_r o Δp_c
N. pz.	Cod.	[m³/h]	[mm]	[mm]	[mm]	[m]	[Pa/m]	n.	-	-	-	[m/s]	[Pa]	[Pa]
418	3722D	2910	433	350	450	0	0	MC4	0.429	0.857	0.064	5.1	15.66	1
229	310R	2910	433	350	450	0.66	0.77					5.1	15.66	0.51

Pérdida de carga acumulada del segmento	Δp_t	[Pa]	: 1.52
Velocidad en la sección inicial del segmento	V_m	[m/s]	: 4.4
Velocidad en la sección final del segmento	V_v	[m/s]	: 4.5
Recuperación de presión estática del segmento	Δp_r	[Pa]	: -0.54
Pérdida de carga acumulada del segmento, considerando la recuperación	Δp_{tn}	[Pa]	: 8.72
Pérdida de carga acumulada neta – total acumulado	$\Sigma \Delta p_{tn}$	[Pa]	: 115.77

SEGMENTO 49:

Tipo: Tramo

1 ELEMENTO		2 Caudal Q	3 Diam. D/D _e	4 Ancho A	5 Alto B	6 Long. L	7 $\Delta p/L$	8 Fuente Tab	9 Ashrae X	10 Ashrae Y	11 Coeff. C _o	12 Veloc. V	13 P.Dinám P _v	14 Pérdida Δp_r o Δp_c
N. pz.	Cod.	[m³/h]	[mm]	[mm]	[mm]	[m]	[Pa/m]	n.	-	-	-	[m/s]	[Pa]	[Pa]
419	3722D	1455	400	300	450	0	0	MC4	0.500	1.000	0.887	3	5.42	4.81
426	273R	1455	299	300	250	0.27	0	5.1	30.000	1.800	0.050	5.4	17.55	0.88
243	310R	1455	299	300	250	0.74	1.34					5.4	17.55	0.99

Pérdida de carga acumulada del segmento	Δp_t	[Pa]	: 6.68
Velocidad en la sección inicial del segmento	V_m	[m/s]	: 4.5
Velocidad en la sección final del segmento	V_v	[m/s]	: 3.2
Recuperación de presión estática del segmento	Δp_r	[Pa]	: 6.03
Pérdida de carga acumulada del segmento, considerando la recuperación	Δp_{tn}	[Pa]	: 1.7
Pérdida de carga acumulada neta – total acumulado	$\Sigma \Delta p_{tn}$	[Pa]	: 117.47

SEGMENTO 51:

Tipo: Terminal TRM-1

1 ELEMENTO		2 Caudal Q	3 Diam. D/D _e	4 Ancho A	5 Alto B	6 Long. L	7 $\Delta p/L$	8 Fuente Tab	9 Ashrae X	10 Ashrae Y	11 Coeff. C _o	12 Veloc. V	13 P.Dinám P _v	14 Pérdida Δp_r o Δp_c
N. pz.	Cod.	[m³/h]	[mm]	[mm]	[mm]	[m]	[Pa/m]	n.	-	-	-	[m/s]	[Pa]	[Pa]
425	3733D	730	273	250	250	0	0	ASH6_33			0.300	3.2	6.16	1.89
249	310R	730	273	250	250	1.24	0.57					3.2	6.16	0.71
428	42C1	730	248	248	248	0	0	4.7	30.000	1.290	0.300	4.2	10.62	3.17
251	05LC	730	248	248	248	0	0	MC4				4.2	10.62	24.76

Pérdida de carga acumulada del segmento	Δp_t	[Pa]	: 5.77
Velocidad en la sección inicial del segmento	V_m	[m/s]	: 3.2
Velocidad en la sección final del segmento	V_v	[m/s]	: 4.2
Recuperación de presión estática del segmento	Δp_r	[Pa]	: -4.45
Pérdida de carga acumulada del segmento, considerando la recuperación	Δp_{tn}	[Pa]	: 10.02
Pérdida de carga acumulada neta – total acumulado	$\Sigma \Delta p_{tn}$	[Pa]	: 152.25
Desequilibrio del terminal respecto al camino más desfavorable	Δp_{Tmr}	[Pa]	: 120.02

SEGMENTO 50:

Tipo: Terminal TRM-1

1 ELEMENTO		2 Caudal Q	3 Diam. D/D _e	4 Ancho A	5 Alto B	6 Long. L	7 $\Delta p/L$	8 Fuente Tab	9 Ashrae X	10 Ashrae Y	11 Coeff. C _o	12 Veloc. V	13 P.Dinám P _v	14 Pérdida Δp_r o Δp_c
N. pz.	Cod.	[m³/h]	[mm]	[mm]	[mm]	[m]	[Pa/m]	n.	-	-	-	[m/s]	[Pa]	[Pa]
247	3733D	730	273	250	250	0	0	ASH6_33	0.833		0.300	3.2	6.16	1.89
246	310R	730	273	250	250	1.16	0.58					3.2	6.16	0.67
427	42C1	730	248	248	248	0	0	4.7	30.000	1.290	0.300	4.2	10.62	3.17
248	05LC	730	248	248	248	0	0	MC4				4.2	10.62	24.76

Pérdida de carga acumulada del segmento	Δp_t	[Pa] : 5.73
Velocidad en la sección inicial del segmento	V_m	[m/s] : 3.2
Velocidad en la sección final del segmento	V_v	[m/s] : 4.2
Recuperación de presión estática del segmento	Δp_r	[Pa] : -4.45
Pérdida de carga acumulada del segmento, considerando la recuperación	Δp_{tm}	[Pa] : 9.97
Pérdida de carga acumulada neta – total acumulado	$\Sigma \Delta p_{tm}$	[Pa] : 152.2
Desequilibrio del terminal respecto al camino más desfavorable	Δp_{Tmr}	[Pa] : 120.06

SEGMENTO 48:

Tipo: Tramo

1 ELEMENTO		2 Caudal Q	3 Diam. D/D _e	4 Ancho A	5 Alto B	6 Long. L	7 $\Delta p/L$	8 Fuente Tab	9 Ashrae X	10 Ashrae Y	11 Coeff. C _o	12 Veloc. V	13 P.Dinám P _v	14 Pérdida Δp_r o Δp_c
N. pz.	Cod.	[m³/h]	[mm]	[mm]	[mm]	[m]	[Pa/m]	n.	-	-	-	[m/s]	[Pa]	[Pa]
420	3722D	1455	400	300	450	0	0	MC4	0.500	1.000		3	5.42	0
421	273R	1455	299	300	250	0.27	0	5.1	30.000	1.800	0.050	5.4	17.55	0.88
230	310R	1455	299	300	250	0.54	1.33					5.4	17.55	0.72
228	079R	1455	299	300	250	0	0	3.5	0.833	0.900	0.409	5.4	17.55	7.15
231	310R	1455	299	300	250	1.97	1.34					5.4	17.55	2.63
233	079R	1455	299	300	250	0	0	3.5	0.833	0.900	0.409	5.4	17.55	13.13
234	310R	1455	299	300	250	0.62	1.34					5.4	17.55	0.83

Pérdida de carga acumulada del segmento	Δp_t	[Pa] : 25.34
Velocidad en la sección inicial del segmento	V_m	[m/s] : 4.5
Velocidad en la sección final del segmento	V_v	[m/s] : 3.2
Recuperación de presión estática del segmento	Δp_r	[Pa] : 6.03
Pérdida de carga acumulada del segmento, considerando la recuperación	Δp_{tm}	[Pa] : 21.24
Pérdida de carga acumulada neta – total acumulado	$\Sigma \Delta p_{tm}$	[Pa] : 137.01

SEGMENTO 47:

Tipo: Terminal TRM-1

1 ELEMENTO		2 Caudal Q	3 Diam. D/D _e	4 Ancho A	5 Alto B	6 Long. L	7 $\Delta p/L$	8 Fuente Tab	9 Ashrae X	10 Ashrae Y	11 Coeff. C _o	12 Veloc. V	13 P.Dinám P _v	14 Pérdida Δp_r o Δp_c
N. pz.	Cod.	[m³/h]	[mm]	[mm]	[mm]	[m]	[Pa/m]	n.	-	-	-	[m/s]	[Pa]	[Pa]
422	3733D	730	273	250	250	0	0	ASH6_33	0.833		0.300	3.2	6.16	1.89
240	310R	730	273	250	250	0.99	0.58					3.2	6.16	0.57
424	42C1	730	248	248	248	0	0	4.7	30.000	1.290	0.300	4.2	10.62	3.17
242	05LC	730	248	248	248	0	0	MC4				4.2	10.62	24.76

Pérdida de carga acumulada del segmento	Δp_t	[Pa] : 5.62
Velocidad en la sección inicial del segmento	V_m	[m/s] : 3.2
Velocidad en la sección final del segmento	V_v	[m/s] : 4.2
Recuperación de presión estática del segmento	Δp_r	[Pa] : -4.45

Pérdida de carga acumulada del segmento, considerando la recuperación
 Pérdida de carga acumulada neta – total acumulado
 Desequilibrio del terminal respecto al camino más desfavorable

Δp_{tm} [Pa] : 9.87
 $\Sigma \Delta p_{tm}$ [Pa] : 171.64
 Δp_{Tmr} [Pa] : 100.62

SEGMENTO 46:**Tipo:** Terminal TRM-1

1 ELEMENTO		2 Caudal Q	3 Diam. D/D _e	4 Ancho A	5 Alto B	6 Long. L	7 $\Delta p/L$	8 Fuente Tab	9 Ashrae X	10 Ashrae Y	11 Coeff. C _o	12 Veloc. V	13 P.Dinám P _v	14 Pérdida Δp_r o Δp_e
N. pz.	Cod.	[m³/h]	[mm]	[mm]	[mm]	[m]	[Pa/m]	n.	-	-	-	[m/s]	[Pa]	[Pa]
238	3733D	730	273	250	250	0	0	ASH6_33			0.300	3.2	6.16	1.89
237	310R	730	273	250	250	1.01	0.57					3.2	6.16	0.58
423	42C1	730	248	248	248	0	0	4.7	30.000	1.290	0.300	4.2	10.62	3.17
239	05LC	730	248	248	248	0	0	MC4				4.2	10.62	24.76

Pérdida de carga acumulada del segmento
 Velocidad en la sección inicial del segmento
 Velocidad en la sección final del segmento
 Recuperación de presión estática del segmento
 Pérdida de carga acumulada del segmento, considerando la recuperación
 Pérdida de carga acumulada neta – total acumulado
 Desequilibrio del terminal respecto al camino más desfavorable

Δp_t [Pa] : 5.64
 V_m [m/s] : 3.2
 V_v [m/s] : 4.2
 Δp_r [Pa] : -4.45
 Δp_{tm} [Pa] : 9.89
 $\Sigma \Delta p_{tm}$ [Pa] : 171.66
 Δp_{Tmr} [Pa] : 100.61

SEGMENTO 44:**Tipo:** Tramo

1 ELEMENTO		2 Caudal Q	3 Diam. D/D _e	4 Ancho A	5 Alto B	6 Long. L	7 $\Delta p/L$	8 Fuente Tab	9 Ashrae X	10 Ashrae Y	11 Coeff. C _o	12 Veloc. V	13 P.Dinám P _v	14 Pérdida Δp_r o Δp_e
N. pz.	Cod.	[m³/h]	[mm]	[mm]	[mm]	[m]	[Pa/m]	n.	-	-	-	[m/s]	[Pa]	[Pa]
404	3722D	2650	543	450	550	0	0	MC4	0.808	2.890	0.421	3	5.42	2.28
406	273R	2650	400	450	300	0.32	0	5.1	30.000	1.830	0.050	5.5	18.21	0.9
198	310R	2650	400	450	300	1.92	0.96					5.5	18.21	1.85

Pérdida de carga acumulada del segmento
 Velocidad en la sección inicial del segmento
 Velocidad en la sección final del segmento
 Recuperación de presión estática del segmento
 Pérdida de carga acumulada del segmento, considerando la recuperación
 Pérdida de carga acumulada neta – total acumulado

Δp_t [Pa] : 5.03
 V_m [m/s] : 5.3
 V_v [m/s] : 4.1
 Δp_r [Pa] : 6.79
 Δp_{tm} [Pa] : -1.12
 $\Sigma \Delta p_{tm}$ [Pa] : 68.82

SEGMENTO 41:**Tipo:** Tramo

1 ELEMENTO		2 Caudal Q	3 Diam. D/D _e	4 Ancho A	5 Alto B	6 Long. L	7 $\Delta p/L$	8 Fuente Tab	9 Ashrae X	10 Ashrae Y	11 Coeff. C _o	12 Veloc. V	13 P.Dinám P _v	14 Pérdida Δp_r o Δp_e
N. pz.	Cod.	[m³/h]	[mm]	[mm]	[mm]	[m]	[Pa/m]	n.	-	-	-	[m/s]	[Pa]	[Pa]
405	3722D	1325	328	300	300	0	0	MC4	0.500	1.000		4.1	10.12	0
411	273R	1325	299	300	250	0.14	0	5.1	30.000	1.200	0.050	4.9	14.45	0.73
208	310R	1325	299	300	250	0.5	1.12					4.9	14.45	0.56
210	079R	1325	299	300	250	0	0	3.5	0.833	0.900	0.420	4.9	14.45	14.04
211	310R	1325	299	300	250	1.22	1.12					4.9	14.45	1.37

Pérdida de carga acumulada del segmento	Δp_t	[Pa]	: 16.69
Velocidad en la sección inicial del segmento	V_m	[m/s]	: 4.1
Velocidad en la sección final del segmento	V_v	[m/s]	: 4.6
Recuperación de presión estática del segmento	Δp_r	[Pa]	: -2.62
Pérdida de carga acumulada del segmento, considerando la recuperación	Δp_{tn}	[Pa]	: 27.62
Pérdida de carga acumulada neta – total acumulado	$\Sigma \Delta p_{tn}$	[Pa]	: 96.44

SEGMENTO 43:

Tipo: Terminal TRM-1

1 ELEMENTO		2 Caudal Q	3 Diam. D/D _e	4 Ancho A	5 Alto B	6 Long. L	7 $\Delta p/L$	8 Fuente Tab	9 Ashrae X	10 Ashrae Y	11 Coeff. C _o	12 Veloc. V	13 P.Dinám P _v	14 Pérdida Δp_r o Δp_e
N. pz.	Cod.	[m³/h]	[mm]	[mm]	[mm]	[m]	[Pa/m]	n.	-	-	-	[m/s]	[Pa]	[Pa]
412	3733D	665	273	250	250	0	0	ASH6_33			0.287	2.9	5.06	3.67
217	310R	665	273	250	250	1.39	0.49					2.9	5.06	0.68
414	42C1	665	248	248	248	0	0	4.7	30.000	1.290	0.300	3.8	8.69	2.63
219	05LC	665	248	248	248	0	0	MC4				3.8	8.69	20.54

Pérdida de carga acumulada del segmento	Δp_t	[Pa]	: 6.97
Velocidad en la sección inicial del segmento	V_m	[m/s]	: 4.6
Velocidad en la sección final del segmento	V_v	[m/s]	: 3.8
Recuperación de presión estática del segmento	Δp_r	[Pa]	: 4.05
Pérdida de carga acumulada del segmento, considerando la recuperación	Δp_{tn}	[Pa]	: 5.41
Pérdida de carga acumulada neta – total acumulado	$\Sigma \Delta p_{tn}$	[Pa]	: 122.39
Desequilibrio del terminal respecto al camino más desfavorable	Δp_{Tmr}	[Pa]	: 149.88

SEGMENTO 42:

Tipo: Terminal TRM-1

1 ELEMENTO		2 Caudal Q	3 Diam. D/D _e	4 Ancho A	5 Alto B	6 Long. L	7 $\Delta p/L$	8 Fuente Tab	9 Ashrae X	10 Ashrae Y	11 Coeff. C _o	12 Veloc. V	13 P.Dinám P _v	14 Pérdida Δp_r o Δp_e
N. pz.	Cod.	[m³/h]	[mm]	[mm]	[mm]	[m]	[Pa/m]	n.	-	-	-	[m/s]	[Pa]	[Pa]
215	3733D	665	273	250	250	0	0	ASH6_33	0.833		0.287	2.9	5.06	3.67
214	310R	665	273	250	250	0.71	0.49					2.9	5.06	0.35
413	42C1	665	248	248	248	0	0	4.7	30.000	1.290	0.300	3.8	8.69	2.63
216	05LC	665	248	248	248	0	0	MC4				3.8	8.69	20.54

Pérdida de carga acumulada del segmento	Δp_t	[Pa]	: 6.64
Velocidad en la sección inicial del segmento	V_m	[m/s]	: 4.6
Velocidad en la sección final del segmento	V_v	[m/s]	: 3.8
Recuperación de presión estática del segmento	Δp_r	[Pa]	: 4.05
Pérdida de carga acumulada del segmento, considerando la recuperación	Δp_{tn}	[Pa]	: 5.08
Pérdida de carga acumulada neta – total acumulado	$\Sigma \Delta p_{tn}$	[Pa]	: 122.06
Desequilibrio del terminal respecto al camino más desfavorable	Δp_{Tmr}	[Pa]	: 150.21

SEGMENTO 40:

Tipo: Tramo

1 ELEMENTO		2 Caudal Q	3 Diam. D/D _e	4 Ancho A	5 Alto B	6 Long. L	7 $\Delta p/L$	8 Fuente Tab	9 Ashrae X	10 Ashrae Y	11 Coeff. C _o	12 Veloc. V	13 P.Dinám P _v	14 Pérdida Δp_r o Δp_e
N. pz.	Cod.	[m³/h]	[mm]	[mm]	[mm]	[m]	[Pa/m]	n.	-	-	-	[m/s]	[Pa]	[Pa]
200	3722D	1325	328	300	300	0	0	MC4	0.500	1.000	0.404	4.1	10.12	4.09

408	273R	1325	299	300	250	0.14	0	5.1	30.000	1.200	0.050	4.9	14.45	0.73
199	310R	1325	299	300	250	1.78	1.12					4.9	14.45	1.99

Pérdida de carga acumulada del segmento	Δp_t	[Pa]	: 6.81
Velocidad en la sección inicial del segmento	V_m	[m/s]	: 4.1
Velocidad en la sección final del segmento	V_v	[m/s]	: 4.6
Recuperación de presión estática del segmento	Δp_r	[Pa]	: -2.62
Pérdida de carga acumulada del segmento, considerando la recuperación	Δp_{tm}	[Pa]	: 10.21
Pérdida de carga acumulada neta – total acumulado	$\Sigma \Delta p_{tm}$	[Pa]	: 79.03

SEGMENTO 39:

Tipo: Terminal TRM-1

1 ELEMENTO		2 Caudal Q	3 Diam. D/D _e	4 Ancho A	5 Alto B	6 Long. L	7 $\Delta p/L$	8 Fuente Tab	9 Ashrae X	10 Ashrae Y	11 Coeff. C _o	12 Veloc. V	13 P.Dinám P _v	14 Pérdida Δp_r o Δp_e
N. pz.	Cod.	[m³/h]	[mm]	[mm]	[mm]	[m]	[Pa/m]	n.	-	-	-	[m/s]	[Pa]	[Pa]
407	3733D	665	273	250	250	0	0	ASH6_33	0.833		0.287	2.9	5.06	3.67
205	310R	665	273	250	250	0.89	0.48					2.9	5.06	0.43
410	42C1	665	248	248	248	0	0	4.7	30.000	1.290	0.300	3.8	8.69	2.63
207	05LC	665	248	248	248	0	0	MC4				3.8	8.69	20.54

Pérdida de carga acumulada del segmento	Δp_t	[Pa]	: 6.73
Velocidad en la sección inicial del segmento	V_m	[m/s]	: 4.6
Velocidad en la sección final del segmento	V_v	[m/s]	: 3.8
Recuperación de presión estática del segmento	Δp_r	[Pa]	: 4.05
Pérdida de carga acumulada del segmento, considerando la recuperación	Δp_{tm}	[Pa]	: 5.17
Pérdida de carga acumulada neta – total acumulado	$\Sigma \Delta p_{tm}$	[Pa]	: 104.73
Desequilibrio del terminal respecto al camino más desfavorable	Δp_{Tmr}	[Pa]	: 167.53

SEGMENTO 38:

Tipo: Terminal TRM-1

1 ELEMENTO		2 Caudal Q	3 Diam. D/D _e	4 Ancho A	5 Alto B	6 Long. L	7 $\Delta p/L$	8 Fuente Tab	9 Ashrae X	10 Ashrae Y	11 Coeff. C _o	12 Veloc. V	13 P.Dinám P _v	14 Pérdida Δp_r o Δp_e
N. pz.	Cod.	[m³/h]	[mm]	[mm]	[mm]	[m]	[Pa/m]	n.	-	-	-	[m/s]	[Pa]	[Pa]
203	3733D	665	273	250	250	0	0	ASH6_33			0.287	2.9	5.06	3.67
202	310R	665	273	250	250	1.21	0.49					2.9	5.06	0.59
409	42C1	665	248	248	248	0	0	4.7	30.000	1.290	0.300	3.8	8.69	2.63
204	05LC	665	248	248	248	0	0	MC4				3.8	8.69	20.54

Pérdida de carga acumulada del segmento	Δp_t	[Pa]	: 6.88
Velocidad en la sección inicial del segmento	V_m	[m/s]	: 4.6
Velocidad en la sección final del segmento	V_v	[m/s]	: 3.8
Recuperación de presión estática del segmento	Δp_r	[Pa]	: 4.05
Pérdida de carga acumulada del segmento, considerando la recuperación	Δp_{tm}	[Pa]	: 5.32
Pérdida de carga acumulada neta – total acumulado	$\Sigma \Delta p_{tm}$	[Pa]	: 104.89
Desequilibrio del terminal respecto al camino más desfavorable	Δp_{Tmr}	[Pa]	: 167.38

SEGMENTO 36:

Tipo: Tramo

1 ELEMENTO	2 Caudal	3 Diam.	4 Ancho	5 Alto	6 Long.	7 $\Delta p/L$	8 Fuente	9 Ashrae	10 Ashrae	11 Coeff.	12 Veloc.	13 P.Dinám	14 Pérdida
---------------	-------------	------------	------------	-----------	------------	-------------------	-------------	-------------	--------------	--------------	--------------	---------------	---------------

		Q	D/D _e	A	B	L		Tab	X	Y	C _o	V	P _v	Δp _r o Δp _e
N. pz.	Cod.	[m³/h]	[mm]	[mm]	[mm]	[m]	[Pa/m]	n.	-	-	-	[m/s]	[Pa]	[Pa]
10	3722D	12200	1041	1600	600	0	0	MC4	0.469	1.090	1.780	3.5	7.37	13.09
338	273R	12200	896	1150	600	0.49	0	5.1	30.000	1.390	0.050	4.9	14.45	0.73
9	310R	12200	896	1150	600	1.57	0.31					4.9	14.45	0.48

Pérdida de carga acumulada del segmento

Δp_t [Pa] : 14.3

Velocidad en la sección inicial del segmento

V_m [m/s] : 5.6

Velocidad en la sección final del segmento

V_v [m/s] : 4.7

Recuperación de presión estática del segmento

Δp_r [Pa] : 5.58

Pérdida de carga acumulada del segmento, considerando la recuperación

Δp_{tm} [Pa] : 9.16

Pérdida de carga acumulada neta – total acumulado

ΣΔp_{tm} [Pa] : 38.35

SEGMENTO 19:

Tipo: Tramo

1 ELEMENTO		2 Caudal Q	3 Diam. D/D _e	4 Ancho A	5 Alto B	6 Long. L	7 Δp/L	8 Fuente Tab	9 Ashrae X	10 Ashrae Y	11 Coeff. C _o	12 Veloc. V	13 P.Dinám P _v	14 Pérdida Δp _r o Δp _e
N. pz.	Cod.	[m³/h]	[mm]	[mm]	[mm]	[m]	[Pa/m]	n.	-	-	-	[m/s]	[Pa]	[Pa]
337	3733D	5670	628	600	550	0	0	ASH6_33			0.300	4.8	13.87	4
368	273R	5670	573	500	550	0.19	0	5.1	30.000	1.200	0.050	5.7	19.56	0.99
83	310R	5670	573	500	550	3.47	0.67					5.7	19.56	2.34
85	079R	5670	573	500	550	0	0	3.5	1.100	0.740	0.462	5.7	19.56	9.12
86	310R	5670	573	500	550	22.39	0.67					5.7	19.56	15.08
88	079R	5670	573	500	550	0	0	3.5	1.100	0.740	0.462	5.7	19.56	9.12
89	310R	5670	573	500	550	5.07	0.67					5.7	19.56	3.42
91	079R	5670	573	500	550	0	0	3.5	1.100	0.740	0.462	5.7	19.56	9.12
92	310R	5670	573	500	550	5.22	0.67					5.7	19.56	3.52
94	079R	5670	573	500	550	0	0	3.5	1.100	0.740	0.462	5.7	19.56	9.12
95	310R	5670	573	500	550	5.63	0.67					5.7	19.56	3.79
97	079R	5670	573	500	550	0	0	3.5	1.100	0.740	0.462	5.7	19.56	9.12
98	310R	5670	573	500	550	12.76	0.67					5.7	19.56	8.6

Pérdida de carga acumulada del segmento

Δp_t [Pa] : 87.34

Velocidad en la sección inicial del segmento

V_m [m/s] : 4.7

Velocidad en la sección final del segmento

V_v [m/s] : 4.9

Recuperación de presión estática del segmento

Δp_r [Pa] : -1.16

Pérdida de carga acumulada del segmento, considerando la recuperación

Δp_{tm} [Pa] : 89.58

Pérdida de carga acumulada neta – total acumulado

ΣΔp_{tm} [Pa] : 127.92

SEGMENTO 33:

Tipo: Tramo

1 ELEMENTO		2 Caudal Q	3 Diam. D/D _e	4 Ancho A	5 Alto B	6 Long. L	7 Δp/L	8 Fuente Tab	9 Ashrae X	10 Ashrae Y	11 Coeff. C _o	12 Veloc. V	13 P.Dinám P _v	14 Pérdida Δp _r o Δp _e
N. pz.	Cod.	[m³/h]	[mm]	[mm]	[mm]	[m]	[Pa/m]	n.	-	-	-	[m/s]	[Pa]	[Pa]
369	3722D	1520	381	500	250	0	0	MC4	0.732	1.800	0.864	3.4	6.96	6.01
394	273R	1520	299	300	250	0.27	0	5.1	30.000	1.670	0.050	5.6	18.88	0.89
169	310R	1520	299	300	250	6.01	1.45					5.6	18.88	8.72
171	079R	1520	299	300	250	0	0	3.5	0.833	0.900	0.403	5.6	18.88	7.69
172	310R	1520	299	300	250	1.65	1.45					5.6	18.88	2.39
174	079R	1520	299	300	250	0	0	3.5	0.833	0.900	0.403	5.6	18.88	7.69
175	310R	1520	299	300	250	4.51	1.45					5.6	18.88	6.55
396	023R	1520	299	300	250	0.53	0	4.3	30.000	1.100	0.300	5.6	18.88	5.72
178	310R	1520	299	550	150	2.04	1.45					5.1	15.66	2.95
398	033R	1520	299	300	250	0.53	0	4.3	30.000	1.100	0.300	5.6	18.88	5.72
179	310R	1520	299	300	250	3.78	1.45					5.6	18.88	5.48
177	079R	1520	299	300	250	0	0	3.5	0.833	0.900	0.403	5.6	18.88	14.16
180	310R	1520	299	300	250	0.55	1.45					5.6	18.88	0.8

Pérdida de carga acumulada del segmento	Δp_t	[Pa]	: 74.78
Velocidad en la sección inicial del segmento	V_m	[m/s]	: 4.9
Velocidad en la sección final del segmento	V_v	[m/s]	: 5.6
Recuperación de presión estática del segmento	Δp_r	[Pa]	: -4.42
Pérdida de carga acumulada del segmento, considerando la recuperación	Δp_{tm}	[Pa]	: 80.23
Pérdida de carga acumulada neta – total acumulado	$\Sigma \Delta p_{tm}$	[Pa]	: 208.16

SEGMENTO 35:

Tipo: Terminal TRM-3

1 ELEMENTO		2 Caudal Q	3 Diam. D/D _e	4 Ancho A	5 Alto B	6 Long. L	7 $\Delta p/L$	8 Fuente Tab	9 Ashrae X	10 Ashrae Y	11 Coeff. C _o	12 Veloc. V	13 P.Dinám P _v	14 Pérdida Δp_r o Δp_e
N. pz.	Cod.	[m³/h]	[mm]	[mm]	[mm]	[m]	[Pa/m]	n.	-	-	-	[m/s]	[Pa]	[Pa]
399	3733D	760	273	250	250	0	0	ASH6_33	0.833		0.267	3.4	6.96	5.09
186	310R	760	273	250	250	0.9	0.62					3.4	6.96	0.56
401	42C1	760	248	248	248	0	0	4.7	30.000	1.290	0.300	4.4	11.65	3.45
188	05LC	760	248	248	248	0	0	MC4				4.4	11.65	26.99

Pérdida de carga acumulada del segmento	Δp_t	[Pa]	: 9.1
Velocidad en la sección inicial del segmento	V_m	[m/s]	: 5.6
Velocidad en la sección final del segmento	V_v	[m/s]	: 4.4
Recuperación de presión estática del segmento	Δp_r	[Pa]	: 7.22
Pérdida de carga acumulada del segmento, considerando la recuperación	Δp_{tm}	[Pa]	: 1.52
Pérdida de carga acumulada neta – total acumulado	$\Sigma \Delta p_{tm}$	[Pa]	: 236.66
Desequilibrio del terminal respecto al camino más desfavorable	Δp_{Tmr}	[Pa]	: 35.61

SEGMENTO 34:

Tipo: Terminal TRM-3

1 ELEMENTO		2 Caudal Q	3 Diam. D/D _e	4 Ancho A	5 Alto B	6 Long. L	7 $\Delta p/L$	8 Fuente Tab	9 Ashrae X	10 Ashrae Y	11 Coeff. C _o	12 Veloc. V	13 P.Dinám P _v	14 Pérdida Δp_r o Δp_e
N. pz.	Cod.	[m³/h]	[mm]	[mm]	[mm]	[m]	[Pa/m]	n.	-	-	-	[m/s]	[Pa]	[Pa]
184	3733D	760	273	250	250	0	0	ASH6_33			0.267	3.4	6.96	5.09
183	310R	760	273	250	250	0.99	0.63					3.4	6.96	0.62
400	42C1	760	248	248	248	0	0	4.7	30.000	1.290	0.300	4.4	11.65	3.45
185	05LC	760	248	248	248	0	0	MC4				4.4	11.65	26.99

Pérdida de carga acumulada del segmento	Δp_t	[Pa]	: 9.16
Velocidad en la sección inicial del segmento	V_m	[m/s]	: 5.6
Velocidad en la sección final del segmento	V_v	[m/s]	: 4.4
Recuperación de presión estática del segmento	Δp_r	[Pa]	: 7.22
Pérdida de carga acumulada del segmento, considerando la recuperación	Δp_{tm}	[Pa]	: 1.57
Pérdida de carga acumulada neta – total acumulado	$\Sigma \Delta p_{tm}$	[Pa]	: 236.71
Desequilibrio del terminal respecto al camino más desfavorable	Δp_{Tmr}	[Pa]	: 35.55

SEGMENTO 32:

Tipo: Tramo

1 ELEMENTO		2 Caudal Q	3 Diam. D/D _e	4 Ancho A	5 Alto B	6 Long. L	7 $\Delta p/L$	8 Fuente Tab	9 Ashrae X	10 Ashrae Y	11 Coeff. C _o	12 Veloc. V	13 P.Dinám P _v	14 Pérdida Δp_r o Δp_e
N. pz.	Cod.	[m³/h]	[mm]	[mm]	[mm]	[m]	[Pa/m]	n.	-	-	-	[m/s]	[Pa]	[Pa]

102	3722D	4150	518	500	450	0	0	MC4	0.732	1.800	0.524	5.1	15.66	8.21
370	273R	4150	492	450	450	0.14	0	5.1	30.000	1.110	0.050	5.7	19.56	0.98
101	310R	4150	492	450	450	2.18	0.8					5.7	19.56	1.74
103	079R	4150	492	450	450	0	0	3.5	1.000	0.767	0.440	5.7	19.56	8.58
104	310R	4150	492	450	450	6.19	0.8					5.7	19.56	4.95
106	079R	4150	492	450	450	0	0	3.5	1.000	0.767	0.440	5.7	19.56	4.62
107	310R	4150	492	450	450	1	0.8					5.7	19.56	0.8
109	079R	4150	492	450	450	0	0	3.5	1.000	0.767	0.440	5.7	19.56	4.62
110	310R	4150	492	450	450	0.7	0.8					5.7	19.56	0.56

Pérdida de carga acumulada del segmento	Δp_t	[Pa]	: 35.05
Velocidad en la sección inicial del segmento	V_m	[m/s]	: 4.9
Velocidad en la sección final del segmento	V_v	[m/s]	: 3.6
Recuperación de presión estática del segmento	Δp_r	[Pa]	: 6.65
Pérdida de carga acumulada del segmento, considerando la recuperación	Δp_{tm}	[Pa]	: 33.15
Pérdida de carga acumulada neta – total acumulado	$\Sigma \Delta p_{tm}$	[Pa]	: 161.08

SEGMENTO 27:

Tipo: Tramo

1 ELEMENTO		2 Caudal Q	3 Diam. D/D _e	4 Ancho A	5 Alto B	6 Long. L	7 $\Delta p/L$	8 Fuente Tab	9 Ashrae X	10 Ashrae Y	11 Coeff. C _o	12 Veloc. V	13 P.Dinám P _v	14 Pérdida Δp_r o Δp_e
N. pz.	Cod.	[m³/h]	[mm]	[mm]	[mm]	[m]	[Pa/m]	n.	-	-	-	[m/s]	[Pa]	[Pa]
371	3722D	2240	492	450	450	0	0	MC4	0.539	1.290	0.915	3.1	5.79	5.3
387	273R	2240	363	450	250	0.27	0	5.1	30.000	1.800	0.050	5.5	18.21	0.92
144	310R	2240	363	450	250	0.8	1.14					5.5	18.21	0.91
146	079R	2240	363	450	250	0	0	3.5	0.556	0.767	0.580	5.5	18.21	9.82
147	310R	2240	363	450	250	1	1.14					5.5	18.21	1.14
149	079R	2240	363	450	250	0	0	3.5	0.556	0.767	0.580	5.5	18.21	10.67
150	310R	2240	363	450	250	0.63	1.13					5.5	18.21	0.71

Pérdida de carga acumulada del segmento	Δp_t	[Pa]	: 29.47
Velocidad en la sección inicial del segmento	V_m	[m/s]	: 3.6
Velocidad en la sección final del segmento	V_v	[m/s]	: 5
Recuperación de presión estática del segmento	Δp_r	[Pa]	: -7.25
Pérdida de carga acumulada del segmento, considerando la recuperación	Δp_{tm}	[Pa]	: 39.31
Pérdida de carga acumulada neta – total acumulado	$\Sigma \Delta p_{tm}$	[Pa]	: 200.38

SEGMENTO 29:

Tipo: Tramo

1 ELEMENTO		2 Caudal Q	3 Diam. D/D _e	4 Ancho A	5 Alto B	6 Long. L	7 $\Delta p/L$	8 Fuente Tab	9 Ashrae X	10 Ashrae Y	11 Coeff. C _o	12 Veloc. V	13 P.Dinám P _v	14 Pérdida Δp_r o Δp_e
N. pz.	Cod.	[m³/h]	[mm]	[mm]	[mm]	[m]	[Pa/m]	n.	-	-	-	[m/s]	[Pa]	[Pa]
388	3722D	1490	299	300	250	0	0	MC4	0.667	1.200	0.439	5.5	18.21	7.99
160	310R	1490	299	300	250	0.56	1.41					5.5	18.21	0.79

Pérdida de carga acumulada del segmento	Δp_t	[Pa]	: 8.78
Velocidad en la sección inicial del segmento	V_m	[m/s]	: 5
Velocidad en la sección final del segmento	V_v	[m/s]	: 3.3
Recuperación de presión estática del segmento	Δp_r	[Pa]	: 8.49
Pérdida de carga acumulada del segmento, considerando la recuperación	Δp_{tm}	[Pa]	: 1.43
Pérdida de carga acumulada neta – total acumulado	$\Sigma \Delta p_{tm}$	[Pa]	: 201.81

SEGMENTO 31:

Tipo: Terminal TRM-2

1 ELEMENTO		2 Caudal Q	3 Diam. D/D _e	4 Ancho A	5 Alto B	6 Long. L	7 $\Delta p/L$	8 Fuente Tab	9 Ashrae X	10 Ashrae Y	11 Coeff. C _o	12 Veloc. V	13 P.Dinám P _v	14 Pérdida Δp_r o Δp_c
N. pz.	Cod.	[m³/h]	[mm]	[mm]	[mm]	[m]	[Pa/m]	n.	-	-	-	[m/s]	[Pa]	[Pa]
391	3733D	745	273	250	250	0	0	ASH6_33			0.300	3.3	6.56	1.99
166	310R	745	273	250	250	1.3	0.61					3.3	6.56	0.79
393	42C1	745	248	248	248	0	0	4.7	30.000	1.290	0.300	4.3	11.13	3.32
168	05LC	745	248	248	248	0	0	MC4				4.3	11.13	26

Pérdida de carga acumulada del segmento	Δp_t	[Pa]	: 6.09
Velocidad en la sección inicial del segmento	V_m	[m/s]	: 3.3
Velocidad en la sección final del segmento	V_v	[m/s]	: 4.3
Recuperación de presión estática del segmento	Δp_r	[Pa]	: -4.58
Pérdida de carga acumulada del segmento, considerando la recuperación	Δp_{tn}	[Pa]	: 10.55
Pérdida de carga acumulada neta – total acumulado	$\Sigma \Delta p_{tn}$	[Pa]	: 238.36
Desequilibrio del terminal respecto al camino más desfavorable	Δp_{Tmr}	[Pa]	: 33.9

SEGMENTO 30:

Tipo: Terminal TRM-2

1 ELEMENTO		2 Caudal Q	3 Diam. D/D _e	4 Ancho A	5 Alto B	6 Long. L	7 $\Delta p/L$	8 Fuente Tab	9 Ashrae X	10 Ashrae Y	11 Coeff. C _o	12 Veloc. V	13 P.Dinám P _v	14 Pérdida Δp_r o Δp_c
N. pz.	Cod.	[m³/h]	[mm]	[mm]	[mm]	[m]	[Pa/m]	n.	-	-	-	[m/s]	[Pa]	[Pa]
164	3733D	745	273	250	250	0	0	ASH6_33	0.833		0.300	3.3	6.56	1.99
163	310R	745	273	250	250	1.3	0.61					3.3	6.56	0.79
392	42C1	745	248	248	248	0	0	4.7	30.000	1.290	0.300	4.3	11.13	3.32
165	05LC	745	248	248	248	0	0	MC4				4.3	11.13	26

Pérdida de carga acumulada del segmento	Δp_t	[Pa]	: 6.09
Velocidad en la sección inicial del segmento	V_m	[m/s]	: 3.3
Velocidad en la sección final del segmento	V_v	[m/s]	: 4.3
Recuperación de presión estática del segmento	Δp_r	[Pa]	: -4.58
Pérdida de carga acumulada del segmento, considerando la recuperación	Δp_{tn}	[Pa]	: 10.55
Pérdida de carga acumulada neta – total acumulado	$\Sigma \Delta p_{tn}$	[Pa]	: 238.36
Desequilibrio del terminal respecto al camino más desfavorable	Δp_{Tmr}	[Pa]	: 33.9

SEGMENTO 28:

Tipo: Terminal TRM-2

1 ELEMENTO		2 Caudal Q	3 Diam. D/D _e	4 Ancho A	5 Alto B	6 Long. L	7 $\Delta p/L$	8 Fuente Tab	9 Ashrae X	10 Ashrae Y	11 Coeff. C _o	12 Veloc. V	13 P.Dinám P _v	14 Pérdida Δp_r o Δp_c
N. pz.	Cod.	[m³/h]	[mm]	[mm]	[mm]	[m]	[Pa/m]	n.	-	-	-	[m/s]	[Pa]	[Pa]
389	3722D	745	273	250	250	0	0	MC4	0.667	1.200	0.296	3.3	6.56	1.94
153	310R	745	273	250	250	1.62	0.6					3.3	6.56	0.98
152	079R	745	273	250	250	0	0	3.5	1.000	0.900	0.265	3.3	6.56	1.75
154	310R	745	273	250	250	0.8	0.6					3.3	6.56	0.48
156	079R	745	273	250	250	0	0	3.5	1.000	0.900	0.265	3.3	6.56	3.77
157	310R	745	273	250	250	1.11	0.6					3.3	6.56	0.67
390	42C1	745	248	248	248	0	0	4.7	30.000	1.290	0.300	4.3	11.13	3.32
159	05LC	745	248	248	248	0	0	MC4				4.3	11.13	26

Pérdida de carga acumulada del segmento	Δp_t	[Pa]	: 12.91
Velocidad en la sección inicial del segmento	V_m	[m/s]	: 5
Velocidad en la sección final del segmento	V_v	[m/s]	: 4.3

Recuperación de presión estática del segmento	Δp_r	[Pa]	: 3.92
Pérdida de carga acumulada del segmento, considerando la recuperación	Δp_{tm}	[Pa]	: 12.53
Pérdida de carga acumulada neta – total acumulado	$\Sigma \Delta p_{tm}$	[Pa]	: 238.92
Desequilibrio del terminal respecto al camino más desfavorable	Δp_{Tmr}	[Pa]	: 33.35

SEGMENTO 26:

Tipo: Tramo

1 ELEMENTO		2 Caudal Q	3 Diam. D/D _e	4 Ancho A	5 Alto B	6 Long. L	7 $\Delta p/L$	8 Fuente Tab	9 Ashrae X	10 Ashrae Y	11 Coeff. C _o	12 Veloc. V	13 P.Dinám P _v	14 Pérdida Δp_r o Δp_e
N. pz.	Cod.	[m³/h]	[mm]	[mm]	[mm]	[m]	[Pa/m]	n.	-	-	-	[m/s]	[Pa]	[Pa]
372	3722D	1910	433	350	450	0	0	MC4	0.539	1.290	0.062	3.4	6.96	0.43
373	273R	1910	322	350	250	0.27	0	5.1	30.000	1.800	0.050	6.1	22.4	1.11
113	310R	1910	322	350	250	1.82	1.54					6.1	22.4	2.8
112	079R	1910	322	350	250	0	0	3.5	0.714	0.843	0.466	6.1	22.4	15.44
114	310R	1910	322	350	250	0.8	1.54					6.1	22.4	1.23
116	079R	1910	322	350	250	0	0	3.5	0.714	0.843	0.466	6.1	22.4	7.57
117	310R	1910	322	350	250	1	1.54					6.1	22.4	1.54

Pérdida de carga acumulada del segmento	Δp_t	[Pa]	: 30.12
Velocidad en la sección inicial del segmento	V_m	[m/s]	: 3.6
Velocidad en la sección final del segmento	V_v	[m/s]	: 4.2
Recuperación de presión estática del segmento	Δp_r	[Pa]	: -2.82
Pérdida de carga acumulada del segmento, considerando la recuperación	Δp_{tm}	[Pa]	: 37.61
Pérdida de carga acumulada neta – total acumulado	$\Sigma \Delta p_{tm}$	[Pa]	: 198.68

SEGMENTO 23:

Tipo: Tramo

1 ELEMENTO		2 Caudal Q	3 Diam. D/D _e	4 Ancho A	5 Alto B	6 Long. L	7 $\Delta p/L$	8 Fuente Tab	9 Ashrae X	10 Ashrae Y	11 Coeff. C _o	12 Veloc. V	13 P.Dinám P _v	14 Pérdida Δp_r o Δp_e
N. pz.	Cod.	[m³/h]	[mm]	[mm]	[mm]	[m]	[Pa/m]	n.	-	-	-	[m/s]	[Pa]	[Pa]
374	3733D	955	322	350	250	0	0	ASH6_33	1.000		0.250	3	5.42	2.72
381	273R	955	244	200	250	0.23	0	5.1	30.000	1.750	0.050	5.3	16.91	0.81
132	310R	955	244	200	250	3.13	1.67					5.3	16.91	5.22
134	079R	955	244	200	250	0	0	3.5	1.250	1.000	0.271	5.3	16.91	4.61
135	310R	955	244	200	250	1.22	1.66					5.3	16.91	2.03

Pérdida de carga acumulada del segmento	Δp_t	[Pa]	: 15.39
Velocidad en la sección inicial del segmento	V_m	[m/s]	: 4.2
Velocidad en la sección final del segmento	V_v	[m/s]	: 5.3
Recuperación de presión estática del segmento	Δp_r	[Pa]	: -6.29
Pérdida de carga acumulada del segmento, considerando la recuperación	Δp_{tm}	[Pa]	: 21.5
Pérdida de carga acumulada neta – total acumulado	$\Sigma \Delta p_{tm}$	[Pa]	: 220.19

SEGMENTO 25:

Tipo: Terminal TRM-2

1 ELEMENTO		2 Caudal Q	3 Diam. D/D _e	4 Ancho A	5 Alto B	6 Long. L	7 $\Delta p/L$	8 Fuente Tab	9 Ashrae X	10 Ashrae Y	11 Coeff. C _o	12 Veloc. V	13 P.Dinám P _v	14 Pérdida Δp_r o Δp_e
N. pz.	Cod.	[m³/h]	[mm]	[mm]	[mm]	[m]	[Pa/m]	n.	-	-	-	[m/s]	[Pa]	[Pa]
382	3733D	480	244	200	250	0	0	ASH6_33	1.000		0.250	2.7	4.39	4.25
386	273R	480	219	200	200	0.04	0	5.1	30.000	1.250	0.050	3.3	6.56	0.33

141	310R	480	219	200	200	0.8	0.79					3.3	6.56	0.63
385	42C1	480	198	198	198	0	0	4.7	30.000	1.300	0.300	4.3	11.13	3.36
143	05LC	480	198	198	198	0	0	MC4				4.3	11.13	33.49

Pérdida de carga acumulada del segmento	Δp_t	[Pa]	: 8.56
Velocidad en la sección inicial del segmento	V_m	[m/s]	: 5.3
Velocidad en la sección final del segmento	V_v	[m/s]	: 4.3
Recuperación de presión estática del segmento	Δp_r	[Pa]	: 5.78
Pérdida de carga acumulada del segmento, considerando la recuperación	Δp_{tm}	[Pa]	: 2.78
Pérdida de carga acumulada neta – total acumulado	$\Sigma \Delta p_{tm}$	[Pa]	: 256.45
Desequilibrio del terminal respecto al camino más desfavorable	Δp_{Tmr}	[Pa]	: 15.82

SEGMENTO 24:

Tipo: Terminal TRM-2

1 ELEMENTO		2 Caudal Q	3 Diam. D/D _e	4 Ancho A	5 Alto B	6 Long. L	7 $\Delta p/L$	8 Fuente Tab	9 Ashrae X	10 Ashrae Y	11 Coeff. C _o	12 Veloc. V	13 P.Dinám P _v	14 Pérdida Δp_r o Δp_e
N. pz.	Cod.	[m³/h]	[mm]	[mm]	[mm]	[m]	[Pa/m]	n.	-	-	-	[m/s]	[Pa]	[Pa]
139	3733D	480	244	200	250	0	0	ASH6_33			0.250	2.7	4.39	4.25
384	273R	480	219	200	200	0.04	0	5.1	30.000	1.250	0.050	3.3	6.56	0.33
138	310R	480	219	200	200	0.8	0.79					3.3	6.56	0.63
383	42C1	480	198	198	198	0	0	4.7	30.000	1.300	0.300	4.3	11.13	3.36
140	05LC	480	198	198	198	0	0	MC4				4.3	11.13	33.49

Pérdida de carga acumulada del segmento	Δp_t	[Pa]	: 8.56
Velocidad en la sección inicial del segmento	V_m	[m/s]	: 5.3
Velocidad en la sección final del segmento	V_v	[m/s]	: 4.3
Recuperación de presión estática del segmento	Δp_r	[Pa]	: 5.78
Pérdida de carga acumulada del segmento, considerando la recuperación	Δp_{tm}	[Pa]	: 2.78
Pérdida de carga acumulada neta – total acumulado	$\Sigma \Delta p_{tm}$	[Pa]	: 256.45
Desequilibrio del terminal respecto al camino más desfavorable	Δp_{Tmr}	[Pa]	: 15.82

SEGMENTO 22:

Tipo: Tramo

1 ELEMENTO		2 Caudal Q	3 Diam. D/D _e	4 Ancho A	5 Alto B	6 Long. L	7 $\Delta p/L$	8 Fuente Tab	9 Ashrae X	10 Ashrae Y	11 Coeff. C _o	12 Veloc. V	13 P.Dinám P _v	14 Pérdida Δp_r o Δp_e
N. pz.	Cod.	[m³/h]	[mm]	[mm]	[mm]	[m]	[Pa/m]	n.	-	-	-	[m/s]	[Pa]	[Pa]
121	3733D	955	322	350	250	0	0	ASH6_33			0.250	3	5.42	2.72
375	273R	955	244	200	250	0.23	0	5.1	30.000	1.750	0.050	5.3	16.91	0.81
120	310R	955	244	200	250	0.87	1.68					5.3	16.91	1.46
122	079R	955	244	200	250	0	0	3.5	1.250	1.000	0.271	5.3	16.91	15.38
123	310R	955	244	200	250	1.22	1.66					5.3	16.91	2.03

Pérdida de carga acumulada del segmento	Δp_t	[Pa]	: 22.4
Velocidad en la sección inicial del segmento	V_m	[m/s]	: 4.2
Velocidad en la sección final del segmento	V_v	[m/s]	: 5.3
Recuperación de presión estática del segmento	Δp_r	[Pa]	: -6.29
Pérdida de carga acumulada del segmento, considerando la recuperación	Δp_{tm}	[Pa]	: 37.32
Pérdida de carga acumulada neta – total acumulado	$\Sigma \Delta p_{tm}$	[Pa]	: 236

SEGMENTO 21:

Tipo: Terminal TRM-2

1 ELEMENTO		2 Caudal Q	3 Diam. D/D _e	4 Ancho A	5 Alto B	6 Long. L	7 $\Delta p/L$	8 Fuente Tab	9 Ashrae X	10 Ashrae Y	11 Coeff. C _o	12 Veloc. V	13 P.Dinám P _v	14 Pérdida Δp_r o Δp_c
N. pz.	Cod.	[m³/h]	[mm]	[mm]	[mm]	[m]	[Pa/m]	n.	-	-	-	[m/s]	[Pa]	[Pa]
376	3733D	480	244	200	250	0	0	ASH6_33	1.000		0.250	2.7	4.39	4.25
380	273R	480	219	200	200	0.04	0	5.1	30.000	1.250	0.050	3.3	6.56	0.33
129	310R	480	219	200	200	0.8	0.79					3.3	6.56	0.63
379	42C1	480	198	198	198	0	0	4.7	30.000	1.300	0.300	4.3	11.13	3.36
131	05LC	480	198	198	198	0	0	MC4				4.3	11.13	33.49

Pérdida de carga acumulada del segmento

Δp_t [Pa] : 8.56

Velocidad en la sección inicial del segmento

V_m [m/s] : 5.3

Velocidad en la sección final del segmento

V_v [m/s] : 4.3

Recuperación de presión estática del segmento

Δp_r [Pa] : 5.78

Pérdida de carga acumulada del segmento, considerando la recuperación

Δp_{tn} [Pa] : 2.78

Pérdida de carga acumulada neta – total acumulado

$\Sigma \Delta p_{tn}$ [Pa] : 272.27

SEGMENTO 20:

Tipo: Terminal TRM-2

1 ELEMENTO		2 Caudal Q	3 Diam. D/D _e	4 Ancho A	5 Alto B	6 Long. L	7 $\Delta p/L$	8 Fuente Tab	9 Ashrae X	10 Ashrae Y	11 Coeff. C _o	12 Veloc. V	13 P.Dinám P _v	14 Pérdida Δp_r o Δp_c
N. pz.	Cod.	[m³/h]	[mm]	[mm]	[mm]	[m]	[Pa/m]	n.	-	-	-	[m/s]	[Pa]	[Pa]
127	3733D	480	244	200	250	0	0	ASH6_33			0.250	2.7	4.39	4.25
378	273R	480	219	200	200	0.04	0	5.1	30.000	1.250	0.050	3.3	6.56	0.33
126	310R	480	219	200	200	0.8	0.79					3.3	6.56	0.63
377	42C1	480	198	198	198	0	0	4.7	30.000	1.300	0.300	4.3	11.13	3.36
128	05LC	480	198	198	198	0	0	MC4				4.3	11.13	33.49

Pérdida de carga acumulada del segmento

Δp_t [Pa] : 8.56

Velocidad en la sección inicial del segmento

V_m [m/s] : 5.3

Velocidad en la sección final del segmento

V_v [m/s] : 4.3

Recuperación de presión estática del segmento

Δp_r [Pa] : 5.78

Pérdida de carga acumulada del segmento, considerando la recuperación

Δp_{tn} [Pa] : 2.78

Pérdida de carga acumulada neta – total acumulado

$\Sigma \Delta p_{tn}$ [Pa] : 272.27

SEGMENTO 18:

Tipo: Tramo

1 ELEMENTO		2 Caudal Q	3 Diam. D/D _e	4 Ancho A	5 Alto B	6 Long. L	7 $\Delta p/L$	8 Fuente Tab	9 Ashrae X	10 Ashrae Y	11 Coeff. C _o	12 Veloc. V	13 P.Dinám P _v	14 Pérdida Δp_r o Δp_c
N. pz.	Cod.	[m³/h]	[mm]	[mm]	[mm]	[m]	[Pa/m]	n.	-	-	-	[m/s]	[Pa]	[Pa]
13	3733D	6530	628	600	550	0	0	ASH6_33	0.478		0.300	5.5	18.21	4
12	310R	6530	628	600	550	9.84	0.56					5.5	18.21	5.47
14	079R	6530	628	600	550	0	0	3.5	0.917	0.833	0.374	5.5	18.21	17.88
15	310R	6530	628	600	550	1.37	0.55					5.5	18.21	0.76
17	079R	6530	628	600	550	0	0	3.5	0.917	0.833	0.374	5.5	18.21	6.81
18	310R	6530	628	600	550	6.26	0.56					5.5	18.21	3.48
20	079R	6530	628	600	550	0	0	3.5	0.917	0.833	0.374	5.5	18.21	10.06
21	310R	6530	628	600	550	1.39	0.55					5.5	18.21	0.77
23	079R	6530	628	600	550	0	0	3.5	0.917	0.833	0.374	5.5	18.21	17.88
24	310R	6530	628	600	550	2.81	0.56					5.5	18.21	1.56
26	079R	6530	628	600	550	0	0	3.5	0.917	0.833	0.374	5.5	18.21	17.88
27	310R	6530	628	600	550	1.41	0.56					5.5	18.21	0.79

Pérdida de carga acumulada del segmento	Δp_t	[Pa]	: 87.34
Velocidad en la sección inicial del segmento	V_m	[m/s]	: 4.7
Velocidad en la sección final del segmento	V_v	[m/s]	: 5.7
Recuperación de presión estática del segmento	Δp_r	[Pa]	: -6.26
Pérdida de carga acumulada del segmento, considerando la recuperación	Δp_{tn}	[Pa]	: 130.04
Pérdida de carga acumulada neta – total acumulado	$\Sigma \Delta p_{tn}$	[Pa]	: 168.38

SEGMENTO 10:

Tipo: Tramo

1 ELEMENTO		2 Caudal Q	3 Diam. D/D _e	4 Ancho A	5 Alto B	6 Long. L	7 $\Delta p/L$	8 Fuente Tab	9 Ashrae X	10 Ashrae Y	11 Coeff. C _o	12 Veloc. V	13 P.Dinám P _v	14 Pérdida Δp_r o Δp_e
N. pz.	Cod.	[m³/h]	[mm]	[mm]	[mm]	[m]	[Pa/m]	n.	-	-	-	[m/s]	[Pa]	[Pa]
339	3722D	3265	511	400	550	0	0	MC4	0.500	1.000		4.1	10.12	0
353	273R	3265	464	400	450	0.19	0	5.1	30.000	1.220	0.050	5	15.05	5.8
57	310R	3265	464	400	450	6.97	0.68					5	15.05	4.75
59	079R	3265	464	400	450	0	0	3.5	1.130	0.800	0.428	5	15.05	16.54
60	310R	3265	464	400	450	2.33	0.68					5	15.05	1.59

Pérdida de carga acumulada del segmento	Δp_t	[Pa]	: 28.68
Velocidad en la sección inicial del segmento	V_m	[m/s]	: 5.7
Velocidad en la sección final del segmento	V_v	[m/s]	: 5
Recuperación de presión estática del segmento	Δp_r	[Pa]	: 4.51
Pérdida de carga acumulada del segmento, considerando la recuperación	Δp_{tn}	[Pa]	: 35.7
Pérdida de carga acumulada neta – total acumulado	$\Sigma \Delta p_{tn}$	[Pa]	: 204.08

SEGMENTO 14:

Tipo: Terminal TRM-1

1 ELEMENTO		2 Caudal Q	3 Diam. D/D _e	4 Ancho A	5 Alto B	6 Long. L	7 $\Delta p/L$	8 Fuente Tab	9 Ashrae X	10 Ashrae Y	11 Coeff. C _o	12 Veloc. V	13 P.Dinám P _v	14 Pérdida Δp_r o Δp_e
N. pz.	Cod.	[m³/h]	[mm]	[mm]	[mm]	[m]	[Pa/m]	n.	-	-	-	[m/s]	[Pa]	[Pa]
354	3736	655	363	250	450	0	0	MC4	0.200	0.625	7.610	1.6	1.54	11.72
361	273R	655	273	250	250	0.27	0	5.1	30.000	1.800	0.050	2.9	5.06	0.25
70	310R	655	273	250	250	0.77	0.47					2.9	5.06	0.36
72	079R	655	273	250	250	0	0	3.5	1.000	0.900	0.452	2.9	5.06	2.29
73	310R	655	273	250	250	1.18	0.47					2.9	5.06	0.55
362	42C1	655	248	248	248	0	0	4.7	30.000	1.290	0.300	3.8	8.69	2.55
75	05LC	655	248	248	248	0	0	MC4				3.8	8.69	19.92

Pérdida de carga acumulada del segmento	Δp_t	[Pa]	: 17.73
Velocidad en la sección inicial del segmento	V_m	[m/s]	: 5
Velocidad en la sección final del segmento	V_v	[m/s]	: 3.8
Recuperación de presión estática del segmento	Δp_r	[Pa]	: 6.36
Pérdida de carga acumulada del segmento, considerando la recuperación	Δp_{tn}	[Pa]	: 10.93
Pérdida de carga acumulada neta – total acumulado	$\Sigma \Delta p_{tn}$	[Pa]	: 234.94
Desequilibrio del terminal respecto al camino más desfavorable	Δp_{Tmr}	[Pa]	: 37.33

SEGMENTO 13:

Tipo: Tramo

1 ELEMENTO		2 Caudal Q	3 Diam. D/D _e	4 Ancho A	5 Alto B	6 Long. L	7 $\Delta p/L$	8 Fuente Tab	9 Ashrae X	10 Ashrae Y	11 Coeff. C _o	12 Veloc. V	13 P.Dinám P _v	14 Pérdida Δp_r o Δp_e
N. pz.	Cod.	[m³/h]	[mm]	[mm]	[mm]	[m]	[Pa/m]	n.	-	-	-	[m/s]	[Pa]	[Pa]

355	3736	1305	400	300	450	0	0	MC4	0.533		0.772	2.7	4.39	3.39
358	273R	1305	299	300	250	0.27	0	5.1	30.000	1.800	0.050	4.8	13.87	0.7
63	310R	1305	299	300	250	1.22	1.1					4.8	13.87	1.34

Pérdida de carga acumulada del segmento	Δp_t	[Pa]	: 5.43
Velocidad en la sección inicial del segmento	V_m	[m/s]	: 5
Velocidad en la sección final del segmento	V_v	[m/s]	: 4.8
Recuperación de presión estática del segmento	Δp_r	[Pa]	: 1.18
Pérdida de carga acumulada del segmento, considerando la recuperación	Δp_{tn}	[Pa]	: 4.23
Pérdida de carga acumulada neta – total acumulado	$\Sigma \Delta p_{tn}$	[Pa]	: 208.32

SEGMENTO 12:

Tipo: Terminal TRM-1

1 ELEMENTO		2 Caudal Q	3 Diam. D/D _e	4 Ancho A	5 Alto B	6 Long. L	7 $\Delta p/L$	8 Fuente Tab	9 Ashrae X	10 Ashrae Y	11 Coeff. C _o	12 Veloc. V	13 P.Dinám P _v	14 Pérdida Δp_r o Δp_e
N. pz.	Cod.	[m³/h]	[mm]	[mm]	[mm]	[m]	[Pa/m]	n.	-	-	-	[m/s]	[Pa]	[Pa]
357	3733D	655	273	250	250	0	0	ASH6_33			0.267	2.9	5.06	3.76
67	310R	655	273	250	250	1.12	0.47					2.9	5.06	0.53
360	42C1	655	248	248	248	0	0	4.7	30.000	1.290	0.300	3.8	8.69	2.55
69	05LC	655	248	248	248	0	0	MC4				3.8	8.69	19.92

Pérdida de carga acumulada del segmento	Δp_t	[Pa]	: 6.83
Velocidad en la sección inicial del segmento	V_m	[m/s]	: 4.8
Velocidad en la sección final del segmento	V_v	[m/s]	: 3.8
Recuperación de presión estática del segmento	Δp_r	[Pa]	: 5.18
Pérdida de carga acumulada del segmento, considerando la recuperación	Δp_{tn}	[Pa]	: 1.24
Pérdida de carga acumulada neta – total acumulado	$\Sigma \Delta p_{tn}$	[Pa]	: 229.47
Desequilibrio del terminal respecto al camino más desfavorable	Δp_{Tmr}	[Pa]	: 42.79

SEGMENTO 11:

Tipo: Terminal TRM-1

1 ELEMENTO		2 Caudal Q	3 Diam. D/D _e	4 Ancho A	5 Alto B	6 Long. L	7 $\Delta p/L$	8 Fuente Tab	9 Ashrae X	10 Ashrae Y	11 Coeff. C _o	12 Veloc. V	13 P.Dinám P _v	14 Pérdida Δp_r o Δp_e
N. pz.	Cod.	[m³/h]	[mm]	[mm]	[mm]	[m]	[Pa/m]	n.	-	-	-	[m/s]	[Pa]	[Pa]
65	3733D	655	273	250	250	0	0	ASH6_33	0.833		0.267	2.9	5.06	3.76
64	310R	655	273	250	250	0.77	0.47					2.9	5.06	0.36
359	42C1	655	248	248	248	0	0	4.7	30.000	1.290	0.300	3.8	8.69	2.55
66	05LC	655	248	248	248	0	0	MC4				3.8	8.69	19.92

Pérdida de carga acumulada del segmento	Δp_t	[Pa]	: 6.67
Velocidad en la sección inicial del segmento	V_m	[m/s]	: 4.8
Velocidad en la sección final del segmento	V_v	[m/s]	: 3.8
Recuperación de presión estática del segmento	Δp_r	[Pa]	: 5.18
Pérdida de carga acumulada del segmento, considerando la recuperación	Δp_{tn}	[Pa]	: 1.07
Pérdida de carga acumulada neta – total acumulado	$\Sigma \Delta p_{tn}$	[Pa]	: 229.31
Desequilibrio del terminal respecto al camino más desfavorable	Δp_{Tmr}	[Pa]	: 42.96

SEGMENTO 15:

Tipo: Tramo

1	2	3	4	5	6	7	8	9	10	11	12	13	14
---	---	---	---	---	---	---	---	---	----	----	----	----	----

ELEMENTO		Caudal Q	Diam. D/D _e	Ancho A	Alto B	Long. L	$\Delta p/L$	Fuente Tab	Ashrae X	Ashrae Y	Coeff. C _o	Veloc. V	P.Dinám P _v	Pérdida Δp_r o Δp_c
N. pz.	Cod.	[m³/h]	[mm]	[mm]	[mm]	[m]	[Pa/m]	n.	-	-	-	[m/s]	[Pa]	[Pa]
356	3736	1305	400	300	450	0	0	MC4	0.400	0.750	1.490	2.7	4.39	6.55
365	273R	1305	299	300	250	0.27	0	5.1	30.000	1.800	0.050	4.8	13.87	0.7
76	310R	1305	299	300	250	1.12	1.1					4.8	13.87	1.23

Pérdida de carga acumulada del segmento	Δp_t	[Pa]	: 8.48
Velocidad en la sección inicial del segmento	V_m	[m/s]	: 5
Velocidad en la sección final del segmento	V_v	[m/s]	: 4.8
Recuperación de presión estática del segmento	Δp_r	[Pa]	: 1.18
Pérdida de carga acumulada del segmento, considerando la recuperación	Δp_{tn}	[Pa]	: 7.28
Pérdida de carga acumulada neta – total acumulado	$\Sigma \Delta p_{tn}$	[Pa]	: 211.36

SEGMENTO 17:

Tipo: Terminal TRM-1

1 ELEMENTO		2 Caudal Q	3 Diam. D/D _e	4 Ancho A	5 Alto B	6 Long. L	7 $\Delta p/L$	8 Fuente Tab	9 Ashrae X	10 Ashrae Y	11 Coeff. C _o	12 Veloc. V	13 P.Dinám P _v	14 Pérdida Δp_r o Δp_c
N. pz.	Cod.	[m³/h]	[mm]	[mm]	[mm]	[m]	[Pa/m]	n.	-	-	-	[m/s]	[Pa]	[Pa]
363	3722D	655	273	250	250	0	0	MC4	0.500	1.000	1.110	2.9	5.06	5.61
80	310R	655	273	250	250	1.18	0.47					2.9	5.06	0.55
367	42C1	655	248	248	248	0	0	4.7	30.000	1.290	0.300	3.8	8.69	2.55
82	05LC	655	248	248	248	0	0	MC4				3.8	8.69	19.92

Pérdida de carga acumulada del segmento	Δp_t	[Pa]	: 8.71
Velocidad en la sección inicial del segmento	V_m	[m/s]	: 4.8
Velocidad en la sección final del segmento	V_v	[m/s]	: 3.8
Recuperación de presión estática del segmento	Δp_r	[Pa]	: 5.18
Pérdida de carga acumulada del segmento, considerando la recuperación	Δp_{tn}	[Pa]	: 3.11
Pérdida de carga acumulada neta – total acumulado	$\Sigma \Delta p_{tn}$	[Pa]	: 234.4
Desequilibrio del terminal respecto al camino más desfavorable	Δp_{Tmr}	[Pa]	: 37.87

SEGMENTO 16:

Tipo: Terminal TRM-1

1 ELEMENTO		2 Caudal Q	3 Diam. D/D _e	4 Ancho A	5 Alto B	6 Long. L	7 $\Delta p/L$	8 Fuente Tab	9 Ashrae X	10 Ashrae Y	11 Coeff. C _o	12 Veloc. V	13 P.Dinám P _v	14 Pérdida Δp_r o Δp_c
N. pz.	Cod.	[m³/h]	[mm]	[mm]	[mm]	[m]	[Pa/m]	n.	-	-	-	[m/s]	[Pa]	[Pa]
364	3722D	655	273	250	250	0	0	MC4	0.500	1.000	0.593	2.9	5.06	3
79	310R	655	273	250	250	1.3	0.47					2.9	5.06	0.61
366	42C1	655	248	248	248	0	0	4.7	30.000	1.290	0.300	3.8	8.69	2.55
78	05LC	655	248	248	248	0	0	MC4				3.8	8.69	19.92

Pérdida de carga acumulada del segmento	Δp_t	[Pa]	: 6.16
Velocidad en la sección inicial del segmento	V_m	[m/s]	: 4.8
Velocidad en la sección final del segmento	V_v	[m/s]	: 3.8
Recuperación de presión estática del segmento	Δp_r	[Pa]	: 5.18
Pérdida de carga acumulada del segmento, considerando la recuperación	Δp_{tn}	[Pa]	: 0.56
Pérdida de carga acumulada neta – total acumulado	$\Sigma \Delta p_{tn}$	[Pa]	: 231.85
Desequilibrio del terminal respecto al camino más desfavorable	Δp_{Tmr}	[Pa]	: 40.42

SEGMENTO 9:

Tipo: Tramo

1 ELEMENTO		2 Caudal Q	3 Diam. D/D _e	4 Ancho A	5 Alto B	6 Long. L	7 $\Delta p_f/L$	8 Fuente Tab	9 Ashrae X	10 Ashrae Y	11 Coeff. C _o	12 Veloc. V	13 P.Dinám P _v	14 Pérdida Δp_f o Δp_e
N. pz.	Cod.	[m³/h]	[mm]	[mm]	[mm]	[m]	[Pa/m]	n.	-	-	-	[m/s]	[Pa]	[Pa]
31	3722D	3265	511	400	550	0	0	MC4	0.500	1.000	0.820	4.1	10.12	8.3
342	273R	3265	464	400	450	0.19	0	5.1	30.000	1.220	0.050	5	15.05	5.8
30	310R	3265	464	400	450	2.33	0.68					5	15.05	1.59

Pérdida de carga acumulada del segmento	Δp_t	[Pa]	: 15.69
Velocidad en la sección inicial del segmento	V_m	[m/s]	: 5.7
Velocidad en la sección final del segmento	V_v	[m/s]	: 5
Recuperación de presión estática del segmento	Δp_r	[Pa]	: 4.51
Pérdida de carga acumulada del segmento, considerando la recuperación	Δp_{tm}	[Pa]	: 12.4
Pérdida de carga acumulada neta – total acumulado	$\Sigma \Delta p_{tm}$	[Pa]	: 180.78

SEGMENTO 3:

Tipo: Tramo

1 ELEMENTO		2 Caudal Q	3 Diam. D/D _e	4 Ancho A	5 Alto B	6 Long. L	7 $\Delta p_f/L$	8 Fuente Tab	9 Ashrae X	10 Ashrae Y	11 Coeff. C _o	12 Veloc. V	13 P.Dinám P _v	14 Pérdida Δp_f o Δp_e
N. pz.	Cod.	[m³/h]	[mm]	[mm]	[mm]	[m]	[Pa/m]	n.	-	-	-	[m/s]	[Pa]	[Pa]
340	3736	1305	400	300	450	0	0	MC4	0.400	0.750	1.730	2.7	4.39	7.61
346	273R	1305	299	300	250	0.27	0	5.1	30.000	1.800	0.050	4.8	13.87	0.7
39	310R	1305	299	300	250	0.85	1.09					4.8	13.87	0.93

Pérdida de carga acumulada del segmento	Δp_t	[Pa]	: 9.24
Velocidad en la sección inicial del segmento	V_m	[m/s]	: 5
Velocidad en la sección final del segmento	V_v	[m/s]	: 4.5
Recuperación de presión estática del segmento	Δp_r	[Pa]	: 2.86
Pérdida de carga acumulada del segmento, considerando la recuperación	Δp_{tm}	[Pa]	: 7.04
Pérdida de carga acumulada neta – total acumulado	$\Sigma \Delta p_{tm}$	[Pa]	: 187.82

SEGMENTO 5:

Tipo: Terminal TRM-1

1 ELEMENTO		2 Caudal Q	3 Diam. D/D _e	4 Ancho A	5 Alto B	6 Long. L	7 $\Delta p_f/L$	8 Fuente Tab	9 Ashrae X	10 Ashrae Y	11 Coeff. C _o	12 Veloc. V	13 P.Dinám P _v	14 Pérdida Δp_f o Δp_e
N. pz.	Cod.	[m³/h]	[mm]	[mm]	[mm]	[m]	[Pa/m]	n.	-	-	-	[m/s]	[Pa]	[Pa]
345	3722D	655	273	250	250	0	0	MC4	0.500	1.000	0.342	2.9	5.06	1.73
45	310R	655	273	250	250	1.45	0.47					2.9	5.06	0.68
348	42C1	655	248	248	248	0	0	4.7	30.000	1.290	0.300	3.8	8.69	2.55
47	05LC	655	248	248	248	0	0	MC4				3.8	8.69	19.92

Pérdida de carga acumulada del segmento	Δp_t	[Pa]	: 4.96
Velocidad en la sección inicial del segmento	V_m	[m/s]	: 4.5
Velocidad en la sección final del segmento	V_v	[m/s]	: 3.8
Recuperación de presión estática del segmento	Δp_r	[Pa]	: 3.5
Pérdida de carga acumulada del segmento, considerando la recuperación	Δp_{tm}	[Pa]	: 3.45
Pérdida de carga acumulada neta – total acumulado	$\Sigma \Delta p_{tm}$	[Pa]	: 211.19
Desequilibrio del terminal respecto al camino más desfavorable	Δp_{Tmr}	[Pa]	: 61.08

SEGMENTO 4:

Tipo: Terminal TRM-1

1 ELEMENTO		2 Caudal Q	3 Diam. D/D _e	4 Ancho A	5 Alto B	6 Long. L	7 $\Delta p/L$	8 Fuente Tab	9 Ashrae X	10 Ashrae Y	11 Coeff. C _o	12 Veloc. V	13 P.Dinám P _v	14 Pérdida Δp_r o Δp_c
N. pz.	Cod.	[m³/h]	[mm]	[mm]	[mm]	[m]	[Pa/m]	n.	-	-	-	[m/s]	[Pa]	[Pa]
43	3722D	655	273	250	250	0	0	MC4	0.500	1.000	1.080	2.9	5.06	5.47
42	310R	655	273	250	250	1.18	0.47					2.9	5.06	0.55
347	42C1	655	248	248	248	0	0	4.7	30.000	1.290	0.300	3.8	8.69	2.55
44	05LC	655	248	248	248	0	0	MC4				3.8	8.69	19.92

Pérdida de carga acumulada del segmento	Δp_t	[Pa]	: 8.57
Velocidad en la sección inicial del segmento	V_m	[m/s]	: 4.5
Velocidad en la sección final del segmento	V_v	[m/s]	: 3.8
Recuperación de presión estática del segmento	Δp_r	[Pa]	: 3.5
Pérdida de carga acumulada del segmento, considerando la recuperación	Δp_{tm}	[Pa]	: 7.06
Pérdida de carga acumulada neta – total acumulado	$\Sigma \Delta p_{tm}$	[Pa]	: 214.79
Desequilibrio del terminal respecto al camino más desfavorable	Δp_{Tmr}	[Pa]	: 57.47

SEGMENTO 2:

Tipo: Terminal TRM-1

1 ELEMENTO		2 Caudal Q	3 Diam. D/D _e	4 Ancho A	5 Alto B	6 Long. L	7 $\Delta p/L$	8 Fuente Tab	9 Ashrae X	10 Ashrae Y	11 Coeff. C _o	12 Veloc. V	13 P.Dinám P _v	14 Pérdida Δp_r o Δp_c
N. pz.	Cod.	[m³/h]	[mm]	[mm]	[mm]	[m]	[Pa/m]	n.	-	-	-	[m/s]	[Pa]	[Pa]
34	3736	655	363	250	450	0	0	MC4	0.200	0.625	4.780	1.6	1.54	7.36
343	273R	655	273	250	250	0.27	0	5.1	30.000	1.800	0.050	2.9	5.06	0.25
33	310R	655	273	250	250	0.76	0.47					2.9	5.06	0.36
35	079R	655	273	250	250	0	0	3.5	1.000	0.900	0.452	2.9	5.06	7.34
36	310R	655	273	250	250	1.18	0.47					2.9	5.06	0.55
344	42C1	655	248	248	248	0	0	4.7	30.000	1.290	0.300	3.8	8.69	2.55
38	05LC	655	248	248	248	0	0	MC4				3.8	8.69	19.92

Pérdida de carga acumulada del segmento	Δp_t	[Pa]	: 18.42
Velocidad en la sección inicial del segmento	V_m	[m/s]	: 5
Velocidad en la sección final del segmento	V_v	[m/s]	: 3.8
Recuperación de presión estática del segmento	Δp_r	[Pa]	: 6.36
Pérdida de carga acumulada del segmento, considerando la recuperación	Δp_{tm}	[Pa]	: 16.34
Pérdida de carga acumulada neta – total acumulado	$\Sigma \Delta p_{tm}$	[Pa]	: 217.04
Desequilibrio del terminal respecto al camino más desfavorable	Δp_{Tmr}	[Pa]	: 55.23

SEGMENTO 6:

Tipo: Tramo

1 ELEMENTO		2 Caudal Q	3 Diam. D/D _e	4 Ancho A	5 Alto B	6 Long. L	7 $\Delta p/L$	8 Fuente Tab	9 Ashrae X	10 Ashrae Y	11 Coeff. C _o	12 Veloc. V	13 P.Dinám P _v	14 Pérdida Δp_r o Δp_c
N. pz.	Cod.	[m³/h]	[mm]	[mm]	[mm]	[m]	[Pa/m]	n.	-	-	-	[m/s]	[Pa]	[Pa]
341	3736	1305	400	300	450	0	0	MC4	0.533		0.487	2.7	4.39	2.14
350	273R	1305	299	300	250	0.27	0	5.1	30.000	1.800	0.050	4.8	13.87	0.7
48	310R	1305	299	300	250	1.22	1.1					4.8	13.87	1.34

Pérdida de carga acumulada del segmento	Δp_t	[Pa]	: 4.18
Velocidad en la sección inicial del segmento	V_m	[m/s]	: 5
Velocidad en la sección final del segmento	V_v	[m/s]	: 4.5
Recuperación de presión estática del segmento	Δp_r	[Pa]	: 2.86
Pérdida de carga acumulada del segmento, considerando la recuperación	Δp_{tm}	[Pa]	: 1.98

Pérdida de carga acumulada neta – total acumulado

$\Sigma \Delta p_{tn}$ [Pa] : 182.76

SEGMENTO 8:

Tipo: Terminal TRM-1

1 ELEMENTO		2 Caudal Q	3 Diam. D/D _e	4 Ancho A	5 Alto B	6 Long. L	7 $\Delta p/L$	8 Fuente Tab	9 Ashrae X	10 Ashrae Y	11 Coeff. C _o	12 Veloc. V	13 P.Dinám P _v	14 Pérdida Δp_r o Δp_e
N. pz.	Cod.	[m³/h]	[mm]	[mm]	[mm]	[m]	[Pa/m]	n.	-	-	-	[m/s]	[Pa]	[Pa]
349	3733D	655	273	250	250	0	0	ASH6_33			0.287	2.9	5.06	3.56
54	310R	655	273	250	250	0.85	0.47					2.9	5.06	0.4
352	42C1	655	248	248	248	0	0	4.7	30.000	1.290	0.300	3.8	8.69	2.55
56	05LC	655	248	248	248	0	0	MC4				3.8	8.69	19.92

Pérdida de carga acumulada del segmento

Δp_t [Pa] : 6.51

Velocidad en la sección inicial del segmento

V_m [m/s] : 4.5

Velocidad en la sección final del segmento

V_v [m/s] : 3.8

Recuperación de presión estática del segmento

Δp_r [Pa] : 3.5

Pérdida de carga acumulada del segmento, considerando la recuperación

Δp_{tn} [Pa] : 4.99

Pérdida de carga acumulada neta – total acumulado

$\Sigma \Delta p_{tn}$ [Pa] : 207.67

Desequilibrio del terminal respecto al camino más desfavorable

Δp_{Tmr} [Pa] : 64.59

SEGMENTO 7:

Tipo: Terminal TRM-1

1 ELEMENTO		2 Caudal Q	3 Diam. D/D _e	4 Ancho A	5 Alto B	6 Long. L	7 $\Delta p/L$	8 Fuente Tab	9 Ashrae X	10 Ashrae Y	11 Coeff. C _o	12 Veloc. V	13 P.Dinám P _v	14 Pérdida Δp_r o Δp_e
N. pz.	Cod.	[m³/h]	[mm]	[mm]	[mm]	[m]	[Pa/m]	n.	-	-	-	[m/s]	[Pa]	[Pa]
52	3733D	655	273	250	250	0	0	ASH6_33	0.833		0.287	2.9	5.06	3.56
51	310R	655	273	250	250	0.76	0.47					2.9	5.06	0.36
351	42C1	655	248	248	248	0	0	4.7	30.000	1.290	0.300	3.8	8.69	2.55
53	05LC	655	248	248	248	0	0	MC4				3.8	8.69	19.92

Pérdida de carga acumulada del segmento

Δp_t [Pa] : 6.47

Velocidad en la sección inicial del segmento

V_m [m/s] : 4.5

Velocidad en la sección final del segmento

V_v [m/s] : 3.8

Recuperación de presión estática del segmento

Δp_r [Pa] : 3.5

Pérdida de carga acumulada del segmento, considerando la recuperación

Δp_{tn} [Pa] : 4.95

Pérdida de carga acumulada neta – total acumulado

$\Sigma \Delta p_{tn}$ [Pa] : 207.63

Desequilibrio del terminal respecto al camino más desfavorable

Δp_{Tmr} [Pa] : 64.63

DATOS GENERALES**Cliente:****Ciudad:** Alicante**Proyectista:****SISTEMA:****Nº Expediente:****Dibujo n.º:****Referencia:****Construcción:****Sistema:****Zona:** CL

Pabellon deportivo

impulsion

Circuito:**Altitud s.n.m** [m]: 7**Altura** [m]: 0**Temperatura aire** [°C]: 20**Humedad Relativa aire** [%]:**Método de cálculo: DIMENSIONADO DEL LA RED CON EL METODO DE PERDIDA DE CARGA CONSTANTE****DATOS DE CALCULO****Viscosidad del aire** [Pa*s]: 0.01816**Densidad del aire** [kg/m³]: 1.2**Revestimiento interior** :**Espesor** [mm]: 0**Rugosidad pared** [mm]: 0.15**CONDUCTOS Ratio B/A:** 0.5**OPCIONES****Tipo de cálculo elegido:** : 2

- Pérdida de carga distribuida [Pa/m]: 0.8
- Máxima velocidad en los tramos [m/s]: 6
- Máxima velocidad en los ramales [m/s]: 6

Cálculo con dimensiones normalizadas [Si/No]: Si

- Paso para el cálculo con dimensiones no normalizadas [mm]: 0
- Dimensión mínima [mm]: 0
- Dimensión máxima [mm]: 0

LIMITES**Mínimo desequilibrio para justificar el equilibrado y la inserción de compuertas en ramales** (Δp_{mr}) [Pa]: 10**Mínimo desequilibrio para justificar el equilibrado y la inserción de compuertas en terminales** (Δp_{msr}) [Pa]: 10**Máxima pérdida de carga admisible para las compuertas en terminales** (Δp_{MT}) [Pa]: 0**MAXIMA PERDIDA****Presión total para el camino más desfavorable** [Pa]: 299.18**Presión estática para el camino más desfavorable** [Pa]: 281.48**CAMINO MAS DESFAVOR.**

000-001-024-022-020-018-016-014-012-010-008-006-003-004

SEGMENTO 1:**Tipo:** Tramo

1 ELEMENTO		2 Caudal Q	3 Diam. D/D _e	4 Ancho A	5 Alto B	6 Long. L	7 $\Delta p/L$	8 Fuente Tab	9 Ashrae X	10 Ashrae Y	11 Coeff. C _o	12 Veloc. V	13 P.Dinám P _v	14 Pérdida Δp_r o Δp_c
N. pz.	Cod.	[m³/h]	[mm]	[mm]	[mm]	[m]	[Pa/m]	n.	-	-	-	[m/s]	[Pa]	[Pa]
1	310R	43920	1640	1500	1500	2.79	0.17					5.4	17.55	0.48
2	079R	43920	1640	1500	1500	0	0	3.5	1.000	0.667	0.693	5.4	17.55	33.13
3	310R	43920	1640	1500	1500	5.77	0.17					5.4	17.55	0.99
5	079R	43920	1640	1500	1500	0	0	3.5	1.000	0.667	0.693	5.4	17.55	33.13
6	310R	43920	1640	1500	1500	3.13	0.17					5.4	17.55	0.53

Pérdida de carga acumulada del segmento

 Δp_t [Pa] : 68.26

Velocidad en la sección inicial del segmento

 V_m [m/s] : 5.4

Velocidad en la sección final del segmento

 V_v [m/s] : 6.1

Recuperación de presión estática del segmento

 Δp_r [Pa] : -4.85

Pérdida de carga acumulada del segmento, considerando la recuperación

 Δp_{tn} [Pa] : 100.22

Pérdida de carga acumulada neta – total acumulado

 $\Sigma \Delta p_{tn}$ [Pa] : 100.22**SEGMENTO 25:****Tipo:** Tramo

1 ELEMENTO		2 Caudal Q	3 Diam. D/D _e	4 Ancho A	5 Alto B	6 Long. L	7 $\Delta p/L$	8 Fuente Tab	9 Ashrae X	10 Ashrae Y	11 Coeff. C _o	12 Veloc. V	13 P.Dinám P _v	14 Pérdida Δp_r o Δp_c
N. pz.	Cod.	[m³/h]	[mm]	[mm]	[mm]	[m]	[Pa/m]	n.	-	-	-	[m/s]	[Pa]	[Pa]
114	11RA	21960	1000	1000	1000	0	0	ASH6_26	0.500	1.430	1.450	7.8	36.63	32.54
62	310C	21960	1000	500	250	2.31	0.54					7.8	36.63	1.25

Pérdida de carga acumulada del segmento

 Δp_t [Pa] : 33.8

Velocidad en la sección inicial del segmento

 V_m [m/s] : 6.1

Velocidad en la sección final del segmento

 V_v [m/s] : 5.4

Recuperación de presión estática del segmento

 Δp_r [Pa] : 4.85

Pérdida de carga acumulada del segmento, considerando la recuperación

 Δp_{tn} [Pa] : 40.53

Pérdida de carga acumulada neta – total acumulado

 $\Sigma \Delta p_{tn}$ [Pa] : 140.75**SEGMENTO 47:****Tipo:** Terminal TRM-3

1 ELEMENTO		2 Caudal Q	3 Diam. D/D _e	4 Ancho A	5 Alto B	6 Long. L	7 $\Delta p/L$	8 Fuente Tab	9 Ashrae X	10 Ashrae Y	11 Coeff. C _o	12 Veloc. V	13 P.Dinám P _v	14 Pérdida Δp_r o Δp_c
N. pz.	Cod.	[m³/h]	[mm]	[mm]	[mm]	[m]	[Pa/m]	n.	-	-	-	[m/s]	[Pa]	[Pa]
150	3723C	1830	350	350	350	0	0	ASH6_23	0.083	0.122	2.100	5.3	16.91	36.78
111	310C	1830	350	0	0	0.67	0.94					5.3	16.91	0.63
182	023C	1830	350	0	0	0.11	0	4.1	30.000	1.830	0.320	5.3	16.91	5.38
113	05LC	1830	474	474	474	0	0	MC4				2.9	5.06	35

Pérdida de carga acumulada del segmento

 Δp_t [Pa] : 42.78

Velocidad en la sección inicial del segmento

 V_m [m/s] : 5.4

Velocidad en la sección final del segmento	V_v	[m/s]	: 2.9
Recuperación de presión estática del segmento	Δp_r	[Pa]	: 12.49
Pérdida de carga acumulada del segmento, considerando la recuperación	Δp_{tn}	[Pa]	: 30.26
Pérdida de carga acumulada neta – total acumulado	$\Sigma \Delta p_{tn}$	[Pa]	: 206.02
Desequilibrio del terminal respecto al camino más desfavorable	Δp_{Tmr}	[Pa]	: 75.46

SEGMENTO 46:

Tipo: Tramo

1 ELEMENTO		2 Caudal Q	3 Diam. D/D _e	4 Ancho A	5 Alto B	6 Long. L	7 $\Delta p/L$	8 Fuente Tab	9 Ashrae X	10 Ashrae Y	11 Coeff. C _o	12 Veloc. V	13 P.Dinám P _v	14 Pérdida Δp_r o Δp_c
N. pz.	Cod.	[m³/h]	[mm]	[mm]	[mm]	[m]	[Pa/m]	n.	-	-	-	[m/s]	[Pa]	[Pa]
151	3723C	20130	1000	350	350	0	0	ASH6_23	0.917		0.008	7.1	30.35	0.15
65	310C	20130	1000	500	250	3.53	0.46					7.1	30.35	1.62

Pérdida de carga acumulada del segmento	Δp_t	[Pa]	: 1.77
Velocidad en la sección inicial del segmento	V_m	[m/s]	: 5.4
Velocidad en la sección final del segmento	V_v	[m/s]	: 4.9
Recuperación de presión estática del segmento	Δp_r	[Pa]	: 3.1
Pérdida de carga acumulada del segmento, considerando la recuperación	Δp_{tn}	[Pa]	: 10.26
Pérdida de carga acumulada neta – total acumulado	$\Sigma \Delta p_{tn}$	[Pa]	: 151.01

SEGMENTO 45:

Tipo: Terminal TRM-3

1 ELEMENTO		2 Caudal Q	3 Diam. D/D _e	4 Ancho A	5 Alto B	6 Long. L	7 $\Delta p/L$	8 Fuente Tab	9 Ashrae X	10 Ashrae Y	11 Coeff. C _o	12 Veloc. V	13 P.Dinám P _v	14 Pérdida Δp_r o Δp_c
N. pz.	Cod.	[m³/h]	[mm]	[mm]	[mm]	[m]	[Pa/m]	n.	-	-	-	[m/s]	[Pa]	[Pa]
152	3723C	1830	350	350	350	0	0	ASH6_23	0.091	0.122	2.100	5.3	16.91	30.9
108	310C	1830	350	0	0	0.67	0.94					5.3	16.91	0.63
181	023C	1830	350	0	0	0.11	0	4.1	30.000	1.830	0.320	5.3	16.91	5.38
110	05LC	1830	474	474	474	0	0	MC4				2.9	5.06	35

Pérdida de carga acumulada del segmento	Δp_t	[Pa]	: 36.91
Velocidad en la sección inicial del segmento	V_m	[m/s]	: 4.9
Velocidad en la sección final del segmento	V_v	[m/s]	: 2.9
Recuperación de presión estática del segmento	Δp_r	[Pa]	: 9.39
Pérdida de carga acumulada del segmento, considerando la recuperación	Δp_{tn}	[Pa]	: 27.19
Pérdida de carga acumulada neta – total acumulado	$\Sigma \Delta p_{tn}$	[Pa]	: 213.2
Desequilibrio del terminal respecto al camino más desfavorable	Δp_{Tmr}	[Pa]	: 68.28

SEGMENTO 44:

Tipo: Tramo

1 ELEMENTO		2 Caudal Q	3 Diam. D/D _e	4 Ancho A	5 Alto B	6 Long. L	7 $\Delta p/L$	8 Fuente Tab	9 Ashrae X	10 Ashrae Y	11 Coeff. C _o	12 Veloc. V	13 P.Dinám P _v	14 Pérdida Δp_r o Δp_c
N. pz.	Cod.	[m³/h]	[mm]	[mm]	[mm]	[m]	[Pa/m]	n.	-	-	-	[m/s]	[Pa]	[Pa]
153	3723C	18300	1000	350	350	0	0	ASH6_23	0.909		0.009	6.5	25.43	0.13
66	310C	18300	1000	500	250	3.53	0.39					6.5	25.43	1.36

Pérdida de carga acumulada del segmento	Δp_t	[Pa]	: 1.49
Velocidad en la sección inicial del segmento	V_m	[m/s]	: 4.9
Velocidad en la sección final del segmento	V_v	[m/s]	: 4.5
Recuperación de presión estática del segmento	Δp_r	[Pa]	: 2.26
Pérdida de carga acumulada del segmento, considerando la recuperación	Δp_{tn}	[Pa]	: 8.27
Pérdida de carga acumulada neta – total acumulado	$\Sigma \Delta p_{tn}$	[Pa]	: 159.28

SEGMENTO 43:

Tipo: Terminal TRM-3

1 ELEMENTO		2 Caudal Q	3 Diam. D/D _e	4 Ancho A	5 Alto B	6 Long. L	7 $\Delta p/L$	8 Fuente Tab	9 Ashrae X	10 Ashrae Y	11 Coeff. C _o	12 Veloc. V	13 P.Dinám P _v	14 Pérdida Δp_r o Δp_e
N. pz.	Cod.	[m³/h]	[mm]	[mm]	[mm]	[m]	[Pa/m]	n.	-	-	-	[m/s]	[Pa]	[Pa]
154	3723C	1830	350	350	350	0	0	ASH6_23	0.100	0.122	2.100	5.3	16.91	25.54
105	310C	1830	350	0	0	0.67	0.94					5.3	16.91	0.63
180	023C	1830	350	0	0	0.11	0	4.1	30.000	1.830	0.320	5.3	16.91	5.38
107	05LC	1830	474	474	474	0	0	MC4				2.9	5.06	35

Pérdida de carga acumulada del segmento	Δp_t	[Pa]	: 31.54
Velocidad en la sección inicial del segmento	V_m	[m/s]	: 4.5
Velocidad en la sección final del segmento	V_v	[m/s]	: 2.9
Recuperación de presión estática del segmento	Δp_r	[Pa]	: 7.13
Pérdida de carga acumulada del segmento, considerando la recuperación	Δp_{tn}	[Pa]	: 24.38
Pérdida de carga acumulada neta – total acumulado	$\Sigma \Delta p_{tn}$	[Pa]	: 218.66
Desequilibrio del terminal respecto al camino más desfavorable	Δp_{Tmr}	[Pa]	: 62.82

SEGMENTO 42:

Tipo: Tramo

1 ELEMENTO		2 Caudal Q	3 Diam. D/D _e	4 Ancho A	5 Alto B	6 Long. L	7 $\Delta p/L$	8 Fuente Tab	9 Ashrae X	10 Ashrae Y	11 Coeff. C _o	12 Veloc. V	13 P.Dinám P _v	14 Pérdida Δp_r o Δp_e
N. pz.	Cod.	[m³/h]	[mm]	[mm]	[mm]	[m]	[Pa/m]	n.	-	-	-	[m/s]	[Pa]	[Pa]
155	3723C	16470	1000	350	350	0	0	ASH6_23	0.900		0.010	5.8	20.25	0.12
67	310C	16470	1000	500	250	3.53	0.31					5.8	20.25	1.11

Pérdida de carga acumulada del segmento	Δp_t	[Pa]	: 1.23
Velocidad en la sección inicial del segmento	V_m	[m/s]	: 4.5
Velocidad en la sección final del segmento	V_v	[m/s]	: 5.8
Recuperación de presión estática del segmento	Δp_r	[Pa]	: -8.06
Pérdida de carga acumulada del segmento, considerando la recuperación	Δp_{tn}	[Pa]	: 10.52
Pérdida de carga acumulada neta – total acumulado	$\Sigma \Delta p_{tn}$	[Pa]	: 169.79

SEGMENTO 41:

Tipo: Terminal TRM-3

1 ELEMENTO		2 Caudal Q	3 Diam. D/D _e	4 Ancho A	5 Alto B	6 Long. L	7 $\Delta p/L$	8 Fuente Tab	9 Ashrae X	10 Ashrae Y	11 Coeff. C _o	12 Veloc. V	13 P.Dinám P _v	14 Pérdida Δp_r o Δp_e
N. pz.	Cod.	[m³/h]	[mm]	[mm]	[mm]	[m]	[Pa/m]	n.	-	-	-	[m/s]	[Pa]	[Pa]
156	3723C	1830	350	350	350	0	0	ASH6_23	0.111	0.122	1.920	5.3	16.91	39.17
102	310C	1830	350	0	0	0.67	0.94					5.3	16.91	0.63
179	023C	1830	350	0	0	0.11	0	4.1	30.000	1.830	0.320	5.3	16.91	5.38

104	05LC	1830	474	474	474	0	0	MC4				2.9	5.06	35
-----	------	------	-----	-----	-----	---	---	-----	--	--	--	-----	------	----

Pérdida de carga acumulada del segmento	Δp_t	[Pa]	: 45.18
Velocidad en la sección inicial del segmento	V_m	[m/s]	: 5.8
Velocidad en la sección final del segmento	V_v	[m/s]	: 2.9
Recuperación de presión estática del segmento	Δp_r	[Pa]	: 15.19
Pérdida de carga acumulada del segmento, considerando la recuperación	Δp_{tn}	[Pa]	: 29.75
Pérdida de carga acumulada neta – total acumulado	$\Sigma \Delta p_{tn}$	[Pa]	: 234.54
Desequilibrio del terminal respecto al camino más desfavorable	Δp_{Tmr}	[Pa]	: 46.94

SEGMENTO 40:

Tipo: Tramo

1 ELEMENTO		2 Caudal Q	3 Diam. D/D _e	4 Ancho A	5 Alto B	6 Long. L	7 $\Delta p/L$	8 Fuente Tab	9 Ashrae X	10 Ashrae Y	11 Coeff. C _o	12 Veloc. V	13 P.Dinám P _v	14 Pérdida Δp_r o Δp_e
N. pz.	Cod.	[m³/h]	[mm]	[mm]	[mm]	[m]	[Pa/m]	n.	-	-	-	[m/s]	[Pa]	[Pa]
157	3723C	14640	1000	350	350	0	0	ASH6_23	0.889		0.011	5.2	16.28	0.23
68	310C	14640	1000	500	250	3.53	0.25					5.2	16.28	0.89

Pérdida de carga acumulada del segmento	Δp_t	[Pa]	: 1.12
Velocidad en la sección inicial del segmento	V_m	[m/s]	: 5.8
Velocidad en la sección final del segmento	V_v	[m/s]	: 5.2
Recuperación de presión estática del segmento	Δp_r	[Pa]	: 3.97
Pérdida de carga acumulada del segmento, considerando la recuperación	Δp_{tn}	[Pa]	: -3.17
Pérdida de carga acumulada neta – total acumulado	$\Sigma \Delta p_{tn}$	[Pa]	: 166.62

SEGMENTO 39:

Tipo: Terminal TRM-3

1 ELEMENTO		2 Caudal Q	3 Diam. D/D _e	4 Ancho A	5 Alto B	6 Long. L	7 $\Delta p/L$	8 Fuente Tab	9 Ashrae X	10 Ashrae Y	11 Coeff. C _o	12 Veloc. V	13 P.Dinám P _v	14 Pérdida Δp_r o Δp_e
N. pz.	Cod.	[m³/h]	[mm]	[mm]	[mm]	[m]	[Pa/m]	n.	-	-	-	[m/s]	[Pa]	[Pa]
158	3723C	1830	350	350	350	0	0	ASH6_23	0.125	0.122	1.910	5.3	16.91	30.91
99	310C	1830	350	0	0	0.67	0.94					5.3	16.91	0.63
178	023C	1830	350	0	0	0.11	0	4.1	30.000	1.830	0.320	5.3	16.91	5.38
101	05LC	1830	474	474	474	0	0	MC4				2.9	5.06	35

Pérdida de carga acumulada del segmento	Δp_t	[Pa]	: 36.91
Velocidad en la sección inicial del segmento	V_m	[m/s]	: 5.2
Velocidad en la sección final del segmento	V_v	[m/s]	: 2.9
Recuperación de presión estática del segmento	Δp_r	[Pa]	: 11.22
Pérdida de carga acumulada del segmento, considerando la recuperación	Δp_{tn}	[Pa]	: 25.77
Pérdida de carga acumulada neta – total acumulado	$\Sigma \Delta p_{tn}$	[Pa]	: 227.39
Desequilibrio del terminal respecto al camino más desfavorable	Δp_{Tmr}	[Pa]	: 54.09

SEGMENTO 38:

Tipo: Tramo

1 ELEMENTO	2 Caudal Q	3 Diam. D/D _e	4 Ancho A	5 Alto B	6 Long. L	7 $\Delta p/L$	8 Fuente Tab	9 Ashrae X	10 Ashrae Y	11 Coeff. C _o	12 Veloc. V	13 P.Dinám P _v	14 Pérdida Δp_r o Δp_e
---------------	------------------	--------------------------------	-----------------	----------------	-----------------	-------------------	--------------------	------------------	-------------------	--------------------------------	-------------------	---------------------------------	--

N. pz.	Cod.	[m³/h]	[mm]	[mm]	[mm]	[m]	[Pa/m]	n.	-	-	-	[m/s]	[Pa]	[Pa]
159	3723C	12810	1000	350	350	0	0	ASH6_23	0.875		0.012	4.5	12.19	0.2
69	310C	12810	1000	500	250	3.53	0.2					4.5	12.19	0.69

Pérdida de carga acumulada del segmento	Δp_t	[Pa]	: 0.89
Velocidad en la sección inicial del segmento	V_m	[m/s]	: 5.2
Velocidad en la sección final del segmento	V_v	[m/s]	: 5.6
Recuperación de presión estática del segmento	Δp_r	[Pa]	: -2.6
Pérdida de carga acumulada del segmento, considerando la recuperación	Δp_{tm}	[Pa]	: 4.53
Pérdida de carga acumulada neta – total acumulado	$\Sigma \Delta p_{tm}$	[Pa]	: 171.15

SEGMENTO 37:

Tipo: Terminal TRM-3

1 ELEMENTO		2 Caudal Q	3 Diam. D/D _e	4 Ancho A	5 Alto B	6 Long. L	7 $\Delta p/L$	8 Fuente Tab	9 Ashrae X	10 Ashrae Y	11 Coeff. C _o	12 Veloc. V	13 P.Dinám P _v	14 Pérdida Δp_r o Δp_c
N. pz.	Cod.	[m³/h]	[mm]	[mm]	[mm]	[m]	[Pa/m]	n.	-	-	-	[m/s]	[Pa]	[Pa]
160	3723C	1830	350	350	350	0	0	ASH6_23	0.143	0.122	1.780	5.3	16.91	33.53
96	310C	1830	350	0	0	0.67	0.94					5.3	16.91	0.63
177	023C	1830	350	0	0	0.11	0	4.1	30.000	1.830	0.320	5.3	16.91	5.38
98	05LC	1830	474	474	474	0	0	MC4				2.9	5.06	35

Pérdida de carga acumulada del segmento	Δp_t	[Pa]	: 39.53
Velocidad en la sección inicial del segmento	V_m	[m/s]	: 5.6
Velocidad en la sección final del segmento	V_v	[m/s]	: 2.9
Recuperación de presión estática del segmento	Δp_r	[Pa]	: 13.82
Pérdida de carga acumulada del segmento, considerando la recuperación	Δp_{tm}	[Pa]	: 25.69
Pérdida de carga acumulada neta – total acumulado	$\Sigma \Delta p_{tm}$	[Pa]	: 231.85
Desequilibrio del terminal respecto al camino más desfavorable	Δp_{Tmr}	[Pa]	: 49.64

SEGMENTO 36:

Tipo: Tramo

1 ELEMENTO		2 Caudal Q	3 Diam. D/D _e	4 Ancho A	5 Alto B	6 Long. L	7 $\Delta p/L$	8 Fuente Tab	9 Ashrae X	10 Ashrae Y	11 Coeff. C _o	12 Veloc. V	13 P.Dinám P _v	14 Pérdida Δp_r o Δp_c
N. pz.	Cod.	[m³/h]	[mm]	[mm]	[mm]	[m]	[Pa/m]	n.	-	-	-	[m/s]	[Pa]	[Pa]
161	3723C	10980	1000	350	350	0	0	ASH6_23	0.857		0.014	3.9	9.16	0.27
70	310C	10980	1000	500	250	3.53	0.15					3.9	9.16	0.52

Pérdida de carga acumulada del segmento	Δp_t	[Pa]	: 0.79
Velocidad en la sección inicial del segmento	V_m	[m/s]	: 5.6
Velocidad en la sección final del segmento	V_v	[m/s]	: 4.8
Recuperación de presión estática del segmento	Δp_r	[Pa]	: 5.01
Pérdida de carga acumulada del segmento, considerando la recuperación	Δp_{tm}	[Pa]	: 0.91
Pérdida de carga acumulada neta – total acumulado	$\Sigma \Delta p_{tm}$	[Pa]	: 172.06

SEGMENTO 35:

Tipo: Terminal TRM-3

1 ELEMENTO	2 Caudal	3 Diam.	4 Ancho	5 Alto	6 Long.	7 $\Delta p/L$	8 Fuente	9 Ashrae	10 Ashrae	11 Coeff.	12 Veloc.	13 P.Dinám	14 Pérdida
---------------	-------------	------------	------------	-----------	------------	-------------------	-------------	-------------	--------------	--------------	--------------	---------------	---------------

1 ELEMENTO		2 Caudal Q	3 Diam. D/D _e	4 Ancho A	5 Alto B	6 Long. L	7 Δp/L	8 Fuente Tab	9 Ashrae X	10 Ashrae Y	11 Coeff. C _o	12 Veloc. V	13 P.Dinám P _v	14 Pérdida Δp _r o Δp _c
N. pz.	Cod.	[m³/h]	[mm]	[mm]	[mm]	[m]	[Pa/m]	n.	-	-	-	[m/s]	[Pa]	[Pa]
162	3723C	1830	350	350	350	0	0	ASH6_23	0.167	0.122	1.830	5.3	16.91	25.32
93	310C	1830	350	0	0	0.67	0.94					5.3	16.91	0.63
176	023C	1830	350	0	0	0.11	0	4.1	30.000	1.830	0.320	5.3	16.91	5.38
95	05LC	1830	474	474	474	0	0	MC4				2.9	5.06	35

Pérdida de carga acumulada del segmento	Δp _t	[Pa]	: 31.33
Velocidad en la sección inicial del segmento	V _m	[m/s]	: 4.8
Velocidad en la sección final del segmento	V _v	[m/s]	: 2.9
Recuperación de presión estática del segmento	Δp _r	[Pa]	: 8.81
Pérdida de carga acumulada del segmento, considerando la recuperación	Δp _{tn}	[Pa]	: 22.49
Pérdida de carga acumulada neta – total acumulado	ΣΔp _{tn}	[Pa]	: 229.55
Desequilibrio del terminal respecto al camino más desfavorable	Δp _{Tmr}	[Pa]	: 51.93

SEGMENTO 34:

Tipo: Tramo

1 ELEMENTO		2 Caudal Q	3 Diam. D/D _e	4 Ancho A	5 Alto B	6 Long. L	7 Δp/L	8 Fuente Tab	9 Ashrae X	10 Ashrae Y	11 Coeff. C _o	12 Veloc. V	13 P.Dinám P _v	14 Pérdida Δp _r o Δp _c
N. pz.	Cod.	[m³/h]	[mm]	[mm]	[mm]	[m]	[Pa/m]	n.	-	-	-	[m/s]	[Pa]	[Pa]
163	3723C	9150	1000	350	350	0	0	ASH6_23	0.833		0.017	3.2	6.16	0.23
71	310C	9150	1000	500	250	3.53	0.1					3.2	6.16	0.37

Pérdida de carga acumulada del segmento	Δp _t	[Pa]	: 0.6
Velocidad en la sección inicial del segmento	V _m	[m/s]	: 4.8
Velocidad en la sección final del segmento	V _v	[m/s]	: 5.1
Recuperación de presión estática del segmento	Δp _r	[Pa]	: -1.79
Pérdida de carga acumulada del segmento, considerando la recuperación	Δp _{tn}	[Pa]	: 6
Pérdida de carga acumulada neta – total acumulado	ΣΔp _{tn}	[Pa]	: 178.06

SEGMENTO 33:

Tipo: Terminal TRM-3

1 ELEMENTO		2 Caudal Q	3 Diam. D/D _e	4 Ancho A	5 Alto B	6 Long. L	7 Δp/L	8 Fuente Tab	9 Ashrae X	10 Ashrae Y	11 Coeff. C _o	12 Veloc. V	13 P.Dinám P _v	14 Pérdida Δp _r o Δp _c
N. pz.	Cod.	[m³/h]	[mm]	[mm]	[mm]	[m]	[Pa/m]	n.	-	-	-	[m/s]	[Pa]	[Pa]
164	3723C	1830	350	350	350	0	0	ASH6_23	0.200	0.122	1.900	5.3	16.91	29.24
90	310C	1830	350	0	0	0.67	0.94					5.3	16.91	0.63
175	023C	1830	350	0	0	0.11	0	4.1	30.000	1.830	0.320	5.3	16.91	5.38
92	05LC	1830	474	474	474	0	0	MC4				2.9	5.06	35

Pérdida de carga acumulada del segmento	Δp _t	[Pa]	: 35.25
Velocidad en la sección inicial del segmento	V _m	[m/s]	: 5.1
Velocidad en la sección final del segmento	V _v	[m/s]	: 2.9
Recuperación de presión estática del segmento	Δp _r	[Pa]	: 10.6
Pérdida de carga acumulada del segmento, considerando la recuperación	Δp _{tn}	[Pa]	: 24.85
Pérdida de carga acumulada neta – total acumulado	ΣΔp _{tn}	[Pa]	: 237.92
Desequilibrio del terminal respecto al camino más desfavorable	Δp _{Tmr}	[Pa]	: 43.56

SEGMENTO 32:

Tipo: Tramo

1 ELEMENTO		2 Caudal Q	3 Diam. D/D _e	4 Ancho A	5 Alto B	6 Long. L	7 $\Delta p/L$	8 Fuente Tab	9 Ashrae X	10 Ashrae Y	11 Coeff. C _o	12 Veloc. V	13 P.Dinám P _v	14 Pérdida Δp_r o Δp_c
N. pz.	Cod.	[m³/h]	[mm]	[mm]	[mm]	[m]	[Pa/m]	n.	-	-	-	[m/s]	[Pa]	[Pa]
165	3723C	7320	1000	350	350	0	0	ASH6_23	0.800		0.020	2.6	4.07	0.31
72	310C	7320	1000	500	250	3.53	0.07					2.6	4.07	0.24

Pérdida de carga acumulada del segmento

 Δp_t [Pa] : 0.55

Velocidad en la sección inicial del segmento

 V_m [m/s] : 5.1

Velocidad en la sección final del segmento

 V_v [m/s] : 5.3

Recuperación de presión estática del segmento

 Δp_r [Pa] : -1.25

Pérdida de carga acumulada del segmento, considerando la recuperación

 Δp_{tn} [Pa] : 5.95

Pérdida de carga acumulada neta – total acumulado

 $\Sigma \Delta p_{tn}$ [Pa] : 184.02**SEGMENTO 31:****Tipo:** Terminal TRM-3

1 ELEMENTO		2 Caudal Q	3 Diam. D/D _e	4 Ancho A	5 Alto B	6 Long. L	7 $\Delta p/L$	8 Fuente Tab	9 Ashrae X	10 Ashrae Y	11 Coeff. C _o	12 Veloc. V	13 P.Dinám P _v	14 Pérdida Δp_r o Δp_c
N. pz.	Cod.	[m³/h]	[mm]	[mm]	[mm]	[m]	[Pa/m]	n.	-	-	-	[m/s]	[Pa]	[Pa]
166	3723C	1830	350	350	350	0	0	ASH6_23	0.250	0.122	2.000	5.3	16.91	33.61
87	310C	1830	350	0	0	0.67	0.94					5.3	16.91	0.63
174	023C	1830	350	0	0	0.11	0	4.1	30.000	1.830	0.320	5.3	16.91	5.38
89	05LC	1830	474	474	474	0	0	MC4				2.9	5.06	35

Pérdida de carga acumulada del segmento

 Δp_t [Pa] : 39.61

Velocidad en la sección inicial del segmento

 V_m [m/s] : 5.3

Velocidad en la sección final del segmento

 V_v [m/s] : 2.9

Recuperación de presión estática del segmento

 Δp_r [Pa] : 11.85

Pérdida de carga acumulada del segmento, considerando la recuperación

 Δp_{tn} [Pa] : 27.81

Pérdida de carga acumulada neta – total acumulado

 $\Sigma \Delta p_{tn}$ [Pa] : 246.83

Desequilibrio del terminal respecto al camino más desfavorable

 Δp_{Tmr} [Pa] : 34.66**SEGMENTO 30:****Tipo:** Tramo

1 ELEMENTO		2 Caudal Q	3 Diam. D/D _e	4 Ancho A	5 Alto B	6 Long. L	7 $\Delta p/L$	8 Fuente Tab	9 Ashrae X	10 Ashrae Y	11 Coeff. C _o	12 Veloc. V	13 P.Dinám P _v	14 Pérdida Δp_r o Δp_c
N. pz.	Cod.	[m³/h]	[mm]	[mm]	[mm]	[m]	[Pa/m]	n.	-	-	-	[m/s]	[Pa]	[Pa]
167	3723C	5490	1000	350	350	0	0	ASH6_23	0.750		0.030	1.9	2.17	0.5
73	310C	5490	1000	500	250	3.53	0.04					1.9	2.17	0.14

Pérdida de carga acumulada del segmento

 Δp_t [Pa] : 0.65

Velocidad en la sección inicial del segmento

 V_m [m/s] : 5.3

Velocidad en la sección final del segmento

 V_v [m/s] : 5.4

Recuperación de presión estática del segmento

 Δp_r [Pa] : -0.64

Pérdida de carga acumulada del segmento, considerando la recuperación

 Δp_{tn} [Pa] : 5.22

Pérdida de carga acumulada neta – total acumulado

 $\Sigma \Delta p_{tn}$ [Pa] : 189.23

SEGMENTO 27:**Tipo:** Tramo

1 ELEMENTO		2 Caudal Q	3 Diam. D/D _e	4 Ancho A	5 Alto B	6 Long. L	7 $\Delta p/L$	8 Fuente Tab	9 Ashrae X	10 Ashrae Y	11 Coeff. C _o	12 Veloc. V	13 P.Dinám P _v	14 Pérdida Δp_r o Δp_e
N. pz.	Cod.	[m³/h]	[mm]	[mm]	[mm]	[m]	[Pa/m]	n.	-	-	-	[m/s]	[Pa]	[Pa]
168	3723C	3660	1000	350	350	0	0	ASH6_23	0.667		0.047	1.3	1.02	0.82
77	310C	3660	1000	500	250	3.53	0.02					1.3	1.02	0.07

Pérdida de carga acumulada del segmento

 Δp_t [Pa] : 0.89

Velocidad en la sección inicial del segmento

 V_m [m/s] : 5.4

Velocidad en la sección final del segmento

 V_v [m/s] : 5.2

Recuperación de presión estática del segmento

 Δp_r [Pa] : 1.28

Pérdida de carga acumulada del segmento, considerando la recuperación

 Δp_{tn} [Pa] : 3.07

Pérdida de carga acumulada neta – total acumulado

 $\Sigma \Delta p_{tn}$ [Pa] : 192.3**SEGMENTO 29:****Tipo:** Terminal TRM-3

1 ELEMENTO		2 Caudal Q	3 Diam. D/D _e	4 Ancho A	5 Alto B	6 Long. L	7 $\Delta p/L$	8 Fuente Tab	9 Ashrae X	10 Ashrae Y	11 Coeff. C _o	12 Veloc. V	13 P.Dinám P _v	14 Pérdida Δp_r o Δp_e
N. pz.	Cod.	[m³/h]	[mm]	[mm]	[mm]	[m]	[Pa/m]	n.	-	-	-	[m/s]	[Pa]	[Pa]
170	3723C	1830	350	350	350	0	0	ASH6_23	0.500	0.122	1.430	5.3	16.91	23.08
84	310C	1830	350	0	0	0.67	0.94					5.3	16.91	0.63
173	023C	1830	350	0	0	0.11	0	4.1	30.000	1.830	0.320	5.3	16.91	5.38
86	05LC	1830	474	474	474	0	0	MC4				2.9	5.06	35

Pérdida de carga acumulada del segmento

 Δp_t [Pa] : 29.08

Velocidad en la sección inicial del segmento

 V_m [m/s] : 5.2

Velocidad en la sección final del segmento

 V_v [m/s] : 2.9

Recuperación de presión estática del segmento

 Δp_r [Pa] : 11.22

Pérdida de carga acumulada del segmento, considerando la recuperación

 Δp_{tn} [Pa] : 17.94

Pérdida de carga acumulada neta – total acumulado

 $\Sigma \Delta p_{tn}$ [Pa] : 245.25

Desequilibrio del terminal respecto al camino más desfavorable

 Δp_{Tmr} [Pa] : 36.23**SEGMENTO 28:****Tipo:** Terminal TRM-3

1 ELEMENTO		2 Caudal Q	3 Diam. D/D _e	4 Ancho A	5 Alto B	6 Long. L	7 $\Delta p/L$	8 Fuente Tab	9 Ashrae X	10 Ashrae Y	11 Coeff. C _o	12 Veloc. V	13 P.Dinám P _v	14 Pérdida Δp_r o Δp_e
N. pz.	Cod.	[m³/h]	[mm]	[mm]	[mm]	[m]	[Pa/m]	n.	-	-	-	[m/s]	[Pa]	[Pa]
171	3723C	1830	1000	350	350	0	0	ASH6_23	0.500		0.090	0.6	0.22	1.45
80	310C	1830	1000	500	250	3.53	0.01					0.6	0.22	0.02
79	11CAT	1830	1000	500	250	0	0	2.6F	1.000	0.250	3.000	0.6	0.22	47.05
81	310C	1830	350	0	0	0.67	0.94					5.3	16.91	0.63
172	023C	1830	350	0	0	0.11	0	4.1	30.000	1.830	0.320	5.3	16.91	5.38
83	05LC	1830	474	474	474	0	0	MC4				2.9	5.06	35

Pérdida de carga acumulada del segmento

 Δp_t [Pa] : 54.53

Velocidad en la sección inicial del segmento

 V_m [m/s] : 5.2

Velocidad en la sección final del segmento

 V_v [m/s] : 2.9

Recuperación de presión estática del segmento

 Δp_r [Pa] : 11.22

Pérdida de carga acumulada del segmento, considerando la recuperación
 Pérdida de carga acumulada neta – total acumulado
 Desequilibrio del terminal respecto al camino más desfavorable

Δp_{tm} [Pa] : 46.01
 $\Sigma \Delta p_{tm}$ [Pa] : 273.31
 Δp_{Tmr} [Pa] : 8.17

SEGMENTO 26:

Tipo: Terminal TRM-3

1 ELEMENTO		2 Caudal Q	3 Diam. D/D _e	4 Ancho A	5 Alto B	6 Long. L	7 $\Delta p/L$	8 Fuente Tab	9 Ashrae X	10 Ashrae Y	11 Coeff. C _o	12 Veloc. V	13 P.Dinám P _v	14 Pérdida Δp_r o Δp_e
N. pz.	Cod.	[m³/h]	[mm]	[mm]	[mm]	[m]	[Pa/m]	n.	-	-	-	[m/s]	[Pa]	[Pa]
75	3723C	1830	350	350	350	0	0	ASH6_23	0.333	0.122	1.720	5.3	16.91	30.21
74	310C	1830	350	0	0	0.67	0.94					5.3	16.91	0.63
169	023C	1830	350	0	0	0.11	0	4.1	30.000	1.830	0.320	5.3	16.91	5.38
76	05LC	1830	474	474	474	0	0	MC4				2.9	5.06	35

Pérdida de carga acumulada del segmento
 Velocidad en la sección inicial del segmento
 Velocidad en la sección final del segmento
 Recuperación de presión estática del segmento
 Pérdida de carga acumulada del segmento, considerando la recuperación
 Pérdida de carga acumulada neta – total acumulado
 Desequilibrio del terminal respecto al camino más desfavorable

Δp_t [Pa] : 36.21
 V_m [m/s] : 5.4
 V_v [m/s] : 2.9
 Δp_r [Pa] : 12.49
 Δp_{tm} [Pa] : 23.7
 $\Sigma \Delta p_{tm}$ [Pa] : 247.93
 Δp_{Tmr} [Pa] : 33.55

SEGMENTO 24:

Tipo: Tramo

1 ELEMENTO		2 Caudal Q	3 Diam. D/D _e	4 Ancho A	5 Alto B	6 Long. L	7 $\Delta p/L$	8 Fuente Tab	9 Ashrae X	10 Ashrae Y	11 Coeff. C _o	12 Veloc. V	13 P.Dinám P _v	14 Pérdida Δp_r o Δp_e
N. pz.	Cod.	[m³/h]	[mm]	[mm]	[mm]	[m]	[Pa/m]	n.	-	-	-	[m/s]	[Pa]	[Pa]
115	11RA	21960	1640	1500	1500	0	0	ASH6_26M	0.500		0.090	2.7	4.39	2.02
116	42CI	21960	1000	500	250	0.53	0	4.7	30.000	2.870	0.395	7.8	36.63	13.08
9	310C	21960	1000	500	250	7.98	0.54					7.8	36.63	4.33
8	079C	21960	1000	500	250	0	0	3.1	0.740		0.345	7.8	36.63	6.89
10	310C	21960	1000	500	250	4.08	0.54					7.8	36.63	2.21

Pérdida de carga acumulada del segmento
 Velocidad en la sección inicial del segmento
 Velocidad en la sección final del segmento
 Recuperación de presión estática del segmento
 Pérdida de carga acumulada del segmento, considerando la recuperación
 Pérdida de carga acumulada neta – total acumulado

Δp_t [Pa] : 28.53
 V_m [m/s] : 6.1
 V_v [m/s] : 5.4
 Δp_r [Pa] : 4.85
 Δp_{tm} [Pa] : 48.7
 $\Sigma \Delta p_{tm}$ [Pa] : 148.92

SEGMENTO 23:

Tipo: Terminal TRM-3

1 ELEMENTO		2 Caudal Q	3 Diam. D/D _e	4 Ancho A	5 Alto B	6 Long. L	7 $\Delta p/L$	8 Fuente Tab	9 Ashrae X	10 Ashrae Y	11 Coeff. C _o	12 Veloc. V	13 P.Dinám P _v	14 Pérdida Δp_r o Δp_e
N. pz.	Cod.	[m³/h]	[mm]	[mm]	[mm]	[m]	[Pa/m]	n.	-	-	-	[m/s]	[Pa]	[Pa]
117	3723C	1830	350	350	350	0	0	ASH6_23	0.083	0.122	2.100	5.3	16.91	36.78
59	310C	1830	350	0	0	0.67	0.94					5.3	16.91	0.63
149	023C	1830	350	0	0	0.11	0	4.1	30.000	1.830	0.320	5.3	16.91	5.38
61	05LC	1830	474	474	474	0	0	MC4				2.9	5.06	35

Pérdida de carga acumulada del segmento	Δp_t	[Pa]	: 42.78
Velocidad en la sección inicial del segmento	V_m	[m/s]	: 5.4
Velocidad en la sección final del segmento	V_v	[m/s]	: 2.9
Recuperación de presión estática del segmento	Δp_r	[Pa]	: 12.49
Pérdida de carga acumulada del segmento, considerando la recuperación	Δp_{tn}	[Pa]	: 30.26
Pérdida de carga acumulada neta – total acumulado	$\Sigma \Delta p_{tn}$	[Pa]	: 214.19
Desequilibrio del terminal respecto al camino más desfavorable	Δp_{Tmr}	[Pa]	: 67.3

SEGMENTO 22:

Tipo: Tramo

1 ELEMENTO		2 Caudal Q	3 Diam. D/D _e	4 Ancho A	5 Alto B	6 Long. L	7 $\Delta p/L$	8 Fuente Tab	9 Ashrae X	10 Ashrae Y	11 Coeff. C _o	12 Veloc. V	13 P.Dinám P _v	14 Pérdida Δp_r o Δp_e
N. pz.	Cod.	[m³/h]	[mm]	[mm]	[mm]	[m]	[Pa/m]	n.	-	-	-	[m/s]	[Pa]	[Pa]
118	3723C	20130	1000	350	350	0	0	ASH6_23	0.917		0.008	7.1	30.35	0.15
13	310C	20130	1000	500	250	3.53	0.46					7.1	30.35	1.62

Pérdida de carga acumulada del segmento	Δp_t	[Pa]	: 1.77
Velocidad en la sección inicial del segmento	V_m	[m/s]	: 5.4
Velocidad en la sección final del segmento	V_v	[m/s]	: 4.9
Recuperación de presión estática del segmento	Δp_r	[Pa]	: 3.1
Pérdida de carga acumulada del segmento, considerando la recuperación	Δp_{tn}	[Pa]	: 10.26
Pérdida de carga acumulada neta – total acumulado	$\Sigma \Delta p_{tn}$	[Pa]	: 159.18

SEGMENTO 21:

Tipo: Terminal TRM-3

1 ELEMENTO		2 Caudal Q	3 Diam. D/D _e	4 Ancho A	5 Alto B	6 Long. L	7 $\Delta p/L$	8 Fuente Tab	9 Ashrae X	10 Ashrae Y	11 Coeff. C _o	12 Veloc. V	13 P.Dinám P _v	14 Pérdida Δp_r o Δp_e
N. pz.	Cod.	[m³/h]	[mm]	[mm]	[mm]	[m]	[Pa/m]	n.	-	-	-	[m/s]	[Pa]	[Pa]
119	3723C	1830	350	350	350	0	0	ASH6_23	0.091	0.122	2.100	5.3	16.91	30.9
56	310C	1830	350	0	0	0.67	0.94					5.3	16.91	0.63
148	023C	1830	350	0	0	0.11	0	4.1	30.000	1.830	0.320	5.3	16.91	5.38
58	05LC	1830	474	474	474	0	0	MC4				2.9	5.06	35

Pérdida de carga acumulada del segmento	Δp_t	[Pa]	: 36.91
Velocidad en la sección inicial del segmento	V_m	[m/s]	: 4.9
Velocidad en la sección final del segmento	V_v	[m/s]	: 2.9
Recuperación de presión estática del segmento	Δp_r	[Pa]	: 9.39
Pérdida de carga acumulada del segmento, considerando la recuperación	Δp_{tn}	[Pa]	: 27.19
Pérdida de carga acumulada neta – total acumulado	$\Sigma \Delta p_{tn}$	[Pa]	: 221.37
Desequilibrio del terminal respecto al camino más desfavorable	Δp_{Tmr}	[Pa]	: 60.11

SEGMENTO 20:

Tipo: Tramo

1 ELEMENTO		2 Caudal Q	3 Diam. D/D _e	4 Ancho A	5 Alto B	6 Long. L	7 $\Delta p/L$	8 Fuente Tab	9 Ashrae X	10 Ashrae Y	11 Coeff. C _o	12 Veloc. V	13 P.Dinám P _v	14 Pérdida Δp_r o Δp_e
N. pz.	Cod.	[m³/h]	[mm]	[mm]	[mm]	[m]	[Pa/m]	n.	-	-	-	[m/s]	[Pa]	[Pa]

120	3723C	18300	1000	350	350	0	0	ASH6_23	0.909		0.009	6.5	25.43	0.13
14	310C	18300	1000	500	250	3.53	0.39					6.5	25.43	1.36

Pérdida de carga acumulada del segmento	Δp_t	[Pa]	: 1.49
Velocidad en la sección inicial del segmento	V_m	[m/s]	: 4.9
Velocidad en la sección final del segmento	V_v	[m/s]	: 4.5
Recuperación de presión estática del segmento	Δp_r	[Pa]	: 2.26
Pérdida de carga acumulada del segmento, considerando la recuperación	Δp_{tm}	[Pa]	: 8.27
Pérdida de carga acumulada neta – total acumulado	$\Sigma \Delta p_{tm}$	[Pa]	: 167.44

SEGMENTO 19:

Tipo: Terminal TRM-3

1 ELEMENTO		2 Caudal Q	3 Diam. D/D _e	4 Ancho A	5 Alto B	6 Long. L	7 $\Delta p/L$	8 Fuente Tab	9 Ashrae X	10 Ashrae Y	11 Coeff. C _o	12 Veloc. V	13 P.Dinám P _v	14 Pérdida Δp_r o Δp_e
N. pz.	Cod.	[m³/h]	[mm]	[mm]	[mm]	[m]	[Pa/m]	n.	-	-	-	[m/s]	[Pa]	[Pa]
121	3723C	1830	350	350	350	0	0	ASH6_23	0.100	0.122	2.100	5.3	16.91	25.54
53	310C	1830	350	0	0	0.67	0.94					5.3	16.91	0.63
147	023C	1830	350	0	0	0.11	0	4.1	30.000	1.830	0.320	5.3	16.91	5.38
55	05LC	1830	474	474	474	0	0	MC4				2.9	5.06	35

Pérdida de carga acumulada del segmento	Δp_t	[Pa]	: 31.54
Velocidad en la sección inicial del segmento	V_m	[m/s]	: 4.5
Velocidad en la sección final del segmento	V_v	[m/s]	: 2.9
Recuperación de presión estática del segmento	Δp_r	[Pa]	: 7.13
Pérdida de carga acumulada del segmento, considerando la recuperación	Δp_{tm}	[Pa]	: 24.38
Pérdida de carga acumulada neta – total acumulado	$\Sigma \Delta p_{tm}$	[Pa]	: 226.83
Desequilibrio del terminal respecto al camino más desfavorable	Δp_{Tmr}	[Pa]	: 54.66

SEGMENTO 18:

Tipo: Tramo

1 ELEMENTO		2 Caudal Q	3 Diam. D/D _e	4 Ancho A	5 Alto B	6 Long. L	7 $\Delta p/L$	8 Fuente Tab	9 Ashrae X	10 Ashrae Y	11 Coeff. C _o	12 Veloc. V	13 P.Dinám P _v	14 Pérdida Δp_r o Δp_e
N. pz.	Cod.	[m³/h]	[mm]	[mm]	[mm]	[m]	[Pa/m]	n.	-	-	-	[m/s]	[Pa]	[Pa]
122	3723C	16470	1000	350	350	0	0	ASH6_23	0.900		0.010	5.8	20.25	0.12
15	310C	16470	1000	500	250	3.53	0.31					5.8	20.25	1.11

Pérdida de carga acumulada del segmento	Δp_t	[Pa]	: 1.23
Velocidad en la sección inicial del segmento	V_m	[m/s]	: 4.5
Velocidad en la sección final del segmento	V_v	[m/s]	: 5.8
Recuperación de presión estática del segmento	Δp_r	[Pa]	: -8.06
Pérdida de carga acumulada del segmento, considerando la recuperación	Δp_{tm}	[Pa]	: 10.52
Pérdida de carga acumulada neta – total acumulado	$\Sigma \Delta p_{tm}$	[Pa]	: 177.96

SEGMENTO 17:

Tipo: Terminal TRM-3

1 ELEMENTO		2 Caudal Q	3 Diam. D/D _e	4 Ancho A	5 Alto B	6 Long. L	7 $\Delta p/L$	8 Fuente Tab	9 Ashrae X	10 Ashrae Y	11 Coeff. C _o	12 Veloc. V	13 P.Dinám P _v	14 Pérdida Δp_r o Δp_e
---------------	--	------------------	--------------------------------	-----------------	----------------	-----------------	-------------------	--------------------	------------------	-------------------	--------------------------------	-------------------	---------------------------------	--

N. pz.	Cod.	[m³/h]	[mm]	[mm]	[mm]	[m]	[Pa/m]	n.	-	-	-	[m/s]	[Pa]	[Pa]
123	3723C	1830	350	350	350	0	0	ASH6_23	0.111	0.122	1.920	5.3	16.91	39.17
50	310C	1830	350	0	0	0.67	0.94					5.3	16.91	0.63
146	023C	1830	350	0	0	0.11	0	4.1	30.000	1.830	0.320	5.3	16.91	5.38
52	05LC	1830	474	474	474	0	0	MC4				2.9	5.06	35

Pérdida de carga acumulada del segmento	Δp_t	[Pa]	: 45.18
Velocidad en la sección inicial del segmento	V_m	[m/s]	: 5.8
Velocidad en la sección final del segmento	V_v	[m/s]	: 2.9
Recuperación de presión estática del segmento	Δp_r	[Pa]	: 15.19
Pérdida de carga acumulada del segmento, considerando la recuperación	Δp_{tm}	[Pa]	: 29.75
Pérdida de carga acumulada neta – total acumulado	$\Sigma \Delta p_{tm}$	[Pa]	: 242.71
Desequilibrio del terminal respecto al camino más desfavorable	Δp_{Tmr}	[Pa]	: 38.77

SEGMENTO 16:

Tipo: Tramo

1 ELEMENTO		2 Caudal Q	3 Diam. D/D _e	4 Ancho A	5 Alto B	6 Long. L	7 $\Delta p/L$	8 Fuente Tab	9 Ashrae X	10 Ashrae Y	11 Coeff. C _o	12 Veloc. V	13 P.Dinám P _v	14 Pérdida Δp_r o Δp_c
N. pz.	Cod.	[m³/h]	[mm]	[mm]	[mm]	[m]	[Pa/m]	n.	-	-	-	[m/s]	[Pa]	[Pa]
124	3723C	14640	1000	350	350	0	0	ASH6_23	0.889		0.011	5.2	16.28	0.23
16	310C	14640	1000	500	250	3.53	0.25					5.2	16.28	0.89

Pérdida de carga acumulada del segmento	Δp_t	[Pa]	: 1.12
Velocidad en la sección inicial del segmento	V_m	[m/s]	: 5.8
Velocidad en la sección final del segmento	V_v	[m/s]	: 5.2
Recuperación de presión estática del segmento	Δp_r	[Pa]	: 3.97
Pérdida de carga acumulada del segmento, considerando la recuperación	Δp_{tm}	[Pa]	: -3.17
Pérdida de carga acumulada neta – total acumulado	$\Sigma \Delta p_{tm}$	[Pa]	: 174.79

SEGMENTO 15:

Tipo: Terminal TRM-3

1 ELEMENTO		2 Caudal Q	3 Diam. D/D _e	4 Ancho A	5 Alto B	6 Long. L	7 $\Delta p/L$	8 Fuente Tab	9 Ashrae X	10 Ashrae Y	11 Coeff. C _o	12 Veloc. V	13 P.Dinám P _v	14 Pérdida Δp_r o Δp_c
N. pz.	Cod.	[m³/h]	[mm]	[mm]	[mm]	[m]	[Pa/m]	n.	-	-	-	[m/s]	[Pa]	[Pa]
125	3723C	1830	350	350	350	0	0	ASH6_23	0.125	0.122	1.910	5.3	16.91	30.91
47	310C	1830	350	0	0	0.67	0.94					5.3	16.91	0.63
145	023C	1830	350	0	0	0.11	0	4.1	30.000	1.830	0.320	5.3	16.91	5.38
49	05LC	1830	474	474	474	0	0	MC4				2.9	5.06	35

Pérdida de carga acumulada del segmento	Δp_t	[Pa]	: 36.91
Velocidad en la sección inicial del segmento	V_m	[m/s]	: 5.2
Velocidad en la sección final del segmento	V_v	[m/s]	: 2.9
Recuperación de presión estática del segmento	Δp_r	[Pa]	: 11.22
Pérdida de carga acumulada del segmento, considerando la recuperación	Δp_{tm}	[Pa]	: 25.77
Pérdida de carga acumulada neta – total acumulado	$\Sigma \Delta p_{tm}$	[Pa]	: 235.56
Desequilibrio del terminal respecto al camino más desfavorable	Δp_{Tmr}	[Pa]	: 45.92

SEGMENTO 14:

Tipo: Tramo

1 ELEMENTO		2 Caudal Q	3 Diam. D/D _e	4 Ancho A	5 Alto B	6 Long. L	7 $\Delta p/L$	8 Fuente Tab	9 Ashrae X	10 Ashrae Y	11 Coeff. C _o	12 Veloc. V	13 P.Dinám P _v	14 Pérdida Δp_r o Δp_c
N. pz.	Cod.	[m³/h]	[mm]	[mm]	[mm]	[m]	[Pa/m]	n.	-	-	-	[m/s]	[Pa]	[Pa]
126	3723C	12810	1000	350	350	0	0	ASH6_23	0.875		0.012	4.5	12.19	0.2
17	310C	12810	1000	500	250	3.53	0.2					4.5	12.19	0.69

Pérdida de carga acumulada del segmento	Δp_t	[Pa] : 0.89
Velocidad en la sección inicial del segmento	V_m	[m/s] : 5.2
Velocidad en la sección final del segmento	V_v	[m/s] : 5.6
Recuperación de presión estática del segmento	Δp_r	[Pa] : -2.6
Pérdida de carga acumulada del segmento, considerando la recuperación	Δp_{tn}	[Pa] : 4.53
Pérdida de carga acumulada neta – total acumulado	$\Sigma \Delta p_{tn}$	[Pa] : 179.32

SEGMENTO 13:

Tipo: Terminal TRM-3

1 ELEMENTO		2 Caudal Q	3 Diam. D/D _e	4 Ancho A	5 Alto B	6 Long. L	7 $\Delta p/L$	8 Fuente Tab	9 Ashrae X	10 Ashrae Y	11 Coeff. C _o	12 Veloc. V	13 P.Dinám P _v	14 Pérdida Δp_r o Δp_c
N. pz.	Cod.	[m³/h]	[mm]	[mm]	[mm]	[m]	[Pa/m]	n.	-	-	-	[m/s]	[Pa]	[Pa]
127	3723C	1830	350	350	350	0	0	ASH6_23	0.143	0.122	1.780	5.3	16.91	33.53
44	310C	1830	350	0	0	0.67	0.94					5.3	16.91	0.63
144	023C	1830	350	0	0	0.11	0	4.1	30.000	1.830	0.320	5.3	16.91	5.38
46	05LC	1830	474	474	474	0	0	MC4				2.9	5.06	35

Pérdida de carga acumulada del segmento	Δp_t	[Pa] : 39.53
Velocidad en la sección inicial del segmento	V_m	[m/s] : 5.6
Velocidad en la sección final del segmento	V_v	[m/s] : 2.9
Recuperación de presión estática del segmento	Δp_r	[Pa] : 13.82
Pérdida de carga acumulada del segmento, considerando la recuperación	Δp_{tn}	[Pa] : 25.69
Pérdida de carga acumulada neta – total acumulado	$\Sigma \Delta p_{tn}$	[Pa] : 240.01
Desequilibrio del terminal respecto al camino más desfavorable	Δp_{Tmr}	[Pa] : 41.47

SEGMENTO 12:

Tipo: Tramo

1 ELEMENTO		2 Caudal Q	3 Diam. D/D _e	4 Ancho A	5 Alto B	6 Long. L	7 $\Delta p/L$	8 Fuente Tab	9 Ashrae X	10 Ashrae Y	11 Coeff. C _o	12 Veloc. V	13 P.Dinám P _v	14 Pérdida Δp_r o Δp_c
N. pz.	Cod.	[m³/h]	[mm]	[mm]	[mm]	[m]	[Pa/m]	n.	-	-	-	[m/s]	[Pa]	[Pa]
128	3723C	10980	1000	350	350	0	0	ASH6_23	0.857		0.014	3.9	9.16	0.27
18	310C	10980	1000	500	250	3.53	0.15					3.9	9.16	0.52

Pérdida de carga acumulada del segmento	Δp_t	[Pa] : 0.79
Velocidad en la sección inicial del segmento	V_m	[m/s] : 5.6
Velocidad en la sección final del segmento	V_v	[m/s] : 4.8
Recuperación de presión estática del segmento	Δp_r	[Pa] : 5.01
Pérdida de carga acumulada del segmento, considerando la recuperación	Δp_{tn}	[Pa] : 0.91
Pérdida de carga acumulada neta – total acumulado	$\Sigma \Delta p_{tn}$	[Pa] : 180.23

SEGMENTO 11:

Tipo: Terminal TRM-3

1 ELEMENTO		2 Caudal Q	3 Diam. D/D _e	4 Ancho A	5 Alto B	6 Long. L	7 $\Delta p/L$	8 Fuente Tab	9 Ashrae X	10 Ashrae Y	11 Coeff. C _o	12 Veloc. V	13 P.Dinám P _v	14 Pérdida Δp_r o Δp_c
N. pz.	Cod.	[m³/h]	[mm]	[mm]	[mm]	[m]	[Pa/m]	n.	-	-	-	[m/s]	[Pa]	[Pa]
129	3723C	1830	350	350	350	0	0	ASH6_23	0.167	0.122	1.830	5.3	16.91	25.32
41	310C	1830	350	0	0	0.67	0.94					5.3	16.91	0.63
143	023C	1830	350	0	0	0.11	0	4.1	30.000	1.830	0.320	5.3	16.91	5.38
43	05LC	1830	474	474	474	0	0	MC4				2.9	5.06	35

Pérdida de carga acumulada del segmento	Δp_t	[Pa]	: 31.33
Velocidad en la sección inicial del segmento	V_m	[m/s]	: 4.8
Velocidad en la sección final del segmento	V_v	[m/s]	: 2.9
Recuperación de presión estática del segmento	Δp_r	[Pa]	: 8.81
Pérdida de carga acumulada del segmento, considerando la recuperación	Δp_{tm}	[Pa]	: 22.49
Pérdida de carga acumulada neta – total acumulado	$\Sigma \Delta p_{tm}$	[Pa]	: 237.72
Desequilibrio del terminal respecto al camino más desfavorable	Δp_{Tmr}	[Pa]	: 43.76

SEGMENTO 10:

Tipo: Tramo

1 ELEMENTO		2 Caudal Q	3 Diam. D/D _e	4 Ancho A	5 Alto B	6 Long. L	7 $\Delta p/L$	8 Fuente Tab	9 Ashrae X	10 Ashrae Y	11 Coeff. C _o	12 Veloc. V	13 P.Dinám P _v	14 Pérdida Δp_r o Δp_c
N. pz.	Cod.	[m³/h]	[mm]	[mm]	[mm]	[m]	[Pa/m]	n.	-	-	-	[m/s]	[Pa]	[Pa]
130	3723C	9150	1000	350	350	0	0	ASH6_23	0.833		0.017	3.2	6.16	0.23
19	310C	9150	1000	500	250	3.53	0.1					3.2	6.16	0.37

Pérdida de carga acumulada del segmento	Δp_t	[Pa]	: 0.6
Velocidad en la sección inicial del segmento	V_m	[m/s]	: 4.8
Velocidad en la sección final del segmento	V_v	[m/s]	: 5.1
Recuperación de presión estática del segmento	Δp_r	[Pa]	: -1.79
Pérdida de carga acumulada del segmento, considerando la recuperación	Δp_{tm}	[Pa]	: 6
Pérdida de carga acumulada neta – total acumulado	$\Sigma \Delta p_{tm}$	[Pa]	: 186.23

SEGMENTO 9:

Tipo: Terminal TRM-3

1 ELEMENTO		2 Caudal Q	3 Diam. D/D _e	4 Ancho A	5 Alto B	6 Long. L	7 $\Delta p/L$	8 Fuente Tab	9 Ashrae X	10 Ashrae Y	11 Coeff. C _o	12 Veloc. V	13 P.Dinám P _v	14 Pérdida Δp_r o Δp_c
N. pz.	Cod.	[m³/h]	[mm]	[mm]	[mm]	[m]	[Pa/m]	n.	-	-	-	[m/s]	[Pa]	[Pa]
131	3723C	1830	350	350	350	0	0	ASH6_23	0.200	0.122	1.900	5.3	16.91	29.24
38	310C	1830	350	0	0	0.67	0.94					5.3	16.91	0.63
142	023C	1830	350	0	0	0.11	0	4.1	30.000	1.830	0.320	5.3	16.91	5.38
40	05LC	1830	474	474	474	0	0	MC4				2.9	5.06	35

Pérdida de carga acumulada del segmento	Δp_t	[Pa]	: 35.25
Velocidad en la sección inicial del segmento	V_m	[m/s]	: 5.1
Velocidad en la sección final del segmento	V_v	[m/s]	: 2.9
Recuperación de presión estática del segmento	Δp_r	[Pa]	: 10.6
Pérdida de carga acumulada del segmento, considerando la recuperación	Δp_{tm}	[Pa]	: 24.85
Pérdida de carga acumulada neta – total acumulado	$\Sigma \Delta p_{tm}$	[Pa]	: 246.09

Desequilibrio del terminal respecto al camino más desfavorable

Δp_{Tmr} [Pa] : 35.4

SEGMENTO 8:

Tipo: Tramo

1 ELEMENTO		2 Caudal Q	3 Diam. D/D _e	4 Ancho A	5 Alto B	6 Long. L	7 $\Delta p/L$	8 Fuente Tab	9 Ashrae X	10 Ashrae Y	11 Coeff. C _o	12 Veloc. V	13 P.Dinám P _v	14 Pérdida Δp_r o Δp_c
N. pz.	Cod.	[m³/h]	[mm]	[mm]	[mm]	[m]	[Pa/m]	n.	-	-	-	[m/s]	[Pa]	[Pa]
132	3723C	7320	1000	350	350	0	0	ASH6_23	0.800		0.020	2.6	4.07	0.31
20	310C	7320	1000	500	250	3.53	0.07					2.6	4.07	0.24

Pérdida de carga acumulada del segmento

Δp_t [Pa] : 0.55

Velocidad en la sección inicial del segmento

V_m [m/s] : 5.1

Velocidad en la sección final del segmento

V_v [m/s] : 5.3

Recuperación de presión estática del segmento

Δp_r [Pa] : -1.25

Pérdida de carga acumulada del segmento, considerando la recuperación

Δp_{tn} [Pa] : 5.95

Pérdida de carga acumulada neta – total acumulado

$\Sigma \Delta p_{tn}$ [Pa] : 192.18

SEGMENTO 7:

Tipo: Terminal TRM-3

1 ELEMENTO		2 Caudal Q	3 Diam. D/D _e	4 Ancho A	5 Alto B	6 Long. L	7 $\Delta p/L$	8 Fuente Tab	9 Ashrae X	10 Ashrae Y	11 Coeff. C _o	12 Veloc. V	13 P.Dinám P _v	14 Pérdida Δp_r o Δp_c
N. pz.	Cod.	[m³/h]	[mm]	[mm]	[mm]	[m]	[Pa/m]	n.	-	-	-	[m/s]	[Pa]	[Pa]
133	3723C	1830	350	350	350	0	0	ASH6_23	0.250	0.122	2.000	5.3	16.91	33.61
35	310C	1830	350	0	0	0.67	0.94					5.3	16.91	0.63
141	023C	1830	350	0	0	0.11	0	4.1	30.000	1.830	0.320	5.3	16.91	5.38
37	05LC	1830	474	474	474	0	0	MC4				2.9	5.06	35

Pérdida de carga acumulada del segmento

Δp_t [Pa] : 39.61

Velocidad en la sección inicial del segmento

V_m [m/s] : 5.3

Velocidad en la sección final del segmento

V_v [m/s] : 2.9

Recuperación de presión estática del segmento

Δp_r [Pa] : 11.85

Pérdida de carga acumulada del segmento, considerando la recuperación

Δp_{tn} [Pa] : 27.81

Pérdida de carga acumulada neta – total acumulado

$\Sigma \Delta p_{tn}$ [Pa] : 254.99

Desequilibrio del terminal respecto al camino más desfavorable

Δp_{Tmr} [Pa] : 26.49

SEGMENTO 6:

Tipo: Tramo

1 ELEMENTO		2 Caudal Q	3 Diam. D/D _e	4 Ancho A	5 Alto B	6 Long. L	7 $\Delta p/L$	8 Fuente Tab	9 Ashrae X	10 Ashrae Y	11 Coeff. C _o	12 Veloc. V	13 P.Dinám P _v	14 Pérdida Δp_r o Δp_c
N. pz.	Cod.	[m³/h]	[mm]	[mm]	[mm]	[m]	[Pa/m]	n.	-	-	-	[m/s]	[Pa]	[Pa]
134	3723C	5490	1000	350	350	0	0	ASH6_23	0.750		0.030	1.9	2.17	0.5
21	310C	5490	1000	500	250	3.53	0.04					1.9	2.17	0.14

Pérdida de carga acumulada del segmento

Δp_t [Pa] : 0.65

Velocidad en la sección inicial del segmento

V_m [m/s] : 5.3

Velocidad en la sección final del segmento

V_v [m/s] : 5.4

Recuperación de presión estática del segmento

Δp_r [Pa] : -0.64

Pérdida de carga acumulada del segmento, considerando la recuperación
Pérdida de carga acumulada neta – total acumulado

Δp_{tn} [Pa] : 5.22
 $\Sigma \Delta p_{tn}$ [Pa] : 197.4

SEGMENTO 3:

Tipo: Tramo

1 ELEMENTO		2 Caudal Q	3 Diam. D/D _e	4 Ancho A	5 Alto B	6 Long. L	7 $\Delta p/L$	8 Fuente Tab	9 Ashrae X	10 Ashrae Y	11 Coeff. C _o	12 Veloc. V	13 P.Dinám P _v	14 Pérdida Δp_r o Δp_c
N. pz.	Cod.	[m³/h]	[mm]	[mm]	[mm]	[m]	[Pa/m]	n.	-	-	-	[m/s]	[Pa]	[Pa]
135	3723C	3660	1000	350	350	0	0	ASH6_23	0.667		0.047	1.3	1.02	0.82
25	310C	3660	1000	500	250	3.53	0.02					1.3	1.02	0.07

Pérdida de carga acumulada del segmento
Velocidad en la sección inicial del segmento
Velocidad en la sección final del segmento
Recuperación de presión estática del segmento
Pérdida de carga acumulada del segmento, considerando la recuperación
Pérdida de carga acumulada neta – total acumulado

Δp_t [Pa] : 0.89
 V_m [m/s] : 5.4
 V_v [m/s] : 5.2
 Δp_r [Pa] : 1.28
 Δp_{tn} [Pa] : 3.07
 $\Sigma \Delta p_{tn}$ [Pa] : 200.47

SEGMENTO 5:

Tipo: Terminal TRM-3

1 ELEMENTO		2 Caudal Q	3 Diam. D/D _e	4 Ancho A	5 Alto B	6 Long. L	7 $\Delta p/L$	8 Fuente Tab	9 Ashrae X	10 Ashrae Y	11 Coeff. C _o	12 Veloc. V	13 P.Dinám P _v	14 Pérdida Δp_r o Δp_c
N. pz.	Cod.	[m³/h]	[mm]	[mm]	[mm]	[m]	[Pa/m]	n.	-	-	-	[m/s]	[Pa]	[Pa]
137	3723C	1830	350	350	350	0	0	ASH6_23	0.500	0.122	1.430	5.3	16.91	23.08
32	310C	1830	350	0	0	0.67	0.94					5.3	16.91	0.63
140	023C	1830	350	0	0	0.11	0	4.1	30.000	1.830	0.320	5.3	16.91	5.38
34	05LC	1830	474	474	474	0	0	MC4				2.9	5.06	35

Pérdida de carga acumulada del segmento
Velocidad en la sección inicial del segmento
Velocidad en la sección final del segmento
Recuperación de presión estática del segmento
Pérdida de carga acumulada del segmento, considerando la recuperación
Pérdida de carga acumulada neta – total acumulado
Desequilibrio del terminal respecto al camino más desfavorable

Δp_t [Pa] : 29.08
 V_m [m/s] : 5.2
 V_v [m/s] : 2.9
 Δp_r [Pa] : 11.22
 Δp_{tn} [Pa] : 17.94
 $\Sigma \Delta p_{tn}$ [Pa] : 253.42
 Δp_{Tmr} [Pa] : 28.07

SEGMENTO 4:

Tipo: Terminal TRM-3

1 ELEMENTO		2 Caudal Q	3 Diam. D/D _e	4 Ancho A	5 Alto B	6 Long. L	7 $\Delta p/L$	8 Fuente Tab	9 Ashrae X	10 Ashrae Y	11 Coeff. C _o	12 Veloc. V	13 P.Dinám P _v	14 Pérdida Δp_r o Δp_c
N. pz.	Cod.	[m³/h]	[mm]	[mm]	[mm]	[m]	[Pa/m]	n.	-	-	-	[m/s]	[Pa]	[Pa]
138	3723C	1830	1000	350	350	0	0	ASH6_23	0.500		0.090	0.6	0.22	1.45
28	310C	1830	1000	500	250	3.53	0.01					0.6	0.22	0.02
27	11CAT	1830	1000	500	250	0	0	2.6F	1.000	0.250	3.000	0.6	0.22	47.05
29	310C	1830	350	0	0	0.67	0.94					5.3	16.91	0.63
139	023C	1830	350	0	0	0.11	0	4.1	30.000	1.830	0.320	5.3	16.91	5.38
31	05LC	1830	474	474	474	0	0	MC4				2.9	5.06	35

Pérdida de carga acumulada del segmento	Δp_t	[Pa]	: 54.53
Velocidad en la sección inicial del segmento	V_m	[m/s]	: 5.2
Velocidad en la sección final del segmento	V_v	[m/s]	: 2.9
Recuperación de presión estática del segmento	Δp_r	[Pa]	: 11.22
Pérdida de carga acumulada del segmento, considerando la recuperación	Δp_{tn}	[Pa]	: 46.01
Pérdida de carga acumulada neta – total acumulado	$\Sigma \Delta p_{tn}$	[Pa]	: 281.48

SEGMENTO 2:

Tipo: Terminal TRM-3

1 ELEMENTO		2 Caudal Q	3 Diam. D/D _e	4 Ancho A	5 Alto B	6 Long. L	7 $\Delta p/L$	8 Fuente Tab	9 Ashrae X	10 Ashrae Y	11 Coeff. C _o	12 Veloc. V	13 P.Dinám P _v	14 Pérdida Δp_r o Δp_e
N. pz.	Cod.	[m³/h]	[mm]	[mm]	[mm]	[m]	[Pa/m]	n.	-	-	-	[m/s]	[Pa]	[Pa]
23	3723C	1830	350	350	350	0	0	ASH6_23	0.333	0.122	1.720	5.3	16.91	30.21
22	310C	1830	350	0	0	0.67	0.94					5.3	16.91	0.63
136	023C	1830	350	0	0	0.11	0	4.1	30.000	1.830	0.320	5.3	16.91	5.38
24	05LC	1830	474	474	474	0	0	MC4				2.9	5.06	35

Pérdida de carga acumulada del segmento	Δp_t	[Pa]	: 36.21
Velocidad en la sección inicial del segmento	V_m	[m/s]	: 5.4
Velocidad en la sección final del segmento	V_v	[m/s]	: 2.9
Recuperación de presión estática del segmento	Δp_r	[Pa]	: 12.49
Pérdida de carga acumulada del segmento, considerando la recuperación	Δp_{tn}	[Pa]	: 23.7
Pérdida de carga acumulada neta – total acumulado	$\Sigma \Delta p_{tn}$	[Pa]	: 256.1
Desequilibrio del terminal respecto al camino más desfavorable	Δp_{Tmr}	[Pa]	: 25.38

DATOS GENERALES**Cliente:****Ciudad:** Alicante**Proyectista:****SISTEMA:****Nº Expediente:****Dibujo n.º:****Referencia:****Construcción:****Sistema:****Zona:** CLPabellon deportivo
retorno**Circuito:****Altitud s.n.m** [m]: 7**Altura** [m]: 0**Temperatura aire** [°C]: 20**Humedad Relativa aire** [%]:**Método de cálculo: DIMENSIONADO DEL LA RED CON EL METODO DE PERDIDA DE CARGA CONSTANTE****DATOS DE CALCULO****Viscosidad del aire** [Pa*s]: 0.01816**Densidad del aire** [kg/m³]: 1.2**Revestimiento interior** :**Espesor** [mm]: 0**Rugosidad pared** [mm]: 0.15**CONDUCTOS Ratio B/A:** 0.5**OPCIONES****Tipo de cálculo elegido:** : 2

- Pérdida de carga distribuida [Pa/m]: 0.8
- Máxima velocidad en los tramos [m/s]: 6
- Máxima velocidad en los ramales [m/s]: 6

Cálculo con dimensiones normalizadas [Si/No]: Si

- Paso para el cálculo con dimensiones no normalizadas [mm]: 0
- Dimensión mínima [mm]: 0
- Dimensión máxima [mm]: 0

LIMITES**Mínimo desequilibrio para justificar el equilibrado y la inserción de compuertas en ramales** (Δp_{mr}) [Pa]: 10**Mínimo desequilibrio para justificar el equilibrado y la inserción de compuertas en terminales** (Δp_{msr}) [Pa]: 10**Máxima pérdida de carga admisible para las compuertas en terminales** (Δp_{MT}) [Pa]: 0**MAXIMA PERDIDA****Presión total para el camino más desfavorable** [Pa]: 286.48**Presión estática para el camino más desfavorable** [Pa]: 304.18**CAMINO MAS DESFAVOR.**

000-001-024-022-020-018-016-014-012-010-008-006-003-004

SEGMENTO 1:

Tipo: Tramo

1 ELEMENTO		2 Caudal Q	3 Diam. D/D _e	4 Ancho A	5 Alto B	6 Long. L	7 $\Delta p/L$	8 Fuente Tab	9 Ashrae X	10 Ashrae Y	11 Coeff. C _o	12 Veloc. V	13 P.Dinám P _v	14 Pérdida Δp_r o Δp_e
N. pz.	Cod.	[m³/h]	[mm]	[mm]	[mm]	[m]	[Pa/m]	n.	-	-	-	[m/s]	[Pa]	[Pa]
1	310R	43920	1640	1500	1500	2.79	0.17					5.4	17.55	0.48
2	079R	43920	1640	1500	1500	0	0	3.5	1.000	0.667	0.693	5.4	17.55	33.13
3	310R	43920	1640	1500	1500	5.77	0.17					5.4	17.55	0.99
5	079R	43920	1640	1500	1500	0	0	3.5	1.000	0.667	0.693	5.4	17.55	33.13
6	310R	43920	1640	1500	1500	3.13	0.17					5.4	17.55	0.53

Pérdida de carga acumulada del segmento

Δp_t [Pa] : 68.26

Velocidad en la sección inicial del segmento

V_m [m/s] : 5.4

Velocidad en la sección final del segmento

V_v [m/s] : 6.1

Recuperación de presión estática del segmento

Δp_r [Pa] : -4.85

Pérdida de carga acumulada del segmento, considerando la recuperación

Δp_{tn} [Pa] : 100.22

Pérdida de carga acumulada neta – total acumulado

$\Sigma \Delta p_{tn}$ [Pa] : 100.22

SEGMENTO 25:

Tipo: Tramo

1 ELEMENTO		2 Caudal Q	3 Diam. D/D _e	4 Ancho A	5 Alto B	6 Long. L	7 $\Delta p/L$	8 Fuente Tab	9 Ashrae X	10 Ashrae Y	11 Coeff. C _o	12 Veloc. V	13 P.Dinám P _v	14 Pérdida Δp_r o Δp_e
N. pz.	Cod.	[m³/h]	[mm]	[mm]	[mm]	[m]	[Pa/m]	n.	-	-	-	[m/s]	[Pa]	[Pa]
114	11RA	21960	1000	1000	1000	0	0	ASH6_26	0.500	1.430	1.450	7.8	36.63	32.54
62	310C	21960	1000	500	250	2.31	0.54					7.8	36.63	1.25

Pérdida de carga acumulada del segmento

Δp_t [Pa] : 33.8

Velocidad en la sección inicial del segmento

V_m [m/s] : 6.1

Velocidad en la sección final del segmento

V_v [m/s] : 5.4

Recuperación de presión estática del segmento

Δp_r [Pa] : 4.85

Pérdida de carga acumulada del segmento, considerando la recuperación

Δp_{tn} [Pa] : 40.53

Pérdida de carga acumulada neta – total acumulado

$\Sigma \Delta p_{tn}$ [Pa] : 140.75

SEGMENTO 47:

Tipo: Terminal TRM-3

1 ELEMENTO		2 Caudal Q	3 Diam. D/D _e	4 Ancho A	5 Alto B	6 Long. L	7 $\Delta p/L$	8 Fuente Tab	9 Ashrae X	10 Ashrae Y	11 Coeff. C _o	12 Veloc. V	13 P.Dinám P _v	14 Pérdida Δp_r o Δp_e
N. pz.	Cod.	[m³/h]	[mm]	[mm]	[mm]	[m]	[Pa/m]	n.	-	-	-	[m/s]	[Pa]	[Pa]
150	3723C	1830	350	350	350	0	0	ASH6_23	0.083	0.122	2.100	5.3	16.91	36.78
111	310C	1830	350	0	0	0.67	0.94					5.3	16.91	0.63
182	023C	1830	350	0	0	0.11	0	4.1	30.000	1.830	0.320	5.3	16.91	5.38
113	05LC	1830	474	474	474	0	0	MC4				2.9	5.06	40

Pérdida de carga acumulada del segmento

Δp_t [Pa] : 42.78

Velocidad en la sección inicial del segmento

V_m [m/s] : 5.4

Velocidad en la sección final del segmento	V_v	[m/s]	: 2.9
Recuperación de presión estática del segmento	Δp_r	[Pa]	: 12.49
Pérdida de carga acumulada del segmento, considerando la recuperación	Δp_{tn}	[Pa]	: 30.26
Pérdida de carga acumulada neta – total acumulado	$\Sigma \Delta p_{tn}$	[Pa]	: 211.01
Desequilibrio del terminal respecto al camino más desfavorable	Δp_{Tmr}	[Pa]	: 75.46

SEGMENTO 46:

Tipo: Tramo

1 ELEMENTO		2 Caudal Q	3 Diam. D/D _e	4 Ancho A	5 Alto B	6 Long. L	7 $\Delta p/L$	8 Fuente Tab	9 Ashrae X	10 Ashrae Y	11 Coeff. C _o	12 Veloc. V	13 P.Dinám P _v	14 Pérdida Δp_r o Δp_c
N. pz.	Cod.	[m³/h]	[mm]	[mm]	[mm]	[m]	[Pa/m]	n.	-	-	-	[m/s]	[Pa]	[Pa]
151	3723C	20130	1000	350	350	0	0	ASH6_23	0.917		0.008	7.1	30.35	0.15
65	310C	20130	1000	500	250	3.53	0.46					7.1	30.35	1.62

Pérdida de carga acumulada del segmento	Δp_t	[Pa]	: 1.77
Velocidad en la sección inicial del segmento	V_m	[m/s]	: 5.4
Velocidad en la sección final del segmento	V_v	[m/s]	: 4.9
Recuperación de presión estática del segmento	Δp_r	[Pa]	: 3.1
Pérdida de carga acumulada del segmento, considerando la recuperación	Δp_{tn}	[Pa]	: 10.26
Pérdida de carga acumulada neta – total acumulado	$\Sigma \Delta p_{tn}$	[Pa]	: 151.01

SEGMENTO 45:

Tipo: Terminal TRM-3

1 ELEMENTO		2 Caudal Q	3 Diam. D/D _e	4 Ancho A	5 Alto B	6 Long. L	7 $\Delta p/L$	8 Fuente Tab	9 Ashrae X	10 Ashrae Y	11 Coeff. C _o	12 Veloc. V	13 P.Dinám P _v	14 Pérdida Δp_r o Δp_c
N. pz.	Cod.	[m³/h]	[mm]	[mm]	[mm]	[m]	[Pa/m]	n.	-	-	-	[m/s]	[Pa]	[Pa]
152	3723C	1830	350	350	350	0	0	ASH6_23	0.091	0.122	2.100	5.3	16.91	30.9
108	310C	1830	350	0	0	0.67	0.94					5.3	16.91	0.63
181	023C	1830	350	0	0	0.11	0	4.1	30.000	1.830	0.320	5.3	16.91	5.38
110	05LC	1830	474	474	474	0	0	MC4				2.9	5.06	40

Pérdida de carga acumulada del segmento	Δp_t	[Pa]	: 36.91
Velocidad en la sección inicial del segmento	V_m	[m/s]	: 4.9
Velocidad en la sección final del segmento	V_v	[m/s]	: 2.9
Recuperación de presión estática del segmento	Δp_r	[Pa]	: 9.39
Pérdida de carga acumulada del segmento, considerando la recuperación	Δp_{tn}	[Pa]	: 27.19
Pérdida de carga acumulada neta – total acumulado	$\Sigma \Delta p_{tn}$	[Pa]	: 218.2
Desequilibrio del terminal respecto al camino más desfavorable	Δp_{Tmr}	[Pa]	: 68.28

SEGMENTO 44:

Tipo: Tramo

1 ELEMENTO		2 Caudal Q	3 Diam. D/D _e	4 Ancho A	5 Alto B	6 Long. L	7 $\Delta p/L$	8 Fuente Tab	9 Ashrae X	10 Ashrae Y	11 Coeff. C _o	12 Veloc. V	13 P.Dinám P _v	14 Pérdida Δp_r o Δp_c
N. pz.	Cod.	[m³/h]	[mm]	[mm]	[mm]	[m]	[Pa/m]	n.	-	-	-	[m/s]	[Pa]	[Pa]
153	3723C	18300	1000	350	350	0	0	ASH6_23	0.909		0.009	6.5	25.43	0.13
66	310C	18300	1000	500	250	3.53	0.39					6.5	25.43	1.36

Pérdida de carga acumulada del segmento	Δp_t	[Pa]	: 1.49
Velocidad en la sección inicial del segmento	V_m	[m/s]	: 4.9
Velocidad en la sección final del segmento	V_v	[m/s]	: 4.5
Recuperación de presión estática del segmento	Δp_r	[Pa]	: 2.26
Pérdida de carga acumulada del segmento, considerando la recuperación	Δp_{tn}	[Pa]	: 8.27
Pérdida de carga acumulada neta – total acumulado	$\Sigma \Delta p_{tn}$	[Pa]	: 159.28

SEGMENTO 43:

Tipo: Terminal TRM-3

1 ELEMENTO		2 Caudal Q	3 Diam. D/D _e	4 Ancho A	5 Alto B	6 Long. L	7 $\Delta p/L$	8 Fuente Tab	9 Ashrae X	10 Ashrae Y	11 Coeff. C _o	12 Veloc. V	13 P.Dinám P _v	14 Pérdida Δp_r o Δp_e
N. pz.	Cod.	[m³/h]	[mm]	[mm]	[mm]	[m]	[Pa/m]	n.	-	-	-	[m/s]	[Pa]	[Pa]
154	3723C	1830	350	350	350	0	0	ASH6_23	0.100	0.122	2.100	5.3	16.91	25.54
105	310C	1830	350	0	0	0.67	0.94					5.3	16.91	0.63
180	023C	1830	350	0	0	0.11	0	4.1	30.000	1.830	0.320	5.3	16.91	5.38
107	05LC	1830	474	474	474	0	0	MC4				2.9	5.06	40

Pérdida de carga acumulada del segmento	Δp_t	[Pa]	: 31.54
Velocidad en la sección inicial del segmento	V_m	[m/s]	: 4.5
Velocidad en la sección final del segmento	V_v	[m/s]	: 2.9
Recuperación de presión estática del segmento	Δp_r	[Pa]	: 7.13
Pérdida de carga acumulada del segmento, considerando la recuperación	Δp_{tn}	[Pa]	: 24.38
Pérdida de carga acumulada neta – total acumulado	$\Sigma \Delta p_{tn}$	[Pa]	: 223.65
Desequilibrio del terminal respecto al camino más desfavorable	Δp_{Tmr}	[Pa]	: 62.82

SEGMENTO 42:

Tipo: Tramo

1 ELEMENTO		2 Caudal Q	3 Diam. D/D _e	4 Ancho A	5 Alto B	6 Long. L	7 $\Delta p/L$	8 Fuente Tab	9 Ashrae X	10 Ashrae Y	11 Coeff. C _o	12 Veloc. V	13 P.Dinám P _v	14 Pérdida Δp_r o Δp_e
N. pz.	Cod.	[m³/h]	[mm]	[mm]	[mm]	[m]	[Pa/m]	n.	-	-	-	[m/s]	[Pa]	[Pa]
155	3723C	16470	1000	350	350	0	0	ASH6_23	0.900		0.010	5.8	20.25	0.12
67	310C	16470	1000	500	250	3.53	0.31					5.8	20.25	1.11

Pérdida de carga acumulada del segmento	Δp_t	[Pa]	: 1.23
Velocidad en la sección inicial del segmento	V_m	[m/s]	: 4.5
Velocidad en la sección final del segmento	V_v	[m/s]	: 5.8
Recuperación de presión estática del segmento	Δp_r	[Pa]	: -8.06
Pérdida de carga acumulada del segmento, considerando la recuperación	Δp_{tn}	[Pa]	: 10.52
Pérdida de carga acumulada neta – total acumulado	$\Sigma \Delta p_{tn}$	[Pa]	: 169.79

SEGMENTO 41:

Tipo: Terminal TRM-3

1 ELEMENTO		2 Caudal Q	3 Diam. D/D _e	4 Ancho A	5 Alto B	6 Long. L	7 $\Delta p/L$	8 Fuente Tab	9 Ashrae X	10 Ashrae Y	11 Coeff. C _o	12 Veloc. V	13 P.Dinám P _v	14 Pérdida Δp_r o Δp_e
N. pz.	Cod.	[m³/h]	[mm]	[mm]	[mm]	[m]	[Pa/m]	n.	-	-	-	[m/s]	[Pa]	[Pa]
156	3723C	1830	350	350	350	0	0	ASH6_23	0.111	0.122	1.920	5.3	16.91	39.17
102	310C	1830	350	0	0	0.67	0.94					5.3	16.91	0.63
179	023C	1830	350	0	0	0.11	0	4.1	30.000	1.830	0.320	5.3	16.91	5.38

104	05LC	1830	474	474	474	0	0	MC4				2.9	5.06	40
-----	------	------	-----	-----	-----	---	---	-----	--	--	--	-----	------	----

Pérdida de carga acumulada del segmento	Δp_t	[Pa]	: 45.18
Velocidad en la sección inicial del segmento	V_m	[m/s]	: 5.8
Velocidad en la sección final del segmento	V_v	[m/s]	: 2.9
Recuperación de presión estática del segmento	Δp_r	[Pa]	: 15.19
Pérdida de carga acumulada del segmento, considerando la recuperación	Δp_{tn}	[Pa]	: 29.75
Pérdida de carga acumulada neta – total acumulado	$\Sigma \Delta p_{tn}$	[Pa]	: 239.54
Desequilibrio del terminal respecto al camino más desfavorable	Δp_{Tmr}	[Pa]	: 46.94

SEGMENTO 40:

Tipo: Tramo

1 ELEMENTO		2 Caudal Q	3 Diam. D/D _e	4 Ancho A	5 Alto B	6 Long. L	7 $\Delta p/L$	8 Fuente Tab	9 Ashrae X	10 Ashrae Y	11 Coeff. C _o	12 Veloc. V	13 P.Dinám P _v	14 Pérdida Δp_r o Δp_e
N. pz.	Cod.	[m³/h]	[mm]	[mm]	[mm]	[m]	[Pa/m]	n.	-	-	-	[m/s]	[Pa]	[Pa]
157	3723C	14640	1000	350	350	0	0	ASH6_23	0.889		0.011	5.2	16.28	0.23
68	310C	14640	1000	500	250	3.53	0.25					5.2	16.28	0.89

Pérdida de carga acumulada del segmento	Δp_t	[Pa]	: 1.12
Velocidad en la sección inicial del segmento	V_m	[m/s]	: 5.8
Velocidad en la sección final del segmento	V_v	[m/s]	: 5.2
Recuperación de presión estática del segmento	Δp_r	[Pa]	: 3.97
Pérdida de carga acumulada del segmento, considerando la recuperación	Δp_{tn}	[Pa]	: -3.17
Pérdida de carga acumulada neta – total acumulado	$\Sigma \Delta p_{tn}$	[Pa]	: 166.62

SEGMENTO 39:

Tipo: Terminal TRM-3

1 ELEMENTO		2 Caudal Q	3 Diam. D/D _e	4 Ancho A	5 Alto B	6 Long. L	7 $\Delta p/L$	8 Fuente Tab	9 Ashrae X	10 Ashrae Y	11 Coeff. C _o	12 Veloc. V	13 P.Dinám P _v	14 Pérdida Δp_r o Δp_e
N. pz.	Cod.	[m³/h]	[mm]	[mm]	[mm]	[m]	[Pa/m]	n.	-	-	-	[m/s]	[Pa]	[Pa]
158	3723C	1830	350	350	350	0	0	ASH6_23	0.125	0.122	1.910	5.3	16.91	30.91
99	310C	1830	350	0	0	0.67	0.94					5.3	16.91	0.63
178	023C	1830	350	0	0	0.11	0	4.1	30.000	1.830	0.320	5.3	16.91	5.38
101	05LC	1830	474	474	474	0	0	MC4				2.9	5.06	40

Pérdida de carga acumulada del segmento	Δp_t	[Pa]	: 36.91
Velocidad en la sección inicial del segmento	V_m	[m/s]	: 5.2
Velocidad en la sección final del segmento	V_v	[m/s]	: 2.9
Recuperación de presión estática del segmento	Δp_r	[Pa]	: 11.22
Pérdida de carga acumulada del segmento, considerando la recuperación	Δp_{tn}	[Pa]	: 25.77
Pérdida de carga acumulada neta – total acumulado	$\Sigma \Delta p_{tn}$	[Pa]	: 232.39
Desequilibrio del terminal respecto al camino más desfavorable	Δp_{Tmr}	[Pa]	: 54.09

SEGMENTO 38:

Tipo: Tramo

1 ELEMENTO	2 Caudal Q	3 Diam. D/D _e	4 Ancho A	5 Alto B	6 Long. L	7 $\Delta p/L$	8 Fuente Tab	9 Ashrae X	10 Ashrae Y	11 Coeff. C _o	12 Veloc. V	13 P.Dinám P _v	14 Pérdida Δp_r o Δp_e
---------------	------------------	--------------------------------	-----------------	----------------	-----------------	-------------------	--------------------	------------------	-------------------	--------------------------------	-------------------	---------------------------------	--

N. pz.	Cod.	[m³/h]	[mm]	[mm]	[mm]	[m]	[Pa/m]	n.	-	-	-	[m/s]	[Pa]	[Pa]
159	3723C	12810	1000	350	350	0	0	ASH6_23	0.875		0.012	4.5	12.19	0.2
69	310C	12810	1000	500	250	3.53	0.2					4.5	12.19	0.69

Pérdida de carga acumulada del segmento	Δp_t	[Pa] : 0.89
Velocidad en la sección inicial del segmento	V_m	[m/s] : 5.2
Velocidad en la sección final del segmento	V_v	[m/s] : 5.6
Recuperación de presión estática del segmento	Δp_r	[Pa] : -2.6
Pérdida de carga acumulada del segmento, considerando la recuperación	Δp_{tm}	[Pa] : 4.53
Pérdida de carga acumulada neta – total acumulado	$\Sigma \Delta p_{tm}$	[Pa] : 171.15

SEGMENTO 37:

Tipo: Terminal TRM-3

1 ELEMENTO		2 Caudal Q	3 Diam. D/D _e	4 Ancho A	5 Alto B	6 Long. L	7 $\Delta p/L$	8 Fuente Tab	9 Ashrae X	10 Ashrae Y	11 Coeff. C _o	12 Veloc. V	13 P.Dinám P _v	14 Pérdida Δp_r o Δp_c
N. pz.	Cod.	[m³/h]	[mm]	[mm]	[mm]	[m]	[Pa/m]	n.	-	-	-	[m/s]	[Pa]	[Pa]
160	3723C	1830	350	350	350	0	0	ASH6_23	0.143	0.122	1.780	5.3	16.91	33.53
96	310C	1830	350	0	0	0.67	0.94					5.3	16.91	0.63
177	023C	1830	350	0	0	0.11	0	4.1	30.000	1.830	0.320	5.3	16.91	5.38
98	05LC	1830	474	474	474	0	0	MC4				2.9	5.06	40

Pérdida de carga acumulada del segmento	Δp_t	[Pa] : 39.53
Velocidad en la sección inicial del segmento	V_m	[m/s] : 5.6
Velocidad en la sección final del segmento	V_v	[m/s] : 2.9
Recuperación de presión estática del segmento	Δp_r	[Pa] : 13.82
Pérdida de carga acumulada del segmento, considerando la recuperación	Δp_{tm}	[Pa] : 25.69
Pérdida de carga acumulada neta – total acumulado	$\Sigma \Delta p_{tm}$	[Pa] : 236.84
Desequilibrio del terminal respecto al camino más desfavorable	Δp_{Tmr}	[Pa] : 49.64

SEGMENTO 36:

Tipo: Tramo

1 ELEMENTO		2 Caudal Q	3 Diam. D/D _e	4 Ancho A	5 Alto B	6 Long. L	7 $\Delta p/L$	8 Fuente Tab	9 Ashrae X	10 Ashrae Y	11 Coeff. C _o	12 Veloc. V	13 P.Dinám P _v	14 Pérdida Δp_r o Δp_c
N. pz.	Cod.	[m³/h]	[mm]	[mm]	[mm]	[m]	[Pa/m]	n.	-	-	-	[m/s]	[Pa]	[Pa]
161	3723C	10980	1000	350	350	0	0	ASH6_23	0.857		0.014	3.9	9.16	0.27
70	310C	10980	1000	500	250	3.53	0.15					3.9	9.16	0.52

Pérdida de carga acumulada del segmento	Δp_t	[Pa] : 0.79
Velocidad en la sección inicial del segmento	V_m	[m/s] : 5.6
Velocidad en la sección final del segmento	V_v	[m/s] : 4.8
Recuperación de presión estática del segmento	Δp_r	[Pa] : 5.01
Pérdida de carga acumulada del segmento, considerando la recuperación	Δp_{tm}	[Pa] : 0.91
Pérdida de carga acumulada neta – total acumulado	$\Sigma \Delta p_{tm}$	[Pa] : 172.06

SEGMENTO 35:

Tipo: Terminal TRM-3

1 ELEMENTO	2 Caudal	3 Diam.	4 Ancho	5 Alto	6 Long.	7 $\Delta p/L$	8 Fuente	9 Ashrae	10 Ashrae	11 Coeff.	12 Veloc.	13 P.Dinám	14 Pérdida
---------------	-------------	------------	------------	-----------	------------	-------------------	-------------	-------------	--------------	--------------	--------------	---------------	---------------

1 ELEMENTO		2 Caudal Q	3 Diam. D/D _e	4 Ancho A	5 Alto B	6 Long. L	7 Δp/L	8 Fuente Tab	9 Ashrae X	10 Ashrae Y	11 Coeff. C _o	12 Veloc. V	13 P.Dinám P _v	14 Pérdida Δp _r o Δp _c
N. pz.	Cod.	[m³/h]	[mm]	[mm]	[mm]	[m]	[Pa/m]	n.	-	-	-	[m/s]	[Pa]	[Pa]
162	3723C	1830	350	350	350	0	0	ASH6_23	0.167	0.122	1.830	5.3	16.91	25.32
93	310C	1830	350	0	0	0.67	0.94					5.3	16.91	0.63
176	023C	1830	350	0	0	0.11	0	4.1	30.000	1.830	0.320	5.3	16.91	5.38
95	05LC	1830	474	474	474	0	0	MC4				2.9	5.06	40

Pérdida de carga acumulada del segmento	Δp _t	[Pa]	: 31.33
Velocidad en la sección inicial del segmento	V _m	[m/s]	: 4.8
Velocidad en la sección final del segmento	V _v	[m/s]	: 2.9
Recuperación de presión estática del segmento	Δp _r	[Pa]	: 8.81
Pérdida de carga acumulada del segmento, considerando la recuperación	Δp _{tn}	[Pa]	: 22.49
Pérdida de carga acumulada neta – total acumulado	ΣΔp _{tn}	[Pa]	: 234.55
Desequilibrio del terminal respecto al camino más desfavorable	Δp _{Tmr}	[Pa]	: 51.93

SEGMENTO 34:

Tipo: Tramo

1 ELEMENTO		2 Caudal Q	3 Diam. D/D _e	4 Ancho A	5 Alto B	6 Long. L	7 Δp/L	8 Fuente Tab	9 Ashrae X	10 Ashrae Y	11 Coeff. C _o	12 Veloc. V	13 P.Dinám P _v	14 Pérdida Δp _r o Δp _c
N. pz.	Cod.	[m³/h]	[mm]	[mm]	[mm]	[m]	[Pa/m]	n.	-	-	-	[m/s]	[Pa]	[Pa]
163	3723C	9150	1000	350	350	0	0	ASH6_23	0.833		0.017	3.2	6.16	0.23
71	310C	9150	1000	500	250	3.53	0.1					3.2	6.16	0.37

Pérdida de carga acumulada del segmento	Δp _t	[Pa]	: 0.6
Velocidad en la sección inicial del segmento	V _m	[m/s]	: 4.8
Velocidad en la sección final del segmento	V _v	[m/s]	: 5.1
Recuperación de presión estática del segmento	Δp _r	[Pa]	: -1.79
Pérdida de carga acumulada del segmento, considerando la recuperación	Δp _{tn}	[Pa]	: 6
Pérdida de carga acumulada neta – total acumulado	ΣΔp _{tn}	[Pa]	: 178.06

SEGMENTO 33:

Tipo: Terminal TRM-3

1 ELEMENTO		2 Caudal Q	3 Diam. D/D _e	4 Ancho A	5 Alto B	6 Long. L	7 Δp/L	8 Fuente Tab	9 Ashrae X	10 Ashrae Y	11 Coeff. C _o	12 Veloc. V	13 P.Dinám P _v	14 Pérdida Δp _r o Δp _c
N. pz.	Cod.	[m³/h]	[mm]	[mm]	[mm]	[m]	[Pa/m]	n.	-	-	-	[m/s]	[Pa]	[Pa]
164	3723C	1830	350	350	350	0	0	ASH6_23	0.200	0.122	1.900	5.3	16.91	29.24
90	310C	1830	350	0	0	0.67	0.94					5.3	16.91	0.63
175	023C	1830	350	0	0	0.11	0	4.1	30.000	1.830	0.320	5.3	16.91	5.38
92	05LC	1830	474	474	474	0	0	MC4				2.9	5.06	40

Pérdida de carga acumulada del segmento	Δp _t	[Pa]	: 35.25
Velocidad en la sección inicial del segmento	V _m	[m/s]	: 5.1
Velocidad en la sección final del segmento	V _v	[m/s]	: 2.9
Recuperación de presión estática del segmento	Δp _r	[Pa]	: 10.6
Pérdida de carga acumulada del segmento, considerando la recuperación	Δp _{tn}	[Pa]	: 24.85
Pérdida de carga acumulada neta – total acumulado	ΣΔp _{tn}	[Pa]	: 242.91
Desequilibrio del terminal respecto al camino más desfavorable	Δp _{Tmr}	[Pa]	: 43.56

SEGMENTO 32:

Tipo: Tramo

1 ELEMENTO		2 Caudal Q	3 Diam. D/D _e	4 Ancho A	5 Alto B	6 Long. L	7 $\Delta p/L$	8 Fuente Tab	9 Ashrae X	10 Ashrae Y	11 Coeff. C _o	12 Veloc. V	13 P.Dinám P _v	14 Pérdida Δp_r o Δp_c
N. pz.	Cod.	[m³/h]	[mm]	[mm]	[mm]	[m]	[Pa/m]	n.	-	-	-	[m/s]	[Pa]	[Pa]
165	3723C	7320	1000	350	350	0	0	ASH6_23	0.800		0.020	2.6	4.07	0.31
72	310C	7320	1000	500	250	3.53	0.07					2.6	4.07	0.24

Pérdida de carga acumulada del segmento

 Δp_t [Pa] : 0.55

Velocidad en la sección inicial del segmento

 V_m [m/s] : 5.1

Velocidad en la sección final del segmento

 V_v [m/s] : 5.3

Recuperación de presión estática del segmento

 Δp_r [Pa] : -1.25

Pérdida de carga acumulada del segmento, considerando la recuperación

 Δp_{tn} [Pa] : 5.95

Pérdida de carga acumulada neta – total acumulado

 $\Sigma \Delta p_{tn}$ [Pa] : 184.02**SEGMENTO 31:****Tipo:** Terminal TRM-3

1 ELEMENTO		2 Caudal Q	3 Diam. D/D _e	4 Ancho A	5 Alto B	6 Long. L	7 $\Delta p/L$	8 Fuente Tab	9 Ashrae X	10 Ashrae Y	11 Coeff. C _o	12 Veloc. V	13 P.Dinám P _v	14 Pérdida Δp_r o Δp_c
N. pz.	Cod.	[m³/h]	[mm]	[mm]	[mm]	[m]	[Pa/m]	n.	-	-	-	[m/s]	[Pa]	[Pa]
166	3723C	1830	350	350	350	0	0	ASH6_23	0.250	0.122	2.000	5.3	16.91	33.61
87	310C	1830	350	0	0	0.67	0.94					5.3	16.91	0.63
174	023C	1830	350	0	0	0.11	0	4.1	30.000	1.830	0.320	5.3	16.91	5.38
89	05LC	1830	474	474	474	0	0	MC4				2.9	5.06	40

Pérdida de carga acumulada del segmento

 Δp_t [Pa] : 39.61

Velocidad en la sección inicial del segmento

 V_m [m/s] : 5.3

Velocidad en la sección final del segmento

 V_v [m/s] : 2.9

Recuperación de presión estática del segmento

 Δp_r [Pa] : 11.85

Pérdida de carga acumulada del segmento, considerando la recuperación

 Δp_{tn} [Pa] : 27.81

Pérdida de carga acumulada neta – total acumulado

 $\Sigma \Delta p_{tn}$ [Pa] : 251.82

Desequilibrio del terminal respecto al camino más desfavorable

 Δp_{Tmr} [Pa] : 34.66**SEGMENTO 30:****Tipo:** Tramo

1 ELEMENTO		2 Caudal Q	3 Diam. D/D _e	4 Ancho A	5 Alto B	6 Long. L	7 $\Delta p/L$	8 Fuente Tab	9 Ashrae X	10 Ashrae Y	11 Coeff. C _o	12 Veloc. V	13 P.Dinám P _v	14 Pérdida Δp_r o Δp_c
N. pz.	Cod.	[m³/h]	[mm]	[mm]	[mm]	[m]	[Pa/m]	n.	-	-	-	[m/s]	[Pa]	[Pa]
167	3723C	5490	1000	350	350	0	0	ASH6_23	0.750		0.030	1.9	2.17	0.5
73	310C	5490	1000	500	250	3.53	0.04					1.9	2.17	0.14

Pérdida de carga acumulada del segmento

 Δp_t [Pa] : 0.65

Velocidad en la sección inicial del segmento

 V_m [m/s] : 5.3

Velocidad en la sección final del segmento

 V_v [m/s] : 5.4

Recuperación de presión estática del segmento

 Δp_r [Pa] : -0.64

Pérdida de carga acumulada del segmento, considerando la recuperación

 Δp_{tn} [Pa] : 5.22

Pérdida de carga acumulada neta – total acumulado

 $\Sigma \Delta p_{tn}$ [Pa] : 189.23

SEGMENTO 27:**Tipo:** Tramo

1 ELEMENTO		2 Caudal Q	3 Diam. D/D _e	4 Ancho A	5 Alto B	6 Long. L	7 $\Delta p/L$	8 Fuente Tab	9 Ashrae X	10 Ashrae Y	11 Coeff. C _o	12 Veloc. V	13 P.Dinám P _v	14 Pérdida Δp_r o Δp_e
N. pz.	Cod.	[m³/h]	[mm]	[mm]	[mm]	[m]	[Pa/m]	n.	-	-	-	[m/s]	[Pa]	[Pa]
168	3723C	3660	1000	350	350	0	0	ASH6_23	0.667		0.047	1.3	1.02	0.82
77	310C	3660	1000	500	250	3.53	0.02					1.3	1.02	0.07

Pérdida de carga acumulada del segmento

 Δp_t [Pa] : 0.89

Velocidad en la sección inicial del segmento

 V_m [m/s] : 5.4

Velocidad en la sección final del segmento

 V_v [m/s] : 5.2

Recuperación de presión estática del segmento

 Δp_r [Pa] : 1.28

Pérdida de carga acumulada del segmento, considerando la recuperación

 Δp_{tn} [Pa] : 3.07

Pérdida de carga acumulada neta – total acumulado

 $\Sigma \Delta p_{tn}$ [Pa] : 192.3**SEGMENTO 29:****Tipo:** Terminal TRM-3

1 ELEMENTO		2 Caudal Q	3 Diam. D/D _e	4 Ancho A	5 Alto B	6 Long. L	7 $\Delta p/L$	8 Fuente Tab	9 Ashrae X	10 Ashrae Y	11 Coeff. C _o	12 Veloc. V	13 P.Dinám P _v	14 Pérdida Δp_r o Δp_e
N. pz.	Cod.	[m³/h]	[mm]	[mm]	[mm]	[m]	[Pa/m]	n.	-	-	-	[m/s]	[Pa]	[Pa]
170	3723C	1830	350	350	350	0	0	ASH6_23	0.500	0.122	1.430	5.3	16.91	23.08
84	310C	1830	350	0	0	0.67	0.94					5.3	16.91	0.63
173	023C	1830	350	0	0	0.11	0	4.1	30.000	1.830	0.320	5.3	16.91	5.38
86	05LC	1830	474	474	474	0	0	MC4				2.9	5.06	40

Pérdida de carga acumulada del segmento

 Δp_t [Pa] : 29.08

Velocidad en la sección inicial del segmento

 V_m [m/s] : 5.2

Velocidad en la sección final del segmento

 V_v [m/s] : 2.9

Recuperación de presión estática del segmento

 Δp_r [Pa] : 11.22

Pérdida de carga acumulada del segmento, considerando la recuperación

 Δp_{tn} [Pa] : 17.94

Pérdida de carga acumulada neta – total acumulado

 $\Sigma \Delta p_{tn}$ [Pa] : 250.24

Desequilibrio del terminal respecto al camino más desfavorable

 Δp_{Tmr} [Pa] : 36.23**SEGMENTO 28:****Tipo:** Terminal TRM-3

1 ELEMENTO		2 Caudal Q	3 Diam. D/D _e	4 Ancho A	5 Alto B	6 Long. L	7 $\Delta p/L$	8 Fuente Tab	9 Ashrae X	10 Ashrae Y	11 Coeff. C _o	12 Veloc. V	13 P.Dinám P _v	14 Pérdida Δp_r o Δp_e
N. pz.	Cod.	[m³/h]	[mm]	[mm]	[mm]	[m]	[Pa/m]	n.	-	-	-	[m/s]	[Pa]	[Pa]
171	3723C	1830	1000	350	350	0	0	ASH6_23	0.500		0.090	0.6	0.22	1.45
80	310C	1830	1000	500	250	3.53	0.01					0.6	0.22	0.02
79	11CAT	1830	1000	500	250	0	0	2.6F	1.000	0.250	3.000	0.6	0.22	47.05
81	310C	1830	350	0	0	0.67	0.94					5.3	16.91	0.63
172	023C	1830	350	0	0	0.11	0	4.1	30.000	1.830	0.320	5.3	16.91	5.38
83	05LC	1830	474	474	474	0	0	MC4				2.9	5.06	40

Pérdida de carga acumulada del segmento

 Δp_t [Pa] : 54.53

Velocidad en la sección inicial del segmento

 V_m [m/s] : 5.2

Velocidad en la sección final del segmento

 V_v [m/s] : 2.9

Recuperación de presión estática del segmento

 Δp_r [Pa] : 11.22

Pérdida de carga acumulada del segmento, considerando la recuperación
 Pérdida de carga acumulada neta – total acumulado
 Desequilibrio del terminal respecto al camino más desfavorable

Δp_{tm} [Pa] : 46.01
 $\Sigma \Delta p_{tm}$ [Pa] : 278.31
 Δp_{Tmr} [Pa] : 8.17

SEGMENTO 26:

Tipo: Terminal TRM-3

1 ELEMENTO		2 Caudal Q	3 Diam. D/D _e	4 Ancho A	5 Alto B	6 Long. L	7 $\Delta p/L$	8 Fuente Tab	9 Ashrae X	10 Ashrae Y	11 Coeff. C _o	12 Veloc. V	13 P.Dinám P _v	14 Pérdida Δp_r o Δp_c
N. pz.	Cod.	[m³/h]	[mm]	[mm]	[mm]	[m]	[Pa/m]	n.	-	-	-	[m/s]	[Pa]	[Pa]
75	3723C	1830	350	350	350	0	0	ASH6_23	0.333	0.122	1.720	5.3	16.91	30.21
74	310C	1830	350	0	0	0.67	0.94					5.3	16.91	0.63
169	023C	1830	350	0	0	0.11	0	4.1	30.000	1.830	0.320	5.3	16.91	5.38
76	05LC	1830	474	474	474	0	0	MC4				2.9	5.06	40

Pérdida de carga acumulada del segmento
 Velocidad en la sección inicial del segmento
 Velocidad en la sección final del segmento
 Recuperación de presión estática del segmento
 Pérdida de carga acumulada del segmento, considerando la recuperación
 Pérdida de carga acumulada neta – total acumulado
 Desequilibrio del terminal respecto al camino más desfavorable

Δp_t [Pa] : 36.21
 V_m [m/s] : 5.4
 V_v [m/s] : 2.9
 Δp_r [Pa] : 12.49
 Δp_{tm} [Pa] : 23.7
 $\Sigma \Delta p_{tm}$ [Pa] : 252.93
 Δp_{Tmr} [Pa] : 33.55

SEGMENTO 24:

Tipo: Tramo

1 ELEMENTO		2 Caudal Q	3 Diam. D/D _e	4 Ancho A	5 Alto B	6 Long. L	7 $\Delta p/L$	8 Fuente Tab	9 Ashrae X	10 Ashrae Y	11 Coeff. C _o	12 Veloc. V	13 P.Dinám P _v	14 Pérdida Δp_r o Δp_c
N. pz.	Cod.	[m³/h]	[mm]	[mm]	[mm]	[m]	[Pa/m]	n.	-	-	-	[m/s]	[Pa]	[Pa]
115	11RA	21960	1640	1500	1500	0	0	ASH6_26M	0.500		0.090	2.7	4.39	2.02
116	42CI	21960	1000	500	250	0.53	0	4.7	30.000	2.870	0.395	7.8	36.63	13.08
9	310C	21960	1000	500	250	7.98	0.54					7.8	36.63	4.33
8	079C	21960	1000	500	250	0	0	3.1	0.740		0.345	7.8	36.63	6.89
10	310C	21960	1000	500	250	4.08	0.54					7.8	36.63	2.21

Pérdida de carga acumulada del segmento
 Velocidad en la sección inicial del segmento
 Velocidad en la sección final del segmento
 Recuperación de presión estática del segmento
 Pérdida de carga acumulada del segmento, considerando la recuperación
 Pérdida de carga acumulada neta – total acumulado

Δp_t [Pa] : 28.53
 V_m [m/s] : 6.1
 V_v [m/s] : 5.4
 Δp_r [Pa] : 4.85
 Δp_{tm} [Pa] : 48.7
 $\Sigma \Delta p_{tm}$ [Pa] : 148.92

SEGMENTO 23:

Tipo: Terminal TRM-3

1 ELEMENTO		2 Caudal Q	3 Diam. D/D _e	4 Ancho A	5 Alto B	6 Long. L	7 $\Delta p/L$	8 Fuente Tab	9 Ashrae X	10 Ashrae Y	11 Coeff. C _o	12 Veloc. V	13 P.Dinám P _v	14 Pérdida Δp_r o Δp_c
N. pz.	Cod.	[m³/h]	[mm]	[mm]	[mm]	[m]	[Pa/m]	n.	-	-	-	[m/s]	[Pa]	[Pa]
117	3723C	1830	350	350	350	0	0	ASH6_23	0.083	0.122	2.100	5.3	16.91	36.78
59	310C	1830	350	0	0	0.67	0.94					5.3	16.91	0.63
149	023C	1830	350	0	0	0.11	0	4.1	30.000	1.830	0.320	5.3	16.91	5.38
61	05LC	1830	474	474	474	0	0	MC4				2.9	5.06	40

Pérdida de carga acumulada del segmento	Δp_t	[Pa]	: 42.78
Velocidad en la sección inicial del segmento	V_m	[m/s]	: 5.4
Velocidad en la sección final del segmento	V_v	[m/s]	: 2.9
Recuperación de presión estática del segmento	Δp_r	[Pa]	: 12.49
Pérdida de carga acumulada del segmento, considerando la recuperación	Δp_{tn}	[Pa]	: 30.26
Pérdida de carga acumulada neta – total acumulado	$\Sigma \Delta p_{tn}$	[Pa]	: 219.18
Desequilibrio del terminal respecto al camino más desfavorable	Δp_{Tmr}	[Pa]	: 67.3

SEGMENTO 22:

Tipo: Tramo

1 ELEMENTO		2 Caudal Q	3 Diam. D/D _e	4 Ancho A	5 Alto B	6 Long. L	7 $\Delta p/L$	8 Fuente Tab	9 Ashrae X	10 Ashrae Y	11 Coeff. C _o	12 Veloc. V	13 P.Dinám P _v	14 Pérdida Δp_r o Δp_e
N. pz.	Cod.	[m³/h]	[mm]	[mm]	[mm]	[m]	[Pa/m]	n.	-	-	-	[m/s]	[Pa]	[Pa]
118	3723C	20130	1000	350	350	0	0	ASH6_23	0.917		0.008	7.1	30.35	0.15
13	310C	20130	1000	500	250	3.53	0.46					7.1	30.35	1.62

Pérdida de carga acumulada del segmento	Δp_t	[Pa]	: 1.77
Velocidad en la sección inicial del segmento	V_m	[m/s]	: 5.4
Velocidad en la sección final del segmento	V_v	[m/s]	: 4.9
Recuperación de presión estática del segmento	Δp_r	[Pa]	: 3.1
Pérdida de carga acumulada del segmento, considerando la recuperación	Δp_{tn}	[Pa]	: 10.26
Pérdida de carga acumulada neta – total acumulado	$\Sigma \Delta p_{tn}$	[Pa]	: 159.18

SEGMENTO 21:

Tipo: Terminal TRM-3

1 ELEMENTO		2 Caudal Q	3 Diam. D/D _e	4 Ancho A	5 Alto B	6 Long. L	7 $\Delta p/L$	8 Fuente Tab	9 Ashrae X	10 Ashrae Y	11 Coeff. C _o	12 Veloc. V	13 P.Dinám P _v	14 Pérdida Δp_r o Δp_e
N. pz.	Cod.	[m³/h]	[mm]	[mm]	[mm]	[m]	[Pa/m]	n.	-	-	-	[m/s]	[Pa]	[Pa]
119	3723C	1830	350	350	350	0	0	ASH6_23	0.091	0.122	2.100	5.3	16.91	30.9
56	310C	1830	350	0	0	0.67	0.94					5.3	16.91	0.63
148	023C	1830	350	0	0	0.11	0	4.1	30.000	1.830	0.320	5.3	16.91	5.38
58	05LC	1830	474	474	474	0	0	MC4				2.9	5.06	40

Pérdida de carga acumulada del segmento	Δp_t	[Pa]	: 36.91
Velocidad en la sección inicial del segmento	V_m	[m/s]	: 4.9
Velocidad en la sección final del segmento	V_v	[m/s]	: 2.9
Recuperación de presión estática del segmento	Δp_r	[Pa]	: 9.39
Pérdida de carga acumulada del segmento, considerando la recuperación	Δp_{tn}	[Pa]	: 27.19
Pérdida de carga acumulada neta – total acumulado	$\Sigma \Delta p_{tn}$	[Pa]	: 226.36
Desequilibrio del terminal respecto al camino más desfavorable	Δp_{Tmr}	[Pa]	: 60.11

SEGMENTO 20:

Tipo: Tramo

1 ELEMENTO		2 Caudal Q	3 Diam. D/D _e	4 Ancho A	5 Alto B	6 Long. L	7 $\Delta p/L$	8 Fuente Tab	9 Ashrae X	10 Ashrae Y	11 Coeff. C _o	12 Veloc. V	13 P.Dinám P _v	14 Pérdida Δp_r o Δp_e
N. pz.	Cod.	[m³/h]	[mm]	[mm]	[mm]	[m]	[Pa/m]	n.	-	-	-	[m/s]	[Pa]	[Pa]

120	3723C	18300	1000	350	350	0	0	ASH6_23	0.909		0.009	6.5	25.43	0.13
14	310C	18300	1000	500	250	3.53	0.39					6.5	25.43	1.36

Pérdida de carga acumulada del segmento	Δp_t	[Pa]	: 1.49
Velocidad en la sección inicial del segmento	V_m	[m/s]	: 4.9
Velocidad en la sección final del segmento	V_v	[m/s]	: 4.5
Recuperación de presión estática del segmento	Δp_r	[Pa]	: 2.26
Pérdida de carga acumulada del segmento, considerando la recuperación	Δp_{tm}	[Pa]	: 8.27
Pérdida de carga acumulada neta – total acumulado	$\Sigma \Delta p_{tm}$	[Pa]	: 167.44

SEGMENTO 19:

Tipo: Terminal TRM-3

1 ELEMENTO		2 Caudal Q	3 Diam. D/D _e	4 Ancho A	5 Alto B	6 Long. L	7 $\Delta p/L$	8 Fuente Tab	9 Ashrae X	10 Ashrae Y	11 Coeff. C _o	12 Veloc. V	13 P.Dinám P _v	14 Pérdida Δp_r o Δp_e
N. pz.	Cod.	[m³/h]	[mm]	[mm]	[mm]	[m]	[Pa/m]	n.	-	-	-	[m/s]	[Pa]	[Pa]
121	3723C	1830	350	350	350	0	0	ASH6_23	0.100	0.122	2.100	5.3	16.91	25.54
53	310C	1830	350	0	0	0.67	0.94					5.3	16.91	0.63
147	023C	1830	350	0	0	0.11	0	4.1	30.000	1.830	0.320	5.3	16.91	5.38
55	05LC	1830	474	474	474	0	0	MC4				2.9	5.06	40

Pérdida de carga acumulada del segmento	Δp_t	[Pa]	: 31.54
Velocidad en la sección inicial del segmento	V_m	[m/s]	: 4.5
Velocidad en la sección final del segmento	V_v	[m/s]	: 2.9
Recuperación de presión estática del segmento	Δp_r	[Pa]	: 7.13
Pérdida de carga acumulada del segmento, considerando la recuperación	Δp_{tm}	[Pa]	: 24.38
Pérdida de carga acumulada neta – total acumulado	$\Sigma \Delta p_{tm}$	[Pa]	: 231.82
Desequilibrio del terminal respecto al camino más desfavorable	Δp_{Tmr}	[Pa]	: 54.66

SEGMENTO 18:

Tipo: Tramo

1 ELEMENTO		2 Caudal Q	3 Diam. D/D _e	4 Ancho A	5 Alto B	6 Long. L	7 $\Delta p/L$	8 Fuente Tab	9 Ashrae X	10 Ashrae Y	11 Coeff. C _o	12 Veloc. V	13 P.Dinám P _v	14 Pérdida Δp_r o Δp_e
N. pz.	Cod.	[m³/h]	[mm]	[mm]	[mm]	[m]	[Pa/m]	n.	-	-	-	[m/s]	[Pa]	[Pa]
122	3723C	16470	1000	350	350	0	0	ASH6_23	0.900		0.010	5.8	20.25	0.12
15	310C	16470	1000	500	250	3.53	0.31					5.8	20.25	1.11

Pérdida de carga acumulada del segmento	Δp_t	[Pa]	: 1.23
Velocidad en la sección inicial del segmento	V_m	[m/s]	: 4.5
Velocidad en la sección final del segmento	V_v	[m/s]	: 5.8
Recuperación de presión estática del segmento	Δp_r	[Pa]	: -8.06
Pérdida de carga acumulada del segmento, considerando la recuperación	Δp_{tm}	[Pa]	: 10.52
Pérdida de carga acumulada neta – total acumulado	$\Sigma \Delta p_{tm}$	[Pa]	: 177.96

SEGMENTO 17:

Tipo: Terminal TRM-3

1 ELEMENTO	2 Caudal Q	3 Diam. D/D _e	4 Ancho A	5 Alto B	6 Long. L	7 $\Delta p/L$	8 Fuente Tab	9 Ashrae X	10 Ashrae Y	11 Coeff. C _o	12 Veloc. V	13 P.Dinám P _v	14 Pérdida Δp_r o Δp_e
---------------	------------------	--------------------------------	-----------------	----------------	-----------------	-------------------	--------------------	------------------	-------------------	--------------------------------	-------------------	---------------------------------	--

N. pz.	Cod.	[m³/h]	[mm]	[mm]	[mm]	[m]	[Pa/m]	n.	-	-	-	[m/s]	[Pa]	[Pa]
123	3723C	1830	350	350	350	0	0	ASH6_23	0.111	0.122	1.920	5.3	16.91	39.17
50	310C	1830	350	0	0	0.67	0.94					5.3	16.91	0.63
146	023C	1830	350	0	0	0.11	0	4.1	30.000	1.830	0.320	5.3	16.91	5.38
52	05LC	1830	474	474	474	0	0	MC4				2.9	5.06	40

Pérdida de carga acumulada del segmento	Δp_t	[Pa]	: 45.18
Velocidad en la sección inicial del segmento	V_m	[m/s]	: 5.8
Velocidad en la sección final del segmento	V_v	[m/s]	: 2.9
Recuperación de presión estática del segmento	Δp_r	[Pa]	: 15.19
Pérdida de carga acumulada del segmento, considerando la recuperación	Δp_{tm}	[Pa]	: 29.75
Pérdida de carga acumulada neta – total acumulado	$\Sigma \Delta p_{tm}$	[Pa]	: 247.71
Desequilibrio del terminal respecto al camino más desfavorable	Δp_{Tmr}	[Pa]	: 38.77

SEGMENTO 16:

Tipo: Tramo

1 ELEMENTO		2 Caudal Q	3 Diam. D/D _e	4 Ancho A	5 Alto B	6 Long. L	7 $\Delta p/L$	8 Fuente Tab	9 Ashrae X	10 Ashrae Y	11 Coeff. C _o	12 Veloc. V	13 P.Dinám P _v	14 Pérdida Δp_r o Δp_c
N. pz.	Cod.	[m³/h]	[mm]	[mm]	[mm]	[m]	[Pa/m]	n.	-	-	-	[m/s]	[Pa]	[Pa]
124	3723C	14640	1000	350	350	0	0	ASH6_23	0.889		0.011	5.2	16.28	0.23
16	310C	14640	1000	500	250	3.53	0.25					5.2	16.28	0.89

Pérdida de carga acumulada del segmento	Δp_t	[Pa]	: 1.12
Velocidad en la sección inicial del segmento	V_m	[m/s]	: 5.8
Velocidad en la sección final del segmento	V_v	[m/s]	: 5.2
Recuperación de presión estática del segmento	Δp_r	[Pa]	: 3.97
Pérdida de carga acumulada del segmento, considerando la recuperación	Δp_{tm}	[Pa]	: -3.17
Pérdida de carga acumulada neta – total acumulado	$\Sigma \Delta p_{tm}$	[Pa]	: 174.79

SEGMENTO 15:

Tipo: Terminal TRM-3

1 ELEMENTO		2 Caudal Q	3 Diam. D/D _e	4 Ancho A	5 Alto B	6 Long. L	7 $\Delta p/L$	8 Fuente Tab	9 Ashrae X	10 Ashrae Y	11 Coeff. C _o	12 Veloc. V	13 P.Dinám P _v	14 Pérdida Δp_r o Δp_c
N. pz.	Cod.	[m³/h]	[mm]	[mm]	[mm]	[m]	[Pa/m]	n.	-	-	-	[m/s]	[Pa]	[Pa]
125	3723C	1830	350	350	350	0	0	ASH6_23	0.125	0.122	1.910	5.3	16.91	30.91
47	310C	1830	350	0	0	0.67	0.94					5.3	16.91	0.63
145	023C	1830	350	0	0	0.11	0	4.1	30.000	1.830	0.320	5.3	16.91	5.38
49	05LC	1830	474	474	474	0	0	MC4				2.9	5.06	40

Pérdida de carga acumulada del segmento	Δp_t	[Pa]	: 36.91
Velocidad en la sección inicial del segmento	V_m	[m/s]	: 5.2
Velocidad en la sección final del segmento	V_v	[m/s]	: 2.9
Recuperación de presión estática del segmento	Δp_r	[Pa]	: 11.22
Pérdida de carga acumulada del segmento, considerando la recuperación	Δp_{tm}	[Pa]	: 25.77
Pérdida de carga acumulada neta – total acumulado	$\Sigma \Delta p_{tm}$	[Pa]	: 240.56
Desequilibrio del terminal respecto al camino más desfavorable	Δp_{Tmr}	[Pa]	: 45.92

SEGMENTO 14:

Tipo: Tramo

1 ELEMENTO		2 Caudal Q	3 Diam. D/D _e	4 Ancho A	5 Alto B	6 Long. L	7 $\Delta p_f/L$	8 Fuente Tab	9 Ashrae X	10 Ashrae Y	11 Coeff. C _o	12 Veloc. V	13 P.Dinám P _v	14 Pérdida Δp_r o Δp_e
N. pz.	Cod.	[m³/h]	[mm]	[mm]	[mm]	[m]	[Pa/m]	n.	-	-	-	[m/s]	[Pa]	[Pa]
126	3723C	12810	1000	350	350	0	0	ASH6_23	0.875		0.012	4.5	12.19	0.2
17	310C	12810	1000	500	250	3.53	0.2					4.5	12.19	0.69

Pérdida de carga acumulada del segmento	Δp_t	[Pa] : 0.89
Velocidad en la sección inicial del segmento	V_m	[m/s] : 5.2
Velocidad en la sección final del segmento	V_v	[m/s] : 5.6
Recuperación de presión estática del segmento	Δp_r	[Pa] : -2.6
Pérdida de carga acumulada del segmento, considerando la recuperación	Δp_{tm}	[Pa] : 4.53
Pérdida de carga acumulada neta – total acumulado	$\Sigma \Delta p_{tm}$	[Pa] : 179.32

SEGMENTO 13:

Tipo: Terminal TRM-3

1 ELEMENTO		2 Caudal Q	3 Diam. D/D _e	4 Ancho A	5 Alto B	6 Long. L	7 $\Delta p_f/L$	8 Fuente Tab	9 Ashrae X	10 Ashrae Y	11 Coeff. C _o	12 Veloc. V	13 P.Dinám P _v	14 Pérdida Δp_r o Δp_e
N. pz.	Cod.	[m³/h]	[mm]	[mm]	[mm]	[m]	[Pa/m]	n.	-	-	-	[m/s]	[Pa]	[Pa]
127	3723C	1830	350	350	350	0	0	ASH6_23	0.143	0.122	1.780	5.3	16.91	33.53
44	310C	1830	350	0	0	0.67	0.94					5.3	16.91	0.63
144	023C	1830	350	0	0	0.11	0	4.1	30.000	1.830	0.320	5.3	16.91	5.38
46	05LC	1830	474	474	474	0	0	MC4				2.9	5.06	40

Pérdida de carga acumulada del segmento	Δp_t	[Pa] : 39.53
Velocidad en la sección inicial del segmento	V_m	[m/s] : 5.6
Velocidad en la sección final del segmento	V_v	[m/s] : 2.9
Recuperación de presión estática del segmento	Δp_r	[Pa] : 13.82
Pérdida de carga acumulada del segmento, considerando la recuperación	Δp_{tm}	[Pa] : 25.69
Pérdida de carga acumulada neta – total acumulado	$\Sigma \Delta p_{tm}$	[Pa] : 245.01
Desequilibrio del terminal respecto al camino más desfavorable	Δp_{Tmr}	[Pa] : 41.47

SEGMENTO 12:

Tipo: Tramo

1 ELEMENTO		2 Caudal Q	3 Diam. D/D _e	4 Ancho A	5 Alto B	6 Long. L	7 $\Delta p_f/L$	8 Fuente Tab	9 Ashrae X	10 Ashrae Y	11 Coeff. C _o	12 Veloc. V	13 P.Dinám P _v	14 Pérdida Δp_r o Δp_e
N. pz.	Cod.	[m³/h]	[mm]	[mm]	[mm]	[m]	[Pa/m]	n.	-	-	-	[m/s]	[Pa]	[Pa]
128	3723C	10980	1000	350	350	0	0	ASH6_23	0.857		0.014	3.9	9.16	0.27
18	310C	10980	1000	500	250	3.53	0.15					3.9	9.16	0.52

Pérdida de carga acumulada del segmento	Δp_t	[Pa] : 0.79
Velocidad en la sección inicial del segmento	V_m	[m/s] : 5.6
Velocidad en la sección final del segmento	V_v	[m/s] : 4.8
Recuperación de presión estática del segmento	Δp_r	[Pa] : 5.01
Pérdida de carga acumulada del segmento, considerando la recuperación	Δp_{tm}	[Pa] : 0.91
Pérdida de carga acumulada neta – total acumulado	$\Sigma \Delta p_{tm}$	[Pa] : 180.23

SEGMENTO 11:

Tipo: Terminal TRM-3

1 ELEMENTO		2 Caudal Q	3 Diam. D/D _e	4 Ancho A	5 Alto B	6 Long. L	7 $\Delta p/L$	8 Fuente Tab	9 Ashrae X	10 Ashrae Y	11 Coeff. C _o	12 Veloc. V	13 P.Dinám P _v	14 Pérdida Δp_r o Δp_c
N. pz.	Cod.	[m³/h]	[mm]	[mm]	[mm]	[m]	[Pa/m]	n.	-	-	-	[m/s]	[Pa]	[Pa]
129	3723C	1830	350	350	350	0	0	ASH6_23	0.167	0.122	1.830	5.3	16.91	25.32
41	310C	1830	350	0	0	0.67	0.94					5.3	16.91	0.63
143	023C	1830	350	0	0	0.11	0	4.1	30.000	1.830	0.320	5.3	16.91	5.38
43	05LC	1830	474	474	474	0	0	MC4				2.9	5.06	40

Pérdida de carga acumulada del segmento	Δp_t	[Pa]	: 31.33
Velocidad en la sección inicial del segmento	V_m	[m/s]	: 4.8
Velocidad en la sección final del segmento	V_v	[m/s]	: 2.9
Recuperación de presión estática del segmento	Δp_r	[Pa]	: 8.81
Pérdida de carga acumulada del segmento, considerando la recuperación	Δp_{tm}	[Pa]	: 22.49
Pérdida de carga acumulada neta – total acumulado	$\Sigma \Delta p_{tm}$	[Pa]	: 242.71
Desequilibrio del terminal respecto al camino más desfavorable	Δp_{Tmr}	[Pa]	: 43.76

SEGMENTO 10:

Tipo: Tramo

1 ELEMENTO		2 Caudal Q	3 Diam. D/D _e	4 Ancho A	5 Alto B	6 Long. L	7 $\Delta p/L$	8 Fuente Tab	9 Ashrae X	10 Ashrae Y	11 Coeff. C _o	12 Veloc. V	13 P.Dinám P _v	14 Pérdida Δp_r o Δp_c
N. pz.	Cod.	[m³/h]	[mm]	[mm]	[mm]	[m]	[Pa/m]	n.	-	-	-	[m/s]	[Pa]	[Pa]
130	3723C	9150	1000	350	350	0	0	ASH6_23	0.833		0.017	3.2	6.16	0.23
19	310C	9150	1000	500	250	3.53	0.1					3.2	6.16	0.37

Pérdida de carga acumulada del segmento	Δp_t	[Pa]	: 0.6
Velocidad en la sección inicial del segmento	V_m	[m/s]	: 4.8
Velocidad en la sección final del segmento	V_v	[m/s]	: 5.1
Recuperación de presión estática del segmento	Δp_r	[Pa]	: -1.79
Pérdida de carga acumulada del segmento, considerando la recuperación	Δp_{tm}	[Pa]	: 6
Pérdida de carga acumulada neta – total acumulado	$\Sigma \Delta p_{tm}$	[Pa]	: 186.23

SEGMENTO 9:

Tipo: Terminal TRM-3

1 ELEMENTO		2 Caudal Q	3 Diam. D/D _e	4 Ancho A	5 Alto B	6 Long. L	7 $\Delta p/L$	8 Fuente Tab	9 Ashrae X	10 Ashrae Y	11 Coeff. C _o	12 Veloc. V	13 P.Dinám P _v	14 Pérdida Δp_r o Δp_c
N. pz.	Cod.	[m³/h]	[mm]	[mm]	[mm]	[m]	[Pa/m]	n.	-	-	-	[m/s]	[Pa]	[Pa]
131	3723C	1830	350	350	350	0	0	ASH6_23	0.200	0.122	1.900	5.3	16.91	29.24
38	310C	1830	350	0	0	0.67	0.94					5.3	16.91	0.63
142	023C	1830	350	0	0	0.11	0	4.1	30.000	1.830	0.320	5.3	16.91	5.38
40	05LC	1830	474	474	474	0	0	MC4				2.9	5.06	40

Pérdida de carga acumulada del segmento	Δp_t	[Pa]	: 35.25
Velocidad en la sección inicial del segmento	V_m	[m/s]	: 5.1
Velocidad en la sección final del segmento	V_v	[m/s]	: 2.9
Recuperación de presión estática del segmento	Δp_r	[Pa]	: 10.6
Pérdida de carga acumulada del segmento, considerando la recuperación	Δp_{tm}	[Pa]	: 24.85
Pérdida de carga acumulada neta – total acumulado	$\Sigma \Delta p_{tm}$	[Pa]	: 251.08

Desequilibrio del terminal respecto al camino más desfavorable

 Δp_{Tmr} [Pa] : 35.4**SEGMENTO 8:****Tipo:** Tramo

1 ELEMENTO		2 Caudal Q	3 Diam. D/D _e	4 Ancho A	5 Alto B	6 Long. L	7 $\Delta p/L$	8 Fuente Tab	9 Ashrae X	10 Ashrae Y	11 Coeff. C _o	12 Veloc. V	13 P.Dinám P _v	14 Pérdida Δp_r o Δp_c
N. pz.	Cod.	[m³/h]	[mm]	[mm]	[mm]	[m]	[Pa/m]	n.	-	-	-	[m/s]	[Pa]	[Pa]
132	3723C	7320	1000	350	350	0	0	ASH6_23	0.800		0.020	2.6	4.07	0.31
20	310C	7320	1000	500	250	3.53	0.07					2.6	4.07	0.24

Pérdida de carga acumulada del segmento

 Δp_t [Pa] : 0.55

Velocidad en la sección inicial del segmento

 V_m [m/s] : 5.1

Velocidad en la sección final del segmento

 V_v [m/s] : 5.3

Recuperación de presión estática del segmento

 Δp_r [Pa] : -1.25

Pérdida de carga acumulada del segmento, considerando la recuperación

 Δp_{tn} [Pa] : 5.95

Pérdida de carga acumulada neta – total acumulado

 $\Sigma \Delta p_{tn}$ [Pa] : 192.18**SEGMENTO 7:****Tipo:** Terminal TRM-3

1 ELEMENTO		2 Caudal Q	3 Diam. D/D _e	4 Ancho A	5 Alto B	6 Long. L	7 $\Delta p/L$	8 Fuente Tab	9 Ashrae X	10 Ashrae Y	11 Coeff. C _o	12 Veloc. V	13 P.Dinám P _v	14 Pérdida Δp_r o Δp_c
N. pz.	Cod.	[m³/h]	[mm]	[mm]	[mm]	[m]	[Pa/m]	n.	-	-	-	[m/s]	[Pa]	[Pa]
133	3723C	1830	350	350	350	0	0	ASH6_23	0.250	0.122	2.000	5.3	16.91	33.61
35	310C	1830	350	0	0	0.67	0.94					5.3	16.91	0.63
141	023C	1830	350	0	0	0.11	0	4.1	30.000	1.830	0.320	5.3	16.91	5.38
37	05LC	1830	474	474	474	0	0	MC4				2.9	5.06	40

Pérdida de carga acumulada del segmento

 Δp_t [Pa] : 39.61

Velocidad en la sección inicial del segmento

 V_m [m/s] : 5.3

Velocidad en la sección final del segmento

 V_v [m/s] : 2.9

Recuperación de presión estática del segmento

 Δp_r [Pa] : 11.85

Pérdida de carga acumulada del segmento, considerando la recuperación

 Δp_{tn} [Pa] : 27.81

Pérdida de carga acumulada neta – total acumulado

 $\Sigma \Delta p_{tn}$ [Pa] : 259.99

Desequilibrio del terminal respecto al camino más desfavorable

 Δp_{Tmr} [Pa] : 26.49**SEGMENTO 6:****Tipo:** Tramo

1 ELEMENTO		2 Caudal Q	3 Diam. D/D _e	4 Ancho A	5 Alto B	6 Long. L	7 $\Delta p/L$	8 Fuente Tab	9 Ashrae X	10 Ashrae Y	11 Coeff. C _o	12 Veloc. V	13 P.Dinám P _v	14 Pérdida Δp_r o Δp_c
N. pz.	Cod.	[m³/h]	[mm]	[mm]	[mm]	[m]	[Pa/m]	n.	-	-	-	[m/s]	[Pa]	[Pa]
134	3723C	5490	1000	350	350	0	0	ASH6_23	0.750		0.030	1.9	2.17	0.5
21	310C	5490	1000	500	250	3.53	0.04					1.9	2.17	0.14

Pérdida de carga acumulada del segmento

 Δp_t [Pa] : 0.65

Velocidad en la sección inicial del segmento

 V_m [m/s] : 5.3

Velocidad en la sección final del segmento

 V_v [m/s] : 5.4

Recuperación de presión estática del segmento

 Δp_r [Pa] : -0.64

Pérdida de carga acumulada del segmento, considerando la recuperación
Pérdida de carga acumulada neta – total acumulado

Δp_{tn} [Pa] : 5.22
 $\Sigma \Delta p_{tn}$ [Pa] : 197.4

SEGMENTO 3:

Tipo: Tramo

1 ELEMENTO		2 Caudal Q	3 Diam. D/D _e	4 Ancho A	5 Alto B	6 Long. L	7 $\Delta p/L$	8 Fuente Tab	9 Ashrae X	10 Ashrae Y	11 Coeff. C _o	12 Veloc. V	13 P.Dinám P _v	14 Pérdida Δp_r o Δp_c
N. pz.	Cod.	[m³/h]	[mm]	[mm]	[mm]	[m]	[Pa/m]	n.	-	-	-	[m/s]	[Pa]	[Pa]
135	3723C	3660	1000	350	350	0	0	ASH6_23	0.667		0.047	1.3	1.02	0.82
25	310C	3660	1000	500	250	3.53	0.02					1.3	1.02	0.07

Pérdida de carga acumulada del segmento
Velocidad en la sección inicial del segmento
Velocidad en la sección final del segmento
Recuperación de presión estática del segmento
Pérdida de carga acumulada del segmento, considerando la recuperación
Pérdida de carga acumulada neta – total acumulado

Δp_t [Pa] : 0.89
 V_m [m/s] : 5.4
 V_v [m/s] : 5.2
 Δp_r [Pa] : 1.28
 Δp_{tn} [Pa] : 3.07
 $\Sigma \Delta p_{tn}$ [Pa] : 200.47

SEGMENTO 5:

Tipo: Terminal TRM-3

1 ELEMENTO		2 Caudal Q	3 Diam. D/D _e	4 Ancho A	5 Alto B	6 Long. L	7 $\Delta p/L$	8 Fuente Tab	9 Ashrae X	10 Ashrae Y	11 Coeff. C _o	12 Veloc. V	13 P.Dinám P _v	14 Pérdida Δp_r o Δp_c
N. pz.	Cod.	[m³/h]	[mm]	[mm]	[mm]	[m]	[Pa/m]	n.	-	-	-	[m/s]	[Pa]	[Pa]
137	3723C	1830	350	350	350	0	0	ASH6_23	0.500	0.122	1.430	5.3	16.91	23.08
32	310C	1830	350	0	0	0.67	0.94					5.3	16.91	0.63
140	023C	1830	350	0	0	0.11	0	4.1	30.000	1.830	0.320	5.3	16.91	5.38
34	05LC	1830	474	474	474	0	0	MC4				2.9	5.06	40

Pérdida de carga acumulada del segmento
Velocidad en la sección inicial del segmento
Velocidad en la sección final del segmento
Recuperación de presión estática del segmento
Pérdida de carga acumulada del segmento, considerando la recuperación
Pérdida de carga acumulada neta – total acumulado
Desequilibrio del terminal respecto al camino más desfavorable

Δp_t [Pa] : 29.08
 V_m [m/s] : 5.2
 V_v [m/s] : 2.9
 Δp_r [Pa] : 11.22
 Δp_{tn} [Pa] : 17.94
 $\Sigma \Delta p_{tn}$ [Pa] : 258.41
 Δp_{Tmr} [Pa] : 28.07

SEGMENTO 4:

Tipo: Terminal TRM-3

1 ELEMENTO		2 Caudal Q	3 Diam. D/D _e	4 Ancho A	5 Alto B	6 Long. L	7 $\Delta p/L$	8 Fuente Tab	9 Ashrae X	10 Ashrae Y	11 Coeff. C _o	12 Veloc. V	13 P.Dinám P _v	14 Pérdida Δp_r o Δp_c
N. pz.	Cod.	[m³/h]	[mm]	[mm]	[mm]	[m]	[Pa/m]	n.	-	-	-	[m/s]	[Pa]	[Pa]
138	3723C	1830	1000	350	350	0	0	ASH6_23	0.500		0.090	0.6	0.22	1.45
28	310C	1830	1000	500	250	3.53	0.01					0.6	0.22	0.02
27	11CAT	1830	1000	500	250	0	0	2.6F	1.000	0.250	3.000	0.6	0.22	47.05
29	310C	1830	350	0	0	0.67	0.94					5.3	16.91	0.63
139	023C	1830	350	0	0	0.11	0	4.1	30.000	1.830	0.320	5.3	16.91	5.38
31	05LC	1830	474	474	474	0	0	MC4				2.9	5.06	40

Pérdida de carga acumulada del segmento	Δp_t	[Pa]	: 54.53
Velocidad en la sección inicial del segmento	V_m	[m/s]	: 5.2
Velocidad en la sección final del segmento	V_v	[m/s]	: 2.9
Recuperación de presión estática del segmento	Δp_r	[Pa]	: 11.22
Pérdida de carga acumulada del segmento, considerando la recuperación	Δp_{tn}	[Pa]	: 46.01
Pérdida de carga acumulada neta – total acumulado	$\Sigma \Delta p_{tn}$	[Pa]	: 286.48

SEGMENTO 2:

Tipo: Terminal TRM-3

1 ELEMENTO		2 Caudal Q	3 Diam. D/D _e	4 Ancho A	5 Alto B	6 Long. L	7 $\Delta p/L$	8 Fuente Tab	9 Ashrae X	10 Ashrae Y	11 Coeff. C _o	12 Veloc. V	13 P.Dinám P _v	14 Pérdida Δp_r o Δp_e
N. pz.	Cod.	[m³/h]	[mm]	[mm]	[mm]	[m]	[Pa/m]	n.	-	-	-	[m/s]	[Pa]	[Pa]
23	3723C	1830	350	350	350	0	0	ASH6_23	0.333	0.122	1.720	5.3	16.91	30.21
22	310C	1830	350	0	0	0.67	0.94					5.3	16.91	0.63
136	023C	1830	350	0	0	0.11	0	4.1	30.000	1.830	0.320	5.3	16.91	5.38
24	05LC	1830	474	474	474	0	0	MC4				2.9	5.06	40

Pérdida de carga acumulada del segmento	Δp_t	[Pa]	: 36.21
Velocidad en la sección inicial del segmento	V_m	[m/s]	: 5.4
Velocidad en la sección final del segmento	V_v	[m/s]	: 2.9
Recuperación de presión estática del segmento	Δp_r	[Pa]	: 12.49
Pérdida de carga acumulada del segmento, considerando la recuperación	Δp_{tn}	[Pa]	: 23.7
Pérdida de carga acumulada neta – total acumulado	$\Sigma \Delta p_{tn}$	[Pa]	: 261.1
Desequilibrio del terminal respecto al camino más desfavorable	Δp_{Tmr}	[Pa]	: 25.38

DATOS GENERALES**Cliente:****Ciudad:** Alicante**Proyectista:****SISTEMA:****Nº Expediente:****Dibujo n.º:****Referencia:****Construcción:****Sistema:****Zona:** SALA DEPORTIVA DOBLE ALTURA IMPULSION**Circuito:****Altitud s.n.m** [m]: 7 **Altura** [m]: 0**Temperatura aire** [°C]: 20 **Humedad Relativa aire** [%]:**Método de cálculo: DIMENSIONADO DE LA RED CON EL METODO DE PERDIDA DE CARGA CONSTANTE****DATOS DE CALCULO****Viscosidad del aire** [Pa*s]: 0.01816**Densidad del aire** [kg/m³]: 1.2**Revestimiento interior** :**Espesor** [mm]: 0**Rugosidad pared** [mm]: 0.15**CONDUCTOS Ratio B/A:** 0.5**OPCIONES****Tipo de cálculo elegido:** : 2

- Pérdida de carga distribuida [Pa/m]: 0.8
- Máxima velocidad en los tramos [m/s]: 6
- Máxima velocidad en los ramales [m/s]: 6

Cálculo con dimensiones normalizadas [Si/No]: Si

- Paso para el cálculo con dimensiones no normalizadas [mm]: 0
- Dimensión mínima [mm]: 0
- Dimensión máxima [mm]: 0

LIMITES**Mínimo desequilibrio para justificar el equilibrado y la inserción de compuertas en ramales** (Δp_{mr}) [Pa]: 10**Mínimo desequilibrio para justificar el equilibrado y la inserción de compuertas en terminales** (Δp_{msr}) [Pa]: 10**Máxima pérdida de carga admisible para las compuertas en terminales** (Δp_{MT}) [Pa]: 0**MAXIMA PERDIDA****Presión total para el camino más desfavorable** [Pa]: 227.37**Presión estática para el camino más desfavorable** [Pa]: 197.09**CAMINO MAS DESFAVOR.**

000-001-013-022-020-018-016-014

SEGMENTO 1:

Tipo: Tramo

1 ELEMENTO		2 Caudal Q	3 Diam. D/D _e	4 Ancho A	5 Alto B	6 Long. L	7 $\Delta p/L$	8 Fuente Tab	9 Ashrae X	10 Ashrae Y	11 Coeff. C _o	12 Veloc. V	13 P.Dinám P _v	14 Pérdida Δp_r o Δp_c
N. pz.	Cod.	[m³/h]	[mm]	[mm]	[mm]	[m]	[Pa/m]	n.	-	-	-	[m/s]	[Pa]	[Pa]
1	310R	13020	778	600	850	3.53	0.7					7.1	30.35	2.48
2	079R	13020	778	600	850	0	0	3.5	1.420	0.833	0.336	7.1	30.35	10.16
3	310R	13020	778	600	850	13.14	0.7					7.1	30.35	9.25

Pérdida de carga acumulada del segmento

Δp_t [Pa] : 21.9

Velocidad en la sección inicial del segmento

V_m [m/s] : 7.1

Velocidad en la sección final del segmento

V_v [m/s] : 7.1

Recuperación de presión estática del segmento

Δp_r [Pa] : 0

Pérdida de carga acumulada del segmento, considerando la recuperación

Δp_{tm} [Pa] : 21.9

Pérdida de carga acumulada neta – total acumulado

$\Sigma \Delta p_{tm}$ [Pa] : 21.9

SEGMENTO 13:

Tipo: Tramo

1 ELEMENTO		2 Caudal Q	3 Diam. D/D _e	4 Ancho A	5 Alto B	6 Long. L	7 $\Delta p/L$	8 Fuente Tab	9 Ashrae X	10 Ashrae Y	11 Coeff. C _o	12 Veloc. V	13 P.Dinám P _v	14 Pérdida Δp_r o Δp_c
N. pz.	Cod.	[m³/h]	[mm]	[mm]	[mm]	[m]	[Pa/m]	n.	-	-	-	[m/s]	[Pa]	[Pa]
88	3733D	6510	533	600	400	0	0	ASH6_33	0.471		0.300	7.5	33.86	9.08
104	023R	6510	533	600	400	0.19	0	4.3	30.000	1.170	0.300	7.5	33.86	10.25
44	310R	6510	573	700	400	14.2	0.87					6.5	25.43	12.39
46	079R	6510	573	700	400	0	0	3.5	0.571	0.786	0.471	6.5	25.43	11.82
47	310R	6510	573	700	400	2.17	0.87					6.5	25.43	1.89
49	079R	6510	573	700	400	0	0	3.5	0.571	0.786	0.282	6.5	25.43	7.09
50	310R	6510	573	700	400	0.64	0.88					6.5	25.43	0.56
52	079R	6510	573	700	400	0	0	3.5	0.571	0.786	0.282	6.5	25.43	7.09
53	310R	6510	573	700	400	0.67	0.88					6.5	25.43	0.59
55	079R	6510	573	700	400	0	0	3.5	0.571	0.786	0.471	6.5	25.43	11.82
56	310R	6510	573	700	400	4.05	0.87					6.5	25.43	3.53
58	079R	6510	573	700	400	0	0	3.5	0.571	0.786	0.471	6.5	25.43	11.82
59	310R	6510	573	700	400	1.93	0.88					6.5	25.43	1.69
61	079R	6510	573	700	400	0	0	3.5	0.571	0.786	0.471	6.5	25.43	11.82
62	310R	6510	592	750	400	3.54	0.74					6	21.67	2.63

Pérdida de carga acumulada del segmento

Δp_t [Pa] : 104.09

Velocidad en la sección inicial del segmento

V_m [m/s] : 7.1

Velocidad en la sección final del segmento

V_v [m/s] : 6

Recuperación de presión estática del segmento

Δp_r [Pa] : 8.67

Pérdida de carga acumulada del segmento, considerando la recuperación

Δp_{tm} [Pa] : 95.69

Pérdida de carga acumulada neta – total acumulado

$\Sigma \Delta p_{tm}$ [Pa] : 117.58

SEGMENTO 23:

Tipo: Terminal TRM-3

1 ELEMENTO		2 Caudal Q	3 Diam. D/D _e	4 Ancho A	5 Alto B	6 Long. L	7 $\Delta p/L$	8 Fuente Tab	9 Ashrae X	10 Ashrae Y	11 Coeff. C _o	12 Veloc. V	13 P.Dinám P _v	14 Pérdida Δp_r o Δp_c
N. pz.	Cod.	[m³/h]	[mm]	[mm]	[mm]	[m]	[Pa/m]	n.	-	-	-	[m/s]	[Pa]	[Pa]
105	10RA	1085	544	1130	250	0	0	ASH6_28	0.167	0.177	1.020	1.1	0.73	22.24
85	310R	1085	544	1130	250	0.08	0					1.1	0.73	0

87	05LR	1085	1130	1130	250	0	0	MC4				1.1	0.73	62.71
----	------	------	------	------	-----	---	---	-----	--	--	--	-----	------	-------

Pérdida de carga acumulada del segmento	Δp_t	[Pa]	: 22.24
Velocidad en la sección inicial del segmento	V_m	[m/s]	: 6
Velocidad en la sección final del segmento	V_v	[m/s]	: 1.1
Recuperación de presión estática del segmento	Δp_r	[Pa]	: 20.94
Pérdida de carga acumulada del segmento, considerando la recuperación	Δp_{tn}	[Pa]	: 1.05
Pérdida de carga acumulada neta – total acumulado	$\Sigma \Delta p_{tn}$	[Pa]	: 181.35
Desequilibrio del terminal respecto al camino más desfavorable	Δp_{Tmr}	[Pa]	: 15.74

SEGMENTO 22:

Tipo: Tramo

1 ELEMENTO		2 Caudal Q	3 Diam. D/D _e	4 Ancho A	5 Alto B	6 Long. L	7 $\Delta p/L$	8 Fuente Tab	9 Ashrae X	10 Ashrae Y	11 Coeff. C _o	12 Veloc. V	13 P.Dinám P _v	14 Pérdida Δp_r o Δp_c
N. pz.	Cod.	[m³/h]	[mm]	[mm]	[mm]	[m]	[Pa/m]	n.	-	-	-	[m/s]	[Pa]	[Pa]
106	10RA	5425	592	750	400	0	0	ASH6_28M	0.833		0.017	5	15.05	0.36
65	310R	5425	592	750	400	1.15	0.53					5	15.05	0.61

Pérdida de carga acumulada del segmento	Δp_t	[Pa]	: 0.97
Velocidad en la sección inicial del segmento	V_m	[m/s]	: 6
Velocidad en la sección final del segmento	V_v	[m/s]	: 5
Recuperación de presión estática del segmento	Δp_r	[Pa]	: 6.62
Pérdida de carga acumulada del segmento, considerando la recuperación	Δp_{tn}	[Pa]	: -5.71
Pérdida de carga acumulada neta – total acumulado	$\Sigma \Delta p_{tn}$	[Pa]	: 111.87

SEGMENTO 21:

Tipo: Terminal TRM-3

1 ELEMENTO		2 Caudal Q	3 Diam. D/D _e	4 Ancho A	5 Alto B	6 Long. L	7 $\Delta p/L$	8 Fuente Tab	9 Ashrae X	10 Ashrae Y	11 Coeff. C _o	12 Veloc. V	13 P.Dinám P _v	14 Pérdida Δp_r o Δp_c
N. pz.	Cod.	[m³/h]	[mm]	[mm]	[mm]	[m]	[Pa/m]	n.	-	-	-	[m/s]	[Pa]	[Pa]
107	10RA	1085	544	1130	250	0	0	ASH6_28	0.200	0.212	1.010	1.1	0.73	15.34
82	310R	1085	544	1130	250	0.08	0					1.1	0.73	0
84	05LR	1085	1130	1130	250	0	0	MC4				1.1	0.73	62.71

Pérdida de carga acumulada del segmento	Δp_t	[Pa]	: 15.34
Velocidad en la sección inicial del segmento	V_m	[m/s]	: 5
Velocidad en la sección final del segmento	V_v	[m/s]	: 1.1
Recuperación de presión estática del segmento	Δp_r	[Pa]	: 14.32
Pérdida de carga acumulada del segmento, considerando la recuperación	Δp_{tn}	[Pa]	: 0.84
Pérdida de carga acumulada neta – total acumulado	$\Sigma \Delta p_{tn}$	[Pa]	: 175.42
Desequilibrio del terminal respecto al camino más desfavorable	Δp_{Tmr}	[Pa]	: 21.67

SEGMENTO 20:

Tipo: Tramo

1 ELEMENTO		2 Caudal Q	3 Diam. D/D _e	4 Ancho A	5 Alto B	6 Long. L	7 $\Delta p/L$	8 Fuente Tab	9 Ashrae X	10 Ashrae Y	11 Coeff. C _o	12 Veloc. V	13 P.Dinám P _v	14 Pérdida Δp_r o Δp_c
N. pz.	Cod.	[m³/h]	[mm]	[mm]	[mm]	[m]	[Pa/m]	n.	-	-	-	[m/s]	[Pa]	[Pa]

108	10RA	4340	592	750	400	0	0	ASH6_28M	0.800		0.020	4	9.63	0.3
111	283R	4340	533	600	400	0.36	0	5.1	30.000	1.250	0.050	5	15.05	0.76
66	310R	4340	533	600	400	1.15	0.58					5	15.05	0.67

Pérdida de carga acumulada del segmento	Δp_t	[Pa]	: 1.73
Velocidad en la sección inicial del segmento	V_m	[m/s]	: 5
Velocidad en la sección final del segmento	V_v	[m/s]	: 5
Recuperación de presión estática del segmento	Δp_r	[Pa]	: 0
Pérdida de carga acumulada del segmento, considerando la recuperación	Δp_{tm}	[Pa]	: 1.73
Pérdida de carga acumulada neta – total acumulado	$\Sigma \Delta p_{tm}$	[Pa]	: 113.6

SEGMENTO 19:

Tipo: Terminal TRM-3

1 ELEMENTO		2 Caudal Q	3 Diam. D/D _e	4 Ancho A	5 Alto B	6 Long. L	7 $\Delta p/L$	8 Fuente Tab	9 Ashrae X	10 Ashrae Y	11 Coeff. C _o	12 Veloc. V	13 P.Dinám P _v	14 Pérdida Δp_r o Δp_c
N. pz.	Cod.	[m³/h]	[mm]	[mm]	[mm]	[m]	[Pa/m]	n.	-	-	-	[m/s]	[Pa]	[Pa]
109	10RA	1085	544	1130	250	0	0	ASH6_28	0.250	0.212	1.030	1.1	0.73	15.65
79	310R	1085	544	1130	250	0.08	0					1.1	0.73	0
81	05LR	1085	1130	1130	250	0	0	MC4				1.1	0.73	62.71

Pérdida de carga acumulada del segmento	Δp_t	[Pa]	: 15.65
Velocidad en la sección inicial del segmento	V_m	[m/s]	: 5
Velocidad en la sección final del segmento	V_v	[m/s]	: 1.1
Recuperación de presión estática del segmento	Δp_r	[Pa]	: 14.32
Pérdida de carga acumulada del segmento, considerando la recuperación	Δp_{tm}	[Pa]	: 1.14
Pérdida de carga acumulada neta – total acumulado	$\Sigma \Delta p_{tm}$	[Pa]	: 177.46
Desequilibrio del terminal respecto al camino más desfavorable	Δp_{Tmr}	[Pa]	: 19.63

SEGMENTO 18:

Tipo: Tramo

1 ELEMENTO		2 Caudal Q	3 Diam. D/D _e	4 Ancho A	5 Alto B	6 Long. L	7 $\Delta p/L$	8 Fuente Tab	9 Ashrae X	10 Ashrae Y	11 Coeff. C _o	12 Veloc. V	13 P.Dinám P _v	14 Pérdida Δp_r o Δp_c
N. pz.	Cod.	[m³/h]	[mm]	[mm]	[mm]	[m]	[Pa/m]	n.	-	-	-	[m/s]	[Pa]	[Pa]
110	10RA	3255	533	600	400	0	0	ASH6_28M	0.750		0.030	3.8	8.69	0.46
114	283R	3255	488	500	400	0.27	0	5.1	30.000	1.200	0.050	4.5	12.19	0.62
67	310R	3255	488	500	400	1.15	0.53					4.5	12.19	0.61

Pérdida de carga acumulada del segmento	Δp_t	[Pa]	: 1.68
Velocidad en la sección inicial del segmento	V_m	[m/s]	: 5
Velocidad en la sección final del segmento	V_v	[m/s]	: 4.5
Recuperación de presión estática del segmento	Δp_r	[Pa]	: 2.86
Pérdida de carga acumulada del segmento, considerando la recuperación	Δp_{tm}	[Pa]	: -1.21
Pérdida de carga acumulada neta – total acumulado	$\Sigma \Delta p_{tm}$	[Pa]	: 112.39

SEGMENTO 17:

Tipo: Terminal TRM-3

1 ELEMENTO	2 Caudal Q	3 Diam. D/D _e	4 Ancho A	5 Alto B	6 Long. L	7 $\Delta p/L$	8 Fuente Tab	9 Ashrae X	10 Ashrae Y	11 Coeff. C _o	12 Veloc. V	13 P.Dinám P _v	14 Pérdida Δp_r o Δp_c
---------------	------------------	--------------------------------	-----------------	----------------	-----------------	-------------------	--------------------	------------------	-------------------	--------------------------------	-------------------	---------------------------------	--

N. pz.	Cod.	[m³/h]	[mm]	[mm]	[mm]	[m]	[Pa/m]	n.	-	-	-	[m/s]	[Pa]	[Pa]
112	10RA	1085	544	1130	250	0	0	ASH6_28	0.333	0.236	1.070	1.1	0.73	13.21
76	310R	1085	544	1130	250	0.08	0					1.1	0.73	0
78	05LR	1085	1130	1130	250	0	0	MC4				1.1	0.73	62.71

Pérdida de carga acumulada del segmento	Δp_t	[Pa]	: 13.21
Velocidad en la sección inicial del segmento	V_m	[m/s]	: 4.5
Velocidad en la sección final del segmento	V_v	[m/s]	: 1.1
Recuperación de presión estática del segmento	Δp_r	[Pa]	: 11.46
Pérdida de carga acumulada del segmento, considerando la recuperación	Δp_{tm}	[Pa]	: 1.59
Pérdida de carga acumulada neta – total acumulado	$\Sigma \Delta p_{tm}$	[Pa]	: 176.7
Desequilibrio del terminal respecto al camino más desfavorable	Δp_{Tmr}	[Pa]	: 20.39

SEGMENTO 16:

Tipo: Tramo

1 ELEMENTO		2 Caudal Q	3 Diam. D/D _e	4 Ancho A	5 Alto B	6 Long. L	7 $\Delta p/L$	8 Fuente Tab	9 Ashrae X	10 Ashrae Y	11 Coeff. C _o	12 Veloc. V	13 P.Dinám P _v	14 Pérdida Δp_r o Δp_c
N. pz.	Cod.	[m³/h]	[mm]	[mm]	[mm]	[m]	[Pa/m]	n.	-	-	-	[m/s]	[Pa]	[Pa]
113	10RA	2170	488	500	400	0	0	ASH6_28M	0.667		0.047	3	5.42	0.57
117	033R	2170	414	600	250	0.27	0	4.3	30.000	1.330	0.300	4	9.63	2.92
68	310R	2170	414	600	250	1.15	0.56					4	9.63	0.64

Pérdida de carga acumulada del segmento	Δp_t	[Pa]	: 4.13
Velocidad en la sección inicial del segmento	V_m	[m/s]	: 4.5
Velocidad en la sección final del segmento	V_v	[m/s]	: 4
Recuperación de presión estática del segmento	Δp_r	[Pa]	: 2.56
Pérdida de carga acumulada del segmento, considerando la recuperación	Δp_{tm}	[Pa]	: 1.55
Pérdida de carga acumulada neta – total acumulado	$\Sigma \Delta p_{tm}$	[Pa]	: 113.94

SEGMENTO 15:

Tipo: Terminal TRM-3

1 ELEMENTO		2 Caudal Q	3 Diam. D/D _e	4 Ancho A	5 Alto B	6 Long. L	7 $\Delta p/L$	8 Fuente Tab	9 Ashrae X	10 Ashrae Y	11 Coeff. C _o	12 Veloc. V	13 P.Dinám P _v	14 Pérdida Δp_r o Δp_c
N. pz.	Cod.	[m³/h]	[mm]	[mm]	[mm]	[m]	[Pa/m]	n.	-	-	-	[m/s]	[Pa]	[Pa]
115	10RA	1085	544	1130	250	0	0	ASH6_28	0.500	0.265	1.270	1.1	0.73	12.35
73	310R	1085	544	1130	250	0.08	0					1.1	0.73	0
75	05LR	1085	1130	1130	250	0	0	MC4				1.1	0.73	62.71

Pérdida de carga acumulada del segmento	Δp_t	[Pa]	: 12.35
Velocidad en la sección inicial del segmento	V_m	[m/s]	: 4
Velocidad en la sección final del segmento	V_v	[m/s]	: 1.1
Recuperación de presión estática del segmento	Δp_r	[Pa]	: 8.9
Pérdida de carga acumulada del segmento, considerando la recuperación	Δp_{tm}	[Pa]	: 3.31
Pérdida de carga acumulada neta – total acumulado	$\Sigma \Delta p_{tm}$	[Pa]	: 179.97
Desequilibrio del terminal respecto al camino más desfavorable	Δp_{Tmr}	[Pa]	: 17.12

SEGMENTO 14:

Tipo: Terminal TRM-3

1 ELEMENTO		2 Caudal Q	3 Diam. D/D _e	4 Ancho A	5 Alto B	6 Long. L	7 $\Delta p/L$	8 Fuente Tab	9 Ashrae X	10 Ashrae Y	11 Coeff. C _o	12 Veloc. V	13 P.Dinám P _v	14 Pérdida Δp_r o Δp_c
N. pz.	Cod.	[m³/h]	[mm]	[mm]	[mm]	[m]	[Pa/m]	n.	-	-	-	[m/s]	[Pa]	[Pa]
116	10RA	1085	414	600	250	0	0	ASH6_28M	0.500		0.090	2	2.41	0.87
118	283R	1085	299	300	250	0.62	0	5.1	30.000	2.000	0.050	4	9.63	0.49
69	310R	1085	299	300	250	1.15	0.77					4	9.63	0.89
64	10RAT	1085	299	300	250	0	0	2.6f	1.000	0.836	2.800	4	9.63	27.22
70	310R	1085	544	1130	250	0.08	0					1.1	0.73	0
72	05LR	1085	1130	1130	250	0	0	MC4				1.1	0.73	62.71

Pérdida de carga acumulada del segmento	Δp_t	[Pa]	: 29.47
Velocidad en la sección inicial del segmento	V_m	[m/s]	: 4
Velocidad en la sección final del segmento	V_v	[m/s]	: 1.1
Recuperación de presión estática del segmento	Δp_r	[Pa]	: 8.9
Pérdida de carga acumulada del segmento, considerando la recuperación	Δp_{tm}	[Pa]	: 20.44
Pérdida de carga acumulada neta – total acumulado	$\Sigma \Delta p_{tm}$	[Pa]	: 197.09

SEGMENTO 12:

Tipo: Tramo

1 ELEMENTO		2 Caudal Q	3 Diam. D/D _e	4 Ancho A	5 Alto B	6 Long. L	7 $\Delta p/L$	8 Fuente Tab	9 Ashrae X	10 Ashrae Y	11 Coeff. C _o	12 Veloc. V	13 P.Dinám P _v	14 Pérdida Δp_r o Δp_c
N. pz.	Cod.	[m³/h]	[mm]	[mm]	[mm]	[m]	[Pa/m]	n.	-	-	-	[m/s]	[Pa]	[Pa]
7	3733D	6510	533	600	400	0	0	ASH6_33			0.300	7.5	33.86	9.08
89	023R	6510	533	600	400	0.19	0	4.3	30.000	1.170	0.300	7.5	33.86	10.25
6	310R	6510	573	700	400	15.81	0.87					6.5	25.43	13.8
8	079R	6510	573	700	400	0	0	3.5	0.571	0.786	0.471	6.5	25.43	11.82
9	310R	6510	573	700	400	3.36	0.87					6.5	25.43	2.93
11	079R	6510	573	700	400	0	0	3.5	0.571	0.786	0.471	6.5	25.43	11.82
12	310R	6510	573	700	400	4.05	0.87					6.5	25.43	3.53
14	079R	6510	573	700	400	0	0	3.5	0.571	0.786	0.471	6.5	25.43	11.82
15	310R	6510	573	700	400	1.93	0.88					6.5	25.43	1.69
17	079R	6510	573	700	400	0	0	3.5	0.571	0.786	0.471	6.5	25.43	11.82
18	310R	6510	609	800	400	2.74	0.65					5.7	19.56	1.77

Pérdida de carga acumulada del segmento	Δp_t	[Pa]	: 90.33
Velocidad en la sección inicial del segmento	V_m	[m/s]	: 7.1
Velocidad en la sección final del segmento	V_v	[m/s]	: 5.7
Recuperación de presión estática del segmento	Δp_r	[Pa]	: 10.79
Pérdida de carga acumulada del segmento, considerando la recuperación	Δp_{tm}	[Pa]	: 79.28
Pérdida de carga acumulada neta – total acumulado	$\Sigma \Delta p_{tm}$	[Pa]	: 101.18

SEGMENTO 11:

Tipo: Terminal TRM-3

1 ELEMENTO		2 Caudal Q	3 Diam. D/D _e	4 Ancho A	5 Alto B	6 Long. L	7 $\Delta p/L$	8 Fuente Tab	9 Ashrae X	10 Ashrae Y	11 Coeff. C _o	12 Veloc. V	13 P.Dinám P _v	14 Pérdida Δp_r o Δp_c
N. pz.	Cod.	[m³/h]	[mm]	[mm]	[mm]	[m]	[Pa/m]	n.	-	-	-	[m/s]	[Pa]	[Pa]
90	10RA	1085	544	1130	250	0	0	ASH6_28	0.167	0.189	1.020	1.1	0.73	19.54
41	310R	1085	544	1130	250	0.08	0					1.1	0.73	0
43	05LR	1085	1130	1130	250	0	0	MC4				1.1	0.73	62.71

Pérdida de carga acumulada del segmento	Δp_t	[Pa]	: 19.55
Velocidad en la sección inicial del segmento	V_m	[m/s]	: 5.7

Velocidad en la sección final del segmento	V_v	[m/s]	: 1.1
Recuperación de presión estática del segmento	Δp_r	[Pa]	: 18.83
Pérdida de carga acumulada del segmento, considerando la recuperación	Δp_{tn}	[Pa]	: 1.01
Pérdida de carga acumulada neta – total acumulado	$\Sigma \Delta p_{tn}$	[Pa]	: 164.9
Desequilibrio del terminal respecto al camino más desfavorable	Δp_{Tmr}	[Pa]	: 32.19

SEGMENTO 10:

Tipo: Tramo

1 ELEMENTO		2 Caudal Q	3 Diam. D/D _e	4 Ancho A	5 Alto B	6 Long. L	7 $\Delta p/L$	8 Fuente Tab	9 Ashrae X	10 Ashrae Y	11 Coeff. C _o	12 Veloc. V	13 P.Dinám P _v	14 Pérdida Δp_r o Δp_c
N. pz.	Cod.	[m³/h]	[mm]	[mm]	[mm]	[m]	[Pa/m]	n.	-	-	-	[m/s]	[Pa]	[Pa]
91	10RA	5425	609	800	400	0	0	ASH6_28M	0.833		0.017	4.7	13.3	0.32
21	310R	5425	609	800	400	1.15	0.46					4.7	13.3	0.53

Pérdida de carga acumulada del segmento	Δp_t	[Pa]	: 0.85
Velocidad en la sección inicial del segmento	V_m	[m/s]	: 5.7
Velocidad en la sección final del segmento	V_v	[m/s]	: 4.7
Recuperación de presión estática del segmento	Δp_r	[Pa]	: 6.26
Pérdida de carga acumulada del segmento, considerando la recuperación	Δp_{tn}	[Pa]	: -5.03
Pérdida de carga acumulada neta – total acumulado	$\Sigma \Delta p_{tn}$	[Pa]	: 96.15

SEGMENTO 9:

Tipo: Terminal TRM-3

1 ELEMENTO		2 Caudal Q	3 Diam. D/D _e	4 Ancho A	5 Alto B	6 Long. L	7 $\Delta p/L$	8 Fuente Tab	9 Ashrae X	10 Ashrae Y	11 Coeff. C _o	12 Veloc. V	13 P.Dinám P _v	14 Pérdida Δp_r o Δp_c
N. pz.	Cod.	[m³/h]	[mm]	[mm]	[mm]	[m]	[Pa/m]	n.	-	-	-	[m/s]	[Pa]	[Pa]
92	10RA	1085	544	1130	250	0	0	ASH6_28	0.200	0.227	1.010	1.1	0.73	13.48
38	310R	1085	544	1130	250	0.08	0					1.1	0.73	0
40	05LR	1085	1130	1130	250	0	0	MC4				1.1	0.73	62.71

Pérdida de carga acumulada del segmento	Δp_t	[Pa]	: 13.49
Velocidad en la sección inicial del segmento	V_m	[m/s]	: 4.7
Velocidad en la sección final del segmento	V_v	[m/s]	: 1.1
Recuperación de presión estática del segmento	Δp_r	[Pa]	: 12.57
Pérdida de carga acumulada del segmento, considerando la recuperación	Δp_{tn}	[Pa]	: 0.82
Pérdida de carga acumulada neta – total acumulado	$\Sigma \Delta p_{tn}$	[Pa]	: 159.69
Desequilibrio del terminal respecto al camino más desfavorable	Δp_{Tmr}	[Pa]	: 37.4

SEGMENTO 8:

Tipo: Tramo

1 ELEMENTO		2 Caudal Q	3 Diam. D/D _e	4 Ancho A	5 Alto B	6 Long. L	7 $\Delta p/L$	8 Fuente Tab	9 Ashrae X	10 Ashrae Y	11 Coeff. C _o	12 Veloc. V	13 P.Dinám P _v	14 Pérdida Δp_r o Δp_c
N. pz.	Cod.	[m³/h]	[mm]	[mm]	[mm]	[m]	[Pa/m]	n.	-	-	-	[m/s]	[Pa]	[Pa]
93	10RA	4340	609	800	400	0	0	ASH6_28M	0.800		0.020	3.8	8.69	0.27
96	283R	4340	533	600	400	0.45	0	5.1	30.000	1.330	0.050	5	15.05	0.76
22	310R	4340	533	600	400	1.15	0.58					5	15.05	0.67

Pérdida de carga acumulada del segmento	Δp_t	[Pa]	: 1.7
Velocidad en la sección inicial del segmento	V_m	[m/s]	: 4.7
Velocidad en la sección final del segmento	V_v	[m/s]	: 5
Recuperación de presión estática del segmento	Δp_r	[Pa]	: -1.75
Pérdida de carga acumulada del segmento, considerando la recuperación	Δp_{tn}	[Pa]	: 3.54
Pérdida de carga acumulada neta – total acumulado	$\Sigma \Delta p_{tn}$	[Pa]	: 99.69

SEGMENTO 7:

Tipo: Terminal TRM-3

1 ELEMENTO		2 Caudal Q	3 Diam. D/D _e	4 Ancho A	5 Alto B	6 Long. L	7 $\Delta p/L$	8 Fuente Tab	9 Ashrae X	10 Ashrae Y	11 Coeff. C _o	12 Veloc. V	13 P.Dinám P _v	14 Pérdida Δp_r o Δp_e
N. pz.	Cod.	[m³/h]	[mm]	[mm]	[mm]	[m]	[Pa/m]	n.	-	-	-	[m/s]	[Pa]	[Pa]
94	10RA	1085	544	1130	250	0	0	ASH6_28	0.250	0.212	1.030	1.1	0.73	15.65
35	310R	1085	544	1130	250	0.08	0					1.1	0.73	0
37	05LR	1085	1130	1130	250	0	0	MC4				1.1	0.73	62.71

Pérdida de carga acumulada del segmento	Δp_t	[Pa]	: 15.65
Velocidad en la sección inicial del segmento	V_m	[m/s]	: 5
Velocidad en la sección final del segmento	V_v	[m/s]	: 1.1
Recuperación de presión estática del segmento	Δp_r	[Pa]	: 14.32
Pérdida de carga acumulada del segmento, considerando la recuperación	Δp_{tn}	[Pa]	: 1.14
Pérdida de carga acumulada neta – total acumulado	$\Sigma \Delta p_{tn}$	[Pa]	: 163.55
Desequilibrio del terminal respecto al camino más desfavorable	Δp_{Tmr}	[Pa]	: 33.55

SEGMENTO 6:

Tipo: Tramo

1 ELEMENTO		2 Caudal Q	3 Diam. D/D _e	4 Ancho A	5 Alto B	6 Long. L	7 $\Delta p/L$	8 Fuente Tab	9 Ashrae X	10 Ashrae Y	11 Coeff. C _o	12 Veloc. V	13 P.Dinám P _v	14 Pérdida Δp_r o Δp_e
N. pz.	Cod.	[m³/h]	[mm]	[mm]	[mm]	[m]	[Pa/m]	n.	-	-	-	[m/s]	[Pa]	[Pa]
95	10RA	3255	533	600	400	0	0	ASH6_28M	0.750		0.030	3.8	8.69	0.46
99	283R	3255	488	500	400	0.27	0	5.1	30.000	1.200	0.050	4.5	12.19	0.62
23	310R	3255	488	500	400	1.15	0.53					4.5	12.19	0.61

Pérdida de carga acumulada del segmento	Δp_t	[Pa]	: 1.68
Velocidad en la sección inicial del segmento	V_m	[m/s]	: 5
Velocidad en la sección final del segmento	V_v	[m/s]	: 4.5
Recuperación de presión estática del segmento	Δp_r	[Pa]	: 2.86
Pérdida de carga acumulada del segmento, considerando la recuperación	Δp_{tn}	[Pa]	: -1.21
Pérdida de carga acumulada neta – total acumulado	$\Sigma \Delta p_{tn}$	[Pa]	: 98.48

SEGMENTO 5:

Tipo: Terminal TRM-3

1 ELEMENTO		2 Caudal Q	3 Diam. D/D _e	4 Ancho A	5 Alto B	6 Long. L	7 $\Delta p/L$	8 Fuente Tab	9 Ashrae X	10 Ashrae Y	11 Coeff. C _o	12 Veloc. V	13 P.Dinám P _v	14 Pérdida Δp_r o Δp_e
N. pz.	Cod.	[m³/h]	[mm]	[mm]	[mm]	[m]	[Pa/m]	n.	-	-	-	[m/s]	[Pa]	[Pa]
97	10RA	1085	544	1130	250	0	0	ASH6_28	0.333	0.236	1.070	1.1	0.73	13.21
32	310R	1085	544	1130	250	0.08	0					1.1	0.73	0
34	05LR	1085	1130	1130	250	0	0	MC4				1.1	0.73	62.71

Pérdida de carga acumulada del segmento	Δp_t	[Pa]	: 13.21
Velocidad en la sección inicial del segmento	V_m	[m/s]	: 4.5
Velocidad en la sección final del segmento	V_v	[m/s]	: 1.1
Recuperación de presión estática del segmento	Δp_r	[Pa]	: 11.46
Pérdida de carga acumulada del segmento, considerando la recuperación	Δp_{tn}	[Pa]	: 1.59
Pérdida de carga acumulada neta – total acumulado	$\Sigma \Delta p_{tn}$	[Pa]	: 162.78
Desequilibrio del terminal respecto al camino más desfavorable	Δp_{Tmr}	[Pa]	: 34.31

SEGMENTO 4:

Tipo: Tramo

1 ELEMENTO		2 Caudal Q	3 Diam. D/D _e	4 Ancho A	5 Alto B	6 Long. L	7 $\Delta p/L$	8 Fuente Tab	9 Ashrae X	10 Ashrae Y	11 Coeff. C _o	12 Veloc. V	13 P.Dinám P _v	14 Pérdida Δp_r o Δp_c
N. pz.	Cod.	[m³/h]	[mm]	[mm]	[mm]	[m]	[Pa/m]	n.	-	-	-	[m/s]	[Pa]	[Pa]
98	10RA	2170	488	500	400	0	0	ASH6_28M	0.667		0.047	3	5.42	0.57
102	283R	2170	420	500	300	0.19	0	5.1	30.000	1.330	0.050	4	9.63	0.49
24	310R	2170	420	500	300	1.15	0.52					4	9.63	0.6

Pérdida de carga acumulada del segmento	Δp_t	[Pa]	: 1.66
Velocidad en la sección inicial del segmento	V_m	[m/s]	: 4.5
Velocidad en la sección final del segmento	V_v	[m/s]	: 4
Recuperación de presión estática del segmento	Δp_r	[Pa]	: 2.56
Pérdida de carga acumulada del segmento, considerando la recuperación	Δp_{tn}	[Pa]	: -0.92
Pérdida de carga acumulada neta – total acumulado	$\Sigma \Delta p_{tn}$	[Pa]	: 97.56

SEGMENTO 3:

Tipo: Terminal TRM-3

1 ELEMENTO		2 Caudal Q	3 Diam. D/D _e	4 Ancho A	5 Alto B	6 Long. L	7 $\Delta p/L$	8 Fuente Tab	9 Ashrae X	10 Ashrae Y	11 Coeff. C _o	12 Veloc. V	13 P.Dinám P _v	14 Pérdida Δp_r o Δp_c
N. pz.	Cod.	[m³/h]	[mm]	[mm]	[mm]	[m]	[Pa/m]	n.	-	-	-	[m/s]	[Pa]	[Pa]
100	10RA	1085	544	1130	250	0	0	ASH6_28	0.500	0.265	1.270	1.1	0.73	12.35
29	310R	1085	544	1130	250	0.08	0					1.1	0.73	0
31	05LR	1085	1130	1130	250	0	0	MC4				1.1	0.73	62.71

Pérdida de carga acumulada del segmento	Δp_t	[Pa]	: 12.35
Velocidad en la sección inicial del segmento	V_m	[m/s]	: 4
Velocidad en la sección final del segmento	V_v	[m/s]	: 1.1
Recuperación de presión estática del segmento	Δp_r	[Pa]	: 8.9
Pérdida de carga acumulada del segmento, considerando la recuperación	Δp_{tn}	[Pa]	: 3.31
Pérdida de carga acumulada neta – total acumulado	$\Sigma \Delta p_{tn}$	[Pa]	: 163.58
Desequilibrio del terminal respecto al camino más desfavorable	Δp_{Tmr}	[Pa]	: 33.51

SEGMENTO 2:

Tipo: Terminal TRM-3

1 ELEMENTO		2 Caudal Q	3 Diam. D/D _e	4 Ancho A	5 Alto B	6 Long. L	7 $\Delta p/L$	8 Fuente Tab	9 Ashrae X	10 Ashrae Y	11 Coeff. C _o	12 Veloc. V	13 P.Dinám P _v	14 Pérdida Δp_r o Δp_c
N. pz.	Cod.	[m³/h]	[mm]	[mm]	[mm]	[m]	[Pa/m]	n.	-	-	-	[m/s]	[Pa]	[Pa]

Cálculo de Conductos

101	10RA	1085	420	500	300	0	0	ASH6_28M	0.500		0.090	2	2.41	0.87
103	283R	1085	299	300	250	0.45	0	5.1	30.000	2.000	0.050	4	9.63	0.49
25	310R	1085	299	300	250	1.15	0.77					4	9.63	0.89
20	10RAT	1085	299	300	250	0	0	2.6f	1.000	0.836	2.800	4	9.63	27.22
26	310R	1085	544	1130	250	0.08	0					1.1	0.73	0
28	05LR	1085	1130	1130	250	0	0	MC4				1.1	0.73	62.71

Pérdida de carga acumulada del segmento	Δp_t	[Pa] : 29.47
Velocidad en la sección inicial del segmento	V_m	[m/s] : 4
Velocidad en la sección final del segmento	V_v	[m/s] : 1.1
Recuperación de presión estática del segmento	Δp_r	[Pa] : 8.9
Pérdida de carga acumulada del segmento, considerando la recuperación	Δp_{tn}	[Pa] : 20.44
Pérdida de carga acumulada neta – total acumulado	$\Sigma \Delta p_{tn}$	[Pa] : 180.71
Desequilibrio del terminal respecto al camino más desfavorable	Δp_{Tmr}	[Pa] : 16.39

DATOS GENERALES**Cliente:****Ciudad:** Alicante**Proyectista:****SISTEMA:****Nº Expediente:****Dibujo n.º:****Referencia:****Construcción:****Sistema:****Zona:** SALA DEPORTIVA DOBLE ALTURA RETORNO**Circuito:**

Altitud s.n.m [m]: 7 Altura [m]: 0

Temperatura aire [°C]: 20 Humedad Relativa aire [%]:

Método de cálculo: DIMENSIONADO DE LA RED CON EL METODO DE PERDIDA DE CARGA CONSTANTE**DATOS DE CALCULO**

Viscosidad del aire [Pa*s]: 0.01816

Densidad del aire [kg/m³]: 1.2

Revestimiento interior :

Espesor [mm]: 0

Rugosidad pared [mm]: 0.15

CONDUCTOS Ratio B/A: 0.5

OPCIONES

Tipo de cálculo elegido: : 2

- Pérdida de carga distribuida [Pa/m]: 0.8
- Máxima velocidad en los tramos [m/s]: 6
- Máxima velocidad en los ramales [m/s]: 6

Cálculo con dimensiones normalizadas [Si/No]: Si

- Paso para el cálculo con dimensiones no normalizadas [mm]: 0
- Dimensión mínima [mm]: 0
- Dimensión máxima [mm]: 0

LIMITESMínimo desequilibrio para justificar el equilibrado y la inserción de compuertas en ramales (Δp_{mr}) [Pa]: 10Mínimo desequilibrio para justificar el equilibrado y la inserción de compuertas en terminales (Δp_{msr}) [Pa]: 10Máxima pérdida de carga admisible para las compuertas en terminales (Δp_{MT}) [Pa]: 0**MAXIMA PERDIDA**

Presión total para el camino más desfavorable [Pa]: 227.37

Presión estática para el camino más desfavorable [Pa]: 197.09

CAMINO MAS DESFAVOR.

000-001-013-022-020-018-016-014

SEGMENTO 1:

Tipo: Tramo

1 ELEMENTO		2 Caudal Q	3 Diam. D/D _e	4 Ancho A	5 Alto B	6 Long. L	7 $\Delta p/L$	8 Fuente Tab	9 Ashrae X	10 Ashrae Y	11 Coeff. C _o	12 Veloc. V	13 P.Dinám P _v	14 Pérdida Δp_r o Δp_c
N. pz.	Cod.	[m³/h]	[mm]	[mm]	[mm]	[m]	[Pa/m]	n.	-	-	-	[m/s]	[Pa]	[Pa]
1	310R	13020	778	600	850	3.53	0.7					7.1	30.35	2.48
2	079R	13020	778	600	850	0	0	3.5	1.420	0.833	0.336	7.1	30.35	10.16
3	310R	13020	778	600	850	13.14	0.7					7.1	30.35	9.25

Pérdida de carga acumulada del segmento

Δp_t [Pa] : 21.9

Velocidad en la sección inicial del segmento

V_m [m/s] : 7.1

Velocidad en la sección final del segmento

V_v [m/s] : 7.1

Recuperación de presión estática del segmento

Δp_r [Pa] : 0

Pérdida de carga acumulada del segmento, considerando la recuperación

Δp_{tm} [Pa] : 21.9

Pérdida de carga acumulada neta – total acumulado

$\Sigma \Delta p_{tm}$ [Pa] : 21.9

SEGMENTO 13:

Tipo: Tramo

1 ELEMENTO		2 Caudal Q	3 Diam. D/D _e	4 Ancho A	5 Alto B	6 Long. L	7 $\Delta p/L$	8 Fuente Tab	9 Ashrae X	10 Ashrae Y	11 Coeff. C _o	12 Veloc. V	13 P.Dinám P _v	14 Pérdida Δp_r o Δp_c
N. pz.	Cod.	[m³/h]	[mm]	[mm]	[mm]	[m]	[Pa/m]	n.	-	-	-	[m/s]	[Pa]	[Pa]
88	3733D	6510	533	600	400	0	0	ASH6_33	0.471		0.300	7.5	33.86	9.08
104	023R	6510	533	600	400	0.19	0	4.3	30.000	1.170	0.300	7.5	33.86	10.25
44	310R	6510	573	700	400	14.2	0.87					6.5	25.43	12.39
46	079R	6510	573	700	400	0	0	3.5	0.571	0.786	0.471	6.5	25.43	11.82
47	310R	6510	573	700	400	2.17	0.87					6.5	25.43	1.89
49	079R	6510	573	700	400	0	0	3.5	0.571	0.786	0.282	6.5	25.43	7.09
50	310R	6510	573	700	400	0.64	0.88					6.5	25.43	0.56
52	079R	6510	573	700	400	0	0	3.5	0.571	0.786	0.282	6.5	25.43	7.09
53	310R	6510	573	700	400	0.67	0.88					6.5	25.43	0.59
55	079R	6510	573	700	400	0	0	3.5	0.571	0.786	0.471	6.5	25.43	11.82
56	310R	6510	573	700	400	4.05	0.87					6.5	25.43	3.53
58	079R	6510	573	700	400	0	0	3.5	0.571	0.786	0.471	6.5	25.43	11.82
59	310R	6510	573	700	400	1.93	0.88					6.5	25.43	1.69
61	079R	6510	573	700	400	0	0	3.5	0.571	0.786	0.471	6.5	25.43	11.82
62	310R	6510	592	750	400	3.54	0.74					6	21.67	2.63

Pérdida de carga acumulada del segmento

Δp_t [Pa] : 104.09

Velocidad en la sección inicial del segmento

V_m [m/s] : 7.1

Velocidad en la sección final del segmento

V_v [m/s] : 6

Recuperación de presión estática del segmento

Δp_r [Pa] : 8.67

Pérdida de carga acumulada del segmento, considerando la recuperación

Δp_{tm} [Pa] : 95.69

Pérdida de carga acumulada neta – total acumulado

$\Sigma \Delta p_{tm}$ [Pa] : 117.58

SEGMENTO 23:

Tipo: Terminal TRM-3

1 ELEMENTO		2 Caudal Q	3 Diam. D/D _e	4 Ancho A	5 Alto B	6 Long. L	7 $\Delta p/L$	8 Fuente Tab	9 Ashrae X	10 Ashrae Y	11 Coeff. C _o	12 Veloc. V	13 P.Dinám P _v	14 Pérdida Δp_r o Δp_c
N. pz.	Cod.	[m³/h]	[mm]	[mm]	[mm]	[m]	[Pa/m]	n.	-	-	-	[m/s]	[Pa]	[Pa]
105	10RA	1085	544	1130	250	0	0	ASH6_28	0.167	0.177	1.020	1.1	0.73	22.24
85	310R	1085	544	1130	250	0.08	0					1.1	0.73	0

87	05LR	1085	1130	1130	250	0	0	MC4				1.1	0.73	62.71
----	------	------	------	------	-----	---	---	-----	--	--	--	-----	------	-------

Pérdida de carga acumulada del segmento	Δp_t	[Pa]	: 22.24
Velocidad en la sección inicial del segmento	V_m	[m/s]	: 6
Velocidad en la sección final del segmento	V_v	[m/s]	: 1.1
Recuperación de presión estática del segmento	Δp_r	[Pa]	: 20.94
Pérdida de carga acumulada del segmento, considerando la recuperación	Δp_{tn}	[Pa]	: 1.05
Pérdida de carga acumulada neta – total acumulado	$\Sigma \Delta p_{tn}$	[Pa]	: 181.35
Desequilibrio del terminal respecto al camino más desfavorable	Δp_{Tmr}	[Pa]	: 15.74

SEGMENTO 22:

Tipo: Tramo

1 ELEMENTO		2 Caudal Q	3 Diam. D/D _e	4 Ancho A	5 Alto B	6 Long. L	7 $\Delta p/L$	8 Fuente Tab	9 Ashrae X	10 Ashrae Y	11 Coeff. C _o	12 Veloc. V	13 P.Dinám P _v	14 Pérdida Δp_r o Δp_c
N. pz.	Cod.	[m³/h]	[mm]	[mm]	[mm]	[m]	[Pa/m]	n.	-	-	-	[m/s]	[Pa]	[Pa]
106	10RA	5425	592	750	400	0	0	ASH6_28M	0.833		0.017	5	15.05	0.36
65	310R	5425	592	750	400	1.15	0.53					5	15.05	0.61

Pérdida de carga acumulada del segmento	Δp_t	[Pa]	: 0.97
Velocidad en la sección inicial del segmento	V_m	[m/s]	: 6
Velocidad en la sección final del segmento	V_v	[m/s]	: 5
Recuperación de presión estática del segmento	Δp_r	[Pa]	: 6.62
Pérdida de carga acumulada del segmento, considerando la recuperación	Δp_{tn}	[Pa]	: -5.71
Pérdida de carga acumulada neta – total acumulado	$\Sigma \Delta p_{tn}$	[Pa]	: 111.87

SEGMENTO 21:

Tipo: Terminal TRM-3

1 ELEMENTO		2 Caudal Q	3 Diam. D/D _e	4 Ancho A	5 Alto B	6 Long. L	7 $\Delta p/L$	8 Fuente Tab	9 Ashrae X	10 Ashrae Y	11 Coeff. C _o	12 Veloc. V	13 P.Dinám P _v	14 Pérdida Δp_r o Δp_c
N. pz.	Cod.	[m³/h]	[mm]	[mm]	[mm]	[m]	[Pa/m]	n.	-	-	-	[m/s]	[Pa]	[Pa]
107	10RA	1085	544	1130	250	0	0	ASH6_28	0.200	0.212	1.010	1.1	0.73	15.34
82	310R	1085	544	1130	250	0.08	0					1.1	0.73	0
84	05LR	1085	1130	1130	250	0	0	MC4				1.1	0.73	62.71

Pérdida de carga acumulada del segmento	Δp_t	[Pa]	: 15.34
Velocidad en la sección inicial del segmento	V_m	[m/s]	: 5
Velocidad en la sección final del segmento	V_v	[m/s]	: 1.1
Recuperación de presión estática del segmento	Δp_r	[Pa]	: 14.32
Pérdida de carga acumulada del segmento, considerando la recuperación	Δp_{tn}	[Pa]	: 0.84
Pérdida de carga acumulada neta – total acumulado	$\Sigma \Delta p_{tn}$	[Pa]	: 175.42
Desequilibrio del terminal respecto al camino más desfavorable	Δp_{Tmr}	[Pa]	: 21.67

SEGMENTO 20:

Tipo: Tramo

1 ELEMENTO		2 Caudal Q	3 Diam. D/D _e	4 Ancho A	5 Alto B	6 Long. L	7 $\Delta p/L$	8 Fuente Tab	9 Ashrae X	10 Ashrae Y	11 Coeff. C _o	12 Veloc. V	13 P.Dinám P _v	14 Pérdida Δp_r o Δp_c
N. pz.	Cod.	[m³/h]	[mm]	[mm]	[mm]	[m]	[Pa/m]	n.	-	-	-	[m/s]	[Pa]	[Pa]

108	10RA	4340	592	750	400	0	0	ASH6_28M	0.800		0.020	4	9.63	0.3
111	283R	4340	533	600	400	0.36	0	5.1	30.000	1.250	0.050	5	15.05	0.76
66	310R	4340	533	600	400	1.15	0.58					5	15.05	0.67

Pérdida de carga acumulada del segmento	Δp_t	[Pa]	: 1.73
Velocidad en la sección inicial del segmento	V_m	[m/s]	: 5
Velocidad en la sección final del segmento	V_v	[m/s]	: 5
Recuperación de presión estática del segmento	Δp_r	[Pa]	: 0
Pérdida de carga acumulada del segmento, considerando la recuperación	Δp_{tm}	[Pa]	: 1.73
Pérdida de carga acumulada neta – total acumulado	$\Sigma \Delta p_{tm}$	[Pa]	: 113.6

SEGMENTO 19:

Tipo: Terminal TRM-3

1 ELEMENTO		2 Caudal Q	3 Diam. D/D _e	4 Ancho A	5 Alto B	6 Long. L	7 $\Delta p/L$	8 Fuente Tab	9 Ashrae X	10 Ashrae Y	11 Coeff. C _o	12 Veloc. V	13 P.Dinám P _v	14 Pérdida Δp_r o Δp_c
N. pz.	Cod.	[m³/h]	[mm]	[mm]	[mm]	[m]	[Pa/m]	n.	-	-	-	[m/s]	[Pa]	[Pa]
109	10RA	1085	544	1130	250	0	0	ASH6_28	0.250	0.212	1.030	1.1	0.73	15.65
79	310R	1085	544	1130	250	0.08	0					1.1	0.73	0
81	05LR	1085	1130	1130	250	0	0	MC4				1.1	0.73	62.71

Pérdida de carga acumulada del segmento	Δp_t	[Pa]	: 15.65
Velocidad en la sección inicial del segmento	V_m	[m/s]	: 5
Velocidad en la sección final del segmento	V_v	[m/s]	: 1.1
Recuperación de presión estática del segmento	Δp_r	[Pa]	: 14.32
Pérdida de carga acumulada del segmento, considerando la recuperación	Δp_{tm}	[Pa]	: 1.14
Pérdida de carga acumulada neta – total acumulado	$\Sigma \Delta p_{tm}$	[Pa]	: 177.46
Desequilibrio del terminal respecto al camino más desfavorable	Δp_{Tmr}	[Pa]	: 19.63

SEGMENTO 18:

Tipo: Tramo

1 ELEMENTO		2 Caudal Q	3 Diam. D/D _e	4 Ancho A	5 Alto B	6 Long. L	7 $\Delta p/L$	8 Fuente Tab	9 Ashrae X	10 Ashrae Y	11 Coeff. C _o	12 Veloc. V	13 P.Dinám P _v	14 Pérdida Δp_r o Δp_c
N. pz.	Cod.	[m³/h]	[mm]	[mm]	[mm]	[m]	[Pa/m]	n.	-	-	-	[m/s]	[Pa]	[Pa]
110	10RA	3255	533	600	400	0	0	ASH6_28M	0.750		0.030	3.8	8.69	0.46
114	283R	3255	488	500	400	0.27	0	5.1	30.000	1.200	0.050	4.5	12.19	0.62
67	310R	3255	488	500	400	1.15	0.53					4.5	12.19	0.61

Pérdida de carga acumulada del segmento	Δp_t	[Pa]	: 1.68
Velocidad en la sección inicial del segmento	V_m	[m/s]	: 5
Velocidad en la sección final del segmento	V_v	[m/s]	: 4.5
Recuperación de presión estática del segmento	Δp_r	[Pa]	: 2.86
Pérdida de carga acumulada del segmento, considerando la recuperación	Δp_{tm}	[Pa]	: -1.21
Pérdida de carga acumulada neta – total acumulado	$\Sigma \Delta p_{tm}$	[Pa]	: 112.39

SEGMENTO 17:

Tipo: Terminal TRM-3

1 ELEMENTO	2 Caudal Q	3 Diam. D/D _e	4 Ancho A	5 Alto B	6 Long. L	7 $\Delta p/L$	8 Fuente Tab	9 Ashrae X	10 Ashrae Y	11 Coeff. C _o	12 Veloc. V	13 P.Dinám P _v	14 Pérdida Δp_r o Δp_c
---------------	------------------	--------------------------------	-----------------	----------------	-----------------	-------------------	--------------------	------------------	-------------------	--------------------------------	-------------------	---------------------------------	--

N. pz.	Cod.	[m³/h]	[mm]	[mm]	[mm]	[m]	[Pa/m]	n.	-	-	-	[m/s]	[Pa]	[Pa]
112	10RA	1085	544	1130	250	0	0	ASH6_28	0.333	0.236	1.070	1.1	0.73	13.21
76	310R	1085	544	1130	250	0.08	0					1.1	0.73	0
78	05LR	1085	1130	1130	250	0	0	MC4				1.1	0.73	62.71

Pérdida de carga acumulada del segmento	Δp_t	[Pa] : 13.21
Velocidad en la sección inicial del segmento	V_m	[m/s] : 4.5
Velocidad en la sección final del segmento	V_v	[m/s] : 1.1
Recuperación de presión estática del segmento	Δp_r	[Pa] : 11.46
Pérdida de carga acumulada del segmento, considerando la recuperación	Δp_{tm}	[Pa] : 1.59
Pérdida de carga acumulada neta – total acumulado	$\Sigma \Delta p_{tm}$	[Pa] : 176.7
Desequilibrio del terminal respecto al camino más desfavorable	Δp_{Tmr}	[Pa] : 20.39

SEGMENTO 16:

Tipo: Tramo

1 ELEMENTO		2 Caudal Q	3 Diam. D/D _e	4 Ancho A	5 Alto B	6 Long. L	7 $\Delta p/L$	8 Fuente Tab	9 Ashrae X	10 Ashrae Y	11 Coeff. C _o	12 Veloc. V	13 P.Dinám P _v	14 Pérdida Δp_r o Δp_e
N. pz.	Cod.	[m³/h]	[mm]	[mm]	[mm]	[m]	[Pa/m]	n.	-	-	-	[m/s]	[Pa]	[Pa]
113	10RA	2170	488	500	400	0	0	ASH6_28M	0.667		0.047	3	5.42	0.57
117	033R	2170	414	600	250	0.27	0	4.3	30.000	1.330	0.300	4	9.63	2.92
68	310R	2170	414	600	250	1.15	0.56					4	9.63	0.64

Pérdida de carga acumulada del segmento	Δp_t	[Pa] : 4.13
Velocidad en la sección inicial del segmento	V_m	[m/s] : 4.5
Velocidad en la sección final del segmento	V_v	[m/s] : 4
Recuperación de presión estática del segmento	Δp_r	[Pa] : 2.56
Pérdida de carga acumulada del segmento, considerando la recuperación	Δp_{tm}	[Pa] : 1.55
Pérdida de carga acumulada neta – total acumulado	$\Sigma \Delta p_{tm}$	[Pa] : 113.94

SEGMENTO 15:

Tipo: Terminal TRM-3

1 ELEMENTO		2 Caudal Q	3 Diam. D/D _e	4 Ancho A	5 Alto B	6 Long. L	7 $\Delta p/L$	8 Fuente Tab	9 Ashrae X	10 Ashrae Y	11 Coeff. C _o	12 Veloc. V	13 P.Dinám P _v	14 Pérdida Δp_r o Δp_e
N. pz.	Cod.	[m³/h]	[mm]	[mm]	[mm]	[m]	[Pa/m]	n.	-	-	-	[m/s]	[Pa]	[Pa]
115	10RA	1085	544	1130	250	0	0	ASH6_28	0.500	0.265	1.270	1.1	0.73	12.35
73	310R	1085	544	1130	250	0.08	0					1.1	0.73	0
75	05LR	1085	1130	1130	250	0	0	MC4				1.1	0.73	62.71

Pérdida de carga acumulada del segmento	Δp_t	[Pa] : 12.35
Velocidad en la sección inicial del segmento	V_m	[m/s] : 4
Velocidad en la sección final del segmento	V_v	[m/s] : 1.1
Recuperación de presión estática del segmento	Δp_r	[Pa] : 8.9
Pérdida de carga acumulada del segmento, considerando la recuperación	Δp_{tm}	[Pa] : 3.31
Pérdida de carga acumulada neta – total acumulado	$\Sigma \Delta p_{tm}$	[Pa] : 179.97
Desequilibrio del terminal respecto al camino más desfavorable	Δp_{Tmr}	[Pa] : 17.12

SEGMENTO 14:

Tipo: Terminal TRM-3

1 ELEMENTO		2 Caudal Q	3 Diam. D/D _e	4 Ancho A	5 Alto B	6 Long. L	7 $\Delta p/L$	8 Fuente Tab	9 Ashrae X	10 Ashrae Y	11 Coeff. C _o	12 Veloc. V	13 P.Dinám P _v	14 Pérdida Δp_r o Δp_c
N. pz.	Cod.	[m³/h]	[mm]	[mm]	[mm]	[m]	[Pa/m]	n.	-	-	-	[m/s]	[Pa]	[Pa]
116	10RA	1085	414	600	250	0	0	ASH6_28M	0.500		0.090	2	2.41	0.87
118	283R	1085	299	300	250	0.62	0	5.1	30.000	2.000	0.050	4	9.63	0.49
69	310R	1085	299	300	250	1.15	0.77					4	9.63	0.89
64	10RAT	1085	299	300	250	0	0	2.6f	1.000	0.836	2.800	4	9.63	27.22
70	310R	1085	544	1130	250	0.08	0					1.1	0.73	0
72	05LR	1085	1130	1130	250	0	0	MC4				1.1	0.73	62.71

Pérdida de carga acumulada del segmento	Δp_t	[Pa]	: 29.47
Velocidad en la sección inicial del segmento	V_m	[m/s]	: 4
Velocidad en la sección final del segmento	V_v	[m/s]	: 1.1
Recuperación de presión estática del segmento	Δp_r	[Pa]	: 8.9
Pérdida de carga acumulada del segmento, considerando la recuperación	Δp_{tm}	[Pa]	: 20.44
Pérdida de carga acumulada neta – total acumulado	$\Sigma \Delta p_{tm}$	[Pa]	: 197.09

SEGMENTO 12:

Tipo: Tramo

1 ELEMENTO		2 Caudal Q	3 Diam. D/D _e	4 Ancho A	5 Alto B	6 Long. L	7 $\Delta p/L$	8 Fuente Tab	9 Ashrae X	10 Ashrae Y	11 Coeff. C _o	12 Veloc. V	13 P.Dinám P _v	14 Pérdida Δp_r o Δp_c
N. pz.	Cod.	[m³/h]	[mm]	[mm]	[mm]	[m]	[Pa/m]	n.	-	-	-	[m/s]	[Pa]	[Pa]
7	3733D	6510	533	600	400	0	0	ASH6_33			0.300	7.5	33.86	9.08
89	023R	6510	533	600	400	0.19	0	4.3	30.000	1.170	0.300	7.5	33.86	10.25
6	310R	6510	573	700	400	15.81	0.87					6.5	25.43	13.8
8	079R	6510	573	700	400	0	0	3.5	0.571	0.786	0.471	6.5	25.43	11.82
9	310R	6510	573	700	400	3.36	0.87					6.5	25.43	2.93
11	079R	6510	573	700	400	0	0	3.5	0.571	0.786	0.471	6.5	25.43	11.82
12	310R	6510	573	700	400	4.05	0.87					6.5	25.43	3.53
14	079R	6510	573	700	400	0	0	3.5	0.571	0.786	0.471	6.5	25.43	11.82
15	310R	6510	573	700	400	1.93	0.88					6.5	25.43	1.69
17	079R	6510	573	700	400	0	0	3.5	0.571	0.786	0.471	6.5	25.43	11.82
18	310R	6510	609	800	400	2.74	0.65					5.7	19.56	1.77

Pérdida de carga acumulada del segmento	Δp_t	[Pa]	: 90.33
Velocidad en la sección inicial del segmento	V_m	[m/s]	: 7.1
Velocidad en la sección final del segmento	V_v	[m/s]	: 5.7
Recuperación de presión estática del segmento	Δp_r	[Pa]	: 10.79
Pérdida de carga acumulada del segmento, considerando la recuperación	Δp_{tm}	[Pa]	: 79.28
Pérdida de carga acumulada neta – total acumulado	$\Sigma \Delta p_{tm}$	[Pa]	: 101.18

SEGMENTO 11:

Tipo: Terminal TRM-3

1 ELEMENTO		2 Caudal Q	3 Diam. D/D _e	4 Ancho A	5 Alto B	6 Long. L	7 $\Delta p/L$	8 Fuente Tab	9 Ashrae X	10 Ashrae Y	11 Coeff. C _o	12 Veloc. V	13 P.Dinám P _v	14 Pérdida Δp_r o Δp_c
N. pz.	Cod.	[m³/h]	[mm]	[mm]	[mm]	[m]	[Pa/m]	n.	-	-	-	[m/s]	[Pa]	[Pa]
90	10RA	1085	544	1130	250	0	0	ASH6_28	0.167	0.189	1.020	1.1	0.73	19.54
41	310R	1085	544	1130	250	0.08	0					1.1	0.73	0
43	05LR	1085	1130	1130	250	0	0	MC4				1.1	0.73	62.71

Pérdida de carga acumulada del segmento	Δp_t	[Pa]	: 19.55
Velocidad en la sección inicial del segmento	V_m	[m/s]	: 5.7

Velocidad en la sección final del segmento	V_v	[m/s]	: 1.1
Recuperación de presión estática del segmento	Δp_r	[Pa]	: 18.83
Pérdida de carga acumulada del segmento, considerando la recuperación	Δp_{tn}	[Pa]	: 1.01
Pérdida de carga acumulada neta – total acumulado	$\Sigma \Delta p_{tn}$	[Pa]	: 164.9
Desequilibrio del terminal respecto al camino más desfavorable	Δp_{Tmr}	[Pa]	: 32.19

SEGMENTO 10:

Tipo: Tramo

1 ELEMENTO		2 Caudal Q	3 Diam. D/D _e	4 Ancho A	5 Alto B	6 Long. L	7 $\Delta p/L$	8 Fuente Tab	9 Ashrae X	10 Ashrae Y	11 Coeff. C _o	12 Veloc. V	13 P.Dinám P _v	14 Pérdida Δp_r o Δp_c
N. pz.	Cod.	[m³/h]	[mm]	[mm]	[mm]	[m]	[Pa/m]	n.	-	-	-	[m/s]	[Pa]	[Pa]
91	10RA	5425	609	800	400	0	0	ASH6_28M	0.833		0.017	4.7	13.3	0.32
21	310R	5425	609	800	400	1.15	0.46					4.7	13.3	0.53

Pérdida de carga acumulada del segmento	Δp_t	[Pa]	: 0.85
Velocidad en la sección inicial del segmento	V_m	[m/s]	: 5.7
Velocidad en la sección final del segmento	V_v	[m/s]	: 4.7
Recuperación de presión estática del segmento	Δp_r	[Pa]	: 6.26
Pérdida de carga acumulada del segmento, considerando la recuperación	Δp_{tn}	[Pa]	: -5.03
Pérdida de carga acumulada neta – total acumulado	$\Sigma \Delta p_{tn}$	[Pa]	: 96.15

SEGMENTO 9:

Tipo: Terminal TRM-3

1 ELEMENTO		2 Caudal Q	3 Diam. D/D _e	4 Ancho A	5 Alto B	6 Long. L	7 $\Delta p/L$	8 Fuente Tab	9 Ashrae X	10 Ashrae Y	11 Coeff. C _o	12 Veloc. V	13 P.Dinám P _v	14 Pérdida Δp_r o Δp_c
N. pz.	Cod.	[m³/h]	[mm]	[mm]	[mm]	[m]	[Pa/m]	n.	-	-	-	[m/s]	[Pa]	[Pa]
92	10RA	1085	544	1130	250	0	0	ASH6_28	0.200	0.227	1.010	1.1	0.73	13.48
38	310R	1085	544	1130	250	0.08	0					1.1	0.73	0
40	05LR	1085	1130	1130	250	0	0	MC4				1.1	0.73	62.71

Pérdida de carga acumulada del segmento	Δp_t	[Pa]	: 13.49
Velocidad en la sección inicial del segmento	V_m	[m/s]	: 4.7
Velocidad en la sección final del segmento	V_v	[m/s]	: 1.1
Recuperación de presión estática del segmento	Δp_r	[Pa]	: 12.57
Pérdida de carga acumulada del segmento, considerando la recuperación	Δp_{tn}	[Pa]	: 0.82
Pérdida de carga acumulada neta – total acumulado	$\Sigma \Delta p_{tn}$	[Pa]	: 159.69
Desequilibrio del terminal respecto al camino más desfavorable	Δp_{Tmr}	[Pa]	: 37.4

SEGMENTO 8:

Tipo: Tramo

1 ELEMENTO		2 Caudal Q	3 Diam. D/D _e	4 Ancho A	5 Alto B	6 Long. L	7 $\Delta p/L$	8 Fuente Tab	9 Ashrae X	10 Ashrae Y	11 Coeff. C _o	12 Veloc. V	13 P.Dinám P _v	14 Pérdida Δp_r o Δp_c
N. pz.	Cod.	[m³/h]	[mm]	[mm]	[mm]	[m]	[Pa/m]	n.	-	-	-	[m/s]	[Pa]	[Pa]
93	10RA	4340	609	800	400	0	0	ASH6_28M	0.800		0.020	3.8	8.69	0.27
96	283R	4340	533	600	400	0.45	0	5.1	30.000	1.330	0.050	5	15.05	0.76
22	310R	4340	533	600	400	1.15	0.58					5	15.05	0.67

Pérdida de carga acumulada del segmento	Δp_t	[Pa]	: 1.7
Velocidad en la sección inicial del segmento	V_m	[m/s]	: 4.7
Velocidad en la sección final del segmento	V_v	[m/s]	: 5
Recuperación de presión estática del segmento	Δp_r	[Pa]	: -1.75
Pérdida de carga acumulada del segmento, considerando la recuperación	Δp_{tn}	[Pa]	: 3.54
Pérdida de carga acumulada neta – total acumulado	$\Sigma \Delta p_{tn}$	[Pa]	: 99.69

SEGMENTO 7:

Tipo: Terminal TRM-3

1 ELEMENTO		2 Caudal Q	3 Diam. D/D _e	4 Ancho A	5 Alto B	6 Long. L	7 $\Delta p/L$	8 Fuente Tab	9 Ashrae X	10 Ashrae Y	11 Coeff. C _o	12 Veloc. V	13 P.Dinám P _v	14 Pérdida Δp_r o Δp_e
N. pz.	Cod.	[m³/h]	[mm]	[mm]	[mm]	[m]	[Pa/m]	n.	-	-	-	[m/s]	[Pa]	[Pa]
94	10RA	1085	544	1130	250	0	0	ASH6_28	0.250	0.212	1.030	1.1	0.73	15.65
35	310R	1085	544	1130	250	0.08	0					1.1	0.73	0
37	05LR	1085	1130	1130	250	0	0	MC4				1.1	0.73	62.71

Pérdida de carga acumulada del segmento	Δp_t	[Pa]	: 15.65
Velocidad en la sección inicial del segmento	V_m	[m/s]	: 5
Velocidad en la sección final del segmento	V_v	[m/s]	: 1.1
Recuperación de presión estática del segmento	Δp_r	[Pa]	: 14.32
Pérdida de carga acumulada del segmento, considerando la recuperación	Δp_{tn}	[Pa]	: 1.14
Pérdida de carga acumulada neta – total acumulado	$\Sigma \Delta p_{tn}$	[Pa]	: 163.55
Desequilibrio del terminal respecto al camino más desfavorable	Δp_{Tmr}	[Pa]	: 33.55

SEGMENTO 6:

Tipo: Tramo

1 ELEMENTO		2 Caudal Q	3 Diam. D/D _e	4 Ancho A	5 Alto B	6 Long. L	7 $\Delta p/L$	8 Fuente Tab	9 Ashrae X	10 Ashrae Y	11 Coeff. C _o	12 Veloc. V	13 P.Dinám P _v	14 Pérdida Δp_r o Δp_e
N. pz.	Cod.	[m³/h]	[mm]	[mm]	[mm]	[m]	[Pa/m]	n.	-	-	-	[m/s]	[Pa]	[Pa]
95	10RA	3255	533	600	400	0	0	ASH6_28M	0.750		0.030	3.8	8.69	0.46
99	283R	3255	488	500	400	0.27	0	5.1	30.000	1.200	0.050	4.5	12.19	0.62
23	310R	3255	488	500	400	1.15	0.53					4.5	12.19	0.61

Pérdida de carga acumulada del segmento	Δp_t	[Pa]	: 1.68
Velocidad en la sección inicial del segmento	V_m	[m/s]	: 5
Velocidad en la sección final del segmento	V_v	[m/s]	: 4.5
Recuperación de presión estática del segmento	Δp_r	[Pa]	: 2.86
Pérdida de carga acumulada del segmento, considerando la recuperación	Δp_{tn}	[Pa]	: -1.21
Pérdida de carga acumulada neta – total acumulado	$\Sigma \Delta p_{tn}$	[Pa]	: 98.48

SEGMENTO 5:

Tipo: Terminal TRM-3

1 ELEMENTO		2 Caudal Q	3 Diam. D/D _e	4 Ancho A	5 Alto B	6 Long. L	7 $\Delta p/L$	8 Fuente Tab	9 Ashrae X	10 Ashrae Y	11 Coeff. C _o	12 Veloc. V	13 P.Dinám P _v	14 Pérdida Δp_r o Δp_e
N. pz.	Cod.	[m³/h]	[mm]	[mm]	[mm]	[m]	[Pa/m]	n.	-	-	-	[m/s]	[Pa]	[Pa]
97	10RA	1085	544	1130	250	0	0	ASH6_28	0.333	0.236	1.070	1.1	0.73	13.21
32	310R	1085	544	1130	250	0.08	0					1.1	0.73	0
34	05LR	1085	1130	1130	250	0	0	MC4				1.1	0.73	62.71

Pérdida de carga acumulada del segmento	Δp_t	[Pa]	: 13.21
Velocidad en la sección inicial del segmento	V_m	[m/s]	: 4.5
Velocidad en la sección final del segmento	V_v	[m/s]	: 1.1
Recuperación de presión estática del segmento	Δp_r	[Pa]	: 11.46
Pérdida de carga acumulada del segmento, considerando la recuperación	Δp_{tn}	[Pa]	: 1.59
Pérdida de carga acumulada neta – total acumulado	$\Sigma \Delta p_{tn}$	[Pa]	: 162.78
Desequilibrio del terminal respecto al camino más desfavorable	Δp_{Tmr}	[Pa]	: 34.31

SEGMENTO 4:

Tipo: Tramo

1 ELEMENTO		2 Caudal Q	3 Diam. D/D _e	4 Ancho A	5 Alto B	6 Long. L	7 $\Delta p/L$	8 Fuente Tab	9 Ashrae X	10 Ashrae Y	11 Coeff. C _o	12 Veloc. V	13 P.Dinám P _v	14 Pérdida Δp_r o Δp_c
N. pz.	Cod.	[m³/h]	[mm]	[mm]	[mm]	[m]	[Pa/m]	n.	-	-	-	[m/s]	[Pa]	[Pa]
98	10RA	2170	488	500	400	0	0	ASH6_28M	0.667		0.047	3	5.42	0.57
102	283R	2170	420	500	300	0.19	0	5.1	30.000	1.330	0.050	4	9.63	0.49
24	310R	2170	420	500	300	1.15	0.52					4	9.63	0.6

Pérdida de carga acumulada del segmento	Δp_t	[Pa]	: 1.66
Velocidad en la sección inicial del segmento	V_m	[m/s]	: 4.5
Velocidad en la sección final del segmento	V_v	[m/s]	: 4
Recuperación de presión estática del segmento	Δp_r	[Pa]	: 2.56
Pérdida de carga acumulada del segmento, considerando la recuperación	Δp_{tn}	[Pa]	: -0.92
Pérdida de carga acumulada neta – total acumulado	$\Sigma \Delta p_{tn}$	[Pa]	: 97.56

SEGMENTO 3:

Tipo: Terminal TRM-3

1 ELEMENTO		2 Caudal Q	3 Diam. D/D _e	4 Ancho A	5 Alto B	6 Long. L	7 $\Delta p/L$	8 Fuente Tab	9 Ashrae X	10 Ashrae Y	11 Coeff. C _o	12 Veloc. V	13 P.Dinám P _v	14 Pérdida Δp_r o Δp_c
N. pz.	Cod.	[m³/h]	[mm]	[mm]	[mm]	[m]	[Pa/m]	n.	-	-	-	[m/s]	[Pa]	[Pa]
100	10RA	1085	544	1130	250	0	0	ASH6_28	0.500	0.265	1.270	1.1	0.73	12.35
29	310R	1085	544	1130	250	0.08	0					1.1	0.73	0
31	05LR	1085	1130	1130	250	0	0	MC4				1.1	0.73	62.71

Pérdida de carga acumulada del segmento	Δp_t	[Pa]	: 12.35
Velocidad en la sección inicial del segmento	V_m	[m/s]	: 4
Velocidad en la sección final del segmento	V_v	[m/s]	: 1.1
Recuperación de presión estática del segmento	Δp_r	[Pa]	: 8.9
Pérdida de carga acumulada del segmento, considerando la recuperación	Δp_{tn}	[Pa]	: 3.31
Pérdida de carga acumulada neta – total acumulado	$\Sigma \Delta p_{tn}$	[Pa]	: 163.58
Desequilibrio del terminal respecto al camino más desfavorable	Δp_{Tmr}	[Pa]	: 33.51

SEGMENTO 2:

Tipo: Terminal TRM-3

1 ELEMENTO		2 Caudal Q	3 Diam. D/D _e	4 Ancho A	5 Alto B	6 Long. L	7 $\Delta p/L$	8 Fuente Tab	9 Ashrae X	10 Ashrae Y	11 Coeff. C _o	12 Veloc. V	13 P.Dinám P _v	14 Pérdida Δp_r o Δp_c
N. pz.	Cod.	[m³/h]	[mm]	[mm]	[mm]	[m]	[Pa/m]	n.	-	-	-	[m/s]	[Pa]	[Pa]

Cálculo de Conductos

101	10RA	1085	420	500	300	0	0	ASH6_28M	0.500		0.090	2	2.41	0.87
103	283R	1085	299	300	250	0.45	0	5.1	30.000	2.000	0.050	4	9.63	0.49
25	310R	1085	299	300	250	1.15	0.77					4	9.63	0.89
20	10RAT	1085	299	300	250	0	0	2.6f	1.000	0.836	2.800	4	9.63	27.22
26	310R	1085	544	1130	250	0.08	0					1.1	0.73	0
28	05LR	1085	1130	1130	250	0	0	MC4				1.1	0.73	62.71

Pérdida de carga acumulada del segmento	Δp_t	[Pa] : 29.47
Velocidad en la sección inicial del segmento	V_m	[m/s] : 4
Velocidad en la sección final del segmento	V_v	[m/s] : 1.1
Recuperación de presión estática del segmento	Δp_r	[Pa] : 8.9
Pérdida de carga acumulada del segmento, considerando la recuperación	Δp_{tn}	[Pa] : 20.44
Pérdida de carga acumulada neta – total acumulado	$\Sigma \Delta p_{tn}$	[Pa] : 180.71
Desequilibrio del terminal respecto al camino más desfavorable	Δp_{Tmr}	[Pa] : 16.39

DATOS GENERALES**Cliente:****Ciudad:** Alicante**Proyectista:****SISTEMA:****Nº Expediente:****Dibujo n.:****Referencia:****Construcción:****Sistema:****Zona:** SALA DEPORTIVA PLANTA BAJA ZONA 1 IMPULSION**Circuito:****Altitud s.n.m** [m]: 7**Altura** [m]: 0**Temperatura aire** [°C]: 20**Humedad Relativa aire** [%]:**Método de cálculo: DIMENSIONADO DEL LA RED CON EL METODO DE PERDIDA DE CARGA CONSTANTE****DATOS DE CALCULO****Viscosidad del aire** [Pa*s]: 0.01816**Densidad del aire** [kg/m³]: 1.2**Revestimiento interior** :**Espesor** [mm]: 0**Rugosidad pared** [mm]: 0.15**CONDUCTOS Ratio B/A:** 0.5**OPCIONES****Tipo de cálculo elegido:** : 2

- Pérdida de carga distribuida [Pa/m]: 0.8
- Máxima velocidad en los tramos [m/s]: 6
- Máxima velocidad en los ramales [m/s]: 6

Cálculo con dimensiones normalizadas [Si/No]: Si

- Paso para el cálculo con dimensiones no normalizadas [mm]: 0
- Dimensión mínima [mm]: 0
- Dimensión máxima [mm]: 0

LIMITES**Mínimo desequilibrio para justificar el equilibrado y la inserción de compuertas en ramales** (Δp_{mr}) [Pa]: 10**Mínimo desequilibrio para justificar el equilibrado y la inserción de compuertas en terminales** (Δp_{msr}) [Pa]: 10**Máxima pérdida de carga admisible para las compuertas en terminales** (Δp_{MT}) [Pa]: 0**MAXIMA PERDIDA****Presión total para el camino más desfavorable** [Pa]: 192.03**Presión estática para el camino más desfavorable** [Pa]: 161.93**CAMINO MAS DESFAVOR.**

000-001-007-010-009

SEGMENTO 1:

Tipo: Tramo

1 ELEMENTO		2 Caudal Q	3 Diam. D/D _e	4 Ancho A	5 Alto B	6 Long. L	7 $\Delta p/L$	8 Fuente Tab	9 Ashrae X	10 Ashrae Y	11 Coeff. C _o	12 Veloc. V	13 P.Dinám P _v	14 Pérdida Δp_r o Δp_e
N. pz.	Cod.	[m³/h]	[mm]	[mm]	[mm]	[m]	[Pa/m]	n.	-	-	-	[m/s]	[Pa]	[Pa]
1	310R	4200	439	550	300	3.53	1.45					7.1	30.35	5.11
2	079R	4200	439	550	300	0	0	3.5	0.545	0.864	0.392	7.1	30.35	11.79
60	283R	4200	455	500	350	0.14	0	5.1	30.000	1.100	0.050	6.7	27.02	1.34
3	310R	4200	455	500	350	13.14	1.21					6.7	27.02	15.91
5	079R	4200	455	500	350	0	0	3.5	0.700	0.740	0.517	6.7	27.02	13.84
6	310R	4200	488	500	400	13.53	0.85					5.8	20.25	11.54
8	079R	4200	488	500	400	0	0	3.5	0.800	0.740	0.515	5.8	20.25	10.54
9	310R	4200	488	500	400	4.06	0.85					5.8	20.25	3.46
11	079R	4200	488	500	400	0	0	3.5	0.800	0.740	0.401	5.8	20.25	8.22
12	310R	4200	488	500	400	3.1	0.85					5.8	20.25	2.65
14	079R	4200	488	500	400	0	0	3.5	0.800	0.740	0.401	5.8	20.25	8.22
15	310R	4200	488	500	400	1.12	0.85					5.8	20.25	0.95
17	079R	4200	488	500	400	0	0	3.5	0.800	0.740	0.515	5.8	20.25	10.54
18	310R	4200	488	500	400	4.05	0.85					5.8	20.25	3.45
20	079R	4200	488	500	400	0	0	3.5	0.800	0.740	0.515	5.8	20.25	10.54
21	310R	4200	488	500	400	0.66	0.85					5.8	20.25	0.56

Pérdida de carga acumulada del segmento

Velocidad en la sección inicial del segmento

Velocidad en la sección final del segmento

Recuperación de presión estática del segmento

Pérdida de carga acumulada del segmento, considerando la recuperación

Pérdida de carga acumulada neta – total acumulado

Δp_t [Pa] : 118.68

V_m [m/s] : 7.1

V_v [m/s] : 5.8

Δp_r [Pa] : 10.1

Δp_{tm} [Pa] : 109.07

$\Sigma \Delta p_{tm}$ [Pa] : 109.07

SEGMENTO 7:

Tipo: Tramo

1 ELEMENTO		2 Caudal Q	3 Diam. D/D _e	4 Ancho A	5 Alto B	6 Long. L	7 $\Delta p/L$	8 Fuente Tab	9 Ashrae X	10 Ashrae Y	11 Coeff. C _o	12 Veloc. V	13 P.Dinám P _v	14 Pérdida Δp_r o Δp_e
N. pz.	Cod.	[m³/h]	[mm]	[mm]	[mm]	[m]	[Pa/m]	n.	-	-	-	[m/s]	[Pa]	[Pa]
61	3722D	2400	464	450	400	0	0	MC4	0.571	1.500	1.100	3.7	8.24	9.03
72	273R	2400	400	450	300	0.19	0	5.1	30.000	1.330	0.050	4.9	14.45	0.73
41	310R	2400	400	450	300	1.95	0.8					4.9	14.45	1.56
43	079R	2400	400	450	300	0	0	3.5	0.667	0.767	0.564	4.9	14.45	13.55
44	310R	2400	400	450	300	0.77	0.81					4.9	14.45	0.62

Pérdida de carga acumulada del segmento

Velocidad en la sección inicial del segmento

Velocidad en la sección final del segmento

Recuperación de presión estática del segmento

Pérdida de carga acumulada del segmento, considerando la recuperación

Pérdida de carga acumulada neta – total acumulado

Δp_t [Pa] : 25.5

V_m [m/s] : 5.8

V_v [m/s] : 5.3

Δp_r [Pa] : 3.34

Δp_{tm} [Pa] : 30.2

$\Sigma \Delta p_{tm}$ [Pa] : 139.26

SEGMENTO 11:

Tipo: Terminal TRM-1

1 ELEMENTO		2 Caudal Q	3 Diam. D/D _e	4 Ancho A	5 Alto B	6 Long. L	7 $\Delta p/L$	8 Fuente Tab	9 Ashrae X	10 Ashrae Y	11 Coeff. C _o	12 Veloc. V	13 P.Dinám P _v	14 Pérdida Δp_r o Δp_e
N. pz.	Cod.	[m³/h]	[mm]	[mm]	[mm]	[m]	[Pa/m]	n.	-	-	-	[m/s]	[Pa]	[Pa]
73	3736	600	299	250	300	0	0	MC4	0.250	0.556	2.730	2.2	2.91	7.93

81	273R	600	273	250	250	0.04	0	5.1	30.000	1.200	0.050	2.7	4.39	2.01
54	310R	600	273	250	250	1.2	0.41					2.7	4.39	0.49
80	42C1	600	248	248	248	0	0	4.7	30.000	1.290	0.300	3.5	7.37	2.15
56	05LC	600	248	248	248	0	0	MC4				3.5	7.37	18.83

Pérdida de carga acumulada del segmento	Δp_t	[Pa]	: 12.58
Velocidad en la sección inicial del segmento	V_m	[m/s]	: 5.3
Velocidad en la sección final del segmento	V_v	[m/s]	: 3.5
Recuperación de presión estática del segmento	Δp_r	[Pa]	: 9.54
Pérdida de carga acumulada del segmento, considerando la recuperación	Δp_{tm}	[Pa]	: 0.61
Pérdida de carga acumulada neta – total acumulado	$\Sigma \Delta p_{tm}$	[Pa]	: 158.71
Desequilibrio del terminal respecto al camino más desfavorable	Δp_{Tmr}	[Pa]	: 3.23

SEGMENTO 10:

Tipo: Tramo

1 ELEMENTO		2 Caudal Q	3 Diam. D/D _e	4 Ancho A	5 Alto B	6 Long. L	7 $\Delta p/L$	8 Fuente Tab	9 Ashrae X	10 Ashrae Y	11 Coeff. C _o	12 Veloc. V	13 P.Dinám P _v	14 Pérdida Δp_r o Δp_c
N. pz.	Cod.	[m³/h]	[mm]	[mm]	[mm]	[m]	[Pa/m]	n.	-	-	-	[m/s]	[Pa]	[Pa]
74	3736	1200	328	300	300	0	0	MC4	0.750		0.291	3.7	8.24	2.4
77	273R	1200	299	300	250	0.14	0	5.1	30.000	1.200	0.050	4.4	11.65	5.57
47	310R	1200	299	300	250	3.39	0.93					4.4	11.65	3.15

Pérdida de carga acumulada del segmento	Δp_t	[Pa]	: 11.13
Velocidad en la sección inicial del segmento	V_m	[m/s]	: 5.3
Velocidad en la sección final del segmento	V_v	[m/s]	: 4.2
Recuperación de presión estática del segmento	Δp_r	[Pa]	: 6.29
Pérdida de carga acumulada del segmento, considerando la recuperación	Δp_{tm}	[Pa]	: -0.53
Pérdida de carga acumulada neta – total acumulado	$\Sigma \Delta p_{tm}$	[Pa]	: 138.74

SEGMENTO 9:

Tipo: Terminal TRM-1

1 ELEMENTO		2 Caudal Q	3 Diam. D/D _e	4 Ancho A	5 Alto B	6 Long. L	7 $\Delta p/L$	8 Fuente Tab	9 Ashrae X	10 Ashrae Y	11 Coeff. C _o	12 Veloc. V	13 P.Dinám P _v	14 Pérdida Δp_r o Δp_c
N. pz.	Cod.	[m³/h]	[mm]	[mm]	[mm]	[m]	[Pa/m]	n.	-	-	-	[m/s]	[Pa]	[Pa]
76	3733D	600	273	250	250	0	0	ASH6_33			0.287	2.7	4.39	3
51	310R	600	273	250	250	1.2	0.41					2.7	4.39	0.49
79	42C1	600	248	248	248	0	0	4.7	30.000	1.290	0.300	3.5	7.37	2.15
53	05LC	600	248	248	248	0	0	MC4				3.5	7.37	18.83

Pérdida de carga acumulada del segmento	Δp_t	[Pa]	: 5.64
Velocidad en la sección inicial del segmento	V_m	[m/s]	: 4.2
Velocidad en la sección final del segmento	V_v	[m/s]	: 3.5
Recuperación de presión estática del segmento	Δp_r	[Pa]	: 3.24
Pérdida de carga acumulada del segmento, considerando la recuperación	Δp_{tm}	[Pa]	: 4.36
Pérdida de carga acumulada neta – total acumulado	$\Sigma \Delta p_{tm}$	[Pa]	: 161.93

SEGMENTO 8:

Tipo: Terminal TRM-1

1 ELEMENTO		2 Caudal Q	3 Diam. D/D _e	4 Ancho A	5 Alto B	6 Long. L	7 $\Delta p/L$	8 Fuente Tab	9 Ashrae X	10 Ashrae Y	11 Coeff. C _o	12 Veloc. V	13 P.Dinám P _v	14 Pérdida Δp_r o Δp_c
---------------	--	------------------	--------------------------------	-----------------	----------------	-----------------	-------------------	--------------------	------------------	-------------------	--------------------------------	-------------------	---------------------------------	--

N. pz.	Cod.	[m³/h]	[mm]	[mm]	[mm]	[m]	[Pa/m]	n.	-	-	-	[m/s]	[Pa]	[Pa]
49	3733D	600	273	250	250	0	0	ASH6_33	0.833		0.287	2.7	4.39	3
48	310R	600	273	250	250	1.2	0.41					2.7	4.39	0.49
78	42C1	600	248	248	248	0	0	4.7	30.000	1.290	0.300	3.5	7.37	2.15
50	05LC	600	248	248	248	0	0	MC4				3.5	7.37	18.83

Pérdida de carga acumulada del segmento	Δp_t	[Pa]	: 5.64
Velocidad en la sección inicial del segmento	V_m	[m/s]	: 4.2
Velocidad en la sección final del segmento	V_v	[m/s]	: 3.5
Recuperación de presión estática del segmento	Δp_r	[Pa]	: 3.24
Pérdida de carga acumulada del segmento, considerando la recuperación	Δp_{tm}	[Pa]	: 4.36
Pérdida de carga acumulada neta – total acumulado	$\Sigma \Delta p_{tm}$	[Pa]	: 161.93

SEGMENTO 12:

Tipo: Terminal TRM-1

1 ELEMENTO		2 Caudal Q	3 Diam. D/D _e	4 Ancho A	5 Alto B	6 Long. L	7 $\Delta p/L$	8 Fuente Tab	9 Ashrae X	10 Ashrae Y	11 Coeff. C _o	12 Veloc. V	13 P.Dinám P _v	14 Pérdida Δp_r o Δp_c
N. pz.	Cod.	[m³/h]	[mm]	[mm]	[mm]	[m]	[Pa/m]	n.	-	-	-	[m/s]	[Pa]	[Pa]
75	3736	600	299	250	300	0	0	MC4	0.250	0.556	2.730	2.2	2.91	7.93
83	273R	600	273	250	250	0.04	0	5.1	30.000	1.200	0.050	2.7	4.39	2.01
57	310R	600	273	250	250	1.2	0.41					2.7	4.39	0.49
82	42C1	600	248	248	248	0	0	4.7	30.000	1.290	0.300	3.5	7.37	2.15
59	05LC	600	248	248	248	0	0	MC4				3.5	7.37	18.83

Pérdida de carga acumulada del segmento	Δp_t	[Pa]	: 12.58
Velocidad en la sección inicial del segmento	V_m	[m/s]	: 5.3
Velocidad en la sección final del segmento	V_v	[m/s]	: 3.5
Recuperación de presión estática del segmento	Δp_r	[Pa]	: 9.54
Pérdida de carga acumulada del segmento, considerando la recuperación	Δp_{tm}	[Pa]	: 0.61
Pérdida de carga acumulada neta – total acumulado	$\Sigma \Delta p_{tm}$	[Pa]	: 158.71
Desequilibrio del terminal respecto al camino más desfavorable	Δp_{Tmr}	[Pa]	: 3.22

SEGMENTO 6:

Tipo: Tramo

1 ELEMENTO		2 Caudal Q	3 Diam. D/D _e	4 Ancho A	5 Alto B	6 Long. L	7 $\Delta p/L$	8 Fuente Tab	9 Ashrae X	10 Ashrae Y	11 Coeff. C _o	12 Veloc. V	13 P.Dinám P _v	14 Pérdida Δp_r o Δp_c
N. pz.	Cod.	[m³/h]	[mm]	[mm]	[mm]	[m]	[Pa/m]	n.	-	-	-	[m/s]	[Pa]	[Pa]
62	3722D	1800	378	300	400	0	0	MC4	0.571	1.500	0.250	4.2	10.62	2.66
24	310R	1800	378	300	400	9.34	0.62					4.2	10.62	5.8
23	079R	1800	378	300	400	0	0	3.5	1.330	0.900	0.364	4.2	10.62	3.8
65	273R	1800	383	350	350	0.14	0	5.1	30.000	1.140	0.050	4.1	10.12	0.5
25	310R	1800	383	350	350	1.95	0.58					4.1	10.12	1.13

Pérdida de carga acumulada del segmento	Δp_t	[Pa]	: 13.9
Velocidad en la sección inicial del segmento	V_m	[m/s]	: 5.8
Velocidad en la sección final del segmento	V_v	[m/s]	: 4
Recuperación de presión estática del segmento	Δp_r	[Pa]	: 10.62
Pérdida de carga acumulada del segmento, considerando la recuperación	Δp_{tm}	[Pa]	: 3.55
Pérdida de carga acumulada neta – total acumulado	$\Sigma \Delta p_{tm}$	[Pa]	: 112.61

SEGMENTO 3:

Tipo: Tramo

1 ELEMENTO		2 Caudal Q	3 Diam. D/D _e	4 Ancho A	5 Alto B	6 Long. L	7 $\Delta p/L$	8 Fuente Tab	9 Ashrae X	10 Ashrae Y	11 Coeff. C _o	12 Veloc. V	13 P.Dinám P _v	14 Pérdida Δp_r o Δp_c
N. pz.	Cod.	[m³/h]	[mm]	[mm]	[mm]	[m]	[Pa/m]	n.	-	-	-	[m/s]	[Pa]	[Pa]
63	3722D	1200	354	300	350	0	0	MC4	0.667	1.200	0.886	3.2	6.16	5.46
69	273R	1200	299	300	250	0.19	0	5.1	30.000	1.400	0.050	4.4	11.65	0
32	310R	1200	299	300	250	0.77	0.94					4.4	11.65	0.72

Pérdida de carga acumulada del segmento	Δp_t	[Pa] : 6.17
Velocidad en la sección inicial del segmento	V_m	[m/s] : 4
Velocidad en la sección final del segmento	V_v	[m/s] : 4.2
Recuperación de presión estática del segmento	Δp_r	[Pa] : -0.99
Pérdida de carga acumulada del segmento, considerando la recuperación	Δp_{tm}	[Pa] : 7.59
Pérdida de carga acumulada neta – total acumulado	$\Sigma \Delta p_{tm}$	[Pa] : 120.2

SEGMENTO 5:

Tipo: Terminal TRM-1

1 ELEMENTO		2 Caudal Q	3 Diam. D/D _e	4 Ancho A	5 Alto B	6 Long. L	7 $\Delta p/L$	8 Fuente Tab	9 Ashrae X	10 Ashrae Y	11 Coeff. C _o	12 Veloc. V	13 P.Dinám P _v	14 Pérdida Δp_r o Δp_c
N. pz.	Cod.	[m³/h]	[mm]	[mm]	[mm]	[m]	[Pa/m]	n.	-	-	-	[m/s]	[Pa]	[Pa]
68	3733D	600	273	250	250	0	0	ASH6_33			0.287	2.7	4.39	3
38	310R	600	273	250	250	1.2	0.41					2.7	4.39	0.49
71	42C1	600	248	248	248	0	0	4.7	30.000	1.290	0.300	3.5	7.37	2.15
40	05LC	600	248	248	248	0	0	MC4				3.5	7.37	18.83

Pérdida de carga acumulada del segmento	Δp_t	[Pa] : 5.64
Velocidad en la sección inicial del segmento	V_m	[m/s] : 4.2
Velocidad en la sección final del segmento	V_v	[m/s] : 3.5
Recuperación de presión estática del segmento	Δp_r	[Pa] : 3.24
Pérdida de carga acumulada del segmento, considerando la recuperación	Δp_{tm}	[Pa] : 4.36
Pérdida de carga acumulada neta – total acumulado	$\Sigma \Delta p_{tm}$	[Pa] : 143.39
Desequilibrio del terminal respecto al camino más desfavorable	Δp_{Tmr}	[Pa] : 18.54

SEGMENTO 4:

Tipo: Terminal TRM-1

1 ELEMENTO		2 Caudal Q	3 Diam. D/D _e	4 Ancho A	5 Alto B	6 Long. L	7 $\Delta p/L$	8 Fuente Tab	9 Ashrae X	10 Ashrae Y	11 Coeff. C _o	12 Veloc. V	13 P.Dinám P _v	14 Pérdida Δp_r o Δp_c
N. pz.	Cod.	[m³/h]	[mm]	[mm]	[mm]	[m]	[Pa/m]	n.	-	-	-	[m/s]	[Pa]	[Pa]
36	3733D	600	273	250	250	0	0	ASH6_33	0.833		0.287	2.7	4.39	3
35	310R	600	273	250	250	1.2	0.41					2.7	4.39	0.49
70	42C1	600	248	248	248	0	0	4.7	30.000	1.290	0.300	3.5	7.37	2.15
37	05LC	600	248	248	248	0	0	MC4				3.5	7.37	18.83

Pérdida de carga acumulada del segmento	Δp_t	[Pa] : 5.64
Velocidad en la sección inicial del segmento	V_m	[m/s] : 4.2
Velocidad en la sección final del segmento	V_v	[m/s] : 3.5
Recuperación de presión estática del segmento	Δp_r	[Pa] : 3.24
Pérdida de carga acumulada del segmento, considerando la recuperación	Δp_{tm}	[Pa] : 4.36
Pérdida de carga acumulada neta – total acumulado	$\Sigma \Delta p_{tm}$	[Pa] : 143.39
Desequilibrio del terminal respecto al camino más desfavorable	Δp_{Tmr}	[Pa] : 18.54

SEGMENTO 2:

Tipo: Terminal TRM-1

1 ELEMENTO		2 Caudal Q	3 Diam. D/D _e	4 Ancho A	5 Alto B	6 Long. L	7 $\Delta p/L$	8 Fuente Tab	9 Ashrae X	10 Ashrae Y	11 Coeff. C _o	12 Veloc. V	13 P.Dinám P _v	14 Pérdida Δp_r o Δp_c
N. pz.	Cod.	[m³/h]	[mm]	[mm]	[mm]	[m]	[Pa/m]	n.	-	-	-	[m/s]	[Pa]	[Pa]
64	3722D	600	322	250	350	0	0	MC4	0.667	1.200	0.576	1.9	2.17	1.25
66	273R	600	273	250	250	0.19	0	5.1	30.000	1.400	0.050	2.7	4.39	0
28	310R	600	273	250	250	3.6	0.41					2.7	4.39	1.46
27	079R	600	273	250	250	0	0	3.5	1.000	0.900	0.459	2.7	4.39	6.3
29	310R	600	273	250	250	0.77	0.4					2.7	4.39	0.31
67	42C1	600	248	248	248	0	0	4.7	30.000	1.290	0.300	3.5	7.37	2.15
31	05LC	600	248	248	248	0	0	MC4				3.5	7.37	18.83

Pérdida de carga acumulada del segmento

 Δp_t [Pa] : 11.47

Velocidad en la sección inicial del segmento

 V_m [m/s] : 4

Velocidad en la sección final del segmento

 V_v [m/s] : 3.5

Recuperación de presión estática del segmento

 Δp_r [Pa] : 2.26

Pérdida de carga acumulada del segmento, considerando la recuperación

 Δp_{tn} [Pa] : 12.98

Pérdida de carga acumulada neta – total acumulado

 $\Sigma \Delta p_{tn}$ [Pa] : 144.43

Desequilibrio del terminal respecto al camino más desfavorable

 Δp_{Tmr} [Pa] : 17.51

DATOS GENERALES**Cliente:****Ciudad:** Alicante**Proyectista:****SISTEMA:****Nº Expediente:****Dibujo n.:****Referencia:****Construcción:****Sistema:****Zona:** SALA DEPORTIVA PLANTA BAJA ZONA 1 RETORNO**Circuito:****Altitud s.n.m** [m]: 7**Altura** [m]: 0**Temperatura aire** [°C]: 20**Humedad Relativa aire** [%]:**Método de cálculo: DIMENSIONADO DE LA RED CON EL METODO DE PERDIDA DE CARGA CONSTANTE****DATOS DE CALCULO****Viscosidad del aire** [Pa*s]: 0.01816**Densidad del aire** [kg/m³]: 1.2**Revestimiento interior** :**Espesor** [mm]: 0**Rugosidad pared** [mm]: 0.15**CONDUCTOS Ratio B/A:** 0.5**OPCIONES****Tipo de cálculo elegido:** : 2

- Pérdida de carga distribuida [Pa/m]: 0.8
- Máxima velocidad en los tramos [m/s]: 6
- Máxima velocidad en los ramales [m/s]: 6

Cálculo con dimensiones normalizadas [Si/No]: Si

- Paso para el cálculo con dimensiones no normalizadas [mm]: 0
- Dimensión mínima [mm]: 0
- Dimensión máxima [mm]: 0

LIMITES**Mínimo desequilibrio para justificar el equilibrado y la inserción de compuertas en ramales** (Δp_{mr}) [Pa]: 10**Mínimo desequilibrio para justificar el equilibrado y la inserción de compuertas en terminales** (Δp_{msr}) [Pa]: 10**Máxima pérdida de carga admisible para las compuertas en terminales** (Δp_{MT}) [Pa]: 0**MAXIMA PERDIDA****Presión total para el camino más desfavorable** [Pa]: 192.03**Presión estática para el camino más desfavorable** [Pa]: 161.93**CAMINO MAS DESFAVOR.**

000-001-007-010-009

SEGMENTO 1:

Tipo: Tramo

1 ELEMENTO		2 Caudal Q	3 Diam. D/D _e	4 Ancho A	5 Alto B	6 Long. L	7 $\Delta p/L$	8 Fuente Tab	9 Ashrae X	10 Ashrae Y	11 Coeff. C _o	12 Veloc. V	13 P.Dinám P _v	14 Pérdida Δp_r o Δp_e
N. pz.	Cod.	[m³/h]	[mm]	[mm]	[mm]	[m]	[Pa/m]	n.	-	-	-	[m/s]	[Pa]	[Pa]
1	310R	4200	439	550	300	3.53	1.45					7.1	30.35	5.11
2	079R	4200	439	550	300	0	0	3.5	0.545	0.864	0.392	7.1	30.35	11.79
60	283R	4200	455	500	350	0.14	0	5.1	30.000	1.100	0.050	6.7	27.02	1.34
3	310R	4200	455	500	350	13.14	1.21					6.7	27.02	15.91
5	079R	4200	455	500	350	0	0	3.5	0.700	0.740	0.517	6.7	27.02	13.84
6	310R	4200	488	500	400	13.53	0.85					5.8	20.25	11.54
8	079R	4200	488	500	400	0	0	3.5	0.800	0.740	0.515	5.8	20.25	10.54
9	310R	4200	488	500	400	4.06	0.85					5.8	20.25	3.46
11	079R	4200	488	500	400	0	0	3.5	0.800	0.740	0.401	5.8	20.25	8.22
12	310R	4200	488	500	400	3.1	0.85					5.8	20.25	2.65
14	079R	4200	488	500	400	0	0	3.5	0.800	0.740	0.401	5.8	20.25	8.22
15	310R	4200	488	500	400	1.12	0.85					5.8	20.25	0.95
17	079R	4200	488	500	400	0	0	3.5	0.800	0.740	0.515	5.8	20.25	10.54
18	310R	4200	488	500	400	4.05	0.85					5.8	20.25	3.45
20	079R	4200	488	500	400	0	0	3.5	0.800	0.740	0.515	5.8	20.25	10.54
21	310R	4200	488	500	400	0.66	0.85					5.8	20.25	0.56

Pérdida de carga acumulada del segmento

Velocidad en la sección inicial del segmento

Velocidad en la sección final del segmento

Recuperación de presión estática del segmento

Pérdida de carga acumulada del segmento, considerando la recuperación

Pérdida de carga acumulada neta – total acumulado

Δp_t [Pa] : 118.68

V_m [m/s] : 7.1

V_v [m/s] : 5.8

Δp_r [Pa] : 10.1

Δp_{tm} [Pa] : 109.07

$\Sigma \Delta p_{tm}$ [Pa] : 109.07

SEGMENTO 7:

Tipo: Tramo

1 ELEMENTO		2 Caudal Q	3 Diam. D/D _e	4 Ancho A	5 Alto B	6 Long. L	7 $\Delta p/L$	8 Fuente Tab	9 Ashrae X	10 Ashrae Y	11 Coeff. C _o	12 Veloc. V	13 P.Dinám P _v	14 Pérdida Δp_r o Δp_e
N. pz.	Cod.	[m³/h]	[mm]	[mm]	[mm]	[m]	[Pa/m]	n.	-	-	-	[m/s]	[Pa]	[Pa]
61	3722D	2400	464	450	400	0	0	MC4	0.571	1.500	1.100	3.7	8.24	9.03
72	273R	2400	400	450	300	0.19	0	5.1	30.000	1.330	0.050	4.9	14.45	0.73
41	310R	2400	400	450	300	1.95	0.8					4.9	14.45	1.56
43	079R	2400	400	450	300	0	0	3.5	0.667	0.767	0.564	4.9	14.45	13.55
44	310R	2400	400	450	300	0.77	0.81					4.9	14.45	0.62

Pérdida de carga acumulada del segmento

Velocidad en la sección inicial del segmento

Velocidad en la sección final del segmento

Recuperación de presión estática del segmento

Pérdida de carga acumulada del segmento, considerando la recuperación

Pérdida de carga acumulada neta – total acumulado

Δp_t [Pa] : 25.5

V_m [m/s] : 5.8

V_v [m/s] : 5.3

Δp_r [Pa] : 3.34

Δp_{tm} [Pa] : 30.2

$\Sigma \Delta p_{tm}$ [Pa] : 139.26

SEGMENTO 11:

Tipo: Terminal TRM-1

1 ELEMENTO		2 Caudal Q	3 Diam. D/D _e	4 Ancho A	5 Alto B	6 Long. L	7 $\Delta p/L$	8 Fuente Tab	9 Ashrae X	10 Ashrae Y	11 Coeff. C _o	12 Veloc. V	13 P.Dinám P _v	14 Pérdida Δp_r o Δp_e
N. pz.	Cod.	[m³/h]	[mm]	[mm]	[mm]	[m]	[Pa/m]	n.	-	-	-	[m/s]	[Pa]	[Pa]
73	3736	600	299	250	300	0	0	MC4	0.250	0.556	2.730	2.2	2.91	7.93

81	273R	600	273	250	250	0.04	0	5.1	30.000	1.200	0.050	2.7	4.39	2.01
54	310R	600	273	250	250	1.2	0.41					2.7	4.39	0.49
80	42C1	600	248	248	248	0	0	4.7	30.000	1.290	0.300	3.5	7.37	2.15
56	05LC	600	248	248	248	0	0	MC4				3.5	7.37	18.83

Pérdida de carga acumulada del segmento	Δp_t	[Pa]	: 12.58
Velocidad en la sección inicial del segmento	V_m	[m/s]	: 5.3
Velocidad en la sección final del segmento	V_v	[m/s]	: 3.5
Recuperación de presión estática del segmento	Δp_r	[Pa]	: 9.54
Pérdida de carga acumulada del segmento, considerando la recuperación	Δp_{tm}	[Pa]	: 0.61
Pérdida de carga acumulada neta – total acumulado	$\Sigma \Delta p_{tm}$	[Pa]	: 158.71
Desequilibrio del terminal respecto al camino más desfavorable	Δp_{Tmr}	[Pa]	: 3.23

SEGMENTO 10:

Tipo: Tramo

1 ELEMENTO		2 Caudal Q	3 Diam. D/D _e	4 Ancho A	5 Alto B	6 Long. L	7 $\Delta p/L$	8 Fuente Tab	9 Ashrae X	10 Ashrae Y	11 Coeff. C _o	12 Veloc. V	13 P.Dinám P _v	14 Pérdida Δp_r o Δp_c
N. pz.	Cod.	[m³/h]	[mm]	[mm]	[mm]	[m]	[Pa/m]	n.	-	-	-	[m/s]	[Pa]	[Pa]
74	3736	1200	328	300	300	0	0	MC4	0.750		0.291	3.7	8.24	2.4
77	273R	1200	299	300	250	0.14	0	5.1	30.000	1.200	0.050	4.4	11.65	5.57
47	310R	1200	299	300	250	3.39	0.93					4.4	11.65	3.15

Pérdida de carga acumulada del segmento	Δp_t	[Pa]	: 11.13
Velocidad en la sección inicial del segmento	V_m	[m/s]	: 5.3
Velocidad en la sección final del segmento	V_v	[m/s]	: 4.2
Recuperación de presión estática del segmento	Δp_r	[Pa]	: 6.29
Pérdida de carga acumulada del segmento, considerando la recuperación	Δp_{tm}	[Pa]	: -0.53
Pérdida de carga acumulada neta – total acumulado	$\Sigma \Delta p_{tm}$	[Pa]	: 138.74

SEGMENTO 9:

Tipo: Terminal TRM-1

1 ELEMENTO		2 Caudal Q	3 Diam. D/D _e	4 Ancho A	5 Alto B	6 Long. L	7 $\Delta p/L$	8 Fuente Tab	9 Ashrae X	10 Ashrae Y	11 Coeff. C _o	12 Veloc. V	13 P.Dinám P _v	14 Pérdida Δp_r o Δp_c
N. pz.	Cod.	[m³/h]	[mm]	[mm]	[mm]	[m]	[Pa/m]	n.	-	-	-	[m/s]	[Pa]	[Pa]
76	3733D	600	273	250	250	0	0	ASH6_33			0.287	2.7	4.39	3
51	310R	600	273	250	250	1.2	0.41					2.7	4.39	0.49
79	42C1	600	248	248	248	0	0	4.7	30.000	1.290	0.300	3.5	7.37	2.15
53	05LC	600	248	248	248	0	0	MC4				3.5	7.37	18.83

Pérdida de carga acumulada del segmento	Δp_t	[Pa]	: 5.64
Velocidad en la sección inicial del segmento	V_m	[m/s]	: 4.2
Velocidad en la sección final del segmento	V_v	[m/s]	: 3.5
Recuperación de presión estática del segmento	Δp_r	[Pa]	: 3.24
Pérdida de carga acumulada del segmento, considerando la recuperación	Δp_{tm}	[Pa]	: 4.36
Pérdida de carga acumulada neta – total acumulado	$\Sigma \Delta p_{tm}$	[Pa]	: 161.93

SEGMENTO 8:

Tipo: Terminal TRM-1

1 ELEMENTO		2 Caudal Q	3 Diam. D/D _e	4 Ancho A	5 Alto B	6 Long. L	7 $\Delta p/L$	8 Fuente Tab	9 Ashrae X	10 Ashrae Y	11 Coeff. C _o	12 Veloc. V	13 P.Dinám P _v	14 Pérdida Δp_r o Δp_c
---------------	--	------------------	--------------------------------	-----------------	----------------	-----------------	-------------------	--------------------	------------------	-------------------	--------------------------------	-------------------	---------------------------------	--

N. pz.	Cod.	[m³/h]	[mm]	[mm]	[mm]	[m]	[Pa/m]	n.	-	-	-	[m/s]	[Pa]	[Pa]
49	3733D	600	273	250	250	0	0	ASH6_33	0.833		0.287	2.7	4.39	3
48	310R	600	273	250	250	1.2	0.41					2.7	4.39	0.49
78	42C1	600	248	248	248	0	0	4.7	30.000	1.290	0.300	3.5	7.37	2.15
50	05LC	600	248	248	248	0	0	MC4				3.5	7.37	18.83

Pérdida de carga acumulada del segmento	Δp_t	[Pa]	: 5.64
Velocidad en la sección inicial del segmento	V_m	[m/s]	: 4.2
Velocidad en la sección final del segmento	V_v	[m/s]	: 3.5
Recuperación de presión estática del segmento	Δp_r	[Pa]	: 3.24
Pérdida de carga acumulada del segmento, considerando la recuperación	Δp_{tm}	[Pa]	: 4.36
Pérdida de carga acumulada neta – total acumulado	$\Sigma \Delta p_{tm}$	[Pa]	: 161.93

SEGMENTO 12:

Tipo: Terminal TRM-1

1 ELEMENTO		2 Caudal Q	3 Diam. D/D _e	4 Ancho A	5 Alto B	6 Long. L	7 $\Delta p/L$	8 Fuente Tab	9 Ashrae X	10 Ashrae Y	11 Coeff. C _o	12 Veloc. V	13 P.Dinám P _v	14 Pérdida Δp_r o Δp_c
N. pz.	Cod.	[m³/h]	[mm]	[mm]	[mm]	[m]	[Pa/m]	n.	-	-	-	[m/s]	[Pa]	[Pa]
75	3736	600	299	250	300	0	0	MC4	0.250	0.556	2.730	2.2	2.91	7.93
83	273R	600	273	250	250	0.04	0	5.1	30.000	1.200	0.050	2.7	4.39	2.01
57	310R	600	273	250	250	1.2	0.41					2.7	4.39	0.49
82	42C1	600	248	248	248	0	0	4.7	30.000	1.290	0.300	3.5	7.37	2.15
59	05LC	600	248	248	248	0	0	MC4				3.5	7.37	18.83

Pérdida de carga acumulada del segmento	Δp_t	[Pa]	: 12.58
Velocidad en la sección inicial del segmento	V_m	[m/s]	: 5.3
Velocidad en la sección final del segmento	V_v	[m/s]	: 3.5
Recuperación de presión estática del segmento	Δp_r	[Pa]	: 9.54
Pérdida de carga acumulada del segmento, considerando la recuperación	Δp_{tm}	[Pa]	: 0.61
Pérdida de carga acumulada neta – total acumulado	$\Sigma \Delta p_{tm}$	[Pa]	: 158.71
Desequilibrio del terminal respecto al camino más desfavorable	Δp_{Tmr}	[Pa]	: 3.22

SEGMENTO 6:

Tipo: Tramo

1 ELEMENTO		2 Caudal Q	3 Diam. D/D _e	4 Ancho A	5 Alto B	6 Long. L	7 $\Delta p/L$	8 Fuente Tab	9 Ashrae X	10 Ashrae Y	11 Coeff. C _o	12 Veloc. V	13 P.Dinám P _v	14 Pérdida Δp_r o Δp_c
N. pz.	Cod.	[m³/h]	[mm]	[mm]	[mm]	[m]	[Pa/m]	n.	-	-	-	[m/s]	[Pa]	[Pa]
62	3722D	1800	378	300	400	0	0	MC4	0.571	1.500	0.250	4.2	10.62	2.66
24	310R	1800	378	300	400	9.34	0.62					4.2	10.62	5.8
23	079R	1800	378	300	400	0	0	3.5	1.330	0.900	0.364	4.2	10.62	3.8
65	273R	1800	383	350	350	0.14	0	5.1	30.000	1.140	0.050	4.1	10.12	0.5
25	310R	1800	383	350	350	1.95	0.58					4.1	10.12	1.13

Pérdida de carga acumulada del segmento	Δp_t	[Pa]	: 13.9
Velocidad en la sección inicial del segmento	V_m	[m/s]	: 5.8
Velocidad en la sección final del segmento	V_v	[m/s]	: 4
Recuperación de presión estática del segmento	Δp_r	[Pa]	: 10.62
Pérdida de carga acumulada del segmento, considerando la recuperación	Δp_{tm}	[Pa]	: 3.55
Pérdida de carga acumulada neta – total acumulado	$\Sigma \Delta p_{tm}$	[Pa]	: 112.61

SEGMENTO 3:

Tipo: Tramo

1 ELEMENTO		2 Caudal Q	3 Diam. D/D _e	4 Ancho A	5 Alto B	6 Long. L	7 $\Delta p/L$	8 Fuente Tab	9 Ashrae X	10 Ashrae Y	11 Coeff. C _o	12 Veloc. V	13 P.Dinám P _v	14 Pérdida Δp_r o Δp_c
N. pz.	Cod.	[m³/h]	[mm]	[mm]	[mm]	[m]	[Pa/m]	n.	-	-	-	[m/s]	[Pa]	[Pa]
63	3722D	1200	354	300	350	0	0	MC4	0.667	1.200	0.886	3.2	6.16	5.46
69	273R	1200	299	300	250	0.19	0	5.1	30.000	1.400	0.050	4.4	11.65	0
32	310R	1200	299	300	250	0.77	0.94					4.4	11.65	0.72

Pérdida de carga acumulada del segmento	Δp_t	[Pa] : 6.17
Velocidad en la sección inicial del segmento	V_m	[m/s] : 4
Velocidad en la sección final del segmento	V_v	[m/s] : 4.2
Recuperación de presión estática del segmento	Δp_r	[Pa] : -0.99
Pérdida de carga acumulada del segmento, considerando la recuperación	Δp_{tm}	[Pa] : 7.59
Pérdida de carga acumulada neta – total acumulado	$\Sigma \Delta p_{tm}$	[Pa] : 120.2

SEGMENTO 5:

Tipo: Terminal TRM-1

1 ELEMENTO		2 Caudal Q	3 Diam. D/D _e	4 Ancho A	5 Alto B	6 Long. L	7 $\Delta p/L$	8 Fuente Tab	9 Ashrae X	10 Ashrae Y	11 Coeff. C _o	12 Veloc. V	13 P.Dinám P _v	14 Pérdida Δp_r o Δp_c
N. pz.	Cod.	[m³/h]	[mm]	[mm]	[mm]	[m]	[Pa/m]	n.	-	-	-	[m/s]	[Pa]	[Pa]
68	3733D	600	273	250	250	0	0	ASH6_33			0.287	2.7	4.39	3
38	310R	600	273	250	250	1.2	0.41					2.7	4.39	0.49
71	42C1	600	248	248	248	0	0	4.7	30.000	1.290	0.300	3.5	7.37	2.15
40	05LC	600	248	248	248	0	0	MC4				3.5	7.37	18.83

Pérdida de carga acumulada del segmento	Δp_t	[Pa] : 5.64
Velocidad en la sección inicial del segmento	V_m	[m/s] : 4.2
Velocidad en la sección final del segmento	V_v	[m/s] : 3.5
Recuperación de presión estática del segmento	Δp_r	[Pa] : 3.24
Pérdida de carga acumulada del segmento, considerando la recuperación	Δp_{tm}	[Pa] : 4.36
Pérdida de carga acumulada neta – total acumulado	$\Sigma \Delta p_{tm}$	[Pa] : 143.39
Desequilibrio del terminal respecto al camino más desfavorable	Δp_{Tmr}	[Pa] : 18.54

SEGMENTO 4:

Tipo: Terminal TRM-1

1 ELEMENTO		2 Caudal Q	3 Diam. D/D _e	4 Ancho A	5 Alto B	6 Long. L	7 $\Delta p/L$	8 Fuente Tab	9 Ashrae X	10 Ashrae Y	11 Coeff. C _o	12 Veloc. V	13 P.Dinám P _v	14 Pérdida Δp_r o Δp_c
N. pz.	Cod.	[m³/h]	[mm]	[mm]	[mm]	[m]	[Pa/m]	n.	-	-	-	[m/s]	[Pa]	[Pa]
36	3733D	600	273	250	250	0	0	ASH6_33	0.833		0.287	2.7	4.39	3
35	310R	600	273	250	250	1.2	0.41					2.7	4.39	0.49
70	42C1	600	248	248	248	0	0	4.7	30.000	1.290	0.300	3.5	7.37	2.15
37	05LC	600	248	248	248	0	0	MC4				3.5	7.37	18.83

Pérdida de carga acumulada del segmento	Δp_t	[Pa] : 5.64
Velocidad en la sección inicial del segmento	V_m	[m/s] : 4.2
Velocidad en la sección final del segmento	V_v	[m/s] : 3.5
Recuperación de presión estática del segmento	Δp_r	[Pa] : 3.24
Pérdida de carga acumulada del segmento, considerando la recuperación	Δp_{tm}	[Pa] : 4.36
Pérdida de carga acumulada neta – total acumulado	$\Sigma \Delta p_{tm}$	[Pa] : 143.39
Desequilibrio del terminal respecto al camino más desfavorable	Δp_{Tmr}	[Pa] : 18.54

SEGMENTO 2:

Tipo: Terminal TRM-1

1 ELEMENTO		2 Caudal Q	3 Diam. D/D _e	4 Ancho A	5 Alto B	6 Long. L	7 $\Delta p/L$	8 Fuente Tab	9 Ashrae X	10 Ashrae Y	11 Coeff. C _o	12 Veloc. V	13 P.Dinám P _v	14 Pérdida Δp_r o Δp_c
N. pz.	Cod.	[m³/h]	[mm]	[mm]	[mm]	[m]	[Pa/m]	n.	-	-	-	[m/s]	[Pa]	[Pa]
64	3722D	600	322	250	350	0	0	MC4	0.667	1.200	0.576	1.9	2.17	1.25
66	273R	600	273	250	250	0.19	0	5.1	30.000	1.400	0.050	2.7	4.39	0
28	310R	600	273	250	250	3.6	0.41					2.7	4.39	1.46
27	079R	600	273	250	250	0	0	3.5	1.000	0.900	0.459	2.7	4.39	6.3
29	310R	600	273	250	250	0.77	0.4					2.7	4.39	0.31
67	42C1	600	248	248	248	0	0	4.7	30.000	1.290	0.300	3.5	7.37	2.15
31	05LC	600	248	248	248	0	0	MC4				3.5	7.37	18.83

Pérdida de carga acumulada del segmento

 Δp_t [Pa] : 11.47

Velocidad en la sección inicial del segmento

 V_m [m/s] : 4

Velocidad en la sección final del segmento

 V_v [m/s] : 3.5

Recuperación de presión estática del segmento

 Δp_r [Pa] : 2.26

Pérdida de carga acumulada del segmento, considerando la recuperación

 Δp_{tn} [Pa] : 12.98

Pérdida de carga acumulada neta – total acumulado

 $\Sigma \Delta p_{tn}$ [Pa] : 144.43

Desequilibrio del terminal respecto al camino más desfavorable

 Δp_{Tmr} [Pa] : 17.51

DATOS GENERALES**Cliente:****Ciudad:**

Alicante

Proyectista:**SISTEMA:****Nº Expediente:****Dibujo n.º:****Referencia:****Construcción:****Sistema:****Zona:** SALA DEPORTIVA PLANTA PRIMERA ZONA 1 IMPULSION**Circuito:****Altitud s.n.m**

[m]: 7

Altura

[m]: 0

Temperatura aire

[°C]: 20

Humedad Relativa aire

[%]:

Método de cálculo: DIMENSIONADO DEL LA RED CON EL METODO DE PERDIDA DE CARGA CONSTANTE**DATOS DE CALCULO****Viscosidad del aire**

[Pa*s]: 0.01816

Densidad del aire

[kg/m³]: 1.2

Revestimiento interior

:

Espesor

[mm]: 0

Rugosidad pared

[mm]: 0.15

CONDUCTOS Ratio B/A: 0.5**OPCIONES****Tipo de cálculo elegido:** : 2

- Pérdida de carga distribuida [Pa/m]: 0.8
- Máxima velocidad en los tramos [m/s]: 6
- Máxima velocidad en los ramales [m/s]: 6

Cálculo con dimensiones normalizadas [Si/No]: Si

- Paso para el cálculo con dimensiones no normalizadas [mm]: 0
- Dimensión mínima [mm]: 0
- Dimensión máxima [mm]: 0

LIMITES**Mínimo desequilibrio para justificar el equilibrado y la inserción de compuertas en ramales** (Δp_{mr}) [Pa]: 10**Mínimo desequilibrio para justificar el equilibrado y la inserción de compuertas en terminales** (Δp_{msr}) [Pa]: 10**Máxima pérdida de carga admisible para las compuertas en terminales** (Δp_{MT}) [Pa]: 0**MAXIMA PERDIDA****Presión total para el camino más desfavorable** [Pa]: 122.78**Presión estática para el camino más desfavorable** [Pa]: 95.48**CAMINO MAS DESFAVOR.**

000-001-005-008-013

SEGMENTO 1:

Tipo: Tramo

1 ELEMENTO		2 Caudal Q	3 Diam. D/D _e	4 Ancho A	5 Alto B	6 Long. L	7 $\Delta p/L$	8 Fuente Tab	9 Ashrae X	10 Ashrae Y	11 Coeff. C _o	12 Veloc. V	13 P.Dinám P _v	14 Pérdida Δp_r o Δp_c
N. pz.	Cod.	[m³/h]	[mm]	[mm]	[mm]	[m]	[Pa/m]	n.	-	-	-	[m/s]	[Pa]	[Pa]
1	310R	6000	543	550	450	3.53	0.98					6.7	27.02	3.46
2	079R	6000	543	550	450	0	0	3.5	0.818	0.864	0.358	6.7	27.02	9.77
3	310R	6000	543	550	450	13.14	0.98					6.7	27.02	12.9
5	079R	6000	543	550	450	0	0	3.5	0.818	0.864	0.358	6.7	27.02	12.37
49	023R	6000	511	550	400	0.36	0	4.3	30.000	1.270	0.300	7.6	34.77	10.37
6	310R	6000	573	700	400	14.51	0.75					6	21.67	10.89
8	079R	6000	573	700	400	0	0	3.5	0.571	0.786	0.282	6	21.67	6.03
9	310R	6000	573	700	400	1.1	0.75					6	21.67	0.82
11	079R	6000	573	700	400	0	0	3.5	0.571	0.786	0.282	6	21.67	6.03
12	310R	6000	573	700	400	1.67	0.75					6	21.67	1.25

Pérdida de carga acumulada del segmento

Δp_t [Pa] : 73.87

Velocidad en la sección inicial del segmento

V_m [m/s] : 6.7

Velocidad en la sección final del segmento

V_v [m/s] : 6

Recuperación de presión estática del segmento

Δp_r [Pa] : 5.35

Pérdida de carga acumulada del segmento, considerando la recuperación

Δp_{tm} [Pa] : 67.9

Pérdida de carga acumulada neta – total acumulado

$\Sigma \Delta p_{tm}$ [Pa] : 67.9

SEGMENTO 5:

Tipo: Tramo

1 ELEMENTO		2 Caudal Q	3 Diam. D/D _e	4 Ancho A	5 Alto B	6 Long. L	7 $\Delta p/L$	8 Fuente Tab	9 Ashrae X	10 Ashrae Y	11 Coeff. C _o	12 Veloc. V	13 P.Dinám P _v	14 Pérdida Δp_r o Δp_c
N. pz.	Cod.	[m³/h]	[mm]	[mm]	[mm]	[m]	[Pa/m]	n.	-	-	-	[m/s]	[Pa]	[Pa]
50	3733D	4500	533	600	400	0	0	ASH6_33			0.264	5.2	16.28	5.64
24	310R	4500	533	600	400	1.33	0.62					5.2	16.28	0.83

Pérdida de carga acumulada del segmento

Δp_t [Pa] : 6.47

Velocidad en la sección inicial del segmento

V_m [m/s] : 6

Velocidad en la sección final del segmento

V_v [m/s] : 5.2

Recuperación de presión estática del segmento

Δp_r [Pa] : 5.39

Pérdida de carga acumulada del segmento, considerando la recuperación

Δp_{tm} [Pa] : 1.47

Pérdida de carga acumulada neta – total acumulado

$\Sigma \Delta p_{tm}$ [Pa] : 69.37

SEGMENTO 7:

Tipo: Terminal TRM-1

1 ELEMENTO		2 Caudal Q	3 Diam. D/D _e	4 Ancho A	5 Alto B	6 Long. L	7 $\Delta p/L$	8 Fuente Tab	9 Ashrae X	10 Ashrae Y	11 Coeff. C _o	12 Veloc. V	13 P.Dinám P _v	14 Pérdida Δp_r o Δp_c
N. pz.	Cod.	[m³/h]	[mm]	[mm]	[mm]	[m]	[Pa/m]	n.	-	-	-	[m/s]	[Pa]	[Pa]
57	3736	750	343	250	400	0	0	MC4	0.167	0.417	3.740	2.1	2.65	9.92
62	273R	750	273	250	250	0.13	0	5.1	30.000	1.600	0.050	3.3	6.56	0.33
30	310R	750	273	250	250	1.2	0.61					3.3	6.56	0.73
61	42C1	750	248	248	248	0	0	4.7	30.000	1.290	0.300	4.3	11.13	3.36
32	05LC	750	248	248	248	0	0	MC4				4.3	11.13	14.8

Pérdida de carga acumulada del segmento

Δp_t [Pa] : 14.35

Velocidad en la sección inicial del segmento	V_m	[m/s]	: 5.2
Velocidad en la sección final del segmento	V_v	[m/s]	: 4.3
Recuperación de presión estática del segmento	Δp_r	[Pa]	: 5.15
Pérdida de carga acumulada del segmento, considerando la recuperación	Δp_{tm}	[Pa]	: 9.22
Pérdida de carga acumulada neta – total acumulado	$\Sigma \Delta p_{tm}$	[Pa]	: 93.39
Desequilibrio del terminal respecto al camino más desfavorable	Δp_{Tmr}	[Pa]	: 2.09

SEGMENTO 6:

Tipo: Terminal TRM-1

1 ELEMENTO		2 Caudal Q	3 Diam. D/D _e	4 Ancho A	5 Alto B	6 Long. L	7 $\Delta p_r/L$	8 Fuente Tab	9 Ashrae X	10 Ashrae Y	11 Coeff. C _o	12 Veloc. V	13 P.Dinám P _v	14 Pérdida Δp_r o Δp_e
N. pz.	Cod.	[m³/h]	[mm]	[mm]	[mm]	[m]	[Pa/m]	n.	-	-	-	[m/s]	[Pa]	[Pa]
28	3736	750	343	250	400	0	0	MC4	0.167	0.417	3.740	2.1	2.65	9.92
60	273R	750	273	250	250	0.13	0	5.1	30.000	1.600	0.050	3.3	6.56	0.33
27	310R	750	273	250	250	1.2	0.61					3.3	6.56	0.73
59	42C1	750	248	248	248	0	0	4.7	30.000	1.290	0.300	4.3	11.13	3.36
29	05LC	750	248	248	248	0	0	MC4				4.3	11.13	14.8

Pérdida de carga acumulada del segmento	Δp_t	[Pa]	: 14.35
Velocidad en la sección inicial del segmento	V_m	[m/s]	: 5.2
Velocidad en la sección final del segmento	V_v	[m/s]	: 4.3
Recuperación de presión estática del segmento	Δp_r	[Pa]	: 5.15
Pérdida de carga acumulada del segmento, considerando la recuperación	Δp_{tm}	[Pa]	: 9.22
Pérdida de carga acumulada neta – total acumulado	$\Sigma \Delta p_{tm}$	[Pa]	: 93.39
Desequilibrio del terminal respecto al camino más desfavorable	Δp_{Tmr}	[Pa]	: 2.09

SEGMENTO 8:

Tipo: Tramo

1 ELEMENTO		2 Caudal Q	3 Diam. D/D _e	4 Ancho A	5 Alto B	6 Long. L	7 $\Delta p_r/L$	8 Fuente Tab	9 Ashrae X	10 Ashrae Y	11 Coeff. C _o	12 Veloc. V	13 P.Dinám P _v	14 Pérdida Δp_r o Δp_e
N. pz.	Cod.	[m³/h]	[mm]	[mm]	[mm]	[m]	[Pa/m]	n.	-	-	-	[m/s]	[Pa]	[Pa]
58	3736	3000	437	400	400	0	0	MC4	1.000			5.2	16.28	0
33	310R	3000	437	400	400	2.67	0.78					5.2	16.28	2.09

Pérdida de carga acumulada del segmento	Δp_t	[Pa]	: 2.09
Velocidad en la sección inicial del segmento	V_m	[m/s]	: 5.2
Velocidad en la sección final del segmento	V_v	[m/s]	: 5.2
Recuperación de presión estática del segmento	Δp_r	[Pa]	: 0
Pérdida de carga acumulada del segmento, considerando la recuperación	Δp_{tm}	[Pa]	: 2.09
Pérdida de carga acumulada neta – total acumulado	$\Sigma \Delta p_{tm}$	[Pa]	: 71.46

SEGMENTO 12:

Tipo: Terminal TRM-1

1 ELEMENTO		2 Caudal Q	3 Diam. D/D _e	4 Ancho A	5 Alto B	6 Long. L	7 $\Delta p_r/L$	8 Fuente Tab	9 Ashrae X	10 Ashrae Y	11 Coeff. C _o	12 Veloc. V	13 P.Dinám P _v	14 Pérdida Δp_r o Δp_e
N. pz.	Cod.	[m³/h]	[mm]	[mm]	[mm]	[m]	[Pa/m]	n.	-	-	-	[m/s]	[Pa]	[Pa]
63	3736	750	343	250	400	0	0	MC4	0.250	0.625	3.740	2.1	2.65	9.92
73	273R	750	273	250	250	0.13	0	5.1	30.000	1.600	0.050	3.3	6.56	0.33
43	310R	750	273	250	250	1.2	0.61					3.3	6.56	0.73
72	42C1	750	248	248	248	0	0	4.7	30.000	1.290	0.300	4.3	11.13	3.36
45	05LC	750	248	248	248	0	0	MC4				4.3	11.13	14.8

Pérdida de carga acumulada del segmento	Δp_t	[Pa]	: 14.35
Velocidad en la sección inicial del segmento	V_m	[m/s]	: 5.2
Velocidad en la sección final del segmento	V_v	[m/s]	: 4.3
Recuperación de presión estática del segmento	Δp_r	[Pa]	: 5.15
Pérdida de carga acumulada del segmento, considerando la recuperación	Δp_{tm}	[Pa]	: 9.22
Pérdida de carga acumulada neta – total acumulado	$\Sigma \Delta p_{tm}$	[Pa]	: 95.48

SEGMENTO 11:

Tipo: Tramo

1 ELEMENTO		2 Caudal Q	3 Diam. D/D _e	4 Ancho A	5 Alto B	6 Long. L	7 $\Delta p/L$	8 Fuente Tab	9 Ashrae X	10 Ashrae Y	11 Coeff. C _o	12 Veloc. V	13 P.Dinám P _v	14 Pérdida Δp_r o Δp_e
N. pz.	Cod.	[m³/h]	[mm]	[mm]	[mm]	[m]	[Pa/m]	n.	-	-	-	[m/s]	[Pa]	[Pa]
64	3736	1500	378	300	400	0	0	MC4	0.667		0.332	3.5	7.37	2.45
67	273R	1500	328	300	300	0.19	0	5.1	30.000	1.330	0.050	4.6	12.74	0.65
36	310R	1500	328	300	300	2.67	0.89					4.6	12.74	2.37

Pérdida de carga acumulada del segmento	Δp_t	[Pa]	: 5.46
Velocidad en la sección inicial del segmento	V_m	[m/s]	: 5.2
Velocidad en la sección final del segmento	V_v	[m/s]	: 3.3
Recuperación de presión estática del segmento	Δp_r	[Pa]	: 9.72
Pérdida de carga acumulada del segmento, considerando la recuperación	Δp_{tm}	[Pa]	: -3.53
Pérdida de carga acumulada neta – total acumulado	$\Sigma \Delta p_{tm}$	[Pa]	: 67.93

SEGMENTO 10:

Tipo: Terminal TRM-1

1 ELEMENTO		2 Caudal Q	3 Diam. D/D _e	4 Ancho A	5 Alto B	6 Long. L	7 $\Delta p/L$	8 Fuente Tab	9 Ashrae X	10 Ashrae Y	11 Coeff. C _o	12 Veloc. V	13 P.Dinám P _v	14 Pérdida Δp_r o Δp_e
N. pz.	Cod.	[m³/h]	[mm]	[mm]	[mm]	[m]	[Pa/m]	n.	-	-	-	[m/s]	[Pa]	[Pa]
66	3733D	750	299	250	300	0	0	ASH6_33			0.300	2.8	4.72	2.01
71	273R	750	273	250	250	0.04	0	5.1	30.000	1.200	0.050	3.3	6.56	0
40	310R	750	273	250	250	1.2	0.61					3.3	6.56	0.73
70	42C1	750	248	248	248	0	0	4.7	30.000	1.290	0.300	4.3	11.13	3.36
42	05LC	750	248	248	248	0	0	MC4				4.3	11.13	14.8

Pérdida de carga acumulada del segmento	Δp_t	[Pa]	: 6.1
Velocidad en la sección inicial del segmento	V_m	[m/s]	: 3.3
Velocidad en la sección final del segmento	V_v	[m/s]	: 4.3
Recuperación de presión estática del segmento	Δp_r	[Pa]	: -4.58
Pérdida de carga acumulada del segmento, considerando la recuperación	Δp_{tm}	[Pa]	: 10.61
Pérdida de carga acumulada neta – total acumulado	$\Sigma \Delta p_{tm}$	[Pa]	: 93.34
Desequilibrio del terminal respecto al camino más desfavorable	Δp_{Tmr}	[Pa]	: 2.14

SEGMENTO 9:

Tipo: Terminal TRM-1

1 ELEMENTO		2 Caudal Q	3 Diam. D/D _e	4 Ancho A	5 Alto B	6 Long. L	7 $\Delta p/L$	8 Fuente Tab	9 Ashrae X	10 Ashrae Y	11 Coeff. C _o	12 Veloc. V	13 P.Dinám P _v	14 Pérdida Δp_r o Δp_e
N. pz.	Cod.	[m³/h]	[mm]	[mm]	[mm]	[m]	[Pa/m]	n.	-	-	-	[m/s]	[Pa]	[Pa]
38	3733D	750	299	250	300	0	0	ASH6_	0.833		0.300	2.8	4.72	2.01

								33						
69	273R	750	273	250	250	0.04	0	5.1	30.000	1.200	0.050	3.3	6.56	0
37	310R	750	273	250	250	1.2	0.61					3.3	6.56	0.73
68	42C1	750	248	248	248	0	0	4.7	30.000	1.290	0.300	4.3	11.13	3.36
39	05LC	750	248	248	248	0	0	MC4				4.3	11.13	14.8

Pérdida de carga acumulada del segmento	Δp_t	[Pa]	: 6.1
Velocidad en la sección inicial del segmento	V_m	[m/s]	: 3.3
Velocidad en la sección final del segmento	V_v	[m/s]	: 4.3
Recuperación de presión estática del segmento	Δp_r	[Pa]	: -4.58
Pérdida de carga acumulada del segmento, considerando la recuperación	Δp_{tm}	[Pa]	: 10.61
Pérdida de carga acumulada neta – total acumulado	$\Sigma \Delta p_{tm}$	[Pa]	: 93.34
Desequilibrio del terminal respecto al camino más desfavorable	Δp_{Tmr}	[Pa]	: 2.14

SEGMENTO 13:

Tipo: Terminal TRM-1

1 ELEMENTO		2 Caudal Q	3 Diam. D/D _e	4 Ancho A	5 Alto B	6 Long. L	7 $\Delta p/L$	8 Fuente Tab	9 Ashrae X	10 Ashrae Y	11 Coeff. C _o	12 Veloc. V	13 P.Dinám P _v	14 Pérdida Δp_r o Δp_e
N. pz.	Cod.	[m³/h]	[mm]	[mm]	[mm]	[m]	[Pa/m]	n.	-	-	-	[m/s]	[Pa]	[Pa]
65	3736	750	343	250	400	0	0	MC4	0.250	0.625	3.740	2.1	2.65	9.92
75	273R	750	273	250	250	0.13	0	5.1	30.000	1.600	0.050	3.3	6.56	0.33
46	310R	750	273	250	250	1.2	0.61					3.3	6.56	0.73
74	42C1	750	248	248	248	0	0	4.7	30.000	1.290	0.300	4.3	11.13	3.36
48	05LC	750	248	248	248	0	0	MC4				4.3	11.13	14.8

Pérdida de carga acumulada del segmento	Δp_t	[Pa]	: 14.35
Velocidad en la sección inicial del segmento	V_m	[m/s]	: 5.2
Velocidad en la sección final del segmento	V_v	[m/s]	: 4.3
Recuperación de presión estática del segmento	Δp_r	[Pa]	: 5.15
Pérdida de carga acumulada del segmento, considerando la recuperación	Δp_{tm}	[Pa]	: 9.22
Pérdida de carga acumulada neta – total acumulado	$\Sigma \Delta p_{tm}$	[Pa]	: 95.48

SEGMENTO 4:

Tipo: Tramo

1 ELEMENTO		2 Caudal Q	3 Diam. D/D _e	4 Ancho A	5 Alto B	6 Long. L	7 $\Delta p/L$	8 Fuente Tab	9 Ashrae X	10 Ashrae Y	11 Coeff. C _o	12 Veloc. V	13 P.Dinám P _v	14 Pérdida Δp_r o Δp_e
N. pz.	Cod.	[m³/h]	[mm]	[mm]	[mm]	[m]	[Pa/m]	n.	-	-	-	[m/s]	[Pa]	[Pa]
16	3733D	1500	378	300	400	0	0	ASH6_33	0.857		0.300	3.5	7.37	6.4
52	273R	1500	328	300	300	0.19	0	5.1	30.000	1.330	0.050	4.6	12.74	0.65
15	310R	1500	328	300	300	1.33	0.89					4.6	12.74	1.18

Pérdida de carga acumulada del segmento	Δp_t	[Pa]	: 8.23
Velocidad en la sección inicial del segmento	V_m	[m/s]	: 6
Velocidad en la sección final del segmento	V_v	[m/s]	: 4.6
Recuperación de presión estática del segmento	Δp_r	[Pa]	: 8.93
Pérdida de carga acumulada del segmento, considerando la recuperación	Δp_{tm}	[Pa]	: -0.2
Pérdida de carga acumulada neta – total acumulado	$\Sigma \Delta p_{tm}$	[Pa]	: 67.7

SEGMENTO 3:

Tipo: Terminal TRM-1

1	2	3	4	5	6	7	8	9	10	11	12	13	14
---	---	---	---	---	---	---	---	---	----	----	----	----	----

ELEMENTO		Caudal Q	Diam. D/D _e	Ancho A	Alto B	Long. L	$\Delta p/L$	Fuente Tab	Ashrae X	Ashrae Y	Coeff. C _o	Veloc. V	P.Dinám P _v	Pérdida Δp_r o Δp_e
N. pz.	Cod.	[m³/h]	[mm]	[mm]	[mm]	[m]	[Pa/m]	n.	-	-	-	[m/s]	[Pa]	[Pa]
51	3733D	750	299	250	300	0	0	ASH6_33	0.833		0.267	2.8	4.72	3.44
56	273R	750	273	250	250	0.04	0	5.1	30.000	1.200	0.050	3.3	6.56	0.33
21	310R	750	273	250	250	1.2	0.61					3.3	6.56	0.73
55	42C1	750	248	248	248	0	0	4.7	30.000	1.290	0.300	4.3	11.13	3.36
23	05LC	750	248	248	248	0	0	MC4				4.3	11.13	14.8

Pérdida de carga acumulada del segmento	Δp_t	[Pa] : 7.87
Velocidad en la sección inicial del segmento	V_m	[m/s] : 4.6
Velocidad en la sección final del segmento	V_v	[m/s] : 4.3
Recuperación de presión estática del segmento	Δp_r	[Pa] : 1.61
Pérdida de carga acumulada del segmento, considerando la recuperación	Δp_{tm}	[Pa] : 6.16
Pérdida de carga acumulada neta – total acumulado	$\Sigma \Delta p_{tm}$	[Pa] : 88.66
Desequilibrio del terminal respecto al camino más desfavorable	Δp_{Tmr}	[Pa] : 6.81

SEGMENTO 2:

Tipo: Terminal TRM-1

1 ELEMENTO		2 Caudal Q	3 Diam. D/D _e	4 Ancho A	5 Alto B	6 Long. L	7 $\Delta p/L$	8 Fuente Tab	9 Ashrae X	10 Ashrae Y	11 Coeff. C _o	12 Veloc. V	13 P.Dinám P _v	14 Pérdida Δp_r o Δp_e
N. pz.	Cod.	[m³/h]	[mm]	[mm]	[mm]	[m]	[Pa/m]	n.	-	-	-	[m/s]	[Pa]	[Pa]
19	3733D	750	299	250	300	0	0	ASH6_33			0.267	2.8	4.72	3.44
54	273R	750	273	250	250	0.04	0	5.1	30.000	1.200	0.050	3.3	6.56	0.33
18	310R	750	273	250	250	1.2	0.61					3.3	6.56	0.73
53	42C1	750	248	248	248	0	0	4.7	30.000	1.290	0.300	4.3	11.13	3.36
20	05LC	750	248	248	248	0	0	MC4				4.3	11.13	14.8

Pérdida de carga acumulada del segmento	Δp_t	[Pa] : 7.87
Velocidad en la sección inicial del segmento	V_m	[m/s] : 4.6
Velocidad en la sección final del segmento	V_v	[m/s] : 4.3
Recuperación de presión estática del segmento	Δp_r	[Pa] : 1.61
Pérdida de carga acumulada del segmento, considerando la recuperación	Δp_{tm}	[Pa] : 6.16
Pérdida de carga acumulada neta – total acumulado	$\Sigma \Delta p_{tm}$	[Pa] : 88.66
Desequilibrio del terminal respecto al camino más desfavorable	Δp_{Tmr}	[Pa] : 6.82

DATOS GENERALES**Cliente:****Ciudad:**

Alicante

Proyectista:**SISTEMA:****Nº Expediente:****Dibujo n.:****Referencia:****Construcción:****Sistema:****Zona:** SALA DEPORTIVA PLANTA PRIMERA ZONA 1 RETORNO**Circuito:****Altitud s.n.m**

[m]: 7

Altura

[m]: 0

Temperatura aire

[°C]: 20

Humedad Relativa aire

[%]:

Método de cálculo: DIMENSIONADO DEL LA RED CON EL METODO DE PERDIDA DE CARGA CONSTANTE**DATOS DE CALCULO****Viscosidad del aire**

[Pa*s]: 0.01816

Densidad del aire

[kg/m³]: 1.2

Revestimiento interior

:

Espesor

[mm]: 0

Rugosidad pared

[mm]: 0.15

CONDUCTOS Ratio B/A: 0.5**OPCIONES****Tipo de cálculo elegido:** : 2

- Pérdida de carga distribuida [Pa/m]: 0.8
- Máxima velocidad en los tramos [m/s]: 6
- Máxima velocidad en los ramales [m/s]: 6

Cálculo con dimensiones normalizadas [Si/No]: Si

- Paso para el cálculo con dimensiones no normalizadas [mm]: 0
- Dimensión mínima [mm]: 0
- Dimensión máxima [mm]: 0

LIMITES**Mínimo desequilibrio para justificar el equilibrado y la inserción de compuertas en ramales** (Δp_{mr}) [Pa]: 10**Mínimo desequilibrio para justificar el equilibrado y la inserción de compuertas en terminales** (Δp_{msr}) [Pa]: 10**Máxima pérdida de carga admisible para las compuertas en terminales** (Δp_{MT}) [Pa]: 0**MAXIMA PERDIDA****Presión total para el camino más desfavorable** [Pa]: 122.78**Presión estática para el camino más desfavorable** [Pa]: 95.48**CAMINO MAS DESFAVOR.**

000-001-005-008-013

SEGMENTO 1:

Tipo: Tramo

1 ELEMENTO		2 Caudal Q	3 Diam. D/D _e	4 Ancho A	5 Alto B	6 Long. L	7 $\Delta p/L$	8 Fuente Tab	9 Ashrae X	10 Ashrae Y	11 Coeff. C _o	12 Veloc. V	13 P.Dinám P _v	14 Pérdida Δp_r o Δp_c
N. pz.	Cod.	[m³/h]	[mm]	[mm]	[mm]	[m]	[Pa/m]	n.	-	-	-	[m/s]	[Pa]	[Pa]
1	310R	6000	543	550	450	3.53	0.98					6.7	27.02	3.46
2	079R	6000	543	550	450	0	0	3.5	0.818	0.864	0.358	6.7	27.02	9.77
3	310R	6000	543	550	450	13.14	0.98					6.7	27.02	12.9
5	079R	6000	543	550	450	0	0	3.5	0.818	0.864	0.358	6.7	27.02	12.37
49	023R	6000	511	550	400	0.36	0	4.3	30.000	1.270	0.300	7.6	34.77	10.37
6	310R	6000	573	700	400	14.51	0.75					6	21.67	10.89
8	079R	6000	573	700	400	0	0	3.5	0.571	0.786	0.282	6	21.67	6.03
9	310R	6000	573	700	400	1.1	0.75					6	21.67	0.82
11	079R	6000	573	700	400	0	0	3.5	0.571	0.786	0.282	6	21.67	6.03
12	310R	6000	573	700	400	1.67	0.75					6	21.67	1.25

Pérdida de carga acumulada del segmento

Δp_t [Pa] : 73.87

Velocidad en la sección inicial del segmento

V_m [m/s] : 6.7

Velocidad en la sección final del segmento

V_v [m/s] : 6

Recuperación de presión estática del segmento

Δp_r [Pa] : 5.35

Pérdida de carga acumulada del segmento, considerando la recuperación

Δp_{tm} [Pa] : 67.9

Pérdida de carga acumulada neta – total acumulado

$\Sigma \Delta p_{tm}$ [Pa] : 67.9

SEGMENTO 5:

Tipo: Tramo

1 ELEMENTO		2 Caudal Q	3 Diam. D/D _e	4 Ancho A	5 Alto B	6 Long. L	7 $\Delta p/L$	8 Fuente Tab	9 Ashrae X	10 Ashrae Y	11 Coeff. C _o	12 Veloc. V	13 P.Dinám P _v	14 Pérdida Δp_r o Δp_c
N. pz.	Cod.	[m³/h]	[mm]	[mm]	[mm]	[m]	[Pa/m]	n.	-	-	-	[m/s]	[Pa]	[Pa]
50	3733D	4500	533	600	400	0	0	ASH6_33			0.264	5.2	16.28	5.64
24	310R	4500	533	600	400	1.33	0.62					5.2	16.28	0.83

Pérdida de carga acumulada del segmento

Δp_t [Pa] : 6.47

Velocidad en la sección inicial del segmento

V_m [m/s] : 6

Velocidad en la sección final del segmento

V_v [m/s] : 5.2

Recuperación de presión estática del segmento

Δp_r [Pa] : 5.39

Pérdida de carga acumulada del segmento, considerando la recuperación

Δp_{tm} [Pa] : 1.47

Pérdida de carga acumulada neta – total acumulado

$\Sigma \Delta p_{tm}$ [Pa] : 69.37

SEGMENTO 7:

Tipo: Terminal TRM-1

1 ELEMENTO		2 Caudal Q	3 Diam. D/D _e	4 Ancho A	5 Alto B	6 Long. L	7 $\Delta p/L$	8 Fuente Tab	9 Ashrae X	10 Ashrae Y	11 Coeff. C _o	12 Veloc. V	13 P.Dinám P _v	14 Pérdida Δp_r o Δp_c
N. pz.	Cod.	[m³/h]	[mm]	[mm]	[mm]	[m]	[Pa/m]	n.	-	-	-	[m/s]	[Pa]	[Pa]
57	3736	750	343	250	400	0	0	MC4	0.167	0.417	3.740	2.1	2.65	9.92
62	273R	750	273	250	250	0.13	0	5.1	30.000	1.600	0.050	3.3	6.56	0.33
30	310R	750	273	250	250	1.2	0.61					3.3	6.56	0.73
61	42C1	750	248	248	248	0	0	4.7	30.000	1.290	0.300	4.3	11.13	3.36
32	05LC	750	248	248	248	0	0	MC4				4.3	11.13	14.8

Pérdida de carga acumulada del segmento

Δp_t [Pa] : 14.35

Velocidad en la sección inicial del segmento	V_m	[m/s]	: 5.2
Velocidad en la sección final del segmento	V_v	[m/s]	: 4.3
Recuperación de presión estática del segmento	Δp_r	[Pa]	: 5.15
Pérdida de carga acumulada del segmento, considerando la recuperación	Δp_{tm}	[Pa]	: 9.22
Pérdida de carga acumulada neta – total acumulado	$\Sigma \Delta p_{tm}$	[Pa]	: 93.39
Desequilibrio del terminal respecto al camino más desfavorable	Δp_{Tmr}	[Pa]	: 2.09

SEGMENTO 6:

Tipo: Terminal TRM-1

1 ELEMENTO		2 Caudal Q	3 Diam. D/D _e	4 Ancho A	5 Alto B	6 Long. L	7 $\Delta p/L$	8 Fuente Tab	9 Ashrae X	10 Ashrae Y	11 Coeff. C _o	12 Veloc. V	13 P.Dinám P _v	14 Pérdida Δp_r o Δp_c
N. pz.	Cod.	[m³/h]	[mm]	[mm]	[mm]	[m]	[Pa/m]	n.	-	-	-	[m/s]	[Pa]	[Pa]
28	3736	750	343	250	400	0	0	MC4	0.167	0.417	3.740	2.1	2.65	9.92
60	273R	750	273	250	250	0.13	0	5.1	30.000	1.600	0.050	3.3	6.56	0.33
27	310R	750	273	250	250	1.2	0.61					3.3	6.56	0.73
59	42C1	750	248	248	248	0	0	4.7	30.000	1.290	0.300	4.3	11.13	3.36
29	05LC	750	248	248	248	0	0	MC4				4.3	11.13	14.8

Pérdida de carga acumulada del segmento	Δp_t	[Pa]	: 14.35
Velocidad en la sección inicial del segmento	V_m	[m/s]	: 5.2
Velocidad en la sección final del segmento	V_v	[m/s]	: 4.3
Recuperación de presión estática del segmento	Δp_r	[Pa]	: 5.15
Pérdida de carga acumulada del segmento, considerando la recuperación	Δp_{tm}	[Pa]	: 9.22
Pérdida de carga acumulada neta – total acumulado	$\Sigma \Delta p_{tm}$	[Pa]	: 93.39
Desequilibrio del terminal respecto al camino más desfavorable	Δp_{Tmr}	[Pa]	: 2.09

SEGMENTO 8:

Tipo: Tramo

1 ELEMENTO		2 Caudal Q	3 Diam. D/D _e	4 Ancho A	5 Alto B	6 Long. L	7 $\Delta p/L$	8 Fuente Tab	9 Ashrae X	10 Ashrae Y	11 Coeff. C _o	12 Veloc. V	13 P.Dinám P _v	14 Pérdida Δp_r o Δp_c
N. pz.	Cod.	[m³/h]	[mm]	[mm]	[mm]	[m]	[Pa/m]	n.	-	-	-	[m/s]	[Pa]	[Pa]
58	3736	3000	437	400	400	0	0	MC4	1.000			5.2	16.28	0
33	310R	3000	437	400	400	2.67	0.78					5.2	16.28	2.09

Pérdida de carga acumulada del segmento	Δp_t	[Pa]	: 2.09
Velocidad en la sección inicial del segmento	V_m	[m/s]	: 5.2
Velocidad en la sección final del segmento	V_v	[m/s]	: 5.2
Recuperación de presión estática del segmento	Δp_r	[Pa]	: 0
Pérdida de carga acumulada del segmento, considerando la recuperación	Δp_{tm}	[Pa]	: 2.09
Pérdida de carga acumulada neta – total acumulado	$\Sigma \Delta p_{tm}$	[Pa]	: 71.46

SEGMENTO 12:

Tipo: Terminal TRM-1

1 ELEMENTO		2 Caudal Q	3 Diam. D/D _e	4 Ancho A	5 Alto B	6 Long. L	7 $\Delta p/L$	8 Fuente Tab	9 Ashrae X	10 Ashrae Y	11 Coeff. C _o	12 Veloc. V	13 P.Dinám P _v	14 Pérdida Δp_r o Δp_c
N. pz.	Cod.	[m³/h]	[mm]	[mm]	[mm]	[m]	[Pa/m]	n.	-	-	-	[m/s]	[Pa]	[Pa]
63	3736	750	343	250	400	0	0	MC4	0.250	0.625	3.740	2.1	2.65	9.92
73	273R	750	273	250	250	0.13	0	5.1	30.000	1.600	0.050	3.3	6.56	0.33
43	310R	750	273	250	250	1.2	0.61					3.3	6.56	0.73
72	42C1	750	248	248	248	0	0	4.7	30.000	1.290	0.300	4.3	11.13	3.36
45	05LC	750	248	248	248	0	0	MC4				4.3	11.13	14.8

Pérdida de carga acumulada del segmento	Δp_t	[Pa]	: 14.35
Velocidad en la sección inicial del segmento	V_m	[m/s]	: 5.2
Velocidad en la sección final del segmento	V_v	[m/s]	: 4.3
Recuperación de presión estática del segmento	Δp_r	[Pa]	: 5.15
Pérdida de carga acumulada del segmento, considerando la recuperación	Δp_{tm}	[Pa]	: 9.22
Pérdida de carga acumulada neta – total acumulado	$\Sigma \Delta p_{tm}$	[Pa]	: 95.48

SEGMENTO 11:

Tipo: Tramo

1 ELEMENTO		2 Caudal Q	3 Diam. D/D _e	4 Ancho A	5 Alto B	6 Long. L	7 $\Delta p/L$	8 Fuente Tab	9 Ashrae X	10 Ashrae Y	11 Coeff. C _o	12 Veloc. V	13 P.Dinám P _v	14 Pérdida Δp_r o Δp_e
N. pz.	Cod.	[m³/h]	[mm]	[mm]	[mm]	[m]	[Pa/m]	n.	-	-	-	[m/s]	[Pa]	[Pa]
64	3736	1500	378	300	400	0	0	MC4	0.667		0.332	3.5	7.37	2.45
67	273R	1500	328	300	300	0.19	0	5.1	30.000	1.330	0.050	4.6	12.74	0.65
36	310R	1500	328	300	300	2.67	0.89					4.6	12.74	2.37

Pérdida de carga acumulada del segmento	Δp_t	[Pa]	: 5.46
Velocidad en la sección inicial del segmento	V_m	[m/s]	: 5.2
Velocidad en la sección final del segmento	V_v	[m/s]	: 3.3
Recuperación de presión estática del segmento	Δp_r	[Pa]	: 9.72
Pérdida de carga acumulada del segmento, considerando la recuperación	Δp_{tm}	[Pa]	: -3.53
Pérdida de carga acumulada neta – total acumulado	$\Sigma \Delta p_{tm}$	[Pa]	: 67.93

SEGMENTO 10:

Tipo: Terminal TRM-1

1 ELEMENTO		2 Caudal Q	3 Diam. D/D _e	4 Ancho A	5 Alto B	6 Long. L	7 $\Delta p/L$	8 Fuente Tab	9 Ashrae X	10 Ashrae Y	11 Coeff. C _o	12 Veloc. V	13 P.Dinám P _v	14 Pérdida Δp_r o Δp_e
N. pz.	Cod.	[m³/h]	[mm]	[mm]	[mm]	[m]	[Pa/m]	n.	-	-	-	[m/s]	[Pa]	[Pa]
66	3733D	750	299	250	300	0	0	ASH6_33			0.300	2.8	4.72	2.01
71	273R	750	273	250	250	0.04	0	5.1	30.000	1.200	0.050	3.3	6.56	0
40	310R	750	273	250	250	1.2	0.61					3.3	6.56	0.73
70	42C1	750	248	248	248	0	0	4.7	30.000	1.290	0.300	4.3	11.13	3.36
42	05LC	750	248	248	248	0	0	MC4				4.3	11.13	14.8

Pérdida de carga acumulada del segmento	Δp_t	[Pa]	: 6.1
Velocidad en la sección inicial del segmento	V_m	[m/s]	: 3.3
Velocidad en la sección final del segmento	V_v	[m/s]	: 4.3
Recuperación de presión estática del segmento	Δp_r	[Pa]	: -4.58
Pérdida de carga acumulada del segmento, considerando la recuperación	Δp_{tm}	[Pa]	: 10.61
Pérdida de carga acumulada neta – total acumulado	$\Sigma \Delta p_{tm}$	[Pa]	: 93.34
Desequilibrio del terminal respecto al camino más desfavorable	Δp_{Tmr}	[Pa]	: 2.14

SEGMENTO 9:

Tipo: Terminal TRM-1

1 ELEMENTO		2 Caudal Q	3 Diam. D/D _e	4 Ancho A	5 Alto B	6 Long. L	7 $\Delta p/L$	8 Fuente Tab	9 Ashrae X	10 Ashrae Y	11 Coeff. C _o	12 Veloc. V	13 P.Dinám P _v	14 Pérdida Δp_r o Δp_e
N. pz.	Cod.	[m³/h]	[mm]	[mm]	[mm]	[m]	[Pa/m]	n.	-	-	-	[m/s]	[Pa]	[Pa]
38	3733D	750	299	250	300	0	0	ASH6_	0.833		0.300	2.8	4.72	2.01

								33						
69	273R	750	273	250	250	0.04	0	5.1	30.000	1.200	0.050	3.3	6.56	0
37	310R	750	273	250	250	1.2	0.61					3.3	6.56	0.73
68	42C1	750	248	248	248	0	0	4.7	30.000	1.290	0.300	4.3	11.13	3.36
39	05LC	750	248	248	248	0	0	MC4				4.3	11.13	14.8

Pérdida de carga acumulada del segmento	Δp_t	[Pa]	: 6.1
Velocidad en la sección inicial del segmento	V_m	[m/s]	: 3.3
Velocidad en la sección final del segmento	V_v	[m/s]	: 4.3
Recuperación de presión estática del segmento	Δp_r	[Pa]	: -4.58
Pérdida de carga acumulada del segmento, considerando la recuperación	Δp_{tm}	[Pa]	: 10.61
Pérdida de carga acumulada neta – total acumulado	$\Sigma \Delta p_{tm}$	[Pa]	: 93.34
Desequilibrio del terminal respecto al camino más desfavorable	Δp_{Tmr}	[Pa]	: 2.14

SEGMENTO 13:

Tipo: Terminal TRM-1

1 ELEMENTO		2 Caudal Q	3 Diam. D/D _e	4 Ancho A	5 Alto B	6 Long. L	7 $\Delta p/L$	8 Fuente Tab	9 Ashrae X	10 Ashrae Y	11 Coeff. C _o	12 Veloc. V	13 P.Dinám P _v	14 Pérdida Δp_r o Δp_e
N. pz.	Cod.	[m³/h]	[mm]	[mm]	[mm]	[m]	[Pa/m]	n.	-	-	-	[m/s]	[Pa]	[Pa]
65	3736	750	343	250	400	0	0	MC4	0.250	0.625	3.740	2.1	2.65	9.92
75	273R	750	273	250	250	0.13	0	5.1	30.000	1.600	0.050	3.3	6.56	0.33
46	310R	750	273	250	250	1.2	0.61					3.3	6.56	0.73
74	42C1	750	248	248	248	0	0	4.7	30.000	1.290	0.300	4.3	11.13	3.36
48	05LC	750	248	248	248	0	0	MC4				4.3	11.13	14.8

Pérdida de carga acumulada del segmento	Δp_t	[Pa]	: 14.35
Velocidad en la sección inicial del segmento	V_m	[m/s]	: 5.2
Velocidad en la sección final del segmento	V_v	[m/s]	: 4.3
Recuperación de presión estática del segmento	Δp_r	[Pa]	: 5.15
Pérdida de carga acumulada del segmento, considerando la recuperación	Δp_{tm}	[Pa]	: 9.22
Pérdida de carga acumulada neta – total acumulado	$\Sigma \Delta p_{tm}$	[Pa]	: 95.48

SEGMENTO 4:

Tipo: Tramo

1 ELEMENTO		2 Caudal Q	3 Diam. D/D _e	4 Ancho A	5 Alto B	6 Long. L	7 $\Delta p/L$	8 Fuente Tab	9 Ashrae X	10 Ashrae Y	11 Coeff. C _o	12 Veloc. V	13 P.Dinám P _v	14 Pérdida Δp_r o Δp_e
N. pz.	Cod.	[m³/h]	[mm]	[mm]	[mm]	[m]	[Pa/m]	n.	-	-	-	[m/s]	[Pa]	[Pa]
16	3733D	1500	378	300	400	0	0	ASH6_33	0.857		0.300	3.5	7.37	6.4
52	273R	1500	328	300	300	0.19	0	5.1	30.000	1.330	0.050	4.6	12.74	0.65
15	310R	1500	328	300	300	1.33	0.89					4.6	12.74	1.18

Pérdida de carga acumulada del segmento	Δp_t	[Pa]	: 8.23
Velocidad en la sección inicial del segmento	V_m	[m/s]	: 6
Velocidad en la sección final del segmento	V_v	[m/s]	: 4.6
Recuperación de presión estática del segmento	Δp_r	[Pa]	: 8.93
Pérdida de carga acumulada del segmento, considerando la recuperación	Δp_{tm}	[Pa]	: -0.2
Pérdida de carga acumulada neta – total acumulado	$\Sigma \Delta p_{tm}$	[Pa]	: 67.7

SEGMENTO 3:

Tipo: Terminal TRM-1

1	2	3	4	5	6	7	8	9	10	11	12	13	14
---	---	---	---	---	---	---	---	---	----	----	----	----	----

ELEMENTO		Caudal Q	Diam. D/D _e	Ancho A	Alto B	Long. L	$\Delta p/L$	Fuente Tab	Ashrae X	Ashrae Y	Coeff. C _o	Veloc. V	P.Dinám P _v	Pérdida Δp_r o Δp_e
N. pz.	Cod.	[m³/h]	[mm]	[mm]	[mm]	[m]	[Pa/m]	n.	-	-	-	[m/s]	[Pa]	[Pa]
51	3733D	750	299	250	300	0	0	ASH6_33	0.833		0.267	2.8	4.72	3.44
56	273R	750	273	250	250	0.04	0	5.1	30.000	1.200	0.050	3.3	6.56	0.33
21	310R	750	273	250	250	1.2	0.61					3.3	6.56	0.73
55	42C1	750	248	248	248	0	0	4.7	30.000	1.290	0.300	4.3	11.13	3.36
23	05LC	750	248	248	248	0	0	MC4				4.3	11.13	14.8

Pérdida de carga acumulada del segmento	Δp_t	[Pa] : 7.87
Velocidad en la sección inicial del segmento	V_m	[m/s] : 4.6
Velocidad en la sección final del segmento	V_v	[m/s] : 4.3
Recuperación de presión estática del segmento	Δp_r	[Pa] : 1.61
Pérdida de carga acumulada del segmento, considerando la recuperación	Δp_{tm}	[Pa] : 6.16
Pérdida de carga acumulada neta – total acumulado	$\Sigma \Delta p_{tm}$	[Pa] : 88.66
Desequilibrio del terminal respecto al camino más desfavorable	Δp_{Tmr}	[Pa] : 6.81

SEGMENTO 2:

Tipo: Terminal TRM-1

1 ELEMENTO		2 Caudal Q	3 Diam. D/D _e	4 Ancho A	5 Alto B	6 Long. L	7 $\Delta p/L$	8 Fuente Tab	9 Ashrae X	10 Ashrae Y	11 Coeff. C _o	12 Veloc. V	13 P.Dinám P _v	14 Pérdida Δp_r o Δp_e
N. pz.	Cod.	[m³/h]	[mm]	[mm]	[mm]	[m]	[Pa/m]	n.	-	-	-	[m/s]	[Pa]	[Pa]
19	3733D	750	299	250	300	0	0	ASH6_33			0.267	2.8	4.72	3.44
54	273R	750	273	250	250	0.04	0	5.1	30.000	1.200	0.050	3.3	6.56	0.33
18	310R	750	273	250	250	1.2	0.61					3.3	6.56	0.73
53	42C1	750	248	248	248	0	0	4.7	30.000	1.290	0.300	4.3	11.13	3.36
20	05LC	750	248	248	248	0	0	MC4				4.3	11.13	14.8

Pérdida de carga acumulada del segmento	Δp_t	[Pa] : 7.87
Velocidad en la sección inicial del segmento	V_m	[m/s] : 4.6
Velocidad en la sección final del segmento	V_v	[m/s] : 4.3
Recuperación de presión estática del segmento	Δp_r	[Pa] : 1.61
Pérdida de carga acumulada del segmento, considerando la recuperación	Δp_{tm}	[Pa] : 6.16
Pérdida de carga acumulada neta – total acumulado	$\Sigma \Delta p_{tm}$	[Pa] : 88.66
Desequilibrio del terminal respecto al camino más desfavorable	Δp_{Tmr}	[Pa] : 6.82

DATOS GENERALES**Cliente:****Ciudad:**

Alicante

Proyectista:**SISTEMA:****Nº Expediente:****Dibujo n.º:****Referencia:****Construcción:****Sistema:****Zona:** SALA DEPORTIVA PLANTA PRIMERA ZONA 2 IMPULSION**Circuito:****Altitud s.n.m**

[m]: 7

Altura

[m]: 0

Temperatura aire

[°C]: 20

Humedad Relativa aire

[%]:

Método de cálculo: DIMENSIONADO DEL LA RED CON EL METODO DE PERDIDA DE CARGA CONSTANTE**DATOS DE CALCULO****Viscosidad del aire**

[Pa*s]: 0.01816

Densidad del aire

[kg/m³]: 1.2

Revestimiento interior

:

Espesor

[mm]: 0

Rugosidad pared

[mm]: 0.15

CONDUCTOS Ratio B/A: 0.5**OPCIONES****Tipo de cálculo elegido:** : 2

- Pérdida de carga distribuida [Pa/m]: 0.8
- Máxima velocidad en los tramos [m/s]: 6
- Máxima velocidad en los ramales [m/s]: 6

Cálculo con dimensiones normalizadas [Si/No]: Si

- Paso para el cálculo con dimensiones no normalizadas [mm]: 0
- Dimensión mínima [mm]: 0
- Dimensión máxima [mm]: 0

LIMITES**Mínimo desequilibrio para justificar el equilibrado y la inserción de compuertas en ramales** (Δp_{mr}) [Pa]: 10**Mínimo desequilibrio para justificar el equilibrado y la inserción de compuertas en terminales** (Δp_{msr}) [Pa]: 10**Máxima pérdida de carga admisible para las compuertas en terminales** (Δp_{MT}) [Pa]: 0**MAXIMA PERDIDA****Presión total para el camino más desfavorable** [Pa]: 100.72**Presión estática para el camino más desfavorable** [Pa]: 84.08**CAMINO MAS DESFAVOR.**

000-001-010-005-004

SEGMENTO 1:**Tipo:** Tramo

1 ELEMENTO		2 Caudal Q	3 Diam. D/D _e	4 Ancho A	5 Alto B	6 Long. L	7 $\Delta p/L$	8 Fuente Tab	9 Ashrae X	10 Ashrae Y	11 Coeff. C _o	12 Veloc. V	13 P.Dinám P _v	14 Pérdida Δp_r o Δp_c
N. pz.	Cod.	[m³/h]	[mm]	[mm]	[mm]	[m]	[Pa/m]	n.	-	-	-	[m/s]	[Pa]	[Pa]
1	310R	8045	706	500	850	3.53	0.46					5.3	16.91	1.63
2	079R	8045	706	500	850	0	0	3.5	1.700	0.740	0.424	5.3	16.91	8.13
3	310R	8045	706	500	850	13.14	0.46					5.3	16.91	6.06

Pérdida de carga acumulada del segmento

 Δp_t [Pa] : 15.81

Velocidad en la sección inicial del segmento

 V_m [m/s] : 5.3

Velocidad en la sección final del segmento

 V_v [m/s] : 4.5

Recuperación de presión estática del segmento

 Δp_r [Pa] : 4.72

Pérdida de carga acumulada del segmento, considerando la recuperación

 Δp_{tm} [Pa] : 13.69

Pérdida de carga acumulada neta – total acumulado

 $\Sigma \Delta p_{tm}$ [Pa] : 13.69**SEGMENTO 11:****Tipo:** Tramo

1 ELEMENTO		2 Caudal Q	3 Diam. D/D _e	4 Ancho A	5 Alto B	6 Long. L	7 $\Delta p/L$	8 Fuente Tab	9 Ashrae X	10 Ashrae Y	11 Coeff. C _o	12 Veloc. V	13 P.Dinám P _v	14 Pérdida Δp_r o Δp_c
N. pz.	Cod.	[m³/h]	[mm]	[mm]	[mm]	[m]	[Pa/m]	n.	-	-	-	[m/s]	[Pa]	[Pa]
82	3733D	4020	488	500	400	0	0	ASH6_33	0.471		0.270	5.6	18.88	3.25
44	310R	4020	488	500	400	0.86	0.79					5.6	18.88	0.68
46	079R	4020	488	500	400	0	0	3.5	0.800	0.740	0.315	5.6	18.88	5.91
47	310R	4020	488	500	400	0.84	0.79					5.6	18.88	0.66
49	079R	4020	488	500	400	0	0	3.5	0.800	0.740	0.315	5.6	18.88	5.91
50	310R	4020	488	500	400	2.89	0.79					5.6	18.88	2.27

Pérdida de carga acumulada del segmento

 Δp_t [Pa] : 18.67

Velocidad en la sección inicial del segmento

 V_m [m/s] : 4.5

Velocidad en la sección final del segmento

 V_v [m/s] : 5.6

Recuperación de presión estática del segmento

 Δp_r [Pa] : -6.69

Pérdida de carga acumulada del segmento, considerando la recuperación

 Δp_{tm} [Pa] : 26.37

Pérdida de carga acumulada neta – total acumulado

 $\Sigma \Delta p_{tm}$ [Pa] : 40.06**SEGMENTO 16:****Tipo:** Tramo

1 ELEMENTO		2 Caudal Q	3 Diam. D/D _e	4 Ancho A	5 Alto B	6 Long. L	7 $\Delta p/L$	8 Fuente Tab	9 Ashrae X	10 Ashrae Y	11 Coeff. C _o	12 Veloc. V	13 P.Dinám P _v	14 Pérdida Δp_r o Δp_c
N. pz.	Cod.	[m³/h]	[mm]	[mm]	[mm]	[m]	[Pa/m]	n.	-	-	-	[m/s]	[Pa]	[Pa]
104	3722D	2010	437	400	400	0	0	MC4	0.500	1.000	1.200	3.5	7.37	8.82
118	273R	2010	378	400	300	0.19	0	5.1	30.000	1.330	0.050	4.7	13.3	0.65
67	310R	2010	378	400	300	1.05	0.76					4.7	13.3	0.8

Pérdida de carga acumulada del segmento

 Δp_t [Pa] : 10.26

Velocidad en la sección inicial del segmento

 V_m [m/s] : 5.6

Velocidad en la sección final del segmento

 V_v [m/s] : 4.7

Recuperación de presión estática del segmento

 Δp_r [Pa] : 5.58

Pérdida de carga acumulada del segmento, considerando la recuperación
Pérdida de carga acumulada neta – total acumulado

Δp_{tm} [Pa] : 4.53
 $\Sigma \Delta p_{tm}$ [Pa] : 44.59

SEGMENTO 18:

Tipo: Terminal TRM-1

1 ELEMENTO		2 Caudal Q	3 Diam. D/D _e	4 Ancho A	5 Alto B	6 Long. L	7 $\Delta p/L$	8 Fuente Tab	9 Ashrae X	10 Ashrae Y	11 Coeff. C _o	12 Veloc. V	13 P.Dinám P _v	14 Pérdida Δp_r o Δp_c
N. pz.	Cod.	[m³/h]	[mm]	[mm]	[mm]	[m]	[Pa/m]	n.	-	-	-	[m/s]	[Pa]	[Pa]
116	3736	670	299	250	300	0	0	MC4	0.333	0.625	1.500	2.5	3.76	5.65
122	273R	670	273	250	250	0.04	0	5.1	30.000	1.200	0.050	3	5.42	0.27
73	310R	670	273	250	250	1.2	0.49					3	5.42	0.59
121	42C1	670	248	248	248	0	0	4.7	30.000	1.290	0.300	3.9	9.16	2.68
75	05LC	670	248	248	248	0	0	MC4				3.9	9.16	17.06

Pérdida de carga acumulada del segmento
Velocidad en la sección inicial del segmento
Velocidad en la sección final del segmento
Recuperación de presión estática del segmento
Pérdida de carga acumulada del segmento, considerando la recuperación
Pérdida de carga acumulada neta – total acumulado
Desequilibrio del terminal respecto al camino más desfavorable

Δp_t [Pa] : 9.2
 V_m [m/s] : 4.7
 V_v [m/s] : 3.9
 Δp_r [Pa] : 4.14
 Δp_{tm} [Pa] : 5.1
 $\Sigma \Delta p_{tm}$ [Pa] : 66.74
 Δp_{Tmr} [Pa] : 17.34

SEGMENTO 17:

Tipo: Terminal TRM-1

1 ELEMENTO		2 Caudal Q	3 Diam. D/D _e	4 Ancho A	5 Alto B	6 Long. L	7 $\Delta p/L$	8 Fuente Tab	9 Ashrae X	10 Ashrae Y	11 Coeff. C _o	12 Veloc. V	13 P.Dinám P _v	14 Pérdida Δp_r o Δp_c
N. pz.	Cod.	[m³/h]	[mm]	[mm]	[mm]	[m]	[Pa/m]	n.	-	-	-	[m/s]	[Pa]	[Pa]
71	3736	670	299	250	300	0	0	MC4	0.333	0.625	1.500	2.5	3.76	5.65
120	273R	670	273	250	250	0.04	0	5.1	30.000	1.200	0.050	3	5.42	0.27
70	310R	670	273	250	250	1.2	0.49					3	5.42	0.59
119	42C1	670	248	248	248	0	0	4.7	30.000	1.290	0.300	3.9	9.16	2.68
72	05LC	670	248	248	248	0	0	MC4				3.9	9.16	17.06

Pérdida de carga acumulada del segmento
Velocidad en la sección inicial del segmento
Velocidad en la sección final del segmento
Recuperación de presión estática del segmento
Pérdida de carga acumulada del segmento, considerando la recuperación
Pérdida de carga acumulada neta – total acumulado
Desequilibrio del terminal respecto al camino más desfavorable

Δp_t [Pa] : 9.2
 V_m [m/s] : 4.7
 V_v [m/s] : 3.9
 Δp_r [Pa] : 4.14
 Δp_{tm} [Pa] : 5.1
 $\Sigma \Delta p_{tm}$ [Pa] : 66.74
 Δp_{Tmr} [Pa] : 17.34

SEGMENTO 19:

Tipo: Terminal TRM-1

1 ELEMENTO		2 Caudal Q	3 Diam. D/D _e	4 Ancho A	5 Alto B	6 Long. L	7 $\Delta p/L$	8 Fuente Tab	9 Ashrae X	10 Ashrae Y	11 Coeff. C _o	12 Veloc. V	13 P.Dinám P _v	14 Pérdida Δp_r o Δp_c
N. pz.	Cod.	[m³/h]	[mm]	[mm]	[mm]	[m]	[Pa/m]	n.	-	-	-	[m/s]	[Pa]	[Pa]
117	3736	670	299	250	300	0	0	MC4	0.533		0.646	2.5	3.76	2.43
123	273R	670	273	250	250	0.14	0	5.1	30.000	1.200	0.050	3	5.42	0.27
76	310R	670	273	250	250	2	0.5					3	5.42	0.99
78	079R	670	273	250	250	0	0	3.5	1.000	0.900	0.450	3	5.42	7.7
79	310R	670	273	250	250	1.2	0.49					3	5.42	0.59
124	42C1	670	248	248	248	0	0	4.7	30.000	1.290	0.300	3.9	9.16	2.68

81	05LC	670	248	248	248	0	0	MC4				3.9	9.16	17.06
----	------	-----	-----	-----	-----	---	---	-----	--	--	--	-----	------	-------

Pérdida de carga acumulada del segmento	Δp_t	[Pa]	: 14.65
Velocidad en la sección inicial del segmento	V_m	[m/s]	: 4.7
Velocidad en la sección final del segmento	V_v	[m/s]	: 3.9
Recuperación de presión estática del segmento	Δp_r	[Pa]	: 4.14
Pérdida de carga acumulada del segmento, considerando la recuperación	Δp_{tm}	[Pa]	: 15.52
Pérdida de carga acumulada neta – total acumulado	$\Sigma \Delta p_{tm}$	[Pa]	: 77.17
Desequilibrio del terminal respecto al camino más desfavorable	Δp_{Tmr}	[Pa]	: 6.91

SEGMENTO 15:

Tipo: Tramo

1 ELEMENTO		2 Caudal Q	3 Diam. D/D _e	4 Ancho A	5 Alto B	6 Long. L	7 $\Delta p/L$	8 Fuente Tab	9 Ashrae X	10 Ashrae Y	11 Coeff. C _o	12 Veloc. V	13 P.Dinám P _v	14 Pérdida Δp_r o Δp_c
N. pz.	Cod.	[m³/h]	[mm]	[mm]	[mm]	[m]	[Pa/m]	n.	-	-	-	[m/s]	[Pa]	[Pa]
105	3722D	2010	437	400	400	0	0	MC4	0.500	1.000	0.474	3.5	7.37	3.49
106	273R	2010	378	400	300	0.19	0	5.1	30.000	1.330	0.050	4.7	13.3	0.65
53	310R	2010	378	400	300	5.4	0.76					4.7	13.3	4.12
52	079R	2010	378	400	300	0	0	3.5	0.750	0.800	0.532	4.7	13.3	6.94
54	310R	2010	378	400	300	1.05	0.76					4.7	13.3	0.8

Pérdida de carga acumulada del segmento	Δp_t	[Pa]	: 16
Velocidad en la sección inicial del segmento	V_m	[m/s]	: 5.6
Velocidad en la sección final del segmento	V_v	[m/s]	: 4.7
Recuperación de presión estática del segmento	Δp_r	[Pa]	: 5.58
Pérdida de carga acumulada del segmento, considerando la recuperación	Δp_{tm}	[Pa]	: 10.26
Pérdida de carga acumulada neta – total acumulado	$\Sigma \Delta p_{tm}$	[Pa]	: 50.32

SEGMENTO 13:

Tipo: Terminal TRM-1

1 ELEMENTO		2 Caudal Q	3 Diam. D/D _e	4 Ancho A	5 Alto B	6 Long. L	7 $\Delta p/L$	8 Fuente Tab	9 Ashrae X	10 Ashrae Y	11 Coeff. C _o	12 Veloc. V	13 P.Dinám P _v	14 Pérdida Δp_r o Δp_c
N. pz.	Cod.	[m³/h]	[mm]	[mm]	[mm]	[m]	[Pa/m]	n.	-	-	-	[m/s]	[Pa]	[Pa]
107	3736	670	299	250	300	0	0	MC4	0.333	0.625	1.500	2.5	3.76	5.65
113	273R	670	273	250	250	0.04	0	5.1	30.000	1.200	0.050	3	5.42	0.27
61	310R	670	273	250	250	1.2	0.49					3	5.42	0.59
112	42C1	670	248	248	248	0	0	4.7	30.000	1.290	0.300	3.9	9.16	2.68
63	05LC	670	248	248	248	0	0	MC4				3.9	9.16	17.06

Pérdida de carga acumulada del segmento	Δp_t	[Pa]	: 9.2
Velocidad en la sección inicial del segmento	V_m	[m/s]	: 4.7
Velocidad en la sección final del segmento	V_v	[m/s]	: 3.9
Recuperación de presión estática del segmento	Δp_r	[Pa]	: 4.14
Pérdida de carga acumulada del segmento, considerando la recuperación	Δp_{tm}	[Pa]	: 5.1
Pérdida de carga acumulada neta – total acumulado	$\Sigma \Delta p_{tm}$	[Pa]	: 72.48
Desequilibrio del terminal respecto al camino más desfavorable	Δp_{Tmr}	[Pa]	: 11.6

SEGMENTO 12:

Tipo: Terminal TRM-1

1 ELEMENTO	2 Caudal Q	3 Diam. D/D _e	4 Ancho A	5 Alto B	6 Long. L	7 $\Delta p/L$	8 Fuente Tab	9 Ashrae X	10 Ashrae Y	11 Coeff. C _o	12 Veloc. V	13 P.Dinám P _v	14 Pérdida
---------------	------------------	--------------------------------	-----------------	----------------	-----------------	-------------------	--------------------	------------------	-------------------	--------------------------------	-------------------	---------------------------------	---------------

N. pz.	Cod.	[m³/h]	[mm]	[mm]	[mm]	[m]	[Pa/m]	n.	-	-	-	[m/s]	[Pa]	Δp_r o Δp_e [Pa]
108	3736	670	299	250	300	0	0	MC4	0.533		0.646	2.5	3.76	2.43
110	273R	670	273	250	250	0.14	0	5.1	30.000	1.200	0.050	3	5.42	0.27
57	310R	670	273	250	250	2	0.5					3	5.42	0.99
56	079R	670	273	250	250	0	0	3.5	1.000	0.900	0.450	3	5.42	7.7
58	310R	670	273	250	250	1.2	0.49					3	5.42	0.59
111	42C1	670	248	248	248	0	0	4.7	30.000	1.290	0.300	3.9	9.16	2.68
60	05LC	670	248	248	248	0	0	MC4				3.9	9.16	17.06

Pérdida de carga acumulada del segmento	Δp_t	[Pa]	: 14.65
Velocidad en la sección inicial del segmento	V_m	[m/s]	: 4.7
Velocidad en la sección final del segmento	V_v	[m/s]	: 3.9
Recuperación de presión estática del segmento	Δp_r	[Pa]	: 4.14
Pérdida de carga acumulada del segmento, considerando la recuperación	Δp_{tm}	[Pa]	: 15.52
Pérdida de carga acumulada neta – total acumulado	$\Sigma \Delta p_{tm}$	[Pa]	: 82.9
Desequilibrio del terminal respecto al camino más desfavorable	Δp_{Tmr}	[Pa]	: 1.18

SEGMENTO 14:

Tipo: Terminal TRM-1

1 ELEMENTO		2 Caudal Q	3 Diam. D/D _e	4 Ancho A	5 Alto B	6 Long. L	7 $\Delta p/L$	8 Fuente Tab	9 Ashrae X	10 Ashrae Y	11 Coeff. C _o	12 Veloc. V	13 P.Dinám P _v	14 Pérdida Δp_r o Δp_e
N. pz.	Cod.	[m³/h]	[mm]	[mm]	[mm]	[m]	[Pa/m]	n.	-	-	-	[m/s]	[Pa]	[Pa]
109	3736	670	299	250	300	0	0	MC4	0.333	0.625	1.500	2.5	3.76	5.65
115	273R	670	273	250	250	0.04	0	5.1	30.000	1.200	0.050	3	5.42	0.27
64	310R	670	273	250	250	1.2	0.49					3	5.42	0.59
114	42C1	670	248	248	248	0	0	4.7	30.000	1.290	0.300	3.9	9.16	2.68
66	05LC	670	248	248	248	0	0	MC4				3.9	9.16	17.06

Pérdida de carga acumulada del segmento	Δp_t	[Pa]	: 9.2
Velocidad en la sección inicial del segmento	V_m	[m/s]	: 4.7
Velocidad en la sección final del segmento	V_v	[m/s]	: 3.9
Recuperación de presión estática del segmento	Δp_r	[Pa]	: 4.14
Pérdida de carga acumulada del segmento, considerando la recuperación	Δp_{tm}	[Pa]	: 5.1
Pérdida de carga acumulada neta – total acumulado	$\Sigma \Delta p_{tm}$	[Pa]	: 72.48
Desequilibrio del terminal respecto al camino más desfavorable	Δp_{Tmr}	[Pa]	: 11.6

SEGMENTO 10:

Tipo: Tramo

1 ELEMENTO		2 Caudal Q	3 Diam. D/D _e	4 Ancho A	5 Alto B	6 Long. L	7 $\Delta p/L$	8 Fuente Tab	9 Ashrae X	10 Ashrae Y	11 Coeff. C _o	12 Veloc. V	13 P.Dinám P _v	14 Pérdida Δp_r o Δp_e
N. pz.	Cod.	[m³/h]	[mm]	[mm]	[mm]	[m]	[Pa/m]	n.	-	-	-	[m/s]	[Pa]	[Pa]
7	3733D	4020	488	500	400	0	0	ASH6_33			0.270	5.6	18.88	3.25
6	310R	4020	488	500	400	0.86	0.79					5.6	18.88	0.68
8	079R	4020	488	500	400	0	0	3.5	0.800	0.740	0.315	5.6	18.88	5.91
9	310R	4020	488	500	400	0.84	0.79					5.6	18.88	0.66
11	079R	4020	488	500	400	0	0	3.5	0.800	0.740	0.315	5.6	18.88	5.91
12	310R	4020	488	500	400	4.38	0.79					5.6	18.88	3.45

Pérdida de carga acumulada del segmento	Δp_t	[Pa]	: 19.85
Velocidad en la sección inicial del segmento	V_m	[m/s]	: 4.5
Velocidad en la sección final del segmento	V_v	[m/s]	: 5.6
Recuperación de presión estática del segmento	Δp_r	[Pa]	: -6.69
Pérdida de carga acumulada del segmento, considerando la recuperación	Δp_{tm}	[Pa]	: 27.55

Pérdida de carga acumulada neta – total acumulado

$\Sigma \Delta p_{tn}$ [Pa] : 41.24

SEGMENTO 6:

Tipo: Tramo

1 ELEMENTO		2 Caudal Q	3 Diam. D/D _e	4 Ancho A	5 Alto B	6 Long. L	7 $\Delta p/L$	8 Fuente Tab	9 Ashrae X	10 Ashrae Y	11 Coeff. C _o	12 Veloc. V	13 P.Dinám P _v	14 Pérdida Δp_r o Δp_e
N. pz.	Cod.	[m³/h]	[mm]	[mm]	[mm]	[m]	[Pa/m]	n.	-	-	-	[m/s]	[Pa]	[Pa]
83	3722D	2010	437	400	400	0	0	MC4	0.500	1.000	1.200	3.5	7.37	8.82
97	273R	2010	378	400	300	0.19	0	5.1	30.000	1.330	0.050	4.7	13.3	0.65
31	310R	2010	378	400	300	1.05	0.76					4.7	13.3	0.8

Pérdida de carga acumulada del segmento

Δp_t [Pa] : 10.26

Velocidad en la sección inicial del segmento

V_m [m/s] : 5.6

Velocidad en la sección final del segmento

V_v [m/s] : 4.7

Recuperación de presión estática del segmento

Δp_r [Pa] : 5.58

Pérdida de carga acumulada del segmento, considerando la recuperación

Δp_{tn} [Pa] : 4.53

Pérdida de carga acumulada neta – total acumulado

$\Sigma \Delta p_{tn}$ [Pa] : 45.76

SEGMENTO 8:

Tipo: Terminal TRM-1

1 ELEMENTO		2 Caudal Q	3 Diam. D/D _e	4 Ancho A	5 Alto B	6 Long. L	7 $\Delta p/L$	8 Fuente Tab	9 Ashrae X	10 Ashrae Y	11 Coeff. C _o	12 Veloc. V	13 P.Dinám P _v	14 Pérdida Δp_r o Δp_e
N. pz.	Cod.	[m³/h]	[mm]	[mm]	[mm]	[m]	[Pa/m]	n.	-	-	-	[m/s]	[Pa]	[Pa]
94	3736	670	299	250	300	0	0	MC4	0.333	0.625	1.500	2.5	3.76	5.65
101	273R	670	273	250	250	0.04	0	5.1	30.000	1.200	0.050	3	5.42	0.27
38	310R	670	273	250	250	1.2	0.49					3	5.42	0.59
100	42C1	670	248	248	248	0	0	4.7	30.000	1.290	0.300	3.9	9.16	2.68
40	05LC	670	248	248	248	0	0	MC4				3.9	9.16	17.06

Pérdida de carga acumulada del segmento

Δp_t [Pa] : 9.2

Velocidad en la sección inicial del segmento

V_m [m/s] : 4.7

Velocidad en la sección final del segmento

V_v [m/s] : 3.9

Recuperación de presión estática del segmento

Δp_r [Pa] : 4.14

Pérdida de carga acumulada del segmento, considerando la recuperación

Δp_{tn} [Pa] : 5.1

Pérdida de carga acumulada neta – total acumulado

$\Sigma \Delta p_{tn}$ [Pa] : 67.92

Desequilibrio del terminal respecto al camino más desfavorable

Δp_{Tmr} [Pa] : 16.16

SEGMENTO 7:

Tipo: Terminal TRM-1

1 ELEMENTO		2 Caudal Q	3 Diam. D/D _e	4 Ancho A	5 Alto B	6 Long. L	7 $\Delta p/L$	8 Fuente Tab	9 Ashrae X	10 Ashrae Y	11 Coeff. C _o	12 Veloc. V	13 P.Dinám P _v	14 Pérdida Δp_r o Δp_e
N. pz.	Cod.	[m³/h]	[mm]	[mm]	[mm]	[m]	[Pa/m]	n.	-	-	-	[m/s]	[Pa]	[Pa]
95	3736	670	299	250	300	0	0	MC4	0.533		0.646	2.5	3.76	2.43
98	273R	670	273	250	250	0.14	0	5.1	30.000	1.200	0.050	3	5.42	0.27
34	310R	670	273	250	250	2	0.5					3	5.42	0.99
33	079R	670	273	250	250	0	0	3.5	1.000	0.900	0.450	3	5.42	2.4
35	310R	670	273	250	250	1.2	0.49					3	5.42	0.59
99	42C1	670	248	248	248	0	0	4.7	30.000	1.290	0.300	3.9	9.16	2.68
37	05LC	670	248	248	248	0	0	MC4				3.9	9.16	17.06

Pérdida de carga acumulada del segmento

Δp_t [Pa] : 9.36

Velocidad en la sección inicial del segmento	V_m	[m/s] : 4.7
Velocidad en la sección final del segmento	V_v	[m/s] : 3.9
Recuperación de presión estática del segmento	Δp_r	[Pa] : 4.14
Pérdida de carga acumulada del segmento, considerando la recuperación	Δp_{tm}	[Pa] : 5.26
Pérdida de carga acumulada neta – total acumulado	$\Sigma \Delta p_{tm}$	[Pa] : 68.08
Desequilibrio del terminal respecto al camino más desfavorable	Δp_{Tmr}	[Pa] : 16

SEGMENTO 9:

Tipo: Terminal TRM-1

1 ELEMENTO		2 Caudal Q	3 Diam. D/D _e	4 Ancho A	5 Alto B	6 Long. L	7 $\Delta p/L$	8 Fuente Tab	9 Ashrae X	10 Ashrae Y	11 Coeff. C _o	12 Veloc. V	13 P.Dinám P _v	14 Pérdida Δp_r o Δp_c
N. pz.	Cod.	[m³/h]	[mm]	[mm]	[mm]	[m]	[Pa/m]	n.	-	-	-	[m/s]	[Pa]	[Pa]
96	3736	670	299	250	300	0	0	MC4	0.333	0.625	1.500	2.5	3.76	5.65
103	273R	670	273	250	250	0.04	0	5.1	30.000	1.200	0.050	3	5.42	0.27
41	310R	670	273	250	250	1.2	0.49					3	5.42	0.59
102	42C1	670	248	248	248	0	0	4.7	30.000	1.290	0.300	3.9	9.16	2.68
43	05LC	670	248	248	248	0	0	MC4				3.9	9.16	17.06

Pérdida de carga acumulada del segmento	Δp_t	[Pa] : 9.2
Velocidad en la sección inicial del segmento	V_m	[m/s] : 4.7
Velocidad en la sección final del segmento	V_v	[m/s] : 3.9
Recuperación de presión estática del segmento	Δp_r	[Pa] : 4.14
Pérdida de carga acumulada del segmento, considerando la recuperación	Δp_{tm}	[Pa] : 5.1
Pérdida de carga acumulada neta – total acumulado	$\Sigma \Delta p_{tm}$	[Pa] : 67.92
Desequilibrio del terminal respecto al camino más desfavorable	Δp_{Tmr}	[Pa] : 16.16

SEGMENTO 5:

Tipo: Tramo

1 ELEMENTO		2 Caudal Q	3 Diam. D/D _e	4 Ancho A	5 Alto B	6 Long. L	7 $\Delta p/L$	8 Fuente Tab	9 Ashrae X	10 Ashrae Y	11 Coeff. C _o	12 Veloc. V	13 P.Dinám P _v	14 Pérdida Δp_r o Δp_c
N. pz.	Cod.	[m³/h]	[mm]	[mm]	[mm]	[m]	[Pa/m]	n.	-	-	-	[m/s]	[Pa]	[Pa]
84	3722D	2010	437	400	400	0	0	MC4	0.500	1.000	0.474	3.5	7.37	3.49
85	273R	2010	378	400	300	0.19	0	5.1	30.000	1.330	0.050	4.7	13.3	0.65
15	310R	2010	378	400	300	5.4	0.76					4.7	13.3	4.12
14	079R	2010	378	400	300	0	0	3.5	0.750	0.800	0.532	4.7	13.3	6.94
16	310R	2010	378	400	300	1.05	0.76					4.7	13.3	0.8

Pérdida de carga acumulada del segmento	Δp_t	[Pa] : 16
Velocidad en la sección inicial del segmento	V_m	[m/s] : 5.6
Velocidad en la sección final del segmento	V_v	[m/s] : 4.7
Recuperación de presión estática del segmento	Δp_r	[Pa] : 5.58
Pérdida de carga acumulada del segmento, considerando la recuperación	Δp_{tm}	[Pa] : 10.26
Pérdida de carga acumulada neta – total acumulado	$\Sigma \Delta p_{tm}$	[Pa] : 51.5

SEGMENTO 3:

Tipo: Terminal TRM-1

1 ELEMENTO		2 Caudal Q	3 Diam. D/D _e	4 Ancho A	5 Alto B	6 Long. L	7 $\Delta p/L$	8 Fuente Tab	9 Ashrae X	10 Ashrae Y	11 Coeff. C _o	12 Veloc. V	13 P.Dinám P _v	14 Pérdida Δp_r o Δp_c
N. pz.	Cod.	[m³/h]	[mm]	[mm]	[mm]	[m]	[Pa/m]	n.	-	-	-	[m/s]	[Pa]	[Pa]
86	3736	670	299	250	300	0	0	MC4	0.333	0.625	1.500	2.5	3.76	5.65
91	273R	670	273	250	250	0.04	0	5.1	30.000	1.200	0.050	3	5.42	0.27

22	310R	670	273	250	250	1.2	0.49					3	5.42	0.59
90	42C1	670	248	248	248	0	0	4.7	30.000	1.290	0.300	3.9	9.16	2.68
24	05LC	670	248	248	248	0	0	MC4				3.9	9.16	17.06

Pérdida de carga acumulada del segmento	Δp_t	[Pa]	: 9.2
Velocidad en la sección inicial del segmento	V_m	[m/s]	: 4.7
Velocidad en la sección final del segmento	V_v	[m/s]	: 3.9
Recuperación de presión estática del segmento	Δp_r	[Pa]	: 4.14
Pérdida de carga acumulada del segmento, considerando la recuperación	Δp_{tm}	[Pa]	: 5.1
Pérdida de carga acumulada neta – total acumulado	$\Sigma \Delta p_{tm}$	[Pa]	: 73.65
Desequilibrio del terminal respecto al camino más desfavorable	Δp_{Tmr}	[Pa]	: 10.43

SEGMENTO 2:

Tipo: Terminal TRM-1

1 ELEMENTO		2 Caudal Q	3 Diam. D/D _e	4 Ancho A	5 Alto B	6 Long. L	7 $\Delta p/L$	8 Fuente Tab	9 Ashrae X	10 Ashrae Y	11 Coeff. C _o	12 Veloc. V	13 P.Dinám P _v	14 Pérdida Δp_r o Δp_c
N. pz.	Cod.	[m³/h]	[mm]	[mm]	[mm]	[m]	[Pa/m]	n.	-	-	-	[m/s]	[Pa]	[Pa]
20	3736	670	299	250	300	0	0	MC4	0.333	0.625	1.500	2.5	3.76	5.65
89	273R	670	273	250	250	0.04	0	5.1	30.000	1.200	0.050	3	5.42	0.27
19	310R	670	273	250	250	1.2	0.49					3	5.42	0.59
88	42C1	670	248	248	248	0	0	4.7	30.000	1.290	0.300	3.9	9.16	2.68
21	05LC	670	248	248	248	0	0	MC4				3.9	9.16	17.06

Pérdida de carga acumulada del segmento	Δp_t	[Pa]	: 9.2
Velocidad en la sección inicial del segmento	V_m	[m/s]	: 4.7
Velocidad en la sección final del segmento	V_v	[m/s]	: 3.9
Recuperación de presión estática del segmento	Δp_r	[Pa]	: 4.14
Pérdida de carga acumulada del segmento, considerando la recuperación	Δp_{tm}	[Pa]	: 5.1
Pérdida de carga acumulada neta – total acumulado	$\Sigma \Delta p_{tm}$	[Pa]	: 73.65
Desequilibrio del terminal respecto al camino más desfavorable	Δp_{Tmr}	[Pa]	: 10.43

SEGMENTO 4:

Tipo: Terminal TRM-1

1 ELEMENTO		2 Caudal Q	3 Diam. D/D _e	4 Ancho A	5 Alto B	6 Long. L	7 $\Delta p/L$	8 Fuente Tab	9 Ashrae X	10 Ashrae Y	11 Coeff. C _o	12 Veloc. V	13 P.Dinám P _v	14 Pérdida Δp_r o Δp_c
N. pz.	Cod.	[m³/h]	[mm]	[mm]	[mm]	[m]	[Pa/m]	n.	-	-	-	[m/s]	[Pa]	[Pa]
87	3736	670	299	250	300	0	0	MC4	0.533		0.646	2.5	3.76	2.43
92	273R	670	273	250	250	0.14	0	5.1	30.000	1.200	0.050	3	5.42	0.27
25	310R	670	273	250	250	2	0.5					3	5.42	0.99
27	079R	670	273	250	250	0	0	3.5	1.000	0.900	0.450	3	5.42	7.7
28	310R	670	273	250	250	1.2	0.49					3	5.42	0.59
93	42C1	670	248	248	248	0	0	4.7	30.000	1.290	0.300	3.9	9.16	2.68
30	05LC	670	248	248	248	0	0	MC4				3.9	9.16	17.06

Pérdida de carga acumulada del segmento	Δp_t	[Pa]	: 14.65
Velocidad en la sección inicial del segmento	V_m	[m/s]	: 4.7
Velocidad en la sección final del segmento	V_v	[m/s]	: 3.9
Recuperación de presión estática del segmento	Δp_r	[Pa]	: 4.14
Pérdida de carga acumulada del segmento, considerando la recuperación	Δp_{tm}	[Pa]	: 15.52
Pérdida de carga acumulada neta – total acumulado	$\Sigma \Delta p_{tm}$	[Pa]	: 84.08

DATOS GENERALES**Cliente:****Ciudad:**

Alicante

Proyectista:**SISTEMA:****Nº Expediente:****Dibujo n.º:****Referencia:****Construcción:****Sistema:****Zona:** SALA DEPORTIVA PLANTA PRIMERA ZONA 2 RETORNO**Circuito:****Altitud s.n.m**

[m]: 7

Altura

[m]: 0

Temperatura aire

[°C]: 20

Humedad Relativa aire

[%]:

Método de cálculo: DIMENSIONADO DE LA RED CON EL METODO DE PERDIDA DE CARGA CONSTANTE**DATOS DE CALCULO****Viscosidad del aire**

[Pa*s]: 0.01816

Densidad del aire

[kg/m³]: 1.2

Revestimiento interior

:

Espesor

[mm]: 0

Rugosidad pared

[mm]: 0.15

CONDUCTOS Ratio B/A: 0.5**OPCIONES****Tipo de cálculo elegido:** 2

- Pérdida de carga distribuida [Pa/m]: 0.8
- Máxima velocidad en los tramos [m/s]: 6
- Máxima velocidad en los ramales [m/s]: 6

Cálculo con dimensiones normalizadas [Si/No]: Si

- Paso para el cálculo con dimensiones no normalizadas [mm]: 0
- Dimensión mínima [mm]: 0
- Dimensión máxima [mm]: 0

LIMITES**Mínimo desequilibrio para justificar el equilibrado y la inserción de compuertas en ramales** (Δp_{mr}) [Pa]: 10**Mínimo desequilibrio para justificar el equilibrado y la inserción de compuertas en terminales** (Δp_{msr}) [Pa]: 10**Máxima pérdida de carga admisible para las compuertas en terminales** (Δp_{MT}) [Pa]: 0**MAXIMA PERDIDA****Presión total para el camino más desfavorable** [Pa]: 100.72**Presión estática para el camino más desfavorable** [Pa]: 84.08**CAMINO MAS DESFAVOR.**

000-001-010-005-004

SEGMENTO 1:**Tipo:** Tramo

1 ELEMENTO		2 Caudal Q	3 Diam. D/D _e	4 Ancho A	5 Alto B	6 Long. L	7 $\Delta p/L$	8 Fuente Tab	9 Ashrae X	10 Ashrae Y	11 Coeff. C _o	12 Veloc. V	13 P.Dinám P _v	14 Pérdida Δp_r o Δp_c
N. pz.	Cod.	[m³/h]	[mm]	[mm]	[mm]	[m]	[Pa/m]	n.	-	-	-	[m/s]	[Pa]	[Pa]
1	310R	8045	706	500	850	3.53	0.46					5.3	16.91	1.63
2	079R	8045	706	500	850	0	0	3.5	1.700	0.740	0.424	5.3	16.91	8.13
3	310R	8045	706	500	850	13.14	0.46					5.3	16.91	6.06

Pérdida de carga acumulada del segmento

 Δp_t [Pa] : 15.81

Velocidad en la sección inicial del segmento

 V_m [m/s] : 5.3

Velocidad en la sección final del segmento

 V_v [m/s] : 4.5

Recuperación de presión estática del segmento

 Δp_r [Pa] : 4.72

Pérdida de carga acumulada del segmento, considerando la recuperación

 Δp_{tm} [Pa] : 13.69

Pérdida de carga acumulada neta – total acumulado

 $\Sigma \Delta p_{tm}$ [Pa] : 13.69**SEGMENTO 11:****Tipo:** Tramo

1 ELEMENTO		2 Caudal Q	3 Diam. D/D _e	4 Ancho A	5 Alto B	6 Long. L	7 $\Delta p/L$	8 Fuente Tab	9 Ashrae X	10 Ashrae Y	11 Coeff. C _o	12 Veloc. V	13 P.Dinám P _v	14 Pérdida Δp_r o Δp_c
N. pz.	Cod.	[m³/h]	[mm]	[mm]	[mm]	[m]	[Pa/m]	n.	-	-	-	[m/s]	[Pa]	[Pa]
82	3733D	4020	488	500	400	0	0	ASH6_33	0.471		0.270	5.6	18.88	3.25
44	310R	4020	488	500	400	0.86	0.79					5.6	18.88	0.68
46	079R	4020	488	500	400	0	0	3.5	0.800	0.740	0.315	5.6	18.88	5.91
47	310R	4020	488	500	400	0.84	0.79					5.6	18.88	0.66
49	079R	4020	488	500	400	0	0	3.5	0.800	0.740	0.315	5.6	18.88	5.91
50	310R	4020	488	500	400	2.89	0.79					5.6	18.88	2.27

Pérdida de carga acumulada del segmento

 Δp_t [Pa] : 18.67

Velocidad en la sección inicial del segmento

 V_m [m/s] : 4.5

Velocidad en la sección final del segmento

 V_v [m/s] : 5.6

Recuperación de presión estática del segmento

 Δp_r [Pa] : -6.69

Pérdida de carga acumulada del segmento, considerando la recuperación

 Δp_{tm} [Pa] : 26.37

Pérdida de carga acumulada neta – total acumulado

 $\Sigma \Delta p_{tm}$ [Pa] : 40.06**SEGMENTO 16:****Tipo:** Tramo

1 ELEMENTO		2 Caudal Q	3 Diam. D/D _e	4 Ancho A	5 Alto B	6 Long. L	7 $\Delta p/L$	8 Fuente Tab	9 Ashrae X	10 Ashrae Y	11 Coeff. C _o	12 Veloc. V	13 P.Dinám P _v	14 Pérdida Δp_r o Δp_c
N. pz.	Cod.	[m³/h]	[mm]	[mm]	[mm]	[m]	[Pa/m]	n.	-	-	-	[m/s]	[Pa]	[Pa]
104	3722D	2010	437	400	400	0	0	MC4	0.500	1.000	1.200	3.5	7.37	8.82
118	273R	2010	378	400	300	0.19	0	5.1	30.000	1.330	0.050	4.7	13.3	0.65
67	310R	2010	378	400	300	1.05	0.76					4.7	13.3	0.8

Pérdida de carga acumulada del segmento

 Δp_t [Pa] : 10.26

Velocidad en la sección inicial del segmento

 V_m [m/s] : 5.6

Velocidad en la sección final del segmento

 V_v [m/s] : 4.7

Recuperación de presión estática del segmento

 Δp_r [Pa] : 5.58

Pérdida de carga acumulada del segmento, considerando la recuperación
Pérdida de carga acumulada neta – total acumulado

Δp_{tm} [Pa] : 4.53
 $\Sigma \Delta p_{tm}$ [Pa] : 44.59

SEGMENTO 18:

Tipo: Terminal TRM-1

1 ELEMENTO		2 Caudal Q	3 Diam. D/D _e	4 Ancho A	5 Alto B	6 Long. L	7 $\Delta p/L$	8 Fuente Tab	9 Ashrae X	10 Ashrae Y	11 Coeff. C _o	12 Veloc. V	13 P.Dinám P _v	14 Pérdida Δp_r o Δp_c
N. pz.	Cod.	[m³/h]	[mm]	[mm]	[mm]	[m]	[Pa/m]	n.	-	-	-	[m/s]	[Pa]	[Pa]
116	3736	670	299	250	300	0	0	MC4	0.333	0.625	1.500	2.5	3.76	5.65
122	273R	670	273	250	250	0.04	0	5.1	30.000	1.200	0.050	3	5.42	0.27
73	310R	670	273	250	250	1.2	0.49					3	5.42	0.59
121	42C1	670	248	248	248	0	0	4.7	30.000	1.290	0.300	3.9	9.16	2.68
75	05LC	670	248	248	248	0	0	MC4				3.9	9.16	17.06

Pérdida de carga acumulada del segmento
Velocidad en la sección inicial del segmento
Velocidad en la sección final del segmento
Recuperación de presión estática del segmento
Pérdida de carga acumulada del segmento, considerando la recuperación
Pérdida de carga acumulada neta – total acumulado
Desequilibrio del terminal respecto al camino más desfavorable

Δp_t [Pa] : 9.2
 V_m [m/s] : 4.7
 V_v [m/s] : 3.9
 Δp_r [Pa] : 4.14
 Δp_{tm} [Pa] : 5.1
 $\Sigma \Delta p_{tm}$ [Pa] : 66.74
 Δp_{Tmr} [Pa] : 17.34

SEGMENTO 17:

Tipo: Terminal TRM-1

1 ELEMENTO		2 Caudal Q	3 Diam. D/D _e	4 Ancho A	5 Alto B	6 Long. L	7 $\Delta p/L$	8 Fuente Tab	9 Ashrae X	10 Ashrae Y	11 Coeff. C _o	12 Veloc. V	13 P.Dinám P _v	14 Pérdida Δp_r o Δp_c
N. pz.	Cod.	[m³/h]	[mm]	[mm]	[mm]	[m]	[Pa/m]	n.	-	-	-	[m/s]	[Pa]	[Pa]
71	3736	670	299	250	300	0	0	MC4	0.333	0.625	1.500	2.5	3.76	5.65
120	273R	670	273	250	250	0.04	0	5.1	30.000	1.200	0.050	3	5.42	0.27
70	310R	670	273	250	250	1.2	0.49					3	5.42	0.59
119	42C1	670	248	248	248	0	0	4.7	30.000	1.290	0.300	3.9	9.16	2.68
72	05LC	670	248	248	248	0	0	MC4				3.9	9.16	17.06

Pérdida de carga acumulada del segmento
Velocidad en la sección inicial del segmento
Velocidad en la sección final del segmento
Recuperación de presión estática del segmento
Pérdida de carga acumulada del segmento, considerando la recuperación
Pérdida de carga acumulada neta – total acumulado
Desequilibrio del terminal respecto al camino más desfavorable

Δp_t [Pa] : 9.2
 V_m [m/s] : 4.7
 V_v [m/s] : 3.9
 Δp_r [Pa] : 4.14
 Δp_{tm} [Pa] : 5.1
 $\Sigma \Delta p_{tm}$ [Pa] : 66.74
 Δp_{Tmr} [Pa] : 17.34

SEGMENTO 19:

Tipo: Terminal TRM-1

1 ELEMENTO		2 Caudal Q	3 Diam. D/D _e	4 Ancho A	5 Alto B	6 Long. L	7 $\Delta p/L$	8 Fuente Tab	9 Ashrae X	10 Ashrae Y	11 Coeff. C _o	12 Veloc. V	13 P.Dinám P _v	14 Pérdida Δp_r o Δp_c
N. pz.	Cod.	[m³/h]	[mm]	[mm]	[mm]	[m]	[Pa/m]	n.	-	-	-	[m/s]	[Pa]	[Pa]
117	3736	670	299	250	300	0	0	MC4	0.533		0.646	2.5	3.76	2.43
123	273R	670	273	250	250	0.14	0	5.1	30.000	1.200	0.050	3	5.42	0.27
76	310R	670	273	250	250	2	0.5					3	5.42	0.99
78	079R	670	273	250	250	0	0	3.5	1.000	0.900	0.450	3	5.42	7.7
79	310R	670	273	250	250	1.2	0.49					3	5.42	0.59
124	42C1	670	248	248	248	0	0	4.7	30.000	1.290	0.300	3.9	9.16	2.68

81	05LC	670	248	248	248	0	0	MC4				3.9	9.16	17.06
----	------	-----	-----	-----	-----	---	---	-----	--	--	--	-----	------	-------

Pérdida de carga acumulada del segmento	Δp_t	[Pa]	: 14.65
Velocidad en la sección inicial del segmento	V_m	[m/s]	: 4.7
Velocidad en la sección final del segmento	V_v	[m/s]	: 3.9
Recuperación de presión estática del segmento	Δp_r	[Pa]	: 4.14
Pérdida de carga acumulada del segmento, considerando la recuperación	Δp_{tm}	[Pa]	: 15.52
Pérdida de carga acumulada neta – total acumulado	$\Sigma \Delta p_{tm}$	[Pa]	: 77.17
Desequilibrio del terminal respecto al camino más desfavorable	Δp_{Tmr}	[Pa]	: 6.91

SEGMENTO 15:

Tipo: Tramo

1 ELEMENTO		2 Caudal Q	3 Diam. D/D _e	4 Ancho A	5 Alto B	6 Long. L	7 $\Delta p/L$	8 Fuente Tab	9 Ashrae X	10 Ashrae Y	11 Coeff. C _o	12 Veloc. V	13 P.Dinám P _v	14 Pérdida Δp_r o Δp_c
N. pz.	Cod.	[m³/h]	[mm]	[mm]	[mm]	[m]	[Pa/m]	n.	-	-	-	[m/s]	[Pa]	[Pa]
105	3722D	2010	437	400	400	0	0	MC4	0.500	1.000	0.474	3.5	7.37	3.49
106	273R	2010	378	400	300	0.19	0	5.1	30.000	1.330	0.050	4.7	13.3	0.65
53	310R	2010	378	400	300	5.4	0.76					4.7	13.3	4.12
52	079R	2010	378	400	300	0	0	3.5	0.750	0.800	0.532	4.7	13.3	6.94
54	310R	2010	378	400	300	1.05	0.76					4.7	13.3	0.8

Pérdida de carga acumulada del segmento	Δp_t	[Pa]	: 16
Velocidad en la sección inicial del segmento	V_m	[m/s]	: 5.6
Velocidad en la sección final del segmento	V_v	[m/s]	: 4.7
Recuperación de presión estática del segmento	Δp_r	[Pa]	: 5.58
Pérdida de carga acumulada del segmento, considerando la recuperación	Δp_{tm}	[Pa]	: 10.26
Pérdida de carga acumulada neta – total acumulado	$\Sigma \Delta p_{tm}$	[Pa]	: 50.32

SEGMENTO 13:

Tipo: Terminal TRM-1

1 ELEMENTO		2 Caudal Q	3 Diam. D/D _e	4 Ancho A	5 Alto B	6 Long. L	7 $\Delta p/L$	8 Fuente Tab	9 Ashrae X	10 Ashrae Y	11 Coeff. C _o	12 Veloc. V	13 P.Dinám P _v	14 Pérdida Δp_r o Δp_c
N. pz.	Cod.	[m³/h]	[mm]	[mm]	[mm]	[m]	[Pa/m]	n.	-	-	-	[m/s]	[Pa]	[Pa]
107	3736	670	299	250	300	0	0	MC4	0.333	0.625	1.500	2.5	3.76	5.65
113	273R	670	273	250	250	0.04	0	5.1	30.000	1.200	0.050	3	5.42	0.27
61	310R	670	273	250	250	1.2	0.49					3	5.42	0.59
112	42C1	670	248	248	248	0	0	4.7	30.000	1.290	0.300	3.9	9.16	2.68
63	05LC	670	248	248	248	0	0	MC4				3.9	9.16	17.06

Pérdida de carga acumulada del segmento	Δp_t	[Pa]	: 9.2
Velocidad en la sección inicial del segmento	V_m	[m/s]	: 4.7
Velocidad en la sección final del segmento	V_v	[m/s]	: 3.9
Recuperación de presión estática del segmento	Δp_r	[Pa]	: 4.14
Pérdida de carga acumulada del segmento, considerando la recuperación	Δp_{tm}	[Pa]	: 5.1
Pérdida de carga acumulada neta – total acumulado	$\Sigma \Delta p_{tm}$	[Pa]	: 72.48
Desequilibrio del terminal respecto al camino más desfavorable	Δp_{Tmr}	[Pa]	: 11.6

SEGMENTO 12:

Tipo: Terminal TRM-1

1 ELEMENTO	2 Caudal Q	3 Diam. D/D _e	4 Ancho A	5 Alto B	6 Long. L	7 $\Delta p/L$	8 Fuente Tab	9 Ashrae X	10 Ashrae Y	11 Coeff. C _o	12 Veloc. V	13 P.Dinám P _v	14 Pérdida
---------------	------------------	--------------------------------	-----------------	----------------	-----------------	-------------------	--------------------	------------------	-------------------	--------------------------------	-------------------	---------------------------------	---------------

N. pz.	Cod.	[m³/h]	[mm]	[mm]	[mm]	[m]	[Pa/m]	n.	-	-	-	[m/s]	[Pa]	Δp_r o Δp_e [Pa]
108	3736	670	299	250	300	0	0	MC4	0.533		0.646	2.5	3.76	2.43
110	273R	670	273	250	250	0.14	0	5.1	30.000	1.200	0.050	3	5.42	0.27
57	310R	670	273	250	250	2	0.5					3	5.42	0.99
56	079R	670	273	250	250	0	0	3.5	1.000	0.900	0.450	3	5.42	7.7
58	310R	670	273	250	250	1.2	0.49					3	5.42	0.59
111	42C1	670	248	248	248	0	0	4.7	30.000	1.290	0.300	3.9	9.16	2.68
60	05LC	670	248	248	248	0	0	MC4				3.9	9.16	17.06

Pérdida de carga acumulada del segmento	Δp_t	[Pa]	: 14.65
Velocidad en la sección inicial del segmento	V_m	[m/s]	: 4.7
Velocidad en la sección final del segmento	V_v	[m/s]	: 3.9
Recuperación de presión estática del segmento	Δp_r	[Pa]	: 4.14
Pérdida de carga acumulada del segmento, considerando la recuperación	Δp_{tm}	[Pa]	: 15.52
Pérdida de carga acumulada neta – total acumulado	$\Sigma \Delta p_{tm}$	[Pa]	: 82.9
Desequilibrio del terminal respecto al camino más desfavorable	Δp_{Tmr}	[Pa]	: 1.18

SEGMENTO 14:

Tipo: Terminal TRM-1

1 ELEMENTO		2 Caudal Q	3 Diam. D/D _e	4 Ancho A	5 Alto B	6 Long. L	7 $\Delta p/L$	8 Fuente Tab	9 Ashrae X	10 Ashrae Y	11 Coeff. C _o	12 Veloc. V	13 P.Dinám P _v	14 Pérdida Δp_r o Δp_e
N. pz.	Cod.	[m³/h]	[mm]	[mm]	[mm]	[m]	[Pa/m]	n.	-	-	-	[m/s]	[Pa]	[Pa]
109	3736	670	299	250	300	0	0	MC4	0.333	0.625	1.500	2.5	3.76	5.65
115	273R	670	273	250	250	0.04	0	5.1	30.000	1.200	0.050	3	5.42	0.27
64	310R	670	273	250	250	1.2	0.49					3	5.42	0.59
114	42C1	670	248	248	248	0	0	4.7	30.000	1.290	0.300	3.9	9.16	2.68
66	05LC	670	248	248	248	0	0	MC4				3.9	9.16	17.06

Pérdida de carga acumulada del segmento	Δp_t	[Pa]	: 9.2
Velocidad en la sección inicial del segmento	V_m	[m/s]	: 4.7
Velocidad en la sección final del segmento	V_v	[m/s]	: 3.9
Recuperación de presión estática del segmento	Δp_r	[Pa]	: 4.14
Pérdida de carga acumulada del segmento, considerando la recuperación	Δp_{tm}	[Pa]	: 5.1
Pérdida de carga acumulada neta – total acumulado	$\Sigma \Delta p_{tm}$	[Pa]	: 72.48
Desequilibrio del terminal respecto al camino más desfavorable	Δp_{Tmr}	[Pa]	: 11.6

SEGMENTO 10:

Tipo: Tramo

1 ELEMENTO		2 Caudal Q	3 Diam. D/D _e	4 Ancho A	5 Alto B	6 Long. L	7 $\Delta p/L$	8 Fuente Tab	9 Ashrae X	10 Ashrae Y	11 Coeff. C _o	12 Veloc. V	13 P.Dinám P _v	14 Pérdida Δp_r o Δp_e
N. pz.	Cod.	[m³/h]	[mm]	[mm]	[mm]	[m]	[Pa/m]	n.	-	-	-	[m/s]	[Pa]	[Pa]
7	3733D	4020	488	500	400	0	0	ASH6_33			0.270	5.6	18.88	3.25
6	310R	4020	488	500	400	0.86	0.79					5.6	18.88	0.68
8	079R	4020	488	500	400	0	0	3.5	0.800	0.740	0.315	5.6	18.88	5.91
9	310R	4020	488	500	400	0.84	0.79					5.6	18.88	0.66
11	079R	4020	488	500	400	0	0	3.5	0.800	0.740	0.315	5.6	18.88	5.91
12	310R	4020	488	500	400	4.38	0.79					5.6	18.88	3.45

Pérdida de carga acumulada del segmento	Δp_t	[Pa]	: 19.85
Velocidad en la sección inicial del segmento	V_m	[m/s]	: 4.5
Velocidad en la sección final del segmento	V_v	[m/s]	: 5.6
Recuperación de presión estática del segmento	Δp_r	[Pa]	: -6.69
Pérdida de carga acumulada del segmento, considerando la recuperación	Δp_{tm}	[Pa]	: 27.55

Pérdida de carga acumulada neta – total acumulado

$\Sigma \Delta p_{tn}$ [Pa] : 41.24

SEGMENTO 6:

Tipo: Tramo

1 ELEMENTO		2 Caudal Q	3 Diam. D/D _e	4 Ancho A	5 Alto B	6 Long. L	7 $\Delta p/L$	8 Fuente Tab	9 Ashrae X	10 Ashrae Y	11 Coeff. C _o	12 Veloc. V	13 P.Dinám P _v	14 Pérdida Δp_r o Δp_e
N. pz.	Cod.	[m³/h]	[mm]	[mm]	[mm]	[m]	[Pa/m]	n.	-	-	-	[m/s]	[Pa]	[Pa]
83	3722D	2010	437	400	400	0	0	MC4	0.500	1.000	1.200	3.5	7.37	8.82
97	273R	2010	378	400	300	0.19	0	5.1	30.000	1.330	0.050	4.7	13.3	0.65
31	310R	2010	378	400	300	1.05	0.76					4.7	13.3	0.8

Pérdida de carga acumulada del segmento

Δp_t [Pa] : 10.26

Velocidad en la sección inicial del segmento

V_m [m/s] : 5.6

Velocidad en la sección final del segmento

V_v [m/s] : 4.7

Recuperación de presión estática del segmento

Δp_r [Pa] : 5.58

Pérdida de carga acumulada del segmento, considerando la recuperación

Δp_{tn} [Pa] : 4.53

Pérdida de carga acumulada neta – total acumulado

$\Sigma \Delta p_{tn}$ [Pa] : 45.76

SEGMENTO 8:

Tipo: Terminal TRM-1

1 ELEMENTO		2 Caudal Q	3 Diam. D/D _e	4 Ancho A	5 Alto B	6 Long. L	7 $\Delta p/L$	8 Fuente Tab	9 Ashrae X	10 Ashrae Y	11 Coeff. C _o	12 Veloc. V	13 P.Dinám P _v	14 Pérdida Δp_r o Δp_e
N. pz.	Cod.	[m³/h]	[mm]	[mm]	[mm]	[m]	[Pa/m]	n.	-	-	-	[m/s]	[Pa]	[Pa]
94	3736	670	299	250	300	0	0	MC4	0.333	0.625	1.500	2.5	3.76	5.65
101	273R	670	273	250	250	0.04	0	5.1	30.000	1.200	0.050	3	5.42	0.27
38	310R	670	273	250	250	1.2	0.49					3	5.42	0.59
100	42C1	670	248	248	248	0	0	4.7	30.000	1.290	0.300	3.9	9.16	2.68
40	05LC	670	248	248	248	0	0	MC4				3.9	9.16	17.06

Pérdida de carga acumulada del segmento

Δp_t [Pa] : 9.2

Velocidad en la sección inicial del segmento

V_m [m/s] : 4.7

Velocidad en la sección final del segmento

V_v [m/s] : 3.9

Recuperación de presión estática del segmento

Δp_r [Pa] : 4.14

Pérdida de carga acumulada del segmento, considerando la recuperación

Δp_{tn} [Pa] : 5.1

Pérdida de carga acumulada neta – total acumulado

$\Sigma \Delta p_{tn}$ [Pa] : 67.92

Desequilibrio del terminal respecto al camino más desfavorable

Δp_{Tmr} [Pa] : 16.16

SEGMENTO 7:

Tipo: Terminal TRM-1

1 ELEMENTO		2 Caudal Q	3 Diam. D/D _e	4 Ancho A	5 Alto B	6 Long. L	7 $\Delta p/L$	8 Fuente Tab	9 Ashrae X	10 Ashrae Y	11 Coeff. C _o	12 Veloc. V	13 P.Dinám P _v	14 Pérdida Δp_r o Δp_e
N. pz.	Cod.	[m³/h]	[mm]	[mm]	[mm]	[m]	[Pa/m]	n.	-	-	-	[m/s]	[Pa]	[Pa]
95	3736	670	299	250	300	0	0	MC4	0.533		0.646	2.5	3.76	2.43
98	273R	670	273	250	250	0.14	0	5.1	30.000	1.200	0.050	3	5.42	0.27
34	310R	670	273	250	250	2	0.5					3	5.42	0.99
33	079R	670	273	250	250	0	0	3.5	1.000	0.900	0.450	3	5.42	2.4
35	310R	670	273	250	250	1.2	0.49					3	5.42	0.59
99	42C1	670	248	248	248	0	0	4.7	30.000	1.290	0.300	3.9	9.16	2.68
37	05LC	670	248	248	248	0	0	MC4				3.9	9.16	17.06

Pérdida de carga acumulada del segmento

Δp_t [Pa] : 9.36

Velocidad en la sección inicial del segmento	V_m	[m/s] : 4.7
Velocidad en la sección final del segmento	V_v	[m/s] : 3.9
Recuperación de presión estática del segmento	Δp_r	[Pa] : 4.14
Pérdida de carga acumulada del segmento, considerando la recuperación	Δp_{tm}	[Pa] : 5.26
Pérdida de carga acumulada neta – total acumulado	$\Sigma \Delta p_{tm}$	[Pa] : 68.08
Desequilibrio del terminal respecto al camino más desfavorable	Δp_{Tmr}	[Pa] : 16

SEGMENTO 9:

Tipo: Terminal TRM-1

1 ELEMENTO		2 Caudal Q	3 Diam. D/D _e	4 Ancho A	5 Alto B	6 Long. L	7 $\Delta p/L$	8 Fuente Tab	9 Ashrae X	10 Ashrae Y	11 Coeff. C _o	12 Veloc. V	13 P.Dinám P _v	14 Pérdida Δp_r o Δp_c
N. pz.	Cod.	[m³/h]	[mm]	[mm]	[mm]	[m]	[Pa/m]	n.	-	-	-	[m/s]	[Pa]	[Pa]
96	3736	670	299	250	300	0	0	MC4	0.333	0.625	1.500	2.5	3.76	5.65
103	273R	670	273	250	250	0.04	0	5.1	30.000	1.200	0.050	3	5.42	0.27
41	310R	670	273	250	250	1.2	0.49					3	5.42	0.59
102	42C1	670	248	248	248	0	0	4.7	30.000	1.290	0.300	3.9	9.16	2.68
43	05LC	670	248	248	248	0	0	MC4				3.9	9.16	17.06

Pérdida de carga acumulada del segmento	Δp_t	[Pa] : 9.2
Velocidad en la sección inicial del segmento	V_m	[m/s] : 4.7
Velocidad en la sección final del segmento	V_v	[m/s] : 3.9
Recuperación de presión estática del segmento	Δp_r	[Pa] : 4.14
Pérdida de carga acumulada del segmento, considerando la recuperación	Δp_{tm}	[Pa] : 5.1
Pérdida de carga acumulada neta – total acumulado	$\Sigma \Delta p_{tm}$	[Pa] : 67.92
Desequilibrio del terminal respecto al camino más desfavorable	Δp_{Tmr}	[Pa] : 16.16

SEGMENTO 5:

Tipo: Tramo

1 ELEMENTO		2 Caudal Q	3 Diam. D/D _e	4 Ancho A	5 Alto B	6 Long. L	7 $\Delta p/L$	8 Fuente Tab	9 Ashrae X	10 Ashrae Y	11 Coeff. C _o	12 Veloc. V	13 P.Dinám P _v	14 Pérdida Δp_r o Δp_c
N. pz.	Cod.	[m³/h]	[mm]	[mm]	[mm]	[m]	[Pa/m]	n.	-	-	-	[m/s]	[Pa]	[Pa]
84	3722D	2010	437	400	400	0	0	MC4	0.500	1.000	0.474	3.5	7.37	3.49
85	273R	2010	378	400	300	0.19	0	5.1	30.000	1.330	0.050	4.7	13.3	0.65
15	310R	2010	378	400	300	5.4	0.76					4.7	13.3	4.12
14	079R	2010	378	400	300	0	0	3.5	0.750	0.800	0.532	4.7	13.3	6.94
16	310R	2010	378	400	300	1.05	0.76					4.7	13.3	0.8

Pérdida de carga acumulada del segmento	Δp_t	[Pa] : 16
Velocidad en la sección inicial del segmento	V_m	[m/s] : 5.6
Velocidad en la sección final del segmento	V_v	[m/s] : 4.7
Recuperación de presión estática del segmento	Δp_r	[Pa] : 5.58
Pérdida de carga acumulada del segmento, considerando la recuperación	Δp_{tm}	[Pa] : 10.26
Pérdida de carga acumulada neta – total acumulado	$\Sigma \Delta p_{tm}$	[Pa] : 51.5

SEGMENTO 3:

Tipo: Terminal TRM-1

1 ELEMENTO		2 Caudal Q	3 Diam. D/D _e	4 Ancho A	5 Alto B	6 Long. L	7 $\Delta p/L$	8 Fuente Tab	9 Ashrae X	10 Ashrae Y	11 Coeff. C _o	12 Veloc. V	13 P.Dinám P _v	14 Pérdida Δp_r o Δp_c
N. pz.	Cod.	[m³/h]	[mm]	[mm]	[mm]	[m]	[Pa/m]	n.	-	-	-	[m/s]	[Pa]	[Pa]
86	3736	670	299	250	300	0	0	MC4	0.333	0.625	1.500	2.5	3.76	5.65
91	273R	670	273	250	250	0.04	0	5.1	30.000	1.200	0.050	3	5.42	0.27

22	310R	670	273	250	250	1.2	0.49					3	5.42	0.59
90	42C1	670	248	248	248	0	0	4.7	30.000	1.290	0.300	3.9	9.16	2.68
24	05LC	670	248	248	248	0	0	MC4				3.9	9.16	17.06

Pérdida de carga acumulada del segmento	Δp_t	[Pa]	: 9.2
Velocidad en la sección inicial del segmento	V_m	[m/s]	: 4.7
Velocidad en la sección final del segmento	V_v	[m/s]	: 3.9
Recuperación de presión estática del segmento	Δp_r	[Pa]	: 4.14
Pérdida de carga acumulada del segmento, considerando la recuperación	Δp_{tm}	[Pa]	: 5.1
Pérdida de carga acumulada neta – total acumulado	$\Sigma \Delta p_{tm}$	[Pa]	: 73.65
Desequilibrio del terminal respecto al camino más desfavorable	Δp_{Tmr}	[Pa]	: 10.43

SEGMENTO 2:

Tipo: Terminal TRM-1

1 ELEMENTO		2 Caudal Q	3 Diam. D/D _e	4 Ancho A	5 Alto B	6 Long. L	7 $\Delta p/L$	8 Fuente Tab	9 Ashrae X	10 Ashrae Y	11 Coeff. C _o	12 Veloc. V	13 P.Dinám P _v	14 Pérdida Δp_r o Δp_c
N. pz.	Cod.	[m³/h]	[mm]	[mm]	[mm]	[m]	[Pa/m]	n.	-	-	-	[m/s]	[Pa]	[Pa]
20	3736	670	299	250	300	0	0	MC4	0.333	0.625	1.500	2.5	3.76	5.65
89	273R	670	273	250	250	0.04	0	5.1	30.000	1.200	0.050	3	5.42	0.27
19	310R	670	273	250	250	1.2	0.49					3	5.42	0.59
88	42C1	670	248	248	248	0	0	4.7	30.000	1.290	0.300	3.9	9.16	2.68
21	05LC	670	248	248	248	0	0	MC4				3.9	9.16	17.06

Pérdida de carga acumulada del segmento	Δp_t	[Pa]	: 9.2
Velocidad en la sección inicial del segmento	V_m	[m/s]	: 4.7
Velocidad en la sección final del segmento	V_v	[m/s]	: 3.9
Recuperación de presión estática del segmento	Δp_r	[Pa]	: 4.14
Pérdida de carga acumulada del segmento, considerando la recuperación	Δp_{tm}	[Pa]	: 5.1
Pérdida de carga acumulada neta – total acumulado	$\Sigma \Delta p_{tm}$	[Pa]	: 73.65
Desequilibrio del terminal respecto al camino más desfavorable	Δp_{Tmr}	[Pa]	: 10.43

SEGMENTO 4:

Tipo: Terminal TRM-1

1 ELEMENTO		2 Caudal Q	3 Diam. D/D _e	4 Ancho A	5 Alto B	6 Long. L	7 $\Delta p/L$	8 Fuente Tab	9 Ashrae X	10 Ashrae Y	11 Coeff. C _o	12 Veloc. V	13 P.Dinám P _v	14 Pérdida Δp_r o Δp_c
N. pz.	Cod.	[m³/h]	[mm]	[mm]	[mm]	[m]	[Pa/m]	n.	-	-	-	[m/s]	[Pa]	[Pa]
87	3736	670	299	250	300	0	0	MC4	0.533		0.646	2.5	3.76	2.43
92	273R	670	273	250	250	0.14	0	5.1	30.000	1.200	0.050	3	5.42	0.27
25	310R	670	273	250	250	2	0.5					3	5.42	0.99
27	079R	670	273	250	250	0	0	3.5	1.000	0.900	0.450	3	5.42	7.7
28	310R	670	273	250	250	1.2	0.49					3	5.42	0.59
93	42C1	670	248	248	248	0	0	4.7	30.000	1.290	0.300	3.9	9.16	2.68
30	05LC	670	248	248	248	0	0	MC4				3.9	9.16	17.06

Pérdida de carga acumulada del segmento	Δp_t	[Pa]	: 14.65
Velocidad en la sección inicial del segmento	V_m	[m/s]	: 4.7
Velocidad en la sección final del segmento	V_v	[m/s]	: 3.9
Recuperación de presión estática del segmento	Δp_r	[Pa]	: 4.14
Pérdida de carga acumulada del segmento, considerando la recuperación	Δp_{tm}	[Pa]	: 15.52
Pérdida de carga acumulada neta – total acumulado	$\Sigma \Delta p_{tm}$	[Pa]	: 84.08

DATOS GENERALES**Cliente:****Ciudad:** Alicante**Proyectista:****SISTEMA:****Nº Expediente:****Dibujo n.º:****Referencia:****Construcción:****Sistema:****Zona:** CL SALON DE ACTOS IMPULSION**Circuito:****Altitud s.n.m** [m]: 7**Altura** [m]: 0**Temperatura aire** [°C]: 20**Humedad Relativa aire** [%]:**Método de cálculo: DIMENSIONADO DEL LA RED CON EL METODO DE PERDIDA DE CARGA CONSTANTE****DATOS DE CALCULO****Viscosidad del aire** [Pa*s]: 0.01816**Densidad del aire** [kg/m³]: 1.2**Revestimiento interior** :**Espesor** [mm]: 0**Rugosidad pared** [mm]: 0.15**CONDUCTOS Ratio B/A:** 0.5**OPCIONES****Tipo de cálculo elegido:** : 2

- Pérdida de carga distribuida [Pa/m]: 0.8
- Máxima velocidad en los tramos [m/s]: 6
- Máxima velocidad en los ramales [m/s]: 6

Cálculo con dimensiones normalizadas [Si/No]: Si

- Paso para el cálculo con dimensiones no normalizadas [mm]: 0
- Dimensión mínima [mm]: 0
- Dimensión máxima [mm]: 0

LIMITES**Mínimo desequilibrio para justificar el equilibrado y la inserción de compuertas en ramales** (Δp_{mr}) [Pa]: 10**Mínimo desequilibrio para justificar el equilibrado y la inserción de compuertas en terminales** (Δp_{msr}) [Pa]: 10**Máxima pérdida de carga admisible para las compuertas en terminales** (Δp_{MT}) [Pa]: 0**MAXIMA PERDIDA****Presión total para el camino más desfavorable** [Pa]: 214.18**Presión estática para el camino más desfavorable** [Pa]: 195.87**CAMINO MAS DESFAVOR.**

000-001-040-079-118-157-196-235-274-313-352-391-430-449-447-445-443-441-439-437-436

SEGMENTO 1:

Tipo: Tramo

1 ELEMENTO		2 Caudal Q	3 Diam. D/D _e	4 Ancho A	5 Alto B	6 Long. L	7 $\Delta p/L$	8 Fuente Tab	9 Ashrae X	10 Ashrae Y	11 Coeff. C _o	12 Veloc. V	13 P.Dinám P _v	14 Pérdida Δp_r o Δp_c
N. pz.	Cod.	[m³/h]	[mm]	[mm]	[mm]	[m]	[Pa/m]	n.	-	-	-	[m/s]	[Pa]	[Pa]
1	310R	13500	901	850	800	0.36	0.36					5.5	18.21	0.13
2	079R	13500	901	850	800	0	0	3.5	0.941	0.735	0.222	5.5	18.21	4.07
3	310R	13500	901	850	800	1.31	0.36					5.5	18.21	0.47
5	079R	13500	901	850	800	0	0	3.5	0.941	0.735	0.222	5.5	18.21	4.07
6	310R	13500	901	850	800	1.02	0.36					5.5	18.21	0.37
8	079R	13500	901	850	800	0	0	3.5	0.941	0.735	0.494	5.5	18.21	9.04
9	310R	13500	901	850	800	10.59	0.36					5.5	18.21	3.85
11	079R	13500	901	850	800	0	0	3.5	0.941	0.735	0.494	5.5	18.21	10.61
12	310R	13500	901	850	800	2.91	0.36					5.5	18.21	1.06
14	079R	13500	901	850	800	0	0	3.5	0.941	0.735	0.494	5.5	18.21	9.04
15	310R	13500	901	850	800	7.35	0.36					5.5	18.21	2.67
17	079R	13500	901	850	800	0	0	3.5	0.941	0.735	0.153	5.5	18.21	3.29
18	310R	13500	901	850	800	0.9	0.37					5.5	18.21	0.33
20	079R	13500	901	850	800	0	0	3.5	0.941	0.735	0.153	5.5	18.21	3.29
21	310R	13500	901	850	800	0.45	0.36					5.5	18.21	0.16

Pérdida de carga acumulada del segmento

Δp_t [Pa] : 52.45

Velocidad en la sección inicial del segmento

V_m [m/s] : 5.5

Velocidad en la sección final del segmento

V_v [m/s] : 5.2

Recuperación de presión estática del segmento

Δp_r [Pa] : 1.93

Pérdida de carga acumulada del segmento, considerando la recuperación

Δp_{tn} [Pa] : 56.88

Pérdida de carga acumulada neta – total acumulado

$\Sigma \Delta p_{tn}$ [Pa] : 56.88

SEGMENTO 21:

Tipo: Tramo

1 ELEMENTO		2 Caudal Q	3 Diam. D/D _e	4 Ancho A	5 Alto B	6 Long. L	7 $\Delta p/L$	8 Fuente Tab	9 Ashrae X	10 Ashrae Y	11 Coeff. C _o	12 Veloc. V	13 P.Dinám P _v	14 Pérdida Δp_r o Δp_c
N. pz.	Cod.	[m³/h]	[mm]	[mm]	[mm]	[m]	[Pa/m]	n.	-	-	-	[m/s]	[Pa]	[Pa]
2228	3736	450	350	150	800	0	0	MC4	0.033	0.176	23.900	1	0.6	14.31
2274	283R	450	164	150	150	1.23	0	5.1	30.000	5.330	0.040	5.6	18.88	0.74
96	310R	450	164	150	150	1.1	2.95					5.6	18.88	3.25

Pérdida de carga acumulada del segmento

Δp_t [Pa] : 18.31

Velocidad en la sección inicial del segmento

V_m [m/s] : 5.2

Velocidad en la sección final del segmento

V_v [m/s] : 3.3

Recuperación de presión estática del segmento

Δp_r [Pa] : 9.72

Pérdida de carga acumulada del segmento, considerando la recuperación

Δp_{tn} [Pa] : 9.59

Pérdida de carga acumulada neta – total acumulado

$\Sigma \Delta p_{tn}$ [Pa] : 66.47

SEGMENTO 39:

Tipo: Terminal TRM-18

1 ELEMENTO		2 Caudal Q	3 Diam. D/D _e	4 Ancho A	5 Alto B	6 Long. L	7 $\Delta p/L$	8 Fuente Tab	9 Ashrae X	10 Ashrae Y	11 Coeff. C _o	12 Veloc. V	13 P.Dinám P _v	14 Pérdida Δp_r o Δp_c
N. pz.	Cod.	[m³/h]	[mm]	[mm]	[mm]	[m]	[Pa/m]	n.	-	-	-	[m/s]	[Pa]	[Pa]
2272	11RA	45	98	98	98	0	0	ASH6_26	0.100	0.298	1.070	1.7	1.74	7.18
162	310C	45	98	98	98	0.07	0.57					1.7	1.74	0.04
164	079C	45	98	98	98	0	0	3.1	1.520		0.046	1.7	1.74	0.07

2310	273C	45	75	0	0	0.02	0	5.1	30.000	1.710	0.050	2.8	4.72	0.24
165	310C	45	75	0	0	0.3	2.03					2.8	4.72	0.61
2309	023C	45	75	0	0	0.02	0	4.1	30.000	1.710	0.320	2.8	4.72	1.54
167	05LC	45	98	98	98	0	0	MC4				1.7	1.74	16.35

Pérdida de carga acumulada del segmento	Δp_t	[Pa]	: 9.68
Velocidad en la sección inicial del segmento	V_m	[m/s]	: 3.3
Velocidad en la sección final del segmento	V_v	[m/s]	: 1.7
Recuperación de presión estática del segmento	Δp_r	[Pa]	: 4.82
Pérdida de carga acumulada del segmento, considerando la recuperación	Δp_{tn}	[Pa]	: 5.18
Pérdida de carga acumulada neta – total acumulado	$\Sigma \Delta p_{tn}$	[Pa]	: 88
Desequilibrio del terminal respecto al camino más desfavorable	Δp_{Tmr}	[Pa]	: 107.87

SEGMENTO 38:

Tipo: Tramo

1 ELEMENTO		2 Caudal Q	3 Diam. D/D _e	4 Ancho A	5 Alto B	6 Long. L	7 $\Delta p/L$	8 Fuente Tab	9 Ashrae X	10 Ashrae Y	11 Coeff. C _o	12 Veloc. V	13 P.Dinám P _v	14 Pérdida Δp_r o Δp_c
N. pz.	Cod.	[m³/h]	[mm]	[mm]	[mm]	[m]	[Pa/m]	n.	-	-	-	[m/s]	[Pa]	[Pa]
2273	11RA	405	164	150	150	0	0	ASH6_26M	0.900		0.010	5	15.05	0.07
99	310R	405	164	150	150	0.6	2.43					5	15.05	1.46

Pérdida de carga acumulada del segmento	Δp_t	[Pa]	: 1.52
Velocidad en la sección inicial del segmento	V_m	[m/s]	: 3.3
Velocidad en la sección final del segmento	V_v	[m/s]	: 3
Recuperación de presión estática del segmento	Δp_r	[Pa]	: 1.14
Pérdida de carga acumulada del segmento, considerando la recuperación	Δp_{tn}	[Pa]	: 1.76
Pérdida de carga acumulada neta – total acumulado	$\Sigma \Delta p_{tn}$	[Pa]	: 68.23

SEGMENTO 37:

Tipo: Terminal TRM-19

1 ELEMENTO		2 Caudal Q	3 Diam. D/D _e	4 Ancho A	5 Alto B	6 Long. L	7 $\Delta p/L$	8 Fuente Tab	9 Ashrae X	10 Ashrae Y	11 Coeff. C _o	12 Veloc. V	13 P.Dinám P _v	14 Pérdida Δp_r o Δp_c
N. pz.	Cod.	[m³/h]	[mm]	[mm]	[mm]	[m]	[Pa/m]	n.	-	-	-	[m/s]	[Pa]	[Pa]
2275	11RA	45	98	98	98	0	0	ASH6_26	0.111	0.332	1.110	1.7	1.74	6
156	310C	45	98	98	98	0.07	0.57					1.7	1.74	0.04
158	079C	45	98	98	98	0	0	3.1	1.520		0.046	1.7	1.74	0.07
2308	273C	45	75	0	0	0.02	0	5.1	30.000	1.710	0.050	2.8	4.72	0.24
159	310C	45	75	0	0	0.3	2.03					2.8	4.72	0.61
2307	023C	45	75	0	0	0.02	0	4.1	30.000	1.710	0.320	2.8	4.72	1.54
161	05LC	45	98	98	98	0	0	MC4				1.7	1.74	16.35

Pérdida de carga acumulada del segmento	Δp_t	[Pa]	: 8.51
Velocidad en la sección inicial del segmento	V_m	[m/s]	: 3
Velocidad en la sección final del segmento	V_v	[m/s]	: 1.7
Recuperación de presión estática del segmento	Δp_r	[Pa]	: 3.68
Pérdida de carga acumulada del segmento, considerando la recuperación	Δp_{tn}	[Pa]	: 5.27
Pérdida de carga acumulada neta – total acumulado	$\Sigma \Delta p_{tn}$	[Pa]	: 89.85
Desequilibrio del terminal respecto al camino más desfavorable	Δp_{Tmr}	[Pa]	: 106.02

SEGMENTO 36:

Tipo: Tramo

1 ELEMENTO		2 Caudal Q	3 Diam. D/D _e	4 Ancho A	5 Alto B	6 Long. L	7 $\Delta p/L$	8 Fuente Tab	9 Ashrae X	10 Ashrae Y	11 Coeff. C _o	12 Veloc. V	13 P.Dinám P _v	14 Pérdida Δp_r o Δp_e
N. pz.	Cod.	[m³/h]	[mm]	[mm]	[mm]	[m]	[Pa/m]	n.	-	-	-	[m/s]	[Pa]	[Pa]
2276	11RA	360	164	150	150	0	0	ASH6_26M	0.889		0.011	4.4	11.65	0.06
100	310R	360	164	150	150	0.6	1.95					4.4	11.65	1.17

Pérdida de carga acumulada del segmento	Δp_t	[Pa] : 1.23
Velocidad en la sección inicial del segmento	V_m	[m/s] : 3
Velocidad en la sección final del segmento	V_v	[m/s] : 2.7
Recuperación de presión estática del segmento	Δp_r	[Pa] : 1.03
Pérdida de carga acumulada del segmento, considerando la recuperación	Δp_{tm}	[Pa] : 1.28
Pérdida de carga acumulada neta – total acumulado	$\Sigma \Delta p_{tm}$	[Pa] : 69.51

SEGMENTO 35:

Tipo: Terminal TRM-20

1 ELEMENTO		2 Caudal Q	3 Diam. D/D _e	4 Ancho A	5 Alto B	6 Long. L	7 $\Delta p/L$	8 Fuente Tab	9 Ashrae X	10 Ashrae Y	11 Coeff. C _o	12 Veloc. V	13 P.Dinám P _v	14 Pérdida Δp_r o Δp_e
N. pz.	Cod.	[m³/h]	[mm]	[mm]	[mm]	[m]	[Pa/m]	n.	-	-	-	[m/s]	[Pa]	[Pa]
2277	11RA	45	98	98	98	0	0	ASH6_26	0.125	0.373	1.140	1.7	1.74	4.88
150	310C	45	98	98	98	0.07	0.57					1.7	1.74	0.04
152	079C	45	98	98	98	0	0	3.1	1.520		0.046	1.7	1.74	0.07
2306	273C	45	75	0	0	0.02	0	5.1	30.000	1.710	0.050	2.8	4.72	0.24
153	310C	45	75	0	0	0.3	2.03					2.8	4.72	0.61
2305	023C	45	75	0	0	0.02	0	4.1	30.000	1.710	0.320	2.8	4.72	1.54
155	05LC	45	98	98	98	0	0	MC4				1.7	1.74	16.35

Pérdida de carga acumulada del segmento	Δp_t	[Pa] : 7.38
Velocidad en la sección inicial del segmento	V_m	[m/s] : 2.7
Velocidad en la sección final del segmento	V_v	[m/s] : 1.7
Recuperación de presión estática del segmento	Δp_r	[Pa] : 2.65
Pérdida de carga acumulada del segmento, considerando la recuperación	Δp_{tm}	[Pa] : 5.28
Pérdida de carga acumulada neta – total acumulado	$\Sigma \Delta p_{tm}$	[Pa] : 91.14
Desequilibrio del terminal respecto al camino más desfavorable	Δp_{Tmr}	[Pa] : 104.73

SEGMENTO 34:

Tipo: Tramo

1 ELEMENTO		2 Caudal Q	3 Diam. D/D _e	4 Ancho A	5 Alto B	6 Long. L	7 $\Delta p/L$	8 Fuente Tab	9 Ashrae X	10 Ashrae Y	11 Coeff. C _o	12 Veloc. V	13 P.Dinám P _v	14 Pérdida Δp_r o Δp_e
N. pz.	Cod.	[m³/h]	[mm]	[mm]	[mm]	[m]	[Pa/m]	n.	-	-	-	[m/s]	[Pa]	[Pa]
2278	11RA	315	164	150	150	0	0	ASH6_26M	0.875		0.012	3.9	9.16	0.05
101	310R	315	164	150	150	0.6	1.52					3.9	9.16	0.91

Pérdida de carga acumulada del segmento	Δp_t	[Pa] : 0.97
Velocidad en la sección inicial del segmento	V_m	[m/s] : 2.7
Velocidad en la sección final del segmento	V_v	[m/s] : 2.3
Recuperación de presión estática del segmento	Δp_r	[Pa] : 1.2
Pérdida de carga acumulada del segmento, considerando la recuperación	Δp_{tm}	[Pa] : 0.87
Pérdida de carga acumulada neta – total acumulado	$\Sigma \Delta p_{tm}$	[Pa] : 70.38

SEGMENTO 33:**Tipo:** Terminal TRM-21

1 ELEMENTO		2 Caudal Q	3 Diam. D/D _e	4 Ancho A	5 Alto B	6 Long. L	7 $\Delta p/L$	8 Fuente Tab	9 Ashrae X	10 Ashrae Y	11 Coeff. C _o	12 Veloc. V	13 P.Dinám P _v	14 Pérdida Δp_r o Δp_c
N. pz.	Cod.	[m³/h]	[mm]	[mm]	[mm]	[m]	[Pa/m]	n.	-	-	-	[m/s]	[Pa]	[Pa]
2279	11RA	45	98	98	98	0	0	ASH6_26	0.143	0.426	1.190	1.7	1.74	3.88
144	310C	45	98	98	98	0.07	0.57					1.7	1.74	0.04
146	079C	45	98	98	98	0	0	3.1	1.520		0.046	1.7	1.74	0.07
2304	273C	45	75	0	0	0.02	0	5.1	30.000	1.710	0.050	2.8	4.72	0.24
147	310C	45	75	0	0	0.3	2.03					2.8	4.72	0.61
2303	023C	45	75	0	0	0.02	0	4.1	30.000	1.710	0.320	2.8	4.72	1.54
149	05LC	45	98	98	98	0	0	MC4				1.7	1.74	16.35

Pérdida de carga acumulada del segmento

 Δp_t [Pa] : 6.39

Velocidad en la sección inicial del segmento

 V_m [m/s] : 2.3

Velocidad en la sección final del segmento

 V_v [m/s] : 1.7

Recuperación de presión estática del segmento

 Δp_r [Pa] : 1.44

Pérdida de carga acumulada del segmento, considerando la recuperación

 Δp_{tn} [Pa] : 5.29

Pérdida de carga acumulada neta – total acumulado

 $\Sigma \Delta p_{tn}$ [Pa] : 92.02

Desequilibrio del terminal respecto al camino más desfavorable

 Δp_{Tmr} [Pa] : 103.85**SEGMENTO 32:****Tipo:** Tramo

1 ELEMENTO		2 Caudal Q	3 Diam. D/D _e	4 Ancho A	5 Alto B	6 Long. L	7 $\Delta p/L$	8 Fuente Tab	9 Ashrae X	10 Ashrae Y	11 Coeff. C _o	12 Veloc. V	13 P.Dinám P _v	14 Pérdida Δp_r o Δp_c
N. pz.	Cod.	[m³/h]	[mm]	[mm]	[mm]	[m]	[Pa/m]	n.	-	-	-	[m/s]	[Pa]	[Pa]
2280	11RA	270	164	150	150	0	0	ASH6_26M	0.857		0.014	3.3	6.56	0.05
102	310R	270	164	150	150	0.6	1.15					3.3	6.56	0.69

Pérdida de carga acumulada del segmento

 Δp_t [Pa] : 0.73

Velocidad en la sección inicial del segmento

 V_m [m/s] : 2.3

Velocidad en la sección final del segmento

 V_v [m/s] : 2

Recuperación de presión estática del segmento

 Δp_r [Pa] : 0.78

Pérdida de carga acumulada del segmento, considerando la recuperación

 Δp_{tn} [Pa] : 0.53

Pérdida de carga acumulada neta – total acumulado

 $\Sigma \Delta p_{tn}$ [Pa] : 70.92**SEGMENTO 31:****Tipo:** Terminal TRM-22

1 ELEMENTO		2 Caudal Q	3 Diam. D/D _e	4 Ancho A	5 Alto B	6 Long. L	7 $\Delta p/L$	8 Fuente Tab	9 Ashrae X	10 Ashrae Y	11 Coeff. C _o	12 Veloc. V	13 P.Dinám P _v	14 Pérdida Δp_r o Δp_c
N. pz.	Cod.	[m³/h]	[mm]	[mm]	[mm]	[m]	[Pa/m]	n.	-	-	-	[m/s]	[Pa]	[Pa]
2281	11RA	45	98	98	98	0	0	ASH6_26	0.167	0.497	1.280	1.7	1.74	3.08
138	310C	45	98	98	98	0.07	0.57					1.7	1.74	0.04
140	079C	45	98	98	98	0	0	3.1	1.520		0.046	1.7	1.74	0.07
2302	273C	45	75	0	0	0.02	0	5.1	30.000	1.710	0.050	2.8	4.72	0.24
141	310C	45	75	0	0	0.3	2.03					2.8	4.72	0.61
2301	023C	45	75	0	0	0.02	0	4.1	30.000	1.710	0.320	2.8	4.72	1.54
143	05LC	45	98	98	98	0	0	MC4				1.7	1.74	16.35

Pérdida de carga acumulada del segmento	Δp_t	[Pa]	: 5.59
Velocidad en la sección inicial del segmento	V_m	[m/s]	: 2
Velocidad en la sección final del segmento	V_v	[m/s]	: 1.7
Recuperación de presión estática del segmento	Δp_r	[Pa]	: 0.67
Pérdida de carga acumulada del segmento, considerando la recuperación	Δp_{tn}	[Pa]	: 5.36
Pérdida de carga acumulada neta – total acumulado	$\Sigma \Delta p_{tn}$	[Pa]	: 92.62
Desequilibrio del terminal respecto al camino más desfavorable	Δp_{Tmr}	[Pa]	: 103.25

SEGMENTO 30:

Tipo: Tramo

1 ELEMENTO		2 Caudal Q	3 Diam. D/D _e	4 Ancho A	5 Alto B	6 Long. L	7 $\Delta p/L$	8 Fuente Tab	9 Ashrae X	10 Ashrae Y	11 Coeff. C _o	12 Veloc. V	13 P.Dinám P _v	14 Pérdida $\Delta p_r \circ \Delta p_e$
N. pz.	Cod.	[m³/h]	[mm]	[mm]	[mm]	[m]	[Pa/m]	n.	-	-	-	[m/s]	[Pa]	[Pa]
2282	11RA	225	164	150	150	0	0	ASH6_26M	0.833		0.017	2.8	4.72	0.04
103	310R	225	164	150	150	0.6	0.82					2.8	4.72	0.49

Pérdida de carga acumulada del segmento	Δp_t	[Pa]	: 0.53
Velocidad en la sección inicial del segmento	V_m	[m/s]	: 2
Velocidad en la sección final del segmento	V_v	[m/s]	: 3.1
Recuperación de presión estática del segmento	Δp_r	[Pa]	: -3.38
Pérdida de carga acumulada del segmento, considerando la recuperación	Δp_{tn}	[Pa]	: 4.53
Pérdida de carga acumulada neta – total acumulado	$\Sigma \Delta p_{tn}$	[Pa]	: 75.44

SEGMENTO 29:

Tipo: Terminal TRM-22

1 ELEMENTO		2 Caudal Q	3 Diam. D/D _e	4 Ancho A	5 Alto B	6 Long. L	7 $\Delta p/L$	8 Fuente Tab	9 Ashrae X	10 Ashrae Y	11 Coeff. C _o	12 Veloc. V	13 P.Dinám P _v	14 Pérdida $\Delta p_r \circ \Delta p_e$
N. pz.	Cod.	[m³/h]	[mm]	[mm]	[mm]	[m]	[Pa/m]	n.	-	-	-	[m/s]	[Pa]	[Pa]
2283	11RA	45	98	98	98	0	0	ASH6_26	0.200	0.597	1.090	1.7	1.74	6.41
132	310C	45	98	98	98	0.07	0.57					1.7	1.74	0.04
134	079C	45	98	98	98	0	0	3.1	1.520		0.046	1.7	1.74	0.07
2300	273C	45	75	0	0	0.02	0	5.1	30.000	1.710	0.050	2.8	4.72	0.24
135	310C	45	75	0	0	0.3	2.03					2.8	4.72	0.61
2299	023C	45	75	0	0	0.02	0	4.1	30.000	1.710	0.320	2.8	4.72	1.54
137	05LC	45	98	98	98	0	0	MC4				1.7	1.74	16.35

Pérdida de carga acumulada del segmento	Δp_t	[Pa]	: 8.91
Velocidad en la sección inicial del segmento	V_m	[m/s]	: 3.1
Velocidad en la sección final del segmento	V_v	[m/s]	: 1.7
Recuperación de presión estática del segmento	Δp_r	[Pa]	: 4.05
Pérdida de carga acumulada del segmento, considerando la recuperación	Δp_{tn}	[Pa]	: 5.21
Pérdida de carga acumulada neta – total acumulado	$\Sigma \Delta p_{tn}$	[Pa]	: 97
Desequilibrio del terminal respecto al camino más desfavorable	Δp_{Tmr}	[Pa]	: 98.86

SEGMENTO 28:

Tipo: Tramo

1 ELEMENTO		2 Caudal Q	3 Diam. D/D _e	4 Ancho A	5 Alto B	6 Long. L	7 $\Delta p/L$	8 Fuente Tab	9 Ashrae X	10 Ashrae Y	11 Coeff. C _o	12 Veloc. V	13 P.Dinám P _v	14 Pérdida $\Delta p_r \circ \Delta p_e$
N. pz.	Cod.	[m³/h]	[mm]	[mm]	[mm]	[m]	[Pa/m]	n.	-	-	-	[m/s]	[Pa]	[Pa]

2284	11RA	180	164	150	150	0	0	ASH6_26M	0.800		0.020	2.2	2.91	0.12
104	310R	180	164	150	150	0.6	0.55					2.2	2.91	0.33

Pérdida de carga acumulada del segmento	Δp_t	[Pa]	: 0.45
Velocidad en la sección inicial del segmento	V_m	[m/s]	: 3.1
Velocidad en la sección final del segmento	V_v	[m/s]	: 2.5
Recuperación de presión estática del segmento	Δp_r	[Pa]	: 2.02
Pérdida de carga acumulada del segmento, considerando la recuperación	Δp_{tn}	[Pa]	: -0.35
Pérdida de carga acumulada neta – total acumulado	$\Sigma \Delta p_{tn}$	[Pa]	: 75.09

SEGMENTO 27:

Tipo: Terminal TRM-24

1 ELEMENTO		2 Caudal Q	3 Diam. D/D _e	4 Ancho A	5 Alto B	6 Long. L	7 $\Delta p/L$	8 Fuente Tab	9 Ashrae X	10 Ashrae Y	11 Coeff. C _o	12 Veloc. V	13 P.Dinám P _v	14 Pérdida Δp_r o Δp_c
N. pz.	Cod.	[m³/h]	[mm]	[mm]	[mm]	[m]	[Pa/m]	n.	-	-	-	[m/s]	[Pa]	[Pa]
2285	11RA	45	98	98	98	0	0	ASH6_26	0.250	0.746	1.130	1.7	1.74	4.25
126	310C	45	98	98	98	0.07	0.57					1.7	1.74	0.04
128	079C	45	98	98	98	0	0	3.1	1.520		0.046	1.7	1.74	0.07
2298	273C	45	75	0	0	0.02	0	5.1	30.000	1.710	0.050	2.8	4.72	0.24
129	310C	45	75	0	0	0.3	2.03					2.8	4.72	0.61
2297	023C	45	75	0	0	0.02	0	4.1	30.000	1.710	0.320	2.8	4.72	1.54
131	05LC	45	98	98	98	0	0	MC4				1.7	1.74	16.35

Pérdida de carga acumulada del segmento	Δp_t	[Pa]	: 6.76
Velocidad en la sección inicial del segmento	V_m	[m/s]	: 2.5
Velocidad en la sección final del segmento	V_v	[m/s]	: 1.7
Recuperación de presión estática del segmento	Δp_r	[Pa]	: 2.02
Pérdida de carga acumulada del segmento, considerando la recuperación	Δp_{tn}	[Pa]	: 5.17
Pérdida de carga acumulada neta – total acumulado	$\Sigma \Delta p_{tn}$	[Pa]	: 96.61
Desequilibrio del terminal respecto al camino más desfavorable	Δp_{Tmr}	[Pa]	: 99.26

SEGMENTO 26:

Tipo: Tramo

1 ELEMENTO		2 Caudal Q	3 Diam. D/D _e	4 Ancho A	5 Alto B	6 Long. L	7 $\Delta p/L$	8 Fuente Tab	9 Ashrae X	10 Ashrae Y	11 Coeff. C _o	12 Veloc. V	13 P.Dinám P _v	14 Pérdida Δp_r o Δp_c
N. pz.	Cod.	[m³/h]	[mm]	[mm]	[mm]	[m]	[Pa/m]	n.	-	-	-	[m/s]	[Pa]	[Pa]
2286	11RA	135	164	150	150	0	0	ASH6_26M	0.750		0.030	1.7	1.74	0.11
105	310R	135	164	150	150	0.6	0.32					1.7	1.74	0.19

Pérdida de carga acumulada del segmento	Δp_t	[Pa]	: 0.31
Velocidad en la sección inicial del segmento	V_m	[m/s]	: 2.5
Velocidad en la sección final del segmento	V_v	[m/s]	: 2.5
Recuperación de presión estática del segmento	Δp_r	[Pa]	: 0
Pérdida de carga acumulada del segmento, considerando la recuperación	Δp_{tn}	[Pa]	: 1.13
Pérdida de carga acumulada neta – total acumulado	$\Sigma \Delta p_{tn}$	[Pa]	: 76.22

SEGMENTO 25:

Tipo: Terminal TRM-25

1	2	3	4	5	6	7	8	9	10	11	12	13	14
---	---	---	---	---	---	---	---	---	----	----	----	----	----

ELEMENTO		Caudal Q	Diam. D/D _e	Ancho A	Alto B	Long. L	$\Delta p/L$	Fuente Tab	Ashrae X	Ashrae Y	Coeff. C _o	Veloc. V	P.Dinám P _v	Pérdida Δp_r o Δp_c
N. pz.	Cod.	[m³/h]	[mm]	[mm]	[mm]	[m]	[Pa/m]	n.	-	-	-	[m/s]	[Pa]	[Pa]
2287	11RA	45	98	98	98	0	0	ASH6_26	0.333	0.995	1.110	1.7	1.74	4.16
120	310C	45	98	98	98	0.07	0.57					1.7	1.74	0.04
122	079C	45	98	98	98	0	0	3.1	1.520		0.046	1.7	1.74	0.07
2296	273C	45	75	0	0	0.02	0	5.1	30.000	1.710	0.050	2.8	4.72	0.24
123	310C	45	75	0	0	0.3	2.03					2.8	4.72	0.61
2295	023C	45	75	0	0	0.02	0	4.1	30.000	1.710	0.320	2.8	4.72	1.54
125	05LC	45	98	98	98	0	0	MC4				1.7	1.74	16.35

Pérdida de carga acumulada del segmento	Δp_t	[Pa] : 6.66
Velocidad en la sección inicial del segmento	V_m	[m/s] : 2.5
Velocidad en la sección final del segmento	V_v	[m/s] : 1.7
Recuperación de presión estática del segmento	Δp_r	[Pa] : 2.02
Pérdida de carga acumulada del segmento, considerando la recuperación	Δp_{tn}	[Pa] : 5.08
Pérdida de carga acumulada neta – total acumulado	$\Sigma \Delta p_{tn}$	[Pa] : 97.65
Desequilibrio del terminal respecto al camino más desfavorable	Δp_{Tmr}	[Pa] : 98.22

SEGMENTO 24:

Tipo: Tramo

1 ELEMENTO		2 Caudal Q	3 Diam. D/D _e	4 Ancho A	5 Alto B	6 Long. L	7 $\Delta p/L$	8 Fuente Tab	9 Ashrae X	10 Ashrae Y	11 Coeff. C _o	12 Veloc. V	13 P.Dinám P _v	14 Pérdida Δp_r o Δp_c
N. pz.	Cod.	[m³/h]	[mm]	[mm]	[mm]	[m]	[Pa/m]	n.	-	-	-	[m/s]	[Pa]	[Pa]
2288	11RA	90	164	150	150	0	0	ASH6_26M	0.667		0.047	1.1	0.73	0.18
106	310R	90	164	150	150	0.6	0.15					1.1	0.73	0.09

Pérdida de carga acumulada del segmento	Δp_t	[Pa] : 0.27
Velocidad en la sección inicial del segmento	V_m	[m/s] : 2.5
Velocidad en la sección final del segmento	V_v	[m/s] : 2.5
Recuperación de presión estática del segmento	Δp_r	[Pa] : 0
Pérdida de carga acumulada del segmento, considerando la recuperación	Δp_{tn}	[Pa] : 0.95
Pérdida de carga acumulada neta – total acumulado	$\Sigma \Delta p_{tn}$	[Pa] : 77.17

SEGMENTO 23:

Tipo: Terminal TRM-26

1 ELEMENTO		2 Caudal Q	3 Diam. D/D _e	4 Ancho A	5 Alto B	6 Long. L	7 $\Delta p/L$	8 Fuente Tab	9 Ashrae X	10 Ashrae Y	11 Coeff. C _o	12 Veloc. V	13 P.Dinám P _v	14 Pérdida Δp_r o Δp_c
N. pz.	Cod.	[m³/h]	[mm]	[mm]	[mm]	[m]	[Pa/m]	n.	-	-	-	[m/s]	[Pa]	[Pa]
2289	11RA	45	98	98	98	0	0	ASH6_26	0.500	1.490	1.260	1.7	1.74	4.74
114	310C	45	98	98	98	0.07	0.57					1.7	1.74	0.04
116	079C	45	98	98	98	0	0	3.1	1.520		0.046	1.7	1.74	0.07
2294	273C	45	75	0	0	0.02	0	5.1	30.000	1.710	0.050	2.8	4.72	0.24
117	310C	45	75	0	0	0.3	2.03					2.8	4.72	0.61
2293	023C	45	75	0	0	0.02	0	4.1	30.000	1.710	0.320	2.8	4.72	1.54
119	05LC	45	98	98	98	0	0	MC4				1.7	1.74	16.35

Pérdida de carga acumulada del segmento	Δp_t	[Pa] : 7.25
Velocidad en la sección inicial del segmento	V_m	[m/s] : 2.5
Velocidad en la sección final del segmento	V_v	[m/s] : 1.7
Recuperación de presión estática del segmento	Δp_r	[Pa] : 2.02
Pérdida de carga acumulada del segmento, considerando la recuperación	Δp_{tn}	[Pa] : 5.67

Pérdida de carga acumulada neta – total acumulado
Desequilibrio del terminal respecto al camino más desfavorable

$\Sigma \Delta p_{tn}$ [Pa] : 99.19
 Δp_{Tmr} [Pa] : 96.68

SEGMENTO 22:

Tipo: Terminal TRM-27

1 ELEMENTO		2 Caudal Q	3 Diam. D/D _e	4 Ancho A	5 Alto B	6 Long. L	7 $\Delta p/L$	8 Fuente Tab	9 Ashrae X	10 Ashrae Y	11 Coeff. C _o	12 Veloc. V	13 P.Dinám P _v	14 Pérdida Δp_r o Δp_c
N. pz.	Cod.	[m³/h]	[mm]	[mm]	[mm]	[m]	[Pa/m]	n.	-	-	-	[m/s]	[Pa]	[Pa]
2290	11RA	45	164	150	150	0	0	ASH6_26M	0.500		0.090	0.6	0.22	0.34
107	310R	45	164	150	150	0.6	0.05					0.6	0.22	0.03
98	11RAT	45	164	150	150	0	0	2_6	1.000	0.915	2.800	0.6	0.22	0
108	310C	45	98	98	98	0.07	0.57					1.7	1.74	0.04
110	079C	45	98	98	98	0	0	3.1	1.520		0.046	1.7	1.74	0.07
2292	023C	45	98	98	98	0	0	4.1	30.000	1.040	0.320	1.7	1.74	0.53
111	310C	45	100	0	0	0.3	0.5					1.6	1.54	0.15
2291	273C	45	98	98	98	0	0	5.1	30.000	1.040	0.050	1.7	1.74	0.08
113	05LC	45	98	98	98	0	0	MC4				1.7	1.74	16.35

Pérdida de carga acumulada del segmento
Velocidad en la sección inicial del segmento
Velocidad en la sección final del segmento
Recuperación de presión estática del segmento
Pérdida de carga acumulada del segmento, considerando la recuperación
Pérdida de carga acumulada neta – total acumulado
Desequilibrio del terminal respecto al camino más desfavorable

Δp_t [Pa] : 1.24
 V_m [m/s] : 2.5
 V_v [m/s] : 1.7
 Δp_r [Pa] : 2.02
 Δp_{tn} [Pa] : -0.55
 $\Sigma \Delta p_{tn}$ [Pa] : 92.97
 Δp_{Tmr} [Pa] : 102.9

SEGMENTO 20:

Tipo: Tramo

1 ELEMENTO		2 Caudal Q	3 Diam. D/D _e	4 Ancho A	5 Alto B	6 Long. L	7 $\Delta p/L$	8 Fuente Tab	9 Ashrae X	10 Ashrae Y	11 Coeff. C _o	12 Veloc. V	13 P.Dinám P _v	14 Pérdida Δp_r o Δp_c
N. pz.	Cod.	[m³/h]	[mm]	[mm]	[mm]	[m]	[Pa/m]	n.	-	-	-	[m/s]	[Pa]	[Pa]
25	3736	450	470	250	800	0	0	MC4	0.033	0.294	78.000	0.6	0.22	17.17
2232	283R	450	210	250	150	1.23	0	5.1	30.000	5.330	0.040	3.3	6.56	0.27
24	310R	450	210	250	150	1.05	0.87					3.3	6.56	0.91

Pérdida de carga acumulada del segmento
Velocidad en la sección inicial del segmento
Velocidad en la sección final del segmento
Recuperación de presión estática del segmento
Pérdida de carga acumulada del segmento, considerando la recuperación
Pérdida de carga acumulada neta – total acumulado

Δp_t [Pa] : 18.34
 V_m [m/s] : 5.2
 V_v [m/s] : 3.3
 Δp_r [Pa] : 9.72
 Δp_{tn} [Pa] : 8.7
 $\Sigma \Delta p_{tn}$ [Pa] : 65.58

SEGMENTO 19:

Tipo: Terminal TRM-46

1 ELEMENTO		2 Caudal Q	3 Diam. D/D _e	4 Ancho A	5 Alto B	6 Long. L	7 $\Delta p/L$	8 Fuente Tab	9 Ashrae X	10 Ashrae Y	11 Coeff. C _o	12 Veloc. V	13 P.Dinám P _v	14 Pérdida Δp_r o Δp_c
N. pz.	Cod.	[m³/h]	[mm]	[mm]	[mm]	[m]	[Pa/m]	n.	-	-	-	[m/s]	[Pa]	[Pa]
2230	11RA	45	98	98	98	0	0	ASH6_26	0.100	0.497	1.070	1.7	1.74	7.18
90	310C	45	98	98	98	0.07	0.57					1.7	1.74	0.04
92	079C	45	98	98	98	0	0	3.1	1.520		0.046	1.7	1.74	0.07
2271	273C	45	75	0	0	0.02	0	5.1	30.000	1.710	0.050	2.8	4.72	0.24

93	310C	45	75	0	0	0.3	2.03					2.8	4.72	0.61
2270	023C	45	75	0	0	0.02	0	4.1	30.000	1.710	0.320	2.8	4.72	1.54
95	05LC	45	98	98	98	0	0	MC4				1.7	1.74	16.35

Pérdida de carga acumulada del segmento	Δp_t	[Pa]	: 9.68
Velocidad en la sección inicial del segmento	V_m	[m/s]	: 3.3
Velocidad en la sección final del segmento	V_v	[m/s]	: 1.7
Recuperación de presión estática del segmento	Δp_r	[Pa]	: 4.82
Pérdida de carga acumulada del segmento, considerando la recuperación	Δp_{tm}	[Pa]	: 5.18
Pérdida de carga acumulada neta – total acumulado	$\Sigma \Delta p_{tm}$	[Pa]	: 87.11
Desequilibrio del terminal respecto al camino más desfavorable	Δp_{Tmr}	[Pa]	: 108.76

SEGMENTO 18:

Tipo: Tramo

1 ELEMENTO		2 Caudal Q	3 Diam. D/D _e	4 Ancho A	5 Alto B	6 Long. L	7 $\Delta p/L$	8 Fuente Tab	9 Ashrae X	10 Ashrae Y	11 Coeff. C _o	12 Veloc. V	13 P.Dinám P _v	14 Pérdida Δp_r o Δp_e
N. pz.	Cod.	[m³/h]	[mm]	[mm]	[mm]	[m]	[Pa/m]	n.	-	-	-	[m/s]	[Pa]	[Pa]
2231	11RA	405	210	250	150	0	0	ASH6_26M	0.900		0.010	3	5.42	0.07
2235	283R	405	152	200	100	0.19	0	5.1	30.000	1.880	0.050	5.6	18.88	0.95
27	310R	405	152	200	100	0.6	3.53					5.6	18.88	2.12

Pérdida de carga acumulada del segmento	Δp_t	[Pa]	: 3.14
Velocidad en la sección inicial del segmento	V_m	[m/s]	: 3.3
Velocidad en la sección final del segmento	V_v	[m/s]	: 5.6
Recuperación de presión estática del segmento	Δp_r	[Pa]	: -12.32
Pérdida de carga acumulada del segmento, considerando la recuperación	Δp_{tm}	[Pa]	: 15.5
Pérdida de carga acumulada neta – total acumulado	$\Sigma \Delta p_{tm}$	[Pa]	: 81.08

SEGMENTO 17:

Tipo: Terminal TRM-46

1 ELEMENTO		2 Caudal Q	3 Diam. D/D _e	4 Ancho A	5 Alto B	6 Long. L	7 $\Delta p/L$	8 Fuente Tab	9 Ashrae X	10 Ashrae Y	11 Coeff. C _o	12 Veloc. V	13 P.Dinám P _v	14 Pérdida Δp_r o Δp_e
N. pz.	Cod.	[m³/h]	[mm]	[mm]	[mm]	[m]	[Pa/m]	n.	-	-	-	[m/s]	[Pa]	[Pa]
2233	11RA	45	98	98	98	0	0	ASH6_26	0.111	0.295	1.010	1.7	1.74	19.28
84	310C	45	98	98	98	0.07	0.57					1.7	1.74	0.04
86	079C	45	98	98	98	0	0	3.1	1.520		0.046	1.7	1.74	0.07
2269	273C	45	75	0	0	0.02	0	5.1	30.000	1.710	0.050	2.8	4.72	0.24
87	310C	45	75	0	0	0.3	2.03					2.8	4.72	0.61
2268	023C	45	75	0	0	0.02	0	4.1	30.000	1.710	0.320	2.8	4.72	1.54
89	05LC	45	98	98	98	0	0	MC4				1.7	1.74	16.35

Pérdida de carga acumulada del segmento	Δp_t	[Pa]	: 21.78
Velocidad en la sección inicial del segmento	V_m	[m/s]	: 5.6
Velocidad en la sección final del segmento	V_v	[m/s]	: 1.7
Recuperación de presión estática del segmento	Δp_r	[Pa]	: 17.14
Pérdida de carga acumulada del segmento, considerando la recuperación	Δp_{tm}	[Pa]	: 4.92
Pérdida de carga acumulada neta – total acumulado	$\Sigma \Delta p_{tm}$	[Pa]	: 102.35
Desequilibrio del terminal respecto al camino más desfavorable	Δp_{Tmr}	[Pa]	: 93.52

SEGMENTO 16:

Tipo: Tramo

1 ELEMENTO		2 Caudal Q	3 Diam. D/D _e	4 Ancho A	5 Alto B	6 Long. L	7 $\Delta p/L$	8 Fuente Tab	9 Ashrae X	10 Ashrae Y	11 Coeff. C _o	12 Veloc. V	13 P.Dinám P _v	14 Pérdida Δp_r o Δp_e
N. pz.	Cod.	[m³/h]	[mm]	[mm]	[mm]	[m]	[Pa/m]	n.	-	-	-	[m/s]	[Pa]	[Pa]
2234	11RA	360	152	200	100	0	0	ASH6_26M	0.889		0.011	5	15.05	0.21
28	310R	360	152	200	100	0.6	2.85					5	15.05	1.71

Pérdida de carga acumulada del segmento	Δp_t	[Pa]	: 1.92
Velocidad en la sección inicial del segmento	V_m	[m/s]	: 5.6
Velocidad en la sección final del segmento	V_v	[m/s]	: 5
Recuperación de presión estática del segmento	Δp_r	[Pa]	: 3.83
Pérdida de carga acumulada del segmento, considerando la recuperación	Δp_{tm}	[Pa]	: -2.08
Pérdida de carga acumulada neta – total acumulado	$\Sigma \Delta p_{tm}$	[Pa]	: 79

SEGMENTO 15:

Tipo: Terminal TRM-46

1 ELEMENTO		2 Caudal Q	3 Diam. D/D _e	4 Ancho A	5 Alto B	6 Long. L	7 $\Delta p/L$	8 Fuente Tab	9 Ashrae X	10 Ashrae Y	11 Coeff. C _o	12 Veloc. V	13 P.Dinám P _v	14 Pérdida Δp_r o Δp_e
N. pz.	Cod.	[m³/h]	[mm]	[mm]	[mm]	[m]	[Pa/m]	n.	-	-	-	[m/s]	[Pa]	[Pa]
2236	11RA	45	98	98	98	0	0	ASH6_26	0.125	0.332	1.020	1.7	1.74	15.39
78	310C	45	98	98	98	0.07	0.57					1.7	1.74	0.04
80	079C	45	98	98	98	0	0	3.1	1.520		0.046	1.7	1.74	0.07
2267	273C	45	75	0	0	0.02	0	5.1	30.000	1.710	0.050	2.8	4.72	0.24
81	310C	45	75	0	0	0.3	2.03					2.8	4.72	0.61
2266	023C	45	75	0	0	0.02	0	4.1	30.000	1.710	0.320	2.8	4.72	1.54
83	05LC	45	98	98	98	0	0	MC4				1.7	1.74	16.35

Pérdida de carga acumulada del segmento	Δp_t	[Pa]	: 17.89
Velocidad en la sección inicial del segmento	V_m	[m/s]	: 5
Velocidad en la sección final del segmento	V_v	[m/s]	: 1.7
Recuperación de presión estática del segmento	Δp_r	[Pa]	: 13.31
Pérdida de carga acumulada del segmento, considerando la recuperación	Δp_{tm}	[Pa]	: 5.03
Pérdida de carga acumulada neta – total acumulado	$\Sigma \Delta p_{tm}$	[Pa]	: 100.37
Desequilibrio del terminal respecto al camino más desfavorable	Δp_{Tmr}	[Pa]	: 95.5

SEGMENTO 14:

Tipo: Tramo

1 ELEMENTO		2 Caudal Q	3 Diam. D/D _e	4 Ancho A	5 Alto B	6 Long. L	7 $\Delta p/L$	8 Fuente Tab	9 Ashrae X	10 Ashrae Y	11 Coeff. C _o	12 Veloc. V	13 P.Dinám P _v	14 Pérdida Δp_r o Δp_e
N. pz.	Cod.	[m³/h]	[mm]	[mm]	[mm]	[m]	[Pa/m]	n.	-	-	-	[m/s]	[Pa]	[Pa]
2237	11RA	315	152	200	100	0	0	ASH6_26M	0.875		0.012	4.4	11.65	0.19
2240	283R	315	133	150	100	0.14	0	5.1	30.000	1.330	0.050	5.8	20.25	1.02
29	310R	315	133	150	100	0.6	4.32					5.8	20.25	2.59

Pérdida de carga acumulada del segmento	Δp_t	[Pa]	: 3.8
Velocidad en la sección inicial del segmento	V_m	[m/s]	: 5
Velocidad en la sección final del segmento	V_v	[m/s]	: 5.8
Recuperación de presión estática del segmento	Δp_r	[Pa]	: -5.2
Pérdida de carga acumulada del segmento, considerando la recuperación	Δp_{tm}	[Pa]	: 9.24
Pérdida de carga acumulada neta – total acumulado	$\Sigma \Delta p_{tm}$	[Pa]	: 88.24

SEGMENTO 13:

Tipo: Terminal TRM-46

1 ELEMENTO		2 Caudal Q	3 Diam. D/D _e	4 Ancho A	5 Alto B	6 Long. L	7 $\Delta p/L$	8 Fuente Tab	9 Ashrae X	10 Ashrae Y	11 Coeff. C _o	12 Veloc. V	13 P.Dinám P _v	14 Pérdida Δp_r o Δp_c
N. pz.	Cod.	[m³/h]	[mm]	[mm]	[mm]	[m]	[Pa/m]	n.	-	-	-	[m/s]	[Pa]	[Pa]
2238	11RA	45	98	98	98	0	0	ASH6_26	0.143	0.284	1.030	1.7	1.74	21.15
72	310C	45	98	98	98	0.07	0.57					1.7	1.74	0.04
74	079C	45	98	98	98	0	0	3.1	1.520		0.046	1.7	1.74	0.07
2265	273C	45	75	0	0	0.02	0	5.1	30.000	1.710	0.050	2.8	4.72	0.24
75	310C	45	75	0	0	0.3	2.03					2.8	4.72	0.61
2264	023C	45	75	0	0	0.02	0	4.1	30.000	1.710	0.320	2.8	4.72	1.54
77	05LC	45	98	98	98	0	0	MC4				1.7	1.74	16.35

Pérdida de carga acumulada del segmento

Δp_t [Pa] : 23.65

Velocidad en la sección inicial del segmento

V_m [m/s] : 5.8

Velocidad en la sección final del segmento

V_v [m/s] : 1.7

Recuperación de presión estática del segmento

Δp_r [Pa] : 18.51

Pérdida de carga acumulada del segmento, considerando la recuperación

Δp_{tm} [Pa] : 5.35

Pérdida de carga acumulada neta – total acumulado

$\Sigma \Delta p_{tm}$ [Pa] : 109.94

Desequilibrio del terminal respecto al camino más desfavorable

Δp_{Tmr} [Pa] : 85.93

SEGMENTO 12:

Tipo: Tramo

1 ELEMENTO		2 Caudal Q	3 Diam. D/D _e	4 Ancho A	5 Alto B	6 Long. L	7 $\Delta p/L$	8 Fuente Tab	9 Ashrae X	10 Ashrae Y	11 Coeff. C _o	12 Veloc. V	13 P.Dinám P _v	14 Pérdida Δp_r o Δp_c
N. pz.	Cod.	[m³/h]	[mm]	[mm]	[mm]	[m]	[Pa/m]	n.	-	-	-	[m/s]	[Pa]	[Pa]
2239	11RA	270	133	150	100	0	0	ASH6_26M	0.857		0.014	5	15.05	0.29
30	310R	270	133	150	100	0.6	3.23					5	15.05	1.94

Pérdida de carga acumulada del segmento

Δp_t [Pa] : 2.23

Velocidad en la sección inicial del segmento

V_m [m/s] : 5.8

Velocidad en la sección final del segmento

V_v [m/s] : 5

Recuperación de presión estática del segmento

Δp_r [Pa] : 5.2

Pérdida de carga acumulada del segmento, considerando la recuperación

Δp_{tm} [Pa] : -3.2

Pérdida de carga acumulada neta – total acumulado

$\Sigma \Delta p_{tm}$ [Pa] : 85.04

SEGMENTO 11:

Tipo: Terminal TRM-46

1 ELEMENTO		2 Caudal Q	3 Diam. D/D _e	4 Ancho A	5 Alto B	6 Long. L	7 $\Delta p/L$	8 Fuente Tab	9 Ashrae X	10 Ashrae Y	11 Coeff. C _o	12 Veloc. V	13 P.Dinám P _v	14 Pérdida Δp_r o Δp_c
N. pz.	Cod.	[m³/h]	[mm]	[mm]	[mm]	[m]	[Pa/m]	n.	-	-	-	[m/s]	[Pa]	[Pa]
2241	11RA	45	98	98	98	0	0	ASH6_26	0.167	0.332	1.050	1.7	1.74	15.79
66	310C	45	98	98	98	0.07	0.57					1.7	1.74	0.04
68	079C	45	98	98	98	0	0	3.1	1.520		0.046	1.7	1.74	0.07
2263	273C	45	75	0	0	0.02	0	5.1	30.000	1.710	0.050	2.8	4.72	0.24
69	310C	45	75	0	0	0.3	2.03					2.8	4.72	0.61
2262	023C	45	75	0	0	0.02	0	4.1	30.000	1.710	0.320	2.8	4.72	1.54
71	05LC	45	98	98	98	0	0	MC4				1.7	1.74	16.35

Pérdida de carga acumulada del segmento	Δp_t	[Pa]	: 18.29
Velocidad en la sección inicial del segmento	V_m	[m/s]	: 5
Velocidad en la sección final del segmento	V_v	[m/s]	: 1.7
Recuperación de presión estática del segmento	Δp_r	[Pa]	: 13.31
Pérdida de carga acumulada del segmento, considerando la recuperación	Δp_{tn}	[Pa]	: 5.42
Pérdida de carga acumulada neta – total acumulado	$\Sigma \Delta p_{tn}$	[Pa]	: 106.8
Desequilibrio del terminal respecto al camino más desfavorable	Δp_{Tmr}	[Pa]	: 89.06

SEGMENTO 10:

Tipo: Tramo

1 ELEMENTO		2 Caudal Q	3 Diam. D/D _e	4 Ancho A	5 Alto B	6 Long. L	7 $\Delta p/L$	8 Fuente Tab	9 Ashrae X	10 Ashrae Y	11 Coeff. C _o	12 Veloc. V	13 P.Dinám P _v	14 Pérdida Δp_r o Δp_e
N. pz.	Cod.	[m³/h]	[mm]	[mm]	[mm]	[m]	[Pa/m]	n.	-	-	-	[m/s]	[Pa]	[Pa]
2242	11RA	225	133	150	100	0	0	ASH6_26M	0.833		0.017	4.2	10.62	0.25
31	310R	225	133	150	100	0.6	2.3					4.2	10.62	1.38

Pérdida de carga acumulada del segmento	Δp_t	[Pa]	: 1.64
Velocidad en la sección inicial del segmento	V_m	[m/s]	: 5
Velocidad en la sección final del segmento	V_v	[m/s]	: 4.2
Recuperación de presión estática del segmento	Δp_r	[Pa]	: 4.43
Pérdida de carga acumulada del segmento, considerando la recuperación	Δp_{tn}	[Pa]	: -2.96
Pérdida de carga acumulada neta – total acumulado	$\Sigma \Delta p_{tn}$	[Pa]	: 82.07

SEGMENTO 9:

Tipo: Terminal TRM-46

1 ELEMENTO		2 Caudal Q	3 Diam. D/D _e	4 Ancho A	5 Alto B	6 Long. L	7 $\Delta p/L$	8 Fuente Tab	9 Ashrae X	10 Ashrae Y	11 Coeff. C _o	12 Veloc. V	13 P.Dinám P _v	14 Pérdida Δp_r o Δp_e
N. pz.	Cod.	[m³/h]	[mm]	[mm]	[mm]	[m]	[Pa/m]	n.	-	-	-	[m/s]	[Pa]	[Pa]
2243	11RA	45	98	98	98	0	0	ASH6_26	0.200	0.398	1.070	1.7	1.74	11.18
60	310C	45	98	98	98	0.07	0.57					1.7	1.74	0.04
62	079C	45	98	98	98	0	0	3.1	1.520		0.046	1.7	1.74	0.07
2261	273C	45	75	0	0	0.02	0	5.1	30.000	1.710	0.050	2.8	4.72	0.24
63	310C	45	75	0	0	0.3	2.03					2.8	4.72	0.61
2260	023C	45	75	0	0	0.02	0	4.1	30.000	1.710	0.320	2.8	4.72	1.54
65	05LC	45	98	98	98	0	0	MC4				1.7	1.74	16.35

Pérdida de carga acumulada del segmento	Δp_t	[Pa]	: 13.69
Velocidad en la sección inicial del segmento	V_m	[m/s]	: 4.2
Velocidad en la sección final del segmento	V_v	[m/s]	: 1.7
Recuperación de presión estática del segmento	Δp_r	[Pa]	: 8.88
Pérdida de carga acumulada del segmento, considerando la recuperación	Δp_{tn}	[Pa]	: 5.42
Pérdida de carga acumulada neta – total acumulado	$\Sigma \Delta p_{tn}$	[Pa]	: 103.84
Desequilibrio del terminal respecto al camino más desfavorable	Δp_{Tmr}	[Pa]	: 92.03

SEGMENTO 8:

Tipo: Tramo

1 ELEMENTO		2 Caudal Q	3 Diam. D/D _e	4 Ancho A	5 Alto B	6 Long. L	7 $\Delta p/L$	8 Fuente Tab	9 Ashrae X	10 Ashrae Y	11 Coeff. C _o	12 Veloc. V	13 P.Dinám P _v	14 Pérdida Δp_r o Δp_e
---------------	--	------------------	--------------------------------	-----------------	----------------	-----------------	-------------------	--------------------	------------------	-------------------	--------------------------------	-------------------	---------------------------------	--

N. pz.	Cod.	[m³/h]	[mm]	[mm]	[mm]	[m]	[Pa/m]	n.	-	-	-	[m/s]	[Pa]	[Pa]
2244	11RA	180	133	150	100	0	0	ASH6_26M	0.800		0.020	3.3	6.56	0.21
2247	283R	180	109	100	100	0.14	0	5.1	30.000	1.500	0.050	5	15.05	0.75
32	310R	180	109	100	100	0.6	4.08					5	15.05	2.45

Pérdida de carga acumulada del segmento	Δp_t	[Pa]	: 3.41
Velocidad en la sección inicial del segmento	V_m	[m/s]	: 4.2
Velocidad en la sección final del segmento	V_v	[m/s]	: 5
Recuperación de presión estática del segmento	Δp_r	[Pa]	: -4.43
Pérdida de carga acumulada del segmento, considerando la recuperación	Δp_{tm}	[Pa]	: 8.01
Pérdida de carga acumulada neta – total acumulado	$\Sigma \Delta p_{tm}$	[Pa]	: 90.09

SEGMENTO 7:

Tipo: Terminal TRM-46

1 ELEMENTO		2 Caudal Q	3 Diam. D/D _e	4 Ancho A	5 Alto B	6 Long. L	7 $\Delta p/L$	8 Fuente Tab	9 Ashrae X	10 Ashrae Y	11 Coeff. C _o	12 Veloc. V	13 P.Dinám P _v	14 Pérdida Δp_r o Δp_e
N. pz.	Cod.	[m³/h]	[mm]	[mm]	[mm]	[m]	[Pa/m]	n.	-	-	-	[m/s]	[Pa]	[Pa]
2245	11RA	45	98	98	98	0	0	ASH6_26	0.250	0.332	1.080	1.7	1.74	16.18
54	310C	45	98	98	98	0.07	0.57					1.7	1.74	0.04
56	079C	45	98	98	98	0	0	3.1	1.520		0.046	1.7	1.74	0.07
2259	273C	45	75	0	0	0.02	0	5.1	30.000	1.710	0.050	2.8	4.72	0.24
57	310C	45	75	0	0	0.3	2.03					2.8	4.72	0.61
2258	023C	45	75	0	0	0.02	0	4.1	30.000	1.710	0.320	2.8	4.72	1.54
59	05LC	45	98	98	98	0	0	MC4				1.7	1.74	16.35

Pérdida de carga acumulada del segmento	Δp_t	[Pa]	: 18.68
Velocidad en la sección inicial del segmento	V_m	[m/s]	: 5
Velocidad en la sección final del segmento	V_v	[m/s]	: 1.7
Recuperación de presión estática del segmento	Δp_r	[Pa]	: 13.31
Pérdida de carga acumulada del segmento, considerando la recuperación	Δp_{tm}	[Pa]	: 5.82
Pérdida de carga acumulada neta – total acumulado	$\Sigma \Delta p_{tm}$	[Pa]	: 112.25
Desequilibrio del terminal respecto al camino más desfavorable	Δp_{Tmr}	[Pa]	: 83.62

SEGMENTO 6:

Tipo: Tramo

1 ELEMENTO		2 Caudal Q	3 Diam. D/D _e	4 Ancho A	5 Alto B	6 Long. L	7 $\Delta p/L$	8 Fuente Tab	9 Ashrae X	10 Ashrae Y	11 Coeff. C _o	12 Veloc. V	13 P.Dinám P _v	14 Pérdida Δp_r o Δp_e
N. pz.	Cod.	[m³/h]	[mm]	[mm]	[mm]	[m]	[Pa/m]	n.	-	-	-	[m/s]	[Pa]	[Pa]
2246	11RA	135	109	100	100	0	0	ASH6_26M	0.750		0.030	3.7	8.24	0.45
33	310R	135	109	100	100	0.6	2.4					3.7	8.24	1.44

Pérdida de carga acumulada del segmento	Δp_t	[Pa]	: 1.89
Velocidad en la sección inicial del segmento	V_m	[m/s]	: 5
Velocidad en la sección final del segmento	V_v	[m/s]	: 3.7
Recuperación de presión estática del segmento	Δp_r	[Pa]	: 6.81
Pérdida de carga acumulada del segmento, considerando la recuperación	Δp_{tm}	[Pa]	: -4.69
Pérdida de carga acumulada neta – total acumulado	$\Sigma \Delta p_{tm}$	[Pa]	: 85.39

SEGMENTO 5:

Tipo: Terminal TRM-46

1 ELEMENTO		2 Caudal Q	3 Diam. D/D _e	4 Ancho A	5 Alto B	6 Long. L	7 $\Delta p/L$	8 Fuente Tab	9 Ashrae X	10 Ashrae Y	11 Coeff. C _o	12 Veloc. V	13 P.Dinám P _v	14 Pérdida Δp_r o Δp_e
N. pz.	Cod.	[m³/h]	[mm]	[mm]	[mm]	[m]	[Pa/m]	n.	-	-	-	[m/s]	[Pa]	[Pa]
2248	11RA	45	98	98	98	0	0	ASH6_26	0.333	0.442	1.100	1.7	1.74	9.28
48	310C	45	98	98	98	0.07	0.57					1.7	1.74	0.04
50	079C	45	98	98	98	0	0	3.1	1.520		0.046	1.7	1.74	0.07
2257	273C	45	75	0	0	0.02	0	5.1	30.000	1.710	0.050	2.8	4.72	0.24
51	310C	45	75	0	0	0.3	2.03					2.8	4.72	0.61
2256	023C	45	75	0	0	0.02	0	4.1	30.000	1.710	0.320	2.8	4.72	1.54
53	05LC	45	98	98	98	0	0	MC4				1.7	1.74	16.35

Pérdida de carga acumulada del segmento	Δp_t	[Pa]	: 11.79
Velocidad en la sección inicial del segmento	V_m	[m/s]	: 3.7
Velocidad en la sección final del segmento	V_v	[m/s]	: 1.7
Recuperación de presión estática del segmento	Δp_r	[Pa]	: 6.5
Pérdida de carga acumulada del segmento, considerando la recuperación	Δp_{tm}	[Pa]	: 5.51
Pérdida de carga acumulada neta – total acumulado	$\Sigma \Delta p_{tm}$	[Pa]	: 107.25
Desequilibrio del terminal respecto al camino más desfavorable	Δp_{Tmr}	[Pa]	: 88.62

SEGMENTO 4:

Tipo: Tramo

1 ELEMENTO		2 Caudal Q	3 Diam. D/D _e	4 Ancho A	5 Alto B	6 Long. L	7 $\Delta p/L$	8 Fuente Tab	9 Ashrae X	10 Ashrae Y	11 Coeff. C _o	12 Veloc. V	13 P.Dinám P _v	14 Pérdida Δp_r o Δp_e
N. pz.	Cod.	[m³/h]	[mm]	[mm]	[mm]	[m]	[Pa/m]	n.	-	-	-	[m/s]	[Pa]	[Pa]
2249	11RA	90	109	100	100	0	0	ASH6_26M	0.667		0.047	2.5	3.76	0.4
34	310R	90	109	100	100	0.6	1.13					2.5	3.76	0.68

Pérdida de carga acumulada del segmento	Δp_t	[Pa]	: 1.07
Velocidad en la sección inicial del segmento	V_m	[m/s]	: 3.7
Velocidad en la sección final del segmento	V_v	[m/s]	: 2.5
Recuperación de presión estática del segmento	Δp_r	[Pa]	: 4.48
Pérdida de carga acumulada del segmento, considerando la recuperación	Δp_{tm}	[Pa]	: -3.63
Pérdida de carga acumulada neta – total acumulado	$\Sigma \Delta p_{tm}$	[Pa]	: 81.76

SEGMENTO 3:

Tipo: Terminal TRM-46

1 ELEMENTO		2 Caudal Q	3 Diam. D/D _e	4 Ancho A	5 Alto B	6 Long. L	7 $\Delta p/L$	8 Fuente Tab	9 Ashrae X	10 Ashrae Y	11 Coeff. C _o	12 Veloc. V	13 P.Dinám P _v	14 Pérdida Δp_r o Δp_e
N. pz.	Cod.	[m³/h]	[mm]	[mm]	[mm]	[m]	[Pa/m]	n.	-	-	-	[m/s]	[Pa]	[Pa]
2250	11RA	45	98	98	98	0	0	ASH6_26	0.500	0.663	1.260	1.7	1.74	4.74
42	310C	45	98	98	98	0.07	0.57					1.7	1.74	0.04
44	079C	45	98	98	98	0	0	3.1	1.520		0.046	1.7	1.74	0.07
2255	273C	45	75	0	0	0.02	0	5.1	30.000	1.710	0.050	2.8	4.72	0.24
45	310C	45	75	0	0	0.3	2.03					2.8	4.72	0.61
2254	023C	45	75	0	0	0.02	0	4.1	30.000	1.710	0.320	2.8	4.72	1.54
47	05LC	45	98	98	98	0	0	MC4				1.7	1.74	16.35

Pérdida de carga acumulada del segmento	Δp_t	[Pa]	: 7.25
Velocidad en la sección inicial del segmento	V_m	[m/s]	: 2.5
Velocidad en la sección final del segmento	V_v	[m/s]	: 1.7

Recuperación de presión estática del segmento	Δp_r	[Pa]	: 2.02
Pérdida de carga acumulada del segmento, considerando la recuperación	Δp_{tm}	[Pa]	: 5.67
Pérdida de carga acumulada neta – total acumulado	$\Sigma \Delta p_{tm}$	[Pa]	: 103.78
Desequilibrio del terminal respecto al camino más desfavorable	Δp_{Tmr}	[Pa]	: 92.09

SEGMENTO 2:

Tipo: Terminal TRM-46

1 ELEMENTO		2 Caudal Q	3 Diam. D/D _e	4 Ancho A	5 Alto B	6 Long. L	7 $\Delta p/L$	8 Fuente Tab	9 Ashrae X	10 Ashrae Y	11 Coeff. C _o	12 Veloc. V	13 P.Dinám P _v	14 Pérdida Δp_r o Δp_e
N. pz.	Cod.	[m³/h]	[mm]	[mm]	[mm]	[m]	[Pa/m]	n.	-	-	-	[m/s]	[Pa]	[Pa]
2251	11RA	45	109	100	100	0	0	ASH6_26M	0.500		0.090	1.2	0.87	0.34
35	310R	45	109	100	100	0.6	0.32					1.2	0.87	0.19
26	11RAT	45	109	100	100	0	0	2_6	1.000	0.917	2.800	1.2	0.87	4.63
36	310C	45	98	98	98	0.07	0.57					1.7	1.74	0.04
38	079C	45	98	98	98	0	0	3.1	1.520		0.046	1.7	1.74	0.07
2253	023C	45	98	98	98	0	0	4.1	30.000	1.040	0.320	1.7	1.74	0.53
39	310C	45	100	0	0	0.3	0.5					1.6	1.54	0.15
2252	273C	45	98	98	98	0	0	5.1	30.000	1.040	0.050	1.7	1.74	0.08
41	05LC	45	98	98	98	0	0	MC4				1.7	1.74	16.35

Pérdida de carga acumulada del segmento	Δp_t	[Pa]	: 6.04
Velocidad en la sección inicial del segmento	V_m	[m/s]	: 2.5
Velocidad en la sección final del segmento	V_v	[m/s]	: 1.7
Recuperación de presión estática del segmento	Δp_r	[Pa]	: 2.02
Pérdida de carga acumulada del segmento, considerando la recuperación	Δp_{tm}	[Pa]	: 3.93
Pérdida de carga acumulada neta – total acumulado	$\Sigma \Delta p_{tm}$	[Pa]	: 102.04
Desequilibrio del terminal respecto al camino más desfavorable	Δp_{Tmr}	[Pa]	: 93.83

SEGMENTO 40:

Tipo: Tramo

1 ELEMENTO		2 Caudal Q	3 Diam. D/D _e	4 Ancho A	5 Alto B	6 Long. L	7 $\Delta p/L$	8 Fuente Tab	9 Ashrae X	10 Ashrae Y	11 Coeff. C _o	12 Veloc. V	13 P.Dinám P _v	14 Pérdida Δp_r o Δp_e
N. pz.	Cod.	[m³/h]	[mm]	[mm]	[mm]	[m]	[Pa/m]	n.	-	-	-	[m/s]	[Pa]	[Pa]
2229	3736	12600	901	850	800	0	0	MC4	0.933		0.091	5.1	15.66	1.42
2313	283R	12600	872	850	750	0.19	0	5.1	30.000	1.070	0.050	5.5	18.21	8.51
168	310R	12600	872	850	750	1	0.38					5.5	18.21	0.38

Pérdida de carga acumulada del segmento	Δp_t	[Pa]	: 10.3
Velocidad en la sección inicial del segmento	V_m	[m/s]	: 5.2
Velocidad en la sección final del segmento	V_v	[m/s]	: 4.9
Recuperación de presión estática del segmento	Δp_r	[Pa]	: 1.82
Pérdida de carga acumulada del segmento, considerando la recuperación	Δp_{tm}	[Pa]	: 9.1
Pérdida de carga acumulada neta – total acumulado	$\Sigma \Delta p_{tm}$	[Pa]	: 65.98

SEGMENTO 60:

Tipo: Tramo

1 ELEMENTO		2 Caudal Q	3 Diam. D/D _e	4 Ancho A	5 Alto B	6 Long. L	7 $\Delta p/L$	8 Fuente Tab	9 Ashrae X	10 Ashrae Y	11 Coeff. C _o	12 Veloc. V	13 P.Dinám P _v	14 Pérdida Δp_r o Δp_e
N. pz.	Cod.	[m³/h]	[mm]	[mm]	[mm]	[m]	[Pa/m]	n.	-	-	-	[m/s]	[Pa]	[Pa]
2311	3736	450	341	150	750	0	0	MC4	0.036	0.176	16.200	1.1	0.73	11.85
2358	283R	450	164	150	150	1.14	0	5.1	30.000	5.000	0.040	5.6	18.88	0.74

243	310R	450	164	150	150	1.1	2.95					5.6	18.88	3.25
-----	------	-----	-----	-----	-----	-----	------	--	--	--	--	-----	-------	------

Pérdida de carga acumulada del segmento	Δp_t	[Pa]	: 15.85
Velocidad en la sección inicial del segmento	V_m	[m/s]	: 4.9
Velocidad en la sección final del segmento	V_v	[m/s]	: 3.3
Recuperación de presión estática del segmento	Δp_r	[Pa]	: 7.9
Pérdida de carga acumulada del segmento, considerando la recuperación	Δp_{tm}	[Pa]	: 9.25
Pérdida de carga acumulada neta – total acumulado	$\Sigma \Delta p_{tm}$	[Pa]	: 75.22

SEGMENTO 78:

Tipo: Terminal TRM-18

1 ELEMENTO		2 Caudal Q	3 Diam. D/D _e	4 Ancho A	5 Alto B	6 Long. L	7 $\Delta p_r/L$	8 Fuente Tab	9 Ashrae X	10 Ashrae Y	11 Coeff. C _o	12 Veloc. V	13 P.Dinám P _v	14 Pérdida Δp_r o Δp_e
N. pz.	Cod.	[m³/h]	[mm]	[mm]	[mm]	[m]	[Pa/m]	n.	-	-	-	[m/s]	[Pa]	[Pa]
2356	11RA	45	98	98	98	0	0	ASH6_26	0.100	0.298	1.070	1.7	1.74	7.18
309	310C	45	98	98	98	0.07	0.57					1.7	1.74	0.04
311	079C	45	98	98	98	0	0	3.1	1.520		0.046	1.7	1.74	0.07
2394	273C	45	75	0	0	0.02	0	5.1	30.000	1.710	0.050	2.8	4.72	0.24
312	310C	45	75	0	0	0.3	2.03					2.8	4.72	0.61
2393	023C	45	75	0	0	0.02	0	4.1	30.000	1.710	0.320	2.8	4.72	1.54
314	05LC	45	98	98	98	0	0	MC4				1.7	1.74	16.35

Pérdida de carga acumulada del segmento	Δp_t	[Pa]	: 9.68
Velocidad en la sección inicial del segmento	V_m	[m/s]	: 3.3
Velocidad en la sección final del segmento	V_v	[m/s]	: 1.7
Recuperación de presión estática del segmento	Δp_r	[Pa]	: 4.82
Pérdida de carga acumulada del segmento, considerando la recuperación	Δp_{tm}	[Pa]	: 5.18
Pérdida de carga acumulada neta – total acumulado	$\Sigma \Delta p_{tm}$	[Pa]	: 96.75
Desequilibrio del terminal respecto al camino más desfavorable	Δp_{Tmr}	[Pa]	: 99.12

SEGMENTO 77:

Tipo: Tramo

1 ELEMENTO		2 Caudal Q	3 Diam. D/D _e	4 Ancho A	5 Alto B	6 Long. L	7 $\Delta p_r/L$	8 Fuente Tab	9 Ashrae X	10 Ashrae Y	11 Coeff. C _o	12 Veloc. V	13 P.Dinám P _v	14 Pérdida Δp_r o Δp_e
N. pz.	Cod.	[m³/h]	[mm]	[mm]	[mm]	[m]	[Pa/m]	n.	-	-	-	[m/s]	[Pa]	[Pa]
2357	11RA	405	164	150	150	0	0	ASH6_26M	0.900		0.010	5	15.05	0.07
246	310R	405	164	150	150	0.6	2.43					5	15.05	1.46

Pérdida de carga acumulada del segmento	Δp_t	[Pa]	: 1.52
Velocidad en la sección inicial del segmento	V_m	[m/s]	: 3.3
Velocidad en la sección final del segmento	V_v	[m/s]	: 3
Recuperación de presión estática del segmento	Δp_r	[Pa]	: 1.14
Pérdida de carga acumulada del segmento, considerando la recuperación	Δp_{tm}	[Pa]	: 1.76
Pérdida de carga acumulada neta – total acumulado	$\Sigma \Delta p_{tm}$	[Pa]	: 76.98

SEGMENTO 76:

Tipo: Terminal TRM-19

1 ELEMENTO		2 Caudal Q	3 Diam. D/D _e	4 Ancho A	5 Alto B	6 Long. L	7 $\Delta p_r/L$	8 Fuente Tab	9 Ashrae X	10 Ashrae Y	11 Coeff. C _o	12 Veloc. V	13 P.Dinám P _v	14 Pérdida Δp_r o Δp_e
---------------	--	------------------	--------------------------------	-----------------	----------------	-----------------	---------------------	--------------------	------------------	-------------------	--------------------------------	-------------------	---------------------------------	--

N. pz.	Cod.	[m³/h]	[mm]	[mm]	[mm]	[m]	[Pa/m]	n.	-	-	-	[m/s]	[Pa]	[Pa]
2359	11RA	45	98	98	98	0	0	ASH6_26	0.111	0.332	1.110	1.7	1.74	6
303	310C	45	98	98	98	0.07	0.57					1.7	1.74	0.04
305	079C	45	98	98	98	0	0	3.1	1.520		0.046	1.7	1.74	0.07
2392	273C	45	75	0	0	0.02	0	5.1	30.000	1.710	0.050	2.8	4.72	0.24
306	310C	45	75	0	0	0.3	2.03					2.8	4.72	0.61
2391	023C	45	75	0	0	0.02	0	4.1	30.000	1.710	0.320	2.8	4.72	1.54
308	05LC	45	98	98	98	0	0	MC4				1.7	1.74	16.35

Pérdida de carga acumulada del segmento	Δp_t	[Pa] : 8.51
Velocidad en la sección inicial del segmento	V_m	[m/s] : 3
Velocidad en la sección final del segmento	V_v	[m/s] : 1.7
Recuperación de presión estática del segmento	Δp_r	[Pa] : 3.68
Pérdida de carga acumulada del segmento, considerando la recuperación	Δp_{tn}	[Pa] : 5.27
Pérdida de carga acumulada neta – total acumulado	$\Sigma \Delta p_{tn}$	[Pa] : 98.6
Desequilibrio del terminal respecto al camino más desfavorable	Δp_{Tmr}	[Pa] : 97.27

SEGMENTO 75:

Tipo: Tramo

1 ELEMENTO		2 Caudal Q	3 Diam. D/D _e	4 Ancho A	5 Alto B	6 Long. L	7 $\Delta p/L$	8 Fuente Tab	9 Ashrae X	10 Ashrae Y	11 Coeff. C _o	12 Veloc. V	13 P.Dinám P _v	14 Pérdida Δp_r o Δp_c
N. pz.	Cod.	[m³/h]	[mm]	[mm]	[mm]	[m]	[Pa/m]	n.	-	-	-	[m/s]	[Pa]	[Pa]
2360	11RA	360	164	150	150	0	0	ASH6_26M	0.889		0.011	4.4	11.65	0.06
247	310R	360	164	150	150	0.6	1.95					4.4	11.65	1.17

Pérdida de carga acumulada del segmento	Δp_t	[Pa] : 1.23
Velocidad en la sección inicial del segmento	V_m	[m/s] : 3
Velocidad en la sección final del segmento	V_v	[m/s] : 2.7
Recuperación de presión estática del segmento	Δp_r	[Pa] : 1.03
Pérdida de carga acumulada del segmento, considerando la recuperación	Δp_{tn}	[Pa] : 1.28
Pérdida de carga acumulada neta – total acumulado	$\Sigma \Delta p_{tn}$	[Pa] : 78.26

SEGMENTO 74:

Tipo: Terminal TRM-20

1 ELEMENTO		2 Caudal Q	3 Diam. D/D _e	4 Ancho A	5 Alto B	6 Long. L	7 $\Delta p/L$	8 Fuente Tab	9 Ashrae X	10 Ashrae Y	11 Coeff. C _o	12 Veloc. V	13 P.Dinám P _v	14 Pérdida Δp_r o Δp_c
N. pz.	Cod.	[m³/h]	[mm]	[mm]	[mm]	[m]	[Pa/m]	n.	-	-	-	[m/s]	[Pa]	[Pa]
2361	11RA	45	98	98	98	0	0	ASH6_26	0.125	0.373	1.140	1.7	1.74	4.88
297	310C	45	98	98	98	0.07	0.57					1.7	1.74	0.04
299	079C	45	98	98	98	0	0	3.1	1.520		0.046	1.7	1.74	0.07
2390	273C	45	75	0	0	0.02	0	5.1	30.000	1.710	0.050	2.8	4.72	0.24
300	310C	45	75	0	0	0.3	2.03					2.8	4.72	0.61
2389	023C	45	75	0	0	0.02	0	4.1	30.000	1.710	0.320	2.8	4.72	1.54
302	05LC	45	98	98	98	0	0	MC4				1.7	1.74	16.35

Pérdida de carga acumulada del segmento	Δp_t	[Pa] : 7.38
Velocidad en la sección inicial del segmento	V_m	[m/s] : 2.7
Velocidad en la sección final del segmento	V_v	[m/s] : 1.7
Recuperación de presión estática del segmento	Δp_r	[Pa] : 2.65
Pérdida de carga acumulada del segmento, considerando la recuperación	Δp_{tn}	[Pa] : 5.28
Pérdida de carga acumulada neta – total acumulado	$\Sigma \Delta p_{tn}$	[Pa] : 99.89
Desequilibrio del terminal respecto al camino más desfavorable	Δp_{Tmr}	[Pa] : 95.98

SEGMENTO 73:

Tipo: Tramo

1 ELEMENTO		2 Caudal Q	3 Diam. D/D _e	4 Ancho A	5 Alto B	6 Long. L	7 $\Delta p/L$	8 Fuente Tab	9 Ashrae X	10 Ashrae Y	11 Coeff. C _o	12 Veloc. V	13 P.Dinám P _v	14 Pérdida Δp_r o Δp_c
N. pz.	Cod.	[m³/h]	[mm]	[mm]	[mm]	[m]	[Pa/m]	n.	-	-	-	[m/s]	[Pa]	[Pa]
2362	11RA	315	164	150	150	0	0	ASH6_26M	0.875		0.012	3.9	9.16	0.05
248	310R	315	164	150	150	0.6	1.52					3.9	9.16	0.91

Pérdida de carga acumulada del segmento

Δp_t [Pa] : 0.97

Velocidad en la sección inicial del segmento

V_m [m/s] : 2.7

Velocidad en la sección final del segmento

V_v [m/s] : 2.3

Recuperación de presión estática del segmento

Δp_r [Pa] : 1.2

Pérdida de carga acumulada del segmento, considerando la recuperación

Δp_{tn} [Pa] : 0.87

Pérdida de carga acumulada neta – total acumulado

$\Sigma \Delta p_{tn}$ [Pa] : 79.13

SEGMENTO 72:

Tipo: Terminal TRM-21

1 ELEMENTO		2 Caudal Q	3 Diam. D/D _e	4 Ancho A	5 Alto B	6 Long. L	7 $\Delta p/L$	8 Fuente Tab	9 Ashrae X	10 Ashrae Y	11 Coeff. C _o	12 Veloc. V	13 P.Dinám P _v	14 Pérdida Δp_r o Δp_c
N. pz.	Cod.	[m³/h]	[mm]	[mm]	[mm]	[m]	[Pa/m]	n.	-	-	-	[m/s]	[Pa]	[Pa]
2363	11RA	45	98	98	98	0	0	ASH6_26	0.143	0.426	1.190	1.7	1.74	3.88
291	310C	45	98	98	98	0.07	0.57					1.7	1.74	0.04
293	079C	45	98	98	98	0	0	3.1	1.520		0.046	1.7	1.74	0.07
2388	273C	45	75	0	0	0.02	0	5.1	30.000	1.710	0.050	2.8	4.72	0.24
294	310C	45	75	0	0	0.3	2.03					2.8	4.72	0.61
2387	023C	45	75	0	0	0.02	0	4.1	30.000	1.710	0.320	2.8	4.72	1.54
296	05LC	45	98	98	98	0	0	MC4				1.7	1.74	16.35

Pérdida de carga acumulada del segmento

Δp_t [Pa] : 6.39

Velocidad en la sección inicial del segmento

V_m [m/s] : 2.3

Velocidad en la sección final del segmento

V_v [m/s] : 1.7

Recuperación de presión estática del segmento

Δp_r [Pa] : 1.44

Pérdida de carga acumulada del segmento, considerando la recuperación

Δp_{tn} [Pa] : 5.29

Pérdida de carga acumulada neta – total acumulado

$\Sigma \Delta p_{tn}$ [Pa] : 100.78

Desequilibrio del terminal respecto al camino más desfavorable

Δp_{Tmr} [Pa] : 95.09

SEGMENTO 71:

Tipo: Tramo

1 ELEMENTO		2 Caudal Q	3 Diam. D/D _e	4 Ancho A	5 Alto B	6 Long. L	7 $\Delta p/L$	8 Fuente Tab	9 Ashrae X	10 Ashrae Y	11 Coeff. C _o	12 Veloc. V	13 P.Dinám P _v	14 Pérdida Δp_r o Δp_c
N. pz.	Cod.	[m³/h]	[mm]	[mm]	[mm]	[m]	[Pa/m]	n.	-	-	-	[m/s]	[Pa]	[Pa]
2364	11RA	270	164	150	150	0	0	ASH6_26M	0.857		0.014	3.3	6.56	0.05
249	310R	270	164	150	150	0.6	1.15					3.3	6.56	0.69

Pérdida de carga acumulada del segmento

Δp_t [Pa] : 0.73

Velocidad en la sección inicial del segmento

V_m [m/s] : 2.3

Velocidad en la sección final del segmento

V_v [m/s] : 2

Recuperación de presión estática del segmento	Δp_r	[Pa] : 0.78
Pérdida de carga acumulada del segmento, considerando la recuperación	Δp_{tn}	[Pa] : 0.53
Pérdida de carga acumulada neta – total acumulado	$\Sigma \Delta p_{tn}$	[Pa] : 79.67

SEGMENTO 70:

Tipo: Terminal TRM-22

1 ELEMENTO		2 Caudal Q	3 Diam. D/D _e	4 Ancho A	5 Alto B	6 Long. L	7 $\Delta p/L$	8 Fuente Tab	9 Ashrae X	10 Ashrae Y	11 Coeff. C _o	12 Veloc. V	13 P.Dinám P _v	14 Pérdida Δp_r o Δp_c
N. pz.	Cod.	[m³/h]	[mm]	[mm]	[mm]	[m]	[Pa/m]	n.	-	-	-	[m/s]	[Pa]	[Pa]
2365	11RA	45	98	98	98	0	0	ASH6_26	0.167	0.497	1.280	1.7	1.74	3.08
285	310C	45	98	98	98	0.07	0.57					1.7	1.74	0.04
287	079C	45	98	98	98	0	0	3.1	1.520		0.046	1.7	1.74	0.07
2386	273C	45	75	0	0	0.02	0	5.1	30.000	1.710	0.050	2.8	4.72	0.24
288	310C	45	75	0	0	0.3	2.03					2.8	4.72	0.61
2385	023C	45	75	0	0	0.02	0	4.1	30.000	1.710	0.320	2.8	4.72	1.54
290	05LC	45	98	98	98	0	0	MC4				1.7	1.74	16.35

Pérdida de carga acumulada del segmento	Δp_t	[Pa] : 5.59
Velocidad en la sección inicial del segmento	V_m	[m/s] : 2
Velocidad en la sección final del segmento	V_v	[m/s] : 1.7
Recuperación de presión estática del segmento	Δp_r	[Pa] : 0.67
Pérdida de carga acumulada del segmento, considerando la recuperación	Δp_{tn}	[Pa] : 5.36
Pérdida de carga acumulada neta – total acumulado	$\Sigma \Delta p_{tn}$	[Pa] : 101.37
Desequilibrio del terminal respecto al camino más desfavorable	Δp_{Tmr}	[Pa] : 94.5

SEGMENTO 69:

Tipo: Tramo

1 ELEMENTO		2 Caudal Q	3 Diam. D/D _e	4 Ancho A	5 Alto B	6 Long. L	7 $\Delta p/L$	8 Fuente Tab	9 Ashrae X	10 Ashrae Y	11 Coeff. C _o	12 Veloc. V	13 P.Dinám P _v	14 Pérdida Δp_r o Δp_c
N. pz.	Cod.	[m³/h]	[mm]	[mm]	[mm]	[m]	[Pa/m]	n.	-	-	-	[m/s]	[Pa]	[Pa]
2366	11RA	225	164	150	150	0	0	ASH6_26M	0.833		0.017	2.8	4.72	0.04
250	310R	225	164	150	150	0.6	0.82					2.8	4.72	0.49

Pérdida de carga acumulada del segmento	Δp_t	[Pa] : 0.53
Velocidad en la sección inicial del segmento	V_m	[m/s] : 2
Velocidad en la sección final del segmento	V_v	[m/s] : 3.1
Recuperación de presión estática del segmento	Δp_r	[Pa] : -3.38
Pérdida de carga acumulada del segmento, considerando la recuperación	Δp_{tn}	[Pa] : 4.53
Pérdida de carga acumulada neta – total acumulado	$\Sigma \Delta p_{tn}$	[Pa] : 84.2

SEGMENTO 68:

Tipo: Terminal TRM-22

1 ELEMENTO		2 Caudal Q	3 Diam. D/D _e	4 Ancho A	5 Alto B	6 Long. L	7 $\Delta p/L$	8 Fuente Tab	9 Ashrae X	10 Ashrae Y	11 Coeff. C _o	12 Veloc. V	13 P.Dinám P _v	14 Pérdida Δp_r o Δp_c
N. pz.	Cod.	[m³/h]	[mm]	[mm]	[mm]	[m]	[Pa/m]	n.	-	-	-	[m/s]	[Pa]	[Pa]
2367	11RA	45	98	98	98	0	0	ASH6_26	0.200	0.597	1.090	1.7	1.74	6.41
279	310C	45	98	98	98	0.07	0.57					1.7	1.74	0.04
281	079C	45	98	98	98	0	0	3.1	1.520		0.046	1.7	1.74	0.07
2384	273C	45	75	0	0	0.02	0	5.1	30.000	1.710	0.050	2.8	4.72	0.24
282	310C	45	75	0	0	0.3	2.03					2.8	4.72	0.61

2383	023C	45	75	0	0	0.02	0	4.1	30.000	1.710	0.320	2.8	4.72	1.54
284	05LC	45	98	98	98	0	0	MC4				1.7	1.74	16.35

Pérdida de carga acumulada del segmento	Δp_t	[Pa]	: 8.91
Velocidad en la sección inicial del segmento	V_m	[m/s]	: 3.1
Velocidad en la sección final del segmento	V_v	[m/s]	: 1.7
Recuperación de presión estática del segmento	Δp_r	[Pa]	: 4.05
Pérdida de carga acumulada del segmento, considerando la recuperación	Δp_{tm}	[Pa]	: 5.21
Pérdida de carga acumulada neta – total acumulado	$\Sigma \Delta p_{tm}$	[Pa]	: 105.76
Desequilibrio del terminal respecto al camino más desfavorable	Δp_{Tmr}	[Pa]	: 90.11

SEGMENTO 67:

Tipo: Tramo

1 ELEMENTO		2 Caudal Q	3 Diam. D/D _e	4 Ancho A	5 Alto B	6 Long. L	7 $\Delta p/L$	8 Fuente Tab	9 Ashrae X	10 Ashrae Y	11 Coeff. C _o	12 Veloc. V	13 P.Dinám P _v	14 Pérdida Δp_r o Δp_e
N. pz.	Cod.	[m³/h]	[mm]	[mm]	[mm]	[m]	[Pa/m]	n.	-	-	-	[m/s]	[Pa]	[Pa]
2368	11RA	180	164	150	150	0	0	ASH6_26M	0.800		0.020	2.2	2.91	0.12
251	310R	180	164	150	150	0.6	0.55					2.2	2.91	0.33

Pérdida de carga acumulada del segmento	Δp_t	[Pa]	: 0.45
Velocidad en la sección inicial del segmento	V_m	[m/s]	: 3.1
Velocidad en la sección final del segmento	V_v	[m/s]	: 2.5
Recuperación de presión estática del segmento	Δp_r	[Pa]	: 2.02
Pérdida de carga acumulada del segmento, considerando la recuperación	Δp_{tm}	[Pa]	: -0.35
Pérdida de carga acumulada neta – total acumulado	$\Sigma \Delta p_{tm}$	[Pa]	: 83.84

SEGMENTO 66:

Tipo: Terminal TRM-24

1 ELEMENTO		2 Caudal Q	3 Diam. D/D _e	4 Ancho A	5 Alto B	6 Long. L	7 $\Delta p/L$	8 Fuente Tab	9 Ashrae X	10 Ashrae Y	11 Coeff. C _o	12 Veloc. V	13 P.Dinám P _v	14 Pérdida Δp_r o Δp_e
N. pz.	Cod.	[m³/h]	[mm]	[mm]	[mm]	[m]	[Pa/m]	n.	-	-	-	[m/s]	[Pa]	[Pa]
2369	11RA	45	98	98	98	0	0	ASH6_26	0.250	0.746	1.130	1.7	1.74	4.25
273	310C	45	98	98	98	0.07	0.57					1.7	1.74	0.04
275	079C	45	98	98	98	0	0	3.1	1.520		0.046	1.7	1.74	0.07
2382	273C	45	75	0	0	0.02	0	5.1	30.000	1.710	0.050	2.8	4.72	0.24
276	310C	45	75	0	0	0.3	2.03					2.8	4.72	0.61
2381	023C	45	75	0	0	0.02	0	4.1	30.000	1.710	0.320	2.8	4.72	1.54
278	05LC	45	98	98	98	0	0	MC4				1.7	1.74	16.35

Pérdida de carga acumulada del segmento	Δp_t	[Pa]	: 6.76
Velocidad en la sección inicial del segmento	V_m	[m/s]	: 2.5
Velocidad en la sección final del segmento	V_v	[m/s]	: 1.7
Recuperación de presión estática del segmento	Δp_r	[Pa]	: 2.02
Pérdida de carga acumulada del segmento, considerando la recuperación	Δp_{tm}	[Pa]	: 5.17
Pérdida de carga acumulada neta – total acumulado	$\Sigma \Delta p_{tm}$	[Pa]	: 105.36
Desequilibrio del terminal respecto al camino más desfavorable	Δp_{Tmr}	[Pa]	: 90.51

SEGMENTO 65:

Tipo: Tramo

1	2	3	4	5	6	7	8	9	10	11	12	13	14
---	---	---	---	---	---	---	---	---	----	----	----	----	----

ELEMENTO		Caudal Q	Diam. D/D _e	Ancho A	Alto B	Long. L	Δp/L	Fuente Tab	Ashrae X	Ashrae Y	Coeff. C _o	Veloc. V	P.Dinám P _v	Pérdida Δp _r o Δp _c
N. pz.	Cod.	[m³/h]	[mm]	[mm]	[mm]	[m]	[Pa/m]	n.	-	-	-	[m/s]	[Pa]	[Pa]
2370	11RA	135	164	150	150	0	0	ASH6_26M	0.750		0.030	1.7	1.74	0.11
252	310R	135	164	150	150	0.6	0.32					1.7	1.74	0.19

Pérdida de carga acumulada del segmento	Δp _t	[Pa]	: 0.31
Velocidad en la sección inicial del segmento	V _m	[m/s]	: 2.5
Velocidad en la sección final del segmento	V _v	[m/s]	: 2.5
Recuperación de presión estática del segmento	Δp _r	[Pa]	: 0
Pérdida de carga acumulada del segmento, considerando la recuperación	Δp _{tn}	[Pa]	: 1.13
Pérdida de carga acumulada neta – total acumulado	ΣΔp _{tn}	[Pa]	: 84.97

SEGMENTO 64:

Tipo: Terminal TRM-25

1 ELEMENTO		2 Caudal Q	3 Diam. D/D _e	4 Ancho A	5 Alto B	6 Long. L	7 Δp/L	8 Fuente Tab	9 Ashrae X	10 Ashrae Y	11 Coeff. C _o	12 Veloc. V	13 P.Dinám P _v	14 Pérdida Δp _r o Δp _c
N. pz.	Cod.	[m³/h]	[mm]	[mm]	[mm]	[m]	[Pa/m]	n.	-	-	-	[m/s]	[Pa]	[Pa]
2371	11RA	45	98	98	98	0	0	ASH6_26	0.333	0.995	1.110	1.7	1.74	4.16
267	310C	45	98	98	98	0.07	0.57					1.7	1.74	0.04
269	079C	45	98	98	98	0	0	3.1	1.520		0.046	1.7	1.74	0.07
2380	273C	45	75	0	0	0.02	0	5.1	30.000	1.710	0.050	2.8	4.72	0.24
270	310C	45	75	0	0	0.3	2.03					2.8	4.72	0.61
2379	023C	45	75	0	0	0.02	0	4.1	30.000	1.710	0.320	2.8	4.72	1.54
272	05LC	45	98	98	98	0	0	MC4				1.7	1.74	16.35

Pérdida de carga acumulada del segmento	Δp _t	[Pa]	: 6.66
Velocidad en la sección inicial del segmento	V _m	[m/s]	: 2.5
Velocidad en la sección final del segmento	V _v	[m/s]	: 1.7
Recuperación de presión estática del segmento	Δp _r	[Pa]	: 2.02
Pérdida de carga acumulada del segmento, considerando la recuperación	Δp _{tn}	[Pa]	: 5.08
Pérdida de carga acumulada neta – total acumulado	ΣΔp _{tn}	[Pa]	: 106.4
Desequilibrio del terminal respecto al camino más desfavorable	Δp _{Tmr}	[Pa]	: 89.47

SEGMENTO 63:

Tipo: Tramo

1 ELEMENTO		2 Caudal Q	3 Diam. D/D _e	4 Ancho A	5 Alto B	6 Long. L	7 Δp/L	8 Fuente Tab	9 Ashrae X	10 Ashrae Y	11 Coeff. C _o	12 Veloc. V	13 P.Dinám P _v	14 Pérdida Δp _r o Δp _c
N. pz.	Cod.	[m³/h]	[mm]	[mm]	[mm]	[m]	[Pa/m]	n.	-	-	-	[m/s]	[Pa]	[Pa]
2372	11RA	90	164	150	150	0	0	ASH6_26M	0.667		0.047	1.1	0.73	0.18
253	310R	90	164	150	150	0.6	0.15					1.1	0.73	0.09

Pérdida de carga acumulada del segmento	Δp _t	[Pa]	: 0.27
Velocidad en la sección inicial del segmento	V _m	[m/s]	: 2.5
Velocidad en la sección final del segmento	V _v	[m/s]	: 2.5
Recuperación de presión estática del segmento	Δp _r	[Pa]	: 0
Pérdida de carga acumulada del segmento, considerando la recuperación	Δp _{tn}	[Pa]	: 0.95
Pérdida de carga acumulada neta – total acumulado	ΣΔp _{tn}	[Pa]	: 85.93

SEGMENTO 62:

Tipo: Terminal TRM-26

1 ELEMENTO		2 Caudal Q	3 Diam. D/D _e	4 Ancho A	5 Alto B	6 Long. L	7 $\Delta p/L$	8 Fuente Tab	9 Ashrae X	10 Ashrae Y	11 Coeff. C _o	12 Veloc. V	13 P.Dinám P _v	14 Pérdida Δp_r o Δp_c
N. pz.	Cod.	[m³/h]	[mm]	[mm]	[mm]	[m]	[Pa/m]	n.	-	-	-	[m/s]	[Pa]	[Pa]
2373	11RA	45	98	98	98	0	0	ASH6_26	0.500	1.490	1.260	1.7	1.74	4.74
261	310C	45	98	98	98	0.07	0.57					1.7	1.74	0.04
263	079C	45	98	98	98	0	0	3.1	1.520		0.046	1.7	1.74	0.07
2378	273C	45	75	0	0	0.02	0	5.1	30.000	1.710	0.050	2.8	4.72	0.24
264	310C	45	75	0	0	0.3	2.03					2.8	4.72	0.61
2377	023C	45	75	0	0	0.02	0	4.1	30.000	1.710	0.320	2.8	4.72	1.54
266	05LC	45	98	98	98	0	0	MC4				1.7	1.74	16.35

Pérdida de carga acumulada del segmento	Δp_t	[Pa]	: 7.25
Velocidad en la sección inicial del segmento	V_m	[m/s]	: 2.5
Velocidad en la sección final del segmento	V_v	[m/s]	: 1.7
Recuperación de presión estática del segmento	Δp_r	[Pa]	: 2.02
Pérdida de carga acumulada del segmento, considerando la recuperación	Δp_{tm}	[Pa]	: 5.67
Pérdida de carga acumulada neta – total acumulado	$\Sigma \Delta p_{tm}$	[Pa]	: 107.94
Desequilibrio del terminal respecto al camino más desfavorable	Δp_{Tmr}	[Pa]	: 87.93

SEGMENTO 61:

Tipo: Terminal TRM-27

1 ELEMENTO		2 Caudal Q	3 Diam. D/D _e	4 Ancho A	5 Alto B	6 Long. L	7 $\Delta p/L$	8 Fuente Tab	9 Ashrae X	10 Ashrae Y	11 Coeff. C _o	12 Veloc. V	13 P.Dinám P _v	14 Pérdida Δp_r o Δp_c
N. pz.	Cod.	[m³/h]	[mm]	[mm]	[mm]	[m]	[Pa/m]	n.	-	-	-	[m/s]	[Pa]	[Pa]
2374	11RA	45	164	150	150	0	0	ASH6_26M	0.500		0.090	0.6	0.22	0.34
254	310R	45	164	150	150	0.6	0.05					0.6	0.22	0.03
245	11RAT	45	164	150	150	0	0	2_6	1.000	0.915	2.800	0.6	0.22	0
255	310C	45	98	98	98	0.07	0.57					1.7	1.74	0.04
257	079C	45	98	98	98	0	0	3.1	1.520		0.046	1.7	1.74	0.07
2376	023C	45	98	98	98	0	0	4.1	30.000	1.040	0.320	1.7	1.74	0.53
258	310C	45	100	0	0	0.3	0.5					1.6	1.54	0.15
2375	273C	45	98	98	98	0	0	5.1	30.000	1.040	0.050	1.7	1.74	0.08
260	05LC	45	98	98	98	0	0	MC4				1.7	1.74	16.35

Pérdida de carga acumulada del segmento	Δp_t	[Pa]	: 1.24
Velocidad en la sección inicial del segmento	V_m	[m/s]	: 2.5
Velocidad en la sección final del segmento	V_v	[m/s]	: 1.7
Recuperación de presión estática del segmento	Δp_r	[Pa]	: 2.02
Pérdida de carga acumulada del segmento, considerando la recuperación	Δp_{tm}	[Pa]	: -0.55
Pérdida de carga acumulada neta – total acumulado	$\Sigma \Delta p_{tm}$	[Pa]	: 101.72
Desequilibrio del terminal respecto al camino más desfavorable	Δp_{Tmr}	[Pa]	: 94.15

SEGMENTO 59:

Tipo: Tramo

1 ELEMENTO		2 Caudal Q	3 Diam. D/D _e	4 Ancho A	5 Alto B	6 Long. L	7 $\Delta p/L$	8 Fuente Tab	9 Ashrae X	10 Ashrae Y	11 Coeff. C _o	12 Veloc. V	13 P.Dinám P _v	14 Pérdida Δp_r o Δp_c
N. pz.	Cod.	[m³/h]	[mm]	[mm]	[mm]	[m]	[Pa/m]	n.	-	-	-	[m/s]	[Pa]	[Pa]
172	3736	450	457	250	750	0	0	MC4	0.036	0.294	51.100	0.7	0.29	14.82
2316	283R	450	210	250	150	1.14	0	5.1	30.000	5.000	0.040	3.3	6.56	0.27
171	310R	450	210	250	150	1.05	0.87					3.3	6.56	0.91

Pérdida de carga acumulada del segmento	Δp_t	[Pa]	: 16
Velocidad en la sección inicial del segmento	V_m	[m/s]	: 4.9
Velocidad en la sección final del segmento	V_v	[m/s]	: 3.3
Recuperación de presión estática del segmento	Δp_r	[Pa]	: 7.9
Pérdida de carga acumulada del segmento, considerando la recuperación	Δp_{tn}	[Pa]	: 8.46
Pérdida de carga acumulada neta – total acumulado	$\Sigma \Delta p_{tn}$	[Pa]	: 74.44

SEGMENTO 58:

Tipo: Terminal TRM-46

1 ELEMENTO		2 Caudal Q	3 Diam. D/D _e	4 Ancho A	5 Alto B	6 Long. L	7 $\Delta p/L$	8 Fuente Tab	9 Ashrae X	10 Ashrae Y	11 Coeff. C _o	12 Veloc. V	13 P.Dinám P _v	14 Pérdida Δp_r o Δp_c
N. pz.	Cod.	[m³/h]	[mm]	[mm]	[mm]	[m]	[Pa/m]	n.	-	-	-	[m/s]	[Pa]	[Pa]
2314	11RA	45	98	98	98	0	0	ASH6_26	0.100	0.497	1.070	1.7	1.74	7.18
237	310C	45	98	98	98	0.07	0.57					1.7	1.74	0.04
239	079C	45	98	98	98	0	0	3.1	1.520		0.046	1.7	1.74	0.07
2355	273C	45	75	0	0	0.02	0	5.1	30.000	1.710	0.050	2.8	4.72	0.24
240	310C	45	75	0	0	0.3	2.03					2.8	4.72	0.61
2354	023C	45	75	0	0	0.02	0	4.1	30.000	1.710	0.320	2.8	4.72	1.54
242	05LC	45	98	98	98	0	0	MC4				1.7	1.74	16.35

Pérdida de carga acumulada del segmento	Δp_t	[Pa]	: 9.68
Velocidad en la sección inicial del segmento	V_m	[m/s]	: 3.3
Velocidad en la sección final del segmento	V_v	[m/s]	: 1.7
Recuperación de presión estática del segmento	Δp_r	[Pa]	: 4.82
Pérdida de carga acumulada del segmento, considerando la recuperación	Δp_{tn}	[Pa]	: 5.18
Pérdida de carga acumulada neta – total acumulado	$\Sigma \Delta p_{tn}$	[Pa]	: 95.96
Desequilibrio del terminal respecto al camino más desfavorable	Δp_{Tmr}	[Pa]	: 99.9

SEGMENTO 57:

Tipo: Tramo

1 ELEMENTO		2 Caudal Q	3 Diam. D/D _e	4 Ancho A	5 Alto B	6 Long. L	7 $\Delta p/L$	8 Fuente Tab	9 Ashrae X	10 Ashrae Y	11 Coeff. C _o	12 Veloc. V	13 P.Dinám P _v	14 Pérdida Δp_r o Δp_c
N. pz.	Cod.	[m³/h]	[mm]	[mm]	[mm]	[m]	[Pa/m]	n.	-	-	-	[m/s]	[Pa]	[Pa]
2315	11RA	405	210	250	150	0	0	ASH6_26M	0.900		0.010	3	5.42	0.07
2319	283R	405	152	200	100	0.19	0	5.1	30.000	1.880	0.050	5.6	18.88	0.95
174	310R	405	152	200	100	0.6	3.53					5.6	18.88	2.12

Pérdida de carga acumulada del segmento	Δp_t	[Pa]	: 3.14
Velocidad en la sección inicial del segmento	V_m	[m/s]	: 3.3
Velocidad en la sección final del segmento	V_v	[m/s]	: 5.6
Recuperación de presión estática del segmento	Δp_r	[Pa]	: -12.32
Pérdida de carga acumulada del segmento, considerando la recuperación	Δp_{tn}	[Pa]	: 15.5
Pérdida de carga acumulada neta – total acumulado	$\Sigma \Delta p_{tn}$	[Pa]	: 89.94

SEGMENTO 56:

Tipo: Terminal TRM-46

1 ELEMENTO		2 Caudal Q	3 Diam. D/D _e	4 Ancho A	5 Alto B	6 Long. L	7 $\Delta p/L$	8 Fuente Tab	9 Ashrae X	10 Ashrae Y	11 Coeff. C _o	12 Veloc. V	13 P.Dinám P _v	14 Pérdida Δp_r o Δp_c
N. pz.	Cod.	[m³/h]	[mm]	[mm]	[mm]	[m]	[Pa/m]	n.	-	-	-	[m/s]	[Pa]	[Pa]

2317	11RA	45	98	98	98	0	0	ASH6_26	0.111	0.295	1.010	1.7	1.74	19.28
231	310C	45	98	98	98	0.07	0.57					1.7	1.74	0.04
233	079C	45	98	98	98	0	0	3.1	1.520		0.046	1.7	1.74	0.07
2353	273C	45	75	0	0	0.02	0	5.1	30.000	1.710	0.050	2.8	4.72	0.24
234	310C	45	75	0	0	0.3	2.03					2.8	4.72	0.61
2352	023C	45	75	0	0	0.02	0	4.1	30.000	1.710	0.320	2.8	4.72	1.54
236	05LC	45	98	98	98	0	0	MC4				1.7	1.74	16.35

Pérdida de carga acumulada del segmento	Δp_t	[Pa]	: 21.78
Velocidad en la sección inicial del segmento	V_m	[m/s]	: 5.6
Velocidad en la sección final del segmento	V_v	[m/s]	: 1.7
Recuperación de presión estática del segmento	Δp_r	[Pa]	: 17.14
Pérdida de carga acumulada del segmento, considerando la recuperación	Δp_{tm}	[Pa]	: 4.92
Pérdida de carga acumulada neta – total acumulado	$\Sigma \Delta p_{tm}$	[Pa]	: 111.2
Desequilibrio del terminal respecto al camino más desfavorable	Δp_{Tmr}	[Pa]	: 84.67

SEGMENTO 55:

Tipo: Tramo

1 ELEMENTO		2 Caudal Q	3 Diam. D/D _e	4 Ancho A	5 Alto B	6 Long. L	7 $\Delta p/L$	8 Fuente Tab	9 Ashrae X	10 Ashrae Y	11 Coeff. C _o	12 Veloc. V	13 P.Dinám P _v	14 Pérdida Δp_r o Δp_e
N. pz.	Cod.	[m³/h]	[mm]	[mm]	[mm]	[m]	[Pa/m]	n.	-	-	-	[m/s]	[Pa]	[Pa]
2318	11RA	360	152	200	100	0	0	ASH6_26M	0.889		0.011	5	15.05	0.21
175	310R	360	152	200	100	0.6	2.85					5	15.05	1.71

Pérdida de carga acumulada del segmento	Δp_t	[Pa]	: 1.92
Velocidad en la sección inicial del segmento	V_m	[m/s]	: 5.6
Velocidad en la sección final del segmento	V_v	[m/s]	: 5
Recuperación de presión estática del segmento	Δp_r	[Pa]	: 3.83
Pérdida de carga acumulada del segmento, considerando la recuperación	Δp_{tm}	[Pa]	: -2.08
Pérdida de carga acumulada neta – total acumulado	$\Sigma \Delta p_{tm}$	[Pa]	: 87.86

SEGMENTO 54:

Tipo: Terminal TRM-46

1 ELEMENTO		2 Caudal Q	3 Diam. D/D _e	4 Ancho A	5 Alto B	6 Long. L	7 $\Delta p/L$	8 Fuente Tab	9 Ashrae X	10 Ashrae Y	11 Coeff. C _o	12 Veloc. V	13 P.Dinám P _v	14 Pérdida Δp_r o Δp_e
N. pz.	Cod.	[m³/h]	[mm]	[mm]	[mm]	[m]	[Pa/m]	n.	-	-	-	[m/s]	[Pa]	[Pa]
2320	11RA	45	98	98	98	0	0	ASH6_26	0.125	0.332	1.020	1.7	1.74	15.39
225	310C	45	98	98	98	0.07	0.57					1.7	1.74	0.04
227	079C	45	98	98	98	0	0	3.1	1.520		0.046	1.7	1.74	0.07
2351	273C	45	75	0	0	0.02	0	5.1	30.000	1.710	0.050	2.8	4.72	0.24
228	310C	45	75	0	0	0.3	2.03					2.8	4.72	0.61
2350	023C	45	75	0	0	0.02	0	4.1	30.000	1.710	0.320	2.8	4.72	1.54
230	05LC	45	98	98	98	0	0	MC4				1.7	1.74	16.35

Pérdida de carga acumulada del segmento	Δp_t	[Pa]	: 17.89
Velocidad en la sección inicial del segmento	V_m	[m/s]	: 5
Velocidad en la sección final del segmento	V_v	[m/s]	: 1.7
Recuperación de presión estática del segmento	Δp_r	[Pa]	: 13.31
Pérdida de carga acumulada del segmento, considerando la recuperación	Δp_{tm}	[Pa]	: 5.03
Pérdida de carga acumulada neta – total acumulado	$\Sigma \Delta p_{tm}$	[Pa]	: 109.23
Desequilibrio del terminal respecto al camino más desfavorable	Δp_{Tmr}	[Pa]	: 86.64

SEGMENTO 53:

Tipo: Tramo

1 ELEMENTO		2 Caudal Q	3 Diam. D/D _e	4 Ancho A	5 Alto B	6 Long. L	7 $\Delta p/L$	8 Fuente Tab	9 Ashrae X	10 Ashrae Y	11 Coeff. C _o	12 Veloc. V	13 P.Dinám P _v	14 Pérdida Δp_r o Δp_c
N. pz.	Cod.	[m³/h]	[mm]	[mm]	[mm]	[m]	[Pa/m]	n.	-	-	-	[m/s]	[Pa]	[Pa]
2321	11RA	315	152	200	100	0	0	ASH6_26M	0.875		0.012	4.4	11.65	0.19
2324	283R	315	133	150	100	0.14	0	5.1	30.000	1.330	0.050	5.8	20.25	1.02
176	310R	315	133	150	100	0.6	4.32					5.8	20.25	2.59

Pérdida de carga acumulada del segmento

Δp_t [Pa] : 3.8

Velocidad en la sección inicial del segmento

V_m [m/s] : 5

Velocidad en la sección final del segmento

V_v [m/s] : 5.8

Recuperación de presión estática del segmento

Δp_r [Pa] : -5.2

Pérdida de carga acumulada del segmento, considerando la recuperación

Δp_{tn} [Pa] : 9.24

Pérdida de carga acumulada neta – total acumulado

$\Sigma \Delta p_{tn}$ [Pa] : 97.1

SEGMENTO 52:

Tipo: Terminal TRM-46

1 ELEMENTO		2 Caudal Q	3 Diam. D/D _e	4 Ancho A	5 Alto B	6 Long. L	7 $\Delta p/L$	8 Fuente Tab	9 Ashrae X	10 Ashrae Y	11 Coeff. C _o	12 Veloc. V	13 P.Dinám P _v	14 Pérdida Δp_r o Δp_c
N. pz.	Cod.	[m³/h]	[mm]	[mm]	[mm]	[m]	[Pa/m]	n.	-	-	-	[m/s]	[Pa]	[Pa]
2322	11RA	45	98	98	98	0	0	ASH6_26	0.143	0.284	1.030	1.7	1.74	21.15
219	310C	45	98	98	98	0.07	0.57					1.7	1.74	0.04
221	079C	45	98	98	98	0	0	3.1	1.520		0.046	1.7	1.74	0.07
2349	273C	45	75	0	0	0.02	0	5.1	30.000	1.710	0.050	2.8	4.72	0.24
222	310C	45	75	0	0	0.3	2.03					2.8	4.72	0.61
2348	023C	45	75	0	0	0.02	0	4.1	30.000	1.710	0.320	2.8	4.72	1.54
224	05LC	45	98	98	98	0	0	MC4				1.7	1.74	16.35

Pérdida de carga acumulada del segmento

Δp_t [Pa] : 23.65

Velocidad en la sección inicial del segmento

V_m [m/s] : 5.8

Velocidad en la sección final del segmento

V_v [m/s] : 1.7

Recuperación de presión estática del segmento

Δp_r [Pa] : 18.51

Pérdida de carga acumulada del segmento, considerando la recuperación

Δp_{tn} [Pa] : 5.35

Pérdida de carga acumulada neta – total acumulado

$\Sigma \Delta p_{tn}$ [Pa] : 118.79

Desequilibrio del terminal respecto al camino más desfavorable

Δp_{Tmr} [Pa] : 77.08

SEGMENTO 51:

Tipo: Tramo

1 ELEMENTO		2 Caudal Q	3 Diam. D/D _e	4 Ancho A	5 Alto B	6 Long. L	7 $\Delta p/L$	8 Fuente Tab	9 Ashrae X	10 Ashrae Y	11 Coeff. C _o	12 Veloc. V	13 P.Dinám P _v	14 Pérdida Δp_r o Δp_c
N. pz.	Cod.	[m³/h]	[mm]	[mm]	[mm]	[m]	[Pa/m]	n.	-	-	-	[m/s]	[Pa]	[Pa]
2323	11RA	270	133	150	100	0	0	ASH6_26M	0.857		0.014	5	15.05	0.29
177	310R	270	133	150	100	0.6	3.23					5	15.05	1.94

Pérdida de carga acumulada del segmento

Δp_t [Pa] : 2.23

Velocidad en la sección inicial del segmento

V_m [m/s] : 5.8

Velocidad en la sección final del segmento

V_v [m/s] : 5

Recuperación de presión estática del segmento
 Pérdida de carga acumulada del segmento, considerando la recuperación
 Pérdida de carga acumulada neta – total acumulado

Δp_r [Pa] : 5.2
 Δp_{tn} [Pa] : -3.2
 $\Sigma \Delta p_{tn}$ [Pa] : 93.89

SEGMENTO 50:

Tipo: Terminal TRM-46

1 ELEMENTO		2 Caudal Q	3 Diam. D/D _e	4 Ancho A	5 Alto B	6 Long. L	7 $\Delta p/L$	8 Fuente Tab	9 Ashrae X	10 Ashrae Y	11 Coeff. C _o	12 Veloc. V	13 P.Dinám P _v	14 Pérdida Δp_r o Δp_c
N. pz.	Cod.	[m³/h]	[mm]	[mm]	[mm]	[m]	[Pa/m]	n.	-	-	-	[m/s]	[Pa]	[Pa]
2325	11RA	45	98	98	98	0	0	ASH6_26	0.167	0.332	1.050	1.7	1.74	15.79
213	310C	45	98	98	98	0.07	0.57					1.7	1.74	0.04
215	079C	45	98	98	98	0	0	3.1	1.520		0.046	1.7	1.74	0.07
2347	273C	45	75	0	0	0.02	0	5.1	30.000	1.710	0.050	2.8	4.72	0.24
216	310C	45	75	0	0	0.3	2.03					2.8	4.72	0.61
2346	023C	45	75	0	0	0.02	0	4.1	30.000	1.710	0.320	2.8	4.72	1.54
218	05LC	45	98	98	98	0	0	MC4				1.7	1.74	16.35

Pérdida de carga acumulada del segmento
 Velocidad en la sección inicial del segmento
 Velocidad en la sección final del segmento
 Recuperación de presión estática del segmento
 Pérdida de carga acumulada del segmento, considerando la recuperación
 Pérdida de carga acumulada neta – total acumulado
 Desequilibrio del terminal respecto al camino más desfavorable

Δp_t [Pa] : 18.29
 V_m [m/s] : 5
 V_v [m/s] : 1.7
 Δp_r [Pa] : 13.31
 Δp_{tn} [Pa] : 5.42
 $\Sigma \Delta p_{tn}$ [Pa] : 115.66
 Δp_{Tmr} [Pa] : 80.21

SEGMENTO 49:

Tipo: Tramo

1 ELEMENTO		2 Caudal Q	3 Diam. D/D _e	4 Ancho A	5 Alto B	6 Long. L	7 $\Delta p/L$	8 Fuente Tab	9 Ashrae X	10 Ashrae Y	11 Coeff. C _o	12 Veloc. V	13 P.Dinám P _v	14 Pérdida Δp_r o Δp_c
N. pz.	Cod.	[m³/h]	[mm]	[mm]	[mm]	[m]	[Pa/m]	n.	-	-	-	[m/s]	[Pa]	[Pa]
2326	11RA	225	133	150	100	0	0	ASH6_26M	0.833		0.017	4.2	10.62	0.25
178	310R	225	133	150	100	0.6	2.3					4.2	10.62	1.38

Pérdida de carga acumulada del segmento
 Velocidad en la sección inicial del segmento
 Velocidad en la sección final del segmento
 Recuperación de presión estática del segmento
 Pérdida de carga acumulada del segmento, considerando la recuperación
 Pérdida de carga acumulada neta – total acumulado

Δp_t [Pa] : 1.64
 V_m [m/s] : 5
 V_v [m/s] : 4.2
 Δp_r [Pa] : 4.43
 Δp_{tn} [Pa] : -2.96
 $\Sigma \Delta p_{tn}$ [Pa] : 90.93

SEGMENTO 48:

Tipo: Terminal TRM-46

1 ELEMENTO		2 Caudal Q	3 Diam. D/D _e	4 Ancho A	5 Alto B	6 Long. L	7 $\Delta p/L$	8 Fuente Tab	9 Ashrae X	10 Ashrae Y	11 Coeff. C _o	12 Veloc. V	13 P.Dinám P _v	14 Pérdida Δp_r o Δp_c
N. pz.	Cod.	[m³/h]	[mm]	[mm]	[mm]	[m]	[Pa/m]	n.	-	-	-	[m/s]	[Pa]	[Pa]
2327	11RA	45	98	98	98	0	0	ASH6_26	0.200	0.398	1.070	1.7	1.74	11.18
207	310C	45	98	98	98	0.07	0.57					1.7	1.74	0.04
209	079C	45	98	98	98	0	0	3.1	1.520		0.046	1.7	1.74	0.07
2345	273C	45	75	0	0	0.02	0	5.1	30.000	1.710	0.050	2.8	4.72	0.24
210	310C	45	75	0	0	0.3	2.03					2.8	4.72	0.61

2344	023C	45	75	0	0	0.02	0	4.1	30.000	1.710	0.320	2.8	4.72	1.54
212	05LC	45	98	98	98	0	0	MC4				1.7	1.74	16.35

Pérdida de carga acumulada del segmento	Δp_t	[Pa]	: 13.69
Velocidad en la sección inicial del segmento	V_m	[m/s]	: 4.2
Velocidad en la sección final del segmento	V_v	[m/s]	: 1.7
Recuperación de presión estática del segmento	Δp_r	[Pa]	: 8.88
Pérdida de carga acumulada del segmento, considerando la recuperación	Δp_{tm}	[Pa]	: 5.42
Pérdida de carga acumulada neta – total acumulado	$\Sigma \Delta p_{tm}$	[Pa]	: 112.7
Desequilibrio del terminal respecto al camino más desfavorable	Δp_{Tmr}	[Pa]	: 83.17

SEGMENTO 47:

Tipo: Tramo

1 ELEMENTO		2 Caudal Q	3 Diam. D/D _e	4 Ancho A	5 Alto B	6 Long. L	7 $\Delta p/L$	8 Fuente Tab	9 Ashrae X	10 Ashrae Y	11 Coeff. C _o	12 Veloc. V	13 P.Dinám P _v	14 Pérdida Δp_r o Δp_c
N. pz.	Cod.	[m³/h]	[mm]	[mm]	[mm]	[m]	[Pa/m]	n.	-	-	-	[m/s]	[Pa]	[Pa]
2328	11RA	180	133	150	100	0	0	ASH6_26M	0.800		0.020	3.3	6.56	0.21
2331	283R	180	109	100	100	0.14	0	5.1	30.000	1.500	0.050	5	15.05	0.75
179	310R	180	109	100	100	0.6	4.08					5	15.05	2.45

Pérdida de carga acumulada del segmento	Δp_t	[Pa]	: 3.41
Velocidad en la sección inicial del segmento	V_m	[m/s]	: 4.2
Velocidad en la sección final del segmento	V_v	[m/s]	: 5
Recuperación de presión estática del segmento	Δp_r	[Pa]	: -4.43
Pérdida de carga acumulada del segmento, considerando la recuperación	Δp_{tm}	[Pa]	: 8.01
Pérdida de carga acumulada neta – total acumulado	$\Sigma \Delta p_{tm}$	[Pa]	: 98.94

SEGMENTO 46:

Tipo: Terminal TRM-46

1 ELEMENTO		2 Caudal Q	3 Diam. D/D _e	4 Ancho A	5 Alto B	6 Long. L	7 $\Delta p/L$	8 Fuente Tab	9 Ashrae X	10 Ashrae Y	11 Coeff. C _o	12 Veloc. V	13 P.Dinám P _v	14 Pérdida Δp_r o Δp_c
N. pz.	Cod.	[m³/h]	[mm]	[mm]	[mm]	[m]	[Pa/m]	n.	-	-	-	[m/s]	[Pa]	[Pa]
2329	11RA	45	98	98	98	0	0	ASH6_26	0.250	0.332	1.080	1.7	1.74	16.18
201	310C	45	98	98	98	0.07	0.57					1.7	1.74	0.04
203	079C	45	98	98	98	0	0	3.1	1.520		0.046	1.7	1.74	0.07
2343	273C	45	75	0	0	0.02	0	5.1	30.000	1.710	0.050	2.8	4.72	0.24
204	310C	45	75	0	0	0.3	2.03					2.8	4.72	0.61
2342	023C	45	75	0	0	0.02	0	4.1	30.000	1.710	0.320	2.8	4.72	1.54
206	05LC	45	98	98	98	0	0	MC4				1.7	1.74	16.35

Pérdida de carga acumulada del segmento	Δp_t	[Pa]	: 18.68
Velocidad en la sección inicial del segmento	V_m	[m/s]	: 5
Velocidad en la sección final del segmento	V_v	[m/s]	: 1.7
Recuperación de presión estática del segmento	Δp_r	[Pa]	: 13.31
Pérdida de carga acumulada del segmento, considerando la recuperación	Δp_{tm}	[Pa]	: 5.82
Pérdida de carga acumulada neta – total acumulado	$\Sigma \Delta p_{tm}$	[Pa]	: 121.11
Desequilibrio del terminal respecto al camino más desfavorable	Δp_{Tmr}	[Pa]	: 74.76

SEGMENTO 45:

Tipo: Tramo

1 ELEMENTO		2 Caudal Q	3 Diam. D/D _e	4 Ancho A	5 Alto B	6 Long. L	7 $\Delta p/L$	8 Fuente Tab	9 Ashrae X	10 Ashrae Y	11 Coeff. C _o	12 Veloc. V	13 P.Dinám P _v	14 Pérdida Δp_r o Δp_c
N. pz.	Cod.	[m³/h]	[mm]	[mm]	[mm]	[m]	[Pa/m]	n.	-	-	-	[m/s]	[Pa]	[Pa]
2330	11RA	135	109	100	100	0	0	ASH6_26M	0.750		0.030	3.7	8.24	0.45
180	310R	135	109	100	100	0.6	2.4					3.7	8.24	1.44

Pérdida de carga acumulada del segmento	Δp_t	[Pa] : 1.89
Velocidad en la sección inicial del segmento	V_m	[m/s] : 5
Velocidad en la sección final del segmento	V_v	[m/s] : 3.7
Recuperación de presión estática del segmento	Δp_r	[Pa] : 6.81
Pérdida de carga acumulada del segmento, considerando la recuperación	Δp_{tm}	[Pa] : -4.69
Pérdida de carga acumulada neta – total acumulado	$\Sigma \Delta p_{tm}$	[Pa] : 94.25

SEGMENTO 44:

Tipo: Terminal TRM-46

1 ELEMENTO		2 Caudal Q	3 Diam. D/D _e	4 Ancho A	5 Alto B	6 Long. L	7 $\Delta p/L$	8 Fuente Tab	9 Ashrae X	10 Ashrae Y	11 Coeff. C _o	12 Veloc. V	13 P.Dinám P _v	14 Pérdida Δp_r o Δp_c
N. pz.	Cod.	[m³/h]	[mm]	[mm]	[mm]	[m]	[Pa/m]	n.	-	-	-	[m/s]	[Pa]	[Pa]
2332	11RA	45	98	98	98	0	0	ASH6_26	0.333	0.442	1.100	1.7	1.74	9.28
195	310C	45	98	98	98	0.07	0.57					1.7	1.74	0.04
197	079C	45	98	98	98	0	0	3.1	1.520		0.046	1.7	1.74	0.07
2341	273C	45	75	0	0	0.02	0	5.1	30.000	1.710	0.050	2.8	4.72	0.24
198	310C	45	75	0	0	0.3	2.03					2.8	4.72	0.61
2340	023C	45	75	0	0	0.02	0	4.1	30.000	1.710	0.320	2.8	4.72	1.54
200	05LC	45	98	98	98	0	0	MC4				1.7	1.74	16.35

Pérdida de carga acumulada del segmento	Δp_t	[Pa] : 11.79
Velocidad en la sección inicial del segmento	V_m	[m/s] : 3.7
Velocidad en la sección final del segmento	V_v	[m/s] : 1.7
Recuperación de presión estática del segmento	Δp_r	[Pa] : 6.5
Pérdida de carga acumulada del segmento, considerando la recuperación	Δp_{tm}	[Pa] : 5.51
Pérdida de carga acumulada neta – total acumulado	$\Sigma \Delta p_{tm}$	[Pa] : 116.11
Desequilibrio del terminal respecto al camino más desfavorable	Δp_{Tmr}	[Pa] : 79.76

SEGMENTO 43:

Tipo: Tramo

1 ELEMENTO		2 Caudal Q	3 Diam. D/D _e	4 Ancho A	5 Alto B	6 Long. L	7 $\Delta p/L$	8 Fuente Tab	9 Ashrae X	10 Ashrae Y	11 Coeff. C _o	12 Veloc. V	13 P.Dinám P _v	14 Pérdida Δp_r o Δp_c
N. pz.	Cod.	[m³/h]	[mm]	[mm]	[mm]	[m]	[Pa/m]	n.	-	-	-	[m/s]	[Pa]	[Pa]
2333	11RA	90	109	100	100	0	0	ASH6_26M	0.667		0.047	2.5	3.76	0.4
181	310R	90	109	100	100	0.6	1.13					2.5	3.76	0.68

Pérdida de carga acumulada del segmento	Δp_t	[Pa] : 1.07
Velocidad en la sección inicial del segmento	V_m	[m/s] : 3.7
Velocidad en la sección final del segmento	V_v	[m/s] : 2.5
Recuperación de presión estática del segmento	Δp_r	[Pa] : 4.48
Pérdida de carga acumulada del segmento, considerando la recuperación	Δp_{tm}	[Pa] : -3.63
Pérdida de carga acumulada neta – total acumulado	$\Sigma \Delta p_{tm}$	[Pa] : 90.62

SEGMENTO 42:**Tipo:** Terminal TRM-46

1 ELEMENTO		2 Caudal Q	3 Diam. D/D _e	4 Ancho A	5 Alto B	6 Long. L	7 $\Delta p/L$	8 Fuente Tab	9 Ashrae X	10 Ashrae Y	11 Coeff. C _o	12 Veloc. V	13 P.Dinám P _v	14 Pérdida Δp_r o Δp_e
N. pz.	Cod.	[m³/h]	[mm]	[mm]	[mm]	[m]	[Pa/m]	n.	-	-	-	[m/s]	[Pa]	[Pa]
2334	11RA	45	98	98	98	0	0	ASH6_26	0.500	0.663	1.260	1.7	1.74	4.74
189	310C	45	98	98	98	0.07	0.57					1.7	1.74	0.04
191	079C	45	98	98	98	0	0	3.1	1.520		0.046	1.7	1.74	0.07
2339	273C	45	75	0	0	0.02	0	5.1	30.000	1.710	0.050	2.8	4.72	0.24
192	310C	45	75	0	0	0.3	2.03					2.8	4.72	0.61
2338	023C	45	75	0	0	0.02	0	4.1	30.000	1.710	0.320	2.8	4.72	1.54
194	05LC	45	98	98	98	0	0	MC4				1.7	1.74	16.35

Pérdida de carga acumulada del segmento

 Δp_t [Pa] : 7.25

Velocidad en la sección inicial del segmento

 V_m [m/s] : 2.5

Velocidad en la sección final del segmento

 V_v [m/s] : 1.7

Recuperación de presión estática del segmento

 Δp_r [Pa] : 2.02

Pérdida de carga acumulada del segmento, considerando la recuperación

 Δp_{tn} [Pa] : 5.67

Pérdida de carga acumulada neta – total acumulado

 $\Sigma \Delta p_{tn}$ [Pa] : 112.64

Desequilibrio del terminal respecto al camino más desfavorable

 Δp_{Tmr} [Pa] : 83.23**SEGMENTO 41:****Tipo:** Terminal TRM-46

1 ELEMENTO		2 Caudal Q	3 Diam. D/D _e	4 Ancho A	5 Alto B	6 Long. L	7 $\Delta p/L$	8 Fuente Tab	9 Ashrae X	10 Ashrae Y	11 Coeff. C _o	12 Veloc. V	13 P.Dinám P _v	14 Pérdida Δp_r o Δp_e
N. pz.	Cod.	[m³/h]	[mm]	[mm]	[mm]	[m]	[Pa/m]	n.	-	-	-	[m/s]	[Pa]	[Pa]
2335	11RA	45	109	100	100	0	0	ASH6_26M	0.500		0.090	1.2	0.87	0.34
182	310R	45	109	100	100	0.6	0.32					1.2	0.87	0.19
173	11RAT	45	109	100	100	0	0	2_6	1.000	0.917	2.800	1.2	0.87	4.63
183	310C	45	98	98	98	0.07	0.57					1.7	1.74	0.04
185	079C	45	98	98	98	0	0	3.1	1.520		0.046	1.7	1.74	0.07
2337	023C	45	98	98	98	0	0	4.1	30.000	1.040	0.320	1.7	1.74	0.53
186	310C	45	100	0	0	0.3	0.5					1.6	1.54	0.15
2336	273C	45	98	98	98	0	0	5.1	30.000	1.040	0.050	1.7	1.74	0.08
188	05LC	45	98	98	98	0	0	MC4				1.7	1.74	16.35

Pérdida de carga acumulada del segmento

 Δp_t [Pa] : 6.04

Velocidad en la sección inicial del segmento

 V_m [m/s] : 2.5

Velocidad en la sección final del segmento

 V_v [m/s] : 1.7

Recuperación de presión estática del segmento

 Δp_r [Pa] : 2.02

Pérdida de carga acumulada del segmento, considerando la recuperación

 Δp_{tn} [Pa] : 3.93

Pérdida de carga acumulada neta – total acumulado

 $\Sigma \Delta p_{tn}$ [Pa] : 110.9

Desequilibrio del terminal respecto al camino más desfavorable

 Δp_{Tmr} [Pa] : 84.97**SEGMENTO 79:****Tipo:** Tramo

1 ELEMENTO		2 Caudal Q	3 Diam. D/D _e	4 Ancho A	5 Alto B	6 Long. L	7 $\Delta p/L$	8 Fuente Tab	9 Ashrae X	10 Ashrae Y	11 Coeff. C _o	12 Veloc. V	13 P.Dinám P _v	14 Pérdida Δp_r o Δp_e
N. pz.	Cod.	[m³/h]	[mm]	[mm]	[mm]	[m]	[Pa/m]	n.	-	-	-	[m/s]	[Pa]	[Pa]
2312	3736	11700	872	850	750	0	0	MC4	0.929		0.078	5.1	15.66	1.22
2397	283R	11700	842	850	700	0.19	0	5.1	30.000	1.070	0.050	5.5	18.21	7.33
315	310R	11700	842	850	700	1	0.39					5.5	18.21	0.39

Pérdida de carga acumulada del segmento	Δp_t	[Pa]	: 8.94
Velocidad en la sección inicial del segmento	V_m	[m/s]	: 4.9
Velocidad en la sección final del segmento	V_v	[m/s]	: 4.5
Recuperación de presión estática del segmento	Δp_r	[Pa]	: 2.26
Pérdida de carga acumulada del segmento, considerando la recuperación	Δp_{tn}	[Pa]	: 7.88
Pérdida de carga acumulada neta – total acumulado	$\Sigma \Delta p_{tn}$	[Pa]	: 73.86

SEGMENTO 99:

Tipo: Tramo

1 ELEMENTO		2 Caudal Q	3 Diam. D/D _e	4 Ancho A	5 Alto B	6 Long. L	7 $\Delta p/L$	8 Fuente Tab	9 Ashrae X	10 Ashrae Y	11 Coeff. C _o	12 Veloc. V	13 P.Dinám P _v	14 Pérdida Δp_r o Δp_e
N. pz.	Cod.	[m³/h]	[mm]	[mm]	[mm]	[m]	[Pa/m]	n.	-	-	-	[m/s]	[Pa]	[Pa]
2395	3736	450	331	150	700	0	0	MC4	0.038	0.176	11.200	1.2	0.87	9.76
2442	283R	450	164	150	150	1.05	0	5.1	30.000	4.670	0.040	5.6	18.88	0.74
390	310R	450	164	150	150	1.1	2.95					5.6	18.88	3.25

Pérdida de carga acumulada del segmento	Δp_t	[Pa]	: 13.76
Velocidad en la sección inicial del segmento	V_m	[m/s]	: 4.5
Velocidad en la sección final del segmento	V_v	[m/s]	: 3.3
Recuperación de presión estática del segmento	Δp_r	[Pa]	: 5.63
Pérdida de carga acumulada del segmento, considerando la recuperación	Δp_{tn}	[Pa]	: 9.11
Pérdida de carga acumulada neta – total acumulado	$\Sigma \Delta p_{tn}$	[Pa]	: 82.97

SEGMENTO 117:

Tipo: Terminal TRM-18

1 ELEMENTO		2 Caudal Q	3 Diam. D/D _e	4 Ancho A	5 Alto B	6 Long. L	7 $\Delta p/L$	8 Fuente Tab	9 Ashrae X	10 Ashrae Y	11 Coeff. C _o	12 Veloc. V	13 P.Dinám P _v	14 Pérdida Δp_r o Δp_e
N. pz.	Cod.	[m³/h]	[mm]	[mm]	[mm]	[m]	[Pa/m]	n.	-	-	-	[m/s]	[Pa]	[Pa]
2440	11RA	45	98	98	98	0	0	ASH6_26	0.100	0.298	1.070	1.7	1.74	7.18
456	310C	45	98	98	98	0.07	0.57					1.7	1.74	0.04
458	079C	45	98	98	98	0	0	3.1	1.520		0.046	1.7	1.74	0.07
2478	273C	45	75	0	0	0.02	0	5.1	30.000	1.710	0.050	2.8	4.72	0.24
459	310C	45	75	0	0	0.3	2.03					2.8	4.72	0.61
2477	023C	45	75	0	0	0.02	0	4.1	30.000	1.710	0.320	2.8	4.72	1.54
461	05LC	45	98	98	98	0	0	MC4				1.7	1.74	16.35

Pérdida de carga acumulada del segmento	Δp_t	[Pa]	: 9.68
Velocidad en la sección inicial del segmento	V_m	[m/s]	: 3.3
Velocidad en la sección final del segmento	V_v	[m/s]	: 1.7
Recuperación de presión estática del segmento	Δp_r	[Pa]	: 4.82
Pérdida de carga acumulada del segmento, considerando la recuperación	Δp_{tn}	[Pa]	: 5.18
Pérdida de carga acumulada neta – total acumulado	$\Sigma \Delta p_{tn}$	[Pa]	: 104.5
Desequilibrio del terminal respecto al camino más desfavorable	Δp_{Tmr}	[Pa]	: 91.37

SEGMENTO 116:

Tipo: Tramo

1 ELEMENTO		2 Caudal Q	3 Diam. D/D _e	4 Ancho A	5 Alto B	6 Long. L	7 $\Delta p/L$	8 Fuente Tab	9 Ashrae X	10 Ashrae Y	11 Coeff. C _o	12 Veloc. V	13 P.Dinám P _v	14 Pérdida Δp_r o Δp_e
N. pz.	Cod.	[m³/h]	[mm]	[mm]	[mm]	[m]	[Pa/m]	n.	-	-	-	[m/s]	[Pa]	[Pa]

2441	11RA	405	164	150	150	0	0	ASH6_26M	0.900		0.010	5	15.05	0.07
393	310R	405	164	150	150	0.6	2.43					5	15.05	1.46

Pérdida de carga acumulada del segmento	Δp_t	[Pa]	: 1.52
Velocidad en la sección inicial del segmento	V_m	[m/s]	: 3.3
Velocidad en la sección final del segmento	V_v	[m/s]	: 3
Recuperación de presión estática del segmento	Δp_r	[Pa]	: 1.14
Pérdida de carga acumulada del segmento, considerando la recuperación	Δp_{tm}	[Pa]	: 1.76
Pérdida de carga acumulada neta – total acumulado	$\Sigma \Delta p_{tm}$	[Pa]	: 84.73

SEGMENTO 115:

Tipo: Terminal TRM-19

1 ELEMENTO		2 Caudal Q	3 Diam. D/D _e	4 Ancho A	5 Alto B	6 Long. L	7 $\Delta p/L$	8 Fuente Tab	9 Ashrae X	10 Ashrae Y	11 Coeff. C _o	12 Veloc. V	13 P.Dinám P _v	14 Pérdida Δp_r o Δp_c
N. pz.	Cod.	[m³/h]	[mm]	[mm]	[mm]	[m]	[Pa/m]	n.	-	-	-	[m/s]	[Pa]	[Pa]
2443	11RA	45	98	98	98	0	0	ASH6_26	0.111	0.332	1.110	1.7	1.74	6
450	310C	45	98	98	98	0.07	0.57					1.7	1.74	0.04
452	079C	45	98	98	98	0	0	3.1	1.520		0.046	1.7	1.74	0.07
2476	273C	45	75	0	0	0.02	0	5.1	30.000	1.710	0.050	2.8	4.72	0.24
453	310C	45	75	0	0	0.3	2.03					2.8	4.72	0.61
2475	023C	45	75	0	0	0.02	0	4.1	30.000	1.710	0.320	2.8	4.72	1.54
455	05LC	45	98	98	98	0	0	MC4				1.7	1.74	16.35

Pérdida de carga acumulada del segmento	Δp_t	[Pa]	: 8.51
Velocidad en la sección inicial del segmento	V_m	[m/s]	: 3
Velocidad en la sección final del segmento	V_v	[m/s]	: 1.7
Recuperación de presión estática del segmento	Δp_r	[Pa]	: 3.68
Pérdida de carga acumulada del segmento, considerando la recuperación	Δp_{tm}	[Pa]	: 5.27
Pérdida de carga acumulada neta – total acumulado	$\Sigma \Delta p_{tm}$	[Pa]	: 106.35
Desequilibrio del terminal respecto al camino más desfavorable	Δp_{Tmr}	[Pa]	: 89.52

SEGMENTO 114:

Tipo: Tramo

1 ELEMENTO		2 Caudal Q	3 Diam. D/D _e	4 Ancho A	5 Alto B	6 Long. L	7 $\Delta p/L$	8 Fuente Tab	9 Ashrae X	10 Ashrae Y	11 Coeff. C _o	12 Veloc. V	13 P.Dinám P _v	14 Pérdida Δp_r o Δp_c
N. pz.	Cod.	[m³/h]	[mm]	[mm]	[mm]	[m]	[Pa/m]	n.	-	-	-	[m/s]	[Pa]	[Pa]
2444	11RA	360	164	150	150	0	0	ASH6_26M	0.889		0.011	4.4	11.65	0.06
394	310R	360	164	150	150	0.6	1.95					4.4	11.65	1.17

Pérdida de carga acumulada del segmento	Δp_t	[Pa]	: 1.23
Velocidad en la sección inicial del segmento	V_m	[m/s]	: 3
Velocidad en la sección final del segmento	V_v	[m/s]	: 2.7
Recuperación de presión estática del segmento	Δp_r	[Pa]	: 1.03
Pérdida de carga acumulada del segmento, considerando la recuperación	Δp_{tm}	[Pa]	: 1.28
Pérdida de carga acumulada neta – total acumulado	$\Sigma \Delta p_{tm}$	[Pa]	: 86.01

SEGMENTO 113:

Tipo: Terminal TRM-20

1	2	3	4	5	6	7	8	9	10	11	12	13	14
---	---	---	---	---	---	---	---	---	----	----	----	----	----

ELEMENTO		Caudal Q	Diam. D/D _e	Ancho A	Alto B	Long. L	$\Delta p/L$	Fuente Tab	Ashrae X	Ashrae Y	Coeff. C _o	Veloc. V	P.Dinám P _v	Pérdida Δp_r o Δp_c
N. pz.	Cod.	[m³/h]	[mm]	[mm]	[mm]	[m]	[Pa/m]	n.	-	-	-	[m/s]	[Pa]	[Pa]
2445	11RA	45	98	98	98	0	0	ASH6_26	0.125	0.373	1.140	1.7	1.74	4.88
444	310C	45	98	98	98	0.07	0.57					1.7	1.74	0.04
446	079C	45	98	98	98	0	0	3.1	1.520		0.046	1.7	1.74	0.07
2474	273C	45	75	0	0	0.02	0	5.1	30.000	1.710	0.050	2.8	4.72	0.24
447	310C	45	75	0	0	0.3	2.03					2.8	4.72	0.61
2473	023C	45	75	0	0	0.02	0	4.1	30.000	1.710	0.320	2.8	4.72	1.54
449	05LC	45	98	98	98	0	0	MC4				1.7	1.74	16.35

Pérdida de carga acumulada del segmento	Δp_t	[Pa] : 7.38
Velocidad en la sección inicial del segmento	V_m	[m/s] : 2.7
Velocidad en la sección final del segmento	V_v	[m/s] : 1.7
Recuperación de presión estática del segmento	Δp_r	[Pa] : 2.65
Pérdida de carga acumulada del segmento, considerando la recuperación	Δp_{tn}	[Pa] : 5.28
Pérdida de carga acumulada neta – total acumulado	$\Sigma \Delta p_{tn}$	[Pa] : 107.64
Desequilibrio del terminal respecto al camino más desfavorable	Δp_{Tmr}	[Pa] : 88.23

SEGMENTO 112:

Tipo: Tramo

1 ELEMENTO		2 Caudal Q	3 Diam. D/D _e	4 Ancho A	5 Alto B	6 Long. L	7 $\Delta p/L$	8 Fuente Tab	9 Ashrae X	10 Ashrae Y	11 Coeff. C _o	12 Veloc. V	13 P.Dinám P _v	14 Pérdida Δp_r o Δp_c
N. pz.	Cod.	[m³/h]	[mm]	[mm]	[mm]	[m]	[Pa/m]	n.	-	-	-	[m/s]	[Pa]	[Pa]
2446	11RA	315	164	150	150	0	0	ASH6_26M	0.875		0.012	3.9	9.16	0.05
395	310R	315	164	150	150	0.6	1.52					3.9	9.16	0.91

Pérdida de carga acumulada del segmento	Δp_t	[Pa] : 0.97
Velocidad en la sección inicial del segmento	V_m	[m/s] : 2.7
Velocidad en la sección final del segmento	V_v	[m/s] : 2.3
Recuperación de presión estática del segmento	Δp_r	[Pa] : 1.2
Pérdida de carga acumulada del segmento, considerando la recuperación	Δp_{tn}	[Pa] : 0.87
Pérdida de carga acumulada neta – total acumulado	$\Sigma \Delta p_{tn}$	[Pa] : 86.88

SEGMENTO 111:

Tipo: Terminal TRM-21

1 ELEMENTO		2 Caudal Q	3 Diam. D/D _e	4 Ancho A	5 Alto B	6 Long. L	7 $\Delta p/L$	8 Fuente Tab	9 Ashrae X	10 Ashrae Y	11 Coeff. C _o	12 Veloc. V	13 P.Dinám P _v	14 Pérdida Δp_r o Δp_c
N. pz.	Cod.	[m³/h]	[mm]	[mm]	[mm]	[m]	[Pa/m]	n.	-	-	-	[m/s]	[Pa]	[Pa]
2447	11RA	45	98	98	98	0	0	ASH6_26	0.143	0.426	1.190	1.7	1.74	3.88
438	310C	45	98	98	98	0.07	0.57					1.7	1.74	0.04
440	079C	45	98	98	98	0	0	3.1	1.520		0.046	1.7	1.74	0.07
2472	273C	45	75	0	0	0.02	0	5.1	30.000	1.710	0.050	2.8	4.72	0.24
441	310C	45	75	0	0	0.3	2.03					2.8	4.72	0.61
2471	023C	45	75	0	0	0.02	0	4.1	30.000	1.710	0.320	2.8	4.72	1.54
443	05LC	45	98	98	98	0	0	MC4				1.7	1.74	16.35

Pérdida de carga acumulada del segmento	Δp_t	[Pa] : 6.39
Velocidad en la sección inicial del segmento	V_m	[m/s] : 2.3
Velocidad en la sección final del segmento	V_v	[m/s] : 1.7
Recuperación de presión estática del segmento	Δp_r	[Pa] : 1.44
Pérdida de carga acumulada del segmento, considerando la recuperación	Δp_{tn}	[Pa] : 5.29

Pérdida de carga acumulada neta – total acumulado
Desequilibrio del terminal respecto al camino más desfavorable

$\Sigma \Delta p_{tn}$ [Pa] : 108.52
 Δp_{Tmr} [Pa] : 87.34

SEGMENTO 110:

Tipo: Tramo

1 ELEMENTO		2 Caudal Q	3 Diam. D/D _e	4 Ancho A	5 Alto B	6 Long. L	7 $\Delta p/L$	8 Fuente Tab	9 Ashrae X	10 Ashrae Y	11 Coeff. C _o	12 Veloc. V	13 P.Dinám P _v	14 Pérdida Δp_r o Δp_c
N. pz.	Cod.	[m³/h]	[mm]	[mm]	[mm]	[m]	[Pa/m]	n.	-	-	-	[m/s]	[Pa]	[Pa]
2448	11RA	270	164	150	150	0	0	ASH6_26M	0.857		0.014	3.3	6.56	0.05
396	310R	270	164	150	150	0.6	1.15					3.3	6.56	0.69

Pérdida de carga acumulada del segmento
Velocidad en la sección inicial del segmento
Velocidad en la sección final del segmento
Recuperación de presión estática del segmento
Pérdida de carga acumulada del segmento, considerando la recuperación
Pérdida de carga acumulada neta – total acumulado

Δp_t [Pa] : 0.73
 V_m [m/s] : 2.3
 V_v [m/s] : 2
 Δp_r [Pa] : 0.78
 Δp_{tn} [Pa] : 0.53
 $\Sigma \Delta p_{tn}$ [Pa] : 87.42

SEGMENTO 109:

Tipo: Terminal TRM-22

1 ELEMENTO		2 Caudal Q	3 Diam. D/D _e	4 Ancho A	5 Alto B	6 Long. L	7 $\Delta p/L$	8 Fuente Tab	9 Ashrae X	10 Ashrae Y	11 Coeff. C _o	12 Veloc. V	13 P.Dinám P _v	14 Pérdida Δp_r o Δp_c
N. pz.	Cod.	[m³/h]	[mm]	[mm]	[mm]	[m]	[Pa/m]	n.	-	-	-	[m/s]	[Pa]	[Pa]
2449	11RA	45	98	98	98	0	0	ASH6_26	0.167	0.497	1.280	1.7	1.74	3.08
432	310C	45	98	98	98	0.07	0.57					1.7	1.74	0.04
434	079C	45	98	98	98	0	0	3.1	1.520		0.046	1.7	1.74	0.07
2470	273C	45	75	0	0	0.02	0	5.1	30.000	1.710	0.050	2.8	4.72	0.24
435	310C	45	75	0	0	0.3	2.03					2.8	4.72	0.61
2469	023C	45	75	0	0	0.02	0	4.1	30.000	1.710	0.320	2.8	4.72	1.54
437	05LC	45	98	98	98	0	0	MC4				1.7	1.74	16.35

Pérdida de carga acumulada del segmento
Velocidad en la sección inicial del segmento
Velocidad en la sección final del segmento
Recuperación de presión estática del segmento
Pérdida de carga acumulada del segmento, considerando la recuperación
Pérdida de carga acumulada neta – total acumulado
Desequilibrio del terminal respecto al camino más desfavorable

Δp_t [Pa] : 5.59
 V_m [m/s] : 2
 V_v [m/s] : 1.7
 Δp_r [Pa] : 0.67
 Δp_{tn} [Pa] : 5.36
 $\Sigma \Delta p_{tn}$ [Pa] : 109.12
 Δp_{Tmr} [Pa] : 86.75

SEGMENTO 108:

Tipo: Tramo

1 ELEMENTO		2 Caudal Q	3 Diam. D/D _e	4 Ancho A	5 Alto B	6 Long. L	7 $\Delta p/L$	8 Fuente Tab	9 Ashrae X	10 Ashrae Y	11 Coeff. C _o	12 Veloc. V	13 P.Dinám P _v	14 Pérdida Δp_r o Δp_c
N. pz.	Cod.	[m³/h]	[mm]	[mm]	[mm]	[m]	[Pa/m]	n.	-	-	-	[m/s]	[Pa]	[Pa]
2450	11RA	225	164	150	150	0	0	ASH6_26M	0.833		0.017	2.8	4.72	0.04
397	310R	225	164	150	150	0.6	0.82					2.8	4.72	0.49

Pérdida de carga acumulada del segmento

Δp_t [Pa] : 0.53

Velocidad en la sección inicial del segmento	V_m	[m/s]	: 2
Velocidad en la sección final del segmento	V_v	[m/s]	: 3.1
Recuperación de presión estática del segmento	Δp_r	[Pa]	: -3.38
Pérdida de carga acumulada del segmento, considerando la recuperación	Δp_{tn}	[Pa]	: 4.53
Pérdida de carga acumulada neta – total acumulado	$\Sigma \Delta p_{tn}$	[Pa]	: 91.94

SEGMENTO 107:

Tipo: Terminal TRM-22

1 ELEMENTO		2 Caudal Q	3 Diam. D/D _e	4 Ancho A	5 Alto B	6 Long. L	7 $\Delta p/L$	8 Fuente Tab	9 Ashrae X	10 Ashrae Y	11 Coeff. C _o	12 Veloc. V	13 P.Dinám P _v	14 Pérdida Δp_r o Δp_c
N. pz.	Cod.	[m³/h]	[mm]	[mm]	[mm]	[m]	[Pa/m]	n.	-	-	-	[m/s]	[Pa]	[Pa]
2451	11RA	45	98	98	98	0	0	ASH6_26	0.200	0.597	1.090	1.7	1.74	6.41
426	310C	45	98	98	98	0.07	0.57					1.7	1.74	0.04
428	079C	45	98	98	98	0	0	3.1	1.520		0.046	1.7	1.74	0.07
2468	273C	45	75	0	0	0.02	0	5.1	30.000	1.710	0.050	2.8	4.72	0.24
429	310C	45	75	0	0	0.3	2.03					2.8	4.72	0.61
2467	023C	45	75	0	0	0.02	0	4.1	30.000	1.710	0.320	2.8	4.72	1.54
431	05LC	45	98	98	98	0	0	MC4				1.7	1.74	16.35

Pérdida de carga acumulada del segmento	Δp_t	[Pa]	: 8.91
Velocidad en la sección inicial del segmento	V_m	[m/s]	: 3.1
Velocidad en la sección final del segmento	V_v	[m/s]	: 1.7
Recuperación de presión estática del segmento	Δp_r	[Pa]	: 4.05
Pérdida de carga acumulada del segmento, considerando la recuperación	Δp_{tn}	[Pa]	: 5.21
Pérdida de carga acumulada neta – total acumulado	$\Sigma \Delta p_{tn}$	[Pa]	: 113.51
Desequilibrio del terminal respecto al camino más desfavorable	Δp_{Tmr}	[Pa]	: 82.36

SEGMENTO 106:

Tipo: Tramo

1 ELEMENTO		2 Caudal Q	3 Diam. D/D _e	4 Ancho A	5 Alto B	6 Long. L	7 $\Delta p/L$	8 Fuente Tab	9 Ashrae X	10 Ashrae Y	11 Coeff. C _o	12 Veloc. V	13 P.Dinám P _v	14 Pérdida Δp_r o Δp_c
N. pz.	Cod.	[m³/h]	[mm]	[mm]	[mm]	[m]	[Pa/m]	n.	-	-	-	[m/s]	[Pa]	[Pa]
2452	11RA	180	164	150	150	0	0	ASH6_26M	0.800		0.020	2.2	2.91	0.12
398	310R	180	164	150	150	0.6	0.55					2.2	2.91	0.33

Pérdida de carga acumulada del segmento	Δp_t	[Pa]	: 0.45
Velocidad en la sección inicial del segmento	V_m	[m/s]	: 3.1
Velocidad en la sección final del segmento	V_v	[m/s]	: 2.5
Recuperación de presión estática del segmento	Δp_r	[Pa]	: 2.02
Pérdida de carga acumulada del segmento, considerando la recuperación	Δp_{tn}	[Pa]	: -0.35
Pérdida de carga acumulada neta – total acumulado	$\Sigma \Delta p_{tn}$	[Pa]	: 91.59

SEGMENTO 105:

Tipo: Terminal TRM-24

1 ELEMENTO		2 Caudal Q	3 Diam. D/D _e	4 Ancho A	5 Alto B	6 Long. L	7 $\Delta p/L$	8 Fuente Tab	9 Ashrae X	10 Ashrae Y	11 Coeff. C _o	12 Veloc. V	13 P.Dinám P _v	14 Pérdida Δp_r o Δp_c
N. pz.	Cod.	[m³/h]	[mm]	[mm]	[mm]	[m]	[Pa/m]	n.	-	-	-	[m/s]	[Pa]	[Pa]
2453	11RA	45	98	98	98	0	0	ASH6_26	0.250	0.746	1.130	1.7	1.74	4.25
420	310C	45	98	98	98	0.07	0.57					1.7	1.74	0.04

422	079C	45	98	98	98	0	0	3.1	1.520		0.046	1.7	1.74	0.07
2466	273C	45	75	0	0	0.02	0	5.1	30.000	1.710	0.050	2.8	4.72	0.24
423	310C	45	75	0	0	0.3	2.03					2.8	4.72	0.61
2465	023C	45	75	0	0	0.02	0	4.1	30.000	1.710	0.320	2.8	4.72	1.54
425	05LC	45	98	98	98	0	0	MC4				1.7	1.74	16.35

Pérdida de carga acumulada del segmento	Δp_t	[Pa]	: 6.76
Velocidad en la sección inicial del segmento	V_m	[m/s]	: 2.5
Velocidad en la sección final del segmento	V_v	[m/s]	: 1.7
Recuperación de presión estática del segmento	Δp_r	[Pa]	: 2.02
Pérdida de carga acumulada del segmento, considerando la recuperación	Δp_{tn}	[Pa]	: 5.17
Pérdida de carga acumulada neta – total acumulado	$\Sigma \Delta p_{tn}$	[Pa]	: 113.11
Desequilibrio del terminal respecto al camino más desfavorable	Δp_{Tmr}	[Pa]	: 82.76

SEGMENTO 104:

Tipo: Tramo

1 ELEMENTO		2 Caudal Q	3 Diam. D/D _e	4 Ancho A	5 Alto B	6 Long. L	7 $\Delta p/L$	8 Fuente Tab	9 Ashrae X	10 Ashrae Y	11 Coeff. C _o	12 Veloc. V	13 P.Dinám P _v	14 Pérdida Δp_r o Δp_e
N. pz.	Cod.	[m³/h]	[mm]	[mm]	[mm]	[m]	[Pa/m]	n.	-	-	-	[m/s]	[Pa]	[Pa]
2454	11RA	135	164	150	150	0	0	ASH6_26M	0.750		0.030	1.7	1.74	0.11
399	310R	135	164	150	150	0.6	0.32					1.7	1.74	0.19

Pérdida de carga acumulada del segmento	Δp_t	[Pa]	: 0.31
Velocidad en la sección inicial del segmento	V_m	[m/s]	: 2.5
Velocidad en la sección final del segmento	V_v	[m/s]	: 2.5
Recuperación de presión estática del segmento	Δp_r	[Pa]	: 0
Pérdida de carga acumulada del segmento, considerando la recuperación	Δp_{tn}	[Pa]	: 1.13
Pérdida de carga acumulada neta – total acumulado	$\Sigma \Delta p_{tn}$	[Pa]	: 92.72

SEGMENTO 103:

Tipo: Terminal TRM-25

1 ELEMENTO		2 Caudal Q	3 Diam. D/D _e	4 Ancho A	5 Alto B	6 Long. L	7 $\Delta p/L$	8 Fuente Tab	9 Ashrae X	10 Ashrae Y	11 Coeff. C _o	12 Veloc. V	13 P.Dinám P _v	14 Pérdida Δp_r o Δp_e
N. pz.	Cod.	[m³/h]	[mm]	[mm]	[mm]	[m]	[Pa/m]	n.	-	-	-	[m/s]	[Pa]	[Pa]
2455	11RA	45	98	98	98	0	0	ASH6_26	0.333	0.995	1.110	1.7	1.74	4.16
414	310C	45	98	98	98	0.07	0.57					1.7	1.74	0.04
416	079C	45	98	98	98	0	0	3.1	1.520		0.046	1.7	1.74	0.07
2464	273C	45	75	0	0	0.02	0	5.1	30.000	1.710	0.050	2.8	4.72	0.24
417	310C	45	75	0	0	0.3	2.03					2.8	4.72	0.61
2463	023C	45	75	0	0	0.02	0	4.1	30.000	1.710	0.320	2.8	4.72	1.54
419	05LC	45	98	98	98	0	0	MC4				1.7	1.74	16.35

Pérdida de carga acumulada del segmento	Δp_t	[Pa]	: 6.66
Velocidad en la sección inicial del segmento	V_m	[m/s]	: 2.5
Velocidad en la sección final del segmento	V_v	[m/s]	: 1.7
Recuperación de presión estática del segmento	Δp_r	[Pa]	: 2.02
Pérdida de carga acumulada del segmento, considerando la recuperación	Δp_{tn}	[Pa]	: 5.08
Pérdida de carga acumulada neta – total acumulado	$\Sigma \Delta p_{tn}$	[Pa]	: 114.15
Desequilibrio del terminal respecto al camino más desfavorable	Δp_{Tmr}	[Pa]	: 81.72

SEGMENTO 102:

Tipo: Tramo

1 ELEMENTO		2 Caudal Q	3 Diam. D/D _e	4 Ancho A	5 Alto B	6 Long. L	7 $\Delta p/L$	8 Fuente Tab	9 Ashrae X	10 Ashrae Y	11 Coeff. C _o	12 Veloc. V	13 P.Dinám P _v	14 Pérdida Δp_r o Δp_e
N. pz.	Cod.	[m³/h]	[mm]	[mm]	[mm]	[m]	[Pa/m]	n.	-	-	-	[m/s]	[Pa]	[Pa]
2456	11RA	90	164	150	150	0	0	ASH6_26M	0.667		0.047	1.1	0.73	0.18
400	310R	90	164	150	150	0.6	0.15					1.1	0.73	0.09

Pérdida de carga acumulada del segmento	Δp_t	[Pa] : 0.27
Velocidad en la sección inicial del segmento	V_m	[m/s] : 2.5
Velocidad en la sección final del segmento	V_v	[m/s] : 2.5
Recuperación de presión estática del segmento	Δp_r	[Pa] : 0
Pérdida de carga acumulada del segmento, considerando la recuperación	Δp_{tm}	[Pa] : 0.95
Pérdida de carga acumulada neta – total acumulado	$\Sigma \Delta p_{tm}$	[Pa] : 93.67

SEGMENTO 101:

Tipo: Terminal TRM-26

1 ELEMENTO		2 Caudal Q	3 Diam. D/D _e	4 Ancho A	5 Alto B	6 Long. L	7 $\Delta p/L$	8 Fuente Tab	9 Ashrae X	10 Ashrae Y	11 Coeff. C _o	12 Veloc. V	13 P.Dinám P _v	14 Pérdida Δp_r o Δp_e
N. pz.	Cod.	[m³/h]	[mm]	[mm]	[mm]	[m]	[Pa/m]	n.	-	-	-	[m/s]	[Pa]	[Pa]
2457	11RA	45	98	98	98	0	0	ASH6_26	0.500	1.490	1.260	1.7	1.74	4.74
408	310C	45	98	98	98	0.07	0.57					1.7	1.74	0.04
410	079C	45	98	98	98	0	0	3.1	1.520		0.046	1.7	1.74	0.07
2462	273C	45	75	0	0	0.02	0	5.1	30.000	1.710	0.050	2.8	4.72	0.24
411	310C	45	75	0	0	0.3	2.03					2.8	4.72	0.61
2461	023C	45	75	0	0	0.02	0	4.1	30.000	1.710	0.320	2.8	4.72	1.54
413	05LC	45	98	98	98	0	0	MC4				1.7	1.74	16.35

Pérdida de carga acumulada del segmento	Δp_t	[Pa] : 7.25
Velocidad en la sección inicial del segmento	V_m	[m/s] : 2.5
Velocidad en la sección final del segmento	V_v	[m/s] : 1.7
Recuperación de presión estática del segmento	Δp_r	[Pa] : 2.02
Pérdida de carga acumulada del segmento, considerando la recuperación	Δp_{tm}	[Pa] : 5.67
Pérdida de carga acumulada neta – total acumulado	$\Sigma \Delta p_{tm}$	[Pa] : 115.69
Desequilibrio del terminal respecto al camino más desfavorable	Δp_{Tmr}	[Pa] : 80.18

SEGMENTO 100:

Tipo: Terminal TRM-27

1 ELEMENTO		2 Caudal Q	3 Diam. D/D _e	4 Ancho A	5 Alto B	6 Long. L	7 $\Delta p/L$	8 Fuente Tab	9 Ashrae X	10 Ashrae Y	11 Coeff. C _o	12 Veloc. V	13 P.Dinám P _v	14 Pérdida Δp_r o Δp_e
N. pz.	Cod.	[m³/h]	[mm]	[mm]	[mm]	[m]	[Pa/m]	n.	-	-	-	[m/s]	[Pa]	[Pa]
2458	11RA	45	164	150	150	0	0	ASH6_26M	0.500		0.090	0.6	0.22	0.34
401	310R	45	164	150	150	0.6	0.05					0.6	0.22	0.03
392	11RAT	45	164	150	150	0	0	2_6	1.000	0.915	2.800	0.6	0.22	0
402	310C	45	98	98	98	0.07	0.57					1.7	1.74	0.04
404	079C	45	98	98	98	0	0	3.1	1.520		0.046	1.7	1.74	0.07
2460	023C	45	98	98	98	0	0	4.1	30.000	1.040	0.320	1.7	1.74	0.53
405	310C	45	100	0	0	0.3	0.5					1.6	1.54	0.15
2459	273C	45	98	98	98	0	0	5.1	30.000	1.040	0.050	1.7	1.74	0.08
407	05LC	45	98	98	98	0	0	MC4				1.7	1.74	16.35

Pérdida de carga acumulada del segmento	Δp_t	[Pa] : 1.24
Velocidad en la sección inicial del segmento	V_m	[m/s] : 2.5

Velocidad en la sección final del segmento	V_v	[m/s]	: 1.7
Recuperación de presión estática del segmento	Δp_r	[Pa]	: 2.02
Pérdida de carga acumulada del segmento, considerando la recuperación	Δp_{tn}	[Pa]	: -0.55
Pérdida de carga acumulada neta – total acumulado	$\Sigma \Delta p_{tn}$	[Pa]	: 109.47
Desequilibrio del terminal respecto al camino más desfavorable	Δp_{Tmr}	[Pa]	: 86.4

SEGMENTO 98:

Tipo: Tramo

1 ELEMENTO		2 Caudal Q	3 Diam. D/D _e	4 Ancho A	5 Alto B	6 Long. L	7 $\Delta p/L$	8 Fuente Tab	9 Ashrae X	10 Ashrae Y	11 Coeff. C _o	12 Veloc. V	13 P.Dinám P _v	14 Pérdida Δp_r o Δp_c
N. pz.	Cod.	[m³/h]	[mm]	[mm]	[mm]	[m]	[Pa/m]	n.	-	-	-	[m/s]	[Pa]	[Pa]
319	3736	450	443	250	700	0	0	MC4	0.038	0.294	43.100	0.7	0.29	12.5
2400	283R	450	210	250	150	1.05	0	5.1	30.000	4.670	0.040	3.3	6.56	0.27
318	310R	450	210	250	150	1.05	0.87					3.3	6.56	0.91

Pérdida de carga acumulada del segmento	Δp_t	[Pa]	: 13.68
Velocidad en la sección inicial del segmento	V_m	[m/s]	: 4.5
Velocidad en la sección final del segmento	V_v	[m/s]	: 3.3
Recuperación de presión estática del segmento	Δp_r	[Pa]	: 5.63
Pérdida de carga acumulada del segmento, considerando la recuperación	Δp_{tn}	[Pa]	: 8.1
Pérdida de carga acumulada neta – total acumulado	$\Sigma \Delta p_{tn}$	[Pa]	: 81.97

SEGMENTO 97:

Tipo: Terminal TRM-46

1 ELEMENTO		2 Caudal Q	3 Diam. D/D _e	4 Ancho A	5 Alto B	6 Long. L	7 $\Delta p/L$	8 Fuente Tab	9 Ashrae X	10 Ashrae Y	11 Coeff. C _o	12 Veloc. V	13 P.Dinám P _v	14 Pérdida Δp_r o Δp_c
N. pz.	Cod.	[m³/h]	[mm]	[mm]	[mm]	[m]	[Pa/m]	n.	-	-	-	[m/s]	[Pa]	[Pa]
2398	11RA	45	98	98	98	0	0	ASH6_26	0.100	0.497	1.070	1.7	1.74	7.18
384	310C	45	98	98	98	0.07	0.57					1.7	1.74	0.04
386	079C	45	98	98	98	0	0	3.1	1.520		0.046	1.7	1.74	0.07
2439	273C	45	75	0	0	0.02	0	5.1	30.000	1.710	0.050	2.8	4.72	0.24
387	310C	45	75	0	0	0.3	2.03					2.8	4.72	0.61
2438	023C	45	75	0	0	0.02	0	4.1	30.000	1.710	0.320	2.8	4.72	1.54
389	05LC	45	98	98	98	0	0	MC4				1.7	1.74	16.35

Pérdida de carga acumulada del segmento	Δp_t	[Pa]	: 9.68
Velocidad en la sección inicial del segmento	V_m	[m/s]	: 3.3
Velocidad en la sección final del segmento	V_v	[m/s]	: 1.7
Recuperación de presión estática del segmento	Δp_r	[Pa]	: 4.82
Pérdida de carga acumulada del segmento, considerando la recuperación	Δp_{tn}	[Pa]	: 5.18
Pérdida de carga acumulada neta – total acumulado	$\Sigma \Delta p_{tn}$	[Pa]	: 103.49
Desequilibrio del terminal respecto al camino más desfavorable	Δp_{Tmr}	[Pa]	: 92.38

SEGMENTO 96:

Tipo: Tramo

1 ELEMENTO		2 Caudal Q	3 Diam. D/D _e	4 Ancho A	5 Alto B	6 Long. L	7 $\Delta p/L$	8 Fuente Tab	9 Ashrae X	10 Ashrae Y	11 Coeff. C _o	12 Veloc. V	13 P.Dinám P _v	14 Pérdida Δp_r o Δp_c
N. pz.	Cod.	[m³/h]	[mm]	[mm]	[mm]	[m]	[Pa/m]	n.	-	-	-	[m/s]	[Pa]	[Pa]
2399	11RA	405	210	250	150	0	0	ASH6_26M	0.900		0.010	3	5.42	0.07
2403	283R	405	152	200	100	0.19	0	5.1	30.000	1.880	0.050	5.6	18.88	0.95

321	310R	405	152	200	100	0.6	3.53					5.6	18.88	2.12
-----	------	-----	-----	-----	-----	-----	------	--	--	--	--	-----	-------	------

Pérdida de carga acumulada del segmento	Δp_t	[Pa]	: 3.14
Velocidad en la sección inicial del segmento	V_m	[m/s]	: 3.3
Velocidad en la sección final del segmento	V_v	[m/s]	: 5.6
Recuperación de presión estática del segmento	Δp_r	[Pa]	: -12.32
Pérdida de carga acumulada del segmento, considerando la recuperación	Δp_{tm}	[Pa]	: 15.5
Pérdida de carga acumulada neta – total acumulado	$\Sigma \Delta p_{tm}$	[Pa]	: 97.47

SEGMENTO 95:

Tipo: Terminal TRM-46

1 ELEMENTO		2 Caudal Q	3 Diam. D/D _e	4 Ancho A	5 Alto B	6 Long. L	7 $\Delta p_r/L$	8 Fuente Tab	9 Ashrae X	10 Ashrae Y	11 Coeff. C _o	12 Veloc. V	13 P.Dinám P _v	14 Pérdida Δp_r o Δp_e
N. pz.	Cod.	[m³/h]	[mm]	[mm]	[mm]	[m]	[Pa/m]	n.	-	-	-	[m/s]	[Pa]	[Pa]
2401	11RA	45	98	98	98	0	0	ASH6_26	0.111	0.295	1.010	1.7	1.74	19.28
378	310C	45	98	98	98	0.07	0.57					1.7	1.74	0.04
380	079C	45	98	98	98	0	0	3.1	1.520		0.046	1.7	1.74	0.07
2437	273C	45	75	0	0	0.02	0	5.1	30.000	1.710	0.050	2.8	4.72	0.24
381	310C	45	75	0	0	0.3	2.03					2.8	4.72	0.61
2436	023C	45	75	0	0	0.02	0	4.1	30.000	1.710	0.320	2.8	4.72	1.54
383	05LC	45	98	98	98	0	0	MC4				1.7	1.74	16.35

Pérdida de carga acumulada del segmento	Δp_t	[Pa]	: 21.78
Velocidad en la sección inicial del segmento	V_m	[m/s]	: 5.6
Velocidad en la sección final del segmento	V_v	[m/s]	: 1.7
Recuperación de presión estática del segmento	Δp_r	[Pa]	: 17.14
Pérdida de carga acumulada del segmento, considerando la recuperación	Δp_{tm}	[Pa]	: 4.92
Pérdida de carga acumulada neta – total acumulado	$\Sigma \Delta p_{tm}$	[Pa]	: 118.73
Desequilibrio del terminal respecto al camino más desfavorable	Δp_{Tmr}	[Pa]	: 77.14

SEGMENTO 94:

Tipo: Tramo

1 ELEMENTO		2 Caudal Q	3 Diam. D/D _e	4 Ancho A	5 Alto B	6 Long. L	7 $\Delta p_r/L$	8 Fuente Tab	9 Ashrae X	10 Ashrae Y	11 Coeff. C _o	12 Veloc. V	13 P.Dinám P _v	14 Pérdida Δp_r o Δp_e
N. pz.	Cod.	[m³/h]	[mm]	[mm]	[mm]	[m]	[Pa/m]	n.	-	-	-	[m/s]	[Pa]	[Pa]
2402	11RA	360	152	200	100	0	0	ASH6_26M	0.889		0.011	5	15.05	0.21
322	310R	360	152	200	100	0.6	2.85					5	15.05	1.71

Pérdida de carga acumulada del segmento	Δp_t	[Pa]	: 1.92
Velocidad en la sección inicial del segmento	V_m	[m/s]	: 5.6
Velocidad en la sección final del segmento	V_v	[m/s]	: 5
Recuperación de presión estática del segmento	Δp_r	[Pa]	: 3.83
Pérdida de carga acumulada del segmento, considerando la recuperación	Δp_{tm}	[Pa]	: -2.08
Pérdida de carga acumulada neta – total acumulado	$\Sigma \Delta p_{tm}$	[Pa]	: 95.39

SEGMENTO 93:

Tipo: Terminal TRM-46

1 ELEMENTO		2 Caudal Q	3 Diam. D/D _e	4 Ancho A	5 Alto B	6 Long. L	7 $\Delta p_r/L$	8 Fuente Tab	9 Ashrae X	10 Ashrae Y	11 Coeff. C _o	12 Veloc. V	13 P.Dinám P _v	14 Pérdida Δp_r o Δp_e
---------------	--	------------------	--------------------------------	-----------------	----------------	-----------------	---------------------	--------------------	------------------	-------------------	--------------------------------	-------------------	---------------------------------	--

N. pz.	Cod.	[m³/h]	[mm]	[mm]	[mm]	[m]	[Pa/m]	n.	-	-	-	[m/s]	[Pa]	[Pa]
2404	11RA	45	98	98	98	0	0	ASH6_26	0.125	0.332	1.020	1.7	1.74	15.39
372	310C	45	98	98	98	0.07	0.57					1.7	1.74	0.04
374	079C	45	98	98	98	0	0	3.1	1.520		0.046	1.7	1.74	0.07
2435	273C	45	75	0	0	0.02	0	5.1	30.000	1.710	0.050	2.8	4.72	0.24
375	310C	45	75	0	0	0.3	2.03					2.8	4.72	0.61
2434	023C	45	75	0	0	0.02	0	4.1	30.000	1.710	0.320	2.8	4.72	1.54
377	05LC	45	98	98	98	0	0	MC4				1.7	1.74	16.35

Pérdida de carga acumulada del segmento	Δp_t	[Pa]	: 17.89
Velocidad en la sección inicial del segmento	V_m	[m/s]	: 5
Velocidad en la sección final del segmento	V_v	[m/s]	: 1.7
Recuperación de presión estática del segmento	Δp_r	[Pa]	: 13.31
Pérdida de carga acumulada del segmento, considerando la recuperación	Δp_{tn}	[Pa]	: 5.03
Pérdida de carga acumulada neta – total acumulado	$\Sigma \Delta p_{tn}$	[Pa]	: 116.76
Desequilibrio del terminal respecto al camino más desfavorable	Δp_{Tmr}	[Pa]	: 79.11

SEGMENTO 92:

Tipo: Tramo

1 ELEMENTO		2 Caudal Q	3 Diam. D/D _e	4 Ancho A	5 Alto B	6 Long. L	7 $\Delta p/L$	8 Fuente Tab	9 Ashrae X	10 Ashrae Y	11 Coeff. C _o	12 Veloc. V	13 P.Dinám P _v	14 Pérdida Δp_r o Δp_c
N. pz.	Cod.	[m³/h]	[mm]	[mm]	[mm]	[m]	[Pa/m]	n.	-	-	-	[m/s]	[Pa]	[Pa]
2405	11RA	315	152	200	100	0	0	ASH6_26M	0.875		0.012	4.4	11.65	0.19
2408	283R	315	133	150	100	0.14	0	5.1	30.000	1.330	0.050	5.8	20.25	1.02
323	310R	315	133	150	100	0.6	4.32					5.8	20.25	2.59

Pérdida de carga acumulada del segmento	Δp_t	[Pa]	: 3.8
Velocidad en la sección inicial del segmento	V_m	[m/s]	: 5
Velocidad en la sección final del segmento	V_v	[m/s]	: 5.8
Recuperación de presión estática del segmento	Δp_r	[Pa]	: -5.2
Pérdida de carga acumulada del segmento, considerando la recuperación	Δp_{tn}	[Pa]	: 9.24
Pérdida de carga acumulada neta – total acumulado	$\Sigma \Delta p_{tn}$	[Pa]	: 104.62

SEGMENTO 91:

Tipo: Terminal TRM-46

1 ELEMENTO		2 Caudal Q	3 Diam. D/D _e	4 Ancho A	5 Alto B	6 Long. L	7 $\Delta p/L$	8 Fuente Tab	9 Ashrae X	10 Ashrae Y	11 Coeff. C _o	12 Veloc. V	13 P.Dinám P _v	14 Pérdida Δp_r o Δp_c
N. pz.	Cod.	[m³/h]	[mm]	[mm]	[mm]	[m]	[Pa/m]	n.	-	-	-	[m/s]	[Pa]	[Pa]
2406	11RA	45	98	98	98	0	0	ASH6_26	0.143	0.284	1.030	1.7	1.74	21.15
366	310C	45	98	98	98	0.07	0.57					1.7	1.74	0.04
368	079C	45	98	98	98	0	0	3.1	1.520		0.046	1.7	1.74	0.07
2433	273C	45	75	0	0	0.02	0	5.1	30.000	1.710	0.050	2.8	4.72	0.24
369	310C	45	75	0	0	0.3	2.03					2.8	4.72	0.61
2432	023C	45	75	0	0	0.02	0	4.1	30.000	1.710	0.320	2.8	4.72	1.54
371	05LC	45	98	98	98	0	0	MC4				1.7	1.74	16.35

Pérdida de carga acumulada del segmento	Δp_t	[Pa]	: 23.65
Velocidad en la sección inicial del segmento	V_m	[m/s]	: 5.8
Velocidad en la sección final del segmento	V_v	[m/s]	: 1.7
Recuperación de presión estática del segmento	Δp_r	[Pa]	: 18.51
Pérdida de carga acumulada del segmento, considerando la recuperación	Δp_{tn}	[Pa]	: 5.35
Pérdida de carga acumulada neta – total acumulado	$\Sigma \Delta p_{tn}$	[Pa]	: 126.32

Desequilibrio del terminal respecto al camino más desfavorable

 Δp_{Tmr} [Pa] : 69.55**SEGMENTO 90:****Tipo:** Tramo

1 ELEMENTO		2 Caudal Q	3 Diam. D/D _e	4 Ancho A	5 Alto B	6 Long. L	7 $\Delta p/L$	8 Fuente Tab	9 Ashrae X	10 Ashrae Y	11 Coeff. C _o	12 Veloc. V	13 P.Dinám P _v	14 Pérdida Δp_r o Δp_e
N. pz.	Cod.	[m³/h]	[mm]	[mm]	[mm]	[m]	[Pa/m]	n.	-	-	-	[m/s]	[Pa]	[Pa]
2407	11RA	270	133	150	100	0	0	ASH6_26M	0.857		0.014	5	15.05	0.29
324	310R	270	133	150	100	0.6	3.23					5	15.05	1.94

Pérdida de carga acumulada del segmento

 Δp_t [Pa] : 2.23

Velocidad en la sección inicial del segmento

 V_m [m/s] : 5.8

Velocidad en la sección final del segmento

 V_v [m/s] : 5

Recuperación de presión estática del segmento

 Δp_r [Pa] : 5.2

Pérdida de carga acumulada del segmento, considerando la recuperación

 Δp_{tn} [Pa] : -3.2

Pérdida de carga acumulada neta – total acumulado

 $\Sigma \Delta p_{tn}$ [Pa] : 101.42**SEGMENTO 89:****Tipo:** Terminal TRM-46

1 ELEMENTO		2 Caudal Q	3 Diam. D/D _e	4 Ancho A	5 Alto B	6 Long. L	7 $\Delta p/L$	8 Fuente Tab	9 Ashrae X	10 Ashrae Y	11 Coeff. C _o	12 Veloc. V	13 P.Dinám P _v	14 Pérdida Δp_r o Δp_e
N. pz.	Cod.	[m³/h]	[mm]	[mm]	[mm]	[m]	[Pa/m]	n.	-	-	-	[m/s]	[Pa]	[Pa]
2409	11RA	45	98	98	98	0	0	ASH6_26	0.167	0.332	1.050	1.7	1.74	15.79
360	310C	45	98	98	98	0.07	0.57					1.7	1.74	0.04
362	079C	45	98	98	98	0	0	3.1	1.520		0.046	1.7	1.74	0.07
2431	273C	45	75	0	0	0.02	0	5.1	30.000	1.710	0.050	2.8	4.72	0.24
363	310C	45	75	0	0	0.3	2.03					2.8	4.72	0.61
2430	023C	45	75	0	0	0.02	0	4.1	30.000	1.710	0.320	2.8	4.72	1.54
365	05LC	45	98	98	98	0	0	MC4				1.7	1.74	16.35

Pérdida de carga acumulada del segmento

 Δp_t [Pa] : 18.29

Velocidad en la sección inicial del segmento

 V_m [m/s] : 5

Velocidad en la sección final del segmento

 V_v [m/s] : 1.7

Recuperación de presión estática del segmento

 Δp_r [Pa] : 13.31

Pérdida de carga acumulada del segmento, considerando la recuperación

 Δp_{tn} [Pa] : 5.42

Pérdida de carga acumulada neta – total acumulado

 $\Sigma \Delta p_{tn}$ [Pa] : 123.19

Desequilibrio del terminal respecto al camino más desfavorable

 Δp_{Tmr} [Pa] : 72.68**SEGMENTO 88:****Tipo:** Tramo

1 ELEMENTO		2 Caudal Q	3 Diam. D/D _e	4 Ancho A	5 Alto B	6 Long. L	7 $\Delta p/L$	8 Fuente Tab	9 Ashrae X	10 Ashrae Y	11 Coeff. C _o	12 Veloc. V	13 P.Dinám P _v	14 Pérdida Δp_r o Δp_e
N. pz.	Cod.	[m³/h]	[mm]	[mm]	[mm]	[m]	[Pa/m]	n.	-	-	-	[m/s]	[Pa]	[Pa]
2410	11RA	225	133	150	100	0	0	ASH6_26M	0.833		0.017	4.2	10.62	0.25
325	310R	225	133	150	100	0.6	2.3					4.2	10.62	1.38

Pérdida de carga acumulada del segmento

 Δp_t [Pa] : 1.64

Velocidad en la sección inicial del segmento

 V_m [m/s] : 5

Velocidad en la sección final del segmento	V_v	[m/s]	: 4.2
Recuperación de presión estática del segmento	Δp_r	[Pa]	: 4.43
Pérdida de carga acumulada del segmento, considerando la recuperación	Δp_{tn}	[Pa]	: -2.96
Pérdida de carga acumulada neta – total acumulado	$\Sigma \Delta p_{tn}$	[Pa]	: 98.46

SEGMENTO 87:

Tipo: Terminal TRM-46

1 ELEMENTO		2 Caudal Q	3 Diam. D/D _e	4 Ancho A	5 Alto B	6 Long. L	7 $\Delta p/L$	8 Fuente Tab	9 Ashrae X	10 Ashrae Y	11 Coeff. C _o	12 Veloc. V	13 P.Dinám P _v	14 Pérdida Δp_r o Δp_e
N. pz.	Cod.	[m³/h]	[mm]	[mm]	[mm]	[m]	[Pa/m]	n.	-	-	-	[m/s]	[Pa]	[Pa]
2411	11RA	45	98	98	98	0	0	ASH6_26	0.200	0.398	1.070	1.7	1.74	11.18
354	310C	45	98	98	98	0.07	0.57					1.7	1.74	0.04
356	079C	45	98	98	98	0	0	3.1	1.520		0.046	1.7	1.74	0.07
2429	273C	45	75	0	0	0.02	0	5.1	30.000	1.710	0.050	2.8	4.72	0.24
357	310C	45	75	0	0	0.3	2.03					2.8	4.72	0.61
2428	023C	45	75	0	0	0.02	0	4.1	30.000	1.710	0.320	2.8	4.72	1.54
359	05LC	45	98	98	98	0	0	MC4				1.7	1.74	16.35

Pérdida de carga acumulada del segmento	Δp_t	[Pa]	: 13.69
Velocidad en la sección inicial del segmento	V_m	[m/s]	: 4.2
Velocidad en la sección final del segmento	V_v	[m/s]	: 1.7
Recuperación de presión estática del segmento	Δp_r	[Pa]	: 8.88
Pérdida de carga acumulada del segmento, considerando la recuperación	Δp_{tn}	[Pa]	: 5.42
Pérdida de carga acumulada neta – total acumulado	$\Sigma \Delta p_{tn}$	[Pa]	: 120.22
Desequilibrio del terminal respecto al camino más desfavorable	Δp_{Tmr}	[Pa]	: 75.65

SEGMENTO 86:

Tipo: Tramo

1 ELEMENTO		2 Caudal Q	3 Diam. D/D _e	4 Ancho A	5 Alto B	6 Long. L	7 $\Delta p/L$	8 Fuente Tab	9 Ashrae X	10 Ashrae Y	11 Coeff. C _o	12 Veloc. V	13 P.Dinám P _v	14 Pérdida Δp_r o Δp_e
N. pz.	Cod.	[m³/h]	[mm]	[mm]	[mm]	[m]	[Pa/m]	n.	-	-	-	[m/s]	[Pa]	[Pa]
2412	11RA	180	133	150	100	0	0	ASH6_26M	0.800		0.020	3.3	6.56	0.21
2415	283R	180	109	100	100	0.14	0	5.1	30.000	1.500	0.050	5	15.05	0.75
326	310R	180	109	100	100	0.6	4.08					5	15.05	2.45

Pérdida de carga acumulada del segmento	Δp_t	[Pa]	: 3.41
Velocidad en la sección inicial del segmento	V_m	[m/s]	: 4.2
Velocidad en la sección final del segmento	V_v	[m/s]	: 5
Recuperación de presión estática del segmento	Δp_r	[Pa]	: -4.43
Pérdida de carga acumulada del segmento, considerando la recuperación	Δp_{tn}	[Pa]	: 8.01
Pérdida de carga acumulada neta – total acumulado	$\Sigma \Delta p_{tn}$	[Pa]	: 106.47

SEGMENTO 85:

Tipo: Terminal TRM-46

1 ELEMENTO		2 Caudal Q	3 Diam. D/D _e	4 Ancho A	5 Alto B	6 Long. L	7 $\Delta p/L$	8 Fuente Tab	9 Ashrae X	10 Ashrae Y	11 Coeff. C _o	12 Veloc. V	13 P.Dinám P _v	14 Pérdida Δp_r o Δp_e
N. pz.	Cod.	[m³/h]	[mm]	[mm]	[mm]	[m]	[Pa/m]	n.	-	-	-	[m/s]	[Pa]	[Pa]
2413	11RA	45	98	98	98	0	0	ASH6_26	0.250	0.332	1.080	1.7	1.74	16.18
348	310C	45	98	98	98	0.07	0.57					1.7	1.74	0.04

350	079C	45	98	98	98	0	0	3.1	1.520		0.046	1.7	1.74	0.07
2427	273C	45	75	0	0	0.02	0	5.1	30.000	1.710	0.050	2.8	4.72	0.24
351	310C	45	75	0	0	0.3	2.03					2.8	4.72	0.61
2426	023C	45	75	0	0	0.02	0	4.1	30.000	1.710	0.320	2.8	4.72	1.54
353	05LC	45	98	98	98	0	0	MC4				1.7	1.74	16.35

Pérdida de carga acumulada del segmento	Δp_t	[Pa]	: 18.68
Velocidad en la sección inicial del segmento	V_m	[m/s]	: 5
Velocidad en la sección final del segmento	V_v	[m/s]	: 1.7
Recuperación de presión estática del segmento	Δp_r	[Pa]	: 13.31
Pérdida de carga acumulada del segmento, considerando la recuperación	Δp_{tn}	[Pa]	: 5.82
Pérdida de carga acumulada neta – total acumulado	$\Sigma \Delta p_{tn}$	[Pa]	: 128.63
Desequilibrio del terminal respecto al camino más desfavorable	Δp_{Tmr}	[Pa]	: 67.24

SEGMENTO 84:

Tipo: Tramo

1 ELEMENTO		2 Caudal Q	3 Diam. D/D _e	4 Ancho A	5 Alto B	6 Long. L	7 $\Delta p/L$	8 Fuente Tab	9 Ashrae X	10 Ashrae Y	11 Coeff. C _o	12 Veloc. V	13 P.Dinám P _v	14 Pérdida Δp_r o Δp_e
N. pz.	Cod.	[m³/h]	[mm]	[mm]	[mm]	[m]	[Pa/m]	n.	-	-	-	[m/s]	[Pa]	[Pa]
2414	11RA	135	109	100	100	0	0	ASH6_26M	0.750		0.030	3.7	8.24	0.45
327	310R	135	109	100	100	0.6	2.4					3.7	8.24	1.44

Pérdida de carga acumulada del segmento	Δp_t	[Pa]	: 1.89
Velocidad en la sección inicial del segmento	V_m	[m/s]	: 5
Velocidad en la sección final del segmento	V_v	[m/s]	: 3.7
Recuperación de presión estática del segmento	Δp_r	[Pa]	: 6.81
Pérdida de carga acumulada del segmento, considerando la recuperación	Δp_{tn}	[Pa]	: -4.69
Pérdida de carga acumulada neta – total acumulado	$\Sigma \Delta p_{tn}$	[Pa]	: 101.78

SEGMENTO 83:

Tipo: Terminal TRM-46

1 ELEMENTO		2 Caudal Q	3 Diam. D/D _e	4 Ancho A	5 Alto B	6 Long. L	7 $\Delta p/L$	8 Fuente Tab	9 Ashrae X	10 Ashrae Y	11 Coeff. C _o	12 Veloc. V	13 P.Dinám P _v	14 Pérdida Δp_r o Δp_e
N. pz.	Cod.	[m³/h]	[mm]	[mm]	[mm]	[m]	[Pa/m]	n.	-	-	-	[m/s]	[Pa]	[Pa]
2416	11RA	45	98	98	98	0	0	ASH6_26	0.333	0.442	1.100	1.7	1.74	9.28
342	310C	45	98	98	98	0.07	0.57					1.7	1.74	0.04
344	079C	45	98	98	98	0	0	3.1	1.520		0.046	1.7	1.74	0.07
2425	273C	45	75	0	0	0.02	0	5.1	30.000	1.710	0.050	2.8	4.72	0.24
345	310C	45	75	0	0	0.3	2.03					2.8	4.72	0.61
2424	023C	45	75	0	0	0.02	0	4.1	30.000	1.710	0.320	2.8	4.72	1.54
347	05LC	45	98	98	98	0	0	MC4				1.7	1.74	16.35

Pérdida de carga acumulada del segmento	Δp_t	[Pa]	: 11.79
Velocidad en la sección inicial del segmento	V_m	[m/s]	: 3.7
Velocidad en la sección final del segmento	V_v	[m/s]	: 1.7
Recuperación de presión estática del segmento	Δp_r	[Pa]	: 6.5
Pérdida de carga acumulada del segmento, considerando la recuperación	Δp_{tn}	[Pa]	: 5.51
Pérdida de carga acumulada neta – total acumulado	$\Sigma \Delta p_{tn}$	[Pa]	: 123.63
Desequilibrio del terminal respecto al camino más desfavorable	Δp_{Tmr}	[Pa]	: 72.24

SEGMENTO 82:

Tipo: Tramo

1 ELEMENTO		2 Caudal Q	3 Diam. D/D _e	4 Ancho A	5 Alto B	6 Long. L	7 $\Delta p/L$	8 Fuente Tab	9 Ashrae X	10 Ashrae Y	11 Coeff. C _o	12 Veloc. V	13 P.Dinám P _v	14 Pérdida Δp_r o Δp_e
N. pz.	Cod.	[m³/h]	[mm]	[mm]	[mm]	[m]	[Pa/m]	n.	-	-	-	[m/s]	[Pa]	[Pa]
2417	11RA	90	109	100	100	0	0	ASH6_26M	0.667		0.047	2.5	3.76	0.4
328	310R	90	109	100	100	0.6	1.13					2.5	3.76	0.68

Pérdida de carga acumulada del segmento	Δp_t	[Pa] : 1.07
Velocidad en la sección inicial del segmento	V_m	[m/s] : 3.7
Velocidad en la sección final del segmento	V_v	[m/s] : 2.5
Recuperación de presión estática del segmento	Δp_r	[Pa] : 4.48
Pérdida de carga acumulada del segmento, considerando la recuperación	Δp_{tm}	[Pa] : -3.63
Pérdida de carga acumulada neta – total acumulado	$\Sigma \Delta p_{tm}$	[Pa] : 98.15

SEGMENTO 81:

Tipo: Terminal TRM-46

1 ELEMENTO		2 Caudal Q	3 Diam. D/D _e	4 Ancho A	5 Alto B	6 Long. L	7 $\Delta p/L$	8 Fuente Tab	9 Ashrae X	10 Ashrae Y	11 Coeff. C _o	12 Veloc. V	13 P.Dinám P _v	14 Pérdida Δp_r o Δp_e
N. pz.	Cod.	[m³/h]	[mm]	[mm]	[mm]	[m]	[Pa/m]	n.	-	-	-	[m/s]	[Pa]	[Pa]
2418	11RA	45	98	98	98	0	0	ASH6_26	0.500	0.663	1.260	1.7	1.74	4.74
336	310C	45	98	98	98	0.07	0.57					1.7	1.74	0.04
338	079C	45	98	98	98	0	0	3.1	1.520		0.046	1.7	1.74	0.07
2423	273C	45	75	0	0	0.02	0	5.1	30.000	1.710	0.050	2.8	4.72	0.24
339	310C	45	75	0	0	0.3	2.03					2.8	4.72	0.61
2422	023C	45	75	0	0	0.02	0	4.1	30.000	1.710	0.320	2.8	4.72	1.54
341	05LC	45	98	98	98	0	0	MC4				1.7	1.74	16.35

Pérdida de carga acumulada del segmento	Δp_t	[Pa] : 7.25
Velocidad en la sección inicial del segmento	V_m	[m/s] : 2.5
Velocidad en la sección final del segmento	V_v	[m/s] : 1.7
Recuperación de presión estática del segmento	Δp_r	[Pa] : 2.02
Pérdida de carga acumulada del segmento, considerando la recuperación	Δp_{tm}	[Pa] : 5.67
Pérdida de carga acumulada neta – total acumulado	$\Sigma \Delta p_{tm}$	[Pa] : 120.16
Desequilibrio del terminal respecto al camino más desfavorable	Δp_{Tmr}	[Pa] : 75.71

SEGMENTO 80:

Tipo: Terminal TRM-46

1 ELEMENTO		2 Caudal Q	3 Diam. D/D _e	4 Ancho A	5 Alto B	6 Long. L	7 $\Delta p/L$	8 Fuente Tab	9 Ashrae X	10 Ashrae Y	11 Coeff. C _o	12 Veloc. V	13 P.Dinám P _v	14 Pérdida Δp_r o Δp_e
N. pz.	Cod.	[m³/h]	[mm]	[mm]	[mm]	[m]	[Pa/m]	n.	-	-	-	[m/s]	[Pa]	[Pa]
2419	11RA	45	109	100	100	0	0	ASH6_26M	0.500		0.090	1.2	0.87	0.34
329	310R	45	109	100	100	0.6	0.32					1.2	0.87	0.19
320	11RAT	45	109	100	100	0	0	2_6	1.000	0.917	2.800	1.2	0.87	4.63
330	310C	45	98	98	98	0.07	0.57					1.7	1.74	0.04
332	079C	45	98	98	98	0	0	3.1	1.520		0.046	1.7	1.74	0.07
2421	023C	45	98	98	98	0	0	4.1	30.000	1.040	0.320	1.7	1.74	0.53
333	310C	45	100	0	0	0.3	0.5					1.6	1.54	0.15
2420	273C	45	98	98	98	0	0	5.1	30.000	1.040	0.050	1.7	1.74	0.08
335	05LC	45	98	98	98	0	0	MC4				1.7	1.74	16.35

Pérdida de carga acumulada del segmento	Δp_t	[Pa] : 6.04
Velocidad en la sección inicial del segmento	V_m	[m/s] : 2.5

Velocidad en la sección final del segmento	V_v	[m/s]	: 1.7
Recuperación de presión estática del segmento	Δp_r	[Pa]	: 2.02
Pérdida de carga acumulada del segmento, considerando la recuperación	Δp_{tn}	[Pa]	: 3.93
Pérdida de carga acumulada neta – total acumulado	$\Sigma \Delta p_{tn}$	[Pa]	: 118.42
Desequilibrio del terminal respecto al camino más desfavorable	Δp_{Tmr}	[Pa]	: 77.45

SEGMENTO 118:

Tipo: Tramo

1 ELEMENTO		2 Caudal Q	3 Diam. D/D _e	4 Ancho A	5 Alto B	6 Long. L	7 $\Delta p/L$	8 Fuente Tab	9 Ashrae X	10 Ashrae Y	11 Coeff. C _o	12 Veloc. V	13 P.Dinám P _v	14 Pérdida Δp_r o Δp_c
N. pz.	Cod.	[m³/h]	[mm]	[mm]	[mm]	[m]	[Pa/m]	n.	-	-	-	[m/s]	[Pa]	[Pa]
2396	3736	10800	842	850	700	0	0	MC4	0.923		0.069	5	15.05	1.04
2481	283R	10800	811	850	650	0.19	0	5.1	30.000	1.080	0.050	5.4	17.55	6.25
462	310R	10800	811	850	650	1	0.4					5.4	17.55	0.4

Pérdida de carga acumulada del segmento	Δp_t	[Pa]	: 7.69
Velocidad en la sección inicial del segmento	V_m	[m/s]	: 4.5
Velocidad en la sección final del segmento	V_v	[m/s]	: 6
Recuperación de presión estática del segmento	Δp_r	[Pa]	: -9.48
Pérdida de carga acumulada del segmento, considerando la recuperación	Δp_{tn}	[Pa]	: 18.18
Pérdida de carga acumulada neta – total acumulado	$\Sigma \Delta p_{tn}$	[Pa]	: 92.04

SEGMENTO 138:

Tipo: Tramo

1 ELEMENTO		2 Caudal Q	3 Diam. D/D _e	4 Ancho A	5 Alto B	6 Long. L	7 $\Delta p/L$	8 Fuente Tab	9 Ashrae X	10 Ashrae Y	11 Coeff. C _o	12 Veloc. V	13 P.Dinám P _v	14 Pérdida Δp_r o Δp_c
N. pz.	Cod.	[m³/h]	[mm]	[mm]	[mm]	[m]	[Pa/m]	n.	-	-	-	[m/s]	[Pa]	[Pa]
2479	3736	450	321	150	650	0	0	MC4	0.042	0.176	17.900	1.3	1.02	18.27
2526	283R	450	164	150	150	0.97	0	5.1	30.000	4.330	0.040	5.6	18.88	0.81
537	310R	450	164	150	150	1.1	2.95					5.6	18.88	3.25

Pérdida de carga acumulada del segmento	Δp_t	[Pa]	: 22.33
Velocidad en la sección inicial del segmento	V_m	[m/s]	: 6
Velocidad en la sección final del segmento	V_v	[m/s]	: 3.3
Recuperación de presión estática del segmento	Δp_r	[Pa]	: 15.12
Pérdida de carga acumulada del segmento, considerando la recuperación	Δp_{tn}	[Pa]	: 8.27
Pérdida de carga acumulada neta – total acumulado	$\Sigma \Delta p_{tn}$	[Pa]	: 100.32

SEGMENTO 156:

Tipo: Terminal TRM-18

1 ELEMENTO		2 Caudal Q	3 Diam. D/D _e	4 Ancho A	5 Alto B	6 Long. L	7 $\Delta p/L$	8 Fuente Tab	9 Ashrae X	10 Ashrae Y	11 Coeff. C _o	12 Veloc. V	13 P.Dinám P _v	14 Pérdida Δp_r o Δp_c
N. pz.	Cod.	[m³/h]	[mm]	[mm]	[mm]	[m]	[Pa/m]	n.	-	-	-	[m/s]	[Pa]	[Pa]
2524	11RA	45	98	98	98	0	0	ASH6_26	0.100	0.298	1.070	1.7	1.74	7.18
603	310C	45	98	98	98	0.07	0.57					1.7	1.74	0.04
605	079C	45	98	98	98	0	0	3.1	1.520		0.046	1.7	1.74	0.07
2562	273C	45	75	0	0	0.02	0	5.1	30.000	1.710	0.050	2.8	4.72	0.24
606	310C	45	75	0	0	0.3	2.03					2.8	4.72	0.61
2561	023C	45	75	0	0	0.02	0	4.1	30.000	1.710	0.320	2.8	4.72	1.54
608	05LC	45	98	98	98	0	0	MC4				1.7	1.74	16.35

Pérdida de carga acumulada del segmento	Δp_t	[Pa]	: 9.68
Velocidad en la sección inicial del segmento	V_m	[m/s]	: 3.3
Velocidad en la sección final del segmento	V_v	[m/s]	: 1.7
Recuperación de presión estática del segmento	Δp_r	[Pa]	: 4.82
Pérdida de carga acumulada del segmento, considerando la recuperación	Δp_{tn}	[Pa]	: 5.18
Pérdida de carga acumulada neta – total acumulado	$\Sigma \Delta p_{tn}$	[Pa]	: 121.84
Desequilibrio del terminal respecto al camino más desfavorable	Δp_{Tmr}	[Pa]	: 74.03

SEGMENTO 155:

Tipo: Tramo

1 ELEMENTO		2 Caudal Q	3 Diam. D/D _e	4 Ancho A	5 Alto B	6 Long. L	7 $\Delta p/L$	8 Fuente Tab	9 Ashrae X	10 Ashrae Y	11 Coeff. C _o	12 Veloc. V	13 P.Dinám P _v	14 Pérdida Δp_r o Δp_e
N. pz.	Cod.	[m³/h]	[mm]	[mm]	[mm]	[m]	[Pa/m]	n.	-	-	-	[m/s]	[Pa]	[Pa]
2525	11RA	405	164	150	150	0	0	ASH6_26M	0.900		0.010	5	15.05	0.07
540	310R	405	164	150	150	0.6	2.43					5	15.05	1.46

Pérdida de carga acumulada del segmento	Δp_t	[Pa]	: 1.52
Velocidad en la sección inicial del segmento	V_m	[m/s]	: 3.3
Velocidad en la sección final del segmento	V_v	[m/s]	: 3
Recuperación de presión estática del segmento	Δp_r	[Pa]	: 1.14
Pérdida de carga acumulada del segmento, considerando la recuperación	Δp_{tn}	[Pa]	: 1.76
Pérdida de carga acumulada neta – total acumulado	$\Sigma \Delta p_{tn}$	[Pa]	: 102.08

SEGMENTO 154:

Tipo: Terminal TRM-19

1 ELEMENTO		2 Caudal Q	3 Diam. D/D _e	4 Ancho A	5 Alto B	6 Long. L	7 $\Delta p/L$	8 Fuente Tab	9 Ashrae X	10 Ashrae Y	11 Coeff. C _o	12 Veloc. V	13 P.Dinám P _v	14 Pérdida Δp_r o Δp_e
N. pz.	Cod.	[m³/h]	[mm]	[mm]	[mm]	[m]	[Pa/m]	n.	-	-	-	[m/s]	[Pa]	[Pa]
2527	11RA	45	98	98	98	0	0	ASH6_26	0.111	0.332	1.110	1.7	1.74	6
597	310C	45	98	98	98	0.07	0.57					1.7	1.74	0.04
599	079C	45	98	98	98	0	0	3.1	1.520		0.046	1.7	1.74	0.07
2560	273C	45	75	0	0	0.02	0	5.1	30.000	1.710	0.050	2.8	4.72	0.24
600	310C	45	75	0	0	0.3	2.03					2.8	4.72	0.61
2559	023C	45	75	0	0	0.02	0	4.1	30.000	1.710	0.320	2.8	4.72	1.54
602	05LC	45	98	98	98	0	0	MC4				1.7	1.74	16.35

Pérdida de carga acumulada del segmento	Δp_t	[Pa]	: 8.51
Velocidad en la sección inicial del segmento	V_m	[m/s]	: 3
Velocidad en la sección final del segmento	V_v	[m/s]	: 1.7
Recuperación de presión estática del segmento	Δp_r	[Pa]	: 3.68
Pérdida de carga acumulada del segmento, considerando la recuperación	Δp_{tn}	[Pa]	: 5.27
Pérdida de carga acumulada neta – total acumulado	$\Sigma \Delta p_{tn}$	[Pa]	: 123.69
Desequilibrio del terminal respecto al camino más desfavorable	Δp_{Tmr}	[Pa]	: 72.18

SEGMENTO 153:

Tipo: Tramo

1 ELEMENTO		2 Caudal Q	3 Diam. D/D _e	4 Ancho A	5 Alto B	6 Long. L	7 $\Delta p/L$	8 Fuente Tab	9 Ashrae X	10 Ashrae Y	11 Coeff. C _o	12 Veloc. V	13 P.Dinám P _v	14 Pérdida Δp_r o Δp_e
---------------	--	------------------	--------------------------------	-----------------	----------------	-----------------	-------------------	--------------------	------------------	-------------------	--------------------------------	-------------------	---------------------------------	--

N. pz.	Cod.	[m³/h]	[mm]	[mm]	[mm]	[m]	[Pa/m]	n.	-	-	-	[m/s]	[Pa]	[Pa]
2528	11RA	360	164	150	150	0	0	ASH6_26M	0.889		0.011	4.4	11.65	0.06
541	310R	360	164	150	150	0.6	1.95					4.4	11.65	1.17

Pérdida de carga acumulada del segmento	Δp_t	[Pa]	: 1.23
Velocidad en la sección inicial del segmento	V_m	[m/s]	: 3
Velocidad en la sección final del segmento	V_v	[m/s]	: 2.7
Recuperación de presión estática del segmento	Δp_r	[Pa]	: 1.03
Pérdida de carga acumulada del segmento, considerando la recuperación	Δp_{tm}	[Pa]	: 1.28
Pérdida de carga acumulada neta – total acumulado	$\Sigma \Delta p_{tm}$	[Pa]	: 103.36

SEGMENTO 152:

Tipo: Terminal TRM-20

1 ELEMENTO		2 Caudal Q	3 Diam. D/D _e	4 Ancho A	5 Alto B	6 Long. L	7 $\Delta p/L$	8 Fuente Tab	9 Ashrae X	10 Ashrae Y	11 Coeff. C _o	12 Veloc. V	13 P.Dinám P _v	14 Pérdida Δp_r o Δp_c
N. pz.	Cod.	[m³/h]	[mm]	[mm]	[mm]	[m]	[Pa/m]	n.	-	-	-	[m/s]	[Pa]	[Pa]
2529	11RA	45	98	98	98	0	0	ASH6_26	0.125	0.373	1.140	1.7	1.74	4.88
591	310C	45	98	98	98	0.07	0.57					1.7	1.74	0.04
593	079C	45	98	98	98	0	0	3.1	1.520		0.046	1.7	1.74	0.07
2558	273C	45	75	0	0	0.02	0	5.1	30.000	1.710	0.050	2.8	4.72	0.24
594	310C	45	75	0	0	0.3	2.03					2.8	4.72	0.61
2557	023C	45	75	0	0	0.02	0	4.1	30.000	1.710	0.320	2.8	4.72	1.54
596	05LC	45	98	98	98	0	0	MC4				1.7	1.74	16.35

Pérdida de carga acumulada del segmento	Δp_t	[Pa]	: 7.38
Velocidad en la sección inicial del segmento	V_m	[m/s]	: 2.7
Velocidad en la sección final del segmento	V_v	[m/s]	: 1.7
Recuperación de presión estática del segmento	Δp_r	[Pa]	: 2.65
Pérdida de carga acumulada del segmento, considerando la recuperación	Δp_{tm}	[Pa]	: 5.28
Pérdida de carga acumulada neta – total acumulado	$\Sigma \Delta p_{tm}$	[Pa]	: 124.99
Desequilibrio del terminal respecto al camino más desfavorable	Δp_{Tmr}	[Pa]	: 70.88

SEGMENTO 151:

Tipo: Tramo

1 ELEMENTO		2 Caudal Q	3 Diam. D/D _e	4 Ancho A	5 Alto B	6 Long. L	7 $\Delta p/L$	8 Fuente Tab	9 Ashrae X	10 Ashrae Y	11 Coeff. C _o	12 Veloc. V	13 P.Dinám P _v	14 Pérdida Δp_r o Δp_c
N. pz.	Cod.	[m³/h]	[mm]	[mm]	[mm]	[m]	[Pa/m]	n.	-	-	-	[m/s]	[Pa]	[Pa]
2530	11RA	315	164	150	150	0	0	ASH6_26M	0.875		0.012	3.9	9.16	0.05
542	310R	315	164	150	150	0.6	1.52					3.9	9.16	0.91

Pérdida de carga acumulada del segmento	Δp_t	[Pa]	: 0.97
Velocidad en la sección inicial del segmento	V_m	[m/s]	: 2.7
Velocidad en la sección final del segmento	V_v	[m/s]	: 2.3
Recuperación de presión estática del segmento	Δp_r	[Pa]	: 1.2
Pérdida de carga acumulada del segmento, considerando la recuperación	Δp_{tm}	[Pa]	: 0.87
Pérdida de carga acumulada neta – total acumulado	$\Sigma \Delta p_{tm}$	[Pa]	: 104.23

SEGMENTO 150:

Tipo: Terminal TRM-21

1 ELEMENTO		2 Caudal Q	3 Diam. D/D _e	4 Ancho A	5 Alto B	6 Long. L	7 $\Delta p/L$	8 Fuente Tab	9 Ashrae X	10 Ashrae Y	11 Coeff. C _o	12 Veloc. V	13 P.Dinám P _v	14 Pérdida Δp_r o Δp_e
N. pz.	Cod.	[m³/h]	[mm]	[mm]	[mm]	[m]	[Pa/m]	n.	-	-	-	[m/s]	[Pa]	[Pa]
2531	11RA	45	98	98	98	0	0	ASH6_26	0.143	0.426	1.190	1.7	1.74	3.88
585	310C	45	98	98	98	0.07	0.57					1.7	1.74	0.04
587	079C	45	98	98	98	0	0	3.1	1.520		0.046	1.7	1.74	0.07
2556	273C	45	75	0	0	0.02	0	5.1	30.000	1.710	0.050	2.8	4.72	0.24
588	310C	45	75	0	0	0.3	2.03					2.8	4.72	0.61
2555	023C	45	75	0	0	0.02	0	4.1	30.000	1.710	0.320	2.8	4.72	1.54
590	05LC	45	98	98	98	0	0	MC4				1.7	1.74	16.35

Pérdida de carga acumulada del segmento	Δp_t	[Pa]	: 6.39
Velocidad en la sección inicial del segmento	V_m	[m/s]	: 2.3
Velocidad en la sección final del segmento	V_v	[m/s]	: 1.7
Recuperación de presión estática del segmento	Δp_r	[Pa]	: 1.44
Pérdida de carga acumulada del segmento, considerando la recuperación	Δp_{tm}	[Pa]	: 5.29
Pérdida de carga acumulada neta – total acumulado	$\Sigma \Delta p_{tm}$	[Pa]	: 125.87
Desequilibrio del terminal respecto al camino más desfavorable	Δp_{Tmr}	[Pa]	: 70

SEGMENTO 149:

Tipo: Tramo

1 ELEMENTO		2 Caudal Q	3 Diam. D/D _e	4 Ancho A	5 Alto B	6 Long. L	7 $\Delta p/L$	8 Fuente Tab	9 Ashrae X	10 Ashrae Y	11 Coeff. C _o	12 Veloc. V	13 P.Dinám P _v	14 Pérdida Δp_r o Δp_e
N. pz.	Cod.	[m³/h]	[mm]	[mm]	[mm]	[m]	[Pa/m]	n.	-	-	-	[m/s]	[Pa]	[Pa]
2532	11RA	270	164	150	150	0	0	ASH6_26M	0.857		0.014	3.3	6.56	0.05
543	310R	270	164	150	150	0.6	1.15					3.3	6.56	0.69

Pérdida de carga acumulada del segmento	Δp_t	[Pa]	: 0.73
Velocidad en la sección inicial del segmento	V_m	[m/s]	: 2.3
Velocidad en la sección final del segmento	V_v	[m/s]	: 2
Recuperación de presión estática del segmento	Δp_r	[Pa]	: 0.78
Pérdida de carga acumulada del segmento, considerando la recuperación	Δp_{tm}	[Pa]	: 0.53
Pérdida de carga acumulada neta – total acumulado	$\Sigma \Delta p_{tm}$	[Pa]	: 104.76

SEGMENTO 148:

Tipo: Terminal TRM-22

1 ELEMENTO		2 Caudal Q	3 Diam. D/D _e	4 Ancho A	5 Alto B	6 Long. L	7 $\Delta p/L$	8 Fuente Tab	9 Ashrae X	10 Ashrae Y	11 Coeff. C _o	12 Veloc. V	13 P.Dinám P _v	14 Pérdida Δp_r o Δp_e
N. pz.	Cod.	[m³/h]	[mm]	[mm]	[mm]	[m]	[Pa/m]	n.	-	-	-	[m/s]	[Pa]	[Pa]
2533	11RA	45	98	98	98	0	0	ASH6_26	0.167	0.497	1.280	1.7	1.74	3.08
579	310C	45	98	98	98	0.07	0.57					1.7	1.74	0.04
581	079C	45	98	98	98	0	0	3.1	1.520		0.046	1.7	1.74	0.07
2554	273C	45	75	0	0	0.02	0	5.1	30.000	1.710	0.050	2.8	4.72	0.24
582	310C	45	75	0	0	0.3	2.03					2.8	4.72	0.61
2553	023C	45	75	0	0	0.02	0	4.1	30.000	1.710	0.320	2.8	4.72	1.54
584	05LC	45	98	98	98	0	0	MC4				1.7	1.74	16.35

Pérdida de carga acumulada del segmento	Δp_t	[Pa]	: 5.59
Velocidad en la sección inicial del segmento	V_m	[m/s]	: 2
Velocidad en la sección final del segmento	V_v	[m/s]	: 1.7

Recuperación de presión estática del segmento	Δp_r	[Pa] : 0.67
Pérdida de carga acumulada del segmento, considerando la recuperación	Δp_{tn}	[Pa] : 5.36
Pérdida de carga acumulada neta – total acumulado	$\Sigma \Delta p_{tn}$	[Pa] : 126.47
Desequilibrio del terminal respecto al camino más desfavorable	Δp_{Tmr}	[Pa] : 69.4

SEGMENTO 147:

Tipo: Tramo

1 ELEMENTO		2 Caudal Q	3 Diam. D/D _e	4 Ancho A	5 Alto B	6 Long. L	7 $\Delta p/L$	8 Fuente Tab	9 Ashrae X	10 Ashrae Y	11 Coeff. C _o	12 Veloc. V	13 P.Dinám P _v	14 Pérdida Δp_r o Δp_c
N. pz.	Cod.	[m³/h]	[mm]	[mm]	[mm]	[m]	[Pa/m]	n.	-	-	-	[m/s]	[Pa]	[Pa]
2534	11RA	225	164	150	150	0	0	ASH6_26M	0.833		0.017	2.8	4.72	0.04
544	310R	225	164	150	150	0.6	0.82					2.8	4.72	0.49

Pérdida de carga acumulada del segmento	Δp_t	[Pa] : 0.53
Velocidad en la sección inicial del segmento	V_m	[m/s] : 2
Velocidad en la sección final del segmento	V_v	[m/s] : 3.1
Recuperación de presión estática del segmento	Δp_r	[Pa] : -3.38
Pérdida de carga acumulada del segmento, considerando la recuperación	Δp_{tn}	[Pa] : 4.53
Pérdida de carga acumulada neta – total acumulado	$\Sigma \Delta p_{tn}$	[Pa] : 109.29

SEGMENTO 146:

Tipo: Terminal TRM-22

1 ELEMENTO		2 Caudal Q	3 Diam. D/D _e	4 Ancho A	5 Alto B	6 Long. L	7 $\Delta p/L$	8 Fuente Tab	9 Ashrae X	10 Ashrae Y	11 Coeff. C _o	12 Veloc. V	13 P.Dinám P _v	14 Pérdida Δp_r o Δp_c
N. pz.	Cod.	[m³/h]	[mm]	[mm]	[mm]	[m]	[Pa/m]	n.	-	-	-	[m/s]	[Pa]	[Pa]
2535	11RA	45	98	98	98	0	0	ASH6_26	0.200	0.597	1.090	1.7	1.74	6.41
573	310C	45	98	98	98	0.07	0.57					1.7	1.74	0.04
575	079C	45	98	98	98	0	0	3.1	1.520		0.046	1.7	1.74	0.07
2552	273C	45	75	0	0	0.02	0	5.1	30.000	1.710	0.050	2.8	4.72	0.24
576	310C	45	75	0	0	0.3	2.03					2.8	4.72	0.61
2551	023C	45	75	0	0	0.02	0	4.1	30.000	1.710	0.320	2.8	4.72	1.54
578	05LC	45	98	98	98	0	0	MC4				1.7	1.74	16.35

Pérdida de carga acumulada del segmento	Δp_t	[Pa] : 8.91
Velocidad en la sección inicial del segmento	V_m	[m/s] : 3.1
Velocidad en la sección final del segmento	V_v	[m/s] : 1.7
Recuperación de presión estática del segmento	Δp_r	[Pa] : 4.05
Pérdida de carga acumulada del segmento, considerando la recuperación	Δp_{tn}	[Pa] : 5.21
Pérdida de carga acumulada neta – total acumulado	$\Sigma \Delta p_{tn}$	[Pa] : 130.85
Desequilibrio del terminal respecto al camino más desfavorable	Δp_{Tmr}	[Pa] : 65.02

SEGMENTO 145:

Tipo: Tramo

1 ELEMENTO		2 Caudal Q	3 Diam. D/D _e	4 Ancho A	5 Alto B	6 Long. L	7 $\Delta p/L$	8 Fuente Tab	9 Ashrae X	10 Ashrae Y	11 Coeff. C _o	12 Veloc. V	13 P.Dinám P _v	14 Pérdida Δp_r o Δp_c
N. pz.	Cod.	[m³/h]	[mm]	[mm]	[mm]	[m]	[Pa/m]	n.	-	-	-	[m/s]	[Pa]	[Pa]
2536	11RA	180	164	150	150	0	0	ASH6_26M	0.800		0.020	2.2	2.91	0.12
545	310R	180	164	150	150	0.6	0.55					2.2	2.91	0.33

Pérdida de carga acumulada del segmento	Δp_t	[Pa]	: 0.45
Velocidad en la sección inicial del segmento	V_m	[m/s]	: 3.1
Velocidad en la sección final del segmento	V_v	[m/s]	: 2.5
Recuperación de presión estática del segmento	Δp_r	[Pa]	: 2.02
Pérdida de carga acumulada del segmento, considerando la recuperación	Δp_{tn}	[Pa]	: -0.35
Pérdida de carga acumulada neta – total acumulado	$\Sigma \Delta p_{tn}$	[Pa]	: 108.94

SEGMENTO 144:

Tipo: Terminal TRM-24

1 ELEMENTO		2 Caudal Q	3 Diam. D/D _e	4 Ancho A	5 Alto B	6 Long. L	7 $\Delta p/L$	8 Fuente Tab	9 Ashrae X	10 Ashrae Y	11 Coeff. C _o	12 Veloc. V	13 P.Dinám P _v	14 Pérdida Δp_r o Δp_e
N. pz.	Cod.	[m³/h]	[mm]	[mm]	[mm]	[m]	[Pa/m]	n.	-	-	-	[m/s]	[Pa]	[Pa]
2537	11RA	45	98	98	98	0	0	ASH6_26	0.250	0.746	1.130	1.7	1.74	4.25
567	310C	45	98	98	98	0.07	0.57					1.7	1.74	0.04
569	079C	45	98	98	98	0	0	3.1	1.520		0.046	1.7	1.74	0.07
2550	273C	45	75	0	0	0.02	0	5.1	30.000	1.710	0.050	2.8	4.72	0.24
570	310C	45	75	0	0	0.3	2.03					2.8	4.72	0.61
2549	023C	45	75	0	0	0.02	0	4.1	30.000	1.710	0.320	2.8	4.72	1.54
572	05LC	45	98	98	98	0	0	MC4				1.7	1.74	16.35

Pérdida de carga acumulada del segmento	Δp_t	[Pa]	: 6.76
Velocidad en la sección inicial del segmento	V_m	[m/s]	: 2.5
Velocidad en la sección final del segmento	V_v	[m/s]	: 1.7
Recuperación de presión estática del segmento	Δp_r	[Pa]	: 2.02
Pérdida de carga acumulada del segmento, considerando la recuperación	Δp_{tn}	[Pa]	: 5.17
Pérdida de carga acumulada neta – total acumulado	$\Sigma \Delta p_{tn}$	[Pa]	: 130.46
Desequilibrio del terminal respecto al camino más desfavorable	Δp_{Tmr}	[Pa]	: 65.41

SEGMENTO 143:

Tipo: Tramo

1 ELEMENTO		2 Caudal Q	3 Diam. D/D _e	4 Ancho A	5 Alto B	6 Long. L	7 $\Delta p/L$	8 Fuente Tab	9 Ashrae X	10 Ashrae Y	11 Coeff. C _o	12 Veloc. V	13 P.Dinám P _v	14 Pérdida Δp_r o Δp_e
N. pz.	Cod.	[m³/h]	[mm]	[mm]	[mm]	[m]	[Pa/m]	n.	-	-	-	[m/s]	[Pa]	[Pa]
2538	11RA	135	164	150	150	0	0	ASH6_26M	0.750		0.030	1.7	1.74	0.11
546	310R	135	164	150	150	0.6	0.32					1.7	1.74	0.19

Pérdida de carga acumulada del segmento	Δp_t	[Pa]	: 0.31
Velocidad en la sección inicial del segmento	V_m	[m/s]	: 2.5
Velocidad en la sección final del segmento	V_v	[m/s]	: 2.5
Recuperación de presión estática del segmento	Δp_r	[Pa]	: 0
Pérdida de carga acumulada del segmento, considerando la recuperación	Δp_{tn}	[Pa]	: 1.13
Pérdida de carga acumulada neta – total acumulado	$\Sigma \Delta p_{tn}$	[Pa]	: 110.07

SEGMENTO 142:

Tipo: Terminal TRM-25

1 ELEMENTO		2 Caudal Q	3 Diam. D/D _e	4 Ancho A	5 Alto B	6 Long. L	7 $\Delta p/L$	8 Fuente Tab	9 Ashrae X	10 Ashrae Y	11 Coeff. C _o	12 Veloc. V	13 P.Dinám P _v	14 Pérdida Δp_r o Δp_e
N. pz.	Cod.	[m³/h]	[mm]	[mm]	[mm]	[m]	[Pa/m]	n.	-	-	-	[m/s]	[Pa]	[Pa]

2539	11RA	45	98	98	98	0	0	ASH6_26	0.333	0.995	1.110	1.7	1.74	4.16
561	310C	45	98	98	98	0.07	0.57					1.7	1.74	0.04
563	079C	45	98	98	98	0	0	3.1	1.520		0.046	1.7	1.74	0.07
2548	273C	45	75	0	0	0.02	0	5.1	30.000	1.710	0.050	2.8	4.72	0.24
564	310C	45	75	0	0	0.3	2.03					2.8	4.72	0.61
2547	023C	45	75	0	0	0.02	0	4.1	30.000	1.710	0.320	2.8	4.72	1.54
566	05LC	45	98	98	98	0	0	MC4				1.7	1.74	16.35

Pérdida de carga acumulada del segmento	Δp_t	[Pa]	: 6.66
Velocidad en la sección inicial del segmento	V_m	[m/s]	: 2.5
Velocidad en la sección final del segmento	V_v	[m/s]	: 1.7
Recuperación de presión estática del segmento	Δp_r	[Pa]	: 2.02
Pérdida de carga acumulada del segmento, considerando la recuperación	Δp_{tm}	[Pa]	: 5.08
Pérdida de carga acumulada neta – total acumulado	$\Sigma \Delta p_{tm}$	[Pa]	: 131.5
Desequilibrio del terminal respecto al camino más desfavorable	Δp_{Tmr}	[Pa]	: 64.37

SEGMENTO 141:

Tipo: Tramo

1 ELEMENTO		2 Caudal Q	3 Diam. D/D _e	4 Ancho A	5 Alto B	6 Long. L	7 $\Delta p/L$	8 Fuente Tab	9 Ashrae X	10 Ashrae Y	11 Coeff. C _o	12 Veloc. V	13 P.Dinám P _v	14 Pérdida Δp_r o Δp_c
N. pz.	Cod.	[m³/h]	[mm]	[mm]	[mm]	[m]	[Pa/m]	n.	-	-	-	[m/s]	[Pa]	[Pa]
2540	11RA	90	164	150	150	0	0	ASH6_26M	0.667		0.047	1.1	0.73	0.18
547	310R	90	164	150	150	0.6	0.15					1.1	0.73	0.09

Pérdida de carga acumulada del segmento	Δp_t	[Pa]	: 0.27
Velocidad en la sección inicial del segmento	V_m	[m/s]	: 2.5
Velocidad en la sección final del segmento	V_v	[m/s]	: 2.5
Recuperación de presión estática del segmento	Δp_r	[Pa]	: 0
Pérdida de carga acumulada del segmento, considerando la recuperación	Δp_{tm}	[Pa]	: 0.95
Pérdida de carga acumulada neta – total acumulado	$\Sigma \Delta p_{tm}$	[Pa]	: 111.02

SEGMENTO 140:

Tipo: Terminal TRM-26

1 ELEMENTO		2 Caudal Q	3 Diam. D/D _e	4 Ancho A	5 Alto B	6 Long. L	7 $\Delta p/L$	8 Fuente Tab	9 Ashrae X	10 Ashrae Y	11 Coeff. C _o	12 Veloc. V	13 P.Dinám P _v	14 Pérdida Δp_r o Δp_c
N. pz.	Cod.	[m³/h]	[mm]	[mm]	[mm]	[m]	[Pa/m]	n.	-	-	-	[m/s]	[Pa]	[Pa]
2541	11RA	45	98	98	98	0	0	ASH6_26	0.500	1.490	1.260	1.7	1.74	4.74
555	310C	45	98	98	98	0.07	0.57					1.7	1.74	0.04
557	079C	45	98	98	98	0	0	3.1	1.520		0.046	1.7	1.74	0.07
2546	273C	45	75	0	0	0.02	0	5.1	30.000	1.710	0.050	2.8	4.72	0.24
558	310C	45	75	0	0	0.3	2.03					2.8	4.72	0.61
2545	023C	45	75	0	0	0.02	0	4.1	30.000	1.710	0.320	2.8	4.72	1.54
560	05LC	45	98	98	98	0	0	MC4				1.7	1.74	16.35

Pérdida de carga acumulada del segmento	Δp_t	[Pa]	: 7.25
Velocidad en la sección inicial del segmento	V_m	[m/s]	: 2.5
Velocidad en la sección final del segmento	V_v	[m/s]	: 1.7
Recuperación de presión estática del segmento	Δp_r	[Pa]	: 2.02
Pérdida de carga acumulada del segmento, considerando la recuperación	Δp_{tm}	[Pa]	: 5.67
Pérdida de carga acumulada neta – total acumulado	$\Sigma \Delta p_{tm}$	[Pa]	: 133.03
Desequilibrio del terminal respecto al camino más desfavorable	Δp_{Tmr}	[Pa]	: 62.84

SEGMENTO 139:

Tipo: Terminal TRM-27

1 ELEMENTO		2 Caudal Q	3 Diam. D/D _e	4 Ancho A	5 Alto B	6 Long. L	7 $\Delta p/L$	8 Fuente Tab	9 Ashrae X	10 Ashrae Y	11 Coeff. C _o	12 Veloc. V	13 P.Dinám P _v	14 Pérdida Δp_r o Δp_c
N. pz.	Cod.	[m³/h]	[mm]	[mm]	[mm]	[m]	[Pa/m]	n.	-	-	-	[m/s]	[Pa]	[Pa]
2542	11RA	45	164	150	150	0	0	ASH6_26M	0.500		0.090	0.6	0.22	0.34
548	310R	45	164	150	150	0.6	0.05					0.6	0.22	0.03
539	11RAT	45	164	150	150	0	0	2_6	1.000	0.915	2.800	0.6	0.22	0
549	310C	45	98	98	98	0.07	0.57					1.7	1.74	0.04
551	079C	45	98	98	98	0	0	3.1	1.520		0.046	1.7	1.74	0.07
2544	023C	45	98	98	98	0	0	4.1	30.000	1.040	0.320	1.7	1.74	0.53
552	310C	45	100	0	0	0.3	0.5					1.6	1.54	0.15
2543	273C	45	98	98	98	0	0	5.1	30.000	1.040	0.050	1.7	1.74	0.08
554	05LC	45	98	98	98	0	0	MC4				1.7	1.74	16.35

Pérdida de carga acumulada del segmento

Δp_t [Pa] : 1.24

Velocidad en la sección inicial del segmento

V_m [m/s] : 2.5

Velocidad en la sección final del segmento

V_v [m/s] : 1.7

Recuperación de presión estática del segmento

Δp_r [Pa] : 2.02

Pérdida de carga acumulada del segmento, considerando la recuperación

Δp_{tn} [Pa] : -0.55

Pérdida de carga acumulada neta – total acumulado

$\Sigma \Delta p_{tn}$ [Pa] : 126.82

Desequilibrio del terminal respecto al camino más desfavorable

Δp_{Tmr} [Pa] : 69.05

SEGMENTO 137:

Tipo: Tramo

1 ELEMENTO		2 Caudal Q	3 Diam. D/D _e	4 Ancho A	5 Alto B	6 Long. L	7 $\Delta p/L$	8 Fuente Tab	9 Ashrae X	10 Ashrae Y	11 Coeff. C _o	12 Veloc. V	13 P.Dinám P _v	14 Pérdida Δp_r o Δp_c
N. pz.	Cod.	[m³/h]	[mm]	[mm]	[mm]	[m]	[Pa/m]	n.	-	-	-	[m/s]	[Pa]	[Pa]
466	3736	450	429	250	650	0	0	MC4	0.042	0.294	58.100	0.8	0.39	22.66
2484	283R	450	210	250	150	0.97	0	5.1	30.000	4.330	0.040	3.3	6.56	0.29
465	310R	450	210	250	150	1.05	0.87					3.3	6.56	0.91

Pérdida de carga acumulada del segmento

Δp_t [Pa] : 23.86

Velocidad en la sección inicial del segmento

V_m [m/s] : 6

Velocidad en la sección final del segmento

V_v [m/s] : 3.3

Recuperación de presión estática del segmento

Δp_r [Pa] : 15.12

Pérdida de carga acumulada del segmento, considerando la recuperación

Δp_{tn} [Pa] : 8.88

Pérdida de carga acumulada neta – total acumulado

$\Sigma \Delta p_{tn}$ [Pa] : 100.92

SEGMENTO 136:

Tipo: Terminal TRM-46

1 ELEMENTO		2 Caudal Q	3 Diam. D/D _e	4 Ancho A	5 Alto B	6 Long. L	7 $\Delta p/L$	8 Fuente Tab	9 Ashrae X	10 Ashrae Y	11 Coeff. C _o	12 Veloc. V	13 P.Dinám P _v	14 Pérdida Δp_r o Δp_c
N. pz.	Cod.	[m³/h]	[mm]	[mm]	[mm]	[m]	[Pa/m]	n.	-	-	-	[m/s]	[Pa]	[Pa]
2482	11RA	45	98	98	98	0	0	ASH6_26	0.100	0.497	1.070	1.7	1.74	7.18
531	310C	45	98	98	98	0.07	0.57					1.7	1.74	0.04
533	079C	45	98	98	98	0	0	3.1	1.520		0.046	1.7	1.74	0.07
2523	273C	45	75	0	0	0.02	0	5.1	30.000	1.710	0.050	2.8	4.72	0.24
534	310C	45	75	0	0	0.3	2.03					2.8	4.72	0.61
2522	023C	45	75	0	0	0.02	0	4.1	30.000	1.710	0.320	2.8	4.72	1.54
536	05LC	45	98	98	98	0	0	MC4				1.7	1.74	16.35

Pérdida de carga acumulada del segmento	Δp_t	[Pa]	: 9.68
Velocidad en la sección inicial del segmento	V_m	[m/s]	: 3.3
Velocidad en la sección final del segmento	V_v	[m/s]	: 1.7
Recuperación de presión estática del segmento	Δp_r	[Pa]	: 4.82
Pérdida de carga acumulada del segmento, considerando la recuperación	Δp_{tn}	[Pa]	: 5.18
Pérdida de carga acumulada neta – total acumulado	$\Sigma \Delta p_{tn}$	[Pa]	: 122.45
Desequilibrio del terminal respecto al camino más desfavorable	Δp_{Tmr}	[Pa]	: 73.42

SEGMENTO 135:

Tipo: Tramo

1 ELEMENTO		2 Caudal Q	3 Diam. D/D _e	4 Ancho A	5 Alto B	6 Long. L	7 $\Delta p/L$	8 Fuente Tab	9 Ashrae X	10 Ashrae Y	11 Coeff. C _o	12 Veloc. V	13 P.Dinám P _v	14 Pérdida Δp_r o Δp_e
N. pz.	Cod.	[m³/h]	[mm]	[mm]	[mm]	[m]	[Pa/m]	n.	-	-	-	[m/s]	[Pa]	[Pa]
2483	11RA	405	210	250	150	0	0	ASH6_26M	0.900		0.010	3	5.42	0.07
2487	283R	405	152	200	100	0.19	0	5.1	30.000	1.880	0.050	5.6	18.88	0.95
468	310R	405	152	200	100	0.6	3.53					5.6	18.88	2.12

Pérdida de carga acumulada del segmento	Δp_t	[Pa]	: 3.14
Velocidad en la sección inicial del segmento	V_m	[m/s]	: 3.3
Velocidad en la sección final del segmento	V_v	[m/s]	: 5.6
Recuperación de presión estática del segmento	Δp_r	[Pa]	: -12.32
Pérdida de carga acumulada del segmento, considerando la recuperación	Δp_{tn}	[Pa]	: 15.5
Pérdida de carga acumulada neta – total acumulado	$\Sigma \Delta p_{tn}$	[Pa]	: 116.42

SEGMENTO 134:

Tipo: Terminal TRM-46

1 ELEMENTO		2 Caudal Q	3 Diam. D/D _e	4 Ancho A	5 Alto B	6 Long. L	7 $\Delta p/L$	8 Fuente Tab	9 Ashrae X	10 Ashrae Y	11 Coeff. C _o	12 Veloc. V	13 P.Dinám P _v	14 Pérdida Δp_r o Δp_e
N. pz.	Cod.	[m³/h]	[mm]	[mm]	[mm]	[m]	[Pa/m]	n.	-	-	-	[m/s]	[Pa]	[Pa]
2485	11RA	45	98	98	98	0	0	ASH6_26	0.111	0.295	1.010	1.7	1.74	19.28
525	310C	45	98	98	98	0.07	0.57					1.7	1.74	0.04
527	079C	45	98	98	98	0	0	3.1	1.520		0.046	1.7	1.74	0.07
2521	273C	45	75	0	0	0.02	0	5.1	30.000	1.710	0.050	2.8	4.72	0.24
528	310C	45	75	0	0	0.3	2.03					2.8	4.72	0.61
2520	023C	45	75	0	0	0.02	0	4.1	30.000	1.710	0.320	2.8	4.72	1.54
530	05LC	45	98	98	98	0	0	MC4				1.7	1.74	16.35

Pérdida de carga acumulada del segmento	Δp_t	[Pa]	: 21.78
Velocidad en la sección inicial del segmento	V_m	[m/s]	: 5.6
Velocidad en la sección final del segmento	V_v	[m/s]	: 1.7
Recuperación de presión estática del segmento	Δp_r	[Pa]	: 17.14
Pérdida de carga acumulada del segmento, considerando la recuperación	Δp_{tn}	[Pa]	: 4.92
Pérdida de carga acumulada neta – total acumulado	$\Sigma \Delta p_{tn}$	[Pa]	: 137.69
Desequilibrio del terminal respecto al camino más desfavorable	Δp_{Tmr}	[Pa]	: 58.18

SEGMENTO 133:

Tipo: Tramo

1 ELEMENTO		2 Caudal Q	3 Diam. D/D _e	4 Ancho A	5 Alto B	6 Long. L	7 $\Delta p/L$	8 Fuente Tab	9 Ashrae X	10 Ashrae Y	11 Coeff. C _o	12 Veloc. V	13 P.Dinám P _v	14 Pérdida Δp_r o Δp_e
---------------	--	------------------	--------------------------------	-----------------	----------------	-----------------	-------------------	--------------------	------------------	-------------------	--------------------------------	-------------------	---------------------------------	--

N. pz.	Cod.	[m³/h]	[mm]	[mm]	[mm]	[m]	[Pa/m]	n.	-	-	-	[m/s]	[Pa]	[Pa]
2486	11RA	360	152	200	100	0	0	ASH6_26M	0.889		0.011	5	15.05	0.21
469	310R	360	152	200	100	0.6	2.85					5	15.05	1.71

Pérdida de carga acumulada del segmento	Δp_t	[Pa]	: 1.92
Velocidad en la sección inicial del segmento	V_m	[m/s]	: 5.6
Velocidad en la sección final del segmento	V_v	[m/s]	: 5
Recuperación de presión estática del segmento	Δp_r	[Pa]	: 3.83
Pérdida de carga acumulada del segmento, considerando la recuperación	Δp_{tm}	[Pa]	: -2.08
Pérdida de carga acumulada neta – total acumulado	$\Sigma \Delta p_{tm}$	[Pa]	: 114.34

SEGMENTO 132:

Tipo: Terminal TRM-46

1 ELEMENTO		2 Caudal Q	3 Diam. D/D _e	4 Ancho A	5 Alto B	6 Long. L	7 $\Delta p/L$	8 Fuente Tab	9 Ashrae X	10 Ashrae Y	11 Coeff. C _o	12 Veloc. V	13 P.Dinám P _v	14 Pérdida Δp_r o Δp_c
N. pz.	Cod.	[m³/h]	[mm]	[mm]	[mm]	[m]	[Pa/m]	n.	-	-	-	[m/s]	[Pa]	[Pa]
2488	11RA	45	98	98	98	0	0	ASH6_26	0.125	0.332	1.020	1.7	1.74	15.39
519	310C	45	98	98	98	0.07	0.57					1.7	1.74	0.04
521	079C	45	98	98	98	0	0	3.1	1.520		0.046	1.7	1.74	0.07
2519	273C	45	75	0	0	0.02	0	5.1	30.000	1.710	0.050	2.8	4.72	0.24
522	310C	45	75	0	0	0.3	2.03					2.8	4.72	0.61
2518	023C	45	75	0	0	0.02	0	4.1	30.000	1.710	0.320	2.8	4.72	1.54
524	05LC	45	98	98	98	0	0	MC4				1.7	1.74	16.35

Pérdida de carga acumulada del segmento	Δp_t	[Pa]	: 17.89
Velocidad en la sección inicial del segmento	V_m	[m/s]	: 5
Velocidad en la sección final del segmento	V_v	[m/s]	: 1.7
Recuperación de presión estática del segmento	Δp_r	[Pa]	: 13.31
Pérdida de carga acumulada del segmento, considerando la recuperación	Δp_{tm}	[Pa]	: 5.03
Pérdida de carga acumulada neta – total acumulado	$\Sigma \Delta p_{tm}$	[Pa]	: 135.71
Desequilibrio del terminal respecto al camino más desfavorable	Δp_{Tmr}	[Pa]	: 60.15

SEGMENTO 131:

Tipo: Tramo

1 ELEMENTO		2 Caudal Q	3 Diam. D/D _e	4 Ancho A	5 Alto B	6 Long. L	7 $\Delta p/L$	8 Fuente Tab	9 Ashrae X	10 Ashrae Y	11 Coeff. C _o	12 Veloc. V	13 P.Dinám P _v	14 Pérdida Δp_r o Δp_c
N. pz.	Cod.	[m³/h]	[mm]	[mm]	[mm]	[m]	[Pa/m]	n.	-	-	-	[m/s]	[Pa]	[Pa]
2489	11RA	315	152	200	100	0	0	ASH6_26M	0.875		0.012	4.4	11.65	0.19
2492	283R	315	133	150	100	0.14	0	5.1	30.000	1.330	0.050	5.8	20.25	1.02
470	310R	315	133	150	100	0.6	4.32					5.8	20.25	2.59

Pérdida de carga acumulada del segmento	Δp_t	[Pa]	: 3.8
Velocidad en la sección inicial del segmento	V_m	[m/s]	: 5
Velocidad en la sección final del segmento	V_v	[m/s]	: 5.8
Recuperación de presión estática del segmento	Δp_r	[Pa]	: -5.2
Pérdida de carga acumulada del segmento, considerando la recuperación	Δp_{tm}	[Pa]	: 9.24
Pérdida de carga acumulada neta – total acumulado	$\Sigma \Delta p_{tm}$	[Pa]	: 123.58

SEGMENTO 130:

Tipo: Terminal TRM-46

1 ELEMENTO		2 Caudal Q	3 Diam. D/D _e	4 Ancho A	5 Alto B	6 Long. L	7 $\Delta p/L$	8 Fuente Tab	9 Ashrae X	10 Ashrae Y	11 Coeff. C _o	12 Veloc. V	13 P.Dinám P _v	14 Pérdida Δp_r o Δp_e
N. pz.	Cod.	[m³/h]	[mm]	[mm]	[mm]	[m]	[Pa/m]	n.	-	-	-	[m/s]	[Pa]	[Pa]
2490	11RA	45	98	98	98	0	0	ASH6_26	0.143	0.284	1.030	1.7	1.74	21.15
513	310C	45	98	98	98	0.07	0.57					1.7	1.74	0.04
515	079C	45	98	98	98	0	0	3.1	1.520		0.046	1.7	1.74	0.07
2517	273C	45	75	0	0	0.02	0	5.1	30.000	1.710	0.050	2.8	4.72	0.24
516	310C	45	75	0	0	0.3	2.03					2.8	4.72	0.61
2516	023C	45	75	0	0	0.02	0	4.1	30.000	1.710	0.320	2.8	4.72	1.54
518	05LC	45	98	98	98	0	0	MC4				1.7	1.74	16.35

Pérdida de carga acumulada del segmento	Δp_t	[Pa]	: 23.65
Velocidad en la sección inicial del segmento	V_m	[m/s]	: 5.8
Velocidad en la sección final del segmento	V_v	[m/s]	: 1.7
Recuperación de presión estática del segmento	Δp_r	[Pa]	: 18.51
Pérdida de carga acumulada del segmento, considerando la recuperación	Δp_{tm}	[Pa]	: 5.35
Pérdida de carga acumulada neta – total acumulado	$\Sigma \Delta p_{tm}$	[Pa]	: 145.28
Desequilibrio del terminal respecto al camino más desfavorable	Δp_{Tmr}	[Pa]	: 50.59

SEGMENTO 129:

Tipo: Tramo

1 ELEMENTO		2 Caudal Q	3 Diam. D/D _e	4 Ancho A	5 Alto B	6 Long. L	7 $\Delta p/L$	8 Fuente Tab	9 Ashrae X	10 Ashrae Y	11 Coeff. C _o	12 Veloc. V	13 P.Dinám P _v	14 Pérdida Δp_r o Δp_e
N. pz.	Cod.	[m³/h]	[mm]	[mm]	[mm]	[m]	[Pa/m]	n.	-	-	-	[m/s]	[Pa]	[Pa]
2491	11RA	270	133	150	100	0	0	ASH6_26M	0.857		0.014	5	15.05	0.29
471	310R	270	133	150	100	0.6	3.23					5	15.05	1.94

Pérdida de carga acumulada del segmento	Δp_t	[Pa]	: 2.23
Velocidad en la sección inicial del segmento	V_m	[m/s]	: 5.8
Velocidad en la sección final del segmento	V_v	[m/s]	: 5
Recuperación de presión estática del segmento	Δp_r	[Pa]	: 5.2
Pérdida de carga acumulada del segmento, considerando la recuperación	Δp_{tm}	[Pa]	: -3.2
Pérdida de carga acumulada neta – total acumulado	$\Sigma \Delta p_{tm}$	[Pa]	: 120.38

SEGMENTO 128:

Tipo: Terminal TRM-46

1 ELEMENTO		2 Caudal Q	3 Diam. D/D _e	4 Ancho A	5 Alto B	6 Long. L	7 $\Delta p/L$	8 Fuente Tab	9 Ashrae X	10 Ashrae Y	11 Coeff. C _o	12 Veloc. V	13 P.Dinám P _v	14 Pérdida Δp_r o Δp_e
N. pz.	Cod.	[m³/h]	[mm]	[mm]	[mm]	[m]	[Pa/m]	n.	-	-	-	[m/s]	[Pa]	[Pa]
2493	11RA	45	98	98	98	0	0	ASH6_26	0.167	0.332	1.050	1.7	1.74	15.79
507	310C	45	98	98	98	0.07	0.57					1.7	1.74	0.04
509	079C	45	98	98	98	0	0	3.1	1.520		0.046	1.7	1.74	0.07
2515	273C	45	75	0	0	0.02	0	5.1	30.000	1.710	0.050	2.8	4.72	0.24
510	310C	45	75	0	0	0.3	2.03					2.8	4.72	0.61
2514	023C	45	75	0	0	0.02	0	4.1	30.000	1.710	0.320	2.8	4.72	1.54
512	05LC	45	98	98	98	0	0	MC4				1.7	1.74	16.35

Pérdida de carga acumulada del segmento	Δp_t	[Pa]	: 18.29
Velocidad en la sección inicial del segmento	V_m	[m/s]	: 5
Velocidad en la sección final del segmento	V_v	[m/s]	: 1.7

Recuperación de presión estática del segmento	Δp_r	[Pa] : 13.31
Pérdida de carga acumulada del segmento, considerando la recuperación	Δp_{tn}	[Pa] : 5.42
Pérdida de carga acumulada neta – total acumulado	$\Sigma \Delta p_{tn}$	[Pa] : 142.15
Desequilibrio del terminal respecto al camino más desfavorable	Δp_{Tmr}	[Pa] : 53.72

SEGMENTO 127:

Tipo: Tramo

1 ELEMENTO		2 Caudal Q	3 Diam. D/D _e	4 Ancho A	5 Alto B	6 Long. L	7 $\Delta p/L$	8 Fuente Tab	9 Ashrae X	10 Ashrae Y	11 Coeff. C _o	12 Veloc. V	13 P.Dinám P _v	14 Pérdida Δp_r o Δp_c
N. pz.	Cod.	[m³/h]	[mm]	[mm]	[mm]	[m]	[Pa/m]	n.	-	-	-	[m/s]	[Pa]	[Pa]
2494	11RA	225	133	150	100	0	0	ASH6_26M	0.833		0.017	4.2	10.62	0.25
472	310R	225	133	150	100	0.6	2.3					4.2	10.62	1.38

Pérdida de carga acumulada del segmento	Δp_t	[Pa] : 1.64
Velocidad en la sección inicial del segmento	V_m	[m/s] : 5
Velocidad en la sección final del segmento	V_v	[m/s] : 4.2
Recuperación de presión estática del segmento	Δp_r	[Pa] : 4.43
Pérdida de carga acumulada del segmento, considerando la recuperación	Δp_{tn}	[Pa] : -2.96
Pérdida de carga acumulada neta – total acumulado	$\Sigma \Delta p_{tn}$	[Pa] : 117.41

SEGMENTO 126:

Tipo: Terminal TRM-46

1 ELEMENTO		2 Caudal Q	3 Diam. D/D _e	4 Ancho A	5 Alto B	6 Long. L	7 $\Delta p/L$	8 Fuente Tab	9 Ashrae X	10 Ashrae Y	11 Coeff. C _o	12 Veloc. V	13 P.Dinám P _v	14 Pérdida Δp_r o Δp_c
N. pz.	Cod.	[m³/h]	[mm]	[mm]	[mm]	[m]	[Pa/m]	n.	-	-	-	[m/s]	[Pa]	[Pa]
2495	11RA	45	98	98	98	0	0	ASH6_26	0.200	0.398	1.070	1.7	1.74	11.18
501	310C	45	98	98	98	0.07	0.57					1.7	1.74	0.04
503	079C	45	98	98	98	0	0	3.1	1.520		0.046	1.7	1.74	0.07
2513	273C	45	75	0	0	0.02	0	5.1	30.000	1.710	0.050	2.8	4.72	0.24
504	310C	45	75	0	0	0.3	2.03					2.8	4.72	0.61
2512	023C	45	75	0	0	0.02	0	4.1	30.000	1.710	0.320	2.8	4.72	1.54
506	05LC	45	98	98	98	0	0	MC4				1.7	1.74	16.35

Pérdida de carga acumulada del segmento	Δp_t	[Pa] : 13.69
Velocidad en la sección inicial del segmento	V_m	[m/s] : 4.2
Velocidad en la sección final del segmento	V_v	[m/s] : 1.7
Recuperación de presión estática del segmento	Δp_r	[Pa] : 8.88
Pérdida de carga acumulada del segmento, considerando la recuperación	Δp_{tn}	[Pa] : 5.42
Pérdida de carga acumulada neta – total acumulado	$\Sigma \Delta p_{tn}$	[Pa] : 139.18
Desequilibrio del terminal respecto al camino más desfavorable	Δp_{Tmr}	[Pa] : 56.69

SEGMENTO 125:

Tipo: Tramo

1 ELEMENTO		2 Caudal Q	3 Diam. D/D _e	4 Ancho A	5 Alto B	6 Long. L	7 $\Delta p/L$	8 Fuente Tab	9 Ashrae X	10 Ashrae Y	11 Coeff. C _o	12 Veloc. V	13 P.Dinám P _v	14 Pérdida Δp_r o Δp_c
N. pz.	Cod.	[m³/h]	[mm]	[mm]	[mm]	[m]	[Pa/m]	n.	-	-	-	[m/s]	[Pa]	[Pa]
2496	11RA	180	133	150	100	0	0	ASH6_26M	0.800		0.020	3.3	6.56	0.21
2499	283R	180	109	100	100	0.14	0	5.1	30.000	1.500	0.050	5	15.05	0.75
473	310R	180	109	100	100	0.6	4.08					5	15.05	2.45

Pérdida de carga acumulada del segmento	Δp_t	[Pa] : 3.41
Velocidad en la sección inicial del segmento	V_m	[m/s] : 4.2
Velocidad en la sección final del segmento	V_v	[m/s] : 5
Recuperación de presión estática del segmento	Δp_r	[Pa] : -4.43
Pérdida de carga acumulada del segmento, considerando la recuperación	Δp_{tm}	[Pa] : 8.01
Pérdida de carga acumulada neta – total acumulado	$\Sigma \Delta p_{tm}$	[Pa] : 125.43

SEGMENTO 124:

Tipo: Terminal TRM-46

1 ELEMENTO		2 Caudal Q	3 Diam. D/D _e	4 Ancho A	5 Alto B	6 Long. L	7 $\Delta p/L$	8 Fuente Tab	9 Ashrae X	10 Ashrae Y	11 Coeff. C _o	12 Veloc. V	13 P.Dinám P _v	14 Pérdida Δp_r o Δp_c
N. pz.	Cod.	[m³/h]	[mm]	[mm]	[mm]	[m]	[Pa/m]	n.	-	-	-	[m/s]	[Pa]	[Pa]
2497	11RA	45	98	98	98	0	0	ASH6_26	0.250	0.332	1.080	1.7	1.74	16.18
495	310C	45	98	98	98	0.07	0.57					1.7	1.74	0.04
497	079C	45	98	98	98	0	0	3.1	1.520		0.046	1.7	1.74	0.07
2511	273C	45	75	0	0	0.02	0	5.1	30.000	1.710	0.050	2.8	4.72	0.24
498	310C	45	75	0	0	0.3	2.03					2.8	4.72	0.61
2510	023C	45	75	0	0	0.02	0	4.1	30.000	1.710	0.320	2.8	4.72	1.54
500	05LC	45	98	98	98	0	0	MC4				1.7	1.74	16.35

Pérdida de carga acumulada del segmento	Δp_t	[Pa] : 18.68
Velocidad en la sección inicial del segmento	V_m	[m/s] : 5
Velocidad en la sección final del segmento	V_v	[m/s] : 1.7
Recuperación de presión estática del segmento	Δp_r	[Pa] : 13.31
Pérdida de carga acumulada del segmento, considerando la recuperación	Δp_{tm}	[Pa] : 5.82
Pérdida de carga acumulada neta – total acumulado	$\Sigma \Delta p_{tm}$	[Pa] : 147.59
Desequilibrio del terminal respecto al camino más desfavorable	Δp_{Tmr}	[Pa] : 48.28

SEGMENTO 123:

Tipo: Tramo

1 ELEMENTO		2 Caudal Q	3 Diam. D/D _e	4 Ancho A	5 Alto B	6 Long. L	7 $\Delta p/L$	8 Fuente Tab	9 Ashrae X	10 Ashrae Y	11 Coeff. C _o	12 Veloc. V	13 P.Dinám P _v	14 Pérdida Δp_r o Δp_c
N. pz.	Cod.	[m³/h]	[mm]	[mm]	[mm]	[m]	[Pa/m]	n.	-	-	-	[m/s]	[Pa]	[Pa]
2498	11RA	135	109	100	100	0	0	ASH6_26M	0.750		0.030	3.7	8.24	0.45
474	310R	135	109	100	100	0.6	2.4					3.7	8.24	1.44

Pérdida de carga acumulada del segmento	Δp_t	[Pa] : 1.89
Velocidad en la sección inicial del segmento	V_m	[m/s] : 5
Velocidad en la sección final del segmento	V_v	[m/s] : 3.7
Recuperación de presión estática del segmento	Δp_r	[Pa] : 6.81
Pérdida de carga acumulada del segmento, considerando la recuperación	Δp_{tm}	[Pa] : -4.69
Pérdida de carga acumulada neta – total acumulado	$\Sigma \Delta p_{tm}$	[Pa] : 120.74

SEGMENTO 122:

Tipo: Terminal TRM-46

1 ELEMENTO		2 Caudal Q	3 Diam. D/D _e	4 Ancho A	5 Alto B	6 Long. L	7 $\Delta p/L$	8 Fuente Tab	9 Ashrae X	10 Ashrae Y	11 Coeff. C _o	12 Veloc. V	13 P.Dinám P _v	14 Pérdida Δp_r o Δp_c
---------------	--	------------------	--------------------------------	-----------------	----------------	-----------------	-------------------	--------------------	------------------	-------------------	--------------------------------	-------------------	---------------------------------	--

N. pz.	Cod.	[m³/h]	[mm]	[mm]	[mm]	[m]	[Pa/m]	n.	-	-	-	[m/s]	[Pa]	[Pa]
2500	11RA	45	98	98	98	0	0	ASH6_26	0.333	0.442	1.100	1.7	1.74	9.28
489	310C	45	98	98	98	0.07	0.57					1.7	1.74	0.04
491	079C	45	98	98	98	0	0	3.1	1.520		0.046	1.7	1.74	0.07
2509	273C	45	75	0	0	0.02	0	5.1	30.000	1.710	0.050	2.8	4.72	0.24
492	310C	45	75	0	0	0.3	2.03					2.8	4.72	0.61
2508	023C	45	75	0	0	0.02	0	4.1	30.000	1.710	0.320	2.8	4.72	1.54
494	05LC	45	98	98	98	0	0	MC4				1.7	1.74	16.35

Pérdida de carga acumulada del segmento	Δp_t	[Pa]	: 11.79
Velocidad en la sección inicial del segmento	V_m	[m/s]	: 3.7
Velocidad en la sección final del segmento	V_v	[m/s]	: 1.7
Recuperación de presión estática del segmento	Δp_r	[Pa]	: 6.5
Pérdida de carga acumulada del segmento, considerando la recuperación	Δp_{tn}	[Pa]	: 5.51
Pérdida de carga acumulada neta – total acumulado	$\Sigma \Delta p_{tn}$	[Pa]	: 142.59
Desequilibrio del terminal respecto al camino más desfavorable	Δp_{Tmr}	[Pa]	: 53.28

SEGMENTO 121:

Tipo: Tramo

1 ELEMENTO		2 Caudal Q	3 Diam. D/D _e	4 Ancho A	5 Alto B	6 Long. L	7 $\Delta p/L$	8 Fuente Tab	9 Ashrae X	10 Ashrae Y	11 Coeff. C _o	12 Veloc. V	13 P.Dinám P _v	14 Pérdida Δp_r o Δp_c
N. pz.	Cod.	[m³/h]	[mm]	[mm]	[mm]	[m]	[Pa/m]	n.	-	-	-	[m/s]	[Pa]	[Pa]
2501	11RA	90	109	100	100	0	0	ASH6_26M	0.667		0.047	2.5	3.76	0.4
475	310R	90	109	100	100	0.6	1.13					2.5	3.76	0.68

Pérdida de carga acumulada del segmento	Δp_t	[Pa]	: 1.07
Velocidad en la sección inicial del segmento	V_m	[m/s]	: 3.7
Velocidad en la sección final del segmento	V_v	[m/s]	: 2.5
Recuperación de presión estática del segmento	Δp_r	[Pa]	: 4.48
Pérdida de carga acumulada del segmento, considerando la recuperación	Δp_{tn}	[Pa]	: -3.63
Pérdida de carga acumulada neta – total acumulado	$\Sigma \Delta p_{tn}$	[Pa]	: 117.11

SEGMENTO 120:

Tipo: Terminal TRM-46

1 ELEMENTO		2 Caudal Q	3 Diam. D/D _e	4 Ancho A	5 Alto B	6 Long. L	7 $\Delta p/L$	8 Fuente Tab	9 Ashrae X	10 Ashrae Y	11 Coeff. C _o	12 Veloc. V	13 P.Dinám P _v	14 Pérdida Δp_r o Δp_c
N. pz.	Cod.	[m³/h]	[mm]	[mm]	[mm]	[m]	[Pa/m]	n.	-	-	-	[m/s]	[Pa]	[Pa]
2502	11RA	45	98	98	98	0	0	ASH6_26	0.500	0.663	1.260	1.7	1.74	4.74
483	310C	45	98	98	98	0.07	0.57					1.7	1.74	0.04
485	079C	45	98	98	98	0	0	3.1	1.520		0.046	1.7	1.74	0.07
2507	273C	45	75	0	0	0.02	0	5.1	30.000	1.710	0.050	2.8	4.72	0.24
486	310C	45	75	0	0	0.3	2.03					2.8	4.72	0.61
2506	023C	45	75	0	0	0.02	0	4.1	30.000	1.710	0.320	2.8	4.72	1.54
488	05LC	45	98	98	98	0	0	MC4				1.7	1.74	16.35

Pérdida de carga acumulada del segmento	Δp_t	[Pa]	: 7.25
Velocidad en la sección inicial del segmento	V_m	[m/s]	: 2.5
Velocidad en la sección final del segmento	V_v	[m/s]	: 1.7
Recuperación de presión estática del segmento	Δp_r	[Pa]	: 2.02
Pérdida de carga acumulada del segmento, considerando la recuperación	Δp_{tn}	[Pa]	: 5.67
Pérdida de carga acumulada neta – total acumulado	$\Sigma \Delta p_{tn}$	[Pa]	: 139.12
Desequilibrio del terminal respecto al camino más desfavorable	Δp_{Tmr}	[Pa]	: 56.75

SEGMENTO 119:**Tipo:** Terminal TRM-46

1 ELEMENTO		2 Caudal Q	3 Diam. D/D _e	4 Ancho A	5 Alto B	6 Long. L	7 $\Delta p/L$	8 Fuente Tab	9 Ashrae X	10 Ashrae Y	11 Coeff. C _o	12 Veloc. V	13 P.Dinám P _v	14 Pérdida Δp_r o Δp_e
N. pz.	Cod.	[m³/h]	[mm]	[mm]	[mm]	[m]	[Pa/m]	n.	-	-	-	[m/s]	[Pa]	[Pa]
2503	11RA	45	109	100	100	0	0	ASH6_26M	0.500		0.090	1.2	0.87	0.34
476	310R	45	109	100	100	0.6	0.32					1.2	0.87	0.19
467	11RAT	45	109	100	100	0	0	2_6	1.000	0.917	2.800	1.2	0.87	4.63
477	310C	45	98	98	98	0.07	0.57					1.7	1.74	0.04
479	079C	45	98	98	98	0	0	3.1	1.520		0.046	1.7	1.74	0.07
2505	023C	45	98	98	98	0	0	4.1	30.000	1.040	0.320	1.7	1.74	0.53
480	310C	45	100	0	0	0.3	0.5					1.6	1.54	0.15
2504	273C	45	98	98	98	0	0	5.1	30.000	1.040	0.050	1.7	1.74	0.08
482	05LC	45	98	98	98	0	0	MC4				1.7	1.74	16.35

Pérdida de carga acumulada del segmento

 Δp_t [Pa] : 6.04

Velocidad en la sección inicial del segmento

 V_m [m/s] : 2.5

Velocidad en la sección final del segmento

 V_v [m/s] : 1.7

Recuperación de presión estática del segmento

 Δp_r [Pa] : 2.02

Pérdida de carga acumulada del segmento, considerando la recuperación

 Δp_{tm} [Pa] : 3.93

Pérdida de carga acumulada neta – total acumulado

 $\Sigma \Delta p_{tm}$ [Pa] : 137.38

Desequilibrio del terminal respecto al camino más desfavorable

 Δp_{Tmr} [Pa] : 58.49**SEGMENTO 157:****Tipo:** Tramo

1 ELEMENTO		2 Caudal Q	3 Diam. D/D _e	4 Ancho A	5 Alto B	6 Long. L	7 $\Delta p/L$	8 Fuente Tab	9 Ashrae X	10 Ashrae Y	11 Coeff. C _o	12 Veloc. V	13 P.Dinám P _v	14 Pérdida Δp_r o Δp_e
N. pz.	Cod.	[m³/h]	[mm]	[mm]	[mm]	[m]	[Pa/m]	n.	-	-	-	[m/s]	[Pa]	[Pa]
2480	3736	9900	811	850	650	0	0	MC4	0.917		0.084	5	15.05	1.26
2565	283R	9900	778	850	600	0.19	0	5.1	30.000	1.080	0.050	5.4	17.55	7.56
609	310R	9900	778	850	600	1	0.42					5.4	17.55	0.42

Pérdida de carga acumulada del segmento

 Δp_t [Pa] : 9.24

Velocidad en la sección inicial del segmento

 V_m [m/s] : 6

Velocidad en la sección final del segmento

 V_v [m/s] : 5.5

Recuperación de presión estática del segmento

 Δp_r [Pa] : 3.46

Pérdida de carga acumulada del segmento, considerando la recuperación

 Δp_{tm} [Pa] : 6.69

Pérdida de carga acumulada neta – total acumulado

 $\Sigma \Delta p_{tm}$ [Pa] : 98.73**SEGMENTO 177:****Tipo:** Tramo

1 ELEMENTO		2 Caudal Q	3 Diam. D/D _e	4 Ancho A	5 Alto B	6 Long. L	7 $\Delta p/L$	8 Fuente Tab	9 Ashrae X	10 Ashrae Y	11 Coeff. C _o	12 Veloc. V	13 P.Dinám P _v	14 Pérdida Δp_r o Δp_e
N. pz.	Cod.	[m³/h]	[mm]	[mm]	[mm]	[m]	[Pa/m]	n.	-	-	-	[m/s]	[Pa]	[Pa]
2563	3736	450	310	150	600	0	0	MC4	0.045	0.176	12.400	1.4	1.18	14.62
2610	283R	450	164	150	150	0.88	0	5.1	30.000	4.000	0.040	5.6	18.88	0.81
684	310R	450	164	150	150	1.1	2.95					5.6	18.88	3.25

Pérdida de carga acumulada del segmento

 Δp_t [Pa] : 18.68

Velocidad en la sección inicial del segmento	V_m	[m/s]	: 5.5
Velocidad en la sección final del segmento	V_v	[m/s]	: 3.3
Recuperación de presión estática del segmento	Δp_r	[Pa]	: 11.65
Pérdida de carga acumulada del segmento, considerando la recuperación	Δp_{tn}	[Pa]	: 8.09
Pérdida de carga acumulada neta – total acumulado	$\Sigma \Delta p_{tn}$	[Pa]	: 106.83

SEGMENTO 195:

Tipo: Terminal TRM-18

1 ELEMENTO		2 Caudal Q	3 Diam. D/D _e	4 Ancho A	5 Alto B	6 Long. L	7 $\Delta p/L$	8 Fuente Tab	9 Ashrae X	10 Ashrae Y	11 Coeff. C _o	12 Veloc. V	13 P.Dinám P _v	14 Pérdida Δp_r o Δp_c
N. pz.	Cod.	[m³/h]	[mm]	[mm]	[mm]	[m]	[Pa/m]	n.	-	-	-	[m/s]	[Pa]	[Pa]
2608	11RA	45	98	98	98	0	0	ASH6_26	0.100	0.298	1.070	1.7	1.74	7.18
750	310C	45	98	98	98	0.07	0.57					1.7	1.74	0.04
752	079C	45	98	98	98	0	0	3.1	1.520		0.046	1.7	1.74	0.07
2646	273C	45	75	0	0	0.02	0	5.1	30.000	1.710	0.050	2.8	4.72	0.24
753	310C	45	75	0	0	0.3	2.03					2.8	4.72	0.61
2645	023C	45	75	0	0	0.02	0	4.1	30.000	1.710	0.320	2.8	4.72	1.54
755	05LC	45	98	98	98	0	0	MC4				1.7	1.74	16.35

Pérdida de carga acumulada del segmento	Δp_t	[Pa]	: 9.68
Velocidad en la sección inicial del segmento	V_m	[m/s]	: 3.3
Velocidad en la sección final del segmento	V_v	[m/s]	: 1.7
Recuperación de presión estática del segmento	Δp_r	[Pa]	: 4.82
Pérdida de carga acumulada del segmento, considerando la recuperación	Δp_{tn}	[Pa]	: 5.18
Pérdida de carga acumulada neta – total acumulado	$\Sigma \Delta p_{tn}$	[Pa]	: 128.35
Desequilibrio del terminal respecto al camino más desfavorable	Δp_{Tmr}	[Pa]	: 67.52

SEGMENTO 194:

Tipo: Tramo

1 ELEMENTO		2 Caudal Q	3 Diam. D/D _e	4 Ancho A	5 Alto B	6 Long. L	7 $\Delta p/L$	8 Fuente Tab	9 Ashrae X	10 Ashrae Y	11 Coeff. C _o	12 Veloc. V	13 P.Dinám P _v	14 Pérdida Δp_r o Δp_c
N. pz.	Cod.	[m³/h]	[mm]	[mm]	[mm]	[m]	[Pa/m]	n.	-	-	-	[m/s]	[Pa]	[Pa]
2609	11RA	405	164	150	150	0	0	ASH6_26M	0.900		0.010	5	15.05	0.07
687	310R	405	164	150	150	0.6	2.43					5	15.05	1.46

Pérdida de carga acumulada del segmento	Δp_t	[Pa]	: 1.52
Velocidad en la sección inicial del segmento	V_m	[m/s]	: 3.3
Velocidad en la sección final del segmento	V_v	[m/s]	: 3
Recuperación de presión estática del segmento	Δp_r	[Pa]	: 1.14
Pérdida de carga acumulada del segmento, considerando la recuperación	Δp_{tn}	[Pa]	: 1.76
Pérdida de carga acumulada neta – total acumulado	$\Sigma \Delta p_{tn}$	[Pa]	: 108.59

SEGMENTO 193:

Tipo: Terminal TRM-19

1 ELEMENTO		2 Caudal Q	3 Diam. D/D _e	4 Ancho A	5 Alto B	6 Long. L	7 $\Delta p/L$	8 Fuente Tab	9 Ashrae X	10 Ashrae Y	11 Coeff. C _o	12 Veloc. V	13 P.Dinám P _v	14 Pérdida Δp_r o Δp_c
N. pz.	Cod.	[m³/h]	[mm]	[mm]	[mm]	[m]	[Pa/m]	n.	-	-	-	[m/s]	[Pa]	[Pa]
2611	11RA	45	98	98	98	0	0	ASH6_26	0.111	0.332	1.110	1.7	1.74	6
744	310C	45	98	98	98	0.07	0.57					1.7	1.74	0.04

746	079C	45	98	98	98	0	0	3.1	1.520		0.046	1.7	1.74	0.07
2644	273C	45	75	0	0	0.02	0	5.1	30.000	1.710	0.050	2.8	4.72	0.24
747	310C	45	75	0	0	0.3	2.03					2.8	4.72	0.61
2643	023C	45	75	0	0	0.02	0	4.1	30.000	1.710	0.320	2.8	4.72	1.54
749	05LC	45	98	98	98	0	0	MC4				1.7	1.74	16.35

Pérdida de carga acumulada del segmento	Δp_t	[Pa]	: 8.51
Velocidad en la sección inicial del segmento	V_m	[m/s]	: 3
Velocidad en la sección final del segmento	V_v	[m/s]	: 1.7
Recuperación de presión estática del segmento	Δp_r	[Pa]	: 3.68
Pérdida de carga acumulada del segmento, considerando la recuperación	Δp_{tn}	[Pa]	: 5.27
Pérdida de carga acumulada neta – total acumulado	$\Sigma \Delta p_{tn}$	[Pa]	: 130.2
Desequilibrio del terminal respecto al camino más desfavorable	Δp_{Tmr}	[Pa]	: 65.67

SEGMENTO 192:

Tipo: Tramo

1 ELEMENTO		2 Caudal Q	3 Diam. D/D _e	4 Ancho A	5 Alto B	6 Long. L	7 $\Delta p/L$	8 Fuente Tab	9 Ashrae X	10 Ashrae Y	11 Coeff. C _o	12 Veloc. V	13 P.Dinám P _v	14 Pérdida Δp_r o Δp_e
N. pz.	Cod.	[m³/h]	[mm]	[mm]	[mm]	[m]	[Pa/m]	n.	-	-	-	[m/s]	[Pa]	[Pa]
2612	11RA	360	164	150	150	0	0	ASH6_26M	0.889		0.011	4.4	11.65	0.06
688	310R	360	164	150	150	0.6	1.95					4.4	11.65	1.17

Pérdida de carga acumulada del segmento	Δp_t	[Pa]	: 1.23
Velocidad en la sección inicial del segmento	V_m	[m/s]	: 3
Velocidad en la sección final del segmento	V_v	[m/s]	: 2.7
Recuperación de presión estática del segmento	Δp_r	[Pa]	: 1.03
Pérdida de carga acumulada del segmento, considerando la recuperación	Δp_{tn}	[Pa]	: 1.28
Pérdida de carga acumulada neta – total acumulado	$\Sigma \Delta p_{tn}$	[Pa]	: 109.86

SEGMENTO 191:

Tipo: Terminal TRM-20

1 ELEMENTO		2 Caudal Q	3 Diam. D/D _e	4 Ancho A	5 Alto B	6 Long. L	7 $\Delta p/L$	8 Fuente Tab	9 Ashrae X	10 Ashrae Y	11 Coeff. C _o	12 Veloc. V	13 P.Dinám P _v	14 Pérdida Δp_r o Δp_e
N. pz.	Cod.	[m³/h]	[mm]	[mm]	[mm]	[m]	[Pa/m]	n.	-	-	-	[m/s]	[Pa]	[Pa]
2613	11RA	45	98	98	98	0	0	ASH6_26	0.125	0.373	1.140	1.7	1.74	4.88
738	310C	45	98	98	98	0.07	0.57					1.7	1.74	0.04
740	079C	45	98	98	98	0	0	3.1	1.520		0.046	1.7	1.74	0.07
2642	273C	45	75	0	0	0.02	0	5.1	30.000	1.710	0.050	2.8	4.72	0.24
741	310C	45	75	0	0	0.3	2.03					2.8	4.72	0.61
2641	023C	45	75	0	0	0.02	0	4.1	30.000	1.710	0.320	2.8	4.72	1.54
743	05LC	45	98	98	98	0	0	MC4				1.7	1.74	16.35

Pérdida de carga acumulada del segmento	Δp_t	[Pa]	: 7.38
Velocidad en la sección inicial del segmento	V_m	[m/s]	: 2.7
Velocidad en la sección final del segmento	V_v	[m/s]	: 1.7
Recuperación de presión estática del segmento	Δp_r	[Pa]	: 2.65
Pérdida de carga acumulada del segmento, considerando la recuperación	Δp_{tn}	[Pa]	: 5.28
Pérdida de carga acumulada neta – total acumulado	$\Sigma \Delta p_{tn}$	[Pa]	: 131.49
Desequilibrio del terminal respecto al camino más desfavorable	Δp_{Tmr}	[Pa]	: 64.38

SEGMENTO 190:

Tipo: Tramo

1 ELEMENTO		2 Caudal Q	3 Diam. D/D _e	4 Ancho A	5 Alto B	6 Long. L	7 $\Delta p/L$	8 Fuente Tab	9 Ashrae X	10 Ashrae Y	11 Coeff. C _o	12 Veloc. V	13 P.Dinám P _v	14 Pérdida Δp_r o Δp_e
N. pz.	Cod.	[m³/h]	[mm]	[mm]	[mm]	[m]	[Pa/m]	n.	-	-	-	[m/s]	[Pa]	[Pa]
2614	11RA	315	164	150	150	0	0	ASH6_26M	0.875		0.012	3.9	9.16	0.05
689	310R	315	164	150	150	0.6	1.52					3.9	9.16	0.91

Pérdida de carga acumulada del segmento	Δp_t	[Pa] : 0.97
Velocidad en la sección inicial del segmento	V_m	[m/s] : 2.7
Velocidad en la sección final del segmento	V_v	[m/s] : 2.3
Recuperación de presión estática del segmento	Δp_r	[Pa] : 1.2
Pérdida de carga acumulada del segmento, considerando la recuperación	Δp_{tm}	[Pa] : 0.87
Pérdida de carga acumulada neta – total acumulado	$\Sigma \Delta p_{tm}$	[Pa] : 110.74

SEGMENTO 189:

Tipo: Terminal TRM-21

1 ELEMENTO		2 Caudal Q	3 Diam. D/D _e	4 Ancho A	5 Alto B	6 Long. L	7 $\Delta p/L$	8 Fuente Tab	9 Ashrae X	10 Ashrae Y	11 Coeff. C _o	12 Veloc. V	13 P.Dinám P _v	14 Pérdida Δp_r o Δp_e
N. pz.	Cod.	[m³/h]	[mm]	[mm]	[mm]	[m]	[Pa/m]	n.	-	-	-	[m/s]	[Pa]	[Pa]
2615	11RA	45	98	98	98	0	0	ASH6_26	0.143	0.426	1.190	1.7	1.74	3.88
732	310C	45	98	98	98	0.07	0.57					1.7	1.74	0.04
734	079C	45	98	98	98	0	0	3.1	1.520		0.046	1.7	1.74	0.07
2640	273C	45	75	0	0	0.02	0	5.1	30.000	1.710	0.050	2.8	4.72	0.24
735	310C	45	75	0	0	0.3	2.03					2.8	4.72	0.61
2639	023C	45	75	0	0	0.02	0	4.1	30.000	1.710	0.320	2.8	4.72	1.54
737	05LC	45	98	98	98	0	0	MC4				1.7	1.74	16.35

Pérdida de carga acumulada del segmento	Δp_t	[Pa] : 6.39
Velocidad en la sección inicial del segmento	V_m	[m/s] : 2.3
Velocidad en la sección final del segmento	V_v	[m/s] : 1.7
Recuperación de presión estática del segmento	Δp_r	[Pa] : 1.44
Pérdida de carga acumulada del segmento, considerando la recuperación	Δp_{tm}	[Pa] : 5.29
Pérdida de carga acumulada neta – total acumulado	$\Sigma \Delta p_{tm}$	[Pa] : 132.38
Desequilibrio del terminal respecto al camino más desfavorable	Δp_{Tmr}	[Pa] : 63.49

SEGMENTO 188:

Tipo: Tramo

1 ELEMENTO		2 Caudal Q	3 Diam. D/D _e	4 Ancho A	5 Alto B	6 Long. L	7 $\Delta p/L$	8 Fuente Tab	9 Ashrae X	10 Ashrae Y	11 Coeff. C _o	12 Veloc. V	13 P.Dinám P _v	14 Pérdida Δp_r o Δp_e
N. pz.	Cod.	[m³/h]	[mm]	[mm]	[mm]	[m]	[Pa/m]	n.	-	-	-	[m/s]	[Pa]	[Pa]
2616	11RA	270	164	150	150	0	0	ASH6_26M	0.857		0.014	3.3	6.56	0.05
690	310R	270	164	150	150	0.6	1.15					3.3	6.56	0.69

Pérdida de carga acumulada del segmento	Δp_t	[Pa] : 0.73
Velocidad en la sección inicial del segmento	V_m	[m/s] : 2.3
Velocidad en la sección final del segmento	V_v	[m/s] : 2
Recuperación de presión estática del segmento	Δp_r	[Pa] : 0.78
Pérdida de carga acumulada del segmento, considerando la recuperación	Δp_{tm}	[Pa] : 0.53
Pérdida de carga acumulada neta – total acumulado	$\Sigma \Delta p_{tm}$	[Pa] : 111.27

SEGMENTO 187:

Tipo: Terminal TRM-22

1 ELEMENTO		2 Caudal Q	3 Diam. D/D _e	4 Ancho A	5 Alto B	6 Long. L	7 $\Delta p/L$	8 Fuente Tab	9 Ashrae X	10 Ashrae Y	11 Coeff. C _o	12 Veloc. V	13 P.Dinám P _v	14 Pérdida Δp_r o Δp_c
N. pz.	Cod.	[m³/h]	[mm]	[mm]	[mm]	[m]	[Pa/m]	n.	-	-	-	[m/s]	[Pa]	[Pa]
2617	11RA	45	98	98	98	0	0	ASH6_26	0.167	0.497	1.280	1.7	1.74	3.08
726	310C	45	98	98	98	0.07	0.57					1.7	1.74	0.04
728	079C	45	98	98	98	0	0	3.1	1.520		0.046	1.7	1.74	0.07
2638	273C	45	75	0	0	0.02	0	5.1	30.000	1.710	0.050	2.8	4.72	0.24
729	310C	45	75	0	0	0.3	2.03					2.8	4.72	0.61
2637	023C	45	75	0	0	0.02	0	4.1	30.000	1.710	0.320	2.8	4.72	1.54
731	05LC	45	98	98	98	0	0	MC4				1.7	1.74	16.35

Pérdida de carga acumulada del segmento

Δp_t [Pa] : 5.59

Velocidad en la sección inicial del segmento

V_m [m/s] : 2

Velocidad en la sección final del segmento

V_v [m/s] : 1.7

Recuperación de presión estática del segmento

Δp_r [Pa] : 0.67

Pérdida de carga acumulada del segmento, considerando la recuperación

Δp_{tn} [Pa] : 5.36

Pérdida de carga acumulada neta – total acumulado

$\Sigma \Delta p_{tn}$ [Pa] : 132.98

Desequilibrio del terminal respecto al camino más desfavorable

Δp_{Tmr} [Pa] : 62.89

SEGMENTO 186:

Tipo: Tramo

1 ELEMENTO		2 Caudal Q	3 Diam. D/D _e	4 Ancho A	5 Alto B	6 Long. L	7 $\Delta p/L$	8 Fuente Tab	9 Ashrae X	10 Ashrae Y	11 Coeff. C _o	12 Veloc. V	13 P.Dinám P _v	14 Pérdida Δp_r o Δp_c
N. pz.	Cod.	[m³/h]	[mm]	[mm]	[mm]	[m]	[Pa/m]	n.	-	-	-	[m/s]	[Pa]	[Pa]
2618	11RA	225	164	150	150	0	0	ASH6_26M	0.833		0.017	2.8	4.72	0.04
691	310R	225	164	150	150	0.6	0.82					2.8	4.72	0.49

Pérdida de carga acumulada del segmento

Δp_t [Pa] : 0.53

Velocidad en la sección inicial del segmento

V_m [m/s] : 2

Velocidad en la sección final del segmento

V_v [m/s] : 3.1

Recuperación de presión estática del segmento

Δp_r [Pa] : -3.38

Pérdida de carga acumulada del segmento, considerando la recuperación

Δp_{tn} [Pa] : 4.53

Pérdida de carga acumulada neta – total acumulado

$\Sigma \Delta p_{tn}$ [Pa] : 115.8

SEGMENTO 185:

Tipo: Terminal TRM-22

1 ELEMENTO		2 Caudal Q	3 Diam. D/D _e	4 Ancho A	5 Alto B	6 Long. L	7 $\Delta p/L$	8 Fuente Tab	9 Ashrae X	10 Ashrae Y	11 Coeff. C _o	12 Veloc. V	13 P.Dinám P _v	14 Pérdida Δp_r o Δp_c
N. pz.	Cod.	[m³/h]	[mm]	[mm]	[mm]	[m]	[Pa/m]	n.	-	-	-	[m/s]	[Pa]	[Pa]
2619	11RA	45	98	98	98	0	0	ASH6_26	0.200	0.597	1.090	1.7	1.74	6.41
720	310C	45	98	98	98	0.07	0.57					1.7	1.74	0.04
722	079C	45	98	98	98	0	0	3.1	1.520		0.046	1.7	1.74	0.07
2636	273C	45	75	0	0	0.02	0	5.1	30.000	1.710	0.050	2.8	4.72	0.24
723	310C	45	75	0	0	0.3	2.03					2.8	4.72	0.61
2635	023C	45	75	0	0	0.02	0	4.1	30.000	1.710	0.320	2.8	4.72	1.54
725	05LC	45	98	98	98	0	0	MC4				1.7	1.74	16.35

Pérdida de carga acumulada del segmento	Δp_t	[Pa]	: 8.91
Velocidad en la sección inicial del segmento	V_m	[m/s]	: 3.1
Velocidad en la sección final del segmento	V_v	[m/s]	: 1.7
Recuperación de presión estática del segmento	Δp_r	[Pa]	: 4.05
Pérdida de carga acumulada del segmento, considerando la recuperación	Δp_{tn}	[Pa]	: 5.21
Pérdida de carga acumulada neta – total acumulado	$\Sigma \Delta p_{tn}$	[Pa]	: 137.36
Desequilibrio del terminal respecto al camino más desfavorable	Δp_{Tmr}	[Pa]	: 58.51

SEGMENTO 184:

Tipo: Tramo

1 ELEMENTO		2 Caudal Q	3 Diam. D/D _e	4 Ancho A	5 Alto B	6 Long. L	7 $\Delta p/L$	8 Fuente Tab	9 Ashrae X	10 Ashrae Y	11 Coeff. C _o	12 Veloc. V	13 P.Dinám P _v	14 Pérdida $\Delta p_r \circ \Delta p_e$
N. pz.	Cod.	[m³/h]	[mm]	[mm]	[mm]	[m]	[Pa/m]	n.	-	-	-	[m/s]	[Pa]	[Pa]
2620	11RA	180	164	150	150	0	0	ASH6_26M	0.800		0.020	2.2	2.91	0.12
692	310R	180	164	150	150	0.6	0.55					2.2	2.91	0.33

Pérdida de carga acumulada del segmento	Δp_t	[Pa]	: 0.45
Velocidad en la sección inicial del segmento	V_m	[m/s]	: 3.1
Velocidad en la sección final del segmento	V_v	[m/s]	: 2.5
Recuperación de presión estática del segmento	Δp_r	[Pa]	: 2.02
Pérdida de carga acumulada del segmento, considerando la recuperación	Δp_{tn}	[Pa]	: -0.35
Pérdida de carga acumulada neta – total acumulado	$\Sigma \Delta p_{tn}$	[Pa]	: 115.44

SEGMENTO 183:

Tipo: Terminal TRM-24

1 ELEMENTO		2 Caudal Q	3 Diam. D/D _e	4 Ancho A	5 Alto B	6 Long. L	7 $\Delta p/L$	8 Fuente Tab	9 Ashrae X	10 Ashrae Y	11 Coeff. C _o	12 Veloc. V	13 P.Dinám P _v	14 Pérdida $\Delta p_r \circ \Delta p_e$
N. pz.	Cod.	[m³/h]	[mm]	[mm]	[mm]	[m]	[Pa/m]	n.	-	-	-	[m/s]	[Pa]	[Pa]
2621	11RA	45	98	98	98	0	0	ASH6_26	0.250	0.746	1.130	1.7	1.74	4.25
714	310C	45	98	98	98	0.07	0.57					1.7	1.74	0.04
716	079C	45	98	98	98	0	0	3.1	1.520		0.046	1.7	1.74	0.07
2634	273C	45	75	0	0	0.02	0	5.1	30.000	1.710	0.050	2.8	4.72	0.24
717	310C	45	75	0	0	0.3	2.03					2.8	4.72	0.61
2633	023C	45	75	0	0	0.02	0	4.1	30.000	1.710	0.320	2.8	4.72	1.54
719	05LC	45	98	98	98	0	0	MC4				1.7	1.74	16.35

Pérdida de carga acumulada del segmento	Δp_t	[Pa]	: 6.76
Velocidad en la sección inicial del segmento	V_m	[m/s]	: 2.5
Velocidad en la sección final del segmento	V_v	[m/s]	: 1.7
Recuperación de presión estática del segmento	Δp_r	[Pa]	: 2.02
Pérdida de carga acumulada del segmento, considerando la recuperación	Δp_{tn}	[Pa]	: 5.17
Pérdida de carga acumulada neta – total acumulado	$\Sigma \Delta p_{tn}$	[Pa]	: 136.97
Desequilibrio del terminal respecto al camino más desfavorable	Δp_{Tmr}	[Pa]	: 58.9

SEGMENTO 182:

Tipo: Tramo

1 ELEMENTO		2 Caudal Q	3 Diam. D/D _e	4 Ancho A	5 Alto B	6 Long. L	7 $\Delta p/L$	8 Fuente Tab	9 Ashrae X	10 Ashrae Y	11 Coeff. C _o	12 Veloc. V	13 P.Dinám P _v	14 Pérdida $\Delta p_r \circ \Delta p_e$
N. pz.	Cod.	[m³/h]	[mm]	[mm]	[mm]	[m]	[Pa/m]	n.	-	-	-	[m/s]	[Pa]	[Pa]

2622	11RA	135	164	150	150	0	0	ASH6_26M	0.750		0.030	1.7	1.74	0.11
693	310R	135	164	150	150	0.6	0.32					1.7	1.74	0.19

Pérdida de carga acumulada del segmento	Δp_t	[Pa]	: 0.31
Velocidad en la sección inicial del segmento	V_m	[m/s]	: 2.5
Velocidad en la sección final del segmento	V_v	[m/s]	: 2.5
Recuperación de presión estática del segmento	Δp_r	[Pa]	: 0
Pérdida de carga acumulada del segmento, considerando la recuperación	Δp_{tm}	[Pa]	: 1.13
Pérdida de carga acumulada neta – total acumulado	$\Sigma \Delta p_{tm}$	[Pa]	: 116.57

SEGMENTO 181:

Tipo: Terminal TRM-25

1 ELEMENTO		2 Caudal Q	3 Diam. D/D _e	4 Ancho A	5 Alto B	6 Long. L	7 $\Delta p/L$	8 Fuente Tab	9 Ashrae X	10 Ashrae Y	11 Coeff. C _o	12 Veloc. V	13 P.Dinám P _v	14 Pérdida Δp_r o Δp_c
N. pz.	Cod.	[m³/h]	[mm]	[mm]	[mm]	[m]	[Pa/m]	n.	-	-	-	[m/s]	[Pa]	[Pa]
2623	11RA	45	98	98	98	0	0	ASH6_26	0.333	0.995	1.110	1.7	1.74	4.16
708	310C	45	98	98	98	0.07	0.57					1.7	1.74	0.04
710	079C	45	98	98	98	0	0	3.1	1.520		0.046	1.7	1.74	0.07
2632	273C	45	75	0	0	0.02	0	5.1	30.000	1.710	0.050	2.8	4.72	0.24
711	310C	45	75	0	0	0.3	2.03					2.8	4.72	0.61
2631	023C	45	75	0	0	0.02	0	4.1	30.000	1.710	0.320	2.8	4.72	1.54
713	05LC	45	98	98	98	0	0	MC4				1.7	1.74	16.35

Pérdida de carga acumulada del segmento	Δp_t	[Pa]	: 6.66
Velocidad en la sección inicial del segmento	V_m	[m/s]	: 2.5
Velocidad en la sección final del segmento	V_v	[m/s]	: 1.7
Recuperación de presión estática del segmento	Δp_r	[Pa]	: 2.02
Pérdida de carga acumulada del segmento, considerando la recuperación	Δp_{tm}	[Pa]	: 5.08
Pérdida de carga acumulada neta – total acumulado	$\Sigma \Delta p_{tm}$	[Pa]	: 138
Desequilibrio del terminal respecto al camino más desfavorable	Δp_{Tmr}	[Pa]	: 57.87

SEGMENTO 180:

Tipo: Tramo

1 ELEMENTO		2 Caudal Q	3 Diam. D/D _e	4 Ancho A	5 Alto B	6 Long. L	7 $\Delta p/L$	8 Fuente Tab	9 Ashrae X	10 Ashrae Y	11 Coeff. C _o	12 Veloc. V	13 P.Dinám P _v	14 Pérdida Δp_r o Δp_c
N. pz.	Cod.	[m³/h]	[mm]	[mm]	[mm]	[m]	[Pa/m]	n.	-	-	-	[m/s]	[Pa]	[Pa]
2624	11RA	90	164	150	150	0	0	ASH6_26M	0.667		0.047	1.1	0.73	0.18
694	310R	90	164	150	150	0.6	0.15					1.1	0.73	0.09

Pérdida de carga acumulada del segmento	Δp_t	[Pa]	: 0.27
Velocidad en la sección inicial del segmento	V_m	[m/s]	: 2.5
Velocidad en la sección final del segmento	V_v	[m/s]	: 2.5
Recuperación de presión estática del segmento	Δp_r	[Pa]	: 0
Pérdida de carga acumulada del segmento, considerando la recuperación	Δp_{tm}	[Pa]	: 0.95
Pérdida de carga acumulada neta – total acumulado	$\Sigma \Delta p_{tm}$	[Pa]	: 117.53

SEGMENTO 179:

Tipo: Terminal TRM-26

1	2	3	4	5	6	7	8	9	10	11	12	13	14
---	---	---	---	---	---	---	---	---	----	----	----	----	----

ELEMENTO		Caudal Q	Diam. D/D _e	Ancho A	Alto B	Long. L	Δp/L	Fuente Tab	Ashrae X	Ashrae Y	Coeff. C _o	Veloc. V	P.Dinám P _v	Pérdida Δp _r o Δp _c
N. pz.	Cod.	[m³/h]	[mm]	[mm]	[mm]	[m]	[Pa/m]	n.	-	-	-	[m/s]	[Pa]	[Pa]
2625	11RA	45	98	98	98	0	0	ASH6_26	0.500	1.490	1.260	1.7	1.74	4.74
702	310C	45	98	98	98	0.07	0.57					1.7	1.74	0.04
704	079C	45	98	98	98	0	0	3.1	1.520		0.046	1.7	1.74	0.07
2630	273C	45	75	0	0	0.02	0	5.1	30.000	1.710	0.050	2.8	4.72	0.24
705	310C	45	75	0	0	0.3	2.03					2.8	4.72	0.61
2629	023C	45	75	0	0	0.02	0	4.1	30.000	1.710	0.320	2.8	4.72	1.54
707	05LC	45	98	98	98	0	0	MC4				1.7	1.74	16.35

Pérdida de carga acumulada del segmento	Δp _t	[Pa] : 7.25
Velocidad en la sección inicial del segmento	V _m	[m/s] : 2.5
Velocidad en la sección final del segmento	V _v	[m/s] : 1.7
Recuperación de presión estática del segmento	Δp _r	[Pa] : 2.02
Pérdida de carga acumulada del segmento, considerando la recuperación	Δp _{tn}	[Pa] : 5.67
Pérdida de carga acumulada neta – total acumulado	ΣΔp _{tn}	[Pa] : 139.54
Desequilibrio del terminal respecto al camino más desfavorable	Δp _{Tmr}	[Pa] : 56.33

SEGMENTO 178:

Tipo: Terminal TRM-27

1 ELEMENTO		2 Caudal Q	3 Diam. D/D _e	4 Ancho A	5 Alto B	6 Long. L	7 Δp/L	8 Fuente Tab	9 Ashrae X	10 Ashrae Y	11 Coeff. C _o	12 Veloc. V	13 P.Dinám P _v	14 Pérdida Δp _r o Δp _c
N. pz.	Cod.	[m³/h]	[mm]	[mm]	[mm]	[m]	[Pa/m]	n.	-	-	-	[m/s]	[Pa]	[Pa]
2626	11RA	45	164	150	150	0	0	ASH6_26M	0.500		0.090	0.6	0.22	0.34
695	310R	45	164	150	150	0.6	0.05					0.6	0.22	0.03
686	11RAT	45	164	150	150	0	0	2_6	1.000	0.915	2.800	0.6	0.22	0
696	310C	45	98	98	98	0.07	0.57					1.7	1.74	0.04
698	079C	45	98	98	98	0	0	3.1	1.520		0.046	1.7	1.74	0.07
2628	023C	45	98	98	98	0	0	4.1	30.000	1.040	0.320	1.7	1.74	0.53
699	310C	45	100	0	0	0.3	0.5					1.6	1.54	0.15
2627	273C	45	98	98	98	0	0	5.1	30.000	1.040	0.050	1.7	1.74	0.08
701	05LC	45	98	98	98	0	0	MC4				1.7	1.74	16.35

Pérdida de carga acumulada del segmento	Δp _t	[Pa] : 1.24
Velocidad en la sección inicial del segmento	V _m	[m/s] : 2.5
Velocidad en la sección final del segmento	V _v	[m/s] : 1.7
Recuperación de presión estática del segmento	Δp _r	[Pa] : 2.02
Pérdida de carga acumulada del segmento, considerando la recuperación	Δp _{tn}	[Pa] : -0.55
Pérdida de carga acumulada neta – total acumulado	ΣΔp _{tn}	[Pa] : 133.32
Desequilibrio del terminal respecto al camino más desfavorable	Δp _{Tmr}	[Pa] : 62.55

SEGMENTO 176:

Tipo: Tramo

1 ELEMENTO		2 Caudal Q	3 Diam. D/D _e	4 Ancho A	5 Alto B	6 Long. L	7 Δp/L	8 Fuente Tab	9 Ashrae X	10 Ashrae Y	11 Coeff. C _o	12 Veloc. V	13 P.Dinám P _v	14 Pérdida Δp _r o Δp _c
N. pz.	Cod.	[m³/h]	[mm]	[mm]	[mm]	[m]	[Pa/m]	n.	-	-	-	[m/s]	[Pa]	[Pa]
613	3736	450	414	250	600	0	0	MC4	0.045	0.294	47.700	0.8	0.39	18.62
2568	283R	450	210	250	150	0.88	0	5.1	30.000	4.000	0.040	3.3	6.56	0.29
612	310R	450	210	250	150	1.05	0.87					3.3	6.56	0.91

Pérdida de carga acumulada del segmento	Δp _t	[Pa] : 19.82
Velocidad en la sección inicial del segmento	V _m	[m/s] : 5.5
Velocidad en la sección final del segmento	V _v	[m/s] : 3.3

Recuperación de presión estática del segmento	Δp_r	[Pa] : 11.65
Pérdida de carga acumulada del segmento, considerando la recuperación	Δp_{tn}	[Pa] : 8.3
Pérdida de carga acumulada neta – total acumulado	$\Sigma \Delta p_{tn}$	[Pa] : 107.03

SEGMENTO 175:

Tipo: Terminal TRM-46

1 ELEMENTO		2 Caudal Q	3 Diam. D/D _e	4 Ancho A	5 Alto B	6 Long. L	7 $\Delta p/L$	8 Fuente Tab	9 Ashrae X	10 Ashrae Y	11 Coeff. C _o	12 Veloc. V	13 P.Dinám P _v	14 Pérdida Δp_r o Δp_c
N. pz.	Cod.	[m³/h]	[mm]	[mm]	[mm]	[m]	[Pa/m]	n.	-	-	-	[m/s]	[Pa]	[Pa]
2566	11RA	45	98	98	98	0	0	ASH6_26	0.100	0.497	1.070	1.7	1.74	7.18
678	310C	45	98	98	98	0.07	0.57					1.7	1.74	0.04
680	079C	45	98	98	98	0	0	3.1	1.520		0.046	1.7	1.74	0.07
2607	273C	45	75	0	0	0.02	0	5.1	30.000	1.710	0.050	2.8	4.72	0.24
681	310C	45	75	0	0	0.3	2.03					2.8	4.72	0.61
2606	023C	45	75	0	0	0.02	0	4.1	30.000	1.710	0.320	2.8	4.72	1.54
683	05LC	45	98	98	98	0	0	MC4				1.7	1.74	16.35

Pérdida de carga acumulada del segmento	Δp_t	[Pa] : 9.68
Velocidad en la sección inicial del segmento	V_m	[m/s] : 3.3
Velocidad en la sección final del segmento	V_v	[m/s] : 1.7
Recuperación de presión estática del segmento	Δp_r	[Pa] : 4.82
Pérdida de carga acumulada del segmento, considerando la recuperación	Δp_{tn}	[Pa] : 5.18
Pérdida de carga acumulada neta – total acumulado	$\Sigma \Delta p_{tn}$	[Pa] : 128.56
Desequilibrio del terminal respecto al camino más desfavorable	Δp_{Tmr}	[Pa] : 67.31

SEGMENTO 174:

Tipo: Tramo

1 ELEMENTO		2 Caudal Q	3 Diam. D/D _e	4 Ancho A	5 Alto B	6 Long. L	7 $\Delta p/L$	8 Fuente Tab	9 Ashrae X	10 Ashrae Y	11 Coeff. C _o	12 Veloc. V	13 P.Dinám P _v	14 Pérdida Δp_r o Δp_c
N. pz.	Cod.	[m³/h]	[mm]	[mm]	[mm]	[m]	[Pa/m]	n.	-	-	-	[m/s]	[Pa]	[Pa]
2567	11RA	405	210	250	150	0	0	ASH6_26M	0.900		0.010	3	5.42	0.07
2571	283R	405	152	200	100	0.19	0	5.1	30.000	1.880	0.050	5.6	18.88	0.95
615	310R	405	152	200	100	0.6	3.53					5.6	18.88	2.12

Pérdida de carga acumulada del segmento	Δp_t	[Pa] : 3.14
Velocidad en la sección inicial del segmento	V_m	[m/s] : 3.3
Velocidad en la sección final del segmento	V_v	[m/s] : 5.6
Recuperación de presión estática del segmento	Δp_r	[Pa] : -12.32
Pérdida de carga acumulada del segmento, considerando la recuperación	Δp_{tn}	[Pa] : 15.5
Pérdida de carga acumulada neta – total acumulado	$\Sigma \Delta p_{tn}$	[Pa] : 122.53

SEGMENTO 173:

Tipo: Terminal TRM-46

1 ELEMENTO		2 Caudal Q	3 Diam. D/D _e	4 Ancho A	5 Alto B	6 Long. L	7 $\Delta p/L$	8 Fuente Tab	9 Ashrae X	10 Ashrae Y	11 Coeff. C _o	12 Veloc. V	13 P.Dinám P _v	14 Pérdida Δp_r o Δp_c
N. pz.	Cod.	[m³/h]	[mm]	[mm]	[mm]	[m]	[Pa/m]	n.	-	-	-	[m/s]	[Pa]	[Pa]
2569	11RA	45	98	98	98	0	0	ASH6_26	0.111	0.295	1.010	1.7	1.74	19.28
672	310C	45	98	98	98	0.07	0.57					1.7	1.74	0.04
674	079C	45	98	98	98	0	0	3.1	1.520		0.046	1.7	1.74	0.07
2605	273C	45	75	0	0	0.02	0	5.1	30.000	1.710	0.050	2.8	4.72	0.24

675	310C	45	75	0	0	0.3	2.03					2.8	4.72	0.61
2604	023C	45	75	0	0	0.02	0	4.1	30.000	1.710	0.320	2.8	4.72	1.54
677	05LC	45	98	98	98	0	0	MC4				1.7	1.74	16.35

Pérdida de carga acumulada del segmento	Δp_t	[Pa]	: 21.78
Velocidad en la sección inicial del segmento	V_m	[m/s]	: 5.6
Velocidad en la sección final del segmento	V_v	[m/s]	: 1.7
Recuperación de presión estática del segmento	Δp_r	[Pa]	: 17.14
Pérdida de carga acumulada del segmento, considerando la recuperación	Δp_{tn}	[Pa]	: 4.92
Pérdida de carga acumulada neta – total acumulado	$\Sigma \Delta p_{tn}$	[Pa]	: 143.79
Desequilibrio del terminal respecto al camino más desfavorable	Δp_{Tmr}	[Pa]	: 52.07

SEGMENTO 172:

Tipo: Tramo

1 ELEMENTO		2 Caudal Q	3 Diam. D/D _e	4 Ancho A	5 Alto B	6 Long. L	7 $\Delta p/L$	8 Fuente Tab	9 Ashrae X	10 Ashrae Y	11 Coeff. C _o	12 Veloc. V	13 P.Dinám P _v	14 Pérdida Δp_r o Δp_e
N. pz.	Cod.	[m³/h]	[mm]	[mm]	[mm]	[m]	[Pa/m]	n.	-	-	-	[m/s]	[Pa]	[Pa]
2570	11RA	360	152	200	100	0	0	ASH6_26M	0.889		0.011	5	15.05	0.21
616	310R	360	152	200	100	0.6	2.85					5	15.05	1.71

Pérdida de carga acumulada del segmento	Δp_t	[Pa]	: 1.92
Velocidad en la sección inicial del segmento	V_m	[m/s]	: 5.6
Velocidad en la sección final del segmento	V_v	[m/s]	: 5
Recuperación de presión estática del segmento	Δp_r	[Pa]	: 3.83
Pérdida de carga acumulada del segmento, considerando la recuperación	Δp_{tn}	[Pa]	: -2.08
Pérdida de carga acumulada neta – total acumulado	$\Sigma \Delta p_{tn}$	[Pa]	: 120.45

SEGMENTO 171:

Tipo: Terminal TRM-46

1 ELEMENTO		2 Caudal Q	3 Diam. D/D _e	4 Ancho A	5 Alto B	6 Long. L	7 $\Delta p/L$	8 Fuente Tab	9 Ashrae X	10 Ashrae Y	11 Coeff. C _o	12 Veloc. V	13 P.Dinám P _v	14 Pérdida Δp_r o Δp_e
N. pz.	Cod.	[m³/h]	[mm]	[mm]	[mm]	[m]	[Pa/m]	n.	-	-	-	[m/s]	[Pa]	[Pa]
2572	11RA	45	98	98	98	0	0	ASH6_26	0.125	0.332	1.020	1.7	1.74	15.39
666	310C	45	98	98	98	0.07	0.57					1.7	1.74	0.04
668	079C	45	98	98	98	0	0	3.1	1.520		0.046	1.7	1.74	0.07
2603	273C	45	75	0	0	0.02	0	5.1	30.000	1.710	0.050	2.8	4.72	0.24
669	310C	45	75	0	0	0.3	2.03					2.8	4.72	0.61
2602	023C	45	75	0	0	0.02	0	4.1	30.000	1.710	0.320	2.8	4.72	1.54
671	05LC	45	98	98	98	0	0	MC4				1.7	1.74	16.35

Pérdida de carga acumulada del segmento	Δp_t	[Pa]	: 17.89
Velocidad en la sección inicial del segmento	V_m	[m/s]	: 5
Velocidad en la sección final del segmento	V_v	[m/s]	: 1.7
Recuperación de presión estática del segmento	Δp_r	[Pa]	: 13.31
Pérdida de carga acumulada del segmento, considerando la recuperación	Δp_{tn}	[Pa]	: 5.03
Pérdida de carga acumulada neta – total acumulado	$\Sigma \Delta p_{tn}$	[Pa]	: 141.82
Desequilibrio del terminal respecto al camino más desfavorable	Δp_{Tmr}	[Pa]	: 54.05

SEGMENTO 170:

Tipo: Tramo

1 ELEMENTO		2 Caudal Q	3 Diam. D/D _e	4 Ancho A	5 Alto B	6 Long. L	7 $\Delta p/L$	8 Fuente Tab	9 Ashrae X	10 Ashrae Y	11 Coeff. C _o	12 Veloc. V	13 P.Dinám P _v	14 Pérdida Δp_r o Δp_e
N. pz.	Cod.	[m³/h]	[mm]	[mm]	[mm]	[m]	[Pa/m]	n.	-	-	-	[m/s]	[Pa]	[Pa]
2573	11RA	315	152	200	100	0	0	ASH6_26M	0.875		0.012	4.4	11.65	0.19
2576	283R	315	133	150	100	0.14	0	5.1	30.000	1.330	0.050	5.8	20.25	1.02
617	310R	315	133	150	100	0.6	4.32					5.8	20.25	2.59

Pérdida de carga acumulada del segmento	Δp_t	[Pa]	: 3.8
Velocidad en la sección inicial del segmento	V_m	[m/s]	: 5
Velocidad en la sección final del segmento	V_v	[m/s]	: 5.8
Recuperación de presión estática del segmento	Δp_r	[Pa]	: -5.2
Pérdida de carga acumulada del segmento, considerando la recuperación	Δp_{tm}	[Pa]	: 9.24
Pérdida de carga acumulada neta – total acumulado	$\Sigma \Delta p_{tm}$	[Pa]	: 129.69

SEGMENTO 169:

Tipo: Terminal TRM-46

1 ELEMENTO		2 Caudal Q	3 Diam. D/D _e	4 Ancho A	5 Alto B	6 Long. L	7 $\Delta p/L$	8 Fuente Tab	9 Ashrae X	10 Ashrae Y	11 Coeff. C _o	12 Veloc. V	13 P.Dinám P _v	14 Pérdida Δp_r o Δp_e
N. pz.	Cod.	[m³/h]	[mm]	[mm]	[mm]	[m]	[Pa/m]	n.	-	-	-	[m/s]	[Pa]	[Pa]
2574	11RA	45	98	98	98	0	0	ASH6_26	0.143	0.284	1.030	1.7	1.74	21.15
660	310C	45	98	98	98	0.07	0.57					1.7	1.74	0.04
662	079C	45	98	98	98	0	0	3.1	1.520		0.046	1.7	1.74	0.07
2601	273C	45	75	0	0	0.02	0	5.1	30.000	1.710	0.050	2.8	4.72	0.24
663	310C	45	75	0	0	0.3	2.03					2.8	4.72	0.61
2600	023C	45	75	0	0	0.02	0	4.1	30.000	1.710	0.320	2.8	4.72	1.54
665	05LC	45	98	98	98	0	0	MC4				1.7	1.74	16.35

Pérdida de carga acumulada del segmento	Δp_t	[Pa]	: 23.65
Velocidad en la sección inicial del segmento	V_m	[m/s]	: 5.8
Velocidad en la sección final del segmento	V_v	[m/s]	: 1.7
Recuperación de presión estática del segmento	Δp_r	[Pa]	: 18.51
Pérdida de carga acumulada del segmento, considerando la recuperación	Δp_{tm}	[Pa]	: 5.35
Pérdida de carga acumulada neta – total acumulado	$\Sigma \Delta p_{tm}$	[Pa]	: 151.38
Desequilibrio del terminal respecto al camino más desfavorable	Δp_{Tmr}	[Pa]	: 44.48

SEGMENTO 168:

Tipo: Tramo

1 ELEMENTO		2 Caudal Q	3 Diam. D/D _e	4 Ancho A	5 Alto B	6 Long. L	7 $\Delta p/L$	8 Fuente Tab	9 Ashrae X	10 Ashrae Y	11 Coeff. C _o	12 Veloc. V	13 P.Dinám P _v	14 Pérdida Δp_r o Δp_e
N. pz.	Cod.	[m³/h]	[mm]	[mm]	[mm]	[m]	[Pa/m]	n.	-	-	-	[m/s]	[Pa]	[Pa]
2575	11RA	270	133	150	100	0	0	ASH6_26M	0.857		0.014	5	15.05	0.29
618	310R	270	133	150	100	0.6	3.23					5	15.05	1.94

Pérdida de carga acumulada del segmento	Δp_t	[Pa]	: 2.23
Velocidad en la sección inicial del segmento	V_m	[m/s]	: 5.8
Velocidad en la sección final del segmento	V_v	[m/s]	: 5
Recuperación de presión estática del segmento	Δp_r	[Pa]	: 5.2
Pérdida de carga acumulada del segmento, considerando la recuperación	Δp_{tm}	[Pa]	: -3.2
Pérdida de carga acumulada neta – total acumulado	$\Sigma \Delta p_{tm}$	[Pa]	: 126.48

SEGMENTO 167:

Tipo: Terminal TRM-46

1 ELEMENTO		2 Caudal Q	3 Diam. D/D _e	4 Ancho A	5 Alto B	6 Long. L	7 $\Delta p/L$	8 Fuente Tab	9 Ashrae X	10 Ashrae Y	11 Coeff. C _o	12 Veloc. V	13 P.Dinám P _v	14 Pérdida Δp_r o Δp_c
N. pz.	Cod.	[m³/h]	[mm]	[mm]	[mm]	[m]	[Pa/m]	n.	-	-	-	[m/s]	[Pa]	[Pa]
2577	11RA	45	98	98	98	0	0	ASH6_26	0.167	0.332	1.050	1.7	1.74	15.79
654	310C	45	98	98	98	0.07	0.57					1.7	1.74	0.04
656	079C	45	98	98	98	0	0	3.1	1.520		0.046	1.7	1.74	0.07
2599	273C	45	75	0	0	0.02	0	5.1	30.000	1.710	0.050	2.8	4.72	0.24
657	310C	45	75	0	0	0.3	2.03					2.8	4.72	0.61
2598	023C	45	75	0	0	0.02	0	4.1	30.000	1.710	0.320	2.8	4.72	1.54
659	05LC	45	98	98	98	0	0	MC4				1.7	1.74	16.35

Pérdida de carga acumulada del segmento

Δp_t [Pa] : 18.29

Velocidad en la sección inicial del segmento

V_m [m/s] : 5

Velocidad en la sección final del segmento

V_v [m/s] : 1.7

Recuperación de presión estática del segmento

Δp_r [Pa] : 13.31

Pérdida de carga acumulada del segmento, considerando la recuperación

Δp_{tn} [Pa] : 5.42

Pérdida de carga acumulada neta – total acumulado

$\Sigma \Delta p_{tn}$ [Pa] : 148.25

Desequilibrio del terminal respecto al camino más desfavorable

Δp_{Tmr} [Pa] : 47.62

SEGMENTO 166:

Tipo: Tramo

1 ELEMENTO		2 Caudal Q	3 Diam. D/D _e	4 Ancho A	5 Alto B	6 Long. L	7 $\Delta p/L$	8 Fuente Tab	9 Ashrae X	10 Ashrae Y	11 Coeff. C _o	12 Veloc. V	13 P.Dinám P _v	14 Pérdida Δp_r o Δp_c
N. pz.	Cod.	[m³/h]	[mm]	[mm]	[mm]	[m]	[Pa/m]	n.	-	-	-	[m/s]	[Pa]	[Pa]
2578	11RA	225	133	150	100	0	0	ASH6_26M	0.833		0.017	4.2	10.62	0.25
619	310R	225	133	150	100	0.6	2.3					4.2	10.62	1.38

Pérdida de carga acumulada del segmento

Δp_t [Pa] : 1.64

Velocidad en la sección inicial del segmento

V_m [m/s] : 5

Velocidad en la sección final del segmento

V_v [m/s] : 4.2

Recuperación de presión estática del segmento

Δp_r [Pa] : 4.43

Pérdida de carga acumulada del segmento, considerando la recuperación

Δp_{tn} [Pa] : -2.96

Pérdida de carga acumulada neta – total acumulado

$\Sigma \Delta p_{tn}$ [Pa] : 123.52

SEGMENTO 165:

Tipo: Terminal TRM-46

1 ELEMENTO		2 Caudal Q	3 Diam. D/D _e	4 Ancho A	5 Alto B	6 Long. L	7 $\Delta p/L$	8 Fuente Tab	9 Ashrae X	10 Ashrae Y	11 Coeff. C _o	12 Veloc. V	13 P.Dinám P _v	14 Pérdida Δp_r o Δp_c
N. pz.	Cod.	[m³/h]	[mm]	[mm]	[mm]	[m]	[Pa/m]	n.	-	-	-	[m/s]	[Pa]	[Pa]
2579	11RA	45	98	98	98	0	0	ASH6_26	0.200	0.398	1.070	1.7	1.74	11.18
648	310C	45	98	98	98	0.07	0.57					1.7	1.74	0.04
650	079C	45	98	98	98	0	0	3.1	1.520		0.046	1.7	1.74	0.07
2597	273C	45	75	0	0	0.02	0	5.1	30.000	1.710	0.050	2.8	4.72	0.24
651	310C	45	75	0	0	0.3	2.03					2.8	4.72	0.61
2596	023C	45	75	0	0	0.02	0	4.1	30.000	1.710	0.320	2.8	4.72	1.54
653	05LC	45	98	98	98	0	0	MC4				1.7	1.74	16.35

Pérdida de carga acumulada del segmento	Δp_t	[Pa]	: 13.69
Velocidad en la sección inicial del segmento	V_m	[m/s]	: 4.2
Velocidad en la sección final del segmento	V_v	[m/s]	: 1.7
Recuperación de presión estática del segmento	Δp_r	[Pa]	: 8.88
Pérdida de carga acumulada del segmento, considerando la recuperación	Δp_{tn}	[Pa]	: 5.42
Pérdida de carga acumulada neta – total acumulado	$\Sigma \Delta p_{tn}$	[Pa]	: 145.29
Desequilibrio del terminal respecto al camino más desfavorable	Δp_{Tmr}	[Pa]	: 50.58

SEGMENTO 164:

Tipo: Tramo

1 ELEMENTO		2 Caudal Q	3 Diam. D/D _e	4 Ancho A	5 Alto B	6 Long. L	7 $\Delta p/L$	8 Fuente Tab	9 Ashrae X	10 Ashrae Y	11 Coeff. C _o	12 Veloc. V	13 P.Dinám P _v	14 Pérdida Δp_r o Δp_e
N. pz.	Cod.	[m³/h]	[mm]	[mm]	[mm]	[m]	[Pa/m]	n.	-	-	-	[m/s]	[Pa]	[Pa]
2580	11RA	180	133	150	100	0	0	ASH6_26M	0.800		0.020	3.3	6.56	0.21
2583	283R	180	109	100	100	0.14	0		30.000	1.500	0.050	5	15.05	0.75
620	310R	180	109	100	100	0.6	4.08					5	15.05	2.45

Pérdida de carga acumulada del segmento	Δp_t	[Pa]	: 3.41
Velocidad en la sección inicial del segmento	V_m	[m/s]	: 4.2
Velocidad en la sección final del segmento	V_v	[m/s]	: 5
Recuperación de presión estática del segmento	Δp_r	[Pa]	: -4.43
Pérdida de carga acumulada del segmento, considerando la recuperación	Δp_{tn}	[Pa]	: 8.01
Pérdida de carga acumulada neta – total acumulado	$\Sigma \Delta p_{tn}$	[Pa]	: 131.53

SEGMENTO 163:

Tipo: Terminal TRM-46

1 ELEMENTO		2 Caudal Q	3 Diam. D/D _e	4 Ancho A	5 Alto B	6 Long. L	7 $\Delta p/L$	8 Fuente Tab	9 Ashrae X	10 Ashrae Y	11 Coeff. C _o	12 Veloc. V	13 P.Dinám P _v	14 Pérdida Δp_r o Δp_e
N. pz.	Cod.	[m³/h]	[mm]	[mm]	[mm]	[m]	[Pa/m]	n.	-	-	-	[m/s]	[Pa]	[Pa]
2581	11RA	45	98	98	98	0	0	ASH6_26	0.250	0.332	1.080	1.7	1.74	16.18
642	310C	45	98	98	98	0.07	0.57					1.7	1.74	0.04
644	079C	45	98	98	98	0	0	3.1	1.520		0.046	1.7	1.74	0.07
2595	273C	45	75	0	0	0.02	0	5.1	30.000	1.710	0.050	2.8	4.72	0.24
645	310C	45	75	0	0	0.3	2.03					2.8	4.72	0.61
2594	023C	45	75	0	0	0.02	0	4.1	30.000	1.710	0.320	2.8	4.72	1.54
647	05LC	45	98	98	98	0	0	MC4				1.7	1.74	16.35

Pérdida de carga acumulada del segmento	Δp_t	[Pa]	: 18.68
Velocidad en la sección inicial del segmento	V_m	[m/s]	: 5
Velocidad en la sección final del segmento	V_v	[m/s]	: 1.7
Recuperación de presión estática del segmento	Δp_r	[Pa]	: 13.31
Pérdida de carga acumulada del segmento, considerando la recuperación	Δp_{tn}	[Pa]	: 5.82
Pérdida de carga acumulada neta – total acumulado	$\Sigma \Delta p_{tn}$	[Pa]	: 153.7
Desequilibrio del terminal respecto al camino más desfavorable	Δp_{Tmr}	[Pa]	: 42.17

SEGMENTO 162:

Tipo: Tramo

1 ELEMENTO	2 Caudal Q	3 Diam. D/D _e	4 Ancho A	5 Alto B	6 Long. L	7 $\Delta p/L$	8 Fuente Tab	9 Ashrae X	10 Ashrae Y	11 Coeff. C _o	12 Veloc. V	13 P.Dinám P _v	14 Pérdida Δp_r o Δp_e
---------------	------------------	--------------------------------	-----------------	----------------	-----------------	-------------------	--------------------	------------------	-------------------	--------------------------------	-------------------	---------------------------------	--

N. pz.	Cod.	[m³/h]	[mm]	[mm]	[mm]	[m]	[Pa/m]	n.	-	-	-	[m/s]	[Pa]	[Pa]
2582	11RA	135	109	100	100	0	0	ASH6_26M	0.750		0.030	3.7	8.24	0.45
621	310R	135	109	100	100	0.6	2.4					3.7	8.24	1.44

Pérdida de carga acumulada del segmento	Δp_t	[Pa]	: 1.89
Velocidad en la sección inicial del segmento	V_m	[m/s]	: 5
Velocidad en la sección final del segmento	V_v	[m/s]	: 3.7
Recuperación de presión estática del segmento	Δp_r	[Pa]	: 6.81
Pérdida de carga acumulada del segmento, considerando la recuperación	Δp_{tm}	[Pa]	: -4.69
Pérdida de carga acumulada neta – total acumulado	$\Sigma \Delta p_{tm}$	[Pa]	: 126.84

SEGMENTO 161:

Tipo: Terminal TRM-46

1 ELEMENTO		2 Caudal Q	3 Diam. D/D _e	4 Ancho A	5 Alto B	6 Long. L	7 $\Delta p/L$	8 Fuente Tab	9 Ashrae X	10 Ashrae Y	11 Coeff. C _o	12 Veloc. V	13 P.Dinám P _v	14 Pérdida Δp_r o Δp_c
N. pz.	Cod.	[m³/h]	[mm]	[mm]	[mm]	[m]	[Pa/m]	n.	-	-	-	[m/s]	[Pa]	[Pa]
2584	11RA	45	98	98	98	0	0	ASH6_26	0.333	0.442	1.100	1.7	1.74	9.28
636	310C	45	98	98	98	0.07	0.57					1.7	1.74	0.04
638	079C	45	98	98	98	0	0	3.1	1.520		0.046	1.7	1.74	0.07
2593	273C	45	75	0	0	0.02	0	5.1	30.000	1.710	0.050	2.8	4.72	0.24
639	310C	45	75	0	0	0.3	2.03					2.8	4.72	0.61
2592	023C	45	75	0	0	0.02	0	4.1	30.000	1.710	0.320	2.8	4.72	1.54
641	05LC	45	98	98	98	0	0	MC4				1.7	1.74	16.35

Pérdida de carga acumulada del segmento	Δp_t	[Pa]	: 11.79
Velocidad en la sección inicial del segmento	V_m	[m/s]	: 3.7
Velocidad en la sección final del segmento	V_v	[m/s]	: 1.7
Recuperación de presión estática del segmento	Δp_r	[Pa]	: 6.5
Pérdida de carga acumulada del segmento, considerando la recuperación	Δp_{tm}	[Pa]	: 5.51
Pérdida de carga acumulada neta – total acumulado	$\Sigma \Delta p_{tm}$	[Pa]	: 148.7
Desequilibrio del terminal respecto al camino más desfavorable	Δp_{Tmr}	[Pa]	: 47.17

SEGMENTO 160:

Tipo: Tramo

1 ELEMENTO		2 Caudal Q	3 Diam. D/D _e	4 Ancho A	5 Alto B	6 Long. L	7 $\Delta p/L$	8 Fuente Tab	9 Ashrae X	10 Ashrae Y	11 Coeff. C _o	12 Veloc. V	13 P.Dinám P _v	14 Pérdida Δp_r o Δp_c
N. pz.	Cod.	[m³/h]	[mm]	[mm]	[mm]	[m]	[Pa/m]	n.	-	-	-	[m/s]	[Pa]	[Pa]
2585	11RA	90	109	100	100	0	0	ASH6_26M	0.667		0.047	2.5	3.76	0.4
622	310R	90	109	100	100	0.6	1.13					2.5	3.76	0.68

Pérdida de carga acumulada del segmento	Δp_t	[Pa]	: 1.07
Velocidad en la sección inicial del segmento	V_m	[m/s]	: 3.7
Velocidad en la sección final del segmento	V_v	[m/s]	: 2.5
Recuperación de presión estática del segmento	Δp_r	[Pa]	: 4.48
Pérdida de carga acumulada del segmento, considerando la recuperación	Δp_{tm}	[Pa]	: -3.63
Pérdida de carga acumulada neta – total acumulado	$\Sigma \Delta p_{tm}$	[Pa]	: 123.21

SEGMENTO 159:

Tipo: Terminal TRM-46

1 ELEMENTO		2 Caudal Q	3 Diam. D/D _e	4 Ancho A	5 Alto B	6 Long. L	7 $\Delta p/L$	8 Fuente Tab	9 Ashrae X	10 Ashrae Y	11 Coeff. C _o	12 Veloc. V	13 P.Dinám P _v	14 Pérdida Δp_r o Δp_e
N. pz.	Cod.	[m³/h]	[mm]	[mm]	[mm]	[m]	[Pa/m]	n.	-	-	-	[m/s]	[Pa]	[Pa]
2586	11RA	45	98	98	98	0	0	ASH6_26	0.500	0.663	1.260	1.7	1.74	4.74
630	310C	45	98	98	98	0.07	0.57					1.7	1.74	0.04
632	079C	45	98	98	98	0	0	3.1	1.520		0.046	1.7	1.74	0.07
2591	273C	45	75	0	0	0.02	0	5.1	30.000	1.710	0.050	2.8	4.72	0.24
633	310C	45	75	0	0	0.3	2.03					2.8	4.72	0.61
2590	023C	45	75	0	0	0.02	0	4.1	30.000	1.710	0.320	2.8	4.72	1.54
635	05LC	45	98	98	98	0	0	MC4				1.7	1.74	16.35

Pérdida de carga acumulada del segmento	Δp_t	[Pa] : 7.25
Velocidad en la sección inicial del segmento	V_m	[m/s] : 2.5
Velocidad en la sección final del segmento	V_v	[m/s] : 1.7
Recuperación de presión estática del segmento	Δp_r	[Pa] : 2.02
Pérdida de carga acumulada del segmento, considerando la recuperación	Δp_{tm}	[Pa] : 5.67
Pérdida de carga acumulada neta – total acumulado	$\Sigma \Delta p_{tm}$	[Pa] : 145.23
Desequilibrio del terminal respecto al camino más desfavorable	Δp_{Tmr}	[Pa] : 50.64

SEGMENTO 158:

Tipo: Terminal TRM-46

1 ELEMENTO		2 Caudal Q	3 Diam. D/D _e	4 Ancho A	5 Alto B	6 Long. L	7 $\Delta p/L$	8 Fuente Tab	9 Ashrae X	10 Ashrae Y	11 Coeff. C _o	12 Veloc. V	13 P.Dinám P _v	14 Pérdida Δp_r o Δp_e
N. pz.	Cod.	[m³/h]	[mm]	[mm]	[mm]	[m]	[Pa/m]	n.	-	-	-	[m/s]	[Pa]	[Pa]
2587	11RA	45	109	100	100	0	0	ASH6_26M	0.500		0.090	1.2	0.87	0.34
623	310R	45	109	100	100	0.6	0.32					1.2	0.87	0.19
614	11RAT	45	109	100	100	0	0	2_6	1.000	0.917	2.800	1.2	0.87	4.63
624	310C	45	98	98	98	0.07	0.57					1.7	1.74	0.04
626	079C	45	98	98	98	0	0	3.1	1.520		0.046	1.7	1.74	0.07
2589	023C	45	98	98	98	0	0	4.1	30.000	1.040	0.320	1.7	1.74	0.53
627	310C	45	100	0	0	0.3	0.5					1.6	1.54	0.15
2588	273C	45	98	98	98	0	0	5.1	30.000	1.040	0.050	1.7	1.74	0.08
629	05LC	45	98	98	98	0	0	MC4				1.7	1.74	16.35

Pérdida de carga acumulada del segmento	Δp_t	[Pa] : 6.04
Velocidad en la sección inicial del segmento	V_m	[m/s] : 2.5
Velocidad en la sección final del segmento	V_v	[m/s] : 1.7
Recuperación de presión estática del segmento	Δp_r	[Pa] : 2.02
Pérdida de carga acumulada del segmento, considerando la recuperación	Δp_{tm}	[Pa] : 3.93
Pérdida de carga acumulada neta – total acumulado	$\Sigma \Delta p_{tm}$	[Pa] : 143.49
Desequilibrio del terminal respecto al camino más desfavorable	Δp_{Tmr}	[Pa] : 52.38

SEGMENTO 196:

Tipo: Tramo

1 ELEMENTO		2 Caudal Q	3 Diam. D/D _e	4 Ancho A	5 Alto B	6 Long. L	7 $\Delta p/L$	8 Fuente Tab	9 Ashrae X	10 Ashrae Y	11 Coeff. C _o	12 Veloc. V	13 P.Dinám P _v	14 Pérdida Δp_r o Δp_e
N. pz.	Cod.	[m³/h]	[mm]	[mm]	[mm]	[m]	[Pa/m]	n.	-	-	-	[m/s]	[Pa]	[Pa]
2564	3736	9000	732	750	600	0	0	MC4	1.030		0.071	5.6	18.88	1.34
756	310R	9000	732	750	600	1	0.47					5.6	18.88	0.47

Pérdida de carga acumulada del segmento	Δp_t	[Pa] : 1.81
---	--------------	-------------

Velocidad en la sección inicial del segmento	V_m	[m/s]	: 5.5
Velocidad en la sección final del segmento	V_v	[m/s]	: 5
Recuperación de presión estática del segmento	Δp_r	[Pa]	: 3.16
Pérdida de carga acumulada del segmento, considerando la recuperación	Δp_{tn}	[Pa]	: 7.61
Pérdida de carga acumulada neta – total acumulado	$\Sigma \Delta p_{tn}$	[Pa]	: 106.34

SEGMENTO 216:

Tipo: Tramo

1 ELEMENTO		2 Caudal Q	3 Diam. D/D _e	4 Ancho A	5 Alto B	6 Long. L	7 $\Delta p/L$	8 Fuente Tab	9 Ashrae X	10 Ashrae Y	11 Coeff. C _o	12 Veloc. V	13 P.Dinám P _v	14 Pérdida Δp_r o Δp_c
N. pz.	Cod.	[m³/h]	[mm]	[mm]	[mm]	[m]	[Pa/m]	n.	-	-	-	[m/s]	[Pa]	[Pa]
2647	3736	450	310	150	600	0	0	MC4	0.050	0.200	9.420	1.4	1.18	11.11
2693	283R	450	164	150	150	0.88	0	5.1	30.000	4.000	0.040	5.6	18.88	0.81
831	310R	450	164	150	150	1.1	2.95					5.6	18.88	3.25

Pérdida de carga acumulada del segmento	Δp_t	[Pa]	: 15.17
Velocidad en la sección inicial del segmento	V_m	[m/s]	: 5
Velocidad en la sección final del segmento	V_v	[m/s]	: 3.3
Recuperación de presión estática del segmento	Δp_r	[Pa]	: 8.49
Pérdida de carga acumulada del segmento, considerando la recuperación	Δp_{tn}	[Pa]	: 7.74
Pérdida de carga acumulada neta – total acumulado	$\Sigma \Delta p_{tn}$	[Pa]	: 114.08

SEGMENTO 234:

Tipo: Terminal TRM-18

1 ELEMENTO		2 Caudal Q	3 Diam. D/D _e	4 Ancho A	5 Alto B	6 Long. L	7 $\Delta p/L$	8 Fuente Tab	9 Ashrae X	10 Ashrae Y	11 Coeff. C _o	12 Veloc. V	13 P.Dinám P _v	14 Pérdida Δp_r o Δp_c
N. pz.	Cod.	[m³/h]	[mm]	[mm]	[mm]	[m]	[Pa/m]	n.	-	-	-	[m/s]	[Pa]	[Pa]
2691	11RA	45	98	98	98	0	0	ASH6_26	0.100	0.298	1.070	1.7	1.74	7.18
897	310C	45	98	98	98	0.07	0.57					1.7	1.74	0.04
899	079C	45	98	98	98	0	0	3.1	1.520		0.046	1.7	1.74	0.07
2729	273C	45	75	0	0	0.02	0	5.1	30.000	1.710	0.050	2.8	4.72	0.24
900	310C	45	75	0	0	0.3	2.03					2.8	4.72	0.61
2728	023C	45	75	0	0	0.02	0	4.1	30.000	1.710	0.320	2.8	4.72	1.54
902	05LC	45	98	98	98	0	0	MC4				1.7	1.74	16.35

Pérdida de carga acumulada del segmento	Δp_t	[Pa]	: 9.68
Velocidad en la sección inicial del segmento	V_m	[m/s]	: 3.3
Velocidad en la sección final del segmento	V_v	[m/s]	: 1.7
Recuperación de presión estática del segmento	Δp_r	[Pa]	: 4.82
Pérdida de carga acumulada del segmento, considerando la recuperación	Δp_{tn}	[Pa]	: 5.18
Pérdida de carga acumulada neta – total acumulado	$\Sigma \Delta p_{tn}$	[Pa]	: 135.6
Desequilibrio del terminal respecto al camino más desfavorable	Δp_{Tmr}	[Pa]	: 60.27

SEGMENTO 233:

Tipo: Tramo

1 ELEMENTO		2 Caudal Q	3 Diam. D/D _e	4 Ancho A	5 Alto B	6 Long. L	7 $\Delta p/L$	8 Fuente Tab	9 Ashrae X	10 Ashrae Y	11 Coeff. C _o	12 Veloc. V	13 P.Dinám P _v	14 Pérdida Δp_r o Δp_c
N. pz.	Cod.	[m³/h]	[mm]	[mm]	[mm]	[m]	[Pa/m]	n.	-	-	-	[m/s]	[Pa]	[Pa]
2692	11RA	405	164	150	150	0	0	ASH6_26M	0.900		0.010	5	15.05	0.07
834	310R	405	164	150	150	0.6	2.43					5	15.05	1.46

Pérdida de carga acumulada del segmento	Δp_t	[Pa]	: 1.52
Velocidad en la sección inicial del segmento	V_m	[m/s]	: 3.3
Velocidad en la sección final del segmento	V_v	[m/s]	: 3
Recuperación de presión estática del segmento	Δp_r	[Pa]	: 1.14
Pérdida de carga acumulada del segmento, considerando la recuperación	Δp_{tm}	[Pa]	: 1.76
Pérdida de carga acumulada neta – total acumulado	$\Sigma \Delta p_{tm}$	[Pa]	: 115.84

SEGMENTO 232:

Tipo: Terminal TRM-19

1 ELEMENTO		2 Caudal Q	3 Diam. D/D _e	4 Ancho A	5 Alto B	6 Long. L	7 $\Delta p/L$	8 Fuente Tab	9 Ashrae X	10 Ashrae Y	11 Coeff. C _o	12 Veloc. V	13 P.Dinám P _v	14 Pérdida $\Delta p_r \circ \Delta p_c$
N. pz.	Cod.	[m³/h]	[mm]	[mm]	[mm]	[m]	[Pa/m]	n.	-	-	-	[m/s]	[Pa]	[Pa]
2694	11RA	45	98	98	98	0	0	ASH6_26	0.111	0.332	1.110	1.7	1.74	6
891	310C	45	98	98	98	0.07	0.57					1.7	1.74	0.04
893	079C	45	98	98	98	0	0	3.1	1.520		0.046	1.7	1.74	0.07
2727	273C	45	75	0	0	0.02	0	5.1	30.000	1.710	0.050	2.8	4.72	0.24
894	310C	45	75	0	0	0.3	2.03					2.8	4.72	0.61
2726	023C	45	75	0	0	0.02	0	4.1	30.000	1.710	0.320	2.8	4.72	1.54
896	05LC	45	98	98	98	0	0	MC4				1.7	1.74	16.35

Pérdida de carga acumulada del segmento	Δp_t	[Pa]	: 8.51
Velocidad en la sección inicial del segmento	V_m	[m/s]	: 3
Velocidad en la sección final del segmento	V_v	[m/s]	: 1.7
Recuperación de presión estática del segmento	Δp_r	[Pa]	: 3.68
Pérdida de carga acumulada del segmento, considerando la recuperación	Δp_{tm}	[Pa]	: 5.27
Pérdida de carga acumulada neta – total acumulado	$\Sigma \Delta p_{tm}$	[Pa]	: 137.45
Desequilibrio del terminal respecto al camino más desfavorable	Δp_{Tmr}	[Pa]	: 58.42

SEGMENTO 231:

Tipo: Tramo

1 ELEMENTO		2 Caudal Q	3 Diam. D/D _e	4 Ancho A	5 Alto B	6 Long. L	7 $\Delta p/L$	8 Fuente Tab	9 Ashrae X	10 Ashrae Y	11 Coeff. C _o	12 Veloc. V	13 P.Dinám P _v	14 Pérdida $\Delta p_r \circ \Delta p_c$
N. pz.	Cod.	[m³/h]	[mm]	[mm]	[mm]	[m]	[Pa/m]	n.	-	-	-	[m/s]	[Pa]	[Pa]
2695	11RA	360	164	150	150	0	0	ASH6_26M	0.889		0.011	4.4	11.65	0.06
835	310R	360	164	150	150	0.6	1.95					4.4	11.65	1.17

Pérdida de carga acumulada del segmento	Δp_t	[Pa]	: 1.23
Velocidad en la sección inicial del segmento	V_m	[m/s]	: 3
Velocidad en la sección final del segmento	V_v	[m/s]	: 2.7
Recuperación de presión estática del segmento	Δp_r	[Pa]	: 1.03
Pérdida de carga acumulada del segmento, considerando la recuperación	Δp_{tm}	[Pa]	: 1.28
Pérdida de carga acumulada neta – total acumulado	$\Sigma \Delta p_{tm}$	[Pa]	: 117.12

SEGMENTO 230:

Tipo: Terminal TRM-20

1 ELEMENTO		2 Caudal Q	3 Diam. D/D _e	4 Ancho A	5 Alto B	6 Long. L	7 $\Delta p/L$	8 Fuente Tab	9 Ashrae X	10 Ashrae Y	11 Coeff. C _o	12 Veloc. V	13 P.Dinám P _v	14 Pérdida $\Delta p_r \circ \Delta p_c$
---------------	--	------------------	--------------------------------	-----------------	----------------	-----------------	-------------------	--------------------	------------------	-------------------	--------------------------------	-------------------	---------------------------------	--

N. pz.	Cod.	[m³/h]	[mm]	[mm]	[mm]	[m]	[Pa/m]	n.	-	-	-	[m/s]	[Pa]	[Pa]
2696	11RA	45	98	98	98	0	0	ASH6_26	0.125	0.373	1.140	1.7	1.74	4.88
885	310C	45	98	98	98	0.07	0.57					1.7	1.74	0.04
887	079C	45	98	98	98	0	0	3.1	1.520		0.046	1.7	1.74	0.07
2725	273C	45	75	0	0	0.02	0	5.1	30.000	1.710	0.050	2.8	4.72	0.24
888	310C	45	75	0	0	0.3	2.03					2.8	4.72	0.61
2724	023C	45	75	0	0	0.02	0	4.1	30.000	1.710	0.320	2.8	4.72	1.54
890	05LC	45	98	98	98	0	0	MC4				1.7	1.74	16.35

Pérdida de carga acumulada del segmento	Δp_t	[Pa]	: 7.38
Velocidad en la sección inicial del segmento	V_m	[m/s]	: 2.7
Velocidad en la sección final del segmento	V_v	[m/s]	: 1.7
Recuperación de presión estática del segmento	Δp_r	[Pa]	: 2.65
Pérdida de carga acumulada del segmento, considerando la recuperación	Δp_{tn}	[Pa]	: 5.28
Pérdida de carga acumulada neta – total acumulado	$\Sigma \Delta p_{tn}$	[Pa]	: 138.75
Desequilibrio del terminal respecto al camino más desfavorable	Δp_{Tmr}	[Pa]	: 57.12

SEGMENTO 229:

Tipo: Tramo

1 ELEMENTO		2 Caudal Q	3 Diam. D/D _e	4 Ancho A	5 Alto B	6 Long. L	7 $\Delta p/L$	8 Fuente Tab	9 Ashrae X	10 Ashrae Y	11 Coeff. C _o	12 Veloc. V	13 P.Dinám P _v	14 Pérdida Δp_r o Δp_c
N. pz.	Cod.	[m³/h]	[mm]	[mm]	[mm]	[m]	[Pa/m]	n.	-	-	-	[m/s]	[Pa]	[Pa]
2697	11RA	315	164	150	150	0	0	ASH6_26M	0.875		0.012	3.9	9.16	0.05
836	310R	315	164	150	150	0.6	1.52					3.9	9.16	0.91

Pérdida de carga acumulada del segmento	Δp_t	[Pa]	: 0.97
Velocidad en la sección inicial del segmento	V_m	[m/s]	: 2.7
Velocidad en la sección final del segmento	V_v	[m/s]	: 2.3
Recuperación de presión estática del segmento	Δp_r	[Pa]	: 1.2
Pérdida de carga acumulada del segmento, considerando la recuperación	Δp_{tn}	[Pa]	: 0.87
Pérdida de carga acumulada neta – total acumulado	$\Sigma \Delta p_{tn}$	[Pa]	: 117.99

SEGMENTO 228:

Tipo: Terminal TRM-21

1 ELEMENTO		2 Caudal Q	3 Diam. D/D _e	4 Ancho A	5 Alto B	6 Long. L	7 $\Delta p/L$	8 Fuente Tab	9 Ashrae X	10 Ashrae Y	11 Coeff. C _o	12 Veloc. V	13 P.Dinám P _v	14 Pérdida Δp_r o Δp_c
N. pz.	Cod.	[m³/h]	[mm]	[mm]	[mm]	[m]	[Pa/m]	n.	-	-	-	[m/s]	[Pa]	[Pa]
2698	11RA	45	98	98	98	0	0	ASH6_26	0.143	0.426	1.190	1.7	1.74	3.88
879	310C	45	98	98	98	0.07	0.57					1.7	1.74	0.04
881	079C	45	98	98	98	0	0	3.1	1.520		0.046	1.7	1.74	0.07
2723	273C	45	75	0	0	0.02	0	5.1	30.000	1.710	0.050	2.8	4.72	0.24
882	310C	45	75	0	0	0.3	2.03					2.8	4.72	0.61
2722	023C	45	75	0	0	0.02	0	4.1	30.000	1.710	0.320	2.8	4.72	1.54
884	05LC	45	98	98	98	0	0	MC4				1.7	1.74	16.35

Pérdida de carga acumulada del segmento	Δp_t	[Pa]	: 6.39
Velocidad en la sección inicial del segmento	V_m	[m/s]	: 2.3
Velocidad en la sección final del segmento	V_v	[m/s]	: 1.7
Recuperación de presión estática del segmento	Δp_r	[Pa]	: 1.44
Pérdida de carga acumulada del segmento, considerando la recuperación	Δp_{tn}	[Pa]	: 5.29
Pérdida de carga acumulada neta – total acumulado	$\Sigma \Delta p_{tn}$	[Pa]	: 139.63
Desequilibrio del terminal respecto al camino más desfavorable	Δp_{Tmr}	[Pa]	: 56.24

SEGMENTO 227:**Tipo:** Tramo

1 ELEMENTO		2 Caudal Q	3 Diam. D/D _e	4 Ancho A	5 Alto B	6 Long. L	7 $\Delta p/L$	8 Fuente Tab	9 Ashrae X	10 Ashrae Y	11 Coeff. C _o	12 Veloc. V	13 P.Dinám P _v	14 Pérdida Δp_r o Δp_c
N. pz.	Cod.	[m³/h]	[mm]	[mm]	[mm]	[m]	[Pa/m]	n.	-	-	-	[m/s]	[Pa]	[Pa]
2699	11RA	270	164	150	150	0	0	ASH6_26M	0.857		0.014	3.3	6.56	0.05
837	310R	270	164	150	150	0.6	1.15					3.3	6.56	0.69

Pérdida de carga acumulada del segmento

 Δp_t [Pa] : 0.73

Velocidad en la sección inicial del segmento

 V_m [m/s] : 2.3

Velocidad en la sección final del segmento

 V_v [m/s] : 2

Recuperación de presión estática del segmento

 Δp_r [Pa] : 0.78

Pérdida de carga acumulada del segmento, considerando la recuperación

 Δp_{tn} [Pa] : 0.53

Pérdida de carga acumulada neta – total acumulado

 $\Sigma \Delta p_{tn}$ [Pa] : 118.52**SEGMENTO 226:****Tipo:** Terminal TRM-22

1 ELEMENTO		2 Caudal Q	3 Diam. D/D _e	4 Ancho A	5 Alto B	6 Long. L	7 $\Delta p/L$	8 Fuente Tab	9 Ashrae X	10 Ashrae Y	11 Coeff. C _o	12 Veloc. V	13 P.Dinám P _v	14 Pérdida Δp_r o Δp_c
N. pz.	Cod.	[m³/h]	[mm]	[mm]	[mm]	[m]	[Pa/m]	n.	-	-	-	[m/s]	[Pa]	[Pa]
2700	11RA	45	98	98	98	0	0	ASH6_26	0.167	0.497	1.280	1.7	1.74	3.08
873	310C	45	98	98	98	0.07	0.57					1.7	1.74	0.04
875	079C	45	98	98	98	0	0	3.1	1.520		0.046	1.7	1.74	0.07
2721	273C	45	75	0	0	0.02	0	5.1	30.000	1.710	0.050	2.8	4.72	0.24
876	310C	45	75	0	0	0.3	2.03					2.8	4.72	0.61
2720	023C	45	75	0	0	0.02	0	4.1	30.000	1.710	0.320	2.8	4.72	1.54
878	05LC	45	98	98	98	0	0	MC4				1.7	1.74	16.35

Pérdida de carga acumulada del segmento

 Δp_t [Pa] : 5.59

Velocidad en la sección inicial del segmento

 V_m [m/s] : 2

Velocidad en la sección final del segmento

 V_v [m/s] : 1.7

Recuperación de presión estática del segmento

 Δp_r [Pa] : 0.67

Pérdida de carga acumulada del segmento, considerando la recuperación

 Δp_{tn} [Pa] : 5.36

Pérdida de carga acumulada neta – total acumulado

 $\Sigma \Delta p_{tn}$ [Pa] : 140.23

Desequilibrio del terminal respecto al camino más desfavorable

 Δp_{Tmr} [Pa] : 55.64**SEGMENTO 225:****Tipo:** Tramo

1 ELEMENTO		2 Caudal Q	3 Diam. D/D _e	4 Ancho A	5 Alto B	6 Long. L	7 $\Delta p/L$	8 Fuente Tab	9 Ashrae X	10 Ashrae Y	11 Coeff. C _o	12 Veloc. V	13 P.Dinám P _v	14 Pérdida Δp_r o Δp_c
N. pz.	Cod.	[m³/h]	[mm]	[mm]	[mm]	[m]	[Pa/m]	n.	-	-	-	[m/s]	[Pa]	[Pa]
2701	11RA	225	164	150	150	0	0	ASH6_26M	0.833		0.017	2.8	4.72	0.04
838	310R	225	164	150	150	0.6	0.82					2.8	4.72	0.49

Pérdida de carga acumulada del segmento

 Δp_t [Pa] : 0.53

Velocidad en la sección inicial del segmento

 V_m [m/s] : 2

Velocidad en la sección final del segmento

 V_v [m/s] : 3.1

Recuperación de presión estática del segmento	Δp_r	[Pa]	: -3.38
Pérdida de carga acumulada del segmento, considerando la recuperación	Δp_{tn}	[Pa]	: 4.53
Pérdida de carga acumulada neta – total acumulado	$\Sigma \Delta p_{tn}$	[Pa]	: 123.05

SEGMENTO 224:

Tipo: Terminal TRM-22

1 ELEMENTO		2 Caudal Q	3 Diam. D/D _e	4 Ancho A	5 Alto B	6 Long. L	7 $\Delta p/L$	8 Fuente Tab	9 Ashrae X	10 Ashrae Y	11 Coeff. C _o	12 Veloc. V	13 P.Dinám P _v	14 Pérdida Δp_r o Δp_c
N. pz.	Cod.	[m³/h]	[mm]	[mm]	[mm]	[m]	[Pa/m]	n.	-	-	-	[m/s]	[Pa]	[Pa]
2702	11RA	45	98	98	98	0	0	ASH6_26	0.200	0.597	1.090	1.7	1.74	6.41
867	310C	45	98	98	98	0.07	0.57					1.7	1.74	0.04
869	079C	45	98	98	98	0	0	3.1	1.520		0.046	1.7	1.74	0.07
2719	273C	45	75	0	0	0.02	0	5.1	30.000	1.710	0.050	2.8	4.72	0.24
870	310C	45	75	0	0	0.3	2.03					2.8	4.72	0.61
2718	023C	45	75	0	0	0.02	0	4.1	30.000	1.710	0.320	2.8	4.72	1.54
872	05LC	45	98	98	98	0	0	MC4				1.7	1.74	16.35

Pérdida de carga acumulada del segmento	Δp_t	[Pa]	: 8.91
Velocidad en la sección inicial del segmento	V_m	[m/s]	: 3.1
Velocidad en la sección final del segmento	V_v	[m/s]	: 1.7
Recuperación de presión estática del segmento	Δp_r	[Pa]	: 4.05
Pérdida de carga acumulada del segmento, considerando la recuperación	Δp_{tn}	[Pa]	: 5.21
Pérdida de carga acumulada neta – total acumulado	$\Sigma \Delta p_{tn}$	[Pa]	: 144.61
Desequilibrio del terminal respecto al camino más desfavorable	Δp_{Tmr}	[Pa]	: 51.26

SEGMENTO 223:

Tipo: Tramo

1 ELEMENTO		2 Caudal Q	3 Diam. D/D _e	4 Ancho A	5 Alto B	6 Long. L	7 $\Delta p/L$	8 Fuente Tab	9 Ashrae X	10 Ashrae Y	11 Coeff. C _o	12 Veloc. V	13 P.Dinám P _v	14 Pérdida Δp_r o Δp_c
N. pz.	Cod.	[m³/h]	[mm]	[mm]	[mm]	[m]	[Pa/m]	n.	-	-	-	[m/s]	[Pa]	[Pa]
2703	11RA	180	164	150	150	0	0	ASH6_26M	0.800		0.020	2.2	2.91	0.12
839	310R	180	164	150	150	0.6	0.55					2.2	2.91	0.33

Pérdida de carga acumulada del segmento	Δp_t	[Pa]	: 0.45
Velocidad en la sección inicial del segmento	V_m	[m/s]	: 3.1
Velocidad en la sección final del segmento	V_v	[m/s]	: 2.5
Recuperación de presión estática del segmento	Δp_r	[Pa]	: 2.02
Pérdida de carga acumulada del segmento, considerando la recuperación	Δp_{tn}	[Pa]	: -0.35
Pérdida de carga acumulada neta – total acumulado	$\Sigma \Delta p_{tn}$	[Pa]	: 122.7

SEGMENTO 222:

Tipo: Terminal TRM-24

1 ELEMENTO		2 Caudal Q	3 Diam. D/D _e	4 Ancho A	5 Alto B	6 Long. L	7 $\Delta p/L$	8 Fuente Tab	9 Ashrae X	10 Ashrae Y	11 Coeff. C _o	12 Veloc. V	13 P.Dinám P _v	14 Pérdida Δp_r o Δp_c
N. pz.	Cod.	[m³/h]	[mm]	[mm]	[mm]	[m]	[Pa/m]	n.	-	-	-	[m/s]	[Pa]	[Pa]
2704	11RA	45	98	98	98	0	0	ASH6_26	0.250	0.746	1.130	1.7	1.74	4.25
861	310C	45	98	98	98	0.07	0.57					1.7	1.74	0.04
863	079C	45	98	98	98	0	0	3.1	1.520		0.046	1.7	1.74	0.07
2717	273C	45	75	0	0	0.02	0	5.1	30.000	1.710	0.050	2.8	4.72	0.24
864	310C	45	75	0	0	0.3	2.03					2.8	4.72	0.61

2716	023C	45	75	0	0	0.02	0	4.1	30.000	1.710	0.320	2.8	4.72	1.54
866	05LC	45	98	98	98	0	0	MC4				1.7	1.74	16.35

Pérdida de carga acumulada del segmento	Δp_t	[Pa]	: 6.76
Velocidad en la sección inicial del segmento	V_m	[m/s]	: 2.5
Velocidad en la sección final del segmento	V_v	[m/s]	: 1.7
Recuperación de presión estática del segmento	Δp_r	[Pa]	: 2.02
Pérdida de carga acumulada del segmento, considerando la recuperación	Δp_{tm}	[Pa]	: 5.17
Pérdida de carga acumulada neta – total acumulado	$\Sigma \Delta p_{tm}$	[Pa]	: 144.22
Desequilibrio del terminal respecto al camino más desfavorable	Δp_{Tmr}	[Pa]	: 51.65

SEGMENTO 221:

Tipo: Tramo

1 ELEMENTO		2 Caudal Q	3 Diam. D/D _e	4 Ancho A	5 Alto B	6 Long. L	7 $\Delta p/L$	8 Fuente Tab	9 Ashrae X	10 Ashrae Y	11 Coeff. C _o	12 Veloc. V	13 P.Dinám P _v	14 Pérdida Δp_r o Δp_e
N. pz.	Cod.	[m³/h]	[mm]	[mm]	[mm]	[m]	[Pa/m]	n.	-	-	-	[m/s]	[Pa]	[Pa]
2705	11RA	135	164	150	150	0	0	ASH6_26M	0.750		0.030	1.7	1.74	0.11
840	310R	135	164	150	150	0.6	0.32					1.7	1.74	0.19

Pérdida de carga acumulada del segmento	Δp_t	[Pa]	: 0.31
Velocidad en la sección inicial del segmento	V_m	[m/s]	: 2.5
Velocidad en la sección final del segmento	V_v	[m/s]	: 2.5
Recuperación de presión estática del segmento	Δp_r	[Pa]	: 0
Pérdida de carga acumulada del segmento, considerando la recuperación	Δp_{tm}	[Pa]	: 1.13
Pérdida de carga acumulada neta – total acumulado	$\Sigma \Delta p_{tm}$	[Pa]	: 123.83

SEGMENTO 220:

Tipo: Terminal TRM-25

1 ELEMENTO		2 Caudal Q	3 Diam. D/D _e	4 Ancho A	5 Alto B	6 Long. L	7 $\Delta p/L$	8 Fuente Tab	9 Ashrae X	10 Ashrae Y	11 Coeff. C _o	12 Veloc. V	13 P.Dinám P _v	14 Pérdida Δp_r o Δp_e
N. pz.	Cod.	[m³/h]	[mm]	[mm]	[mm]	[m]	[Pa/m]	n.	-	-	-	[m/s]	[Pa]	[Pa]
2706	11RA	45	98	98	98	0	0	ASH6_26	0.333	0.995	1.110	1.7	1.74	4.16
855	310C	45	98	98	98	0.07	0.57					1.7	1.74	0.04
857	079C	45	98	98	98	0	0	3.1	1.520		0.046	1.7	1.74	0.07
2715	273C	45	75	0	0	0.02	0	5.1	30.000	1.710	0.050	2.8	4.72	0.24
858	310C	45	75	0	0	0.3	2.03					2.8	4.72	0.61
2714	023C	45	75	0	0	0.02	0	4.1	30.000	1.710	0.320	2.8	4.72	1.54
860	05LC	45	98	98	98	0	0	MC4				1.7	1.74	16.35

Pérdida de carga acumulada del segmento	Δp_t	[Pa]	: 6.66
Velocidad en la sección inicial del segmento	V_m	[m/s]	: 2.5
Velocidad en la sección final del segmento	V_v	[m/s]	: 1.7
Recuperación de presión estática del segmento	Δp_r	[Pa]	: 2.02
Pérdida de carga acumulada del segmento, considerando la recuperación	Δp_{tm}	[Pa]	: 5.08
Pérdida de carga acumulada neta – total acumulado	$\Sigma \Delta p_{tm}$	[Pa]	: 145.26
Desequilibrio del terminal respecto al camino más desfavorable	Δp_{Tmr}	[Pa]	: 50.61

SEGMENTO 219:

Tipo: Tramo

1	2	3	4	5	6	7	8	9	10	11	12	13	14
---	---	---	---	---	---	---	---	---	----	----	----	----	----

ELEMENTO		Caudal Q	Diam. D/D _e	Ancho A	Alto B	Long. L	$\Delta p/L$	Fuente Tab	Ashrae X	Ashrae Y	Coeff. C _o	Veloc. V	P.Dinám P _v	Pérdida Δp_r o Δp_c
N. pz.	Cod.	[m³/h]	[mm]	[mm]	[mm]	[m]	[Pa/m]	n.	-	-	-	[m/s]	[Pa]	[Pa]
2707	11RA	90	164	150	150	0	0	ASH6_26M	0.667		0.047	1.1	0.73	0.18
841	310R	90	164	150	150	0.6	0.15					1.1	0.73	0.09

Pérdida de carga acumulada del segmento	Δp_t	[Pa]	: 0.27
Velocidad en la sección inicial del segmento	V_m	[m/s]	: 2.5
Velocidad en la sección final del segmento	V_v	[m/s]	: 2.5
Recuperación de presión estática del segmento	Δp_r	[Pa]	: 0
Pérdida de carga acumulada del segmento, considerando la recuperación	Δp_{tm}	[Pa]	: 0.95
Pérdida de carga acumulada neta – total acumulado	$\Sigma \Delta p_{tm}$	[Pa]	: 124.78

SEGMENTO 218:

Tipo: Terminal TRM-26

1 ELEMENTO		2 Caudal Q	3 Diam. D/D _e	4 Ancho A	5 Alto B	6 Long. L	7 $\Delta p/L$	8 Fuente Tab	9 Ashrae X	10 Ashrae Y	11 Coeff. C _o	12 Veloc. V	13 P.Dinám P _v	14 Pérdida Δp_r o Δp_c
N. pz.	Cod.	[m³/h]	[mm]	[mm]	[mm]	[m]	[Pa/m]	n.	-	-	-	[m/s]	[Pa]	[Pa]
2708	11RA	45	98	98	98	0	0	ASH6_26	0.500	1.490	1.260	1.7	1.74	4.74
849	310C	45	98	98	98	0.07	0.57					1.7	1.74	0.04
851	079C	45	98	98	98	0	0	3.1	1.520		0.046	1.7	1.74	0.07
2713	273C	45	75	0	0	0.02	0	5.1	30.000	1.710	0.050	2.8	4.72	0.24
852	310C	45	75	0	0	0.3	2.03					2.8	4.72	0.61
2712	023C	45	75	0	0	0.02	0	4.1	30.000	1.710	0.320	2.8	4.72	1.54
854	05LC	45	98	98	98	0	0	MC4				1.7	1.74	16.35

Pérdida de carga acumulada del segmento	Δp_t	[Pa]	: 7.25
Velocidad en la sección inicial del segmento	V_m	[m/s]	: 2.5
Velocidad en la sección final del segmento	V_v	[m/s]	: 1.7
Recuperación de presión estática del segmento	Δp_r	[Pa]	: 2.02
Pérdida de carga acumulada del segmento, considerando la recuperación	Δp_{tm}	[Pa]	: 5.67
Pérdida de carga acumulada neta – total acumulado	$\Sigma \Delta p_{tm}$	[Pa]	: 146.79
Desequilibrio del terminal respecto al camino más desfavorable	Δp_{Tmr}	[Pa]	: 49.08

SEGMENTO 217:

Tipo: Terminal TRM-27

1 ELEMENTO		2 Caudal Q	3 Diam. D/D _e	4 Ancho A	5 Alto B	6 Long. L	7 $\Delta p/L$	8 Fuente Tab	9 Ashrae X	10 Ashrae Y	11 Coeff. C _o	12 Veloc. V	13 P.Dinám P _v	14 Pérdida Δp_r o Δp_c
N. pz.	Cod.	[m³/h]	[mm]	[mm]	[mm]	[m]	[Pa/m]	n.	-	-	-	[m/s]	[Pa]	[Pa]
2709	11RA	45	164	150	150	0	0	ASH6_26M	0.500		0.090	0.6	0.22	0.34
842	310R	45	164	150	150	0.6	0.05					0.6	0.22	0.03
833	11RAT	45	164	150	150	0	0	2_6	1.000	0.915	2.800	0.6	0.22	0
843	310C	45	98	98	98	0.07	0.57					1.7	1.74	0.04
845	079C	45	98	98	98	0	0	3.1	1.520		0.046	1.7	1.74	0.07
2711	023C	45	98	98	98	0	0	4.1	30.000	1.040	0.320	1.7	1.74	0.53
846	310C	45	100	0	0	0.3	0.5					1.6	1.54	0.15
2710	273C	45	98	98	98	0	0	5.1	30.000	1.040	0.050	1.7	1.74	0.08
848	05LC	45	98	98	98	0	0	MC4				1.7	1.74	16.35

Pérdida de carga acumulada del segmento	Δp_t	[Pa]	: 1.24
Velocidad en la sección inicial del segmento	V_m	[m/s]	: 2.5
Velocidad en la sección final del segmento	V_v	[m/s]	: 1.7
Recuperación de presión estática del segmento	Δp_r	[Pa]	: 2.02

Pérdida de carga acumulada del segmento, considerando la recuperación
 Pérdida de carga acumulada neta – total acumulado
 Desequilibrio del terminal respecto al camino más desfavorable

Δp_{tn} [Pa] : -0.55
 $\Sigma \Delta p_{tn}$ [Pa] : 140.58
 Δp_{Tmr} [Pa] : 55.29

SEGMENTO 215:**Tipo:** Tramo

1 ELEMENTO		2 Caudal Q	3 Diam. D/D _e	4 Ancho A	5 Alto B	6 Long. L	7 $\Delta p/L$	8 Fuente Tab	9 Ashrae X	10 Ashrae Y	11 Coeff. C _o	12 Veloc. V	13 P.Dinám P _v	14 Pérdida Δp_r o Δp_c
N. pz.	Cod.	[m³/h]	[mm]	[mm]	[mm]	[m]	[Pa/m]	n.	-	-	-	[m/s]	[Pa]	[Pa]
760	3736	450	414	250	600	0	0	MC4	0.050	0.333	38.200	0.8	0.39	14.9
2651	283R	450	210	250	150	0.88	0	5.1	30.000	4.000	0.040	3.3	6.56	0.29
759	310R	450	210	250	150	1.05	0.87					3.3	6.56	0.91

Pérdida de carga acumulada del segmento
 Velocidad en la sección inicial del segmento
 Velocidad en la sección final del segmento
 Recuperación de presión estática del segmento
 Pérdida de carga acumulada del segmento, considerando la recuperación
 Pérdida de carga acumulada neta – total acumulado

Δp_t [Pa] : 16.11
 V_m [m/s] : 5
 V_v [m/s] : 3.3
 Δp_r [Pa] : 8.49
 Δp_{tn} [Pa] : 7.74
 $\Sigma \Delta p_{tn}$ [Pa] : 114.09

SEGMENTO 214:**Tipo:** Terminal TRM-46

1 ELEMENTO		2 Caudal Q	3 Diam. D/D _e	4 Ancho A	5 Alto B	6 Long. L	7 $\Delta p/L$	8 Fuente Tab	9 Ashrae X	10 Ashrae Y	11 Coeff. C _o	12 Veloc. V	13 P.Dinám P _v	14 Pérdida Δp_r o Δp_c
N. pz.	Cod.	[m³/h]	[mm]	[mm]	[mm]	[m]	[Pa/m]	n.	-	-	-	[m/s]	[Pa]	[Pa]
2649	11RA	45	98	98	98	0	0	ASH6_26	0.100	0.497	1.070	1.7	1.74	7.18
825	310C	45	98	98	98	0.07	0.57					1.7	1.74	0.04
827	079C	45	98	98	98	0	0	3.1	1.520		0.046	1.7	1.74	0.07
2690	273C	45	75	0	0	0.02	0	5.1	30.000	1.710	0.050	2.8	4.72	0.24
828	310C	45	75	0	0	0.3	2.03					2.8	4.72	0.61
2689	023C	45	75	0	0	0.02	0	4.1	30.000	1.710	0.320	2.8	4.72	1.54
830	05LC	45	98	98	98	0	0	MC4				1.7	1.74	16.35

Pérdida de carga acumulada del segmento
 Velocidad en la sección inicial del segmento
 Velocidad en la sección final del segmento
 Recuperación de presión estática del segmento
 Pérdida de carga acumulada del segmento, considerando la recuperación
 Pérdida de carga acumulada neta – total acumulado
 Desequilibrio del terminal respecto al camino más desfavorable

Δp_t [Pa] : 9.68
 V_m [m/s] : 3.3
 V_v [m/s] : 1.7
 Δp_r [Pa] : 4.82
 Δp_{tn} [Pa] : 5.18
 $\Sigma \Delta p_{tn}$ [Pa] : 135.61
 Δp_{Tmr} [Pa] : 60.26

SEGMENTO 213:**Tipo:** Tramo

1 ELEMENTO		2 Caudal Q	3 Diam. D/D _e	4 Ancho A	5 Alto B	6 Long. L	7 $\Delta p/L$	8 Fuente Tab	9 Ashrae X	10 Ashrae Y	11 Coeff. C _o	12 Veloc. V	13 P.Dinám P _v	14 Pérdida Δp_r o Δp_c
N. pz.	Cod.	[m³/h]	[mm]	[mm]	[mm]	[m]	[Pa/m]	n.	-	-	-	[m/s]	[Pa]	[Pa]
2650	11RA	405	210	250	150	0	0	ASH6_26M	0.900		0.010	3	5.42	0.07
2654	283R	405	152	200	100	0.19	0	5.1	30.000	1.880	0.050	5.6	18.88	0.95
762	310R	405	152	200	100	0.6	3.53					5.6	18.88	2.12

Pérdida de carga acumulada del segmento	Δp_t	[Pa]	: 3.14
Velocidad en la sección inicial del segmento	V_m	[m/s]	: 3.3
Velocidad en la sección final del segmento	V_v	[m/s]	: 5.6
Recuperación de presión estática del segmento	Δp_r	[Pa]	: -12.32
Pérdida de carga acumulada del segmento, considerando la recuperación	Δp_{tm}	[Pa]	: 15.5
Pérdida de carga acumulada neta – total acumulado	$\Sigma \Delta p_{tm}$	[Pa]	: 129.59

SEGMENTO 212:

Tipo: Terminal TRM-46

1 ELEMENTO		2 Caudal Q	3 Diam. D/D _e	4 Ancho A	5 Alto B	6 Long. L	7 $\Delta p/L$	8 Fuente Tab	9 Ashrae X	10 Ashrae Y	11 Coeff. C _o	12 Veloc. V	13 P.Dinám P _v	14 Pérdida Δp_r o Δp_e
N. pz.	Cod.	[m³/h]	[mm]	[mm]	[mm]	[m]	[Pa/m]	n.	-	-	-	[m/s]	[Pa]	[Pa]
2652	11RA	45	98	98	98	0	0	ASH6_26	0.111	0.295	1.010	1.7	1.74	19.28
819	310C	45	98	98	98	0.07	0.57					1.7	1.74	0.04
821	079C	45	98	98	98	0	0	3.1	1.520		0.046	1.7	1.74	0.07
2688	273C	45	75	0	0	0.02	0	5.1	30.000	1.710	0.050	2.8	4.72	0.24
822	310C	45	75	0	0	0.3	2.03					2.8	4.72	0.61
2687	023C	45	75	0	0	0.02	0	4.1	30.000	1.710	0.320	2.8	4.72	1.54
824	05LC	45	98	98	98	0	0	MC4				1.7	1.74	16.35

Pérdida de carga acumulada del segmento	Δp_t	[Pa]	: 21.78
Velocidad en la sección inicial del segmento	V_m	[m/s]	: 5.6
Velocidad en la sección final del segmento	V_v	[m/s]	: 1.7
Recuperación de presión estática del segmento	Δp_r	[Pa]	: 17.14
Pérdida de carga acumulada del segmento, considerando la recuperación	Δp_{tm}	[Pa]	: 4.92
Pérdida de carga acumulada neta – total acumulado	$\Sigma \Delta p_{tm}$	[Pa]	: 150.85
Desequilibrio del terminal respecto al camino más desfavorable	Δp_{Tmr}	[Pa]	: 45.02

SEGMENTO 211:

Tipo: Tramo

1 ELEMENTO		2 Caudal Q	3 Diam. D/D _e	4 Ancho A	5 Alto B	6 Long. L	7 $\Delta p/L$	8 Fuente Tab	9 Ashrae X	10 Ashrae Y	11 Coeff. C _o	12 Veloc. V	13 P.Dinám P _v	14 Pérdida Δp_r o Δp_e
N. pz.	Cod.	[m³/h]	[mm]	[mm]	[mm]	[m]	[Pa/m]	n.	-	-	-	[m/s]	[Pa]	[Pa]
2653	11RA	360	152	200	100	0	0	ASH6_26M	0.889		0.011	5	15.05	0.21
763	310R	360	152	200	100	0.6	2.85					5	15.05	1.71

Pérdida de carga acumulada del segmento	Δp_t	[Pa]	: 1.92
Velocidad en la sección inicial del segmento	V_m	[m/s]	: 5.6
Velocidad en la sección final del segmento	V_v	[m/s]	: 5
Recuperación de presión estática del segmento	Δp_r	[Pa]	: 3.83
Pérdida de carga acumulada del segmento, considerando la recuperación	Δp_{tm}	[Pa]	: -2.08
Pérdida de carga acumulada neta – total acumulado	$\Sigma \Delta p_{tm}$	[Pa]	: 127.51

SEGMENTO 210:

Tipo: Terminal TRM-46

1 ELEMENTO		2 Caudal Q	3 Diam. D/D _e	4 Ancho A	5 Alto B	6 Long. L	7 $\Delta p/L$	8 Fuente Tab	9 Ashrae X	10 Ashrae Y	11 Coeff. C _o	12 Veloc. V	13 P.Dinám P _v	14 Pérdida Δp_r o Δp_e
N. pz.	Cod.	[m³/h]	[mm]	[mm]	[mm]	[m]	[Pa/m]	n.	-	-	-	[m/s]	[Pa]	[Pa]

2655	11RA	45	98	98	98	0	0	ASH6_26	0.125	0.332	1.020	1.7	1.74	15.39
813	310C	45	98	98	98	0.07	0.57					1.7	1.74	0.04
815	079C	45	98	98	98	0	0	3.1	1.520		0.046	1.7	1.74	0.07
2686	273C	45	75	0	0	0.02	0	5.1	30.000	1.710	0.050	2.8	4.72	0.24
816	310C	45	75	0	0	0.3	2.03					2.8	4.72	0.61
2685	023C	45	75	0	0	0.02	0	4.1	30.000	1.710	0.320	2.8	4.72	1.54
818	05LC	45	98	98	98	0	0	MC4				1.7	1.74	16.35

Pérdida de carga acumulada del segmento	Δp_t	[Pa]	: 17.89
Velocidad en la sección inicial del segmento	V_m	[m/s]	: 5
Velocidad en la sección final del segmento	V_v	[m/s]	: 1.7
Recuperación de presión estática del segmento	Δp_r	[Pa]	: 13.31
Pérdida de carga acumulada del segmento, considerando la recuperación	Δp_{tm}	[Pa]	: 5.03
Pérdida de carga acumulada neta – total acumulado	$\Sigma \Delta p_{tm}$	[Pa]	: 148.88
Desequilibrio del terminal respecto al camino más desfavorable	Δp_{Tmr}	[Pa]	: 46.99

SEGMENTO 209:

Tipo: Tramo

1 ELEMENTO		2 Caudal Q	3 Diam. D/D _e	4 Ancho A	5 Alto B	6 Long. L	7 $\Delta p/L$	8 Fuente Tab	9 Ashrae X	10 Ashrae Y	11 Coeff. C _o	12 Veloc. V	13 P.Dinám P _v	14 Pérdida Δp_r o Δp_e
N. pz.	Cod.	[m³/h]	[mm]	[mm]	[mm]	[m]	[Pa/m]	n.	-	-	-	[m/s]	[Pa]	[Pa]
2656	11RA	315	152	200	100	0	0	ASH6_26M	0.875		0.012	4.4	11.65	0.19
2659	283R	315	133	150	100	0.14	0	5.1	30.000	1.330	0.050	5.8	20.25	1.02
764	310R	315	133	150	100	0.6	4.32					5.8	20.25	2.59

Pérdida de carga acumulada del segmento	Δp_t	[Pa]	: 3.8
Velocidad en la sección inicial del segmento	V_m	[m/s]	: 5
Velocidad en la sección final del segmento	V_v	[m/s]	: 5.8
Recuperación de presión estática del segmento	Δp_r	[Pa]	: -5.2
Pérdida de carga acumulada del segmento, considerando la recuperación	Δp_{tm}	[Pa]	: 9.24
Pérdida de carga acumulada neta – total acumulado	$\Sigma \Delta p_{tm}$	[Pa]	: 136.74

SEGMENTO 208:

Tipo: Terminal TRM-46

1 ELEMENTO		2 Caudal Q	3 Diam. D/D _e	4 Ancho A	5 Alto B	6 Long. L	7 $\Delta p/L$	8 Fuente Tab	9 Ashrae X	10 Ashrae Y	11 Coeff. C _o	12 Veloc. V	13 P.Dinám P _v	14 Pérdida Δp_r o Δp_e
N. pz.	Cod.	[m³/h]	[mm]	[mm]	[mm]	[m]	[Pa/m]	n.	-	-	-	[m/s]	[Pa]	[Pa]
2657	11RA	45	98	98	98	0	0	ASH6_26	0.143	0.284	1.030	1.7	1.74	21.15
807	310C	45	98	98	98	0.07	0.57					1.7	1.74	0.04
809	079C	45	98	98	98	0	0	3.1	1.520		0.046	1.7	1.74	0.07
2684	273C	45	75	0	0	0.02	0	5.1	30.000	1.710	0.050	2.8	4.72	0.24
810	310C	45	75	0	0	0.3	2.03					2.8	4.72	0.61
2683	023C	45	75	0	0	0.02	0	4.1	30.000	1.710	0.320	2.8	4.72	1.54
812	05LC	45	98	98	98	0	0	MC4				1.7	1.74	16.35

Pérdida de carga acumulada del segmento	Δp_t	[Pa]	: 23.65
Velocidad en la sección inicial del segmento	V_m	[m/s]	: 5.8
Velocidad en la sección final del segmento	V_v	[m/s]	: 1.7
Recuperación de presión estática del segmento	Δp_r	[Pa]	: 18.51
Pérdida de carga acumulada del segmento, considerando la recuperación	Δp_{tm}	[Pa]	: 5.35
Pérdida de carga acumulada neta – total acumulado	$\Sigma \Delta p_{tm}$	[Pa]	: 158.44
Desequilibrio del terminal respecto al camino más desfavorable	Δp_{Tmr}	[Pa]	: 37.43

SEGMENTO 207:

Tipo: Tramo

1 ELEMENTO		2 Caudal Q	3 Diam. D/D _e	4 Ancho A	5 Alto B	6 Long. L	7 $\Delta p/L$	8 Fuente Tab	9 Ashrae X	10 Ashrae Y	11 Coeff. C _o	12 Veloc. V	13 P.Dinám P _v	14 Pérdida Δp_r o Δp_c
N. pz.	Cod.	[m³/h]	[mm]	[mm]	[mm]	[m]	[Pa/m]	n.	-	-	-	[m/s]	[Pa]	[Pa]
2658	11RA	270	133	150	100	0	0	ASH6_26M	0.857		0.014	5	15.05	0.29
765	310R	270	133	150	100	0.6	3.23					5	15.05	1.94

Pérdida de carga acumulada del segmento	Δp_t	[Pa]	: 2.23
Velocidad en la sección inicial del segmento	V_m	[m/s]	: 5.8
Velocidad en la sección final del segmento	V_v	[m/s]	: 5
Recuperación de presión estática del segmento	Δp_r	[Pa]	: 5.2
Pérdida de carga acumulada del segmento, considerando la recuperación	Δp_{tm}	[Pa]	: -3.2
Pérdida de carga acumulada neta – total acumulado	$\Sigma \Delta p_{tm}$	[Pa]	: 133.54

SEGMENTO 206:

Tipo: Terminal TRM-46

1 ELEMENTO		2 Caudal Q	3 Diam. D/D _e	4 Ancho A	5 Alto B	6 Long. L	7 $\Delta p/L$	8 Fuente Tab	9 Ashrae X	10 Ashrae Y	11 Coeff. C _o	12 Veloc. V	13 P.Dinám P _v	14 Pérdida Δp_r o Δp_c
N. pz.	Cod.	[m³/h]	[mm]	[mm]	[mm]	[m]	[Pa/m]	n.	-	-	-	[m/s]	[Pa]	[Pa]
2660	11RA	45	98	98	98	0	0	ASH6_26	0.167	0.332	1.050	1.7	1.74	15.79
801	310C	45	98	98	98	0.07	0.57					1.7	1.74	0.04
803	079C	45	98	98	98	0	0	3.1	1.520		0.046	1.7	1.74	0.07
2682	273C	45	75	0	0	0.02	0	5.1	30.000	1.710	0.050	2.8	4.72	0.24
804	310C	45	75	0	0	0.3	2.03					2.8	4.72	0.61
2681	023C	45	75	0	0	0.02	0	4.1	30.000	1.710	0.320	2.8	4.72	1.54
806	05LC	45	98	98	98	0	0	MC4				1.7	1.74	16.35

Pérdida de carga acumulada del segmento	Δp_t	[Pa]	: 18.29
Velocidad en la sección inicial del segmento	V_m	[m/s]	: 5
Velocidad en la sección final del segmento	V_v	[m/s]	: 1.7
Recuperación de presión estática del segmento	Δp_r	[Pa]	: 13.31
Pérdida de carga acumulada del segmento, considerando la recuperación	Δp_{tm}	[Pa]	: 5.42
Pérdida de carga acumulada neta – total acumulado	$\Sigma \Delta p_{tm}$	[Pa]	: 155.31
Desequilibrio del terminal respecto al camino más desfavorable	Δp_{Tmr}	[Pa]	: 40.56

SEGMENTO 205:

Tipo: Tramo

1 ELEMENTO		2 Caudal Q	3 Diam. D/D _e	4 Ancho A	5 Alto B	6 Long. L	7 $\Delta p/L$	8 Fuente Tab	9 Ashrae X	10 Ashrae Y	11 Coeff. C _o	12 Veloc. V	13 P.Dinám P _v	14 Pérdida Δp_r o Δp_c
N. pz.	Cod.	[m³/h]	[mm]	[mm]	[mm]	[m]	[Pa/m]	n.	-	-	-	[m/s]	[Pa]	[Pa]
2661	11RA	225	133	150	100	0	0	ASH6_26M	0.833		0.017	4.2	10.62	0.25
766	310R	225	133	150	100	0.6	2.3					4.2	10.62	1.38

Pérdida de carga acumulada del segmento	Δp_t	[Pa]	: 1.64
Velocidad en la sección inicial del segmento	V_m	[m/s]	: 5
Velocidad en la sección final del segmento	V_v	[m/s]	: 4.2
Recuperación de presión estática del segmento	Δp_r	[Pa]	: 4.43

Pérdida de carga acumulada del segmento, considerando la recuperación
Pérdida de carga acumulada neta – total acumulado

Δp_{tm} [Pa] : -2.96
 $\Sigma \Delta p_{tm}$ [Pa] : 130.58

SEGMENTO 204:

Tipo: Terminal TRM-46

1 ELEMENTO		2 Caudal Q	3 Diam. D/D _e	4 Ancho A	5 Alto B	6 Long. L	7 $\Delta p/L$	8 Fuente Tab	9 Ashrae X	10 Ashrae Y	11 Coeff. C _o	12 Veloc. V	13 P.Dinám P _v	14 Pérdida Δp_r o Δp_c
N. pz.	Cod.	[m³/h]	[mm]	[mm]	[mm]	[m]	[Pa/m]	n.	-	-	-	[m/s]	[Pa]	[Pa]
2662	11RA	45	98	98	98	0	0	ASH6_26	0.200	0.398	1.070	1.7	1.74	11.18
795	310C	45	98	98	98	0.07	0.57					1.7	1.74	0.04
797	079C	45	98	98	98	0	0	3.1	1.520		0.046	1.7	1.74	0.07
2680	273C	45	75	0	0	0.02	0	5.1	30.000	1.710	0.050	2.8	4.72	0.24
798	310C	45	75	0	0	0.3	2.03					2.8	4.72	0.61
2679	023C	45	75	0	0	0.02	0	4.1	30.000	1.710	0.320	2.8	4.72	1.54
800	05LC	45	98	98	98	0	0	MC4				1.7	1.74	16.35

Pérdida de carga acumulada del segmento
Velocidad en la sección inicial del segmento
Velocidad en la sección final del segmento
Recuperación de presión estática del segmento
Pérdida de carga acumulada del segmento, considerando la recuperación
Pérdida de carga acumulada neta – total acumulado
Desequilibrio del terminal respecto al camino más desfavorable

Δp_t [Pa] : 13.69
 V_m [m/s] : 4.2
 V_v [m/s] : 1.7
 Δp_r [Pa] : 8.88
 Δp_{tm} [Pa] : 5.42
 $\Sigma \Delta p_{tm}$ [Pa] : 152.34
 Δp_{Tmr} [Pa] : 43.53

SEGMENTO 203:

Tipo: Tramo

1 ELEMENTO		2 Caudal Q	3 Diam. D/D _e	4 Ancho A	5 Alto B	6 Long. L	7 $\Delta p/L$	8 Fuente Tab	9 Ashrae X	10 Ashrae Y	11 Coeff. C _o	12 Veloc. V	13 P.Dinám P _v	14 Pérdida Δp_r o Δp_c
N. pz.	Cod.	[m³/h]	[mm]	[mm]	[mm]	[m]	[Pa/m]	n.	-	-	-	[m/s]	[Pa]	[Pa]
2663	11RA	180	133	150	100	0	0	ASH6_26M	0.800		0.020	3.3	6.56	0.21
2666	283R	180	109	100	100	0.14	0	5.1	30.000	1.500	0.050	5	15.05	0.75
767	310R	180	109	100	100	0.6	4.08					5	15.05	2.45

Pérdida de carga acumulada del segmento
Velocidad en la sección inicial del segmento
Velocidad en la sección final del segmento
Recuperación de presión estática del segmento
Pérdida de carga acumulada del segmento, considerando la recuperación
Pérdida de carga acumulada neta – total acumulado

Δp_t [Pa] : 3.41
 V_m [m/s] : 4.2
 V_v [m/s] : 5
 Δp_r [Pa] : -4.43
 Δp_{tm} [Pa] : 8.01
 $\Sigma \Delta p_{tm}$ [Pa] : 138.59

SEGMENTO 202:

Tipo: Terminal TRM-46

1 ELEMENTO		2 Caudal Q	3 Diam. D/D _e	4 Ancho A	5 Alto B	6 Long. L	7 $\Delta p/L$	8 Fuente Tab	9 Ashrae X	10 Ashrae Y	11 Coeff. C _o	12 Veloc. V	13 P.Dinám P _v	14 Pérdida Δp_r o Δp_c
N. pz.	Cod.	[m³/h]	[mm]	[mm]	[mm]	[m]	[Pa/m]	n.	-	-	-	[m/s]	[Pa]	[Pa]
2664	11RA	45	98	98	98	0	0	ASH6_26	0.250	0.332	1.080	1.7	1.74	16.18
789	310C	45	98	98	98	0.07	0.57					1.7	1.74	0.04
791	079C	45	98	98	98	0	0	3.1	1.520		0.046	1.7	1.74	0.07
2678	273C	45	75	0	0	0.02	0	5.1	30.000	1.710	0.050	2.8	4.72	0.24
792	310C	45	75	0	0	0.3	2.03					2.8	4.72	0.61

2677	023C	45	75	0	0	0.02	0	4.1	30.000	1.710	0.320	2.8	4.72	1.54
794	05LC	45	98	98	98	0	0	MC4				1.7	1.74	16.35

Pérdida de carga acumulada del segmento	Δp_t	[Pa]	: 18.68
Velocidad en la sección inicial del segmento	V_m	[m/s]	: 5
Velocidad en la sección final del segmento	V_v	[m/s]	: 1.7
Recuperación de presión estática del segmento	Δp_r	[Pa]	: 13.31
Pérdida de carga acumulada del segmento, considerando la recuperación	Δp_{tm}	[Pa]	: 5.82
Pérdida de carga acumulada neta – total acumulado	$\Sigma \Delta p_{tm}$	[Pa]	: 160.75
Desequilibrio del terminal respecto al camino más desfavorable	Δp_{Tmr}	[Pa]	: 35.12

SEGMENTO 201:

Tipo: Tramo

1 ELEMENTO		2 Caudal Q	3 Diam. D/D _e	4 Ancho A	5 Alto B	6 Long. L	7 $\Delta p/L$	8 Fuente Tab	9 Ashrae X	10 Ashrae Y	11 Coeff. C _o	12 Veloc. V	13 P.Dinám P _v	14 Pérdida Δp_r o Δp_e
N. pz.	Cod.	[m³/h]	[mm]	[mm]	[mm]	[m]	[Pa/m]	n.	-	-	-	[m/s]	[Pa]	[Pa]
2665	11RA	135	109	100	100	0	0	ASH6_26M	0.750		0.030	3.7	8.24	0.45
768	310R	135	109	100	100	0.6	2.4					3.7	8.24	1.44

Pérdida de carga acumulada del segmento	Δp_t	[Pa]	: 1.89
Velocidad en la sección inicial del segmento	V_m	[m/s]	: 5
Velocidad en la sección final del segmento	V_v	[m/s]	: 3.7
Recuperación de presión estática del segmento	Δp_r	[Pa]	: 6.81
Pérdida de carga acumulada del segmento, considerando la recuperación	Δp_{tm}	[Pa]	: -4.69
Pérdida de carga acumulada neta – total acumulado	$\Sigma \Delta p_{tm}$	[Pa]	: 133.9

SEGMENTO 200:

Tipo: Terminal TRM-46

1 ELEMENTO		2 Caudal Q	3 Diam. D/D _e	4 Ancho A	5 Alto B	6 Long. L	7 $\Delta p/L$	8 Fuente Tab	9 Ashrae X	10 Ashrae Y	11 Coeff. C _o	12 Veloc. V	13 P.Dinám P _v	14 Pérdida Δp_r o Δp_e
N. pz.	Cod.	[m³/h]	[mm]	[mm]	[mm]	[m]	[Pa/m]	n.	-	-	-	[m/s]	[Pa]	[Pa]
2667	11RA	45	98	98	98	0	0	ASH6_26	0.333	0.442	1.100	1.7	1.74	9.28
783	310C	45	98	98	98	0.07	0.57					1.7	1.74	0.04
785	079C	45	98	98	98	0	0	3.1	1.520		0.046	1.7	1.74	0.07
2676	273C	45	75	0	0	0.02	0	5.1	30.000	1.710	0.050	2.8	4.72	0.24
786	310C	45	75	0	0	0.3	2.03					2.8	4.72	0.61
2675	023C	45	75	0	0	0.02	0	4.1	30.000	1.710	0.320	2.8	4.72	1.54
788	05LC	45	98	98	98	0	0	MC4				1.7	1.74	16.35

Pérdida de carga acumulada del segmento	Δp_t	[Pa]	: 11.79
Velocidad en la sección inicial del segmento	V_m	[m/s]	: 3.7
Velocidad en la sección final del segmento	V_v	[m/s]	: 1.7
Recuperación de presión estática del segmento	Δp_r	[Pa]	: 6.5
Pérdida de carga acumulada del segmento, considerando la recuperación	Δp_{tm}	[Pa]	: 5.51
Pérdida de carga acumulada neta – total acumulado	$\Sigma \Delta p_{tm}$	[Pa]	: 155.75
Desequilibrio del terminal respecto al camino más desfavorable	Δp_{Tmr}	[Pa]	: 40.12

SEGMENTO 199:

Tipo: Tramo

1	2	3	4	5	6	7	8	9	10	11	12	13	14
---	---	---	---	---	---	---	---	---	----	----	----	----	----

ELEMENTO		Caudal Q	Diam. D/D _e	Ancho A	Alto B	Long. L	$\Delta p/L$	Fuente Tab	Ashrae X	Ashrae Y	Coeff. C _o	Veloc. V	P.Dinám P _v	Pérdida Δp_r o Δp_c
N. pz.	Cod.	[m³/h]	[mm]	[mm]	[mm]	[m]	[Pa/m]	n.	-	-	-	[m/s]	[Pa]	[Pa]
2668	11RA	90	109	100	100	0	0	ASH6_26M	0.667		0.047	2.5	3.76	0.4
769	310R	90	109	100	100	0.6	1.13					2.5	3.76	0.68

Pérdida de carga acumulada del segmento	Δp_t	[Pa]	: 1.07
Velocidad en la sección inicial del segmento	V_m	[m/s]	: 3.7
Velocidad en la sección final del segmento	V_v	[m/s]	: 2.5
Recuperación de presión estática del segmento	Δp_r	[Pa]	: 4.48
Pérdida de carga acumulada del segmento, considerando la recuperación	Δp_{tm}	[Pa]	: -3.63
Pérdida de carga acumulada neta – total acumulado	$\Sigma \Delta p_{tm}$	[Pa]	: 130.27

SEGMENTO 198:

Tipo: Terminal TRM-46

1 ELEMENTO		2 Caudal Q	3 Diam. D/D _e	4 Ancho A	5 Alto B	6 Long. L	7 $\Delta p/L$	8 Fuente Tab	9 Ashrae X	10 Ashrae Y	11 Coeff. C _o	12 Veloc. V	13 P.Dinám P _v	14 Pérdida Δp_r o Δp_c
N. pz.	Cod.	[m³/h]	[mm]	[mm]	[mm]	[m]	[Pa/m]	n.	-	-	-	[m/s]	[Pa]	[Pa]
2669	11RA	45	98	98	98	0	0	ASH6_26	0.500	0.663	1.260	1.7	1.74	4.74
777	310C	45	98	98	98	0.07	0.57					1.7	1.74	0.04
779	079C	45	98	98	98	0	0	3.1	1.520		0.046	1.7	1.74	0.07
2674	273C	45	75	0	0	0.02	0	5.1	30.000	1.710	0.050	2.8	4.72	0.24
780	310C	45	75	0	0	0.3	2.03					2.8	4.72	0.61
2673	023C	45	75	0	0	0.02	0	4.1	30.000	1.710	0.320	2.8	4.72	1.54
782	05LC	45	98	98	98	0	0	MC4				1.7	1.74	16.35

Pérdida de carga acumulada del segmento	Δp_t	[Pa]	: 7.25
Velocidad en la sección inicial del segmento	V_m	[m/s]	: 2.5
Velocidad en la sección final del segmento	V_v	[m/s]	: 1.7
Recuperación de presión estática del segmento	Δp_r	[Pa]	: 2.02
Pérdida de carga acumulada del segmento, considerando la recuperación	Δp_{tm}	[Pa]	: 5.67
Pérdida de carga acumulada neta – total acumulado	$\Sigma \Delta p_{tm}$	[Pa]	: 152.28
Desequilibrio del terminal respecto al camino más desfavorable	Δp_{Tmr}	[Pa]	: 43.59

SEGMENTO 197:

Tipo: Terminal TRM-46

1 ELEMENTO		2 Caudal Q	3 Diam. D/D _e	4 Ancho A	5 Alto B	6 Long. L	7 $\Delta p/L$	8 Fuente Tab	9 Ashrae X	10 Ashrae Y	11 Coeff. C _o	12 Veloc. V	13 P.Dinám P _v	14 Pérdida Δp_r o Δp_c
N. pz.	Cod.	[m³/h]	[mm]	[mm]	[mm]	[m]	[Pa/m]	n.	-	-	-	[m/s]	[Pa]	[Pa]
2670	11RA	45	109	100	100	0	0	ASH6_26M	0.500		0.090	1.2	0.87	0.34
770	310R	45	109	100	100	0.6	0.32					1.2	0.87	0.19
761	11RAT	45	109	100	100	0	0	2_6	1.000	0.917	2.800	1.2	0.87	4.63
771	310C	45	98	98	98	0.07	0.57					1.7	1.74	0.04
773	079C	45	98	98	98	0	0	3.1	1.520		0.046	1.7	1.74	0.07
2672	023C	45	98	98	98	0	0	4.1	30.000	1.040	0.320	1.7	1.74	0.53
774	310C	45	100	0	0	0.3	0.5					1.6	1.54	0.15
2671	273C	45	98	98	98	0	0	5.1	30.000	1.040	0.050	1.7	1.74	0.08
776	05LC	45	98	98	98	0	0	MC4				1.7	1.74	16.35

Pérdida de carga acumulada del segmento	Δp_t	[Pa]	: 6.04
Velocidad en la sección inicial del segmento	V_m	[m/s]	: 2.5
Velocidad en la sección final del segmento	V_v	[m/s]	: 1.7
Recuperación de presión estática del segmento	Δp_r	[Pa]	: 2.02

Pérdida de carga acumulada del segmento, considerando la recuperación
 Pérdida de carga acumulada neta – total acumulado
 Desequilibrio del terminal respecto al camino más desfavorable

Δp_{tm} [Pa] : 3.93
 $\Sigma \Delta p_{tm}$ [Pa] : 150.54
 Δp_{Tmr} [Pa] : 45.33

SEGMENTO 235:

Tipo: Tramo

1 ELEMENTO		2 Caudal Q	3 Diam. D/D _e	4 Ancho A	5 Alto B	6 Long. L	7 $\Delta p/L$	8 Fuente Tab	9 Ashrae X	10 Ashrae Y	11 Coeff. C _o	12 Veloc. V	13 P.Dinám P _v	14 Pérdida Δp_r o Δp_c
N. pz.	Cod.	[m³/h]	[mm]	[mm]	[mm]	[m]	[Pa/m]	n.	-	-	-	[m/s]	[Pa]	[Pa]
2648	3736	8100	732	750	600	0	0	MC4	0.900		0.072	5	15.05	1.08
2732	283R	8100	700	750	550	0.19	0	5.1	30.000	1.090	0.050	5.5	18.21	6.5
903	310R	8100	700	750	550	1	0.49					5.5	18.21	0.49

Pérdida de carga acumulada del segmento
 Velocidad en la sección inicial del segmento
 Velocidad en la sección final del segmento
 Recuperación de presión estática del segmento
 Pérdida de carga acumulada del segmento, considerando la recuperación
 Pérdida de carga acumulada neta – total acumulado

Δp_t [Pa] : 8.07
 V_m [m/s] : 5
 V_v [m/s] : 4.5
 Δp_r [Pa] : 2.86
 Δp_{tm} [Pa] : 6.11
 $\Sigma \Delta p_{tm}$ [Pa] : 112.45

SEGMENTO 255:

Tipo: Tramo

1 ELEMENTO		2 Caudal Q	3 Diam. D/D _e	4 Ancho A	5 Alto B	6 Long. L	7 $\Delta p/L$	8 Fuente Tab	9 Ashrae X	10 Ashrae Y	11 Coeff. C _o	12 Veloc. V	13 P.Dinám P _v	14 Pérdida Δp_r o Δp_c
N. pz.	Cod.	[m³/h]	[mm]	[mm]	[mm]	[m]	[Pa/m]	n.	-	-	-	[m/s]	[Pa]	[Pa]
2730	3736	450	299	150	550	0	0	MC4	0.056	0.200	6.090	1.5	1.35	8.22
2777	283R	450	164	150	150	0.79	0	5.1	30.000	3.670	0.042	5.6	18.88	0.81
978	310R	450	164	150	150	1.1	2.95					5.6	18.88	3.25

Pérdida de carga acumulada del segmento
 Velocidad en la sección inicial del segmento
 Velocidad en la sección final del segmento
 Recuperación de presión estática del segmento
 Pérdida de carga acumulada del segmento, considerando la recuperación
 Pérdida de carga acumulada neta – total acumulado

Δp_t [Pa] : 12.28
 V_m [m/s] : 4.5
 V_v [m/s] : 3.3
 Δp_r [Pa] : 5.63
 Δp_{tm} [Pa] : 7.7
 $\Sigma \Delta p_{tm}$ [Pa] : 120.16

SEGMENTO 273:

Tipo: Terminal TRM-18

1 ELEMENTO		2 Caudal Q	3 Diam. D/D _e	4 Ancho A	5 Alto B	6 Long. L	7 $\Delta p/L$	8 Fuente Tab	9 Ashrae X	10 Ashrae Y	11 Coeff. C _o	12 Veloc. V	13 P.Dinám P _v	14 Pérdida Δp_r o Δp_c
N. pz.	Cod.	[m³/h]	[mm]	[mm]	[mm]	[m]	[Pa/m]	n.	-	-	-	[m/s]	[Pa]	[Pa]
2775	11RA	45	98	98	98	0	0	ASH6_26	0.100	0.298	1.070	1.7	1.74	7.18
1044	310C	45	98	98	98	0.07	0.57					1.7	1.74	0.04
1046	079C	45	98	98	98	0	0	3.1	1.520		0.046	1.7	1.74	0.07
2813	273C	45	75	0	0	0.02	0	5.1	30.000	1.710	0.050	2.8	4.72	0.24
1047	310C	45	75	0	0	0.3	2.03					2.8	4.72	0.61
2812	023C	45	75	0	0	0.02	0	4.1	30.000	1.710	0.320	2.8	4.72	1.54
1049	05LC	45	98	98	98	0	0	MC4				1.7	1.74	16.35

Pérdida de carga acumulada del segmento

Δp_t [Pa] : 9.68

Velocidad en la sección inicial del segmento	V_m	[m/s]	: 3.3
Velocidad en la sección final del segmento	V_v	[m/s]	: 1.7
Recuperación de presión estática del segmento	Δp_r	[Pa]	: 4.82
Pérdida de carga acumulada del segmento, considerando la recuperación	Δp_{tn}	[Pa]	: 5.18
Pérdida de carga acumulada neta – total acumulado	$\Sigma \Delta p_{tn}$	[Pa]	: 141.68
Desequilibrio del terminal respecto al camino más desfavorable	Δp_{Tmr}	[Pa]	: 54.19

SEGMENTO 272:

Tipo: Tramo

1 ELEMENTO		2 Caudal Q	3 Diam. D/D _e	4 Ancho A	5 Alto B	6 Long. L	7 $\Delta p/L$	8 Fuente Tab	9 Ashrae X	10 Ashrae Y	11 Coeff. C _o	12 Veloc. V	13 P.Dinám P _v	14 Pérdida Δp_r o Δp_e
N. pz.	Cod.	[m³/h]	[mm]	[mm]	[mm]	[m]	[Pa/m]	n.	-	-	-	[m/s]	[Pa]	[Pa]
2776	11RA	405	164	150	150	0	0	ASH6_26M	0.900		0.010	5	15.05	0.07
981	310R	405	164	150	150	0.6	2.43					5	15.05	1.46

Pérdida de carga acumulada del segmento	Δp_t	[Pa]	: 1.52
Velocidad en la sección inicial del segmento	V_m	[m/s]	: 3.3
Velocidad en la sección final del segmento	V_v	[m/s]	: 3
Recuperación de presión estática del segmento	Δp_r	[Pa]	: 1.14
Pérdida de carga acumulada del segmento, considerando la recuperación	Δp_{tn}	[Pa]	: 1.76
Pérdida de carga acumulada neta – total acumulado	$\Sigma \Delta p_{tn}$	[Pa]	: 121.91

SEGMENTO 271:

Tipo: Terminal TRM-19

1 ELEMENTO		2 Caudal Q	3 Diam. D/D _e	4 Ancho A	5 Alto B	6 Long. L	7 $\Delta p/L$	8 Fuente Tab	9 Ashrae X	10 Ashrae Y	11 Coeff. C _o	12 Veloc. V	13 P.Dinám P _v	14 Pérdida Δp_r o Δp_e
N. pz.	Cod.	[m³/h]	[mm]	[mm]	[mm]	[m]	[Pa/m]	n.	-	-	-	[m/s]	[Pa]	[Pa]
2778	11RA	45	98	98	98	0	0	ASH6_26	0.111	0.332	1.110	1.7	1.74	6
1038	310C	45	98	98	98	0.07	0.57					1.7	1.74	0.04
1040	079C	45	98	98	98	0	0	3.1	1.520		0.046	1.7	1.74	0.07
2811	273C	45	75	0	0	0.02	0	5.1	30.000	1.710	0.050	2.8	4.72	0.24
1041	310C	45	75	0	0	0.3	2.03					2.8	4.72	0.61
2810	023C	45	75	0	0	0.02	0	4.1	30.000	1.710	0.320	2.8	4.72	1.54
1043	05LC	45	98	98	98	0	0	MC4				1.7	1.74	16.35

Pérdida de carga acumulada del segmento	Δp_t	[Pa]	: 8.51
Velocidad en la sección inicial del segmento	V_m	[m/s]	: 3
Velocidad en la sección final del segmento	V_v	[m/s]	: 1.7
Recuperación de presión estática del segmento	Δp_r	[Pa]	: 3.68
Pérdida de carga acumulada del segmento, considerando la recuperación	Δp_{tn}	[Pa]	: 5.27
Pérdida de carga acumulada neta – total acumulado	$\Sigma \Delta p_{tn}$	[Pa]	: 143.53
Desequilibrio del terminal respecto al camino más desfavorable	Δp_{Tmr}	[Pa]	: 52.34

SEGMENTO 270:

Tipo: Tramo

1 ELEMENTO		2 Caudal Q	3 Diam. D/D _e	4 Ancho A	5 Alto B	6 Long. L	7 $\Delta p/L$	8 Fuente Tab	9 Ashrae X	10 Ashrae Y	11 Coeff. C _o	12 Veloc. V	13 P.Dinám P _v	14 Pérdida Δp_r o Δp_e
N. pz.	Cod.	[m³/h]	[mm]	[mm]	[mm]	[m]	[Pa/m]	n.	-	-	-	[m/s]	[Pa]	[Pa]
2779	11RA	360	164	150	150	0	0	ASH6_	0.889		0.011	4.4	11.65	0.06

								26M						
982	310R	360	164	150	150	0.6	1.95					4.4	11.65	1.17

Pérdida de carga acumulada del segmento	Δp_t	[Pa]	: 1.23
Velocidad en la sección inicial del segmento	V_m	[m/s]	: 3
Velocidad en la sección final del segmento	V_v	[m/s]	: 2.7
Recuperación de presión estática del segmento	Δp_r	[Pa]	: 1.03
Pérdida de carga acumulada del segmento, considerando la recuperación	Δp_{tm}	[Pa]	: 1.28
Pérdida de carga acumulada neta – total acumulado	$\Sigma \Delta p_{tm}$	[Pa]	: 123.19

SEGMENTO 269:

Tipo: Terminal TRM-20

1 ELEMENTO		2 Caudal Q	3 Diam. D/D _e	4 Ancho A	5 Alto B	6 Long. L	7 $\Delta p/L$	8 Fuente Tab	9 Ashrae X	10 Ashrae Y	11 Coeff. C _o	12 Veloc. V	13 P.Dinám P _v	14 Pérdida Δp_r o Δp_e
N. pz.	Cod.	[m³/h]	[mm]	[mm]	[mm]	[m]	[Pa/m]	n.	-	-	-	[m/s]	[Pa]	[Pa]
2780	11RA	45	98	98	98	0	0	ASH6_26	0.125	0.373	1.140	1.7	1.74	4.88
1032	310C	45	98	98	98	0.07	0.57					1.7	1.74	0.04
1034	079C	45	98	98	98	0	0	3.1	1.520		0.046	1.7	1.74	0.07
2809	273C	45	75	0	0	0.02	0	5.1	30.000	1.710	0.050	2.8	4.72	0.24
1035	310C	45	75	0	0	0.3	2.03					2.8	4.72	0.61
2808	023C	45	75	0	0	0.02	0	4.1	30.000	1.710	0.320	2.8	4.72	1.54
1037	05LC	45	98	98	98	0	0	MC4				1.7	1.74	16.35

Pérdida de carga acumulada del segmento	Δp_t	[Pa]	: 7.38
Velocidad en la sección inicial del segmento	V_m	[m/s]	: 2.7
Velocidad en la sección final del segmento	V_v	[m/s]	: 1.7
Recuperación de presión estática del segmento	Δp_r	[Pa]	: 2.65
Pérdida de carga acumulada del segmento, considerando la recuperación	Δp_{tm}	[Pa]	: 5.28
Pérdida de carga acumulada neta – total acumulado	$\Sigma \Delta p_{tm}$	[Pa]	: 144.82
Desequilibrio del terminal respecto al camino más desfavorable	Δp_{Tmr}	[Pa]	: 51.05

SEGMENTO 268:

Tipo: Tramo

1 ELEMENTO		2 Caudal Q	3 Diam. D/D _e	4 Ancho A	5 Alto B	6 Long. L	7 $\Delta p/L$	8 Fuente Tab	9 Ashrae X	10 Ashrae Y	11 Coeff. C _o	12 Veloc. V	13 P.Dinám P _v	14 Pérdida Δp_r o Δp_e
N. pz.	Cod.	[m³/h]	[mm]	[mm]	[mm]	[m]	[Pa/m]	n.	-	-	-	[m/s]	[Pa]	[Pa]
2781	11RA	315	164	150	150	0	0	ASH6_26M	0.875		0.012	3.9	9.16	0.05
983	310R	315	164	150	150	0.6	1.52					3.9	9.16	0.91

Pérdida de carga acumulada del segmento	Δp_t	[Pa]	: 0.97
Velocidad en la sección inicial del segmento	V_m	[m/s]	: 2.7
Velocidad en la sección final del segmento	V_v	[m/s]	: 2.3
Recuperación de presión estática del segmento	Δp_r	[Pa]	: 1.2
Pérdida de carga acumulada del segmento, considerando la recuperación	Δp_{tm}	[Pa]	: 0.87
Pérdida de carga acumulada neta – total acumulado	$\Sigma \Delta p_{tm}$	[Pa]	: 124.06

SEGMENTO 267:

Tipo: Terminal TRM-21

1 ELEMENTO	2 Caudal	3 Diam.	4 Ancho	5 Alto	6 Long.	7 $\Delta p/L$	8 Fuente	9 Ashrae	10 Ashrae	11 Coeff.	12 Veloc.	13 P.Dinám	14 Pérdida
---------------	-------------	------------	------------	-----------	------------	-------------------	-------------	-------------	--------------	--------------	--------------	---------------	---------------

1 ELEMENTO		2 Caudal Q	3 Diam. D/D _e	4 Ancho A	5 Alto B	6 Long. L	7 Δp _f /L	8 Fuente Tab	9 Ashrae X	10 Ashrae Y	11 Coeff. C _o	12 Veloc. V	13 P.Dinám P _v	14 Pérdida Δp _f o Δp _c
N. pz.	Cod.	[m³/h]	[mm]	[mm]	[mm]	[m]	[Pa/m]	n.	-	-	-	[m/s]	[Pa]	[Pa]
2782	11RA	45	98	98	98	0	0	ASH6_26	0.143	0.426	1.190	1.7	1.74	3.88
1026	310C	45	98	98	98	0.07	0.57					1.7	1.74	0.04
1028	079C	45	98	98	98	0	0	3.1	1.520		0.046	1.7	1.74	0.07
2807	273C	45	75	0	0	0.02	0	5.1	30.000	1.710	0.050	2.8	4.72	0.24
1029	310C	45	75	0	0	0.3	2.03					2.8	4.72	0.61
2806	023C	45	75	0	0	0.02	0	4.1	30.000	1.710	0.320	2.8	4.72	1.54
1031	05LC	45	98	98	98	0	0	MC4				1.7	1.74	16.35

Pérdida de carga acumulada del segmento	Δp _t	[Pa]	: 6.39
Velocidad en la sección inicial del segmento	V _m	[m/s]	: 2.3
Velocidad en la sección final del segmento	V _v	[m/s]	: 1.7
Recuperación de presión estática del segmento	Δp _r	[Pa]	: 1.44
Pérdida de carga acumulada del segmento, considerando la recuperación	Δp _{tn}	[Pa]	: 5.29
Pérdida de carga acumulada neta – total acumulado	ΣΔp _{tn}	[Pa]	: 145.71
Desequilibrio del terminal respecto al camino más desfavorable	Δp _{Tmr}	[Pa]	: 50.16

SEGMENTO 266:

Tipo: Tramo

1 ELEMENTO		2 Caudal Q	3 Diam. D/D _e	4 Ancho A	5 Alto B	6 Long. L	7 Δp _f /L	8 Fuente Tab	9 Ashrae X	10 Ashrae Y	11 Coeff. C _o	12 Veloc. V	13 P.Dinám P _v	14 Pérdida Δp _f o Δp _c
N. pz.	Cod.	[m³/h]	[mm]	[mm]	[mm]	[m]	[Pa/m]	n.	-	-	-	[m/s]	[Pa]	[Pa]
2783	11RA	270	164	150	150	0	0	ASH6_26M	0.857		0.014	3.3	6.56	0.05
984	310R	270	164	150	150	0.6	1.15					3.3	6.56	0.69

Pérdida de carga acumulada del segmento	Δp _t	[Pa]	: 0.73
Velocidad en la sección inicial del segmento	V _m	[m/s]	: 2.3
Velocidad en la sección final del segmento	V _v	[m/s]	: 2
Recuperación de presión estática del segmento	Δp _r	[Pa]	: 0.78
Pérdida de carga acumulada del segmento, considerando la recuperación	Δp _{tn}	[Pa]	: 0.53
Pérdida de carga acumulada neta – total acumulado	ΣΔp _{tn}	[Pa]	: 124.6

SEGMENTO 265:

Tipo: Terminal TRM-22

1 ELEMENTO		2 Caudal Q	3 Diam. D/D _e	4 Ancho A	5 Alto B	6 Long. L	7 Δp _f /L	8 Fuente Tab	9 Ashrae X	10 Ashrae Y	11 Coeff. C _o	12 Veloc. V	13 P.Dinám P _v	14 Pérdida Δp _f o Δp _c
N. pz.	Cod.	[m³/h]	[mm]	[mm]	[mm]	[m]	[Pa/m]	n.	-	-	-	[m/s]	[Pa]	[Pa]
2784	11RA	45	98	98	98	0	0	ASH6_26	0.167	0.497	1.280	1.7	1.74	3.08
1020	310C	45	98	98	98	0.07	0.57					1.7	1.74	0.04
1022	079C	45	98	98	98	0	0	3.1	1.520		0.046	1.7	1.74	0.07
2805	273C	45	75	0	0	0.02	0	5.1	30.000	1.710	0.050	2.8	4.72	0.24
1023	310C	45	75	0	0	0.3	2.03					2.8	4.72	0.61
2804	023C	45	75	0	0	0.02	0	4.1	30.000	1.710	0.320	2.8	4.72	1.54
1025	05LC	45	98	98	98	0	0	MC4				1.7	1.74	16.35

Pérdida de carga acumulada del segmento	Δp _t	[Pa]	: 5.59
Velocidad en la sección inicial del segmento	V _m	[m/s]	: 2
Velocidad en la sección final del segmento	V _v	[m/s]	: 1.7
Recuperación de presión estática del segmento	Δp _r	[Pa]	: 0.67
Pérdida de carga acumulada del segmento, considerando la recuperación	Δp _{tn}	[Pa]	: 5.36
Pérdida de carga acumulada neta – total acumulado	ΣΔp _{tn}	[Pa]	: 146.3

Desequilibrio del terminal respecto al camino más desfavorable

 Δp_{Tmr} [Pa] : 49.57**SEGMENTO 264:****Tipo:** Tramo

1 ELEMENTO		2 Caudal Q	3 Diam. D/D _e	4 Ancho A	5 Alto B	6 Long. L	7 $\Delta p/L$	8 Fuente Tab	9 Ashrae X	10 Ashrae Y	11 Coeff. C _o	12 Veloc. V	13 P.Dinám P _v	14 Pérdida $\Delta p_r \circ \Delta p_e$
N. pz.	Cod.	[m³/h]	[mm]	[mm]	[mm]	[m]	[Pa/m]	n.	-	-	-	[m/s]	[Pa]	[Pa]
2785	11RA	225	164	150	150	0	0	ASH6_26M	0.833		0.017	2.8	4.72	0.04
985	310R	225	164	150	150	0.6	0.82					2.8	4.72	0.49

Pérdida de carga acumulada del segmento

 Δp_t [Pa] : 0.53

Velocidad en la sección inicial del segmento

 V_m [m/s] : 2

Velocidad en la sección final del segmento

 V_v [m/s] : 3.1

Recuperación de presión estática del segmento

 Δp_r [Pa] : -3.38

Pérdida de carga acumulada del segmento, considerando la recuperación

 Δp_{tn} [Pa] : 4.53

Pérdida de carga acumulada neta – total acumulado

 $\Sigma \Delta p_{tn}$ [Pa] : 129.13**SEGMENTO 263:****Tipo:** Terminal TRM-22

1 ELEMENTO		2 Caudal Q	3 Diam. D/D _e	4 Ancho A	5 Alto B	6 Long. L	7 $\Delta p/L$	8 Fuente Tab	9 Ashrae X	10 Ashrae Y	11 Coeff. C _o	12 Veloc. V	13 P.Dinám P _v	14 Pérdida $\Delta p_r \circ \Delta p_e$
N. pz.	Cod.	[m³/h]	[mm]	[mm]	[mm]	[m]	[Pa/m]	n.	-	-	-	[m/s]	[Pa]	[Pa]
2786	11RA	45	98	98	98	0	0	ASH6_26	0.200	0.597	1.090	1.7	1.74	6.41
1014	310C	45	98	98	98	0.07	0.57					1.7	1.74	0.04
1016	079C	45	98	98	98	0	0	3.1	1.520		0.046	1.7	1.74	0.07
2803	273C	45	75	0	0	0.02	0	5.1	30.000	1.710	0.050	2.8	4.72	0.24
1017	310C	45	75	0	0	0.3	2.03					2.8	4.72	0.61
2802	023C	45	75	0	0	0.02	0	4.1	30.000	1.710	0.320	2.8	4.72	1.54
1019	05LC	45	98	98	98	0	0	MC4				1.7	1.74	16.35

Pérdida de carga acumulada del segmento

 Δp_t [Pa] : 8.91

Velocidad en la sección inicial del segmento

 V_m [m/s] : 3.1

Velocidad en la sección final del segmento

 V_v [m/s] : 1.7

Recuperación de presión estática del segmento

 Δp_r [Pa] : 4.05

Pérdida de carga acumulada del segmento, considerando la recuperación

 Δp_{tn} [Pa] : 5.21

Pérdida de carga acumulada neta – total acumulado

 $\Sigma \Delta p_{tn}$ [Pa] : 150.69

Desequilibrio del terminal respecto al camino más desfavorable

 Δp_{Tmr} [Pa] : 45.18**SEGMENTO 262:****Tipo:** Tramo

1 ELEMENTO		2 Caudal Q	3 Diam. D/D _e	4 Ancho A	5 Alto B	6 Long. L	7 $\Delta p/L$	8 Fuente Tab	9 Ashrae X	10 Ashrae Y	11 Coeff. C _o	12 Veloc. V	13 P.Dinám P _v	14 Pérdida $\Delta p_r \circ \Delta p_e$
N. pz.	Cod.	[m³/h]	[mm]	[mm]	[mm]	[m]	[Pa/m]	n.	-	-	-	[m/s]	[Pa]	[Pa]
2787	11RA	180	164	150	150	0	0	ASH6_26M	0.800		0.020	2.2	2.91	0.12
986	310R	180	164	150	150	0.6	0.55					2.2	2.91	0.33

Pérdida de carga acumulada del segmento

 Δp_t [Pa] : 0.45

Velocidad en la sección inicial del segmento

 V_m [m/s] : 3.1

Velocidad en la sección final del segmento	V_v	[m/s] : 2.5
Recuperación de presión estática del segmento	Δp_r	[Pa] : 2.02
Pérdida de carga acumulada del segmento, considerando la recuperación	Δp_{tm}	[Pa] : -0.35
Pérdida de carga acumulada neta – total acumulado	$\Sigma \Delta p_{tm}$	[Pa] : 128.77

SEGMENTO 261:

Tipo: Terminal TRM-24

1 ELEMENTO		2 Caudal Q	3 Diam. D/D _e	4 Ancho A	5 Alto B	6 Long. L	7 $\Delta p/L$	8 Fuente Tab	9 Ashrae X	10 Ashrae Y	11 Coeff. C _o	12 Veloc. V	13 P.Dinám P _v	14 Pérdida Δp_r o Δp_e
N. pz.	Cod.	[m³/h]	[mm]	[mm]	[mm]	[m]	[Pa/m]	n.	-	-	-	[m/s]	[Pa]	[Pa]
2788	11RA	45	98	98	98	0	0	ASH6_26	0.250	0.746	1.130	1.7	1.74	4.25
1008	310C	45	98	98	98	0.07	0.57					1.7	1.74	0.04
1010	079C	45	98	98	98	0	0	3.1	1.520		0.046	1.7	1.74	0.07
2801	273C	45	75	0	0	0.02	0	5.1	30.000	1.710	0.050	2.8	4.72	0.24
1011	310C	45	75	0	0	0.3	2.03					2.8	4.72	0.61
2800	023C	45	75	0	0	0.02	0	4.1	30.000	1.710	0.320	2.8	4.72	1.54
1013	05LC	45	98	98	98	0	0	MC4				1.7	1.74	16.35

Pérdida de carga acumulada del segmento	Δp_t	[Pa] : 6.76
Velocidad en la sección inicial del segmento	V_m	[m/s] : 2.5
Velocidad en la sección final del segmento	V_v	[m/s] : 1.7
Recuperación de presión estática del segmento	Δp_r	[Pa] : 2.02
Pérdida de carga acumulada del segmento, considerando la recuperación	Δp_{tm}	[Pa] : 5.17
Pérdida de carga acumulada neta – total acumulado	$\Sigma \Delta p_{tm}$	[Pa] : 150.29
Desequilibrio del terminal respecto al camino más desfavorable	Δp_{Tmr}	[Pa] : 45.58

SEGMENTO 260:

Tipo: Tramo

1 ELEMENTO		2 Caudal Q	3 Diam. D/D _e	4 Ancho A	5 Alto B	6 Long. L	7 $\Delta p/L$	8 Fuente Tab	9 Ashrae X	10 Ashrae Y	11 Coeff. C _o	12 Veloc. V	13 P.Dinám P _v	14 Pérdida Δp_r o Δp_e
N. pz.	Cod.	[m³/h]	[mm]	[mm]	[mm]	[m]	[Pa/m]	n.	-	-	-	[m/s]	[Pa]	[Pa]
2789	11RA	135	164	150	150	0	0	ASH6_26M	0.750		0.030	1.7	1.74	0.11
987	310R	135	164	150	150	0.6	0.32					1.7	1.74	0.19

Pérdida de carga acumulada del segmento	Δp_t	[Pa] : 0.31
Velocidad en la sección inicial del segmento	V_m	[m/s] : 2.5
Velocidad en la sección final del segmento	V_v	[m/s] : 2.5
Recuperación de presión estática del segmento	Δp_r	[Pa] : 0
Pérdida de carga acumulada del segmento, considerando la recuperación	Δp_{tm}	[Pa] : 1.13
Pérdida de carga acumulada neta – total acumulado	$\Sigma \Delta p_{tm}$	[Pa] : 129.9

SEGMENTO 259:

Tipo: Terminal TRM-25

1 ELEMENTO		2 Caudal Q	3 Diam. D/D _e	4 Ancho A	5 Alto B	6 Long. L	7 $\Delta p/L$	8 Fuente Tab	9 Ashrae X	10 Ashrae Y	11 Coeff. C _o	12 Veloc. V	13 P.Dinám P _v	14 Pérdida Δp_r o Δp_e
N. pz.	Cod.	[m³/h]	[mm]	[mm]	[mm]	[m]	[Pa/m]	n.	-	-	-	[m/s]	[Pa]	[Pa]
2790	11RA	45	98	98	98	0	0	ASH6_26	0.333	0.995	1.110	1.7	1.74	4.16
1002	310C	45	98	98	98	0.07	0.57					1.7	1.74	0.04
1004	079C	45	98	98	98	0	0	3.1	1.520		0.046	1.7	1.74	0.07

2799	273C	45	75	0	0	0.02	0	5.1	30.000	1.710	0.050	2.8	4.72	0.24
1005	310C	45	75	0	0	0.3	2.03					2.8	4.72	0.61
2798	023C	45	75	0	0	0.02	0	4.1	30.000	1.710	0.320	2.8	4.72	1.54
1007	05LC	45	98	98	98	0	0	MC4				1.7	1.74	16.35

Pérdida de carga acumulada del segmento	Δp_t	[Pa]	: 6.66
Velocidad en la sección inicial del segmento	V_m	[m/s]	: 2.5
Velocidad en la sección final del segmento	V_v	[m/s]	: 1.7
Recuperación de presión estática del segmento	Δp_r	[Pa]	: 2.02
Pérdida de carga acumulada del segmento, considerando la recuperación	Δp_{tn}	[Pa]	: 5.08
Pérdida de carga acumulada neta – total acumulado	$\Sigma \Delta p_{tn}$	[Pa]	: 151.33
Desequilibrio del terminal respecto al camino más desfavorable	Δp_{Tmr}	[Pa]	: 44.54

SEGMENTO 258:

Tipo: Tramo

1 ELEMENTO		2 Caudal Q	3 Diam. D/D _e	4 Ancho A	5 Alto B	6 Long. L	7 $\Delta p/L$	8 Fuente Tab	9 Ashrae X	10 Ashrae Y	11 Coeff. C _o	12 Veloc. V	13 P.Dinám P _v	14 Pérdida Δp_r o Δp_c
N. pz.	Cod.	[m³/h]	[mm]	[mm]	[mm]	[m]	[Pa/m]	n.	-	-	-	[m/s]	[Pa]	[Pa]
2791	11RA	90	164	150	150	0	0	ASH6_26M	0.667		0.047	1.1	0.73	0.18
988	310R	90	164	150	150	0.6	0.15					1.1	0.73	0.09

Pérdida de carga acumulada del segmento	Δp_t	[Pa]	: 0.27
Velocidad en la sección inicial del segmento	V_m	[m/s]	: 2.5
Velocidad en la sección final del segmento	V_v	[m/s]	: 2.5
Recuperación de presión estática del segmento	Δp_r	[Pa]	: 0
Pérdida de carga acumulada del segmento, considerando la recuperación	Δp_{tn}	[Pa]	: 0.95
Pérdida de carga acumulada neta – total acumulado	$\Sigma \Delta p_{tn}$	[Pa]	: 130.86

SEGMENTO 257:

Tipo: Terminal TRM-26

1 ELEMENTO		2 Caudal Q	3 Diam. D/D _e	4 Ancho A	5 Alto B	6 Long. L	7 $\Delta p/L$	8 Fuente Tab	9 Ashrae X	10 Ashrae Y	11 Coeff. C _o	12 Veloc. V	13 P.Dinám P _v	14 Pérdida Δp_r o Δp_c
N. pz.	Cod.	[m³/h]	[mm]	[mm]	[mm]	[m]	[Pa/m]	n.	-	-	-	[m/s]	[Pa]	[Pa]
2792	11RA	45	98	98	98	0	0	ASH6_26	0.500	1.490	1.260	1.7	1.74	4.74
996	310C	45	98	98	98	0.07	0.57					1.7	1.74	0.04
998	079C	45	98	98	98	0	0	3.1	1.520		0.046	1.7	1.74	0.07
2797	273C	45	75	0	0	0.02	0	5.1	30.000	1.710	0.050	2.8	4.72	0.24
999	310C	45	75	0	0	0.3	2.03					2.8	4.72	0.61
2796	023C	45	75	0	0	0.02	0	4.1	30.000	1.710	0.320	2.8	4.72	1.54
1001	05LC	45	98	98	98	0	0	MC4				1.7	1.74	16.35

Pérdida de carga acumulada del segmento	Δp_t	[Pa]	: 7.25
Velocidad en la sección inicial del segmento	V_m	[m/s]	: 2.5
Velocidad en la sección final del segmento	V_v	[m/s]	: 1.7
Recuperación de presión estática del segmento	Δp_r	[Pa]	: 2.02
Pérdida de carga acumulada del segmento, considerando la recuperación	Δp_{tn}	[Pa]	: 5.67
Pérdida de carga acumulada neta – total acumulado	$\Sigma \Delta p_{tn}$	[Pa]	: 152.87
Desequilibrio del terminal respecto al camino más desfavorable	Δp_{Tmr}	[Pa]	: 43

SEGMENTO 256:

Tipo: Terminal TRM-27

1 ELEMENTO		2 Caudal Q	3 Diam. D/D _e	4 Ancho A	5 Alto B	6 Long. L	7 $\Delta p/L$	8 Fuente Tab	9 Ashrae X	10 Ashrae Y	11 Coeff. C _o	12 Veloc. V	13 P.Dinám P _v	14 Pérdida Δp_r o Δp_c
N. pz.	Cod.	[m³/h]	[mm]	[mm]	[mm]	[m]	[Pa/m]	n.	-	-	-	[m/s]	[Pa]	[Pa]
2793	11RA	45	164	150	150	0	0	ASH6_26M	0.500		0.090	0.6	0.22	0.34
989	310R	45	164	150	150	0.6	0.05					0.6	0.22	0.03
980	11RAT	45	164	150	150	0	0	2_6	1.000	0.915	2.800	0.6	0.22	0
990	310C	45	98	98	98	0.07	0.57					1.7	1.74	0.04
992	079C	45	98	98	98	0	0	3.1	1.520		0.046	1.7	1.74	0.07
2795	023C	45	98	98	98	0	0	4.1	30.000	1.040	0.320	1.7	1.74	0.53
993	310C	45	100	0	0	0.3	0.5					1.6	1.54	0.15
2794	273C	45	98	98	98	0	0	5.1	30.000	1.040	0.050	1.7	1.74	0.08
995	05LC	45	98	98	98	0	0	MC4				1.7	1.74	16.35

Pérdida de carga acumulada del segmento	Δp_t	[Pa]	: 1.24
Velocidad en la sección inicial del segmento	V_m	[m/s]	: 2.5
Velocidad en la sección final del segmento	V_v	[m/s]	: 1.7
Recuperación de presión estática del segmento	Δp_r	[Pa]	: 2.02
Pérdida de carga acumulada del segmento, considerando la recuperación	Δp_{tm}	[Pa]	: -0.55
Pérdida de carga acumulada neta – total acumulado	$\Sigma \Delta p_{tm}$	[Pa]	: 146.65
Desequilibrio del terminal respecto al camino más desfavorable	Δp_{Tmr}	[Pa]	: 49.22

SEGMENTO 254:

Tipo: Tramo

1 ELEMENTO		2 Caudal Q	3 Diam. D/D _e	4 Ancho A	5 Alto B	6 Long. L	7 $\Delta p/L$	8 Fuente Tab	9 Ashrae X	10 Ashrae Y	11 Coeff. C _o	12 Veloc. V	13 P.Dinám P _v	14 Pérdida Δp_r o Δp_c
N. pz.	Cod.	[m³/h]	[mm]	[mm]	[mm]	[m]	[Pa/m]	n.	-	-	-	[m/s]	[Pa]	[Pa]
907	3736	450	398	250	550	0	0	MC4	0.056	0.333	23.800	0.9	0.49	11.64
2735	283R	450	210	250	150	0.79	0	5.1	30.000	3.670	0.042	3.3	6.56	0.29
906	310R	450	210	250	150	1.05	0.87					3.3	6.56	0.91

Pérdida de carga acumulada del segmento	Δp_t	[Pa]	: 12.84
Velocidad en la sección inicial del segmento	V_m	[m/s]	: 4.5
Velocidad en la sección final del segmento	V_v	[m/s]	: 3.3
Recuperación de presión estática del segmento	Δp_r	[Pa]	: 5.63
Pérdida de carga acumulada del segmento, considerando la recuperación	Δp_{tm}	[Pa]	: 7.33
Pérdida de carga acumulada neta – total acumulado	$\Sigma \Delta p_{tm}$	[Pa]	: 119.79

SEGMENTO 253:

Tipo: Terminal TRM-46

1 ELEMENTO		2 Caudal Q	3 Diam. D/D _e	4 Ancho A	5 Alto B	6 Long. L	7 $\Delta p/L$	8 Fuente Tab	9 Ashrae X	10 Ashrae Y	11 Coeff. C _o	12 Veloc. V	13 P.Dinám P _v	14 Pérdida Δp_r o Δp_c
N. pz.	Cod.	[m³/h]	[mm]	[mm]	[mm]	[m]	[Pa/m]	n.	-	-	-	[m/s]	[Pa]	[Pa]
2733	11RA	45	98	98	98	0	0	ASH6_26	0.100	0.497	1.070	1.7	1.74	7.18
972	310C	45	98	98	98	0.07	0.57					1.7	1.74	0.04
974	079C	45	98	98	98	0	0	3.1	1.520		0.046	1.7	1.74	0.07
2774	273C	45	75	0	0	0.02	0	5.1	30.000	1.710	0.050	2.8	4.72	0.24
975	310C	45	75	0	0	0.3	2.03					2.8	4.72	0.61
2773	023C	45	75	0	0	0.02	0	4.1	30.000	1.710	0.320	2.8	4.72	1.54
977	05LC	45	98	98	98	0	0	MC4				1.7	1.74	16.35

Pérdida de carga acumulada del segmento	Δp_t	[Pa]	: 9.68
Velocidad en la sección inicial del segmento	V_m	[m/s]	: 3.3

Velocidad en la sección final del segmento	V_v	[m/s]	: 1.7
Recuperación de presión estática del segmento	Δp_r	[Pa]	: 4.82
Pérdida de carga acumulada del segmento, considerando la recuperación	Δp_{tn}	[Pa]	: 5.18
Pérdida de carga acumulada neta – total acumulado	$\Sigma \Delta p_{tn}$	[Pa]	: 141.31
Desequilibrio del terminal respecto al camino más desfavorable	Δp_{Tmr}	[Pa]	: 54.56

SEGMENTO 252:

Tipo: Tramo

1 ELEMENTO		2 Caudal Q	3 Diam. D/D _e	4 Ancho A	5 Alto B	6 Long. L	7 $\Delta p/L$	8 Fuente Tab	9 Ashrae X	10 Ashrae Y	11 Coeff. C _o	12 Veloc. V	13 P.Dinám P _v	14 Pérdida Δp_r o Δp_c
N. pz.	Cod.	[m³/h]	[mm]	[mm]	[mm]	[m]	[Pa/m]	n.	-	-	-	[m/s]	[Pa]	[Pa]
2734	11RA	405	210	250	150	0	0	ASH6_26M	0.900		0.010	3	5.42	0.07
2738	283R	405	152	200	100	0.19	0	5.1	30.000	1.880	0.050	5.6	18.88	0.95
909	310R	405	152	200	100	0.6	3.53					5.6	18.88	2.12

Pérdida de carga acumulada del segmento	Δp_t	[Pa]	: 3.14
Velocidad en la sección inicial del segmento	V_m	[m/s]	: 3.3
Velocidad en la sección final del segmento	V_v	[m/s]	: 5.6
Recuperación de presión estática del segmento	Δp_r	[Pa]	: -12.32
Pérdida de carga acumulada del segmento, considerando la recuperación	Δp_{tn}	[Pa]	: 15.5
Pérdida de carga acumulada neta – total acumulado	$\Sigma \Delta p_{tn}$	[Pa]	: 135.29

SEGMENTO 251:

Tipo: Terminal TRM-46

1 ELEMENTO		2 Caudal Q	3 Diam. D/D _e	4 Ancho A	5 Alto B	6 Long. L	7 $\Delta p/L$	8 Fuente Tab	9 Ashrae X	10 Ashrae Y	11 Coeff. C _o	12 Veloc. V	13 P.Dinám P _v	14 Pérdida Δp_r o Δp_c
N. pz.	Cod.	[m³/h]	[mm]	[mm]	[mm]	[m]	[Pa/m]	n.	-	-	-	[m/s]	[Pa]	[Pa]
2736	11RA	45	98	98	98	0	0	ASH6_26	0.111	0.295	1.010	1.7	1.74	19.28
966	310C	45	98	98	98	0.07	0.57					1.7	1.74	0.04
968	079C	45	98	98	98	0	0	3.1	1.520		0.046	1.7	1.74	0.07
2772	273C	45	75	0	0	0.02	0	5.1	30.000	1.710	0.050	2.8	4.72	0.24
969	310C	45	75	0	0	0.3	2.03					2.8	4.72	0.61
2771	023C	45	75	0	0	0.02	0	4.1	30.000	1.710	0.320	2.8	4.72	1.54
971	05LC	45	98	98	98	0	0	MC4				1.7	1.74	16.35

Pérdida de carga acumulada del segmento	Δp_t	[Pa]	: 21.78
Velocidad en la sección inicial del segmento	V_m	[m/s]	: 5.6
Velocidad en la sección final del segmento	V_v	[m/s]	: 1.7
Recuperación de presión estática del segmento	Δp_r	[Pa]	: 17.14
Pérdida de carga acumulada del segmento, considerando la recuperación	Δp_{tn}	[Pa]	: 4.92
Pérdida de carga acumulada neta – total acumulado	$\Sigma \Delta p_{tn}$	[Pa]	: 156.55
Desequilibrio del terminal respecto al camino más desfavorable	Δp_{Tmr}	[Pa]	: 39.32

SEGMENTO 250:

Tipo: Tramo

1 ELEMENTO		2 Caudal Q	3 Diam. D/D _e	4 Ancho A	5 Alto B	6 Long. L	7 $\Delta p/L$	8 Fuente Tab	9 Ashrae X	10 Ashrae Y	11 Coeff. C _o	12 Veloc. V	13 P.Dinám P _v	14 Pérdida Δp_r o Δp_c
N. pz.	Cod.	[m³/h]	[mm]	[mm]	[mm]	[m]	[Pa/m]	n.	-	-	-	[m/s]	[Pa]	[Pa]
2737	11RA	360	152	200	100	0	0	ASH6_26M	0.889		0.011	5	15.05	0.21

910	310R	360	152	200	100	0.6	2.85					5	15.05	1.71
-----	------	-----	-----	-----	-----	-----	------	--	--	--	--	---	-------	------

Pérdida de carga acumulada del segmento	Δp_t	[Pa]	: 1.92
Velocidad en la sección inicial del segmento	V_m	[m/s]	: 5.6
Velocidad en la sección final del segmento	V_v	[m/s]	: 5
Recuperación de presión estática del segmento	Δp_r	[Pa]	: 3.83
Pérdida de carga acumulada del segmento, considerando la recuperación	Δp_{tn}	[Pa]	: -2.08
Pérdida de carga acumulada neta – total acumulado	$\Sigma \Delta p_{tn}$	[Pa]	: 133.21

SEGMENTO 249:

Tipo: Terminal TRM-46

1 ELEMENTO		2 Caudal Q	3 Diam. D/D _e	4 Ancho A	5 Alto B	6 Long. L	7 $\Delta p_r/L$	8 Fuente Tab	9 Ashrae X	10 Ashrae Y	11 Coeff. C _o	12 Veloc. V	13 P.Dinám P _v	14 Pérdida Δp_r o Δp_e
N. pz.	Cod.	[m³/h]	[mm]	[mm]	[mm]	[m]	[Pa/m]	n.	-	-	-	[m/s]	[Pa]	[Pa]
2739	11RA	45	98	98	98	0	0	ASH6_26	0.125	0.332	1.020	1.7	1.74	15.39
960	310C	45	98	98	98	0.07	0.57					1.7	1.74	0.04
962	079C	45	98	98	98	0	0	3.1	1.520		0.046	1.7	1.74	0.07
2770	273C	45	75	0	0	0.02	0	5.1	30.000	1.710	0.050	2.8	4.72	0.24
963	310C	45	75	0	0	0.3	2.03					2.8	4.72	0.61
2769	023C	45	75	0	0	0.02	0	4.1	30.000	1.710	0.320	2.8	4.72	1.54
965	05LC	45	98	98	98	0	0	MC4				1.7	1.74	16.35

Pérdida de carga acumulada del segmento	Δp_t	[Pa]	: 17.89
Velocidad en la sección inicial del segmento	V_m	[m/s]	: 5
Velocidad en la sección final del segmento	V_v	[m/s]	: 1.7
Recuperación de presión estática del segmento	Δp_r	[Pa]	: 13.31
Pérdida de carga acumulada del segmento, considerando la recuperación	Δp_{tn}	[Pa]	: 5.03
Pérdida de carga acumulada neta – total acumulado	$\Sigma \Delta p_{tn}$	[Pa]	: 154.58
Desequilibrio del terminal respecto al camino más desfavorable	Δp_{Tmr}	[Pa]	: 41.29

SEGMENTO 248:

Tipo: Tramo

1 ELEMENTO		2 Caudal Q	3 Diam. D/D _e	4 Ancho A	5 Alto B	6 Long. L	7 $\Delta p_r/L$	8 Fuente Tab	9 Ashrae X	10 Ashrae Y	11 Coeff. C _o	12 Veloc. V	13 P.Dinám P _v	14 Pérdida Δp_r o Δp_e
N. pz.	Cod.	[m³/h]	[mm]	[mm]	[mm]	[m]	[Pa/m]	n.	-	-	-	[m/s]	[Pa]	[Pa]
2740	11RA	315	152	200	100	0	0	ASH6_26M	0.875		0.012	4.4	11.65	0.19
2743	283R	315	133	150	100	0.14	0	5.1	30.000	1.330	0.050	5.8	20.25	1.02
911	310R	315	133	150	100	0.6	4.32					5.8	20.25	2.59

Pérdida de carga acumulada del segmento	Δp_t	[Pa]	: 3.8
Velocidad en la sección inicial del segmento	V_m	[m/s]	: 5
Velocidad en la sección final del segmento	V_v	[m/s]	: 5.8
Recuperación de presión estática del segmento	Δp_r	[Pa]	: -5.2
Pérdida de carga acumulada del segmento, considerando la recuperación	Δp_{tn}	[Pa]	: 9.24
Pérdida de carga acumulada neta – total acumulado	$\Sigma \Delta p_{tn}$	[Pa]	: 142.44

SEGMENTO 247:

Tipo: Terminal TRM-46

1 ELEMENTO	2 Caudal	3 Diam.	4 Ancho	5 Alto	6 Long.	7 $\Delta p_r/L$	8 Fuente	9 Ashrae	10 Ashrae	11 Coeff.	12 Veloc.	13 P.Dinám	14 Pérdida
---------------	-------------	------------	------------	-----------	------------	---------------------	-------------	-------------	--------------	--------------	--------------	---------------	---------------

1 ELEMENTO		2 Caudal Q	3 Diam. D/D _e	4 Ancho A	5 Alto B	6 Long. L	7 Δp _f /L	8 Fuente Tab	9 Ashrae X	10 Ashrae Y	11 Coeff. C _o	12 Veloc. V	13 P.Dinám P _v	14 Pérdida Δp _f o Δp _e
N. pz.	Cod.	[m³/h]	[mm]	[mm]	[mm]	[m]	[Pa/m]	n.	-	-	-	[m/s]	[Pa]	[Pa]
2741	11RA	45	98	98	98	0	0	ASH6_26	0.143	0.284	1.030	1.7	1.74	21.15
954	310C	45	98	98	98	0.07	0.57					1.7	1.74	0.04
956	079C	45	98	98	98	0	0	3.1	1.520		0.046	1.7	1.74	0.07
2768	273C	45	75	0	0	0.02	0	5.1	30.000	1.710	0.050	2.8	4.72	0.24
957	310C	45	75	0	0	0.3	2.03					2.8	4.72	0.61
2767	023C	45	75	0	0	0.02	0	4.1	30.000	1.710	0.320	2.8	4.72	1.54
959	05LC	45	98	98	98	0	0	MC4				1.7	1.74	16.35

Pérdida de carga acumulada del segmento	Δp _t	[Pa]	: 23.65
Velocidad en la sección inicial del segmento	V _m	[m/s]	: 5.8
Velocidad en la sección final del segmento	V _v	[m/s]	: 1.7
Recuperación de presión estática del segmento	Δp _r	[Pa]	: 18.51
Pérdida de carga acumulada del segmento, considerando la recuperación	Δp _{tm}	[Pa]	: 5.35
Pérdida de carga acumulada neta – total acumulado	ΣΔp _{tm}	[Pa]	: 164.14
Desequilibrio del terminal respecto al camino más desfavorable	Δp _{Tmr}	[Pa]	: 31.73

SEGMENTO 246:

Tipo: Tramo

1 ELEMENTO		2 Caudal Q	3 Diam. D/D _e	4 Ancho A	5 Alto B	6 Long. L	7 Δp _f /L	8 Fuente Tab	9 Ashrae X	10 Ashrae Y	11 Coeff. C _o	12 Veloc. V	13 P.Dinám P _v	14 Pérdida Δp _f o Δp _e
N. pz.	Cod.	[m³/h]	[mm]	[mm]	[mm]	[m]	[Pa/m]	n.	-	-	-	[m/s]	[Pa]	[Pa]
2742	11RA	270	133	150	100	0	0	ASH6_26M	0.857		0.014	5	15.05	0.29
912	310R	270	133	150	100	0.6	3.23					5	15.05	1.94

Pérdida de carga acumulada del segmento	Δp _t	[Pa]	: 2.23
Velocidad en la sección inicial del segmento	V _m	[m/s]	: 5.8
Velocidad en la sección final del segmento	V _v	[m/s]	: 5
Recuperación de presión estática del segmento	Δp _r	[Pa]	: 5.2
Pérdida de carga acumulada del segmento, considerando la recuperación	Δp _{tm}	[Pa]	: -3.2
Pérdida de carga acumulada neta – total acumulado	ΣΔp _{tm}	[Pa]	: 139.24

SEGMENTO 245:

Tipo: Terminal TRM-46

1 ELEMENTO		2 Caudal Q	3 Diam. D/D _e	4 Ancho A	5 Alto B	6 Long. L	7 Δp _f /L	8 Fuente Tab	9 Ashrae X	10 Ashrae Y	11 Coeff. C _o	12 Veloc. V	13 P.Dinám P _v	14 Pérdida Δp _f o Δp _e
N. pz.	Cod.	[m³/h]	[mm]	[mm]	[mm]	[m]	[Pa/m]	n.	-	-	-	[m/s]	[Pa]	[Pa]
2744	11RA	45	98	98	98	0	0	ASH6_26	0.167	0.332	1.050	1.7	1.74	15.79
948	310C	45	98	98	98	0.07	0.57					1.7	1.74	0.04
950	079C	45	98	98	98	0	0	3.1	1.520		0.046	1.7	1.74	0.07
2766	273C	45	75	0	0	0.02	0	5.1	30.000	1.710	0.050	2.8	4.72	0.24
951	310C	45	75	0	0	0.3	2.03					2.8	4.72	0.61
2765	023C	45	75	0	0	0.02	0	4.1	30.000	1.710	0.320	2.8	4.72	1.54
953	05LC	45	98	98	98	0	0	MC4				1.7	1.74	16.35

Pérdida de carga acumulada del segmento	Δp _t	[Pa]	: 18.29
Velocidad en la sección inicial del segmento	V _m	[m/s]	: 5
Velocidad en la sección final del segmento	V _v	[m/s]	: 1.7
Recuperación de presión estática del segmento	Δp _r	[Pa]	: 13.31
Pérdida de carga acumulada del segmento, considerando la recuperación	Δp _{tm}	[Pa]	: 5.42
Pérdida de carga acumulada neta – total acumulado	ΣΔp _{tm}	[Pa]	: 161.01

Desequilibrio del terminal respecto al camino más desfavorable

 Δp_{Tmr} [Pa] : 34.86**SEGMENTO 244:****Tipo:** Tramo

1 ELEMENTO		2 Caudal Q	3 Diam. D/D _e	4 Ancho A	5 Alto B	6 Long. L	7 $\Delta p/L$	8 Fuente Tab	9 Ashrae X	10 Ashrae Y	11 Coeff. C _o	12 Veloc. V	13 P.Dinám P _v	14 Pérdida Δp_r o Δp_e
N. pz.	Cod.	[m³/h]	[mm]	[mm]	[mm]	[m]	[Pa/m]	n.	-	-	-	[m/s]	[Pa]	[Pa]
2745	11RA	225	133	150	100	0	0	ASH6_26M	0.833		0.017	4.2	10.62	0.25
913	310R	225	133	150	100	0.6	2.3					4.2	10.62	1.38

Pérdida de carga acumulada del segmento

 Δp_t [Pa] : 1.64

Velocidad en la sección inicial del segmento

 V_m [m/s] : 5

Velocidad en la sección final del segmento

 V_v [m/s] : 4.2

Recuperación de presión estática del segmento

 Δp_r [Pa] : 4.43

Pérdida de carga acumulada del segmento, considerando la recuperación

 Δp_{tn} [Pa] : -2.96

Pérdida de carga acumulada neta – total acumulado

 $\Sigma \Delta p_{tn}$ [Pa] : 136.28**SEGMENTO 243:****Tipo:** Terminal TRM-46

1 ELEMENTO		2 Caudal Q	3 Diam. D/D _e	4 Ancho A	5 Alto B	6 Long. L	7 $\Delta p/L$	8 Fuente Tab	9 Ashrae X	10 Ashrae Y	11 Coeff. C _o	12 Veloc. V	13 P.Dinám P _v	14 Pérdida Δp_r o Δp_e
N. pz.	Cod.	[m³/h]	[mm]	[mm]	[mm]	[m]	[Pa/m]	n.	-	-	-	[m/s]	[Pa]	[Pa]
2746	11RA	45	98	98	98	0	0	ASH6_26	0.200	0.398	1.070	1.7	1.74	11.18
942	310C	45	98	98	98	0.07	0.57					1.7	1.74	0.04
944	079C	45	98	98	98	0	0	3.1	1.520		0.046	1.7	1.74	0.07
2764	273C	45	75	0	0	0.02	0	5.1	30.000	1.710	0.050	2.8	4.72	0.24
945	310C	45	75	0	0	0.3	2.03					2.8	4.72	0.61
2763	023C	45	75	0	0	0.02	0	4.1	30.000	1.710	0.320	2.8	4.72	1.54
947	05LC	45	98	98	98	0	0	MC4				1.7	1.74	16.35

Pérdida de carga acumulada del segmento

 Δp_t [Pa] : 13.69

Velocidad en la sección inicial del segmento

 V_m [m/s] : 4.2

Velocidad en la sección final del segmento

 V_v [m/s] : 1.7

Recuperación de presión estática del segmento

 Δp_r [Pa] : 8.88

Pérdida de carga acumulada del segmento, considerando la recuperación

 Δp_{tn} [Pa] : 5.42

Pérdida de carga acumulada neta – total acumulado

 $\Sigma \Delta p_{tn}$ [Pa] : 158.04

Desequilibrio del terminal respecto al camino más desfavorable

 Δp_{Tmr} [Pa] : 37.83**SEGMENTO 242:****Tipo:** Tramo

1 ELEMENTO		2 Caudal Q	3 Diam. D/D _e	4 Ancho A	5 Alto B	6 Long. L	7 $\Delta p/L$	8 Fuente Tab	9 Ashrae X	10 Ashrae Y	11 Coeff. C _o	12 Veloc. V	13 P.Dinám P _v	14 Pérdida Δp_r o Δp_e
N. pz.	Cod.	[m³/h]	[mm]	[mm]	[mm]	[m]	[Pa/m]	n.	-	-	-	[m/s]	[Pa]	[Pa]
2747	11RA	180	133	150	100	0	0	ASH6_26M	0.800		0.020	3.3	6.56	0.21
2750	283R	180	109	100	100	0.14	0	5.1	30.000	1.500	0.050	5	15.05	0.75
914	310R	180	109	100	100	0.6	4.08					5	15.05	2.45

Pérdida de carga acumulada del segmento

 Δp_t [Pa] : 3.41

Velocidad en la sección inicial del segmento	V_m	[m/s]	: 4.2
Velocidad en la sección final del segmento	V_v	[m/s]	: 5
Recuperación de presión estática del segmento	Δp_r	[Pa]	: -4.43
Pérdida de carga acumulada del segmento, considerando la recuperación	Δp_{tn}	[Pa]	: 8.01
Pérdida de carga acumulada neta – total acumulado	$\Sigma \Delta p_{tn}$	[Pa]	: 144.29

SEGMENTO 241:

Tipo: Terminal TRM-46

1 ELEMENTO		2 Caudal Q	3 Diam. D/D _e	4 Ancho A	5 Alto B	6 Long. L	7 $\Delta p/L$	8 Fuente Tab	9 Ashrae X	10 Ashrae Y	11 Coeff. C _o	12 Veloc. V	13 P.Dinám P _v	14 Pérdida Δp_r o Δp_c
N. pz.	Cod.	[m³/h]	[mm]	[mm]	[mm]	[m]	[Pa/m]	n.	-	-	-	[m/s]	[Pa]	[Pa]
2748	11RA	45	98	98	98	0	0	ASH6_26	0.250	0.332	1.080	1.7	1.74	16.18
936	310C	45	98	98	98	0.07	0.57					1.7	1.74	0.04
938	079C	45	98	98	98	0	0	3.1	1.520		0.046	1.7	1.74	0.07
2762	273C	45	75	0	0	0.02	0	5.1	30.000	1.710	0.050	2.8	4.72	0.24
939	310C	45	75	0	0	0.3	2.03					2.8	4.72	0.61
2761	023C	45	75	0	0	0.02	0	4.1	30.000	1.710	0.320	2.8	4.72	1.54
941	05LC	45	98	98	98	0	0	MC4				1.7	1.74	16.35

Pérdida de carga acumulada del segmento	Δp_t	[Pa]	: 18.68
Velocidad en la sección inicial del segmento	V_m	[m/s]	: 5
Velocidad en la sección final del segmento	V_v	[m/s]	: 1.7
Recuperación de presión estática del segmento	Δp_r	[Pa]	: 13.31
Pérdida de carga acumulada del segmento, considerando la recuperación	Δp_{tn}	[Pa]	: 5.82
Pérdida de carga acumulada neta – total acumulado	$\Sigma \Delta p_{tn}$	[Pa]	: 166.45
Desequilibrio del terminal respecto al camino más desfavorable	Δp_{Tmr}	[Pa]	: 29.42

SEGMENTO 240:

Tipo: Tramo

1 ELEMENTO		2 Caudal Q	3 Diam. D/D _e	4 Ancho A	5 Alto B	6 Long. L	7 $\Delta p/L$	8 Fuente Tab	9 Ashrae X	10 Ashrae Y	11 Coeff. C _o	12 Veloc. V	13 P.Dinám P _v	14 Pérdida Δp_r o Δp_c
N. pz.	Cod.	[m³/h]	[mm]	[mm]	[mm]	[m]	[Pa/m]	n.	-	-	-	[m/s]	[Pa]	[Pa]
2749	11RA	135	109	100	100	0	0	ASH6_26M	0.750		0.030	3.7	8.24	0.45
915	310R	135	109	100	100	0.6	2.4					3.7	8.24	1.44

Pérdida de carga acumulada del segmento	Δp_t	[Pa]	: 1.89
Velocidad en la sección inicial del segmento	V_m	[m/s]	: 5
Velocidad en la sección final del segmento	V_v	[m/s]	: 3.7
Recuperación de presión estática del segmento	Δp_r	[Pa]	: 6.81
Pérdida de carga acumulada del segmento, considerando la recuperación	Δp_{tn}	[Pa]	: -4.69
Pérdida de carga acumulada neta – total acumulado	$\Sigma \Delta p_{tn}$	[Pa]	: 139.6

SEGMENTO 239:

Tipo: Terminal TRM-46

1 ELEMENTO		2 Caudal Q	3 Diam. D/D _e	4 Ancho A	5 Alto B	6 Long. L	7 $\Delta p/L$	8 Fuente Tab	9 Ashrae X	10 Ashrae Y	11 Coeff. C _o	12 Veloc. V	13 P.Dinám P _v	14 Pérdida Δp_r o Δp_c
N. pz.	Cod.	[m³/h]	[mm]	[mm]	[mm]	[m]	[Pa/m]	n.	-	-	-	[m/s]	[Pa]	[Pa]
2751	11RA	45	98	98	98	0	0	ASH6_26	0.333	0.442	1.100	1.7	1.74	9.28
930	310C	45	98	98	98	0.07	0.57					1.7	1.74	0.04

932	079C	45	98	98	98	0	0	3.1	1.520		0.046	1.7	1.74	0.07
2760	273C	45	75	0	0	0.02	0	5.1	30.000	1.710	0.050	2.8	4.72	0.24
933	310C	45	75	0	0	0.3	2.03					2.8	4.72	0.61
2759	023C	45	75	0	0	0.02	0	4.1	30.000	1.710	0.320	2.8	4.72	1.54
935	05LC	45	98	98	98	0	0	MC4				1.7	1.74	16.35

Pérdida de carga acumulada del segmento	Δp_t	[Pa]	: 11.79
Velocidad en la sección inicial del segmento	V_m	[m/s]	: 3.7
Velocidad en la sección final del segmento	V_v	[m/s]	: 1.7
Recuperación de presión estática del segmento	Δp_r	[Pa]	: 6.5
Pérdida de carga acumulada del segmento, considerando la recuperación	Δp_{tn}	[Pa]	: 5.51
Pérdida de carga acumulada neta – total acumulado	$\Sigma \Delta p_{tn}$	[Pa]	: 161.45
Desequilibrio del terminal respecto al camino más desfavorable	Δp_{Tmr}	[Pa]	: 34.42

SEGMENTO 238:

Tipo: Tramo

1 ELEMENTO		2 Caudal Q	3 Diam. D/D _e	4 Ancho A	5 Alto B	6 Long. L	7 $\Delta p/L$	8 Fuente Tab	9 Ashrae X	10 Ashrae Y	11 Coeff. C _o	12 Veloc. V	13 P.Dinám P _v	14 Pérdida Δp_r o Δp_e
N. pz.	Cod.	[m³/h]	[mm]	[mm]	[mm]	[m]	[Pa/m]	n.	-	-	-	[m/s]	[Pa]	[Pa]
2752	11RA	90	109	100	100	0	0	ASH6_26M	0.667		0.047	2.5	3.76	0.4
916	310R	90	109	100	100	0.6	1.13					2.5	3.76	0.68

Pérdida de carga acumulada del segmento	Δp_t	[Pa]	: 1.07
Velocidad en la sección inicial del segmento	V_m	[m/s]	: 3.7
Velocidad en la sección final del segmento	V_v	[m/s]	: 2.5
Recuperación de presión estática del segmento	Δp_r	[Pa]	: 4.48
Pérdida de carga acumulada del segmento, considerando la recuperación	Δp_{tn}	[Pa]	: -3.63
Pérdida de carga acumulada neta – total acumulado	$\Sigma \Delta p_{tn}$	[Pa]	: 135.97

SEGMENTO 237:

Tipo: Terminal TRM-46

1 ELEMENTO		2 Caudal Q	3 Diam. D/D _e	4 Ancho A	5 Alto B	6 Long. L	7 $\Delta p/L$	8 Fuente Tab	9 Ashrae X	10 Ashrae Y	11 Coeff. C _o	12 Veloc. V	13 P.Dinám P _v	14 Pérdida Δp_r o Δp_e
N. pz.	Cod.	[m³/h]	[mm]	[mm]	[mm]	[m]	[Pa/m]	n.	-	-	-	[m/s]	[Pa]	[Pa]
2753	11RA	45	98	98	98	0	0	ASH6_26	0.500	0.663	1.260	1.7	1.74	4.74
924	310C	45	98	98	98	0.07	0.57					1.7	1.74	0.04
926	079C	45	98	98	98	0	0	3.1	1.520		0.046	1.7	1.74	0.07
2758	273C	45	75	0	0	0.02	0	5.1	30.000	1.710	0.050	2.8	4.72	0.24
927	310C	45	75	0	0	0.3	2.03					2.8	4.72	0.61
2757	023C	45	75	0	0	0.02	0	4.1	30.000	1.710	0.320	2.8	4.72	1.54
929	05LC	45	98	98	98	0	0	MC4				1.7	1.74	16.35

Pérdida de carga acumulada del segmento	Δp_t	[Pa]	: 7.25
Velocidad en la sección inicial del segmento	V_m	[m/s]	: 2.5
Velocidad en la sección final del segmento	V_v	[m/s]	: 1.7
Recuperación de presión estática del segmento	Δp_r	[Pa]	: 2.02
Pérdida de carga acumulada del segmento, considerando la recuperación	Δp_{tn}	[Pa]	: 5.67
Pérdida de carga acumulada neta – total acumulado	$\Sigma \Delta p_{tn}$	[Pa]	: 157.98
Desequilibrio del terminal respecto al camino más desfavorable	Δp_{Tmr}	[Pa]	: 37.89

SEGMENTO 236:

Tipo: Terminal TRM-46

1 ELEMENTO		2 Caudal Q	3 Diam. D/D _e	4 Ancho A	5 Alto B	6 Long. L	7 $\Delta p/L$	8 Fuente Tab	9 Ashrae X	10 Ashrae Y	11 Coeff. C _o	12 Veloc. V	13 P.Dinám P _v	14 Pérdida Δp_r o Δp_c
N. pz.	Cod.	[m³/h]	[mm]	[mm]	[mm]	[m]	[Pa/m]	n.	-	-	-	[m/s]	[Pa]	[Pa]
2754	11RA	45	109	100	100	0	0	ASH6_26M	0.500		0.090	1.2	0.87	0.34
917	310R	45	109	100	100	0.6	0.32					1.2	0.87	0.19
908	11RAT	45	109	100	100	0	0	2_6	1.000	0.917	2.800	1.2	0.87	4.63
918	310C	45	98	98	98	0.07	0.57					1.7	1.74	0.04
920	079C	45	98	98	98	0	0	3.1	1.520		0.046	1.7	1.74	0.07
2756	023C	45	98	98	98	0	0	4.1	30.000	1.040	0.320	1.7	1.74	0.53
921	310C	45	100	0	0	0.3	0.5					1.6	1.54	0.15
2755	273C	45	98	98	98	0	0	5.1	30.000	1.040	0.050	1.7	1.74	0.08
923	05LC	45	98	98	98	0	0	MC4				1.7	1.74	16.35

Pérdida de carga acumulada del segmento	Δp_t	[Pa] : 6.04
Velocidad en la sección inicial del segmento	V_m	[m/s] : 2.5
Velocidad en la sección final del segmento	V_v	[m/s] : 1.7
Recuperación de presión estática del segmento	Δp_r	[Pa] : 2.02
Pérdida de carga acumulada del segmento, considerando la recuperación	Δp_{tm}	[Pa] : 3.93
Pérdida de carga acumulada neta – total acumulado	$\Sigma \Delta p_{tm}$	[Pa] : 156.24
Desequilibrio del terminal respecto al camino más desfavorable	Δp_{Tmr}	[Pa] : 39.63

SEGMENTO 274:

Tipo: Tramo

1 ELEMENTO		2 Caudal Q	3 Diam. D/D _e	4 Ancho A	5 Alto B	6 Long. L	7 $\Delta p/L$	8 Fuente Tab	9 Ashrae X	10 Ashrae Y	11 Coeff. C _o	12 Veloc. V	13 P.Dinám P _v	14 Pérdida Δp_r o Δp_c
N. pz.	Cod.	[m³/h]	[mm]	[mm]	[mm]	[m]	[Pa/m]	n.	-	-	-	[m/s]	[Pa]	[Pa]
2731	3736	7200	653	650	550	0	0	MC4	1.030		0.060	5.6	18.88	1.14
1050	310R	7200	653	650	550	1	0.55					5.6	18.88	0.55

Pérdida de carga acumulada del segmento	Δp_t	[Pa] : 1.69
Velocidad en la sección inicial del segmento	V_m	[m/s] : 4.5
Velocidad en la sección final del segmento	V_v	[m/s] : 4
Recuperación de presión estática del segmento	Δp_r	[Pa] : 2.56
Pérdida de carga acumulada del segmento, considerando la recuperación	Δp_{tm}	[Pa] : 6.91
Pérdida de carga acumulada neta – total acumulado	$\Sigma \Delta p_{tm}$	[Pa] : 119.36

SEGMENTO 294:

Tipo: Tramo

1 ELEMENTO		2 Caudal Q	3 Diam. D/D _e	4 Ancho A	5 Alto B	6 Long. L	7 $\Delta p/L$	8 Fuente Tab	9 Ashrae X	10 Ashrae Y	11 Coeff. C _o	12 Veloc. V	13 P.Dinám P _v	14 Pérdida Δp_r o Δp_c
N. pz.	Cod.	[m³/h]	[mm]	[mm]	[mm]	[m]	[Pa/m]	n.	-	-	-	[m/s]	[Pa]	[Pa]
2814	3736	450	299	150	550	0	0	MC4	0.063	0.231	4.270	1.5	1.35	5.77
2860	283R	450	164	150	150	0.79	0	5.1	30.000	3.670	0.042	5.6	18.88	0.81
1125	310R	450	164	150	150	1.1	2.95					5.6	18.88	3.25

Pérdida de carga acumulada del segmento	Δp_t	[Pa] : 9.83
Velocidad en la sección inicial del segmento	V_m	[m/s] : 4
Velocidad en la sección final del segmento	V_v	[m/s] : 3.3
Recuperación de presión estática del segmento	Δp_r	[Pa] : 3.08
Pérdida de carga acumulada del segmento, considerando la recuperación	Δp_{tm}	[Pa] : 7.81
Pérdida de carga acumulada neta – total acumulado	$\Sigma \Delta p_{tm}$	[Pa] : 127.18

SEGMENTO 312:**Tipo:** Terminal TRM-18

1 ELEMENTO		2 Caudal Q	3 Diam. D/D _e	4 Ancho A	5 Alto B	6 Long. L	7 $\Delta p/L$	8 Fuente Tab	9 Ashrae X	10 Ashrae Y	11 Coeff. C _o	12 Veloc. V	13 P.Dinám P _v	14 Pérdida Δp_r o Δp_c
N. pz.	Cod.	[m³/h]	[mm]	[mm]	[mm]	[m]	[Pa/m]	n.	-	-	-	[m/s]	[Pa]	[Pa]
2858	11RA	45	98	98	98	0	0	ASH6_26	0.100	0.298	1.070	1.7	1.74	7.18
1191	310C	45	98	98	98	0.07	0.57					1.7	1.74	0.04
1193	079C	45	98	98	98	0	0	3.1	1.520		0.046	1.7	1.74	0.07
2896	273C	45	75	0	0	0.02	0	5.1	30.000	1.710	0.050	2.8	4.72	0.24
1194	310C	45	75	0	0	0.3	2.03					2.8	4.72	0.61
2895	023C	45	75	0	0	0.02	0	4.1	30.000	1.710	0.320	2.8	4.72	1.54
1196	05LC	45	98	98	98	0	0	MC4				1.7	1.74	16.35

Pérdida de carga acumulada del segmento

 Δp_t [Pa] : 9.68

Velocidad en la sección inicial del segmento

 V_m [m/s] : 3.3

Velocidad en la sección final del segmento

 V_v [m/s] : 1.7

Recuperación de presión estática del segmento

 Δp_r [Pa] : 4.82

Pérdida de carga acumulada del segmento, considerando la recuperación

 Δp_{tm} [Pa] : 5.18

Pérdida de carga acumulada neta – total acumulado

 $\Sigma \Delta p_{tm}$ [Pa] : 148.7

Desequilibrio del terminal respecto al camino más desfavorable

 Δp_{Tmr} [Pa] : 47.17**SEGMENTO 311:****Tipo:** Tramo

1 ELEMENTO		2 Caudal Q	3 Diam. D/D _e	4 Ancho A	5 Alto B	6 Long. L	7 $\Delta p/L$	8 Fuente Tab	9 Ashrae X	10 Ashrae Y	11 Coeff. C _o	12 Veloc. V	13 P.Dinám P _v	14 Pérdida Δp_r o Δp_c
N. pz.	Cod.	[m³/h]	[mm]	[mm]	[mm]	[m]	[Pa/m]	n.	-	-	-	[m/s]	[Pa]	[Pa]
2859	11RA	405	164	150	150	0	0	ASH6_26M	0.900		0.010	5	15.05	0.07
1128	310R	405	164	150	150	0.6	2.43					5	15.05	1.46

Pérdida de carga acumulada del segmento

 Δp_t [Pa] : 1.52

Velocidad en la sección inicial del segmento

 V_m [m/s] : 3.3

Velocidad en la sección final del segmento

 V_v [m/s] : 3

Recuperación de presión estática del segmento

 Δp_r [Pa] : 1.14

Pérdida de carga acumulada del segmento, considerando la recuperación

 Δp_{tm} [Pa] : 1.76

Pérdida de carga acumulada neta – total acumulado

 $\Sigma \Delta p_{tm}$ [Pa] : 128.94**SEGMENTO 310:****Tipo:** Terminal TRM-19

1 ELEMENTO		2 Caudal Q	3 Diam. D/D _e	4 Ancho A	5 Alto B	6 Long. L	7 $\Delta p/L$	8 Fuente Tab	9 Ashrae X	10 Ashrae Y	11 Coeff. C _o	12 Veloc. V	13 P.Dinám P _v	14 Pérdida Δp_r o Δp_c
N. pz.	Cod.	[m³/h]	[mm]	[mm]	[mm]	[m]	[Pa/m]	n.	-	-	-	[m/s]	[Pa]	[Pa]
2861	11RA	45	98	98	98	0	0	ASH6_26	0.111	0.332	1.110	1.7	1.74	6
1185	310C	45	98	98	98	0.07	0.57					1.7	1.74	0.04
1187	079C	45	98	98	98	0	0	3.1	1.520		0.046	1.7	1.74	0.07
2894	273C	45	75	0	0	0.02	0	5.1	30.000	1.710	0.050	2.8	4.72	0.24
1188	310C	45	75	0	0	0.3	2.03					2.8	4.72	0.61
2893	023C	45	75	0	0	0.02	0	4.1	30.000	1.710	0.320	2.8	4.72	1.54
1190	05LC	45	98	98	98	0	0	MC4				1.7	1.74	16.35

Pérdida de carga acumulada del segmento	Δp_t	[Pa]	: 8.51
Velocidad en la sección inicial del segmento	V_m	[m/s]	: 3
Velocidad en la sección final del segmento	V_v	[m/s]	: 1.7
Recuperación de presión estática del segmento	Δp_r	[Pa]	: 3.68
Pérdida de carga acumulada del segmento, considerando la recuperación	Δp_{tn}	[Pa]	: 5.27
Pérdida de carga acumulada neta – total acumulado	$\Sigma \Delta p_{tn}$	[Pa]	: 150.55
Desequilibrio del terminal respecto al camino más desfavorable	Δp_{Tmr}	[Pa]	: 45.32

SEGMENTO 309:

Tipo: Tramo

1 ELEMENTO		2 Caudal Q	3 Diam. D/D _e	4 Ancho A	5 Alto B	6 Long. L	7 $\Delta p/L$	8 Fuente Tab	9 Ashrae X	10 Ashrae Y	11 Coeff. C _o	12 Veloc. V	13 P.Dinám P _v	14 Pérdida Δp_r o Δp_e
N. pz.	Cod.	[m³/h]	[mm]	[mm]	[mm]	[m]	[Pa/m]	n.	-	-	-	[m/s]	[Pa]	[Pa]
2862	11RA	360	164	150	150	0	0	ASH6_26M	0.889		0.011	4.4	11.65	0.06
1129	310R	360	164	150	150	0.6	1.95					4.4	11.65	1.17

Pérdida de carga acumulada del segmento	Δp_t	[Pa]	: 1.23
Velocidad en la sección inicial del segmento	V_m	[m/s]	: 3
Velocidad en la sección final del segmento	V_v	[m/s]	: 2.7
Recuperación de presión estática del segmento	Δp_r	[Pa]	: 1.03
Pérdida de carga acumulada del segmento, considerando la recuperación	Δp_{tn}	[Pa]	: 1.28
Pérdida de carga acumulada neta – total acumulado	$\Sigma \Delta p_{tn}$	[Pa]	: 130.21

SEGMENTO 308:

Tipo: Terminal TRM-20

1 ELEMENTO		2 Caudal Q	3 Diam. D/D _e	4 Ancho A	5 Alto B	6 Long. L	7 $\Delta p/L$	8 Fuente Tab	9 Ashrae X	10 Ashrae Y	11 Coeff. C _o	12 Veloc. V	13 P.Dinám P _v	14 Pérdida Δp_r o Δp_e
N. pz.	Cod.	[m³/h]	[mm]	[mm]	[mm]	[m]	[Pa/m]	n.	-	-	-	[m/s]	[Pa]	[Pa]
2863	11RA	45	98	98	98	0	0	ASH6_26	0.125	0.373	1.140	1.7	1.74	4.88
1179	310C	45	98	98	98	0.07	0.57					1.7	1.74	0.04
1181	079C	45	98	98	98	0	0	3.1	1.520		0.046	1.7	1.74	0.07
2892	273C	45	75	0	0	0.02	0	5.1	30.000	1.710	0.050	2.8	4.72	0.24
1182	310C	45	75	0	0	0.3	2.03					2.8	4.72	0.61
2891	023C	45	75	0	0	0.02	0	4.1	30.000	1.710	0.320	2.8	4.72	1.54
1184	05LC	45	98	98	98	0	0	MC4				1.7	1.74	16.35

Pérdida de carga acumulada del segmento	Δp_t	[Pa]	: 7.38
Velocidad en la sección inicial del segmento	V_m	[m/s]	: 2.7
Velocidad en la sección final del segmento	V_v	[m/s]	: 1.7
Recuperación de presión estática del segmento	Δp_r	[Pa]	: 2.65
Pérdida de carga acumulada del segmento, considerando la recuperación	Δp_{tn}	[Pa]	: 5.28
Pérdida de carga acumulada neta – total acumulado	$\Sigma \Delta p_{tn}$	[Pa]	: 151.84
Desequilibrio del terminal respecto al camino más desfavorable	Δp_{Tmr}	[Pa]	: 44.03

SEGMENTO 307:

Tipo: Tramo

1 ELEMENTO		2 Caudal Q	3 Diam. D/D _e	4 Ancho A	5 Alto B	6 Long. L	7 $\Delta p/L$	8 Fuente Tab	9 Ashrae X	10 Ashrae Y	11 Coeff. C _o	12 Veloc. V	13 P.Dinám P _v	14 Pérdida Δp_r o Δp_e
---------------	--	------------------	--------------------------------	-----------------	----------------	-----------------	-------------------	--------------------	------------------	-------------------	--------------------------------	-------------------	---------------------------------	--

N. pz.	Cod.	[m³/h]	[mm]	[mm]	[mm]	[m]	[Pa/m]	n.	-	-	-	[m/s]	[Pa]	[Pa]
2864	11RA	315	164	150	150	0	0	ASH6_26M	0.875		0.012	3.9	9.16	0.05
1130	310R	315	164	150	150	0.6	1.52					3.9	9.16	0.91

Pérdida de carga acumulada del segmento	Δp_t	[Pa]	: 0.97
Velocidad en la sección inicial del segmento	V_m	[m/s]	: 2.7
Velocidad en la sección final del segmento	V_v	[m/s]	: 2.3
Recuperación de presión estática del segmento	Δp_r	[Pa]	: 1.2
Pérdida de carga acumulada del segmento, considerando la recuperación	Δp_{tn}	[Pa]	: 0.87
Pérdida de carga acumulada neta – total acumulado	$\Sigma \Delta p_{tn}$	[Pa]	: 131.09

SEGMENTO 306:

Tipo: Terminal TRM-21

1 ELEMENTO		2 Caudal Q	3 Diam. D/D _e	4 Ancho A	5 Alto B	6 Long. L	7 $\Delta p/L$	8 Fuente Tab	9 Ashrae X	10 Ashrae Y	11 Coeff. C _o	12 Veloc. V	13 P.Dinám P _v	14 Pérdida Δp_r o Δp_c
N. pz.	Cod.	[m³/h]	[mm]	[mm]	[mm]	[m]	[Pa/m]	n.	-	-	-	[m/s]	[Pa]	[Pa]
2865	11RA	45	98	98	98	0	0	ASH6_26	0.143	0.426	1.190	1.7	1.74	3.88
1173	310C	45	98	98	98	0.07	0.57					1.7	1.74	0.04
1175	079C	45	98	98	98	0	0	3.1	1.520		0.046	1.7	1.74	0.07
2890	273C	45	75	0	0	0.02	0	5.1	30.000	1.710	0.050	2.8	4.72	0.24
1176	310C	45	75	0	0	0.3	2.03					2.8	4.72	0.61
2889	023C	45	75	0	0	0.02	0	4.1	30.000	1.710	0.320	2.8	4.72	1.54
1178	05LC	45	98	98	98	0	0	MC4				1.7	1.74	16.35

Pérdida de carga acumulada del segmento	Δp_t	[Pa]	: 6.39
Velocidad en la sección inicial del segmento	V_m	[m/s]	: 2.3
Velocidad en la sección final del segmento	V_v	[m/s]	: 1.7
Recuperación de presión estática del segmento	Δp_r	[Pa]	: 1.44
Pérdida de carga acumulada del segmento, considerando la recuperación	Δp_{tn}	[Pa]	: 5.29
Pérdida de carga acumulada neta – total acumulado	$\Sigma \Delta p_{tn}$	[Pa]	: 152.73
Desequilibrio del terminal respecto al camino más desfavorable	Δp_{Tmr}	[Pa]	: 43.14

SEGMENTO 305:

Tipo: Tramo

1 ELEMENTO		2 Caudal Q	3 Diam. D/D _e	4 Ancho A	5 Alto B	6 Long. L	7 $\Delta p/L$	8 Fuente Tab	9 Ashrae X	10 Ashrae Y	11 Coeff. C _o	12 Veloc. V	13 P.Dinám P _v	14 Pérdida Δp_r o Δp_c
N. pz.	Cod.	[m³/h]	[mm]	[mm]	[mm]	[m]	[Pa/m]	n.	-	-	-	[m/s]	[Pa]	[Pa]
2866	11RA	270	164	150	150	0	0	ASH6_26M	0.857		0.014	3.3	6.56	0.05
1131	310R	270	164	150	150	0.6	1.15					3.3	6.56	0.69

Pérdida de carga acumulada del segmento	Δp_t	[Pa]	: 0.73
Velocidad en la sección inicial del segmento	V_m	[m/s]	: 2.3
Velocidad en la sección final del segmento	V_v	[m/s]	: 2
Recuperación de presión estática del segmento	Δp_r	[Pa]	: 0.78
Pérdida de carga acumulada del segmento, considerando la recuperación	Δp_{tn}	[Pa]	: 0.53
Pérdida de carga acumulada neta – total acumulado	$\Sigma \Delta p_{tn}$	[Pa]	: 131.62

SEGMENTO 304:

Tipo: Terminal TRM-22

1 ELEMENTO		2 Caudal Q	3 Diam. D/D _e	4 Ancho A	5 Alto B	6 Long. L	7 $\Delta p/L$	8 Fuente Tab	9 Ashrae X	10 Ashrae Y	11 Coeff. C _o	12 Veloc. V	13 P.Dinám P _v	14 Pérdida Δp_r o Δp_e
N. pz.	Cod.	[m³/h]	[mm]	[mm]	[mm]	[m]	[Pa/m]	n.	-	-	-	[m/s]	[Pa]	[Pa]
2867	11RA	45	98	98	98	0	0	ASH6_26	0.167	0.497	1.280	1.7	1.74	3.08
1167	310C	45	98	98	98	0.07	0.57					1.7	1.74	0.04
1169	079C	45	98	98	98	0	0	3.1	1.520		0.046	1.7	1.74	0.07
2888	273C	45	75	0	0	0.02	0	5.1	30.000	1.710	0.050	2.8	4.72	0.24
1170	310C	45	75	0	0	0.3	2.03					2.8	4.72	0.61
2887	023C	45	75	0	0	0.02	0	4.1	30.000	1.710	0.320	2.8	4.72	1.54
1172	05LC	45	98	98	98	0	0	MC4				1.7	1.74	16.35

Pérdida de carga acumulada del segmento	Δp_t	[Pa] : 5.59
Velocidad en la sección inicial del segmento	V_m	[m/s] : 2
Velocidad en la sección final del segmento	V_v	[m/s] : 1.7
Recuperación de presión estática del segmento	Δp_r	[Pa] : 0.67
Pérdida de carga acumulada del segmento, considerando la recuperación	Δp_{tm}	[Pa] : 5.36
Pérdida de carga acumulada neta – total acumulado	$\Sigma \Delta p_{tm}$	[Pa] : 153.32
Desequilibrio del terminal respecto al camino más desfavorable	Δp_{Tmr}	[Pa] : 42.54

SEGMENTO 303:

Tipo: Tramo

1 ELEMENTO		2 Caudal Q	3 Diam. D/D _e	4 Ancho A	5 Alto B	6 Long. L	7 $\Delta p/L$	8 Fuente Tab	9 Ashrae X	10 Ashrae Y	11 Coeff. C _o	12 Veloc. V	13 P.Dinám P _v	14 Pérdida Δp_r o Δp_e
N. pz.	Cod.	[m³/h]	[mm]	[mm]	[mm]	[m]	[Pa/m]	n.	-	-	-	[m/s]	[Pa]	[Pa]
2868	11RA	225	164	150	150	0	0	ASH6_26M	0.833		0.017	2.8	4.72	0.04
1132	310R	225	164	150	150	0.6	0.82					2.8	4.72	0.49

Pérdida de carga acumulada del segmento	Δp_t	[Pa] : 0.53
Velocidad en la sección inicial del segmento	V_m	[m/s] : 2
Velocidad en la sección final del segmento	V_v	[m/s] : 3.1
Recuperación de presión estática del segmento	Δp_r	[Pa] : -3.38
Pérdida de carga acumulada del segmento, considerando la recuperación	Δp_{tm}	[Pa] : 4.53
Pérdida de carga acumulada neta – total acumulado	$\Sigma \Delta p_{tm}$	[Pa] : 136.15

SEGMENTO 302:

Tipo: Terminal TRM-22

1 ELEMENTO		2 Caudal Q	3 Diam. D/D _e	4 Ancho A	5 Alto B	6 Long. L	7 $\Delta p/L$	8 Fuente Tab	9 Ashrae X	10 Ashrae Y	11 Coeff. C _o	12 Veloc. V	13 P.Dinám P _v	14 Pérdida Δp_r o Δp_e
N. pz.	Cod.	[m³/h]	[mm]	[mm]	[mm]	[m]	[Pa/m]	n.	-	-	-	[m/s]	[Pa]	[Pa]
2869	11RA	45	98	98	98	0	0	ASH6_26	0.200	0.597	1.090	1.7	1.74	6.41
1161	310C	45	98	98	98	0.07	0.57					1.7	1.74	0.04
1163	079C	45	98	98	98	0	0	3.1	1.520		0.046	1.7	1.74	0.07
2886	273C	45	75	0	0	0.02	0	5.1	30.000	1.710	0.050	2.8	4.72	0.24
1164	310C	45	75	0	0	0.3	2.03					2.8	4.72	0.61
2885	023C	45	75	0	0	0.02	0	4.1	30.000	1.710	0.320	2.8	4.72	1.54
1166	05LC	45	98	98	98	0	0	MC4				1.7	1.74	16.35

Pérdida de carga acumulada del segmento	Δp_t	[Pa] : 8.91
Velocidad en la sección inicial del segmento	V_m	[m/s] : 3.1
Velocidad en la sección final del segmento	V_v	[m/s] : 1.7

Recuperación de presión estática del segmento	Δp_r	[Pa] : 4.05
Pérdida de carga acumulada del segmento, considerando la recuperación	Δp_{tn}	[Pa] : 5.21
Pérdida de carga acumulada neta – total acumulado	$\Sigma \Delta p_{tn}$	[Pa] : 157.71
Desequilibrio del terminal respecto al camino más desfavorable	Δp_{Tmr}	[Pa] : 38.16

SEGMENTO 301:

Tipo: Tramo

1 ELEMENTO		2 Caudal Q	3 Diam. D/D _e	4 Ancho A	5 Alto B	6 Long. L	7 $\Delta p/L$	8 Fuente Tab	9 Ashrae X	10 Ashrae Y	11 Coeff. C _o	12 Veloc. V	13 P.Dinám P _v	14 Pérdida Δp_r o Δp_c
N. pz.	Cod.	[m³/h]	[mm]	[mm]	[mm]	[m]	[Pa/m]	n.	-	-	-	[m/s]	[Pa]	[Pa]
2870	11RA	180	164	150	150	0	0	ASH6_26M	0.800		0.020	2.2	2.91	0.12
1133	310R	180	164	150	150	0.6	0.55					2.2	2.91	0.33

Pérdida de carga acumulada del segmento	Δp_t	[Pa] : 0.45
Velocidad en la sección inicial del segmento	V_m	[m/s] : 3.1
Velocidad en la sección final del segmento	V_v	[m/s] : 2.5
Recuperación de presión estática del segmento	Δp_r	[Pa] : 2.02
Pérdida de carga acumulada del segmento, considerando la recuperación	Δp_{tn}	[Pa] : -0.35
Pérdida de carga acumulada neta – total acumulado	$\Sigma \Delta p_{tn}$	[Pa] : 135.79

SEGMENTO 300:

Tipo: Terminal TRM-24

1 ELEMENTO		2 Caudal Q	3 Diam. D/D _e	4 Ancho A	5 Alto B	6 Long. L	7 $\Delta p/L$	8 Fuente Tab	9 Ashrae X	10 Ashrae Y	11 Coeff. C _o	12 Veloc. V	13 P.Dinám P _v	14 Pérdida Δp_r o Δp_c
N. pz.	Cod.	[m³/h]	[mm]	[mm]	[mm]	[m]	[Pa/m]	n.	-	-	-	[m/s]	[Pa]	[Pa]
2871	11RA	45	98	98	98	0	0	ASH6_26	0.250	0.746	1.130	1.7	1.74	4.25
1155	310C	45	98	98	98	0.07	0.57					1.7	1.74	0.04
1157	079C	45	98	98	98	0	0	3.1	1.520		0.046	1.7	1.74	0.07
2884	273C	45	75	0	0	0.02	0	5.1	30.000	1.710	0.050	2.8	4.72	0.24
1158	310C	45	75	0	0	0.3	2.03					2.8	4.72	0.61
2883	023C	45	75	0	0	0.02	0	4.1	30.000	1.710	0.320	2.8	4.72	1.54
1160	05LC	45	98	98	98	0	0	MC4				1.7	1.74	16.35

Pérdida de carga acumulada del segmento	Δp_t	[Pa] : 6.76
Velocidad en la sección inicial del segmento	V_m	[m/s] : 2.5
Velocidad en la sección final del segmento	V_v	[m/s] : 1.7
Recuperación de presión estática del segmento	Δp_r	[Pa] : 2.02
Pérdida de carga acumulada del segmento, considerando la recuperación	Δp_{tn}	[Pa] : 5.17
Pérdida de carga acumulada neta – total acumulado	$\Sigma \Delta p_{tn}$	[Pa] : 157.31
Desequilibrio del terminal respecto al camino más desfavorable	Δp_{Tmr}	[Pa] : 38.56

SEGMENTO 299:

Tipo: Tramo

1 ELEMENTO		2 Caudal Q	3 Diam. D/D _e	4 Ancho A	5 Alto B	6 Long. L	7 $\Delta p/L$	8 Fuente Tab	9 Ashrae X	10 Ashrae Y	11 Coeff. C _o	12 Veloc. V	13 P.Dinám P _v	14 Pérdida Δp_r o Δp_c
N. pz.	Cod.	[m³/h]	[mm]	[mm]	[mm]	[m]	[Pa/m]	n.	-	-	-	[m/s]	[Pa]	[Pa]
2872	11RA	135	164	150	150	0	0	ASH6_26M	0.750		0.030	1.7	1.74	0.11
1134	310R	135	164	150	150	0.6	0.32					1.7	1.74	0.19

Pérdida de carga acumulada del segmento	Δp_t	[Pa] : 0.31
Velocidad en la sección inicial del segmento	V_m	[m/s] : 2.5
Velocidad en la sección final del segmento	V_v	[m/s] : 2.5
Recuperación de presión estática del segmento	Δp_r	[Pa] : 0
Pérdida de carga acumulada del segmento, considerando la recuperación	Δp_{tn}	[Pa] : 1.13
Pérdida de carga acumulada neta – total acumulado	$\Sigma \Delta p_{tn}$	[Pa] : 136.92

SEGMENTO 298:

Tipo: Terminal TRM-25

1 ELEMENTO		2 Caudal Q	3 Diam. D/D _e	4 Ancho A	5 Alto B	6 Long. L	7 $\Delta p/L$	8 Fuente Tab	9 Ashrae X	10 Ashrae Y	11 Coeff. C _o	12 Veloc. V	13 P.Dinám P _v	14 Pérdida Δp_r o Δp_e
N. pz.	Cod.	[m³/h]	[mm]	[mm]	[mm]	[m]	[Pa/m]	n.	-	-	-	[m/s]	[Pa]	[Pa]
2873	11RA	45	98	98	98	0	0	ASH6_26	0.333	0.995	1.110	1.7	1.74	4.16
1149	310C	45	98	98	98	0.07	0.57					1.7	1.74	0.04
1151	079C	45	98	98	98	0	0	3.1	1.520		0.046	1.7	1.74	0.07
2882	273C	45	75	0	0	0.02	0	5.1	30.000	1.710	0.050	2.8	4.72	0.24
1152	310C	45	75	0	0	0.3	2.03					2.8	4.72	0.61
2881	023C	45	75	0	0	0.02	0	4.1	30.000	1.710	0.320	2.8	4.72	1.54
1154	05LC	45	98	98	98	0	0	MC4				1.7	1.74	16.35

Pérdida de carga acumulada del segmento	Δp_t	[Pa] : 6.66
Velocidad en la sección inicial del segmento	V_m	[m/s] : 2.5
Velocidad en la sección final del segmento	V_v	[m/s] : 1.7
Recuperación de presión estática del segmento	Δp_r	[Pa] : 2.02
Pérdida de carga acumulada del segmento, considerando la recuperación	Δp_{tn}	[Pa] : 5.08
Pérdida de carga acumulada neta – total acumulado	$\Sigma \Delta p_{tn}$	[Pa] : 158.35
Desequilibrio del terminal respecto al camino más desfavorable	Δp_{Tmr}	[Pa] : 37.52

SEGMENTO 297:

Tipo: Tramo

1 ELEMENTO		2 Caudal Q	3 Diam. D/D _e	4 Ancho A	5 Alto B	6 Long. L	7 $\Delta p/L$	8 Fuente Tab	9 Ashrae X	10 Ashrae Y	11 Coeff. C _o	12 Veloc. V	13 P.Dinám P _v	14 Pérdida Δp_r o Δp_e
N. pz.	Cod.	[m³/h]	[mm]	[mm]	[mm]	[m]	[Pa/m]	n.	-	-	-	[m/s]	[Pa]	[Pa]
2874	11RA	90	164	150	150	0	0	ASH6_26M	0.667		0.047	1.1	0.73	0.18
1135	310R	90	164	150	150	0.6	0.15					1.1	0.73	0.09

Pérdida de carga acumulada del segmento	Δp_t	[Pa] : 0.27
Velocidad en la sección inicial del segmento	V_m	[m/s] : 2.5
Velocidad en la sección final del segmento	V_v	[m/s] : 2.5
Recuperación de presión estática del segmento	Δp_r	[Pa] : 0
Pérdida de carga acumulada del segmento, considerando la recuperación	Δp_{tn}	[Pa] : 0.95
Pérdida de carga acumulada neta – total acumulado	$\Sigma \Delta p_{tn}$	[Pa] : 137.88

SEGMENTO 296:

Tipo: Terminal TRM-26

1 ELEMENTO		2 Caudal Q	3 Diam. D/D _e	4 Ancho A	5 Alto B	6 Long. L	7 $\Delta p/L$	8 Fuente Tab	9 Ashrae X	10 Ashrae Y	11 Coeff. C _o	12 Veloc. V	13 P.Dinám P _v	14 Pérdida Δp_r o Δp_e
N. pz.	Cod.	[m³/h]	[mm]	[mm]	[mm]	[m]	[Pa/m]	n.	-	-	-	[m/s]	[Pa]	[Pa]

2875	11RA	45	98	98	98	0	0	ASH6_26	0.500	1.490	1.260	1.7	1.74	4.74
1143	310C	45	98	98	98	0.07	0.57					1.7	1.74	0.04
1145	079C	45	98	98	98	0	0	3.1	1.520		0.046	1.7	1.74	0.07
2880	273C	45	75	0	0	0.02	0	5.1	30.000	1.710	0.050	2.8	4.72	0.24
1146	310C	45	75	0	0	0.3	2.03					2.8	4.72	0.61
2879	023C	45	75	0	0	0.02	0	4.1	30.000	1.710	0.320	2.8	4.72	1.54
1148	05LC	45	98	98	98	0	0	MC4				1.7	1.74	16.35

Pérdida de carga acumulada del segmento	Δp_t	[Pa]	: 7.25
Velocidad en la sección inicial del segmento	V_m	[m/s]	: 2.5
Velocidad en la sección final del segmento	V_v	[m/s]	: 1.7
Recuperación de presión estática del segmento	Δp_r	[Pa]	: 2.02
Pérdida de carga acumulada del segmento, considerando la recuperación	Δp_{tm}	[Pa]	: 5.67
Pérdida de carga acumulada neta – total acumulado	$\Sigma \Delta p_{tm}$	[Pa]	: 159.89
Desequilibrio del terminal respecto al camino más desfavorable	Δp_{Tmr}	[Pa]	: 35.98

SEGMENTO 295:

Tipo: Terminal TRM-27

1 ELEMENTO		2 Caudal Q	3 Diam. D/D _e	4 Ancho A	5 Alto B	6 Long. L	7 $\Delta p/L$	8 Fuente Tab	9 Ashrae X	10 Ashrae Y	11 Coeff. C _o	12 Veloc. V	13 P.Dinám P _v	14 Pérdida Δp_r o Δp_e
N. pz.	Cod.	[m³/h]	[mm]	[mm]	[mm]	[m]	[Pa/m]	n.	-	-	-	[m/s]	[Pa]	[Pa]
2876	11RA	45	164	150	150	0	0	ASH6_26M	0.500		0.090	0.6	0.22	0.34
1136	310R	45	164	150	150	0.6	0.05					0.6	0.22	0.03
1127	11RAT	45	164	150	150	0	0	2_6	1.000	0.915	2.800	0.6	0.22	0
1137	310C	45	98	98	98	0.07	0.57					1.7	1.74	0.04
1139	079C	45	98	98	98	0	0	3.1	1.520		0.046	1.7	1.74	0.07
2878	023C	45	98	98	98	0	0	4.1	30.000	1.040	0.320	1.7	1.74	0.53
1140	310C	45	100	0	0	0.3	0.5					1.6	1.54	0.15
2877	273C	45	98	98	98	0	0	5.1	30.000	1.040	0.050	1.7	1.74	0.08
1142	05LC	45	98	98	98	0	0	MC4				1.7	1.74	16.35

Pérdida de carga acumulada del segmento	Δp_t	[Pa]	: 1.24
Velocidad en la sección inicial del segmento	V_m	[m/s]	: 2.5
Velocidad en la sección final del segmento	V_v	[m/s]	: 1.7
Recuperación de presión estática del segmento	Δp_r	[Pa]	: 2.02
Pérdida de carga acumulada del segmento, considerando la recuperación	Δp_{tm}	[Pa]	: -0.55
Pérdida de carga acumulada neta – total acumulado	$\Sigma \Delta p_{tm}$	[Pa]	: 153.67
Desequilibrio del terminal respecto al camino más desfavorable	Δp_{Tmr}	[Pa]	: 42.2

SEGMENTO 293:

Tipo: Tramo

1 ELEMENTO		2 Caudal Q	3 Diam. D/D _e	4 Ancho A	5 Alto B	6 Long. L	7 $\Delta p/L$	8 Fuente Tab	9 Ashrae X	10 Ashrae Y	11 Coeff. C _o	12 Veloc. V	13 P.Dinám P _v	14 Pérdida Δp_r o Δp_e
N. pz.	Cod.	[m³/h]	[mm]	[mm]	[mm]	[m]	[Pa/m]	n.	-	-	-	[m/s]	[Pa]	[Pa]
1054	3736	450	398	250	550	0	0	MC4	0.063	0.385	18.100	0.9	0.49	8.89
2818	283R	450	210	250	150	0.79	0	5.1	30.000	3.670	0.042	3.3	6.56	0.29
1053	310R	450	210	250	150	1.05	0.87					3.3	6.56	0.91

Pérdida de carga acumulada del segmento	Δp_t	[Pa]	: 10.09
Velocidad en la sección inicial del segmento	V_m	[m/s]	: 4
Velocidad en la sección final del segmento	V_v	[m/s]	: 3.3
Recuperación de presión estática del segmento	Δp_r	[Pa]	: 3.08
Pérdida de carga acumulada del segmento, considerando la recuperación	Δp_{tm}	[Pa]	: 7.14
Pérdida de carga acumulada neta – total acumulado	$\Sigma \Delta p_{tm}$	[Pa]	: 126.51

SEGMENTO 292:**Tipo:** Terminal TRM-46

1 ELEMENTO		2 Caudal Q	3 Diam. D/D _e	4 Ancho A	5 Alto B	6 Long. L	7 $\Delta p/L$	8 Fuente Tab	9 Ashrae X	10 Ashrae Y	11 Coeff. C _o	12 Veloc. V	13 P.Dinám P _v	14 Pérdida Δp_r o Δp_c
N. pz.	Cod.	[m³/h]	[mm]	[mm]	[mm]	[m]	[Pa/m]	n.	-	-	-	[m/s]	[Pa]	[Pa]
2816	11RA	45	98	98	98	0	0	ASH6_26	0.100	0.497	1.070	1.7	1.74	7.18
1119	310C	45	98	98	98	0.07	0.57					1.7	1.74	0.04
1121	079C	45	98	98	98	0	0	3.1	1.520		0.046	1.7	1.74	0.07
2857	273C	45	75	0	0	0.02	0	5.1	30.000	1.710	0.050	2.8	4.72	0.24
1122	310C	45	75	0	0	0.3	2.03					2.8	4.72	0.61
2856	023C	45	75	0	0	0.02	0	4.1	30.000	1.710	0.320	2.8	4.72	1.54
1124	05LC	45	98	98	98	0	0	MC4				1.7	1.74	16.35

Pérdida de carga acumulada del segmento

 Δp_t [Pa] : 9.68

Velocidad en la sección inicial del segmento

 V_m [m/s] : 3.3

Velocidad en la sección final del segmento

 V_v [m/s] : 1.7

Recuperación de presión estática del segmento

 Δp_r [Pa] : 4.82

Pérdida de carga acumulada del segmento, considerando la recuperación

 Δp_{tm} [Pa] : 5.18

Pérdida de carga acumulada neta – total acumulado

 $\Sigma \Delta p_{tm}$ [Pa] : 148.03

Desequilibrio del terminal respecto al camino más desfavorable

 Δp_{Tmr} [Pa] : 47.84**SEGMENTO 291:****Tipo:** Tramo

1 ELEMENTO		2 Caudal Q	3 Diam. D/D _e	4 Ancho A	5 Alto B	6 Long. L	7 $\Delta p/L$	8 Fuente Tab	9 Ashrae X	10 Ashrae Y	11 Coeff. C _o	12 Veloc. V	13 P.Dinám P _v	14 Pérdida Δp_r o Δp_c
N. pz.	Cod.	[m³/h]	[mm]	[mm]	[mm]	[m]	[Pa/m]	n.	-	-	-	[m/s]	[Pa]	[Pa]
2817	11RA	405	210	250	150	0	0	ASH6_26M	0.900		0.010	3	5.42	0.07
2821	283R	405	152	200	100	0.19	0	5.1	30.000	1.880	0.050	5.6	18.88	0.95
1056	310R	405	152	200	100	0.6	3.53					5.6	18.88	2.12

Pérdida de carga acumulada del segmento

 Δp_t [Pa] : 3.14

Velocidad en la sección inicial del segmento

 V_m [m/s] : 3.3

Velocidad en la sección final del segmento

 V_v [m/s] : 5.6

Recuperación de presión estática del segmento

 Δp_r [Pa] : -12.32

Pérdida de carga acumulada del segmento, considerando la recuperación

 Δp_{tm} [Pa] : 15.5

Pérdida de carga acumulada neta – total acumulado

 $\Sigma \Delta p_{tm}$ [Pa] : 142.01**SEGMENTO 290:****Tipo:** Terminal TRM-46

1 ELEMENTO		2 Caudal Q	3 Diam. D/D _e	4 Ancho A	5 Alto B	6 Long. L	7 $\Delta p/L$	8 Fuente Tab	9 Ashrae X	10 Ashrae Y	11 Coeff. C _o	12 Veloc. V	13 P.Dinám P _v	14 Pérdida Δp_r o Δp_c
N. pz.	Cod.	[m³/h]	[mm]	[mm]	[mm]	[m]	[Pa/m]	n.	-	-	-	[m/s]	[Pa]	[Pa]
2819	11RA	45	98	98	98	0	0	ASH6_26	0.111	0.295	1.010	1.7	1.74	19.28
1113	310C	45	98	98	98	0.07	0.57					1.7	1.74	0.04
1115	079C	45	98	98	98	0	0	3.1	1.520		0.046	1.7	1.74	0.07
2855	273C	45	75	0	0	0.02	0	5.1	30.000	1.710	0.050	2.8	4.72	0.24
1116	310C	45	75	0	0	0.3	2.03					2.8	4.72	0.61
2854	023C	45	75	0	0	0.02	0	4.1	30.000	1.710	0.320	2.8	4.72	1.54
1118	05LC	45	98	98	98	0	0	MC4				1.7	1.74	16.35

Pérdida de carga acumulada del segmento	Δp_t	[Pa]	: 21.78
Velocidad en la sección inicial del segmento	V_m	[m/s]	: 5.6
Velocidad en la sección final del segmento	V_v	[m/s]	: 1.7
Recuperación de presión estática del segmento	Δp_r	[Pa]	: 17.14
Pérdida de carga acumulada del segmento, considerando la recuperación	Δp_{tn}	[Pa]	: 4.92
Pérdida de carga acumulada neta – total acumulado	$\Sigma \Delta p_{tn}$	[Pa]	: 163.27
Desequilibrio del terminal respecto al camino más desfavorable	Δp_{Tmr}	[Pa]	: 32.6

SEGMENTO 289:

Tipo: Tramo

1 ELEMENTO		2 Caudal Q	3 Diam. D/D _e	4 Ancho A	5 Alto B	6 Long. L	7 $\Delta p/L$	8 Fuente Tab	9 Ashrae X	10 Ashrae Y	11 Coeff. C _o	12 Veloc. V	13 P.Dinám P _v	14 Pérdida Δp_r o Δp_e
N. pz.	Cod.	[m³/h]	[mm]	[mm]	[mm]	[m]	[Pa/m]	n.	-	-	-	[m/s]	[Pa]	[Pa]
2820	11RA	360	152	200	100	0	0	ASH6_26M	0.889		0.011	5	15.05	0.21
1057	310R	360	152	200	100	0.6	2.85					5	15.05	1.71

Pérdida de carga acumulada del segmento	Δp_t	[Pa]	: 1.92
Velocidad en la sección inicial del segmento	V_m	[m/s]	: 5.6
Velocidad en la sección final del segmento	V_v	[m/s]	: 5
Recuperación de presión estática del segmento	Δp_r	[Pa]	: 3.83
Pérdida de carga acumulada del segmento, considerando la recuperación	Δp_{tn}	[Pa]	: -2.08
Pérdida de carga acumulada neta – total acumulado	$\Sigma \Delta p_{tn}$	[Pa]	: 139.93

SEGMENTO 288:

Tipo: Terminal TRM-46

1 ELEMENTO		2 Caudal Q	3 Diam. D/D _e	4 Ancho A	5 Alto B	6 Long. L	7 $\Delta p/L$	8 Fuente Tab	9 Ashrae X	10 Ashrae Y	11 Coeff. C _o	12 Veloc. V	13 P.Dinám P _v	14 Pérdida Δp_r o Δp_e
N. pz.	Cod.	[m³/h]	[mm]	[mm]	[mm]	[m]	[Pa/m]	n.	-	-	-	[m/s]	[Pa]	[Pa]
2822	11RA	45	98	98	98	0	0	ASH6_26	0.125	0.332	1.020	1.7	1.74	15.39
1107	310C	45	98	98	98	0.07	0.57					1.7	1.74	0.04
1109	079C	45	98	98	98	0	0	3.1	1.520		0.046	1.7	1.74	0.07
2853	273C	45	75	0	0	0.02	0	5.1	30.000	1.710	0.050	2.8	4.72	0.24
1110	310C	45	75	0	0	0.3	2.03					2.8	4.72	0.61
2852	023C	45	75	0	0	0.02	0	4.1	30.000	1.710	0.320	2.8	4.72	1.54
1112	05LC	45	98	98	98	0	0	MC4				1.7	1.74	16.35

Pérdida de carga acumulada del segmento	Δp_t	[Pa]	: 17.89
Velocidad en la sección inicial del segmento	V_m	[m/s]	: 5
Velocidad en la sección final del segmento	V_v	[m/s]	: 1.7
Recuperación de presión estática del segmento	Δp_r	[Pa]	: 13.31
Pérdida de carga acumulada del segmento, considerando la recuperación	Δp_{tn}	[Pa]	: 5.03
Pérdida de carga acumulada neta – total acumulado	$\Sigma \Delta p_{tn}$	[Pa]	: 161.3
Desequilibrio del terminal respecto al camino más desfavorable	Δp_{Tmr}	[Pa]	: 34.57

SEGMENTO 287:

Tipo: Tramo

1 ELEMENTO		2 Caudal Q	3 Diam. D/D _e	4 Ancho A	5 Alto B	6 Long. L	7 $\Delta p/L$	8 Fuente Tab	9 Ashrae X	10 Ashrae Y	11 Coeff. C _o	12 Veloc. V	13 P.Dinám P _v	14 Pérdida Δp_r o Δp_e
---------------	--	------------------	--------------------------------	-----------------	----------------	-----------------	-------------------	--------------------	------------------	-------------------	--------------------------------	-------------------	---------------------------------	--

N. pz.	Cod.	[m³/h]	[mm]	[mm]	[mm]	[m]	[Pa/m]	n.	-	-	-	[m/s]	[Pa]	[Pa]
2823	11RA	315	152	200	100	0	0	ASH6_26M	0.875		0.012	4.4	11.65	0.19
2826	283R	315	133	150	100	0.14	0	5.1	30.000	1.330	0.050	5.8	20.25	1.02
1058	310R	315	133	150	100	0.6	4.32					5.8	20.25	2.59

Pérdida de carga acumulada del segmento	Δp_t	[Pa]	: 3.8
Velocidad en la sección inicial del segmento	V_m	[m/s]	: 5
Velocidad en la sección final del segmento	V_v	[m/s]	: 5.8
Recuperación de presión estática del segmento	Δp_r	[Pa]	: -5.2
Pérdida de carga acumulada del segmento, considerando la recuperación	Δp_{tm}	[Pa]	: 9.24
Pérdida de carga acumulada neta – total acumulado	$\Sigma \Delta p_{tm}$	[Pa]	: 149.16

SEGMENTO 286:

Tipo: Terminal TRM-46

1 ELEMENTO		2 Caudal Q	3 Diam. D/D _e	4 Ancho A	5 Alto B	6 Long. L	7 $\Delta p/L$	8 Fuente Tab	9 Ashrae X	10 Ashrae Y	11 Coeff. C _o	12 Veloc. V	13 P.Dinám P _v	14 Pérdida Δp_r o Δp_e
N. pz.	Cod.	[m³/h]	[mm]	[mm]	[mm]	[m]	[Pa/m]	n.	-	-	-	[m/s]	[Pa]	[Pa]
2824	11RA	45	98	98	98	0	0	ASH6_26	0.143	0.284	1.030	1.7	1.74	21.15
1101	310C	45	98	98	98	0.07	0.57					1.7	1.74	0.04
1103	079C	45	98	98	98	0	0	3.1	1.520		0.046	1.7	1.74	0.07
2851	273C	45	75	0	0	0.02	0	5.1	30.000	1.710	0.050	2.8	4.72	0.24
1104	310C	45	75	0	0	0.3	2.03					2.8	4.72	0.61
2850	023C	45	75	0	0	0.02	0	4.1	30.000	1.710	0.320	2.8	4.72	1.54
1106	05LC	45	98	98	98	0	0	MC4				1.7	1.74	16.35

Pérdida de carga acumulada del segmento	Δp_t	[Pa]	: 23.65
Velocidad en la sección inicial del segmento	V_m	[m/s]	: 5.8
Velocidad en la sección final del segmento	V_v	[m/s]	: 1.7
Recuperación de presión estática del segmento	Δp_r	[Pa]	: 18.51
Pérdida de carga acumulada del segmento, considerando la recuperación	Δp_{tm}	[Pa]	: 5.35
Pérdida de carga acumulada neta – total acumulado	$\Sigma \Delta p_{tm}$	[Pa]	: 170.86
Desequilibrio del terminal respecto al camino más desfavorable	Δp_{Tmr}	[Pa]	: 25.01

SEGMENTO 285:

Tipo: Tramo

1 ELEMENTO		2 Caudal Q	3 Diam. D/D _e	4 Ancho A	5 Alto B	6 Long. L	7 $\Delta p/L$	8 Fuente Tab	9 Ashrae X	10 Ashrae Y	11 Coeff. C _o	12 Veloc. V	13 P.Dinám P _v	14 Pérdida Δp_r o Δp_e
N. pz.	Cod.	[m³/h]	[mm]	[mm]	[mm]	[m]	[Pa/m]	n.	-	-	-	[m/s]	[Pa]	[Pa]
2825	11RA	270	133	150	100	0	0	ASH6_26M	0.857		0.014	5	15.05	0.29
1059	310R	270	133	150	100	0.6	3.23					5	15.05	1.94

Pérdida de carga acumulada del segmento	Δp_t	[Pa]	: 2.23
Velocidad en la sección inicial del segmento	V_m	[m/s]	: 5.8
Velocidad en la sección final del segmento	V_v	[m/s]	: 5
Recuperación de presión estática del segmento	Δp_r	[Pa]	: 5.2
Pérdida de carga acumulada del segmento, considerando la recuperación	Δp_{tm}	[Pa]	: -3.2
Pérdida de carga acumulada neta – total acumulado	$\Sigma \Delta p_{tm}$	[Pa]	: 145.96

SEGMENTO 284:

Tipo: Terminal TRM-46

1 ELEMENTO		2 Caudal Q	3 Diam. D/D _e	4 Ancho A	5 Alto B	6 Long. L	7 $\Delta p/L$	8 Fuente Tab	9 Ashrae X	10 Ashrae Y	11 Coeff. C _o	12 Veloc. V	13 P.Dinám P _v	14 Pérdida Δp_r o Δp_e
N. pz.	Cod.	[m³/h]	[mm]	[mm]	[mm]	[m]	[Pa/m]	n.	-	-	-	[m/s]	[Pa]	[Pa]
2827	11RA	45	98	98	98	0	0	ASH6_26	0.167	0.332	1.050	1.7	1.74	15.79
1095	310C	45	98	98	98	0.07	0.57					1.7	1.74	0.04
1097	079C	45	98	98	98	0	0	3.1	1.520		0.046	1.7	1.74	0.07
2849	273C	45	75	0	0	0.02	0	5.1	30.000	1.710	0.050	2.8	4.72	0.24
1098	310C	45	75	0	0	0.3	2.03					2.8	4.72	0.61
2848	023C	45	75	0	0	0.02	0	4.1	30.000	1.710	0.320	2.8	4.72	1.54
1100	05LC	45	98	98	98	0	0	MC4				1.7	1.74	16.35

Pérdida de carga acumulada del segmento	Δp_t	[Pa]	: 18.29
Velocidad en la sección inicial del segmento	V_m	[m/s]	: 5
Velocidad en la sección final del segmento	V_v	[m/s]	: 1.7
Recuperación de presión estática del segmento	Δp_r	[Pa]	: 13.31
Pérdida de carga acumulada del segmento, considerando la recuperación	Δp_{tm}	[Pa]	: 5.42
Pérdida de carga acumulada neta – total acumulado	$\Sigma \Delta p_{tm}$	[Pa]	: 167.73
Desequilibrio del terminal respecto al camino más desfavorable	Δp_{Tmr}	[Pa]	: 28.14

SEGMENTO 283:

Tipo: Tramo

1 ELEMENTO		2 Caudal Q	3 Diam. D/D _e	4 Ancho A	5 Alto B	6 Long. L	7 $\Delta p/L$	8 Fuente Tab	9 Ashrae X	10 Ashrae Y	11 Coeff. C _o	12 Veloc. V	13 P.Dinám P _v	14 Pérdida Δp_r o Δp_e
N. pz.	Cod.	[m³/h]	[mm]	[mm]	[mm]	[m]	[Pa/m]	n.	-	-	-	[m/s]	[Pa]	[Pa]
2828	11RA	225	133	150	100	0	0	ASH6_26M	0.833		0.017	4.2	10.62	0.25
1060	310R	225	133	150	100	0.6	2.3					4.2	10.62	1.38

Pérdida de carga acumulada del segmento	Δp_t	[Pa]	: 1.64
Velocidad en la sección inicial del segmento	V_m	[m/s]	: 5
Velocidad en la sección final del segmento	V_v	[m/s]	: 4.2
Recuperación de presión estática del segmento	Δp_r	[Pa]	: 4.43
Pérdida de carga acumulada del segmento, considerando la recuperación	Δp_{tm}	[Pa]	: -2.96
Pérdida de carga acumulada neta – total acumulado	$\Sigma \Delta p_{tm}$	[Pa]	: 143

SEGMENTO 282:

Tipo: Terminal TRM-46

1 ELEMENTO		2 Caudal Q	3 Diam. D/D _e	4 Ancho A	5 Alto B	6 Long. L	7 $\Delta p/L$	8 Fuente Tab	9 Ashrae X	10 Ashrae Y	11 Coeff. C _o	12 Veloc. V	13 P.Dinám P _v	14 Pérdida Δp_r o Δp_e
N. pz.	Cod.	[m³/h]	[mm]	[mm]	[mm]	[m]	[Pa/m]	n.	-	-	-	[m/s]	[Pa]	[Pa]
2829	11RA	45	98	98	98	0	0	ASH6_26	0.200	0.398	1.070	1.7	1.74	11.18
1089	310C	45	98	98	98	0.07	0.57					1.7	1.74	0.04
1091	079C	45	98	98	98	0	0	3.1	1.520		0.046	1.7	1.74	0.07
2847	273C	45	75	0	0	0.02	0	5.1	30.000	1.710	0.050	2.8	4.72	0.24
1092	310C	45	75	0	0	0.3	2.03					2.8	4.72	0.61
2846	023C	45	75	0	0	0.02	0	4.1	30.000	1.710	0.320	2.8	4.72	1.54
1094	05LC	45	98	98	98	0	0	MC4				1.7	1.74	16.35

Pérdida de carga acumulada del segmento	Δp_t	[Pa]	: 13.69
Velocidad en la sección inicial del segmento	V_m	[m/s]	: 4.2
Velocidad en la sección final del segmento	V_v	[m/s]	: 1.7

Recuperación de presión estática del segmento	Δp_r	[Pa]	: 8.88
Pérdida de carga acumulada del segmento, considerando la recuperación	Δp_{tn}	[Pa]	: 5.42
Pérdida de carga acumulada neta – total acumulado	$\Sigma \Delta p_{tn}$	[Pa]	: 164.76
Desequilibrio del terminal respecto al camino más desfavorable	Δp_{Tmr}	[Pa]	: 31.1

SEGMENTO 281:

Tipo: Tramo

1 ELEMENTO		2 Caudal Q	3 Diam. D/D _e	4 Ancho A	5 Alto B	6 Long. L	7 $\Delta p/L$	8 Fuente Tab	9 Ashrae X	10 Ashrae Y	11 Coeff. C _o	12 Veloc. V	13 P.Dinám P _v	14 Pérdida Δp_r o Δp_e
N. pz.	Cod.	[m³/h]	[mm]	[mm]	[mm]	[m]	[Pa/m]	n.	-	-	-	[m/s]	[Pa]	[Pa]
2830	11RA	180	133	150	100	0	0	ASH6_26M	0.800		0.020	3.3	6.56	0.21
2833	283R	180	109	100	100	0.14	0	5.1	30.000	1.500	0.050	5	15.05	0.75
1061	310R	180	109	100	100	0.6	4.08					5	15.05	2.45

Pérdida de carga acumulada del segmento	Δp_t	[Pa]	: 3.41
Velocidad en la sección inicial del segmento	V_m	[m/s]	: 4.2
Velocidad en la sección final del segmento	V_v	[m/s]	: 5
Recuperación de presión estática del segmento	Δp_r	[Pa]	: -4.43
Pérdida de carga acumulada del segmento, considerando la recuperación	Δp_{tn}	[Pa]	: 8.01
Pérdida de carga acumulada neta – total acumulado	$\Sigma \Delta p_{tn}$	[Pa]	: 151.01

SEGMENTO 280:

Tipo: Terminal TRM-46

1 ELEMENTO		2 Caudal Q	3 Diam. D/D _e	4 Ancho A	5 Alto B	6 Long. L	7 $\Delta p/L$	8 Fuente Tab	9 Ashrae X	10 Ashrae Y	11 Coeff. C _o	12 Veloc. V	13 P.Dinám P _v	14 Pérdida Δp_r o Δp_e
N. pz.	Cod.	[m³/h]	[mm]	[mm]	[mm]	[m]	[Pa/m]	n.	-	-	-	[m/s]	[Pa]	[Pa]
2831	11RA	45	98	98	98	0	0	ASH6_26	0.250	0.332	1.080	1.7	1.74	16.18
1083	310C	45	98	98	98	0.07	0.57					1.7	1.74	0.04
1085	079C	45	98	98	98	0	0	3.1	1.520		0.046	1.7	1.74	0.07
2845	273C	45	75	0	0	0.02	0	5.1	30.000	1.710	0.050	2.8	4.72	0.24
1086	310C	45	75	0	0	0.3	2.03					2.8	4.72	0.61
2844	023C	45	75	0	0	0.02	0	4.1	30.000	1.710	0.320	2.8	4.72	1.54
1088	05LC	45	98	98	98	0	0	MC4				1.7	1.74	16.35

Pérdida de carga acumulada del segmento	Δp_t	[Pa]	: 18.68
Velocidad en la sección inicial del segmento	V_m	[m/s]	: 5
Velocidad en la sección final del segmento	V_v	[m/s]	: 1.7
Recuperación de presión estática del segmento	Δp_r	[Pa]	: 13.31
Pérdida de carga acumulada del segmento, considerando la recuperación	Δp_{tn}	[Pa]	: 5.82
Pérdida de carga acumulada neta – total acumulado	$\Sigma \Delta p_{tn}$	[Pa]	: 173.18
Desequilibrio del terminal respecto al camino más desfavorable	Δp_{Tmr}	[Pa]	: 22.69

SEGMENTO 279:

Tipo: Tramo

1 ELEMENTO		2 Caudal Q	3 Diam. D/D _e	4 Ancho A	5 Alto B	6 Long. L	7 $\Delta p/L$	8 Fuente Tab	9 Ashrae X	10 Ashrae Y	11 Coeff. C _o	12 Veloc. V	13 P.Dinám P _v	14 Pérdida Δp_r o Δp_e
N. pz.	Cod.	[m³/h]	[mm]	[mm]	[mm]	[m]	[Pa/m]	n.	-	-	-	[m/s]	[Pa]	[Pa]
2832	11RA	135	109	100	100	0	0	ASH6_26M	0.750		0.030	3.7	8.24	0.45
1062	310R	135	109	100	100	0.6	2.4					3.7	8.24	1.44

Pérdida de carga acumulada del segmento	Δp_t	[Pa]	: 1.89
Velocidad en la sección inicial del segmento	V_m	[m/s]	: 5
Velocidad en la sección final del segmento	V_v	[m/s]	: 3.7
Recuperación de presión estática del segmento	Δp_r	[Pa]	: 6.81
Pérdida de carga acumulada del segmento, considerando la recuperación	Δp_{tm}	[Pa]	: -4.69
Pérdida de carga acumulada neta – total acumulado	$\Sigma \Delta p_{tm}$	[Pa]	: 146.32

SEGMENTO 278:

Tipo: Terminal TRM-46

1 ELEMENTO		2 Caudal Q	3 Diam. D/D _e	4 Ancho A	5 Alto B	6 Long. L	7 $\Delta p/L$	8 Fuente Tab	9 Ashrae X	10 Ashrae Y	11 Coeff. C _o	12 Veloc. V	13 P.Dinám P _v	14 Pérdida Δp_r o Δp_c
N. pz.	Cod.	[m³/h]	[mm]	[mm]	[mm]	[m]	[Pa/m]	n.	-	-	-	[m/s]	[Pa]	[Pa]
2834	11RA	45	98	98	98	0	0	ASH6_26	0.333	0.442	1.100	1.7	1.74	9.28
1077	310C	45	98	98	98	0.07	0.57					1.7	1.74	0.04
1079	079C	45	98	98	98	0	0	3.1	1.520		0.046	1.7	1.74	0.07
2843	273C	45	75	0	0	0.02	0	5.1	30.000	1.710	0.050	2.8	4.72	0.24
1080	310C	45	75	0	0	0.3	2.03					2.8	4.72	0.61
2842	023C	45	75	0	0	0.02	0	4.1	30.000	1.710	0.320	2.8	4.72	1.54
1082	05LC	45	98	98	98	0	0	MC4				1.7	1.74	16.35

Pérdida de carga acumulada del segmento	Δp_t	[Pa]	: 11.79
Velocidad en la sección inicial del segmento	V_m	[m/s]	: 3.7
Velocidad en la sección final del segmento	V_v	[m/s]	: 1.7
Recuperación de presión estática del segmento	Δp_r	[Pa]	: 6.5
Pérdida de carga acumulada del segmento, considerando la recuperación	Δp_{tm}	[Pa]	: 5.51
Pérdida de carga acumulada neta – total acumulado	$\Sigma \Delta p_{tm}$	[Pa]	: 168.17
Desequilibrio del terminal respecto al camino más desfavorable	Δp_{Tmr}	[Pa]	: 27.7

SEGMENTO 277:

Tipo: Tramo

1 ELEMENTO		2 Caudal Q	3 Diam. D/D _e	4 Ancho A	5 Alto B	6 Long. L	7 $\Delta p/L$	8 Fuente Tab	9 Ashrae X	10 Ashrae Y	11 Coeff. C _o	12 Veloc. V	13 P.Dinám P _v	14 Pérdida Δp_r o Δp_c
N. pz.	Cod.	[m³/h]	[mm]	[mm]	[mm]	[m]	[Pa/m]	n.	-	-	-	[m/s]	[Pa]	[Pa]
2835	11RA	90	109	100	100	0	0	ASH6_26M	0.667		0.047	2.5	3.76	0.4
1063	310R	90	109	100	100	0.6	1.13					2.5	3.76	0.68

Pérdida de carga acumulada del segmento	Δp_t	[Pa]	: 1.07
Velocidad en la sección inicial del segmento	V_m	[m/s]	: 3.7
Velocidad en la sección final del segmento	V_v	[m/s]	: 2.5
Recuperación de presión estática del segmento	Δp_r	[Pa]	: 4.48
Pérdida de carga acumulada del segmento, considerando la recuperación	Δp_{tm}	[Pa]	: -3.63
Pérdida de carga acumulada neta – total acumulado	$\Sigma \Delta p_{tm}$	[Pa]	: 142.69

SEGMENTO 276:

Tipo: Terminal TRM-46

1 ELEMENTO		2 Caudal Q	3 Diam. D/D _e	4 Ancho A	5 Alto B	6 Long. L	7 $\Delta p/L$	8 Fuente Tab	9 Ashrae X	10 Ashrae Y	11 Coeff. C _o	12 Veloc. V	13 P.Dinám P _v	14 Pérdida Δp_r o Δp_c
---------------	--	------------------	--------------------------------	-----------------	----------------	-----------------	-------------------	--------------------	------------------	-------------------	--------------------------------	-------------------	---------------------------------	--

N. pz.	Cod.	[m³/h]	[mm]	[mm]	[mm]	[m]	[Pa/m]	n.	-	-	-	[m/s]	[Pa]	[Pa]
2836	11RA	45	98	98	98	0	0	ASH6_26	0.500	0.663	1.260	1.7	1.74	4.74
1071	310C	45	98	98	98	0.07	0.57					1.7	1.74	0.04
1073	079C	45	98	98	98	0	0	3.1	1.520		0.046	1.7	1.74	0.07
2841	273C	45	75	0	0	0.02	0	5.1	30.000	1.710	0.050	2.8	4.72	0.24
1074	310C	45	75	0	0	0.3	2.03					2.8	4.72	0.61
2840	023C	45	75	0	0	0.02	0	4.1	30.000	1.710	0.320	2.8	4.72	1.54
1076	05LC	45	98	98	98	0	0	MC4				1.7	1.74	16.35

Pérdida de carga acumulada del segmento	Δp_t	[Pa]	: 7.25
Velocidad en la sección inicial del segmento	V_m	[m/s]	: 2.5
Velocidad en la sección final del segmento	V_v	[m/s]	: 1.7
Recuperación de presión estática del segmento	Δp_r	[Pa]	: 2.02
Pérdida de carga acumulada del segmento, considerando la recuperación	Δp_{tm}	[Pa]	: 5.67
Pérdida de carga acumulada neta – total acumulado	$\Sigma \Delta p_{tm}$	[Pa]	: 164.7
Desequilibrio del terminal respecto al camino más desfavorable	Δp_{Tmr}	[Pa]	: 31.17

SEGMENTO 275:

Tipo: Terminal TRM-46

1 ELEMENTO		2 Caudal Q	3 Diam. D/D _e	4 Ancho A	5 Alto B	6 Long. L	7 $\Delta p/L$	8 Fuente Tab	9 Ashrae X	10 Ashrae Y	11 Coeff. C _o	12 Veloc. V	13 P.Dinám P _v	14 Pérdida Δp_r o Δp_c
N. pz.	Cod.	[m³/h]	[mm]	[mm]	[mm]	[m]	[Pa/m]	n.	-	-	-	[m/s]	[Pa]	[Pa]
2837	11RA	45	109	100	100	0	0	ASH6_26M	0.500		0.090	1.2	0.87	0.34
1064	310R	45	109	100	100	0.6	0.32					1.2	0.87	0.19
1055	11RAT	45	109	100	100	0	0	2_6	1.000	0.917	2.800	1.2	0.87	4.63
1065	310C	45	98	98	98	0.07	0.57					1.7	1.74	0.04
1067	079C	45	98	98	98	0	0	3.1	1.520		0.046	1.7	1.74	0.07
2839	023C	45	98	98	98	0	0	4.1	30.000	1.040	0.320	1.7	1.74	0.53
1068	310C	45	100	0	0	0.3	0.5					1.6	1.54	0.15
2838	273C	45	98	98	98	0	0	5.1	30.000	1.040	0.050	1.7	1.74	0.08
1070	05LC	45	98	98	98	0	0	MC4				1.7	1.74	16.35

Pérdida de carga acumulada del segmento	Δp_t	[Pa]	: 6.04
Velocidad en la sección inicial del segmento	V_m	[m/s]	: 2.5
Velocidad en la sección final del segmento	V_v	[m/s]	: 1.7
Recuperación de presión estática del segmento	Δp_r	[Pa]	: 2.02
Pérdida de carga acumulada del segmento, considerando la recuperación	Δp_{tm}	[Pa]	: 3.93
Pérdida de carga acumulada neta – total acumulado	$\Sigma \Delta p_{tm}$	[Pa]	: 162.96
Desequilibrio del terminal respecto al camino más desfavorable	Δp_{Tmr}	[Pa]	: 32.9

SEGMENTO 313:

Tipo: Tramo

1 ELEMENTO		2 Caudal Q	3 Diam. D/D _e	4 Ancho A	5 Alto B	6 Long. L	7 $\Delta p/L$	8 Fuente Tab	9 Ashrae X	10 Ashrae Y	11 Coeff. C _o	12 Veloc. V	13 P.Dinám P _v	14 Pérdida Δp_r o Δp_c
N. pz.	Cod.	[m³/h]	[mm]	[mm]	[mm]	[m]	[Pa/m]	n.	-	-	-	[m/s]	[Pa]	[Pa]
2815	3736	6300	653	650	550	0	0	MC4	0.875		0.060	4.9	14.45	0.87
2899	283R	6300	622	650	500	0.19	0	5.1	30.000	1.100	0.050	5.4	17.55	0.02
1197	310R	6300	622	650	500	1	0.55					5.4	17.55	0.55

Pérdida de carga acumulada del segmento	Δp_t	[Pa]	: 1.44
Velocidad en la sección inicial del segmento	V_m	[m/s]	: 4
Velocidad en la sección final del segmento	V_v	[m/s]	: 5.5
Recuperación de presión estática del segmento	Δp_r	[Pa]	: -8.58

Pérdida de carga acumulada del segmento, considerando la recuperación
Pérdida de carga acumulada neta – total acumulado

Δp_{tn} [Pa] : 10.69
 $\Sigma \Delta p_{tn}$ [Pa] : 130.05

SEGMENTO 333:

Tipo: Tramo

1 ELEMENTO		2 Caudal Q	3 Diam. D/D _e	4 Ancho A	5 Alto B	6 Long. L	7 $\Delta p/L$	8 Fuente Tab	9 Ashrae X	10 Ashrae Y	11 Coeff. C _o	12 Veloc. V	13 P.Dinám P _v	14 Pérdida Δp_r o Δp_c
N. pz.	Cod.	[m³/h]	[mm]	[mm]	[mm]	[m]	[Pa/m]	n.	-	-	-	[m/s]	[Pa]	[Pa]
2897	3736	450	287	150	500	0	0	MC4	0.071	0.231	6.800	1.7	1.74	11.84
2944	283R	450	164	150	150	0.71	0	5.1	30.000	3.330	0.043	5.6	18.88	0.87
1272	310R	450	164	150	150	1.1	2.95					5.6	18.88	3.25

Pérdida de carga acumulada del segmento
Velocidad en la sección inicial del segmento
Velocidad en la sección final del segmento
Recuperación de presión estática del segmento
Pérdida de carga acumulada del segmento, considerando la recuperación
Pérdida de carga acumulada neta – total acumulado

Δp_t [Pa] : 15.96
 V_m [m/s] : 5.5
 V_v [m/s] : 3.3
 Δp_r [Pa] : 11.65
 Δp_{tn} [Pa] : 5.57
 $\Sigma \Delta p_{tn}$ [Pa] : 135.63

SEGMENTO 351:

Tipo: Terminal TRM-18

1 ELEMENTO		2 Caudal Q	3 Diam. D/D _e	4 Ancho A	5 Alto B	6 Long. L	7 $\Delta p/L$	8 Fuente Tab	9 Ashrae X	10 Ashrae Y	11 Coeff. C _o	12 Veloc. V	13 P.Dinám P _v	14 Pérdida Δp_r o Δp_c
N. pz.	Cod.	[m³/h]	[mm]	[mm]	[mm]	[m]	[Pa/m]	n.	-	-	-	[m/s]	[Pa]	[Pa]
2942	11RA	45	98	98	98	0	0	ASH6_26	0.100	0.298	1.070	1.7	1.74	7.18
1338	310C	45	98	98	98	0.07	0.57					1.7	1.74	0.04
1340	079C	45	98	98	98	0	0	3.1	1.520		0.046	1.7	1.74	0.07
2980	273C	45	75	0	0	0.02	0	5.1	30.000	1.710	0.050	2.8	4.72	0.24
1341	310C	45	75	0	0	0.3	2.03					2.8	4.72	0.61
2979	023C	45	75	0	0	0.02	0	4.1	30.000	1.710	0.320	2.8	4.72	1.54
1343	05LC	45	98	98	98	0	0	MC4				1.7	1.74	16.35

Pérdida de carga acumulada del segmento
Velocidad en la sección inicial del segmento
Velocidad en la sección final del segmento
Recuperación de presión estática del segmento
Pérdida de carga acumulada del segmento, considerando la recuperación
Pérdida de carga acumulada neta – total acumulado
Desequilibrio del terminal respecto al camino más desfavorable

Δp_t [Pa] : 9.68
 V_m [m/s] : 3.3
 V_v [m/s] : 1.7
 Δp_r [Pa] : 4.82
 Δp_{tn} [Pa] : 5.18
 $\Sigma \Delta p_{tn}$ [Pa] : 157.15
 Δp_{Tmr} [Pa] : 38.72

SEGMENTO 350:

Tipo: Tramo

1 ELEMENTO		2 Caudal Q	3 Diam. D/D _e	4 Ancho A	5 Alto B	6 Long. L	7 $\Delta p/L$	8 Fuente Tab	9 Ashrae X	10 Ashrae Y	11 Coeff. C _o	12 Veloc. V	13 P.Dinám P _v	14 Pérdida Δp_r o Δp_c
N. pz.	Cod.	[m³/h]	[mm]	[mm]	[mm]	[m]	[Pa/m]	n.	-	-	-	[m/s]	[Pa]	[Pa]
2943	11RA	405	164	150	150	0	0	ASH6_26M	0.900		0.010	5	15.05	0.07
1275	310R	405	164	150	150	0.6	2.43					5	15.05	1.46

Pérdida de carga acumulada del segmento

Δp_t [Pa] : 1.52

Velocidad en la sección inicial del segmento	V_m	[m/s]	: 3.3
Velocidad en la sección final del segmento	V_v	[m/s]	: 3
Recuperación de presión estática del segmento	Δp_r	[Pa]	: 1.14
Pérdida de carga acumulada del segmento, considerando la recuperación	Δp_{tn}	[Pa]	: 1.76
Pérdida de carga acumulada neta – total acumulado	$\Sigma \Delta p_{tn}$	[Pa]	: 137.39

SEGMENTO 349:

Tipo: Terminal TRM-19

1 ELEMENTO		2 Caudal Q	3 Diam. D/D _e	4 Ancho A	5 Alto B	6 Long. L	7 $\Delta p/L$	8 Fuente Tab	9 Ashrae X	10 Ashrae Y	11 Coeff. C _o	12 Veloc. V	13 P.Dinám P _v	14 Pérdida Δp_r o Δp_c
N. pz.	Cod.	[m³/h]	[mm]	[mm]	[mm]	[m]	[Pa/m]	n.	-	-	-	[m/s]	[Pa]	[Pa]
2945	11RA	45	98	98	98	0	0	ASH6_26	0.111	0.332	1.110	1.7	1.74	6
1332	310C	45	98	98	98	0.07	0.57					1.7	1.74	0.04
1334	079C	45	98	98	98	0	0	3.1	1.520		0.046	1.7	1.74	0.07
2978	273C	45	75	0	0	0.02	0	5.1	30.000	1.710	0.050	2.8	4.72	0.24
1335	310C	45	75	0	0	0.3	2.03					2.8	4.72	0.61
2977	023C	45	75	0	0	0.02	0	4.1	30.000	1.710	0.320	2.8	4.72	1.54
1337	05LC	45	98	98	98	0	0	MC4				1.7	1.74	16.35

Pérdida de carga acumulada del segmento	Δp_t	[Pa]	: 8.51
Velocidad en la sección inicial del segmento	V_m	[m/s]	: 3
Velocidad en la sección final del segmento	V_v	[m/s]	: 1.7
Recuperación de presión estática del segmento	Δp_r	[Pa]	: 3.68
Pérdida de carga acumulada del segmento, considerando la recuperación	Δp_{tn}	[Pa]	: 5.27
Pérdida de carga acumulada neta – total acumulado	$\Sigma \Delta p_{tn}$	[Pa]	: 159
Desequilibrio del terminal respecto al camino más desfavorable	Δp_{Tmr}	[Pa]	: 36.87

SEGMENTO 348:

Tipo: Tramo

1 ELEMENTO		2 Caudal Q	3 Diam. D/D _e	4 Ancho A	5 Alto B	6 Long. L	7 $\Delta p/L$	8 Fuente Tab	9 Ashrae X	10 Ashrae Y	11 Coeff. C _o	12 Veloc. V	13 P.Dinám P _v	14 Pérdida Δp_r o Δp_c
N. pz.	Cod.	[m³/h]	[mm]	[mm]	[mm]	[m]	[Pa/m]	n.	-	-	-	[m/s]	[Pa]	[Pa]
2946	11RA	360	164	150	150	0	0	ASH6_26M	0.889		0.011	4.4	11.65	0.06
1276	310R	360	164	150	150	0.6	1.95					4.4	11.65	1.17

Pérdida de carga acumulada del segmento	Δp_t	[Pa]	: 1.23
Velocidad en la sección inicial del segmento	V_m	[m/s]	: 3
Velocidad en la sección final del segmento	V_v	[m/s]	: 2.7
Recuperación de presión estática del segmento	Δp_r	[Pa]	: 1.03
Pérdida de carga acumulada del segmento, considerando la recuperación	Δp_{tn}	[Pa]	: 1.28
Pérdida de carga acumulada neta – total acumulado	$\Sigma \Delta p_{tn}$	[Pa]	: 138.67

SEGMENTO 347:

Tipo: Terminal TRM-20

1 ELEMENTO		2 Caudal Q	3 Diam. D/D _e	4 Ancho A	5 Alto B	6 Long. L	7 $\Delta p/L$	8 Fuente Tab	9 Ashrae X	10 Ashrae Y	11 Coeff. C _o	12 Veloc. V	13 P.Dinám P _v	14 Pérdida Δp_r o Δp_c
N. pz.	Cod.	[m³/h]	[mm]	[mm]	[mm]	[m]	[Pa/m]	n.	-	-	-	[m/s]	[Pa]	[Pa]
2947	11RA	45	98	98	98	0	0	ASH6_26	0.125	0.373	1.140	1.7	1.74	4.88
1326	310C	45	98	98	98	0.07	0.57					1.7	1.74	0.04

1328	079C	45	98	98	98	0	0	3.1	1.520		0.046	1.7	1.74	0.07
2976	273C	45	75	0	0	0.02	0	5.1	30.000	1.710	0.050	2.8	4.72	0.24
1329	310C	45	75	0	0	0.3	2.03					2.8	4.72	0.61
2975	023C	45	75	0	0	0.02	0	4.1	30.000	1.710	0.320	2.8	4.72	1.54
1331	05LC	45	98	98	98	0	0	MC4				1.7	1.74	16.35

Pérdida de carga acumulada del segmento	Δp_t	[Pa]	: 7.38
Velocidad en la sección inicial del segmento	V_m	[m/s]	: 2.7
Velocidad en la sección final del segmento	V_v	[m/s]	: 1.7
Recuperación de presión estática del segmento	Δp_r	[Pa]	: 2.65
Pérdida de carga acumulada del segmento, considerando la recuperación	Δp_{tn}	[Pa]	: 5.28
Pérdida de carga acumulada neta – total acumulado	$\Sigma \Delta p_{tn}$	[Pa]	: 160.3
Desequilibrio del terminal respecto al camino más desfavorable	Δp_{Tmr}	[Pa]	: 35.57

SEGMENTO 346:

Tipo: Tramo

1 ELEMENTO		2 Caudal Q	3 Diam. D/D _e	4 Ancho A	5 Alto B	6 Long. L	7 $\Delta p/L$	8 Fuente Tab	9 Ashrae X	10 Ashrae Y	11 Coeff. C _o	12 Veloc. V	13 P.Dinám P _v	14 Pérdida Δp_r o Δp_e
N. pz.	Cod.	[m³/h]	[mm]	[mm]	[mm]	[m]	[Pa/m]	n.	-	-	-	[m/s]	[Pa]	[Pa]
2948	11RA	315	164	150	150	0	0	ASH6_26M	0.875		0.012	3.9	9.16	0.05
1277	310R	315	164	150	150	0.6	1.52					3.9	9.16	0.91

Pérdida de carga acumulada del segmento	Δp_t	[Pa]	: 0.97
Velocidad en la sección inicial del segmento	V_m	[m/s]	: 2.7
Velocidad en la sección final del segmento	V_v	[m/s]	: 2.3
Recuperación de presión estática del segmento	Δp_r	[Pa]	: 1.2
Pérdida de carga acumulada del segmento, considerando la recuperación	Δp_{tn}	[Pa]	: 0.87
Pérdida de carga acumulada neta – total acumulado	$\Sigma \Delta p_{tn}$	[Pa]	: 139.54

SEGMENTO 345:

Tipo: Terminal TRM-21

1 ELEMENTO		2 Caudal Q	3 Diam. D/D _e	4 Ancho A	5 Alto B	6 Long. L	7 $\Delta p/L$	8 Fuente Tab	9 Ashrae X	10 Ashrae Y	11 Coeff. C _o	12 Veloc. V	13 P.Dinám P _v	14 Pérdida Δp_r o Δp_e
N. pz.	Cod.	[m³/h]	[mm]	[mm]	[mm]	[m]	[Pa/m]	n.	-	-	-	[m/s]	[Pa]	[Pa]
2949	11RA	45	98	98	98	0	0	ASH6_26	0.143	0.426	1.190	1.7	1.74	3.88
1320	310C	45	98	98	98	0.07	0.57					1.7	1.74	0.04
1322	079C	45	98	98	98	0	0	3.1	1.520		0.046	1.7	1.74	0.07
2974	273C	45	75	0	0	0.02	0	5.1	30.000	1.710	0.050	2.8	4.72	0.24
1323	310C	45	75	0	0	0.3	2.03					2.8	4.72	0.61
2973	023C	45	75	0	0	0.02	0	4.1	30.000	1.710	0.320	2.8	4.72	1.54
1325	05LC	45	98	98	98	0	0	MC4				1.7	1.74	16.35

Pérdida de carga acumulada del segmento	Δp_t	[Pa]	: 6.39
Velocidad en la sección inicial del segmento	V_m	[m/s]	: 2.3
Velocidad en la sección final del segmento	V_v	[m/s]	: 1.7
Recuperación de presión estática del segmento	Δp_r	[Pa]	: 1.44
Pérdida de carga acumulada del segmento, considerando la recuperación	Δp_{tn}	[Pa]	: 5.29
Pérdida de carga acumulada neta – total acumulado	$\Sigma \Delta p_{tn}$	[Pa]	: 161.18
Desequilibrio del terminal respecto al camino más desfavorable	Δp_{Tmr}	[Pa]	: 34.69

SEGMENTO 344:

Tipo: Tramo

1 ELEMENTO		2 Caudal Q	3 Diam. D/D _e	4 Ancho A	5 Alto B	6 Long. L	7 $\Delta p/L$	8 Fuente Tab	9 Ashrae X	10 Ashrae Y	11 Coeff. C _o	12 Veloc. V	13 P.Dinám P _v	14 Pérdida Δp_r o Δp_e
N. pz.	Cod.	[m³/h]	[mm]	[mm]	[mm]	[m]	[Pa/m]	n.	-	-	-	[m/s]	[Pa]	[Pa]
2950	11RA	270	164	150	150	0	0	ASH6_26M	0.857		0.014	3.3	6.56	0.05
1278	310R	270	164	150	150	0.6	1.15					3.3	6.56	0.69

Pérdida de carga acumulada del segmento	Δp_t	[Pa] : 0.73
Velocidad en la sección inicial del segmento	V_m	[m/s] : 2.3
Velocidad en la sección final del segmento	V_v	[m/s] : 2
Recuperación de presión estática del segmento	Δp_r	[Pa] : 0.78
Pérdida de carga acumulada del segmento, considerando la recuperación	Δp_{tm}	[Pa] : 0.53
Pérdida de carga acumulada neta – total acumulado	$\Sigma \Delta p_{tm}$	[Pa] : 140.07

SEGMENTO 343:

Tipo: Terminal TRM-22

1 ELEMENTO		2 Caudal Q	3 Diam. D/D _e	4 Ancho A	5 Alto B	6 Long. L	7 $\Delta p/L$	8 Fuente Tab	9 Ashrae X	10 Ashrae Y	11 Coeff. C _o	12 Veloc. V	13 P.Dinám P _v	14 Pérdida Δp_r o Δp_e
N. pz.	Cod.	[m³/h]	[mm]	[mm]	[mm]	[m]	[Pa/m]	n.	-	-	-	[m/s]	[Pa]	[Pa]
2951	11RA	45	98	98	98	0	0	ASH6_26	0.167	0.497	1.280	1.7	1.74	3.08
1314	310C	45	98	98	98	0.07	0.57					1.7	1.74	0.04
1316	079C	45	98	98	98	0	0	3.1	1.520		0.046	1.7	1.74	0.07
2972	273C	45	75	0	0	0.02	0	5.1	30.000	1.710	0.050	2.8	4.72	0.24
1317	310C	45	75	0	0	0.3	2.03					2.8	4.72	0.61
2971	023C	45	75	0	0	0.02	0	4.1	30.000	1.710	0.320	2.8	4.72	1.54
1319	05LC	45	98	98	98	0	0	MC4				1.7	1.74	16.35

Pérdida de carga acumulada del segmento	Δp_t	[Pa] : 5.59
Velocidad en la sección inicial del segmento	V_m	[m/s] : 2
Velocidad en la sección final del segmento	V_v	[m/s] : 1.7
Recuperación de presión estática del segmento	Δp_r	[Pa] : 0.67
Pérdida de carga acumulada del segmento, considerando la recuperación	Δp_{tm}	[Pa] : 5.36
Pérdida de carga acumulada neta – total acumulado	$\Sigma \Delta p_{tm}$	[Pa] : 161.78
Desequilibrio del terminal respecto al camino más desfavorable	Δp_{Tmr}	[Pa] : 34.09

SEGMENTO 342:

Tipo: Tramo

1 ELEMENTO		2 Caudal Q	3 Diam. D/D _e	4 Ancho A	5 Alto B	6 Long. L	7 $\Delta p/L$	8 Fuente Tab	9 Ashrae X	10 Ashrae Y	11 Coeff. C _o	12 Veloc. V	13 P.Dinám P _v	14 Pérdida Δp_r o Δp_e
N. pz.	Cod.	[m³/h]	[mm]	[mm]	[mm]	[m]	[Pa/m]	n.	-	-	-	[m/s]	[Pa]	[Pa]
2952	11RA	225	164	150	150	0	0	ASH6_26M	0.833		0.017	2.8	4.72	0.04
1279	310R	225	164	150	150	0.6	0.82					2.8	4.72	0.49

Pérdida de carga acumulada del segmento	Δp_t	[Pa] : 0.53
Velocidad en la sección inicial del segmento	V_m	[m/s] : 2
Velocidad en la sección final del segmento	V_v	[m/s] : 3.1
Recuperación de presión estática del segmento	Δp_r	[Pa] : -3.38
Pérdida de carga acumulada del segmento, considerando la recuperación	Δp_{tm}	[Pa] : 4.53
Pérdida de carga acumulada neta – total acumulado	$\Sigma \Delta p_{tm}$	[Pa] : 144.6

SEGMENTO 341:

Tipo: Terminal TRM-22

1 ELEMENTO		2 Caudal Q	3 Diam. D/D _e	4 Ancho A	5 Alto B	6 Long. L	7 $\Delta p/L$	8 Fuente Tab	9 Ashrae X	10 Ashrae Y	11 Coeff. C _o	12 Veloc. V	13 P.Dinám P _v	14 Pérdida Δp_r o Δp_c
N. pz.	Cod.	[m³/h]	[mm]	[mm]	[mm]	[m]	[Pa/m]	n.	-	-	-	[m/s]	[Pa]	[Pa]
2953	11RA	45	98	98	98	0	0	ASH6_26	0.200	0.597	1.090	1.7	1.74	6.41
1308	310C	45	98	98	98	0.07	0.57					1.7	1.74	0.04
1310	079C	45	98	98	98	0	0	3.1	1.520		0.046	1.7	1.74	0.07
2970	273C	45	75	0	0	0.02	0	5.1	30.000	1.710	0.050	2.8	4.72	0.24
1311	310C	45	75	0	0	0.3	2.03					2.8	4.72	0.61
2969	023C	45	75	0	0	0.02	0	4.1	30.000	1.710	0.320	2.8	4.72	1.54
1313	05LC	45	98	98	98	0	0	MC4				1.7	1.74	16.35

Pérdida de carga acumulada del segmento

Δp_t [Pa] : 8.91

Velocidad en la sección inicial del segmento

V_m [m/s] : 3.1

Velocidad en la sección final del segmento

V_v [m/s] : 1.7

Recuperación de presión estática del segmento

Δp_r [Pa] : 4.05

Pérdida de carga acumulada del segmento, considerando la recuperación

Δp_{tn} [Pa] : 5.21

Pérdida de carga acumulada neta – total acumulado

$\Sigma \Delta p_{tn}$ [Pa] : 166.16

Desequilibrio del terminal respecto al camino más desfavorable

Δp_{Tmr} [Pa] : 29.71

SEGMENTO 340:

Tipo: Tramo

1 ELEMENTO		2 Caudal Q	3 Diam. D/D _e	4 Ancho A	5 Alto B	6 Long. L	7 $\Delta p/L$	8 Fuente Tab	9 Ashrae X	10 Ashrae Y	11 Coeff. C _o	12 Veloc. V	13 P.Dinám P _v	14 Pérdida Δp_r o Δp_c
N. pz.	Cod.	[m³/h]	[mm]	[mm]	[mm]	[m]	[Pa/m]	n.	-	-	-	[m/s]	[Pa]	[Pa]
2954	11RA	180	164	150	150	0	0	ASH6_26M	0.800		0.020	2.2	2.91	0.12
1280	310R	180	164	150	150	0.6	0.55					2.2	2.91	0.33

Pérdida de carga acumulada del segmento

Δp_t [Pa] : 0.45

Velocidad en la sección inicial del segmento

V_m [m/s] : 3.1

Velocidad en la sección final del segmento

V_v [m/s] : 2.5

Recuperación de presión estática del segmento

Δp_r [Pa] : 2.02

Pérdida de carga acumulada del segmento, considerando la recuperación

Δp_{tn} [Pa] : -0.35

Pérdida de carga acumulada neta – total acumulado

$\Sigma \Delta p_{tn}$ [Pa] : 144.24

SEGMENTO 339:

Tipo: Terminal TRM-24

1 ELEMENTO		2 Caudal Q	3 Diam. D/D _e	4 Ancho A	5 Alto B	6 Long. L	7 $\Delta p/L$	8 Fuente Tab	9 Ashrae X	10 Ashrae Y	11 Coeff. C _o	12 Veloc. V	13 P.Dinám P _v	14 Pérdida Δp_r o Δp_c
N. pz.	Cod.	[m³/h]	[mm]	[mm]	[mm]	[m]	[Pa/m]	n.	-	-	-	[m/s]	[Pa]	[Pa]
2955	11RA	45	98	98	98	0	0	ASH6_26	0.250	0.746	1.130	1.7	1.74	4.25
1302	310C	45	98	98	98	0.07	0.57					1.7	1.74	0.04
1304	079C	45	98	98	98	0	0	3.1	1.520		0.046	1.7	1.74	0.07
2968	273C	45	75	0	0	0.02	0	5.1	30.000	1.710	0.050	2.8	4.72	0.24
1305	310C	45	75	0	0	0.3	2.03					2.8	4.72	0.61
2967	023C	45	75	0	0	0.02	0	4.1	30.000	1.710	0.320	2.8	4.72	1.54
1307	05LC	45	98	98	98	0	0	MC4				1.7	1.74	16.35

Pérdida de carga acumulada del segmento	Δp_t	[Pa]	: 6.76
Velocidad en la sección inicial del segmento	V_m	[m/s]	: 2.5
Velocidad en la sección final del segmento	V_v	[m/s]	: 1.7
Recuperación de presión estática del segmento	Δp_r	[Pa]	: 2.02
Pérdida de carga acumulada del segmento, considerando la recuperación	Δp_{tn}	[Pa]	: 5.17
Pérdida de carga acumulada neta – total acumulado	$\Sigma \Delta p_{tn}$	[Pa]	: 165.77
Desequilibrio del terminal respecto al camino más desfavorable	Δp_{Tmr}	[Pa]	: 30.1

SEGMENTO 338:

Tipo: Tramo

1 ELEMENTO		2 Caudal Q	3 Diam. D/D _e	4 Ancho A	5 Alto B	6 Long. L	7 $\Delta p/L$	8 Fuente Tab	9 Ashrae X	10 Ashrae Y	11 Coeff. C _o	12 Veloc. V	13 P.Dinám P _v	14 Pérdida $\Delta p_r \circ \Delta p_e$
N. pz.	Cod.	[m³/h]	[mm]	[mm]	[mm]	[m]	[Pa/m]	n.	-	-	-	[m/s]	[Pa]	[Pa]
2956	11RA	135	164	150	150	0	0	ASH6_26M	0.750		0.030	1.7	1.74	0.11
1281	310R	135	164	150	150	0.6	0.32					1.7	1.74	0.19

Pérdida de carga acumulada del segmento	Δp_t	[Pa]	: 0.31
Velocidad en la sección inicial del segmento	V_m	[m/s]	: 2.5
Velocidad en la sección final del segmento	V_v	[m/s]	: 2.5
Recuperación de presión estática del segmento	Δp_r	[Pa]	: 0
Pérdida de carga acumulada del segmento, considerando la recuperación	Δp_{tn}	[Pa]	: 1.13
Pérdida de carga acumulada neta – total acumulado	$\Sigma \Delta p_{tn}$	[Pa]	: 145.37

SEGMENTO 337:

Tipo: Terminal TRM-25

1 ELEMENTO		2 Caudal Q	3 Diam. D/D _e	4 Ancho A	5 Alto B	6 Long. L	7 $\Delta p/L$	8 Fuente Tab	9 Ashrae X	10 Ashrae Y	11 Coeff. C _o	12 Veloc. V	13 P.Dinám P _v	14 Pérdida $\Delta p_r \circ \Delta p_e$
N. pz.	Cod.	[m³/h]	[mm]	[mm]	[mm]	[m]	[Pa/m]	n.	-	-	-	[m/s]	[Pa]	[Pa]
2957	11RA	45	98	98	98	0	0	ASH6_26	0.333	0.995	1.110	1.7	1.74	4.16
1296	310C	45	98	98	98	0.07	0.57					1.7	1.74	0.04
1298	079C	45	98	98	98	0	0	3.1	1.520		0.046	1.7	1.74	0.07
2966	273C	45	75	0	0	0.02	0	5.1	30.000	1.710	0.050	2.8	4.72	0.24
1299	310C	45	75	0	0	0.3	2.03					2.8	4.72	0.61
2965	023C	45	75	0	0	0.02	0	4.1	30.000	1.710	0.320	2.8	4.72	1.54
1301	05LC	45	98	98	98	0	0	MC4				1.7	1.74	16.35

Pérdida de carga acumulada del segmento	Δp_t	[Pa]	: 6.66
Velocidad en la sección inicial del segmento	V_m	[m/s]	: 2.5
Velocidad en la sección final del segmento	V_v	[m/s]	: 1.7
Recuperación de presión estática del segmento	Δp_r	[Pa]	: 2.02
Pérdida de carga acumulada del segmento, considerando la recuperación	Δp_{tn}	[Pa]	: 5.08
Pérdida de carga acumulada neta – total acumulado	$\Sigma \Delta p_{tn}$	[Pa]	: 166.8
Desequilibrio del terminal respecto al camino más desfavorable	Δp_{Tmr}	[Pa]	: 29.07

SEGMENTO 336:

Tipo: Tramo

1 ELEMENTO		2 Caudal Q	3 Diam. D/D _e	4 Ancho A	5 Alto B	6 Long. L	7 $\Delta p/L$	8 Fuente Tab	9 Ashrae X	10 Ashrae Y	11 Coeff. C _o	12 Veloc. V	13 P.Dinám P _v	14 Pérdida $\Delta p_r \circ \Delta p_e$
N. pz.	Cod.	[m³/h]	[mm]	[mm]	[mm]	[m]	[Pa/m]	n.	-	-	-	[m/s]	[Pa]	[Pa]

2958	11RA	90	164	150	150	0	0	ASH6_26M	0.667		0.047	1.1	0.73	0.18
1282	310R	90	164	150	150	0.6	0.15					1.1	0.73	0.09

Pérdida de carga acumulada del segmento	Δp_t	[Pa]	: 0.27
Velocidad en la sección inicial del segmento	V_m	[m/s]	: 2.5
Velocidad en la sección final del segmento	V_v	[m/s]	: 2.5
Recuperación de presión estática del segmento	Δp_r	[Pa]	: 0
Pérdida de carga acumulada del segmento, considerando la recuperación	Δp_{tn}	[Pa]	: 0.95
Pérdida de carga acumulada neta – total acumulado	$\Sigma \Delta p_{tn}$	[Pa]	: 146.33

SEGMENTO 335:

Tipo: Terminal TRM-26

1 ELEMENTO		2 Caudal Q	3 Diam. D/D _e	4 Ancho A	5 Alto B	6 Long. L	7 $\Delta p/L$	8 Fuente Tab	9 Ashrae X	10 Ashrae Y	11 Coeff. C _o	12 Veloc. V	13 P.Dinám P _v	14 Pérdida Δp_r o Δp_c
N. pz.	Cod.	[m³/h]	[mm]	[mm]	[mm]	[m]	[Pa/m]	n.	-	-	-	[m/s]	[Pa]	[Pa]
2959	11RA	45	98	98	98	0	0	ASH6_26	0.500	1.490	1.260	1.7	1.74	4.74
1290	310C	45	98	98	98	0.07	0.57					1.7	1.74	0.04
1292	079C	45	98	98	98	0	0	3.1	1.520		0.046	1.7	1.74	0.07
2964	273C	45	75	0	0	0.02	0	5.1	30.000	1.710	0.050	2.8	4.72	0.24
1293	310C	45	75	0	0	0.3	2.03					2.8	4.72	0.61
2963	023C	45	75	0	0	0.02	0	4.1	30.000	1.710	0.320	2.8	4.72	1.54
1295	05LC	45	98	98	98	0	0	MC4				1.7	1.74	16.35

Pérdida de carga acumulada del segmento	Δp_t	[Pa]	: 7.25
Velocidad en la sección inicial del segmento	V_m	[m/s]	: 2.5
Velocidad en la sección final del segmento	V_v	[m/s]	: 1.7
Recuperación de presión estática del segmento	Δp_r	[Pa]	: 2.02
Pérdida de carga acumulada del segmento, considerando la recuperación	Δp_{tn}	[Pa]	: 5.67
Pérdida de carga acumulada neta – total acumulado	$\Sigma \Delta p_{tn}$	[Pa]	: 168.34
Desequilibrio del terminal respecto al camino más desfavorable	Δp_{Tmr}	[Pa]	: 27.53

SEGMENTO 334:

Tipo: Terminal TRM-27

1 ELEMENTO		2 Caudal Q	3 Diam. D/D _e	4 Ancho A	5 Alto B	6 Long. L	7 $\Delta p/L$	8 Fuente Tab	9 Ashrae X	10 Ashrae Y	11 Coeff. C _o	12 Veloc. V	13 P.Dinám P _v	14 Pérdida Δp_r o Δp_c
N. pz.	Cod.	[m³/h]	[mm]	[mm]	[mm]	[m]	[Pa/m]	n.	-	-	-	[m/s]	[Pa]	[Pa]
2960	11RA	45	164	150	150	0	0	ASH6_26M	0.500		0.090	0.6	0.22	0.34
1283	310R	45	164	150	150	0.6	0.05					0.6	0.22	0.03
1274	11RAT	45	164	150	150	0	0	2_6	1.000	0.915	2.800	0.6	0.22	0
1284	310C	45	98	98	98	0.07	0.57					1.7	1.74	0.04
1286	079C	45	98	98	98	0	0	3.1	1.520		0.046	1.7	1.74	0.07
2962	023C	45	98	98	98	0	0	4.1	30.000	1.040	0.320	1.7	1.74	0.53
1287	310C	45	100	0	0	0.3	0.5					1.6	1.54	0.15
2961	273C	45	98	98	98	0	0	5.1	30.000	1.040	0.050	1.7	1.74	0.08
1289	05LC	45	98	98	98	0	0	MC4				1.7	1.74	16.35

Pérdida de carga acumulada del segmento	Δp_t	[Pa]	: 1.24
Velocidad en la sección inicial del segmento	V_m	[m/s]	: 2.5
Velocidad en la sección final del segmento	V_v	[m/s]	: 1.7
Recuperación de presión estática del segmento	Δp_r	[Pa]	: 2.02
Pérdida de carga acumulada del segmento, considerando la recuperación	Δp_{tn}	[Pa]	: -0.55
Pérdida de carga acumulada neta – total acumulado	$\Sigma \Delta p_{tn}$	[Pa]	: 162.12
Desequilibrio del terminal respecto al camino más desfavorable	Δp_{Tmr}	[Pa]	: 33.75

SEGMENTO 332:**Tipo:** Tramo

1 ELEMENTO		2 Caudal Q	3 Diam. D/D _e	4 Ancho A	5 Alto B	6 Long. L	7 $\Delta p/L$	8 Fuente Tab	9 Ashrae X	10 Ashrae Y	11 Coeff. C _o	12 Veloc. V	13 P.Dinám P _v	14 Pérdida Δp_r o Δp_c
N. pz.	Cod.	[m³/h]	[mm]	[mm]	[mm]	[m]	[Pa/m]	n.	-	-	-	[m/s]	[Pa]	[Pa]
1201	3736	450	381	250	500	0	0	MC4	0.071	0.385	28.300	1	0.6	16.97
2902	283R	450	210	250	150	0.71	0	5.1	30.000	3.330	0.043	3.3	6.56	0.31
1200	310R	450	210	250	150	1.05	0.87					3.3	6.56	0.91

Pérdida de carga acumulada del segmento

 Δp_t [Pa] : 18.19

Velocidad en la sección inicial del segmento

 V_m [m/s] : 5.5

Velocidad en la sección final del segmento

 V_v [m/s] : 3.3

Recuperación de presión estática del segmento

 Δp_r [Pa] : 11.65

Pérdida de carga acumulada del segmento, considerando la recuperación

 Δp_{tm} [Pa] : 6.88

Pérdida de carga acumulada neta – total acumulado

 $\Sigma \Delta p_{tm}$ [Pa] : 136.93**SEGMENTO 331:****Tipo:** Terminal TRM-46

1 ELEMENTO		2 Caudal Q	3 Diam. D/D _e	4 Ancho A	5 Alto B	6 Long. L	7 $\Delta p/L$	8 Fuente Tab	9 Ashrae X	10 Ashrae Y	11 Coeff. C _o	12 Veloc. V	13 P.Dinám P _v	14 Pérdida Δp_r o Δp_c
N. pz.	Cod.	[m³/h]	[mm]	[mm]	[mm]	[m]	[Pa/m]	n.	-	-	-	[m/s]	[Pa]	[Pa]
2900	11RA	45	98	98	98	0	0	ASH6_26	0.100	0.497	1.070	1.7	1.74	7.18
1266	310C	45	98	98	98	0.07	0.57					1.7	1.74	0.04
1268	079C	45	98	98	98	0	0	3.1	1.520		0.046	1.7	1.74	0.07
2941	273C	45	75	0	0	0.02	0	5.1	30.000	1.710	0.050	2.8	4.72	0.24
1269	310C	45	75	0	0	0.3	2.03					2.8	4.72	0.61
2940	023C	45	75	0	0	0.02	0	4.1	30.000	1.710	0.320	2.8	4.72	1.54
1271	05LC	45	98	98	98	0	0	MC4				1.7	1.74	16.35

Pérdida de carga acumulada del segmento

 Δp_t [Pa] : 9.68

Velocidad en la sección inicial del segmento

 V_m [m/s] : 3.3

Velocidad en la sección final del segmento

 V_v [m/s] : 1.7

Recuperación de presión estática del segmento

 Δp_r [Pa] : 4.82

Pérdida de carga acumulada del segmento, considerando la recuperación

 Δp_{tm} [Pa] : 5.18

Pérdida de carga acumulada neta – total acumulado

 $\Sigma \Delta p_{tm}$ [Pa] : 158.46

Desequilibrio del terminal respecto al camino más desfavorable

 Δp_{Tmr} [Pa] : 37.41**SEGMENTO 330:****Tipo:** Tramo

1 ELEMENTO		2 Caudal Q	3 Diam. D/D _e	4 Ancho A	5 Alto B	6 Long. L	7 $\Delta p/L$	8 Fuente Tab	9 Ashrae X	10 Ashrae Y	11 Coeff. C _o	12 Veloc. V	13 P.Dinám P _v	14 Pérdida Δp_r o Δp_c
N. pz.	Cod.	[m³/h]	[mm]	[mm]	[mm]	[m]	[Pa/m]	n.	-	-	-	[m/s]	[Pa]	[Pa]
2901	11RA	405	210	250	150	0	0	ASH6_26M	0.900		0.010	3	5.42	0.07
2905	283R	405	152	200	100	0.19	0	5.1	30.000	1.880	0.050	5.6	18.88	0.95
1203	310R	405	152	200	100	0.6	3.53					5.6	18.88	2.12

Pérdida de carga acumulada del segmento

 Δp_t [Pa] : 3.14

Velocidad en la sección inicial del segmento

 V_m [m/s] : 3.3

Velocidad en la sección final del segmento	V_v	[m/s]	: 5.6
Recuperación de presión estática del segmento	Δp_r	[Pa]	: -12.32
Pérdida de carga acumulada del segmento, considerando la recuperación	Δp_{tn}	[Pa]	: 15.5
Pérdida de carga acumulada neta – total acumulado	$\Sigma \Delta p_{tn}$	[Pa]	: 152.43

SEGMENTO 329:**Tipo:** Terminal TRM-46

1 ELEMENTO		2 Caudal Q	3 Diam. D/D _e	4 Ancho A	5 Alto B	6 Long. L	7 $\Delta p/L$	8 Fuente Tab	9 Ashrae X	10 Ashrae Y	11 Coeff. C _o	12 Veloc. V	13 P.Dinám P _v	14 Pérdida Δp_r o Δp_e
N. pz.	Cod.	[m³/h]	[mm]	[mm]	[mm]	[m]	[Pa/m]	n.	-	-	-	[m/s]	[Pa]	[Pa]
2903	11RA	45	98	98	98	0	0	ASH6_26	0.111	0.295	1.010	1.7	1.74	19.28
1260	310C	45	98	98	98	0.07	0.57					1.7	1.74	0.04
1262	079C	45	98	98	98	0	0	3.1	1.520		0.046	1.7	1.74	0.07
2939	273C	45	75	0	0	0.02	0	5.1	30.000	1.710	0.050	2.8	4.72	0.24
1263	310C	45	75	0	0	0.3	2.03					2.8	4.72	0.61
2938	023C	45	75	0	0	0.02	0	4.1	30.000	1.710	0.320	2.8	4.72	1.54
1265	05LC	45	98	98	98	0	0	MC4				1.7	1.74	16.35

Pérdida de carga acumulada del segmento	Δp_t	[Pa]	: 21.78
Velocidad en la sección inicial del segmento	V_m	[m/s]	: 5.6
Velocidad en la sección final del segmento	V_v	[m/s]	: 1.7
Recuperación de presión estática del segmento	Δp_r	[Pa]	: 17.14
Pérdida de carga acumulada del segmento, considerando la recuperación	Δp_{tn}	[Pa]	: 4.92
Pérdida de carga acumulada neta – total acumulado	$\Sigma \Delta p_{tn}$	[Pa]	: 173.7
Desequilibrio del terminal respecto al camino más desfavorable	Δp_{Tmr}	[Pa]	: 22.17

SEGMENTO 328:**Tipo:** Tramo

1 ELEMENTO		2 Caudal Q	3 Diam. D/D _e	4 Ancho A	5 Alto B	6 Long. L	7 $\Delta p/L$	8 Fuente Tab	9 Ashrae X	10 Ashrae Y	11 Coeff. C _o	12 Veloc. V	13 P.Dinám P _v	14 Pérdida Δp_r o Δp_e
N. pz.	Cod.	[m³/h]	[mm]	[mm]	[mm]	[m]	[Pa/m]	n.	-	-	-	[m/s]	[Pa]	[Pa]
2904	11RA	360	152	200	100	0	0	ASH6_26M	0.889		0.011	5	15.05	0.21
1204	310R	360	152	200	100	0.6	2.85					5	15.05	1.71

Pérdida de carga acumulada del segmento	Δp_t	[Pa]	: 1.92
Velocidad en la sección inicial del segmento	V_m	[m/s]	: 5.6
Velocidad en la sección final del segmento	V_v	[m/s]	: 5
Recuperación de presión estática del segmento	Δp_r	[Pa]	: 3.83
Pérdida de carga acumulada del segmento, considerando la recuperación	Δp_{tn}	[Pa]	: -2.08
Pérdida de carga acumulada neta – total acumulado	$\Sigma \Delta p_{tn}$	[Pa]	: 150.35

SEGMENTO 327:**Tipo:** Terminal TRM-46

1 ELEMENTO		2 Caudal Q	3 Diam. D/D _e	4 Ancho A	5 Alto B	6 Long. L	7 $\Delta p/L$	8 Fuente Tab	9 Ashrae X	10 Ashrae Y	11 Coeff. C _o	12 Veloc. V	13 P.Dinám P _v	14 Pérdida Δp_r o Δp_e
N. pz.	Cod.	[m³/h]	[mm]	[mm]	[mm]	[m]	[Pa/m]	n.	-	-	-	[m/s]	[Pa]	[Pa]
2906	11RA	45	98	98	98	0	0	ASH6_26	0.125	0.332	1.020	1.7	1.74	15.39
1254	310C	45	98	98	98	0.07	0.57					1.7	1.74	0.04
1256	079C	45	98	98	98	0	0	3.1	1.520		0.046	1.7	1.74	0.07

2937	273C	45	75	0	0	0.02	0	5.1	30.000	1.710	0.050	2.8	4.72	0.24
1257	310C	45	75	0	0	0.3	2.03					2.8	4.72	0.61
2936	023C	45	75	0	0	0.02	0	4.1	30.000	1.710	0.320	2.8	4.72	1.54
1259	05LC	45	98	98	98	0	0	MC4				1.7	1.74	16.35

Pérdida de carga acumulada del segmento	Δp_t	[Pa]	: 17.89
Velocidad en la sección inicial del segmento	V_m	[m/s]	: 5
Velocidad en la sección final del segmento	V_v	[m/s]	: 1.7
Recuperación de presión estática del segmento	Δp_r	[Pa]	: 13.31
Pérdida de carga acumulada del segmento, considerando la recuperación	Δp_{tn}	[Pa]	: 5.03
Pérdida de carga acumulada neta – total acumulado	$\Sigma \Delta p_{tn}$	[Pa]	: 171.72
Desequilibrio del terminal respecto al camino más desfavorable	Δp_{Tmr}	[Pa]	: 24.14

SEGMENTO 326:

Tipo: Tramo

1 ELEMENTO		2 Caudal Q	3 Diam. D/D _e	4 Ancho A	5 Alto B	6 Long. L	7 $\Delta p/L$	8 Fuente Tab	9 Ashrae X	10 Ashrae Y	11 Coeff. C _o	12 Veloc. V	13 P.Dinám P _v	14 Pérdida Δp_r o Δp_c
N. pz.	Cod.	[m³/h]	[mm]	[mm]	[mm]	[m]	[Pa/m]	n.	-	-	-	[m/s]	[Pa]	[Pa]
2907	11RA	315	152	200	100	0	0	ASH6_26M	0.875		0.012	4.4	11.65	0.19
2910	283R	315	133	150	100	0.14	0	5.1	30.000	1.330	0.050	5.8	20.25	1.02
1205	310R	315	133	150	100	0.6	4.32					5.8	20.25	2.59

Pérdida de carga acumulada del segmento	Δp_t	[Pa]	: 3.8
Velocidad en la sección inicial del segmento	V_m	[m/s]	: 5
Velocidad en la sección final del segmento	V_v	[m/s]	: 5.8
Recuperación de presión estática del segmento	Δp_r	[Pa]	: -5.2
Pérdida de carga acumulada del segmento, considerando la recuperación	Δp_{tn}	[Pa]	: 9.24
Pérdida de carga acumulada neta – total acumulado	$\Sigma \Delta p_{tn}$	[Pa]	: 159.59

SEGMENTO 325:

Tipo: Terminal TRM-46

1 ELEMENTO		2 Caudal Q	3 Diam. D/D _e	4 Ancho A	5 Alto B	6 Long. L	7 $\Delta p/L$	8 Fuente Tab	9 Ashrae X	10 Ashrae Y	11 Coeff. C _o	12 Veloc. V	13 P.Dinám P _v	14 Pérdida Δp_r o Δp_c
N. pz.	Cod.	[m³/h]	[mm]	[mm]	[mm]	[m]	[Pa/m]	n.	-	-	-	[m/s]	[Pa]	[Pa]
2908	11RA	45	98	98	98	0	0	ASH6_26	0.143	0.284	1.030	1.7	1.74	21.15
1248	310C	45	98	98	98	0.07	0.57					1.7	1.74	0.04
1250	079C	45	98	98	98	0	0	3.1	1.520		0.046	1.7	1.74	0.07
2935	273C	45	75	0	0	0.02	0	5.1	30.000	1.710	0.050	2.8	4.72	0.24
1251	310C	45	75	0	0	0.3	2.03					2.8	4.72	0.61
2934	023C	45	75	0	0	0.02	0	4.1	30.000	1.710	0.320	2.8	4.72	1.54
1253	05LC	45	98	98	98	0	0	MC4				1.7	1.74	16.35

Pérdida de carga acumulada del segmento	Δp_t	[Pa]	: 23.65
Velocidad en la sección inicial del segmento	V_m	[m/s]	: 5.8
Velocidad en la sección final del segmento	V_v	[m/s]	: 1.7
Recuperación de presión estática del segmento	Δp_r	[Pa]	: 18.51
Pérdida de carga acumulada del segmento, considerando la recuperación	Δp_{tn}	[Pa]	: 5.35
Pérdida de carga acumulada neta – total acumulado	$\Sigma \Delta p_{tn}$	[Pa]	: 181.29
Desequilibrio del terminal respecto al camino más desfavorable	Δp_{Tmr}	[Pa]	: 14.58

SEGMENTO 324:

Tipo: Tramo

1 ELEMENTO		2 Caudal Q	3 Diam. D/D _e	4 Ancho A	5 Alto B	6 Long. L	7 $\Delta p/L$	8 Fuente Tab	9 Ashrae X	10 Ashrae Y	11 Coeff. C _o	12 Veloc. V	13 P.Dinám P _v	14 Pérdida Δp_r o Δp_e
N. pz.	Cod.	[m³/h]	[mm]	[mm]	[mm]	[m]	[Pa/m]	n.	-	-	-	[m/s]	[Pa]	[Pa]
2909	11RA	270	133	150	100	0	0	ASH6_26M	0.857		0.014	5	15.05	0.29
1206	310R	270	133	150	100	0.6	3.23					5	15.05	1.94

Pérdida de carga acumulada del segmento	Δp_t	[Pa] : 2.23
Velocidad en la sección inicial del segmento	V_m	[m/s] : 5.8
Velocidad en la sección final del segmento	V_v	[m/s] : 5
Recuperación de presión estática del segmento	Δp_r	[Pa] : 5.2
Pérdida de carga acumulada del segmento, considerando la recuperación	Δp_{tm}	[Pa] : -3.2
Pérdida de carga acumulada neta – total acumulado	$\Sigma \Delta p_{tm}$	[Pa] : 156.39

SEGMENTO 323:

Tipo: Terminal TRM-46

1 ELEMENTO		2 Caudal Q	3 Diam. D/D _e	4 Ancho A	5 Alto B	6 Long. L	7 $\Delta p/L$	8 Fuente Tab	9 Ashrae X	10 Ashrae Y	11 Coeff. C _o	12 Veloc. V	13 P.Dinám P _v	14 Pérdida Δp_r o Δp_e
N. pz.	Cod.	[m³/h]	[mm]	[mm]	[mm]	[m]	[Pa/m]	n.	-	-	-	[m/s]	[Pa]	[Pa]
2911	11RA	45	98	98	98	0	0	ASH6_26	0.167	0.332	1.050	1.7	1.74	15.79
1242	310C	45	98	98	98	0.07	0.57					1.7	1.74	0.04
1244	079C	45	98	98	98	0	0	3.1	1.520		0.046	1.7	1.74	0.07
2933	273C	45	75	0	0	0.02	0	5.1	30.000	1.710	0.050	2.8	4.72	0.24
1245	310C	45	75	0	0	0.3	2.03					2.8	4.72	0.61
2932	023C	45	75	0	0	0.02	0	4.1	30.000	1.710	0.320	2.8	4.72	1.54
1247	05LC	45	98	98	98	0	0	MC4				1.7	1.74	16.35

Pérdida de carga acumulada del segmento	Δp_t	[Pa] : 18.29
Velocidad en la sección inicial del segmento	V_m	[m/s] : 5
Velocidad en la sección final del segmento	V_v	[m/s] : 1.7
Recuperación de presión estática del segmento	Δp_r	[Pa] : 13.31
Pérdida de carga acumulada del segmento, considerando la recuperación	Δp_{tm}	[Pa] : 5.42
Pérdida de carga acumulada neta – total acumulado	$\Sigma \Delta p_{tm}$	[Pa] : 178.16
Desequilibrio del terminal respecto al camino más desfavorable	Δp_{Tmr}	[Pa] : 17.71

SEGMENTO 322:

Tipo: Tramo

1 ELEMENTO		2 Caudal Q	3 Diam. D/D _e	4 Ancho A	5 Alto B	6 Long. L	7 $\Delta p/L$	8 Fuente Tab	9 Ashrae X	10 Ashrae Y	11 Coeff. C _o	12 Veloc. V	13 P.Dinám P _v	14 Pérdida Δp_r o Δp_e
N. pz.	Cod.	[m³/h]	[mm]	[mm]	[mm]	[m]	[Pa/m]	n.	-	-	-	[m/s]	[Pa]	[Pa]
2912	11RA	225	133	150	100	0	0	ASH6_26M	0.833		0.017	4.2	10.62	0.25
1207	310R	225	133	150	100	0.6	2.3					4.2	10.62	1.38

Pérdida de carga acumulada del segmento	Δp_t	[Pa] : 1.64
Velocidad en la sección inicial del segmento	V_m	[m/s] : 5
Velocidad en la sección final del segmento	V_v	[m/s] : 4.2
Recuperación de presión estática del segmento	Δp_r	[Pa] : 4.43
Pérdida de carga acumulada del segmento, considerando la recuperación	Δp_{tm}	[Pa] : -2.96
Pérdida de carga acumulada neta – total acumulado	$\Sigma \Delta p_{tm}$	[Pa] : 153.42

SEGMENTO 321:**Tipo:** Terminal TRM-46

1 ELEMENTO		2 Caudal Q	3 Diam. D/D _e	4 Ancho A	5 Alto B	6 Long. L	7 $\Delta p/L$	8 Fuente Tab	9 Ashrae X	10 Ashrae Y	11 Coeff. C _o	12 Veloc. V	13 P.Dinám P _v	14 Pérdida Δp_r o Δp_c
N. pz.	Cod.	[m³/h]	[mm]	[mm]	[mm]	[m]	[Pa/m]	n.	-	-	-	[m/s]	[Pa]	[Pa]
2913	11RA	45	98	98	98	0	0	ASH6_26	0.200	0.398	1.070	1.7	1.74	11.18
1236	310C	45	98	98	98	0.07	0.57					1.7	1.74	0.04
1238	079C	45	98	98	98	0	0	3.1	1.520		0.046	1.7	1.74	0.07
2931	273C	45	75	0	0	0.02	0	5.1	30.000	1.710	0.050	2.8	4.72	0.24
1239	310C	45	75	0	0	0.3	2.03					2.8	4.72	0.61
2930	023C	45	75	0	0	0.02	0	4.1	30.000	1.710	0.320	2.8	4.72	1.54
1241	05LC	45	98	98	98	0	0	MC4				1.7	1.74	16.35

Pérdida de carga acumulada del segmento

 Δp_t [Pa] : 13.69

Velocidad en la sección inicial del segmento

 V_m [m/s] : 4.2

Velocidad en la sección final del segmento

 V_v [m/s] : 1.7

Recuperación de presión estática del segmento

 Δp_r [Pa] : 8.88

Pérdida de carga acumulada del segmento, considerando la recuperación

 Δp_{tn} [Pa] : 5.42

Pérdida de carga acumulada neta – total acumulado

 $\Sigma \Delta p_{tn}$ [Pa] : 175.19

Desequilibrio del terminal respecto al camino más desfavorable

 Δp_{Tmr} [Pa] : 20.68**SEGMENTO 320:****Tipo:** Tramo

1 ELEMENTO		2 Caudal Q	3 Diam. D/D _e	4 Ancho A	5 Alto B	6 Long. L	7 $\Delta p/L$	8 Fuente Tab	9 Ashrae X	10 Ashrae Y	11 Coeff. C _o	12 Veloc. V	13 P.Dinám P _v	14 Pérdida Δp_r o Δp_c
N. pz.	Cod.	[m³/h]	[mm]	[mm]	[mm]	[m]	[Pa/m]	n.	-	-	-	[m/s]	[Pa]	[Pa]
2914	11RA	180	133	150	100	0	0	ASH6_26M	0.800		0.020	3.3	6.56	0.21
2917	283R	180	109	100	100	0.14	0	5.1	30.000	1.500	0.050	5	15.05	0.75
1208	310R	180	109	100	100	0.6	4.08					5	15.05	2.45

Pérdida de carga acumulada del segmento

 Δp_t [Pa] : 3.41

Velocidad en la sección inicial del segmento

 V_m [m/s] : 4.2

Velocidad en la sección final del segmento

 V_v [m/s] : 5

Recuperación de presión estática del segmento

 Δp_r [Pa] : -4.43

Pérdida de carga acumulada del segmento, considerando la recuperación

 Δp_{tn} [Pa] : 8.01

Pérdida de carga acumulada neta – total acumulado

 $\Sigma \Delta p_{tn}$ [Pa] : 161.44**SEGMENTO 319:****Tipo:** Terminal TRM-46

1 ELEMENTO		2 Caudal Q	3 Diam. D/D _e	4 Ancho A	5 Alto B	6 Long. L	7 $\Delta p/L$	8 Fuente Tab	9 Ashrae X	10 Ashrae Y	11 Coeff. C _o	12 Veloc. V	13 P.Dinám P _v	14 Pérdida Δp_r o Δp_c
N. pz.	Cod.	[m³/h]	[mm]	[mm]	[mm]	[m]	[Pa/m]	n.	-	-	-	[m/s]	[Pa]	[Pa]
2915	11RA	45	98	98	98	0	0	ASH6_26	0.250	0.332	1.080	1.7	1.74	16.18
1230	310C	45	98	98	98	0.07	0.57					1.7	1.74	0.04
1232	079C	45	98	98	98	0	0	3.1	1.520		0.046	1.7	1.74	0.07
2929	273C	45	75	0	0	0.02	0	5.1	30.000	1.710	0.050	2.8	4.72	0.24
1233	310C	45	75	0	0	0.3	2.03					2.8	4.72	0.61
2928	023C	45	75	0	0	0.02	0	4.1	30.000	1.710	0.320	2.8	4.72	1.54
1235	05LC	45	98	98	98	0	0	MC4				1.7	1.74	16.35

Pérdida de carga acumulada del segmento	Δp_t	[Pa]	: 18.68
Velocidad en la sección inicial del segmento	V_m	[m/s]	: 5
Velocidad en la sección final del segmento	V_v	[m/s]	: 1.7
Recuperación de presión estática del segmento	Δp_r	[Pa]	: 13.31
Pérdida de carga acumulada del segmento, considerando la recuperación	Δp_{tn}	[Pa]	: 5.82
Pérdida de carga acumulada neta – total acumulado	$\Sigma \Delta p_{tn}$	[Pa]	: 183.6
Desequilibrio del terminal respecto al camino más desfavorable	Δp_{Tmr}	[Pa]	: 12.27

SEGMENTO 318:

Tipo: Tramo

1 ELEMENTO		2 Caudal Q	3 Diam. D/D _e	4 Ancho A	5 Alto B	6 Long. L	7 $\Delta p/L$	8 Fuente Tab	9 Ashrae X	10 Ashrae Y	11 Coeff. C _o	12 Veloc. V	13 P.Dinám P _v	14 Pérdida Δp_r o Δp_e
N. pz.	Cod.	[m³/h]	[mm]	[mm]	[mm]	[m]	[Pa/m]	n.	-	-	-	[m/s]	[Pa]	[Pa]
2916	11RA	135	109	100	100	0	0	ASH6_26M	0.750		0.030	3.7	8.24	0.45
1209	310R	135	109	100	100	0.6	2.4					3.7	8.24	1.44

Pérdida de carga acumulada del segmento	Δp_t	[Pa]	: 1.89
Velocidad en la sección inicial del segmento	V_m	[m/s]	: 5
Velocidad en la sección final del segmento	V_v	[m/s]	: 3.7
Recuperación de presión estática del segmento	Δp_r	[Pa]	: 6.81
Pérdida de carga acumulada del segmento, considerando la recuperación	Δp_{tn}	[Pa]	: -4.69
Pérdida de carga acumulada neta – total acumulado	$\Sigma \Delta p_{tn}$	[Pa]	: 156.75

SEGMENTO 317:

Tipo: Terminal TRM-46

1 ELEMENTO		2 Caudal Q	3 Diam. D/D _e	4 Ancho A	5 Alto B	6 Long. L	7 $\Delta p/L$	8 Fuente Tab	9 Ashrae X	10 Ashrae Y	11 Coeff. C _o	12 Veloc. V	13 P.Dinám P _v	14 Pérdida Δp_r o Δp_e
N. pz.	Cod.	[m³/h]	[mm]	[mm]	[mm]	[m]	[Pa/m]	n.	-	-	-	[m/s]	[Pa]	[Pa]
2918	11RA	45	98	98	98	0	0	ASH6_26	0.333	0.442	1.100	1.7	1.74	9.28
1224	310C	45	98	98	98	0.07	0.57					1.7	1.74	0.04
1226	079C	45	98	98	98	0	0	3.1	1.520		0.046	1.7	1.74	0.07
2927	273C	45	75	0	0	0.02	0	5.1	30.000	1.710	0.050	2.8	4.72	0.24
1227	310C	45	75	0	0	0.3	2.03					2.8	4.72	0.61
2926	023C	45	75	0	0	0.02	0	4.1	30.000	1.710	0.320	2.8	4.72	1.54
1229	05LC	45	98	98	98	0	0	MC4				1.7	1.74	16.35

Pérdida de carga acumulada del segmento	Δp_t	[Pa]	: 11.79
Velocidad en la sección inicial del segmento	V_m	[m/s]	: 3.7
Velocidad en la sección final del segmento	V_v	[m/s]	: 1.7
Recuperación de presión estática del segmento	Δp_r	[Pa]	: 6.5
Pérdida de carga acumulada del segmento, considerando la recuperación	Δp_{tn}	[Pa]	: 5.51
Pérdida de carga acumulada neta – total acumulado	$\Sigma \Delta p_{tn}$	[Pa]	: 178.6
Desequilibrio del terminal respecto al camino más desfavorable	Δp_{Tmr}	[Pa]	: 17.27

SEGMENTO 316:

Tipo: Tramo

1 ELEMENTO		2 Caudal Q	3 Diam. D/D _e	4 Ancho A	5 Alto B	6 Long. L	7 $\Delta p/L$	8 Fuente Tab	9 Ashrae X	10 Ashrae Y	11 Coeff. C _o	12 Veloc. V	13 P.Dinám P _v	14 Pérdida Δp_r o Δp_e
---------------	--	------------------	--------------------------------	-----------------	----------------	-----------------	-------------------	--------------------	------------------	-------------------	--------------------------------	-------------------	---------------------------------	--

N. pz.	Cod.	[m³/h]	[mm]	[mm]	[mm]	[m]	[Pa/m]	n.	-	-	-	[m/s]	[Pa]	[Pa]
2919	11RA	90	109	100	100	0	0	ASH6_26M	0.667		0.047	2.5	3.76	0.4
1210	310R	90	109	100	100	0.6	1.13					2.5	3.76	0.68

Pérdida de carga acumulada del segmento	Δp_t	[Pa]	: 1.07
Velocidad en la sección inicial del segmento	V_m	[m/s]	: 3.7
Velocidad en la sección final del segmento	V_v	[m/s]	: 2.5
Recuperación de presión estática del segmento	Δp_r	[Pa]	: 4.48
Pérdida de carga acumulada del segmento, considerando la recuperación	Δp_{tm}	[Pa]	: -3.63
Pérdida de carga acumulada neta – total acumulado	$\Sigma \Delta p_{tm}$	[Pa]	: 153.12

SEGMENTO 315:

Tipo: Terminal TRM-46

1 ELEMENTO		2 Caudal Q	3 Diam. D/D _e	4 Ancho A	5 Alto B	6 Long. L	7 $\Delta p/L$	8 Fuente Tab	9 Ashrae X	10 Ashrae Y	11 Coeff. C _o	12 Veloc. V	13 P.Dinám P _v	14 Pérdida Δp_r o Δp_c
N. pz.	Cod.	[m³/h]	[mm]	[mm]	[mm]	[m]	[Pa/m]	n.	-	-	-	[m/s]	[Pa]	[Pa]
2920	11RA	45	98	98	98	0	0	ASH6_26	0.500	0.663	1.260	1.7	1.74	4.74
1218	310C	45	98	98	98	0.07	0.57					1.7	1.74	0.04
1220	079C	45	98	98	98	0	0	3.1	1.520		0.046	1.7	1.74	0.07
2925	273C	45	75	0	0	0.02	0	5.1	30.000	1.710	0.050	2.8	4.72	0.24
1221	310C	45	75	0	0	0.3	2.03					2.8	4.72	0.61
2924	023C	45	75	0	0	0.02	0	4.1	30.000	1.710	0.320	2.8	4.72	1.54
1223	05LC	45	98	98	98	0	0	MC4				1.7	1.74	16.35

Pérdida de carga acumulada del segmento	Δp_t	[Pa]	: 7.25
Velocidad en la sección inicial del segmento	V_m	[m/s]	: 2.5
Velocidad en la sección final del segmento	V_v	[m/s]	: 1.7
Recuperación de presión estática del segmento	Δp_r	[Pa]	: 2.02
Pérdida de carga acumulada del segmento, considerando la recuperación	Δp_{tm}	[Pa]	: 5.67
Pérdida de carga acumulada neta – total acumulado	$\Sigma \Delta p_{tm}$	[Pa]	: 175.13
Desequilibrio del terminal respecto al camino más desfavorable	Δp_{Tmr}	[Pa]	: 20.74

SEGMENTO 314:

Tipo: Terminal TRM-46

1 ELEMENTO		2 Caudal Q	3 Diam. D/D _e	4 Ancho A	5 Alto B	6 Long. L	7 $\Delta p/L$	8 Fuente Tab	9 Ashrae X	10 Ashrae Y	11 Coeff. C _o	12 Veloc. V	13 P.Dinám P _v	14 Pérdida Δp_r o Δp_c
N. pz.	Cod.	[m³/h]	[mm]	[mm]	[mm]	[m]	[Pa/m]	n.	-	-	-	[m/s]	[Pa]	[Pa]
2921	11RA	45	109	100	100	0	0	ASH6_26M	0.500		0.090	1.2	0.87	0.34
1211	310R	45	109	100	100	0.6	0.32					1.2	0.87	0.19
1202	11RAT	45	109	100	100	0	0	2_6	1.000	0.917	2.800	1.2	0.87	4.63
1212	310C	45	98	98	98	0.07	0.57					1.7	1.74	0.04
1214	079C	45	98	98	98	0	0	3.1	1.520		0.046	1.7	1.74	0.07
2923	023C	45	98	98	98	0	0	4.1	30.000	1.040	0.320	1.7	1.74	0.53
1215	310C	45	100	0	0	0.3	0.5					1.6	1.54	0.15
2922	273C	45	98	98	98	0	0	5.1	30.000	1.040	0.050	1.7	1.74	0.08
1217	05LC	45	98	98	98	0	0	MC4				1.7	1.74	16.35

Pérdida de carga acumulada del segmento	Δp_t	[Pa]	: 6.04
Velocidad en la sección inicial del segmento	V_m	[m/s]	: 2.5
Velocidad en la sección final del segmento	V_v	[m/s]	: 1.7
Recuperación de presión estática del segmento	Δp_r	[Pa]	: 2.02
Pérdida de carga acumulada del segmento, considerando la recuperación	Δp_{tm}	[Pa]	: 3.93

Pérdida de carga acumulada neta – total acumulado
Desequilibrio del terminal respecto al camino más desfavorable

$\Sigma \Delta p_{tn}$ [Pa] : 173.39
 Δp_{Tmr} [Pa] : 22.48

SEGMENTO 352:**Tipo:** Tramo

1 ELEMENTO		2 Caudal Q	3 Diam. D/D _e	4 Ancho A	5 Alto B	6 Long. L	7 $\Delta p/L$	8 Fuente Tab	9 Ashrae X	10 Ashrae Y	11 Coeff. C _o	12 Veloc. V	13 P.Dinám P _v	14 Pérdida Δp_r o Δp_c
N. pz.	Cod.	[m³/h]	[mm]	[mm]	[mm]	[m]	[Pa/m]	n.	-	-	-	[m/s]	[Pa]	[Pa]
2898	3736	5400	573	550	500	0	0	MC4	1.010		0.077	5.5	18.21	1.4
1344	310R	5400	573	550	500	1	0.61					5.5	18.21	0.61

Pérdida de carga acumulada del segmento
Velocidad en la sección inicial del segmento
Velocidad en la sección final del segmento
Recuperación de presión estática del segmento
Pérdida de carga acumulada del segmento, considerando la recuperación
Pérdida de carga acumulada neta – total acumulado

Δp_t [Pa] : 2.01
 V_m [m/s] : 5.5
 V_v [m/s] : 4.7
 Δp_r [Pa] : 4.91
 Δp_{tn} [Pa] : 6.53
 $\Sigma \Delta p_{tn}$ [Pa] : 136.58

SEGMENTO 372:**Tipo:** Tramo

1 ELEMENTO		2 Caudal Q	3 Diam. D/D _e	4 Ancho A	5 Alto B	6 Long. L	7 $\Delta p/L$	8 Fuente Tab	9 Ashrae X	10 Ashrae Y	11 Coeff. C _o	12 Veloc. V	13 P.Dinám P _v	14 Pérdida Δp_r o Δp_c
N. pz.	Cod.	[m³/h]	[mm]	[mm]	[mm]	[m]	[Pa/m]	n.	-	-	-	[m/s]	[Pa]	[Pa]
2981	3736	450	287	150	500	0	0	MC4	0.083	0.273	4.130	1.7	1.74	7.18
3027	283R	450	164	150	150	0.71	0	5.1	30.000	3.330	0.043	5.6	18.88	0.87
1419	310R	450	164	150	150	1.1	2.95					5.6	18.88	3.25

Pérdida de carga acumulada del segmento
Velocidad en la sección inicial del segmento
Velocidad en la sección final del segmento
Recuperación de presión estática del segmento
Pérdida de carga acumulada del segmento, considerando la recuperación
Pérdida de carga acumulada neta – total acumulado

Δp_t [Pa] : 11.3
 V_m [m/s] : 4.7
 V_v [m/s] : 3.3
 Δp_r [Pa] : 6.74
 Δp_{tn} [Pa] : 5.69
 $\Sigma \Delta p_{tn}$ [Pa] : 142.28

SEGMENTO 390:**Tipo:** Terminal TRM-18

1 ELEMENTO		2 Caudal Q	3 Diam. D/D _e	4 Ancho A	5 Alto B	6 Long. L	7 $\Delta p/L$	8 Fuente Tab	9 Ashrae X	10 Ashrae Y	11 Coeff. C _o	12 Veloc. V	13 P.Dinám P _v	14 Pérdida Δp_r o Δp_c
N. pz.	Cod.	[m³/h]	[mm]	[mm]	[mm]	[m]	[Pa/m]	n.	-	-	-	[m/s]	[Pa]	[Pa]
3025	11RA	45	98	98	98	0	0	ASH6_26	0.100	0.298	1.070	1.7	1.74	7.18
1485	310C	45	98	98	98	0.07	0.57					1.7	1.74	0.04
1487	079C	45	98	98	98	0	0	3.1	1.520		0.046	1.7	1.74	0.07
3063	273C	45	75	0	0	0.02	0	5.1	30.000	1.710	0.050	2.8	4.72	0.24
1488	310C	45	75	0	0	0.3	2.03					2.8	4.72	0.61
3062	023C	45	75	0	0	0.02	0	4.1	30.000	1.710	0.320	2.8	4.72	1.54
1490	05LC	45	98	98	98	0	0	MC4				1.7	1.74	16.35

Pérdida de carga acumulada del segmento
Velocidad en la sección inicial del segmento

Δp_t [Pa] : 9.68
 V_m [m/s] : 3.3

Velocidad en la sección final del segmento	V_v	[m/s]	: 1.7
Recuperación de presión estática del segmento	Δp_r	[Pa]	: 4.82
Pérdida de carga acumulada del segmento, considerando la recuperación	Δp_{tn}	[Pa]	: 5.18
Pérdida de carga acumulada neta – total acumulado	$\Sigma \Delta p_{tn}$	[Pa]	: 163.8
Desequilibrio del terminal respecto al camino más desfavorable	Δp_{Tmr}	[Pa]	: 32.07

SEGMENTO 389:

Tipo: Tramo

1 ELEMENTO		2 Caudal Q	3 Diam. D/D _e	4 Ancho A	5 Alto B	6 Long. L	7 $\Delta p/L$	8 Fuente Tab	9 Ashrae X	10 Ashrae Y	11 Coeff. C _o	12 Veloc. V	13 P.Dinám P _v	14 Pérdida Δp_r o Δp_c
N. pz.	Cod.	[m³/h]	[mm]	[mm]	[mm]	[m]	[Pa/m]	n.	-	-	-	[m/s]	[Pa]	[Pa]
3026	11RA	405	164	150	150	0	0	ASH6_26M	0.900		0.010	5	15.05	0.07
1422	310R	405	164	150	150	0.6	2.43					5	15.05	1.46

Pérdida de carga acumulada del segmento	Δp_t	[Pa]	: 1.52
Velocidad en la sección inicial del segmento	V_m	[m/s]	: 3.3
Velocidad en la sección final del segmento	V_v	[m/s]	: 3
Recuperación de presión estática del segmento	Δp_r	[Pa]	: 1.14
Pérdida de carga acumulada del segmento, considerando la recuperación	Δp_{tn}	[Pa]	: 1.76
Pérdida de carga acumulada neta – total acumulado	$\Sigma \Delta p_{tn}$	[Pa]	: 144.04

SEGMENTO 388:

Tipo: Terminal TRM-19

1 ELEMENTO		2 Caudal Q	3 Diam. D/D _e	4 Ancho A	5 Alto B	6 Long. L	7 $\Delta p/L$	8 Fuente Tab	9 Ashrae X	10 Ashrae Y	11 Coeff. C _o	12 Veloc. V	13 P.Dinám P _v	14 Pérdida Δp_r o Δp_c
N. pz.	Cod.	[m³/h]	[mm]	[mm]	[mm]	[m]	[Pa/m]	n.	-	-	-	[m/s]	[Pa]	[Pa]
3028	11RA	45	98	98	98	0	0	ASH6_26	0.111	0.332	1.110	1.7	1.74	6
1479	310C	45	98	98	98	0.07	0.57					1.7	1.74	0.04
1481	079C	45	98	98	98	0	0	3.1	1.520		0.046	1.7	1.74	0.07
3061	273C	45	75	0	0	0.02	0	5.1	30.000	1.710	0.050	2.8	4.72	0.24
1482	310C	45	75	0	0	0.3	2.03					2.8	4.72	0.61
3060	023C	45	75	0	0	0.02	0	4.1	30.000	1.710	0.320	2.8	4.72	1.54
1484	05LC	45	98	98	98	0	0	MC4				1.7	1.74	16.35

Pérdida de carga acumulada del segmento	Δp_t	[Pa]	: 8.51
Velocidad en la sección inicial del segmento	V_m	[m/s]	: 3
Velocidad en la sección final del segmento	V_v	[m/s]	: 1.7
Recuperación de presión estática del segmento	Δp_r	[Pa]	: 3.68
Pérdida de carga acumulada del segmento, considerando la recuperación	Δp_{tn}	[Pa]	: 5.27
Pérdida de carga acumulada neta – total acumulado	$\Sigma \Delta p_{tn}$	[Pa]	: 165.65
Desequilibrio del terminal respecto al camino más desfavorable	Δp_{Tmr}	[Pa]	: 30.22

SEGMENTO 387:

Tipo: Tramo

1 ELEMENTO		2 Caudal Q	3 Diam. D/D _e	4 Ancho A	5 Alto B	6 Long. L	7 $\Delta p/L$	8 Fuente Tab	9 Ashrae X	10 Ashrae Y	11 Coeff. C _o	12 Veloc. V	13 P.Dinám P _v	14 Pérdida Δp_r o Δp_c
N. pz.	Cod.	[m³/h]	[mm]	[mm]	[mm]	[m]	[Pa/m]	n.	-	-	-	[m/s]	[Pa]	[Pa]
3029	11RA	360	164	150	150	0	0	ASH6_26M	0.889		0.011	4.4	11.65	0.06
1423	310R	360	164	150	150	0.6	1.95					4.4	11.65	1.17

Pérdida de carga acumulada del segmento	Δp_t	[Pa]	: 1.23
Velocidad en la sección inicial del segmento	V_m	[m/s]	: 3
Velocidad en la sección final del segmento	V_v	[m/s]	: 2.7
Recuperación de presión estática del segmento	Δp_r	[Pa]	: 1.03
Pérdida de carga acumulada del segmento, considerando la recuperación	Δp_{tm}	[Pa]	: 1.28
Pérdida de carga acumulada neta – total acumulado	$\Sigma \Delta p_{tm}$	[Pa]	: 145.31

SEGMENTO 386:

Tipo: Terminal TRM-20

1 ELEMENTO		2 Caudal Q	3 Diam. D/D _e	4 Ancho A	5 Alto B	6 Long. L	7 $\Delta p/L$	8 Fuente Tab	9 Ashrae X	10 Ashrae Y	11 Coeff. C _o	12 Veloc. V	13 P.Dinám P _v	14 Pérdida $\Delta p_r \circ \Delta p_e$
N. pz.	Cod.	[m³/h]	[mm]	[mm]	[mm]	[m]	[Pa/m]	n.	-	-	-	[m/s]	[Pa]	[Pa]
3030	11RA	45	98	98	98	0	0	ASH6_26	0.125	0.373	1.140	1.7	1.74	4.88
1473	310C	45	98	98	98	0.07	0.57					1.7	1.74	0.04
1475	079C	45	98	98	98	0	0	3.1	1.520		0.046	1.7	1.74	0.07
3059	273C	45	75	0	0	0.02	0	5.1	30.000	1.710	0.050	2.8	4.72	0.24
1476	310C	45	75	0	0	0.3	2.03					2.8	4.72	0.61
3058	023C	45	75	0	0	0.02	0	4.1	30.000	1.710	0.320	2.8	4.72	1.54
1478	05LC	45	98	98	98	0	0	MC4				1.7	1.74	16.35

Pérdida de carga acumulada del segmento	Δp_t	[Pa]	: 7.38
Velocidad en la sección inicial del segmento	V_m	[m/s]	: 2.7
Velocidad en la sección final del segmento	V_v	[m/s]	: 1.7
Recuperación de presión estática del segmento	Δp_r	[Pa]	: 2.65
Pérdida de carga acumulada del segmento, considerando la recuperación	Δp_{tm}	[Pa]	: 5.28
Pérdida de carga acumulada neta – total acumulado	$\Sigma \Delta p_{tm}$	[Pa]	: 166.94
Desequilibrio del terminal respecto al camino más desfavorable	Δp_{Tmr}	[Pa]	: 28.93

SEGMENTO 385:

Tipo: Tramo

1 ELEMENTO		2 Caudal Q	3 Diam. D/D _e	4 Ancho A	5 Alto B	6 Long. L	7 $\Delta p/L$	8 Fuente Tab	9 Ashrae X	10 Ashrae Y	11 Coeff. C _o	12 Veloc. V	13 P.Dinám P _v	14 Pérdida $\Delta p_r \circ \Delta p_e$
N. pz.	Cod.	[m³/h]	[mm]	[mm]	[mm]	[m]	[Pa/m]	n.	-	-	-	[m/s]	[Pa]	[Pa]
3031	11RA	315	164	150	150	0	0	ASH6_26M	0.875		0.012	3.9	9.16	0.05
1424	310R	315	164	150	150	0.6	1.52					3.9	9.16	0.91

Pérdida de carga acumulada del segmento	Δp_t	[Pa]	: 0.97
Velocidad en la sección inicial del segmento	V_m	[m/s]	: 2.7
Velocidad en la sección final del segmento	V_v	[m/s]	: 2.3
Recuperación de presión estática del segmento	Δp_r	[Pa]	: 1.2
Pérdida de carga acumulada del segmento, considerando la recuperación	Δp_{tm}	[Pa]	: 0.87
Pérdida de carga acumulada neta – total acumulado	$\Sigma \Delta p_{tm}$	[Pa]	: 146.19

SEGMENTO 384:

Tipo: Terminal TRM-21

1 ELEMENTO		2 Caudal Q	3 Diam. D/D _e	4 Ancho A	5 Alto B	6 Long. L	7 $\Delta p/L$	8 Fuente Tab	9 Ashrae X	10 Ashrae Y	11 Coeff. C _o	12 Veloc. V	13 P.Dinám P _v	14 Pérdida $\Delta p_r \circ \Delta p_e$
---------------	--	------------------	--------------------------------	-----------------	----------------	-----------------	-------------------	--------------------	------------------	-------------------	--------------------------------	-------------------	---------------------------------	--

N. pz.	Cod.	[m³/h]	[mm]	[mm]	[mm]	[m]	[Pa/m]	n.	-	-	-	[m/s]	[Pa]	[Pa]
3032	11RA	45	98	98	98	0	0	ASH6_26	0.143	0.426	1.190	1.7	1.74	3.88
1467	310C	45	98	98	98	0.07	0.57					1.7	1.74	0.04
1469	079C	45	98	98	98	0	0	3.1	1.520		0.046	1.7	1.74	0.07
3057	273C	45	75	0	0	0.02	0	5.1	30.000	1.710	0.050	2.8	4.72	0.24
1470	310C	45	75	0	0	0.3	2.03					2.8	4.72	0.61
3056	023C	45	75	0	0	0.02	0	4.1	30.000	1.710	0.320	2.8	4.72	1.54
1472	05LC	45	98	98	98	0	0	MC4				1.7	1.74	16.35

Pérdida de carga acumulada del segmento	Δp_t	[Pa]	: 6.39
Velocidad en la sección inicial del segmento	V_m	[m/s]	: 2.3
Velocidad en la sección final del segmento	V_v	[m/s]	: 1.7
Recuperación de presión estática del segmento	Δp_r	[Pa]	: 1.44
Pérdida de carga acumulada del segmento, considerando la recuperación	Δp_{tn}	[Pa]	: 5.29
Pérdida de carga acumulada neta – total acumulado	$\Sigma \Delta p_{tn}$	[Pa]	: 167.83
Desequilibrio del terminal respecto al camino más desfavorable	Δp_{Tmr}	[Pa]	: 28.04

SEGMENTO 383:

Tipo: Tramo

1 ELEMENTO		2 Caudal Q	3 Diam. D/D _e	4 Ancho A	5 Alto B	6 Long. L	7 $\Delta p/L$	8 Fuente Tab	9 Ashrae X	10 Ashrae Y	11 Coeff. C _o	12 Veloc. V	13 P.Dinám P _v	14 Pérdida Δp_r o Δp_c
N. pz.	Cod.	[m³/h]	[mm]	[mm]	[mm]	[m]	[Pa/m]	n.	-	-	-	[m/s]	[Pa]	[Pa]
3033	11RA	270	164	150	150	0	0	ASH6_26M	0.857		0.014	3.3	6.56	0.05
1425	310R	270	164	150	150	0.6	1.15					3.3	6.56	0.69

Pérdida de carga acumulada del segmento	Δp_t	[Pa]	: 0.73
Velocidad en la sección inicial del segmento	V_m	[m/s]	: 2.3
Velocidad en la sección final del segmento	V_v	[m/s]	: 2
Recuperación de presión estática del segmento	Δp_r	[Pa]	: 0.78
Pérdida de carga acumulada del segmento, considerando la recuperación	Δp_{tn}	[Pa]	: 0.53
Pérdida de carga acumulada neta – total acumulado	$\Sigma \Delta p_{tn}$	[Pa]	: 146.72

SEGMENTO 382:

Tipo: Terminal TRM-22

1 ELEMENTO		2 Caudal Q	3 Diam. D/D _e	4 Ancho A	5 Alto B	6 Long. L	7 $\Delta p/L$	8 Fuente Tab	9 Ashrae X	10 Ashrae Y	11 Coeff. C _o	12 Veloc. V	13 P.Dinám P _v	14 Pérdida Δp_r o Δp_c
N. pz.	Cod.	[m³/h]	[mm]	[mm]	[mm]	[m]	[Pa/m]	n.	-	-	-	[m/s]	[Pa]	[Pa]
3034	11RA	45	98	98	98	0	0	ASH6_26	0.167	0.497	1.280	1.7	1.74	3.08
1461	310C	45	98	98	98	0.07	0.57					1.7	1.74	0.04
1463	079C	45	98	98	98	0	0	3.1	1.520		0.046	1.7	1.74	0.07
3055	273C	45	75	0	0	0.02	0	5.1	30.000	1.710	0.050	2.8	4.72	0.24
1464	310C	45	75	0	0	0.3	2.03					2.8	4.72	0.61
3054	023C	45	75	0	0	0.02	0	4.1	30.000	1.710	0.320	2.8	4.72	1.54
1466	05LC	45	98	98	98	0	0	MC4				1.7	1.74	16.35

Pérdida de carga acumulada del segmento	Δp_t	[Pa]	: 5.59
Velocidad en la sección inicial del segmento	V_m	[m/s]	: 2
Velocidad en la sección final del segmento	V_v	[m/s]	: 1.7
Recuperación de presión estática del segmento	Δp_r	[Pa]	: 0.67
Pérdida de carga acumulada del segmento, considerando la recuperación	Δp_{tn}	[Pa]	: 5.36
Pérdida de carga acumulada neta – total acumulado	$\Sigma \Delta p_{tn}$	[Pa]	: 168.43
Desequilibrio del terminal respecto al camino más desfavorable	Δp_{Tmr}	[Pa]	: 27.44

SEGMENTO 381:**Tipo:** Tramo

1 ELEMENTO		2 Caudal Q	3 Diam. D/D _e	4 Ancho A	5 Alto B	6 Long. L	7 $\Delta p/L$	8 Fuente Tab	9 Ashrae X	10 Ashrae Y	11 Coeff. C _o	12 Veloc. V	13 P.Dinám P _v	14 Pérdida Δp_r o Δp_c
N. pz.	Cod.	[m³/h]	[mm]	[mm]	[mm]	[m]	[Pa/m]	n.	-	-	-	[m/s]	[Pa]	[Pa]
3035	11RA	225	164	150	150	0	0	ASH6_26M	0.833		0.017	2.8	4.72	0.04
1426	310R	225	164	150	150	0.6	0.82					2.8	4.72	0.49

Pérdida de carga acumulada del segmento

 Δp_t [Pa] : 0.53

Velocidad en la sección inicial del segmento

 V_m [m/s] : 2

Velocidad en la sección final del segmento

 V_v [m/s] : 3.1

Recuperación de presión estática del segmento

 Δp_r [Pa] : -3.38

Pérdida de carga acumulada del segmento, considerando la recuperación

 Δp_{tn} [Pa] : 4.53

Pérdida de carga acumulada neta – total acumulado

 $\Sigma \Delta p_{tn}$ [Pa] : 151.25**SEGMENTO 380:****Tipo:** Terminal TRM-22

1 ELEMENTO		2 Caudal Q	3 Diam. D/D _e	4 Ancho A	5 Alto B	6 Long. L	7 $\Delta p/L$	8 Fuente Tab	9 Ashrae X	10 Ashrae Y	11 Coeff. C _o	12 Veloc. V	13 P.Dinám P _v	14 Pérdida Δp_r o Δp_c
N. pz.	Cod.	[m³/h]	[mm]	[mm]	[mm]	[m]	[Pa/m]	n.	-	-	-	[m/s]	[Pa]	[Pa]
3036	11RA	45	98	98	98	0	0	ASH6_26	0.200	0.597	1.090	1.7	1.74	6.41
1455	310C	45	98	98	98	0.07	0.57					1.7	1.74	0.04
1457	079C	45	98	98	98	0	0	3.1	1.520		0.046	1.7	1.74	0.07
3053	273C	45	75	0	0	0.02	0	5.1	30.000	1.710	0.050	2.8	4.72	0.24
1458	310C	45	75	0	0	0.3	2.03					2.8	4.72	0.61
3052	023C	45	75	0	0	0.02	0	4.1	30.000	1.710	0.320	2.8	4.72	1.54
1460	05LC	45	98	98	98	0	0	MC4				1.7	1.74	16.35

Pérdida de carga acumulada del segmento

 Δp_t [Pa] : 8.91

Velocidad en la sección inicial del segmento

 V_m [m/s] : 3.1

Velocidad en la sección final del segmento

 V_v [m/s] : 1.7

Recuperación de presión estática del segmento

 Δp_r [Pa] : 4.05

Pérdida de carga acumulada del segmento, considerando la recuperación

 Δp_{tn} [Pa] : 5.21

Pérdida de carga acumulada neta – total acumulado

 $\Sigma \Delta p_{tn}$ [Pa] : 172.81

Desequilibrio del terminal respecto al camino más desfavorable

 Δp_{Tmr} [Pa] : 23.06**SEGMENTO 379:****Tipo:** Tramo

1 ELEMENTO		2 Caudal Q	3 Diam. D/D _e	4 Ancho A	5 Alto B	6 Long. L	7 $\Delta p/L$	8 Fuente Tab	9 Ashrae X	10 Ashrae Y	11 Coeff. C _o	12 Veloc. V	13 P.Dinám P _v	14 Pérdida Δp_r o Δp_c
N. pz.	Cod.	[m³/h]	[mm]	[mm]	[mm]	[m]	[Pa/m]	n.	-	-	-	[m/s]	[Pa]	[Pa]
3037	11RA	180	164	150	150	0	0	ASH6_26M	0.800		0.020	2.2	2.91	0.12
1427	310R	180	164	150	150	0.6	0.55					2.2	2.91	0.33

Pérdida de carga acumulada del segmento

 Δp_t [Pa] : 0.45

Velocidad en la sección inicial del segmento

 V_m [m/s] : 3.1

Velocidad en la sección final del segmento

 V_v [m/s] : 2.5

Recuperación de presión estática del segmento
 Pérdida de carga acumulada del segmento, considerando la recuperación
 Pérdida de carga acumulada neta – total acumulado

Δp_r [Pa] : 2.02
 Δp_{tn} [Pa] : -0.35
 $\Sigma \Delta p_{tn}$ [Pa] : 150.89

SEGMENTO 378:

Tipo: Terminal TRM-24

1 ELEMENTO		2 Caudal Q	3 Diam. D/D _e	4 Ancho A	5 Alto B	6 Long. L	7 $\Delta p/L$	8 Fuente Tab	9 Ashrae X	10 Ashrae Y	11 Coeff. C _o	12 Veloc. V	13 P.Dinám P _v	14 Pérdida Δp_r o Δp_c
N. pz.	Cod.	[m³/h]	[mm]	[mm]	[mm]	[m]	[Pa/m]	n.	-	-	-	[m/s]	[Pa]	[Pa]
3038	11RA	45	98	98	98	0	0	ASH6_26	0.250	0.746	1.130	1.7	1.74	4.25
1449	310C	45	98	98	98	0.07	0.57					1.7	1.74	0.04
1451	079C	45	98	98	98	0	0	3.1	1.520		0.046	1.7	1.74	0.07
3051	273C	45	75	0	0	0.02	0	5.1	30.000	1.710	0.050	2.8	4.72	0.24
1452	310C	45	75	0	0	0.3	2.03					2.8	4.72	0.61
3050	023C	45	75	0	0	0.02	0	4.1	30.000	1.710	0.320	2.8	4.72	1.54
1454	05LC	45	98	98	98	0	0	MC4				1.7	1.74	16.35

Pérdida de carga acumulada del segmento
 Velocidad en la sección inicial del segmento
 Velocidad en la sección final del segmento
 Recuperación de presión estática del segmento
 Pérdida de carga acumulada del segmento, considerando la recuperación
 Pérdida de carga acumulada neta – total acumulado
 Desequilibrio del terminal respecto al camino más desfavorable

Δp_t [Pa] : 6.76
 V_m [m/s] : 2.5
 V_v [m/s] : 1.7
 Δp_r [Pa] : 2.02
 Δp_{tn} [Pa] : 5.17
 $\Sigma \Delta p_{tn}$ [Pa] : 172.41
 Δp_{Tmr} [Pa] : 23.46

SEGMENTO 377:

Tipo: Tramo

1 ELEMENTO		2 Caudal Q	3 Diam. D/D _e	4 Ancho A	5 Alto B	6 Long. L	7 $\Delta p/L$	8 Fuente Tab	9 Ashrae X	10 Ashrae Y	11 Coeff. C _o	12 Veloc. V	13 P.Dinám P _v	14 Pérdida Δp_r o Δp_c
N. pz.	Cod.	[m³/h]	[mm]	[mm]	[mm]	[m]	[Pa/m]	n.	-	-	-	[m/s]	[Pa]	[Pa]
3039	11RA	135	164	150	150	0	0	ASH6_26M	0.750		0.030	1.7	1.74	0.11
1428	310R	135	164	150	150	0.6	0.32					1.7	1.74	0.19

Pérdida de carga acumulada del segmento
 Velocidad en la sección inicial del segmento
 Velocidad en la sección final del segmento
 Recuperación de presión estática del segmento
 Pérdida de carga acumulada del segmento, considerando la recuperación
 Pérdida de carga acumulada neta – total acumulado

Δp_t [Pa] : 0.31
 V_m [m/s] : 2.5
 V_v [m/s] : 2.5
 Δp_r [Pa] : 0
 Δp_{tn} [Pa] : 1.13
 $\Sigma \Delta p_{tn}$ [Pa] : 152.02

SEGMENTO 376:

Tipo: Terminal TRM-25

1 ELEMENTO		2 Caudal Q	3 Diam. D/D _e	4 Ancho A	5 Alto B	6 Long. L	7 $\Delta p/L$	8 Fuente Tab	9 Ashrae X	10 Ashrae Y	11 Coeff. C _o	12 Veloc. V	13 P.Dinám P _v	14 Pérdida Δp_r o Δp_c
N. pz.	Cod.	[m³/h]	[mm]	[mm]	[mm]	[m]	[Pa/m]	n.	-	-	-	[m/s]	[Pa]	[Pa]
3040	11RA	45	98	98	98	0	0	ASH6_26	0.333	0.995	1.110	1.7	1.74	4.16
1443	310C	45	98	98	98	0.07	0.57					1.7	1.74	0.04
1445	079C	45	98	98	98	0	0	3.1	1.520		0.046	1.7	1.74	0.07
3049	273C	45	75	0	0	0.02	0	5.1	30.000	1.710	0.050	2.8	4.72	0.24
1446	310C	45	75	0	0	0.3	2.03					2.8	4.72	0.61

3048	023C	45	75	0	0	0.02	0	4.1	30.000	1.710	0.320	2.8	4.72	1.54
1448	05LC	45	98	98	98	0	0	MC4				1.7	1.74	16.35

Pérdida de carga acumulada del segmento	Δp_t	[Pa]	: 6.66
Velocidad en la sección inicial del segmento	V_m	[m/s]	: 2.5
Velocidad en la sección final del segmento	V_v	[m/s]	: 1.7
Recuperación de presión estática del segmento	Δp_r	[Pa]	: 2.02
Pérdida de carga acumulada del segmento, considerando la recuperación	Δp_{tm}	[Pa]	: 5.08
Pérdida de carga acumulada neta – total acumulado	$\Sigma \Delta p_{tm}$	[Pa]	: 173.45
Desequilibrio del terminal respecto al camino más desfavorable	Δp_{Tmr}	[Pa]	: 22.42

SEGMENTO 375:

Tipo: Tramo

1 ELEMENTO		2 Caudal Q	3 Diam. D/D _e	4 Ancho A	5 Alto B	6 Long. L	7 $\Delta p/L$	8 Fuente Tab	9 Ashrae X	10 Ashrae Y	11 Coeff. C _o	12 Veloc. V	13 P.Dinám P _v	14 Pérdida Δp_r o Δp_e
N. pz.	Cod.	[m³/h]	[mm]	[mm]	[mm]	[m]	[Pa/m]	n.	-	-	-	[m/s]	[Pa]	[Pa]
3041	11RA	90	164	150	150	0	0	ASH6_26M	0.667		0.047	1.1	0.73	0.18
1429	310R	90	164	150	150	0.6	0.15					1.1	0.73	0.09

Pérdida de carga acumulada del segmento	Δp_t	[Pa]	: 0.27
Velocidad en la sección inicial del segmento	V_m	[m/s]	: 2.5
Velocidad en la sección final del segmento	V_v	[m/s]	: 2.5
Recuperación de presión estática del segmento	Δp_r	[Pa]	: 0
Pérdida de carga acumulada del segmento, considerando la recuperación	Δp_{tm}	[Pa]	: 0.95
Pérdida de carga acumulada neta – total acumulado	$\Sigma \Delta p_{tm}$	[Pa]	: 152.98

SEGMENTO 374:

Tipo: Terminal TRM-26

1 ELEMENTO		2 Caudal Q	3 Diam. D/D _e	4 Ancho A	5 Alto B	6 Long. L	7 $\Delta p/L$	8 Fuente Tab	9 Ashrae X	10 Ashrae Y	11 Coeff. C _o	12 Veloc. V	13 P.Dinám P _v	14 Pérdida Δp_r o Δp_e
N. pz.	Cod.	[m³/h]	[mm]	[mm]	[mm]	[m]	[Pa/m]	n.	-	-	-	[m/s]	[Pa]	[Pa]
3042	11RA	45	98	98	98	0	0	ASH6_26	0.500	1.490	1.260	1.7	1.74	4.74
1437	310C	45	98	98	98	0.07	0.57					1.7	1.74	0.04
1439	079C	45	98	98	98	0	0	3.1	1.520		0.046	1.7	1.74	0.07
3047	273C	45	75	0	0	0.02	0	5.1	30.000	1.710	0.050	2.8	4.72	0.24
1440	310C	45	75	0	0	0.3	2.03					2.8	4.72	0.61
3046	023C	45	75	0	0	0.02	0	4.1	30.000	1.710	0.320	2.8	4.72	1.54
1442	05LC	45	98	98	98	0	0	MC4				1.7	1.74	16.35

Pérdida de carga acumulada del segmento	Δp_t	[Pa]	: 7.25
Velocidad en la sección inicial del segmento	V_m	[m/s]	: 2.5
Velocidad en la sección final del segmento	V_v	[m/s]	: 1.7
Recuperación de presión estática del segmento	Δp_r	[Pa]	: 2.02
Pérdida de carga acumulada del segmento, considerando la recuperación	Δp_{tm}	[Pa]	: 5.67
Pérdida de carga acumulada neta – total acumulado	$\Sigma \Delta p_{tm}$	[Pa]	: 174.99
Desequilibrio del terminal respecto al camino más desfavorable	Δp_{Tmr}	[Pa]	: 20.88

SEGMENTO 373:

Tipo: Terminal TRM-27

1	2	3	4	5	6	7	8	9	10	11	12	13	14
---	---	---	---	---	---	---	---	---	----	----	----	----	----

ELEMENTO		Caudal Q	Diam. D/D _e	Ancho A	Alto B	Long. L	$\Delta p/L$	Fuente Tab	Ashrae X	Ashrae Y	Coeff. C _o	Veloc. V	P.Dinám P _v	Pérdida Δp_r o Δp_e
N. pz.	Cod.	[m³/h]	[mm]	[mm]	[mm]	[m]	[Pa/m]	n.	-	-	-	[m/s]	[Pa]	[Pa]
3043	11RA	45	164	150	150	0	0	ASH6_26M	0.500		0.090	0.6	0.22	0.34
1430	310R	45	164	150	150	0.6	0.05					0.6	0.22	0.03
1421	11RAT	45	164	150	150	0	0	2_6	1.000	0.915	2.800	0.6	0.22	0
1431	310C	45	98	98	98	0.07	0.57					1.7	1.74	0.04
1433	079C	45	98	98	98	0	0	3.1	1.520		0.046	1.7	1.74	0.07
3045	023C	45	98	98	98	0	0	4.1	30.000	1.040	0.320	1.7	1.74	0.53
1434	310C	45	100	0	0	0.3	0.5					1.6	1.54	0.15
3044	273C	45	98	98	98	0	0	5.1	30.000	1.040	0.050	1.7	1.74	0.08
1436	05LC	45	98	98	98	0	0	MC4				1.7	1.74	16.35

Pérdida de carga acumulada del segmento	Δp_t	[Pa]	: 1.24
Velocidad en la sección inicial del segmento	V_m	[m/s]	: 2.5
Velocidad en la sección final del segmento	V_v	[m/s]	: 1.7
Recuperación de presión estática del segmento	Δp_r	[Pa]	: 2.02
Pérdida de carga acumulada del segmento, considerando la recuperación	Δp_{tm}	[Pa]	: -0.55
Pérdida de carga acumulada neta – total acumulado	$\Sigma \Delta p_{tm}$	[Pa]	: 168.77
Desequilibrio del terminal respecto al camino más desfavorable	Δp_{Tmr}	[Pa]	: 27.1

SEGMENTO 371:**Tipo:** Tramo

1 ELEMENTO		2 Caudal Q	3 Diam. D/D _e	4 Ancho A	5 Alto B	6 Long. L	7 $\Delta p/L$	8 Fuente Tab	9 Ashrae X	10 Ashrae Y	11 Coeff. C _o	12 Veloc. V	13 P.Dinám P _v	14 Pérdida Δp_r o Δp_e
N. pz.	Cod.	[m³/h]	[mm]	[mm]	[mm]	[m]	[Pa/m]	n.	-	-	-	[m/s]	[Pa]	[Pa]
1348	3736	450	381	250	500	0	0	MC4	0.083	0.455	19.200	1	0.6	11.53
2985	283R	450	210	250	150	0.71	0	5.1	30.000	3.330	0.043	3.3	6.56	0.31
1347	310R	450	210	250	150	1.05	0.87					3.3	6.56	0.91

Pérdida de carga acumulada del segmento	Δp_t	[Pa]	: 12.76
Velocidad en la sección inicial del segmento	V_m	[m/s]	: 4.7
Velocidad en la sección final del segmento	V_v	[m/s]	: 3.3
Recuperación de presión estática del segmento	Δp_r	[Pa]	: 6.74
Pérdida de carga acumulada del segmento, considerando la recuperación	Δp_{tm}	[Pa]	: 6.22
Pérdida de carga acumulada neta – total acumulado	$\Sigma \Delta p_{tm}$	[Pa]	: 142.8

SEGMENTO 370:**Tipo:** Terminal TRM-46

1 ELEMENTO		2 Caudal Q	3 Diam. D/D _e	4 Ancho A	5 Alto B	6 Long. L	7 $\Delta p/L$	8 Fuente Tab	9 Ashrae X	10 Ashrae Y	11 Coeff. C _o	12 Veloc. V	13 P.Dinám P _v	14 Pérdida Δp_r o Δp_e
N. pz.	Cod.	[m³/h]	[mm]	[mm]	[mm]	[m]	[Pa/m]	n.	-	-	-	[m/s]	[Pa]	[Pa]
2983	11RA	45	98	98	98	0	0	ASH6_26	0.100	0.497	1.070	1.7	1.74	7.18
1413	310C	45	98	98	98	0.07	0.57					1.7	1.74	0.04
1415	079C	45	98	98	98	0	0	3.1	1.520		0.046	1.7	1.74	0.07
3024	273C	45	75	0	0	0.02	0	5.1	30.000	1.710	0.050	2.8	4.72	0.24
1416	310C	45	75	0	0	0.3	2.03					2.8	4.72	0.61
3023	023C	45	75	0	0	0.02	0	4.1	30.000	1.710	0.320	2.8	4.72	1.54
1418	05LC	45	98	98	98	0	0	MC4				1.7	1.74	16.35

Pérdida de carga acumulada del segmento	Δp_t	[Pa]	: 9.68
Velocidad en la sección inicial del segmento	V_m	[m/s]	: 3.3
Velocidad en la sección final del segmento	V_v	[m/s]	: 1.7
Recuperación de presión estática del segmento	Δp_r	[Pa]	: 4.82

Pérdida de carga acumulada del segmento, considerando la recuperación
 Pérdida de carga acumulada neta – total acumulado
 Desequilibrio del terminal respecto al camino más desfavorable

Δp_{tm} [Pa] : 5.18
 $\Sigma \Delta p_{tm}$ [Pa] : 164.33
 Δp_{Tmr} [Pa] : 31.54

SEGMENTO 369:

Tipo: Tramo

1 ELEMENTO		2 Caudal Q	3 Diam. D/D _e	4 Ancho A	5 Alto B	6 Long. L	7 $\Delta p/L$	8 Fuente Tab	9 Ashrae X	10 Ashrae Y	11 Coeff. C _o	12 Veloc. V	13 P.Dinám P _v	14 Pérdida Δp_r o Δp_e
N. pz.	Cod.	[m³/h]	[mm]	[mm]	[mm]	[m]	[Pa/m]	n.	-	-	-	[m/s]	[Pa]	[Pa]
2984	11RA	405	210	250	150	0	0	ASH6_26M	0.900		0.010	3	5.42	0.07
2988	283R	405	152	200	100	0.19	0	5.1	30.000	1.880	0.050	5.6	18.88	0.95
1350	310R	405	152	200	100	0.6	3.53					5.6	18.88	2.12

Pérdida de carga acumulada del segmento
 Velocidad en la sección inicial del segmento
 Velocidad en la sección final del segmento
 Recuperación de presión estática del segmento
 Pérdida de carga acumulada del segmento, considerando la recuperación
 Pérdida de carga acumulada neta – total acumulado

Δp_t [Pa] : 3.14
 V_m [m/s] : 3.3
 V_v [m/s] : 5.6
 Δp_r [Pa] : -12.32
 Δp_{tm} [Pa] : 15.5
 $\Sigma \Delta p_{tm}$ [Pa] : 158.3

SEGMENTO 368:

Tipo: Terminal TRM-46

1 ELEMENTO		2 Caudal Q	3 Diam. D/D _e	4 Ancho A	5 Alto B	6 Long. L	7 $\Delta p/L$	8 Fuente Tab	9 Ashrae X	10 Ashrae Y	11 Coeff. C _o	12 Veloc. V	13 P.Dinám P _v	14 Pérdida Δp_r o Δp_e
N. pz.	Cod.	[m³/h]	[mm]	[mm]	[mm]	[m]	[Pa/m]	n.	-	-	-	[m/s]	[Pa]	[Pa]
2986	11RA	45	98	98	98	0	0	ASH6_26	0.111	0.295	1.010	1.7	1.74	19.28
1407	310C	45	98	98	98	0.07	0.57					1.7	1.74	0.04
1409	079C	45	98	98	98	0	0	3.1	1.520		0.046	1.7	1.74	0.07
3022	273C	45	75	0	0	0.02	0	5.1	30.000	1.710	0.050	2.8	4.72	0.24
1410	310C	45	75	0	0	0.3	2.03					2.8	4.72	0.61
3021	023C	45	75	0	0	0.02	0	4.1	30.000	1.710	0.320	2.8	4.72	1.54
1412	05LC	45	98	98	98	0	0	MC4				1.7	1.74	16.35

Pérdida de carga acumulada del segmento
 Velocidad en la sección inicial del segmento
 Velocidad en la sección final del segmento
 Recuperación de presión estática del segmento
 Pérdida de carga acumulada del segmento, considerando la recuperación
 Pérdida de carga acumulada neta – total acumulado
 Desequilibrio del terminal respecto al camino más desfavorable

Δp_t [Pa] : 21.78
 V_m [m/s] : 5.6
 V_v [m/s] : 1.7
 Δp_r [Pa] : 17.14
 Δp_{tm} [Pa] : 4.92
 $\Sigma \Delta p_{tm}$ [Pa] : 179.57
 Δp_{Tmr} [Pa] : 16.3

SEGMENTO 367:

Tipo: Tramo

1 ELEMENTO		2 Caudal Q	3 Diam. D/D _e	4 Ancho A	5 Alto B	6 Long. L	7 $\Delta p/L$	8 Fuente Tab	9 Ashrae X	10 Ashrae Y	11 Coeff. C _o	12 Veloc. V	13 P.Dinám P _v	14 Pérdida Δp_r o Δp_e
N. pz.	Cod.	[m³/h]	[mm]	[mm]	[mm]	[m]	[Pa/m]	n.	-	-	-	[m/s]	[Pa]	[Pa]
2987	11RA	360	152	200	100	0	0	ASH6_26M	0.889		0.011	5	15.05	0.21
1351	310R	360	152	200	100	0.6	2.85					5	15.05	1.71

Pérdida de carga acumulada del segmento	Δp_t	[Pa]	: 1.92
Velocidad en la sección inicial del segmento	V_m	[m/s]	: 5.6
Velocidad en la sección final del segmento	V_v	[m/s]	: 5
Recuperación de presión estática del segmento	Δp_r	[Pa]	: 3.83
Pérdida de carga acumulada del segmento, considerando la recuperación	Δp_{tn}	[Pa]	: -2.08
Pérdida de carga acumulada neta – total acumulado	$\Sigma \Delta p_{tn}$	[Pa]	: 156.22

SEGMENTO 366:

Tipo: Terminal TRM-46

1 ELEMENTO		2 Caudal Q	3 Diam. D/D _e	4 Ancho A	5 Alto B	6 Long. L	7 $\Delta p/L$	8 Fuente Tab	9 Ashrae X	10 Ashrae Y	11 Coeff. C _o	12 Veloc. V	13 P.Dinám P _v	14 Pérdida Δp_r o Δp_e
N. pz.	Cod.	[m³/h]	[mm]	[mm]	[mm]	[m]	[Pa/m]	n.	-	-	-	[m/s]	[Pa]	[Pa]
2989	11RA	45	98	98	98	0	0	ASH6_26	0.125	0.332	1.020	1.7	1.74	15.39
1401	310C	45	98	98	98	0.07	0.57					1.7	1.74	0.04
1403	079C	45	98	98	98	0	0	3.1	1.520		0.046	1.7	1.74	0.07
3020	273C	45	75	0	0	0.02	0	5.1	30.000	1.710	0.050	2.8	4.72	0.24
1404	310C	45	75	0	0	0.3	2.03					2.8	4.72	0.61
3019	023C	45	75	0	0	0.02	0	4.1	30.000	1.710	0.320	2.8	4.72	1.54
1406	05LC	45	98	98	98	0	0	MC4				1.7	1.74	16.35

Pérdida de carga acumulada del segmento	Δp_t	[Pa]	: 17.89
Velocidad en la sección inicial del segmento	V_m	[m/s]	: 5
Velocidad en la sección final del segmento	V_v	[m/s]	: 1.7
Recuperación de presión estática del segmento	Δp_r	[Pa]	: 13.31
Pérdida de carga acumulada del segmento, considerando la recuperación	Δp_{tn}	[Pa]	: 5.03
Pérdida de carga acumulada neta – total acumulado	$\Sigma \Delta p_{tn}$	[Pa]	: 177.59
Desequilibrio del terminal respecto al camino más desfavorable	Δp_{Tmr}	[Pa]	: 18.27

SEGMENTO 365:

Tipo: Tramo

1 ELEMENTO		2 Caudal Q	3 Diam. D/D _e	4 Ancho A	5 Alto B	6 Long. L	7 $\Delta p/L$	8 Fuente Tab	9 Ashrae X	10 Ashrae Y	11 Coeff. C _o	12 Veloc. V	13 P.Dinám P _v	14 Pérdida Δp_r o Δp_e
N. pz.	Cod.	[m³/h]	[mm]	[mm]	[mm]	[m]	[Pa/m]	n.	-	-	-	[m/s]	[Pa]	[Pa]
2990	11RA	315	152	200	100	0	0	ASH6_26M	0.875		0.012	4.4	11.65	0.19
2993	283R	315	133	150	100	0.14	0	5.1	30.000	1.330	0.050	5.8	20.25	1.02
1352	310R	315	133	150	100	0.6	4.32					5.8	20.25	2.59

Pérdida de carga acumulada del segmento	Δp_t	[Pa]	: 3.8
Velocidad en la sección inicial del segmento	V_m	[m/s]	: 5
Velocidad en la sección final del segmento	V_v	[m/s]	: 5.8
Recuperación de presión estática del segmento	Δp_r	[Pa]	: -5.2
Pérdida de carga acumulada del segmento, considerando la recuperación	Δp_{tn}	[Pa]	: 9.24
Pérdida de carga acumulada neta – total acumulado	$\Sigma \Delta p_{tn}$	[Pa]	: 165.46

SEGMENTO 364:

Tipo: Terminal TRM-46

1 ELEMENTO		2 Caudal Q	3 Diam. D/D _e	4 Ancho A	5 Alto B	6 Long. L	7 $\Delta p/L$	8 Fuente Tab	9 Ashrae X	10 Ashrae Y	11 Coeff. C _o	12 Veloc. V	13 P.Dinám P _v	14 Pérdida Δp_r o Δp_e
---------------	--	------------------	--------------------------------	-----------------	----------------	-----------------	-------------------	--------------------	------------------	-------------------	--------------------------------	-------------------	---------------------------------	--

N. pz.	Cod.	[m³/h]	[mm]	[mm]	[mm]	[m]	[Pa/m]	n.	-	-	-	[m/s]	[Pa]	[Pa]
2991	11RA	45	98	98	98	0	0	ASH6_26	0.143	0.284	1.030	1.7	1.74	21.15
1395	310C	45	98	98	98	0.07	0.57					1.7	1.74	0.04
1397	079C	45	98	98	98	0	0	3.1	1.520		0.046	1.7	1.74	0.07
3018	273C	45	75	0	0	0.02	0	5.1	30.000	1.710	0.050	2.8	4.72	0.24
1398	310C	45	75	0	0	0.3	2.03					2.8	4.72	0.61
3017	023C	45	75	0	0	0.02	0	4.1	30.000	1.710	0.320	2.8	4.72	1.54
1400	05LC	45	98	98	98	0	0	MC4				1.7	1.74	16.35

Pérdida de carga acumulada del segmento	Δp_t	[Pa]	: 23.65
Velocidad en la sección inicial del segmento	V_m	[m/s]	: 5.8
Velocidad en la sección final del segmento	V_v	[m/s]	: 1.7
Recuperación de presión estática del segmento	Δp_r	[Pa]	: 18.51
Pérdida de carga acumulada del segmento, considerando la recuperación	Δp_{tn}	[Pa]	: 5.35
Pérdida de carga acumulada neta – total acumulado	$\Sigma \Delta p_{tn}$	[Pa]	: 187.16
Desequilibrio del terminal respecto al camino más desfavorable	Δp_{Tmr}	[Pa]	: 8.71

SEGMENTO 363:

Tipo: Tramo

1 ELEMENTO		2 Caudal Q	3 Diam. D/D _e	4 Ancho A	5 Alto B	6 Long. L	7 $\Delta p/L$	8 Fuente Tab	9 Ashrae X	10 Ashrae Y	11 Coeff. C _o	12 Veloc. V	13 P.Dinám P _v	14 Pérdida Δp_r o Δp_c
N. pz.	Cod.	[m³/h]	[mm]	[mm]	[mm]	[m]	[Pa/m]	n.	-	-	-	[m/s]	[Pa]	[Pa]
2992	11RA	270	133	150	100	0	0	ASH6_26M	0.857		0.014	5	15.05	0.29
1353	310R	270	133	150	100	0.6	3.23					5	15.05	1.94

Pérdida de carga acumulada del segmento	Δp_t	[Pa]	: 2.23
Velocidad en la sección inicial del segmento	V_m	[m/s]	: 5.8
Velocidad en la sección final del segmento	V_v	[m/s]	: 5
Recuperación de presión estática del segmento	Δp_r	[Pa]	: 5.2
Pérdida de carga acumulada del segmento, considerando la recuperación	Δp_{tn}	[Pa]	: -3.2
Pérdida de carga acumulada neta – total acumulado	$\Sigma \Delta p_{tn}$	[Pa]	: 162.26

SEGMENTO 362:

Tipo: Terminal TRM-46

1 ELEMENTO		2 Caudal Q	3 Diam. D/D _e	4 Ancho A	5 Alto B	6 Long. L	7 $\Delta p/L$	8 Fuente Tab	9 Ashrae X	10 Ashrae Y	11 Coeff. C _o	12 Veloc. V	13 P.Dinám P _v	14 Pérdida Δp_r o Δp_c
N. pz.	Cod.	[m³/h]	[mm]	[mm]	[mm]	[m]	[Pa/m]	n.	-	-	-	[m/s]	[Pa]	[Pa]
2994	11RA	45	98	98	98	0	0	ASH6_26	0.167	0.332	1.050	1.7	1.74	15.79
1389	310C	45	98	98	98	0.07	0.57					1.7	1.74	0.04
1391	079C	45	98	98	98	0	0	3.1	1.520		0.046	1.7	1.74	0.07
3016	273C	45	75	0	0	0.02	0	5.1	30.000	1.710	0.050	2.8	4.72	0.24
1392	310C	45	75	0	0	0.3	2.03					2.8	4.72	0.61
3015	023C	45	75	0	0	0.02	0	4.1	30.000	1.710	0.320	2.8	4.72	1.54
1394	05LC	45	98	98	98	0	0	MC4				1.7	1.74	16.35

Pérdida de carga acumulada del segmento	Δp_t	[Pa]	: 18.29
Velocidad en la sección inicial del segmento	V_m	[m/s]	: 5
Velocidad en la sección final del segmento	V_v	[m/s]	: 1.7
Recuperación de presión estática del segmento	Δp_r	[Pa]	: 13.31
Pérdida de carga acumulada del segmento, considerando la recuperación	Δp_{tn}	[Pa]	: 5.42
Pérdida de carga acumulada neta – total acumulado	$\Sigma \Delta p_{tn}$	[Pa]	: 184.03
Desequilibrio del terminal respecto al camino más desfavorable	Δp_{Tmr}	[Pa]	: 11.84

SEGMENTO 361:**Tipo:** Tramo

1 ELEMENTO		2 Caudal Q	3 Diam. D/D _e	4 Ancho A	5 Alto B	6 Long. L	7 $\Delta p/L$	8 Fuente Tab	9 Ashrae X	10 Ashrae Y	11 Coeff. C _o	12 Veloc. V	13 P.Dinám P _v	14 Pérdida Δp_r o Δp_c
N. pz.	Cod.	[m³/h]	[mm]	[mm]	[mm]	[m]	[Pa/m]	n.	-	-	-	[m/s]	[Pa]	[Pa]
2995	11RA	225	133	150	100	0	0	ASH6_26M	0.833		0.017	4.2	10.62	0.25
1354	310R	225	133	150	100	0.6	2.3					4.2	10.62	1.38

Pérdida de carga acumulada del segmento

 Δp_t [Pa] : 1.64

Velocidad en la sección inicial del segmento

 V_m [m/s] : 5

Velocidad en la sección final del segmento

 V_v [m/s] : 4.2

Recuperación de presión estática del segmento

 Δp_r [Pa] : 4.43

Pérdida de carga acumulada del segmento, considerando la recuperación

 Δp_{tn} [Pa] : -2.96

Pérdida de carga acumulada neta – total acumulado

 $\Sigma \Delta p_{tn}$ [Pa] : 159.29**SEGMENTO 360:****Tipo:** Terminal TRM-46

1 ELEMENTO		2 Caudal Q	3 Diam. D/D _e	4 Ancho A	5 Alto B	6 Long. L	7 $\Delta p/L$	8 Fuente Tab	9 Ashrae X	10 Ashrae Y	11 Coeff. C _o	12 Veloc. V	13 P.Dinám P _v	14 Pérdida Δp_r o Δp_c
N. pz.	Cod.	[m³/h]	[mm]	[mm]	[mm]	[m]	[Pa/m]	n.	-	-	-	[m/s]	[Pa]	[Pa]
2996	11RA	45	98	98	98	0	0	ASH6_26	0.200	0.398	1.070	1.7	1.74	11.18
1383	310C	45	98	98	98	0.07	0.57					1.7	1.74	0.04
1385	079C	45	98	98	98	0	0	3.1	1.520		0.046	1.7	1.74	0.07
3014	273C	45	75	0	0	0.02	0	5.1	30.000	1.710	0.050	2.8	4.72	0.24
1386	310C	45	75	0	0	0.3	2.03					2.8	4.72	0.61
3013	023C	45	75	0	0	0.02	0	4.1	30.000	1.710	0.320	2.8	4.72	1.54
1388	05LC	45	98	98	98	0	0	MC4				1.7	1.74	16.35

Pérdida de carga acumulada del segmento

 Δp_t [Pa] : 13.69

Velocidad en la sección inicial del segmento

 V_m [m/s] : 4.2

Velocidad en la sección final del segmento

 V_v [m/s] : 1.7

Recuperación de presión estática del segmento

 Δp_r [Pa] : 8.88

Pérdida de carga acumulada del segmento, considerando la recuperación

 Δp_{tn} [Pa] : 5.42

Pérdida de carga acumulada neta – total acumulado

 $\Sigma \Delta p_{tn}$ [Pa] : 181.06

Desequilibrio del terminal respecto al camino más desfavorable

 Δp_{Tmr} [Pa] : 14.81**SEGMENTO 359:****Tipo:** Tramo

1 ELEMENTO		2 Caudal Q	3 Diam. D/D _e	4 Ancho A	5 Alto B	6 Long. L	7 $\Delta p/L$	8 Fuente Tab	9 Ashrae X	10 Ashrae Y	11 Coeff. C _o	12 Veloc. V	13 P.Dinám P _v	14 Pérdida Δp_r o Δp_c
N. pz.	Cod.	[m³/h]	[mm]	[mm]	[mm]	[m]	[Pa/m]	n.	-	-	-	[m/s]	[Pa]	[Pa]
2997	11RA	180	133	150	100	0	0	ASH6_26M	0.800		0.020	3.3	6.56	0.21
3000	283R	180	109	100	100	0.14	0	5.1	30.000	1.500	0.050	5	15.05	0.75
1355	310R	180	109	100	100	0.6	4.08					5	15.05	2.45

Pérdida de carga acumulada del segmento

 Δp_t [Pa] : 3.41

Velocidad en la sección inicial del segmento

 V_m [m/s] : 4.2

Velocidad en la sección final del segmento
 Recuperación de presión estática del segmento
 Pérdida de carga acumulada del segmento, considerando la recuperación
 Pérdida de carga acumulada neta – total acumulado

V_v [m/s] : 5
 Δp_r [Pa] : -4.43
 Δp_{tm} [Pa] : 8.01
 $\Sigma \Delta p_{tm}$ [Pa] : 167.31

SEGMENTO 358:

Tipo: Terminal TRM-46

1 ELEMENTO		2 Caudal Q	3 Diam. D/D _e	4 Ancho A	5 Alto B	6 Long. L	7 $\Delta p/L$	8 Fuente Tab	9 Ashrae X	10 Ashrae Y	11 Coeff. C _o	12 Veloc. V	13 P.Dinám P _v	14 Pérdida Δp_r o Δp_e
N. pz.	Cod.	[m³/h]	[mm]	[mm]	[mm]	[m]	[Pa/m]	n.	-	-	-	[m/s]	[Pa]	[Pa]
2998	11RA	45	98	98	98	0	0	ASH6_26	0.250	0.332	1.080	1.7	1.74	16.18
1377	310C	45	98	98	98	0.07	0.57					1.7	1.74	0.04
1379	079C	45	98	98	98	0	0	3.1	1.520		0.046	1.7	1.74	0.07
3012	023C	45	98	98	98	0	0	4.1	30.000	1.040	0.320	1.7	1.74	0.24
1380	310C	45	100	0	0	0.3	0.5					1.6	1.54	0.15
3011	273C	45	98	98	98	0	0	5.1	30.000	1.040	0.050	1.7	1.74	0.08
1382	05LC	45	98	98	98	0	0	MC4				1.7	1.74	16.35

Pérdida de carga acumulada del segmento
 Velocidad en la sección inicial del segmento
 Velocidad en la sección final del segmento
 Recuperación de presión estática del segmento
 Pérdida de carga acumulada del segmento, considerando la recuperación
 Pérdida de carga acumulada neta – total acumulado
 Desequilibrio del terminal respecto al camino más desfavorable

Δp_t [Pa] : 16.76
 V_m [m/s] : 5
 V_v [m/s] : 1.7
 Δp_r [Pa] : 13.31
 Δp_{tm} [Pa] : 3.66
 $\Sigma \Delta p_{tm}$ [Pa] : 187.31
 Δp_{Tmr} [Pa] : 8.56

SEGMENTO 357:

Tipo: Tramo

1 ELEMENTO		2 Caudal Q	3 Diam. D/D _e	4 Ancho A	5 Alto B	6 Long. L	7 $\Delta p/L$	8 Fuente Tab	9 Ashrae X	10 Ashrae Y	11 Coeff. C _o	12 Veloc. V	13 P.Dinám P _v	14 Pérdida Δp_r o Δp_e
N. pz.	Cod.	[m³/h]	[mm]	[mm]	[mm]	[m]	[Pa/m]	n.	-	-	-	[m/s]	[Pa]	[Pa]
2999	11RA	135	109	100	100	0	0	ASH6_26M	0.750		0.030	3.7	8.24	0.45
1356	310R	135	109	100	100	0.6	2.4					3.7	8.24	1.44

Pérdida de carga acumulada del segmento
 Velocidad en la sección inicial del segmento
 Velocidad en la sección final del segmento
 Recuperación de presión estática del segmento
 Pérdida de carga acumulada del segmento, considerando la recuperación
 Pérdida de carga acumulada neta – total acumulado

Δp_t [Pa] : 1.89
 V_m [m/s] : 5
 V_v [m/s] : 3.7
 Δp_r [Pa] : 6.81
 Δp_{tm} [Pa] : -4.69
 $\Sigma \Delta p_{tm}$ [Pa] : 162.62

SEGMENTO 356:

Tipo: Terminal TRM-46

1 ELEMENTO		2 Caudal Q	3 Diam. D/D _e	4 Ancho A	5 Alto B	6 Long. L	7 $\Delta p/L$	8 Fuente Tab	9 Ashrae X	10 Ashrae Y	11 Coeff. C _o	12 Veloc. V	13 P.Dinám P _v	14 Pérdida Δp_r o Δp_e
N. pz.	Cod.	[m³/h]	[mm]	[mm]	[mm]	[m]	[Pa/m]	n.	-	-	-	[m/s]	[Pa]	[Pa]
3001	11RA	45	98	98	98	0	0	ASH6_26	0.333	0.442	1.100	1.7	1.74	9.28
1371	310C	45	98	98	98	0.07	0.57					1.7	1.74	0.04
1373	079C	45	98	98	98	0	0	3.1	1.520		0.046	1.7	1.74	0.07

3010	273C	45	75	0	0	0.02	0	5.1	30.000	1.710	0.050	2.8	4.72	0.24
1374	310C	45	75	0	0	0.3	2.03					2.8	4.72	0.61
3009	023C	45	75	0	0	0.02	0	4.1	30.000	1.710	0.320	2.8	4.72	1.54
1376	05LC	45	98	98	98	0	0	MC4				1.7	1.74	16.35

Pérdida de carga acumulada del segmento	Δp_t	[Pa]	: 11.79
Velocidad en la sección inicial del segmento	V_m	[m/s]	: 3.7
Velocidad en la sección final del segmento	V_v	[m/s]	: 1.7
Recuperación de presión estática del segmento	Δp_r	[Pa]	: 6.5
Pérdida de carga acumulada del segmento, considerando la recuperación	Δp_{tn}	[Pa]	: 5.51
Pérdida de carga acumulada neta – total acumulado	$\Sigma \Delta p_{tn}$	[Pa]	: 184.47
Desequilibrio del terminal respecto al camino más desfavorable	Δp_{Tmr}	[Pa]	: 11.4

SEGMENTO 355:

Tipo: Tramo

1 ELEMENTO		2 Caudal Q	3 Diam. D/D _e	4 Ancho A	5 Alto B	6 Long. L	7 $\Delta p/L$	8 Fuente Tab	9 Ashrae X	10 Ashrae Y	11 Coeff. C _o	12 Veloc. V	13 P.Dinám P _v	14 Pérdida Δp_r o Δp_c
N. pz.	Cod.	[m³/h]	[mm]	[mm]	[mm]	[m]	[Pa/m]	n.	-	-	-	[m/s]	[Pa]	[Pa]
3002	11RA	90	109	100	100	0	0	ASH6_26M	0.667		0.047	2.5	3.76	0.4
1357	310R	90	109	100	100	0.6	1.13					2.5	3.76	0.68

Pérdida de carga acumulada del segmento	Δp_t	[Pa]	: 1.07
Velocidad en la sección inicial del segmento	V_m	[m/s]	: 3.7
Velocidad en la sección final del segmento	V_v	[m/s]	: 2.5
Recuperación de presión estática del segmento	Δp_r	[Pa]	: 4.48
Pérdida de carga acumulada del segmento, considerando la recuperación	Δp_{tn}	[Pa]	: -3.63
Pérdida de carga acumulada neta – total acumulado	$\Sigma \Delta p_{tn}$	[Pa]	: 158.99

SEGMENTO 354:

Tipo: Terminal TRM-46

1 ELEMENTO		2 Caudal Q	3 Diam. D/D _e	4 Ancho A	5 Alto B	6 Long. L	7 $\Delta p/L$	8 Fuente Tab	9 Ashrae X	10 Ashrae Y	11 Coeff. C _o	12 Veloc. V	13 P.Dinám P _v	14 Pérdida Δp_r o Δp_c
N. pz.	Cod.	[m³/h]	[mm]	[mm]	[mm]	[m]	[Pa/m]	n.	-	-	-	[m/s]	[Pa]	[Pa]
3003	11RA	45	98	98	98	0	0	ASH6_26	0.500	0.663	1.260	1.7	1.74	4.74
1365	310C	45	98	98	98	0.07	0.57					1.7	1.74	0.04
1367	079C	45	98	98	98	0	0	3.1	1.520		0.046	1.7	1.74	0.07
3008	273C	45	75	0	0	0.02	0	5.1	30.000	1.710	0.050	2.8	4.72	0.24
1368	310C	45	75	0	0	0.3	2.03					2.8	4.72	0.61
3007	023C	45	75	0	0	0.02	0	4.1	30.000	1.710	0.320	2.8	4.72	1.54
1370	05LC	45	98	98	98	0	0	MC4				1.7	1.74	16.35

Pérdida de carga acumulada del segmento	Δp_t	[Pa]	: 7.25
Velocidad en la sección inicial del segmento	V_m	[m/s]	: 2.5
Velocidad en la sección final del segmento	V_v	[m/s]	: 1.7
Recuperación de presión estática del segmento	Δp_r	[Pa]	: 2.02
Pérdida de carga acumulada del segmento, considerando la recuperación	Δp_{tn}	[Pa]	: 5.67
Pérdida de carga acumulada neta – total acumulado	$\Sigma \Delta p_{tn}$	[Pa]	: 181
Desequilibrio del terminal respecto al camino más desfavorable	Δp_{Tmr}	[Pa]	: 14.87

SEGMENTO 353:

Tipo: Terminal TRM-46

1 ELEMENTO		2 Caudal Q	3 Diam. D/D _e	4 Ancho A	5 Alto B	6 Long. L	7 $\Delta p/L$	8 Fuente Tab	9 Ashrae X	10 Ashrae Y	11 Coeff. C _o	12 Veloc. V	13 P.Dinám P _v	14 Pérdida Δp_r o Δp_c
N. pz.	Cod.	[m³/h]	[mm]	[mm]	[mm]	[m]	[Pa/m]	n.	-	-	-	[m/s]	[Pa]	[Pa]
3004	11RA	45	109	100	100	0	0	ASH6_26M	0.500		0.090	1.2	0.87	0.34
1358	310R	45	109	100	100	0.6	0.32					1.2	0.87	0.19
1349	11RAT	45	109	100	100	0	0	2_6	1.000	0.917	2.800	1.2	0.87	4.63
1359	310C	45	98	98	98	0.07	0.57					1.7	1.74	0.04
1361	079C	45	98	98	98	0	0	3.1	1.520		0.046	1.7	1.74	0.07
3006	023C	45	98	98	98	0	0	4.1	30.000	1.040	0.320	1.7	1.74	0.53
1362	310C	45	100	0	0	0.3	0.5					1.6	1.54	0.15
3005	273C	45	98	98	98	0	0	5.1	30.000	1.040	0.050	1.7	1.74	0.08
1364	05LC	45	98	98	98	0	0	MC4				1.7	1.74	16.35

Pérdida de carga acumulada del segmento	Δp_t	[Pa]	: 6.04
Velocidad en la sección inicial del segmento	V_m	[m/s]	: 2.5
Velocidad en la sección final del segmento	V_v	[m/s]	: 1.7
Recuperación de presión estática del segmento	Δp_r	[Pa]	: 2.02
Pérdida de carga acumulada del segmento, considerando la recuperación	Δp_{tm}	[Pa]	: 3.93
Pérdida de carga acumulada neta – total acumulado	$\Sigma \Delta p_{tm}$	[Pa]	: 179.26
Desequilibrio del terminal respecto al camino más desfavorable	Δp_{Tmr}	[Pa]	: 16.61

SEGMENTO 391:

Tipo: Tramo

1 ELEMENTO		2 Caudal Q	3 Diam. D/D _e	4 Ancho A	5 Alto B	6 Long. L	7 $\Delta p/L$	8 Fuente Tab	9 Ashrae X	10 Ashrae Y	11 Coeff. C _o	12 Veloc. V	13 P.Dinám P _v	14 Pérdida Δp_r o Δp_c
N. pz.	Cod.	[m³/h]	[mm]	[mm]	[mm]	[m]	[Pa/m]	n.	-	-	-	[m/s]	[Pa]	[Pa]
2982	3736	4500	573	550	500	0	0	MC4	0.833		0.080	4.5	12.19	0.97
3066	283R	4500	511	550	400	0.27	0	5.1	30.000	1.250	0.050	5.7	19.56	0.04
1491	310R	4500	511	550	400	1	0.77					5.7	19.56	0.77

Pérdida de carga acumulada del segmento	Δp_t	[Pa]	: 1.78
Velocidad en la sección inicial del segmento	V_m	[m/s]	: 4.7
Velocidad en la sección final del segmento	V_v	[m/s]	: 3.9
Recuperación de presión estática del segmento	Δp_r	[Pa]	: 4.14
Pérdida de carga acumulada del segmento, considerando la recuperación	Δp_{tm}	[Pa]	: -1.33
Pérdida de carga acumulada neta – total acumulado	$\Sigma \Delta p_{tm}$	[Pa]	: 135.25

SEGMENTO 411:

Tipo: Tramo

1 ELEMENTO		2 Caudal Q	3 Diam. D/D _e	4 Ancho A	5 Alto B	6 Long. L	7 $\Delta p/L$	8 Fuente Tab	9 Ashrae X	10 Ashrae Y	11 Coeff. C _o	12 Veloc. V	13 P.Dinám P _v	14 Pérdida Δp_r o Δp_c
N. pz.	Cod.	[m³/h]	[mm]	[mm]	[mm]	[m]	[Pa/m]	n.	-	-	-	[m/s]	[Pa]	[Pa]
3064	3736	450	260	150	400	0	0	MC4	0.100	0.273	1.500	2.1	2.65	3.97
3111	283R	450	164	150	150	0.53	0	5.1	30.000	2.670	0.047	5.6	18.88	0.87
1566	310R	450	164	150	150	1.1	2.95					5.6	18.88	3.25

Pérdida de carga acumulada del segmento	Δp_t	[Pa]	: 8.1
Velocidad en la sección inicial del segmento	V_m	[m/s]	: 3.9
Velocidad en la sección final del segmento	V_v	[m/s]	: 3.3
Recuperación de presión estática del segmento	Δp_r	[Pa]	: 2.6
Pérdida de carga acumulada del segmento, considerando la recuperación	Δp_{tm}	[Pa]	: 6.53

Pérdida de carga acumulada neta – total acumulado

 $\Sigma \Delta p_{tn}$ [Pa] : 141.78**SEGMENTO 429:****Tipo:** Terminal TRM-18

1 ELEMENTO		2 Caudal Q	3 Diam. D/D _e	4 Ancho A	5 Alto B	6 Long. L	7 $\Delta p/L$	8 Fuente Tab	9 Ashrae X	10 Ashrae Y	11 Coeff. C _o	12 Veloc. V	13 P.Dinám P _v	14 Pérdida Δp_r o Δp_e
N. pz.	Cod.	[m³/h]	[mm]	[mm]	[mm]	[m]	[Pa/m]	n.	-	-	-	[m/s]	[Pa]	[Pa]
3109	11RA	45	98	98	98	0	0	ASH6_26	0.100	0.298	1.070	1.7	1.74	7.18
1632	310C	45	98	98	98	0.07	0.57					1.7	1.74	0.04
1634	079C	45	98	98	98	0	0	3.1	1.520		0.046	1.7	1.74	0.07
3147	273C	45	75	0	0	0.02	0	5.1	30.000	1.710	0.050	2.8	4.72	0.24
1635	310C	45	75	0	0	0.3	2.03					2.8	4.72	0.61
3146	023C	45	75	0	0	0.02	0	4.1	30.000	1.710	0.320	2.8	4.72	1.54
1637	05LC	45	98	98	98	0	0	MC4				1.7	1.74	16.35

Pérdida de carga acumulada del segmento

 Δp_t [Pa] : 9.68

Velocidad en la sección inicial del segmento

 V_m [m/s] : 3.3

Velocidad en la sección final del segmento

 V_v [m/s] : 1.7

Recuperación de presión estática del segmento

 Δp_r [Pa] : 4.82

Pérdida de carga acumulada del segmento, considerando la recuperación

 Δp_{tn} [Pa] : 5.18

Pérdida de carga acumulada neta – total acumulado

 $\Sigma \Delta p_{tn}$ [Pa] : 163.31

Desequilibrio del terminal respecto al camino más desfavorable

 Δp_{Tmr} [Pa] : 32.56**SEGMENTO 428:****Tipo:** Tramo

1 ELEMENTO		2 Caudal Q	3 Diam. D/D _e	4 Ancho A	5 Alto B	6 Long. L	7 $\Delta p/L$	8 Fuente Tab	9 Ashrae X	10 Ashrae Y	11 Coeff. C _o	12 Veloc. V	13 P.Dinám P _v	14 Pérdida Δp_r o Δp_e
N. pz.	Cod.	[m³/h]	[mm]	[mm]	[mm]	[m]	[Pa/m]	n.	-	-	-	[m/s]	[Pa]	[Pa]
3110	11RA	405	164	150	150	0	0	ASH6_26M	0.900		0.010	5	15.05	0.07
1569	310R	405	164	150	150	0.6	2.43					5	15.05	1.46

Pérdida de carga acumulada del segmento

 Δp_t [Pa] : 1.52

Velocidad en la sección inicial del segmento

 V_m [m/s] : 3.3

Velocidad en la sección final del segmento

 V_v [m/s] : 3

Recuperación de presión estática del segmento

 Δp_r [Pa] : 1.14

Pérdida de carga acumulada del segmento, considerando la recuperación

 Δp_{tn} [Pa] : 1.76

Pérdida de carga acumulada neta – total acumulado

 $\Sigma \Delta p_{tn}$ [Pa] : 143.54**SEGMENTO 427:****Tipo:** Terminal TRM-19

1 ELEMENTO		2 Caudal Q	3 Diam. D/D _e	4 Ancho A	5 Alto B	6 Long. L	7 $\Delta p/L$	8 Fuente Tab	9 Ashrae X	10 Ashrae Y	11 Coeff. C _o	12 Veloc. V	13 P.Dinám P _v	14 Pérdida Δp_r o Δp_e
N. pz.	Cod.	[m³/h]	[mm]	[mm]	[mm]	[m]	[Pa/m]	n.	-	-	-	[m/s]	[Pa]	[Pa]
3112	11RA	45	98	98	98	0	0	ASH6_26	0.111	0.332	1.110	1.7	1.74	6
1626	310C	45	98	98	98	0.07	0.57					1.7	1.74	0.04
1628	079C	45	98	98	98	0	0	3.1	1.520		0.046	1.7	1.74	0.07
3145	273C	45	75	0	0	0.02	0	5.1	30.000	1.710	0.050	2.8	4.72	0.24
1629	310C	45	75	0	0	0.3	2.03					2.8	4.72	0.61
3144	023C	45	75	0	0	0.02	0	4.1	30.000	1.710	0.320	2.8	4.72	1.54
1631	05LC	45	98	98	98	0	0	MC4				1.7	1.74	16.35

Pérdida de carga acumulada del segmento	Δp_t	[Pa] : 8.51
Velocidad en la sección inicial del segmento	V_m	[m/s] : 3
Velocidad en la sección final del segmento	V_v	[m/s] : 1.7
Recuperación de presión estática del segmento	Δp_r	[Pa] : 3.68
Pérdida de carga acumulada del segmento, considerando la recuperación	Δp_{tn}	[Pa] : 5.27
Pérdida de carga acumulada neta – total acumulado	$\Sigma \Delta p_{tn}$	[Pa] : 165.16
Desequilibrio del terminal respecto al camino más desfavorable	Δp_{Tmr}	[Pa] : 30.71

SEGMENTO 426:

Tipo: Tramo

1 ELEMENTO		2 Caudal Q	3 Diam. D/D _e	4 Ancho A	5 Alto B	6 Long. L	7 $\Delta p/L$	8 Fuente Tab	9 Ashrae X	10 Ashrae Y	11 Coeff. C _o	12 Veloc. V	13 P.Dinám P _v	14 Pérdida Δp_r o Δp_e
N. pz.	Cod.	[m³/h]	[mm]	[mm]	[mm]	[m]	[Pa/m]	n.	-	-	-	[m/s]	[Pa]	[Pa]
3113	11RA	360	164	150	150	0	0	ASH6_26M	0.889		0.011	4.4	11.65	0.06
1570	310R	360	164	150	150	0.6	1.95					4.4	11.65	1.17

Pérdida de carga acumulada del segmento	Δp_t	[Pa] : 1.23
Velocidad en la sección inicial del segmento	V_m	[m/s] : 3
Velocidad en la sección final del segmento	V_v	[m/s] : 2.7
Recuperación de presión estática del segmento	Δp_r	[Pa] : 1.03
Pérdida de carga acumulada del segmento, considerando la recuperación	Δp_{tn}	[Pa] : 1.28
Pérdida de carga acumulada neta – total acumulado	$\Sigma \Delta p_{tn}$	[Pa] : 144.82

SEGMENTO 425:

Tipo: Terminal TRM-20

1 ELEMENTO		2 Caudal Q	3 Diam. D/D _e	4 Ancho A	5 Alto B	6 Long. L	7 $\Delta p/L$	8 Fuente Tab	9 Ashrae X	10 Ashrae Y	11 Coeff. C _o	12 Veloc. V	13 P.Dinám P _v	14 Pérdida Δp_r o Δp_e
N. pz.	Cod.	[m³/h]	[mm]	[mm]	[mm]	[m]	[Pa/m]	n.	-	-	-	[m/s]	[Pa]	[Pa]
3114	11RA	45	98	98	98	0	0	ASH6_26	0.125	0.373	1.140	1.7	1.74	4.88
1620	310C	45	98	98	98	0.07	0.57					1.7	1.74	0.04
1622	079C	45	98	98	98	0	0	3.1	1.520		0.046	1.7	1.74	0.07
3143	273C	45	75	0	0	0.02	0	5.1	30.000	1.710	0.050	2.8	4.72	0.24
1623	310C	45	75	0	0	0.3	2.03					2.8	4.72	0.61
3142	023C	45	75	0	0	0.02	0	4.1	30.000	1.710	0.320	2.8	4.72	1.54
1625	05LC	45	98	98	98	0	0	MC4				1.7	1.74	16.35

Pérdida de carga acumulada del segmento	Δp_t	[Pa] : 7.38
Velocidad en la sección inicial del segmento	V_m	[m/s] : 2.7
Velocidad en la sección final del segmento	V_v	[m/s] : 1.7
Recuperación de presión estática del segmento	Δp_r	[Pa] : 2.65
Pérdida de carga acumulada del segmento, considerando la recuperación	Δp_{tn}	[Pa] : 5.28
Pérdida de carga acumulada neta – total acumulado	$\Sigma \Delta p_{tn}$	[Pa] : 166.45
Desequilibrio del terminal respecto al camino más desfavorable	Δp_{Tmr}	[Pa] : 29.42

SEGMENTO 424:

Tipo: Tramo

1 ELEMENTO		2 Caudal Q	3 Diam. D/D _e	4 Ancho A	5 Alto B	6 Long. L	7 $\Delta p/L$	8 Fuente Tab	9 Ashrae X	10 Ashrae Y	11 Coeff. C _o	12 Veloc. V	13 P.Dinám P _v	14 Pérdida Δp_r o Δp_e
---------------	--	------------------	--------------------------------	-----------------	----------------	-----------------	-------------------	--------------------	------------------	-------------------	--------------------------------	-------------------	---------------------------------	--

N. pz.	Cod.	[m³/h]	[mm]	[mm]	[mm]	[m]	[Pa/m]	n.	-	-	-	[m/s]	[Pa]	[Pa]
3115	11RA	315	164	150	150	0	0	ASH6_26M	0.875		0.012	3.9	9.16	0.05
1571	310R	315	164	150	150	0.6	1.52					3.9	9.16	0.91

Pérdida de carga acumulada del segmento	Δp_t	[Pa]	: 0.97
Velocidad en la sección inicial del segmento	V_m	[m/s]	: 2.7
Velocidad en la sección final del segmento	V_v	[m/s]	: 2.3
Recuperación de presión estática del segmento	Δp_r	[Pa]	: 1.2
Pérdida de carga acumulada del segmento, considerando la recuperación	Δp_{tm}	[Pa]	: 0.87
Pérdida de carga acumulada neta – total acumulado	$\Sigma \Delta p_{tm}$	[Pa]	: 145.69

SEGMENTO 423:

Tipo: Terminal TRM-21

1 ELEMENTO		2 Caudal Q	3 Diam. D/D _e	4 Ancho A	5 Alto B	6 Long. L	7 $\Delta p/L$	8 Fuente Tab	9 Ashrae X	10 Ashrae Y	11 Coeff. C _o	12 Veloc. V	13 P.Dinám P _v	14 Pérdida Δp_r o Δp_c
N. pz.	Cod.	[m³/h]	[mm]	[mm]	[mm]	[m]	[Pa/m]	n.	-	-	-	[m/s]	[Pa]	[Pa]
3116	11RA	45	98	98	98	0	0	ASH6_26	0.143	0.426	1.190	1.7	1.74	3.88
1614	310C	45	98	98	98	0.07	0.57					1.7	1.74	0.04
1616	079C	45	98	98	98	0	0	3.1	1.520		0.046	1.7	1.74	0.07
3141	273C	45	75	0	0	0.02	0	5.1	30.000	1.710	0.050	2.8	4.72	0.24
1617	310C	45	75	0	0	0.3	2.03					2.8	4.72	0.61
3140	023C	45	75	0	0	0.02	0	4.1	30.000	1.710	0.320	2.8	4.72	1.54
1619	05LC	45	98	98	98	0	0	MC4				1.7	1.74	16.35

Pérdida de carga acumulada del segmento	Δp_t	[Pa]	: 6.39
Velocidad en la sección inicial del segmento	V_m	[m/s]	: 2.3
Velocidad en la sección final del segmento	V_v	[m/s]	: 1.7
Recuperación de presión estática del segmento	Δp_r	[Pa]	: 1.44
Pérdida de carga acumulada del segmento, considerando la recuperación	Δp_{tm}	[Pa]	: 5.29
Pérdida de carga acumulada neta – total acumulado	$\Sigma \Delta p_{tm}$	[Pa]	: 167.33
Desequilibrio del terminal respecto al camino más desfavorable	Δp_{Tmr}	[Pa]	: 28.54

SEGMENTO 422:

Tipo: Tramo

1 ELEMENTO		2 Caudal Q	3 Diam. D/D _e	4 Ancho A	5 Alto B	6 Long. L	7 $\Delta p/L$	8 Fuente Tab	9 Ashrae X	10 Ashrae Y	11 Coeff. C _o	12 Veloc. V	13 P.Dinám P _v	14 Pérdida Δp_r o Δp_c
N. pz.	Cod.	[m³/h]	[mm]	[mm]	[mm]	[m]	[Pa/m]	n.	-	-	-	[m/s]	[Pa]	[Pa]
3117	11RA	270	164	150	150	0	0	ASH6_26M	0.857		0.014	3.3	6.56	0.05
1572	310R	270	164	150	150	0.6	1.15					3.3	6.56	0.69

Pérdida de carga acumulada del segmento	Δp_t	[Pa]	: 0.73
Velocidad en la sección inicial del segmento	V_m	[m/s]	: 2.3
Velocidad en la sección final del segmento	V_v	[m/s]	: 2
Recuperación de presión estática del segmento	Δp_r	[Pa]	: 0.78
Pérdida de carga acumulada del segmento, considerando la recuperación	Δp_{tm}	[Pa]	: 0.53
Pérdida de carga acumulada neta – total acumulado	$\Sigma \Delta p_{tm}$	[Pa]	: 146.22

SEGMENTO 421:

Tipo: Terminal TRM-22

1 ELEMENTO		2 Caudal Q	3 Diam. D/D _e	4 Ancho A	5 Alto B	6 Long. L	7 $\Delta p/L$	8 Fuente Tab	9 Ashrae X	10 Ashrae Y	11 Coeff. C _o	12 Veloc. V	13 P.Dinám P _v	14 Pérdida Δp_r o Δp_e
N. pz.	Cod.	[m³/h]	[mm]	[mm]	[mm]	[m]	[Pa/m]	n.	-	-	-	[m/s]	[Pa]	[Pa]
3118	11RA	45	98	98	98	0	0	ASH6_26	0.167	0.497	1.280	1.7	1.74	3.08
1608	310C	45	98	98	98	0.07	0.57					1.7	1.74	0.04
1610	079C	45	98	98	98	0	0	3.1	1.520		0.046	1.7	1.74	0.07
3139	273C	45	75	0	0	0.02	0	5.1	30.000	1.710	0.050	2.8	4.72	0.24
1611	310C	45	75	0	0	0.3	2.03					2.8	4.72	0.61
3138	023C	45	75	0	0	0.02	0	4.1	30.000	1.710	0.320	2.8	4.72	1.54
1613	05LC	45	98	98	98	0	0	MC4				1.7	1.74	16.35

Pérdida de carga acumulada del segmento	Δp_t	[Pa] : 5.59
Velocidad en la sección inicial del segmento	V_m	[m/s] : 2
Velocidad en la sección final del segmento	V_v	[m/s] : 1.7
Recuperación de presión estática del segmento	Δp_r	[Pa] : 0.67
Pérdida de carga acumulada del segmento, considerando la recuperación	Δp_{tm}	[Pa] : 5.36
Pérdida de carga acumulada neta – total acumulado	$\Sigma \Delta p_{tm}$	[Pa] : 167.93
Desequilibrio del terminal respecto al camino más desfavorable	Δp_{Tmr}	[Pa] : 27.94

SEGMENTO 420:

Tipo: Tramo

1 ELEMENTO		2 Caudal Q	3 Diam. D/D _e	4 Ancho A	5 Alto B	6 Long. L	7 $\Delta p/L$	8 Fuente Tab	9 Ashrae X	10 Ashrae Y	11 Coeff. C _o	12 Veloc. V	13 P.Dinám P _v	14 Pérdida Δp_r o Δp_e
N. pz.	Cod.	[m³/h]	[mm]	[mm]	[mm]	[m]	[Pa/m]	n.	-	-	-	[m/s]	[Pa]	[Pa]
3119	11RA	225	164	150	150	0	0	ASH6_26M	0.833		0.017	2.8	4.72	0.04
1573	310R	225	164	150	150	0.6	0.82					2.8	4.72	0.49

Pérdida de carga acumulada del segmento	Δp_t	[Pa] : 0.53
Velocidad en la sección inicial del segmento	V_m	[m/s] : 2
Velocidad en la sección final del segmento	V_v	[m/s] : 3.1
Recuperación de presión estática del segmento	Δp_r	[Pa] : -3.38
Pérdida de carga acumulada del segmento, considerando la recuperación	Δp_{tm}	[Pa] : 4.53
Pérdida de carga acumulada neta – total acumulado	$\Sigma \Delta p_{tm}$	[Pa] : 150.75

SEGMENTO 419:

Tipo: Terminal TRM-22

1 ELEMENTO		2 Caudal Q	3 Diam. D/D _e	4 Ancho A	5 Alto B	6 Long. L	7 $\Delta p/L$	8 Fuente Tab	9 Ashrae X	10 Ashrae Y	11 Coeff. C _o	12 Veloc. V	13 P.Dinám P _v	14 Pérdida Δp_r o Δp_e
N. pz.	Cod.	[m³/h]	[mm]	[mm]	[mm]	[m]	[Pa/m]	n.	-	-	-	[m/s]	[Pa]	[Pa]
3120	11RA	45	98	98	98	0	0	ASH6_26	0.200	0.597	1.090	1.7	1.74	6.41
1602	310C	45	98	98	98	0.07	0.57					1.7	1.74	0.04
1604	079C	45	98	98	98	0	0	3.1	1.520		0.046	1.7	1.74	0.07
3137	273C	45	75	0	0	0.02	0	5.1	30.000	1.710	0.050	2.8	4.72	0.24
1605	310C	45	75	0	0	0.3	2.03					2.8	4.72	0.61
3136	023C	45	75	0	0	0.02	0	4.1	30.000	1.710	0.320	2.8	4.72	1.54
1607	05LC	45	98	98	98	0	0	MC4				1.7	1.74	16.35

Pérdida de carga acumulada del segmento	Δp_t	[Pa] : 8.91
Velocidad en la sección inicial del segmento	V_m	[m/s] : 3.1
Velocidad en la sección final del segmento	V_v	[m/s] : 1.7

Recuperación de presión estática del segmento	Δp_r	[Pa] : 4.05
Pérdida de carga acumulada del segmento, considerando la recuperación	Δp_{tn}	[Pa] : 5.21
Pérdida de carga acumulada neta – total acumulado	$\Sigma \Delta p_{tn}$	[Pa] : 172.31
Desequilibrio del terminal respecto al camino más desfavorable	Δp_{Tmr}	[Pa] : 23.56

SEGMENTO 418:

Tipo: Tramo

1 ELEMENTO		2 Caudal Q	3 Diam. D/D _e	4 Ancho A	5 Alto B	6 Long. L	7 $\Delta p/L$	8 Fuente Tab	9 Ashrae X	10 Ashrae Y	11 Coeff. C _o	12 Veloc. V	13 P.Dinám P _v	14 Pérdida Δp_r o Δp_c
N. pz.	Cod.	[m³/h]	[mm]	[mm]	[mm]	[m]	[Pa/m]	n.	-	-	-	[m/s]	[Pa]	[Pa]
3121	11RA	180	164	150	150	0	0	ASH6_26M	0.800		0.020	2.2	2.91	0.12
1574	310R	180	164	150	150	0.6	0.55					2.2	2.91	0.33

Pérdida de carga acumulada del segmento	Δp_t	[Pa] : 0.45
Velocidad en la sección inicial del segmento	V_m	[m/s] : 3.1
Velocidad en la sección final del segmento	V_v	[m/s] : 2.5
Recuperación de presión estática del segmento	Δp_r	[Pa] : 2.02
Pérdida de carga acumulada del segmento, considerando la recuperación	Δp_{tn}	[Pa] : -0.35
Pérdida de carga acumulada neta – total acumulado	$\Sigma \Delta p_{tn}$	[Pa] : 150.4

SEGMENTO 417:

Tipo: Terminal TRM-24

1 ELEMENTO		2 Caudal Q	3 Diam. D/D _e	4 Ancho A	5 Alto B	6 Long. L	7 $\Delta p/L$	8 Fuente Tab	9 Ashrae X	10 Ashrae Y	11 Coeff. C _o	12 Veloc. V	13 P.Dinám P _v	14 Pérdida Δp_r o Δp_c
N. pz.	Cod.	[m³/h]	[mm]	[mm]	[mm]	[m]	[Pa/m]	n.	-	-	-	[m/s]	[Pa]	[Pa]
3122	11RA	45	98	98	98	0	0	ASH6_26	0.250	0.746	1.130	1.7	1.74	4.25
1596	310C	45	98	98	98	0.07	0.57					1.7	1.74	0.04
1598	079C	45	98	98	98	0	0	3.1	1.520		0.046	1.7	1.74	0.07
3135	273C	45	75	0	0	0.02	0	5.1	30.000	1.710	0.050	2.8	4.72	0.24
1599	310C	45	75	0	0	0.3	2.03					2.8	4.72	0.61
3134	023C	45	75	0	0	0.02	0	4.1	30.000	1.710	0.320	2.8	4.72	1.54
1601	05LC	45	98	98	98	0	0	MC4				1.7	1.74	16.35

Pérdida de carga acumulada del segmento	Δp_t	[Pa] : 6.76
Velocidad en la sección inicial del segmento	V_m	[m/s] : 2.5
Velocidad en la sección final del segmento	V_v	[m/s] : 1.7
Recuperación de presión estática del segmento	Δp_r	[Pa] : 2.02
Pérdida de carga acumulada del segmento, considerando la recuperación	Δp_{tn}	[Pa] : 5.17
Pérdida de carga acumulada neta – total acumulado	$\Sigma \Delta p_{tn}$	[Pa] : 171.92
Desequilibrio del terminal respecto al camino más desfavorable	Δp_{Tmr}	[Pa] : 23.95

SEGMENTO 416:

Tipo: Tramo

1 ELEMENTO		2 Caudal Q	3 Diam. D/D _e	4 Ancho A	5 Alto B	6 Long. L	7 $\Delta p/L$	8 Fuente Tab	9 Ashrae X	10 Ashrae Y	11 Coeff. C _o	12 Veloc. V	13 P.Dinám P _v	14 Pérdida Δp_r o Δp_c
N. pz.	Cod.	[m³/h]	[mm]	[mm]	[mm]	[m]	[Pa/m]	n.	-	-	-	[m/s]	[Pa]	[Pa]
3123	11RA	135	164	150	150	0	0	ASH6_26M	0.750		0.030	1.7	1.74	0.11
1575	310R	135	164	150	150	0.6	0.32					1.7	1.74	0.19

Pérdida de carga acumulada del segmento	Δp_t	[Pa]	: 0.31
Velocidad en la sección inicial del segmento	V_m	[m/s]	: 2.5
Velocidad en la sección final del segmento	V_v	[m/s]	: 2.5
Recuperación de presión estática del segmento	Δp_r	[Pa]	: 0
Pérdida de carga acumulada del segmento, considerando la recuperación	Δp_{tm}	[Pa]	: 1.13
Pérdida de carga acumulada neta – total acumulado	$\Sigma \Delta p_{tm}$	[Pa]	: 151.53

SEGMENTO 415:

Tipo: Terminal TRM-25

1 ELEMENTO		2 Caudal Q	3 Diam. D/D _e	4 Ancho A	5 Alto B	6 Long. L	7 $\Delta p/L$	8 Fuente Tab	9 Ashrae X	10 Ashrae Y	11 Coeff. C _o	12 Veloc. V	13 P.Dinám P _v	14 Pérdida Δp_r o Δp_c
N. pz.	Cod.	[m³/h]	[mm]	[mm]	[mm]	[m]	[Pa/m]	n.	-	-	-	[m/s]	[Pa]	[Pa]
3124	11RA	45	98	98	98	0	0	ASH6_26	0.333	0.995	1.110	1.7	1.74	4.16
1590	310C	45	98	98	98	0.07	0.57					1.7	1.74	0.04
1592	079C	45	98	98	98	0	0	3.1	1.520		0.046	1.7	1.74	0.07
3133	273C	45	75	0	0	0.02	0	5.1	30.000	1.710	0.050	2.8	4.72	0.24
1593	310C	45	75	0	0	0.3	2.03					2.8	4.72	0.61
3132	023C	45	75	0	0	0.02	0	4.1	30.000	1.710	0.320	2.8	4.72	1.54
1595	05LC	45	98	98	98	0	0	MC4				1.7	1.74	16.35

Pérdida de carga acumulada del segmento	Δp_t	[Pa]	: 6.66
Velocidad en la sección inicial del segmento	V_m	[m/s]	: 2.5
Velocidad en la sección final del segmento	V_v	[m/s]	: 1.7
Recuperación de presión estática del segmento	Δp_r	[Pa]	: 2.02
Pérdida de carga acumulada del segmento, considerando la recuperación	Δp_{tm}	[Pa]	: 5.08
Pérdida de carga acumulada neta – total acumulado	$\Sigma \Delta p_{tm}$	[Pa]	: 172.96
Desequilibrio del terminal respecto al camino más desfavorable	Δp_{Tmr}	[Pa]	: 22.91

SEGMENTO 414:

Tipo: Tramo

1 ELEMENTO		2 Caudal Q	3 Diam. D/D _e	4 Ancho A	5 Alto B	6 Long. L	7 $\Delta p/L$	8 Fuente Tab	9 Ashrae X	10 Ashrae Y	11 Coeff. C _o	12 Veloc. V	13 P.Dinám P _v	14 Pérdida Δp_r o Δp_c
N. pz.	Cod.	[m³/h]	[mm]	[mm]	[mm]	[m]	[Pa/m]	n.	-	-	-	[m/s]	[Pa]	[Pa]
3125	11RA	90	164	150	150	0	0	ASH6_26M	0.667		0.047	1.1	0.73	0.18
1576	310R	90	164	150	150	0.6	0.15					1.1	0.73	0.09

Pérdida de carga acumulada del segmento	Δp_t	[Pa]	: 0.27
Velocidad en la sección inicial del segmento	V_m	[m/s]	: 2.5
Velocidad en la sección final del segmento	V_v	[m/s]	: 2.5
Recuperación de presión estática del segmento	Δp_r	[Pa]	: 0
Pérdida de carga acumulada del segmento, considerando la recuperación	Δp_{tm}	[Pa]	: 0.95
Pérdida de carga acumulada neta – total acumulado	$\Sigma \Delta p_{tm}$	[Pa]	: 152.48

SEGMENTO 413:

Tipo: Terminal TRM-26

1 ELEMENTO		2 Caudal Q	3 Diam. D/D _e	4 Ancho A	5 Alto B	6 Long. L	7 $\Delta p/L$	8 Fuente Tab	9 Ashrae X	10 Ashrae Y	11 Coeff. C _o	12 Veloc. V	13 P.Dinám P _v	14 Pérdida Δp_r o Δp_c
N. pz.	Cod.	[m³/h]	[mm]	[mm]	[mm]	[m]	[Pa/m]	n.	-	-	-	[m/s]	[Pa]	[Pa]

3126	11RA	45	98	98	98	0	0	ASH6_26	0.500	1.490	1.260	1.7	1.74	4.74
1584	310C	45	98	98	98	0.07	0.57					1.7	1.74	0.04
1586	079C	45	98	98	98	0	0	3.1	1.520		0.046	1.7	1.74	0.07
3131	273C	45	75	0	0	0.02	0	5.1	30.000	1.710	0.050	2.8	4.72	0.24
1587	310C	45	75	0	0	0.3	2.03					2.8	4.72	0.61
3130	023C	45	75	0	0	0.02	0	4.1	30.000	1.710	0.320	2.8	4.72	1.54
1589	05LC	45	98	98	98	0	0	MC4				1.7	1.74	16.35

Pérdida de carga acumulada del segmento	Δp_t	[Pa]	: 7.25
Velocidad en la sección inicial del segmento	V_m	[m/s]	: 2.5
Velocidad en la sección final del segmento	V_v	[m/s]	: 1.7
Recuperación de presión estática del segmento	Δp_r	[Pa]	: 2.02
Pérdida de carga acumulada del segmento, considerando la recuperación	Δp_{tm}	[Pa]	: 5.67
Pérdida de carga acumulada neta – total acumulado	$\Sigma \Delta p_{tm}$	[Pa]	: 174.5
Desequilibrio del terminal respecto al camino más desfavorable	Δp_{Tmr}	[Pa]	: 21.37

SEGMENTO 412:

Tipo: Terminal TRM-27

1 ELEMENTO		2 Caudal Q	3 Diam. D/D _e	4 Ancho A	5 Alto B	6 Long. L	7 $\Delta p/L$	8 Fuente Tab	9 Ashrae X	10 Ashrae Y	11 Coeff. C _o	12 Veloc. V	13 P.Dinám P _v	14 Pérdida Δp_r o Δp_e
N. pz.	Cod.	[m³/h]	[mm]	[mm]	[mm]	[m]	[Pa/m]	n.	-	-	-	[m/s]	[Pa]	[Pa]
3127	11RA	45	164	150	150	0	0	ASH6_26M	0.500		0.090	0.6	0.22	0.34
1577	310R	45	164	150	150	0.6	0.05					0.6	0.22	0.03
1568	11RAT	45	164	150	150	0	0	2_6	1.000	0.915	2.800	0.6	0.22	0
1578	310C	45	98	98	98	0.07	0.57					1.7	1.74	0.04
1580	079C	45	98	98	98	0	0	3.1	1.520		0.046	1.7	1.74	0.07
3129	023C	45	98	98	98	0	0	4.1	30.000	1.040	0.320	1.7	1.74	0.53
1581	310C	45	100	0	0	0.3	0.5					1.6	1.54	0.15
3128	273C	45	98	98	98	0	0	5.1	30.000	1.040	0.050	1.7	1.74	0.08
1583	05LC	45	98	98	98	0	0	MC4				1.7	1.74	16.35

Pérdida de carga acumulada del segmento	Δp_t	[Pa]	: 1.24
Velocidad en la sección inicial del segmento	V_m	[m/s]	: 2.5
Velocidad en la sección final del segmento	V_v	[m/s]	: 1.7
Recuperación de presión estática del segmento	Δp_r	[Pa]	: 2.02
Pérdida de carga acumulada del segmento, considerando la recuperación	Δp_{tm}	[Pa]	: -0.55
Pérdida de carga acumulada neta – total acumulado	$\Sigma \Delta p_{tm}$	[Pa]	: 168.28
Desequilibrio del terminal respecto al camino más desfavorable	Δp_{Tmr}	[Pa]	: 27.59

SEGMENTO 410:

Tipo: Tramo

1 ELEMENTO		2 Caudal Q	3 Diam. D/D _e	4 Ancho A	5 Alto B	6 Long. L	7 $\Delta p/L$	8 Fuente Tab	9 Ashrae X	10 Ashrae Y	11 Coeff. C _o	12 Veloc. V	13 P.Dinám P _v	14 Pérdida Δp_r o Δp_e
N. pz.	Cod.	[m³/h]	[mm]	[mm]	[mm]	[m]	[Pa/m]	n.	-	-	-	[m/s]	[Pa]	[Pa]
1495	3736	450	343	250	400	0	0	MC4	0.100	0.455	8.130	1.2	0.87	7.07
3069	283R	450	210	250	150	0.53	0	5.1	30.000	2.670	0.047	3.3	6.56	0.31
1494	310R	450	210	250	150	1.05	0.87					3.3	6.56	0.91

Pérdida de carga acumulada del segmento	Δp_t	[Pa]	: 8.29
Velocidad en la sección inicial del segmento	V_m	[m/s]	: 3.9
Velocidad en la sección final del segmento	V_v	[m/s]	: 3.3
Recuperación de presión estática del segmento	Δp_r	[Pa]	: 2.6
Pérdida de carga acumulada del segmento, considerando la recuperación	Δp_{tm}	[Pa]	: 5.79
Pérdida de carga acumulada neta – total acumulado	$\Sigma \Delta p_{tm}$	[Pa]	: 141.05

SEGMENTO 409:

Tipo: Terminal TRM-46

1 ELEMENTO		2 Caudal Q	3 Diam. D/D _e	4 Ancho A	5 Alto B	6 Long. L	7 $\Delta p/L$	8 Fuente Tab	9 Ashrae X	10 Ashrae Y	11 Coeff. C _o	12 Veloc. V	13 P.Dinám P _v	14 Pérdida Δp_r o Δp_c
N. pz.	Cod.	[m³/h]	[mm]	[mm]	[mm]	[m]	[Pa/m]	n.	-	-	-	[m/s]	[Pa]	[Pa]
3067	11RA	45	98	98	98	0	0	ASH6_26	0.100	0.497	1.070	1.7	1.74	7.18
1560	310C	45	98	98	98	0.07	0.57					1.7	1.74	0.04
1562	079C	45	98	98	98	0	0	3.1	1.520		0.046	1.7	1.74	0.07
3108	273C	45	75	0	0	0.02	0	5.1	30.000	1.710	0.050	2.8	4.72	0.24
1563	310C	45	75	0	0	0.3	2.03					2.8	4.72	0.61
3107	023C	45	75	0	0	0.02	0	4.1	30.000	1.710	0.320	2.8	4.72	1.54
1565	05LC	45	98	98	98	0	0	MC4				1.7	1.74	16.35

Pérdida de carga acumulada del segmento

Δp_t [Pa] : 9.68

Velocidad en la sección inicial del segmento

V_m [m/s] : 3.3

Velocidad en la sección final del segmento

V_v [m/s] : 1.7

Recuperación de presión estática del segmento

Δp_r [Pa] : 4.82

Pérdida de carga acumulada del segmento, considerando la recuperación

Δp_{tm} [Pa] : 5.18

Pérdida de carga acumulada neta – total acumulado

$\Sigma \Delta p_{tm}$ [Pa] : 162.57

Desequilibrio del terminal respecto al camino más desfavorable

Δp_{Tmr} [Pa] : 33.3

SEGMENTO 408:

Tipo: Tramo

1 ELEMENTO		2 Caudal Q	3 Diam. D/D _e	4 Ancho A	5 Alto B	6 Long. L	7 $\Delta p/L$	8 Fuente Tab	9 Ashrae X	10 Ashrae Y	11 Coeff. C _o	12 Veloc. V	13 P.Dinám P _v	14 Pérdida Δp_r o Δp_c
N. pz.	Cod.	[m³/h]	[mm]	[mm]	[mm]	[m]	[Pa/m]	n.	-	-	-	[m/s]	[Pa]	[Pa]
3068	11RA	405	210	250	150	0	0	ASH6_26M	0.900		0.010	3	5.42	0.07
3072	283R	405	152	200	100	0.19	0	5.1	30.000	1.880	0.050	5.6	18.88	0.95
1497	310R	405	152	200	100	0.6	3.53					5.6	18.88	2.12

Pérdida de carga acumulada del segmento

Δp_t [Pa] : 3.14

Velocidad en la sección inicial del segmento

V_m [m/s] : 3.3

Velocidad en la sección final del segmento

V_v [m/s] : 5.6

Recuperación de presión estática del segmento

Δp_r [Pa] : -12.32

Pérdida de carga acumulada del segmento, considerando la recuperación

Δp_{tm} [Pa] : 15.5

Pérdida de carga acumulada neta – total acumulado

$\Sigma \Delta p_{tm}$ [Pa] : 156.55

SEGMENTO 407:

Tipo: Terminal TRM-46

1 ELEMENTO		2 Caudal Q	3 Diam. D/D _e	4 Ancho A	5 Alto B	6 Long. L	7 $\Delta p/L$	8 Fuente Tab	9 Ashrae X	10 Ashrae Y	11 Coeff. C _o	12 Veloc. V	13 P.Dinám P _v	14 Pérdida Δp_r o Δp_c
N. pz.	Cod.	[m³/h]	[mm]	[mm]	[mm]	[m]	[Pa/m]	n.	-	-	-	[m/s]	[Pa]	[Pa]
3070	11RA	45	98	98	98	0	0	ASH6_26	0.111	0.295	1.010	1.7	1.74	19.28
1554	310C	45	98	98	98	0.07	0.57					1.7	1.74	0.04
1556	079C	45	98	98	98	0	0	3.1	1.520		0.046	1.7	1.74	0.07
3106	273C	45	75	0	0	0.02	0	5.1	30.000	1.710	0.050	2.8	4.72	0.24
1557	310C	45	75	0	0	0.3	2.03					2.8	4.72	0.61
3105	023C	45	75	0	0	0.02	0	4.1	30.000	1.710	0.320	2.8	4.72	1.54
1559	05LC	45	98	98	98	0	0	MC4				1.7	1.74	16.35

Pérdida de carga acumulada del segmento	Δp_t	[Pa]	: 21.78
Velocidad en la sección inicial del segmento	V_m	[m/s]	: 5.6
Velocidad en la sección final del segmento	V_v	[m/s]	: 1.7
Recuperación de presión estática del segmento	Δp_r	[Pa]	: 17.14
Pérdida de carga acumulada del segmento, considerando la recuperación	Δp_{tn}	[Pa]	: 4.92
Pérdida de carga acumulada neta – total acumulado	$\Sigma \Delta p_{tn}$	[Pa]	: 177.81
Desequilibrio del terminal respecto al camino más desfavorable	Δp_{Tmr}	[Pa]	: 18.06

SEGMENTO 406:

Tipo: Tramo

1 ELEMENTO		2 Caudal Q	3 Diam. D/D _e	4 Ancho A	5 Alto B	6 Long. L	7 $\Delta p/L$	8 Fuente Tab	9 Ashrae X	10 Ashrae Y	11 Coeff. C _o	12 Veloc. V	13 P.Dinám P _v	14 Pérdida Δp_r o Δp_e
N. pz.	Cod.	[m³/h]	[mm]	[mm]	[mm]	[m]	[Pa/m]	n.	-	-	-	[m/s]	[Pa]	[Pa]
3071	11RA	360	152	200	100	0	0	ASH6_26M	0.889		0.011	5	15.05	0.21
1498	310R	360	152	200	100	0.6	2.85					5	15.05	1.71

Pérdida de carga acumulada del segmento	Δp_t	[Pa]	: 1.92
Velocidad en la sección inicial del segmento	V_m	[m/s]	: 5.6
Velocidad en la sección final del segmento	V_v	[m/s]	: 5
Recuperación de presión estática del segmento	Δp_r	[Pa]	: 3.83
Pérdida de carga acumulada del segmento, considerando la recuperación	Δp_{tn}	[Pa]	: -2.08
Pérdida de carga acumulada neta – total acumulado	$\Sigma \Delta p_{tn}$	[Pa]	: 154.47

SEGMENTO 405:

Tipo: Terminal TRM-46

1 ELEMENTO		2 Caudal Q	3 Diam. D/D _e	4 Ancho A	5 Alto B	6 Long. L	7 $\Delta p/L$	8 Fuente Tab	9 Ashrae X	10 Ashrae Y	11 Coeff. C _o	12 Veloc. V	13 P.Dinám P _v	14 Pérdida Δp_r o Δp_e
N. pz.	Cod.	[m³/h]	[mm]	[mm]	[mm]	[m]	[Pa/m]	n.	-	-	-	[m/s]	[Pa]	[Pa]
3073	11RA	45	98	98	98	0	0	ASH6_26	0.125	0.332	1.020	1.7	1.74	15.39
1548	310C	45	98	98	98	0.07	0.57					1.7	1.74	0.04
1550	079C	45	98	98	98	0	0	3.1	1.520		0.046	1.7	1.74	0.07
3104	273C	45	75	0	0	0.02	0	5.1	30.000	1.710	0.050	2.8	4.72	0.24
1551	310C	45	75	0	0	0.3	2.03					2.8	4.72	0.61
3103	023C	45	75	0	0	0.02	0	4.1	30.000	1.710	0.320	2.8	4.72	1.54
1553	05LC	45	98	98	98	0	0	MC4				1.7	1.74	16.35

Pérdida de carga acumulada del segmento	Δp_t	[Pa]	: 17.89
Velocidad en la sección inicial del segmento	V_m	[m/s]	: 5
Velocidad en la sección final del segmento	V_v	[m/s]	: 1.7
Recuperación de presión estática del segmento	Δp_r	[Pa]	: 13.31
Pérdida de carga acumulada del segmento, considerando la recuperación	Δp_{tn}	[Pa]	: 5.03
Pérdida de carga acumulada neta – total acumulado	$\Sigma \Delta p_{tn}$	[Pa]	: 175.84
Desequilibrio del terminal respecto al camino más desfavorable	Δp_{Tmr}	[Pa]	: 20.03

SEGMENTO 404:

Tipo: Tramo

1 ELEMENTO		2 Caudal Q	3 Diam. D/D _e	4 Ancho A	5 Alto B	6 Long. L	7 $\Delta p/L$	8 Fuente Tab	9 Ashrae X	10 Ashrae Y	11 Coeff. C _o	12 Veloc. V	13 P.Dinám P _v	14 Pérdida Δp_r o Δp_e
---------------	--	------------------	--------------------------------	-----------------	----------------	-----------------	-------------------	--------------------	------------------	-------------------	--------------------------------	-------------------	---------------------------------	--

N. pz.	Cod.	[m³/h]	[mm]	[mm]	[mm]	[m]	[Pa/m]	n.	-	-	-	[m/s]	[Pa]	[Pa]
3074	11RA	315	152	200	100	0	0	ASH6_26M	0.875		0.012	4.4	11.65	0.19
3077	283R	315	133	150	100	0.14	0	5.1	30.000	1.330	0.050	5.8	20.25	1.02
1499	310R	315	133	150	100	0.6	4.32					5.8	20.25	2.59

Pérdida de carga acumulada del segmento	Δp_t	[Pa] : 3.8
Velocidad en la sección inicial del segmento	V_m	[m/s] : 5
Velocidad en la sección final del segmento	V_v	[m/s] : 5.8
Recuperación de presión estática del segmento	Δp_r	[Pa] : -5.2
Pérdida de carga acumulada del segmento, considerando la recuperación	Δp_{tm}	[Pa] : 9.24
Pérdida de carga acumulada neta – total acumulado	$\Sigma \Delta p_{tm}$	[Pa] : 163.7

SEGMENTO 403:

Tipo: Terminal TRM-46

1 ELEMENTO		2 Caudal Q	3 Diam. D/D _e	4 Ancho A	5 Alto B	6 Long. L	7 $\Delta p/L$	8 Fuente Tab	9 Ashrae X	10 Ashrae Y	11 Coeff. C _o	12 Veloc. V	13 P.Dinám P _v	14 Pérdida Δp_r o Δp_e
N. pz.	Cod.	[m³/h]	[mm]	[mm]	[mm]	[m]	[Pa/m]	n.	-	-	-	[m/s]	[Pa]	[Pa]
3075	11RA	45	98	98	98	0	0	ASH6_26	0.143	0.284	1.030	1.7	1.74	21.15
1542	310C	45	98	98	98	0.07	0.57					1.7	1.74	0.04
1544	079C	45	98	98	98	0	0	3.1	1.520		0.046	1.7	1.74	0.07
3102	273C	45	75	0	0	0.02	0	5.1	30.000	1.710	0.050	2.8	4.72	0.24
1545	310C	45	75	0	0	0.3	2.03					2.8	4.72	0.61
3101	023C	45	75	0	0	0.02	0	4.1	30.000	1.710	0.320	2.8	4.72	1.54
1547	05LC	45	98	98	98	0	0	MC4				1.7	1.74	16.35

Pérdida de carga acumulada del segmento	Δp_t	[Pa] : 23.65
Velocidad en la sección inicial del segmento	V_m	[m/s] : 5.8
Velocidad en la sección final del segmento	V_v	[m/s] : 1.7
Recuperación de presión estática del segmento	Δp_r	[Pa] : 18.51
Pérdida de carga acumulada del segmento, considerando la recuperación	Δp_{tm}	[Pa] : 5.35
Pérdida de carga acumulada neta – total acumulado	$\Sigma \Delta p_{tm}$	[Pa] : 185.4
Desequilibrio del terminal respecto al camino más desfavorable	Δp_{Tmr}	[Pa] : 10.47

SEGMENTO 402:

Tipo: Tramo

1 ELEMENTO		2 Caudal Q	3 Diam. D/D _e	4 Ancho A	5 Alto B	6 Long. L	7 $\Delta p/L$	8 Fuente Tab	9 Ashrae X	10 Ashrae Y	11 Coeff. C _o	12 Veloc. V	13 P.Dinám P _v	14 Pérdida Δp_r o Δp_e
N. pz.	Cod.	[m³/h]	[mm]	[mm]	[mm]	[m]	[Pa/m]	n.	-	-	-	[m/s]	[Pa]	[Pa]
3076	11RA	270	133	150	100	0	0	ASH6_26M	0.857		0.014	5	15.05	0.29
1500	310R	270	133	150	100	0.6	3.23					5	15.05	1.94

Pérdida de carga acumulada del segmento	Δp_t	[Pa] : 2.23
Velocidad en la sección inicial del segmento	V_m	[m/s] : 5.8
Velocidad en la sección final del segmento	V_v	[m/s] : 5
Recuperación de presión estática del segmento	Δp_r	[Pa] : 5.2
Pérdida de carga acumulada del segmento, considerando la recuperación	Δp_{tm}	[Pa] : -3.2
Pérdida de carga acumulada neta – total acumulado	$\Sigma \Delta p_{tm}$	[Pa] : 160.5

SEGMENTO 401:

Tipo: Terminal TRM-46

1 ELEMENTO		2 Caudal Q	3 Diam. D/D _e	4 Ancho A	5 Alto B	6 Long. L	7 $\Delta p/L$	8 Fuente Tab	9 Ashrae X	10 Ashrae Y	11 Coeff. C _o	12 Veloc. V	13 P.Dinám P _v	14 Pérdida Δp_r o Δp_e
N. pz.	Cod.	[m³/h]	[mm]	[mm]	[mm]	[m]	[Pa/m]	n.	-	-	-	[m/s]	[Pa]	[Pa]
3078	11RA	45	98	98	98	0	0	ASH6_26	0.167	0.332	1.050	1.7	1.74	15.79
1536	310C	45	98	98	98	0.07	0.57					1.7	1.74	0.04
1538	079C	45	98	98	98	0	0	3.1	1.520		0.046	1.7	1.74	0.07
3100	273C	45	75	0	0	0.02	0	5.1	30.000	1.710	0.050	2.8	4.72	0.24
1539	310C	45	75	0	0	0.3	2.03					2.8	4.72	0.61
3099	023C	45	75	0	0	0.02	0	4.1	30.000	1.710	0.320	2.8	4.72	1.54
1541	05LC	45	98	98	98	0	0	MC4				1.7	1.74	16.35

Pérdida de carga acumulada del segmento	Δp_t	[Pa]	: 18.29
Velocidad en la sección inicial del segmento	V_m	[m/s]	: 5
Velocidad en la sección final del segmento	V_v	[m/s]	: 1.7
Recuperación de presión estática del segmento	Δp_r	[Pa]	: 13.31
Pérdida de carga acumulada del segmento, considerando la recuperación	Δp_{tm}	[Pa]	: 5.42
Pérdida de carga acumulada neta – total acumulado	$\Sigma \Delta p_{tm}$	[Pa]	: 182.27
Desequilibrio del terminal respecto al camino más desfavorable	Δp_{Tmr}	[Pa]	: 13.6

SEGMENTO 400:

Tipo: Tramo

1 ELEMENTO		2 Caudal Q	3 Diam. D/D _e	4 Ancho A	5 Alto B	6 Long. L	7 $\Delta p/L$	8 Fuente Tab	9 Ashrae X	10 Ashrae Y	11 Coeff. C _o	12 Veloc. V	13 P.Dinám P _v	14 Pérdida Δp_r o Δp_e
N. pz.	Cod.	[m³/h]	[mm]	[mm]	[mm]	[m]	[Pa/m]	n.	-	-	-	[m/s]	[Pa]	[Pa]
3079	11RA	225	133	150	100	0	0	ASH6_26M	0.833		0.017	4.2	10.62	0.25
1501	310R	225	133	150	100	0.6	2.3					4.2	10.62	1.38

Pérdida de carga acumulada del segmento	Δp_t	[Pa]	: 1.64
Velocidad en la sección inicial del segmento	V_m	[m/s]	: 5
Velocidad en la sección final del segmento	V_v	[m/s]	: 4.2
Recuperación de presión estática del segmento	Δp_r	[Pa]	: 4.43
Pérdida de carga acumulada del segmento, considerando la recuperación	Δp_{tm}	[Pa]	: -2.96
Pérdida de carga acumulada neta – total acumulado	$\Sigma \Delta p_{tm}$	[Pa]	: 157.54

SEGMENTO 399:

Tipo: Terminal TRM-46

1 ELEMENTO		2 Caudal Q	3 Diam. D/D _e	4 Ancho A	5 Alto B	6 Long. L	7 $\Delta p/L$	8 Fuente Tab	9 Ashrae X	10 Ashrae Y	11 Coeff. C _o	12 Veloc. V	13 P.Dinám P _v	14 Pérdida Δp_r o Δp_e
N. pz.	Cod.	[m³/h]	[mm]	[mm]	[mm]	[m]	[Pa/m]	n.	-	-	-	[m/s]	[Pa]	[Pa]
3080	11RA	45	98	98	98	0	0	ASH6_26	0.200	0.398	1.070	1.7	1.74	11.18
1530	310C	45	98	98	98	0.07	0.57					1.7	1.74	0.04
1532	079C	45	98	98	98	0	0	3.1	1.520		0.046	1.7	1.74	0.07
3098	273C	45	75	0	0	0.02	0	5.1	30.000	1.710	0.050	2.8	4.72	0.24
1533	310C	45	75	0	0	0.3	2.03					2.8	4.72	0.61
3097	023C	45	75	0	0	0.02	0	4.1	30.000	1.710	0.320	2.8	4.72	1.54
1535	05LC	45	98	98	98	0	0	MC4				1.7	1.74	16.35

Pérdida de carga acumulada del segmento	Δp_t	[Pa]	: 13.69
Velocidad en la sección inicial del segmento	V_m	[m/s]	: 4.2
Velocidad en la sección final del segmento	V_v	[m/s]	: 1.7

Recuperación de presión estática del segmento	Δp_r	[Pa] : 8.88
Pérdida de carga acumulada del segmento, considerando la recuperación	Δp_{tn}	[Pa] : 5.42
Pérdida de carga acumulada neta – total acumulado	$\Sigma \Delta p_{tn}$	[Pa] : 179.3
Desequilibrio del terminal respecto al camino más desfavorable	Δp_{Tmr}	[Pa] : 16.56

SEGMENTO 398:

Tipo: Tramo

1 ELEMENTO		2 Caudal Q	3 Diam. D/D _e	4 Ancho A	5 Alto B	6 Long. L	7 $\Delta p/L$	8 Fuente Tab	9 Ashrae X	10 Ashrae Y	11 Coeff. C _o	12 Veloc. V	13 P.Dinám P _v	14 Pérdida Δp_r o Δp_e
N. pz.	Cod.	[m³/h]	[mm]	[mm]	[mm]	[m]	[Pa/m]	n.	-	-	-	[m/s]	[Pa]	[Pa]
3081	11RA	180	133	150	100	0	0	ASH6_26M	0.800		0.020	3.3	6.56	0.21
3084	283R	180	109	100	100	0.14	0	5.1	30.000	1.500	0.050	5	15.05	0.75
1502	310R	180	109	100	100	0.6	4.08					5	15.05	2.45

Pérdida de carga acumulada del segmento	Δp_t	[Pa] : 3.41
Velocidad en la sección inicial del segmento	V_m	[m/s] : 4.2
Velocidad en la sección final del segmento	V_v	[m/s] : 5
Recuperación de presión estática del segmento	Δp_r	[Pa] : -4.43
Pérdida de carga acumulada del segmento, considerando la recuperación	Δp_{tn}	[Pa] : 8.01
Pérdida de carga acumulada neta – total acumulado	$\Sigma \Delta p_{tn}$	[Pa] : 165.55

SEGMENTO 397:

Tipo: Terminal TRM-46

1 ELEMENTO		2 Caudal Q	3 Diam. D/D _e	4 Ancho A	5 Alto B	6 Long. L	7 $\Delta p/L$	8 Fuente Tab	9 Ashrae X	10 Ashrae Y	11 Coeff. C _o	12 Veloc. V	13 P.Dinám P _v	14 Pérdida Δp_r o Δp_e
N. pz.	Cod.	[m³/h]	[mm]	[mm]	[mm]	[m]	[Pa/m]	n.	-	-	-	[m/s]	[Pa]	[Pa]
3082	11RA	45	98	98	98	0	0	ASH6_26	0.250	0.332	1.080	1.7	1.74	16.18
1524	310C	45	98	98	98	0.07	0.57					1.7	1.74	0.04
1526	079C	45	98	98	98	0	0	3.1	1.520		0.046	1.7	1.74	0.07
3096	273C	45	75	0	0	0.02	0	5.1	30.000	1.710	0.050	2.8	4.72	0.24
1527	310C	45	75	0	0	0.3	2.03					2.8	4.72	0.61
3095	023C	45	75	0	0	0.02	0	4.1	30.000	1.710	0.320	2.8	4.72	1.54
1529	05LC	45	98	98	98	0	0	MC4				1.7	1.74	16.35

Pérdida de carga acumulada del segmento	Δp_t	[Pa] : 18.68
Velocidad en la sección inicial del segmento	V_m	[m/s] : 5
Velocidad en la sección final del segmento	V_v	[m/s] : 1.7
Recuperación de presión estática del segmento	Δp_r	[Pa] : 13.31
Pérdida de carga acumulada del segmento, considerando la recuperación	Δp_{tn}	[Pa] : 5.82
Pérdida de carga acumulada neta – total acumulado	$\Sigma \Delta p_{tn}$	[Pa] : 187.71
Desequilibrio del terminal respecto al camino más desfavorable	Δp_{Tmr}	[Pa] : 8.15

SEGMENTO 396:

Tipo: Tramo

1 ELEMENTO		2 Caudal Q	3 Diam. D/D _e	4 Ancho A	5 Alto B	6 Long. L	7 $\Delta p/L$	8 Fuente Tab	9 Ashrae X	10 Ashrae Y	11 Coeff. C _o	12 Veloc. V	13 P.Dinám P _v	14 Pérdida Δp_r o Δp_e
N. pz.	Cod.	[m³/h]	[mm]	[mm]	[mm]	[m]	[Pa/m]	n.	-	-	-	[m/s]	[Pa]	[Pa]
3083	11RA	135	109	100	100	0	0	ASH6_26M	0.750		0.030	3.7	8.24	0.45
1503	310R	135	109	100	100	0.6	2.4					3.7	8.24	1.44

Pérdida de carga acumulada del segmento	Δp_t	[Pa]	: 1.89
Velocidad en la sección inicial del segmento	V_m	[m/s]	: 5
Velocidad en la sección final del segmento	V_v	[m/s]	: 3.7
Recuperación de presión estática del segmento	Δp_r	[Pa]	: 6.81
Pérdida de carga acumulada del segmento, considerando la recuperación	Δp_{tm}	[Pa]	: -4.69
Pérdida de carga acumulada neta – total acumulado	$\Sigma \Delta p_{tm}$	[Pa]	: 160.86

SEGMENTO 395:

Tipo: Terminal TRM-46

1 ELEMENTO		2 Caudal Q	3 Diam. D/D _e	4 Ancho A	5 Alto B	6 Long. L	7 $\Delta p_r/L$	8 Fuente Tab	9 Ashrae X	10 Ashrae Y	11 Coeff. C _o	12 Veloc. V	13 P.Dinám P _v	14 Pérdida $\Delta p_r \circ \Delta p_e$
N. pz.	Cod.	[m³/h]	[mm]	[mm]	[mm]	[m]	[Pa/m]	n.	-	-	-	[m/s]	[Pa]	[Pa]
3085	11RA	45	98	98	98	0	0	ASH6_26	0.333	0.442	1.100	1.7	1.74	9.28
1518	310C	45	98	98	98	0.07	0.57					1.7	1.74	0.04
1520	079C	45	98	98	98	0	0	3.1	1.520		0.046	1.7	1.74	0.07
3094	273C	45	75	0	0	0.02	0	5.1	30.000	1.710	0.050	2.8	4.72	0.24
1521	310C	45	75	0	0	0.3	2.03					2.8	4.72	0.61
3093	023C	45	75	0	0	0.02	0	4.1	30.000	1.710	0.320	2.8	4.72	1.54
1523	05LC	45	98	98	98	0	0	MC4				1.7	1.74	16.35

Pérdida de carga acumulada del segmento	Δp_t	[Pa]	: 11.79
Velocidad en la sección inicial del segmento	V_m	[m/s]	: 3.7
Velocidad en la sección final del segmento	V_v	[m/s]	: 1.7
Recuperación de presión estática del segmento	Δp_r	[Pa]	: 6.5
Pérdida de carga acumulada del segmento, considerando la recuperación	Δp_{tm}	[Pa]	: 5.51
Pérdida de carga acumulada neta – total acumulado	$\Sigma \Delta p_{tm}$	[Pa]	: 182.71
Desequilibrio del terminal respecto al camino más desfavorable	Δp_{Tmr}	[Pa]	: 13.16

SEGMENTO 394:

Tipo: Tramo

1 ELEMENTO		2 Caudal Q	3 Diam. D/D _e	4 Ancho A	5 Alto B	6 Long. L	7 $\Delta p_r/L$	8 Fuente Tab	9 Ashrae X	10 Ashrae Y	11 Coeff. C _o	12 Veloc. V	13 P.Dinám P _v	14 Pérdida $\Delta p_r \circ \Delta p_e$
N. pz.	Cod.	[m³/h]	[mm]	[mm]	[mm]	[m]	[Pa/m]	n.	-	-	-	[m/s]	[Pa]	[Pa]
3086	11RA	90	109	100	100	0	0	ASH6_26M	0.667		0.047	2.5	3.76	0.4
1504	310R	90	109	100	100	0.6	1.13					2.5	3.76	0.68

Pérdida de carga acumulada del segmento	Δp_t	[Pa]	: 1.07
Velocidad en la sección inicial del segmento	V_m	[m/s]	: 3.7
Velocidad en la sección final del segmento	V_v	[m/s]	: 2.5
Recuperación de presión estática del segmento	Δp_r	[Pa]	: 4.48
Pérdida de carga acumulada del segmento, considerando la recuperación	Δp_{tm}	[Pa]	: -3.63
Pérdida de carga acumulada neta – total acumulado	$\Sigma \Delta p_{tm}$	[Pa]	: 157.23

SEGMENTO 393:

Tipo: Terminal TRM-46

1 ELEMENTO		2 Caudal Q	3 Diam. D/D _e	4 Ancho A	5 Alto B	6 Long. L	7 $\Delta p_r/L$	8 Fuente Tab	9 Ashrae X	10 Ashrae Y	11 Coeff. C _o	12 Veloc. V	13 P.Dinám P _v	14 Pérdida $\Delta p_r \circ \Delta p_e$
---------------	--	------------------	--------------------------------	-----------------	----------------	-----------------	---------------------	--------------------	------------------	-------------------	--------------------------------	-------------------	---------------------------------	--

N. pz.	Cod.	[m³/h]	[mm]	[mm]	[mm]	[m]	[Pa/m]	n.	-	-	-	[m/s]	[Pa]	[Pa]
3087	11RA	45	98	98	98	0	0	ASH6_26	0.500	0.663	1.260	1.7	1.74	4.74
1512	310C	45	98	98	98	0.07	0.57					1.7	1.74	0.04
1514	079C	45	98	98	98	0	0	3.1	1.520		0.046	1.7	1.74	0.07
3092	273C	45	75	0	0	0.02	0	5.1	30.000	1.710	0.050	2.8	4.72	0.24
1515	310C	45	75	0	0	0.3	2.03					2.8	4.72	0.61
3091	023C	45	75	0	0	0.02	0	4.1	30.000	1.710	0.320	2.8	4.72	1.54
1517	05LC	45	98	98	98	0	0	MC4				1.7	1.74	16.35

Pérdida de carga acumulada del segmento	Δp_t	[Pa]	: 7.25
Velocidad en la sección inicial del segmento	V_m	[m/s]	: 2.5
Velocidad en la sección final del segmento	V_v	[m/s]	: 1.7
Recuperación de presión estática del segmento	Δp_r	[Pa]	: 2.02
Pérdida de carga acumulada del segmento, considerando la recuperación	Δp_{tn}	[Pa]	: 5.67
Pérdida de carga acumulada neta – total acumulado	$\Sigma \Delta p_{tn}$	[Pa]	: 179.24
Desequilibrio del terminal respecto al camino más desfavorable	Δp_{Tmr}	[Pa]	: 16.63

SEGMENTO 392:

Tipo: Terminal TRM-46

1 ELEMENTO		2 Caudal Q	3 Diam. D/D _e	4 Ancho A	5 Alto B	6 Long. L	7 $\Delta p/L$	8 Fuente Tab	9 Ashrae X	10 Ashrae Y	11 Coeff. C _o	12 Veloc. V	13 P.Dinám P _v	14 Pérdida Δp_r o Δp_c
N. pz.	Cod.	[m³/h]	[mm]	[mm]	[mm]	[m]	[Pa/m]	n.	-	-	-	[m/s]	[Pa]	[Pa]
3088	11RA	45	109	100	100	0	0	ASH6_26M	0.500		0.090	1.2	0.87	0.34
1505	310R	45	109	100	100	0.6	0.32					1.2	0.87	0.19
1496	11RAT	45	109	100	100	0	0	2_6	1.000	0.917	2.800	1.2	0.87	4.63
1506	310C	45	98	98	98	0.07	0.57					1.7	1.74	0.04
1508	079C	45	98	98	98	0	0	3.1	1.520		0.046	1.7	1.74	0.07
3090	023C	45	98	98	98	0	0	4.1	30.000	1.040	0.320	1.7	1.74	0.53
1509	310C	45	100	0	0	0.3	0.5					1.6	1.54	0.15
3089	273C	45	98	98	98	0	0	5.1	30.000	1.040	0.050	1.7	1.74	0.08
1511	05LC	45	98	98	98	0	0	MC4				1.7	1.74	16.35

Pérdida de carga acumulada del segmento	Δp_t	[Pa]	: 6.04
Velocidad en la sección inicial del segmento	V_m	[m/s]	: 2.5
Velocidad en la sección final del segmento	V_v	[m/s]	: 1.7
Recuperación de presión estática del segmento	Δp_r	[Pa]	: 2.02
Pérdida de carga acumulada del segmento, considerando la recuperación	Δp_{tn}	[Pa]	: 3.93
Pérdida de carga acumulada neta – total acumulado	$\Sigma \Delta p_{tn}$	[Pa]	: 177.5
Desequilibrio del terminal respecto al camino más desfavorable	Δp_{Tmr}	[Pa]	: 18.36

SEGMENTO 430:

Tipo: Tramo

1 ELEMENTO		2 Caudal Q	3 Diam. D/D _e	4 Ancho A	5 Alto B	6 Long. L	7 $\Delta p/L$	8 Fuente Tab	9 Ashrae X	10 Ashrae Y	11 Coeff. C _o	12 Veloc. V	13 P.Dinám P _v	14 Pérdida Δp_r o Δp_c
N. pz.	Cod.	[m³/h]	[mm]	[mm]	[mm]	[m]	[Pa/m]	n.	-	-	-	[m/s]	[Pa]	[Pa]
3065	3736	3600	464	450	400	0	0	MC4	0.978		0.049	5.6	18.88	0.93
1638	310R	3600	464	450	400	1	0.82					5.6	18.88	0.82

Pérdida de carga acumulada del segmento	Δp_t	[Pa]	: 1.75
Velocidad en la sección inicial del segmento	V_m	[m/s]	: 3.9
Velocidad en la sección final del segmento	V_v	[m/s]	: 5.6
Recuperación de presión estática del segmento	Δp_r	[Pa]	: -9.72
Pérdida de carga acumulada del segmento, considerando la recuperación	Δp_{tn}	[Pa]	: 12.07

Pérdida de carga acumulada neta – total acumulado

 $\Sigma \Delta p_{tn}$ [Pa] : 147.33**SEGMENTO 450:****Tipo:** Tramo

1 ELEMENTO		2 Caudal Q	3 Diam. D/D _e	4 Ancho A	5 Alto B	6 Long. L	7 $\Delta p/L$	8 Fuente Tab	9 Ashrae X	10 Ashrae Y	11 Coeff. C _o	12 Veloc. V	13 P.Dinám P _v	14 Pérdida Δp_r o Δp_e
N. pz.	Cod.	[m³/h]	[mm]	[mm]	[mm]	[m]	[Pa/m]	n.	-	-	-	[m/s]	[Pa]	[Pa]
3148	3736	450	260	150	400	0	0	MC4	0.125	0.333	3.170	2.1	2.65	8.39
3194	283R	450	164	150	150	0.53	0	5.1	30.000	2.670	0.047	5.6	18.88	0.93
1713	310R	450	164	150	150	1.1	2.95					5.6	18.88	3.25

Pérdida de carga acumulada del segmento

 Δp_t [Pa] : 12.57

Velocidad en la sección inicial del segmento

 V_m [m/s] : 5.6

Velocidad en la sección final del segmento

 V_v [m/s] : 3.3

Recuperación de presión estática del segmento

 Δp_r [Pa] : 12.32

Pérdida de carga acumulada del segmento, considerando la recuperación

 Δp_{tn} [Pa] : 1.61

Pérdida de carga acumulada neta – total acumulado

 $\Sigma \Delta p_{tn}$ [Pa] : 148.93**SEGMENTO 468:****Tipo:** Terminal TRM-18

1 ELEMENTO		2 Caudal Q	3 Diam. D/D _e	4 Ancho A	5 Alto B	6 Long. L	7 $\Delta p/L$	8 Fuente Tab	9 Ashrae X	10 Ashrae Y	11 Coeff. C _o	12 Veloc. V	13 P.Dinám P _v	14 Pérdida Δp_r o Δp_e
N. pz.	Cod.	[m³/h]	[mm]	[mm]	[mm]	[m]	[Pa/m]	n.	-	-	-	[m/s]	[Pa]	[Pa]
3192	11RA	45	98	98	98	0	0	ASH6_26	0.100	0.298	1.070	1.7	1.74	7.18
1779	310C	45	98	98	98	0.07	0.57					1.7	1.74	0.04
1781	079C	45	98	98	98	0	0	3.1	1.520		0.046	1.7	1.74	0.07
3230	273C	45	75	0	0	0.02	0	5.1	30.000	1.710	0.050	2.8	4.72	0.24
1782	310C	45	75	0	0	0.3	2.03					2.8	4.72	0.61
3229	023C	45	75	0	0	0.02	0	4.1	30.000	1.710	0.320	2.8	4.72	1.54
1784	05LC	45	98	98	98	0	0	MC4				1.7	1.74	16.35

Pérdida de carga acumulada del segmento

 Δp_t [Pa] : 9.68

Velocidad en la sección inicial del segmento

 V_m [m/s] : 3.3

Velocidad en la sección final del segmento

 V_v [m/s] : 1.7

Recuperación de presión estática del segmento

 Δp_r [Pa] : 4.82

Pérdida de carga acumulada del segmento, considerando la recuperación

 Δp_{tn} [Pa] : 5.18

Pérdida de carga acumulada neta – total acumulado

 $\Sigma \Delta p_{tn}$ [Pa] : 170.46

Desequilibrio del terminal respecto al camino más desfavorable

 Δp_{Tmr} [Pa] : 25.41**SEGMENTO 467:****Tipo:** Tramo

1 ELEMENTO		2 Caudal Q	3 Diam. D/D _e	4 Ancho A	5 Alto B	6 Long. L	7 $\Delta p/L$	8 Fuente Tab	9 Ashrae X	10 Ashrae Y	11 Coeff. C _o	12 Veloc. V	13 P.Dinám P _v	14 Pérdida Δp_r o Δp_e
N. pz.	Cod.	[m³/h]	[mm]	[mm]	[mm]	[m]	[Pa/m]	n.	-	-	-	[m/s]	[Pa]	[Pa]
3193	11RA	405	164	150	150	0	0	ASH6_26M	0.900		0.010	5	15.05	0.07
1716	310R	405	164	150	150	0.6	2.43					5	15.05	1.46

Pérdida de carga acumulada del segmento

 Δp_t [Pa] : 1.52

Velocidad en la sección inicial del segmento

 V_m [m/s] : 3.3

Velocidad en la sección final del segmento	V_v	[m/s] : 3
Recuperación de presión estática del segmento	Δp_r	[Pa] : 1.14
Pérdida de carga acumulada del segmento, considerando la recuperación	Δp_{tn}	[Pa] : 1.76
Pérdida de carga acumulada neta – total acumulado	$\Sigma \Delta p_{tn}$	[Pa] : 150.69

SEGMENTO 466:

Tipo: Terminal TRM-19

1 ELEMENTO		2 Caudal Q	3 Diam. D/D _e	4 Ancho A	5 Alto B	6 Long. L	7 $\Delta p/L$	8 Fuente Tab	9 Ashrae X	10 Ashrae Y	11 Coeff. C _o	12 Veloc. V	13 P.Dinám P _v	14 Pérdida Δp_r o Δp_e
N. pz.	Cod.	[m³/h]	[mm]	[mm]	[mm]	[m]	[Pa/m]	n.	-	-	-	[m/s]	[Pa]	[Pa]
3195	11RA	45	98	98	98	0	0	ASH6_26	0.111	0.332	1.110	1.7	1.74	6
1773	310C	45	98	98	98	0.07	0.57					1.7	1.74	0.04
1775	079C	45	98	98	98	0	0	3.1	1.520		0.046	1.7	1.74	0.07
3228	273C	45	75	0	0	0.02	0	5.1	30.000	1.710	0.050	2.8	4.72	0.24
1776	310C	45	75	0	0	0.3	2.03					2.8	4.72	0.61
3227	023C	45	75	0	0	0.02	0	4.1	30.000	1.710	0.320	2.8	4.72	1.54
1778	05LC	45	98	98	98	0	0	MC4				1.7	1.74	16.35

Pérdida de carga acumulada del segmento	Δp_t	[Pa] : 8.51
Velocidad en la sección inicial del segmento	V_m	[m/s] : 3
Velocidad en la sección final del segmento	V_v	[m/s] : 1.7
Recuperación de presión estática del segmento	Δp_r	[Pa] : 3.68
Pérdida de carga acumulada del segmento, considerando la recuperación	Δp_{tn}	[Pa] : 5.27
Pérdida de carga acumulada neta – total acumulado	$\Sigma \Delta p_{tn}$	[Pa] : 172.31
Desequilibrio del terminal respecto al camino más desfavorable	Δp_{Tmr}	[Pa] : 23.56

SEGMENTO 465:

Tipo: Tramo

1 ELEMENTO		2 Caudal Q	3 Diam. D/D _e	4 Ancho A	5 Alto B	6 Long. L	7 $\Delta p/L$	8 Fuente Tab	9 Ashrae X	10 Ashrae Y	11 Coeff. C _o	12 Veloc. V	13 P.Dinám P _v	14 Pérdida Δp_r o Δp_e
N. pz.	Cod.	[m³/h]	[mm]	[mm]	[mm]	[m]	[Pa/m]	n.	-	-	-	[m/s]	[Pa]	[Pa]
3196	11RA	360	164	150	150	0	0	ASH6_26M	0.889		0.011	4.4	11.65	0.06
1717	310R	360	164	150	150	0.6	1.95					4.4	11.65	1.17

Pérdida de carga acumulada del segmento	Δp_t	[Pa] : 1.23
Velocidad en la sección inicial del segmento	V_m	[m/s] : 3
Velocidad en la sección final del segmento	V_v	[m/s] : 2.7
Recuperación de presión estática del segmento	Δp_r	[Pa] : 1.03
Pérdida de carga acumulada del segmento, considerando la recuperación	Δp_{tn}	[Pa] : 1.28
Pérdida de carga acumulada neta – total acumulado	$\Sigma \Delta p_{tn}$	[Pa] : 151.97

SEGMENTO 464:

Tipo: Terminal TRM-20

1 ELEMENTO		2 Caudal Q	3 Diam. D/D _e	4 Ancho A	5 Alto B	6 Long. L	7 $\Delta p/L$	8 Fuente Tab	9 Ashrae X	10 Ashrae Y	11 Coeff. C _o	12 Veloc. V	13 P.Dinám P _v	14 Pérdida Δp_r o Δp_e
N. pz.	Cod.	[m³/h]	[mm]	[mm]	[mm]	[m]	[Pa/m]	n.	-	-	-	[m/s]	[Pa]	[Pa]
3197	11RA	45	98	98	98	0	0	ASH6_26	0.125	0.373	1.140	1.7	1.74	4.88
1767	310C	45	98	98	98	0.07	0.57					1.7	1.74	0.04
1769	079C	45	98	98	98	0	0	3.1	1.520		0.046	1.7	1.74	0.07

3226	273C	45	75	0	0	0.02	0	5.1	30.000	1.710	0.050	2.8	4.72	0.24
1770	310C	45	75	0	0	0.3	2.03					2.8	4.72	0.61
3225	023C	45	75	0	0	0.02	0	4.1	30.000	1.710	0.320	2.8	4.72	1.54
1772	05LC	45	98	98	98	0	0	MC4				1.7	1.74	16.35

Pérdida de carga acumulada del segmento	Δp_t	[Pa]	: 7.38
Velocidad en la sección inicial del segmento	V_m	[m/s]	: 2.7
Velocidad en la sección final del segmento	V_v	[m/s]	: 1.7
Recuperación de presión estática del segmento	Δp_r	[Pa]	: 2.65
Pérdida de carga acumulada del segmento, considerando la recuperación	Δp_{tn}	[Pa]	: 5.28
Pérdida de carga acumulada neta – total acumulado	$\Sigma \Delta p_{tn}$	[Pa]	: 173.6
Desequilibrio del terminal respecto al camino más desfavorable	Δp_{Tmr}	[Pa]	: 22.27

SEGMENTO 463:

Tipo: Tramo

1 ELEMENTO		2 Caudal Q	3 Diam. D/D _e	4 Ancho A	5 Alto B	6 Long. L	7 $\Delta p/L$	8 Fuente Tab	9 Ashrae X	10 Ashrae Y	11 Coeff. C _o	12 Veloc. V	13 P.Dinám P _v	14 Pérdida Δp_r o Δp_c
N. pz.	Cod.	[m³/h]	[mm]	[mm]	[mm]	[m]	[Pa/m]	n.	-	-	-	[m/s]	[Pa]	[Pa]
3198	11RA	315	164	150	150	0	0	ASH6_26M	0.875		0.012	3.9	9.16	0.05
1718	310R	315	164	150	150	0.6	1.52					3.9	9.16	0.91

Pérdida de carga acumulada del segmento	Δp_t	[Pa]	: 0.97
Velocidad en la sección inicial del segmento	V_m	[m/s]	: 2.7
Velocidad en la sección final del segmento	V_v	[m/s]	: 2.3
Recuperación de presión estática del segmento	Δp_r	[Pa]	: 1.2
Pérdida de carga acumulada del segmento, considerando la recuperación	Δp_{tn}	[Pa]	: 0.87
Pérdida de carga acumulada neta – total acumulado	$\Sigma \Delta p_{tn}$	[Pa]	: 152.84

SEGMENTO 462:

Tipo: Terminal TRM-21

1 ELEMENTO		2 Caudal Q	3 Diam. D/D _e	4 Ancho A	5 Alto B	6 Long. L	7 $\Delta p/L$	8 Fuente Tab	9 Ashrae X	10 Ashrae Y	11 Coeff. C _o	12 Veloc. V	13 P.Dinám P _v	14 Pérdida Δp_r o Δp_c
N. pz.	Cod.	[m³/h]	[mm]	[mm]	[mm]	[m]	[Pa/m]	n.	-	-	-	[m/s]	[Pa]	[Pa]
3199	11RA	45	98	98	98	0	0	ASH6_26	0.143	0.426	1.190	1.7	1.74	3.88
1761	310C	45	98	98	98	0.07	0.57					1.7	1.74	0.04
1763	079C	45	98	98	98	0	0	3.1	1.520		0.046	1.7	1.74	0.07
3224	273C	45	75	0	0	0.02	0	5.1	30.000	1.710	0.050	2.8	4.72	0.24
1764	310C	45	75	0	0	0.3	2.03					2.8	4.72	0.61
3223	023C	45	75	0	0	0.02	0	4.1	30.000	1.710	0.320	2.8	4.72	1.54
1766	05LC	45	98	98	98	0	0	MC4				1.7	1.74	16.35

Pérdida de carga acumulada del segmento	Δp_t	[Pa]	: 6.39
Velocidad en la sección inicial del segmento	V_m	[m/s]	: 2.3
Velocidad en la sección final del segmento	V_v	[m/s]	: 1.7
Recuperación de presión estática del segmento	Δp_r	[Pa]	: 1.44
Pérdida de carga acumulada del segmento, considerando la recuperación	Δp_{tn}	[Pa]	: 5.29
Pérdida de carga acumulada neta – total acumulado	$\Sigma \Delta p_{tn}$	[Pa]	: 174.49
Desequilibrio del terminal respecto al camino más desfavorable	Δp_{Tmr}	[Pa]	: 21.38

SEGMENTO 461:

Tipo: Tramo

1 ELEMENTO		2 Caudal Q	3 Diam. D/D _e	4 Ancho A	5 Alto B	6 Long. L	7 $\Delta p/L$	8 Fuente Tab	9 Ashrae X	10 Ashrae Y	11 Coeff. C _o	12 Veloc. V	13 P.Dinám P _v	14 Pérdida Δp_r o Δp_e
N. pz.	Cod.	[m³/h]	[mm]	[mm]	[mm]	[m]	[Pa/m]	n.	-	-	-	[m/s]	[Pa]	[Pa]
3200	11RA	270	164	150	150	0	0	ASH6_26M	0.857		0.014	3.3	6.56	0.05
1719	310R	270	164	150	150	0.6	1.15					3.3	6.56	0.69

Pérdida de carga acumulada del segmento	Δp_t	[Pa] : 0.73
Velocidad en la sección inicial del segmento	V_m	[m/s] : 2.3
Velocidad en la sección final del segmento	V_v	[m/s] : 2
Recuperación de presión estática del segmento	Δp_r	[Pa] : 0.78
Pérdida de carga acumulada del segmento, considerando la recuperación	Δp_{tm}	[Pa] : 0.53
Pérdida de carga acumulada neta – total acumulado	$\Sigma \Delta p_{tm}$	[Pa] : 153.38

SEGMENTO 460:

Tipo: Terminal TRM-22

1 ELEMENTO		2 Caudal Q	3 Diam. D/D _e	4 Ancho A	5 Alto B	6 Long. L	7 $\Delta p/L$	8 Fuente Tab	9 Ashrae X	10 Ashrae Y	11 Coeff. C _o	12 Veloc. V	13 P.Dinám P _v	14 Pérdida Δp_r o Δp_e
N. pz.	Cod.	[m³/h]	[mm]	[mm]	[mm]	[m]	[Pa/m]	n.	-	-	-	[m/s]	[Pa]	[Pa]
3201	11RA	45	98	98	98	0	0	ASH6_26	0.167	0.497	1.280	1.7	1.74	3.08
1755	310C	45	98	98	98	0.07	0.57					1.7	1.74	0.04
1757	079C	45	98	98	98	0	0	3.1	1.520		0.046	1.7	1.74	0.07
3222	273C	45	75	0	0	0.02	0	5.1	30.000	1.710	0.050	2.8	4.72	0.24
1758	310C	45	75	0	0	0.3	2.03					2.8	4.72	0.61
3221	023C	45	75	0	0	0.02	0	4.1	30.000	1.710	0.320	2.8	4.72	1.54
1760	05LC	45	98	98	98	0	0	MC4				1.7	1.74	16.35

Pérdida de carga acumulada del segmento	Δp_t	[Pa] : 5.59
Velocidad en la sección inicial del segmento	V_m	[m/s] : 2
Velocidad en la sección final del segmento	V_v	[m/s] : 1.7
Recuperación de presión estática del segmento	Δp_r	[Pa] : 0.67
Pérdida de carga acumulada del segmento, considerando la recuperación	Δp_{tm}	[Pa] : 5.36
Pérdida de carga acumulada neta – total acumulado	$\Sigma \Delta p_{tm}$	[Pa] : 175.08
Desequilibrio del terminal respecto al camino más desfavorable	Δp_{Tmr}	[Pa] : 20.79

SEGMENTO 459:

Tipo: Tramo

1 ELEMENTO		2 Caudal Q	3 Diam. D/D _e	4 Ancho A	5 Alto B	6 Long. L	7 $\Delta p/L$	8 Fuente Tab	9 Ashrae X	10 Ashrae Y	11 Coeff. C _o	12 Veloc. V	13 P.Dinám P _v	14 Pérdida Δp_r o Δp_e
N. pz.	Cod.	[m³/h]	[mm]	[mm]	[mm]	[m]	[Pa/m]	n.	-	-	-	[m/s]	[Pa]	[Pa]
3202	11RA	225	164	150	150	0	0	ASH6_26M	0.833		0.017	2.8	4.72	0.04
1720	310R	225	164	150	150	0.6	0.82					2.8	4.72	0.49

Pérdida de carga acumulada del segmento	Δp_t	[Pa] : 0.53
Velocidad en la sección inicial del segmento	V_m	[m/s] : 2
Velocidad en la sección final del segmento	V_v	[m/s] : 3.1
Recuperación de presión estática del segmento	Δp_r	[Pa] : -3.38
Pérdida de carga acumulada del segmento, considerando la recuperación	Δp_{tm}	[Pa] : 4.53
Pérdida de carga acumulada neta – total acumulado	$\Sigma \Delta p_{tm}$	[Pa] : 157.9

SEGMENTO 458:**Tipo:** Terminal TRM-22

1 ELEMENTO		2 Caudal Q	3 Diam. D/D _e	4 Ancho A	5 Alto B	6 Long. L	7 $\Delta p/L$	8 Fuente Tab	9 Ashrae X	10 Ashrae Y	11 Coeff. C _o	12 Veloc. V	13 P.Dinám P _v	14 Pérdida Δp_r o Δp_c
N. pz.	Cod.	[m³/h]	[mm]	[mm]	[mm]	[m]	[Pa/m]	n.	-	-	-	[m/s]	[Pa]	[Pa]
3203	11RA	45	98	98	98	0	0	ASH6_26	0.200	0.597	1.090	1.7	1.74	6.41
1749	310C	45	98	98	98	0.07	0.57					1.7	1.74	0.04
1751	079C	45	98	98	98	0	0	3.1	1.520		0.046	1.7	1.74	0.07
3220	273C	45	75	0	0	0.02	0	5.1	30.000	1.710	0.050	2.8	4.72	0.24
1752	310C	45	75	0	0	0.3	2.03					2.8	4.72	0.61
3219	023C	45	75	0	0	0.02	0	4.1	30.000	1.710	0.320	2.8	4.72	1.54
1754	05LC	45	98	98	98	0	0	MC4				1.7	1.74	16.35

Pérdida de carga acumulada del segmento

 Δp_t [Pa] : 8.91

Velocidad en la sección inicial del segmento

 V_m [m/s] : 3.1

Velocidad en la sección final del segmento

 V_v [m/s] : 1.7

Recuperación de presión estática del segmento

 Δp_r [Pa] : 4.05

Pérdida de carga acumulada del segmento, considerando la recuperación

 Δp_{tn} [Pa] : 5.21

Pérdida de carga acumulada neta – total acumulado

 $\Sigma \Delta p_{tn}$ [Pa] : 179.47

Desequilibrio del terminal respecto al camino más desfavorable

 Δp_{Tmr} [Pa] : 16.4**SEGMENTO 457:****Tipo:** Tramo

1 ELEMENTO		2 Caudal Q	3 Diam. D/D _e	4 Ancho A	5 Alto B	6 Long. L	7 $\Delta p/L$	8 Fuente Tab	9 Ashrae X	10 Ashrae Y	11 Coeff. C _o	12 Veloc. V	13 P.Dinám P _v	14 Pérdida Δp_r o Δp_c
N. pz.	Cod.	[m³/h]	[mm]	[mm]	[mm]	[m]	[Pa/m]	n.	-	-	-	[m/s]	[Pa]	[Pa]
3204	11RA	180	164	150	150	0	0	ASH6_26M	0.800		0.020	2.2	2.91	0.12
1721	310R	180	164	150	150	0.6	0.55					2.2	2.91	0.33

Pérdida de carga acumulada del segmento

 Δp_t [Pa] : 0.45

Velocidad en la sección inicial del segmento

 V_m [m/s] : 3.1

Velocidad en la sección final del segmento

 V_v [m/s] : 2.5

Recuperación de presión estática del segmento

 Δp_r [Pa] : 2.02

Pérdida de carga acumulada del segmento, considerando la recuperación

 Δp_{tn} [Pa] : -0.35

Pérdida de carga acumulada neta – total acumulado

 $\Sigma \Delta p_{tn}$ [Pa] : 157.55**SEGMENTO 456:****Tipo:** Terminal TRM-24

1 ELEMENTO		2 Caudal Q	3 Diam. D/D _e	4 Ancho A	5 Alto B	6 Long. L	7 $\Delta p/L$	8 Fuente Tab	9 Ashrae X	10 Ashrae Y	11 Coeff. C _o	12 Veloc. V	13 P.Dinám P _v	14 Pérdida Δp_r o Δp_c
N. pz.	Cod.	[m³/h]	[mm]	[mm]	[mm]	[m]	[Pa/m]	n.	-	-	-	[m/s]	[Pa]	[Pa]
3205	11RA	45	98	98	98	0	0	ASH6_26	0.250	0.746	1.130	1.7	1.74	4.25
1743	310C	45	98	98	98	0.07	0.57					1.7	1.74	0.04
1745	079C	45	98	98	98	0	0	3.1	1.520		0.046	1.7	1.74	0.07
3218	273C	45	75	0	0	0.02	0	5.1	30.000	1.710	0.050	2.8	4.72	0.24
1746	310C	45	75	0	0	0.3	2.03					2.8	4.72	0.61
3217	023C	45	75	0	0	0.02	0	4.1	30.000	1.710	0.320	2.8	4.72	1.54
1748	05LC	45	98	98	98	0	0	MC4				1.7	1.74	16.35

Pérdida de carga acumulada del segmento	Δp_t	[Pa]	: 6.76
Velocidad en la sección inicial del segmento	V_m	[m/s]	: 2.5
Velocidad en la sección final del segmento	V_v	[m/s]	: 1.7
Recuperación de presión estática del segmento	Δp_r	[Pa]	: 2.02
Pérdida de carga acumulada del segmento, considerando la recuperación	Δp_{tn}	[Pa]	: 5.17
Pérdida de carga acumulada neta – total acumulado	$\Sigma \Delta p_{tn}$	[Pa]	: 179.07
Desequilibrio del terminal respecto al camino más desfavorable	Δp_{Tmr}	[Pa]	: 16.8

SEGMENTO 455:

Tipo: Tramo

1 ELEMENTO		2 Caudal Q	3 Diam. D/D _e	4 Ancho A	5 Alto B	6 Long. L	7 $\Delta p/L$	8 Fuente Tab	9 Ashrae X	10 Ashrae Y	11 Coeff. C _o	12 Veloc. V	13 P.Dinám P _v	14 Pérdida $\Delta p_r \circ \Delta p_e$
N. pz.	Cod.	[m³/h]	[mm]	[mm]	[mm]	[m]	[Pa/m]	n.	-	-	-	[m/s]	[Pa]	[Pa]
3206	11RA	135	164	150	150	0	0	ASH6_26M	0.750		0.030	1.7	1.74	0.11
1722	310R	135	164	150	150	0.6	0.32					1.7	1.74	0.19

Pérdida de carga acumulada del segmento	Δp_t	[Pa]	: 0.31
Velocidad en la sección inicial del segmento	V_m	[m/s]	: 2.5
Velocidad en la sección final del segmento	V_v	[m/s]	: 2.5
Recuperación de presión estática del segmento	Δp_r	[Pa]	: 0
Pérdida de carga acumulada del segmento, considerando la recuperación	Δp_{tn}	[Pa]	: 1.13
Pérdida de carga acumulada neta – total acumulado	$\Sigma \Delta p_{tn}$	[Pa]	: 158.68

SEGMENTO 454:

Tipo: Terminal TRM-25

1 ELEMENTO		2 Caudal Q	3 Diam. D/D _e	4 Ancho A	5 Alto B	6 Long. L	7 $\Delta p/L$	8 Fuente Tab	9 Ashrae X	10 Ashrae Y	11 Coeff. C _o	12 Veloc. V	13 P.Dinám P _v	14 Pérdida $\Delta p_r \circ \Delta p_e$
N. pz.	Cod.	[m³/h]	[mm]	[mm]	[mm]	[m]	[Pa/m]	n.	-	-	-	[m/s]	[Pa]	[Pa]
3207	11RA	45	98	98	98	0	0	ASH6_26	0.333	0.995	1.110	1.7	1.74	4.16
1737	310C	45	98	98	98	0.07	0.57					1.7	1.74	0.04
1739	079C	45	98	98	98	0	0	3.1	1.520		0.046	1.7	1.74	0.07
3216	273C	45	75	0	0	0.02	0	5.1	30.000	1.710	0.050	2.8	4.72	0.24
1740	310C	45	75	0	0	0.3	2.03					2.8	4.72	0.61
3215	023C	45	75	0	0	0.02	0	4.1	30.000	1.710	0.320	2.8	4.72	1.54
1742	05LC	45	98	98	98	0	0	MC4				1.7	1.74	16.35

Pérdida de carga acumulada del segmento	Δp_t	[Pa]	: 6.66
Velocidad en la sección inicial del segmento	V_m	[m/s]	: 2.5
Velocidad en la sección final del segmento	V_v	[m/s]	: 1.7
Recuperación de presión estática del segmento	Δp_r	[Pa]	: 2.02
Pérdida de carga acumulada del segmento, considerando la recuperación	Δp_{tn}	[Pa]	: 5.08
Pérdida de carga acumulada neta – total acumulado	$\Sigma \Delta p_{tn}$	[Pa]	: 180.11
Desequilibrio del terminal respecto al camino más desfavorable	Δp_{Tmr}	[Pa]	: 15.76

SEGMENTO 453:

Tipo: Tramo

1 ELEMENTO		2 Caudal Q	3 Diam. D/D _e	4 Ancho A	5 Alto B	6 Long. L	7 $\Delta p/L$	8 Fuente Tab	9 Ashrae X	10 Ashrae Y	11 Coeff. C _o	12 Veloc. V	13 P.Dinám P _v	14 Pérdida $\Delta p_r \circ \Delta p_e$
N. pz.	Cod.	[m³/h]	[mm]	[mm]	[mm]	[m]	[Pa/m]	n.	-	-	-	[m/s]	[Pa]	[Pa]

3208	11RA	90	164	150	150	0	0	ASH6_26M	0.667		0.047	1.1	0.73	0.18
1723	310R	90	164	150	150	0.6	0.15					1.1	0.73	0.09

Pérdida de carga acumulada del segmento	Δp_t	[Pa]	: 0.27
Velocidad en la sección inicial del segmento	V_m	[m/s]	: 2.5
Velocidad en la sección final del segmento	V_v	[m/s]	: 2.5
Recuperación de presión estática del segmento	Δp_r	[Pa]	: 0
Pérdida de carga acumulada del segmento, considerando la recuperación	Δp_{tm}	[Pa]	: 0.95
Pérdida de carga acumulada neta – total acumulado	$\Sigma \Delta p_{tm}$	[Pa]	: 159.63

SEGMENTO 452:

Tipo: Terminal TRM-26

1 ELEMENTO		2 Caudal Q	3 Diam. D/D _e	4 Ancho A	5 Alto B	6 Long. L	7 $\Delta p/L$	8 Fuente Tab	9 Ashrae X	10 Ashrae Y	11 Coeff. C _o	12 Veloc. V	13 P.Dinám P _v	14 Pérdida Δp_r o Δp_c
N. pz.	Cod.	[m³/h]	[mm]	[mm]	[mm]	[m]	[Pa/m]	n.	-	-	-	[m/s]	[Pa]	[Pa]
3209	11RA	45	98	98	98	0	0	ASH6_26	0.500	1.490	1.260	1.7	1.74	4.74
1731	310C	45	98	98	98	0.07	0.57					1.7	1.74	0.04
1733	079C	45	98	98	98	0	0	3.1	1.520		0.046	1.7	1.74	0.07
3214	273C	45	75	0	0	0.02	0	5.1	30.000	1.710	0.050	2.8	4.72	0.24
1734	310C	45	75	0	0	0.3	2.03					2.8	4.72	0.61
3213	023C	45	75	0	0	0.02	0	4.1	30.000	1.710	0.320	2.8	4.72	1.54
1736	05LC	45	98	98	98	0	0	MC4				1.7	1.74	16.35

Pérdida de carga acumulada del segmento	Δp_t	[Pa]	: 7.25
Velocidad en la sección inicial del segmento	V_m	[m/s]	: 2.5
Velocidad en la sección final del segmento	V_v	[m/s]	: 1.7
Recuperación de presión estática del segmento	Δp_r	[Pa]	: 2.02
Pérdida de carga acumulada del segmento, considerando la recuperación	Δp_{tm}	[Pa]	: 5.67
Pérdida de carga acumulada neta – total acumulado	$\Sigma \Delta p_{tm}$	[Pa]	: 181.65
Desequilibrio del terminal respecto al camino más desfavorable	Δp_{Tmr}	[Pa]	: 14.22

SEGMENTO 451:

Tipo: Terminal TRM-27

1 ELEMENTO		2 Caudal Q	3 Diam. D/D _e	4 Ancho A	5 Alto B	6 Long. L	7 $\Delta p/L$	8 Fuente Tab	9 Ashrae X	10 Ashrae Y	11 Coeff. C _o	12 Veloc. V	13 P.Dinám P _v	14 Pérdida Δp_r o Δp_c
N. pz.	Cod.	[m³/h]	[mm]	[mm]	[mm]	[m]	[Pa/m]	n.	-	-	-	[m/s]	[Pa]	[Pa]
3210	11RA	45	164	150	150	0	0	ASH6_26M	0.500		0.090	0.6	0.22	0.34
1724	310R	45	164	150	150	0.6	0.05					0.6	0.22	0.03
1715	11RAT	45	164	150	150	0	0	2_6	1.000	0.915	2.800	0.6	0.22	0
1725	310C	45	98	98	98	0.07	0.57					1.7	1.74	0.04
1727	079C	45	98	98	98	0	0	3.1	1.520		0.046	1.7	1.74	0.07
3212	023C	45	98	98	98	0	0	4.1	30.000	1.040	0.320	1.7	1.74	0.53
1728	310C	45	100	0	0	0.3	0.5					1.6	1.54	0.15
3211	273C	45	98	98	98	0	0	5.1	30.000	1.040	0.050	1.7	1.74	0.08
1730	05LC	45	98	98	98	0	0	MC4				1.7	1.74	16.35

Pérdida de carga acumulada del segmento	Δp_t	[Pa]	: 1.24
Velocidad en la sección inicial del segmento	V_m	[m/s]	: 2.5
Velocidad en la sección final del segmento	V_v	[m/s]	: 1.7
Recuperación de presión estática del segmento	Δp_r	[Pa]	: 2.02
Pérdida de carga acumulada del segmento, considerando la recuperación	Δp_{tm}	[Pa]	: -0.55
Pérdida de carga acumulada neta – total acumulado	$\Sigma \Delta p_{tm}$	[Pa]	: 175.43
Desequilibrio del terminal respecto al camino más desfavorable	Δp_{Tmr}	[Pa]	: 20.44

SEGMENTO 449:**Tipo:** Tramo

1 ELEMENTO		2 Caudal Q	3 Diam. D/D _e	4 Ancho A	5 Alto B	6 Long. L	7 $\Delta p/L$	8 Fuente Tab	9 Ashrae X	10 Ashrae Y	11 Coeff. C _o	12 Veloc. V	13 P.Dinám P _v	14 Pérdida Δp_r o Δp_c
N. pz.	Cod.	[m³/h]	[mm]	[mm]	[mm]	[m]	[Pa/m]	n.	-	-	-	[m/s]	[Pa]	[Pa]
1642	3736	450	343	250	400	0	0	MC4	0.125	0.556	16.900	1.2	0.87	14.68
3152	283R	450	210	250	150	0.53	0	5.1	30.000	2.670	0.047	3.3	6.56	0.33
1641	310R	450	210	250	150	1.05	0.87					3.3	6.56	0.91

Pérdida de carga acumulada del segmento

 Δp_t [Pa] : 15.93

Velocidad en la sección inicial del segmento

 V_m [m/s] : 5.6

Velocidad en la sección final del segmento

 V_v [m/s] : 3.3

Recuperación de presión estática del segmento

 Δp_r [Pa] : 12.32

Pérdida de carga acumulada del segmento, considerando la recuperación

 Δp_{tn} [Pa] : 4.04

Pérdida de carga acumulada neta – total acumulado

 $\Sigma \Delta p_{tn}$ [Pa] : 151.36**SEGMENTO 448:****Tipo:** Terminal TRM-46

1 ELEMENTO		2 Caudal Q	3 Diam. D/D _e	4 Ancho A	5 Alto B	6 Long. L	7 $\Delta p/L$	8 Fuente Tab	9 Ashrae X	10 Ashrae Y	11 Coeff. C _o	12 Veloc. V	13 P.Dinám P _v	14 Pérdida Δp_r o Δp_c
N. pz.	Cod.	[m³/h]	[mm]	[mm]	[mm]	[m]	[Pa/m]	n.	-	-	-	[m/s]	[Pa]	[Pa]
3150	11RA	45	98	98	98	0	0	ASH6_26	0.100	0.497	1.070	1.7	1.74	7.18
1707	310C	45	98	98	98	0.07	0.57					1.7	1.74	0.04
1709	079C	45	98	98	98	0	0	3.1	1.520		0.046	1.7	1.74	0.07
3191	273C	45	75	0	0	0.02	0	5.1	30.000	1.710	0.050	2.8	4.72	0.24
1710	310C	45	75	0	0	0.3	2.03					2.8	4.72	0.61
3190	023C	45	75	0	0	0.02	0	4.1	30.000	1.710	0.320	2.8	4.72	1.54
1712	05LC	45	98	98	98	0	0	MC4				1.7	1.74	16.35

Pérdida de carga acumulada del segmento

 Δp_t [Pa] : 9.68

Velocidad en la sección inicial del segmento

 V_m [m/s] : 3.3

Velocidad en la sección final del segmento

 V_v [m/s] : 1.7

Recuperación de presión estática del segmento

 Δp_r [Pa] : 4.82

Pérdida de carga acumulada del segmento, considerando la recuperación

 Δp_{tn} [Pa] : 5.18

Pérdida de carga acumulada neta – total acumulado

 $\Sigma \Delta p_{tn}$ [Pa] : 172.89

Desequilibrio del terminal respecto al camino más desfavorable

 Δp_{Tmr} [Pa] : 22.98**SEGMENTO 447:****Tipo:** Tramo

1 ELEMENTO		2 Caudal Q	3 Diam. D/D _e	4 Ancho A	5 Alto B	6 Long. L	7 $\Delta p/L$	8 Fuente Tab	9 Ashrae X	10 Ashrae Y	11 Coeff. C _o	12 Veloc. V	13 P.Dinám P _v	14 Pérdida Δp_r o Δp_c
N. pz.	Cod.	[m³/h]	[mm]	[mm]	[mm]	[m]	[Pa/m]	n.	-	-	-	[m/s]	[Pa]	[Pa]
3151	11RA	405	210	250	150	0	0	ASH6_26M	0.900		0.010	3	5.42	0.07
3155	283R	405	152	200	100	0.19	0	5.1	30.000	1.880	0.050	5.6	18.88	0.95
1644	310R	405	152	200	100	0.6	3.53					5.6	18.88	2.12

Pérdida de carga acumulada del segmento

 Δp_t [Pa] : 3.14

Velocidad en la sección inicial del segmento

 V_m [m/s] : 3.3

Velocidad en la sección final del segmento	V_v	[m/s] : 5.6
Recuperación de presión estática del segmento	Δp_r	[Pa] : -12.32
Pérdida de carga acumulada del segmento, considerando la recuperación	Δp_{tm}	[Pa] : 15.5
Pérdida de carga acumulada neta – total acumulado	$\Sigma \Delta p_{tm}$	[Pa] : 166.86

SEGMENTO 446:

Tipo: Terminal TRM-46

1 ELEMENTO		2 Caudal Q	3 Diam. D/D _e	4 Ancho A	5 Alto B	6 Long. L	7 $\Delta p/L$	8 Fuente Tab	9 Ashrae X	10 Ashrae Y	11 Coeff. C _o	12 Veloc. V	13 P.Dinám P _v	14 Pérdida Δp_r o Δp_e
N. pz.	Cod.	[m³/h]	[mm]	[mm]	[mm]	[m]	[Pa/m]	n.	-	-	-	[m/s]	[Pa]	[Pa]
3153	11RA	45	98	98	98	0	0	ASH6_26	0.111	0.295	1.010	1.7	1.74	19.28
1701	310C	45	98	98	98	0.07	0.57					1.7	1.74	0.04
1703	079C	45	98	98	98	0	0	3.1	1.520		0.046	1.7	1.74	0.07
3189	273C	45	75	0	0	0.02	0	5.1	30.000	1.710	0.050	2.8	4.72	0.24
1704	310C	45	75	0	0	0.3	2.03					2.8	4.72	0.61
3188	023C	45	75	0	0	0.02	0	4.1	30.000	1.710	0.320	2.8	4.72	1.54
1706	05LC	45	98	98	98	0	0	MC4				1.7	1.74	16.35

Pérdida de carga acumulada del segmento	Δp_t	[Pa] : 21.78
Velocidad en la sección inicial del segmento	V_m	[m/s] : 5.6
Velocidad en la sección final del segmento	V_v	[m/s] : 1.7
Recuperación de presión estática del segmento	Δp_r	[Pa] : 17.14
Pérdida de carga acumulada del segmento, considerando la recuperación	Δp_{tm}	[Pa] : 4.92
Pérdida de carga acumulada neta – total acumulado	$\Sigma \Delta p_{tm}$	[Pa] : 188.13
Desequilibrio del terminal respecto al camino más desfavorable	Δp_{Tmr}	[Pa] : 7.74

SEGMENTO 445:

Tipo: Tramo

1 ELEMENTO		2 Caudal Q	3 Diam. D/D _e	4 Ancho A	5 Alto B	6 Long. L	7 $\Delta p/L$	8 Fuente Tab	9 Ashrae X	10 Ashrae Y	11 Coeff. C _o	12 Veloc. V	13 P.Dinám P _v	14 Pérdida Δp_r o Δp_e
N. pz.	Cod.	[m³/h]	[mm]	[mm]	[mm]	[m]	[Pa/m]	n.	-	-	-	[m/s]	[Pa]	[Pa]
3154	11RA	360	152	200	100	0	0	ASH6_26M	0.889		0.011	5	15.05	0.21
1645	310R	360	152	200	100	0.6	2.85					5	15.05	1.71

Pérdida de carga acumulada del segmento	Δp_t	[Pa] : 1.92
Velocidad en la sección inicial del segmento	V_m	[m/s] : 5.6
Velocidad en la sección final del segmento	V_v	[m/s] : 5
Recuperación de presión estática del segmento	Δp_r	[Pa] : 3.83
Pérdida de carga acumulada del segmento, considerando la recuperación	Δp_{tm}	[Pa] : -2.08
Pérdida de carga acumulada neta – total acumulado	$\Sigma \Delta p_{tm}$	[Pa] : 164.78

SEGMENTO 444:

Tipo: Terminal TRM-46

1 ELEMENTO		2 Caudal Q	3 Diam. D/D _e	4 Ancho A	5 Alto B	6 Long. L	7 $\Delta p/L$	8 Fuente Tab	9 Ashrae X	10 Ashrae Y	11 Coeff. C _o	12 Veloc. V	13 P.Dinám P _v	14 Pérdida Δp_r o Δp_e
N. pz.	Cod.	[m³/h]	[mm]	[mm]	[mm]	[m]	[Pa/m]	n.	-	-	-	[m/s]	[Pa]	[Pa]
3156	11RA	45	98	98	98	0	0	ASH6_26	0.125	0.332	1.020	1.7	1.74	15.39
1695	310C	45	98	98	98	0.07	0.57					1.7	1.74	0.04
1697	079C	45	98	98	98	0	0	3.1	1.520		0.046	1.7	1.74	0.07

3187	273C	45	75	0	0	0.02	0	5.1	30.000	1.710	0.050	2.8	4.72	0.24
1698	310C	45	75	0	0	0.3	2.03					2.8	4.72	0.61
3186	023C	45	75	0	0	0.02	0	4.1	30.000	1.710	0.320	2.8	4.72	1.54
1700	05LC	45	98	98	98	0	0	MC4				1.7	1.74	16.35

Pérdida de carga acumulada del segmento	Δp_t	[Pa]	: 17.89
Velocidad en la sección inicial del segmento	V_m	[m/s]	: 5
Velocidad en la sección final del segmento	V_v	[m/s]	: 1.7
Recuperación de presión estática del segmento	Δp_r	[Pa]	: 13.31
Pérdida de carga acumulada del segmento, considerando la recuperación	Δp_{tn}	[Pa]	: 5.03
Pérdida de carga acumulada neta – total acumulado	$\Sigma \Delta p_{tn}$	[Pa]	: 186.16
Desequilibrio del terminal respecto al camino más desfavorable	Δp_{Tmr}	[Pa]	: 9.71

SEGMENTO 443:

Tipo: Tramo

1 ELEMENTO		2 Caudal Q	3 Diam. D/D _e	4 Ancho A	5 Alto B	6 Long. L	7 $\Delta p/L$	8 Fuente Tab	9 Ashrae X	10 Ashrae Y	11 Coeff. C _o	12 Veloc. V	13 P.Dinám P _v	14 Pérdida Δp_r o Δp_c
N. pz.	Cod.	[m³/h]	[mm]	[mm]	[mm]	[m]	[Pa/m]	n.	-	-	-	[m/s]	[Pa]	[Pa]
3157	11RA	315	152	200	100	0	0	ASH6_26M	0.875		0.012	4.4	11.65	0.19
3160	283R	315	133	150	100	0.14	0	5.1	30.000	1.330	0.050	5.8	20.25	1.02
1646	310R	315	133	150	100	0.6	4.32					5.8	20.25	2.59

Pérdida de carga acumulada del segmento	Δp_t	[Pa]	: 3.8
Velocidad en la sección inicial del segmento	V_m	[m/s]	: 5
Velocidad en la sección final del segmento	V_v	[m/s]	: 5.8
Recuperación de presión estática del segmento	Δp_r	[Pa]	: -5.2
Pérdida de carga acumulada del segmento, considerando la recuperación	Δp_{tn}	[Pa]	: 9.24
Pérdida de carga acumulada neta – total acumulado	$\Sigma \Delta p_{tn}$	[Pa]	: 174.02

SEGMENTO 442:

Tipo: Terminal TRM-46

1 ELEMENTO		2 Caudal Q	3 Diam. D/D _e	4 Ancho A	5 Alto B	6 Long. L	7 $\Delta p/L$	8 Fuente Tab	9 Ashrae X	10 Ashrae Y	11 Coeff. C _o	12 Veloc. V	13 P.Dinám P _v	14 Pérdida Δp_r o Δp_c
N. pz.	Cod.	[m³/h]	[mm]	[mm]	[mm]	[m]	[Pa/m]	n.	-	-	-	[m/s]	[Pa]	[Pa]
3158	11RA	45	98	98	98	0	0	ASH6_26	0.143	0.284	1.030	1.7	1.74	21.15
1689	310C	45	98	98	98	0.07	0.57					1.7	1.74	0.04
1691	079C	45	98	98	98	0	0	3.1	1.520		0.046	1.7	1.74	0.07
3185	023C	45	98	98	98	0	0	4.1	30.000	1.040	0.320	1.7	1.74	0.53
1692	310C	45	100	0	0	0.3	0.5					1.6	1.54	0.15
3184	273C	45	98	98	98	0	0	5.1	30.000	1.040	0.050	1.7	1.74	0.08
1694	05LC	45	98	98	98	0	0	MC4				1.7	1.74	16.35

Pérdida de carga acumulada del segmento	Δp_t	[Pa]	: 22.02
Velocidad en la sección inicial del segmento	V_m	[m/s]	: 5.8
Velocidad en la sección final del segmento	V_v	[m/s]	: 1.7
Recuperación de presión estática del segmento	Δp_r	[Pa]	: 18.51
Pérdida de carga acumulada del segmento, considerando la recuperación	Δp_{tn}	[Pa]	: 3.19
Pérdida de carga acumulada neta – total acumulado	$\Sigma \Delta p_{tn}$	[Pa]	: 193.56
Desequilibrio del terminal respecto al camino más desfavorable	Δp_{Tmr}	[Pa]	: 2.31

SEGMENTO 441:

Tipo: Tramo

1 ELEMENTO		2 Caudal Q	3 Diam. D/D _e	4 Ancho A	5 Alto B	6 Long. L	7 $\Delta p/L$	8 Fuente Tab	9 Ashrae X	10 Ashrae Y	11 Coeff. C _o	12 Veloc. V	13 P.Dinám P _v	14 Pérdida Δp_r o Δp_e
N. pz.	Cod.	[m³/h]	[mm]	[mm]	[mm]	[m]	[Pa/m]	n.	-	-	-	[m/s]	[Pa]	[Pa]
3159	11RA	270	133	150	100	0	0	ASH6_26M	0.857		0.014	5	15.05	0.29
1647	310R	270	133	150	100	0.6	3.23					5	15.05	1.94

Pérdida de carga acumulada del segmento	Δp_t	[Pa]	: 2.23
Velocidad en la sección inicial del segmento	V_m	[m/s]	: 5.8
Velocidad en la sección final del segmento	V_v	[m/s]	: 5
Recuperación de presión estática del segmento	Δp_r	[Pa]	: 5.2
Pérdida de carga acumulada del segmento, considerando la recuperación	Δp_{tm}	[Pa]	: -3.2
Pérdida de carga acumulada neta – total acumulado	$\Sigma \Delta p_{tm}$	[Pa]	: 170.82

SEGMENTO 440:

Tipo: Terminal TRM-46

1 ELEMENTO		2 Caudal Q	3 Diam. D/D _e	4 Ancho A	5 Alto B	6 Long. L	7 $\Delta p/L$	8 Fuente Tab	9 Ashrae X	10 Ashrae Y	11 Coeff. C _o	12 Veloc. V	13 P.Dinám P _v	14 Pérdida Δp_r o Δp_e
N. pz.	Cod.	[m³/h]	[mm]	[mm]	[mm]	[m]	[Pa/m]	n.	-	-	-	[m/s]	[Pa]	[Pa]
3161	11RA	45	98	98	98	0	0	ASH6_26	0.167	0.332	1.050	1.7	1.74	15.79
1683	310C	45	98	98	98	0.07	0.57					1.7	1.74	0.04
1685	079C	45	98	98	98	0	0	3.1	1.520		0.046	1.7	1.74	0.07
3183	023C	45	98	98	98	0	0	4.1	30.000	1.040	0.320	1.7	1.74	0.53
1686	310C	45	100	0	0	0.3	0.5					1.6	1.54	0.15
3182	273C	45	98	98	98	0	0	5.1	30.000	1.040	0.050	1.7	1.74	0.08
1688	05LC	45	98	98	98	0	0	MC4				1.7	1.74	16.35

Pérdida de carga acumulada del segmento	Δp_t	[Pa]	: 16.66
Velocidad en la sección inicial del segmento	V_m	[m/s]	: 5
Velocidad en la sección final del segmento	V_v	[m/s]	: 1.7
Recuperación de presión estática del segmento	Δp_r	[Pa]	: 13.31
Pérdida de carga acumulada del segmento, considerando la recuperación	Δp_{tm}	[Pa]	: 3.26
Pérdida de carga acumulada neta – total acumulado	$\Sigma \Delta p_{tm}$	[Pa]	: 190.43
Desequilibrio del terminal respecto al camino más desfavorable	Δp_{Tmr}	[Pa]	: 5.44

SEGMENTO 439:

Tipo: Tramo

1 ELEMENTO		2 Caudal Q	3 Diam. D/D _e	4 Ancho A	5 Alto B	6 Long. L	7 $\Delta p/L$	8 Fuente Tab	9 Ashrae X	10 Ashrae Y	11 Coeff. C _o	12 Veloc. V	13 P.Dinám P _v	14 Pérdida Δp_r o Δp_e
N. pz.	Cod.	[m³/h]	[mm]	[mm]	[mm]	[m]	[Pa/m]	n.	-	-	-	[m/s]	[Pa]	[Pa]
3162	11RA	225	133	150	100	0	0	ASH6_26M	0.833		0.017	4.2	10.62	0.25
1648	310R	225	133	150	100	0.6	2.3					4.2	10.62	1.38

Pérdida de carga acumulada del segmento	Δp_t	[Pa]	: 1.64
Velocidad en la sección inicial del segmento	V_m	[m/s]	: 5
Velocidad en la sección final del segmento	V_v	[m/s]	: 4.2
Recuperación de presión estática del segmento	Δp_r	[Pa]	: 4.43
Pérdida de carga acumulada del segmento, considerando la recuperación	Δp_{tm}	[Pa]	: -2.96
Pérdida de carga acumulada neta – total acumulado	$\Sigma \Delta p_{tm}$	[Pa]	: 167.85

SEGMENTO 438:

Tipo: Terminal TRM-46

1 ELEMENTO		2 Caudal Q	3 Diam. D/D _e	4 Ancho A	5 Alto B	6 Long. L	7 $\Delta p/L$	8 Fuente Tab	9 Ashrae X	10 Ashrae Y	11 Coeff. C _o	12 Veloc. V	13 P.Dinám P _v	14 Pérdida Δp_r o Δp_c
N. pz.	Cod.	[m³/h]	[mm]	[mm]	[mm]	[m]	[Pa/m]	n.	-	-	-	[m/s]	[Pa]	[Pa]
3163	11RA	45	98	98	98	0	0	ASH6_26	0.200	0.398	1.070	1.7	1.74	11.18
1677	310C	45	98	98	98	0.07	0.57					1.7	1.74	0.04
1679	079C	45	98	98	98	0	0	3.1	1.520		0.046	1.7	1.74	0.07
3181	023C	45	98	98	98	0	0	4.1	30.000	1.040	0.320	1.7	1.74	0.24
1680	310C	45	100	0	0	0.3	0.5					1.6	1.54	0.15
3180	273C	45	98	98	98	0	0	5.1	30.000	1.040	0.050	1.7	1.74	0.08
1682	05LC	45	98	98	98	0	0	MC4				1.7	1.74	16.35

Pérdida de carga acumulada del segmento

Δp_t [Pa] : 11.77

Velocidad en la sección inicial del segmento

V_m [m/s] : 4.2

Velocidad en la sección final del segmento

V_v [m/s] : 1.7

Recuperación de presión estática del segmento

Δp_r [Pa] : 8.88

Pérdida de carga acumulada del segmento, considerando la recuperación

Δp_{tn} [Pa] : 3.26

Pérdida de carga acumulada neta – total acumulado

$\Sigma \Delta p_{tn}$ [Pa] : 187.46

Desequilibrio del terminal respecto al camino más desfavorable

Δp_{Tmr} [Pa] : 8.41

SEGMENTO 437:

Tipo: Tramo

1 ELEMENTO		2 Caudal Q	3 Diam. D/D _e	4 Ancho A	5 Alto B	6 Long. L	7 $\Delta p/L$	8 Fuente Tab	9 Ashrae X	10 Ashrae Y	11 Coeff. C _o	12 Veloc. V	13 P.Dinám P _v	14 Pérdida Δp_r o Δp_c
N. pz.	Cod.	[m³/h]	[mm]	[mm]	[mm]	[m]	[Pa/m]	n.	-	-	-	[m/s]	[Pa]	[Pa]
3164	11RA	180	133	150	100	0	0	ASH6_26M	0.800		0.020	3.3	6.56	0.21
3167	283R	180	109	100	100	0.14	0	5.1	30.000	1.500	0.050	5	15.05	0.75
1649	310R	180	109	100	100	0.6	4.08					5	15.05	2.45

Pérdida de carga acumulada del segmento

Δp_t [Pa] : 3.41

Velocidad en la sección inicial del segmento

V_m [m/s] : 4.2

Velocidad en la sección final del segmento

V_v [m/s] : 5

Recuperación de presión estática del segmento

Δp_r [Pa] : -4.43

Pérdida de carga acumulada del segmento, considerando la recuperación

Δp_{tn} [Pa] : 8.01

Pérdida de carga acumulada neta – total acumulado

$\Sigma \Delta p_{tn}$ [Pa] : 175.87

SEGMENTO 436:

Tipo: Terminal TRM-46

1 ELEMENTO		2 Caudal Q	3 Diam. D/D _e	4 Ancho A	5 Alto B	6 Long. L	7 $\Delta p/L$	8 Fuente Tab	9 Ashrae X	10 Ashrae Y	11 Coeff. C _o	12 Veloc. V	13 P.Dinám P _v	14 Pérdida Δp_r o Δp_c
N. pz.	Cod.	[m³/h]	[mm]	[mm]	[mm]	[m]	[Pa/m]	n.	-	-	-	[m/s]	[Pa]	[Pa]
3165	11RA	45	98	98	98	0	0	ASH6_26	0.250	0.332	1.080	1.7	1.74	16.18
1671	310C	45	98	98	98	0.07	0.57					1.7	1.74	0.04
1673	079C	45	98	98	98	0	0	3.1	1.520		0.046	1.7	1.74	0.07
3179	023C	45	98	98	98	0	0	4.1	30.000	1.040	0.320	1.7	1.74	0.53
1674	310C	45	100	0	0	0.3	0.5					1.6	1.54	0.15
3178	273C	45	98	98	98	0	0	5.1	30.000	1.040	0.050	1.7	1.74	0.08
1676	05LC	45	98	98	98	0	0	MC4				1.7	1.74	16.35

Pérdida de carga acumulada del segmento	Δp_t	[Pa]	: 17.05
Velocidad en la sección inicial del segmento	V_m	[m/s]	: 5
Velocidad en la sección final del segmento	V_v	[m/s]	: 1.7
Recuperación de presión estática del segmento	Δp_r	[Pa]	: 13.31
Pérdida de carga acumulada del segmento, considerando la recuperación	Δp_{tn}	[Pa]	: 3.66
Pérdida de carga acumulada neta – total acumulado	$\Sigma \Delta p_{tn}$	[Pa]	: 195.87

SEGMENTO 435:

Tipo: Tramo

1 ELEMENTO		2 Caudal Q	3 Diam. D/D _e	4 Ancho A	5 Alto B	6 Long. L	7 $\Delta p/L$	8 Fuente Tab	9 Ashrae X	10 Ashrae Y	11 Coeff. C _o	12 Veloc. V	13 P.Dinám P _v	14 Pérdida Δp_r o Δp_e
N. pz.	Cod.	[m³/h]	[mm]	[mm]	[mm]	[m]	[Pa/m]	n.	-	-	-	[m/s]	[Pa]	[Pa]
3166	11RA	135	109	100	100	0	0	ASH6_26M	0.750		0.030	3.7	8.24	0.45
1650	310R	135	109	100	100	0.6	2.4					3.7	8.24	1.44

Pérdida de carga acumulada del segmento	Δp_t	[Pa]	: 1.89
Velocidad en la sección inicial del segmento	V_m	[m/s]	: 5
Velocidad en la sección final del segmento	V_v	[m/s]	: 3.7
Recuperación de presión estática del segmento	Δp_r	[Pa]	: 6.81
Pérdida de carga acumulada del segmento, considerando la recuperación	Δp_{tn}	[Pa]	: -4.69
Pérdida de carga acumulada neta – total acumulado	$\Sigma \Delta p_{tn}$	[Pa]	: 171.18

SEGMENTO 434:

Tipo: Terminal TRM-46

1 ELEMENTO		2 Caudal Q	3 Diam. D/D _e	4 Ancho A	5 Alto B	6 Long. L	7 $\Delta p/L$	8 Fuente Tab	9 Ashrae X	10 Ashrae Y	11 Coeff. C _o	12 Veloc. V	13 P.Dinám P _v	14 Pérdida Δp_r o Δp_e
N. pz.	Cod.	[m³/h]	[mm]	[mm]	[mm]	[m]	[Pa/m]	n.	-	-	-	[m/s]	[Pa]	[Pa]
3168	11RA	45	98	98	98	0	0	ASH6_26	0.333	0.442	1.100	1.7	1.74	9.28
1665	310C	45	98	98	98	0.07	0.57					1.7	1.74	0.04
1667	079C	45	98	98	98	0	0	3.1	1.520		0.046	1.7	1.74	0.07
3177	023C	45	98	98	98	0	0	4.1	30.000	1.040	0.320	1.7	1.74	0.53
1668	310C	45	100	0	0	0.3	0.5					1.6	1.54	0.15
3176	273C	45	98	98	98	0	0	5.1	30.000	1.040	0.050	1.7	1.74	0.08
1670	05LC	45	98	98	98	0	0	MC4				1.7	1.74	16.35

Pérdida de carga acumulada del segmento	Δp_t	[Pa]	: 10.16
Velocidad en la sección inicial del segmento	V_m	[m/s]	: 3.7
Velocidad en la sección final del segmento	V_v	[m/s]	: 1.7
Recuperación de presión estática del segmento	Δp_r	[Pa]	: 6.5
Pérdida de carga acumulada del segmento, considerando la recuperación	Δp_{tn}	[Pa]	: 3.35
Pérdida de carga acumulada neta – total acumulado	$\Sigma \Delta p_{tn}$	[Pa]	: 190.87
Desequilibrio del terminal respecto al camino más desfavorable	Δp_{Tmr}	[Pa]	: 5

SEGMENTO 433:

Tipo: Tramo

1 ELEMENTO		2 Caudal Q	3 Diam. D/D _e	4 Ancho A	5 Alto B	6 Long. L	7 $\Delta p/L$	8 Fuente Tab	9 Ashrae X	10 Ashrae Y	11 Coeff. C _o	12 Veloc. V	13 P.Dinám P _v	14 Pérdida Δp_r o Δp_e
N. pz.	Cod.	[m³/h]	[mm]	[mm]	[mm]	[m]	[Pa/m]	n.	-	-	-	[m/s]	[Pa]	[Pa]

3169	11RA	90	109	100	100	0	0	ASH6_26M	0.667		0.047	2.5	3.76	0.4
1651	310R	90	109	100	100	0.6	1.13					2.5	3.76	0.68

Pérdida de carga acumulada del segmento	Δp_t	[Pa]	: 1.07
Velocidad en la sección inicial del segmento	V_m	[m/s]	: 3.7
Velocidad en la sección final del segmento	V_v	[m/s]	: 2.5
Recuperación de presión estática del segmento	Δp_r	[Pa]	: 4.48
Pérdida de carga acumulada del segmento, considerando la recuperación	Δp_{tm}	[Pa]	: -3.63
Pérdida de carga acumulada neta – total acumulado	$\Sigma \Delta p_{tm}$	[Pa]	: 167.55

SEGMENTO 432:

Tipo: Terminal TRM-46

1 ELEMENTO		2 Caudal Q	3 Diam. D/D _e	4 Ancho A	5 Alto B	6 Long. L	7 $\Delta p/L$	8 Fuente Tab	9 Ashrae X	10 Ashrae Y	11 Coeff. C _o	12 Veloc. V	13 P.Dinám P _v	14 Pérdida Δp_r o Δp_c
N. pz.	Cod.	[m³/h]	[mm]	[mm]	[mm]	[m]	[Pa/m]	n.	-	-	-	[m/s]	[Pa]	[Pa]
3170	11RA	45	98	98	98	0	0	ASH6_26	0.500	0.663	1.260	1.7	1.74	4.74
1659	310C	45	98	98	98	0.07	0.57					1.7	1.74	0.04
1661	079C	45	98	98	98	0	0	3.1	1.520		0.046	1.7	1.74	0.07
3175	023C	45	98	98	98	0	0	4.1	30.000	1.040	0.320	1.7	1.74	0.24
1662	310C	45	100	0	0	0.3	0.5					1.6	1.54	0.15
3174	273C	45	98	98	98	0	0	5.1	30.000	1.040	0.050	1.7	1.74	0.08
1664	05LC	45	98	98	98	0	0	MC4				1.7	1.74	16.35

Pérdida de carga acumulada del segmento	Δp_t	[Pa]	: 5.33
Velocidad en la sección inicial del segmento	V_m	[m/s]	: 2.5
Velocidad en la sección final del segmento	V_v	[m/s]	: 1.7
Recuperación de presión estática del segmento	Δp_r	[Pa]	: 2.02
Pérdida de carga acumulada del segmento, considerando la recuperación	Δp_{tm}	[Pa]	: 3.51
Pérdida de carga acumulada neta – total acumulado	$\Sigma \Delta p_{tm}$	[Pa]	: 187.4
Desequilibrio del terminal respecto al camino más desfavorable	Δp_{Tmr}	[Pa]	: 8.47

SEGMENTO 431:

Tipo: Terminal TRM-46

1 ELEMENTO		2 Caudal Q	3 Diam. D/D _e	4 Ancho A	5 Alto B	6 Long. L	7 $\Delta p/L$	8 Fuente Tab	9 Ashrae X	10 Ashrae Y	11 Coeff. C _o	12 Veloc. V	13 P.Dinám P _v	14 Pérdida Δp_r o Δp_c
N. pz.	Cod.	[m³/h]	[mm]	[mm]	[mm]	[m]	[Pa/m]	n.	-	-	-	[m/s]	[Pa]	[Pa]
3171	11RA	45	109	100	100	0	0	ASH6_26M	0.500		0.090	1.2	0.87	0.34
1652	310R	45	109	100	100	0.6	0.32					1.2	0.87	0.19
1643	11RAT	45	109	100	100	0	0	2_6	1.000	0.917	2.800	1.2	0.87	4.63
1653	310C	45	98	98	98	0.07	0.57					1.7	1.74	0.04
1655	079C	45	98	98	98	0	0	3.1	1.520		0.046	1.7	1.74	0.07
3173	023C	45	98	98	98	0	0	4.1	30.000	1.040	0.320	1.7	1.74	0.53
1656	310C	45	100	0	0	0.3	0.5					1.6	1.54	0.15
3172	273C	45	98	98	98	0	0	5.1	30.000	1.040	0.050	1.7	1.74	0.08
1658	05LC	45	98	98	98	0	0	MC4				1.7	1.74	16.35

Pérdida de carga acumulada del segmento	Δp_t	[Pa]	: 6.04
Velocidad en la sección inicial del segmento	V_m	[m/s]	: 2.5
Velocidad en la sección final del segmento	V_v	[m/s]	: 1.7
Recuperación de presión estática del segmento	Δp_r	[Pa]	: 2.02
Pérdida de carga acumulada del segmento, considerando la recuperación	Δp_{tm}	[Pa]	: 3.93
Pérdida de carga acumulada neta – total acumulado	$\Sigma \Delta p_{tm}$	[Pa]	: 187.82
Desequilibrio del terminal respecto al camino más desfavorable	Δp_{Tmr}	[Pa]	: 8.05

SEGMENTO 469:

Tipo: Tramo

1 ELEMENTO		2 Caudal Q	3 Diam. D/D _e	4 Ancho A	5 Alto B	6 Long. L	7 $\Delta p/L$	8 Fuente Tab	9 Ashrae X	10 Ashrae Y	11 Coeff. C _o	12 Veloc. V	13 P.Dinám P _v	14 Pérdida Δp_r o Δp_c
N. pz.	Cod.	[m³/h]	[mm]	[mm]	[mm]	[m]	[Pa/m]	n.	-	-	-	[m/s]	[Pa]	[Pa]
3149	3736	2700	464	450	400	0	0	MC4	0.750			4.2	10.62	0
3233	283R	2700	400	450	300	0.27	0	5.1	30.000	1.330	0.050	5.6	18.88	0.1
1785	310R	2700	400	450	300	1	1					5.6	18.88	1

Pérdida de carga acumulada del segmento

Δp_t [Pa] : 1.1

Velocidad en la sección inicial del segmento

V_m [m/s] : 5.6

Velocidad en la sección final del segmento

V_v [m/s] : 4.2

Recuperación de presión estática del segmento

Δp_r [Pa] : 8.26

Pérdida de carga acumulada del segmento, considerando la recuperación

Δp_{tm} [Pa] : -6.2

Pérdida de carga acumulada neta – total acumulado

$\Sigma \Delta p_{tm}$ [Pa] : 141.13

SEGMENTO 489:

Tipo: Tramo

1 ELEMENTO		2 Caudal Q	3 Diam. D/D _e	4 Ancho A	5 Alto B	6 Long. L	7 $\Delta p/L$	8 Fuente Tab	9 Ashrae X	10 Ashrae Y	11 Coeff. C _o	12 Veloc. V	13 P.Dinám P _v	14 Pérdida Δp_r o Δp_c
N. pz.	Cod.	[m³/h]	[mm]	[mm]	[mm]	[m]	[Pa/m]	n.	-	-	-	[m/s]	[Pa]	[Pa]
3231	3736	450	229	150	300	0	0	MC4	0.167	0.333	0.763	2.8	4.72	3.6
3278	283R	450	164	150	150	0.36	0	5.1	30.000	2.000	0.050	5.6	18.88	0.93
1860	310R	450	164	150	150	1.1	2.95					5.6	18.88	3.25

Pérdida de carga acumulada del segmento

Δp_t [Pa] : 7.78

Velocidad en la sección inicial del segmento

V_m [m/s] : 4.2

Velocidad en la sección final del segmento

V_v [m/s] : 3.3

Recuperación de presión estática del segmento

Δp_r [Pa] : 4.06

Pérdida de carga acumulada del segmento, considerando la recuperación

Δp_{tm} [Pa] : 4.95

Pérdida de carga acumulada neta – total acumulado

$\Sigma \Delta p_{tm}$ [Pa] : 146.08

SEGMENTO 507:

Tipo: Terminal TRM-18

1 ELEMENTO		2 Caudal Q	3 Diam. D/D _e	4 Ancho A	5 Alto B	6 Long. L	7 $\Delta p/L$	8 Fuente Tab	9 Ashrae X	10 Ashrae Y	11 Coeff. C _o	12 Veloc. V	13 P.Dinám P _v	14 Pérdida Δp_r o Δp_c
N. pz.	Cod.	[m³/h]	[mm]	[mm]	[mm]	[m]	[Pa/m]	n.	-	-	-	[m/s]	[Pa]	[Pa]
3276	11RA	45	98	98	98	0	0	ASH6_26	0.100	0.298	1.070	1.7	1.74	7.18
1926	310C	45	98	98	98	0.07	0.57					1.7	1.74	0.04
1928	079C	45	98	98	98	0	0	3.1	1.520		0.046	1.7	1.74	0.07
3314	273C	45	75	0	0	0.02	0	5.1	30.000	1.710	0.050	2.8	4.72	0.24
1929	310C	45	75	0	0	0.3	2.03					2.8	4.72	0.61
3313	023C	45	75	0	0	0.02	0	4.1	30.000	1.710	0.320	2.8	4.72	1.54
1931	05LC	45	98	98	98	0	0	MC4				1.7	1.74	16.35

Pérdida de carga acumulada del segmento

Δp_t [Pa] : 9.68

Velocidad en la sección inicial del segmento

V_m [m/s] : 3.3

Velocidad en la sección final del segmento

V_v [m/s] : 1.7

Recuperación de presión estática del segmento

Δp_r [Pa] : 4.82

Pérdida de carga acumulada del segmento, considerando la recuperación
 Pérdida de carga acumulada neta – total acumulado
 Desequilibrio del terminal respecto al camino más desfavorable

Δp_{tm} [Pa] : 5.18
 $\Sigma \Delta p_{tm}$ [Pa] : 167.6
 Δp_{Tmr} [Pa] : 28.27

SEGMENTO 506:

Tipo: Tramo

1 ELEMENTO		2 Caudal Q	3 Diam. D/D _e	4 Ancho A	5 Alto B	6 Long. L	7 $\Delta p/L$	8 Fuente Tab	9 Ashrae X	10 Ashrae Y	11 Coeff. C _o	12 Veloc. V	13 P.Dinám P _v	14 Pérdida Δp_r o Δp_c
N. pz.	Cod.	[m³/h]	[mm]	[mm]	[mm]	[m]	[Pa/m]	n.	-	-	-	[m/s]	[Pa]	[Pa]
3277	11RA	405	164	150	150	0	0	ASH6_26M	0.900		0.010	5	15.05	0.07
1863	310R	405	164	150	150	0.6	2.43					5	15.05	1.46

Pérdida de carga acumulada del segmento
 Velocidad en la sección inicial del segmento
 Velocidad en la sección final del segmento
 Recuperación de presión estática del segmento
 Pérdida de carga acumulada del segmento, considerando la recuperación
 Pérdida de carga acumulada neta – total acumulado

Δp_t [Pa] : 1.52
 V_m [m/s] : 3.3
 V_v [m/s] : 3
 Δp_r [Pa] : 1.14
 Δp_{tm} [Pa] : 1.76
 $\Sigma \Delta p_{tm}$ [Pa] : 147.83

SEGMENTO 505:

Tipo: Terminal TRM-19

1 ELEMENTO		2 Caudal Q	3 Diam. D/D _e	4 Ancho A	5 Alto B	6 Long. L	7 $\Delta p/L$	8 Fuente Tab	9 Ashrae X	10 Ashrae Y	11 Coeff. C _o	12 Veloc. V	13 P.Dinám P _v	14 Pérdida Δp_r o Δp_c
N. pz.	Cod.	[m³/h]	[mm]	[mm]	[mm]	[m]	[Pa/m]	n.	-	-	-	[m/s]	[Pa]	[Pa]
3279	11RA	45	98	98	98	0	0	ASH6_26	0.111	0.332	1.110	1.7	1.74	6
1920	310C	45	98	98	98	0.07	0.57					1.7	1.74	0.04
1922	079C	45	98	98	98	0	0	3.1	1.520		0.046	1.7	1.74	0.07
3312	273C	45	75	0	0	0.02	0	5.1	30.000	1.710	0.050	2.8	4.72	0.24
1923	310C	45	75	0	0	0.3	2.03					2.8	4.72	0.61
3311	023C	45	75	0	0	0.02	0	4.1	30.000	1.710	0.320	2.8	4.72	1.54
1925	05LC	45	98	98	98	0	0	MC4				1.7	1.74	16.35

Pérdida de carga acumulada del segmento
 Velocidad en la sección inicial del segmento
 Velocidad en la sección final del segmento
 Recuperación de presión estática del segmento
 Pérdida de carga acumulada del segmento, considerando la recuperación
 Pérdida de carga acumulada neta – total acumulado
 Desequilibrio del terminal respecto al camino más desfavorable

Δp_t [Pa] : 8.51
 V_m [m/s] : 3
 V_v [m/s] : 1.7
 Δp_r [Pa] : 3.68
 Δp_{tm} [Pa] : 5.27
 $\Sigma \Delta p_{tm}$ [Pa] : 169.45
 Δp_{Tmr} [Pa] : 26.42

SEGMENTO 504:

Tipo: Tramo

1 ELEMENTO		2 Caudal Q	3 Diam. D/D _e	4 Ancho A	5 Alto B	6 Long. L	7 $\Delta p/L$	8 Fuente Tab	9 Ashrae X	10 Ashrae Y	11 Coeff. C _o	12 Veloc. V	13 P.Dinám P _v	14 Pérdida Δp_r o Δp_c
N. pz.	Cod.	[m³/h]	[mm]	[mm]	[mm]	[m]	[Pa/m]	n.	-	-	-	[m/s]	[Pa]	[Pa]
3280	11RA	360	164	150	150	0	0	ASH6_26M	0.889		0.011	4.4	11.65	0.06
1864	310R	360	164	150	150	0.6	1.95					4.4	11.65	1.17

Pérdida de carga acumulada del segmento	Δp_t	[Pa]	: 1.23
Velocidad en la sección inicial del segmento	V_m	[m/s]	: 3
Velocidad en la sección final del segmento	V_v	[m/s]	: 2.7
Recuperación de presión estática del segmento	Δp_r	[Pa]	: 1.03
Pérdida de carga acumulada del segmento, considerando la recuperación	Δp_{tn}	[Pa]	: 1.28
Pérdida de carga acumulada neta – total acumulado	$\Sigma \Delta p_{tn}$	[Pa]	: 149.11

SEGMENTO 503:

Tipo: Terminal TRM-20

1 ELEMENTO		2 Caudal Q	3 Diam. D/D _e	4 Ancho A	5 Alto B	6 Long. L	7 $\Delta p/L$	8 Fuente Tab	9 Ashrae X	10 Ashrae Y	11 Coeff. C _o	12 Veloc. V	13 P.Dinám P _v	14 Pérdida Δp_r o Δp_c
N. pz.	Cod.	[m³/h]	[mm]	[mm]	[mm]	[m]	[Pa/m]	n.	-	-	-	[m/s]	[Pa]	[Pa]
3281	11RA	45	98	98	98	0	0	ASH6_26	0.125	0.373	1.140	1.7	1.74	4.88
1914	310C	45	98	98	98	0.07	0.57					1.7	1.74	0.04
1916	079C	45	98	98	98	0	0	3.1	1.520		0.046	1.7	1.74	0.07
3310	273C	45	75	0	0	0.02	0	5.1	30.000	1.710	0.050	2.8	4.72	0.24
1917	310C	45	75	0	0	0.3	2.03					2.8	4.72	0.61
3309	023C	45	75	0	0	0.02	0	4.1	30.000	1.710	0.320	2.8	4.72	1.54
1919	05LC	45	98	98	98	0	0	MC4				1.7	1.74	16.35

Pérdida de carga acumulada del segmento	Δp_t	[Pa]	: 7.38
Velocidad en la sección inicial del segmento	V_m	[m/s]	: 2.7
Velocidad en la sección final del segmento	V_v	[m/s]	: 1.7
Recuperación de presión estática del segmento	Δp_r	[Pa]	: 2.65
Pérdida de carga acumulada del segmento, considerando la recuperación	Δp_{tn}	[Pa]	: 5.28
Pérdida de carga acumulada neta – total acumulado	$\Sigma \Delta p_{tn}$	[Pa]	: 170.74
Desequilibrio del terminal respecto al camino más desfavorable	Δp_{Tmr}	[Pa]	: 25.13

SEGMENTO 502:

Tipo: Tramo

1 ELEMENTO		2 Caudal Q	3 Diam. D/D _e	4 Ancho A	5 Alto B	6 Long. L	7 $\Delta p/L$	8 Fuente Tab	9 Ashrae X	10 Ashrae Y	11 Coeff. C _o	12 Veloc. V	13 P.Dinám P _v	14 Pérdida Δp_r o Δp_c
N. pz.	Cod.	[m³/h]	[mm]	[mm]	[mm]	[m]	[Pa/m]	n.	-	-	-	[m/s]	[Pa]	[Pa]
3282	11RA	315	164	150	150	0	0	ASH6_26M	0.875		0.012	3.9	9.16	0.05
1865	310R	315	164	150	150	0.6	1.52					3.9	9.16	0.91

Pérdida de carga acumulada del segmento	Δp_t	[Pa]	: 0.97
Velocidad en la sección inicial del segmento	V_m	[m/s]	: 2.7
Velocidad en la sección final del segmento	V_v	[m/s]	: 2.3
Recuperación de presión estática del segmento	Δp_r	[Pa]	: 1.2
Pérdida de carga acumulada del segmento, considerando la recuperación	Δp_{tn}	[Pa]	: 0.87
Pérdida de carga acumulada neta – total acumulado	$\Sigma \Delta p_{tn}$	[Pa]	: 149.99

SEGMENTO 501:

Tipo: Terminal TRM-21

1 ELEMENTO		2 Caudal Q	3 Diam. D/D _e	4 Ancho A	5 Alto B	6 Long. L	7 $\Delta p/L$	8 Fuente Tab	9 Ashrae X	10 Ashrae Y	11 Coeff. C _o	12 Veloc. V	13 P.Dinám P _v	14 Pérdida Δp_r o Δp_c
N. pz.	Cod.	[m³/h]	[mm]	[mm]	[mm]	[m]	[Pa/m]	n.	-	-	-	[m/s]	[Pa]	[Pa]
3283	11RA	45	98	98	98	0	0	ASH6_	0.143	0.426	1.190	1.7	1.74	3.88

								26						
1908	310C	45	98	98	98	0.07	0.57					1.7	1.74	0.04
1910	079C	45	98	98	98	0	0	3.1	1.520		0.046	1.7	1.74	0.07
3308	273C	45	75	0	0	0.02	0	5.1	30.000	1.710	0.050	2.8	4.72	0.24
1911	310C	45	75	0	0	0.3	2.03					2.8	4.72	0.61
3307	023C	45	75	0	0	0.02	0	4.1	30.000	1.710	0.320	2.8	4.72	1.54
1913	05LC	45	98	98	98	0	0	MC4				1.7	1.74	16.35

Pérdida de carga acumulada del segmento	Δp_t	[Pa]	: 6.39
Velocidad en la sección inicial del segmento	V_m	[m/s]	: 2.3
Velocidad en la sección final del segmento	V_v	[m/s]	: 1.7
Recuperación de presión estática del segmento	Δp_r	[Pa]	: 1.44
Pérdida de carga acumulada del segmento, considerando la recuperación	Δp_{tm}	[Pa]	: 5.29
Pérdida de carga acumulada neta – total acumulado	$\Sigma \Delta p_{tm}$	[Pa]	: 171.63
Desequilibrio del terminal respecto al camino más desfavorable	Δp_{Tmr}	[Pa]	: 24.24

SEGMENTO 500:

Tipo: Tramo

1 ELEMENTO		2 Caudal Q	3 Diam. D/D _e	4 Ancho A	5 Alto B	6 Long. L	7 $\Delta p/L$	8 Fuente Tab	9 Ashrae X	10 Ashrae Y	11 Coeff. C _o	12 Veloc. V	13 P.Dinám P _v	14 Pérdida Δp_r o Δp_e
N. pz.	Cod.	[m³/h]	[mm]	[mm]	[mm]	[m]	[Pa/m]	n.	-	-	-	[m/s]	[Pa]	[Pa]
3284	11RA	270	164	150	150	0	0	ASH6_26M	0.857		0.014	3.3	6.56	0.05
1866	310R	270	164	150	150	0.6	1.15					3.3	6.56	0.69

Pérdida de carga acumulada del segmento	Δp_t	[Pa]	: 0.73
Velocidad en la sección inicial del segmento	V_m	[m/s]	: 2.3
Velocidad en la sección final del segmento	V_v	[m/s]	: 2
Recuperación de presión estática del segmento	Δp_r	[Pa]	: 0.78
Pérdida de carga acumulada del segmento, considerando la recuperación	Δp_{tm}	[Pa]	: 0.53
Pérdida de carga acumulada neta – total acumulado	$\Sigma \Delta p_{tm}$	[Pa]	: 150.52

SEGMENTO 499:

Tipo: Terminal TRM-22

1 ELEMENTO		2 Caudal Q	3 Diam. D/D _e	4 Ancho A	5 Alto B	6 Long. L	7 $\Delta p/L$	8 Fuente Tab	9 Ashrae X	10 Ashrae Y	11 Coeff. C _o	12 Veloc. V	13 P.Dinám P _v	14 Pérdida Δp_r o Δp_e
N. pz.	Cod.	[m³/h]	[mm]	[mm]	[mm]	[m]	[Pa/m]	n.	-	-	-	[m/s]	[Pa]	[Pa]
3285	11RA	45	98	98	98	0	0	ASH6_26	0.167	0.497	1.280	1.7	1.74	3.08
1902	310C	45	98	98	98	0.07	0.57					1.7	1.74	0.04
1904	079C	45	98	98	98	0	0	3.1	1.520		0.046	1.7	1.74	0.07
3306	273C	45	75	0	0	0.02	0	5.1	30.000	1.710	0.050	2.8	4.72	0.24
1905	310C	45	75	0	0	0.3	2.03					2.8	4.72	0.61
3305	023C	45	75	0	0	0.02	0	4.1	30.000	1.710	0.320	2.8	4.72	1.54
1907	05LC	45	98	98	98	0	0	MC4				1.7	1.74	16.35

Pérdida de carga acumulada del segmento	Δp_t	[Pa]	: 5.59
Velocidad en la sección inicial del segmento	V_m	[m/s]	: 2
Velocidad en la sección final del segmento	V_v	[m/s]	: 1.7
Recuperación de presión estática del segmento	Δp_r	[Pa]	: 0.67
Pérdida de carga acumulada del segmento, considerando la recuperación	Δp_{tm}	[Pa]	: 5.36
Pérdida de carga acumulada neta – total acumulado	$\Sigma \Delta p_{tm}$	[Pa]	: 172.22
Desequilibrio del terminal respecto al camino más desfavorable	Δp_{Tmr}	[Pa]	: 23.65

SEGMENTO 498:**Tipo:** Tramo

1 ELEMENTO		2 Caudal Q	3 Diam. D/D _e	4 Ancho A	5 Alto B	6 Long. L	7 $\Delta p/L$	8 Fuente Tab	9 Ashrae X	10 Ashrae Y	11 Coeff. C _o	12 Veloc. V	13 P.Dinám P _v	14 Pérdida $\Delta p_r \circ \Delta p_e$
N. pz.	Cod.	[m³/h]	[mm]	[mm]	[mm]	[m]	[Pa/m]	n.	-	-	-	[m/s]	[Pa]	[Pa]
3286	11RA	225	164	150	150	0	0	ASH6_26M	0.833		0.017	2.8	4.72	0.04
1867	310R	225	164	150	150	0.6	0.82					2.8	4.72	0.49

Pérdida de carga acumulada del segmento

 Δp_t [Pa] : 0.53

Velocidad en la sección inicial del segmento

 V_m [m/s] : 2

Velocidad en la sección final del segmento

 V_v [m/s] : 3.1

Recuperación de presión estática del segmento

 Δp_r [Pa] : -3.38

Pérdida de carga acumulada del segmento, considerando la recuperación

 Δp_{tn} [Pa] : 4.53

Pérdida de carga acumulada neta – total acumulado

 $\Sigma \Delta p_{tn}$ [Pa] : 155.05**SEGMENTO 497:****Tipo:** Terminal TRM-22

1 ELEMENTO		2 Caudal Q	3 Diam. D/D _e	4 Ancho A	5 Alto B	6 Long. L	7 $\Delta p/L$	8 Fuente Tab	9 Ashrae X	10 Ashrae Y	11 Coeff. C _o	12 Veloc. V	13 P.Dinám P _v	14 Pérdida $\Delta p_r \circ \Delta p_e$
N. pz.	Cod.	[m³/h]	[mm]	[mm]	[mm]	[m]	[Pa/m]	n.	-	-	-	[m/s]	[Pa]	[Pa]
3287	11RA	45	98	98	98	0	0	ASH6_26	0.200	0.597	1.090	1.7	1.74	6.41
1896	310C	45	98	98	98	0.07	0.57					1.7	1.74	0.04
1898	079C	45	98	98	98	0	0	3.1	1.520		0.046	1.7	1.74	0.07
3304	273C	45	75	0	0	0.02	0	5.1	30.000	1.710	0.050	2.8	4.72	0.24
1899	310C	45	75	0	0	0.3	2.03					2.8	4.72	0.61
3303	023C	45	75	0	0	0.02	0	4.1	30.000	1.710	0.320	2.8	4.72	1.54
1901	05LC	45	98	98	98	0	0	MC4				1.7	1.74	16.35

Pérdida de carga acumulada del segmento

 Δp_t [Pa] : 8.91

Velocidad en la sección inicial del segmento

 V_m [m/s] : 3.1

Velocidad en la sección final del segmento

 V_v [m/s] : 1.7

Recuperación de presión estática del segmento

 Δp_r [Pa] : 4.05

Pérdida de carga acumulada del segmento, considerando la recuperación

 Δp_{tn} [Pa] : 5.21

Pérdida de carga acumulada neta – total acumulado

 $\Sigma \Delta p_{tn}$ [Pa] : 176.61

Desequilibrio del terminal respecto al camino más desfavorable

 Δp_{Tmr} [Pa] : 19.26**SEGMENTO 496:****Tipo:** Tramo

1 ELEMENTO		2 Caudal Q	3 Diam. D/D _e	4 Ancho A	5 Alto B	6 Long. L	7 $\Delta p/L$	8 Fuente Tab	9 Ashrae X	10 Ashrae Y	11 Coeff. C _o	12 Veloc. V	13 P.Dinám P _v	14 Pérdida $\Delta p_r \circ \Delta p_e$
N. pz.	Cod.	[m³/h]	[mm]	[mm]	[mm]	[m]	[Pa/m]	n.	-	-	-	[m/s]	[Pa]	[Pa]
3288	11RA	180	164	150	150	0	0	ASH6_26M	0.800		0.020	2.2	2.91	0.12
1868	310R	180	164	150	150	0.6	0.55					2.2	2.91	0.33

Pérdida de carga acumulada del segmento

 Δp_t [Pa] : 0.45

Velocidad en la sección inicial del segmento

 V_m [m/s] : 3.1

Velocidad en la sección final del segmento

 V_v [m/s] : 2.5

Recuperación de presión estática del segmento

 Δp_r [Pa] : 2.02

Pérdida de carga acumulada del segmento, considerando la recuperación

 Δp_{tn} [Pa] : -0.35

Pérdida de carga acumulada neta – total acumulado

$\Sigma \Delta p_{tn}$ [Pa] : 154.69

SEGMENTO 495:

Tipo: Terminal TRM-24

1 ELEMENTO		2 Caudal Q	3 Diam. D/D _e	4 Ancho A	5 Alto B	6 Long. L	7 $\Delta p/L$	8 Fuente Tab	9 Ashrae X	10 Ashrae Y	11 Coeff. C _o	12 Veloc. V	13 P.Dinám P _v	14 Pérdida $\Delta p_r \circ \Delta p_e$
N. pz.	Cod.	[m³/h]	[mm]	[mm]	[mm]	[m]	[Pa/m]	n.	-	-	-	[m/s]	[Pa]	[Pa]
3289	11RA	45	98	98	98	0	0	ASH6_26	0.250	0.746	1.130	1.7	1.74	4.25
1890	310C	45	98	98	98	0.07	0.57					1.7	1.74	0.04
1892	079C	45	98	98	98	0	0	3.1	1.520		0.046	1.7	1.74	0.07
3302	273C	45	75	0	0	0.02	0	5.1	30.000	1.710	0.050	2.8	4.72	0.24
1893	310C	45	75	0	0	0.3	2.03					2.8	4.72	0.61
3301	023C	45	75	0	0	0.02	0	4.1	30.000	1.710	0.320	2.8	4.72	1.54
1895	05LC	45	98	98	98	0	0	MC4				1.7	1.74	16.35

Pérdida de carga acumulada del segmento

Δp_t [Pa] : 6.76

Velocidad en la sección inicial del segmento

V_m [m/s] : 2.5

Velocidad en la sección final del segmento

V_v [m/s] : 1.7

Recuperación de presión estática del segmento

Δp_r [Pa] : 2.02

Pérdida de carga acumulada del segmento, considerando la recuperación

Δp_{tn} [Pa] : 5.17

Pérdida de carga acumulada neta – total acumulado

$\Sigma \Delta p_{tn}$ [Pa] : 176.21

Desequilibrio del terminal respecto al camino más desfavorable

Δp_{Tmr} [Pa] : 19.66

SEGMENTO 494:

Tipo: Tramo

1 ELEMENTO		2 Caudal Q	3 Diam. D/D _e	4 Ancho A	5 Alto B	6 Long. L	7 $\Delta p/L$	8 Fuente Tab	9 Ashrae X	10 Ashrae Y	11 Coeff. C _o	12 Veloc. V	13 P.Dinám P _v	14 Pérdida $\Delta p_r \circ \Delta p_e$
N. pz.	Cod.	[m³/h]	[mm]	[mm]	[mm]	[m]	[Pa/m]	n.	-	-	-	[m/s]	[Pa]	[Pa]
3290	11RA	135	164	150	150	0	0	ASH6_26M	0.750		0.030	1.7	1.74	0.11
1869	310R	135	164	150	150	0.6	0.32					1.7	1.74	0.19

Pérdida de carga acumulada del segmento

Δp_t [Pa] : 0.31

Velocidad en la sección inicial del segmento

V_m [m/s] : 2.5

Velocidad en la sección final del segmento

V_v [m/s] : 2.5

Recuperación de presión estática del segmento

Δp_r [Pa] : 0

Pérdida de carga acumulada del segmento, considerando la recuperación

Δp_{tn} [Pa] : 1.13

Pérdida de carga acumulada neta – total acumulado

$\Sigma \Delta p_{tn}$ [Pa] : 155.82

SEGMENTO 493:

Tipo: Terminal TRM-25

1 ELEMENTO		2 Caudal Q	3 Diam. D/D _e	4 Ancho A	5 Alto B	6 Long. L	7 $\Delta p/L$	8 Fuente Tab	9 Ashrae X	10 Ashrae Y	11 Coeff. C _o	12 Veloc. V	13 P.Dinám P _v	14 Pérdida $\Delta p_r \circ \Delta p_e$
N. pz.	Cod.	[m³/h]	[mm]	[mm]	[mm]	[m]	[Pa/m]	n.	-	-	-	[m/s]	[Pa]	[Pa]
3291	11RA	45	98	98	98	0	0	ASH6_26	0.333	0.995	1.110	1.7	1.74	4.16
1884	310C	45	98	98	98	0.07	0.57					1.7	1.74	0.04
1886	079C	45	98	98	98	0	0	3.1	1.520		0.046	1.7	1.74	0.07
3300	273C	45	75	0	0	0.02	0	5.1	30.000	1.710	0.050	2.8	4.72	0.24
1887	310C	45	75	0	0	0.3	2.03					2.8	4.72	0.61
3299	023C	45	75	0	0	0.02	0	4.1	30.000	1.710	0.320	2.8	4.72	1.54
1889	05LC	45	98	98	98	0	0	MC4				1.7	1.74	16.35

Pérdida de carga acumulada del segmento	Δp_t	[Pa]	: 6.66
Velocidad en la sección inicial del segmento	V_m	[m/s]	: 2.5
Velocidad en la sección final del segmento	V_v	[m/s]	: 1.7
Recuperación de presión estática del segmento	Δp_r	[Pa]	: 2.02
Pérdida de carga acumulada del segmento, considerando la recuperación	Δp_{tn}	[Pa]	: 5.08
Pérdida de carga acumulada neta – total acumulado	$\Sigma \Delta p_{tn}$	[Pa]	: 177.25
Desequilibrio del terminal respecto al camino más desfavorable	Δp_{Tmr}	[Pa]	: 18.62

SEGMENTO 492:

Tipo: Tramo

1 ELEMENTO		2 Caudal Q	3 Diam. D/D _e	4 Ancho A	5 Alto B	6 Long. L	7 $\Delta p/L$	8 Fuente Tab	9 Ashrae X	10 Ashrae Y	11 Coeff. C _o	12 Veloc. V	13 P.Dinám P _v	14 Pérdida Δp_r o Δp_e
N. pz.	Cod.	[m³/h]	[mm]	[mm]	[mm]	[m]	[Pa/m]	n.	-	-	-	[m/s]	[Pa]	[Pa]
3292	11RA	90	164	150	150	0	0	ASH6_26M	0.667		0.047	1.1	0.73	0.18
1870	310R	90	164	150	150	0.6	0.15					1.1	0.73	0.09

Pérdida de carga acumulada del segmento	Δp_t	[Pa]	: 0.27
Velocidad en la sección inicial del segmento	V_m	[m/s]	: 2.5
Velocidad en la sección final del segmento	V_v	[m/s]	: 2.5
Recuperación de presión estática del segmento	Δp_r	[Pa]	: 0
Pérdida de carga acumulada del segmento, considerando la recuperación	Δp_{tn}	[Pa]	: 0.95
Pérdida de carga acumulada neta – total acumulado	$\Sigma \Delta p_{tn}$	[Pa]	: 156.78

SEGMENTO 491:

Tipo: Terminal TRM-26

1 ELEMENTO		2 Caudal Q	3 Diam. D/D _e	4 Ancho A	5 Alto B	6 Long. L	7 $\Delta p/L$	8 Fuente Tab	9 Ashrae X	10 Ashrae Y	11 Coeff. C _o	12 Veloc. V	13 P.Dinám P _v	14 Pérdida Δp_r o Δp_e
N. pz.	Cod.	[m³/h]	[mm]	[mm]	[mm]	[m]	[Pa/m]	n.	-	-	-	[m/s]	[Pa]	[Pa]
3293	11RA	45	98	98	98	0	0	ASH6_26	0.500	1.490	1.260	1.7	1.74	4.74
1878	310C	45	98	98	98	0.07	0.57					1.7	1.74	0.04
1880	079C	45	98	98	98	0	0	3.1	1.520		0.046	1.7	1.74	0.07
3298	273C	45	75	0	0	0.02	0	5.1	30.000	1.710	0.050	2.8	4.72	0.24
1881	310C	45	75	0	0	0.3	2.03					2.8	4.72	0.61
3297	023C	45	75	0	0	0.02	0	4.1	30.000	1.710	0.320	2.8	4.72	1.54
1883	05LC	45	98	98	98	0	0	MC4				1.7	1.74	16.35

Pérdida de carga acumulada del segmento	Δp_t	[Pa]	: 7.25
Velocidad en la sección inicial del segmento	V_m	[m/s]	: 2.5
Velocidad en la sección final del segmento	V_v	[m/s]	: 1.7
Recuperación de presión estática del segmento	Δp_r	[Pa]	: 2.02
Pérdida de carga acumulada del segmento, considerando la recuperación	Δp_{tn}	[Pa]	: 5.67
Pérdida de carga acumulada neta – total acumulado	$\Sigma \Delta p_{tn}$	[Pa]	: 178.79
Desequilibrio del terminal respecto al camino más desfavorable	Δp_{Tmr}	[Pa]	: 17.08

SEGMENTO 490:

Tipo: Terminal TRM-27

1 ELEMENTO		2 Caudal Q	3 Diam. D/D _e	4 Ancho A	5 Alto B	6 Long. L	7 $\Delta p/L$	8 Fuente Tab	9 Ashrae X	10 Ashrae Y	11 Coeff. C _o	12 Veloc. V	13 P.Dinám P _v	14 Pérdida Δp_r o Δp_e
---------------	--	------------------	--------------------------------	-----------------	----------------	-----------------	-------------------	--------------------	------------------	-------------------	--------------------------------	-------------------	---------------------------------	--

N. pz.	Cod.	[m³/h]	[mm]	[mm]	[mm]	[m]	[Pa/m]	n.	-	-	-	[m/s]	[Pa]	[Pa]
3294	11RA	45	164	150	150	0	0	ASH6_26M	0.500		0.090	0.6	0.22	0.34
1871	310R	45	164	150	150	0.6	0.05					0.6	0.22	0.03
1862	11RAT	45	164	150	150	0	0	2_6	1.000	0.915	2.800	0.6	0.22	0
1872	310C	45	98	98	98	0.07	0.57					1.7	1.74	0.04
1874	079C	45	98	98	98	0	0	3.1	1.520		0.046	1.7	1.74	0.07
3296	023C	45	98	98	98	0	0	4.1	30.000	1.040	0.320	1.7	1.74	0.53
1875	310C	45	100	0	0	0.3	0.5					1.6	1.54	0.15
3295	273C	45	98	98	98	0	0	5.1	30.000	1.040	0.050	1.7	1.74	0.08
1877	05LC	45	98	98	98	0	0	MC4				1.7	1.74	16.35

Pérdida de carga acumulada del segmento	Δp_t	[Pa]	: 1.24
Velocidad en la sección inicial del segmento	V_m	[m/s]	: 2.5
Velocidad en la sección final del segmento	V_v	[m/s]	: 1.7
Recuperación de presión estática del segmento	Δp_r	[Pa]	: 2.02
Pérdida de carga acumulada del segmento, considerando la recuperación	Δp_{tm}	[Pa]	: -0.55
Pérdida de carga acumulada neta – total acumulado	$\Sigma \Delta p_{tm}$	[Pa]	: 172.57
Desequilibrio del terminal respecto al camino más desfavorable	Δp_{Tmr}	[Pa]	: 23.3

SEGMENTO 488:

Tipo: Tramo

1 ELEMENTO		2 Caudal Q	3 Diam. D/D _e	4 Ancho A	5 Alto B	6 Long. L	7 $\Delta p/L$	8 Fuente Tab	9 Ashrae X	10 Ashrae Y	11 Coeff. C _o	12 Veloc. V	13 P.Dinám P _v	14 Pérdida Δp_r o Δp_c
N. pz.	Cod.	[m³/h]	[mm]	[mm]	[mm]	[m]	[Pa/m]	n.	-	-	-	[m/s]	[Pa]	[Pa]
1789	3736	450	299	250	300	0	0	MC4	0.167	0.556	3.640	1.7	1.74	6.34
3236	283R	450	210	250	150	0.36	0	5.1	30.000	2.000	0.050	3.3	6.56	0.33
1788	310R	450	210	250	150	1.05	0.87					3.3	6.56	0.91

Pérdida de carga acumulada del segmento	Δp_t	[Pa]	: 7.58
Velocidad en la sección inicial del segmento	V_m	[m/s]	: 4.2
Velocidad en la sección final del segmento	V_v	[m/s]	: 3.3
Recuperación de presión estática del segmento	Δp_r	[Pa]	: 4.06
Pérdida de carga acumulada del segmento, considerando la recuperación	Δp_{tm}	[Pa]	: 3.82
Pérdida de carga acumulada neta – total acumulado	$\Sigma \Delta p_{tm}$	[Pa]	: 144.95

SEGMENTO 487:

Tipo: Terminal TRM-46

1 ELEMENTO		2 Caudal Q	3 Diam. D/D _e	4 Ancho A	5 Alto B	6 Long. L	7 $\Delta p/L$	8 Fuente Tab	9 Ashrae X	10 Ashrae Y	11 Coeff. C _o	12 Veloc. V	13 P.Dinám P _v	14 Pérdida Δp_r o Δp_c
N. pz.	Cod.	[m³/h]	[mm]	[mm]	[mm]	[m]	[Pa/m]	n.	-	-	-	[m/s]	[Pa]	[Pa]
3234	11RA	45	98	98	98	0	0	ASH6_26	0.100	0.497	1.070	1.7	1.74	7.18
1854	310C	45	98	98	98	0.07	0.57					1.7	1.74	0.04
1856	079C	45	98	98	98	0	0	3.1	1.520		0.046	1.7	1.74	0.07
3275	273C	45	75	0	0	0.02	0	5.1	30.000	1.710	0.050	2.8	4.72	0.24
1857	310C	45	75	0	0	0.3	2.03					2.8	4.72	0.61
3274	023C	45	75	0	0	0.02	0	4.1	30.000	1.710	0.320	2.8	4.72	1.54
1859	05LC	45	98	98	98	0	0	MC4				1.7	1.74	16.35

Pérdida de carga acumulada del segmento	Δp_t	[Pa]	: 9.68
Velocidad en la sección inicial del segmento	V_m	[m/s]	: 3.3
Velocidad en la sección final del segmento	V_v	[m/s]	: 1.7
Recuperación de presión estática del segmento	Δp_r	[Pa]	: 4.82
Pérdida de carga acumulada del segmento, considerando la recuperación	Δp_{tm}	[Pa]	: 5.18

Pérdida de carga acumulada neta – total acumulado
Desequilibrio del terminal respecto al camino más desfavorable

$\Sigma \Delta p_{tn}$ [Pa] : 166.47
 Δp_{Tmr} [Pa] : 29.4

SEGMENTO 486:

Tipo: Tramo

1 ELEMENTO		2 Caudal Q	3 Diam. D/D _e	4 Ancho A	5 Alto B	6 Long. L	7 $\Delta p/L$	8 Fuente Tab	9 Ashrae X	10 Ashrae Y	11 Coeff. C _o	12 Veloc. V	13 P.Dinám P _v	14 Pérdida Δp_r o Δp_c
N. pz.	Cod.	[m³/h]	[mm]	[mm]	[mm]	[m]	[Pa/m]	n.	-	-	-	[m/s]	[Pa]	[Pa]
3235	11RA	405	210	250	150	0	0	ASH6_26M	0.900		0.010	3	5.42	0.07
3239	283R	405	152	200	100	0.19	0	5.1	30.000	1.880	0.050	5.6	18.88	0.95
1791	310R	405	152	200	100	0.6	3.53					5.6	18.88	2.12

Pérdida de carga acumulada del segmento
Velocidad en la sección inicial del segmento
Velocidad en la sección final del segmento
Recuperación de presión estática del segmento
Pérdida de carga acumulada del segmento, considerando la recuperación
Pérdida de carga acumulada neta – total acumulado

Δp_t [Pa] : 3.14
 V_m [m/s] : 3.3
 V_v [m/s] : 5.6
 Δp_r [Pa] : -12.32
 Δp_{tn} [Pa] : 15.5
 $\Sigma \Delta p_{tn}$ [Pa] : 160.45

SEGMENTO 485:

Tipo: Terminal TRM-46

1 ELEMENTO		2 Caudal Q	3 Diam. D/D _e	4 Ancho A	5 Alto B	6 Long. L	7 $\Delta p/L$	8 Fuente Tab	9 Ashrae X	10 Ashrae Y	11 Coeff. C _o	12 Veloc. V	13 P.Dinám P _v	14 Pérdida Δp_r o Δp_c
N. pz.	Cod.	[m³/h]	[mm]	[mm]	[mm]	[m]	[Pa/m]	n.	-	-	-	[m/s]	[Pa]	[Pa]
3237	11RA	45	98	98	98	0	0	ASH6_26	0.111	0.295	1.010	1.7	1.74	19.28
1848	310C	45	98	98	98	0.07	0.57					1.7	1.74	0.04
1850	079C	45	98	98	98	0	0	3.1	1.520		0.046	1.7	1.74	0.07
3273	273C	45	75	0	0	0.02	0	5.1	30.000	1.710	0.050	2.8	4.72	0.24
1851	310C	45	75	0	0	0.3	2.03					2.8	4.72	0.61
3272	023C	45	75	0	0	0.02	0	4.1	30.000	1.710	0.320	2.8	4.72	1.54
1853	05LC	45	98	98	98	0	0	MC4				1.7	1.74	16.35

Pérdida de carga acumulada del segmento
Velocidad en la sección inicial del segmento
Velocidad en la sección final del segmento
Recuperación de presión estática del segmento
Pérdida de carga acumulada del segmento, considerando la recuperación
Pérdida de carga acumulada neta – total acumulado
Desequilibrio del terminal respecto al camino más desfavorable

Δp_t [Pa] : 21.78
 V_m [m/s] : 5.6
 V_v [m/s] : 1.7
 Δp_r [Pa] : 17.14
 Δp_{tn} [Pa] : 4.92
 $\Sigma \Delta p_{tn}$ [Pa] : 181.71
 Δp_{Tmr} [Pa] : 14.16

SEGMENTO 484:

Tipo: Tramo

1 ELEMENTO		2 Caudal Q	3 Diam. D/D _e	4 Ancho A	5 Alto B	6 Long. L	7 $\Delta p/L$	8 Fuente Tab	9 Ashrae X	10 Ashrae Y	11 Coeff. C _o	12 Veloc. V	13 P.Dinám P _v	14 Pérdida Δp_r o Δp_c
N. pz.	Cod.	[m³/h]	[mm]	[mm]	[mm]	[m]	[Pa/m]	n.	-	-	-	[m/s]	[Pa]	[Pa]
3238	11RA	360	152	200	100	0	0	ASH6_26M	0.889		0.011	5	15.05	0.21
1792	310R	360	152	200	100	0.6	2.85					5	15.05	1.71

Pérdida de carga acumulada del segmento	Δp_t	[Pa]	: 1.92
Velocidad en la sección inicial del segmento	V_m	[m/s]	: 5.6
Velocidad en la sección final del segmento	V_v	[m/s]	: 5
Recuperación de presión estática del segmento	Δp_r	[Pa]	: 3.83
Pérdida de carga acumulada del segmento, considerando la recuperación	Δp_{tn}	[Pa]	: -2.08
Pérdida de carga acumulada neta – total acumulado	$\Sigma \Delta p_{tn}$	[Pa]	: 158.37

SEGMENTO 483:

Tipo: Terminal TRM-46

1 ELEMENTO		2 Caudal Q	3 Diam. D/D _e	4 Ancho A	5 Alto B	6 Long. L	7 $\Delta p/L$	8 Fuente Tab	9 Ashrae X	10 Ashrae Y	11 Coeff. C _o	12 Veloc. V	13 P.Dinám P _v	14 Pérdida Δp_r o Δp_c
N. pz.	Cod.	[m³/h]	[mm]	[mm]	[mm]	[m]	[Pa/m]	n.	-	-	-	[m/s]	[Pa]	[Pa]
3240	11RA	45	98	98	98	0	0	ASH6_26	0.125	0.332	1.020	1.7	1.74	15.39
1842	310C	45	98	98	98	0.07	0.57					1.7	1.74	0.04
1844	079C	45	98	98	98	0	0	3.1	1.520		0.046	1.7	1.74	0.07
3271	273C	45	75	0	0	0.02	0	5.1	30.000	1.710	0.050	2.8	4.72	0.24
1845	310C	45	75	0	0	0.3	2.03					2.8	4.72	0.61
3270	023C	45	75	0	0	0.02	0	4.1	30.000	1.710	0.320	2.8	4.72	1.54
1847	05LC	45	98	98	98	0	0	MC4				1.7	1.74	16.35

Pérdida de carga acumulada del segmento	Δp_t	[Pa]	: 17.89
Velocidad en la sección inicial del segmento	V_m	[m/s]	: 5
Velocidad en la sección final del segmento	V_v	[m/s]	: 1.7
Recuperación de presión estática del segmento	Δp_r	[Pa]	: 13.31
Pérdida de carga acumulada del segmento, considerando la recuperación	Δp_{tn}	[Pa]	: 5.03
Pérdida de carga acumulada neta – total acumulado	$\Sigma \Delta p_{tn}$	[Pa]	: 179.74
Desequilibrio del terminal respecto al camino más desfavorable	Δp_{Tmr}	[Pa]	: 16.13

SEGMENTO 482:

Tipo: Tramo

1 ELEMENTO		2 Caudal Q	3 Diam. D/D _e	4 Ancho A	5 Alto B	6 Long. L	7 $\Delta p/L$	8 Fuente Tab	9 Ashrae X	10 Ashrae Y	11 Coeff. C _o	12 Veloc. V	13 P.Dinám P _v	14 Pérdida Δp_r o Δp_c
N. pz.	Cod.	[m³/h]	[mm]	[mm]	[mm]	[m]	[Pa/m]	n.	-	-	-	[m/s]	[Pa]	[Pa]
3241	11RA	315	152	200	100	0	0	ASH6_26M	0.875		0.012	4.4	11.65	0.19
3244	283R	315	133	150	100	0.14	0	5.1	30.000	1.330	0.050	5.8	20.25	1.02
1793	310R	315	133	150	100	0.6	4.32					5.8	20.25	2.59

Pérdida de carga acumulada del segmento	Δp_t	[Pa]	: 3.8
Velocidad en la sección inicial del segmento	V_m	[m/s]	: 5
Velocidad en la sección final del segmento	V_v	[m/s]	: 5.8
Recuperación de presión estática del segmento	Δp_r	[Pa]	: -5.2
Pérdida de carga acumulada del segmento, considerando la recuperación	Δp_{tn}	[Pa]	: 9.24
Pérdida de carga acumulada neta – total acumulado	$\Sigma \Delta p_{tn}$	[Pa]	: 167.6

SEGMENTO 481:

Tipo: Terminal TRM-46

1 ELEMENTO		2 Caudal Q	3 Diam. D/D _e	4 Ancho A	5 Alto B	6 Long. L	7 $\Delta p/L$	8 Fuente Tab	9 Ashrae X	10 Ashrae Y	11 Coeff. C _o	12 Veloc. V	13 P.Dinám P _v	14 Pérdida Δp_r o Δp_c
N. pz.	Cod.	[m³/h]	[mm]	[mm]	[mm]	[m]	[Pa/m]	n.	-	-	-	[m/s]	[Pa]	[Pa]

3242	11RA	45	98	98	98	0	0	ASH6_26	0.143	0.284	1.030	1.7	1.74	21.15
1836	310C	45	98	98	98	0.07	0.57					1.7	1.74	0.04
1838	079C	45	98	98	98	0	0	3.1	1.520		0.046	1.7	1.74	0.07
3269	023C	45	98	98	98	0	0	4.1	30.000	1.040	0.320	1.7	1.74	0.24
1839	310C	45	100	0	0	0.3	0.5					1.6	1.54	0.15
3268	273C	45	98	98	98	0	0	5.1	30.000	1.040	0.050	1.7	1.74	0.08
1841	05LC	45	98	98	98	0	0	MC4				1.7	1.74	16.35

Pérdida de carga acumulada del segmento	Δp_t	[Pa]	: 21.73
Velocidad en la sección inicial del segmento	V_m	[m/s]	: 5.8
Velocidad en la sección final del segmento	V_v	[m/s]	: 1.7
Recuperación de presión estática del segmento	Δp_r	[Pa]	: 18.51
Pérdida de carga acumulada del segmento, considerando la recuperación	Δp_{tm}	[Pa]	: 3.19
Pérdida de carga acumulada neta – total acumulado	$\Sigma \Delta p_{tm}$	[Pa]	: 187.14
Desequilibrio del terminal respecto al camino más desfavorable	Δp_{Tmr}	[Pa]	: 8.73

SEGMENTO 480:

Tipo: Tramo

1 ELEMENTO		2 Caudal Q	3 Diam. D/D _e	4 Ancho A	5 Alto B	6 Long. L	7 $\Delta p/L$	8 Fuente Tab	9 Ashrae X	10 Ashrae Y	11 Coeff. C _o	12 Veloc. V	13 P.Dinám P _v	14 Pérdida Δp_r o Δp_c
N. pz.	Cod.	[m³/h]	[mm]	[mm]	[mm]	[m]	[Pa/m]	n.	-	-	-	[m/s]	[Pa]	[Pa]
3243	11RA	270	133	150	100	0	0	ASH6_26M	0.857		0.014	5	15.05	0.29
1794	310R	270	133	150	100	0.6	3.23					5	15.05	1.94

Pérdida de carga acumulada del segmento	Δp_t	[Pa]	: 2.23
Velocidad en la sección inicial del segmento	V_m	[m/s]	: 5.8
Velocidad en la sección final del segmento	V_v	[m/s]	: 5
Recuperación de presión estática del segmento	Δp_r	[Pa]	: 5.2
Pérdida de carga acumulada del segmento, considerando la recuperación	Δp_{tm}	[Pa]	: -3.2
Pérdida de carga acumulada neta – total acumulado	$\Sigma \Delta p_{tm}$	[Pa]	: 164.4

SEGMENTO 479:

Tipo: Terminal TRM-46

1 ELEMENTO		2 Caudal Q	3 Diam. D/D _e	4 Ancho A	5 Alto B	6 Long. L	7 $\Delta p/L$	8 Fuente Tab	9 Ashrae X	10 Ashrae Y	11 Coeff. C _o	12 Veloc. V	13 P.Dinám P _v	14 Pérdida Δp_r o Δp_c
N. pz.	Cod.	[m³/h]	[mm]	[mm]	[mm]	[m]	[Pa/m]	n.	-	-	-	[m/s]	[Pa]	[Pa]
3245	11RA	45	98	98	98	0	0	ASH6_26	0.167	0.332	1.050	1.7	1.74	15.79
1830	310C	45	98	98	98	0.07	0.57					1.7	1.74	0.04
1832	079C	45	98	98	98	0	0	3.1	1.520		0.046	1.7	1.74	0.07
3267	273C	45	75	0	0	0.02	0	5.1	30.000	1.710	0.050	2.8	4.72	0.24
1833	310C	45	75	0	0	0.3	2.03					2.8	4.72	0.61
3266	023C	45	75	0	0	0.02	0	4.1	30.000	1.710	0.320	2.8	4.72	1.54
1835	05LC	45	98	98	98	0	0	MC4				1.7	1.74	16.35

Pérdida de carga acumulada del segmento	Δp_t	[Pa]	: 18.29
Velocidad en la sección inicial del segmento	V_m	[m/s]	: 5
Velocidad en la sección final del segmento	V_v	[m/s]	: 1.7
Recuperación de presión estática del segmento	Δp_r	[Pa]	: 13.31
Pérdida de carga acumulada del segmento, considerando la recuperación	Δp_{tm}	[Pa]	: 5.42
Pérdida de carga acumulada neta – total acumulado	$\Sigma \Delta p_{tm}$	[Pa]	: 186.17
Desequilibrio del terminal respecto al camino más desfavorable	Δp_{Tmr}	[Pa]	: 9.7

SEGMENTO 478:**Tipo:** Tramo

1 ELEMENTO		2 Caudal Q	3 Diam. D/D _e	4 Ancho A	5 Alto B	6 Long. L	7 $\Delta p/L$	8 Fuente Tab	9 Ashrae X	10 Ashrae Y	11 Coeff. C _o	12 Veloc. V	13 P.Dinám P _v	14 Pérdida Δp_r o Δp_c
N. pz.	Cod.	[m³/h]	[mm]	[mm]	[mm]	[m]	[Pa/m]	n.	-	-	-	[m/s]	[Pa]	[Pa]
3246	11RA	225	133	150	100	0	0	ASH6_26M	0.833		0.017	4.2	10.62	0.25
1795	310R	225	133	150	100	0.6	2.3					4.2	10.62	1.38

Pérdida de carga acumulada del segmento

 Δp_t [Pa] : 1.64

Velocidad en la sección inicial del segmento

 V_m [m/s] : 5

Velocidad en la sección final del segmento

 V_v [m/s] : 4.2

Recuperación de presión estática del segmento

 Δp_r [Pa] : 4.43

Pérdida de carga acumulada del segmento, considerando la recuperación

 Δp_{tm} [Pa] : -2.96

Pérdida de carga acumulada neta – total acumulado

 $\Sigma \Delta p_{tm}$ [Pa] : 161.44**SEGMENTO 477:****Tipo:** Terminal TRM-46

1 ELEMENTO		2 Caudal Q	3 Diam. D/D _e	4 Ancho A	5 Alto B	6 Long. L	7 $\Delta p/L$	8 Fuente Tab	9 Ashrae X	10 Ashrae Y	11 Coeff. C _o	12 Veloc. V	13 P.Dinám P _v	14 Pérdida Δp_r o Δp_c
N. pz.	Cod.	[m³/h]	[mm]	[mm]	[mm]	[m]	[Pa/m]	n.	-	-	-	[m/s]	[Pa]	[Pa]
3247	11RA	45	98	98	98	0	0	ASH6_26	0.200	0.398	1.070	1.7	1.74	11.18
1824	310C	45	98	98	98	0.07	0.57					1.7	1.74	0.04
1826	079C	45	98	98	98	0	0	3.1	1.520		0.046	1.7	1.74	0.07
3265	273C	45	75	0	0	0.02	0	5.1	30.000	1.710	0.050	2.8	4.72	0.24
1827	310C	45	75	0	0	0.3	2.03					2.8	4.72	0.61
3264	023C	45	75	0	0	0.02	0	4.1	30.000	1.710	0.320	2.8	4.72	1.54
1829	05LC	45	98	98	98	0	0	MC4				1.7	1.74	16.35

Pérdida de carga acumulada del segmento

 Δp_t [Pa] : 13.69

Velocidad en la sección inicial del segmento

 V_m [m/s] : 4.2

Velocidad en la sección final del segmento

 V_v [m/s] : 1.7

Recuperación de presión estática del segmento

 Δp_r [Pa] : 8.88

Pérdida de carga acumulada del segmento, considerando la recuperación

 Δp_{tm} [Pa] : 5.42

Pérdida de carga acumulada neta – total acumulado

 $\Sigma \Delta p_{tm}$ [Pa] : 183.2

Desequilibrio del terminal respecto al camino más desfavorable

 Δp_{Tmr} [Pa] : 12.66**SEGMENTO 476:****Tipo:** Tramo

1 ELEMENTO		2 Caudal Q	3 Diam. D/D _e	4 Ancho A	5 Alto B	6 Long. L	7 $\Delta p/L$	8 Fuente Tab	9 Ashrae X	10 Ashrae Y	11 Coeff. C _o	12 Veloc. V	13 P.Dinám P _v	14 Pérdida Δp_r o Δp_c
N. pz.	Cod.	[m³/h]	[mm]	[mm]	[mm]	[m]	[Pa/m]	n.	-	-	-	[m/s]	[Pa]	[Pa]
3248	11RA	180	133	150	100	0	0	ASH6_26M	0.800		0.020	3.3	6.56	0.21
3251	283R	180	109	100	100	0.14	0	5.1	30.000	1.500	0.050	5	15.05	0.75
1796	310R	180	109	100	100	0.6	4.08					5	15.05	2.45

Pérdida de carga acumulada del segmento

 Δp_t [Pa] : 3.41

Velocidad en la sección inicial del segmento

 V_m [m/s] : 4.2

Velocidad en la sección final del segmento

 V_v [m/s] : 5

Recuperación de presión estática del segmento
 Pérdida de carga acumulada del segmento, considerando la recuperación
 Pérdida de carga acumulada neta – total acumulado

Δp_r [Pa] : -4.43
 Δp_{tn} [Pa] : 8.01
 $\Sigma \Delta p_{tn}$ [Pa] : 169.45

SEGMENTO 475:

Tipo: Terminal TRM-46

1 ELEMENTO		2 Caudal Q	3 Diam. D/D _e	4 Ancho A	5 Alto B	6 Long. L	7 $\Delta p/L$	8 Fuente Tab	9 Ashrae X	10 Ashrae Y	11 Coeff. C _o	12 Veloc. V	13 P.Dinám P _v	14 Pérdida Δp_r o Δp_c
N. pz.	Cod.	[m³/h]	[mm]	[mm]	[mm]	[m]	[Pa/m]	n.	-	-	-	[m/s]	[Pa]	[Pa]
3249	11RA	45	98	98	98	0	0	ASH6_26	0.250	0.332	1.080	1.7	1.74	16.18
1818	310C	45	98	98	98	0.07	0.57					1.7	1.74	0.04
1820	079C	45	98	98	98	0	0	3.1	1.520		0.046	1.7	1.74	0.07
3263	023C	45	98	98	98	0	0	4.1	30.000	1.040	0.320	1.7	1.74	0.24
1821	310C	45	100	0	0	0.3	0.5					1.6	1.54	0.15
3262	273C	45	98	98	98	0	0	5.1	30.000	1.040	0.050	1.7	1.74	0.08
1823	05LC	45	98	98	98	0	0	MC4				1.7	1.74	16.35

Pérdida de carga acumulada del segmento
 Velocidad en la sección inicial del segmento
 Velocidad en la sección final del segmento
 Recuperación de presión estática del segmento
 Pérdida de carga acumulada del segmento, considerando la recuperación
 Pérdida de carga acumulada neta – total acumulado
 Desequilibrio del terminal respecto al camino más desfavorable

Δp_t [Pa] : 16.76
 V_m [m/s] : 5
 V_v [m/s] : 1.7
 Δp_r [Pa] : 13.31
 Δp_{tn} [Pa] : 3.66
 $\Sigma \Delta p_{tn}$ [Pa] : 189.45
 Δp_{Tmr} [Pa] : 6.42

SEGMENTO 474:

Tipo: Tramo

1 ELEMENTO		2 Caudal Q	3 Diam. D/D _e	4 Ancho A	5 Alto B	6 Long. L	7 $\Delta p/L$	8 Fuente Tab	9 Ashrae X	10 Ashrae Y	11 Coeff. C _o	12 Veloc. V	13 P.Dinám P _v	14 Pérdida Δp_r o Δp_c
N. pz.	Cod.	[m³/h]	[mm]	[mm]	[mm]	[m]	[Pa/m]	n.	-	-	-	[m/s]	[Pa]	[Pa]
3250	11RA	135	109	100	100	0	0	ASH6_26M	0.750		0.030	3.7	8.24	0.45
1797	310R	135	109	100	100	0.6	2.4					3.7	8.24	1.44

Pérdida de carga acumulada del segmento
 Velocidad en la sección inicial del segmento
 Velocidad en la sección final del segmento
 Recuperación de presión estática del segmento
 Pérdida de carga acumulada del segmento, considerando la recuperación
 Pérdida de carga acumulada neta – total acumulado

Δp_t [Pa] : 1.89
 V_m [m/s] : 5
 V_v [m/s] : 3.7
 Δp_r [Pa] : 6.81
 Δp_{tn} [Pa] : -4.69
 $\Sigma \Delta p_{tn}$ [Pa] : 164.76

SEGMENTO 473:

Tipo: Terminal TRM-46

1 ELEMENTO		2 Caudal Q	3 Diam. D/D _e	4 Ancho A	5 Alto B	6 Long. L	7 $\Delta p/L$	8 Fuente Tab	9 Ashrae X	10 Ashrae Y	11 Coeff. C _o	12 Veloc. V	13 P.Dinám P _v	14 Pérdida Δp_r o Δp_c
N. pz.	Cod.	[m³/h]	[mm]	[mm]	[mm]	[m]	[Pa/m]	n.	-	-	-	[m/s]	[Pa]	[Pa]
3252	11RA	45	98	98	98	0	0	ASH6_26	0.333	0.442	1.100	1.7	1.74	9.28
1812	310C	45	98	98	98	0.07	0.57					1.7	1.74	0.04
1814	079C	45	98	98	98	0	0	3.1	1.520		0.046	1.7	1.74	0.07
3261	273C	45	75	0	0	0.02	0	5.1	30.000	1.710	0.050	2.8	4.72	0.24
1815	310C	45	75	0	0	0.3	2.03					2.8	4.72	0.61

3260	023C	45	75	0	0	0.02	0	4.1	30.000	1.710	0.320	2.8	4.72	1.54
1817	05LC	45	98	98	98	0	0	MC4				1.7	1.74	16.35

Pérdida de carga acumulada del segmento	Δp_t	[Pa]	: 11.79
Velocidad en la sección inicial del segmento	V_m	[m/s]	: 3.7
Velocidad en la sección final del segmento	V_v	[m/s]	: 1.7
Recuperación de presión estática del segmento	Δp_r	[Pa]	: 6.5
Pérdida de carga acumulada del segmento, considerando la recuperación	Δp_{tm}	[Pa]	: 5.51
Pérdida de carga acumulada neta – total acumulado	$\Sigma \Delta p_{tm}$	[Pa]	: 186.61
Desequilibrio del terminal respecto al camino más desfavorable	Δp_{Tmr}	[Pa]	: 9.26

SEGMENTO 472:

Tipo: Tramo

1 ELEMENTO		2 Caudal Q	3 Diam. D/D _e	4 Ancho A	5 Alto B	6 Long. L	7 $\Delta p/L$	8 Fuente Tab	9 Ashrae X	10 Ashrae Y	11 Coeff. C _o	12 Veloc. V	13 P.Dinám P _v	14 Pérdida Δp_r o Δp_e
N. pz.	Cod.	[m³/h]	[mm]	[mm]	[mm]	[m]	[Pa/m]	n.	-	-	-	[m/s]	[Pa]	[Pa]
3253	11RA	90	109	100	100	0	0	ASH6_26M	0.667		0.047	2.5	3.76	0.4
1798	310R	90	109	100	100	0.6	1.13					2.5	3.76	0.68

Pérdida de carga acumulada del segmento	Δp_t	[Pa]	: 1.07
Velocidad en la sección inicial del segmento	V_m	[m/s]	: 3.7
Velocidad en la sección final del segmento	V_v	[m/s]	: 2.5
Recuperación de presión estática del segmento	Δp_r	[Pa]	: 4.48
Pérdida de carga acumulada del segmento, considerando la recuperación	Δp_{tm}	[Pa]	: -3.63
Pérdida de carga acumulada neta – total acumulado	$\Sigma \Delta p_{tm}$	[Pa]	: 161.13

SEGMENTO 471:

Tipo: Terminal TRM-46

1 ELEMENTO		2 Caudal Q	3 Diam. D/D _e	4 Ancho A	5 Alto B	6 Long. L	7 $\Delta p/L$	8 Fuente Tab	9 Ashrae X	10 Ashrae Y	11 Coeff. C _o	12 Veloc. V	13 P.Dinám P _v	14 Pérdida Δp_r o Δp_e
N. pz.	Cod.	[m³/h]	[mm]	[mm]	[mm]	[m]	[Pa/m]	n.	-	-	-	[m/s]	[Pa]	[Pa]
3254	11RA	45	98	98	98	0	0	ASH6_26	0.500	0.663	1.260	1.7	1.74	4.74
1806	310C	45	98	98	98	0.07	0.57					1.7	1.74	0.04
1808	079C	45	98	98	98	0	0	3.1	1.520		0.046	1.7	1.74	0.07
3259	273C	45	75	0	0	0.02	0	5.1	30.000	1.710	0.050	2.8	4.72	0.24
1809	310C	45	75	0	0	0.3	2.03					2.8	4.72	0.61
3258	023C	45	75	0	0	0.02	0	4.1	30.000	1.710	0.320	2.8	4.72	1.54
1811	05LC	45	98	98	98	0	0	MC4				1.7	1.74	16.35

Pérdida de carga acumulada del segmento	Δp_t	[Pa]	: 7.25
Velocidad en la sección inicial del segmento	V_m	[m/s]	: 2.5
Velocidad en la sección final del segmento	V_v	[m/s]	: 1.7
Recuperación de presión estática del segmento	Δp_r	[Pa]	: 2.02
Pérdida de carga acumulada del segmento, considerando la recuperación	Δp_{tm}	[Pa]	: 5.67
Pérdida de carga acumulada neta – total acumulado	$\Sigma \Delta p_{tm}$	[Pa]	: 183.14
Desequilibrio del terminal respecto al camino más desfavorable	Δp_{Tmr}	[Pa]	: 12.73

SEGMENTO 470:

Tipo: Terminal TRM-46

1	2	3	4	5	6	7	8	9	10	11	12	13	14
---	---	---	---	---	---	---	---	---	----	----	----	----	----

ELEMENTO		Caudal Q	Diam. D/D _e	Ancho A	Alto B	Long. L	Δp/L	Fuente Tab	Ashrae X	Ashrae Y	Coeff. C _o	Veloc. V	P.Dinám P _v	Pérdida Δp _r o Δp _c
N. pz.	Cod.	[m³/h]	[mm]	[mm]	[mm]	[m]	[Pa/m]	n.	-	-	-	[m/s]	[Pa]	[Pa]
3255	11RA	45	109	100	100	0	0	ASH6_26M	0.500		0.090	1.2	0.87	0.34
1799	310R	45	109	100	100	0.6	0.32					1.2	0.87	0.19
1790	11RAT	45	109	100	100	0	0	2_6	1.000	0.917	2.800	1.2	0.87	4.63
1800	310C	45	98	98	98	0.07	0.57					1.7	1.74	0.04
1802	079C	45	98	98	98	0	0	3.1	1.520		0.046	1.7	1.74	0.07
3257	023C	45	98	98	98	0	0	4.1	30.000	1.040	0.320	1.7	1.74	0.53
1803	310C	45	100	0	0	0.3	0.5					1.6	1.54	0.15
3256	273C	45	98	98	98	0	0	5.1	30.000	1.040	0.050	1.7	1.74	0.08
1805	05LC	45	98	98	98	0	0	MC4				1.7	1.74	16.35

Pérdida de carga acumulada del segmento	Δp _t	[Pa]	: 6.04
Velocidad en la sección inicial del segmento	V _m	[m/s]	: 2.5
Velocidad en la sección final del segmento	V _v	[m/s]	: 1.7
Recuperación de presión estática del segmento	Δp _r	[Pa]	: 2.02
Pérdida de carga acumulada del segmento, considerando la recuperación	Δp _{tn}	[Pa]	: 3.93
Pérdida de carga acumulada neta – total acumulado	ΣΔp _{tn}	[Pa]	: 181.4
Desequilibrio del terminal respecto al camino más desfavorable	Δp _{Tmr}	[Pa]	: 14.46

SEGMENTO 508:

Tipo: Tramo

1 ELEMENTO		2 Caudal Q	3 Diam. D/D _e	4 Ancho A	5 Alto B	6 Long. L	7 Δp/L	8 Fuente Tab	9 Ashrae X	10 Ashrae Y	11 Coeff. C _o	12 Veloc. V	13 P.Dinám P _v	14 Pérdida Δp _r o Δp _c
N. pz.	Cod.	[m³/h]	[mm]	[mm]	[mm]	[m]	[Pa/m]	n.	-	-	-	[m/s]	[Pa]	[Pa]
3232	3736	1800	328	300	300	0	0	MC4	1.000		0.049	5.6	18.88	0.93
1932	310R	1800	328	300	300	1	1.26					5.6	18.88	1.26

Pérdida de carga acumulada del segmento	Δp _t	[Pa]	: 2.18
Velocidad en la sección inicial del segmento	V _m	[m/s]	: 4.2
Velocidad en la sección final del segmento	V _v	[m/s]	: 4
Recuperación de presión estática del segmento	Δp _r	[Pa]	: 0.99
Pérdida de carga acumulada del segmento, considerando la recuperación	Δp _{tn}	[Pa]	: 2.29
Pérdida de carga acumulada neta – total acumulado	ΣΔp _{tn}	[Pa]	: 143.42

SEGMENTO 528:

Tipo: Tramo

1 ELEMENTO		2 Caudal Q	3 Diam. D/D _e	4 Ancho A	5 Alto B	6 Long. L	7 Δp/L	8 Fuente Tab	9 Ashrae X	10 Ashrae Y	11 Coeff. C _o	12 Veloc. V	13 P.Dinám P _v	14 Pérdida Δp _r o Δp _c
N. pz.	Cod.	[m³/h]	[mm]	[mm]	[mm]	[m]	[Pa/m]	n.	-	-	-	[m/s]	[Pa]	[Pa]
3315	3736	450	229	150	300	0	0	MC4	0.250	0.500	0.765	2.8	4.72	3.61
3361	283R	450	164	150	150	0.36	0	5.1	30.000	2.000	0.050	5.6	18.88	0.93
2007	310R	450	164	150	150	1.1	2.95					5.6	18.88	3.25

Pérdida de carga acumulada del segmento	Δp _t	[Pa]	: 7.8
Velocidad en la sección inicial del segmento	V _m	[m/s]	: 4
Velocidad en la sección final del segmento	V _v	[m/s]	: 3.3
Recuperación de presión estática del segmento	Δp _r	[Pa]	: 3.08
Pérdida de carga acumulada del segmento, considerando la recuperación	Δp _{tn}	[Pa]	: 5.78
Pérdida de carga acumulada neta – total acumulado	ΣΔp _{tn}	[Pa]	: 149.2

SEGMENTO 546:

Tipo: Terminal TRM-18

1 ELEMENTO		2 Caudal Q	3 Diam. D/D _e	4 Ancho A	5 Alto B	6 Long. L	7 $\Delta p/L$	8 Fuente Tab	9 Ashrae X	10 Ashrae Y	11 Coeff. C _o	12 Veloc. V	13 P.Dinám P _v	14 Pérdida Δp_r o Δp_e
N. pz.	Cod.	[m³/h]	[mm]	[mm]	[mm]	[m]	[Pa/m]	n.	-	-	-	[m/s]	[Pa]	[Pa]
3359	11RA	45	98	98	98	0	0	ASH6_26	0.100	0.298	1.070	1.7	1.74	7.18
2073	310C	45	98	98	98	0.08	0.5					1.7	1.74	0.04
2075	079C	45	98	98	98	0	0	3.1	1.520		0.046	1.7	1.74	0.07
3397	273C	45	75	0	0	0.02	0	5.1	30.000	1.710	0.050	2.8	4.72	0.24
2076	310C	45	75	0	0	0.3	2.03					2.8	4.72	0.61
3396	023C	45	75	0	0	0.02	0	4.1	30.000	1.710	0.320	2.8	4.72	1.54
2078	05LC	45	98	98	98	0	0	MC4				1.7	1.74	16.35

Pérdida de carga acumulada del segmento

Δp_t [Pa] : 9.68

Velocidad en la sección inicial del segmento

V_m [m/s] : 3.3

Velocidad en la sección final del segmento

V_v [m/s] : 1.7

Recuperación de presión estática del segmento

Δp_r [Pa] : 4.82

Pérdida de carga acumulada del segmento, considerando la recuperación

Δp_{tn} [Pa] : 5.18

Pérdida de carga acumulada neta – total acumulado

$\Sigma \Delta p_{tn}$ [Pa] : 170.73

Desequilibrio del terminal respecto al camino más desfavorable

Δp_{Tmr} [Pa] : 25.14

SEGMENTO 545:

Tipo: Tramo

1 ELEMENTO		2 Caudal Q	3 Diam. D/D _e	4 Ancho A	5 Alto B	6 Long. L	7 $\Delta p/L$	8 Fuente Tab	9 Ashrae X	10 Ashrae Y	11 Coeff. C _o	12 Veloc. V	13 P.Dinám P _v	14 Pérdida Δp_r o Δp_e
N. pz.	Cod.	[m³/h]	[mm]	[mm]	[mm]	[m]	[Pa/m]	n.	-	-	-	[m/s]	[Pa]	[Pa]
3360	11RA	405	164	150	150	0	0	ASH6_26M	0.900		0.010	5	15.05	0.07
2010	310R	405	164	150	150	0.6	2.43					5	15.05	1.46

Pérdida de carga acumulada del segmento

Δp_t [Pa] : 1.52

Velocidad en la sección inicial del segmento

V_m [m/s] : 3.3

Velocidad en la sección final del segmento

V_v [m/s] : 3

Recuperación de presión estática del segmento

Δp_r [Pa] : 1.14

Pérdida de carga acumulada del segmento, considerando la recuperación

Δp_{tn} [Pa] : 1.76

Pérdida de carga acumulada neta – total acumulado

$\Sigma \Delta p_{tn}$ [Pa] : 150.96

SEGMENTO 544:

Tipo: Terminal TRM-19

1 ELEMENTO		2 Caudal Q	3 Diam. D/D _e	4 Ancho A	5 Alto B	6 Long. L	7 $\Delta p/L$	8 Fuente Tab	9 Ashrae X	10 Ashrae Y	11 Coeff. C _o	12 Veloc. V	13 P.Dinám P _v	14 Pérdida Δp_r o Δp_e
N. pz.	Cod.	[m³/h]	[mm]	[mm]	[mm]	[m]	[Pa/m]	n.	-	-	-	[m/s]	[Pa]	[Pa]
3362	11RA	45	98	98	98	0	0	ASH6_26	0.111	0.332	1.110	1.7	1.74	6
2067	310C	45	98	98	98	0.08	0.5					1.7	1.74	0.04
2069	079C	45	98	98	98	0	0	3.1	1.520		0.046	1.7	1.74	0.07
3395	273C	45	75	0	0	0.02	0	5.1	30.000	1.710	0.050	2.8	4.72	0.24
2070	310C	45	75	0	0	0.3	2.03					2.8	4.72	0.61
3394	023C	45	75	0	0	0.02	0	4.1	30.000	1.710	0.320	2.8	4.72	1.54
2072	05LC	45	98	98	98	0	0	MC4				1.7	1.74	16.35

Pérdida de carga acumulada del segmento

Δp_t [Pa] : 8.51

Velocidad en la sección inicial del segmento	V_m	[m/s] : 3
Velocidad en la sección final del segmento	V_v	[m/s] : 1.7
Recuperación de presión estática del segmento	Δp_r	[Pa] : 3.68
Pérdida de carga acumulada del segmento, considerando la recuperación	Δp_{tn}	[Pa] : 5.27
Pérdida de carga acumulada neta – total acumulado	$\Sigma \Delta p_{tn}$	[Pa] : 172.58
Desequilibrio del terminal respecto al camino más desfavorable	Δp_{Tmr}	[Pa] : 23.29

SEGMENTO 543:

Tipo: Tramo

1 ELEMENTO		2 Caudal Q	3 Diam. D/D _e	4 Ancho A	5 Alto B	6 Long. L	7 $\Delta p/L$	8 Fuente Tab	9 Ashrae X	10 Ashrae Y	11 Coeff. C _o	12 Veloc. V	13 P.Dinám P _v	14 Pérdida Δp_r o Δp_e
N. pz.	Cod.	[m³/h]	[mm]	[mm]	[mm]	[m]	[Pa/m]	n.	-	-	-	[m/s]	[Pa]	[Pa]
3363	11RA	360	164	150	150	0	0	ASH6_26M	0.889		0.011	4.4	11.65	0.06
2011	310R	360	164	150	150	0.6	1.95					4.4	11.65	1.17

Pérdida de carga acumulada del segmento	Δp_t	[Pa] : 1.23
Velocidad en la sección inicial del segmento	V_m	[m/s] : 3
Velocidad en la sección final del segmento	V_v	[m/s] : 2.7
Recuperación de presión estática del segmento	Δp_r	[Pa] : 1.03
Pérdida de carga acumulada del segmento, considerando la recuperación	Δp_{tn}	[Pa] : 1.28
Pérdida de carga acumulada neta – total acumulado	$\Sigma \Delta p_{tn}$	[Pa] : 152.24

SEGMENTO 542:

Tipo: Terminal TRM-20

1 ELEMENTO		2 Caudal Q	3 Diam. D/D _e	4 Ancho A	5 Alto B	6 Long. L	7 $\Delta p/L$	8 Fuente Tab	9 Ashrae X	10 Ashrae Y	11 Coeff. C _o	12 Veloc. V	13 P.Dinám P _v	14 Pérdida Δp_r o Δp_e
N. pz.	Cod.	[m³/h]	[mm]	[mm]	[mm]	[m]	[Pa/m]	n.	-	-	-	[m/s]	[Pa]	[Pa]
3364	11RA	45	98	98	98	0	0	ASH6_26	0.125	0.373	1.140	1.7	1.74	4.88
2061	310C	45	98	98	98	0.08	0.5					1.7	1.74	0.04
2063	079C	45	98	98	98	0	0	3.1	1.520		0.046	1.7	1.74	0.07
3393	273C	45	75	0	0	0.02	0	5.1	30.000	1.710	0.050	2.8	4.72	0.24
2064	310C	45	75	0	0	0.3	2.03					2.8	4.72	0.61
3392	023C	45	75	0	0	0.02	0	4.1	30.000	1.710	0.320	2.8	4.72	1.54
2066	05LC	45	98	98	98	0	0	MC4				1.7	1.74	16.35

Pérdida de carga acumulada del segmento	Δp_t	[Pa] : 7.38
Velocidad en la sección inicial del segmento	V_m	[m/s] : 2.7
Velocidad en la sección final del segmento	V_v	[m/s] : 1.7
Recuperación de presión estática del segmento	Δp_r	[Pa] : 2.65
Pérdida de carga acumulada del segmento, considerando la recuperación	Δp_{tn}	[Pa] : 5.28
Pérdida de carga acumulada neta – total acumulado	$\Sigma \Delta p_{tn}$	[Pa] : 173.87
Desequilibrio del terminal respecto al camino más desfavorable	Δp_{Tmr}	[Pa] : 22

SEGMENTO 541:

Tipo: Tramo

1 ELEMENTO		2 Caudal Q	3 Diam. D/D _e	4 Ancho A	5 Alto B	6 Long. L	7 $\Delta p/L$	8 Fuente Tab	9 Ashrae X	10 Ashrae Y	11 Coeff. C _o	12 Veloc. V	13 P.Dinám P _v	14 Pérdida Δp_r o Δp_e
N. pz.	Cod.	[m³/h]	[mm]	[mm]	[mm]	[m]	[Pa/m]	n.	-	-	-	[m/s]	[Pa]	[Pa]
3365	11RA	315	164	150	150	0	0	ASH6_	0.875		0.012	3.9	9.16	0.05

								26M						
2012	310R	315	164	150	150	0.6	1.52					3.9	9.16	0.91

Pérdida de carga acumulada del segmento	Δp_t	[Pa]	: 0.97
Velocidad en la sección inicial del segmento	V_m	[m/s]	: 2.7
Velocidad en la sección final del segmento	V_v	[m/s]	: 2.3
Recuperación de presión estática del segmento	Δp_r	[Pa]	: 1.2
Pérdida de carga acumulada del segmento, considerando la recuperación	Δp_{tm}	[Pa]	: 0.87
Pérdida de carga acumulada neta – total acumulado	$\Sigma \Delta p_{tm}$	[Pa]	: 153.11

SEGMENTO 540:

Tipo: Terminal TRM-21

1 ELEMENTO		2 Caudal Q	3 Diam. D/D _e	4 Ancho A	5 Alto B	6 Long. L	7 $\Delta p/L$	8 Fuente Tab	9 Ashrae X	10 Ashrae Y	11 Coeff. C _o	12 Veloc. V	13 P.Dinám P _v	14 Pérdida Δp_r o Δp_e
N. pz.	Cod.	[m³/h]	[mm]	[mm]	[mm]	[m]	[Pa/m]	n.	-	-	-	[m/s]	[Pa]	[Pa]
3366	11RA	45	98	98	98	0	0	ASH6_26	0.143	0.426	1.190	1.7	1.74	3.88
2055	310C	45	98	98	98	0.08	0.5					1.7	1.74	0.04
2057	079C	45	98	98	98	0	0	3.1	1.520		0.046	1.7	1.74	0.07
3391	273C	45	75	0	0	0.02	0	5.1	30.000	1.710	0.050	2.8	4.72	0.24
2058	310C	45	75	0	0	0.3	2.03					2.8	4.72	0.61
3390	023C	45	75	0	0	0.02	0	4.1	30.000	1.710	0.320	2.8	4.72	1.54
2060	05LC	45	98	98	98	0	0	MC4				1.7	1.74	16.35

Pérdida de carga acumulada del segmento	Δp_t	[Pa]	: 6.39
Velocidad en la sección inicial del segmento	V_m	[m/s]	: 2.3
Velocidad en la sección final del segmento	V_v	[m/s]	: 1.7
Recuperación de presión estática del segmento	Δp_r	[Pa]	: 1.44
Pérdida de carga acumulada del segmento, considerando la recuperación	Δp_{tm}	[Pa]	: 5.29
Pérdida de carga acumulada neta – total acumulado	$\Sigma \Delta p_{tm}$	[Pa]	: 174.76
Desequilibrio del terminal respecto al camino más desfavorable	Δp_{Tmr}	[Pa]	: 21.11

SEGMENTO 539:

Tipo: Tramo

1 ELEMENTO		2 Caudal Q	3 Diam. D/D _e	4 Ancho A	5 Alto B	6 Long. L	7 $\Delta p/L$	8 Fuente Tab	9 Ashrae X	10 Ashrae Y	11 Coeff. C _o	12 Veloc. V	13 P.Dinám P _v	14 Pérdida Δp_r o Δp_e
N. pz.	Cod.	[m³/h]	[mm]	[mm]	[mm]	[m]	[Pa/m]	n.	-	-	-	[m/s]	[Pa]	[Pa]
3367	11RA	270	164	150	150	0	0	ASH6_26M	0.857		0.014	3.3	6.56	0.05
2013	310R	270	164	150	150	0.6	1.15					3.3	6.56	0.69

Pérdida de carga acumulada del segmento	Δp_t	[Pa]	: 0.73
Velocidad en la sección inicial del segmento	V_m	[m/s]	: 2.3
Velocidad en la sección final del segmento	V_v	[m/s]	: 2
Recuperación de presión estática del segmento	Δp_r	[Pa]	: 0.78
Pérdida de carga acumulada del segmento, considerando la recuperación	Δp_{tm}	[Pa]	: 0.53
Pérdida de carga acumulada neta – total acumulado	$\Sigma \Delta p_{tm}$	[Pa]	: 153.65

SEGMENTO 538:

Tipo: Terminal TRM-22

1 ELEMENTO	2 Caudal	3 Diam.	4 Ancho	5 Alto	6 Long.	7 $\Delta p/L$	8 Fuente	9 Ashrae	10 Ashrae	11 Coeff.	12 Veloc.	13 P.Dinám	14 Pérdida
---------------	-------------	------------	------------	-----------	------------	-------------------	-------------	-------------	--------------	--------------	--------------	---------------	---------------

1 ELEMENTO		2 Caudal Q	3 Diam. D/D _e	4 Ancho A	5 Alto B	6 Long. L	7 Δp _f /L	8 Fuente Tab	9 Ashrae X	10 Ashrae Y	11 Coeff. C _o	12 Veloc. V	13 P.Dinám P _v	14 Pérdida Δp _f o Δp _c
N. pz.	Cod.	[m³/h]	[mm]	[mm]	[mm]	[m]	[Pa/m]	n.	-	-	-	[m/s]	[Pa]	[Pa]
3368	11RA	45	98	98	98	0	0	ASH6_26	0.167	0.497	1.280	1.7	1.74	3.08
2049	310C	45	98	98	98	0.08	0.5					1.7	1.74	0.04
2051	079C	45	98	98	98	0	0	3.1	1.520		0.046	1.7	1.74	0.07
3389	273C	45	75	0	0	0.02	0	5.1	30.000	1.710	0.050	2.8	4.72	0.24
2052	310C	45	75	0	0	0.3	2.03					2.8	4.72	0.61
3388	023C	45	75	0	0	0.02	0	4.1	30.000	1.710	0.320	2.8	4.72	1.54
2054	05LC	45	98	98	98	0	0	MC4				1.7	1.74	16.35

Pérdida de carga acumulada del segmento	Δp _t	[Pa]	: 5.59
Velocidad en la sección inicial del segmento	V _m	[m/s]	: 2
Velocidad en la sección final del segmento	V _v	[m/s]	: 1.7
Recuperación de presión estática del segmento	Δp _r	[Pa]	: 0.67
Pérdida de carga acumulada del segmento, considerando la recuperación	Δp _{tm}	[Pa]	: 5.36
Pérdida de carga acumulada neta – total acumulado	ΣΔp _{tm}	[Pa]	: 175.35
Desequilibrio del terminal respecto al camino más desfavorable	Δp _{Tmr}	[Pa]	: 20.52

SEGMENTO 537:

Tipo: Tramo

1 ELEMENTO		2 Caudal Q	3 Diam. D/D _e	4 Ancho A	5 Alto B	6 Long. L	7 Δp _f /L	8 Fuente Tab	9 Ashrae X	10 Ashrae Y	11 Coeff. C _o	12 Veloc. V	13 P.Dinám P _v	14 Pérdida Δp _f o Δp _c
N. pz.	Cod.	[m³/h]	[mm]	[mm]	[mm]	[m]	[Pa/m]	n.	-	-	-	[m/s]	[Pa]	[Pa]
3369	11RA	225	164	150	150	0	0	ASH6_26M	0.833		0.017	2.8	4.72	0.04
2014	310R	225	164	150	150	0.6	0.82					2.8	4.72	0.49

Pérdida de carga acumulada del segmento	Δp _t	[Pa]	: 0.53
Velocidad en la sección inicial del segmento	V _m	[m/s]	: 2
Velocidad en la sección final del segmento	V _v	[m/s]	: 3.1
Recuperación de presión estática del segmento	Δp _r	[Pa]	: -3.38
Pérdida de carga acumulada del segmento, considerando la recuperación	Δp _{tm}	[Pa]	: 4.53
Pérdida de carga acumulada neta – total acumulado	ΣΔp _{tm}	[Pa]	: 158.17

SEGMENTO 536:

Tipo: Terminal TRM-22

1 ELEMENTO		2 Caudal Q	3 Diam. D/D _e	4 Ancho A	5 Alto B	6 Long. L	7 Δp _f /L	8 Fuente Tab	9 Ashrae X	10 Ashrae Y	11 Coeff. C _o	12 Veloc. V	13 P.Dinám P _v	14 Pérdida Δp _f o Δp _c
N. pz.	Cod.	[m³/h]	[mm]	[mm]	[mm]	[m]	[Pa/m]	n.	-	-	-	[m/s]	[Pa]	[Pa]
3370	11RA	45	98	98	98	0	0	ASH6_26	0.200	0.597	1.090	1.7	1.74	6.41
2043	310C	45	98	98	98	0.08	0.5					1.7	1.74	0.04
2045	079C	45	98	98	98	0	0	3.1	1.520		0.046	1.7	1.74	0.07
3387	273C	45	75	0	0	0.02	0	5.1	30.000	1.710	0.050	2.8	4.72	0.24
2046	310C	45	75	0	0	0.3	2.03					2.8	4.72	0.61
3386	023C	45	75	0	0	0.02	0	4.1	30.000	1.710	0.320	2.8	4.72	1.54
2048	05LC	45	98	98	98	0	0	MC4				1.7	1.74	16.35

Pérdida de carga acumulada del segmento	Δp _t	[Pa]	: 8.91
Velocidad en la sección inicial del segmento	V _m	[m/s]	: 3.1
Velocidad en la sección final del segmento	V _v	[m/s]	: 1.7
Recuperación de presión estática del segmento	Δp _r	[Pa]	: 4.05
Pérdida de carga acumulada del segmento, considerando la recuperación	Δp _{tm}	[Pa]	: 5.21
Pérdida de carga acumulada neta – total acumulado	ΣΔp _{tm}	[Pa]	: 179.74

Desequilibrio del terminal respecto al camino más desfavorable

 Δp_{Tmr} [Pa] : 16.13**SEGMENTO 535:****Tipo:** Tramo

1 ELEMENTO		2 Caudal Q	3 Diam. D/D _e	4 Ancho A	5 Alto B	6 Long. L	7 $\Delta p/L$	8 Fuente Tab	9 Ashrae X	10 Ashrae Y	11 Coeff. C _o	12 Veloc. V	13 P.Dinám P _v	14 Pérdida Δp_r o Δp_e
N. pz.	Cod.	[m³/h]	[mm]	[mm]	[mm]	[m]	[Pa/m]	n.	-	-	-	[m/s]	[Pa]	[Pa]
3371	11RA	180	164	150	150	0	0	ASH6_26M	0.800		0.020	2.2	2.91	0.12
2015	310R	180	164	150	150	0.6	0.55					2.2	2.91	0.33

Pérdida de carga acumulada del segmento

 Δp_t [Pa] : 0.45

Velocidad en la sección inicial del segmento

 V_m [m/s] : 3.1

Velocidad en la sección final del segmento

 V_v [m/s] : 2.5

Recuperación de presión estática del segmento

 Δp_r [Pa] : 2.02

Pérdida de carga acumulada del segmento, considerando la recuperación

 Δp_{tn} [Pa] : -0.35

Pérdida de carga acumulada neta – total acumulado

 $\Sigma \Delta p_{tn}$ [Pa] : 157.82**SEGMENTO 534:****Tipo:** Terminal TRM-24

1 ELEMENTO		2 Caudal Q	3 Diam. D/D _e	4 Ancho A	5 Alto B	6 Long. L	7 $\Delta p/L$	8 Fuente Tab	9 Ashrae X	10 Ashrae Y	11 Coeff. C _o	12 Veloc. V	13 P.Dinám P _v	14 Pérdida Δp_r o Δp_e
N. pz.	Cod.	[m³/h]	[mm]	[mm]	[mm]	[m]	[Pa/m]	n.	-	-	-	[m/s]	[Pa]	[Pa]
3372	11RA	45	98	98	98	0	0	ASH6_26	0.250	0.746	1.130	1.7	1.74	4.25
2037	310C	45	98	98	98	0.08	0.5					1.7	1.74	0.04
2039	079C	45	98	98	98	0	0	3.1	1.520		0.046	1.7	1.74	0.07
3385	273C	45	75	0	0	0.02	0	5.1	30.000	1.710	0.050	2.8	4.72	0.24
2040	310C	45	75	0	0	0.3	2.03					2.8	4.72	0.61
3384	023C	45	75	0	0	0.02	0	4.1	30.000	1.710	0.320	2.8	4.72	1.54
2042	05LC	45	98	98	98	0	0	MC4				1.7	1.74	16.35

Pérdida de carga acumulada del segmento

 Δp_t [Pa] : 6.76

Velocidad en la sección inicial del segmento

 V_m [m/s] : 2.5

Velocidad en la sección final del segmento

 V_v [m/s] : 1.7

Recuperación de presión estática del segmento

 Δp_r [Pa] : 2.02

Pérdida de carga acumulada del segmento, considerando la recuperación

 Δp_{tn} [Pa] : 5.17

Pérdida de carga acumulada neta – total acumulado

 $\Sigma \Delta p_{tn}$ [Pa] : 179.34

Desequilibrio del terminal respecto al camino más desfavorable

 Δp_{Tmr} [Pa] : 16.53**SEGMENTO 533:****Tipo:** Tramo

1 ELEMENTO		2 Caudal Q	3 Diam. D/D _e	4 Ancho A	5 Alto B	6 Long. L	7 $\Delta p/L$	8 Fuente Tab	9 Ashrae X	10 Ashrae Y	11 Coeff. C _o	12 Veloc. V	13 P.Dinám P _v	14 Pérdida Δp_r o Δp_e
N. pz.	Cod.	[m³/h]	[mm]	[mm]	[mm]	[m]	[Pa/m]	n.	-	-	-	[m/s]	[Pa]	[Pa]
3373	11RA	135	164	150	150	0	0	ASH6_26M	0.750		0.030	1.7	1.74	0.11
2016	310R	135	164	150	150	0.6	0.32					1.7	1.74	0.19

Pérdida de carga acumulada del segmento

 Δp_t [Pa] : 0.31

Velocidad en la sección inicial del segmento

 V_m [m/s] : 2.5

Velocidad en la sección final del segmento	V_v	[m/s] : 2.5
Recuperación de presión estática del segmento	Δp_r	[Pa] : 0
Pérdida de carga acumulada del segmento, considerando la recuperación	Δp_{tn}	[Pa] : 1.13
Pérdida de carga acumulada neta – total acumulado	$\Sigma \Delta p_{tn}$	[Pa] : 158.95

SEGMENTO 532:**Tipo:** Terminal TRM-25

1 ELEMENTO		2 Caudal Q	3 Diam. D/D _e	4 Ancho A	5 Alto B	6 Long. L	7 $\Delta p/L$	8 Fuente Tab	9 Ashrae X	10 Ashrae Y	11 Coeff. C _o	12 Veloc. V	13 P.Dinám P _v	14 Pérdida Δp_r o Δp_e
N. pz.	Cod.	[m³/h]	[mm]	[mm]	[mm]	[m]	[Pa/m]	n.	-	-	-	[m/s]	[Pa]	[Pa]
3374	11RA	45	98	98	98	0	0	ASH6_26	0.333	0.995	1.110	1.7	1.74	4.16
2031	310C	45	98	98	98	0.08	0.5					1.7	1.74	0.04
2033	079C	45	98	98	98	0	0	3.1	1.520		0.046	1.7	1.74	0.07
3383	273C	45	75	0	0	0.02	0	5.1	30.000	1.710	0.050	2.8	4.72	0.24
2034	310C	45	75	0	0	0.3	2.03					2.8	4.72	0.61
3382	023C	45	75	0	0	0.02	0	4.1	30.000	1.710	0.320	2.8	4.72	1.54
2036	05LC	45	98	98	98	0	0	MC4				1.7	1.74	16.35

Pérdida de carga acumulada del segmento	Δp_t	[Pa] : 6.66
Velocidad en la sección inicial del segmento	V_m	[m/s] : 2.5
Velocidad en la sección final del segmento	V_v	[m/s] : 1.7
Recuperación de presión estática del segmento	Δp_r	[Pa] : 2.02
Pérdida de carga acumulada del segmento, considerando la recuperación	Δp_{tn}	[Pa] : 5.08
Pérdida de carga acumulada neta – total acumulado	$\Sigma \Delta p_{tn}$	[Pa] : 180.38
Desequilibrio del terminal respecto al camino más desfavorable	Δp_{Tmr}	[Pa] : 15.49

SEGMENTO 531:**Tipo:** Tramo

1 ELEMENTO		2 Caudal Q	3 Diam. D/D _e	4 Ancho A	5 Alto B	6 Long. L	7 $\Delta p/L$	8 Fuente Tab	9 Ashrae X	10 Ashrae Y	11 Coeff. C _o	12 Veloc. V	13 P.Dinám P _v	14 Pérdida Δp_r o Δp_e
N. pz.	Cod.	[m³/h]	[mm]	[mm]	[mm]	[m]	[Pa/m]	n.	-	-	-	[m/s]	[Pa]	[Pa]
3375	11RA	90	164	150	150	0	0	ASH6_26M	0.667		0.047	1.1	0.73	0.18
2017	310R	90	164	150	150	0.6	0.15					1.1	0.73	0.09

Pérdida de carga acumulada del segmento	Δp_t	[Pa] : 0.27
Velocidad en la sección inicial del segmento	V_m	[m/s] : 2.5
Velocidad en la sección final del segmento	V_v	[m/s] : 2.5
Recuperación de presión estática del segmento	Δp_r	[Pa] : 0
Pérdida de carga acumulada del segmento, considerando la recuperación	Δp_{tn}	[Pa] : 0.95
Pérdida de carga acumulada neta – total acumulado	$\Sigma \Delta p_{tn}$	[Pa] : 159.9

SEGMENTO 530:**Tipo:** Terminal TRM-26

1 ELEMENTO		2 Caudal Q	3 Diam. D/D _e	4 Ancho A	5 Alto B	6 Long. L	7 $\Delta p/L$	8 Fuente Tab	9 Ashrae X	10 Ashrae Y	11 Coeff. C _o	12 Veloc. V	13 P.Dinám P _v	14 Pérdida Δp_r o Δp_e
N. pz.	Cod.	[m³/h]	[mm]	[mm]	[mm]	[m]	[Pa/m]	n.	-	-	-	[m/s]	[Pa]	[Pa]
3376	11RA	45	98	98	98	0	0	ASH6_26	0.500	1.490	1.260	1.7	1.74	4.74
2025	310C	45	98	98	98	0.08	0.5					1.7	1.74	0.04
2027	079C	45	98	98	98	0	0	3.1	1.520		0.046	1.7	1.74	0.07

3381	273C	45	75	0	0	0.02	0	5.1	30.000	1.710	0.050	2.8	4.72	0.24
2028	310C	45	75	0	0	0.3	2.03					2.8	4.72	0.61
3380	023C	45	75	0	0	0.02	0	4.1	30.000	1.710	0.320	2.8	4.72	1.54
2030	05LC	45	98	98	98	0	0	MC4				1.7	1.74	16.35

Pérdida de carga acumulada del segmento	Δp_t	[Pa]	: 7.25
Velocidad en la sección inicial del segmento	V_m	[m/s]	: 2.5
Velocidad en la sección final del segmento	V_v	[m/s]	: 1.7
Recuperación de presión estática del segmento	Δp_r	[Pa]	: 2.02
Pérdida de carga acumulada del segmento, considerando la recuperación	Δp_{tn}	[Pa]	: 5.67
Pérdida de carga acumulada neta – total acumulado	$\Sigma \Delta p_{tn}$	[Pa]	: 181.92
Desequilibrio del terminal respecto al camino más desfavorable	Δp_{Tmr}	[Pa]	: 13.95

SEGMENTO 529:

Tipo: Terminal TRM-27

1 ELEMENTO		2 Caudal Q	3 Diam. D/D _e	4 Ancho A	5 Alto B	6 Long. L	7 $\Delta p/L$	8 Fuente Tab	9 Ashrae X	10 Ashrae Y	11 Coeff. C _o	12 Veloc. V	13 P.Dinám P _v	14 Pérdida Δp_r o Δp_c
N. pz.	Cod.	[m³/h]	[mm]	[mm]	[mm]	[m]	[Pa/m]	n.	-	-	-	[m/s]	[Pa]	[Pa]
3377	11RA	45	164	150	150	0	0	ASH6_26M	0.500		0.090	0.6	0.22	0.34
2018	310R	45	164	150	150	0.6	0.05					0.6	0.22	0.03
2009	11RAT	45	164	150	150	0	0	2_6	1.000	0.915	2.800	0.6	0.22	0
2019	310C	45	98	98	98	0.08	0.5					1.7	1.74	0.04
2021	079C	45	98	98	98	0	0	3.1	1.520		0.046	1.7	1.74	0.07
3379	023C	45	98	98	98	0	0	4.1	30.000	1.040	0.320	1.7	1.74	0.53
2022	310C	45	100	0	0	0.3	0.5					1.6	1.54	0.15
3378	273C	45	98	98	98	0	0	5.1	30.000	1.040	0.050	1.7	1.74	0.08
2024	05LC	45	98	98	98	0	0	MC4				1.7	1.74	16.35

Pérdida de carga acumulada del segmento	Δp_t	[Pa]	: 1.24
Velocidad en la sección inicial del segmento	V_m	[m/s]	: 2.5
Velocidad en la sección final del segmento	V_v	[m/s]	: 1.7
Recuperación de presión estática del segmento	Δp_r	[Pa]	: 2.02
Pérdida de carga acumulada del segmento, considerando la recuperación	Δp_{tn}	[Pa]	: -0.55
Pérdida de carga acumulada neta – total acumulado	$\Sigma \Delta p_{tn}$	[Pa]	: 175.7
Desequilibrio del terminal respecto al camino más desfavorable	Δp_{Tmr}	[Pa]	: 20.17

SEGMENTO 527:

Tipo: Tramo

1 ELEMENTO		2 Caudal Q	3 Diam. D/D _e	4 Ancho A	5 Alto B	6 Long. L	7 $\Delta p/L$	8 Fuente Tab	9 Ashrae X	10 Ashrae Y	11 Coeff. C _o	12 Veloc. V	13 P.Dinám P _v	14 Pérdida Δp_r o Δp_c
N. pz.	Cod.	[m³/h]	[mm]	[mm]	[mm]	[m]	[Pa/m]	n.	-	-	-	[m/s]	[Pa]	[Pa]
1936	3736	450	299	250	300	0	0	MC4	0.250	0.833	2.630	1.7	1.74	4.58
3319	283R	450	210	250	150	0.36	0	5.1	30.000	2.000	0.050	3.3	6.56	0.33
1935	310R	450	210	250	150	1.05	0.87					3.3	6.56	0.91

Pérdida de carga acumulada del segmento	Δp_t	[Pa]	: 5.82
Velocidad en la sección inicial del segmento	V_m	[m/s]	: 4
Velocidad en la sección final del segmento	V_v	[m/s]	: 3.3
Recuperación de presión estática del segmento	Δp_r	[Pa]	: 3.08
Pérdida de carga acumulada del segmento, considerando la recuperación	Δp_{tn}	[Pa]	: 2.88
Pérdida de carga acumulada neta – total acumulado	$\Sigma \Delta p_{tn}$	[Pa]	: 146.3

SEGMENTO 526:

Tipo: Terminal TRM-46

1 ELEMENTO		2 Caudal Q	3 Diam. D/D _e	4 Ancho A	5 Alto B	6 Long. L	7 $\Delta p/L$	8 Fuente Tab	9 Ashrae X	10 Ashrae Y	11 Coeff. C _o	12 Veloc. V	13 P.Dinám P _v	14 Pérdida Δp_r o Δp_c
N. pz.	Cod.	[m³/h]	[mm]	[mm]	[mm]	[m]	[Pa/m]	n.	-	-	-	[m/s]	[Pa]	[Pa]
3317	11RA	45	98	98	98	0	0	ASH6_26	0.100	0.497	1.070	1.7	1.74	7.18
2001	310C	45	98	98	98	0.08	0.5					1.7	1.74	0.04
2003	079C	45	98	98	98	0	0	3.1	1.520		0.046	1.7	1.74	0.07
3358	273C	45	75	0	0	0.02	0	5.1	30.000	1.710	0.050	2.8	4.72	0.24
2004	310C	45	75	0	0	0.3	2.03					2.8	4.72	0.61
3357	023C	45	75	0	0	0.02	0	4.1	30.000	1.710	0.320	2.8	4.72	1.54
2006	05LC	45	98	98	98	0	0	MC4				1.7	1.74	16.35

Pérdida de carga acumulada del segmento	Δp_t	[Pa] : 9.68
Velocidad en la sección inicial del segmento	V_m	[m/s] : 3.3
Velocidad en la sección final del segmento	V_v	[m/s] : 1.7
Recuperación de presión estática del segmento	Δp_r	[Pa] : 4.82
Pérdida de carga acumulada del segmento, considerando la recuperación	Δp_{tm}	[Pa] : 5.18
Pérdida de carga acumulada neta – total acumulado	$\Sigma \Delta p_{tm}$	[Pa] : 167.83
Desequilibrio del terminal respecto al camino más desfavorable	Δp_{Tmr}	[Pa] : 28.04

SEGMENTO 525:

Tipo: Tramo

1 ELEMENTO		2 Caudal Q	3 Diam. D/D _e	4 Ancho A	5 Alto B	6 Long. L	7 $\Delta p/L$	8 Fuente Tab	9 Ashrae X	10 Ashrae Y	11 Coeff. C _o	12 Veloc. V	13 P.Dinám P _v	14 Pérdida Δp_r o Δp_c
N. pz.	Cod.	[m³/h]	[mm]	[mm]	[mm]	[m]	[Pa/m]	n.	-	-	-	[m/s]	[Pa]	[Pa]
3318	11RA	405	210	250	150	0	0	ASH6_26M	0.900		0.010	3	5.42	0.07
3322	283R	405	152	200	100	0.19	0	5.1	30.000	1.880	0.050	5.6	18.88	0.95
1938	310R	405	152	200	100	0.6	3.53					5.6	18.88	2.12

Pérdida de carga acumulada del segmento	Δp_t	[Pa] : 3.14
Velocidad en la sección inicial del segmento	V_m	[m/s] : 3.3
Velocidad en la sección final del segmento	V_v	[m/s] : 5.6
Recuperación de presión estática del segmento	Δp_r	[Pa] : -12.32
Pérdida de carga acumulada del segmento, considerando la recuperación	Δp_{tm}	[Pa] : 15.5
Pérdida de carga acumulada neta – total acumulado	$\Sigma \Delta p_{tm}$	[Pa] : 161.8

SEGMENTO 524:

Tipo: Terminal TRM-46

1 ELEMENTO		2 Caudal Q	3 Diam. D/D _e	4 Ancho A	5 Alto B	6 Long. L	7 $\Delta p/L$	8 Fuente Tab	9 Ashrae X	10 Ashrae Y	11 Coeff. C _o	12 Veloc. V	13 P.Dinám P _v	14 Pérdida Δp_r o Δp_c
N. pz.	Cod.	[m³/h]	[mm]	[mm]	[mm]	[m]	[Pa/m]	n.	-	-	-	[m/s]	[Pa]	[Pa]
3320	11RA	45	98	98	98	0	0	ASH6_26	0.111	0.295	1.010	1.7	1.74	19.28
1995	310C	45	98	98	98	0.08	0.5					1.7	1.74	0.04
1997	079C	45	98	98	98	0	0	3.1	1.520		0.046	1.7	1.74	0.07
3356	273C	45	75	0	0	0.02	0	5.1	30.000	1.710	0.050	2.8	4.72	0.24
1998	310C	45	75	0	0	0.3	2.03					2.8	4.72	0.61
3355	023C	45	75	0	0	0.02	0	4.1	30.000	1.710	0.320	2.8	4.72	1.54
2000	05LC	45	98	98	98	0	0	MC4				1.7	1.74	16.35

Pérdida de carga acumulada del segmento	Δp_t	[Pa] : 21.78
---	--------------	--------------

Velocidad en la sección inicial del segmento	V_m	[m/s]	: 5.6
Velocidad en la sección final del segmento	V_v	[m/s]	: 1.7
Recuperación de presión estática del segmento	Δp_r	[Pa]	: 17.14
Pérdida de carga acumulada del segmento, considerando la recuperación	Δp_{tn}	[Pa]	: 4.92
Pérdida de carga acumulada neta – total acumulado	$\Sigma \Delta p_{tn}$	[Pa]	: 183.06
Desequilibrio del terminal respecto al camino más desfavorable	Δp_{Tmr}	[Pa]	: 12.81

SEGMENTO 523:

Tipo: Tramo

1 ELEMENTO		2 Caudal Q	3 Diam. D/D _e	4 Ancho A	5 Alto B	6 Long. L	7 $\Delta p/L$	8 Fuente Tab	9 Ashrae X	10 Ashrae Y	11 Coeff. C _o	12 Veloc. V	13 P.Dinám P _v	14 Pérdida Δp_r o Δp_c
N. pz.	Cod.	[m³/h]	[mm]	[mm]	[mm]	[m]	[Pa/m]	n.	-	-	-	[m/s]	[Pa]	[Pa]
3321	11RA	360	152	200	100	0	0	ASH6_26M	0.889		0.011	5	15.05	0.21
1939	310R	360	152	200	100	0.6	2.85					5	15.05	1.71

Pérdida de carga acumulada del segmento	Δp_t	[Pa]	: 1.92
Velocidad en la sección inicial del segmento	V_m	[m/s]	: 5.6
Velocidad en la sección final del segmento	V_v	[m/s]	: 5
Recuperación de presión estática del segmento	Δp_r	[Pa]	: 3.83
Pérdida de carga acumulada del segmento, considerando la recuperación	Δp_{tn}	[Pa]	: -2.08
Pérdida de carga acumulada neta – total acumulado	$\Sigma \Delta p_{tn}$	[Pa]	: 159.72

SEGMENTO 522:

Tipo: Terminal TRM-46

1 ELEMENTO		2 Caudal Q	3 Diam. D/D _e	4 Ancho A	5 Alto B	6 Long. L	7 $\Delta p/L$	8 Fuente Tab	9 Ashrae X	10 Ashrae Y	11 Coeff. C _o	12 Veloc. V	13 P.Dinám P _v	14 Pérdida Δp_r o Δp_c
N. pz.	Cod.	[m³/h]	[mm]	[mm]	[mm]	[m]	[Pa/m]	n.	-	-	-	[m/s]	[Pa]	[Pa]
3323	11RA	45	98	98	98	0	0	ASH6_26	0.125	0.332	1.020	1.7	1.74	15.39
1989	310C	45	98	98	98	0.08	0.5					1.7	1.74	0.04
1991	079C	45	98	98	98	0	0	3.1	1.520		0.046	1.7	1.74	0.07
3354	273C	45	75	0	0	0.02	0	5.1	30.000	1.710	0.050	2.8	4.72	0.24
1992	310C	45	75	0	0	0.3	2.03					2.8	4.72	0.61
3353	023C	45	75	0	0	0.02	0	4.1	30.000	1.710	0.320	2.8	4.72	1.54
1994	05LC	45	98	98	98	0	0	MC4				1.7	1.74	16.35

Pérdida de carga acumulada del segmento	Δp_t	[Pa]	: 17.89
Velocidad en la sección inicial del segmento	V_m	[m/s]	: 5
Velocidad en la sección final del segmento	V_v	[m/s]	: 1.7
Recuperación de presión estática del segmento	Δp_r	[Pa]	: 13.31
Pérdida de carga acumulada del segmento, considerando la recuperación	Δp_{tn}	[Pa]	: 5.03
Pérdida de carga acumulada neta – total acumulado	$\Sigma \Delta p_{tn}$	[Pa]	: 181.09
Desequilibrio del terminal respecto al camino más desfavorable	Δp_{Tmr}	[Pa]	: 14.78

SEGMENTO 521:

Tipo: Tramo

1 ELEMENTO		2 Caudal Q	3 Diam. D/D _e	4 Ancho A	5 Alto B	6 Long. L	7 $\Delta p/L$	8 Fuente Tab	9 Ashrae X	10 Ashrae Y	11 Coeff. C _o	12 Veloc. V	13 P.Dinám P _v	14 Pérdida Δp_r o Δp_c
N. pz.	Cod.	[m³/h]	[mm]	[mm]	[mm]	[m]	[Pa/m]	n.	-	-	-	[m/s]	[Pa]	[Pa]
3324	11RA	315	152	200	100	0	0	ASH6_	0.875		0.012	4.4	11.65	0.19

								26M						
3327	283R	315	133	150	100	0.14	0	5.1	30.000	1.330	0.050	5.8	20.25	1.02
1940	310R	315	133	150	100	0.6	4.32					5.8	20.25	2.59

Pérdida de carga acumulada del segmento	Δp_t	[Pa]	: 3.8
Velocidad en la sección inicial del segmento	V_m	[m/s]	: 5
Velocidad en la sección final del segmento	V_v	[m/s]	: 5.8
Recuperación de presión estática del segmento	Δp_r	[Pa]	: -5.2
Pérdida de carga acumulada del segmento, considerando la recuperación	Δp_{tm}	[Pa]	: 9.24
Pérdida de carga acumulada neta – total acumulado	$\Sigma \Delta p_{tm}$	[Pa]	: 168.96

SEGMENTO 520:

Tipo: Terminal TRM-46

1 ELEMENTO		2 Caudal Q	3 Diam. D/D _e	4 Ancho A	5 Alto B	6 Long. L	7 $\Delta p/L$	8 Fuente Tab	9 Ashrae X	10 Ashrae Y	11 Coeff. C _o	12 Veloc. V	13 P.Dinám P _v	14 Pérdida Δp_r o Δp_c
N. pz.	Cod.	[m³/h]	[mm]	[mm]	[mm]	[m]	[Pa/m]	n.	-	-	-	[m/s]	[Pa]	[Pa]
3325	11RA	45	98	98	98	0	0	ASH6_26	0.143	0.284	1.030	1.7	1.74	21.15
1983	310C	45	98	98	98	0.08	0.5					1.7	1.74	0.04
1985	079C	45	98	98	98	0	0	3.1	1.520		0.046	1.7	1.74	0.07
3352	023C	45	98	98	98	0	0	4.1	30.000	1.040	0.320	1.7	1.74	0.24
1986	310C	45	100	0	0	0.3	0.5					1.6	1.54	0.15
3351	273C	45	98	98	98	0	0	5.1	30.000	1.040	0.050	1.7	1.74	0.08
1988	05LC	45	98	98	98	0	0	MC4				1.7	1.74	16.35

Pérdida de carga acumulada del segmento	Δp_t	[Pa]	: 21.73
Velocidad en la sección inicial del segmento	V_m	[m/s]	: 5.8
Velocidad en la sección final del segmento	V_v	[m/s]	: 1.7
Recuperación de presión estática del segmento	Δp_r	[Pa]	: 18.51
Pérdida de carga acumulada del segmento, considerando la recuperación	Δp_{tm}	[Pa]	: 3.19
Pérdida de carga acumulada neta – total acumulado	$\Sigma \Delta p_{tm}$	[Pa]	: 188.49
Desequilibrio del terminal respecto al camino más desfavorable	Δp_{Tmr}	[Pa]	: 7.38

SEGMENTO 519:

Tipo: Tramo

1 ELEMENTO		2 Caudal Q	3 Diam. D/D _e	4 Ancho A	5 Alto B	6 Long. L	7 $\Delta p/L$	8 Fuente Tab	9 Ashrae X	10 Ashrae Y	11 Coeff. C _o	12 Veloc. V	13 P.Dinám P _v	14 Pérdida Δp_r o Δp_c
N. pz.	Cod.	[m³/h]	[mm]	[mm]	[mm]	[m]	[Pa/m]	n.	-	-	-	[m/s]	[Pa]	[Pa]
3326	11RA	270	133	150	100	0	0	ASH6_26M	0.857		0.014	5	15.05	0.29
1941	310R	270	133	150	100	0.6	3.23					5	15.05	1.94

Pérdida de carga acumulada del segmento	Δp_t	[Pa]	: 2.23
Velocidad en la sección inicial del segmento	V_m	[m/s]	: 5.8
Velocidad en la sección final del segmento	V_v	[m/s]	: 5
Recuperación de presión estática del segmento	Δp_r	[Pa]	: 5.2
Pérdida de carga acumulada del segmento, considerando la recuperación	Δp_{tm}	[Pa]	: -3.2
Pérdida de carga acumulada neta – total acumulado	$\Sigma \Delta p_{tm}$	[Pa]	: 165.75

SEGMENTO 518:

Tipo: Terminal TRM-46

1	2	3	4	5	6	7	8	9	10	11	12	13	14
---	---	---	---	---	---	---	---	---	----	----	----	----	----

ELEMENTO		Caudal Q	Diam. D/D _e	Ancho A	Alto B	Long. L	$\Delta p/L$	Fuente Tab	Ashrae X	Ashrae Y	Coeff. C _o	Veloc. V	P.Dinám P _v	Pérdida Δp_r o Δp_c
N. pz.	Cod.	[m³/h]	[mm]	[mm]	[mm]	[m]	[Pa/m]	n.	-	-	-	[m/s]	[Pa]	[Pa]
3328	11RA	45	98	98	98	0	0	ASH6_26	0.167	0.332	1.050	1.7	1.74	15.79
1977	310C	45	98	98	98	0.08	0.5					1.7	1.74	0.04
1979	079C	45	98	98	98	0	0	3.1	1.520		0.046	1.7	1.74	0.07
3350	273C	45	75	0	0	0.02	0	5.1	30.000	1.710	0.050	2.8	4.72	0.24
1980	310C	45	75	0	0	0.3	2.03					2.8	4.72	0.61
3349	023C	45	75	0	0	0.02	0	4.1	30.000	1.710	0.320	2.8	4.72	1.54
1982	05LC	45	98	98	98	0	0	MC4				1.7	1.74	16.35

Pérdida de carga acumulada del segmento	Δp_t	[Pa]	: 18.29
Velocidad en la sección inicial del segmento	V_m	[m/s]	: 5
Velocidad en la sección final del segmento	V_v	[m/s]	: 1.7
Recuperación de presión estática del segmento	Δp_r	[Pa]	: 13.31
Pérdida de carga acumulada del segmento, considerando la recuperación	Δp_{tn}	[Pa]	: 5.42
Pérdida de carga acumulada neta – total acumulado	$\Sigma \Delta p_{tn}$	[Pa]	: 187.52
Desequilibrio del terminal respecto al camino más desfavorable	Δp_{Tmr}	[Pa]	: 8.35

SEGMENTO 517:

Tipo: Tramo

1 ELEMENTO		2 Caudal Q	3 Diam. D/D _e	4 Ancho A	5 Alto B	6 Long. L	7 $\Delta p/L$	8 Fuente Tab	9 Ashrae X	10 Ashrae Y	11 Coeff. C _o	12 Veloc. V	13 P.Dinám P _v	14 Pérdida Δp_r o Δp_c
N. pz.	Cod.	[m³/h]	[mm]	[mm]	[mm]	[m]	[Pa/m]	n.	-	-	-	[m/s]	[Pa]	[Pa]
3329	11RA	225	133	150	100	0	0	ASH6_26M	0.833		0.017	4.2	10.62	0.25
1942	310R	225	133	150	100	0.6	2.3					4.2	10.62	1.38

Pérdida de carga acumulada del segmento	Δp_t	[Pa]	: 1.64
Velocidad en la sección inicial del segmento	V_m	[m/s]	: 5
Velocidad en la sección final del segmento	V_v	[m/s]	: 4.2
Recuperación de presión estática del segmento	Δp_r	[Pa]	: 4.43
Pérdida de carga acumulada del segmento, considerando la recuperación	Δp_{tn}	[Pa]	: -2.96
Pérdida de carga acumulada neta – total acumulado	$\Sigma \Delta p_{tn}$	[Pa]	: 162.79

SEGMENTO 516:

Tipo: Terminal TRM-46

1 ELEMENTO		2 Caudal Q	3 Diam. D/D _e	4 Ancho A	5 Alto B	6 Long. L	7 $\Delta p/L$	8 Fuente Tab	9 Ashrae X	10 Ashrae Y	11 Coeff. C _o	12 Veloc. V	13 P.Dinám P _v	14 Pérdida Δp_r o Δp_c
N. pz.	Cod.	[m³/h]	[mm]	[mm]	[mm]	[m]	[Pa/m]	n.	-	-	-	[m/s]	[Pa]	[Pa]
3330	11RA	45	98	98	98	0	0	ASH6_26	0.200	0.398	1.070	1.7	1.74	11.18
1971	310C	45	98	98	98	0.08	0.5					1.7	1.74	0.04
1973	079C	45	98	98	98	0	0	3.1	1.520		0.046	1.7	1.74	0.07
3348	273C	45	75	0	0	0.02	0	5.1	30.000	1.710	0.050	2.8	4.72	0.24
1974	310C	45	75	0	0	0.3	2.03					2.8	4.72	0.61
3347	023C	45	75	0	0	0.02	0	4.1	30.000	1.710	0.320	2.8	4.72	1.54
1976	05LC	45	98	98	98	0	0	MC4				1.7	1.74	16.35

Pérdida de carga acumulada del segmento	Δp_t	[Pa]	: 13.69
Velocidad en la sección inicial del segmento	V_m	[m/s]	: 4.2
Velocidad en la sección final del segmento	V_v	[m/s]	: 1.7
Recuperación de presión estática del segmento	Δp_r	[Pa]	: 8.88
Pérdida de carga acumulada del segmento, considerando la recuperación	Δp_{tn}	[Pa]	: 5.42

Pérdida de carga acumulada neta – total acumulado
Desequilibrio del terminal respecto al camino más desfavorable

$\Sigma \Delta p_{tn}$ [Pa] : 184.56
 Δp_{Tmr} [Pa] : 11.31

SEGMENTO 515:

Tipo: Tramo

1 ELEMENTO		2 Caudal Q	3 Diam. D/D _e	4 Ancho A	5 Alto B	6 Long. L	7 $\Delta p/L$	8 Fuente Tab	9 Ashrae X	10 Ashrae Y	11 Coeff. C _o	12 Veloc. V	13 P.Dinám P _v	14 Pérdida Δp_r o Δp_c
N. pz.	Cod.	[m³/h]	[mm]	[mm]	[mm]	[m]	[Pa/m]	n.	-	-	-	[m/s]	[Pa]	[Pa]
3331	11RA	180	133	150	100	0	0	ASH6_26M	0.800		0.020	3.3	6.56	0.21
3334	283R	180	109	100	100	0.14	0	5.1	30.000	1.500	0.050	5	15.05	0.75
1943	310R	180	109	100	100	0.6	4.08					5	15.05	2.45

Pérdida de carga acumulada del segmento
Velocidad en la sección inicial del segmento
Velocidad en la sección final del segmento
Recuperación de presión estática del segmento
Pérdida de carga acumulada del segmento, considerando la recuperación
Pérdida de carga acumulada neta – total acumulado

Δp_t [Pa] : 3.41
 V_m [m/s] : 4.2
 V_v [m/s] : 5
 Δp_r [Pa] : -4.43
 Δp_{tn} [Pa] : 8.01
 $\Sigma \Delta p_{tn}$ [Pa] : 170.8

SEGMENTO 514:

Tipo: Terminal TRM-46

1 ELEMENTO		2 Caudal Q	3 Diam. D/D _e	4 Ancho A	5 Alto B	6 Long. L	7 $\Delta p/L$	8 Fuente Tab	9 Ashrae X	10 Ashrae Y	11 Coeff. C _o	12 Veloc. V	13 P.Dinám P _v	14 Pérdida Δp_r o Δp_c
N. pz.	Cod.	[m³/h]	[mm]	[mm]	[mm]	[m]	[Pa/m]	n.	-	-	-	[m/s]	[Pa]	[Pa]
3332	11RA	45	98	98	98	0	0	ASH6_26	0.250	0.332	1.080	1.7	1.74	16.18
1965	310C	45	98	98	98	0.08	0.5					1.7	1.74	0.04
1967	079C	45	98	98	98	0	0	3.1	1.520		0.046	1.7	1.74	0.07
3346	023C	45	98	98	98	0	0	4.1	30.000	1.040	0.320	1.7	1.74	0.53
1968	310C	45	100	0	0	0.3	0.5					1.6	1.54	0.15
3345	273C	45	98	98	98	0	0	5.1	30.000	1.040	0.050	1.7	1.74	0.08
1970	05LC	45	98	98	98	0	0	MC4				1.7	1.74	16.35

Pérdida de carga acumulada del segmento
Velocidad en la sección inicial del segmento
Velocidad en la sección final del segmento
Recuperación de presión estática del segmento
Pérdida de carga acumulada del segmento, considerando la recuperación
Pérdida de carga acumulada neta – total acumulado
Desequilibrio del terminal respecto al camino más desfavorable

Δp_t [Pa] : 17.05
 V_m [m/s] : 5
 V_v [m/s] : 1.7
 Δp_r [Pa] : 13.31
 Δp_{tn} [Pa] : 3.66
 $\Sigma \Delta p_{tn}$ [Pa] : 190.81
 Δp_{Tmr} [Pa] : 5.06

SEGMENTO 513:

Tipo: Tramo

1 ELEMENTO		2 Caudal Q	3 Diam. D/D _e	4 Ancho A	5 Alto B	6 Long. L	7 $\Delta p/L$	8 Fuente Tab	9 Ashrae X	10 Ashrae Y	11 Coeff. C _o	12 Veloc. V	13 P.Dinám P _v	14 Pérdida Δp_r o Δp_c
N. pz.	Cod.	[m³/h]	[mm]	[mm]	[mm]	[m]	[Pa/m]	n.	-	-	-	[m/s]	[Pa]	[Pa]
3333	11RA	135	109	100	100	0	0	ASH6_26M	0.750		0.030	3.7	8.24	0.45
1944	310R	135	109	100	100	0.6	2.4					3.7	8.24	1.44

Pérdida de carga acumulada del segmento	Δp_t	[Pa]	: 1.89
Velocidad en la sección inicial del segmento	V_m	[m/s]	: 5
Velocidad en la sección final del segmento	V_v	[m/s]	: 3.7
Recuperación de presión estática del segmento	Δp_r	[Pa]	: 6.81
Pérdida de carga acumulada del segmento, considerando la recuperación	Δp_{tn}	[Pa]	: -4.69
Pérdida de carga acumulada neta – total acumulado	$\Sigma \Delta p_{tn}$	[Pa]	: 166.11

SEGMENTO 512:

Tipo: Terminal TRM-46

1 ELEMENTO		2 Caudal Q	3 Diam. D/D _e	4 Ancho A	5 Alto B	6 Long. L	7 $\Delta p/L$	8 Fuente Tab	9 Ashrae X	10 Ashrae Y	11 Coeff. C _o	12 Veloc. V	13 P.Dinám P _v	14 Pérdida Δp_r o Δp_c
N. pz.	Cod.	[m³/h]	[mm]	[mm]	[mm]	[m]	[Pa/m]	n.	-	-	-	[m/s]	[Pa]	[Pa]
3335	11RA	45	98	98	98	0	0	ASH6_26	0.333	0.442	1.100	1.7	1.74	9.28
1959	310C	45	98	98	98	0.08	0.5					1.7	1.74	0.04
1961	079C	45	98	98	98	0	0	3.1	1.520		0.046	1.7	1.74	0.07
3344	273C	45	75	0	0	0.02	0	5.1	30.000	1.710	0.050	2.8	4.72	0.24
1962	310C	45	75	0	0	0.3	2.03					2.8	4.72	0.61
3343	023C	45	75	0	0	0.02	0	4.1	30.000	1.710	0.320	2.8	4.72	1.54
1964	05LC	45	98	98	98	0	0	MC4				1.7	1.74	16.35

Pérdida de carga acumulada del segmento	Δp_t	[Pa]	: 11.79
Velocidad en la sección inicial del segmento	V_m	[m/s]	: 3.7
Velocidad en la sección final del segmento	V_v	[m/s]	: 1.7
Recuperación de presión estática del segmento	Δp_r	[Pa]	: 6.5
Pérdida de carga acumulada del segmento, considerando la recuperación	Δp_{tn}	[Pa]	: 5.51
Pérdida de carga acumulada neta – total acumulado	$\Sigma \Delta p_{tn}$	[Pa]	: 187.97
Desequilibrio del terminal respecto al camino más desfavorable	Δp_{Tmr}	[Pa]	: 7.9

SEGMENTO 511:

Tipo: Tramo

1 ELEMENTO		2 Caudal Q	3 Diam. D/D _e	4 Ancho A	5 Alto B	6 Long. L	7 $\Delta p/L$	8 Fuente Tab	9 Ashrae X	10 Ashrae Y	11 Coeff. C _o	12 Veloc. V	13 P.Dinám P _v	14 Pérdida Δp_r o Δp_c
N. pz.	Cod.	[m³/h]	[mm]	[mm]	[mm]	[m]	[Pa/m]	n.	-	-	-	[m/s]	[Pa]	[Pa]
3336	11RA	90	109	100	100	0	0	ASH6_26M	0.667		0.047	2.5	3.76	0.4
1945	310R	90	109	100	100	0.6	1.13					2.5	3.76	0.68

Pérdida de carga acumulada del segmento	Δp_t	[Pa]	: 1.07
Velocidad en la sección inicial del segmento	V_m	[m/s]	: 3.7
Velocidad en la sección final del segmento	V_v	[m/s]	: 2.5
Recuperación de presión estática del segmento	Δp_r	[Pa]	: 4.48
Pérdida de carga acumulada del segmento, considerando la recuperación	Δp_{tn}	[Pa]	: -3.63
Pérdida de carga acumulada neta – total acumulado	$\Sigma \Delta p_{tn}$	[Pa]	: 162.48

SEGMENTO 510:

Tipo: Terminal TRM-46

1 ELEMENTO		2 Caudal Q	3 Diam. D/D _e	4 Ancho A	5 Alto B	6 Long. L	7 $\Delta p/L$	8 Fuente Tab	9 Ashrae X	10 Ashrae Y	11 Coeff. C _o	12 Veloc. V	13 P.Dinám P _v	14 Pérdida Δp_r o Δp_c
N. pz.	Cod.	[m³/h]	[mm]	[mm]	[mm]	[m]	[Pa/m]	n.	-	-	-	[m/s]	[Pa]	[Pa]
3337	11RA	45	98	98	98	0	0	ASH6_	0.500	0.663	1.260	1.7	1.74	4.74

								26						
1953	310C	45	98	98	98	0.08	0.5					1.7	1.74	0.04
1955	079C	45	98	98	98	0	0	3.1	1.520		0.046	1.7	1.74	0.07
3342	273C	45	75	0	0	0.02	0	5.1	30.000	1.710	0.050	2.8	4.72	0.24
1956	310C	45	75	0	0	0.3	2.03					2.8	4.72	0.61
3341	023C	45	75	0	0	0.02	0	4.1	30.000	1.710	0.320	2.8	4.72	1.54
1958	05LC	45	98	98	98	0	0	MC4				1.7	1.74	16.35

Pérdida de carga acumulada del segmento	Δp_t	[Pa]	: 7.25
Velocidad en la sección inicial del segmento	V_m	[m/s]	: 2.5
Velocidad en la sección final del segmento	V_v	[m/s]	: 1.7
Recuperación de presión estática del segmento	Δp_r	[Pa]	: 2.02
Pérdida de carga acumulada del segmento, considerando la recuperación	Δp_{tm}	[Pa]	: 5.67
Pérdida de carga acumulada neta – total acumulado	$\Sigma \Delta p_{tm}$	[Pa]	: 184.5
Desequilibrio del terminal respecto al camino más desfavorable	Δp_{Tmr}	[Pa]	: 11.37

SEGMENTO 509:

Tipo: Terminal TRM-46

1 ELEMENTO		2 Caudal Q	3 Diam. D/D _e	4 Ancho A	5 Alto B	6 Long. L	7 $\Delta p/L$	8 Fuente Tab	9 Ashrae X	10 Ashrae Y	11 Coeff. C _o	12 Veloc. V	13 P.Dinám P _v	14 Pérdida Δp_r o Δp_e
N. pz.	Cod.	[m³/h]	[mm]	[mm]	[mm]	[m]	[Pa/m]	n.	-	-	-	[m/s]	[Pa]	[Pa]
3338	11RA	45	109	100	100	0	0	ASH6_26M	0.500		0.090	1.2	0.87	0.34
1946	310R	45	109	100	100	0.6	0.32					1.2	0.87	0.19
1937	11RAT	45	109	100	100	0	0	2_6	1.000	0.917	2.800	1.2	0.87	4.63
1947	310C	45	98	98	98	0.08	0.5					1.7	1.74	0.04
1949	079C	45	98	98	98	0	0	3.1	1.520		0.046	1.7	1.74	0.07
3340	023C	45	98	98	98	0	0	4.1	30.000	1.040	0.320	1.7	1.74	0.53
1950	310C	45	100	0	0	0.3	0.5					1.6	1.54	0.15
3339	273C	45	98	98	98	0	0	5.1	30.000	1.040	0.050	1.7	1.74	0.08
1952	05LC	45	98	98	98	0	0	MC4				1.7	1.74	16.35

Pérdida de carga acumulada del segmento	Δp_t	[Pa]	: 6.04
Velocidad en la sección inicial del segmento	V_m	[m/s]	: 2.5
Velocidad en la sección final del segmento	V_v	[m/s]	: 1.7
Recuperación de presión estática del segmento	Δp_r	[Pa]	: 2.02
Pérdida de carga acumulada del segmento, considerando la recuperación	Δp_{tm}	[Pa]	: 3.93
Pérdida de carga acumulada neta – total acumulado	$\Sigma \Delta p_{tm}$	[Pa]	: 182.76
Desequilibrio del terminal respecto al camino más desfavorable	Δp_{Tmr}	[Pa]	: 13.11

SEGMENTO 547:

Tipo: Tramo

1 ELEMENTO		2 Caudal Q	3 Diam. D/D _e	4 Ancho A	5 Alto B	6 Long. L	7 $\Delta p/L$	8 Fuente Tab	9 Ashrae X	10 Ashrae Y	11 Coeff. C _o	12 Veloc. V	13 P.Dinám P _v	14 Pérdida Δp_r o Δp_e
N. pz.	Cod.	[m³/h]	[mm]	[mm]	[mm]	[m]	[Pa/m]	n.	-	-	-	[m/s]	[Pa]	[Pa]
3316	3736	900	328	300	300	0	0	MC4	0.500		0.286	2.8	4.72	1.35
3399	283R	900	229	300	150	0.36	0	5.1	30.000	2.000	0.050	5.6	18.88	0.93
2079	310R	900	229	300	150	1	2.04					5.6	18.88	2.04

Pérdida de carga acumulada del segmento	Δp_t	[Pa]	: 4.32
Velocidad en la sección inicial del segmento	V_m	[m/s]	: 4
Velocidad en la sección final del segmento	V_v	[m/s]	: 3.6
Recuperación de presión estática del segmento	Δp_r	[Pa]	: 1.83
Pérdida de carga acumulada del segmento, considerando la recuperación	Δp_{tm}	[Pa]	: 7.94
Pérdida de carga acumulada neta – total acumulado	$\Sigma \Delta p_{tm}$	[Pa]	: 151.36

SEGMENTO 567:**Tipo:** Tramo

1 ELEMENTO		2 Caudal Q	3 Diam. D/D _e	4 Ancho A	5 Alto B	6 Long. L	7 $\Delta p/L$	8 Fuente Tab	9 Ashrae X	10 Ashrae Y	11 Coeff. C _o	12 Veloc. V	13 P.Dinám P _v	14 Pérdida Δp_r o Δp_c
N. pz.	Cod.	[m³/h]	[mm]	[mm]	[mm]	[m]	[Pa/m]	n.	-	-	-	[m/s]	[Pa]	[Pa]
3398	3733D	450	210	250	150	0	0	ASH6_33			0.279	3.3	6.56	2.14
2156	310R	450	210	250	150	1.05	0.87					3.3	6.56	0.91

Pérdida de carga acumulada del segmento

 Δp_t [Pa] : 3.05

Velocidad en la sección inicial del segmento

 V_m [m/s] : 3.6

Velocidad en la sección final del segmento

 V_v [m/s] : 3.3

Recuperación de presión estática del segmento

 Δp_r [Pa] : 1.25

Pérdida de carga acumulada del segmento, considerando la recuperación

 Δp_{tm} [Pa] : 2.4

Pérdida de carga acumulada neta – total acumulado

 $\Sigma \Delta p_{tm}$ [Pa] : 153.76**SEGMENTO 585:****Tipo:** Terminal TRM-30

1 ELEMENTO		2 Caudal Q	3 Diam. D/D _e	4 Ancho A	5 Alto B	6 Long. L	7 $\Delta p/L$	8 Fuente Tab	9 Ashrae X	10 Ashrae Y	11 Coeff. C _o	12 Veloc. V	13 P.Dinám P _v	14 Pérdida Δp_r o Δp_c
N. pz.	Cod.	[m³/h]	[mm]	[mm]	[mm]	[m]	[Pa/m]	n.	-	-	-	[m/s]	[Pa]	[Pa]
3437	11RA	45	98	98	98	0	0	ASH6_26	0.100	0.497	1.070	1.7	1.74	7.18
2222	310C	45	98	98	98	0.08	0.5					1.7	1.74	0.04
2224	079C	45	98	98	98	0	0	3.1	1.520		0.046	1.7	1.74	0.07
3477	273C	45	75	0	0	0.02	0	5.1	30.000	1.710	0.050	2.8	4.72	0.24
2225	310C	45	75	0	0	0.3	2.03					2.8	4.72	0.61
3476	023C	45	75	0	0	0.02	0	4.1	30.000	1.710	0.320	2.8	4.72	1.54
2227	05LC	45	98	98	98	0	0	MC4				1.7	1.74	16.35

Pérdida de carga acumulada del segmento

 Δp_t [Pa] : 9.68

Velocidad en la sección inicial del segmento

 V_m [m/s] : 3.3

Velocidad en la sección final del segmento

 V_v [m/s] : 1.7

Recuperación de presión estática del segmento

 Δp_r [Pa] : 4.82

Pérdida de carga acumulada del segmento, considerando la recuperación

 Δp_{tm} [Pa] : 5.18

Pérdida de carga acumulada neta – total acumulado

 $\Sigma \Delta p_{tm}$ [Pa] : 175.28

Desequilibrio del terminal respecto al camino más desfavorable

 Δp_{Tmr} [Pa] : 20.59**SEGMENTO 584:****Tipo:** Tramo

1 ELEMENTO		2 Caudal Q	3 Diam. D/D _e	4 Ancho A	5 Alto B	6 Long. L	7 $\Delta p/L$	8 Fuente Tab	9 Ashrae X	10 Ashrae Y	11 Coeff. C _o	12 Veloc. V	13 P.Dinám P _v	14 Pérdida Δp_r o Δp_c
N. pz.	Cod.	[m³/h]	[mm]	[mm]	[mm]	[m]	[Pa/m]	n.	-	-	-	[m/s]	[Pa]	[Pa]
3438	11RA	405	210	250	150	0	0	ASH6_26M	0.900		0.010	3	5.42	0.07
3441	283R	405	152	200	100	0.19	0	5.1	30.000	1.880	0.050	5.6	18.88	0.95
2159	310R	405	152	200	100	0.6	3.53					5.6	18.88	2.12

Pérdida de carga acumulada del segmento

 Δp_t [Pa] : 3.14

Velocidad en la sección inicial del segmento

 V_m [m/s] : 3.3

Velocidad en la sección final del segmento

 V_v [m/s] : 5.6

Recuperación de presión estática del segmento	Δp_r	[Pa] : -12.32
Pérdida de carga acumulada del segmento, considerando la recuperación	Δp_{tn}	[Pa] : 15.5
Pérdida de carga acumulada neta – total acumulado	$\Sigma \Delta p_{tn}$	[Pa] : 169.26

SEGMENTO 583:

Tipo: Terminal TRM-31

1 ELEMENTO		2 Caudal Q	3 Diam. D/D _e	4 Ancho A	5 Alto B	6 Long. L	7 $\Delta p/L$	8 Fuente Tab	9 Ashrae X	10 Ashrae Y	11 Coeff. C _o	12 Veloc. V	13 P.Dinám P _v	14 Pérdida Δp_r o Δp_c
N. pz.	Cod.	[m³/h]	[mm]	[mm]	[mm]	[m]	[Pa/m]	n.	-	-	-	[m/s]	[Pa]	[Pa]
3439	11RA	45	98	98	98	0	0	ASH6_26	0.111	0.295	1.010	1.7	1.74	19.28
2216	310C	45	98	98	98	0.08	0.5					1.7	1.74	0.04
2218	079C	45	98	98	98	0	0	3.1	1.520		0.046	1.7	1.74	0.07
3475	023C	45	98	98	98	0	0	4.1	30.000	1.040	0.320	1.7	1.74	0.24
2219	310C	45	100	0	0	0.3	0.5					1.6	1.54	0.15
3474	273C	45	98	98	98	0	0	5.1	30.000	1.040	0.050	1.7	1.74	0.08
2221	05LC	45	98	98	98	0	0	MC4				1.7	1.74	16.35

Pérdida de carga acumulada del segmento	Δp_t	[Pa] : 19.86
Velocidad en la sección inicial del segmento	V_m	[m/s] : 5.6
Velocidad en la sección final del segmento	V_v	[m/s] : 1.7
Recuperación de presión estática del segmento	Δp_r	[Pa] : 17.14
Pérdida de carga acumulada del segmento, considerando la recuperación	Δp_{tn}	[Pa] : 2.76
Pérdida de carga acumulada neta – total acumulado	$\Sigma \Delta p_{tn}$	[Pa] : 188.36
Desequilibrio del terminal respecto al camino más desfavorable	Δp_{Tmr}	[Pa] : 7.51

SEGMENTO 582:

Tipo: Tramo

1 ELEMENTO		2 Caudal Q	3 Diam. D/D _e	4 Ancho A	5 Alto B	6 Long. L	7 $\Delta p/L$	8 Fuente Tab	9 Ashrae X	10 Ashrae Y	11 Coeff. C _o	12 Veloc. V	13 P.Dinám P _v	14 Pérdida Δp_r o Δp_c
N. pz.	Cod.	[m³/h]	[mm]	[mm]	[mm]	[m]	[Pa/m]	n.	-	-	-	[m/s]	[Pa]	[Pa]
3440	11RA	360	152	200	100	0	0	ASH6_26M	0.889		0.011	5	15.05	0.21
2160	310R	360	152	200	100	0.6	2.85					5	15.05	1.71

Pérdida de carga acumulada del segmento	Δp_t	[Pa] : 1.92
Velocidad en la sección inicial del segmento	V_m	[m/s] : 5.6
Velocidad en la sección final del segmento	V_v	[m/s] : 5
Recuperación de presión estática del segmento	Δp_r	[Pa] : 3.83
Pérdida de carga acumulada del segmento, considerando la recuperación	Δp_{tn}	[Pa] : -2.08
Pérdida de carga acumulada neta – total acumulado	$\Sigma \Delta p_{tn}$	[Pa] : 167.18

SEGMENTO 581:

Tipo: Terminal TRM-32

1 ELEMENTO		2 Caudal Q	3 Diam. D/D _e	4 Ancho A	5 Alto B	6 Long. L	7 $\Delta p/L$	8 Fuente Tab	9 Ashrae X	10 Ashrae Y	11 Coeff. C _o	12 Veloc. V	13 P.Dinám P _v	14 Pérdida Δp_r o Δp_c
N. pz.	Cod.	[m³/h]	[mm]	[mm]	[mm]	[m]	[Pa/m]	n.	-	-	-	[m/s]	[Pa]	[Pa]
3442	11RA	45	98	98	98	0	0	ASH6_26	0.125	0.332	1.020	1.7	1.74	15.39
2210	310C	45	98	98	98	0.08	0.5					1.7	1.74	0.04
2212	079C	45	98	98	98	0	0	3.1	1.520		0.046	1.7	1.74	0.07
3473	273C	45	75	0	0	0.02	0	5.1	30.000	1.710	0.050	2.8	4.72	0.24
2213	310C	45	75	0	0	0.3	2.03					2.8	4.72	0.61

3472	023C	45	75	0	0	0.02	0	4.1	30.000	1.710	0.320	2.8	4.72	1.54
2215	05LC	45	98	98	98	0	0	MC4				1.7	1.74	16.35

Pérdida de carga acumulada del segmento	Δp_t	[Pa]	: 17.89
Velocidad en la sección inicial del segmento	V_m	[m/s]	: 5
Velocidad en la sección final del segmento	V_v	[m/s]	: 1.7
Recuperación de presión estática del segmento	Δp_r	[Pa]	: 13.31
Pérdida de carga acumulada del segmento, considerando la recuperación	Δp_{tm}	[Pa]	: 5.03
Pérdida de carga acumulada neta – total acumulado	$\Sigma \Delta p_{tm}$	[Pa]	: 188.55
Desequilibrio del terminal respecto al camino más desfavorable	Δp_{Tmr}	[Pa]	: 7.32

SEGMENTO 580:

Tipo: Tramo

1 ELEMENTO		2 Caudal Q	3 Diam. D/D _e	4 Ancho A	5 Alto B	6 Long. L	7 $\Delta p/L$	8 Fuente Tab	9 Ashrae X	10 Ashrae Y	11 Coeff. C _o	12 Veloc. V	13 P.Dinám P _v	14 Pérdida Δp_r o Δp_e
N. pz.	Cod.	[m³/h]	[mm]	[mm]	[mm]	[m]	[Pa/m]	n.	-	-	-	[m/s]	[Pa]	[Pa]
3443	11RA	315	152	200	100	0	0	ASH6_26M	0.875		0.012	4.4	11.65	0.19
2161	310R	315	152	200	100	0.6	2.22					4.4	11.65	1.33

Pérdida de carga acumulada del segmento	Δp_t	[Pa]	: 1.52
Velocidad en la sección inicial del segmento	V_m	[m/s]	: 5
Velocidad en la sección final del segmento	V_v	[m/s]	: 4.4
Recuperación de presión estática del segmento	Δp_r	[Pa]	: 3.4
Pérdida de carga acumulada del segmento, considerando la recuperación	Δp_{tm}	[Pa]	: -2.01
Pérdida de carga acumulada neta – total acumulado	$\Sigma \Delta p_{tm}$	[Pa]	: 165.16

SEGMENTO 579:

Tipo: Terminal TRM-33

1 ELEMENTO		2 Caudal Q	3 Diam. D/D _e	4 Ancho A	5 Alto B	6 Long. L	7 $\Delta p/L$	8 Fuente Tab	9 Ashrae X	10 Ashrae Y	11 Coeff. C _o	12 Veloc. V	13 P.Dinám P _v	14 Pérdida Δp_r o Δp_e
N. pz.	Cod.	[m³/h]	[mm]	[mm]	[mm]	[m]	[Pa/m]	n.	-	-	-	[m/s]	[Pa]	[Pa]
3444	11RA	45	98	98	98	0	0	ASH6_26	0.143	0.379	1.040	1.7	1.74	11.93
2204	310C	45	98	98	98	0.08	0.5					1.7	1.74	0.04
2206	079C	45	98	98	98	0	0	3.1	1.520		0.046	1.7	1.74	0.07
3471	273C	45	75	0	0	0.02	0	5.1	30.000	1.710	0.050	2.8	4.72	0.24
2207	310C	45	75	0	0	0.3	2.03					2.8	4.72	0.61
3470	023C	45	75	0	0	0.02	0	4.1	30.000	1.710	0.320	2.8	4.72	1.54
2209	05LC	45	98	98	98	0	0	MC4				1.7	1.74	16.35

Pérdida de carga acumulada del segmento	Δp_t	[Pa]	: 14.43
Velocidad en la sección inicial del segmento	V_m	[m/s]	: 4.4
Velocidad en la sección final del segmento	V_v	[m/s]	: 1.7
Recuperación de presión estática del segmento	Δp_r	[Pa]	: 9.91
Pérdida de carga acumulada del segmento, considerando la recuperación	Δp_{tm}	[Pa]	: 5.09
Pérdida de carga acumulada neta – total acumulado	$\Sigma \Delta p_{tm}$	[Pa]	: 186.6
Desequilibrio del terminal respecto al camino más desfavorable	Δp_{Tmr}	[Pa]	: 9.27

SEGMENTO 578:

Tipo: Tramo

1	2	3	4	5	6	7	8	9	10	11	12	13	14
---	---	---	---	---	---	---	---	---	----	----	----	----	----

ELEMENTO		Caudal Q	Diam. D/D _e	Ancho A	Alto B	Long. L	Δp/L	Fuente Tab	Ashrae X	Ashrae Y	Coeff. C _o	Veloc. V	P.Dinám P _v	Pérdida Δp _r o Δp _c
N. pz.	Cod.	[m³/h]	[mm]	[mm]	[mm]	[m]	[Pa/m]	n.	-	-	-	[m/s]	[Pa]	[Pa]
3445	11RA	270	152	200	100	0	0	ASH6_26M	0.857		0.014	3.7	8.24	0.16
2162	310R	270	152	200	100	0.6	1.67					3.7	8.24	1

Pérdida de carga acumulada del segmento	Δp _t	[Pa]	: 1.16
Velocidad en la sección inicial del segmento	V _m	[m/s]	: 4.4
Velocidad en la sección final del segmento	V _v	[m/s]	: 3.7
Recuperación de presión estática del segmento	Δp _r	[Pa]	: 3.41
Pérdida de carga acumulada del segmento, considerando la recuperación	Δp _{tn}	[Pa]	: -1.89
Pérdida de carga acumulada neta – total acumulado	ΣΔp _{tn}	[Pa]	: 163.27

SEGMENTO 577:

Tipo: Terminal TRM-34

1 ELEMENTO		2 Caudal Q	3 Diam. D/D _e	4 Ancho A	5 Alto B	6 Long. L	7 Δp/L	8 Fuente Tab	9 Ashrae X	10 Ashrae Y	11 Coeff. C _o	12 Veloc. V	13 P.Dinám P _v	14 Pérdida Δp _r o Δp _c
N. pz.	Cod.	[m³/h]	[mm]	[mm]	[mm]	[m]	[Pa/m]	n.	-	-	-	[m/s]	[Pa]	[Pa]
3446	11RA	45	98	98	98	0	0	ASH6_26	0.167	0.442	1.060	1.7	1.74	9
2198	310C	45	98	98	98	0.08	0.5					1.7	1.74	0.04
2200	079C	45	98	98	98	0	0	3.1	1.520		0.046	1.7	1.74	0.07
3469	273C	45	75	0	0	0.02	0	5.1	30.000	1.710	0.050	2.8	4.72	0.24
2201	310C	45	75	0	0	0.3	2.03					2.8	4.72	0.61
3468	023C	45	75	0	0	0.02	0	4.1	30.000	1.710	0.320	2.8	4.72	1.54
2203	05LC	45	98	98	98	0	0	MC4				1.7	1.74	16.35

Pérdida de carga acumulada del segmento	Δp _t	[Pa]	: 11.51
Velocidad en la sección inicial del segmento	V _m	[m/s]	: 3.7
Velocidad en la sección final del segmento	V _v	[m/s]	: 1.7
Recuperación de presión estática del segmento	Δp _r	[Pa]	: 6.5
Pérdida de carga acumulada del segmento, considerando la recuperación	Δp _{tn}	[Pa]	: 5.22
Pérdida de carga acumulada neta – total acumulado	ΣΔp _{tn}	[Pa]	: 184.84
Desequilibrio del terminal respecto al camino más desfavorable	Δp _{Tmr}	[Pa]	: 11.03

SEGMENTO 576:

Tipo: Tramo

1 ELEMENTO		2 Caudal Q	3 Diam. D/D _e	4 Ancho A	5 Alto B	6 Long. L	7 Δp/L	8 Fuente Tab	9 Ashrae X	10 Ashrae Y	11 Coeff. C _o	12 Veloc. V	13 P.Dinám P _v	14 Pérdida Δp _r o Δp _c
N. pz.	Cod.	[m³/h]	[mm]	[mm]	[mm]	[m]	[Pa/m]	n.	-	-	-	[m/s]	[Pa]	[Pa]
3447	11RA	225	152	200	100	0	0	ASH6_26M	0.833		0.017	3.1	5.79	0.14
3450	283R	225	133	150	100	0.14	0	5.1	30.000	1.330	0.050	4.2	10.62	0.52
2163	310R	225	133	150	100	0.6	2.3					4.2	10.62	1.38

Pérdida de carga acumulada del segmento	Δp _t	[Pa]	: 2.05
Velocidad en la sección inicial del segmento	V _m	[m/s]	: 3.7
Velocidad en la sección final del segmento	V _v	[m/s]	: 4.2
Recuperación de presión estática del segmento	Δp _r	[Pa]	: -2.38
Pérdida de carga acumulada del segmento, considerando la recuperación	Δp _{tn}	[Pa]	: 4.03
Pérdida de carga acumulada neta – total acumulado	ΣΔp _{tn}	[Pa]	: 167.31

SEGMENTO 575:**Tipo:** Terminal TRM-39

1 ELEMENTO		2 Caudal Q	3 Diam. D/D _e	4 Ancho A	5 Alto B	6 Long. L	7 $\Delta p/L$	8 Fuente Tab	9 Ashrae X	10 Ashrae Y	11 Coeff. C _o	12 Veloc. V	13 P.Dinám P _v	14 Pérdida Δp_r o Δp_e
N. pz.	Cod.	[m³/h]	[mm]	[mm]	[mm]	[m]	[Pa/m]	n.	-	-	-	[m/s]	[Pa]	[Pa]
3448	11RA	45	98	98	98	0	0	ASH6_26	0.200	0.398	1.070	1.7	1.74	11.18
2192	310C	45	98	98	98	0.08	0.5					1.7	1.74	0.04
2194	079C	45	98	98	98	0	0	3.1	1.520		0.046	1.7	1.74	0.07
3467	023C	45	98	98	98	0	0	4.1	30.000	1.040	0.320	1.7	1.74	0.24
2195	310C	45	100	0	0	0.3	0.5					1.6	1.54	0.15
3466	273C	45	98	98	98	0	0	5.1	30.000	1.040	0.050	1.7	1.74	0.08
2197	05LC	45	98	98	98	0	0	MC4				1.7	1.74	16.35

Pérdida de carga acumulada del segmento

 Δp_t [Pa] : 11.77

Velocidad en la sección inicial del segmento

 V_m [m/s] : 4.2

Velocidad en la sección final del segmento

 V_v [m/s] : 1.7

Recuperación de presión estática del segmento

 Δp_r [Pa] : 8.88

Pérdida de carga acumulada del segmento, considerando la recuperación

 Δp_{tn} [Pa] : 3.26

Pérdida de carga acumulada neta – total acumulado

 $\Sigma \Delta p_{tn}$ [Pa] : 186.91

Desequilibrio del terminal respecto al camino más desfavorable

 Δp_{Tmr} [Pa] : 8.96**SEGMENTO 574:****Tipo:** Tramo

1 ELEMENTO		2 Caudal Q	3 Diam. D/D _e	4 Ancho A	5 Alto B	6 Long. L	7 $\Delta p/L$	8 Fuente Tab	9 Ashrae X	10 Ashrae Y	11 Coeff. C _o	12 Veloc. V	13 P.Dinám P _v	14 Pérdida Δp_r o Δp_e
N. pz.	Cod.	[m³/h]	[mm]	[mm]	[mm]	[m]	[Pa/m]	n.	-	-	-	[m/s]	[Pa]	[Pa]
3449	11RA	180	133	150	100	0	0	ASH6_26M	0.800		0.020	3.3	6.56	0.21
2164	310R	180	133	150	100	0.6	1.52					3.3	6.56	0.91

Pérdida de carga acumulada del segmento

 Δp_t [Pa] : 1.12

Velocidad en la sección inicial del segmento

 V_m [m/s] : 4.2

Velocidad en la sección final del segmento

 V_v [m/s] : 3.3

Recuperación de presión estática del segmento

 Δp_r [Pa] : 4.06

Pérdida de carga acumulada del segmento, considerando la recuperación

 Δp_{tn} [Pa] : -2.64

Pérdida de carga acumulada neta – total acumulado

 $\Sigma \Delta p_{tn}$ [Pa] : 164.67**SEGMENTO 573:****Tipo:** Terminal TRM-39

1 ELEMENTO		2 Caudal Q	3 Diam. D/D _e	4 Ancho A	5 Alto B	6 Long. L	7 $\Delta p/L$	8 Fuente Tab	9 Ashrae X	10 Ashrae Y	11 Coeff. C _o	12 Veloc. V	13 P.Dinám P _v	14 Pérdida Δp_r o Δp_e
N. pz.	Cod.	[m³/h]	[mm]	[mm]	[mm]	[m]	[Pa/m]	n.	-	-	-	[m/s]	[Pa]	[Pa]
3451	11RA	45	98	98	98	0	0	ASH6_26	0.250	0.497	1.080	1.7	1.74	7.24
2186	310C	45	98	98	98	0.08	0.5					1.7	1.74	0.04
2188	079C	45	98	98	98	0	0	3.1	1.520		0.046	1.7	1.74	0.07
3465	273C	45	75	0	0	0.02	0	5.1	30.000	1.710	0.050	2.8	4.72	0.24
2189	310C	45	75	0	0	0.3	2.03					2.8	4.72	0.61
3464	023C	45	75	0	0	0.02	0	4.1	30.000	1.710	0.320	2.8	4.72	1.54
2191	05LC	45	98	98	98	0	0	MC4				1.7	1.74	16.35

Pérdida de carga acumulada del segmento

 Δp_t [Pa] : 9.74

Velocidad en la sección inicial del segmento	V_m	[m/s]	: 3.3
Velocidad en la sección final del segmento	V_v	[m/s]	: 1.7
Recuperación de presión estática del segmento	Δp_r	[Pa]	: 4.82
Pérdida de carga acumulada del segmento, considerando la recuperación	Δp_{tn}	[Pa]	: 5.24
Pérdida de carga acumulada neta – total acumulado	$\Sigma \Delta p_{tn}$	[Pa]	: 186.25
Desequilibrio del terminal respecto al camino más desfavorable	Δp_{Tmr}	[Pa]	: 9.62

SEGMENTO 572:

Tipo: Tramo

1 ELEMENTO		2 Caudal Q	3 Diam. D/D _e	4 Ancho A	5 Alto B	6 Long. L	7 $\Delta p/L$	8 Fuente Tab	9 Ashrae X	10 Ashrae Y	11 Coeff. C _o	12 Veloc. V	13 P.Dinám P _v	14 Pérdida Δp_r o Δp_e
N. pz.	Cod.	[m³/h]	[mm]	[mm]	[mm]	[m]	[Pa/m]	n.	-	-	-	[m/s]	[Pa]	[Pa]
3452	11RA	135	133	150	100	0	0	ASH6_26M	0.750		0.030	2.5	3.76	0.2
3455	283R	135	109	100	100	0.14	0	5.1	30.000	1.500	0.050	3.7	8.24	0.42
2165	310R	135	109	100	100	0.6	2.4					3.7	8.24	1.44

Pérdida de carga acumulada del segmento	Δp_t	[Pa]	: 2.07
Velocidad en la sección inicial del segmento	V_m	[m/s]	: 3.3
Velocidad en la sección final del segmento	V_v	[m/s]	: 3.7
Recuperación de presión estática del segmento	Δp_r	[Pa]	: -1.69
Pérdida de carga acumulada del segmento, considerando la recuperación	Δp_{tn}	[Pa]	: 3.84
Pérdida de carga acumulada neta – total acumulado	$\Sigma \Delta p_{tn}$	[Pa]	: 168.51

SEGMENTO 571:

Tipo: Terminal TRM-39

1 ELEMENTO		2 Caudal Q	3 Diam. D/D _e	4 Ancho A	5 Alto B	6 Long. L	7 $\Delta p/L$	8 Fuente Tab	9 Ashrae X	10 Ashrae Y	11 Coeff. C _o	12 Veloc. V	13 P.Dinám P _v	14 Pérdida Δp_r o Δp_e
N. pz.	Cod.	[m³/h]	[mm]	[mm]	[mm]	[m]	[Pa/m]	n.	-	-	-	[m/s]	[Pa]	[Pa]
3453	11RA	45	98	98	98	0	0	ASH6_26	0.333	0.442	1.100	1.7	1.74	9.28
2180	310C	45	98	98	98	0.08	0.5					1.7	1.74	0.04
2182	079C	45	98	98	98	0	0	3.1	1.520		0.046	1.7	1.74	0.07
3463	023C	45	98	98	98	0	0	4.1	30.000	1.040	0.320	1.7	1.74	0.24
2183	310C	45	100	0	0	0.3	0.5					1.6	1.54	0.15
3462	273C	45	98	98	98	0	0	5.1	30.000	1.040	0.050	1.7	1.74	0.08
2185	05LC	45	98	98	98	0	0	MC4				1.7	1.74	16.35

Pérdida de carga acumulada del segmento	Δp_t	[Pa]	: 9.87
Velocidad en la sección inicial del segmento	V_m	[m/s]	: 3.7
Velocidad en la sección final del segmento	V_v	[m/s]	: 1.7
Recuperación de presión estática del segmento	Δp_r	[Pa]	: 6.5
Pérdida de carga acumulada del segmento, considerando la recuperación	Δp_{tn}	[Pa]	: 3.35
Pérdida de carga acumulada neta – total acumulado	$\Sigma \Delta p_{tn}$	[Pa]	: 188.2
Desequilibrio del terminal respecto al camino más desfavorable	Δp_{Tmr}	[Pa]	: 7.67

SEGMENTO 570:

Tipo: Tramo

1 ELEMENTO		2 Caudal Q	3 Diam. D/D _e	4 Ancho A	5 Alto B	6 Long. L	7 $\Delta p/L$	8 Fuente Tab	9 Ashrae X	10 Ashrae Y	11 Coeff. C _o	12 Veloc. V	13 P.Dinám P _v	14 Pérdida Δp_r o Δp_e
N. pz.	Cod.	[m³/h]	[mm]	[mm]	[mm]	[m]	[Pa/m]	n.	-	-	-	[m/s]	[Pa]	[Pa]

3454	11RA	90	109	100	100	0	0	ASH6_26M	0.667		0.047	2.5	3.76	0.4
2166	310R	90	109	100	100	0.6	1.13					2.5	3.76	0.68

Pérdida de carga acumulada del segmento	Δp_t	[Pa]	: 1.07
Velocidad en la sección inicial del segmento	V_m	[m/s]	: 3.7
Velocidad en la sección final del segmento	V_v	[m/s]	: 2.5
Recuperación de presión estática del segmento	Δp_r	[Pa]	: 4.48
Pérdida de carga acumulada del segmento, considerando la recuperación	Δp_{tm}	[Pa]	: -3.63
Pérdida de carga acumulada neta – total acumulado	$\Sigma \Delta p_{tm}$	[Pa]	: 164.88

SEGMENTO 569:

Tipo: Terminal TRM-42

1 ELEMENTO		2 Caudal Q	3 Diam. D/D _e	4 Ancho A	5 Alto B	6 Long. L	7 $\Delta p/L$	8 Fuente Tab	9 Ashrae X	10 Ashrae Y	11 Coeff. C _o	12 Veloc. V	13 P.Dinám P _v	14 Pérdida Δp_r o Δp_c
N. pz.	Cod.	[m³/h]	[mm]	[mm]	[mm]	[m]	[Pa/m]	n.	-	-	-	[m/s]	[Pa]	[Pa]
3456	11RA	45	98	98	98	0	0	ASH6_26	0.500	0.663	1.260	1.7	1.74	4.74
2174	310C	45	98	98	98	0.08	0.5					1.7	1.74	0.04
2176	079C	45	98	98	98	0	0	3.1	1.520		0.046	1.7	1.74	0.07
3461	273C	45	75	0	0	0.02	0	5.1	30.000	1.710	0.050	2.8	4.72	0.24
2177	310C	45	75	0	0	0.3	2.03					2.8	4.72	0.61
3460	023C	45	75	0	0	0.02	0	4.1	30.000	1.710	0.320	2.8	4.72	1.54
2179	05LC	45	98	98	98	0	0	MC4				1.7	1.74	16.35

Pérdida de carga acumulada del segmento	Δp_t	[Pa]	: 7.25
Velocidad en la sección inicial del segmento	V_m	[m/s]	: 2.5
Velocidad en la sección final del segmento	V_v	[m/s]	: 1.7
Recuperación de presión estática del segmento	Δp_r	[Pa]	: 2.02
Pérdida de carga acumulada del segmento, considerando la recuperación	Δp_{tm}	[Pa]	: 5.67
Pérdida de carga acumulada neta – total acumulado	$\Sigma \Delta p_{tm}$	[Pa]	: 186.89
Desequilibrio del terminal respecto al camino más desfavorable	Δp_{Tmr}	[Pa]	: 8.98

SEGMENTO 568:

Tipo: Terminal TRM-41

1 ELEMENTO		2 Caudal Q	3 Diam. D/D _e	4 Ancho A	5 Alto B	6 Long. L	7 $\Delta p/L$	8 Fuente Tab	9 Ashrae X	10 Ashrae Y	11 Coeff. C _o	12 Veloc. V	13 P.Dinám P _v	14 Pérdida Δp_r o Δp_c
N. pz.	Cod.	[m³/h]	[mm]	[mm]	[mm]	[m]	[Pa/m]	n.	-	-	-	[m/s]	[Pa]	[Pa]
3457	11RA	45	109	100	100	0	0	ASH6_26M	0.500		0.090	1.2	0.87	0.34
2167	310R	45	109	100	100	0.6	0.32					1.2	0.87	0.19
2158	11RAT	45	109	100	100	0	0	2_6	1.000	0.917	2.800	1.2	0.87	4.63
2168	310C	45	98	98	98	0.08	0.5					1.7	1.74	0.04
2170	079C	45	98	98	98	0	0	3.1	1.520		0.046	1.7	1.74	0.07
3459	023C	45	98	98	98	0	0	4.1	30.000	1.040	0.320	1.7	1.74	0.53
2171	310C	45	100	0	0	0.3	0.5					1.6	1.54	0.15
3458	273C	45	98	98	98	0	0	5.1	30.000	1.040	0.050	1.7	1.74	0.08
2173	05LC	45	98	98	98	0	0	MC4				1.7	1.74	16.35

Pérdida de carga acumulada del segmento	Δp_t	[Pa]	: 6.04
Velocidad en la sección inicial del segmento	V_m	[m/s]	: 2.5
Velocidad en la sección final del segmento	V_v	[m/s]	: 1.7
Recuperación de presión estática del segmento	Δp_r	[Pa]	: 2.02
Pérdida de carga acumulada del segmento, considerando la recuperación	Δp_{tm}	[Pa]	: 3.93
Pérdida de carga acumulada neta – total acumulado	$\Sigma \Delta p_{tm}$	[Pa]	: 185.15
Desequilibrio del terminal respecto al camino más desfavorable	Δp_{Tmr}	[Pa]	: 10.72

SEGMENTO 566:**Tipo:** Tramo

1 ELEMENTO		2 Caudal Q	3 Diam. D/D _e	4 Ancho A	5 Alto B	6 Long. L	7 $\Delta p/L$	8 Fuente Tab	9 Ashrae X	10 Ashrae Y	11 Coeff. C _o	12 Veloc. V	13 P.Dinám P _v	14 Pérdida Δp_r o Δp_c
N. pz.	Cod.	[m³/h]	[mm]	[mm]	[mm]	[m]	[Pa/m]	n.	-	-	-	[m/s]	[Pa]	[Pa]
2083	3733D	450	164	150	150	0	0	ASH6_33	0.833		0.300	5.6	18.88	2.3
2082	310R	450	164	150	150	1.1	2.95					5.6	18.88	3.25

Pérdida de carga acumulada del segmento

 Δp_t [Pa] : 5.56

Velocidad en la sección inicial del segmento

 V_m [m/s] : 3.6

Velocidad en la sección final del segmento

 V_v [m/s] : 3.3

Recuperación de presión estática del segmento

 Δp_r [Pa] : 1.25

Pérdida de carga acumulada del segmento, considerando la recuperación

 Δp_{tn} [Pa] : 6.43

Pérdida de carga acumulada neta – total acumulado

 $\Sigma \Delta p_{tn}$ [Pa] : 157.79**SEGMENTO 565:****Tipo:** Terminal TRM-13

1 ELEMENTO		2 Caudal Q	3 Diam. D/D _e	4 Ancho A	5 Alto B	6 Long. L	7 $\Delta p/L$	8 Fuente Tab	9 Ashrae X	10 Ashrae Y	11 Coeff. C _o	12 Veloc. V	13 P.Dinám P _v	14 Pérdida Δp_r o Δp_c
N. pz.	Cod.	[m³/h]	[mm]	[mm]	[mm]	[m]	[Pa/m]	n.	-	-	-	[m/s]	[Pa]	[Pa]
3400	11RA	45	98	98	98	0	0	ASH6_26	0.100	0.298	1.070	1.7	1.74	7.18
2150	310C	45	98	98	98	0.08	0.5					1.7	1.74	0.04
2152	079C	45	98	98	98	0	0	3.1	1.520		0.046	1.7	1.74	0.07
3436	273C	45	75	0	0	0.02	0	5.1	30.000	1.710	0.050	2.8	4.72	0.24
2153	310C	45	75	0	0	0.3	2.03					2.8	4.72	0.61
3435	023C	45	75	0	0	0.02	0	4.1	30.000	1.710	0.320	2.8	4.72	1.54
2155	05LC	45	98	98	98	0	0	MC4				1.7	1.74	16.35

Pérdida de carga acumulada del segmento

 Δp_t [Pa] : 9.68

Velocidad en la sección inicial del segmento

 V_m [m/s] : 3.3

Velocidad en la sección final del segmento

 V_v [m/s] : 1.7

Recuperación de presión estática del segmento

 Δp_r [Pa] : 4.82

Pérdida de carga acumulada del segmento, considerando la recuperación

 Δp_{tn} [Pa] : 5.18

Pérdida de carga acumulada neta – total acumulado

 $\Sigma \Delta p_{tn}$ [Pa] : 179.31

Desequilibrio del terminal respecto al camino más desfavorable

 Δp_{Tmr} [Pa] : 16.56**SEGMENTO 564:****Tipo:** Tramo

1 ELEMENTO		2 Caudal Q	3 Diam. D/D _e	4 Ancho A	5 Alto B	6 Long. L	7 $\Delta p/L$	8 Fuente Tab	9 Ashrae X	10 Ashrae Y	11 Coeff. C _o	12 Veloc. V	13 P.Dinám P _v	14 Pérdida Δp_r o Δp_c
N. pz.	Cod.	[m³/h]	[mm]	[mm]	[mm]	[m]	[Pa/m]	n.	-	-	-	[m/s]	[Pa]	[Pa]
3401	11RA	405	164	150	150	0	0	ASH6_26M	0.900		0.010	5	15.05	0.07
2085	310R	405	164	150	150	0.6	2.43					5	15.05	1.46

Pérdida de carga acumulada del segmento

 Δp_t [Pa] : 1.52

Velocidad en la sección inicial del segmento

 V_m [m/s] : 3.3

Velocidad en la sección final del segmento

 V_v [m/s] : 3

Recuperación de presión estática del segmento
 Pérdida de carga acumulada del segmento, considerando la recuperación
 Pérdida de carga acumulada neta – total acumulado

Δp_r [Pa] : 1.14
 Δp_{tm} [Pa] : 1.76
 $\Sigma \Delta p_{tm}$ [Pa] : 159.55

SEGMENTO 549:

Tipo: Tramo

1 ELEMENTO		2 Caudal Q	3 Diam. D/D _e	4 Ancho A	5 Alto B	6 Long. L	7 $\Delta p/L$	8 Fuente Tab	9 Ashrae X	10 Ashrae Y	11 Coeff. C _o	12 Veloc. V	13 P.Dinám P _v	14 Pérdida Δp_r o Δp_c
N. pz.	Cod.	[m³/h]	[mm]	[mm]	[mm]	[m]	[Pa/m]	n.	-	-	-	[m/s]	[Pa]	[Pa]
3402	11RA	360	164	150	150	0	0	ASH6_26M	0.889		0.011	4.4	11.65	0.06
2092	310R	360	164	150	150	0.6	1.95					4.4	11.65	1.17

Pérdida de carga acumulada del segmento
 Velocidad en la sección inicial del segmento
 Velocidad en la sección final del segmento
 Recuperación de presión estática del segmento
 Pérdida de carga acumulada del segmento, considerando la recuperación
 Pérdida de carga acumulada neta – total acumulado

Δp_t [Pa] : 1.23
 V_m [m/s] : 3
 V_v [m/s] : 2.7
 Δp_r [Pa] : 1.03
 Δp_{tm} [Pa] : 1.28
 $\Sigma \Delta p_{tm}$ [Pa] : 160.83

SEGMENTO 563:

Tipo: Terminal TRM-13

1 ELEMENTO		2 Caudal Q	3 Diam. D/D _e	4 Ancho A	5 Alto B	6 Long. L	7 $\Delta p/L$	8 Fuente Tab	9 Ashrae X	10 Ashrae Y	11 Coeff. C _o	12 Veloc. V	13 P.Dinám P _v	14 Pérdida Δp_r o Δp_c
N. pz.	Cod.	[m³/h]	[mm]	[mm]	[mm]	[m]	[Pa/m]	n.	-	-	-	[m/s]	[Pa]	[Pa]
3405	11RA	45	98	98	98	0	0	ASH6_26	0.125	0.373	1.140	1.7	1.74	4.88
2144	310C	45	98	98	98	0.08	0.5					1.7	1.74	0.04
2146	079C	45	98	98	98	0	0	3.1	1.520		0.046	1.7	1.74	0.07
3434	023C	45	98	98	98	0	0	4.1	30.000	1.040	0.320	1.7	1.74	0.53
2147	310C	45	100	0	0	0.3	0.5					1.6	1.54	0.15
3433	273C	45	98	98	98	0	0	5.1	30.000	1.040	0.050	1.7	1.74	0.08
2149	05LC	45	98	98	98	0	0	MC4				1.7	1.74	16.35

Pérdida de carga acumulada del segmento
 Velocidad en la sección inicial del segmento
 Velocidad en la sección final del segmento
 Recuperación de presión estática del segmento
 Pérdida de carga acumulada del segmento, considerando la recuperación
 Pérdida de carga acumulada neta – total acumulado
 Desequilibrio del terminal respecto al camino más desfavorable

Δp_t [Pa] : 5.75
 V_m [m/s] : 2.7
 V_v [m/s] : 1.7
 Δp_r [Pa] : 2.65
 Δp_{tm} [Pa] : 3.12
 $\Sigma \Delta p_{tm}$ [Pa] : 180.29
 Δp_{Tmr} [Pa] : 15.58

SEGMENTO 562:

Tipo: Tramo

1 ELEMENTO		2 Caudal Q	3 Diam. D/D _e	4 Ancho A	5 Alto B	6 Long. L	7 $\Delta p/L$	8 Fuente Tab	9 Ashrae X	10 Ashrae Y	11 Coeff. C _o	12 Veloc. V	13 P.Dinám P _v	14 Pérdida Δp_r o Δp_c
N. pz.	Cod.	[m³/h]	[mm]	[mm]	[mm]	[m]	[Pa/m]	n.	-	-	-	[m/s]	[Pa]	[Pa]
3406	11RA	315	164	150	150	0	0	ASH6_26M	0.875		0.012	3.9	9.16	0.05
2095	310R	315	164	150	150	0.6	1.52					3.9	9.16	0.91

Pérdida de carga acumulada del segmento	Δp_t	[Pa]	: 0.97
Velocidad en la sección inicial del segmento	V_m	[m/s]	: 2.7
Velocidad en la sección final del segmento	V_v	[m/s]	: 2.3
Recuperación de presión estática del segmento	Δp_r	[Pa]	: 1.2
Pérdida de carga acumulada del segmento, considerando la recuperación	Δp_{tn}	[Pa]	: 0.87
Pérdida de carga acumulada neta – total acumulado	$\Sigma \Delta p_{tn}$	[Pa]	: 161.7

SEGMENTO 561:

Tipo: Terminal TRM-12

1 ELEMENTO		2 Caudal Q	3 Diam. D/D _e	4 Ancho A	5 Alto B	6 Long. L	7 $\Delta p/L$	8 Fuente Tab	9 Ashrae X	10 Ashrae Y	11 Coeff. C _o	12 Veloc. V	13 P.Dinám P _v	14 Pérdida Δp_r o Δp_c
N. pz.	Cod.	[m³/h]	[mm]	[mm]	[mm]	[m]	[Pa/m]	n.	-	-	-	[m/s]	[Pa]	[Pa]
3407	11RA	45	98	98	98	0	0	ASH6_26	0.143	0.426	1.190	1.7	1.74	3.88
2138	310C	45	98	98	98	0.08	0.5					1.7	1.74	0.04
2140	079C	45	98	98	98	0	0	3.1	1.520		0.046	1.7	1.74	0.07
3432	023C	45	98	98	98	0	0	4.1	30.000	1.040	0.320	1.7	1.74	0.53
2141	310C	45	100	0	0	0.3	0.5					1.6	1.54	0.15
3431	273C	45	98	98	98	0	0	5.1	30.000	1.040	0.050	1.7	1.74	0.08
2143	05LC	45	98	98	98	0	0	MC4				1.7	1.74	16.35

Pérdida de carga acumulada del segmento	Δp_t	[Pa]	: 4.76
Velocidad en la sección inicial del segmento	V_m	[m/s]	: 2.3
Velocidad en la sección final del segmento	V_v	[m/s]	: 1.7
Recuperación de presión estática del segmento	Δp_r	[Pa]	: 1.44
Pérdida de carga acumulada del segmento, considerando la recuperación	Δp_{tn}	[Pa]	: 3.13
Pérdida de carga acumulada neta – total acumulado	$\Sigma \Delta p_{tn}$	[Pa]	: 181.18
Desequilibrio del terminal respecto al camino más desfavorable	Δp_{Tmr}	[Pa]	: 14.69

SEGMENTO 560:

Tipo: Tramo

1 ELEMENTO		2 Caudal Q	3 Diam. D/D _e	4 Ancho A	5 Alto B	6 Long. L	7 $\Delta p/L$	8 Fuente Tab	9 Ashrae X	10 Ashrae Y	11 Coeff. C _o	12 Veloc. V	13 P.Dinám P _v	14 Pérdida Δp_r o Δp_c
N. pz.	Cod.	[m³/h]	[mm]	[mm]	[mm]	[m]	[Pa/m]	n.	-	-	-	[m/s]	[Pa]	[Pa]
3408	11RA	270	164	150	150	0	0	ASH6_26M	0.857		0.014	3.3	6.56	0.05
2096	310R	270	164	150	150	0.6	1.15					3.3	6.56	0.69

Pérdida de carga acumulada del segmento	Δp_t	[Pa]	: 0.73
Velocidad en la sección inicial del segmento	V_m	[m/s]	: 2.3
Velocidad en la sección final del segmento	V_v	[m/s]	: 2
Recuperación de presión estática del segmento	Δp_r	[Pa]	: 0.78
Pérdida de carga acumulada del segmento, considerando la recuperación	Δp_{tn}	[Pa]	: 0.53
Pérdida de carga acumulada neta – total acumulado	$\Sigma \Delta p_{tn}$	[Pa]	: 162.23

SEGMENTO 559:

Tipo: Terminal TRM-6

1 ELEMENTO		2 Caudal Q	3 Diam. D/D _e	4 Ancho A	5 Alto B	6 Long. L	7 $\Delta p/L$	8 Fuente Tab	9 Ashrae X	10 Ashrae Y	11 Coeff. C _o	12 Veloc. V	13 P.Dinám P _v	14 Pérdida Δp_r o Δp_c
N. pz.	Cod.	[m³/h]	[mm]	[mm]	[mm]	[m]	[Pa/m]	n.	-	-	-	[m/s]	[Pa]	[Pa]
3409	11RA	45	98	98	98	0	0	ASH6_	0.167	0.497	1.280	1.7	1.74	3.08

								26						
2132	310C	45	98	98	98	0.08	0.5					1.7	1.74	0.04
2134	079C	45	98	98	98	0	0	3.1	1.520		0.046	1.7	1.74	0.07
3430	023C	45	98	98	98	0	0	4.1	30.000	1.040	0.320	1.7	1.74	0.53
2135	310C	45	100	0	0	0.3	0.5					1.6	1.54	0.15
3429	273C	45	98	98	98	0	0	5.1	30.000	1.040	0.050	1.7	1.74	0.08
2137	05LC	45	98	98	98	0	0	MC4				1.7	1.74	16.35

Pérdida de carga acumulada del segmento	Δp_t	[Pa]	: 3.95
Velocidad en la sección inicial del segmento	V_m	[m/s]	: 2
Velocidad en la sección final del segmento	V_v	[m/s]	: 1.7
Recuperación de presión estática del segmento	Δp_r	[Pa]	: 0.67
Pérdida de carga acumulada del segmento, considerando la recuperación	Δp_{tm}	[Pa]	: 3.2
Pérdida de carga acumulada neta – total acumulado	$\Sigma \Delta p_{tm}$	[Pa]	: 181.78
Desequilibrio del terminal respecto al camino más desfavorable	Δp_{Tmr}	[Pa]	: 14.09

SEGMENTO 558:

Tipo: Tramo

1 ELEMENTO		2 Caudal Q	3 Diam. D/D _e	4 Ancho A	5 Alto B	6 Long. L	7 $\Delta p/L$	8 Fuente Tab	9 Ashrae X	10 Ashrae Y	11 Coeff. C _o	12 Veloc. V	13 P.Dinám P _v	14 Pérdida Δp_r o Δp_e
N. pz.	Cod.	[m³/h]	[mm]	[mm]	[mm]	[m]	[Pa/m]	n.	-	-	-	[m/s]	[Pa]	[Pa]
3410	11RA	225	164	150	150	0	0	ASH6_26M	0.833		0.017	2.8	4.72	0.04
2097	310R	225	164	150	150	0.6	0.82					2.8	4.72	0.49

Pérdida de carga acumulada del segmento	Δp_t	[Pa]	: 0.53
Velocidad en la sección inicial del segmento	V_m	[m/s]	: 2
Velocidad en la sección final del segmento	V_v	[m/s]	: 3.1
Recuperación de presión estática del segmento	Δp_r	[Pa]	: -3.38
Pérdida de carga acumulada del segmento, considerando la recuperación	Δp_{tm}	[Pa]	: 4.53
Pérdida de carga acumulada neta – total acumulado	$\Sigma \Delta p_{tm}$	[Pa]	: 166.76

SEGMENTO 557:

Tipo: Terminal TRM-7

1 ELEMENTO		2 Caudal Q	3 Diam. D/D _e	4 Ancho A	5 Alto B	6 Long. L	7 $\Delta p/L$	8 Fuente Tab	9 Ashrae X	10 Ashrae Y	11 Coeff. C _o	12 Veloc. V	13 P.Dinám P _v	14 Pérdida Δp_r o Δp_e
N. pz.	Cod.	[m³/h]	[mm]	[mm]	[mm]	[m]	[Pa/m]	n.	-	-	-	[m/s]	[Pa]	[Pa]
3411	11RA	45	98	98	98	0	0	ASH6_26	0.200	0.597	1.090	1.7	1.74	6.41
2126	310C	45	98	98	98	0.08	0.5					1.7	1.74	0.04
2128	079C	45	98	98	98	0	0	3.1	1.520		0.046	1.7	1.74	0.07
3428	023C	45	98	98	98	0	0	4.1	30.000	1.040	0.320	1.7	1.74	0.53
2129	310C	45	100	0	0	0.3	0.5					1.6	1.54	0.15
3427	273C	45	98	98	98	0	0	5.1	30.000	1.040	0.050	1.7	1.74	0.08
2131	05LC	45	98	98	98	0	0	MC4				1.7	1.74	16.35

Pérdida de carga acumulada del segmento	Δp_t	[Pa]	: 7.28
Velocidad en la sección inicial del segmento	V_m	[m/s]	: 3.1
Velocidad en la sección final del segmento	V_v	[m/s]	: 1.7
Recuperación de presión estática del segmento	Δp_r	[Pa]	: 4.05
Pérdida de carga acumulada del segmento, considerando la recuperación	Δp_{tm}	[Pa]	: 3.05
Pérdida de carga acumulada neta – total acumulado	$\Sigma \Delta p_{tm}$	[Pa]	: 186.16
Desequilibrio del terminal respecto al camino más desfavorable	Δp_{Tmr}	[Pa]	: 9.71

SEGMENTO 556:**Tipo:** Tramo

1 ELEMENTO		2 Caudal Q	3 Diam. D/D _e	4 Ancho A	5 Alto B	6 Long. L	7 $\Delta p/L$	8 Fuente Tab	9 Ashrae X	10 Ashrae Y	11 Coeff. C _o	12 Veloc. V	13 P.Dinám P _v	14 Pérdida $\Delta p_r \circ \Delta p_e$
N. pz.	Cod.	[m³/h]	[mm]	[mm]	[mm]	[m]	[Pa/m]	n.	-	-	-	[m/s]	[Pa]	[Pa]
3412	11RA	180	164	150	150	0	0	ASH6_26M	0.800		0.020	2.2	2.91	0.12
2098	310R	180	164	150	150	0.6	0.55					2.2	2.91	0.33

Pérdida de carga acumulada del segmento

 Δp_t [Pa] : 0.45

Velocidad en la sección inicial del segmento

 V_m [m/s] : 3.1

Velocidad en la sección final del segmento

 V_v [m/s] : 2.5

Recuperación de presión estática del segmento

 Δp_r [Pa] : 2.02

Pérdida de carga acumulada del segmento, considerando la recuperación

 Δp_{tn} [Pa] : -0.35

Pérdida de carga acumulada neta – total acumulado

 $\Sigma \Delta p_{tn}$ [Pa] : 166.4**SEGMENTO 555:****Tipo:** Terminal TRM-8

1 ELEMENTO		2 Caudal Q	3 Diam. D/D _e	4 Ancho A	5 Alto B	6 Long. L	7 $\Delta p/L$	8 Fuente Tab	9 Ashrae X	10 Ashrae Y	11 Coeff. C _o	12 Veloc. V	13 P.Dinám P _v	14 Pérdida $\Delta p_r \circ \Delta p_e$
N. pz.	Cod.	[m³/h]	[mm]	[mm]	[mm]	[m]	[Pa/m]	n.	-	-	-	[m/s]	[Pa]	[Pa]
3413	11RA	45	98	98	98	0	0	ASH6_26	0.250	0.746	1.130	1.7	1.74	4.25
2120	310C	45	98	98	98	0.08	0.5					1.7	1.74	0.04
2122	079C	45	98	98	98	0	0	3.1	1.520		0.046	1.7	1.74	0.07
3426	023C	45	98	98	98	0	0	4.1	30.000	1.040	0.320	1.7	1.74	0.53
2123	310C	45	100	0	0	0.3	0.5					1.6	1.54	0.15
3425	273C	45	98	98	98	0	0	5.1	30.000	1.040	0.050	1.7	1.74	0.08
2125	05LC	45	98	98	98	0	0	MC4				1.7	1.74	16.35

Pérdida de carga acumulada del segmento

 Δp_t [Pa] : 5.12

Velocidad en la sección inicial del segmento

 V_m [m/s] : 2.5

Velocidad en la sección final del segmento

 V_v [m/s] : 1.7

Recuperación de presión estática del segmento

 Δp_r [Pa] : 2.02

Pérdida de carga acumulada del segmento, considerando la recuperación

 Δp_{tn} [Pa] : 3.01

Pérdida de carga acumulada neta – total acumulado

 $\Sigma \Delta p_{tn}$ [Pa] : 185.77

Desequilibrio del terminal respecto al camino más desfavorable

 Δp_{Tmr} [Pa] : 10.1**SEGMENTO 554:****Tipo:** Tramo

1 ELEMENTO		2 Caudal Q	3 Diam. D/D _e	4 Ancho A	5 Alto B	6 Long. L	7 $\Delta p/L$	8 Fuente Tab	9 Ashrae X	10 Ashrae Y	11 Coeff. C _o	12 Veloc. V	13 P.Dinám P _v	14 Pérdida $\Delta p_r \circ \Delta p_e$
N. pz.	Cod.	[m³/h]	[mm]	[mm]	[mm]	[m]	[Pa/m]	n.	-	-	-	[m/s]	[Pa]	[Pa]
3414	11RA	135	164	150	150	0	0	ASH6_26M	0.750		0.030	1.7	1.74	0.11
2099	310R	135	164	150	150	0.6	0.32					1.7	1.74	0.19

Pérdida de carga acumulada del segmento

 Δp_t [Pa] : 0.31

Velocidad en la sección inicial del segmento

 V_m [m/s] : 2.5

Velocidad en la sección final del segmento

 V_v [m/s] : 2.5

Recuperación de presión estática del segmento

 Δp_r [Pa] : 0

Pérdida de carga acumulada del segmento, considerando la recuperación

 Δp_{tn} [Pa] : 1.13

Pérdida de carga acumulada neta – total acumulado

 $\Sigma \Delta p_{tn}$ [Pa] : 167.53**SEGMENTO 553:****Tipo:** Terminal TRM-9

1 ELEMENTO		2 Caudal Q	3 Diam. D/D _e	4 Ancho A	5 Alto B	6 Long. L	7 $\Delta p/L$	8 Fuente Tab	9 Ashrae X	10 Ashrae Y	11 Coeff. C _o	12 Veloc. V	13 P.Dinám P _v	14 Pérdida Δp_r o Δp_e
N. pz.	Cod.	[m³/h]	[mm]	[mm]	[mm]	[m]	[Pa/m]	n.	-	-	-	[m/s]	[Pa]	[Pa]
3415	11RA	45	98	98	98	0	0	ASH6_26	0.333	0.995	1.110	1.7	1.74	4.16
2114	310C	45	98	98	98	0.08	0.5					1.7	1.74	0.04
2116	079C	45	98	98	98	0	0	3.1	1.520		0.046	1.7	1.74	0.07
3424	023C	45	98	98	98	0	0	4.1	30.000	1.040	0.320	1.7	1.74	0.53
2117	310C	45	100	0	0	0.3	0.5					1.6	1.54	0.15
3423	273C	45	98	98	98	0	0	5.1	30.000	1.040	0.050	1.7	1.74	0.08
2119	05LC	45	98	98	98	0	0	MC4				1.7	1.74	16.35

Pérdida de carga acumulada del segmento

 Δp_t [Pa] : 5.03

Velocidad en la sección inicial del segmento

 V_m [m/s] : 2.5

Velocidad en la sección final del segmento

 V_v [m/s] : 1.7

Recuperación de presión estática del segmento

 Δp_r [Pa] : 2.02

Pérdida de carga acumulada del segmento, considerando la recuperación

 Δp_{tn} [Pa] : 2.92

Pérdida de carga acumulada neta – total acumulado

 $\Sigma \Delta p_{tn}$ [Pa] : 186.8

Desequilibrio del terminal respecto al camino más desfavorable

 Δp_{Tmr} [Pa] : 9.07**SEGMENTO 552:****Tipo:** Tramo

1 ELEMENTO		2 Caudal Q	3 Diam. D/D _e	4 Ancho A	5 Alto B	6 Long. L	7 $\Delta p/L$	8 Fuente Tab	9 Ashrae X	10 Ashrae Y	11 Coeff. C _o	12 Veloc. V	13 P.Dinám P _v	14 Pérdida Δp_r o Δp_e
N. pz.	Cod.	[m³/h]	[mm]	[mm]	[mm]	[m]	[Pa/m]	n.	-	-	-	[m/s]	[Pa]	[Pa]
3416	11RA	90	164	150	150	0	0	ASH6_26M	0.667		0.047	1.1	0.73	0.18
2100	310R	90	164	150	150	0.6	0.15					1.1	0.73	0.09

Pérdida de carga acumulada del segmento

 Δp_t [Pa] : 0.27

Velocidad en la sección inicial del segmento

 V_m [m/s] : 2.5

Velocidad en la sección final del segmento

 V_v [m/s] : 2.5

Recuperación de presión estática del segmento

 Δp_r [Pa] : 0

Pérdida de carga acumulada del segmento, considerando la recuperación

 Δp_{tn} [Pa] : 0.95

Pérdida de carga acumulada neta – total acumulado

 $\Sigma \Delta p_{tn}$ [Pa] : 168.49**SEGMENTO 551:****Tipo:** Terminal TRM-10

1 ELEMENTO		2 Caudal Q	3 Diam. D/D _e	4 Ancho A	5 Alto B	6 Long. L	7 $\Delta p/L$	8 Fuente Tab	9 Ashrae X	10 Ashrae Y	11 Coeff. C _o	12 Veloc. V	13 P.Dinám P _v	14 Pérdida Δp_r o Δp_e
N. pz.	Cod.	[m³/h]	[mm]	[mm]	[mm]	[m]	[Pa/m]	n.	-	-	-	[m/s]	[Pa]	[Pa]
3417	11RA	45	98	98	98	0	0	ASH6_26	0.500	1.490	1.260	1.7	1.74	4.74
2108	310C	45	98	98	98	0.08	0.5					1.7	1.74	0.04
2110	079C	45	98	98	98	0	0	3.1	1.520		0.046	1.7	1.74	0.07
3422	023C	45	98	98	98	0	0	4.1	30.000	1.040	0.320	1.7	1.74	0.53
2111	310C	45	100	0	0	0.3	0.5					1.6	1.54	0.15
3421	273C	45	98	98	98	0	0	5.1	30.000	1.040	0.050	1.7	1.74	0.08
2113	05LC	45	98	98	98	0	0	MC4				1.7	1.74	16.35

Pérdida de carga acumulada del segmento	Δp_t	[Pa] : 5.61
Velocidad en la sección inicial del segmento	V_m	[m/s] : 2.5
Velocidad en la sección final del segmento	V_v	[m/s] : 1.7
Recuperación de presión estática del segmento	Δp_r	[Pa] : 2.02
Pérdida de carga acumulada del segmento, considerando la recuperación	Δp_{tn}	[Pa] : 3.51
Pérdida de carga acumulada neta – total acumulado	$\Sigma \Delta p_{tn}$	[Pa] : 188.34
Desequilibrio del terminal respecto al camino más desfavorable	Δp_{Tmr}	[Pa] : 7.53

SEGMENTO 550:

Tipo: Terminal TRM-11

1 ELEMENTO		2 Caudal Q	3 Diam. D/D _e	4 Ancho A	5 Alto B	6 Long. L	7 $\Delta p/L$	8 Fuente Tab	9 Ashrae X	10 Ashrae Y	11 Coeff. C _o	12 Veloc. V	13 P.Dinám P _v	14 Pérdida Δp_r o Δp_e
N. pz.	Cod.	[m³/h]	[mm]	[mm]	[mm]	[m]	[Pa/m]	n.	-	-	-	[m/s]	[Pa]	[Pa]
3418	11RA	45	164	150	150	0	0	ASH6_26M	0.500		0.090	0.6	0.22	0.34
2101	310R	45	164	150	150	0.6	0.05					0.6	0.22	0.03
2094	11RAT	45	164	150	150	0	0	2_6	1.000	0.915	2.800	0.6	0.22	4.63
2102	310C	45	98	98	98	0.08	0.5					1.7	1.74	0.04
2104	079C	45	98	98	98	0	0	3.1	1.520		0.046	1.7	1.74	0.07
3420	023C	45	98	98	98	0	0	4.1	30.000	1.040	0.320	1.7	1.74	0.53
2105	310C	45	100	0	0	0.3	0.5					1.6	1.54	0.15
3419	273C	45	98	98	98	0	0	5.1	30.000	1.040	0.050	1.7	1.74	0.08
2107	05LC	45	98	98	98	0	0	MC4				1.7	1.74	16.35

Pérdida de carga acumulada del segmento	Δp_t	[Pa] : 5.87
Velocidad en la sección inicial del segmento	V_m	[m/s] : 2.5
Velocidad en la sección final del segmento	V_v	[m/s] : 1.7
Recuperación de presión estática del segmento	Δp_r	[Pa] : 2.02
Pérdida de carga acumulada del segmento, considerando la recuperación	Δp_{tn}	[Pa] : 4.11
Pérdida de carga acumulada neta – total acumulado	$\Sigma \Delta p_{tn}$	[Pa] : 188.95
Desequilibrio del terminal respecto al camino más desfavorable	Δp_{Tmr}	[Pa] : 6.92

SEGMENTO 548:

Tipo: Terminal TRM-13

1 ELEMENTO		2 Caudal Q	3 Diam. D/D _e	4 Ancho A	5 Alto B	6 Long. L	7 $\Delta p/L$	8 Fuente Tab	9 Ashrae X	10 Ashrae Y	11 Coeff. C _o	12 Veloc. V	13 P.Dinám P _v	14 Pérdida Δp_r o Δp_e
N. pz.	Cod.	[m³/h]	[mm]	[mm]	[mm]	[m]	[Pa/m]	n.	-	-	-	[m/s]	[Pa]	[Pa]
2087	11RA	45	98	98	98	0	0	ASH6_26	0.111	0.332	1.110	1.7	1.74	6
2086	310C	45	98	98	98	0.08	0.5					1.7	1.74	0.04
2088	079C	45	98	98	98	0	0	3.1	1.520		0.046	1.7	1.74	0.07
3404	023C	45	98	98	98	0	0	4.1	30.000	1.040	0.320	1.7	1.74	0.53
2089	310C	45	100	0	0	0.3	0.5					1.6	1.54	0.15
3403	273C	45	98	98	98	0	0	5.1	30.000	1.040	0.050	1.7	1.74	0.08
2091	05LC	45	98	98	98	0	0	MC4				1.7	1.74	16.35

Pérdida de carga acumulada del segmento	Δp_t	[Pa] : 6.87
Velocidad en la sección inicial del segmento	V_m	[m/s] : 3
Velocidad en la sección final del segmento	V_v	[m/s] : 1.7
Recuperación de presión estática del segmento	Δp_r	[Pa] : 3.68
Pérdida de carga acumulada del segmento, considerando la recuperación	Δp_{tn}	[Pa] : 3.11
Pérdida de carga acumulada neta – total acumulado	$\Sigma \Delta p_{tn}$	[Pa] : 179
Desequilibrio del terminal respecto al camino más desfavorable	Δp_{Tmr}	[Pa] : 16.87

DATOS GENERALES**Cliente:****Ciudad:** Alicante**Proyectista:****SISTEMA:****Nº Expediente:****Dibujo n.:****Referencia:****Construcción:****Sistema:****Zona:** CL Salon
de actos retorno**Circuito:****Altitud s.n.m** [m]: 7**Altura** [m]: 0**Temperatura aire** [°C]: 20**Humedad Relativa aire** [%]:**Método de cálculo: DIMENSIONADO DEL LA RED CON EL METODO DE PERDIDA DE CARGA CONSTANTE****DATOS DE CALCULO****Viscosidad del aire** [Pa*s]: 0.01816**Densidad del aire** [kg/m³]: 1.2**Revestimiento interior** :**Espesor** [mm]: 0**Rugosidad pared** [mm]: 0.15**CONDUCTOS Ratio B/A:** 0.5**OPCIONES****Tipo de cálculo elegido:** : 2

- Pérdida de carga distribuida [Pa/m]: 0.8
- Máxima velocidad en los tramos [m/s]: 6
- Máxima velocidad en los ramales [m/s]: 6

Cálculo con dimensiones normalizadas [Si/No]: Si

- Paso para el cálculo con dimensiones no normalizadas [mm]: 0
- Dimensión mínima [mm]: 0
- Dimensión máxima [mm]: 0

LIMITES**Mínimo desequilibrio para justificar el equilibrado y la inserción de compuertas en ramales** (Δp_{mr}) [Pa]: 10**Mínimo desequilibrio para justificar el equilibrado y la inserción de compuertas en terminales** (Δp_{msr}) [Pa]: 10**Máxima pérdida de carga admisible para las compuertas en terminales** (Δp_{MT}) [Pa]: 0**MAXIMA PERDIDA****Presión total para el camino más desfavorable** [Pa]: 197.52**Presión estática para el camino más desfavorable** [Pa]: 215.83**CAMINO MAS DESFAVOR.**

000-001-040-079-118-157-196-235-274-313-352-391-430-449-447-445-443-441-439-437-436

SEGMENTO 1:

Tipo: Tramo

1 ELEMENTO		2 Caudal Q	3 Diam. D/D _e	4 Ancho A	5 Alto B	6 Long. L	7 $\Delta p/L$	8 Fuente Tab	9 Ashrae X	10 Ashrae Y	11 Coeff. C _o	12 Veloc. V	13 P.Dinám P _v	14 Pérdida Δp_r o Δp_c
N. pz.	Cod.	[m³/h]	[mm]	[mm]	[mm]	[m]	[Pa/m]	n.	-	-	-	[m/s]	[Pa]	[Pa]
1	310R	13500	901	850	800	0.36	0.36					5.5	18.21	0.13
2	079R	13500	901	850	800	0	0	3.5	0.941	0.735	0.222	5.5	18.21	4.07
3	310R	13500	901	850	800	1.31	0.36					5.5	18.21	0.47
5	079R	13500	901	850	800	0	0	3.5	0.941	0.735	0.222	5.5	18.21	4.07
6	310R	13500	901	850	800	1.02	0.36					5.5	18.21	0.37
8	079R	13500	901	850	800	0	0	3.5	0.941	0.735	0.494	5.5	18.21	9.04
9	310R	13500	901	850	800	10.59	0.36					5.5	18.21	3.85
11	079R	13500	901	850	800	0	0	3.5	0.941	0.735	0.494	5.5	18.21	10.61
12	310R	13500	901	850	800	2.91	0.36					5.5	18.21	1.06
14	079R	13500	901	850	800	0	0	3.5	0.941	0.735	0.494	5.5	18.21	9.04
15	310R	13500	901	850	800	7.35	0.36					5.5	18.21	2.67
17	079R	13500	901	850	800	0	0	3.5	0.941	0.735	0.153	5.5	18.21	3.29
18	310R	13500	901	850	800	0.9	0.37					5.5	18.21	0.33
20	079R	13500	901	850	800	0	0	3.5	0.941	0.735	0.153	5.5	18.21	3.29
21	310R	13500	901	850	800	0.45	0.36					5.5	18.21	0.16

Pérdida de carga acumulada del segmento

Δp_t [Pa] : 52.45

Velocidad en la sección inicial del segmento

V_m [m/s] : 5.5

Velocidad en la sección final del segmento

V_v [m/s] : 5.2

Recuperación de presión estática del segmento

Δp_r [Pa] : 1.93

Pérdida de carga acumulada del segmento, considerando la recuperación

Δp_{tm} [Pa] : 56.88

Pérdida de carga acumulada neta – total acumulado

$\Sigma \Delta p_{tm}$ [Pa] : 56.88

SEGMENTO 21:

Tipo: Tramo

1 ELEMENTO		2 Caudal Q	3 Diam. D/D _e	4 Ancho A	5 Alto B	6 Long. L	7 $\Delta p/L$	8 Fuente Tab	9 Ashrae X	10 Ashrae Y	11 Coeff. C _o	12 Veloc. V	13 P.Dinám P _v	14 Pérdida Δp_r o Δp_c
N. pz.	Cod.	[m³/h]	[mm]	[mm]	[mm]	[m]	[Pa/m]	n.	-	-	-	[m/s]	[Pa]	[Pa]
2228	3736	450	350	150	800	0	0	MC4	0.033	0.176	23.900	1	0.6	14.31
2274	283R	450	164	150	150	1.23	0	5.1	30.000	5.330	0.040	5.6	18.88	0.74
96	310R	450	164	150	150	1.1	2.95					5.6	18.88	3.25

Pérdida de carga acumulada del segmento

Δp_t [Pa] : 18.31

Velocidad en la sección inicial del segmento

V_m [m/s] : 5.2

Velocidad en la sección final del segmento

V_v [m/s] : 3.3

Recuperación de presión estática del segmento

Δp_r [Pa] : 9.72

Pérdida de carga acumulada del segmento, considerando la recuperación

Δp_{tm} [Pa] : 9.59

Pérdida de carga acumulada neta – total acumulado

$\Sigma \Delta p_{tm}$ [Pa] : 66.47

SEGMENTO 39:

Tipo: Terminal TRM-18

1 ELEMENTO		2 Caudal Q	3 Diam. D/D _e	4 Ancho A	5 Alto B	6 Long. L	7 $\Delta p/L$	8 Fuente Tab	9 Ashrae X	10 Ashrae Y	11 Coeff. C _o	12 Veloc. V	13 P.Dinám P _v	14 Pérdida Δp_r o Δp_c
N. pz.	Cod.	[m³/h]	[mm]	[mm]	[mm]	[m]	[Pa/m]	n.	-	-	-	[m/s]	[Pa]	[Pa]
2272	11RA	45	98	98	98	0	0	ASH6_26	0.100	0.298	1.070	1.7	1.74	7.18
162	310C	45	98	98	98	0.07	0.57					1.7	1.74	0.04

164	079C	45	98	98	98	0	0	3.1	1.520		0.046	1.7	1.74	0.07
2310	273C	45	75	0	0	0.02	0	5.1	30.000	1.710	0.050	2.8	4.72	0.24
165	310C	45	75	0	0	0.3	2.03					2.8	4.72	0.61
2309	023C	45	75	0	0	0.02	0	4.1	30.000	1.710	0.320	2.8	4.72	1.54
167	05LC	45	98	98	98	0	0	MC4				1.7	1.74	18

Pérdida de carga acumulada del segmento	Δp_t	[Pa]	: 9.68
Velocidad en la sección inicial del segmento	V_m	[m/s]	: 3.3
Velocidad en la sección final del segmento	V_v	[m/s]	: 1.7
Recuperación de presión estática del segmento	Δp_r	[Pa]	: 4.82
Pérdida de carga acumulada del segmento, considerando la recuperación	Δp_{tn}	[Pa]	: 5.18
Pérdida de carga acumulada neta – total acumulado	$\Sigma \Delta p_{tn}$	[Pa]	: 89.65
Desequilibrio del terminal respecto al camino más desfavorable	Δp_{Tmr}	[Pa]	: 107.87

SEGMENTO 38:

Tipo: Tramo

1 ELEMENTO		2 Caudal Q	3 Diam. D/D _e	4 Ancho A	5 Alto B	6 Long. L	7 $\Delta p/L$	8 Fuente Tab	9 Ashrae X	10 Ashrae Y	11 Coeff. C _o	12 Veloc. V	13 P.Dinám P _v	14 Pérdida Δp_r o Δp_e
N. pz.	Cod.	[m³/h]	[mm]	[mm]	[mm]	[m]	[Pa/m]	n.	-	-	-	[m/s]	[Pa]	[Pa]
2273	11RA	405	164	150	150	0	0	ASH6_26M	0.900		0.010	5	15.05	0.07
99	310R	405	164	150	150	0.6	2.43					5	15.05	1.46

Pérdida de carga acumulada del segmento	Δp_t	[Pa]	: 1.52
Velocidad en la sección inicial del segmento	V_m	[m/s]	: 3.3
Velocidad en la sección final del segmento	V_v	[m/s]	: 3
Recuperación de presión estática del segmento	Δp_r	[Pa]	: 1.14
Pérdida de carga acumulada del segmento, considerando la recuperación	Δp_{tn}	[Pa]	: 1.76
Pérdida de carga acumulada neta – total acumulado	$\Sigma \Delta p_{tn}$	[Pa]	: 68.23

SEGMENTO 37:

Tipo: Terminal TRM-19

1 ELEMENTO		2 Caudal Q	3 Diam. D/D _e	4 Ancho A	5 Alto B	6 Long. L	7 $\Delta p/L$	8 Fuente Tab	9 Ashrae X	10 Ashrae Y	11 Coeff. C _o	12 Veloc. V	13 P.Dinám P _v	14 Pérdida Δp_r o Δp_e
N. pz.	Cod.	[m³/h]	[mm]	[mm]	[mm]	[m]	[Pa/m]	n.	-	-	-	[m/s]	[Pa]	[Pa]
2275	11RA	45	98	98	98	0	0	ASH6_26	0.111	0.332	1.110	1.7	1.74	6
156	310C	45	98	98	98	0.07	0.57					1.7	1.74	0.04
158	079C	45	98	98	98	0	0	3.1	1.520		0.046	1.7	1.74	0.07
2308	273C	45	75	0	0	0.02	0	5.1	30.000	1.710	0.050	2.8	4.72	0.24
159	310C	45	75	0	0	0.3	2.03					2.8	4.72	0.61
2307	023C	45	75	0	0	0.02	0	4.1	30.000	1.710	0.320	2.8	4.72	1.54
161	05LC	45	98	98	98	0	0	MC4				1.7	1.74	18

Pérdida de carga acumulada del segmento	Δp_t	[Pa]	: 8.51
Velocidad en la sección inicial del segmento	V_m	[m/s]	: 3
Velocidad en la sección final del segmento	V_v	[m/s]	: 1.7
Recuperación de presión estática del segmento	Δp_r	[Pa]	: 3.68
Pérdida de carga acumulada del segmento, considerando la recuperación	Δp_{tn}	[Pa]	: 5.27
Pérdida de carga acumulada neta – total acumulado	$\Sigma \Delta p_{tn}$	[Pa]	: 91.5
Desequilibrio del terminal respecto al camino más desfavorable	Δp_{Tmr}	[Pa]	: 106.02

SEGMENTO 36:

Tipo: Tramo

1 ELEMENTO		2 Caudal Q	3 Diam. D/D _e	4 Ancho A	5 Alto B	6 Long. L	7 $\Delta p/L$	8 Fuente Tab	9 Ashrae X	10 Ashrae Y	11 Coeff. C _o	12 Veloc. V	13 P.Dinám P _v	14 Pérdida Δp_r o Δp_e
N. pz.	Cod.	[m³/h]	[mm]	[mm]	[mm]	[m]	[Pa/m]	n.	-	-	-	[m/s]	[Pa]	[Pa]
2276	11RA	360	164	150	150	0	0	ASH6_26M	0.889		0.011	4.4	11.65	0.06
100	310R	360	164	150	150	0.6	1.95					4.4	11.65	1.17

Pérdida de carga acumulada del segmento	Δp_t	[Pa] : 1.23
Velocidad en la sección inicial del segmento	V_m	[m/s] : 3
Velocidad en la sección final del segmento	V_v	[m/s] : 2.7
Recuperación de presión estática del segmento	Δp_r	[Pa] : 1.03
Pérdida de carga acumulada del segmento, considerando la recuperación	Δp_{tm}	[Pa] : 1.28
Pérdida de carga acumulada neta – total acumulado	$\Sigma \Delta p_{tm}$	[Pa] : 69.51

SEGMENTO 35:

Tipo: Terminal TRM-20

1 ELEMENTO		2 Caudal Q	3 Diam. D/D _e	4 Ancho A	5 Alto B	6 Long. L	7 $\Delta p/L$	8 Fuente Tab	9 Ashrae X	10 Ashrae Y	11 Coeff. C _o	12 Veloc. V	13 P.Dinám P _v	14 Pérdida Δp_r o Δp_e
N. pz.	Cod.	[m³/h]	[mm]	[mm]	[mm]	[m]	[Pa/m]	n.	-	-	-	[m/s]	[Pa]	[Pa]
2277	11RA	45	98	98	98	0	0	ASH6_26	0.125	0.373	1.140	1.7	1.74	4.88
150	310C	45	98	98	98	0.07	0.57					1.7	1.74	0.04
152	079C	45	98	98	98	0	0	3.1	1.520		0.046	1.7	1.74	0.07
2306	273C	45	75	0	0	0.02	0	5.1	30.000	1.710	0.050	2.8	4.72	0.24
153	310C	45	75	0	0	0.3	2.03					2.8	4.72	0.61
2305	023C	45	75	0	0	0.02	0	4.1	30.000	1.710	0.320	2.8	4.72	1.54
155	05LC	45	98	98	98	0	0	MC4				1.7	1.74	18

Pérdida de carga acumulada del segmento	Δp_t	[Pa] : 7.38
Velocidad en la sección inicial del segmento	V_m	[m/s] : 2.7
Velocidad en la sección final del segmento	V_v	[m/s] : 1.7
Recuperación de presión estática del segmento	Δp_r	[Pa] : 2.65
Pérdida de carga acumulada del segmento, considerando la recuperación	Δp_{tm}	[Pa] : 5.28
Pérdida de carga acumulada neta – total acumulado	$\Sigma \Delta p_{tm}$	[Pa] : 92.79
Desequilibrio del terminal respecto al camino más desfavorable	Δp_{Tmr}	[Pa] : 104.73

SEGMENTO 34:

Tipo: Tramo

1 ELEMENTO		2 Caudal Q	3 Diam. D/D _e	4 Ancho A	5 Alto B	6 Long. L	7 $\Delta p/L$	8 Fuente Tab	9 Ashrae X	10 Ashrae Y	11 Coeff. C _o	12 Veloc. V	13 P.Dinám P _v	14 Pérdida Δp_r o Δp_e
N. pz.	Cod.	[m³/h]	[mm]	[mm]	[mm]	[m]	[Pa/m]	n.	-	-	-	[m/s]	[Pa]	[Pa]
2278	11RA	315	164	150	150	0	0	ASH6_26M	0.875		0.012	3.9	9.16	0.05
101	310R	315	164	150	150	0.6	1.52					3.9	9.16	0.91

Pérdida de carga acumulada del segmento	Δp_t	[Pa] : 0.97
Velocidad en la sección inicial del segmento	V_m	[m/s] : 2.7
Velocidad en la sección final del segmento	V_v	[m/s] : 2.3
Recuperación de presión estática del segmento	Δp_r	[Pa] : 1.2
Pérdida de carga acumulada del segmento, considerando la recuperación	Δp_{tm}	[Pa] : 0.87
Pérdida de carga acumulada neta – total acumulado	$\Sigma \Delta p_{tm}$	[Pa] : 70.38

SEGMENTO 33:**Tipo:** Terminal TRM-21

1 ELEMENTO		2 Caudal Q	3 Diam. D/D _e	4 Ancho A	5 Alto B	6 Long. L	7 $\Delta p/L$	8 Fuente Tab	9 Ashrae X	10 Ashrae Y	11 Coeff. C _o	12 Veloc. V	13 P.Dinám P _v	14 Pérdida Δp_r o Δp_c
N. pz.	Cod.	[m³/h]	[mm]	[mm]	[mm]	[m]	[Pa/m]	n.	-	-	-	[m/s]	[Pa]	[Pa]
2279	11RA	45	98	98	98	0	0	ASH6_26	0.143	0.426	1.190	1.7	1.74	3.88
144	310C	45	98	98	98	0.07	0.57					1.7	1.74	0.04
146	079C	45	98	98	98	0	0	3.1	1.520		0.046	1.7	1.74	0.07
2304	273C	45	75	0	0	0.02	0	5.1	30.000	1.710	0.050	2.8	4.72	0.24
147	310C	45	75	0	0	0.3	2.03					2.8	4.72	0.61
2303	023C	45	75	0	0	0.02	0	4.1	30.000	1.710	0.320	2.8	4.72	1.54
149	05LC	45	98	98	98	0	0	MC4				1.7	1.74	18

Pérdida de carga acumulada del segmento

 Δp_t [Pa] : 6.39

Velocidad en la sección inicial del segmento

 V_m [m/s] : 2.3

Velocidad en la sección final del segmento

 V_v [m/s] : 1.7

Recuperación de presión estática del segmento

 Δp_r [Pa] : 1.44

Pérdida de carga acumulada del segmento, considerando la recuperación

 Δp_{tn} [Pa] : 5.29

Pérdida de carga acumulada neta – total acumulado

 $\Sigma \Delta p_{tn}$ [Pa] : 93.68

Desequilibrio del terminal respecto al camino más desfavorable

 Δp_{Tmr} [Pa] : 103.85**SEGMENTO 32:****Tipo:** Tramo

1 ELEMENTO		2 Caudal Q	3 Diam. D/D _e	4 Ancho A	5 Alto B	6 Long. L	7 $\Delta p/L$	8 Fuente Tab	9 Ashrae X	10 Ashrae Y	11 Coeff. C _o	12 Veloc. V	13 P.Dinám P _v	14 Pérdida Δp_r o Δp_c
N. pz.	Cod.	[m³/h]	[mm]	[mm]	[mm]	[m]	[Pa/m]	n.	-	-	-	[m/s]	[Pa]	[Pa]
2280	11RA	270	164	150	150	0	0	ASH6_26M	0.857		0.014	3.3	6.56	0.05
102	310R	270	164	150	150	0.6	1.15					3.3	6.56	0.69

Pérdida de carga acumulada del segmento

 Δp_t [Pa] : 0.73

Velocidad en la sección inicial del segmento

 V_m [m/s] : 2.3

Velocidad en la sección final del segmento

 V_v [m/s] : 2

Recuperación de presión estática del segmento

 Δp_r [Pa] : 0.78

Pérdida de carga acumulada del segmento, considerando la recuperación

 Δp_{tn} [Pa] : 0.53

Pérdida de carga acumulada neta – total acumulado

 $\Sigma \Delta p_{tn}$ [Pa] : 70.92**SEGMENTO 31:****Tipo:** Terminal TRM-22

1 ELEMENTO		2 Caudal Q	3 Diam. D/D _e	4 Ancho A	5 Alto B	6 Long. L	7 $\Delta p/L$	8 Fuente Tab	9 Ashrae X	10 Ashrae Y	11 Coeff. C _o	12 Veloc. V	13 P.Dinám P _v	14 Pérdida Δp_r o Δp_c
N. pz.	Cod.	[m³/h]	[mm]	[mm]	[mm]	[m]	[Pa/m]	n.	-	-	-	[m/s]	[Pa]	[Pa]
2281	11RA	45	98	98	98	0	0	ASH6_26	0.167	0.497	1.280	1.7	1.74	3.08
138	310C	45	98	98	98	0.07	0.57					1.7	1.74	0.04
140	079C	45	98	98	98	0	0	3.1	1.520		0.046	1.7	1.74	0.07
2302	273C	45	75	0	0	0.02	0	5.1	30.000	1.710	0.050	2.8	4.72	0.24
141	310C	45	75	0	0	0.3	2.03					2.8	4.72	0.61
2301	023C	45	75	0	0	0.02	0	4.1	30.000	1.710	0.320	2.8	4.72	1.54
143	05LC	45	98	98	98	0	0	MC4				1.7	1.74	18

Pérdida de carga acumulada del segmento	Δp_t	[Pa]	: 5.59
Velocidad en la sección inicial del segmento	V_m	[m/s]	: 2
Velocidad en la sección final del segmento	V_v	[m/s]	: 1.7
Recuperación de presión estática del segmento	Δp_r	[Pa]	: 0.67
Pérdida de carga acumulada del segmento, considerando la recuperación	Δp_{tn}	[Pa]	: 5.36
Pérdida de carga acumulada neta – total acumulado	$\Sigma \Delta p_{tn}$	[Pa]	: 94.27
Desequilibrio del terminal respecto al camino más desfavorable	Δp_{Tmr}	[Pa]	: 103.25

SEGMENTO 30:

Tipo: Tramo

1 ELEMENTO		2 Caudal Q	3 Diam. D/D _e	4 Ancho A	5 Alto B	6 Long. L	7 $\Delta p/L$	8 Fuente Tab	9 Ashrae X	10 Ashrae Y	11 Coeff. C _o	12 Veloc. V	13 P.Dinám P _v	14 Pérdida $\Delta p_r \circ \Delta p_e$
N. pz.	Cod.	[m³/h]	[mm]	[mm]	[mm]	[m]	[Pa/m]	n.	-	-	-	[m/s]	[Pa]	[Pa]
2282	11RA	225	164	150	150	0	0	ASH6_26M	0.833		0.017	2.8	4.72	0.04
103	310R	225	164	150	150	0.6	0.82					2.8	4.72	0.49

Pérdida de carga acumulada del segmento	Δp_t	[Pa]	: 0.53
Velocidad en la sección inicial del segmento	V_m	[m/s]	: 2
Velocidad en la sección final del segmento	V_v	[m/s]	: 3.1
Recuperación de presión estática del segmento	Δp_r	[Pa]	: -3.38
Pérdida de carga acumulada del segmento, considerando la recuperación	Δp_{tn}	[Pa]	: 4.53
Pérdida de carga acumulada neta – total acumulado	$\Sigma \Delta p_{tn}$	[Pa]	: 75.44

SEGMENTO 29:

Tipo: Terminal TRM-22

1 ELEMENTO		2 Caudal Q	3 Diam. D/D _e	4 Ancho A	5 Alto B	6 Long. L	7 $\Delta p/L$	8 Fuente Tab	9 Ashrae X	10 Ashrae Y	11 Coeff. C _o	12 Veloc. V	13 P.Dinám P _v	14 Pérdida $\Delta p_r \circ \Delta p_e$
N. pz.	Cod.	[m³/h]	[mm]	[mm]	[mm]	[m]	[Pa/m]	n.	-	-	-	[m/s]	[Pa]	[Pa]
2283	11RA	45	98	98	98	0	0	ASH6_26	0.200	0.597	1.090	1.7	1.74	6.41
132	310C	45	98	98	98	0.07	0.57					1.7	1.74	0.04
134	079C	45	98	98	98	0	0	3.1	1.520		0.046	1.7	1.74	0.07
2300	273C	45	75	0	0	0.02	0	5.1	30.000	1.710	0.050	2.8	4.72	0.24
135	310C	45	75	0	0	0.3	2.03					2.8	4.72	0.61
2299	023C	45	75	0	0	0.02	0	4.1	30.000	1.710	0.320	2.8	4.72	1.54
137	05LC	45	98	98	98	0	0	MC4				1.7	1.74	18

Pérdida de carga acumulada del segmento	Δp_t	[Pa]	: 8.91
Velocidad en la sección inicial del segmento	V_m	[m/s]	: 3.1
Velocidad en la sección final del segmento	V_v	[m/s]	: 1.7
Recuperación de presión estática del segmento	Δp_r	[Pa]	: 4.05
Pérdida de carga acumulada del segmento, considerando la recuperación	Δp_{tn}	[Pa]	: 5.21
Pérdida de carga acumulada neta – total acumulado	$\Sigma \Delta p_{tn}$	[Pa]	: 98.66
Desequilibrio del terminal respecto al camino más desfavorable	Δp_{Tmr}	[Pa]	: 98.86

SEGMENTO 28:

Tipo: Tramo

1 ELEMENTO		2 Caudal Q	3 Diam. D/D _e	4 Ancho A	5 Alto B	6 Long. L	7 $\Delta p/L$	8 Fuente Tab	9 Ashrae X	10 Ashrae Y	11 Coeff. C _o	12 Veloc. V	13 P.Dinám P _v	14 Pérdida $\Delta p_r \circ \Delta p_e$
N. pz.	Cod.	[m³/h]	[mm]	[mm]	[mm]	[m]	[Pa/m]	n.	-	-	-	[m/s]	[Pa]	[Pa]

2284	11RA	180	164	150	150	0	0	ASH6_26M	0.800		0.020	2.2	2.91	0.12
104	310R	180	164	150	150	0.6	0.55					2.2	2.91	0.33

Pérdida de carga acumulada del segmento	Δp_t	[Pa]	: 0.45
Velocidad en la sección inicial del segmento	V_m	[m/s]	: 3.1
Velocidad en la sección final del segmento	V_v	[m/s]	: 2.5
Recuperación de presión estática del segmento	Δp_r	[Pa]	: 2.02
Pérdida de carga acumulada del segmento, considerando la recuperación	Δp_{tn}	[Pa]	: -0.35
Pérdida de carga acumulada neta – total acumulado	$\Sigma \Delta p_{tn}$	[Pa]	: 75.09

SEGMENTO 27:

Tipo: Terminal TRM-24

1 ELEMENTO		2 Caudal Q	3 Diam. D/D _e	4 Ancho A	5 Alto B	6 Long. L	7 $\Delta p/L$	8 Fuente Tab	9 Ashrae X	10 Ashrae Y	11 Coeff. C _o	12 Veloc. V	13 P.Dinám P _v	14 Pérdida Δp_r o Δp_c
N. pz.	Cod.	[m³/h]	[mm]	[mm]	[mm]	[m]	[Pa/m]	n.	-	-	-	[m/s]	[Pa]	[Pa]
2285	11RA	45	98	98	98	0	0	ASH6_26	0.250	0.746	1.130	1.7	1.74	4.25
126	310C	45	98	98	98	0.07	0.57					1.7	1.74	0.04
128	079C	45	98	98	98	0	0	3.1	1.520		0.046	1.7	1.74	0.07
2298	273C	45	75	0	0	0.02	0	5.1	30.000	1.710	0.050	2.8	4.72	0.24
129	310C	45	75	0	0	0.3	2.03					2.8	4.72	0.61
2297	023C	45	75	0	0	0.02	0	4.1	30.000	1.710	0.320	2.8	4.72	1.54
131	05LC	45	98	98	98	0	0	MC4				1.7	1.74	18

Pérdida de carga acumulada del segmento	Δp_t	[Pa]	: 6.76
Velocidad en la sección inicial del segmento	V_m	[m/s]	: 2.5
Velocidad en la sección final del segmento	V_v	[m/s]	: 1.7
Recuperación de presión estática del segmento	Δp_r	[Pa]	: 2.02
Pérdida de carga acumulada del segmento, considerando la recuperación	Δp_{tn}	[Pa]	: 5.17
Pérdida de carga acumulada neta – total acumulado	$\Sigma \Delta p_{tn}$	[Pa]	: 98.26
Desequilibrio del terminal respecto al camino más desfavorable	Δp_{Tmr}	[Pa]	: 99.26

SEGMENTO 26:

Tipo: Tramo

1 ELEMENTO		2 Caudal Q	3 Diam. D/D _e	4 Ancho A	5 Alto B	6 Long. L	7 $\Delta p/L$	8 Fuente Tab	9 Ashrae X	10 Ashrae Y	11 Coeff. C _o	12 Veloc. V	13 P.Dinám P _v	14 Pérdida Δp_r o Δp_c
N. pz.	Cod.	[m³/h]	[mm]	[mm]	[mm]	[m]	[Pa/m]	n.	-	-	-	[m/s]	[Pa]	[Pa]
2286	11RA	135	164	150	150	0	0	ASH6_26M	0.750		0.030	1.7	1.74	0.11
105	310R	135	164	150	150	0.6	0.32					1.7	1.74	0.19

Pérdida de carga acumulada del segmento	Δp_t	[Pa]	: 0.31
Velocidad en la sección inicial del segmento	V_m	[m/s]	: 2.5
Velocidad en la sección final del segmento	V_v	[m/s]	: 2.5
Recuperación de presión estática del segmento	Δp_r	[Pa]	: 0
Pérdida de carga acumulada del segmento, considerando la recuperación	Δp_{tn}	[Pa]	: 1.13
Pérdida de carga acumulada neta – total acumulado	$\Sigma \Delta p_{tn}$	[Pa]	: 76.22

SEGMENTO 25:

Tipo: Terminal TRM-25

1	2	3	4	5	6	7	8	9	10	11	12	13	14
---	---	---	---	---	---	---	---	---	----	----	----	----	----

ELEMENTO		Caudal Q	Diam. D/D _e	Ancho A	Alto B	Long. L	Δp/L	Fuente Tab	Ashrae X	Ashrae Y	Coeff. C _o	Veloc. V	P.Dinám P _v	Pérdida Δp _r o Δp _c
N. pz.	Cod.	[m³/h]	[mm]	[mm]	[mm]	[m]	[Pa/m]	n.	-	-	-	[m/s]	[Pa]	[Pa]
2287	11RA	45	98	98	98	0	0	ASH6_26	0.333	0.995	1.110	1.7	1.74	4.16
120	310C	45	98	98	98	0.07	0.57					1.7	1.74	0.04
122	079C	45	98	98	98	0	0	3.1	1.520		0.046	1.7	1.74	0.07
2296	273C	45	75	0	0	0.02	0	5.1	30.000	1.710	0.050	2.8	4.72	0.24
123	310C	45	75	0	0	0.3	2.03					2.8	4.72	0.61
2295	023C	45	75	0	0	0.02	0	4.1	30.000	1.710	0.320	2.8	4.72	1.54
125	05LC	45	98	98	98	0	0	MC4				1.7	1.74	18

Pérdida de carga acumulada del segmento	Δp _t	[Pa]	: 6.66
Velocidad en la sección inicial del segmento	V _m	[m/s]	: 2.5
Velocidad en la sección final del segmento	V _v	[m/s]	: 1.7
Recuperación de presión estática del segmento	Δp _r	[Pa]	: 2.02
Pérdida de carga acumulada del segmento, considerando la recuperación	Δp _{tn}	[Pa]	: 5.08
Pérdida de carga acumulada neta – total acumulado	ΣΔp _{tn}	[Pa]	: 99.3
Desequilibrio del terminal respecto al camino más desfavorable	Δp _{Tmr}	[Pa]	: 98.22

SEGMENTO 24:

Tipo: Tramo

1 ELEMENTO		2 Caudal Q	3 Diam. D/D _e	4 Ancho A	5 Alto B	6 Long. L	7 Δp/L	8 Fuente Tab	9 Ashrae X	10 Ashrae Y	11 Coeff. C _o	12 Veloc. V	13 P.Dinám P _v	14 Pérdida Δp _r o Δp _c
N. pz.	Cod.	[m³/h]	[mm]	[mm]	[mm]	[m]	[Pa/m]	n.	-	-	-	[m/s]	[Pa]	[Pa]
2288	11RA	90	164	150	150	0	0	ASH6_26M	0.667		0.047	1.1	0.73	0.18
106	310R	90	164	150	150	0.6	0.15					1.1	0.73	0.09

Pérdida de carga acumulada del segmento	Δp _t	[Pa]	: 0.27
Velocidad en la sección inicial del segmento	V _m	[m/s]	: 2.5
Velocidad en la sección final del segmento	V _v	[m/s]	: 2.5
Recuperación de presión estática del segmento	Δp _r	[Pa]	: 0
Pérdida de carga acumulada del segmento, considerando la recuperación	Δp _{tn}	[Pa]	: 0.95
Pérdida de carga acumulada neta – total acumulado	ΣΔp _{tn}	[Pa]	: 77.17

SEGMENTO 23:

Tipo: Terminal TRM-26

1 ELEMENTO		2 Caudal Q	3 Diam. D/D _e	4 Ancho A	5 Alto B	6 Long. L	7 Δp/L	8 Fuente Tab	9 Ashrae X	10 Ashrae Y	11 Coeff. C _o	12 Veloc. V	13 P.Dinám P _v	14 Pérdida Δp _r o Δp _c
N. pz.	Cod.	[m³/h]	[mm]	[mm]	[mm]	[m]	[Pa/m]	n.	-	-	-	[m/s]	[Pa]	[Pa]
2289	11RA	45	98	98	98	0	0	ASH6_26	0.500	1.490	1.260	1.7	1.74	4.74
114	310C	45	98	98	98	0.07	0.57					1.7	1.74	0.04
116	079C	45	98	98	98	0	0	3.1	1.520		0.046	1.7	1.74	0.07
2294	273C	45	75	0	0	0.02	0	5.1	30.000	1.710	0.050	2.8	4.72	0.24
117	310C	45	75	0	0	0.3	2.03					2.8	4.72	0.61
2293	023C	45	75	0	0	0.02	0	4.1	30.000	1.710	0.320	2.8	4.72	1.54
119	05LC	45	98	98	98	0	0	MC4				1.7	1.74	18

Pérdida de carga acumulada del segmento	Δp _t	[Pa]	: 7.25
Velocidad en la sección inicial del segmento	V _m	[m/s]	: 2.5
Velocidad en la sección final del segmento	V _v	[m/s]	: 1.7
Recuperación de presión estática del segmento	Δp _r	[Pa]	: 2.02
Pérdida de carga acumulada del segmento, considerando la recuperación	Δp _{tn}	[Pa]	: 5.67

Pérdida de carga acumulada neta – total acumulado
Desequilibrio del terminal respecto al camino más desfavorable

$\Sigma \Delta p_{tn}$ [Pa] : 100.84
 Δp_{Tmr} [Pa] : 96.68

SEGMENTO 22:

Tipo: Terminal TRM-27

1 ELEMENTO		2 Caudal Q	3 Diam. D/D _e	4 Ancho A	5 Alto B	6 Long. L	7 $\Delta p/L$	8 Fuente Tab	9 Ashrae X	10 Ashrae Y	11 Coeff. C _o	12 Veloc. V	13 P.Dinám P _v	14 Pérdida Δp_r o Δp_c
N. pz.	Cod.	[m³/h]	[mm]	[mm]	[mm]	[m]	[Pa/m]	n.	-	-	-	[m/s]	[Pa]	[Pa]
2290	11RA	45	164	150	150	0	0	ASH6_26M	0.500		0.090	0.6	0.22	0.34
107	310R	45	164	150	150	0.6	0.05					0.6	0.22	0.03
98	11RAT	45	164	150	150	0	0	2_6	1.000	0.915	2.800	0.6	0.22	0
108	310C	45	98	98	98	0.07	0.57					1.7	1.74	0.04
110	079C	45	98	98	98	0	0	3.1	1.520		0.046	1.7	1.74	0.07
2292	023C	45	98	98	98	0	0	4.1	30.000	1.040	0.320	1.7	1.74	0.53
111	310C	45	100	0	0	0.3	0.5					1.6	1.54	0.15
2291	273C	45	98	98	98	0	0	5.1	30.000	1.040	0.050	1.7	1.74	0.08
113	05LC	45	98	98	98	0	0	MC4				1.7	1.74	18

Pérdida de carga acumulada del segmento
Velocidad en la sección inicial del segmento
Velocidad en la sección final del segmento
Recuperación de presión estática del segmento
Pérdida de carga acumulada del segmento, considerando la recuperación
Pérdida de carga acumulada neta – total acumulado
Desequilibrio del terminal respecto al camino más desfavorable

Δp_t [Pa] : 1.24
 V_m [m/s] : 2.5
 V_v [m/s] : 1.7
 Δp_r [Pa] : 2.02
 Δp_{tn} [Pa] : -0.55
 $\Sigma \Delta p_{tn}$ [Pa] : 94.62
 Δp_{Tmr} [Pa] : 102.9

SEGMENTO 20:

Tipo: Tramo

1 ELEMENTO		2 Caudal Q	3 Diam. D/D _e	4 Ancho A	5 Alto B	6 Long. L	7 $\Delta p/L$	8 Fuente Tab	9 Ashrae X	10 Ashrae Y	11 Coeff. C _o	12 Veloc. V	13 P.Dinám P _v	14 Pérdida Δp_r o Δp_c
N. pz.	Cod.	[m³/h]	[mm]	[mm]	[mm]	[m]	[Pa/m]	n.	-	-	-	[m/s]	[Pa]	[Pa]
25	3736	450	470	250	800	0	0	MC4	0.033	0.294	78.000	0.6	0.22	17.17
2232	283R	450	210	250	150	1.23	0	5.1	30.000	5.330	0.040	3.3	6.56	0.27
24	310R	450	210	250	150	1.05	0.87					3.3	6.56	0.91

Pérdida de carga acumulada del segmento
Velocidad en la sección inicial del segmento
Velocidad en la sección final del segmento
Recuperación de presión estática del segmento
Pérdida de carga acumulada del segmento, considerando la recuperación
Pérdida de carga acumulada neta – total acumulado

Δp_t [Pa] : 18.34
 V_m [m/s] : 5.2
 V_v [m/s] : 3.3
 Δp_r [Pa] : 9.72
 Δp_{tn} [Pa] : 8.7
 $\Sigma \Delta p_{tn}$ [Pa] : 65.58

SEGMENTO 19:

Tipo: Terminal TRM-46

1 ELEMENTO		2 Caudal Q	3 Diam. D/D _e	4 Ancho A	5 Alto B	6 Long. L	7 $\Delta p/L$	8 Fuente Tab	9 Ashrae X	10 Ashrae Y	11 Coeff. C _o	12 Veloc. V	13 P.Dinám P _v	14 Pérdida Δp_r o Δp_c
N. pz.	Cod.	[m³/h]	[mm]	[mm]	[mm]	[m]	[Pa/m]	n.	-	-	-	[m/s]	[Pa]	[Pa]
2230	11RA	45	98	98	98	0	0	ASH6_26	0.100	0.497	1.070	1.7	1.74	7.18
90	310C	45	98	98	98	0.07	0.57					1.7	1.74	0.04
92	079C	45	98	98	98	0	0	3.1	1.520		0.046	1.7	1.74	0.07
2271	273C	45	75	0	0	0.02	0	5.1	30.000	1.710	0.050	2.8	4.72	0.24

93	310C	45	75	0	0	0.3	2.03					2.8	4.72	0.61
2270	023C	45	75	0	0	0.02	0	4.1	30.000	1.710	0.320	2.8	4.72	1.54
95	05LC	45	98	98	98	0	0	MC4				1.7	1.74	18

Pérdida de carga acumulada del segmento	Δp_t	[Pa]	: 9.68
Velocidad en la sección inicial del segmento	V_m	[m/s]	: 3.3
Velocidad en la sección final del segmento	V_v	[m/s]	: 1.7
Recuperación de presión estática del segmento	Δp_r	[Pa]	: 4.82
Pérdida de carga acumulada del segmento, considerando la recuperación	Δp_{tm}	[Pa]	: 5.18
Pérdida de carga acumulada neta – total acumulado	$\Sigma \Delta p_{tm}$	[Pa]	: 88.76
Desequilibrio del terminal respecto al camino más desfavorable	Δp_{Tmr}	[Pa]	: 108.76

SEGMENTO 18:

Tipo: Tramo

1 ELEMENTO		2 Caudal Q	3 Diam. D/D _e	4 Ancho A	5 Alto B	6 Long. L	7 $\Delta p/L$	8 Fuente Tab	9 Ashrae X	10 Ashrae Y	11 Coeff. C _o	12 Veloc. V	13 P.Dinám P _v	14 Pérdida Δp_r o Δp_e
N. pz.	Cod.	[m³/h]	[mm]	[mm]	[mm]	[m]	[Pa/m]	n.	-	-	-	[m/s]	[Pa]	[Pa]
2231	11RA	405	210	250	150	0	0	ASH6_26M	0.900		0.010	3	5.42	0.07
2235	283R	405	152	200	100	0.19	0	5.1	30.000	1.880	0.050	5.6	18.88	0.95
27	310R	405	152	200	100	0.6	3.53					5.6	18.88	2.12

Pérdida de carga acumulada del segmento	Δp_t	[Pa]	: 3.14
Velocidad en la sección inicial del segmento	V_m	[m/s]	: 3.3
Velocidad en la sección final del segmento	V_v	[m/s]	: 5.6
Recuperación de presión estática del segmento	Δp_r	[Pa]	: -12.32
Pérdida de carga acumulada del segmento, considerando la recuperación	Δp_{tm}	[Pa]	: 15.5
Pérdida de carga acumulada neta – total acumulado	$\Sigma \Delta p_{tm}$	[Pa]	: 81.08

SEGMENTO 17:

Tipo: Terminal TRM-46

1 ELEMENTO		2 Caudal Q	3 Diam. D/D _e	4 Ancho A	5 Alto B	6 Long. L	7 $\Delta p/L$	8 Fuente Tab	9 Ashrae X	10 Ashrae Y	11 Coeff. C _o	12 Veloc. V	13 P.Dinám P _v	14 Pérdida Δp_r o Δp_e
N. pz.	Cod.	[m³/h]	[mm]	[mm]	[mm]	[m]	[Pa/m]	n.	-	-	-	[m/s]	[Pa]	[Pa]
2233	11RA	45	98	98	98	0	0	ASH6_26	0.111	0.295	1.010	1.7	1.74	19.28
84	310C	45	98	98	98	0.07	0.57					1.7	1.74	0.04
86	079C	45	98	98	98	0	0	3.1	1.520		0.046	1.7	1.74	0.07
2269	273C	45	75	0	0	0.02	0	5.1	30.000	1.710	0.050	2.8	4.72	0.24
87	310C	45	75	0	0	0.3	2.03					2.8	4.72	0.61
2268	023C	45	75	0	0	0.02	0	4.1	30.000	1.710	0.320	2.8	4.72	1.54
89	05LC	45	98	98	98	0	0	MC4				1.7	1.74	18

Pérdida de carga acumulada del segmento	Δp_t	[Pa]	: 21.78
Velocidad en la sección inicial del segmento	V_m	[m/s]	: 5.6
Velocidad en la sección final del segmento	V_v	[m/s]	: 1.7
Recuperación de presión estática del segmento	Δp_r	[Pa]	: 17.14
Pérdida de carga acumulada del segmento, considerando la recuperación	Δp_{tm}	[Pa]	: 4.92
Pérdida de carga acumulada neta – total acumulado	$\Sigma \Delta p_{tm}$	[Pa]	: 104
Desequilibrio del terminal respecto al camino más desfavorable	Δp_{Tmr}	[Pa]	: 93.52

SEGMENTO 16:

Tipo: Tramo

1 ELEMENTO		2 Caudal Q	3 Diam. D/D _e	4 Ancho A	5 Alto B	6 Long. L	7 Δp/L	8 Fuente Tab	9 Ashrae X	10 Ashrae Y	11 Coeff. C _o	12 Veloc. V	13 P.Dinám P _v	14 Pérdida Δp _r o Δp _c
N. pz.	Cod.	[m³/h]	[mm]	[mm]	[mm]	[m]	[Pa/m]	n.	-	-	-	[m/s]	[Pa]	[Pa]
2234	11RA	360	152	200	100	0	0	ASH6_26M	0.889		0.011	5	15.05	0.21
28	310R	360	152	200	100	0.6	2.85					5	15.05	1.71

Pérdida de carga acumulada del segmento	Δp _t	[Pa]	: 1.92
Velocidad en la sección inicial del segmento	V _m	[m/s]	: 5.6
Velocidad en la sección final del segmento	V _v	[m/s]	: 5
Recuperación de presión estática del segmento	Δp _r	[Pa]	: 3.83
Pérdida de carga acumulada del segmento, considerando la recuperación	Δp _{tn}	[Pa]	: -2.08
Pérdida de carga acumulada neta – total acumulado	ΣΔp _{tn}	[Pa]	: 79

SEGMENTO 15:

Tipo: Terminal TRM-46

1 ELEMENTO		2 Caudal Q	3 Diam. D/D _e	4 Ancho A	5 Alto B	6 Long. L	7 Δp/L	8 Fuente Tab	9 Ashrae X	10 Ashrae Y	11 Coeff. C _o	12 Veloc. V	13 P.Dinám P _v	14 Pérdida Δp _r o Δp _c
N. pz.	Cod.	[m³/h]	[mm]	[mm]	[mm]	[m]	[Pa/m]	n.	-	-	-	[m/s]	[Pa]	[Pa]
2236	11RA	45	98	98	98	0	0	ASH6_26	0.125	0.332	1.020	1.7	1.74	15.39
78	310C	45	98	98	98	0.07	0.57					1.7	1.74	0.04
80	079C	45	98	98	98	0	0	3.1	1.520		0.046	1.7	1.74	0.07
2267	273C	45	75	0	0	0.02	0	5.1	30.000	1.710	0.050	2.8	4.72	0.24
81	310C	45	75	0	0	0.3	2.03					2.8	4.72	0.61
2266	023C	45	75	0	0	0.02	0	4.1	30.000	1.710	0.320	2.8	4.72	1.54
83	05LC	45	98	98	98	0	0	MC4				1.7	1.74	18

Pérdida de carga acumulada del segmento	Δp _t	[Pa]	: 17.89
Velocidad en la sección inicial del segmento	V _m	[m/s]	: 5
Velocidad en la sección final del segmento	V _v	[m/s]	: 1.7
Recuperación de presión estática del segmento	Δp _r	[Pa]	: 13.31
Pérdida de carga acumulada del segmento, considerando la recuperación	Δp _{tn}	[Pa]	: 5.03
Pérdida de carga acumulada neta – total acumulado	ΣΔp _{tn}	[Pa]	: 102.03
Desequilibrio del terminal respecto al camino más desfavorable	Δp _{Tmr}	[Pa]	: 95.5

SEGMENTO 14:

Tipo: Tramo

1 ELEMENTO		2 Caudal Q	3 Diam. D/D _e	4 Ancho A	5 Alto B	6 Long. L	7 Δp/L	8 Fuente Tab	9 Ashrae X	10 Ashrae Y	11 Coeff. C _o	12 Veloc. V	13 P.Dinám P _v	14 Pérdida Δp _r o Δp _c
N. pz.	Cod.	[m³/h]	[mm]	[mm]	[mm]	[m]	[Pa/m]	n.	-	-	-	[m/s]	[Pa]	[Pa]
2237	11RA	315	152	200	100	0	0	ASH6_26M	0.875		0.012	4.4	11.65	0.19
2240	283R	315	133	150	100	0.14	0	5.1	30.000	1.330	0.050	5.8	20.25	1.02
29	310R	315	133	150	100	0.6	4.32					5.8	20.25	2.59

Pérdida de carga acumulada del segmento	Δp _t	[Pa]	: 3.8
Velocidad en la sección inicial del segmento	V _m	[m/s]	: 5
Velocidad en la sección final del segmento	V _v	[m/s]	: 5.8
Recuperación de presión estática del segmento	Δp _r	[Pa]	: -5.2
Pérdida de carga acumulada del segmento, considerando la recuperación	Δp _{tn}	[Pa]	: 9.24
Pérdida de carga acumulada neta – total acumulado	ΣΔp _{tn}	[Pa]	: 88.24

SEGMENTO 13:

Tipo: Terminal TRM-46

1 ELEMENTO		2 Caudal Q	3 Diam. D/D _e	4 Ancho A	5 Alto B	6 Long. L	7 $\Delta p/L$	8 Fuente Tab	9 Ashrae X	10 Ashrae Y	11 Coeff. C _o	12 Veloc. V	13 P.Dinám P _v	14 Pérdida Δp_r o Δp_c
N. pz.	Cod.	[m³/h]	[mm]	[mm]	[mm]	[m]	[Pa/m]	n.	-	-	-	[m/s]	[Pa]	[Pa]
2238	11RA	45	98	98	98	0	0	ASH6_26	0.143	0.284	1.030	1.7	1.74	21.15
72	310C	45	98	98	98	0.07	0.57					1.7	1.74	0.04
74	079C	45	98	98	98	0	0	3.1	1.520		0.046	1.7	1.74	0.07
2265	273C	45	75	0	0	0.02	0	5.1	30.000	1.710	0.050	2.8	4.72	0.24
75	310C	45	75	0	0	0.3	2.03					2.8	4.72	0.61
2264	023C	45	75	0	0	0.02	0	4.1	30.000	1.710	0.320	2.8	4.72	1.54
77	05LC	45	98	98	98	0	0	MC4				1.7	1.74	18

Pérdida de carga acumulada del segmento

Δp_t [Pa] : 23.65

Velocidad en la sección inicial del segmento

V_m [m/s] : 5.8

Velocidad en la sección final del segmento

V_v [m/s] : 1.7

Recuperación de presión estática del segmento

Δp_r [Pa] : 18.51

Pérdida de carga acumulada del segmento, considerando la recuperación

Δp_{tm} [Pa] : 5.35

Pérdida de carga acumulada neta – total acumulado

$\Sigma \Delta p_{tm}$ [Pa] : 111.59

Desequilibrio del terminal respecto al camino más desfavorable

Δp_{Tmr} [Pa] : 85.93

SEGMENTO 12:

Tipo: Tramo

1 ELEMENTO		2 Caudal Q	3 Diam. D/D _e	4 Ancho A	5 Alto B	6 Long. L	7 $\Delta p/L$	8 Fuente Tab	9 Ashrae X	10 Ashrae Y	11 Coeff. C _o	12 Veloc. V	13 P.Dinám P _v	14 Pérdida Δp_r o Δp_c
N. pz.	Cod.	[m³/h]	[mm]	[mm]	[mm]	[m]	[Pa/m]	n.	-	-	-	[m/s]	[Pa]	[Pa]
2239	11RA	270	133	150	100	0	0	ASH6_26M	0.857		0.014	5	15.05	0.29
30	310R	270	133	150	100	0.6	3.23					5	15.05	1.94

Pérdida de carga acumulada del segmento

Δp_t [Pa] : 2.23

Velocidad en la sección inicial del segmento

V_m [m/s] : 5.8

Velocidad en la sección final del segmento

V_v [m/s] : 5

Recuperación de presión estática del segmento

Δp_r [Pa] : 5.2

Pérdida de carga acumulada del segmento, considerando la recuperación

Δp_{tm} [Pa] : -3.2

Pérdida de carga acumulada neta – total acumulado

$\Sigma \Delta p_{tm}$ [Pa] : 85.04

SEGMENTO 11:

Tipo: Terminal TRM-46

1 ELEMENTO		2 Caudal Q	3 Diam. D/D _e	4 Ancho A	5 Alto B	6 Long. L	7 $\Delta p/L$	8 Fuente Tab	9 Ashrae X	10 Ashrae Y	11 Coeff. C _o	12 Veloc. V	13 P.Dinám P _v	14 Pérdida Δp_r o Δp_c
N. pz.	Cod.	[m³/h]	[mm]	[mm]	[mm]	[m]	[Pa/m]	n.	-	-	-	[m/s]	[Pa]	[Pa]
2241	11RA	45	98	98	98	0	0	ASH6_26	0.167	0.332	1.050	1.7	1.74	15.79
66	310C	45	98	98	98	0.07	0.57					1.7	1.74	0.04
68	079C	45	98	98	98	0	0	3.1	1.520		0.046	1.7	1.74	0.07
2263	273C	45	75	0	0	0.02	0	5.1	30.000	1.710	0.050	2.8	4.72	0.24
69	310C	45	75	0	0	0.3	2.03					2.8	4.72	0.61
2262	023C	45	75	0	0	0.02	0	4.1	30.000	1.710	0.320	2.8	4.72	1.54
71	05LC	45	98	98	98	0	0	MC4				1.7	1.74	18

Pérdida de carga acumulada del segmento	Δp_t	[Pa]	: 18.29
Velocidad en la sección inicial del segmento	V_m	[m/s]	: 5
Velocidad en la sección final del segmento	V_v	[m/s]	: 1.7
Recuperación de presión estática del segmento	Δp_r	[Pa]	: 13.31
Pérdida de carga acumulada del segmento, considerando la recuperación	Δp_{tn}	[Pa]	: 5.42
Pérdida de carga acumulada neta – total acumulado	$\Sigma \Delta p_{tn}$	[Pa]	: 108.46
Desequilibrio del terminal respecto al camino más desfavorable	Δp_{Tmr}	[Pa]	: 89.06

SEGMENTO 10:

Tipo: Tramo

1 ELEMENTO		2 Caudal Q	3 Diam. D/D _e	4 Ancho A	5 Alto B	6 Long. L	7 $\Delta p/L$	8 Fuente Tab	9 Ashrae X	10 Ashrae Y	11 Coeff. C _o	12 Veloc. V	13 P.Dinám P _v	14 Pérdida Δp_r o Δp_e
N. pz.	Cod.	[m³/h]	[mm]	[mm]	[mm]	[m]	[Pa/m]	n.	-	-	-	[m/s]	[Pa]	[Pa]
2242	11RA	225	133	150	100	0	0	ASH6_26M	0.833		0.017	4.2	10.62	0.25
31	310R	225	133	150	100	0.6	2.3					4.2	10.62	1.38

Pérdida de carga acumulada del segmento	Δp_t	[Pa]	: 1.64
Velocidad en la sección inicial del segmento	V_m	[m/s]	: 5
Velocidad en la sección final del segmento	V_v	[m/s]	: 4.2
Recuperación de presión estática del segmento	Δp_r	[Pa]	: 4.43
Pérdida de carga acumulada del segmento, considerando la recuperación	Δp_{tn}	[Pa]	: -2.96
Pérdida de carga acumulada neta – total acumulado	$\Sigma \Delta p_{tn}$	[Pa]	: 82.07

SEGMENTO 9:

Tipo: Terminal TRM-46

1 ELEMENTO		2 Caudal Q	3 Diam. D/D _e	4 Ancho A	5 Alto B	6 Long. L	7 $\Delta p/L$	8 Fuente Tab	9 Ashrae X	10 Ashrae Y	11 Coeff. C _o	12 Veloc. V	13 P.Dinám P _v	14 Pérdida Δp_r o Δp_e
N. pz.	Cod.	[m³/h]	[mm]	[mm]	[mm]	[m]	[Pa/m]	n.	-	-	-	[m/s]	[Pa]	[Pa]
2243	11RA	45	98	98	98	0	0	ASH6_26	0.200	0.398	1.070	1.7	1.74	11.18
60	310C	45	98	98	98	0.07	0.57					1.7	1.74	0.04
62	079C	45	98	98	98	0	0	3.1	1.520		0.046	1.7	1.74	0.07
2261	273C	45	75	0	0	0.02	0	5.1	30.000	1.710	0.050	2.8	4.72	0.24
63	310C	45	75	0	0	0.3	2.03					2.8	4.72	0.61
2260	023C	45	75	0	0	0.02	0	4.1	30.000	1.710	0.320	2.8	4.72	1.54
65	05LC	45	98	98	98	0	0	MC4				1.7	1.74	18

Pérdida de carga acumulada del segmento	Δp_t	[Pa]	: 13.69
Velocidad en la sección inicial del segmento	V_m	[m/s]	: 4.2
Velocidad en la sección final del segmento	V_v	[m/s]	: 1.7
Recuperación de presión estática del segmento	Δp_r	[Pa]	: 8.88
Pérdida de carga acumulada del segmento, considerando la recuperación	Δp_{tn}	[Pa]	: 5.42
Pérdida de carga acumulada neta – total acumulado	$\Sigma \Delta p_{tn}$	[Pa]	: 105.49
Desequilibrio del terminal respecto al camino más desfavorable	Δp_{Tmr}	[Pa]	: 92.03

SEGMENTO 8:

Tipo: Tramo

1 ELEMENTO		2 Caudal Q	3 Diam. D/D _e	4 Ancho A	5 Alto B	6 Long. L	7 $\Delta p/L$	8 Fuente Tab	9 Ashrae X	10 Ashrae Y	11 Coeff. C _o	12 Veloc. V	13 P.Dinám P _v	14 Pérdida Δp_r o Δp_e
---------------	--	------------------	--------------------------------	-----------------	----------------	-----------------	-------------------	--------------------	------------------	-------------------	--------------------------------	-------------------	---------------------------------	--

N. pz.	Cod.	[m³/h]	[mm]	[mm]	[mm]	[m]	[Pa/m]	n.	-	-	-	[m/s]	[Pa]	[Pa]
2244	11RA	180	133	150	100	0	0	ASH6_26M	0.800		0.020	3.3	6.56	0.21
2247	283R	180	109	100	100	0.14	0	5.1	30.000	1.500	0.050	5	15.05	0.75
32	310R	180	109	100	100	0.6	4.08					5	15.05	2.45

Pérdida de carga acumulada del segmento	Δp_t	[Pa]	: 3.41
Velocidad en la sección inicial del segmento	V_m	[m/s]	: 4.2
Velocidad en la sección final del segmento	V_v	[m/s]	: 5
Recuperación de presión estática del segmento	Δp_r	[Pa]	: -4.43
Pérdida de carga acumulada del segmento, considerando la recuperación	Δp_{tm}	[Pa]	: 8.01
Pérdida de carga acumulada neta – total acumulado	$\Sigma \Delta p_{tm}$	[Pa]	: 90.09

SEGMENTO 7:

Tipo: Terminal TRM-46

1 ELEMENTO		2 Caudal Q	3 Diam. D/D _e	4 Ancho A	5 Alto B	6 Long. L	7 $\Delta p/L$	8 Fuente Tab	9 Ashrae X	10 Ashrae Y	11 Coeff. C _o	12 Veloc. V	13 P.Dinám P _v	14 Pérdida Δp_r o Δp_e
N. pz.	Cod.	[m³/h]	[mm]	[mm]	[mm]	[m]	[Pa/m]	n.	-	-	-	[m/s]	[Pa]	[Pa]
2245	11RA	45	98	98	98	0	0	ASH6_26	0.250	0.332	1.080	1.7	1.74	16.18
54	310C	45	98	98	98	0.07	0.57					1.7	1.74	0.04
56	079C	45	98	98	98	0	0	3.1	1.520		0.046	1.7	1.74	0.07
2259	273C	45	75	0	0	0.02	0	5.1	30.000	1.710	0.050	2.8	4.72	0.24
57	310C	45	75	0	0	0.3	2.03					2.8	4.72	0.61
2258	023C	45	75	0	0	0.02	0	4.1	30.000	1.710	0.320	2.8	4.72	1.54
59	05LC	45	98	98	98	0	0	MC4				1.7	1.74	18

Pérdida de carga acumulada del segmento	Δp_t	[Pa]	: 18.68
Velocidad en la sección inicial del segmento	V_m	[m/s]	: 5
Velocidad en la sección final del segmento	V_v	[m/s]	: 1.7
Recuperación de presión estática del segmento	Δp_r	[Pa]	: 13.31
Pérdida de carga acumulada del segmento, considerando la recuperación	Δp_{tm}	[Pa]	: 5.82
Pérdida de carga acumulada neta – total acumulado	$\Sigma \Delta p_{tm}$	[Pa]	: 113.9
Desequilibrio del terminal respecto al camino más desfavorable	Δp_{Tmr}	[Pa]	: 83.62

SEGMENTO 6:

Tipo: Tramo

1 ELEMENTO		2 Caudal Q	3 Diam. D/D _e	4 Ancho A	5 Alto B	6 Long. L	7 $\Delta p/L$	8 Fuente Tab	9 Ashrae X	10 Ashrae Y	11 Coeff. C _o	12 Veloc. V	13 P.Dinám P _v	14 Pérdida Δp_r o Δp_e
N. pz.	Cod.	[m³/h]	[mm]	[mm]	[mm]	[m]	[Pa/m]	n.	-	-	-	[m/s]	[Pa]	[Pa]
2246	11RA	135	109	100	100	0	0	ASH6_26M	0.750		0.030	3.7	8.24	0.45
33	310R	135	109	100	100	0.6	2.4					3.7	8.24	1.44

Pérdida de carga acumulada del segmento	Δp_t	[Pa]	: 1.89
Velocidad en la sección inicial del segmento	V_m	[m/s]	: 5
Velocidad en la sección final del segmento	V_v	[m/s]	: 3.7
Recuperación de presión estática del segmento	Δp_r	[Pa]	: 6.81
Pérdida de carga acumulada del segmento, considerando la recuperación	Δp_{tm}	[Pa]	: -4.69
Pérdida de carga acumulada neta – total acumulado	$\Sigma \Delta p_{tm}$	[Pa]	: 85.39

SEGMENTO 5:

Tipo: Terminal TRM-46

1 ELEMENTO		2 Caudal Q	3 Diam. D/D _e	4 Ancho A	5 Alto B	6 Long. L	7 $\Delta p/L$	8 Fuente Tab	9 Ashrae X	10 Ashrae Y	11 Coeff. C _o	12 Veloc. V	13 P.Dinám P _v	14 Pérdida Δp_r o Δp_e
N. pz.	Cod.	[m³/h]	[mm]	[mm]	[mm]	[m]	[Pa/m]	n.	-	-	-	[m/s]	[Pa]	[Pa]
2248	11RA	45	98	98	98	0	0	ASH6_26	0.333	0.442	1.100	1.7	1.74	9.28
48	310C	45	98	98	98	0.07	0.57					1.7	1.74	0.04
50	079C	45	98	98	98	0	0	3.1	1.520		0.046	1.7	1.74	0.07
2257	273C	45	75	0	0	0.02	0	5.1	30.000	1.710	0.050	2.8	4.72	0.24
51	310C	45	75	0	0	0.3	2.03					2.8	4.72	0.61
2256	023C	45	75	0	0	0.02	0	4.1	30.000	1.710	0.320	2.8	4.72	1.54
53	05LC	45	98	98	98	0	0	MC4				1.7	1.74	18

Pérdida de carga acumulada del segmento	Δp_t	[Pa]	: 11.79
Velocidad en la sección inicial del segmento	V_m	[m/s]	: 3.7
Velocidad en la sección final del segmento	V_v	[m/s]	: 1.7
Recuperación de presión estática del segmento	Δp_r	[Pa]	: 6.5
Pérdida de carga acumulada del segmento, considerando la recuperación	Δp_{tm}	[Pa]	: 5.51
Pérdida de carga acumulada neta – total acumulado	$\Sigma \Delta p_{tm}$	[Pa]	: 108.9
Desequilibrio del terminal respecto al camino más desfavorable	Δp_{Tmr}	[Pa]	: 88.62

SEGMENTO 4:

Tipo: Tramo

1 ELEMENTO		2 Caudal Q	3 Diam. D/D _e	4 Ancho A	5 Alto B	6 Long. L	7 $\Delta p/L$	8 Fuente Tab	9 Ashrae X	10 Ashrae Y	11 Coeff. C _o	12 Veloc. V	13 P.Dinám P _v	14 Pérdida Δp_r o Δp_e
N. pz.	Cod.	[m³/h]	[mm]	[mm]	[mm]	[m]	[Pa/m]	n.	-	-	-	[m/s]	[Pa]	[Pa]
2249	11RA	90	109	100	100	0	0	ASH6_26M	0.667		0.047	2.5	3.76	0.4
34	310R	90	109	100	100	0.6	1.13					2.5	3.76	0.68

Pérdida de carga acumulada del segmento	Δp_t	[Pa]	: 1.07
Velocidad en la sección inicial del segmento	V_m	[m/s]	: 3.7
Velocidad en la sección final del segmento	V_v	[m/s]	: 2.5
Recuperación de presión estática del segmento	Δp_r	[Pa]	: 4.48
Pérdida de carga acumulada del segmento, considerando la recuperación	Δp_{tm}	[Pa]	: -3.63
Pérdida de carga acumulada neta – total acumulado	$\Sigma \Delta p_{tm}$	[Pa]	: 81.76

SEGMENTO 3:

Tipo: Terminal TRM-46

1 ELEMENTO		2 Caudal Q	3 Diam. D/D _e	4 Ancho A	5 Alto B	6 Long. L	7 $\Delta p/L$	8 Fuente Tab	9 Ashrae X	10 Ashrae Y	11 Coeff. C _o	12 Veloc. V	13 P.Dinám P _v	14 Pérdida Δp_r o Δp_e
N. pz.	Cod.	[m³/h]	[mm]	[mm]	[mm]	[m]	[Pa/m]	n.	-	-	-	[m/s]	[Pa]	[Pa]
2250	11RA	45	98	98	98	0	0	ASH6_26	0.500	0.663	1.260	1.7	1.74	4.74
42	310C	45	98	98	98	0.07	0.57					1.7	1.74	0.04
44	079C	45	98	98	98	0	0	3.1	1.520		0.046	1.7	1.74	0.07
2255	273C	45	75	0	0	0.02	0	5.1	30.000	1.710	0.050	2.8	4.72	0.24
45	310C	45	75	0	0	0.3	2.03					2.8	4.72	0.61
2254	023C	45	75	0	0	0.02	0	4.1	30.000	1.710	0.320	2.8	4.72	1.54
47	05LC	45	98	98	98	0	0	MC4				1.7	1.74	18

Pérdida de carga acumulada del segmento	Δp_t	[Pa]	: 7.25
Velocidad en la sección inicial del segmento	V_m	[m/s]	: 2.5
Velocidad en la sección final del segmento	V_v	[m/s]	: 1.7

Recuperación de presión estática del segmento	Δp_r	[Pa]	: 2.02
Pérdida de carga acumulada del segmento, considerando la recuperación	Δp_{tm}	[Pa]	: 5.67
Pérdida de carga acumulada neta – total acumulado	$\Sigma \Delta p_{tm}$	[Pa]	: 105.43
Desequilibrio del terminal respecto al camino más desfavorable	Δp_{Tmr}	[Pa]	: 92.09

SEGMENTO 2:

Tipo: Terminal TRM-46

1 ELEMENTO		2 Caudal Q	3 Diam. D/D _e	4 Ancho A	5 Alto B	6 Long. L	7 $\Delta p/L$	8 Fuente Tab	9 Ashrae X	10 Ashrae Y	11 Coeff. C _o	12 Veloc. V	13 P.Dinám P _v	14 Pérdida Δp_r o Δp_e
N. pz.	Cod.	[m³/h]	[mm]	[mm]	[mm]	[m]	[Pa/m]	n.	-	-	-	[m/s]	[Pa]	[Pa]
2251	11RA	45	109	100	100	0	0	ASH6_26M	0.500		0.090	1.2	0.87	0.34
35	310R	45	109	100	100	0.6	0.32					1.2	0.87	0.19
26	11RAT	45	109	100	100	0	0	2_6	1.000	0.917	2.800	1.2	0.87	4.63
36	310C	45	98	98	98	0.07	0.57					1.7	1.74	0.04
38	079C	45	98	98	98	0	0	3.1	1.520		0.046	1.7	1.74	0.07
2253	023C	45	98	98	98	0	0	4.1	30.000	1.040	0.320	1.7	1.74	0.53
39	310C	45	100	0	0	0.3	0.5					1.6	1.54	0.15
2252	273C	45	98	98	98	0	0	5.1	30.000	1.040	0.050	1.7	1.74	0.08
41	05LC	45	98	98	98	0	0	MC4				1.7	1.74	18

Pérdida de carga acumulada del segmento	Δp_t	[Pa]	: 6.04
Velocidad en la sección inicial del segmento	V_m	[m/s]	: 2.5
Velocidad en la sección final del segmento	V_v	[m/s]	: 1.7
Recuperación de presión estática del segmento	Δp_r	[Pa]	: 2.02
Pérdida de carga acumulada del segmento, considerando la recuperación	Δp_{tm}	[Pa]	: 3.93
Pérdida de carga acumulada neta – total acumulado	$\Sigma \Delta p_{tm}$	[Pa]	: 103.69
Desequilibrio del terminal respecto al camino más desfavorable	Δp_{Tmr}	[Pa]	: 93.83

SEGMENTO 40:

Tipo: Tramo

1 ELEMENTO		2 Caudal Q	3 Diam. D/D _e	4 Ancho A	5 Alto B	6 Long. L	7 $\Delta p/L$	8 Fuente Tab	9 Ashrae X	10 Ashrae Y	11 Coeff. C _o	12 Veloc. V	13 P.Dinám P _v	14 Pérdida Δp_r o Δp_e
N. pz.	Cod.	[m³/h]	[mm]	[mm]	[mm]	[m]	[Pa/m]	n.	-	-	-	[m/s]	[Pa]	[Pa]
2229	3736	12600	901	850	800	0	0	MC4	0.933		0.091	5.1	15.66	1.42
2313	283R	12600	872	850	750	0.19	0	5.1	30.000	1.070	0.050	5.5	18.21	8.51
168	310R	12600	872	850	750	1	0.38					5.5	18.21	0.38

Pérdida de carga acumulada del segmento	Δp_t	[Pa]	: 10.3
Velocidad en la sección inicial del segmento	V_m	[m/s]	: 5.2
Velocidad en la sección final del segmento	V_v	[m/s]	: 4.9
Recuperación de presión estática del segmento	Δp_r	[Pa]	: 1.82
Pérdida de carga acumulada del segmento, considerando la recuperación	Δp_{tm}	[Pa]	: 9.1
Pérdida de carga acumulada neta – total acumulado	$\Sigma \Delta p_{tm}$	[Pa]	: 65.98

SEGMENTO 60:

Tipo: Tramo

1 ELEMENTO		2 Caudal Q	3 Diam. D/D _e	4 Ancho A	5 Alto B	6 Long. L	7 $\Delta p/L$	8 Fuente Tab	9 Ashrae X	10 Ashrae Y	11 Coeff. C _o	12 Veloc. V	13 P.Dinám P _v	14 Pérdida Δp_r o Δp_e
N. pz.	Cod.	[m³/h]	[mm]	[mm]	[mm]	[m]	[Pa/m]	n.	-	-	-	[m/s]	[Pa]	[Pa]
2311	3736	450	341	150	750	0	0	MC4	0.036	0.176	16.200	1.1	0.73	11.85
2358	283R	450	164	150	150	1.14	0	5.1	30.000	5.000	0.040	5.6	18.88	0.74

243	310R	450	164	150	150	1.1	2.95					5.6	18.88	3.25
-----	------	-----	-----	-----	-----	-----	------	--	--	--	--	-----	-------	------

Pérdida de carga acumulada del segmento	Δp_t	[Pa]	: 15.85
Velocidad en la sección inicial del segmento	V_m	[m/s]	: 4.9
Velocidad en la sección final del segmento	V_v	[m/s]	: 3.3
Recuperación de presión estática del segmento	Δp_r	[Pa]	: 7.9
Pérdida de carga acumulada del segmento, considerando la recuperación	Δp_{tm}	[Pa]	: 9.25
Pérdida de carga acumulada neta – total acumulado	$\Sigma \Delta p_{tm}$	[Pa]	: 75.22

SEGMENTO 78:

Tipo: Terminal TRM-18

1 ELEMENTO		2 Caudal Q	3 Diam. D/D _e	4 Ancho A	5 Alto B	6 Long. L	7 $\Delta p_r/L$	8 Fuente Tab	9 Ashrae X	10 Ashrae Y	11 Coeff. C _o	12 Veloc. V	13 P.Dinám P _v	14 Pérdida Δp_r o Δp_e
N. pz.	Cod.	[m³/h]	[mm]	[mm]	[mm]	[m]	[Pa/m]	n.	-	-	-	[m/s]	[Pa]	[Pa]
2356	11RA	45	98	98	98	0	0	ASH6_26	0.100	0.298	1.070	1.7	1.74	7.18
309	310C	45	98	98	98	0.07	0.57					1.7	1.74	0.04
311	079C	45	98	98	98	0	0	3.1	1.520		0.046	1.7	1.74	0.07
2394	273C	45	75	0	0	0.02	0	5.1	30.000	1.710	0.050	2.8	4.72	0.24
312	310C	45	75	0	0	0.3	2.03					2.8	4.72	0.61
2393	023C	45	75	0	0	0.02	0	4.1	30.000	1.710	0.320	2.8	4.72	1.54
314	05LC	45	98	98	98	0	0	MC4				1.7	1.74	18

Pérdida de carga acumulada del segmento	Δp_t	[Pa]	: 9.68
Velocidad en la sección inicial del segmento	V_m	[m/s]	: 3.3
Velocidad en la sección final del segmento	V_v	[m/s]	: 1.7
Recuperación de presión estática del segmento	Δp_r	[Pa]	: 4.82
Pérdida de carga acumulada del segmento, considerando la recuperación	Δp_{tm}	[Pa]	: 5.18
Pérdida de carga acumulada neta – total acumulado	$\Sigma \Delta p_{tm}$	[Pa]	: 98.4
Desequilibrio del terminal respecto al camino más desfavorable	Δp_{Tmr}	[Pa]	: 99.12

SEGMENTO 77:

Tipo: Tramo

1 ELEMENTO		2 Caudal Q	3 Diam. D/D _e	4 Ancho A	5 Alto B	6 Long. L	7 $\Delta p_r/L$	8 Fuente Tab	9 Ashrae X	10 Ashrae Y	11 Coeff. C _o	12 Veloc. V	13 P.Dinám P _v	14 Pérdida Δp_r o Δp_e
N. pz.	Cod.	[m³/h]	[mm]	[mm]	[mm]	[m]	[Pa/m]	n.	-	-	-	[m/s]	[Pa]	[Pa]
2357	11RA	405	164	150	150	0	0	ASH6_26M	0.900		0.010	5	15.05	0.07
246	310R	405	164	150	150	0.6	2.43					5	15.05	1.46

Pérdida de carga acumulada del segmento	Δp_t	[Pa]	: 1.52
Velocidad en la sección inicial del segmento	V_m	[m/s]	: 3.3
Velocidad en la sección final del segmento	V_v	[m/s]	: 3
Recuperación de presión estática del segmento	Δp_r	[Pa]	: 1.14
Pérdida de carga acumulada del segmento, considerando la recuperación	Δp_{tm}	[Pa]	: 1.76
Pérdida de carga acumulada neta – total acumulado	$\Sigma \Delta p_{tm}$	[Pa]	: 76.98

SEGMENTO 76:

Tipo: Terminal TRM-19

1 ELEMENTO		2 Caudal Q	3 Diam. D/D _e	4 Ancho A	5 Alto B	6 Long. L	7 $\Delta p_r/L$	8 Fuente Tab	9 Ashrae X	10 Ashrae Y	11 Coeff. C _o	12 Veloc. V	13 P.Dinám P _v	14 Pérdida Δp_r o Δp_e
---------------	--	------------------	--------------------------------	-----------------	----------------	-----------------	---------------------	--------------------	------------------	-------------------	--------------------------------	-------------------	---------------------------------	--

N. pz.	Cod.	[m³/h]	[mm]	[mm]	[mm]	[m]	[Pa/m]	n.	-	-	-	[m/s]	[Pa]	[Pa]
2359	11RA	45	98	98	98	0	0	ASH6_26	0.111	0.332	1.110	1.7	1.74	6
303	310C	45	98	98	98	0.07	0.57					1.7	1.74	0.04
305	079C	45	98	98	98	0	0	3.1	1.520		0.046	1.7	1.74	0.07
2392	273C	45	75	0	0	0.02	0	5.1	30.000	1.710	0.050	2.8	4.72	0.24
306	310C	45	75	0	0	0.3	2.03					2.8	4.72	0.61
2391	023C	45	75	0	0	0.02	0	4.1	30.000	1.710	0.320	2.8	4.72	1.54
308	05LC	45	98	98	98	0	0	MC4				1.7	1.74	18

Pérdida de carga acumulada del segmento	Δp_t	[Pa] : 8.51
Velocidad en la sección inicial del segmento	V_m	[m/s] : 3
Velocidad en la sección final del segmento	V_v	[m/s] : 1.7
Recuperación de presión estática del segmento	Δp_r	[Pa] : 3.68
Pérdida de carga acumulada del segmento, considerando la recuperación	Δp_{tn}	[Pa] : 5.27
Pérdida de carga acumulada neta – total acumulado	$\Sigma \Delta p_{tn}$	[Pa] : 100.25
Desequilibrio del terminal respecto al camino más desfavorable	Δp_{Tmr}	[Pa] : 97.27

SEGMENTO 75:

Tipo: Tramo

1 ELEMENTO		2 Caudal Q	3 Diam. D/D _e	4 Ancho A	5 Alto B	6 Long. L	7 $\Delta p/L$	8 Fuente Tab	9 Ashrae X	10 Ashrae Y	11 Coeff. C _o	12 Veloc. V	13 P.Dinám P _v	14 Pérdida Δp_r o Δp_c
N. pz.	Cod.	[m³/h]	[mm]	[mm]	[mm]	[m]	[Pa/m]	n.	-	-	-	[m/s]	[Pa]	[Pa]
2360	11RA	360	164	150	150	0	0	ASH6_26M	0.889		0.011	4.4	11.65	0.06
247	310R	360	164	150	150	0.6	1.95					4.4	11.65	1.17

Pérdida de carga acumulada del segmento	Δp_t	[Pa] : 1.23
Velocidad en la sección inicial del segmento	V_m	[m/s] : 3
Velocidad en la sección final del segmento	V_v	[m/s] : 2.7
Recuperación de presión estática del segmento	Δp_r	[Pa] : 1.03
Pérdida de carga acumulada del segmento, considerando la recuperación	Δp_{tn}	[Pa] : 1.28
Pérdida de carga acumulada neta – total acumulado	$\Sigma \Delta p_{tn}$	[Pa] : 78.26

SEGMENTO 74:

Tipo: Terminal TRM-20

1 ELEMENTO		2 Caudal Q	3 Diam. D/D _e	4 Ancho A	5 Alto B	6 Long. L	7 $\Delta p/L$	8 Fuente Tab	9 Ashrae X	10 Ashrae Y	11 Coeff. C _o	12 Veloc. V	13 P.Dinám P _v	14 Pérdida Δp_r o Δp_c
N. pz.	Cod.	[m³/h]	[mm]	[mm]	[mm]	[m]	[Pa/m]	n.	-	-	-	[m/s]	[Pa]	[Pa]
2361	11RA	45	98	98	98	0	0	ASH6_26	0.125	0.373	1.140	1.7	1.74	4.88
297	310C	45	98	98	98	0.07	0.57					1.7	1.74	0.04
299	079C	45	98	98	98	0	0	3.1	1.520		0.046	1.7	1.74	0.07
2390	273C	45	75	0	0	0.02	0	5.1	30.000	1.710	0.050	2.8	4.72	0.24
300	310C	45	75	0	0	0.3	2.03					2.8	4.72	0.61
2389	023C	45	75	0	0	0.02	0	4.1	30.000	1.710	0.320	2.8	4.72	1.54
302	05LC	45	98	98	98	0	0	MC4				1.7	1.74	18

Pérdida de carga acumulada del segmento	Δp_t	[Pa] : 7.38
Velocidad en la sección inicial del segmento	V_m	[m/s] : 2.7
Velocidad en la sección final del segmento	V_v	[m/s] : 1.7
Recuperación de presión estática del segmento	Δp_r	[Pa] : 2.65
Pérdida de carga acumulada del segmento, considerando la recuperación	Δp_{tn}	[Pa] : 5.28
Pérdida de carga acumulada neta – total acumulado	$\Sigma \Delta p_{tn}$	[Pa] : 101.54
Desequilibrio del terminal respecto al camino más desfavorable	Δp_{Tmr}	[Pa] : 95.98

SEGMENTO 73:

Tipo: Tramo

1 ELEMENTO		2 Caudal Q	3 Diam. D/D _e	4 Ancho A	5 Alto B	6 Long. L	7 $\Delta p/L$	8 Fuente Tab	9 Ashrae X	10 Ashrae Y	11 Coeff. C _o	12 Veloc. V	13 P.Dinám P _v	14 Pérdida Δp_r o Δp_c
N. pz.	Cod.	[m³/h]	[mm]	[mm]	[mm]	[m]	[Pa/m]	n.	-	-	-	[m/s]	[Pa]	[Pa]
2362	11RA	315	164	150	150	0	0	ASH6_26M	0.875		0.012	3.9	9.16	0.05
248	310R	315	164	150	150	0.6	1.52					3.9	9.16	0.91

Pérdida de carga acumulada del segmento

Δp_t [Pa] : 0.97

Velocidad en la sección inicial del segmento

V_m [m/s] : 2.7

Velocidad en la sección final del segmento

V_v [m/s] : 2.3

Recuperación de presión estática del segmento

Δp_r [Pa] : 1.2

Pérdida de carga acumulada del segmento, considerando la recuperación

Δp_{tn} [Pa] : 0.87

Pérdida de carga acumulada neta – total acumulado

$\Sigma \Delta p_{tn}$ [Pa] : 79.13

SEGMENTO 72:

Tipo: Terminal TRM-21

1 ELEMENTO		2 Caudal Q	3 Diam. D/D _e	4 Ancho A	5 Alto B	6 Long. L	7 $\Delta p/L$	8 Fuente Tab	9 Ashrae X	10 Ashrae Y	11 Coeff. C _o	12 Veloc. V	13 P.Dinám P _v	14 Pérdida Δp_r o Δp_c
N. pz.	Cod.	[m³/h]	[mm]	[mm]	[mm]	[m]	[Pa/m]	n.	-	-	-	[m/s]	[Pa]	[Pa]
2363	11RA	45	98	98	98	0	0	ASH6_26	0.143	0.426	1.190	1.7	1.74	3.88
291	310C	45	98	98	98	0.07	0.57					1.7	1.74	0.04
293	079C	45	98	98	98	0	0	3.1	1.520		0.046	1.7	1.74	0.07
2388	273C	45	75	0	0	0.02	0	5.1	30.000	1.710	0.050	2.8	4.72	0.24
294	310C	45	75	0	0	0.3	2.03					2.8	4.72	0.61
2387	023C	45	75	0	0	0.02	0	4.1	30.000	1.710	0.320	2.8	4.72	1.54
296	05LC	45	98	98	98	0	0	MC4				1.7	1.74	18

Pérdida de carga acumulada del segmento

Δp_t [Pa] : 6.39

Velocidad en la sección inicial del segmento

V_m [m/s] : 2.3

Velocidad en la sección final del segmento

V_v [m/s] : 1.7

Recuperación de presión estática del segmento

Δp_r [Pa] : 1.44

Pérdida de carga acumulada del segmento, considerando la recuperación

Δp_{tn} [Pa] : 5.29

Pérdida de carga acumulada neta – total acumulado

$\Sigma \Delta p_{tn}$ [Pa] : 102.43

Desequilibrio del terminal respecto al camino más desfavorable

Δp_{Tmr} [Pa] : 95.09

SEGMENTO 71:

Tipo: Tramo

1 ELEMENTO		2 Caudal Q	3 Diam. D/D _e	4 Ancho A	5 Alto B	6 Long. L	7 $\Delta p/L$	8 Fuente Tab	9 Ashrae X	10 Ashrae Y	11 Coeff. C _o	12 Veloc. V	13 P.Dinám P _v	14 Pérdida Δp_r o Δp_c
N. pz.	Cod.	[m³/h]	[mm]	[mm]	[mm]	[m]	[Pa/m]	n.	-	-	-	[m/s]	[Pa]	[Pa]
2364	11RA	270	164	150	150	0	0	ASH6_26M	0.857		0.014	3.3	6.56	0.05
249	310R	270	164	150	150	0.6	1.15					3.3	6.56	0.69

Pérdida de carga acumulada del segmento

Δp_t [Pa] : 0.73

Velocidad en la sección inicial del segmento

V_m [m/s] : 2.3

Velocidad en la sección final del segmento

V_v [m/s] : 2

Recuperación de presión estática del segmento
 Pérdida de carga acumulada del segmento, considerando la recuperación
 Pérdida de carga acumulada neta – total acumulado

Δp_r [Pa] : 0.78
 Δp_{tn} [Pa] : 0.53
 $\Sigma \Delta p_{tn}$ [Pa] : 79.67

SEGMENTO 70:

Tipo: Terminal TRM-22

1 ELEMENTO		2 Caudal Q	3 Diam. D/D _e	4 Ancho A	5 Alto B	6 Long. L	7 $\Delta p/L$	8 Fuente Tab	9 Ashrae X	10 Ashrae Y	11 Coeff. C _o	12 Veloc. V	13 P.Dinám P _v	14 Pérdida Δp_r o Δp_c
N. pz.	Cod.	[m³/h]	[mm]	[mm]	[mm]	[m]	[Pa/m]	n.	-	-	-	[m/s]	[Pa]	[Pa]
2365	11RA	45	98	98	98	0	0	ASH6_26	0.167	0.497	1.280	1.7	1.74	3.08
285	310C	45	98	98	98	0.07	0.57					1.7	1.74	0.04
287	079C	45	98	98	98	0	0	3.1	1.520		0.046	1.7	1.74	0.07
2386	273C	45	75	0	0	0.02	0	5.1	30.000	1.710	0.050	2.8	4.72	0.24
288	310C	45	75	0	0	0.3	2.03					2.8	4.72	0.61
2385	023C	45	75	0	0	0.02	0	4.1	30.000	1.710	0.320	2.8	4.72	1.54
290	05LC	45	98	98	98	0	0	MC4				1.7	1.74	18

Pérdida de carga acumulada del segmento
 Velocidad en la sección inicial del segmento
 Velocidad en la sección final del segmento
 Recuperación de presión estática del segmento
 Pérdida de carga acumulada del segmento, considerando la recuperación
 Pérdida de carga acumulada neta – total acumulado
 Desequilibrio del terminal respecto al camino más desfavorable

Δp_t [Pa] : 5.59
 V_m [m/s] : 2
 V_v [m/s] : 1.7
 Δp_r [Pa] : 0.67
 Δp_{tn} [Pa] : 5.36
 $\Sigma \Delta p_{tn}$ [Pa] : 103.03
 Δp_{Tmr} [Pa] : 94.5

SEGMENTO 69:

Tipo: Tramo

1 ELEMENTO		2 Caudal Q	3 Diam. D/D _e	4 Ancho A	5 Alto B	6 Long. L	7 $\Delta p/L$	8 Fuente Tab	9 Ashrae X	10 Ashrae Y	11 Coeff. C _o	12 Veloc. V	13 P.Dinám P _v	14 Pérdida Δp_r o Δp_c
N. pz.	Cod.	[m³/h]	[mm]	[mm]	[mm]	[m]	[Pa/m]	n.	-	-	-	[m/s]	[Pa]	[Pa]
2366	11RA	225	164	150	150	0	0	ASH6_26M	0.833		0.017	2.8	4.72	0.04
250	310R	225	164	150	150	0.6	0.82					2.8	4.72	0.49

Pérdida de carga acumulada del segmento
 Velocidad en la sección inicial del segmento
 Velocidad en la sección final del segmento
 Recuperación de presión estática del segmento
 Pérdida de carga acumulada del segmento, considerando la recuperación
 Pérdida de carga acumulada neta – total acumulado

Δp_t [Pa] : 0.53
 V_m [m/s] : 2
 V_v [m/s] : 3.1
 Δp_r [Pa] : -3.38
 Δp_{tn} [Pa] : 4.53
 $\Sigma \Delta p_{tn}$ [Pa] : 84.2

SEGMENTO 68:

Tipo: Terminal TRM-22

1 ELEMENTO		2 Caudal Q	3 Diam. D/D _e	4 Ancho A	5 Alto B	6 Long. L	7 $\Delta p/L$	8 Fuente Tab	9 Ashrae X	10 Ashrae Y	11 Coeff. C _o	12 Veloc. V	13 P.Dinám P _v	14 Pérdida Δp_r o Δp_c
N. pz.	Cod.	[m³/h]	[mm]	[mm]	[mm]	[m]	[Pa/m]	n.	-	-	-	[m/s]	[Pa]	[Pa]
2367	11RA	45	98	98	98	0	0	ASH6_26	0.200	0.597	1.090	1.7	1.74	6.41
279	310C	45	98	98	98	0.07	0.57					1.7	1.74	0.04
281	079C	45	98	98	98	0	0	3.1	1.520		0.046	1.7	1.74	0.07
2384	273C	45	75	0	0	0.02	0	5.1	30.000	1.710	0.050	2.8	4.72	0.24
282	310C	45	75	0	0	0.3	2.03					2.8	4.72	0.61

2383	023C	45	75	0	0	0.02	0	4.1	30.000	1.710	0.320	2.8	4.72	1.54
284	05LC	45	98	98	98	0	0	MC4				1.7	1.74	18

Pérdida de carga acumulada del segmento	Δp_t	[Pa]	: 8.91
Velocidad en la sección inicial del segmento	V_m	[m/s]	: 3.1
Velocidad en la sección final del segmento	V_v	[m/s]	: 1.7
Recuperación de presión estática del segmento	Δp_r	[Pa]	: 4.05
Pérdida de carga acumulada del segmento, considerando la recuperación	Δp_{tm}	[Pa]	: 5.21
Pérdida de carga acumulada neta – total acumulado	$\Sigma \Delta p_{tm}$	[Pa]	: 107.41
Desequilibrio del terminal respecto al camino más desfavorable	Δp_{Tmr}	[Pa]	: 90.11

SEGMENTO 67:

Tipo: Tramo

1 ELEMENTO		2 Caudal Q	3 Diam. D/D _e	4 Ancho A	5 Alto B	6 Long. L	7 $\Delta p/L$	8 Fuente Tab	9 Ashrae X	10 Ashrae Y	11 Coeff. C _o	12 Veloc. V	13 P.Dinám P _v	14 Pérdida Δp_r o Δp_e
N. pz.	Cod.	[m³/h]	[mm]	[mm]	[mm]	[m]	[Pa/m]	n.	-	-	-	[m/s]	[Pa]	[Pa]
2368	11RA	180	164	150	150	0	0	ASH6_26M	0.800		0.020	2.2	2.91	0.12
251	310R	180	164	150	150	0.6	0.55					2.2	2.91	0.33

Pérdida de carga acumulada del segmento	Δp_t	[Pa]	: 0.45
Velocidad en la sección inicial del segmento	V_m	[m/s]	: 3.1
Velocidad en la sección final del segmento	V_v	[m/s]	: 2.5
Recuperación de presión estática del segmento	Δp_r	[Pa]	: 2.02
Pérdida de carga acumulada del segmento, considerando la recuperación	Δp_{tm}	[Pa]	: -0.35
Pérdida de carga acumulada neta – total acumulado	$\Sigma \Delta p_{tm}$	[Pa]	: 83.84

SEGMENTO 66:

Tipo: Terminal TRM-24

1 ELEMENTO		2 Caudal Q	3 Diam. D/D _e	4 Ancho A	5 Alto B	6 Long. L	7 $\Delta p/L$	8 Fuente Tab	9 Ashrae X	10 Ashrae Y	11 Coeff. C _o	12 Veloc. V	13 P.Dinám P _v	14 Pérdida Δp_r o Δp_e
N. pz.	Cod.	[m³/h]	[mm]	[mm]	[mm]	[m]	[Pa/m]	n.	-	-	-	[m/s]	[Pa]	[Pa]
2369	11RA	45	98	98	98	0	0	ASH6_26	0.250	0.746	1.130	1.7	1.74	4.25
273	310C	45	98	98	98	0.07	0.57					1.7	1.74	0.04
275	079C	45	98	98	98	0	0	3.1	1.520		0.046	1.7	1.74	0.07
2382	273C	45	75	0	0	0.02	0	5.1	30.000	1.710	0.050	2.8	4.72	0.24
276	310C	45	75	0	0	0.3	2.03					2.8	4.72	0.61
2381	023C	45	75	0	0	0.02	0	4.1	30.000	1.710	0.320	2.8	4.72	1.54
278	05LC	45	98	98	98	0	0	MC4				1.7	1.74	18

Pérdida de carga acumulada del segmento	Δp_t	[Pa]	: 6.76
Velocidad en la sección inicial del segmento	V_m	[m/s]	: 2.5
Velocidad en la sección final del segmento	V_v	[m/s]	: 1.7
Recuperación de presión estática del segmento	Δp_r	[Pa]	: 2.02
Pérdida de carga acumulada del segmento, considerando la recuperación	Δp_{tm}	[Pa]	: 5.17
Pérdida de carga acumulada neta – total acumulado	$\Sigma \Delta p_{tm}$	[Pa]	: 107.02
Desequilibrio del terminal respecto al camino más desfavorable	Δp_{Tmr}	[Pa]	: 90.51

SEGMENTO 65:

Tipo: Tramo

1	2	3	4	5	6	7	8	9	10	11	12	13	14
---	---	---	---	---	---	---	---	---	----	----	----	----	----

ELEMENTO		Caudal Q	Diam. D/D _e	Ancho A	Alto B	Long. L	$\Delta p/L$	Fuente Tab	Ashrae X	Ashrae Y	Coeff. C _o	Veloc. V	P.Dinám P _v	Pérdida Δp_r o Δp_c
N. pz.	Cod.	[m³/h]	[mm]	[mm]	[mm]	[m]	[Pa/m]	n.	-	-	-	[m/s]	[Pa]	[Pa]
2370	11RA	135	164	150	150	0	0	ASH6_26M	0.750		0.030	1.7	1.74	0.11
252	310R	135	164	150	150	0.6	0.32					1.7	1.74	0.19

Pérdida de carga acumulada del segmento	Δp_t	[Pa]	: 0.31
Velocidad en la sección inicial del segmento	V_m	[m/s]	: 2.5
Velocidad en la sección final del segmento	V_v	[m/s]	: 2.5
Recuperación de presión estática del segmento	Δp_r	[Pa]	: 0
Pérdida de carga acumulada del segmento, considerando la recuperación	Δp_{tm}	[Pa]	: 1.13
Pérdida de carga acumulada neta – total acumulado	$\Sigma \Delta p_{tm}$	[Pa]	: 84.97

SEGMENTO 64:

Tipo: Terminal TRM-25

1 ELEMENTO		2 Caudal Q	3 Diam. D/D _e	4 Ancho A	5 Alto B	6 Long. L	7 $\Delta p/L$	8 Fuente Tab	9 Ashrae X	10 Ashrae Y	11 Coeff. C _o	12 Veloc. V	13 P.Dinám P _v	14 Pérdida Δp_r o Δp_c
N. pz.	Cod.	[m³/h]	[mm]	[mm]	[mm]	[m]	[Pa/m]	n.	-	-	-	[m/s]	[Pa]	[Pa]
2371	11RA	45	98	98	98	0	0	ASH6_26	0.333	0.995	1.110	1.7	1.74	4.16
267	310C	45	98	98	98	0.07	0.57					1.7	1.74	0.04
269	079C	45	98	98	98	0	0	3.1	1.520		0.046	1.7	1.74	0.07
2380	273C	45	75	0	0	0.02	0	5.1	30.000	1.710	0.050	2.8	4.72	0.24
270	310C	45	75	0	0	0.3	2.03					2.8	4.72	0.61
2379	023C	45	75	0	0	0.02	0	4.1	30.000	1.710	0.320	2.8	4.72	1.54
272	05LC	45	98	98	98	0	0	MC4				1.7	1.74	18

Pérdida de carga acumulada del segmento	Δp_t	[Pa]	: 6.66
Velocidad en la sección inicial del segmento	V_m	[m/s]	: 2.5
Velocidad en la sección final del segmento	V_v	[m/s]	: 1.7
Recuperación de presión estática del segmento	Δp_r	[Pa]	: 2.02
Pérdida de carga acumulada del segmento, considerando la recuperación	Δp_{tm}	[Pa]	: 5.08
Pérdida de carga acumulada neta – total acumulado	$\Sigma \Delta p_{tm}$	[Pa]	: 108.05
Desequilibrio del terminal respecto al camino más desfavorable	Δp_{Tmr}	[Pa]	: 89.47

SEGMENTO 63:

Tipo: Tramo

1 ELEMENTO		2 Caudal Q	3 Diam. D/D _e	4 Ancho A	5 Alto B	6 Long. L	7 $\Delta p/L$	8 Fuente Tab	9 Ashrae X	10 Ashrae Y	11 Coeff. C _o	12 Veloc. V	13 P.Dinám P _v	14 Pérdida Δp_r o Δp_c
N. pz.	Cod.	[m³/h]	[mm]	[mm]	[mm]	[m]	[Pa/m]	n.	-	-	-	[m/s]	[Pa]	[Pa]
2372	11RA	90	164	150	150	0	0	ASH6_26M	0.667		0.047	1.1	0.73	0.18
253	310R	90	164	150	150	0.6	0.15					1.1	0.73	0.09

Pérdida de carga acumulada del segmento	Δp_t	[Pa]	: 0.27
Velocidad en la sección inicial del segmento	V_m	[m/s]	: 2.5
Velocidad en la sección final del segmento	V_v	[m/s]	: 2.5
Recuperación de presión estática del segmento	Δp_r	[Pa]	: 0
Pérdida de carga acumulada del segmento, considerando la recuperación	Δp_{tm}	[Pa]	: 0.95
Pérdida de carga acumulada neta – total acumulado	$\Sigma \Delta p_{tm}$	[Pa]	: 85.93

SEGMENTO 62:

Tipo: Terminal TRM-26

1 ELEMENTO		2 Caudal Q	3 Diam. D/D _e	4 Ancho A	5 Alto B	6 Long. L	7 $\Delta p/L$	8 Fuente Tab	9 Ashrae X	10 Ashrae Y	11 Coeff. C _o	12 Veloc. V	13 P.Dinám P _v	14 Pérdida Δp_r o Δp_c
N. pz.	Cod.	[m³/h]	[mm]	[mm]	[mm]	[m]	[Pa/m]	n.	-	-	-	[m/s]	[Pa]	[Pa]
2373	11RA	45	98	98	98	0	0	ASH6_26	0.500	1.490	1.260	1.7	1.74	4.74
261	310C	45	98	98	98	0.07	0.57					1.7	1.74	0.04
263	079C	45	98	98	98	0	0	3.1	1.520		0.046	1.7	1.74	0.07
2378	273C	45	75	0	0	0.02	0	5.1	30.000	1.710	0.050	2.8	4.72	0.24
264	310C	45	75	0	0	0.3	2.03					2.8	4.72	0.61
2377	023C	45	75	0	0	0.02	0	4.1	30.000	1.710	0.320	2.8	4.72	1.54
266	05LC	45	98	98	98	0	0	MC4				1.7	1.74	18

Pérdida de carga acumulada del segmento

Δp_t [Pa] : 7.25

Velocidad en la sección inicial del segmento

V_m [m/s] : 2.5

Velocidad en la sección final del segmento

V_v [m/s] : 1.7

Recuperación de presión estática del segmento

Δp_r [Pa] : 2.02

Pérdida de carga acumulada del segmento, considerando la recuperación

Δp_{tn} [Pa] : 5.67

Pérdida de carga acumulada neta – total acumulado

$\Sigma \Delta p_{tn}$ [Pa] : 109.59

Desequilibrio del terminal respecto al camino más desfavorable

Δp_{Tmr} [Pa] : 87.93

SEGMENTO 61:

Tipo: Terminal TRM-27

1 ELEMENTO		2 Caudal Q	3 Diam. D/D _e	4 Ancho A	5 Alto B	6 Long. L	7 $\Delta p/L$	8 Fuente Tab	9 Ashrae X	10 Ashrae Y	11 Coeff. C _o	12 Veloc. V	13 P.Dinám P _v	14 Pérdida Δp_r o Δp_c
N. pz.	Cod.	[m³/h]	[mm]	[mm]	[mm]	[m]	[Pa/m]	n.	-	-	-	[m/s]	[Pa]	[Pa]
2374	11RA	45	164	150	150	0	0	ASH6_26M	0.500		0.090	0.6	0.22	0.34
254	310R	45	164	150	150	0.6	0.05					0.6	0.22	0.03
245	11RAT	45	164	150	150	0	0	2_6	1.000	0.915	2.800	0.6	0.22	0
255	310C	45	98	98	98	0.07	0.57					1.7	1.74	0.04
257	079C	45	98	98	98	0	0	3.1	1.520		0.046	1.7	1.74	0.07
2376	023C	45	98	98	98	0	0	4.1	30.000	1.040	0.320	1.7	1.74	0.53
258	310C	45	100	0	0	0.3	0.5					1.6	1.54	0.15
2375	273C	45	98	98	98	0	0	5.1	30.000	1.040	0.050	1.7	1.74	0.08
260	05LC	45	98	98	98	0	0	MC4				1.7	1.74	18

Pérdida de carga acumulada del segmento

Δp_t [Pa] : 1.24

Velocidad en la sección inicial del segmento

V_m [m/s] : 2.5

Velocidad en la sección final del segmento

V_v [m/s] : 1.7

Recuperación de presión estática del segmento

Δp_r [Pa] : 2.02

Pérdida de carga acumulada del segmento, considerando la recuperación

Δp_{tn} [Pa] : -0.55

Pérdida de carga acumulada neta – total acumulado

$\Sigma \Delta p_{tn}$ [Pa] : 103.37

Desequilibrio del terminal respecto al camino más desfavorable

Δp_{Tmr} [Pa] : 94.15

SEGMENTO 59:

Tipo: Tramo

1 ELEMENTO		2 Caudal Q	3 Diam. D/D _e	4 Ancho A	5 Alto B	6 Long. L	7 $\Delta p/L$	8 Fuente Tab	9 Ashrae X	10 Ashrae Y	11 Coeff. C _o	12 Veloc. V	13 P.Dinám P _v	14 Pérdida Δp_r o Δp_c
N. pz.	Cod.	[m³/h]	[mm]	[mm]	[mm]	[m]	[Pa/m]	n.	-	-	-	[m/s]	[Pa]	[Pa]
172	3736	450	457	250	750	0	0	MC4	0.036	0.294	51.100	0.7	0.29	14.82
2316	283R	450	210	250	150	1.14	0	5.1	30.000	5.000	0.040	3.3	6.56	0.27
171	310R	450	210	250	150	1.05	0.87					3.3	6.56	0.91

Pérdida de carga acumulada del segmento	Δp_t	[Pa]	: 16
Velocidad en la sección inicial del segmento	V_m	[m/s]	: 4.9
Velocidad en la sección final del segmento	V_v	[m/s]	: 3.3
Recuperación de presión estática del segmento	Δp_r	[Pa]	: 7.9
Pérdida de carga acumulada del segmento, considerando la recuperación	Δp_{tn}	[Pa]	: 8.46
Pérdida de carga acumulada neta – total acumulado	$\Sigma \Delta p_{tn}$	[Pa]	: 74.44

SEGMENTO 58:

Tipo: Terminal TRM-46

1 ELEMENTO		2 Caudal Q	3 Diam. D/D _e	4 Ancho A	5 Alto B	6 Long. L	7 $\Delta p/L$	8 Fuente Tab	9 Ashrae X	10 Ashrae Y	11 Coeff. C _o	12 Veloc. V	13 P.Dinám P _v	14 Pérdida Δp_r o Δp_c
N. pz.	Cod.	[m³/h]	[mm]	[mm]	[mm]	[m]	[Pa/m]	n.	-	-	-	[m/s]	[Pa]	[Pa]
2314	11RA	45	98	98	98	0	0	ASH6_26	0.100	0.497	1.070	1.7	1.74	7.18
237	310C	45	98	98	98	0.07	0.57					1.7	1.74	0.04
239	079C	45	98	98	98	0	0	3.1	1.520		0.046	1.7	1.74	0.07
2355	273C	45	75	0	0	0.02	0	5.1	30.000	1.710	0.050	2.8	4.72	0.24
240	310C	45	75	0	0	0.3	2.03					2.8	4.72	0.61
2354	023C	45	75	0	0	0.02	0	4.1	30.000	1.710	0.320	2.8	4.72	1.54
242	05LC	45	98	98	98	0	0	MC4				1.7	1.74	18

Pérdida de carga acumulada del segmento	Δp_t	[Pa]	: 9.68
Velocidad en la sección inicial del segmento	V_m	[m/s]	: 3.3
Velocidad en la sección final del segmento	V_v	[m/s]	: 1.7
Recuperación de presión estática del segmento	Δp_r	[Pa]	: 4.82
Pérdida de carga acumulada del segmento, considerando la recuperación	Δp_{tn}	[Pa]	: 5.18
Pérdida de carga acumulada neta – total acumulado	$\Sigma \Delta p_{tn}$	[Pa]	: 97.62
Desequilibrio del terminal respecto al camino más desfavorable	Δp_{Tmr}	[Pa]	: 99.9

SEGMENTO 57:

Tipo: Tramo

1 ELEMENTO		2 Caudal Q	3 Diam. D/D _e	4 Ancho A	5 Alto B	6 Long. L	7 $\Delta p/L$	8 Fuente Tab	9 Ashrae X	10 Ashrae Y	11 Coeff. C _o	12 Veloc. V	13 P.Dinám P _v	14 Pérdida Δp_r o Δp_c
N. pz.	Cod.	[m³/h]	[mm]	[mm]	[mm]	[m]	[Pa/m]	n.	-	-	-	[m/s]	[Pa]	[Pa]
2315	11RA	405	210	250	150	0	0	ASH6_26M	0.900		0.010	3	5.42	0.07
2319	283R	405	152	200	100	0.19	0	5.1	30.000	1.880	0.050	5.6	18.88	0.95
174	310R	405	152	200	100	0.6	3.53					5.6	18.88	2.12

Pérdida de carga acumulada del segmento	Δp_t	[Pa]	: 3.14
Velocidad en la sección inicial del segmento	V_m	[m/s]	: 3.3
Velocidad en la sección final del segmento	V_v	[m/s]	: 5.6
Recuperación de presión estática del segmento	Δp_r	[Pa]	: -12.32
Pérdida de carga acumulada del segmento, considerando la recuperación	Δp_{tn}	[Pa]	: 15.5
Pérdida de carga acumulada neta – total acumulado	$\Sigma \Delta p_{tn}$	[Pa]	: 89.94

SEGMENTO 56:

Tipo: Terminal TRM-46

1 ELEMENTO		2 Caudal Q	3 Diam. D/D _e	4 Ancho A	5 Alto B	6 Long. L	7 $\Delta p/L$	8 Fuente Tab	9 Ashrae X	10 Ashrae Y	11 Coeff. C _o	12 Veloc. V	13 P.Dinám P _v	14 Pérdida Δp_r o Δp_c
N. pz.	Cod.	[m³/h]	[mm]	[mm]	[mm]	[m]	[Pa/m]	n.	-	-	-	[m/s]	[Pa]	[Pa]

2317	11RA	45	98	98	98	0	0	ASH6_26	0.111	0.295	1.010	1.7	1.74	19.28
231	310C	45	98	98	98	0.07	0.57					1.7	1.74	0.04
233	079C	45	98	98	98	0	0	3.1	1.520		0.046	1.7	1.74	0.07
2353	273C	45	75	0	0	0.02	0	5.1	30.000	1.710	0.050	2.8	4.72	0.24
234	310C	45	75	0	0	0.3	2.03					2.8	4.72	0.61
2352	023C	45	75	0	0	0.02	0	4.1	30.000	1.710	0.320	2.8	4.72	1.54
236	05LC	45	98	98	98	0	0	MC4				1.7	1.74	18

Pérdida de carga acumulada del segmento	Δp_t	[Pa]	: 21.78
Velocidad en la sección inicial del segmento	V_m	[m/s]	: 5.6
Velocidad en la sección final del segmento	V_v	[m/s]	: 1.7
Recuperación de presión estática del segmento	Δp_r	[Pa]	: 17.14
Pérdida de carga acumulada del segmento, considerando la recuperación	Δp_{tm}	[Pa]	: 4.92
Pérdida de carga acumulada neta – total acumulado	$\Sigma \Delta p_{tm}$	[Pa]	: 112.86
Desequilibrio del terminal respecto al camino más desfavorable	Δp_{Tmr}	[Pa]	: 84.67

SEGMENTO 55:

Tipo: Tramo

1 ELEMENTO		2 Caudal Q	3 Diam. D/D _e	4 Ancho A	5 Alto B	6 Long. L	7 $\Delta p/L$	8 Fuente Tab	9 Ashrae X	10 Ashrae Y	11 Coeff. C _o	12 Veloc. V	13 P.Dinám P _v	14 Pérdida Δp_r o Δp_e
N. pz.	Cod.	[m³/h]	[mm]	[mm]	[mm]	[m]	[Pa/m]	n.	-	-	-	[m/s]	[Pa]	[Pa]
2318	11RA	360	152	200	100	0	0	ASH6_26M	0.889		0.011	5	15.05	0.21
175	310R	360	152	200	100	0.6	2.85					5	15.05	1.71

Pérdida de carga acumulada del segmento	Δp_t	[Pa]	: 1.92
Velocidad en la sección inicial del segmento	V_m	[m/s]	: 5.6
Velocidad en la sección final del segmento	V_v	[m/s]	: 5
Recuperación de presión estática del segmento	Δp_r	[Pa]	: 3.83
Pérdida de carga acumulada del segmento, considerando la recuperación	Δp_{tm}	[Pa]	: -2.08
Pérdida de carga acumulada neta – total acumulado	$\Sigma \Delta p_{tm}$	[Pa]	: 87.86

SEGMENTO 54:

Tipo: Terminal TRM-46

1 ELEMENTO		2 Caudal Q	3 Diam. D/D _e	4 Ancho A	5 Alto B	6 Long. L	7 $\Delta p/L$	8 Fuente Tab	9 Ashrae X	10 Ashrae Y	11 Coeff. C _o	12 Veloc. V	13 P.Dinám P _v	14 Pérdida Δp_r o Δp_e
N. pz.	Cod.	[m³/h]	[mm]	[mm]	[mm]	[m]	[Pa/m]	n.	-	-	-	[m/s]	[Pa]	[Pa]
2320	11RA	45	98	98	98	0	0	ASH6_26	0.125	0.332	1.020	1.7	1.74	15.39
225	310C	45	98	98	98	0.07	0.57					1.7	1.74	0.04
227	079C	45	98	98	98	0	0	3.1	1.520		0.046	1.7	1.74	0.07
2351	273C	45	75	0	0	0.02	0	5.1	30.000	1.710	0.050	2.8	4.72	0.24
228	310C	45	75	0	0	0.3	2.03					2.8	4.72	0.61
2350	023C	45	75	0	0	0.02	0	4.1	30.000	1.710	0.320	2.8	4.72	1.54
230	05LC	45	98	98	98	0	0	MC4				1.7	1.74	18

Pérdida de carga acumulada del segmento	Δp_t	[Pa]	: 17.89
Velocidad en la sección inicial del segmento	V_m	[m/s]	: 5
Velocidad en la sección final del segmento	V_v	[m/s]	: 1.7
Recuperación de presión estática del segmento	Δp_r	[Pa]	: 13.31
Pérdida de carga acumulada del segmento, considerando la recuperación	Δp_{tm}	[Pa]	: 5.03
Pérdida de carga acumulada neta – total acumulado	$\Sigma \Delta p_{tm}$	[Pa]	: 110.89
Desequilibrio del terminal respecto al camino más desfavorable	Δp_{Tmr}	[Pa]	: 86.64

SEGMENTO 53:**Tipo:** Tramo

1 ELEMENTO		2 Caudal Q	3 Diam. D/D _e	4 Ancho A	5 Alto B	6 Long. L	7 $\Delta p/L$	8 Fuente Tab	9 Ashrae X	10 Ashrae Y	11 Coeff. C _o	12 Veloc. V	13 P.Dinám P _v	14 Pérdida Δp_r o Δp_c
N. pz.	Cod.	[m³/h]	[mm]	[mm]	[mm]	[m]	[Pa/m]	n.	-	-	-	[m/s]	[Pa]	[Pa]
2321	11RA	315	152	200	100	0	0	ASH6_26M	0.875		0.012	4.4	11.65	0.19
2324	283R	315	133	150	100	0.14	0	5.1	30.000	1.330	0.050	5.8	20.25	1.02
176	310R	315	133	150	100	0.6	4.32					5.8	20.25	2.59

Pérdida de carga acumulada del segmento

 Δp_t [Pa] : 3.8

Velocidad en la sección inicial del segmento

 V_m [m/s] : 5

Velocidad en la sección final del segmento

 V_v [m/s] : 5.8

Recuperación de presión estática del segmento

 Δp_r [Pa] : -5.2

Pérdida de carga acumulada del segmento, considerando la recuperación

 Δp_{tn} [Pa] : 9.24

Pérdida de carga acumulada neta – total acumulado

 $\Sigma \Delta p_{tn}$ [Pa] : 97.1**SEGMENTO 52:****Tipo:** Terminal TRM-46

1 ELEMENTO		2 Caudal Q	3 Diam. D/D _e	4 Ancho A	5 Alto B	6 Long. L	7 $\Delta p/L$	8 Fuente Tab	9 Ashrae X	10 Ashrae Y	11 Coeff. C _o	12 Veloc. V	13 P.Dinám P _v	14 Pérdida Δp_r o Δp_c
N. pz.	Cod.	[m³/h]	[mm]	[mm]	[mm]	[m]	[Pa/m]	n.	-	-	-	[m/s]	[Pa]	[Pa]
2322	11RA	45	98	98	98	0	0	ASH6_26	0.143	0.284	1.030	1.7	1.74	21.15
219	310C	45	98	98	98	0.07	0.57					1.7	1.74	0.04
221	079C	45	98	98	98	0	0	3.1	1.520		0.046	1.7	1.74	0.07
2349	273C	45	75	0	0	0.02	0	5.1	30.000	1.710	0.050	2.8	4.72	0.24
222	310C	45	75	0	0	0.3	2.03					2.8	4.72	0.61
2348	023C	45	75	0	0	0.02	0	4.1	30.000	1.710	0.320	2.8	4.72	1.54
224	05LC	45	98	98	98	0	0	MC4				1.7	1.74	18

Pérdida de carga acumulada del segmento

 Δp_t [Pa] : 23.65

Velocidad en la sección inicial del segmento

 V_m [m/s] : 5.8

Velocidad en la sección final del segmento

 V_v [m/s] : 1.7

Recuperación de presión estática del segmento

 Δp_r [Pa] : 18.51

Pérdida de carga acumulada del segmento, considerando la recuperación

 Δp_{tn} [Pa] : 5.35

Pérdida de carga acumulada neta – total acumulado

 $\Sigma \Delta p_{tn}$ [Pa] : 120.45

Desequilibrio del terminal respecto al camino más desfavorable

 Δp_{Tmr} [Pa] : 77.08**SEGMENTO 51:****Tipo:** Tramo

1 ELEMENTO		2 Caudal Q	3 Diam. D/D _e	4 Ancho A	5 Alto B	6 Long. L	7 $\Delta p/L$	8 Fuente Tab	9 Ashrae X	10 Ashrae Y	11 Coeff. C _o	12 Veloc. V	13 P.Dinám P _v	14 Pérdida Δp_r o Δp_c
N. pz.	Cod.	[m³/h]	[mm]	[mm]	[mm]	[m]	[Pa/m]	n.	-	-	-	[m/s]	[Pa]	[Pa]
2323	11RA	270	133	150	100	0	0	ASH6_26M	0.857		0.014	5	15.05	0.29
177	310R	270	133	150	100	0.6	3.23					5	15.05	1.94

Pérdida de carga acumulada del segmento

 Δp_t [Pa] : 2.23

Velocidad en la sección inicial del segmento

 V_m [m/s] : 5.8

Velocidad en la sección final del segmento

 V_v [m/s] : 5

Recuperación de presión estática del segmento
 Pérdida de carga acumulada del segmento, considerando la recuperación
 Pérdida de carga acumulada neta – total acumulado

Δp_r [Pa] : 5.2
 Δp_{tn} [Pa] : -3.2
 $\Sigma \Delta p_{tn}$ [Pa] : 93.89

SEGMENTO 50:

Tipo: Terminal TRM-46

1 ELEMENTO		2 Caudal Q	3 Diam. D/D _e	4 Ancho A	5 Alto B	6 Long. L	7 $\Delta p/L$	8 Fuente Tab	9 Ashrae X	10 Ashrae Y	11 Coeff. C _o	12 Veloc. V	13 P.Dinám P _v	14 Pérdida Δp_r o Δp_c
N. pz.	Cod.	[m³/h]	[mm]	[mm]	[mm]	[m]	[Pa/m]	n.	-	-	-	[m/s]	[Pa]	[Pa]
2325	11RA	45	98	98	98	0	0	ASH6_26	0.167	0.332	1.050	1.7	1.74	15.79
213	310C	45	98	98	98	0.07	0.57					1.7	1.74	0.04
215	079C	45	98	98	98	0	0	3.1	1.520		0.046	1.7	1.74	0.07
2347	273C	45	75	0	0	0.02	0	5.1	30.000	1.710	0.050	2.8	4.72	0.24
216	310C	45	75	0	0	0.3	2.03					2.8	4.72	0.61
2346	023C	45	75	0	0	0.02	0	4.1	30.000	1.710	0.320	2.8	4.72	1.54
218	05LC	45	98	98	98	0	0	MC4				1.7	1.74	18

Pérdida de carga acumulada del segmento
 Velocidad en la sección inicial del segmento
 Velocidad en la sección final del segmento
 Recuperación de presión estática del segmento
 Pérdida de carga acumulada del segmento, considerando la recuperación
 Pérdida de carga acumulada neta – total acumulado
 Desequilibrio del terminal respecto al camino más desfavorable

Δp_t [Pa] : 18.29
 V_m [m/s] : 5
 V_v [m/s] : 1.7
 Δp_r [Pa] : 13.31
 Δp_{tn} [Pa] : 5.42
 $\Sigma \Delta p_{tn}$ [Pa] : 117.32
 Δp_{Tmr} [Pa] : 80.21

SEGMENTO 49:

Tipo: Tramo

1 ELEMENTO		2 Caudal Q	3 Diam. D/D _e	4 Ancho A	5 Alto B	6 Long. L	7 $\Delta p/L$	8 Fuente Tab	9 Ashrae X	10 Ashrae Y	11 Coeff. C _o	12 Veloc. V	13 P.Dinám P _v	14 Pérdida Δp_r o Δp_c
N. pz.	Cod.	[m³/h]	[mm]	[mm]	[mm]	[m]	[Pa/m]	n.	-	-	-	[m/s]	[Pa]	[Pa]
2326	11RA	225	133	150	100	0	0	ASH6_26M	0.833		0.017	4.2	10.62	0.25
178	310R	225	133	150	100	0.6	2.3					4.2	10.62	1.38

Pérdida de carga acumulada del segmento
 Velocidad en la sección inicial del segmento
 Velocidad en la sección final del segmento
 Recuperación de presión estática del segmento
 Pérdida de carga acumulada del segmento, considerando la recuperación
 Pérdida de carga acumulada neta – total acumulado

Δp_t [Pa] : 1.64
 V_m [m/s] : 5
 V_v [m/s] : 4.2
 Δp_r [Pa] : 4.43
 Δp_{tn} [Pa] : -2.96
 $\Sigma \Delta p_{tn}$ [Pa] : 90.93

SEGMENTO 48:

Tipo: Terminal TRM-46

1 ELEMENTO		2 Caudal Q	3 Diam. D/D _e	4 Ancho A	5 Alto B	6 Long. L	7 $\Delta p/L$	8 Fuente Tab	9 Ashrae X	10 Ashrae Y	11 Coeff. C _o	12 Veloc. V	13 P.Dinám P _v	14 Pérdida Δp_r o Δp_c
N. pz.	Cod.	[m³/h]	[mm]	[mm]	[mm]	[m]	[Pa/m]	n.	-	-	-	[m/s]	[Pa]	[Pa]
2327	11RA	45	98	98	98	0	0	ASH6_26	0.200	0.398	1.070	1.7	1.74	11.18
207	310C	45	98	98	98	0.07	0.57					1.7	1.74	0.04
209	079C	45	98	98	98	0	0	3.1	1.520		0.046	1.7	1.74	0.07
2345	273C	45	75	0	0	0.02	0	5.1	30.000	1.710	0.050	2.8	4.72	0.24
210	310C	45	75	0	0	0.3	2.03					2.8	4.72	0.61

2344	023C	45	75	0	0	0.02	0	4.1	30.000	1.710	0.320	2.8	4.72	1.54
212	05LC	45	98	98	98	0	0	MC4				1.7	1.74	18

Pérdida de carga acumulada del segmento	Δp_t	[Pa]	: 13.69
Velocidad en la sección inicial del segmento	V_m	[m/s]	: 4.2
Velocidad en la sección final del segmento	V_v	[m/s]	: 1.7
Recuperación de presión estática del segmento	Δp_r	[Pa]	: 8.88
Pérdida de carga acumulada del segmento, considerando la recuperación	Δp_{tm}	[Pa]	: 5.42
Pérdida de carga acumulada neta – total acumulado	$\Sigma \Delta p_{tm}$	[Pa]	: 114.35
Desequilibrio del terminal respecto al camino más desfavorable	Δp_{Tmr}	[Pa]	: 83.17

SEGMENTO 47:

Tipo: Tramo

1 ELEMENTO		2 Caudal Q	3 Diam. D/D _e	4 Ancho A	5 Alto B	6 Long. L	7 $\Delta p/L$	8 Fuente Tab	9 Ashrae X	10 Ashrae Y	11 Coeff. C _o	12 Veloc. V	13 P.Dinám P _v	14 Pérdida Δp_r o Δp_c
N. pz.	Cod.	[m³/h]	[mm]	[mm]	[mm]	[m]	[Pa/m]	n.	-	-	-	[m/s]	[Pa]	[Pa]
2328	11RA	180	133	150	100	0	0	ASH6_26M	0.800		0.020	3.3	6.56	0.21
2331	283R	180	109	100	100	0.14	0	5.1	30.000	1.500	0.050	5	15.05	0.75
179	310R	180	109	100	100	0.6	4.08					5	15.05	2.45

Pérdida de carga acumulada del segmento	Δp_t	[Pa]	: 3.41
Velocidad en la sección inicial del segmento	V_m	[m/s]	: 4.2
Velocidad en la sección final del segmento	V_v	[m/s]	: 5
Recuperación de presión estática del segmento	Δp_r	[Pa]	: -4.43
Pérdida de carga acumulada del segmento, considerando la recuperación	Δp_{tm}	[Pa]	: 8.01
Pérdida de carga acumulada neta – total acumulado	$\Sigma \Delta p_{tm}$	[Pa]	: 98.94

SEGMENTO 46:

Tipo: Terminal TRM-46

1 ELEMENTO		2 Caudal Q	3 Diam. D/D _e	4 Ancho A	5 Alto B	6 Long. L	7 $\Delta p/L$	8 Fuente Tab	9 Ashrae X	10 Ashrae Y	11 Coeff. C _o	12 Veloc. V	13 P.Dinám P _v	14 Pérdida Δp_r o Δp_c
N. pz.	Cod.	[m³/h]	[mm]	[mm]	[mm]	[m]	[Pa/m]	n.	-	-	-	[m/s]	[Pa]	[Pa]
2329	11RA	45	98	98	98	0	0	ASH6_26	0.250	0.332	1.080	1.7	1.74	16.18
201	310C	45	98	98	98	0.07	0.57					1.7	1.74	0.04
203	079C	45	98	98	98	0	0	3.1	1.520		0.046	1.7	1.74	0.07
2343	273C	45	75	0	0	0.02	0	5.1	30.000	1.710	0.050	2.8	4.72	0.24
204	310C	45	75	0	0	0.3	2.03					2.8	4.72	0.61
2342	023C	45	75	0	0	0.02	0	4.1	30.000	1.710	0.320	2.8	4.72	1.54
206	05LC	45	98	98	98	0	0	MC4				1.7	1.74	18

Pérdida de carga acumulada del segmento	Δp_t	[Pa]	: 18.68
Velocidad en la sección inicial del segmento	V_m	[m/s]	: 5
Velocidad en la sección final del segmento	V_v	[m/s]	: 1.7
Recuperación de presión estática del segmento	Δp_r	[Pa]	: 13.31
Pérdida de carga acumulada del segmento, considerando la recuperación	Δp_{tm}	[Pa]	: 5.82
Pérdida de carga acumulada neta – total acumulado	$\Sigma \Delta p_{tm}$	[Pa]	: 122.76
Desequilibrio del terminal respecto al camino más desfavorable	Δp_{Tmr}	[Pa]	: 74.76

SEGMENTO 45:

Tipo: Tramo

1 ELEMENTO		2 Caudal Q	3 Diam. D/D _e	4 Ancho A	5 Alto B	6 Long. L	7 $\Delta p/L$	8 Fuente Tab	9 Ashrae X	10 Ashrae Y	11 Coeff. C _o	12 Veloc. V	13 P.Dinám P _v	14 Pérdida Δp_r o Δp_c
N. pz.	Cod.	[m³/h]	[mm]	[mm]	[mm]	[m]	[Pa/m]	n.	-	-	-	[m/s]	[Pa]	[Pa]
2330	11RA	135	109	100	100	0	0	ASH6_26M	0.750		0.030	3.7	8.24	0.45
180	310R	135	109	100	100	0.6	2.4					3.7	8.24	1.44

Pérdida de carga acumulada del segmento	Δp_t	[Pa] : 1.89
Velocidad en la sección inicial del segmento	V_m	[m/s] : 5
Velocidad en la sección final del segmento	V_v	[m/s] : 3.7
Recuperación de presión estática del segmento	Δp_r	[Pa] : 6.81
Pérdida de carga acumulada del segmento, considerando la recuperación	Δp_{tm}	[Pa] : -4.69
Pérdida de carga acumulada neta – total acumulado	$\Sigma \Delta p_{tm}$	[Pa] : 94.25

SEGMENTO 44:

Tipo: Terminal TRM-46

1 ELEMENTO		2 Caudal Q	3 Diam. D/D _e	4 Ancho A	5 Alto B	6 Long. L	7 $\Delta p/L$	8 Fuente Tab	9 Ashrae X	10 Ashrae Y	11 Coeff. C _o	12 Veloc. V	13 P.Dinám P _v	14 Pérdida Δp_r o Δp_c
N. pz.	Cod.	[m³/h]	[mm]	[mm]	[mm]	[m]	[Pa/m]	n.	-	-	-	[m/s]	[Pa]	[Pa]
2332	11RA	45	98	98	98	0	0	ASH6_26	0.333	0.442	1.100	1.7	1.74	9.28
195	310C	45	98	98	98	0.07	0.57					1.7	1.74	0.04
197	079C	45	98	98	98	0	0	3.1	1.520		0.046	1.7	1.74	0.07
2341	273C	45	75	0	0	0.02	0	5.1	30.000	1.710	0.050	2.8	4.72	0.24
198	310C	45	75	0	0	0.3	2.03					2.8	4.72	0.61
2340	023C	45	75	0	0	0.02	0	4.1	30.000	1.710	0.320	2.8	4.72	1.54
200	05LC	45	98	98	98	0	0	MC4				1.7	1.74	18

Pérdida de carga acumulada del segmento	Δp_t	[Pa] : 11.79
Velocidad en la sección inicial del segmento	V_m	[m/s] : 3.7
Velocidad en la sección final del segmento	V_v	[m/s] : 1.7
Recuperación de presión estática del segmento	Δp_r	[Pa] : 6.5
Pérdida de carga acumulada del segmento, considerando la recuperación	Δp_{tm}	[Pa] : 5.51
Pérdida de carga acumulada neta – total acumulado	$\Sigma \Delta p_{tm}$	[Pa] : 117.76
Desequilibrio del terminal respecto al camino más desfavorable	Δp_{Tmr}	[Pa] : 79.76

SEGMENTO 43:

Tipo: Tramo

1 ELEMENTO		2 Caudal Q	3 Diam. D/D _e	4 Ancho A	5 Alto B	6 Long. L	7 $\Delta p/L$	8 Fuente Tab	9 Ashrae X	10 Ashrae Y	11 Coeff. C _o	12 Veloc. V	13 P.Dinám P _v	14 Pérdida Δp_r o Δp_c
N. pz.	Cod.	[m³/h]	[mm]	[mm]	[mm]	[m]	[Pa/m]	n.	-	-	-	[m/s]	[Pa]	[Pa]
2333	11RA	90	109	100	100	0	0	ASH6_26M	0.667		0.047	2.5	3.76	0.4
181	310R	90	109	100	100	0.6	1.13					2.5	3.76	0.68

Pérdida de carga acumulada del segmento	Δp_t	[Pa] : 1.07
Velocidad en la sección inicial del segmento	V_m	[m/s] : 3.7
Velocidad en la sección final del segmento	V_v	[m/s] : 2.5
Recuperación de presión estática del segmento	Δp_r	[Pa] : 4.48
Pérdida de carga acumulada del segmento, considerando la recuperación	Δp_{tm}	[Pa] : -3.63
Pérdida de carga acumulada neta – total acumulado	$\Sigma \Delta p_{tm}$	[Pa] : 90.62

SEGMENTO 42:**Tipo:** Terminal TRM-46

1 ELEMENTO		2 Caudal Q	3 Diam. D/D _e	4 Ancho A	5 Alto B	6 Long. L	7 $\Delta p/L$	8 Fuente Tab	9 Ashrae X	10 Ashrae Y	11 Coeff. C _o	12 Veloc. V	13 P.Dinám P _v	14 Pérdida Δp_r o Δp_e
N. pz.	Cod.	[m³/h]	[mm]	[mm]	[mm]	[m]	[Pa/m]	n.	-	-	-	[m/s]	[Pa]	[Pa]
2334	11RA	45	98	98	98	0	0	ASH6_26	0.500	0.663	1.260	1.7	1.74	4.74
189	310C	45	98	98	98	0.07	0.57					1.7	1.74	0.04
191	079C	45	98	98	98	0	0	3.1	1.520		0.046	1.7	1.74	0.07
2339	273C	45	75	0	0	0.02	0	5.1	30.000	1.710	0.050	2.8	4.72	0.24
192	310C	45	75	0	0	0.3	2.03					2.8	4.72	0.61
2338	023C	45	75	0	0	0.02	0	4.1	30.000	1.710	0.320	2.8	4.72	1.54
194	05LC	45	98	98	98	0	0	MC4				1.7	1.74	18

Pérdida de carga acumulada del segmento

 Δp_t [Pa] : 7.25

Velocidad en la sección inicial del segmento

 V_m [m/s] : 2.5

Velocidad en la sección final del segmento

 V_v [m/s] : 1.7

Recuperación de presión estática del segmento

 Δp_r [Pa] : 2.02

Pérdida de carga acumulada del segmento, considerando la recuperación

 Δp_{tn} [Pa] : 5.67

Pérdida de carga acumulada neta – total acumulado

 $\Sigma \Delta p_{tn}$ [Pa] : 114.29

Desequilibrio del terminal respecto al camino más desfavorable

 Δp_{Tmr} [Pa] : 83.23**SEGMENTO 41:****Tipo:** Terminal TRM-46

1 ELEMENTO		2 Caudal Q	3 Diam. D/D _e	4 Ancho A	5 Alto B	6 Long. L	7 $\Delta p/L$	8 Fuente Tab	9 Ashrae X	10 Ashrae Y	11 Coeff. C _o	12 Veloc. V	13 P.Dinám P _v	14 Pérdida Δp_r o Δp_e
N. pz.	Cod.	[m³/h]	[mm]	[mm]	[mm]	[m]	[Pa/m]	n.	-	-	-	[m/s]	[Pa]	[Pa]
2335	11RA	45	109	100	100	0	0	ASH6_26M	0.500		0.090	1.2	0.87	0.34
182	310R	45	109	100	100	0.6	0.32					1.2	0.87	0.19
173	11RAT	45	109	100	100	0	0	2_6	1.000	0.917	2.800	1.2	0.87	4.63
183	310C	45	98	98	98	0.07	0.57					1.7	1.74	0.04
185	079C	45	98	98	98	0	0	3.1	1.520		0.046	1.7	1.74	0.07
2337	023C	45	98	98	98	0	0	4.1	30.000	1.040	0.320	1.7	1.74	0.53
186	310C	45	100	0	0	0.3	0.5					1.6	1.54	0.15
2336	273C	45	98	98	98	0	0	5.1	30.000	1.040	0.050	1.7	1.74	0.08
188	05LC	45	98	98	98	0	0	MC4				1.7	1.74	18

Pérdida de carga acumulada del segmento

 Δp_t [Pa] : 6.04

Velocidad en la sección inicial del segmento

 V_m [m/s] : 2.5

Velocidad en la sección final del segmento

 V_v [m/s] : 1.7

Recuperación de presión estática del segmento

 Δp_r [Pa] : 2.02

Pérdida de carga acumulada del segmento, considerando la recuperación

 Δp_{tn} [Pa] : 3.93

Pérdida de carga acumulada neta – total acumulado

 $\Sigma \Delta p_{tn}$ [Pa] : 112.55

Desequilibrio del terminal respecto al camino más desfavorable

 Δp_{Tmr} [Pa] : 84.97**SEGMENTO 79:****Tipo:** Tramo

1 ELEMENTO		2 Caudal Q	3 Diam. D/D _e	4 Ancho A	5 Alto B	6 Long. L	7 $\Delta p/L$	8 Fuente Tab	9 Ashrae X	10 Ashrae Y	11 Coeff. C _o	12 Veloc. V	13 P.Dinám P _v	14 Pérdida Δp_r o Δp_e
N. pz.	Cod.	[m³/h]	[mm]	[mm]	[mm]	[m]	[Pa/m]	n.	-	-	-	[m/s]	[Pa]	[Pa]
2312	3736	11700	872	850	750	0	0	MC4	0.929		0.078	5.1	15.66	1.22
2397	283R	11700	842	850	700	0.19	0	5.1	30.000	1.070	0.050	5.5	18.21	7.33
315	310R	11700	842	850	700	1	0.39					5.5	18.21	0.39

Pérdida de carga acumulada del segmento	Δp_t	[Pa]	: 8.94
Velocidad en la sección inicial del segmento	V_m	[m/s]	: 4.9
Velocidad en la sección final del segmento	V_v	[m/s]	: 4.5
Recuperación de presión estática del segmento	Δp_r	[Pa]	: 2.26
Pérdida de carga acumulada del segmento, considerando la recuperación	Δp_{tn}	[Pa]	: 7.88
Pérdida de carga acumulada neta – total acumulado	$\Sigma \Delta p_{tn}$	[Pa]	: 73.86

SEGMENTO 99:

Tipo: Tramo

1 ELEMENTO		2 Caudal Q	3 Diam. D/D _e	4 Ancho A	5 Alto B	6 Long. L	7 $\Delta p/L$	8 Fuente Tab	9 Ashrae X	10 Ashrae Y	11 Coeff. C _o	12 Veloc. V	13 P.Dinám P _v	14 Pérdida Δp_r o Δp_e
N. pz.	Cod.	[m³/h]	[mm]	[mm]	[mm]	[m]	[Pa/m]	n.	-	-	-	[m/s]	[Pa]	[Pa]
2395	3736	450	331	150	700	0	0	MC4	0.038	0.176	11.200	1.2	0.87	9.76
2442	283R	450	164	150	150	1.05	0	5.1	30.000	4.670	0.040	5.6	18.88	0.74
390	310R	450	164	150	150	1.1	2.95					5.6	18.88	3.25

Pérdida de carga acumulada del segmento	Δp_t	[Pa]	: 13.76
Velocidad en la sección inicial del segmento	V_m	[m/s]	: 4.5
Velocidad en la sección final del segmento	V_v	[m/s]	: 3.3
Recuperación de presión estática del segmento	Δp_r	[Pa]	: 5.63
Pérdida de carga acumulada del segmento, considerando la recuperación	Δp_{tn}	[Pa]	: 9.11
Pérdida de carga acumulada neta – total acumulado	$\Sigma \Delta p_{tn}$	[Pa]	: 82.97

SEGMENTO 117:

Tipo: Terminal TRM-18

1 ELEMENTO		2 Caudal Q	3 Diam. D/D _e	4 Ancho A	5 Alto B	6 Long. L	7 $\Delta p/L$	8 Fuente Tab	9 Ashrae X	10 Ashrae Y	11 Coeff. C _o	12 Veloc. V	13 P.Dinám P _v	14 Pérdida Δp_r o Δp_e
N. pz.	Cod.	[m³/h]	[mm]	[mm]	[mm]	[m]	[Pa/m]	n.	-	-	-	[m/s]	[Pa]	[Pa]
2440	11RA	45	98	98	98	0	0	ASH6_26	0.100	0.298	1.070	1.7	1.74	7.18
456	310C	45	98	98	98	0.07	0.57					1.7	1.74	0.04
458	079C	45	98	98	98	0	0	3.1	1.520		0.046	1.7	1.74	0.07
2478	273C	45	75	0	0	0.02	0	5.1	30.000	1.710	0.050	2.8	4.72	0.24
459	310C	45	75	0	0	0.3	2.03					2.8	4.72	0.61
2477	023C	45	75	0	0	0.02	0	4.1	30.000	1.710	0.320	2.8	4.72	1.54
461	05LC	45	98	98	98	0	0	MC4				1.7	1.74	18

Pérdida de carga acumulada del segmento	Δp_t	[Pa]	: 9.68
Velocidad en la sección inicial del segmento	V_m	[m/s]	: 3.3
Velocidad en la sección final del segmento	V_v	[m/s]	: 1.7
Recuperación de presión estática del segmento	Δp_r	[Pa]	: 4.82
Pérdida de carga acumulada del segmento, considerando la recuperación	Δp_{tn}	[Pa]	: 5.18
Pérdida de carga acumulada neta – total acumulado	$\Sigma \Delta p_{tn}$	[Pa]	: 106.15
Desequilibrio del terminal respecto al camino más desfavorable	Δp_{Tmr}	[Pa]	: 91.37

SEGMENTO 116:

Tipo: Tramo

1 ELEMENTO		2 Caudal Q	3 Diam. D/D _e	4 Ancho A	5 Alto B	6 Long. L	7 $\Delta p/L$	8 Fuente Tab	9 Ashrae X	10 Ashrae Y	11 Coeff. C _o	12 Veloc. V	13 P.Dinám P _v	14 Pérdida Δp_r o Δp_e
N. pz.	Cod.	[m³/h]	[mm]	[mm]	[mm]	[m]	[Pa/m]	n.	-	-	-	[m/s]	[Pa]	[Pa]

2441	11RA	405	164	150	150	0	0	ASH6_26M	0.900		0.010	5	15.05	0.07
393	310R	405	164	150	150	0.6	2.43					5	15.05	1.46

Pérdida de carga acumulada del segmento	Δp_t	[Pa]	: 1.52
Velocidad en la sección inicial del segmento	V_m	[m/s]	: 3.3
Velocidad en la sección final del segmento	V_v	[m/s]	: 3
Recuperación de presión estática del segmento	Δp_r	[Pa]	: 1.14
Pérdida de carga acumulada del segmento, considerando la recuperación	Δp_{tn}	[Pa]	: 1.76
Pérdida de carga acumulada neta – total acumulado	$\Sigma \Delta p_{tn}$	[Pa]	: 84.73

SEGMENTO 115:

Tipo: Terminal TRM-19

1 ELEMENTO		2 Caudal Q	3 Diam. D/D _e	4 Ancho A	5 Alto B	6 Long. L	7 $\Delta p/L$	8 Fuente Tab	9 Ashrae X	10 Ashrae Y	11 Coeff. C _o	12 Veloc. V	13 P.Dinám P _v	14 Pérdida Δp_r o Δp_c
N. pz.	Cod.	[m³/h]	[mm]	[mm]	[mm]	[m]	[Pa/m]	n.	-	-	-	[m/s]	[Pa]	[Pa]
2443	11RA	45	98	98	98	0	0	ASH6_26	0.111	0.332	1.110	1.7	1.74	6
450	310C	45	98	98	98	0.07	0.57					1.7	1.74	0.04
452	079C	45	98	98	98	0	0	3.1	1.520		0.046	1.7	1.74	0.07
2476	273C	45	75	0	0	0.02	0	5.1	30.000	1.710	0.050	2.8	4.72	0.24
453	310C	45	75	0	0	0.3	2.03					2.8	4.72	0.61
2475	023C	45	75	0	0	0.02	0	4.1	30.000	1.710	0.320	2.8	4.72	1.54
455	05LC	45	98	98	98	0	0	MC4				1.7	1.74	18

Pérdida de carga acumulada del segmento	Δp_t	[Pa]	: 8.51
Velocidad en la sección inicial del segmento	V_m	[m/s]	: 3
Velocidad en la sección final del segmento	V_v	[m/s]	: 1.7
Recuperación de presión estática del segmento	Δp_r	[Pa]	: 3.68
Pérdida de carga acumulada del segmento, considerando la recuperación	Δp_{tn}	[Pa]	: 5.27
Pérdida de carga acumulada neta – total acumulado	$\Sigma \Delta p_{tn}$	[Pa]	: 108
Desequilibrio del terminal respecto al camino más desfavorable	Δp_{Tmr}	[Pa]	: 89.52

SEGMENTO 114:

Tipo: Tramo

1 ELEMENTO		2 Caudal Q	3 Diam. D/D _e	4 Ancho A	5 Alto B	6 Long. L	7 $\Delta p/L$	8 Fuente Tab	9 Ashrae X	10 Ashrae Y	11 Coeff. C _o	12 Veloc. V	13 P.Dinám P _v	14 Pérdida Δp_r o Δp_c
N. pz.	Cod.	[m³/h]	[mm]	[mm]	[mm]	[m]	[Pa/m]	n.	-	-	-	[m/s]	[Pa]	[Pa]
2444	11RA	360	164	150	150	0	0	ASH6_26M	0.889		0.011	4.4	11.65	0.06
394	310R	360	164	150	150	0.6	1.95					4.4	11.65	1.17

Pérdida de carga acumulada del segmento	Δp_t	[Pa]	: 1.23
Velocidad en la sección inicial del segmento	V_m	[m/s]	: 3
Velocidad en la sección final del segmento	V_v	[m/s]	: 2.7
Recuperación de presión estática del segmento	Δp_r	[Pa]	: 1.03
Pérdida de carga acumulada del segmento, considerando la recuperación	Δp_{tn}	[Pa]	: 1.28
Pérdida de carga acumulada neta – total acumulado	$\Sigma \Delta p_{tn}$	[Pa]	: 86.01

SEGMENTO 113:

Tipo: Terminal TRM-20

1	2	3	4	5	6	7	8	9	10	11	12	13	14
---	---	---	---	---	---	---	---	---	----	----	----	----	----

ELEMENTO		Caudal Q	Diam. D/D _e	Ancho A	Alto B	Long. L	$\Delta p/L$	Fuente Tab	Ashrae X	Ashrae Y	Coeff. C _o	Veloc. V	P.Dinám P _v	Pérdida Δp_r o Δp_c
N. pz.	Cod.	[m³/h]	[mm]	[mm]	[mm]	[m]	[Pa/m]	n.	-	-	-	[m/s]	[Pa]	[Pa]
2445	11RA	45	98	98	98	0	0	ASH6_26	0.125	0.373	1.140	1.7	1.74	4.88
444	310C	45	98	98	98	0.07	0.57					1.7	1.74	0.04
446	079C	45	98	98	98	0	0	3.1	1.520		0.046	1.7	1.74	0.07
2474	273C	45	75	0	0	0.02	0	5.1	30.000	1.710	0.050	2.8	4.72	0.24
447	310C	45	75	0	0	0.3	2.03					2.8	4.72	0.61
2473	023C	45	75	0	0	0.02	0	4.1	30.000	1.710	0.320	2.8	4.72	1.54
449	05LC	45	98	98	98	0	0	MC4				1.7	1.74	18

Pérdida de carga acumulada del segmento	Δp_t	[Pa] : 7.38
Velocidad en la sección inicial del segmento	V_m	[m/s] : 2.7
Velocidad en la sección final del segmento	V_v	[m/s] : 1.7
Recuperación de presión estática del segmento	Δp_r	[Pa] : 2.65
Pérdida de carga acumulada del segmento, considerando la recuperación	Δp_{tm}	[Pa] : 5.28
Pérdida de carga acumulada neta – total acumulado	$\Sigma \Delta p_{tm}$	[Pa] : 109.29
Desequilibrio del terminal respecto al camino más desfavorable	Δp_{Tmr}	[Pa] : 88.23

SEGMENTO 112:

Tipo: Tramo

1 ELEMENTO		2 Caudal Q	3 Diam. D/D _e	4 Ancho A	5 Alto B	6 Long. L	7 $\Delta p/L$	8 Fuente Tab	9 Ashrae X	10 Ashrae Y	11 Coeff. C _o	12 Veloc. V	13 P.Dinám P _v	14 Pérdida Δp_r o Δp_c
N. pz.	Cod.	[m³/h]	[mm]	[mm]	[mm]	[m]	[Pa/m]	n.	-	-	-	[m/s]	[Pa]	[Pa]
2446	11RA	315	164	150	150	0	0	ASH6_26M	0.875		0.012	3.9	9.16	0.05
395	310R	315	164	150	150	0.6	1.52					3.9	9.16	0.91

Pérdida de carga acumulada del segmento	Δp_t	[Pa] : 0.97
Velocidad en la sección inicial del segmento	V_m	[m/s] : 2.7
Velocidad en la sección final del segmento	V_v	[m/s] : 2.3
Recuperación de presión estática del segmento	Δp_r	[Pa] : 1.2
Pérdida de carga acumulada del segmento, considerando la recuperación	Δp_{tm}	[Pa] : 0.87
Pérdida de carga acumulada neta – total acumulado	$\Sigma \Delta p_{tm}$	[Pa] : 86.88

SEGMENTO 111:

Tipo: Terminal TRM-21

1 ELEMENTO		2 Caudal Q	3 Diam. D/D _e	4 Ancho A	5 Alto B	6 Long. L	7 $\Delta p/L$	8 Fuente Tab	9 Ashrae X	10 Ashrae Y	11 Coeff. C _o	12 Veloc. V	13 P.Dinám P _v	14 Pérdida Δp_r o Δp_c
N. pz.	Cod.	[m³/h]	[mm]	[mm]	[mm]	[m]	[Pa/m]	n.	-	-	-	[m/s]	[Pa]	[Pa]
2447	11RA	45	98	98	98	0	0	ASH6_26	0.143	0.426	1.190	1.7	1.74	3.88
438	310C	45	98	98	98	0.07	0.57					1.7	1.74	0.04
440	079C	45	98	98	98	0	0	3.1	1.520		0.046	1.7	1.74	0.07
2472	273C	45	75	0	0	0.02	0	5.1	30.000	1.710	0.050	2.8	4.72	0.24
441	310C	45	75	0	0	0.3	2.03					2.8	4.72	0.61
2471	023C	45	75	0	0	0.02	0	4.1	30.000	1.710	0.320	2.8	4.72	1.54
443	05LC	45	98	98	98	0	0	MC4				1.7	1.74	18

Pérdida de carga acumulada del segmento	Δp_t	[Pa] : 6.39
Velocidad en la sección inicial del segmento	V_m	[m/s] : 2.3
Velocidad en la sección final del segmento	V_v	[m/s] : 1.7
Recuperación de presión estática del segmento	Δp_r	[Pa] : 1.44
Pérdida de carga acumulada del segmento, considerando la recuperación	Δp_{tm}	[Pa] : 5.29

Pérdida de carga acumulada neta – total acumulado
Desequilibrio del terminal respecto al camino más desfavorable

$\Sigma \Delta p_{tn}$ [Pa] : 110.18
 Δp_{Tmr} [Pa] : 87.34

SEGMENTO 110:

Tipo: Tramo

1 ELEMENTO		2 Caudal Q	3 Diam. D/D _e	4 Ancho A	5 Alto B	6 Long. L	7 $\Delta p/L$	8 Fuente Tab	9 Ashrae X	10 Ashrae Y	11 Coeff. C _o	12 Veloc. V	13 P.Dinám P _v	14 Pérdida Δp_r o Δp_c
N. pz.	Cod.	[m³/h]	[mm]	[mm]	[mm]	[m]	[Pa/m]	n.	-	-	-	[m/s]	[Pa]	[Pa]
2448	11RA	270	164	150	150	0	0	ASH6_26M	0.857		0.014	3.3	6.56	0.05
396	310R	270	164	150	150	0.6	1.15					3.3	6.56	0.69

Pérdida de carga acumulada del segmento
Velocidad en la sección inicial del segmento
Velocidad en la sección final del segmento
Recuperación de presión estática del segmento
Pérdida de carga acumulada del segmento, considerando la recuperación
Pérdida de carga acumulada neta – total acumulado

Δp_t [Pa] : 0.73
 V_m [m/s] : 2.3
 V_v [m/s] : 2
 Δp_r [Pa] : 0.78
 Δp_{tn} [Pa] : 0.53
 $\Sigma \Delta p_{tn}$ [Pa] : 87.42

SEGMENTO 109:

Tipo: Terminal TRM-22

1 ELEMENTO		2 Caudal Q	3 Diam. D/D _e	4 Ancho A	5 Alto B	6 Long. L	7 $\Delta p/L$	8 Fuente Tab	9 Ashrae X	10 Ashrae Y	11 Coeff. C _o	12 Veloc. V	13 P.Dinám P _v	14 Pérdida Δp_r o Δp_c
N. pz.	Cod.	[m³/h]	[mm]	[mm]	[mm]	[m]	[Pa/m]	n.	-	-	-	[m/s]	[Pa]	[Pa]
2449	11RA	45	98	98	98	0	0	ASH6_26	0.167	0.497	1.280	1.7	1.74	3.08
432	310C	45	98	98	98	0.07	0.57					1.7	1.74	0.04
434	079C	45	98	98	98	0	0	3.1	1.520		0.046	1.7	1.74	0.07
2470	273C	45	75	0	0	0.02	0	5.1	30.000	1.710	0.050	2.8	4.72	0.24
435	310C	45	75	0	0	0.3	2.03					2.8	4.72	0.61
2469	023C	45	75	0	0	0.02	0	4.1	30.000	1.710	0.320	2.8	4.72	1.54
437	05LC	45	98	98	98	0	0	MC4				1.7	1.74	18

Pérdida de carga acumulada del segmento
Velocidad en la sección inicial del segmento
Velocidad en la sección final del segmento
Recuperación de presión estática del segmento
Pérdida de carga acumulada del segmento, considerando la recuperación
Pérdida de carga acumulada neta – total acumulado
Desequilibrio del terminal respecto al camino más desfavorable

Δp_t [Pa] : 5.59
 V_m [m/s] : 2
 V_v [m/s] : 1.7
 Δp_r [Pa] : 0.67
 Δp_{tn} [Pa] : 5.36
 $\Sigma \Delta p_{tn}$ [Pa] : 110.78
 Δp_{Tmr} [Pa] : 86.75

SEGMENTO 108:

Tipo: Tramo

1 ELEMENTO		2 Caudal Q	3 Diam. D/D _e	4 Ancho A	5 Alto B	6 Long. L	7 $\Delta p/L$	8 Fuente Tab	9 Ashrae X	10 Ashrae Y	11 Coeff. C _o	12 Veloc. V	13 P.Dinám P _v	14 Pérdida Δp_r o Δp_c
N. pz.	Cod.	[m³/h]	[mm]	[mm]	[mm]	[m]	[Pa/m]	n.	-	-	-	[m/s]	[Pa]	[Pa]
2450	11RA	225	164	150	150	0	0	ASH6_26M	0.833		0.017	2.8	4.72	0.04
397	310R	225	164	150	150	0.6	0.82					2.8	4.72	0.49

Pérdida de carga acumulada del segmento

Δp_t [Pa] : 0.53

Velocidad en la sección inicial del segmento	V_m	[m/s]	: 2
Velocidad en la sección final del segmento	V_v	[m/s]	: 3.1
Recuperación de presión estática del segmento	Δp_r	[Pa]	: -3.38
Pérdida de carga acumulada del segmento, considerando la recuperación	Δp_{tn}	[Pa]	: 4.53
Pérdida de carga acumulada neta – total acumulado	$\Sigma \Delta p_{tn}$	[Pa]	: 91.94

SEGMENTO 107:

Tipo: Terminal TRM-22

1 ELEMENTO		2 Caudal Q	3 Diam. D/D _e	4 Ancho A	5 Alto B	6 Long. L	7 $\Delta p/L$	8 Fuente Tab	9 Ashrae X	10 Ashrae Y	11 Coeff. C _o	12 Veloc. V	13 P.Dinám P _v	14 Pérdida Δp_r o Δp_c
N. pz.	Cod.	[m³/h]	[mm]	[mm]	[mm]	[m]	[Pa/m]	n.	-	-	-	[m/s]	[Pa]	[Pa]
2451	11RA	45	98	98	98	0	0	ASH6_26	0.200	0.597	1.090	1.7	1.74	6.41
426	310C	45	98	98	98	0.07	0.57					1.7	1.74	0.04
428	079C	45	98	98	98	0	0	3.1	1.520		0.046	1.7	1.74	0.07
2468	273C	45	75	0	0	0.02	0	5.1	30.000	1.710	0.050	2.8	4.72	0.24
429	310C	45	75	0	0	0.3	2.03					2.8	4.72	0.61
2467	023C	45	75	0	0	0.02	0	4.1	30.000	1.710	0.320	2.8	4.72	1.54
431	05LC	45	98	98	98	0	0	MC4				1.7	1.74	18

Pérdida de carga acumulada del segmento	Δp_t	[Pa]	: 8.91
Velocidad en la sección inicial del segmento	V_m	[m/s]	: 3.1
Velocidad en la sección final del segmento	V_v	[m/s]	: 1.7
Recuperación de presión estática del segmento	Δp_r	[Pa]	: 4.05
Pérdida de carga acumulada del segmento, considerando la recuperación	Δp_{tn}	[Pa]	: 5.21
Pérdida de carga acumulada neta – total acumulado	$\Sigma \Delta p_{tn}$	[Pa]	: 115.16
Desequilibrio del terminal respecto al camino más desfavorable	Δp_{Tmr}	[Pa]	: 82.36

SEGMENTO 106:

Tipo: Tramo

1 ELEMENTO		2 Caudal Q	3 Diam. D/D _e	4 Ancho A	5 Alto B	6 Long. L	7 $\Delta p/L$	8 Fuente Tab	9 Ashrae X	10 Ashrae Y	11 Coeff. C _o	12 Veloc. V	13 P.Dinám P _v	14 Pérdida Δp_r o Δp_c
N. pz.	Cod.	[m³/h]	[mm]	[mm]	[mm]	[m]	[Pa/m]	n.	-	-	-	[m/s]	[Pa]	[Pa]
2452	11RA	180	164	150	150	0	0	ASH6_26M	0.800		0.020	2.2	2.91	0.12
398	310R	180	164	150	150	0.6	0.55					2.2	2.91	0.33

Pérdida de carga acumulada del segmento	Δp_t	[Pa]	: 0.45
Velocidad en la sección inicial del segmento	V_m	[m/s]	: 3.1
Velocidad en la sección final del segmento	V_v	[m/s]	: 2.5
Recuperación de presión estática del segmento	Δp_r	[Pa]	: 2.02
Pérdida de carga acumulada del segmento, considerando la recuperación	Δp_{tn}	[Pa]	: -0.35
Pérdida de carga acumulada neta – total acumulado	$\Sigma \Delta p_{tn}$	[Pa]	: 91.59

SEGMENTO 105:

Tipo: Terminal TRM-24

1 ELEMENTO		2 Caudal Q	3 Diam. D/D _e	4 Ancho A	5 Alto B	6 Long. L	7 $\Delta p/L$	8 Fuente Tab	9 Ashrae X	10 Ashrae Y	11 Coeff. C _o	12 Veloc. V	13 P.Dinám P _v	14 Pérdida Δp_r o Δp_c
N. pz.	Cod.	[m³/h]	[mm]	[mm]	[mm]	[m]	[Pa/m]	n.	-	-	-	[m/s]	[Pa]	[Pa]
2453	11RA	45	98	98	98	0	0	ASH6_26	0.250	0.746	1.130	1.7	1.74	4.25
420	310C	45	98	98	98	0.07	0.57					1.7	1.74	0.04

422	079C	45	98	98	98	0	0	3.1	1.520		0.046	1.7	1.74	0.07
2466	273C	45	75	0	0	0.02	0	5.1	30.000	1.710	0.050	2.8	4.72	0.24
423	310C	45	75	0	0	0.3	2.03					2.8	4.72	0.61
2465	023C	45	75	0	0	0.02	0	4.1	30.000	1.710	0.320	2.8	4.72	1.54
425	05LC	45	98	98	98	0	0	MC4				1.7	1.74	18

Pérdida de carga acumulada del segmento	Δp_t	[Pa]	: 6.76
Velocidad en la sección inicial del segmento	V_m	[m/s]	: 2.5
Velocidad en la sección final del segmento	V_v	[m/s]	: 1.7
Recuperación de presión estática del segmento	Δp_r	[Pa]	: 2.02
Pérdida de carga acumulada del segmento, considerando la recuperación	Δp_{tn}	[Pa]	: 5.17
Pérdida de carga acumulada neta – total acumulado	$\Sigma \Delta p_{tn}$	[Pa]	: 114.76
Desequilibrio del terminal respecto al camino más desfavorable	Δp_{Tmr}	[Pa]	: 82.76

SEGMENTO 104:

Tipo: Tramo

1 ELEMENTO		2 Caudal Q	3 Diam. D/D _e	4 Ancho A	5 Alto B	6 Long. L	7 $\Delta p/L$	8 Fuente Tab	9 Ashrae X	10 Ashrae Y	11 Coeff. C _o	12 Veloc. V	13 P.Dinám P _v	14 Pérdida Δp_r o Δp_e
N. pz.	Cod.	[m³/h]	[mm]	[mm]	[mm]	[m]	[Pa/m]	n.	-	-	-	[m/s]	[Pa]	[Pa]
2454	11RA	135	164	150	150	0	0	ASH6_26M	0.750		0.030	1.7	1.74	0.11
399	310R	135	164	150	150	0.6	0.32					1.7	1.74	0.19

Pérdida de carga acumulada del segmento	Δp_t	[Pa]	: 0.31
Velocidad en la sección inicial del segmento	V_m	[m/s]	: 2.5
Velocidad en la sección final del segmento	V_v	[m/s]	: 2.5
Recuperación de presión estática del segmento	Δp_r	[Pa]	: 0
Pérdida de carga acumulada del segmento, considerando la recuperación	Δp_{tn}	[Pa]	: 1.13
Pérdida de carga acumulada neta – total acumulado	$\Sigma \Delta p_{tn}$	[Pa]	: 92.72

SEGMENTO 103:

Tipo: Terminal TRM-25

1 ELEMENTO		2 Caudal Q	3 Diam. D/D _e	4 Ancho A	5 Alto B	6 Long. L	7 $\Delta p/L$	8 Fuente Tab	9 Ashrae X	10 Ashrae Y	11 Coeff. C _o	12 Veloc. V	13 P.Dinám P _v	14 Pérdida Δp_r o Δp_e
N. pz.	Cod.	[m³/h]	[mm]	[mm]	[mm]	[m]	[Pa/m]	n.	-	-	-	[m/s]	[Pa]	[Pa]
2455	11RA	45	98	98	98	0	0	ASH6_26	0.333	0.995	1.110	1.7	1.74	4.16
414	310C	45	98	98	98	0.07	0.57					1.7	1.74	0.04
416	079C	45	98	98	98	0	0	3.1	1.520		0.046	1.7	1.74	0.07
2464	273C	45	75	0	0	0.02	0	5.1	30.000	1.710	0.050	2.8	4.72	0.24
417	310C	45	75	0	0	0.3	2.03					2.8	4.72	0.61
2463	023C	45	75	0	0	0.02	0	4.1	30.000	1.710	0.320	2.8	4.72	1.54
419	05LC	45	98	98	98	0	0	MC4				1.7	1.74	18

Pérdida de carga acumulada del segmento	Δp_t	[Pa]	: 6.66
Velocidad en la sección inicial del segmento	V_m	[m/s]	: 2.5
Velocidad en la sección final del segmento	V_v	[m/s]	: 1.7
Recuperación de presión estática del segmento	Δp_r	[Pa]	: 2.02
Pérdida de carga acumulada del segmento, considerando la recuperación	Δp_{tn}	[Pa]	: 5.08
Pérdida de carga acumulada neta – total acumulado	$\Sigma \Delta p_{tn}$	[Pa]	: 115.8
Desequilibrio del terminal respecto al camino más desfavorable	Δp_{Tmr}	[Pa]	: 81.72

SEGMENTO 102:

Tipo: Tramo

1 ELEMENTO		2 Caudal Q	3 Diam. D/D _e	4 Ancho A	5 Alto B	6 Long. L	7 $\Delta p/L$	8 Fuente Tab	9 Ashrae X	10 Ashrae Y	11 Coeff. C _o	12 Veloc. V	13 P.Dinám P _v	14 Pérdida Δp_r o Δp_e
N. pz.	Cod.	[m³/h]	[mm]	[mm]	[mm]	[m]	[Pa/m]	n.	-	-	-	[m/s]	[Pa]	[Pa]
2456	11RA	90	164	150	150	0	0	ASH6_26M	0.667		0.047	1.1	0.73	0.18
400	310R	90	164	150	150	0.6	0.15					1.1	0.73	0.09

Pérdida de carga acumulada del segmento	Δp_t	[Pa] : 0.27
Velocidad en la sección inicial del segmento	V_m	[m/s] : 2.5
Velocidad en la sección final del segmento	V_v	[m/s] : 2.5
Recuperación de presión estática del segmento	Δp_r	[Pa] : 0
Pérdida de carga acumulada del segmento, considerando la recuperación	Δp_{tm}	[Pa] : 0.95
Pérdida de carga acumulada neta – total acumulado	$\Sigma \Delta p_{tm}$	[Pa] : 93.67

SEGMENTO 101:

Tipo: Terminal TRM-26

1 ELEMENTO		2 Caudal Q	3 Diam. D/D _e	4 Ancho A	5 Alto B	6 Long. L	7 $\Delta p/L$	8 Fuente Tab	9 Ashrae X	10 Ashrae Y	11 Coeff. C _o	12 Veloc. V	13 P.Dinám P _v	14 Pérdida Δp_r o Δp_e
N. pz.	Cod.	[m³/h]	[mm]	[mm]	[mm]	[m]	[Pa/m]	n.	-	-	-	[m/s]	[Pa]	[Pa]
2457	11RA	45	98	98	98	0	0	ASH6_26	0.500	1.490	1.260	1.7	1.74	4.74
408	310C	45	98	98	98	0.07	0.57					1.7	1.74	0.04
410	079C	45	98	98	98	0	0	3.1	1.520		0.046	1.7	1.74	0.07
2462	273C	45	75	0	0	0.02	0	5.1	30.000	1.710	0.050	2.8	4.72	0.24
411	310C	45	75	0	0	0.3	2.03					2.8	4.72	0.61
2461	023C	45	75	0	0	0.02	0	4.1	30.000	1.710	0.320	2.8	4.72	1.54
413	05LC	45	98	98	98	0	0	MC4				1.7	1.74	18

Pérdida de carga acumulada del segmento	Δp_t	[Pa] : 7.25
Velocidad en la sección inicial del segmento	V_m	[m/s] : 2.5
Velocidad en la sección final del segmento	V_v	[m/s] : 1.7
Recuperación de presión estática del segmento	Δp_r	[Pa] : 2.02
Pérdida de carga acumulada del segmento, considerando la recuperación	Δp_{tm}	[Pa] : 5.67
Pérdida de carga acumulada neta – total acumulado	$\Sigma \Delta p_{tm}$	[Pa] : 117.34
Desequilibrio del terminal respecto al camino más desfavorable	Δp_{Tmr}	[Pa] : 80.18

SEGMENTO 100:

Tipo: Terminal TRM-27

1 ELEMENTO		2 Caudal Q	3 Diam. D/D _e	4 Ancho A	5 Alto B	6 Long. L	7 $\Delta p/L$	8 Fuente Tab	9 Ashrae X	10 Ashrae Y	11 Coeff. C _o	12 Veloc. V	13 P.Dinám P _v	14 Pérdida Δp_r o Δp_e
N. pz.	Cod.	[m³/h]	[mm]	[mm]	[mm]	[m]	[Pa/m]	n.	-	-	-	[m/s]	[Pa]	[Pa]
2458	11RA	45	164	150	150	0	0	ASH6_26M	0.500		0.090	0.6	0.22	0.34
401	310R	45	164	150	150	0.6	0.05					0.6	0.22	0.03
392	11RAT	45	164	150	150	0	0	2_6	1.000	0.915	2.800	0.6	0.22	0
402	310C	45	98	98	98	0.07	0.57					1.7	1.74	0.04
404	079C	45	98	98	98	0	0	3.1	1.520		0.046	1.7	1.74	0.07
2460	023C	45	98	98	98	0	0	4.1	30.000	1.040	0.320	1.7	1.74	0.53
405	310C	45	100	0	0	0.3	0.5					1.6	1.54	0.15
2459	273C	45	98	98	98	0	0	5.1	30.000	1.040	0.050	1.7	1.74	0.08
407	05LC	45	98	98	98	0	0	MC4				1.7	1.74	18

Pérdida de carga acumulada del segmento	Δp_t	[Pa] : 1.24
Velocidad en la sección inicial del segmento	V_m	[m/s] : 2.5

Velocidad en la sección final del segmento	V_v	[m/s]	: 1.7
Recuperación de presión estática del segmento	Δp_r	[Pa]	: 2.02
Pérdida de carga acumulada del segmento, considerando la recuperación	Δp_{tn}	[Pa]	: -0.55
Pérdida de carga acumulada neta – total acumulado	$\Sigma \Delta p_{tn}$	[Pa]	: 111.12
Desequilibrio del terminal respecto al camino más desfavorable	Δp_{Tmr}	[Pa]	: 86.4

SEGMENTO 98:

Tipo: Tramo

1 ELEMENTO		2 Caudal Q	3 Diam. D/D _e	4 Ancho A	5 Alto B	6 Long. L	7 $\Delta p/L$	8 Fuente Tab	9 Ashrae X	10 Ashrae Y	11 Coeff. C _o	12 Veloc. V	13 P.Dinám P _v	14 Pérdida Δp_r o Δp_c
N. pz.	Cod.	[m³/h]	[mm]	[mm]	[mm]	[m]	[Pa/m]	n.	-	-	-	[m/s]	[Pa]	[Pa]
319	3736	450	443	250	700	0	0	MC4	0.038	0.294	43.100	0.7	0.29	12.5
2400	283R	450	210	250	150	1.05	0	5.1	30.000	4.670	0.040	3.3	6.56	0.27
318	310R	450	210	250	150	1.05	0.87					3.3	6.56	0.91

Pérdida de carga acumulada del segmento	Δp_t	[Pa]	: 13.68
Velocidad en la sección inicial del segmento	V_m	[m/s]	: 4.5
Velocidad en la sección final del segmento	V_v	[m/s]	: 3.3
Recuperación de presión estática del segmento	Δp_r	[Pa]	: 5.63
Pérdida de carga acumulada del segmento, considerando la recuperación	Δp_{tn}	[Pa]	: 8.1
Pérdida de carga acumulada neta – total acumulado	$\Sigma \Delta p_{tn}$	[Pa]	: 81.97

SEGMENTO 97:

Tipo: Terminal TRM-46

1 ELEMENTO		2 Caudal Q	3 Diam. D/D _e	4 Ancho A	5 Alto B	6 Long. L	7 $\Delta p/L$	8 Fuente Tab	9 Ashrae X	10 Ashrae Y	11 Coeff. C _o	12 Veloc. V	13 P.Dinám P _v	14 Pérdida Δp_r o Δp_c
N. pz.	Cod.	[m³/h]	[mm]	[mm]	[mm]	[m]	[Pa/m]	n.	-	-	-	[m/s]	[Pa]	[Pa]
2398	11RA	45	98	98	98	0	0	ASH6_26	0.100	0.497	1.070	1.7	1.74	7.18
384	310C	45	98	98	98	0.07	0.57					1.7	1.74	0.04
386	079C	45	98	98	98	0	0	3.1	1.520		0.046	1.7	1.74	0.07
2439	273C	45	75	0	0	0.02	0	5.1	30.000	1.710	0.050	2.8	4.72	0.24
387	310C	45	75	0	0	0.3	2.03					2.8	4.72	0.61
2438	023C	45	75	0	0	0.02	0	4.1	30.000	1.710	0.320	2.8	4.72	1.54
389	05LC	45	98	98	98	0	0	MC4				1.7	1.74	18

Pérdida de carga acumulada del segmento	Δp_t	[Pa]	: 9.68
Velocidad en la sección inicial del segmento	V_m	[m/s]	: 3.3
Velocidad en la sección final del segmento	V_v	[m/s]	: 1.7
Recuperación de presión estática del segmento	Δp_r	[Pa]	: 4.82
Pérdida de carga acumulada del segmento, considerando la recuperación	Δp_{tn}	[Pa]	: 5.18
Pérdida de carga acumulada neta – total acumulado	$\Sigma \Delta p_{tn}$	[Pa]	: 105.14
Desequilibrio del terminal respecto al camino más desfavorable	Δp_{Tmr}	[Pa]	: 92.38

SEGMENTO 96:

Tipo: Tramo

1 ELEMENTO		2 Caudal Q	3 Diam. D/D _e	4 Ancho A	5 Alto B	6 Long. L	7 $\Delta p/L$	8 Fuente Tab	9 Ashrae X	10 Ashrae Y	11 Coeff. C _o	12 Veloc. V	13 P.Dinám P _v	14 Pérdida Δp_r o Δp_c
N. pz.	Cod.	[m³/h]	[mm]	[mm]	[mm]	[m]	[Pa/m]	n.	-	-	-	[m/s]	[Pa]	[Pa]
2399	11RA	405	210	250	150	0	0	ASH6_26M	0.900		0.010	3	5.42	0.07
2403	283R	405	152	200	100	0.19	0	5.1	30.000	1.880	0.050	5.6	18.88	0.95

321	310R	405	152	200	100	0.6	3.53					5.6	18.88	2.12
-----	------	-----	-----	-----	-----	-----	------	--	--	--	--	-----	-------	------

Pérdida de carga acumulada del segmento	Δp_t	[Pa]	: 3.14
Velocidad en la sección inicial del segmento	V_m	[m/s]	: 3.3
Velocidad en la sección final del segmento	V_v	[m/s]	: 5.6
Recuperación de presión estática del segmento	Δp_r	[Pa]	: -12.32
Pérdida de carga acumulada del segmento, considerando la recuperación	Δp_{tm}	[Pa]	: 15.5
Pérdida de carga acumulada neta – total acumulado	$\Sigma \Delta p_{tm}$	[Pa]	: 97.47

SEGMENTO 95:

Tipo: Terminal TRM-46

1 ELEMENTO		2 Caudal Q	3 Diam. D/D _e	4 Ancho A	5 Alto B	6 Long. L	7 $\Delta p_r/L$	8 Fuente Tab	9 Ashrae X	10 Ashrae Y	11 Coeff. C _o	12 Veloc. V	13 P.Dinám P _v	14 Pérdida Δp_r o Δp_e
N. pz.	Cod.	[m³/h]	[mm]	[mm]	[mm]	[m]	[Pa/m]	n.	-	-	-	[m/s]	[Pa]	[Pa]
2401	11RA	45	98	98	98	0	0	ASH6_26	0.111	0.295	1.010	1.7	1.74	19.28
378	310C	45	98	98	98	0.07	0.57					1.7	1.74	0.04
380	079C	45	98	98	98	0	0	3.1	1.520		0.046	1.7	1.74	0.07
2437	273C	45	75	0	0	0.02	0	5.1	30.000	1.710	0.050	2.8	4.72	0.24
381	310C	45	75	0	0	0.3	2.03					2.8	4.72	0.61
2436	023C	45	75	0	0	0.02	0	4.1	30.000	1.710	0.320	2.8	4.72	1.54
383	05LC	45	98	98	98	0	0	MC4				1.7	1.74	18

Pérdida de carga acumulada del segmento	Δp_t	[Pa]	: 21.78
Velocidad en la sección inicial del segmento	V_m	[m/s]	: 5.6
Velocidad en la sección final del segmento	V_v	[m/s]	: 1.7
Recuperación de presión estática del segmento	Δp_r	[Pa]	: 17.14
Pérdida de carga acumulada del segmento, considerando la recuperación	Δp_{tm}	[Pa]	: 4.92
Pérdida de carga acumulada neta – total acumulado	$\Sigma \Delta p_{tm}$	[Pa]	: 120.38
Desequilibrio del terminal respecto al camino más desfavorable	Δp_{Tmr}	[Pa]	: 77.14

SEGMENTO 94:

Tipo: Tramo

1 ELEMENTO		2 Caudal Q	3 Diam. D/D _e	4 Ancho A	5 Alto B	6 Long. L	7 $\Delta p_r/L$	8 Fuente Tab	9 Ashrae X	10 Ashrae Y	11 Coeff. C _o	12 Veloc. V	13 P.Dinám P _v	14 Pérdida Δp_r o Δp_e
N. pz.	Cod.	[m³/h]	[mm]	[mm]	[mm]	[m]	[Pa/m]	n.	-	-	-	[m/s]	[Pa]	[Pa]
2402	11RA	360	152	200	100	0	0	ASH6_26M	0.889		0.011	5	15.05	0.21
322	310R	360	152	200	100	0.6	2.85					5	15.05	1.71

Pérdida de carga acumulada del segmento	Δp_t	[Pa]	: 1.92
Velocidad en la sección inicial del segmento	V_m	[m/s]	: 5.6
Velocidad en la sección final del segmento	V_v	[m/s]	: 5
Recuperación de presión estática del segmento	Δp_r	[Pa]	: 3.83
Pérdida de carga acumulada del segmento, considerando la recuperación	Δp_{tm}	[Pa]	: -2.08
Pérdida de carga acumulada neta – total acumulado	$\Sigma \Delta p_{tm}$	[Pa]	: 95.39

SEGMENTO 93:

Tipo: Terminal TRM-46

1 ELEMENTO		2 Caudal Q	3 Diam. D/D _e	4 Ancho A	5 Alto B	6 Long. L	7 $\Delta p_r/L$	8 Fuente Tab	9 Ashrae X	10 Ashrae Y	11 Coeff. C _o	12 Veloc. V	13 P.Dinám P _v	14 Pérdida Δp_r o Δp_e
---------------	--	------------------	--------------------------------	-----------------	----------------	-----------------	---------------------	--------------------	------------------	-------------------	--------------------------------	-------------------	---------------------------------	--

N. pz.	Cod.	[m³/h]	[mm]	[mm]	[mm]	[m]	[Pa/m]	n.	-	-	-	[m/s]	[Pa]	[Pa]
2404	11RA	45	98	98	98	0	0	ASH6_26	0.125	0.332	1.020	1.7	1.74	15.39
372	310C	45	98	98	98	0.07	0.57					1.7	1.74	0.04
374	079C	45	98	98	98	0	0	3.1	1.520		0.046	1.7	1.74	0.07
2435	273C	45	75	0	0	0.02	0	5.1	30.000	1.710	0.050	2.8	4.72	0.24
375	310C	45	75	0	0	0.3	2.03					2.8	4.72	0.61
2434	023C	45	75	0	0	0.02	0	4.1	30.000	1.710	0.320	2.8	4.72	1.54
377	05LC	45	98	98	98	0	0	MC4				1.7	1.74	18

Pérdida de carga acumulada del segmento	Δp_t	[Pa]	: 17.89
Velocidad en la sección inicial del segmento	V_m	[m/s]	: 5
Velocidad en la sección final del segmento	V_v	[m/s]	: 1.7
Recuperación de presión estática del segmento	Δp_r	[Pa]	: 13.31
Pérdida de carga acumulada del segmento, considerando la recuperación	Δp_{tn}	[Pa]	: 5.03
Pérdida de carga acumulada neta – total acumulado	$\Sigma \Delta p_{tn}$	[Pa]	: 118.41
Desequilibrio del terminal respecto al camino más desfavorable	Δp_{Tmr}	[Pa]	: 79.11

SEGMENTO 92:

Tipo: Tramo

1 ELEMENTO		2 Caudal Q	3 Diam. D/D _e	4 Ancho A	5 Alto B	6 Long. L	7 $\Delta p/L$	8 Fuente Tab	9 Ashrae X	10 Ashrae Y	11 Coeff. C _o	12 Veloc. V	13 P.Dinám P _v	14 Pérdida Δp_r o Δp_c
N. pz.	Cod.	[m³/h]	[mm]	[mm]	[mm]	[m]	[Pa/m]	n.	-	-	-	[m/s]	[Pa]	[Pa]
2405	11RA	315	152	200	100	0	0	ASH6_26M	0.875		0.012	4.4	11.65	0.19
2408	283R	315	133	150	100	0.14	0	5.1	30.000	1.330	0.050	5.8	20.25	1.02
323	310R	315	133	150	100	0.6	4.32					5.8	20.25	2.59

Pérdida de carga acumulada del segmento	Δp_t	[Pa]	: 3.8
Velocidad en la sección inicial del segmento	V_m	[m/s]	: 5
Velocidad en la sección final del segmento	V_v	[m/s]	: 5.8
Recuperación de presión estática del segmento	Δp_r	[Pa]	: -5.2
Pérdida de carga acumulada del segmento, considerando la recuperación	Δp_{tn}	[Pa]	: 9.24
Pérdida de carga acumulada neta – total acumulado	$\Sigma \Delta p_{tn}$	[Pa]	: 104.62

SEGMENTO 91:

Tipo: Terminal TRM-46

1 ELEMENTO		2 Caudal Q	3 Diam. D/D _e	4 Ancho A	5 Alto B	6 Long. L	7 $\Delta p/L$	8 Fuente Tab	9 Ashrae X	10 Ashrae Y	11 Coeff. C _o	12 Veloc. V	13 P.Dinám P _v	14 Pérdida Δp_r o Δp_c
N. pz.	Cod.	[m³/h]	[mm]	[mm]	[mm]	[m]	[Pa/m]	n.	-	-	-	[m/s]	[Pa]	[Pa]
2406	11RA	45	98	98	98	0	0	ASH6_26	0.143	0.284	1.030	1.7	1.74	21.15
366	310C	45	98	98	98	0.07	0.57					1.7	1.74	0.04
368	079C	45	98	98	98	0	0	3.1	1.520		0.046	1.7	1.74	0.07
2433	273C	45	75	0	0	0.02	0	5.1	30.000	1.710	0.050	2.8	4.72	0.24
369	310C	45	75	0	0	0.3	2.03					2.8	4.72	0.61
2432	023C	45	75	0	0	0.02	0	4.1	30.000	1.710	0.320	2.8	4.72	1.54
371	05LC	45	98	98	98	0	0	MC4				1.7	1.74	18

Pérdida de carga acumulada del segmento	Δp_t	[Pa]	: 23.65
Velocidad en la sección inicial del segmento	V_m	[m/s]	: 5.8
Velocidad en la sección final del segmento	V_v	[m/s]	: 1.7
Recuperación de presión estática del segmento	Δp_r	[Pa]	: 18.51
Pérdida de carga acumulada del segmento, considerando la recuperación	Δp_{tn}	[Pa]	: 5.35
Pérdida de carga acumulada neta – total acumulado	$\Sigma \Delta p_{tn}$	[Pa]	: 127.97

Desequilibrio del terminal respecto al camino más desfavorable

Δp_{Tmr} [Pa] : 69.55

SEGMENTO 90:

Tipo: Tramo

1 ELEMENTO		2 Caudal Q	3 Diam. D/D _e	4 Ancho A	5 Alto B	6 Long. L	7 $\Delta p/L$	8 Fuente Tab	9 Ashrae X	10 Ashrae Y	11 Coeff. C _o	12 Veloc. V	13 P.Dinám P _v	14 Pérdida Δp_r o Δp_e
N. pz.	Cod.	[m³/h]	[mm]	[mm]	[mm]	[m]	[Pa/m]	n.	-	-	-	[m/s]	[Pa]	[Pa]
2407	11RA	270	133	150	100	0	0	ASH6_26M	0.857		0.014	5	15.05	0.29
324	310R	270	133	150	100	0.6	3.23					5	15.05	1.94

Pérdida de carga acumulada del segmento

Δp_t [Pa] : 2.23

Velocidad en la sección inicial del segmento

V_m [m/s] : 5.8

Velocidad en la sección final del segmento

V_v [m/s] : 5

Recuperación de presión estática del segmento

Δp_r [Pa] : 5.2

Pérdida de carga acumulada del segmento, considerando la recuperación

Δp_{tn} [Pa] : -3.2

Pérdida de carga acumulada neta – total acumulado

$\Sigma \Delta p_{tn}$ [Pa] : 101.42

SEGMENTO 89:

Tipo: Terminal TRM-46

1 ELEMENTO		2 Caudal Q	3 Diam. D/D _e	4 Ancho A	5 Alto B	6 Long. L	7 $\Delta p/L$	8 Fuente Tab	9 Ashrae X	10 Ashrae Y	11 Coeff. C _o	12 Veloc. V	13 P.Dinám P _v	14 Pérdida Δp_r o Δp_e
N. pz.	Cod.	[m³/h]	[mm]	[mm]	[mm]	[m]	[Pa/m]	n.	-	-	-	[m/s]	[Pa]	[Pa]
2409	11RA	45	98	98	98	0	0	ASH6_26	0.167	0.332	1.050	1.7	1.74	15.79
360	310C	45	98	98	98	0.07	0.57					1.7	1.74	0.04
362	079C	45	98	98	98	0	0	3.1	1.520		0.046	1.7	1.74	0.07
2431	273C	45	75	0	0	0.02	0	5.1	30.000	1.710	0.050	2.8	4.72	0.24
363	310C	45	75	0	0	0.3	2.03					2.8	4.72	0.61
2430	023C	45	75	0	0	0.02	0	4.1	30.000	1.710	0.320	2.8	4.72	1.54
365	05LC	45	98	98	98	0	0	MC4				1.7	1.74	18

Pérdida de carga acumulada del segmento

Δp_t [Pa] : 18.29

Velocidad en la sección inicial del segmento

V_m [m/s] : 5

Velocidad en la sección final del segmento

V_v [m/s] : 1.7

Recuperación de presión estática del segmento

Δp_r [Pa] : 13.31

Pérdida de carga acumulada del segmento, considerando la recuperación

Δp_{tn} [Pa] : 5.42

Pérdida de carga acumulada neta – total acumulado

$\Sigma \Delta p_{tn}$ [Pa] : 124.84

Desequilibrio del terminal respecto al camino más desfavorable

Δp_{Tmr} [Pa] : 72.68

SEGMENTO 88:

Tipo: Tramo

1 ELEMENTO		2 Caudal Q	3 Diam. D/D _e	4 Ancho A	5 Alto B	6 Long. L	7 $\Delta p/L$	8 Fuente Tab	9 Ashrae X	10 Ashrae Y	11 Coeff. C _o	12 Veloc. V	13 P.Dinám P _v	14 Pérdida Δp_r o Δp_e
N. pz.	Cod.	[m³/h]	[mm]	[mm]	[mm]	[m]	[Pa/m]	n.	-	-	-	[m/s]	[Pa]	[Pa]
2410	11RA	225	133	150	100	0	0	ASH6_26M	0.833		0.017	4.2	10.62	0.25
325	310R	225	133	150	100	0.6	2.3					4.2	10.62	1.38

Pérdida de carga acumulada del segmento

Δp_t [Pa] : 1.64

Velocidad en la sección inicial del segmento

V_m [m/s] : 5

Velocidad en la sección final del segmento	V_v	[m/s]	: 4.2
Recuperación de presión estática del segmento	Δp_r	[Pa]	: 4.43
Pérdida de carga acumulada del segmento, considerando la recuperación	Δp_{tn}	[Pa]	: -2.96
Pérdida de carga acumulada neta – total acumulado	$\Sigma \Delta p_{tn}$	[Pa]	: 98.46

SEGMENTO 87:

Tipo: Terminal TRM-46

1 ELEMENTO		2 Caudal Q	3 Diam. D/D _e	4 Ancho A	5 Alto B	6 Long. L	7 $\Delta p/L$	8 Fuente Tab	9 Ashrae X	10 Ashrae Y	11 Coeff. C _o	12 Veloc. V	13 P.Dinám P _v	14 Pérdida Δp_r o Δp_e
N. pz.	Cod.	[m³/h]	[mm]	[mm]	[mm]	[m]	[Pa/m]	n.	-	-	-	[m/s]	[Pa]	[Pa]
2411	11RA	45	98	98	98	0	0	ASH6_26	0.200	0.398	1.070	1.7	1.74	11.18
354	310C	45	98	98	98	0.07	0.57					1.7	1.74	0.04
356	079C	45	98	98	98	0	0	3.1	1.520		0.046	1.7	1.74	0.07
2429	273C	45	75	0	0	0.02	0	5.1	30.000	1.710	0.050	2.8	4.72	0.24
357	310C	45	75	0	0	0.3	2.03					2.8	4.72	0.61
2428	023C	45	75	0	0	0.02	0	4.1	30.000	1.710	0.320	2.8	4.72	1.54
359	05LC	45	98	98	98	0	0	MC4				1.7	1.74	18

Pérdida de carga acumulada del segmento	Δp_t	[Pa]	: 13.69
Velocidad en la sección inicial del segmento	V_m	[m/s]	: 4.2
Velocidad en la sección final del segmento	V_v	[m/s]	: 1.7
Recuperación de presión estática del segmento	Δp_r	[Pa]	: 8.88
Pérdida de carga acumulada del segmento, considerando la recuperación	Δp_{tn}	[Pa]	: 5.42
Pérdida de carga acumulada neta – total acumulado	$\Sigma \Delta p_{tn}$	[Pa]	: 121.88
Desequilibrio del terminal respecto al camino más desfavorable	Δp_{Tmr}	[Pa]	: 75.65

SEGMENTO 86:

Tipo: Tramo

1 ELEMENTO		2 Caudal Q	3 Diam. D/D _e	4 Ancho A	5 Alto B	6 Long. L	7 $\Delta p/L$	8 Fuente Tab	9 Ashrae X	10 Ashrae Y	11 Coeff. C _o	12 Veloc. V	13 P.Dinám P _v	14 Pérdida Δp_r o Δp_e
N. pz.	Cod.	[m³/h]	[mm]	[mm]	[mm]	[m]	[Pa/m]	n.	-	-	-	[m/s]	[Pa]	[Pa]
2412	11RA	180	133	150	100	0	0	ASH6_26M	0.800		0.020	3.3	6.56	0.21
2415	283R	180	109	100	100	0.14	0	5.1	30.000	1.500	0.050	5	15.05	0.75
326	310R	180	109	100	100	0.6	4.08					5	15.05	2.45

Pérdida de carga acumulada del segmento	Δp_t	[Pa]	: 3.41
Velocidad en la sección inicial del segmento	V_m	[m/s]	: 4.2
Velocidad en la sección final del segmento	V_v	[m/s]	: 5
Recuperación de presión estática del segmento	Δp_r	[Pa]	: -4.43
Pérdida de carga acumulada del segmento, considerando la recuperación	Δp_{tn}	[Pa]	: 8.01
Pérdida de carga acumulada neta – total acumulado	$\Sigma \Delta p_{tn}$	[Pa]	: 106.47

SEGMENTO 85:

Tipo: Terminal TRM-46

1 ELEMENTO		2 Caudal Q	3 Diam. D/D _e	4 Ancho A	5 Alto B	6 Long. L	7 $\Delta p/L$	8 Fuente Tab	9 Ashrae X	10 Ashrae Y	11 Coeff. C _o	12 Veloc. V	13 P.Dinám P _v	14 Pérdida Δp_r o Δp_e
N. pz.	Cod.	[m³/h]	[mm]	[mm]	[mm]	[m]	[Pa/m]	n.	-	-	-	[m/s]	[Pa]	[Pa]
2413	11RA	45	98	98	98	0	0	ASH6_26	0.250	0.332	1.080	1.7	1.74	16.18
348	310C	45	98	98	98	0.07	0.57					1.7	1.74	0.04

350	079C	45	98	98	98	0	0	3.1	1.520		0.046	1.7	1.74	0.07
2427	273C	45	75	0	0	0.02	0	5.1	30.000	1.710	0.050	2.8	4.72	0.24
351	310C	45	75	0	0	0.3	2.03					2.8	4.72	0.61
2426	023C	45	75	0	0	0.02	0	4.1	30.000	1.710	0.320	2.8	4.72	1.54
353	05LC	45	98	98	98	0	0	MC4				1.7	1.74	18

Pérdida de carga acumulada del segmento	Δp_t	[Pa]	: 18.68
Velocidad en la sección inicial del segmento	V_m	[m/s]	: 5
Velocidad en la sección final del segmento	V_v	[m/s]	: 1.7
Recuperación de presión estática del segmento	Δp_r	[Pa]	: 13.31
Pérdida de carga acumulada del segmento, considerando la recuperación	Δp_{tn}	[Pa]	: 5.82
Pérdida de carga acumulada neta – total acumulado	$\Sigma \Delta p_{tn}$	[Pa]	: 130.29
Desequilibrio del terminal respecto al camino más desfavorable	Δp_{Tmr}	[Pa]	: 67.24

SEGMENTO 84:

Tipo: Tramo

1 ELEMENTO		2 Caudal Q	3 Diam. D/D _e	4 Ancho A	5 Alto B	6 Long. L	7 $\Delta p/L$	8 Fuente Tab	9 Ashrae X	10 Ashrae Y	11 Coeff. C _o	12 Veloc. V	13 P.Dinám P _v	14 Pérdida Δp_r o Δp_c
N. pz.	Cod.	[m³/h]	[mm]	[mm]	[mm]	[m]	[Pa/m]	n.	-	-	-	[m/s]	[Pa]	[Pa]
2414	11RA	135	109	100	100	0	0	ASH6_26M	0.750		0.030	3.7	8.24	0.45
327	310R	135	109	100	100	0.6	2.4					3.7	8.24	1.44

Pérdida de carga acumulada del segmento	Δp_t	[Pa]	: 1.89
Velocidad en la sección inicial del segmento	V_m	[m/s]	: 5
Velocidad en la sección final del segmento	V_v	[m/s]	: 3.7
Recuperación de presión estática del segmento	Δp_r	[Pa]	: 6.81
Pérdida de carga acumulada del segmento, considerando la recuperación	Δp_{tn}	[Pa]	: -4.69
Pérdida de carga acumulada neta – total acumulado	$\Sigma \Delta p_{tn}$	[Pa]	: 101.78

SEGMENTO 83:

Tipo: Terminal TRM-46

1 ELEMENTO		2 Caudal Q	3 Diam. D/D _e	4 Ancho A	5 Alto B	6 Long. L	7 $\Delta p/L$	8 Fuente Tab	9 Ashrae X	10 Ashrae Y	11 Coeff. C _o	12 Veloc. V	13 P.Dinám P _v	14 Pérdida Δp_r o Δp_c
N. pz.	Cod.	[m³/h]	[mm]	[mm]	[mm]	[m]	[Pa/m]	n.	-	-	-	[m/s]	[Pa]	[Pa]
2416	11RA	45	98	98	98	0	0	ASH6_26	0.333	0.442	1.100	1.7	1.74	9.28
342	310C	45	98	98	98	0.07	0.57					1.7	1.74	0.04
344	079C	45	98	98	98	0	0	3.1	1.520		0.046	1.7	1.74	0.07
2425	273C	45	75	0	0	0.02	0	5.1	30.000	1.710	0.050	2.8	4.72	0.24
345	310C	45	75	0	0	0.3	2.03					2.8	4.72	0.61
2424	023C	45	75	0	0	0.02	0	4.1	30.000	1.710	0.320	2.8	4.72	1.54
347	05LC	45	98	98	98	0	0	MC4				1.7	1.74	18

Pérdida de carga acumulada del segmento	Δp_t	[Pa]	: 11.79
Velocidad en la sección inicial del segmento	V_m	[m/s]	: 3.7
Velocidad en la sección final del segmento	V_v	[m/s]	: 1.7
Recuperación de presión estática del segmento	Δp_r	[Pa]	: 6.5
Pérdida de carga acumulada del segmento, considerando la recuperación	Δp_{tn}	[Pa]	: 5.51
Pérdida de carga acumulada neta – total acumulado	$\Sigma \Delta p_{tn}$	[Pa]	: 125.29
Desequilibrio del terminal respecto al camino más desfavorable	Δp_{Tmr}	[Pa]	: 72.24

SEGMENTO 82:

Tipo: Tramo

1 ELEMENTO		2 Caudal Q	3 Diam. D/D _e	4 Ancho A	5 Alto B	6 Long. L	7 $\Delta p/L$	8 Fuente Tab	9 Ashrae X	10 Ashrae Y	11 Coeff. C _o	12 Veloc. V	13 P.Dinám P _v	14 Pérdida Δp_r o Δp_e
N. pz.	Cod.	[m³/h]	[mm]	[mm]	[mm]	[m]	[Pa/m]	n.	-	-	-	[m/s]	[Pa]	[Pa]
2417	11RA	90	109	100	100	0	0	ASH6_26M	0.667		0.047	2.5	3.76	0.4
328	310R	90	109	100	100	0.6	1.13					2.5	3.76	0.68

Pérdida de carga acumulada del segmento	Δp_t	[Pa] : 1.07
Velocidad en la sección inicial del segmento	V_m	[m/s] : 3.7
Velocidad en la sección final del segmento	V_v	[m/s] : 2.5
Recuperación de presión estática del segmento	Δp_r	[Pa] : 4.48
Pérdida de carga acumulada del segmento, considerando la recuperación	Δp_{tm}	[Pa] : -3.63
Pérdida de carga acumulada neta – total acumulado	$\Sigma \Delta p_{tm}$	[Pa] : 98.15

SEGMENTO 81:

Tipo: Terminal TRM-46

1 ELEMENTO		2 Caudal Q	3 Diam. D/D _e	4 Ancho A	5 Alto B	6 Long. L	7 $\Delta p/L$	8 Fuente Tab	9 Ashrae X	10 Ashrae Y	11 Coeff. C _o	12 Veloc. V	13 P.Dinám P _v	14 Pérdida Δp_r o Δp_e
N. pz.	Cod.	[m³/h]	[mm]	[mm]	[mm]	[m]	[Pa/m]	n.	-	-	-	[m/s]	[Pa]	[Pa]
2418	11RA	45	98	98	98	0	0	ASH6_26	0.500	0.663	1.260	1.7	1.74	4.74
336	310C	45	98	98	98	0.07	0.57					1.7	1.74	0.04
338	079C	45	98	98	98	0	0	3.1	1.520		0.046	1.7	1.74	0.07
2423	273C	45	75	0	0	0.02	0	5.1	30.000	1.710	0.050	2.8	4.72	0.24
339	310C	45	75	0	0	0.3	2.03					2.8	4.72	0.61
2422	023C	45	75	0	0	0.02	0	4.1	30.000	1.710	0.320	2.8	4.72	1.54
341	05LC	45	98	98	98	0	0	MC4				1.7	1.74	18

Pérdida de carga acumulada del segmento	Δp_t	[Pa] : 7.25
Velocidad en la sección inicial del segmento	V_m	[m/s] : 2.5
Velocidad en la sección final del segmento	V_v	[m/s] : 1.7
Recuperación de presión estática del segmento	Δp_r	[Pa] : 2.02
Pérdida de carga acumulada del segmento, considerando la recuperación	Δp_{tm}	[Pa] : 5.67
Pérdida de carga acumulada neta – total acumulado	$\Sigma \Delta p_{tm}$	[Pa] : 121.82
Desequilibrio del terminal respecto al camino más desfavorable	Δp_{Tmr}	[Pa] : 75.71

SEGMENTO 80:

Tipo: Terminal TRM-46

1 ELEMENTO		2 Caudal Q	3 Diam. D/D _e	4 Ancho A	5 Alto B	6 Long. L	7 $\Delta p/L$	8 Fuente Tab	9 Ashrae X	10 Ashrae Y	11 Coeff. C _o	12 Veloc. V	13 P.Dinám P _v	14 Pérdida Δp_r o Δp_e
N. pz.	Cod.	[m³/h]	[mm]	[mm]	[mm]	[m]	[Pa/m]	n.	-	-	-	[m/s]	[Pa]	[Pa]
2419	11RA	45	109	100	100	0	0	ASH6_26M	0.500		0.090	1.2	0.87	0.34
329	310R	45	109	100	100	0.6	0.32					1.2	0.87	0.19
320	11RAT	45	109	100	100	0	0	2_6	1.000	0.917	2.800	1.2	0.87	4.63
330	310C	45	98	98	98	0.07	0.57					1.7	1.74	0.04
332	079C	45	98	98	98	0	0	3.1	1.520		0.046	1.7	1.74	0.07
2421	023C	45	98	98	98	0	0	4.1	30.000	1.040	0.320	1.7	1.74	0.53
333	310C	45	100	0	0	0.3	0.5					1.6	1.54	0.15
2420	273C	45	98	98	98	0	0	5.1	30.000	1.040	0.050	1.7	1.74	0.08
335	05LC	45	98	98	98	0	0	MC4				1.7	1.74	18

Pérdida de carga acumulada del segmento	Δp_t	[Pa] : 6.04
Velocidad en la sección inicial del segmento	V_m	[m/s] : 2.5

Velocidad en la sección final del segmento	V_v	[m/s]	: 1.7
Recuperación de presión estática del segmento	Δp_r	[Pa]	: 2.02
Pérdida de carga acumulada del segmento, considerando la recuperación	Δp_{tn}	[Pa]	: 3.93
Pérdida de carga acumulada neta – total acumulado	$\Sigma \Delta p_{tn}$	[Pa]	: 120.08
Desequilibrio del terminal respecto al camino más desfavorable	Δp_{Tmr}	[Pa]	: 77.45

SEGMENTO 118:

Tipo: Tramo

1 ELEMENTO		2 Caudal Q	3 Diam. D/D _e	4 Ancho A	5 Alto B	6 Long. L	7 $\Delta p/L$	8 Fuente Tab	9 Ashrae X	10 Ashrae Y	11 Coeff. C _o	12 Veloc. V	13 P.Dinám P _v	14 Pérdida Δp_r o Δp_c
N. pz.	Cod.	[m³/h]	[mm]	[mm]	[mm]	[m]	[Pa/m]	n.	-	-	-	[m/s]	[Pa]	[Pa]
2396	3736	10800	842	850	700	0	0	MC4	0.923		0.069	5	15.05	1.04
2481	283R	10800	811	850	650	0.19	0	5.1	30.000	1.080	0.050	5.4	17.55	6.25
462	310R	10800	811	850	650	1	0.4					5.4	17.55	0.4

Pérdida de carga acumulada del segmento	Δp_t	[Pa]	: 7.69
Velocidad en la sección inicial del segmento	V_m	[m/s]	: 4.5
Velocidad en la sección final del segmento	V_v	[m/s]	: 6
Recuperación de presión estática del segmento	Δp_r	[Pa]	: -9.48
Pérdida de carga acumulada del segmento, considerando la recuperación	Δp_{tn}	[Pa]	: 18.18
Pérdida de carga acumulada neta – total acumulado	$\Sigma \Delta p_{tn}$	[Pa]	: 92.04

SEGMENTO 138:

Tipo: Tramo

1 ELEMENTO		2 Caudal Q	3 Diam. D/D _e	4 Ancho A	5 Alto B	6 Long. L	7 $\Delta p/L$	8 Fuente Tab	9 Ashrae X	10 Ashrae Y	11 Coeff. C _o	12 Veloc. V	13 P.Dinám P _v	14 Pérdida Δp_r o Δp_c
N. pz.	Cod.	[m³/h]	[mm]	[mm]	[mm]	[m]	[Pa/m]	n.	-	-	-	[m/s]	[Pa]	[Pa]
2479	3736	450	321	150	650	0	0	MC4	0.042	0.176	17.900	1.3	1.02	18.27
2526	283R	450	164	150	150	0.97	0	5.1	30.000	4.330	0.040	5.6	18.88	0.81
537	310R	450	164	150	150	1.1	2.95					5.6	18.88	3.25

Pérdida de carga acumulada del segmento	Δp_t	[Pa]	: 22.33
Velocidad en la sección inicial del segmento	V_m	[m/s]	: 6
Velocidad en la sección final del segmento	V_v	[m/s]	: 3.3
Recuperación de presión estática del segmento	Δp_r	[Pa]	: 15.12
Pérdida de carga acumulada del segmento, considerando la recuperación	Δp_{tn}	[Pa]	: 8.27
Pérdida de carga acumulada neta – total acumulado	$\Sigma \Delta p_{tn}$	[Pa]	: 100.32

SEGMENTO 156:

Tipo: Terminal TRM-18

1 ELEMENTO		2 Caudal Q	3 Diam. D/D _e	4 Ancho A	5 Alto B	6 Long. L	7 $\Delta p/L$	8 Fuente Tab	9 Ashrae X	10 Ashrae Y	11 Coeff. C _o	12 Veloc. V	13 P.Dinám P _v	14 Pérdida Δp_r o Δp_c
N. pz.	Cod.	[m³/h]	[mm]	[mm]	[mm]	[m]	[Pa/m]	n.	-	-	-	[m/s]	[Pa]	[Pa]
2524	11RA	45	98	98	98	0	0	ASH6_26	0.100	0.298	1.070	1.7	1.74	7.18
603	310C	45	98	98	98	0.07	0.57					1.7	1.74	0.04
605	079C	45	98	98	98	0	0	3.1	1.520		0.046	1.7	1.74	0.07
2562	273C	45	75	0	0	0.02	0	5.1	30.000	1.710	0.050	2.8	4.72	0.24
606	310C	45	75	0	0	0.3	2.03					2.8	4.72	0.61
2561	023C	45	75	0	0	0.02	0	4.1	30.000	1.710	0.320	2.8	4.72	1.54
608	05LC	45	98	98	98	0	0	MC4				1.7	1.74	18

Pérdida de carga acumulada del segmento	Δp_t	[Pa]	: 9.68
Velocidad en la sección inicial del segmento	V_m	[m/s]	: 3.3
Velocidad en la sección final del segmento	V_v	[m/s]	: 1.7
Recuperación de presión estática del segmento	Δp_r	[Pa]	: 4.82
Pérdida de carga acumulada del segmento, considerando la recuperación	Δp_{tn}	[Pa]	: 5.18
Pérdida de carga acumulada neta – total acumulado	$\Sigma \Delta p_{tn}$	[Pa]	: 123.5
Desequilibrio del terminal respecto al camino más desfavorable	Δp_{Tmr}	[Pa]	: 74.03

SEGMENTO 155:

Tipo: Tramo

1 ELEMENTO		2 Caudal Q	3 Diam. D/D _e	4 Ancho A	5 Alto B	6 Long. L	7 $\Delta p/L$	8 Fuente Tab	9 Ashrae X	10 Ashrae Y	11 Coeff. C _o	12 Veloc. V	13 P.Dinám P _v	14 Pérdida Δp_r o Δp_e
N. pz.	Cod.	[m³/h]	[mm]	[mm]	[mm]	[m]	[Pa/m]	n.	-	-	-	[m/s]	[Pa]	[Pa]
2525	11RA	405	164	150	150	0	0	ASH6_26M	0.900		0.010	5	15.05	0.07
540	310R	405	164	150	150	0.6	2.43					5	15.05	1.46

Pérdida de carga acumulada del segmento	Δp_t	[Pa]	: 1.52
Velocidad en la sección inicial del segmento	V_m	[m/s]	: 3.3
Velocidad en la sección final del segmento	V_v	[m/s]	: 3
Recuperación de presión estática del segmento	Δp_r	[Pa]	: 1.14
Pérdida de carga acumulada del segmento, considerando la recuperación	Δp_{tn}	[Pa]	: 1.76
Pérdida de carga acumulada neta – total acumulado	$\Sigma \Delta p_{tn}$	[Pa]	: 102.08

SEGMENTO 154:

Tipo: Terminal TRM-19

1 ELEMENTO		2 Caudal Q	3 Diam. D/D _e	4 Ancho A	5 Alto B	6 Long. L	7 $\Delta p/L$	8 Fuente Tab	9 Ashrae X	10 Ashrae Y	11 Coeff. C _o	12 Veloc. V	13 P.Dinám P _v	14 Pérdida Δp_r o Δp_e
N. pz.	Cod.	[m³/h]	[mm]	[mm]	[mm]	[m]	[Pa/m]	n.	-	-	-	[m/s]	[Pa]	[Pa]
2527	11RA	45	98	98	98	0	0	ASH6_26	0.111	0.332	1.110	1.7	1.74	6
597	310C	45	98	98	98	0.07	0.57					1.7	1.74	0.04
599	079C	45	98	98	98	0	0	3.1	1.520		0.046	1.7	1.74	0.07
2560	273C	45	75	0	0	0.02	0	5.1	30.000	1.710	0.050	2.8	4.72	0.24
600	310C	45	75	0	0	0.3	2.03					2.8	4.72	0.61
2559	023C	45	75	0	0	0.02	0	4.1	30.000	1.710	0.320	2.8	4.72	1.54
602	05LC	45	98	98	98	0	0	MC4				1.7	1.74	18

Pérdida de carga acumulada del segmento	Δp_t	[Pa]	: 8.51
Velocidad en la sección inicial del segmento	V_m	[m/s]	: 3
Velocidad en la sección final del segmento	V_v	[m/s]	: 1.7
Recuperación de presión estática del segmento	Δp_r	[Pa]	: 3.68
Pérdida de carga acumulada del segmento, considerando la recuperación	Δp_{tn}	[Pa]	: 5.27
Pérdida de carga acumulada neta – total acumulado	$\Sigma \Delta p_{tn}$	[Pa]	: 125.35
Desequilibrio del terminal respecto al camino más desfavorable	Δp_{Tmr}	[Pa]	: 72.18

SEGMENTO 153:

Tipo: Tramo

1 ELEMENTO		2 Caudal Q	3 Diam. D/D _e	4 Ancho A	5 Alto B	6 Long. L	7 $\Delta p/L$	8 Fuente Tab	9 Ashrae X	10 Ashrae Y	11 Coeff. C _o	12 Veloc. V	13 P.Dinám P _v	14 Pérdida Δp_r o Δp_e
---------------	--	------------------	--------------------------------	-----------------	----------------	-----------------	-------------------	--------------------	------------------	-------------------	--------------------------------	-------------------	---------------------------------	--

N. pz.	Cod.	[m³/h]	[mm]	[mm]	[mm]	[m]	[Pa/m]	n.	-	-	-	[m/s]	[Pa]	[Pa]
2528	11RA	360	164	150	150	0	0	ASH6_26M	0.889		0.011	4.4	11.65	0.06
541	310R	360	164	150	150	0.6	1.95					4.4	11.65	1.17

Pérdida de carga acumulada del segmento	Δp_t	[Pa]	: 1.23
Velocidad en la sección inicial del segmento	V_m	[m/s]	: 3
Velocidad en la sección final del segmento	V_v	[m/s]	: 2.7
Recuperación de presión estática del segmento	Δp_r	[Pa]	: 1.03
Pérdida de carga acumulada del segmento, considerando la recuperación	Δp_{tn}	[Pa]	: 1.28
Pérdida de carga acumulada neta – total acumulado	$\Sigma \Delta p_{tn}$	[Pa]	: 103.36

SEGMENTO 152:

Tipo: Terminal TRM-20

1 ELEMENTO		2 Caudal Q	3 Diam. D/D _e	4 Ancho A	5 Alto B	6 Long. L	7 $\Delta p/L$	8 Fuente Tab	9 Ashrae X	10 Ashrae Y	11 Coeff. C _o	12 Veloc. V	13 P.Dinám P _v	14 Pérdida Δp_r o Δp_c
N. pz.	Cod.	[m³/h]	[mm]	[mm]	[mm]	[m]	[Pa/m]	n.	-	-	-	[m/s]	[Pa]	[Pa]
2529	11RA	45	98	98	98	0	0	ASH6_26	0.125	0.373	1.140	1.7	1.74	4.88
591	310C	45	98	98	98	0.07	0.57					1.7	1.74	0.04
593	079C	45	98	98	98	0	0	3.1	1.520		0.046	1.7	1.74	0.07
2558	273C	45	75	0	0	0.02	0	5.1	30.000	1.710	0.050	2.8	4.72	0.24
594	310C	45	75	0	0	0.3	2.03					2.8	4.72	0.61
2557	023C	45	75	0	0	0.02	0	4.1	30.000	1.710	0.320	2.8	4.72	1.54
596	05LC	45	98	98	98	0	0	MC4				1.7	1.74	18

Pérdida de carga acumulada del segmento	Δp_t	[Pa]	: 7.38
Velocidad en la sección inicial del segmento	V_m	[m/s]	: 2.7
Velocidad en la sección final del segmento	V_v	[m/s]	: 1.7
Recuperación de presión estática del segmento	Δp_r	[Pa]	: 2.65
Pérdida de carga acumulada del segmento, considerando la recuperación	Δp_{tn}	[Pa]	: 5.28
Pérdida de carga acumulada neta – total acumulado	$\Sigma \Delta p_{tn}$	[Pa]	: 126.64
Desequilibrio del terminal respecto al camino más desfavorable	Δp_{Tmr}	[Pa]	: 70.88

SEGMENTO 151:

Tipo: Tramo

1 ELEMENTO		2 Caudal Q	3 Diam. D/D _e	4 Ancho A	5 Alto B	6 Long. L	7 $\Delta p/L$	8 Fuente Tab	9 Ashrae X	10 Ashrae Y	11 Coeff. C _o	12 Veloc. V	13 P.Dinám P _v	14 Pérdida Δp_r o Δp_c
N. pz.	Cod.	[m³/h]	[mm]	[mm]	[mm]	[m]	[Pa/m]	n.	-	-	-	[m/s]	[Pa]	[Pa]
2530	11RA	315	164	150	150	0	0	ASH6_26M	0.875		0.012	3.9	9.16	0.05
542	310R	315	164	150	150	0.6	1.52					3.9	9.16	0.91

Pérdida de carga acumulada del segmento	Δp_t	[Pa]	: 0.97
Velocidad en la sección inicial del segmento	V_m	[m/s]	: 2.7
Velocidad en la sección final del segmento	V_v	[m/s]	: 2.3
Recuperación de presión estática del segmento	Δp_r	[Pa]	: 1.2
Pérdida de carga acumulada del segmento, considerando la recuperación	Δp_{tn}	[Pa]	: 0.87
Pérdida de carga acumulada neta – total acumulado	$\Sigma \Delta p_{tn}$	[Pa]	: 104.23

SEGMENTO 150:

Tipo: Terminal TRM-21

1 ELEMENTO		2 Caudal Q	3 Diam. D/D _e	4 Ancho A	5 Alto B	6 Long. L	7 $\Delta p/L$	8 Fuente Tab	9 Ashrae X	10 Ashrae Y	11 Coeff. C _o	12 Veloc. V	13 P.Dinám P _v	14 Pérdida Δp_r o Δp_e
N. pz.	Cod.	[m³/h]	[mm]	[mm]	[mm]	[m]	[Pa/m]	n.	-	-	-	[m/s]	[Pa]	[Pa]
2531	11RA	45	98	98	98	0	0	ASH6_26	0.143	0.426	1.190	1.7	1.74	3.88
585	310C	45	98	98	98	0.07	0.57					1.7	1.74	0.04
587	079C	45	98	98	98	0	0	3.1	1.520		0.046	1.7	1.74	0.07
2556	273C	45	75	0	0	0.02	0	5.1	30.000	1.710	0.050	2.8	4.72	0.24
588	310C	45	75	0	0	0.3	2.03					2.8	4.72	0.61
2555	023C	45	75	0	0	0.02	0	4.1	30.000	1.710	0.320	2.8	4.72	1.54
590	05LC	45	98	98	98	0	0	MC4				1.7	1.74	18

Pérdida de carga acumulada del segmento	Δp_t	[Pa] : 6.39
Velocidad en la sección inicial del segmento	V_m	[m/s] : 2.3
Velocidad en la sección final del segmento	V_v	[m/s] : 1.7
Recuperación de presión estática del segmento	Δp_r	[Pa] : 1.44
Pérdida de carga acumulada del segmento, considerando la recuperación	Δp_{tm}	[Pa] : 5.29
Pérdida de carga acumulada neta – total acumulado	$\Sigma \Delta p_{tm}$	[Pa] : 127.52
Desequilibrio del terminal respecto al camino más desfavorable	Δp_{Tmr}	[Pa] : 70

SEGMENTO 149:

Tipo: Tramo

1 ELEMENTO		2 Caudal Q	3 Diam. D/D _e	4 Ancho A	5 Alto B	6 Long. L	7 $\Delta p/L$	8 Fuente Tab	9 Ashrae X	10 Ashrae Y	11 Coeff. C _o	12 Veloc. V	13 P.Dinám P _v	14 Pérdida Δp_r o Δp_e
N. pz.	Cod.	[m³/h]	[mm]	[mm]	[mm]	[m]	[Pa/m]	n.	-	-	-	[m/s]	[Pa]	[Pa]
2532	11RA	270	164	150	150	0	0	ASH6_26M	0.857		0.014	3.3	6.56	0.05
543	310R	270	164	150	150	0.6	1.15					3.3	6.56	0.69

Pérdida de carga acumulada del segmento	Δp_t	[Pa] : 0.73
Velocidad en la sección inicial del segmento	V_m	[m/s] : 2.3
Velocidad en la sección final del segmento	V_v	[m/s] : 2
Recuperación de presión estática del segmento	Δp_r	[Pa] : 0.78
Pérdida de carga acumulada del segmento, considerando la recuperación	Δp_{tm}	[Pa] : 0.53
Pérdida de carga acumulada neta – total acumulado	$\Sigma \Delta p_{tm}$	[Pa] : 104.76

SEGMENTO 148:

Tipo: Terminal TRM-22

1 ELEMENTO		2 Caudal Q	3 Diam. D/D _e	4 Ancho A	5 Alto B	6 Long. L	7 $\Delta p/L$	8 Fuente Tab	9 Ashrae X	10 Ashrae Y	11 Coeff. C _o	12 Veloc. V	13 P.Dinám P _v	14 Pérdida Δp_r o Δp_e
N. pz.	Cod.	[m³/h]	[mm]	[mm]	[mm]	[m]	[Pa/m]	n.	-	-	-	[m/s]	[Pa]	[Pa]
2533	11RA	45	98	98	98	0	0	ASH6_26	0.167	0.497	1.280	1.7	1.74	3.08
579	310C	45	98	98	98	0.07	0.57					1.7	1.74	0.04
581	079C	45	98	98	98	0	0	3.1	1.520		0.046	1.7	1.74	0.07
2554	273C	45	75	0	0	0.02	0	5.1	30.000	1.710	0.050	2.8	4.72	0.24
582	310C	45	75	0	0	0.3	2.03					2.8	4.72	0.61
2553	023C	45	75	0	0	0.02	0	4.1	30.000	1.710	0.320	2.8	4.72	1.54
584	05LC	45	98	98	98	0	0	MC4				1.7	1.74	18

Pérdida de carga acumulada del segmento	Δp_t	[Pa] : 5.59
Velocidad en la sección inicial del segmento	V_m	[m/s] : 2
Velocidad en la sección final del segmento	V_v	[m/s] : 1.7

Recuperación de presión estática del segmento

 Δp_r [Pa] : 0.67

Pérdida de carga acumulada del segmento, considerando la recuperación

 Δp_{tn} [Pa] : 5.36

Pérdida de carga acumulada neta – total acumulado

 $\Sigma \Delta p_{tn}$ [Pa] : 128.12

Desequilibrio del terminal respecto al camino más desfavorable

 Δp_{Tmr} [Pa] : 69.4**SEGMENTO 147:****Tipo:** Tramo

1 ELEMENTO		2 Caudal Q	3 Diam. D/D _e	4 Ancho A	5 Alto B	6 Long. L	7 $\Delta p/L$	8 Fuente Tab	9 Ashrae X	10 Ashrae Y	11 Coeff. C _o	12 Veloc. V	13 P.Dinám P _v	14 Pérdida Δp_r o Δp_c
N. pz.	Cod.	[m³/h]	[mm]	[mm]	[mm]	[m]	[Pa/m]	n.	-	-	-	[m/s]	[Pa]	[Pa]
2534	11RA	225	164	150	150	0	0	ASH6_26M	0.833		0.017	2.8	4.72	0.04
544	310R	225	164	150	150	0.6	0.82					2.8	4.72	0.49

Pérdida de carga acumulada del segmento

 Δp_t [Pa] : 0.53

Velocidad en la sección inicial del segmento

 V_m [m/s] : 2

Velocidad en la sección final del segmento

 V_v [m/s] : 3.1

Recuperación de presión estática del segmento

 Δp_r [Pa] : -3.38

Pérdida de carga acumulada del segmento, considerando la recuperación

 Δp_{tn} [Pa] : 4.53

Pérdida de carga acumulada neta – total acumulado

 $\Sigma \Delta p_{tn}$ [Pa] : 109.29**SEGMENTO 146:****Tipo:** Terminal TRM-22

1 ELEMENTO		2 Caudal Q	3 Diam. D/D _e	4 Ancho A	5 Alto B	6 Long. L	7 $\Delta p/L$	8 Fuente Tab	9 Ashrae X	10 Ashrae Y	11 Coeff. C _o	12 Veloc. V	13 P.Dinám P _v	14 Pérdida Δp_r o Δp_c
N. pz.	Cod.	[m³/h]	[mm]	[mm]	[mm]	[m]	[Pa/m]	n.	-	-	-	[m/s]	[Pa]	[Pa]
2535	11RA	45	98	98	98	0	0	ASH6_26	0.200	0.597	1.090	1.7	1.74	6.41
573	310C	45	98	98	98	0.07	0.57					1.7	1.74	0.04
575	079C	45	98	98	98	0	0	3.1	1.520		0.046	1.7	1.74	0.07
2552	273C	45	75	0	0	0.02	0	5.1	30.000	1.710	0.050	2.8	4.72	0.24
576	310C	45	75	0	0	0.3	2.03					2.8	4.72	0.61
2551	023C	45	75	0	0	0.02	0	4.1	30.000	1.710	0.320	2.8	4.72	1.54
578	05LC	45	98	98	98	0	0	MC4				1.7	1.74	18

Pérdida de carga acumulada del segmento

 Δp_t [Pa] : 8.91

Velocidad en la sección inicial del segmento

 V_m [m/s] : 3.1

Velocidad en la sección final del segmento

 V_v [m/s] : 1.7

Recuperación de presión estática del segmento

 Δp_r [Pa] : 4.05

Pérdida de carga acumulada del segmento, considerando la recuperación

 Δp_{tn} [Pa] : 5.21

Pérdida de carga acumulada neta – total acumulado

 $\Sigma \Delta p_{tn}$ [Pa] : 132.5

Desequilibrio del terminal respecto al camino más desfavorable

 Δp_{Tmr} [Pa] : 65.02**SEGMENTO 145:****Tipo:** Tramo

1 ELEMENTO		2 Caudal Q	3 Diam. D/D _e	4 Ancho A	5 Alto B	6 Long. L	7 $\Delta p/L$	8 Fuente Tab	9 Ashrae X	10 Ashrae Y	11 Coeff. C _o	12 Veloc. V	13 P.Dinám P _v	14 Pérdida Δp_r o Δp_c
N. pz.	Cod.	[m³/h]	[mm]	[mm]	[mm]	[m]	[Pa/m]	n.	-	-	-	[m/s]	[Pa]	[Pa]
2536	11RA	180	164	150	150	0	0	ASH6_26M	0.800		0.020	2.2	2.91	0.12
545	310R	180	164	150	150	0.6	0.55					2.2	2.91	0.33

Pérdida de carga acumulada del segmento	Δp_t	[Pa]	: 0.45
Velocidad en la sección inicial del segmento	V_m	[m/s]	: 3.1
Velocidad en la sección final del segmento	V_v	[m/s]	: 2.5
Recuperación de presión estática del segmento	Δp_r	[Pa]	: 2.02
Pérdida de carga acumulada del segmento, considerando la recuperación	Δp_{tn}	[Pa]	: -0.35
Pérdida de carga acumulada neta – total acumulado	$\Sigma \Delta p_{tn}$	[Pa]	: 108.94

SEGMENTO 144:

Tipo: Terminal TRM-24

1 ELEMENTO		2 Caudal Q	3 Diam. D/D _e	4 Ancho A	5 Alto B	6 Long. L	7 $\Delta p/L$	8 Fuente Tab	9 Ashrae X	10 Ashrae Y	11 Coeff. C _o	12 Veloc. V	13 P.Dinám P _v	14 Pérdida Δp_r o Δp_e
N. pz.	Cod.	[m³/h]	[mm]	[mm]	[mm]	[m]	[Pa/m]	n.	-	-	-	[m/s]	[Pa]	[Pa]
2537	11RA	45	98	98	98	0	0	ASH6_26	0.250	0.746	1.130	1.7	1.74	4.25
567	310C	45	98	98	98	0.07	0.57					1.7	1.74	0.04
569	079C	45	98	98	98	0	0	3.1	1.520		0.046	1.7	1.74	0.07
2550	273C	45	75	0	0	0.02	0	5.1	30.000	1.710	0.050	2.8	4.72	0.24
570	310C	45	75	0	0	0.3	2.03					2.8	4.72	0.61
2549	023C	45	75	0	0	0.02	0	4.1	30.000	1.710	0.320	2.8	4.72	1.54
572	05LC	45	98	98	98	0	0	MC4				1.7	1.74	18

Pérdida de carga acumulada del segmento	Δp_t	[Pa]	: 6.76
Velocidad en la sección inicial del segmento	V_m	[m/s]	: 2.5
Velocidad en la sección final del segmento	V_v	[m/s]	: 1.7
Recuperación de presión estática del segmento	Δp_r	[Pa]	: 2.02
Pérdida de carga acumulada del segmento, considerando la recuperación	Δp_{tn}	[Pa]	: 5.17
Pérdida de carga acumulada neta – total acumulado	$\Sigma \Delta p_{tn}$	[Pa]	: 132.11
Desequilibrio del terminal respecto al camino más desfavorable	Δp_{Tmr}	[Pa]	: 65.41

SEGMENTO 143:

Tipo: Tramo

1 ELEMENTO		2 Caudal Q	3 Diam. D/D _e	4 Ancho A	5 Alto B	6 Long. L	7 $\Delta p/L$	8 Fuente Tab	9 Ashrae X	10 Ashrae Y	11 Coeff. C _o	12 Veloc. V	13 P.Dinám P _v	14 Pérdida Δp_r o Δp_e
N. pz.	Cod.	[m³/h]	[mm]	[mm]	[mm]	[m]	[Pa/m]	n.	-	-	-	[m/s]	[Pa]	[Pa]
2538	11RA	135	164	150	150	0	0	ASH6_26M	0.750		0.030	1.7	1.74	0.11
546	310R	135	164	150	150	0.6	0.32					1.7	1.74	0.19

Pérdida de carga acumulada del segmento	Δp_t	[Pa]	: 0.31
Velocidad en la sección inicial del segmento	V_m	[m/s]	: 2.5
Velocidad en la sección final del segmento	V_v	[m/s]	: 2.5
Recuperación de presión estática del segmento	Δp_r	[Pa]	: 0
Pérdida de carga acumulada del segmento, considerando la recuperación	Δp_{tn}	[Pa]	: 1.13
Pérdida de carga acumulada neta – total acumulado	$\Sigma \Delta p_{tn}$	[Pa]	: 110.07

SEGMENTO 142:

Tipo: Terminal TRM-25

1 ELEMENTO		2 Caudal Q	3 Diam. D/D _e	4 Ancho A	5 Alto B	6 Long. L	7 $\Delta p/L$	8 Fuente Tab	9 Ashrae X	10 Ashrae Y	11 Coeff. C _o	12 Veloc. V	13 P.Dinám P _v	14 Pérdida Δp_r o Δp_e
N. pz.	Cod.	[m³/h]	[mm]	[mm]	[mm]	[m]	[Pa/m]	n.	-	-	-	[m/s]	[Pa]	[Pa]

2539	11RA	45	98	98	98	0	0	ASH6_26	0.333	0.995	1.110	1.7	1.74	4.16
561	310C	45	98	98	98	0.07	0.57					1.7	1.74	0.04
563	079C	45	98	98	98	0	0	3.1	1.520		0.046	1.7	1.74	0.07
2548	273C	45	75	0	0	0.02	0	5.1	30.000	1.710	0.050	2.8	4.72	0.24
564	310C	45	75	0	0	0.3	2.03					2.8	4.72	0.61
2547	023C	45	75	0	0	0.02	0	4.1	30.000	1.710	0.320	2.8	4.72	1.54
566	05LC	45	98	98	98	0	0	MC4				1.7	1.74	18

Pérdida de carga acumulada del segmento	Δp_t	[Pa]	: 6.66
Velocidad en la sección inicial del segmento	V_m	[m/s]	: 2.5
Velocidad en la sección final del segmento	V_v	[m/s]	: 1.7
Recuperación de presión estática del segmento	Δp_r	[Pa]	: 2.02
Pérdida de carga acumulada del segmento, considerando la recuperación	Δp_{tm}	[Pa]	: 5.08
Pérdida de carga acumulada neta – total acumulado	$\Sigma \Delta p_{tm}$	[Pa]	: 133.15
Desequilibrio del terminal respecto al camino más desfavorable	Δp_{Tmr}	[Pa]	: 64.37

SEGMENTO 141:

Tipo: Tramo

1 ELEMENTO		2 Caudal Q	3 Diam. D/D _e	4 Ancho A	5 Alto B	6 Long. L	7 $\Delta p/L$	8 Fuente Tab	9 Ashrae X	10 Ashrae Y	11 Coeff. C _o	12 Veloc. V	13 P.Dinám P _v	14 Pérdida Δp_r o Δp_c
N. pz.	Cod.	[m³/h]	[mm]	[mm]	[mm]	[m]	[Pa/m]	n.	-	-	-	[m/s]	[Pa]	[Pa]
2540	11RA	90	164	150	150	0	0	ASH6_26M	0.667		0.047	1.1	0.73	0.18
547	310R	90	164	150	150	0.6	0.15					1.1	0.73	0.09

Pérdida de carga acumulada del segmento	Δp_t	[Pa]	: 0.27
Velocidad en la sección inicial del segmento	V_m	[m/s]	: 2.5
Velocidad en la sección final del segmento	V_v	[m/s]	: 2.5
Recuperación de presión estática del segmento	Δp_r	[Pa]	: 0
Pérdida de carga acumulada del segmento, considerando la recuperación	Δp_{tm}	[Pa]	: 0.95
Pérdida de carga acumulada neta – total acumulado	$\Sigma \Delta p_{tm}$	[Pa]	: 111.02

SEGMENTO 140:

Tipo: Terminal TRM-26

1 ELEMENTO		2 Caudal Q	3 Diam. D/D _e	4 Ancho A	5 Alto B	6 Long. L	7 $\Delta p/L$	8 Fuente Tab	9 Ashrae X	10 Ashrae Y	11 Coeff. C _o	12 Veloc. V	13 P.Dinám P _v	14 Pérdida Δp_r o Δp_c
N. pz.	Cod.	[m³/h]	[mm]	[mm]	[mm]	[m]	[Pa/m]	n.	-	-	-	[m/s]	[Pa]	[Pa]
2541	11RA	45	98	98	98	0	0	ASH6_26	0.500	1.490	1.260	1.7	1.74	4.74
555	310C	45	98	98	98	0.07	0.57					1.7	1.74	0.04
557	079C	45	98	98	98	0	0	3.1	1.520		0.046	1.7	1.74	0.07
2546	273C	45	75	0	0	0.02	0	5.1	30.000	1.710	0.050	2.8	4.72	0.24
558	310C	45	75	0	0	0.3	2.03					2.8	4.72	0.61
2545	023C	45	75	0	0	0.02	0	4.1	30.000	1.710	0.320	2.8	4.72	1.54
560	05LC	45	98	98	98	0	0	MC4				1.7	1.74	18

Pérdida de carga acumulada del segmento	Δp_t	[Pa]	: 7.25
Velocidad en la sección inicial del segmento	V_m	[m/s]	: 2.5
Velocidad en la sección final del segmento	V_v	[m/s]	: 1.7
Recuperación de presión estática del segmento	Δp_r	[Pa]	: 2.02
Pérdida de carga acumulada del segmento, considerando la recuperación	Δp_{tm}	[Pa]	: 5.67
Pérdida de carga acumulada neta – total acumulado	$\Sigma \Delta p_{tm}$	[Pa]	: 134.69
Desequilibrio del terminal respecto al camino más desfavorable	Δp_{Tmr}	[Pa]	: 62.84

SEGMENTO 139:**Tipo:** Terminal TRM-27

1 ELEMENTO		2 Caudal Q	3 Diam. D/D _e	4 Ancho A	5 Alto B	6 Long. L	7 $\Delta p/L$	8 Fuente Tab	9 Ashrae X	10 Ashrae Y	11 Coeff. C _o	12 Veloc. V	13 P.Dinám P _v	14 Pérdida Δp_r o Δp_c
N. pz.	Cod.	[m³/h]	[mm]	[mm]	[mm]	[m]	[Pa/m]	n.	-	-	-	[m/s]	[Pa]	[Pa]
2542	11RA	45	164	150	150	0	0	ASH6_26M	0.500		0.090	0.6	0.22	0.34
548	310R	45	164	150	150	0.6	0.05					0.6	0.22	0.03
539	11RAT	45	164	150	150	0	0	2_6	1.000	0.915	2.800	0.6	0.22	0
549	310C	45	98	98	98	0.07	0.57					1.7	1.74	0.04
551	079C	45	98	98	98	0	0	3.1	1.520		0.046	1.7	1.74	0.07
2544	023C	45	98	98	98	0	0	4.1	30.000	1.040	0.320	1.7	1.74	0.53
552	310C	45	100	0	0	0.3	0.5					1.6	1.54	0.15
2543	273C	45	98	98	98	0	0	5.1	30.000	1.040	0.050	1.7	1.74	0.08
554	05LC	45	98	98	98	0	0	MC4				1.7	1.74	18

Pérdida de carga acumulada del segmento

 Δp_t [Pa] : 1.24

Velocidad en la sección inicial del segmento

 V_m [m/s] : 2.5

Velocidad en la sección final del segmento

 V_v [m/s] : 1.7

Recuperación de presión estática del segmento

 Δp_r [Pa] : 2.02

Pérdida de carga acumulada del segmento, considerando la recuperación

 Δp_{tn} [Pa] : -0.55

Pérdida de carga acumulada neta – total acumulado

 $\Sigma \Delta p_{tn}$ [Pa] : 128.47

Desequilibrio del terminal respecto al camino más desfavorable

 Δp_{Tmr} [Pa] : 69.05**SEGMENTO 137:****Tipo:** Tramo

1 ELEMENTO		2 Caudal Q	3 Diam. D/D _e	4 Ancho A	5 Alto B	6 Long. L	7 $\Delta p/L$	8 Fuente Tab	9 Ashrae X	10 Ashrae Y	11 Coeff. C _o	12 Veloc. V	13 P.Dinám P _v	14 Pérdida Δp_r o Δp_c
N. pz.	Cod.	[m³/h]	[mm]	[mm]	[mm]	[m]	[Pa/m]	n.	-	-	-	[m/s]	[Pa]	[Pa]
466	3736	450	429	250	650	0	0	MC4	0.042	0.294	58.100	0.8	0.39	22.66
2484	283R	450	210	250	150	0.97	0	5.1	30.000	4.330	0.040	3.3	6.56	0.29
465	310R	450	210	250	150	1.05	0.87					3.3	6.56	0.91

Pérdida de carga acumulada del segmento

 Δp_t [Pa] : 23.86

Velocidad en la sección inicial del segmento

 V_m [m/s] : 6

Velocidad en la sección final del segmento

 V_v [m/s] : 3.3

Recuperación de presión estática del segmento

 Δp_r [Pa] : 15.12

Pérdida de carga acumulada del segmento, considerando la recuperación

 Δp_{tn} [Pa] : 8.88

Pérdida de carga acumulada neta – total acumulado

 $\Sigma \Delta p_{tn}$ [Pa] : 100.92**SEGMENTO 136:****Tipo:** Terminal TRM-46

1 ELEMENTO		2 Caudal Q	3 Diam. D/D _e	4 Ancho A	5 Alto B	6 Long. L	7 $\Delta p/L$	8 Fuente Tab	9 Ashrae X	10 Ashrae Y	11 Coeff. C _o	12 Veloc. V	13 P.Dinám P _v	14 Pérdida Δp_r o Δp_c
N. pz.	Cod.	[m³/h]	[mm]	[mm]	[mm]	[m]	[Pa/m]	n.	-	-	-	[m/s]	[Pa]	[Pa]
2482	11RA	45	98	98	98	0	0	ASH6_26	0.100	0.497	1.070	1.7	1.74	7.18
531	310C	45	98	98	98	0.07	0.57					1.7	1.74	0.04
533	079C	45	98	98	98	0	0	3.1	1.520		0.046	1.7	1.74	0.07
2523	273C	45	75	0	0	0.02	0	5.1	30.000	1.710	0.050	2.8	4.72	0.24
534	310C	45	75	0	0	0.3	2.03					2.8	4.72	0.61
2522	023C	45	75	0	0	0.02	0	4.1	30.000	1.710	0.320	2.8	4.72	1.54
536	05LC	45	98	98	98	0	0	MC4				1.7	1.74	18

Pérdida de carga acumulada del segmento	Δp_t	[Pa]	: 9.68
Velocidad en la sección inicial del segmento	V_m	[m/s]	: 3.3
Velocidad en la sección final del segmento	V_v	[m/s]	: 1.7
Recuperación de presión estática del segmento	Δp_r	[Pa]	: 4.82
Pérdida de carga acumulada del segmento, considerando la recuperación	Δp_{tn}	[Pa]	: 5.18
Pérdida de carga acumulada neta – total acumulado	$\Sigma \Delta p_{tn}$	[Pa]	: 124.1
Desequilibrio del terminal respecto al camino más desfavorable	Δp_{Tmr}	[Pa]	: 73.42

SEGMENTO 135:

Tipo: Tramo

1 ELEMENTO		2 Caudal Q	3 Diam. D/D _e	4 Ancho A	5 Alto B	6 Long. L	7 $\Delta p/L$	8 Fuente Tab	9 Ashrae X	10 Ashrae Y	11 Coeff. C _o	12 Veloc. V	13 P.Dinám P _v	14 Pérdida Δp_r o Δp_e
N. pz.	Cod.	[m³/h]	[mm]	[mm]	[mm]	[m]	[Pa/m]	n.	-	-	-	[m/s]	[Pa]	[Pa]
2483	11RA	405	210	250	150	0	0	ASH6_26M	0.900		0.010	3	5.42	0.07
2487	283R	405	152	200	100	0.19	0	5.1	30.000	1.880	0.050	5.6	18.88	0.95
468	310R	405	152	200	100	0.6	3.53					5.6	18.88	2.12

Pérdida de carga acumulada del segmento	Δp_t	[Pa]	: 3.14
Velocidad en la sección inicial del segmento	V_m	[m/s]	: 3.3
Velocidad en la sección final del segmento	V_v	[m/s]	: 5.6
Recuperación de presión estática del segmento	Δp_r	[Pa]	: -12.32
Pérdida de carga acumulada del segmento, considerando la recuperación	Δp_{tn}	[Pa]	: 15.5
Pérdida de carga acumulada neta – total acumulado	$\Sigma \Delta p_{tn}$	[Pa]	: 116.42

SEGMENTO 134:

Tipo: Terminal TRM-46

1 ELEMENTO		2 Caudal Q	3 Diam. D/D _e	4 Ancho A	5 Alto B	6 Long. L	7 $\Delta p/L$	8 Fuente Tab	9 Ashrae X	10 Ashrae Y	11 Coeff. C _o	12 Veloc. V	13 P.Dinám P _v	14 Pérdida Δp_r o Δp_e
N. pz.	Cod.	[m³/h]	[mm]	[mm]	[mm]	[m]	[Pa/m]	n.	-	-	-	[m/s]	[Pa]	[Pa]
2485	11RA	45	98	98	98	0	0	ASH6_26	0.111	0.295	1.010	1.7	1.74	19.28
525	310C	45	98	98	98	0.07	0.57					1.7	1.74	0.04
527	079C	45	98	98	98	0	0	3.1	1.520		0.046	1.7	1.74	0.07
2521	273C	45	75	0	0	0.02	0	5.1	30.000	1.710	0.050	2.8	4.72	0.24
528	310C	45	75	0	0	0.3	2.03					2.8	4.72	0.61
2520	023C	45	75	0	0	0.02	0	4.1	30.000	1.710	0.320	2.8	4.72	1.54
530	05LC	45	98	98	98	0	0	MC4				1.7	1.74	18

Pérdida de carga acumulada del segmento	Δp_t	[Pa]	: 21.78
Velocidad en la sección inicial del segmento	V_m	[m/s]	: 5.6
Velocidad en la sección final del segmento	V_v	[m/s]	: 1.7
Recuperación de presión estática del segmento	Δp_r	[Pa]	: 17.14
Pérdida de carga acumulada del segmento, considerando la recuperación	Δp_{tn}	[Pa]	: 4.92
Pérdida de carga acumulada neta – total acumulado	$\Sigma \Delta p_{tn}$	[Pa]	: 139.34
Desequilibrio del terminal respecto al camino más desfavorable	Δp_{Tmr}	[Pa]	: 58.18

SEGMENTO 133:

Tipo: Tramo

1 ELEMENTO	2 Caudal Q	3 Diam. D/D _e	4 Ancho A	5 Alto B	6 Long. L	7 $\Delta p/L$	8 Fuente Tab	9 Ashrae X	10 Ashrae Y	11 Coeff. C _o	12 Veloc. V	13 P.Dinám P _v	14 Pérdida Δp_r o Δp_e
---------------	------------------	--------------------------------	-----------------	----------------	-----------------	-------------------	--------------------	------------------	-------------------	--------------------------------	-------------------	---------------------------------	--

N. pz.	Cod.	[m³/h]	[mm]	[mm]	[mm]	[m]	[Pa/m]	n.	-	-	-	[m/s]	[Pa]	[Pa]
2486	11RA	360	152	200	100	0	0	ASH6_26M	0.889		0.011	5	15.05	0.21
469	310R	360	152	200	100	0.6	2.85					5	15.05	1.71

Pérdida de carga acumulada del segmento	Δp_t	[Pa]	: 1.92
Velocidad en la sección inicial del segmento	V_m	[m/s]	: 5.6
Velocidad en la sección final del segmento	V_v	[m/s]	: 5
Recuperación de presión estática del segmento	Δp_r	[Pa]	: 3.83
Pérdida de carga acumulada del segmento, considerando la recuperación	Δp_{tm}	[Pa]	: -2.08
Pérdida de carga acumulada neta – total acumulado	$\Sigma \Delta p_{tm}$	[Pa]	: 114.34

SEGMENTO 132:

Tipo: Terminal TRM-46

1 ELEMENTO		2 Caudal Q	3 Diam. D/D _e	4 Ancho A	5 Alto B	6 Long. L	7 $\Delta p/L$	8 Fuente Tab	9 Ashrae X	10 Ashrae Y	11 Coeff. C _o	12 Veloc. V	13 P.Dinám P _v	14 Pérdida Δp_r o Δp_c
N. pz.	Cod.	[m³/h]	[mm]	[mm]	[mm]	[m]	[Pa/m]	n.	-	-	-	[m/s]	[Pa]	[Pa]
2488	11RA	45	98	98	98	0	0	ASH6_26	0.125	0.332	1.020	1.7	1.74	15.39
519	310C	45	98	98	98	0.07	0.57					1.7	1.74	0.04
521	079C	45	98	98	98	0	0	3.1	1.520		0.046	1.7	1.74	0.07
2519	273C	45	75	0	0	0.02	0	5.1	30.000	1.710	0.050	2.8	4.72	0.24
522	310C	45	75	0	0	0.3	2.03					2.8	4.72	0.61
2518	023C	45	75	0	0	0.02	0	4.1	30.000	1.710	0.320	2.8	4.72	1.54
524	05LC	45	98	98	98	0	0	MC4				1.7	1.74	18

Pérdida de carga acumulada del segmento	Δp_t	[Pa]	: 17.89
Velocidad en la sección inicial del segmento	V_m	[m/s]	: 5
Velocidad en la sección final del segmento	V_v	[m/s]	: 1.7
Recuperación de presión estática del segmento	Δp_r	[Pa]	: 13.31
Pérdida de carga acumulada del segmento, considerando la recuperación	Δp_{tm}	[Pa]	: 5.03
Pérdida de carga acumulada neta – total acumulado	$\Sigma \Delta p_{tm}$	[Pa]	: 137.37
Desequilibrio del terminal respecto al camino más desfavorable	Δp_{Tmr}	[Pa]	: 60.15

SEGMENTO 131:

Tipo: Tramo

1 ELEMENTO		2 Caudal Q	3 Diam. D/D _e	4 Ancho A	5 Alto B	6 Long. L	7 $\Delta p/L$	8 Fuente Tab	9 Ashrae X	10 Ashrae Y	11 Coeff. C _o	12 Veloc. V	13 P.Dinám P _v	14 Pérdida Δp_r o Δp_c
N. pz.	Cod.	[m³/h]	[mm]	[mm]	[mm]	[m]	[Pa/m]	n.	-	-	-	[m/s]	[Pa]	[Pa]
2489	11RA	315	152	200	100	0	0	ASH6_26M	0.875		0.012	4.4	11.65	0.19
2492	283R	315	133	150	100	0.14	0	5.1	30.000	1.330	0.050	5.8	20.25	1.02
470	310R	315	133	150	100	0.6	4.32					5.8	20.25	2.59

Pérdida de carga acumulada del segmento	Δp_t	[Pa]	: 3.8
Velocidad en la sección inicial del segmento	V_m	[m/s]	: 5
Velocidad en la sección final del segmento	V_v	[m/s]	: 5.8
Recuperación de presión estática del segmento	Δp_r	[Pa]	: -5.2
Pérdida de carga acumulada del segmento, considerando la recuperación	Δp_{tm}	[Pa]	: 9.24
Pérdida de carga acumulada neta – total acumulado	$\Sigma \Delta p_{tm}$	[Pa]	: 123.58

SEGMENTO 130:

Tipo: Terminal TRM-46

1 ELEMENTO		2 Caudal Q	3 Diam. D/D _e	4 Ancho A	5 Alto B	6 Long. L	7 $\Delta p/L$	8 Fuente Tab	9 Ashrae X	10 Ashrae Y	11 Coeff. C _o	12 Veloc. V	13 P.Dinám P _v	14 Pérdida Δp_r o Δp_e
N. pz.	Cod.	[m³/h]	[mm]	[mm]	[mm]	[m]	[Pa/m]	n.	-	-	-	[m/s]	[Pa]	[Pa]
2490	11RA	45	98	98	98	0	0	ASH6_26	0.143	0.284	1.030	1.7	1.74	21.15
513	310C	45	98	98	98	0.07	0.57					1.7	1.74	0.04
515	079C	45	98	98	98	0	0	3.1	1.520		0.046	1.7	1.74	0.07
2517	273C	45	75	0	0	0.02	0	5.1	30.000	1.710	0.050	2.8	4.72	0.24
516	310C	45	75	0	0	0.3	2.03					2.8	4.72	0.61
2516	023C	45	75	0	0	0.02	0	4.1	30.000	1.710	0.320	2.8	4.72	1.54
518	05LC	45	98	98	98	0	0	MC4				1.7	1.74	18

Pérdida de carga acumulada del segmento	Δp_t	[Pa]	: 23.65
Velocidad en la sección inicial del segmento	V_m	[m/s]	: 5.8
Velocidad en la sección final del segmento	V_v	[m/s]	: 1.7
Recuperación de presión estática del segmento	Δp_r	[Pa]	: 18.51
Pérdida de carga acumulada del segmento, considerando la recuperación	Δp_{tm}	[Pa]	: 5.35
Pérdida de carga acumulada neta – total acumulado	$\Sigma \Delta p_{tm}$	[Pa]	: 146.93
Desequilibrio del terminal respecto al camino más desfavorable	Δp_{Tmr}	[Pa]	: 50.59

SEGMENTO 129:

Tipo: Tramo

1 ELEMENTO		2 Caudal Q	3 Diam. D/D _e	4 Ancho A	5 Alto B	6 Long. L	7 $\Delta p/L$	8 Fuente Tab	9 Ashrae X	10 Ashrae Y	11 Coeff. C _o	12 Veloc. V	13 P.Dinám P _v	14 Pérdida Δp_r o Δp_e
N. pz.	Cod.	[m³/h]	[mm]	[mm]	[mm]	[m]	[Pa/m]	n.	-	-	-	[m/s]	[Pa]	[Pa]
2491	11RA	270	133	150	100	0	0	ASH6_26M	0.857		0.014	5	15.05	0.29
471	310R	270	133	150	100	0.6	3.23					5	15.05	1.94

Pérdida de carga acumulada del segmento	Δp_t	[Pa]	: 2.23
Velocidad en la sección inicial del segmento	V_m	[m/s]	: 5.8
Velocidad en la sección final del segmento	V_v	[m/s]	: 5
Recuperación de presión estática del segmento	Δp_r	[Pa]	: 5.2
Pérdida de carga acumulada del segmento, considerando la recuperación	Δp_{tm}	[Pa]	: -3.2
Pérdida de carga acumulada neta – total acumulado	$\Sigma \Delta p_{tm}$	[Pa]	: 120.38

SEGMENTO 128:

Tipo: Terminal TRM-46

1 ELEMENTO		2 Caudal Q	3 Diam. D/D _e	4 Ancho A	5 Alto B	6 Long. L	7 $\Delta p/L$	8 Fuente Tab	9 Ashrae X	10 Ashrae Y	11 Coeff. C _o	12 Veloc. V	13 P.Dinám P _v	14 Pérdida Δp_r o Δp_e
N. pz.	Cod.	[m³/h]	[mm]	[mm]	[mm]	[m]	[Pa/m]	n.	-	-	-	[m/s]	[Pa]	[Pa]
2493	11RA	45	98	98	98	0	0	ASH6_26	0.167	0.332	1.050	1.7	1.74	15.79
507	310C	45	98	98	98	0.07	0.57					1.7	1.74	0.04
509	079C	45	98	98	98	0	0	3.1	1.520		0.046	1.7	1.74	0.07
2515	273C	45	75	0	0	0.02	0	5.1	30.000	1.710	0.050	2.8	4.72	0.24
510	310C	45	75	0	0	0.3	2.03					2.8	4.72	0.61
2514	023C	45	75	0	0	0.02	0	4.1	30.000	1.710	0.320	2.8	4.72	1.54
512	05LC	45	98	98	98	0	0	MC4				1.7	1.74	18

Pérdida de carga acumulada del segmento	Δp_t	[Pa]	: 18.29
Velocidad en la sección inicial del segmento	V_m	[m/s]	: 5
Velocidad en la sección final del segmento	V_v	[m/s]	: 1.7

Recuperación de presión estática del segmento	Δp_r	[Pa] : 13.31
Pérdida de carga acumulada del segmento, considerando la recuperación	Δp_{tn}	[Pa] : 5.42
Pérdida de carga acumulada neta – total acumulado	$\Sigma \Delta p_{tn}$	[Pa] : 143.8
Desequilibrio del terminal respecto al camino más desfavorable	Δp_{Tmr}	[Pa] : 53.72

SEGMENTO 127:

Tipo: Tramo

1 ELEMENTO		2 Caudal Q	3 Diam. D/D _e	4 Ancho A	5 Alto B	6 Long. L	7 $\Delta p/L$	8 Fuente Tab	9 Ashrae X	10 Ashrae Y	11 Coeff. C _o	12 Veloc. V	13 P.Dinám P _v	14 Pérdida Δp_r o Δp_c
N. pz.	Cod.	[m³/h]	[mm]	[mm]	[mm]	[m]	[Pa/m]	n.	-	-	-	[m/s]	[Pa]	[Pa]
2494	11RA	225	133	150	100	0	0	ASH6_26M	0.833		0.017	4.2	10.62	0.25
472	310R	225	133	150	100	0.6	2.3					4.2	10.62	1.38

Pérdida de carga acumulada del segmento	Δp_t	[Pa] : 1.64
Velocidad en la sección inicial del segmento	V_m	[m/s] : 5
Velocidad en la sección final del segmento	V_v	[m/s] : 4.2
Recuperación de presión estática del segmento	Δp_r	[Pa] : 4.43
Pérdida de carga acumulada del segmento, considerando la recuperación	Δp_{tn}	[Pa] : -2.96
Pérdida de carga acumulada neta – total acumulado	$\Sigma \Delta p_{tn}$	[Pa] : 117.41

SEGMENTO 126:

Tipo: Terminal TRM-46

1 ELEMENTO		2 Caudal Q	3 Diam. D/D _e	4 Ancho A	5 Alto B	6 Long. L	7 $\Delta p/L$	8 Fuente Tab	9 Ashrae X	10 Ashrae Y	11 Coeff. C _o	12 Veloc. V	13 P.Dinám P _v	14 Pérdida Δp_r o Δp_c
N. pz.	Cod.	[m³/h]	[mm]	[mm]	[mm]	[m]	[Pa/m]	n.	-	-	-	[m/s]	[Pa]	[Pa]
2495	11RA	45	98	98	98	0	0	ASH6_26	0.200	0.398	1.070	1.7	1.74	11.18
501	310C	45	98	98	98	0.07	0.57					1.7	1.74	0.04
503	079C	45	98	98	98	0	0	3.1	1.520		0.046	1.7	1.74	0.07
2513	273C	45	75	0	0	0.02	0	5.1	30.000	1.710	0.050	2.8	4.72	0.24
504	310C	45	75	0	0	0.3	2.03					2.8	4.72	0.61
2512	023C	45	75	0	0	0.02	0	4.1	30.000	1.710	0.320	2.8	4.72	1.54
506	05LC	45	98	98	98	0	0	MC4				1.7	1.74	18

Pérdida de carga acumulada del segmento	Δp_t	[Pa] : 13.69
Velocidad en la sección inicial del segmento	V_m	[m/s] : 4.2
Velocidad en la sección final del segmento	V_v	[m/s] : 1.7
Recuperación de presión estática del segmento	Δp_r	[Pa] : 8.88
Pérdida de carga acumulada del segmento, considerando la recuperación	Δp_{tn}	[Pa] : 5.42
Pérdida de carga acumulada neta – total acumulado	$\Sigma \Delta p_{tn}$	[Pa] : 140.83
Desequilibrio del terminal respecto al camino más desfavorable	Δp_{Tmr}	[Pa] : 56.69

SEGMENTO 125:

Tipo: Tramo

1 ELEMENTO		2 Caudal Q	3 Diam. D/D _e	4 Ancho A	5 Alto B	6 Long. L	7 $\Delta p/L$	8 Fuente Tab	9 Ashrae X	10 Ashrae Y	11 Coeff. C _o	12 Veloc. V	13 P.Dinám P _v	14 Pérdida Δp_r o Δp_c
N. pz.	Cod.	[m³/h]	[mm]	[mm]	[mm]	[m]	[Pa/m]	n.	-	-	-	[m/s]	[Pa]	[Pa]
2496	11RA	180	133	150	100	0	0	ASH6_26M	0.800		0.020	3.3	6.56	0.21
2499	283R	180	109	100	100	0.14	0	5.1	30.000	1.500	0.050	5	15.05	0.75
473	310R	180	109	100	100	0.6	4.08					5	15.05	2.45

Pérdida de carga acumulada del segmento	Δp_t	[Pa]	: 3.41
Velocidad en la sección inicial del segmento	V_m	[m/s]	: 4.2
Velocidad en la sección final del segmento	V_v	[m/s]	: 5
Recuperación de presión estática del segmento	Δp_r	[Pa]	: -4.43
Pérdida de carga acumulada del segmento, considerando la recuperación	Δp_{tm}	[Pa]	: 8.01
Pérdida de carga acumulada neta – total acumulado	$\Sigma \Delta p_{tm}$	[Pa]	: 125.43

SEGMENTO 124:

Tipo: Terminal TRM-46

1 ELEMENTO		2 Caudal Q	3 Diam. D/D _e	4 Ancho A	5 Alto B	6 Long. L	7 $\Delta p/L$	8 Fuente Tab	9 Ashrae X	10 Ashrae Y	11 Coeff. C _o	12 Veloc. V	13 P.Dinám P _v	14 Pérdida Δp_r o Δp_c
N. pz.	Cod.	[m³/h]	[mm]	[mm]	[mm]	[m]	[Pa/m]	n.	-	-	-	[m/s]	[Pa]	[Pa]
2497	11RA	45	98	98	98	0	0	ASH6_26	0.250	0.332	1.080	1.7	1.74	16.18
495	310C	45	98	98	98	0.07	0.57					1.7	1.74	0.04
497	079C	45	98	98	98	0	0	3.1	1.520		0.046	1.7	1.74	0.07
2511	273C	45	75	0	0	0.02	0	5.1	30.000	1.710	0.050	2.8	4.72	0.24
498	310C	45	75	0	0	0.3	2.03					2.8	4.72	0.61
2510	023C	45	75	0	0	0.02	0	4.1	30.000	1.710	0.320	2.8	4.72	1.54
500	05LC	45	98	98	98	0	0	MC4				1.7	1.74	18

Pérdida de carga acumulada del segmento	Δp_t	[Pa]	: 18.68
Velocidad en la sección inicial del segmento	V_m	[m/s]	: 5
Velocidad en la sección final del segmento	V_v	[m/s]	: 1.7
Recuperación de presión estática del segmento	Δp_r	[Pa]	: 13.31
Pérdida de carga acumulada del segmento, considerando la recuperación	Δp_{tm}	[Pa]	: 5.82
Pérdida de carga acumulada neta – total acumulado	$\Sigma \Delta p_{tm}$	[Pa]	: 149.24
Desequilibrio del terminal respecto al camino más desfavorable	Δp_{Tmr}	[Pa]	: 48.28

SEGMENTO 123:

Tipo: Tramo

1 ELEMENTO		2 Caudal Q	3 Diam. D/D _e	4 Ancho A	5 Alto B	6 Long. L	7 $\Delta p/L$	8 Fuente Tab	9 Ashrae X	10 Ashrae Y	11 Coeff. C _o	12 Veloc. V	13 P.Dinám P _v	14 Pérdida Δp_r o Δp_c
N. pz.	Cod.	[m³/h]	[mm]	[mm]	[mm]	[m]	[Pa/m]	n.	-	-	-	[m/s]	[Pa]	[Pa]
2498	11RA	135	109	100	100	0	0	ASH6_26M	0.750		0.030	3.7	8.24	0.45
474	310R	135	109	100	100	0.6	2.4					3.7	8.24	1.44

Pérdida de carga acumulada del segmento	Δp_t	[Pa]	: 1.89
Velocidad en la sección inicial del segmento	V_m	[m/s]	: 5
Velocidad en la sección final del segmento	V_v	[m/s]	: 3.7
Recuperación de presión estática del segmento	Δp_r	[Pa]	: 6.81
Pérdida de carga acumulada del segmento, considerando la recuperación	Δp_{tm}	[Pa]	: -4.69
Pérdida de carga acumulada neta – total acumulado	$\Sigma \Delta p_{tm}$	[Pa]	: 120.74

SEGMENTO 122:

Tipo: Terminal TRM-46

1 ELEMENTO		2 Caudal Q	3 Diam. D/D _e	4 Ancho A	5 Alto B	6 Long. L	7 $\Delta p/L$	8 Fuente Tab	9 Ashrae X	10 Ashrae Y	11 Coeff. C _o	12 Veloc. V	13 P.Dinám P _v	14 Pérdida Δp_r o Δp_c
---------------	--	------------------	--------------------------------	-----------------	----------------	-----------------	-------------------	--------------------	------------------	-------------------	--------------------------------	-------------------	---------------------------------	--

N. pz.	Cod.	[m³/h]	[mm]	[mm]	[mm]	[m]	[Pa/m]	n.	-	-	-	[m/s]	[Pa]	[Pa]
2500	11RA	45	98	98	98	0	0	ASH6_26	0.333	0.442	1.100	1.7	1.74	9.28
489	310C	45	98	98	98	0.07	0.57					1.7	1.74	0.04
491	079C	45	98	98	98	0	0	3.1	1.520		0.046	1.7	1.74	0.07
2509	273C	45	75	0	0	0.02	0	5.1	30.000	1.710	0.050	2.8	4.72	0.24
492	310C	45	75	0	0	0.3	2.03					2.8	4.72	0.61
2508	023C	45	75	0	0	0.02	0	4.1	30.000	1.710	0.320	2.8	4.72	1.54
494	05LC	45	98	98	98	0	0	MC4				1.7	1.74	18

Pérdida de carga acumulada del segmento	Δp_t	[Pa]	: 11.79
Velocidad en la sección inicial del segmento	V_m	[m/s]	: 3.7
Velocidad en la sección final del segmento	V_v	[m/s]	: 1.7
Recuperación de presión estática del segmento	Δp_r	[Pa]	: 6.5
Pérdida de carga acumulada del segmento, considerando la recuperación	Δp_{tn}	[Pa]	: 5.51
Pérdida de carga acumulada neta – total acumulado	$\Sigma \Delta p_{tn}$	[Pa]	: 144.24
Desequilibrio del terminal respecto al camino más desfavorable	Δp_{Tmr}	[Pa]	: 53.28

SEGMENTO 121:

Tipo: Tramo

1 ELEMENTO		2 Caudal Q	3 Diam. D/D _e	4 Ancho A	5 Alto B	6 Long. L	7 $\Delta p/L$	8 Fuente Tab	9 Ashrae X	10 Ashrae Y	11 Coeff. C _o	12 Veloc. V	13 P.Dinám P _v	14 Pérdida Δp_r o Δp_c
N. pz.	Cod.	[m³/h]	[mm]	[mm]	[mm]	[m]	[Pa/m]	n.	-	-	-	[m/s]	[Pa]	[Pa]
2501	11RA	90	109	100	100	0	0	ASH6_26M	0.667		0.047	2.5	3.76	0.4
475	310R	90	109	100	100	0.6	1.13					2.5	3.76	0.68

Pérdida de carga acumulada del segmento	Δp_t	[Pa]	: 1.07
Velocidad en la sección inicial del segmento	V_m	[m/s]	: 3.7
Velocidad en la sección final del segmento	V_v	[m/s]	: 2.5
Recuperación de presión estática del segmento	Δp_r	[Pa]	: 4.48
Pérdida de carga acumulada del segmento, considerando la recuperación	Δp_{tn}	[Pa]	: -3.63
Pérdida de carga acumulada neta – total acumulado	$\Sigma \Delta p_{tn}$	[Pa]	: 117.11

SEGMENTO 120:

Tipo: Terminal TRM-46

1 ELEMENTO		2 Caudal Q	3 Diam. D/D _e	4 Ancho A	5 Alto B	6 Long. L	7 $\Delta p/L$	8 Fuente Tab	9 Ashrae X	10 Ashrae Y	11 Coeff. C _o	12 Veloc. V	13 P.Dinám P _v	14 Pérdida Δp_r o Δp_c
N. pz.	Cod.	[m³/h]	[mm]	[mm]	[mm]	[m]	[Pa/m]	n.	-	-	-	[m/s]	[Pa]	[Pa]
2502	11RA	45	98	98	98	0	0	ASH6_26	0.500	0.663	1.260	1.7	1.74	4.74
483	310C	45	98	98	98	0.07	0.57					1.7	1.74	0.04
485	079C	45	98	98	98	0	0	3.1	1.520		0.046	1.7	1.74	0.07
2507	273C	45	75	0	0	0.02	0	5.1	30.000	1.710	0.050	2.8	4.72	0.24
486	310C	45	75	0	0	0.3	2.03					2.8	4.72	0.61
2506	023C	45	75	0	0	0.02	0	4.1	30.000	1.710	0.320	2.8	4.72	1.54
488	05LC	45	98	98	98	0	0	MC4				1.7	1.74	18

Pérdida de carga acumulada del segmento	Δp_t	[Pa]	: 7.25
Velocidad en la sección inicial del segmento	V_m	[m/s]	: 2.5
Velocidad en la sección final del segmento	V_v	[m/s]	: 1.7
Recuperación de presión estática del segmento	Δp_r	[Pa]	: 2.02
Pérdida de carga acumulada del segmento, considerando la recuperación	Δp_{tn}	[Pa]	: 5.67
Pérdida de carga acumulada neta – total acumulado	$\Sigma \Delta p_{tn}$	[Pa]	: 140.77
Desequilibrio del terminal respecto al camino más desfavorable	Δp_{Tmr}	[Pa]	: 56.75

SEGMENTO 119:**Tipo:** Terminal TRM-46

1 ELEMENTO		2 Caudal Q	3 Diam. D/D _e	4 Ancho A	5 Alto B	6 Long. L	7 $\Delta p/L$	8 Fuente Tab	9 Ashrae X	10 Ashrae Y	11 Coeff. C _o	12 Veloc. V	13 P.Dinám P _v	14 Pérdida Δp_r o Δp_e
N. pz.	Cod.	[m³/h]	[mm]	[mm]	[mm]	[m]	[Pa/m]	n.	-	-	-	[m/s]	[Pa]	[Pa]
2503	11RA	45	109	100	100	0	0	ASH6_26M	0.500		0.090	1.2	0.87	0.34
476	310R	45	109	100	100	0.6	0.32					1.2	0.87	0.19
467	11RAT	45	109	100	100	0	0	2_6	1.000	0.917	2.800	1.2	0.87	4.63
477	310C	45	98	98	98	0.07	0.57					1.7	1.74	0.04
479	079C	45	98	98	98	0	0	3.1	1.520		0.046	1.7	1.74	0.07
2505	023C	45	98	98	98	0	0	4.1	30.000	1.040	0.320	1.7	1.74	0.53
480	310C	45	100	0	0	0.3	0.5					1.6	1.54	0.15
2504	273C	45	98	98	98	0	0	5.1	30.000	1.040	0.050	1.7	1.74	0.08
482	05LC	45	98	98	98	0	0	MC4				1.7	1.74	18

Pérdida de carga acumulada del segmento

 Δp_t [Pa] : 6.04

Velocidad en la sección inicial del segmento

 V_m [m/s] : 2.5

Velocidad en la sección final del segmento

 V_v [m/s] : 1.7

Recuperación de presión estática del segmento

 Δp_r [Pa] : 2.02

Pérdida de carga acumulada del segmento, considerando la recuperación

 Δp_{tm} [Pa] : 3.93

Pérdida de carga acumulada neta – total acumulado

 $\Sigma \Delta p_{tm}$ [Pa] : 139.03

Desequilibrio del terminal respecto al camino más desfavorable

 Δp_{Tmr} [Pa] : 58.49**SEGMENTO 157:****Tipo:** Tramo

1 ELEMENTO		2 Caudal Q	3 Diam. D/D _e	4 Ancho A	5 Alto B	6 Long. L	7 $\Delta p/L$	8 Fuente Tab	9 Ashrae X	10 Ashrae Y	11 Coeff. C _o	12 Veloc. V	13 P.Dinám P _v	14 Pérdida Δp_r o Δp_e
N. pz.	Cod.	[m³/h]	[mm]	[mm]	[mm]	[m]	[Pa/m]	n.	-	-	-	[m/s]	[Pa]	[Pa]
2480	3736	9900	811	850	650	0	0	MC4	0.917		0.084	5	15.05	1.26
2565	283R	9900	778	850	600	0.19	0	5.1	30.000	1.080	0.050	5.4	17.55	7.56
609	310R	9900	778	850	600	1	0.42					5.4	17.55	0.42

Pérdida de carga acumulada del segmento

 Δp_t [Pa] : 9.24

Velocidad en la sección inicial del segmento

 V_m [m/s] : 6

Velocidad en la sección final del segmento

 V_v [m/s] : 5.5

Recuperación de presión estática del segmento

 Δp_r [Pa] : 3.46

Pérdida de carga acumulada del segmento, considerando la recuperación

 Δp_{tm} [Pa] : 6.69

Pérdida de carga acumulada neta – total acumulado

 $\Sigma \Delta p_{tm}$ [Pa] : 98.73**SEGMENTO 177:****Tipo:** Tramo

1 ELEMENTO		2 Caudal Q	3 Diam. D/D _e	4 Ancho A	5 Alto B	6 Long. L	7 $\Delta p/L$	8 Fuente Tab	9 Ashrae X	10 Ashrae Y	11 Coeff. C _o	12 Veloc. V	13 P.Dinám P _v	14 Pérdida Δp_r o Δp_e
N. pz.	Cod.	[m³/h]	[mm]	[mm]	[mm]	[m]	[Pa/m]	n.	-	-	-	[m/s]	[Pa]	[Pa]
2563	3736	450	310	150	600	0	0	MC4	0.045	0.176	12.400	1.4	1.18	14.62
2610	283R	450	164	150	150	0.88	0	5.1	30.000	4.000	0.040	5.6	18.88	0.81
684	310R	450	164	150	150	1.1	2.95					5.6	18.88	3.25

Pérdida de carga acumulada del segmento

 Δp_t [Pa] : 18.68

Velocidad en la sección inicial del segmento	V_m	[m/s]	: 5.5
Velocidad en la sección final del segmento	V_v	[m/s]	: 3.3
Recuperación de presión estática del segmento	Δp_r	[Pa]	: 11.65
Pérdida de carga acumulada del segmento, considerando la recuperación	Δp_{tn}	[Pa]	: 8.09
Pérdida de carga acumulada neta – total acumulado	$\Sigma \Delta p_{tn}$	[Pa]	: 106.83

SEGMENTO 195:

Tipo: Terminal TRM-18

1 ELEMENTO		2 Caudal Q	3 Diam. D/D _e	4 Ancho A	5 Alto B	6 Long. L	7 $\Delta p/L$	8 Fuente Tab	9 Ashrae X	10 Ashrae Y	11 Coeff. C _o	12 Veloc. V	13 P.Dinám P _v	14 Pérdida Δp_r o Δp_c
N. pz.	Cod.	[m³/h]	[mm]	[mm]	[mm]	[m]	[Pa/m]	n.	-	-	-	[m/s]	[Pa]	[Pa]
2608	11RA	45	98	98	98	0	0	ASH6_26	0.100	0.298	1.070	1.7	1.74	7.18
750	310C	45	98	98	98	0.07	0.57					1.7	1.74	0.04
752	079C	45	98	98	98	0	0	3.1	1.520		0.046	1.7	1.74	0.07
2646	273C	45	75	0	0	0.02	0	5.1	30.000	1.710	0.050	2.8	4.72	0.24
753	310C	45	75	0	0	0.3	2.03					2.8	4.72	0.61
2645	023C	45	75	0	0	0.02	0	4.1	30.000	1.710	0.320	2.8	4.72	1.54
755	05LC	45	98	98	98	0	0	MC4				1.7	1.74	18

Pérdida de carga acumulada del segmento	Δp_t	[Pa]	: 9.68
Velocidad en la sección inicial del segmento	V_m	[m/s]	: 3.3
Velocidad en la sección final del segmento	V_v	[m/s]	: 1.7
Recuperación de presión estática del segmento	Δp_r	[Pa]	: 4.82
Pérdida de carga acumulada del segmento, considerando la recuperación	Δp_{tn}	[Pa]	: 5.18
Pérdida de carga acumulada neta – total acumulado	$\Sigma \Delta p_{tn}$	[Pa]	: 130.01
Desequilibrio del terminal respecto al camino más desfavorable	Δp_{Tmr}	[Pa]	: 67.52

SEGMENTO 194:

Tipo: Tramo

1 ELEMENTO		2 Caudal Q	3 Diam. D/D _e	4 Ancho A	5 Alto B	6 Long. L	7 $\Delta p/L$	8 Fuente Tab	9 Ashrae X	10 Ashrae Y	11 Coeff. C _o	12 Veloc. V	13 P.Dinám P _v	14 Pérdida Δp_r o Δp_c
N. pz.	Cod.	[m³/h]	[mm]	[mm]	[mm]	[m]	[Pa/m]	n.	-	-	-	[m/s]	[Pa]	[Pa]
2609	11RA	405	164	150	150	0	0	ASH6_26M	0.900		0.010	5	15.05	0.07
687	310R	405	164	150	150	0.6	2.43					5	15.05	1.46

Pérdida de carga acumulada del segmento	Δp_t	[Pa]	: 1.52
Velocidad en la sección inicial del segmento	V_m	[m/s]	: 3.3
Velocidad en la sección final del segmento	V_v	[m/s]	: 3
Recuperación de presión estática del segmento	Δp_r	[Pa]	: 1.14
Pérdida de carga acumulada del segmento, considerando la recuperación	Δp_{tn}	[Pa]	: 1.76
Pérdida de carga acumulada neta – total acumulado	$\Sigma \Delta p_{tn}$	[Pa]	: 108.59

SEGMENTO 193:

Tipo: Terminal TRM-19

1 ELEMENTO		2 Caudal Q	3 Diam. D/D _e	4 Ancho A	5 Alto B	6 Long. L	7 $\Delta p/L$	8 Fuente Tab	9 Ashrae X	10 Ashrae Y	11 Coeff. C _o	12 Veloc. V	13 P.Dinám P _v	14 Pérdida Δp_r o Δp_c
N. pz.	Cod.	[m³/h]	[mm]	[mm]	[mm]	[m]	[Pa/m]	n.	-	-	-	[m/s]	[Pa]	[Pa]
2611	11RA	45	98	98	98	0	0	ASH6_26	0.111	0.332	1.110	1.7	1.74	6
744	310C	45	98	98	98	0.07	0.57					1.7	1.74	0.04

746	079C	45	98	98	98	0	0	3.1	1.520		0.046	1.7	1.74	0.07
2644	273C	45	75	0	0	0.02	0	5.1	30.000	1.710	0.050	2.8	4.72	0.24
747	310C	45	75	0	0	0.3	2.03					2.8	4.72	0.61
2643	023C	45	75	0	0	0.02	0	4.1	30.000	1.710	0.320	2.8	4.72	1.54
749	05LC	45	98	98	98	0	0	MC4				1.7	1.74	18

Pérdida de carga acumulada del segmento	Δp_t	[Pa]	: 8.51
Velocidad en la sección inicial del segmento	V_m	[m/s]	: 3
Velocidad en la sección final del segmento	V_v	[m/s]	: 1.7
Recuperación de presión estática del segmento	Δp_r	[Pa]	: 3.68
Pérdida de carga acumulada del segmento, considerando la recuperación	Δp_{tn}	[Pa]	: 5.27
Pérdida de carga acumulada neta – total acumulado	$\Sigma \Delta p_{tn}$	[Pa]	: 131.86
Desequilibrio del terminal respecto al camino más desfavorable	Δp_{Tmr}	[Pa]	: 65.67

SEGMENTO 192:

Tipo: Tramo

1 ELEMENTO		2 Caudal Q	3 Diam. D/D _e	4 Ancho A	5 Alto B	6 Long. L	7 $\Delta p/L$	8 Fuente Tab	9 Ashrae X	10 Ashrae Y	11 Coeff. C _o	12 Veloc. V	13 P.Dinám P _v	14 Pérdida Δp_r o Δp_e
N. pz.	Cod.	[m³/h]	[mm]	[mm]	[mm]	[m]	[Pa/m]	n.	-	-	-	[m/s]	[Pa]	[Pa]
2612	11RA	360	164	150	150	0	0	ASH6_26M	0.889		0.011	4.4	11.65	0.06
688	310R	360	164	150	150	0.6	1.95					4.4	11.65	1.17

Pérdida de carga acumulada del segmento	Δp_t	[Pa]	: 1.23
Velocidad en la sección inicial del segmento	V_m	[m/s]	: 3
Velocidad en la sección final del segmento	V_v	[m/s]	: 2.7
Recuperación de presión estática del segmento	Δp_r	[Pa]	: 1.03
Pérdida de carga acumulada del segmento, considerando la recuperación	Δp_{tn}	[Pa]	: 1.28
Pérdida de carga acumulada neta – total acumulado	$\Sigma \Delta p_{tn}$	[Pa]	: 109.86

SEGMENTO 191:

Tipo: Terminal TRM-20

1 ELEMENTO		2 Caudal Q	3 Diam. D/D _e	4 Ancho A	5 Alto B	6 Long. L	7 $\Delta p/L$	8 Fuente Tab	9 Ashrae X	10 Ashrae Y	11 Coeff. C _o	12 Veloc. V	13 P.Dinám P _v	14 Pérdida Δp_r o Δp_e
N. pz.	Cod.	[m³/h]	[mm]	[mm]	[mm]	[m]	[Pa/m]	n.	-	-	-	[m/s]	[Pa]	[Pa]
2613	11RA	45	98	98	98	0	0	ASH6_26	0.125	0.373	1.140	1.7	1.74	4.88
738	310C	45	98	98	98	0.07	0.57					1.7	1.74	0.04
740	079C	45	98	98	98	0	0	3.1	1.520		0.046	1.7	1.74	0.07
2642	273C	45	75	0	0	0.02	0	5.1	30.000	1.710	0.050	2.8	4.72	0.24
741	310C	45	75	0	0	0.3	2.03					2.8	4.72	0.61
2641	023C	45	75	0	0	0.02	0	4.1	30.000	1.710	0.320	2.8	4.72	1.54
743	05LC	45	98	98	98	0	0	MC4				1.7	1.74	18

Pérdida de carga acumulada del segmento	Δp_t	[Pa]	: 7.38
Velocidad en la sección inicial del segmento	V_m	[m/s]	: 2.7
Velocidad en la sección final del segmento	V_v	[m/s]	: 1.7
Recuperación de presión estática del segmento	Δp_r	[Pa]	: 2.65
Pérdida de carga acumulada del segmento, considerando la recuperación	Δp_{tn}	[Pa]	: 5.28
Pérdida de carga acumulada neta – total acumulado	$\Sigma \Delta p_{tn}$	[Pa]	: 133.15
Desequilibrio del terminal respecto al camino más desfavorable	Δp_{Tmr}	[Pa]	: 64.38

SEGMENTO 190:

Tipo: Tramo

1 ELEMENTO		2 Caudal Q	3 Diam. D/D _e	4 Ancho A	5 Alto B	6 Long. L	7 $\Delta p/L$	8 Fuente Tab	9 Ashrae X	10 Ashrae Y	11 Coeff. C _o	12 Veloc. V	13 P.Dinám P _v	14 Pérdida Δp_r o Δp_e
N. pz.	Cod.	[m³/h]	[mm]	[mm]	[mm]	[m]	[Pa/m]	n.	-	-	-	[m/s]	[Pa]	[Pa]
2614	11RA	315	164	150	150	0	0	ASH6_26M	0.875		0.012	3.9	9.16	0.05
689	310R	315	164	150	150	0.6	1.52					3.9	9.16	0.91

Pérdida de carga acumulada del segmento	Δp_t	[Pa] : 0.97
Velocidad en la sección inicial del segmento	V_m	[m/s] : 2.7
Velocidad en la sección final del segmento	V_v	[m/s] : 2.3
Recuperación de presión estática del segmento	Δp_r	[Pa] : 1.2
Pérdida de carga acumulada del segmento, considerando la recuperación	Δp_{tm}	[Pa] : 0.87
Pérdida de carga acumulada neta – total acumulado	$\Sigma \Delta p_{tm}$	[Pa] : 110.74

SEGMENTO 189:

Tipo: Terminal TRM-21

1 ELEMENTO		2 Caudal Q	3 Diam. D/D _e	4 Ancho A	5 Alto B	6 Long. L	7 $\Delta p/L$	8 Fuente Tab	9 Ashrae X	10 Ashrae Y	11 Coeff. C _o	12 Veloc. V	13 P.Dinám P _v	14 Pérdida Δp_r o Δp_e
N. pz.	Cod.	[m³/h]	[mm]	[mm]	[mm]	[m]	[Pa/m]	n.	-	-	-	[m/s]	[Pa]	[Pa]
2615	11RA	45	98	98	98	0	0	ASH6_26	0.143	0.426	1.190	1.7	1.74	3.88
732	310C	45	98	98	98	0.07	0.57					1.7	1.74	0.04
734	079C	45	98	98	98	0	0	3.1	1.520		0.046	1.7	1.74	0.07
2640	273C	45	75	0	0	0.02	0	5.1	30.000	1.710	0.050	2.8	4.72	0.24
735	310C	45	75	0	0	0.3	2.03					2.8	4.72	0.61
2639	023C	45	75	0	0	0.02	0	4.1	30.000	1.710	0.320	2.8	4.72	1.54
737	05LC	45	98	98	98	0	0	MC4				1.7	1.74	18

Pérdida de carga acumulada del segmento	Δp_t	[Pa] : 6.39
Velocidad en la sección inicial del segmento	V_m	[m/s] : 2.3
Velocidad en la sección final del segmento	V_v	[m/s] : 1.7
Recuperación de presión estática del segmento	Δp_r	[Pa] : 1.44
Pérdida de carga acumulada del segmento, considerando la recuperación	Δp_{tm}	[Pa] : 5.29
Pérdida de carga acumulada neta – total acumulado	$\Sigma \Delta p_{tm}$	[Pa] : 134.03
Desequilibrio del terminal respecto al camino más desfavorable	Δp_{Tmr}	[Pa] : 63.49

SEGMENTO 188:

Tipo: Tramo

1 ELEMENTO		2 Caudal Q	3 Diam. D/D _e	4 Ancho A	5 Alto B	6 Long. L	7 $\Delta p/L$	8 Fuente Tab	9 Ashrae X	10 Ashrae Y	11 Coeff. C _o	12 Veloc. V	13 P.Dinám P _v	14 Pérdida Δp_r o Δp_e
N. pz.	Cod.	[m³/h]	[mm]	[mm]	[mm]	[m]	[Pa/m]	n.	-	-	-	[m/s]	[Pa]	[Pa]
2616	11RA	270	164	150	150	0	0	ASH6_26M	0.857		0.014	3.3	6.56	0.05
690	310R	270	164	150	150	0.6	1.15					3.3	6.56	0.69

Pérdida de carga acumulada del segmento	Δp_t	[Pa] : 0.73
Velocidad en la sección inicial del segmento	V_m	[m/s] : 2.3
Velocidad en la sección final del segmento	V_v	[m/s] : 2
Recuperación de presión estática del segmento	Δp_r	[Pa] : 0.78
Pérdida de carga acumulada del segmento, considerando la recuperación	Δp_{tm}	[Pa] : 0.53
Pérdida de carga acumulada neta – total acumulado	$\Sigma \Delta p_{tm}$	[Pa] : 111.27

SEGMENTO 187:

Tipo: Terminal TRM-22

1 ELEMENTO		2 Caudal Q	3 Diam. D/D _e	4 Ancho A	5 Alto B	6 Long. L	7 $\Delta p/L$	8 Fuente Tab	9 Ashrae X	10 Ashrae Y	11 Coeff. C _o	12 Veloc. V	13 P.Dinám P _v	14 Pérdida Δp_r o Δp_c
N. pz.	Cod.	[m³/h]	[mm]	[mm]	[mm]	[m]	[Pa/m]	n.	-	-	-	[m/s]	[Pa]	[Pa]
2617	11RA	45	98	98	98	0	0	ASH6_26	0.167	0.497	1.280	1.7	1.74	3.08
726	310C	45	98	98	98	0.07	0.57					1.7	1.74	0.04
728	079C	45	98	98	98	0	0	3.1	1.520		0.046	1.7	1.74	0.07
2638	273C	45	75	0	0	0.02	0	5.1	30.000	1.710	0.050	2.8	4.72	0.24
729	310C	45	75	0	0	0.3	2.03					2.8	4.72	0.61
2637	023C	45	75	0	0	0.02	0	4.1	30.000	1.710	0.320	2.8	4.72	1.54
731	05LC	45	98	98	98	0	0	MC4				1.7	1.74	18

Pérdida de carga acumulada del segmento

Δp_t [Pa] : 5.59

Velocidad en la sección inicial del segmento

V_m [m/s] : 2

Velocidad en la sección final del segmento

V_v [m/s] : 1.7

Recuperación de presión estática del segmento

Δp_r [Pa] : 0.67

Pérdida de carga acumulada del segmento, considerando la recuperación

Δp_{tn} [Pa] : 5.36

Pérdida de carga acumulada neta – total acumulado

$\Sigma \Delta p_{tn}$ [Pa] : 134.63

Desequilibrio del terminal respecto al camino más desfavorable

Δp_{Tmr} [Pa] : 62.89

SEGMENTO 186:

Tipo: Tramo

1 ELEMENTO		2 Caudal Q	3 Diam. D/D _e	4 Ancho A	5 Alto B	6 Long. L	7 $\Delta p/L$	8 Fuente Tab	9 Ashrae X	10 Ashrae Y	11 Coeff. C _o	12 Veloc. V	13 P.Dinám P _v	14 Pérdida Δp_r o Δp_c
N. pz.	Cod.	[m³/h]	[mm]	[mm]	[mm]	[m]	[Pa/m]	n.	-	-	-	[m/s]	[Pa]	[Pa]
2618	11RA	225	164	150	150	0	0	ASH6_26M	0.833		0.017	2.8	4.72	0.04
691	310R	225	164	150	150	0.6	0.82					2.8	4.72	0.49

Pérdida de carga acumulada del segmento

Δp_t [Pa] : 0.53

Velocidad en la sección inicial del segmento

V_m [m/s] : 2

Velocidad en la sección final del segmento

V_v [m/s] : 3.1

Recuperación de presión estática del segmento

Δp_r [Pa] : -3.38

Pérdida de carga acumulada del segmento, considerando la recuperación

Δp_{tn} [Pa] : 4.53

Pérdida de carga acumulada neta – total acumulado

$\Sigma \Delta p_{tn}$ [Pa] : 115.8

SEGMENTO 185:

Tipo: Terminal TRM-22

1 ELEMENTO		2 Caudal Q	3 Diam. D/D _e	4 Ancho A	5 Alto B	6 Long. L	7 $\Delta p/L$	8 Fuente Tab	9 Ashrae X	10 Ashrae Y	11 Coeff. C _o	12 Veloc. V	13 P.Dinám P _v	14 Pérdida Δp_r o Δp_c
N. pz.	Cod.	[m³/h]	[mm]	[mm]	[mm]	[m]	[Pa/m]	n.	-	-	-	[m/s]	[Pa]	[Pa]
2619	11RA	45	98	98	98	0	0	ASH6_26	0.200	0.597	1.090	1.7	1.74	6.41
720	310C	45	98	98	98	0.07	0.57					1.7	1.74	0.04
722	079C	45	98	98	98	0	0	3.1	1.520		0.046	1.7	1.74	0.07
2636	273C	45	75	0	0	0.02	0	5.1	30.000	1.710	0.050	2.8	4.72	0.24
723	310C	45	75	0	0	0.3	2.03					2.8	4.72	0.61
2635	023C	45	75	0	0	0.02	0	4.1	30.000	1.710	0.320	2.8	4.72	1.54
725	05LC	45	98	98	98	0	0	MC4				1.7	1.74	18

Pérdida de carga acumulada del segmento	Δp_t	[Pa]	: 8.91
Velocidad en la sección inicial del segmento	V_m	[m/s]	: 3.1
Velocidad en la sección final del segmento	V_v	[m/s]	: 1.7
Recuperación de presión estática del segmento	Δp_r	[Pa]	: 4.05
Pérdida de carga acumulada del segmento, considerando la recuperación	Δp_{tn}	[Pa]	: 5.21
Pérdida de carga acumulada neta – total acumulado	$\Sigma \Delta p_{tn}$	[Pa]	: 139.01
Desequilibrio del terminal respecto al camino más desfavorable	Δp_{Tmr}	[Pa]	: 58.51

SEGMENTO 184:

Tipo: Tramo

1 ELEMENTO		2 Caudal Q	3 Diam. D/D _e	4 Ancho A	5 Alto B	6 Long. L	7 $\Delta p/L$	8 Fuente Tab	9 Ashrae X	10 Ashrae Y	11 Coeff. C _o	12 Veloc. V	13 P.Dinám P _v	14 Pérdida $\Delta p_r \circ \Delta p_e$
N. pz.	Cod.	[m³/h]	[mm]	[mm]	[mm]	[m]	[Pa/m]	n.	-	-	-	[m/s]	[Pa]	[Pa]
2620	11RA	180	164	150	150	0	0	ASH6_26M	0.800		0.020	2.2	2.91	0.12
692	310R	180	164	150	150	0.6	0.55					2.2	2.91	0.33

Pérdida de carga acumulada del segmento	Δp_t	[Pa]	: 0.45
Velocidad en la sección inicial del segmento	V_m	[m/s]	: 3.1
Velocidad en la sección final del segmento	V_v	[m/s]	: 2.5
Recuperación de presión estática del segmento	Δp_r	[Pa]	: 2.02
Pérdida de carga acumulada del segmento, considerando la recuperación	Δp_{tn}	[Pa]	: -0.35
Pérdida de carga acumulada neta – total acumulado	$\Sigma \Delta p_{tn}$	[Pa]	: 115.44

SEGMENTO 183:

Tipo: Terminal TRM-24

1 ELEMENTO		2 Caudal Q	3 Diam. D/D _e	4 Ancho A	5 Alto B	6 Long. L	7 $\Delta p/L$	8 Fuente Tab	9 Ashrae X	10 Ashrae Y	11 Coeff. C _o	12 Veloc. V	13 P.Dinám P _v	14 Pérdida $\Delta p_r \circ \Delta p_e$
N. pz.	Cod.	[m³/h]	[mm]	[mm]	[mm]	[m]	[Pa/m]	n.	-	-	-	[m/s]	[Pa]	[Pa]
2621	11RA	45	98	98	98	0	0	ASH6_26	0.250	0.746	1.130	1.7	1.74	4.25
714	310C	45	98	98	98	0.07	0.57					1.7	1.74	0.04
716	079C	45	98	98	98	0	0	3.1	1.520		0.046	1.7	1.74	0.07
2634	273C	45	75	0	0	0.02	0	5.1	30.000	1.710	0.050	2.8	4.72	0.24
717	310C	45	75	0	0	0.3	2.03					2.8	4.72	0.61
2633	023C	45	75	0	0	0.02	0	4.1	30.000	1.710	0.320	2.8	4.72	1.54
719	05LC	45	98	98	98	0	0	MC4				1.7	1.74	18

Pérdida de carga acumulada del segmento	Δp_t	[Pa]	: 6.76
Velocidad en la sección inicial del segmento	V_m	[m/s]	: 2.5
Velocidad en la sección final del segmento	V_v	[m/s]	: 1.7
Recuperación de presión estática del segmento	Δp_r	[Pa]	: 2.02
Pérdida de carga acumulada del segmento, considerando la recuperación	Δp_{tn}	[Pa]	: 5.17
Pérdida de carga acumulada neta – total acumulado	$\Sigma \Delta p_{tn}$	[Pa]	: 138.62
Desequilibrio del terminal respecto al camino más desfavorable	Δp_{Tmr}	[Pa]	: 58.9

SEGMENTO 182:

Tipo: Tramo

1 ELEMENTO		2 Caudal Q	3 Diam. D/D _e	4 Ancho A	5 Alto B	6 Long. L	7 $\Delta p/L$	8 Fuente Tab	9 Ashrae X	10 Ashrae Y	11 Coeff. C _o	12 Veloc. V	13 P.Dinám P _v	14 Pérdida $\Delta p_r \circ \Delta p_e$
N. pz.	Cod.	[m³/h]	[mm]	[mm]	[mm]	[m]	[Pa/m]	n.	-	-	-	[m/s]	[Pa]	[Pa]

2622	11RA	135	164	150	150	0	0	ASH6_26M	0.750		0.030	1.7	1.74	0.11
693	310R	135	164	150	150	0.6	0.32					1.7	1.74	0.19

Pérdida de carga acumulada del segmento	Δp_t	[Pa]	: 0.31
Velocidad en la sección inicial del segmento	V_m	[m/s]	: 2.5
Velocidad en la sección final del segmento	V_v	[m/s]	: 2.5
Recuperación de presión estática del segmento	Δp_r	[Pa]	: 0
Pérdida de carga acumulada del segmento, considerando la recuperación	Δp_{tm}	[Pa]	: 1.13
Pérdida de carga acumulada neta – total acumulado	$\Sigma \Delta p_{tm}$	[Pa]	: 116.57

SEGMENTO 181:

Tipo: Terminal TRM-25

1 ELEMENTO		2 Caudal Q	3 Diam. D/D _e	4 Ancho A	5 Alto B	6 Long. L	7 $\Delta p/L$	8 Fuente Tab	9 Ashrae X	10 Ashrae Y	11 Coeff. C _o	12 Veloc. V	13 P.Dinám P _v	14 Pérdida Δp_r o Δp_c
N. pz.	Cod.	[m³/h]	[mm]	[mm]	[mm]	[m]	[Pa/m]	n.	-	-	-	[m/s]	[Pa]	[Pa]
2623	11RA	45	98	98	98	0	0	ASH6_26	0.333	0.995	1.110	1.7	1.74	4.16
708	310C	45	98	98	98	0.07	0.57					1.7	1.74	0.04
710	079C	45	98	98	98	0	0	3.1	1.520		0.046	1.7	1.74	0.07
2632	273C	45	75	0	0	0.02	0	5.1	30.000	1.710	0.050	2.8	4.72	0.24
711	310C	45	75	0	0	0.3	2.03					2.8	4.72	0.61
2631	023C	45	75	0	0	0.02	0	4.1	30.000	1.710	0.320	2.8	4.72	1.54
713	05LC	45	98	98	98	0	0	MC4				1.7	1.74	18

Pérdida de carga acumulada del segmento	Δp_t	[Pa]	: 6.66
Velocidad en la sección inicial del segmento	V_m	[m/s]	: 2.5
Velocidad en la sección final del segmento	V_v	[m/s]	: 1.7
Recuperación de presión estática del segmento	Δp_r	[Pa]	: 2.02
Pérdida de carga acumulada del segmento, considerando la recuperación	Δp_{tm}	[Pa]	: 5.08
Pérdida de carga acumulada neta – total acumulado	$\Sigma \Delta p_{tm}$	[Pa]	: 139.66
Desequilibrio del terminal respecto al camino más desfavorable	Δp_{Tmr}	[Pa]	: 57.87

SEGMENTO 180:

Tipo: Tramo

1 ELEMENTO		2 Caudal Q	3 Diam. D/D _e	4 Ancho A	5 Alto B	6 Long. L	7 $\Delta p/L$	8 Fuente Tab	9 Ashrae X	10 Ashrae Y	11 Coeff. C _o	12 Veloc. V	13 P.Dinám P _v	14 Pérdida Δp_r o Δp_c
N. pz.	Cod.	[m³/h]	[mm]	[mm]	[mm]	[m]	[Pa/m]	n.	-	-	-	[m/s]	[Pa]	[Pa]
2624	11RA	90	164	150	150	0	0	ASH6_26M	0.667		0.047	1.1	0.73	0.18
694	310R	90	164	150	150	0.6	0.15					1.1	0.73	0.09

Pérdida de carga acumulada del segmento	Δp_t	[Pa]	: 0.27
Velocidad en la sección inicial del segmento	V_m	[m/s]	: 2.5
Velocidad en la sección final del segmento	V_v	[m/s]	: 2.5
Recuperación de presión estática del segmento	Δp_r	[Pa]	: 0
Pérdida de carga acumulada del segmento, considerando la recuperación	Δp_{tm}	[Pa]	: 0.95
Pérdida de carga acumulada neta – total acumulado	$\Sigma \Delta p_{tm}$	[Pa]	: 117.53

SEGMENTO 179:

Tipo: Terminal TRM-26

1	2	3	4	5	6	7	8	9	10	11	12	13	14
---	---	---	---	---	---	---	---	---	----	----	----	----	----

ELEMENTO		Caudal Q	Diam. D/D _e	Ancho A	Alto B	Long. L	$\Delta p/L$	Fuente Tab	Ashrae X	Ashrae Y	Coeff. C _o	Veloc. V	P.Dinám P _v	Pérdida Δp_r o Δp_c
N. pz.	Cod.	[m³/h]	[mm]	[mm]	[mm]	[m]	[Pa/m]	n.	-	-	-	[m/s]	[Pa]	[Pa]
2625	11RA	45	98	98	98	0	0	ASH6_26	0.500	1.490	1.260	1.7	1.74	4.74
702	310C	45	98	98	98	0.07	0.57					1.7	1.74	0.04
704	079C	45	98	98	98	0	0	3.1	1.520		0.046	1.7	1.74	0.07
2630	273C	45	75	0	0	0.02	0	5.1	30.000	1.710	0.050	2.8	4.72	0.24
705	310C	45	75	0	0	0.3	2.03					2.8	4.72	0.61
2629	023C	45	75	0	0	0.02	0	4.1	30.000	1.710	0.320	2.8	4.72	1.54
707	05LC	45	98	98	98	0	0	MC4				1.7	1.74	18

Pérdida de carga acumulada del segmento	Δp_t	[Pa] : 7.25
Velocidad en la sección inicial del segmento	V_m	[m/s] : 2.5
Velocidad en la sección final del segmento	V_v	[m/s] : 1.7
Recuperación de presión estática del segmento	Δp_r	[Pa] : 2.02
Pérdida de carga acumulada del segmento, considerando la recuperación	Δp_{tn}	[Pa] : 5.67
Pérdida de carga acumulada neta – total acumulado	$\Sigma \Delta p_{tn}$	[Pa] : 141.19
Desequilibrio del terminal respecto al camino más desfavorable	Δp_{Tmr}	[Pa] : 56.33

SEGMENTO 178:

Tipo: Terminal TRM-27

1 ELEMENTO		2 Caudal Q	3 Diam. D/D _e	4 Ancho A	5 Alto B	6 Long. L	7 $\Delta p/L$	8 Fuente Tab	9 Ashrae X	10 Ashrae Y	11 Coeff. C _o	12 Veloc. V	13 P.Dinám P _v	14 Pérdida Δp_r o Δp_c
N. pz.	Cod.	[m³/h]	[mm]	[mm]	[mm]	[m]	[Pa/m]	n.	-	-	-	[m/s]	[Pa]	[Pa]
2626	11RA	45	164	150	150	0	0	ASH6_26M	0.500		0.090	0.6	0.22	0.34
695	310R	45	164	150	150	0.6	0.05					0.6	0.22	0.03
686	11RAT	45	164	150	150	0	0	2_6	1.000	0.915	2.800	0.6	0.22	0
696	310C	45	98	98	98	0.07	0.57					1.7	1.74	0.04
698	079C	45	98	98	98	0	0	3.1	1.520		0.046	1.7	1.74	0.07
2628	023C	45	98	98	98	0	0	4.1	30.000	1.040	0.320	1.7	1.74	0.53
699	310C	45	100	0	0	0.3	0.5					1.6	1.54	0.15
2627	273C	45	98	98	98	0	0	5.1	30.000	1.040	0.050	1.7	1.74	0.08
701	05LC	45	98	98	98	0	0	MC4				1.7	1.74	18

Pérdida de carga acumulada del segmento	Δp_t	[Pa] : 1.24
Velocidad en la sección inicial del segmento	V_m	[m/s] : 2.5
Velocidad en la sección final del segmento	V_v	[m/s] : 1.7
Recuperación de presión estática del segmento	Δp_r	[Pa] : 2.02
Pérdida de carga acumulada del segmento, considerando la recuperación	Δp_{tn}	[Pa] : -0.55
Pérdida de carga acumulada neta – total acumulado	$\Sigma \Delta p_{tn}$	[Pa] : 134.98
Desequilibrio del terminal respecto al camino más desfavorable	Δp_{Tmr}	[Pa] : 62.55

SEGMENTO 176:

Tipo: Tramo

1 ELEMENTO		2 Caudal Q	3 Diam. D/D _e	4 Ancho A	5 Alto B	6 Long. L	7 $\Delta p/L$	8 Fuente Tab	9 Ashrae X	10 Ashrae Y	11 Coeff. C _o	12 Veloc. V	13 P.Dinám P _v	14 Pérdida Δp_r o Δp_c
N. pz.	Cod.	[m³/h]	[mm]	[mm]	[mm]	[m]	[Pa/m]	n.	-	-	-	[m/s]	[Pa]	[Pa]
613	3736	450	414	250	600	0	0	MC4	0.045	0.294	47.700	0.8	0.39	18.62
2568	283R	450	210	250	150	0.88	0	5.1	30.000	4.000	0.040	3.3	6.56	0.29
612	310R	450	210	250	150	1.05	0.87					3.3	6.56	0.91

Pérdida de carga acumulada del segmento	Δp_t	[Pa] : 19.82
Velocidad en la sección inicial del segmento	V_m	[m/s] : 5.5
Velocidad en la sección final del segmento	V_v	[m/s] : 3.3

Recuperación de presión estática del segmento
 Pérdida de carga acumulada del segmento, considerando la recuperación
 Pérdida de carga acumulada neta – total acumulado

Δp_r [Pa] : 11.65
 Δp_{tn} [Pa] : 8.3
 $\Sigma \Delta p_{tn}$ [Pa] : 107.03

SEGMENTO 175:

Tipo: Terminal TRM-46

1 ELEMENTO		2 Caudal Q	3 Diam. D/D _e	4 Ancho A	5 Alto B	6 Long. L	7 $\Delta p/L$	8 Fuente Tab	9 Ashrae X	10 Ashrae Y	11 Coeff. C _o	12 Veloc. V	13 P.Dinám P _v	14 Pérdida Δp_r o Δp_c
N. pz.	Cod.	[m³/h]	[mm]	[mm]	[mm]	[m]	[Pa/m]	n.	-	-	-	[m/s]	[Pa]	[Pa]
2566	11RA	45	98	98	98	0	0	ASH6_26	0.100	0.497	1.070	1.7	1.74	7.18
678	310C	45	98	98	98	0.07	0.57					1.7	1.74	0.04
680	079C	45	98	98	98	0	0	3.1	1.520		0.046	1.7	1.74	0.07
2607	273C	45	75	0	0	0.02	0	5.1	30.000	1.710	0.050	2.8	4.72	0.24
681	310C	45	75	0	0	0.3	2.03					2.8	4.72	0.61
2606	023C	45	75	0	0	0.02	0	4.1	30.000	1.710	0.320	2.8	4.72	1.54
683	05LC	45	98	98	98	0	0	MC4				1.7	1.74	18

Pérdida de carga acumulada del segmento
 Velocidad en la sección inicial del segmento
 Velocidad en la sección final del segmento
 Recuperación de presión estática del segmento
 Pérdida de carga acumulada del segmento, considerando la recuperación
 Pérdida de carga acumulada neta – total acumulado
 Desequilibrio del terminal respecto al camino más desfavorable

Δp_t [Pa] : 9.68
 V_m [m/s] : 3.3
 V_v [m/s] : 1.7
 Δp_r [Pa] : 4.82
 Δp_{tn} [Pa] : 5.18
 $\Sigma \Delta p_{tn}$ [Pa] : 130.21
 Δp_{Tmr} [Pa] : 67.31

SEGMENTO 174:

Tipo: Tramo

1 ELEMENTO		2 Caudal Q	3 Diam. D/D _e	4 Ancho A	5 Alto B	6 Long. L	7 $\Delta p/L$	8 Fuente Tab	9 Ashrae X	10 Ashrae Y	11 Coeff. C _o	12 Veloc. V	13 P.Dinám P _v	14 Pérdida Δp_r o Δp_c
N. pz.	Cod.	[m³/h]	[mm]	[mm]	[mm]	[m]	[Pa/m]	n.	-	-	-	[m/s]	[Pa]	[Pa]
2567	11RA	405	210	250	150	0	0	ASH6_26M	0.900		0.010	3	5.42	0.07
2571	283R	405	152	200	100	0.19	0	5.1	30.000	1.880	0.050	5.6	18.88	0.95
615	310R	405	152	200	100	0.6	3.53					5.6	18.88	2.12

Pérdida de carga acumulada del segmento
 Velocidad en la sección inicial del segmento
 Velocidad en la sección final del segmento
 Recuperación de presión estática del segmento
 Pérdida de carga acumulada del segmento, considerando la recuperación
 Pérdida de carga acumulada neta – total acumulado

Δp_t [Pa] : 3.14
 V_m [m/s] : 3.3
 V_v [m/s] : 5.6
 Δp_r [Pa] : -12.32
 Δp_{tn} [Pa] : 15.5
 $\Sigma \Delta p_{tn}$ [Pa] : 122.53

SEGMENTO 173:

Tipo: Terminal TRM-46

1 ELEMENTO		2 Caudal Q	3 Diam. D/D _e	4 Ancho A	5 Alto B	6 Long. L	7 $\Delta p/L$	8 Fuente Tab	9 Ashrae X	10 Ashrae Y	11 Coeff. C _o	12 Veloc. V	13 P.Dinám P _v	14 Pérdida Δp_r o Δp_c
N. pz.	Cod.	[m³/h]	[mm]	[mm]	[mm]	[m]	[Pa/m]	n.	-	-	-	[m/s]	[Pa]	[Pa]
2569	11RA	45	98	98	98	0	0	ASH6_26	0.111	0.295	1.010	1.7	1.74	19.28
672	310C	45	98	98	98	0.07	0.57					1.7	1.74	0.04
674	079C	45	98	98	98	0	0	3.1	1.520		0.046	1.7	1.74	0.07
2605	273C	45	75	0	0	0.02	0	5.1	30.000	1.710	0.050	2.8	4.72	0.24

675	310C	45	75	0	0	0.3	2.03					2.8	4.72	0.61
2604	023C	45	75	0	0	0.02	0	4.1	30.000	1.710	0.320	2.8	4.72	1.54
677	05LC	45	98	98	98	0	0	MC4				1.7	1.74	18

Pérdida de carga acumulada del segmento	Δp_t	[Pa]	: 21.78
Velocidad en la sección inicial del segmento	V_m	[m/s]	: 5.6
Velocidad en la sección final del segmento	V_v	[m/s]	: 1.7
Recuperación de presión estática del segmento	Δp_r	[Pa]	: 17.14
Pérdida de carga acumulada del segmento, considerando la recuperación	Δp_{tm}	[Pa]	: 4.92
Pérdida de carga acumulada neta – total acumulado	$\Sigma \Delta p_{tm}$	[Pa]	: 145.45
Desequilibrio del terminal respecto al camino más desfavorable	Δp_{Tmr}	[Pa]	: 52.07

SEGMENTO 172:

Tipo: Tramo

1 ELEMENTO		2 Caudal Q	3 Diam. D/D _e	4 Ancho A	5 Alto B	6 Long. L	7 $\Delta p/L$	8 Fuente Tab	9 Ashrae X	10 Ashrae Y	11 Coeff. C _o	12 Veloc. V	13 P.Dinám P _v	14 Pérdida Δp_r o Δp_e
N. pz.	Cod.	[m³/h]	[mm]	[mm]	[mm]	[m]	[Pa/m]	n.	-	-	-	[m/s]	[Pa]	[Pa]
2570	11RA	360	152	200	100	0	0	ASH6_26M	0.889		0.011	5	15.05	0.21
616	310R	360	152	200	100	0.6	2.85					5	15.05	1.71

Pérdida de carga acumulada del segmento	Δp_t	[Pa]	: 1.92
Velocidad en la sección inicial del segmento	V_m	[m/s]	: 5.6
Velocidad en la sección final del segmento	V_v	[m/s]	: 5
Recuperación de presión estática del segmento	Δp_r	[Pa]	: 3.83
Pérdida de carga acumulada del segmento, considerando la recuperación	Δp_{tm}	[Pa]	: -2.08
Pérdida de carga acumulada neta – total acumulado	$\Sigma \Delta p_{tm}$	[Pa]	: 120.45

SEGMENTO 171:

Tipo: Terminal TRM-46

1 ELEMENTO		2 Caudal Q	3 Diam. D/D _e	4 Ancho A	5 Alto B	6 Long. L	7 $\Delta p/L$	8 Fuente Tab	9 Ashrae X	10 Ashrae Y	11 Coeff. C _o	12 Veloc. V	13 P.Dinám P _v	14 Pérdida Δp_r o Δp_e
N. pz.	Cod.	[m³/h]	[mm]	[mm]	[mm]	[m]	[Pa/m]	n.	-	-	-	[m/s]	[Pa]	[Pa]
2572	11RA	45	98	98	98	0	0	ASH6_26	0.125	0.332	1.020	1.7	1.74	15.39
666	310C	45	98	98	98	0.07	0.57					1.7	1.74	0.04
668	079C	45	98	98	98	0	0	3.1	1.520		0.046	1.7	1.74	0.07
2603	273C	45	75	0	0	0.02	0	5.1	30.000	1.710	0.050	2.8	4.72	0.24
669	310C	45	75	0	0	0.3	2.03					2.8	4.72	0.61
2602	023C	45	75	0	0	0.02	0	4.1	30.000	1.710	0.320	2.8	4.72	1.54
671	05LC	45	98	98	98	0	0	MC4				1.7	1.74	18

Pérdida de carga acumulada del segmento	Δp_t	[Pa]	: 17.89
Velocidad en la sección inicial del segmento	V_m	[m/s]	: 5
Velocidad en la sección final del segmento	V_v	[m/s]	: 1.7
Recuperación de presión estática del segmento	Δp_r	[Pa]	: 13.31
Pérdida de carga acumulada del segmento, considerando la recuperación	Δp_{tm}	[Pa]	: 5.03
Pérdida de carga acumulada neta – total acumulado	$\Sigma \Delta p_{tm}$	[Pa]	: 143.48
Desequilibrio del terminal respecto al camino más desfavorable	Δp_{Tmr}	[Pa]	: 54.05

SEGMENTO 170:

Tipo: Tramo

1 ELEMENTO		2 Caudal Q	3 Diam. D/D _e	4 Ancho A	5 Alto B	6 Long. L	7 $\Delta p/L$	8 Fuente Tab	9 Ashrae X	10 Ashrae Y	11 Coeff. C _o	12 Veloc. V	13 P.Dinám P _v	14 Pérdida Δp_r o Δp_e
N. pz.	Cod.	[m³/h]	[mm]	[mm]	[mm]	[m]	[Pa/m]	n.	-	-	-	[m/s]	[Pa]	[Pa]
2573	11RA	315	152	200	100	0	0	ASH6_26M	0.875		0.012	4.4	11.65	0.19
2576	283R	315	133	150	100	0.14	0	5.1	30.000	1.330	0.050	5.8	20.25	1.02
617	310R	315	133	150	100	0.6	4.32					5.8	20.25	2.59

Pérdida de carga acumulada del segmento	Δp_t	[Pa] : 3.8
Velocidad en la sección inicial del segmento	V_m	[m/s] : 5
Velocidad en la sección final del segmento	V_v	[m/s] : 5.8
Recuperación de presión estática del segmento	Δp_r	[Pa] : -5.2
Pérdida de carga acumulada del segmento, considerando la recuperación	Δp_{tm}	[Pa] : 9.24
Pérdida de carga acumulada neta – total acumulado	$\Sigma \Delta p_{tm}$	[Pa] : 129.69

SEGMENTO 169:

Tipo: Terminal TRM-46

1 ELEMENTO		2 Caudal Q	3 Diam. D/D _e	4 Ancho A	5 Alto B	6 Long. L	7 $\Delta p/L$	8 Fuente Tab	9 Ashrae X	10 Ashrae Y	11 Coeff. C _o	12 Veloc. V	13 P.Dinám P _v	14 Pérdida Δp_r o Δp_e
N. pz.	Cod.	[m³/h]	[mm]	[mm]	[mm]	[m]	[Pa/m]	n.	-	-	-	[m/s]	[Pa]	[Pa]
2574	11RA	45	98	98	98	0	0	ASH6_26	0.143	0.284	1.030	1.7	1.74	21.15
660	310C	45	98	98	98	0.07	0.57					1.7	1.74	0.04
662	079C	45	98	98	98	0	0	3.1	1.520		0.046	1.7	1.74	0.07
2601	273C	45	75	0	0	0.02	0	5.1	30.000	1.710	0.050	2.8	4.72	0.24
663	310C	45	75	0	0	0.3	2.03					2.8	4.72	0.61
2600	023C	45	75	0	0	0.02	0	4.1	30.000	1.710	0.320	2.8	4.72	1.54
665	05LC	45	98	98	98	0	0	MC4				1.7	1.74	18

Pérdida de carga acumulada del segmento	Δp_t	[Pa] : 23.65
Velocidad en la sección inicial del segmento	V_m	[m/s] : 5.8
Velocidad en la sección final del segmento	V_v	[m/s] : 1.7
Recuperación de presión estática del segmento	Δp_r	[Pa] : 18.51
Pérdida de carga acumulada del segmento, considerando la recuperación	Δp_{tm}	[Pa] : 5.35
Pérdida de carga acumulada neta – total acumulado	$\Sigma \Delta p_{tm}$	[Pa] : 153.04
Desequilibrio del terminal respecto al camino más desfavorable	Δp_{Tmr}	[Pa] : 44.48

SEGMENTO 168:

Tipo: Tramo

1 ELEMENTO		2 Caudal Q	3 Diam. D/D _e	4 Ancho A	5 Alto B	6 Long. L	7 $\Delta p/L$	8 Fuente Tab	9 Ashrae X	10 Ashrae Y	11 Coeff. C _o	12 Veloc. V	13 P.Dinám P _v	14 Pérdida Δp_r o Δp_e
N. pz.	Cod.	[m³/h]	[mm]	[mm]	[mm]	[m]	[Pa/m]	n.	-	-	-	[m/s]	[Pa]	[Pa]
2575	11RA	270	133	150	100	0	0	ASH6_26M	0.857		0.014	5	15.05	0.29
618	310R	270	133	150	100	0.6	3.23					5	15.05	1.94

Pérdida de carga acumulada del segmento	Δp_t	[Pa] : 2.23
Velocidad en la sección inicial del segmento	V_m	[m/s] : 5.8
Velocidad en la sección final del segmento	V_v	[m/s] : 5
Recuperación de presión estática del segmento	Δp_r	[Pa] : 5.2
Pérdida de carga acumulada del segmento, considerando la recuperación	Δp_{tm}	[Pa] : -3.2
Pérdida de carga acumulada neta – total acumulado	$\Sigma \Delta p_{tm}$	[Pa] : 126.48

SEGMENTO 167:

Tipo: Terminal TRM-46

1 ELEMENTO		2 Caudal Q	3 Diam. D/D _e	4 Ancho A	5 Alto B	6 Long. L	7 $\Delta p/L$	8 Fuente Tab	9 Ashrae X	10 Ashrae Y	11 Coeff. C _o	12 Veloc. V	13 P.Dinám P _v	14 Pérdida Δp_r o Δp_c
N. pz.	Cod.	[m³/h]	[mm]	[mm]	[mm]	[m]	[Pa/m]	n.	-	-	-	[m/s]	[Pa]	[Pa]
2577	11RA	45	98	98	98	0	0	ASH6_26	0.167	0.332	1.050	1.7	1.74	15.79
654	310C	45	98	98	98	0.07	0.57					1.7	1.74	0.04
656	079C	45	98	98	98	0	0	3.1	1.520		0.046	1.7	1.74	0.07
2599	273C	45	75	0	0	0.02	0	5.1	30.000	1.710	0.050	2.8	4.72	0.24
657	310C	45	75	0	0	0.3	2.03					2.8	4.72	0.61
2598	023C	45	75	0	0	0.02	0	4.1	30.000	1.710	0.320	2.8	4.72	1.54
659	05LC	45	98	98	98	0	0	MC4				1.7	1.74	18

Pérdida de carga acumulada del segmento

Δp_t [Pa] : 18.29

Velocidad en la sección inicial del segmento

V_m [m/s] : 5

Velocidad en la sección final del segmento

V_v [m/s] : 1.7

Recuperación de presión estática del segmento

Δp_r [Pa] : 13.31

Pérdida de carga acumulada del segmento, considerando la recuperación

Δp_{tn} [Pa] : 5.42

Pérdida de carga acumulada neta – total acumulado

$\Sigma \Delta p_{tn}$ [Pa] : 149.91

Desequilibrio del terminal respecto al camino más desfavorable

Δp_{Tmr} [Pa] : 47.62

SEGMENTO 166:

Tipo: Tramo

1 ELEMENTO		2 Caudal Q	3 Diam. D/D _e	4 Ancho A	5 Alto B	6 Long. L	7 $\Delta p/L$	8 Fuente Tab	9 Ashrae X	10 Ashrae Y	11 Coeff. C _o	12 Veloc. V	13 P.Dinám P _v	14 Pérdida Δp_r o Δp_c
N. pz.	Cod.	[m³/h]	[mm]	[mm]	[mm]	[m]	[Pa/m]	n.	-	-	-	[m/s]	[Pa]	[Pa]
2578	11RA	225	133	150	100	0	0	ASH6_26M	0.833		0.017	4.2	10.62	0.25
619	310R	225	133	150	100	0.6	2.3					4.2	10.62	1.38

Pérdida de carga acumulada del segmento

Δp_t [Pa] : 1.64

Velocidad en la sección inicial del segmento

V_m [m/s] : 5

Velocidad en la sección final del segmento

V_v [m/s] : 4.2

Recuperación de presión estática del segmento

Δp_r [Pa] : 4.43

Pérdida de carga acumulada del segmento, considerando la recuperación

Δp_{tn} [Pa] : -2.96

Pérdida de carga acumulada neta – total acumulado

$\Sigma \Delta p_{tn}$ [Pa] : 123.52

SEGMENTO 165:

Tipo: Terminal TRM-46

1 ELEMENTO		2 Caudal Q	3 Diam. D/D _e	4 Ancho A	5 Alto B	6 Long. L	7 $\Delta p/L$	8 Fuente Tab	9 Ashrae X	10 Ashrae Y	11 Coeff. C _o	12 Veloc. V	13 P.Dinám P _v	14 Pérdida Δp_r o Δp_c
N. pz.	Cod.	[m³/h]	[mm]	[mm]	[mm]	[m]	[Pa/m]	n.	-	-	-	[m/s]	[Pa]	[Pa]
2579	11RA	45	98	98	98	0	0	ASH6_26	0.200	0.398	1.070	1.7	1.74	11.18
648	310C	45	98	98	98	0.07	0.57					1.7	1.74	0.04
650	079C	45	98	98	98	0	0	3.1	1.520		0.046	1.7	1.74	0.07
2597	273C	45	75	0	0	0.02	0	5.1	30.000	1.710	0.050	2.8	4.72	0.24
651	310C	45	75	0	0	0.3	2.03					2.8	4.72	0.61
2596	023C	45	75	0	0	0.02	0	4.1	30.000	1.710	0.320	2.8	4.72	1.54
653	05LC	45	98	98	98	0	0	MC4				1.7	1.74	18

Pérdida de carga acumulada del segmento	Δp_t	[Pa]	: 13.69
Velocidad en la sección inicial del segmento	V_m	[m/s]	: 4.2
Velocidad en la sección final del segmento	V_v	[m/s]	: 1.7
Recuperación de presión estática del segmento	Δp_r	[Pa]	: 8.88
Pérdida de carga acumulada del segmento, considerando la recuperación	Δp_{tn}	[Pa]	: 5.42
Pérdida de carga acumulada neta – total acumulado	$\Sigma \Delta p_{tn}$	[Pa]	: 146.94
Desequilibrio del terminal respecto al camino más desfavorable	Δp_{Tmr}	[Pa]	: 50.58

SEGMENTO 164:

Tipo: Tramo

1 ELEMENTO		2 Caudal Q	3 Diam. D/D _e	4 Ancho A	5 Alto B	6 Long. L	7 $\Delta p/L$	8 Fuente Tab	9 Ashrae X	10 Ashrae Y	11 Coeff. C _o	12 Veloc. V	13 P.Dinám P _v	14 Pérdida Δp_r o Δp_e
N. pz.	Cod.	[m³/h]	[mm]	[mm]	[mm]	[m]	[Pa/m]	n.	-	-	-	[m/s]	[Pa]	[Pa]
2580	11RA	180	133	150	100	0	0	ASH6_26M	0.800		0.020	3.3	6.56	0.21
2583	283R	180	109	100	100	0.14	0		30.000	1.500	0.050	5	15.05	0.75
620	310R	180	109	100	100	0.6	4.08					5	15.05	2.45

Pérdida de carga acumulada del segmento	Δp_t	[Pa]	: 3.41
Velocidad en la sección inicial del segmento	V_m	[m/s]	: 4.2
Velocidad en la sección final del segmento	V_v	[m/s]	: 5
Recuperación de presión estática del segmento	Δp_r	[Pa]	: -4.43
Pérdida de carga acumulada del segmento, considerando la recuperación	Δp_{tn}	[Pa]	: 8.01
Pérdida de carga acumulada neta – total acumulado	$\Sigma \Delta p_{tn}$	[Pa]	: 131.53

SEGMENTO 163:

Tipo: Terminal TRM-46

1 ELEMENTO		2 Caudal Q	3 Diam. D/D _e	4 Ancho A	5 Alto B	6 Long. L	7 $\Delta p/L$	8 Fuente Tab	9 Ashrae X	10 Ashrae Y	11 Coeff. C _o	12 Veloc. V	13 P.Dinám P _v	14 Pérdida Δp_r o Δp_e
N. pz.	Cod.	[m³/h]	[mm]	[mm]	[mm]	[m]	[Pa/m]	n.	-	-	-	[m/s]	[Pa]	[Pa]
2581	11RA	45	98	98	98	0	0	ASH6_26	0.250	0.332	1.080	1.7	1.74	16.18
642	310C	45	98	98	98	0.07	0.57					1.7	1.74	0.04
644	079C	45	98	98	98	0	0	3.1	1.520		0.046	1.7	1.74	0.07
2595	273C	45	75	0	0	0.02	0	5.1	30.000	1.710	0.050	2.8	4.72	0.24
645	310C	45	75	0	0	0.3	2.03					2.8	4.72	0.61
2594	023C	45	75	0	0	0.02	0	4.1	30.000	1.710	0.320	2.8	4.72	1.54
647	05LC	45	98	98	98	0	0	MC4				1.7	1.74	18

Pérdida de carga acumulada del segmento	Δp_t	[Pa]	: 18.68
Velocidad en la sección inicial del segmento	V_m	[m/s]	: 5
Velocidad en la sección final del segmento	V_v	[m/s]	: 1.7
Recuperación de presión estática del segmento	Δp_r	[Pa]	: 13.31
Pérdida de carga acumulada del segmento, considerando la recuperación	Δp_{tn}	[Pa]	: 5.82
Pérdida de carga acumulada neta – total acumulado	$\Sigma \Delta p_{tn}$	[Pa]	: 155.35
Desequilibrio del terminal respecto al camino más desfavorable	Δp_{Tmr}	[Pa]	: 42.17

SEGMENTO 162:

Tipo: Tramo

1 ELEMENTO	2 Caudal Q	3 Diam. D/D _e	4 Ancho A	5 Alto B	6 Long. L	7 $\Delta p/L$	8 Fuente Tab	9 Ashrae X	10 Ashrae Y	11 Coeff. C _o	12 Veloc. V	13 P.Dinám P _v	14 Pérdida Δp_r o Δp_e
---------------	------------------	--------------------------------	-----------------	----------------	-----------------	-------------------	--------------------	------------------	-------------------	--------------------------------	-------------------	---------------------------------	--

N. pz.	Cod.	[m³/h]	[mm]	[mm]	[mm]	[m]	[Pa/m]	n.	-	-	-	[m/s]	[Pa]	[Pa]
2582	11RA	135	109	100	100	0	0	ASH6_26M	0.750		0.030	3.7	8.24	0.45
621	310R	135	109	100	100	0.6	2.4					3.7	8.24	1.44

Pérdida de carga acumulada del segmento	Δp_t	[Pa]	: 1.89
Velocidad en la sección inicial del segmento	V_m	[m/s]	: 5
Velocidad en la sección final del segmento	V_v	[m/s]	: 3.7
Recuperación de presión estática del segmento	Δp_r	[Pa]	: 6.81
Pérdida de carga acumulada del segmento, considerando la recuperación	Δp_{tm}	[Pa]	: -4.69
Pérdida de carga acumulada neta – total acumulado	$\Sigma \Delta p_{tm}$	[Pa]	: 126.84

SEGMENTO 161:

Tipo: Terminal TRM-46

1 ELEMENTO		2 Caudal Q	3 Diam. D/D _e	4 Ancho A	5 Alto B	6 Long. L	7 $\Delta p/L$	8 Fuente Tab	9 Ashrae X	10 Ashrae Y	11 Coeff. C _o	12 Veloc. V	13 P.Dinám P _v	14 Pérdida Δp_r o Δp_c
N. pz.	Cod.	[m³/h]	[mm]	[mm]	[mm]	[m]	[Pa/m]	n.	-	-	-	[m/s]	[Pa]	[Pa]
2584	11RA	45	98	98	98	0	0	ASH6_26	0.333	0.442	1.100	1.7	1.74	9.28
636	310C	45	98	98	98	0.07	0.57					1.7	1.74	0.04
638	079C	45	98	98	98	0	0	3.1	1.520		0.046	1.7	1.74	0.07
2593	273C	45	75	0	0	0.02	0	5.1	30.000	1.710	0.050	2.8	4.72	0.24
639	310C	45	75	0	0	0.3	2.03					2.8	4.72	0.61
2592	023C	45	75	0	0	0.02	0	4.1	30.000	1.710	0.320	2.8	4.72	1.54
641	05LC	45	98	98	98	0	0	MC4				1.7	1.74	18

Pérdida de carga acumulada del segmento	Δp_t	[Pa]	: 11.79
Velocidad en la sección inicial del segmento	V_m	[m/s]	: 3.7
Velocidad en la sección final del segmento	V_v	[m/s]	: 1.7
Recuperación de presión estática del segmento	Δp_r	[Pa]	: 6.5
Pérdida de carga acumulada del segmento, considerando la recuperación	Δp_{tm}	[Pa]	: 5.51
Pérdida de carga acumulada neta – total acumulado	$\Sigma \Delta p_{tm}$	[Pa]	: 150.35
Desequilibrio del terminal respecto al camino más desfavorable	Δp_{Tmr}	[Pa]	: 47.17

SEGMENTO 160:

Tipo: Tramo

1 ELEMENTO		2 Caudal Q	3 Diam. D/D _e	4 Ancho A	5 Alto B	6 Long. L	7 $\Delta p/L$	8 Fuente Tab	9 Ashrae X	10 Ashrae Y	11 Coeff. C _o	12 Veloc. V	13 P.Dinám P _v	14 Pérdida Δp_r o Δp_c
N. pz.	Cod.	[m³/h]	[mm]	[mm]	[mm]	[m]	[Pa/m]	n.	-	-	-	[m/s]	[Pa]	[Pa]
2585	11RA	90	109	100	100	0	0	ASH6_26M	0.667		0.047	2.5	3.76	0.4
622	310R	90	109	100	100	0.6	1.13					2.5	3.76	0.68

Pérdida de carga acumulada del segmento	Δp_t	[Pa]	: 1.07
Velocidad en la sección inicial del segmento	V_m	[m/s]	: 3.7
Velocidad en la sección final del segmento	V_v	[m/s]	: 2.5
Recuperación de presión estática del segmento	Δp_r	[Pa]	: 4.48
Pérdida de carga acumulada del segmento, considerando la recuperación	Δp_{tm}	[Pa]	: -3.63
Pérdida de carga acumulada neta – total acumulado	$\Sigma \Delta p_{tm}$	[Pa]	: 123.21

SEGMENTO 159:

Tipo: Terminal TRM-46

1 ELEMENTO		2 Caudal Q	3 Diam. D/D _e	4 Ancho A	5 Alto B	6 Long. L	7 $\Delta p/L$	8 Fuente Tab	9 Ashrae X	10 Ashrae Y	11 Coeff. C _o	12 Veloc. V	13 P.Dinám P _v	14 Pérdida Δp_r o Δp_e
N. pz.	Cod.	[m³/h]	[mm]	[mm]	[mm]	[m]	[Pa/m]	n.	-	-	-	[m/s]	[Pa]	[Pa]
2586	11RA	45	98	98	98	0	0	ASH6_26	0.500	0.663	1.260	1.7	1.74	4.74
630	310C	45	98	98	98	0.07	0.57					1.7	1.74	0.04
632	079C	45	98	98	98	0	0	3.1	1.520		0.046	1.7	1.74	0.07
2591	273C	45	75	0	0	0.02	0	5.1	30.000	1.710	0.050	2.8	4.72	0.24
633	310C	45	75	0	0	0.3	2.03					2.8	4.72	0.61
2590	023C	45	75	0	0	0.02	0	4.1	30.000	1.710	0.320	2.8	4.72	1.54
635	05LC	45	98	98	98	0	0	MC4				1.7	1.74	18

Pérdida de carga acumulada del segmento	Δp_t	[Pa]	: 7.25
Velocidad en la sección inicial del segmento	V_m	[m/s]	: 2.5
Velocidad en la sección final del segmento	V_v	[m/s]	: 1.7
Recuperación de presión estática del segmento	Δp_r	[Pa]	: 2.02
Pérdida de carga acumulada del segmento, considerando la recuperación	Δp_{tm}	[Pa]	: 5.67
Pérdida de carga acumulada neta – total acumulado	$\Sigma \Delta p_{tm}$	[Pa]	: 146.88
Desequilibrio del terminal respecto al camino más desfavorable	Δp_{Tmr}	[Pa]	: 50.64

SEGMENTO 158:

Tipo: Terminal TRM-46

1 ELEMENTO		2 Caudal Q	3 Diam. D/D _e	4 Ancho A	5 Alto B	6 Long. L	7 $\Delta p/L$	8 Fuente Tab	9 Ashrae X	10 Ashrae Y	11 Coeff. C _o	12 Veloc. V	13 P.Dinám P _v	14 Pérdida Δp_r o Δp_e
N. pz.	Cod.	[m³/h]	[mm]	[mm]	[mm]	[m]	[Pa/m]	n.	-	-	-	[m/s]	[Pa]	[Pa]
2587	11RA	45	109	100	100	0	0	ASH6_26M	0.500		0.090	1.2	0.87	0.34
623	310R	45	109	100	100	0.6	0.32					1.2	0.87	0.19
614	11RAT	45	109	100	100	0	0	2_6	1.000	0.917	2.800	1.2	0.87	4.63
624	310C	45	98	98	98	0.07	0.57					1.7	1.74	0.04
626	079C	45	98	98	98	0	0	3.1	1.520		0.046	1.7	1.74	0.07
2589	023C	45	98	98	98	0	0	4.1	30.000	1.040	0.320	1.7	1.74	0.53
627	310C	45	100	0	0	0.3	0.5					1.6	1.54	0.15
2588	273C	45	98	98	98	0	0	5.1	30.000	1.040	0.050	1.7	1.74	0.08
629	05LC	45	98	98	98	0	0	MC4				1.7	1.74	18

Pérdida de carga acumulada del segmento	Δp_t	[Pa]	: 6.04
Velocidad en la sección inicial del segmento	V_m	[m/s]	: 2.5
Velocidad en la sección final del segmento	V_v	[m/s]	: 1.7
Recuperación de presión estática del segmento	Δp_r	[Pa]	: 2.02
Pérdida de carga acumulada del segmento, considerando la recuperación	Δp_{tm}	[Pa]	: 3.93
Pérdida de carga acumulada neta – total acumulado	$\Sigma \Delta p_{tm}$	[Pa]	: 145.14
Desequilibrio del terminal respecto al camino más desfavorable	Δp_{Tmr}	[Pa]	: 52.38

SEGMENTO 196:

Tipo: Tramo

1 ELEMENTO		2 Caudal Q	3 Diam. D/D _e	4 Ancho A	5 Alto B	6 Long. L	7 $\Delta p/L$	8 Fuente Tab	9 Ashrae X	10 Ashrae Y	11 Coeff. C _o	12 Veloc. V	13 P.Dinám P _v	14 Pérdida Δp_r o Δp_e
N. pz.	Cod.	[m³/h]	[mm]	[mm]	[mm]	[m]	[Pa/m]	n.	-	-	-	[m/s]	[Pa]	[Pa]
2564	3736	9000	732	750	600	0	0	MC4	1.030		0.071	5.6	18.88	1.34
756	310R	9000	732	750	600	1	0.47					5.6	18.88	0.47

Pérdida de carga acumulada del segmento	Δp_t	[Pa]	: 1.81
---	--------------	------	--------

Velocidad en la sección inicial del segmento	V_m	[m/s]	: 5.5
Velocidad en la sección final del segmento	V_v	[m/s]	: 5
Recuperación de presión estática del segmento	Δp_r	[Pa]	: 3.16
Pérdida de carga acumulada del segmento, considerando la recuperación	Δp_{tn}	[Pa]	: 7.61
Pérdida de carga acumulada neta – total acumulado	$\Sigma \Delta p_{tn}$	[Pa]	: 106.34

SEGMENTO 216:

Tipo: Tramo

1 ELEMENTO		2 Caudal Q	3 Diam. D/D _e	4 Ancho A	5 Alto B	6 Long. L	7 $\Delta p/L$	8 Fuente Tab	9 Ashrae X	10 Ashrae Y	11 Coeff. C _o	12 Veloc. V	13 P.Dinám P _v	14 Pérdida Δp_r o Δp_c
N. pz.	Cod.	[m³/h]	[mm]	[mm]	[mm]	[m]	[Pa/m]	n.	-	-	-	[m/s]	[Pa]	[Pa]
2647	3736	450	310	150	600	0	0	MC4	0.050	0.200	9.420	1.4	1.18	11.11
2693	283R	450	164	150	150	0.88	0	5.1	30.000	4.000	0.040	5.6	18.88	0.81
831	310R	450	164	150	150	1.1	2.95					5.6	18.88	3.25

Pérdida de carga acumulada del segmento	Δp_t	[Pa]	: 15.17
Velocidad en la sección inicial del segmento	V_m	[m/s]	: 5
Velocidad en la sección final del segmento	V_v	[m/s]	: 3.3
Recuperación de presión estática del segmento	Δp_r	[Pa]	: 8.49
Pérdida de carga acumulada del segmento, considerando la recuperación	Δp_{tn}	[Pa]	: 7.74
Pérdida de carga acumulada neta – total acumulado	$\Sigma \Delta p_{tn}$	[Pa]	: 114.08

SEGMENTO 234:

Tipo: Terminal TRM-18

1 ELEMENTO		2 Caudal Q	3 Diam. D/D _e	4 Ancho A	5 Alto B	6 Long. L	7 $\Delta p/L$	8 Fuente Tab	9 Ashrae X	10 Ashrae Y	11 Coeff. C _o	12 Veloc. V	13 P.Dinám P _v	14 Pérdida Δp_r o Δp_c
N. pz.	Cod.	[m³/h]	[mm]	[mm]	[mm]	[m]	[Pa/m]	n.	-	-	-	[m/s]	[Pa]	[Pa]
2691	11RA	45	98	98	98	0	0	ASH6_26	0.100	0.298	1.070	1.7	1.74	7.18
897	310C	45	98	98	98	0.07	0.57					1.7	1.74	0.04
899	079C	45	98	98	98	0	0	3.1	1.520		0.046	1.7	1.74	0.07
2729	273C	45	75	0	0	0.02	0	5.1	30.000	1.710	0.050	2.8	4.72	0.24
900	310C	45	75	0	0	0.3	2.03					2.8	4.72	0.61
2728	023C	45	75	0	0	0.02	0	4.1	30.000	1.710	0.320	2.8	4.72	1.54
902	05LC	45	98	98	98	0	0	MC4				1.7	1.74	18

Pérdida de carga acumulada del segmento	Δp_t	[Pa]	: 9.68
Velocidad en la sección inicial del segmento	V_m	[m/s]	: 3.3
Velocidad en la sección final del segmento	V_v	[m/s]	: 1.7
Recuperación de presión estática del segmento	Δp_r	[Pa]	: 4.82
Pérdida de carga acumulada del segmento, considerando la recuperación	Δp_{tn}	[Pa]	: 5.18
Pérdida de carga acumulada neta – total acumulado	$\Sigma \Delta p_{tn}$	[Pa]	: 137.26
Desequilibrio del terminal respecto al camino más desfavorable	Δp_{Tmr}	[Pa]	: 60.27

SEGMENTO 233:

Tipo: Tramo

1 ELEMENTO		2 Caudal Q	3 Diam. D/D _e	4 Ancho A	5 Alto B	6 Long. L	7 $\Delta p/L$	8 Fuente Tab	9 Ashrae X	10 Ashrae Y	11 Coeff. C _o	12 Veloc. V	13 P.Dinám P _v	14 Pérdida Δp_r o Δp_c
N. pz.	Cod.	[m³/h]	[mm]	[mm]	[mm]	[m]	[Pa/m]	n.	-	-	-	[m/s]	[Pa]	[Pa]
2692	11RA	405	164	150	150	0	0	ASH6_26M	0.900		0.010	5	15.05	0.07
834	310R	405	164	150	150	0.6	2.43					5	15.05	1.46

Pérdida de carga acumulada del segmento	Δp_t	[Pa]	: 1.52
Velocidad en la sección inicial del segmento	V_m	[m/s]	: 3.3
Velocidad en la sección final del segmento	V_v	[m/s]	: 3
Recuperación de presión estática del segmento	Δp_r	[Pa]	: 1.14
Pérdida de carga acumulada del segmento, considerando la recuperación	Δp_{tm}	[Pa]	: 1.76
Pérdida de carga acumulada neta – total acumulado	$\Sigma \Delta p_{tm}$	[Pa]	: 115.84

SEGMENTO 232:

Tipo: Terminal TRM-19

1 ELEMENTO		2 Caudal Q	3 Diam. D/D _e	4 Ancho A	5 Alto B	6 Long. L	7 $\Delta p/L$	8 Fuente Tab	9 Ashrae X	10 Ashrae Y	11 Coeff. C _o	12 Veloc. V	13 P.Dinám P _v	14 Pérdida $\Delta p_r \circ \Delta p_e$
N. pz.	Cod.	[m³/h]	[mm]	[mm]	[mm]	[m]	[Pa/m]	n.	-	-	-	[m/s]	[Pa]	[Pa]
2694	11RA	45	98	98	98	0	0	ASH6_26	0.111	0.332	1.110	1.7	1.74	6
891	310C	45	98	98	98	0.07	0.57					1.7	1.74	0.04
893	079C	45	98	98	98	0	0	3.1	1.520		0.046	1.7	1.74	0.07
2727	273C	45	75	0	0	0.02	0	5.1	30.000	1.710	0.050	2.8	4.72	0.24
894	310C	45	75	0	0	0.3	2.03					2.8	4.72	0.61
2726	023C	45	75	0	0	0.02	0	4.1	30.000	1.710	0.320	2.8	4.72	1.54
896	05LC	45	98	98	98	0	0	MC4				1.7	1.74	18

Pérdida de carga acumulada del segmento	Δp_t	[Pa]	: 8.51
Velocidad en la sección inicial del segmento	V_m	[m/s]	: 3
Velocidad en la sección final del segmento	V_v	[m/s]	: 1.7
Recuperación de presión estática del segmento	Δp_r	[Pa]	: 3.68
Pérdida de carga acumulada del segmento, considerando la recuperación	Δp_{tm}	[Pa]	: 5.27
Pérdida de carga acumulada neta – total acumulado	$\Sigma \Delta p_{tm}$	[Pa]	: 139.11
Desequilibrio del terminal respecto al camino más desfavorable	Δp_{Tmr}	[Pa]	: 58.42

SEGMENTO 231:

Tipo: Tramo

1 ELEMENTO		2 Caudal Q	3 Diam. D/D _e	4 Ancho A	5 Alto B	6 Long. L	7 $\Delta p/L$	8 Fuente Tab	9 Ashrae X	10 Ashrae Y	11 Coeff. C _o	12 Veloc. V	13 P.Dinám P _v	14 Pérdida $\Delta p_r \circ \Delta p_e$
N. pz.	Cod.	[m³/h]	[mm]	[mm]	[mm]	[m]	[Pa/m]	n.	-	-	-	[m/s]	[Pa]	[Pa]
2695	11RA	360	164	150	150	0	0	ASH6_26M	0.889		0.011	4.4	11.65	0.06
835	310R	360	164	150	150	0.6	1.95					4.4	11.65	1.17

Pérdida de carga acumulada del segmento	Δp_t	[Pa]	: 1.23
Velocidad en la sección inicial del segmento	V_m	[m/s]	: 3
Velocidad en la sección final del segmento	V_v	[m/s]	: 2.7
Recuperación de presión estática del segmento	Δp_r	[Pa]	: 1.03
Pérdida de carga acumulada del segmento, considerando la recuperación	Δp_{tm}	[Pa]	: 1.28
Pérdida de carga acumulada neta – total acumulado	$\Sigma \Delta p_{tm}$	[Pa]	: 117.12

SEGMENTO 230:

Tipo: Terminal TRM-20

1 ELEMENTO		2 Caudal Q	3 Diam. D/D _e	4 Ancho A	5 Alto B	6 Long. L	7 $\Delta p/L$	8 Fuente Tab	9 Ashrae X	10 Ashrae Y	11 Coeff. C _o	12 Veloc. V	13 P.Dinám P _v	14 Pérdida $\Delta p_r \circ \Delta p_e$
---------------	--	------------------	--------------------------------	-----------------	----------------	-----------------	-------------------	--------------------	------------------	-------------------	--------------------------------	-------------------	---------------------------------	--

N. pz.	Cod.	[m³/h]	[mm]	[mm]	[mm]	[m]	[Pa/m]	n.	-	-	-	[m/s]	[Pa]	[Pa]
2696	11RA	45	98	98	98	0	0	ASH6_26	0.125	0.373	1.140	1.7	1.74	4.88
885	310C	45	98	98	98	0.07	0.57					1.7	1.74	0.04
887	079C	45	98	98	98	0	0	3.1	1.520		0.046	1.7	1.74	0.07
2725	273C	45	75	0	0	0.02	0	5.1	30.000	1.710	0.050	2.8	4.72	0.24
888	310C	45	75	0	0	0.3	2.03					2.8	4.72	0.61
2724	023C	45	75	0	0	0.02	0	4.1	30.000	1.710	0.320	2.8	4.72	1.54
890	05LC	45	98	98	98	0	0	MC4				1.7	1.74	18

Pérdida de carga acumulada del segmento	Δp_t	[Pa]	: 7.38
Velocidad en la sección inicial del segmento	V_m	[m/s]	: 2.7
Velocidad en la sección final del segmento	V_v	[m/s]	: 1.7
Recuperación de presión estática del segmento	Δp_r	[Pa]	: 2.65
Pérdida de carga acumulada del segmento, considerando la recuperación	Δp_{tn}	[Pa]	: 5.28
Pérdida de carga acumulada neta – total acumulado	$\Sigma \Delta p_{tn}$	[Pa]	: 140.4
Desequilibrio del terminal respecto al camino más desfavorable	Δp_{Tmr}	[Pa]	: 57.12

SEGMENTO 229:

Tipo: Tramo

1 ELEMENTO		2 Caudal Q	3 Diam. D/D _e	4 Ancho A	5 Alto B	6 Long. L	7 $\Delta p/L$	8 Fuente Tab	9 Ashrae X	10 Ashrae Y	11 Coeff. C _o	12 Veloc. V	13 P.Dinám P _v	14 Pérdida Δp_r o Δp_c
N. pz.	Cod.	[m³/h]	[mm]	[mm]	[mm]	[m]	[Pa/m]	n.	-	-	-	[m/s]	[Pa]	[Pa]
2697	11RA	315	164	150	150	0	0	ASH6_26M	0.875		0.012	3.9	9.16	0.05
836	310R	315	164	150	150	0.6	1.52					3.9	9.16	0.91

Pérdida de carga acumulada del segmento	Δp_t	[Pa]	: 0.97
Velocidad en la sección inicial del segmento	V_m	[m/s]	: 2.7
Velocidad en la sección final del segmento	V_v	[m/s]	: 2.3
Recuperación de presión estática del segmento	Δp_r	[Pa]	: 1.2
Pérdida de carga acumulada del segmento, considerando la recuperación	Δp_{tn}	[Pa]	: 0.87
Pérdida de carga acumulada neta – total acumulado	$\Sigma \Delta p_{tn}$	[Pa]	: 117.99

SEGMENTO 228:

Tipo: Terminal TRM-21

1 ELEMENTO		2 Caudal Q	3 Diam. D/D _e	4 Ancho A	5 Alto B	6 Long. L	7 $\Delta p/L$	8 Fuente Tab	9 Ashrae X	10 Ashrae Y	11 Coeff. C _o	12 Veloc. V	13 P.Dinám P _v	14 Pérdida Δp_r o Δp_c
N. pz.	Cod.	[m³/h]	[mm]	[mm]	[mm]	[m]	[Pa/m]	n.	-	-	-	[m/s]	[Pa]	[Pa]
2698	11RA	45	98	98	98	0	0	ASH6_26	0.143	0.426	1.190	1.7	1.74	3.88
879	310C	45	98	98	98	0.07	0.57					1.7	1.74	0.04
881	079C	45	98	98	98	0	0	3.1	1.520		0.046	1.7	1.74	0.07
2723	273C	45	75	0	0	0.02	0	5.1	30.000	1.710	0.050	2.8	4.72	0.24
882	310C	45	75	0	0	0.3	2.03					2.8	4.72	0.61
2722	023C	45	75	0	0	0.02	0	4.1	30.000	1.710	0.320	2.8	4.72	1.54
884	05LC	45	98	98	98	0	0	MC4				1.7	1.74	18

Pérdida de carga acumulada del segmento	Δp_t	[Pa]	: 6.39
Velocidad en la sección inicial del segmento	V_m	[m/s]	: 2.3
Velocidad en la sección final del segmento	V_v	[m/s]	: 1.7
Recuperación de presión estática del segmento	Δp_r	[Pa]	: 1.44
Pérdida de carga acumulada del segmento, considerando la recuperación	Δp_{tn}	[Pa]	: 5.29
Pérdida de carga acumulada neta – total acumulado	$\Sigma \Delta p_{tn}$	[Pa]	: 141.28
Desequilibrio del terminal respecto al camino más desfavorable	Δp_{Tmr}	[Pa]	: 56.24

SEGMENTO 227:

Tipo: Tramo

1 ELEMENTO		2 Caudal Q	3 Diam. D/D _e	4 Ancho A	5 Alto B	6 Long. L	7 $\Delta p/L$	8 Fuente Tab	9 Ashrae X	10 Ashrae Y	11 Coeff. C _o	12 Veloc. V	13 P.Dinám P _v	14 Pérdida Δp_r o Δp_c
N. pz.	Cod.	[m³/h]	[mm]	[mm]	[mm]	[m]	[Pa/m]	n.	-	-	-	[m/s]	[Pa]	[Pa]
2699	11RA	270	164	150	150	0	0	ASH6_26M	0.857		0.014	3.3	6.56	0.05
837	310R	270	164	150	150	0.6	1.15					3.3	6.56	0.69

Pérdida de carga acumulada del segmento

Δp_t [Pa] : 0.73

Velocidad en la sección inicial del segmento

V_m [m/s] : 2.3

Velocidad en la sección final del segmento

V_v [m/s] : 2

Recuperación de presión estática del segmento

Δp_r [Pa] : 0.78

Pérdida de carga acumulada del segmento, considerando la recuperación

Δp_{tn} [Pa] : 0.53

Pérdida de carga acumulada neta – total acumulado

$\Sigma \Delta p_{tn}$ [Pa] : 118.52

SEGMENTO 226:

Tipo: Terminal TRM-22

1 ELEMENTO		2 Caudal Q	3 Diam. D/D _e	4 Ancho A	5 Alto B	6 Long. L	7 $\Delta p/L$	8 Fuente Tab	9 Ashrae X	10 Ashrae Y	11 Coeff. C _o	12 Veloc. V	13 P.Dinám P _v	14 Pérdida Δp_r o Δp_c
N. pz.	Cod.	[m³/h]	[mm]	[mm]	[mm]	[m]	[Pa/m]	n.	-	-	-	[m/s]	[Pa]	[Pa]
2700	11RA	45	98	98	98	0	0	ASH6_26	0.167	0.497	1.280	1.7	1.74	3.08
873	310C	45	98	98	98	0.07	0.57					1.7	1.74	0.04
875	079C	45	98	98	98	0	0	3.1	1.520		0.046	1.7	1.74	0.07
2721	273C	45	75	0	0	0.02	0	5.1	30.000	1.710	0.050	2.8	4.72	0.24
876	310C	45	75	0	0	0.3	2.03					2.8	4.72	0.61
2720	023C	45	75	0	0	0.02	0	4.1	30.000	1.710	0.320	2.8	4.72	1.54
878	05LC	45	98	98	98	0	0	MC4				1.7	1.74	18

Pérdida de carga acumulada del segmento

Δp_t [Pa] : 5.59

Velocidad en la sección inicial del segmento

V_m [m/s] : 2

Velocidad en la sección final del segmento

V_v [m/s] : 1.7

Recuperación de presión estática del segmento

Δp_r [Pa] : 0.67

Pérdida de carga acumulada del segmento, considerando la recuperación

Δp_{tn} [Pa] : 5.36

Pérdida de carga acumulada neta – total acumulado

$\Sigma \Delta p_{tn}$ [Pa] : 141.88

Desequilibrio del terminal respecto al camino más desfavorable

Δp_{Tmr} [Pa] : 55.64

SEGMENTO 225:

Tipo: Tramo

1 ELEMENTO		2 Caudal Q	3 Diam. D/D _e	4 Ancho A	5 Alto B	6 Long. L	7 $\Delta p/L$	8 Fuente Tab	9 Ashrae X	10 Ashrae Y	11 Coeff. C _o	12 Veloc. V	13 P.Dinám P _v	14 Pérdida Δp_r o Δp_c
N. pz.	Cod.	[m³/h]	[mm]	[mm]	[mm]	[m]	[Pa/m]	n.	-	-	-	[m/s]	[Pa]	[Pa]
2701	11RA	225	164	150	150	0	0	ASH6_26M	0.833		0.017	2.8	4.72	0.04
838	310R	225	164	150	150	0.6	0.82					2.8	4.72	0.49

Pérdida de carga acumulada del segmento

Δp_t [Pa] : 0.53

Velocidad en la sección inicial del segmento

V_m [m/s] : 2

Velocidad en la sección final del segmento

V_v [m/s] : 3.1

Recuperación de presión estática del segmento	Δp_r	[Pa]	: -3.38
Pérdida de carga acumulada del segmento, considerando la recuperación	Δp_{tn}	[Pa]	: 4.53
Pérdida de carga acumulada neta – total acumulado	$\Sigma \Delta p_{tn}$	[Pa]	: 123.05

SEGMENTO 224:

Tipo: Terminal TRM-22

1 ELEMENTO		2 Caudal Q	3 Diam. D/D _e	4 Ancho A	5 Alto B	6 Long. L	7 $\Delta p/L$	8 Fuente Tab	9 Ashrae X	10 Ashrae Y	11 Coeff. C _o	12 Veloc. V	13 P.Dinám P _v	14 Pérdida Δp_r o Δp_c
N. pz.	Cod.	[m³/h]	[mm]	[mm]	[mm]	[m]	[Pa/m]	n.	-	-	-	[m/s]	[Pa]	[Pa]
2702	11RA	45	98	98	98	0	0	ASH6_26	0.200	0.597	1.090	1.7	1.74	6.41
867	310C	45	98	98	98	0.07	0.57					1.7	1.74	0.04
869	079C	45	98	98	98	0	0	3.1	1.520		0.046	1.7	1.74	0.07
2719	273C	45	75	0	0	0.02	0	5.1	30.000	1.710	0.050	2.8	4.72	0.24
870	310C	45	75	0	0	0.3	2.03					2.8	4.72	0.61
2718	023C	45	75	0	0	0.02	0	4.1	30.000	1.710	0.320	2.8	4.72	1.54
872	05LC	45	98	98	98	0	0	MC4				1.7	1.74	18

Pérdida de carga acumulada del segmento	Δp_t	[Pa]	: 8.91
Velocidad en la sección inicial del segmento	V_m	[m/s]	: 3.1
Velocidad en la sección final del segmento	V_v	[m/s]	: 1.7
Recuperación de presión estática del segmento	Δp_r	[Pa]	: 4.05
Pérdida de carga acumulada del segmento, considerando la recuperación	Δp_{tn}	[Pa]	: 5.21
Pérdida de carga acumulada neta – total acumulado	$\Sigma \Delta p_{tn}$	[Pa]	: 146.26
Desequilibrio del terminal respecto al camino más desfavorable	Δp_{Tmr}	[Pa]	: 51.26

SEGMENTO 223:

Tipo: Tramo

1 ELEMENTO		2 Caudal Q	3 Diam. D/D _e	4 Ancho A	5 Alto B	6 Long. L	7 $\Delta p/L$	8 Fuente Tab	9 Ashrae X	10 Ashrae Y	11 Coeff. C _o	12 Veloc. V	13 P.Dinám P _v	14 Pérdida Δp_r o Δp_c
N. pz.	Cod.	[m³/h]	[mm]	[mm]	[mm]	[m]	[Pa/m]	n.	-	-	-	[m/s]	[Pa]	[Pa]
2703	11RA	180	164	150	150	0	0	ASH6_26M	0.800		0.020	2.2	2.91	0.12
839	310R	180	164	150	150	0.6	0.55					2.2	2.91	0.33

Pérdida de carga acumulada del segmento	Δp_t	[Pa]	: 0.45
Velocidad en la sección inicial del segmento	V_m	[m/s]	: 3.1
Velocidad en la sección final del segmento	V_v	[m/s]	: 2.5
Recuperación de presión estática del segmento	Δp_r	[Pa]	: 2.02
Pérdida de carga acumulada del segmento, considerando la recuperación	Δp_{tn}	[Pa]	: -0.35
Pérdida de carga acumulada neta – total acumulado	$\Sigma \Delta p_{tn}$	[Pa]	: 122.7

SEGMENTO 222:

Tipo: Terminal TRM-24

1 ELEMENTO		2 Caudal Q	3 Diam. D/D _e	4 Ancho A	5 Alto B	6 Long. L	7 $\Delta p/L$	8 Fuente Tab	9 Ashrae X	10 Ashrae Y	11 Coeff. C _o	12 Veloc. V	13 P.Dinám P _v	14 Pérdida Δp_r o Δp_c
N. pz.	Cod.	[m³/h]	[mm]	[mm]	[mm]	[m]	[Pa/m]	n.	-	-	-	[m/s]	[Pa]	[Pa]
2704	11RA	45	98	98	98	0	0	ASH6_26	0.250	0.746	1.130	1.7	1.74	4.25
861	310C	45	98	98	98	0.07	0.57					1.7	1.74	0.04
863	079C	45	98	98	98	0	0	3.1	1.520		0.046	1.7	1.74	0.07
2717	273C	45	75	0	0	0.02	0	5.1	30.000	1.710	0.050	2.8	4.72	0.24
864	310C	45	75	0	0	0.3	2.03					2.8	4.72	0.61

2716	023C	45	75	0	0	0.02	0	4.1	30.000	1.710	0.320	2.8	4.72	1.54
866	05LC	45	98	98	98	0	0	MC4				1.7	1.74	18

Pérdida de carga acumulada del segmento	Δp_t	[Pa]	: 6.76
Velocidad en la sección inicial del segmento	V_m	[m/s]	: 2.5
Velocidad en la sección final del segmento	V_v	[m/s]	: 1.7
Recuperación de presión estática del segmento	Δp_r	[Pa]	: 2.02
Pérdida de carga acumulada del segmento, considerando la recuperación	Δp_{tm}	[Pa]	: 5.17
Pérdida de carga acumulada neta – total acumulado	$\Sigma \Delta p_{tm}$	[Pa]	: 145.87
Desequilibrio del terminal respecto al camino más desfavorable	Δp_{Tmr}	[Pa]	: 51.65

SEGMENTO 221:

Tipo: Tramo

1 ELEMENTO		2 Caudal Q	3 Diam. D/D _e	4 Ancho A	5 Alto B	6 Long. L	7 $\Delta p/L$	8 Fuente Tab	9 Ashrae X	10 Ashrae Y	11 Coeff. C _o	12 Veloc. V	13 P.Dinám P _v	14 Pérdida Δp_r o Δp_e
N. pz.	Cod.	[m³/h]	[mm]	[mm]	[mm]	[m]	[Pa/m]	n.	-	-	-	[m/s]	[Pa]	[Pa]
2705	11RA	135	164	150	150	0	0	ASH6_26M	0.750		0.030	1.7	1.74	0.11
840	310R	135	164	150	150	0.6	0.32					1.7	1.74	0.19

Pérdida de carga acumulada del segmento	Δp_t	[Pa]	: 0.31
Velocidad en la sección inicial del segmento	V_m	[m/s]	: 2.5
Velocidad en la sección final del segmento	V_v	[m/s]	: 2.5
Recuperación de presión estática del segmento	Δp_r	[Pa]	: 0
Pérdida de carga acumulada del segmento, considerando la recuperación	Δp_{tm}	[Pa]	: 1.13
Pérdida de carga acumulada neta – total acumulado	$\Sigma \Delta p_{tm}$	[Pa]	: 123.83

SEGMENTO 220:

Tipo: Terminal TRM-25

1 ELEMENTO		2 Caudal Q	3 Diam. D/D _e	4 Ancho A	5 Alto B	6 Long. L	7 $\Delta p/L$	8 Fuente Tab	9 Ashrae X	10 Ashrae Y	11 Coeff. C _o	12 Veloc. V	13 P.Dinám P _v	14 Pérdida Δp_r o Δp_e
N. pz.	Cod.	[m³/h]	[mm]	[mm]	[mm]	[m]	[Pa/m]	n.	-	-	-	[m/s]	[Pa]	[Pa]
2706	11RA	45	98	98	98	0	0	ASH6_26	0.333	0.995	1.110	1.7	1.74	4.16
855	310C	45	98	98	98	0.07	0.57					1.7	1.74	0.04
857	079C	45	98	98	98	0	0	3.1	1.520		0.046	1.7	1.74	0.07
2715	273C	45	75	0	0	0.02	0	5.1	30.000	1.710	0.050	2.8	4.72	0.24
858	310C	45	75	0	0	0.3	2.03					2.8	4.72	0.61
2714	023C	45	75	0	0	0.02	0	4.1	30.000	1.710	0.320	2.8	4.72	1.54
860	05LC	45	98	98	98	0	0	MC4				1.7	1.74	18

Pérdida de carga acumulada del segmento	Δp_t	[Pa]	: 6.66
Velocidad en la sección inicial del segmento	V_m	[m/s]	: 2.5
Velocidad en la sección final del segmento	V_v	[m/s]	: 1.7
Recuperación de presión estática del segmento	Δp_r	[Pa]	: 2.02
Pérdida de carga acumulada del segmento, considerando la recuperación	Δp_{tm}	[Pa]	: 5.08
Pérdida de carga acumulada neta – total acumulado	$\Sigma \Delta p_{tm}$	[Pa]	: 146.91
Desequilibrio del terminal respecto al camino más desfavorable	Δp_{Tmr}	[Pa]	: 50.61

SEGMENTO 219:

Tipo: Tramo

1	2	3	4	5	6	7	8	9	10	11	12	13	14
---	---	---	---	---	---	---	---	---	----	----	----	----	----

ELEMENTO		Caudal Q	Diam. D/D _e	Ancho A	Alto B	Long. L	Δp/L	Fuente Tab	Ashrae X	Ashrae Y	Coeff. C _o	Veloc. V	P.Dinám P _v	Pérdida Δp _r o Δp _c
N. pz.	Cod.	[m³/h]	[mm]	[mm]	[mm]	[m]	[Pa/m]	n.	-	-	-	[m/s]	[Pa]	[Pa]
2707	11RA	90	164	150	150	0	0	ASH6_26M	0.667		0.047	1.1	0.73	0.18
841	310R	90	164	150	150	0.6	0.15					1.1	0.73	0.09

Pérdida de carga acumulada del segmento	Δp _t	[Pa]	: 0.27
Velocidad en la sección inicial del segmento	V _m	[m/s]	: 2.5
Velocidad en la sección final del segmento	V _v	[m/s]	: 2.5
Recuperación de presión estática del segmento	Δp _r	[Pa]	: 0
Pérdida de carga acumulada del segmento, considerando la recuperación	Δp _{tn}	[Pa]	: 0.95
Pérdida de carga acumulada neta – total acumulado	ΣΔp _{tn}	[Pa]	: 124.78

SEGMENTO 218:

Tipo: Terminal TRM-26

1 ELEMENTO		2 Caudal Q	3 Diam. D/D _e	4 Ancho A	5 Alto B	6 Long. L	7 Δp/L	8 Fuente Tab	9 Ashrae X	10 Ashrae Y	11 Coeff. C _o	12 Veloc. V	13 P.Dinám P _v	14 Pérdida Δp _r o Δp _c
N. pz.	Cod.	[m³/h]	[mm]	[mm]	[mm]	[m]	[Pa/m]	n.	-	-	-	[m/s]	[Pa]	[Pa]
2708	11RA	45	98	98	98	0	0	ASH6_26	0.500	1.490	1.260	1.7	1.74	4.74
849	310C	45	98	98	98	0.07	0.57					1.7	1.74	0.04
851	079C	45	98	98	98	0	0	3.1	1.520		0.046	1.7	1.74	0.07
2713	273C	45	75	0	0	0.02	0	5.1	30.000	1.710	0.050	2.8	4.72	0.24
852	310C	45	75	0	0	0.3	2.03					2.8	4.72	0.61
2712	023C	45	75	0	0	0.02	0	4.1	30.000	1.710	0.320	2.8	4.72	1.54
854	05LC	45	98	98	98	0	0	MC4				1.7	1.74	18

Pérdida de carga acumulada del segmento	Δp _t	[Pa]	: 7.25
Velocidad en la sección inicial del segmento	V _m	[m/s]	: 2.5
Velocidad en la sección final del segmento	V _v	[m/s]	: 1.7
Recuperación de presión estática del segmento	Δp _r	[Pa]	: 2.02
Pérdida de carga acumulada del segmento, considerando la recuperación	Δp _{tn}	[Pa]	: 5.67
Pérdida de carga acumulada neta – total acumulado	ΣΔp _{tn}	[Pa]	: 148.45
Desequilibrio del terminal respecto al camino más desfavorable	Δp _{Tmr}	[Pa]	: 49.08

SEGMENTO 217:

Tipo: Terminal TRM-27

1 ELEMENTO		2 Caudal Q	3 Diam. D/D _e	4 Ancho A	5 Alto B	6 Long. L	7 Δp/L	8 Fuente Tab	9 Ashrae X	10 Ashrae Y	11 Coeff. C _o	12 Veloc. V	13 P.Dinám P _v	14 Pérdida Δp _r o Δp _c
N. pz.	Cod.	[m³/h]	[mm]	[mm]	[mm]	[m]	[Pa/m]	n.	-	-	-	[m/s]	[Pa]	[Pa]
2709	11RA	45	164	150	150	0	0	ASH6_26M	0.500		0.090	0.6	0.22	0.34
842	310R	45	164	150	150	0.6	0.05					0.6	0.22	0.03
833	11RAT	45	164	150	150	0	0	2_6	1.000	0.915	2.800	0.6	0.22	0
843	310C	45	98	98	98	0.07	0.57					1.7	1.74	0.04
845	079C	45	98	98	98	0	0	3.1	1.520		0.046	1.7	1.74	0.07
2711	023C	45	98	98	98	0	0	4.1	30.000	1.040	0.320	1.7	1.74	0.53
846	310C	45	100	0	0	0.3	0.5					1.6	1.54	0.15
2710	273C	45	98	98	98	0	0	5.1	30.000	1.040	0.050	1.7	1.74	0.08
848	05LC	45	98	98	98	0	0	MC4				1.7	1.74	18

Pérdida de carga acumulada del segmento	Δp _t	[Pa]	: 1.24
Velocidad en la sección inicial del segmento	V _m	[m/s]	: 2.5
Velocidad en la sección final del segmento	V _v	[m/s]	: 1.7
Recuperación de presión estática del segmento	Δp _r	[Pa]	: 2.02

Pérdida de carga acumulada del segmento, considerando la recuperación
 Pérdida de carga acumulada neta – total acumulado
 Desequilibrio del terminal respecto al camino más desfavorable

Δp_{tn} [Pa] : -0.55
 $\Sigma \Delta p_{tn}$ [Pa] : 142.23
 Δp_{Tmr} [Pa] : 55.29

SEGMENTO 215:

Tipo: Tramo

1 ELEMENTO		2 Caudal Q	3 Diam. D/D _e	4 Ancho A	5 Alto B	6 Long. L	7 $\Delta p/L$	8 Fuente Tab	9 Ashrae X	10 Ashrae Y	11 Coeff. C _o	12 Veloc. V	13 P.Dinám P _v	14 Pérdida Δp_r o Δp_c
N. pz.	Cod.	[m³/h]	[mm]	[mm]	[mm]	[m]	[Pa/m]	n.	-	-	-	[m/s]	[Pa]	[Pa]
760	3736	450	414	250	600	0	0	MC4	0.050	0.333	38.200	0.8	0.39	14.9
2651	283R	450	210	250	150	0.88	0	5.1	30.000	4.000	0.040	3.3	6.56	0.29
759	310R	450	210	250	150	1.05	0.87					3.3	6.56	0.91

Pérdida de carga acumulada del segmento
 Velocidad en la sección inicial del segmento
 Velocidad en la sección final del segmento
 Recuperación de presión estática del segmento
 Pérdida de carga acumulada del segmento, considerando la recuperación
 Pérdida de carga acumulada neta – total acumulado

Δp_t [Pa] : 16.11
 V_m [m/s] : 5
 V_v [m/s] : 3.3
 Δp_r [Pa] : 8.49
 Δp_{tn} [Pa] : 7.74
 $\Sigma \Delta p_{tn}$ [Pa] : 114.09

SEGMENTO 214:

Tipo: Terminal TRM-46

1 ELEMENTO		2 Caudal Q	3 Diam. D/D _e	4 Ancho A	5 Alto B	6 Long. L	7 $\Delta p/L$	8 Fuente Tab	9 Ashrae X	10 Ashrae Y	11 Coeff. C _o	12 Veloc. V	13 P.Dinám P _v	14 Pérdida Δp_r o Δp_c
N. pz.	Cod.	[m³/h]	[mm]	[mm]	[mm]	[m]	[Pa/m]	n.	-	-	-	[m/s]	[Pa]	[Pa]
2649	11RA	45	98	98	98	0	0	ASH6_26	0.100	0.497	1.070	1.7	1.74	7.18
825	310C	45	98	98	98	0.07	0.57					1.7	1.74	0.04
827	079C	45	98	98	98	0	0	3.1	1.520		0.046	1.7	1.74	0.07
2690	273C	45	75	0	0	0.02	0	5.1	30.000	1.710	0.050	2.8	4.72	0.24
828	310C	45	75	0	0	0.3	2.03					2.8	4.72	0.61
2689	023C	45	75	0	0	0.02	0	4.1	30.000	1.710	0.320	2.8	4.72	1.54
830	05LC	45	98	98	98	0	0	MC4				1.7	1.74	18

Pérdida de carga acumulada del segmento
 Velocidad en la sección inicial del segmento
 Velocidad en la sección final del segmento
 Recuperación de presión estática del segmento
 Pérdida de carga acumulada del segmento, considerando la recuperación
 Pérdida de carga acumulada neta – total acumulado
 Desequilibrio del terminal respecto al camino más desfavorable

Δp_t [Pa] : 9.68
 V_m [m/s] : 3.3
 V_v [m/s] : 1.7
 Δp_r [Pa] : 4.82
 Δp_{tn} [Pa] : 5.18
 $\Sigma \Delta p_{tn}$ [Pa] : 137.26
 Δp_{Tmr} [Pa] : 60.26

SEGMENTO 213:

Tipo: Tramo

1 ELEMENTO		2 Caudal Q	3 Diam. D/D _e	4 Ancho A	5 Alto B	6 Long. L	7 $\Delta p/L$	8 Fuente Tab	9 Ashrae X	10 Ashrae Y	11 Coeff. C _o	12 Veloc. V	13 P.Dinám P _v	14 Pérdida Δp_r o Δp_c
N. pz.	Cod.	[m³/h]	[mm]	[mm]	[mm]	[m]	[Pa/m]	n.	-	-	-	[m/s]	[Pa]	[Pa]
2650	11RA	405	210	250	150	0	0	ASH6_26M	0.900		0.010	3	5.42	0.07
2654	283R	405	152	200	100	0.19	0	5.1	30.000	1.880	0.050	5.6	18.88	0.95
762	310R	405	152	200	100	0.6	3.53					5.6	18.88	2.12

Pérdida de carga acumulada del segmento	Δp_t	[Pa]	: 3.14
Velocidad en la sección inicial del segmento	V_m	[m/s]	: 3.3
Velocidad en la sección final del segmento	V_v	[m/s]	: 5.6
Recuperación de presión estática del segmento	Δp_r	[Pa]	: -12.32
Pérdida de carga acumulada del segmento, considerando la recuperación	Δp_{tm}	[Pa]	: 15.5
Pérdida de carga acumulada neta – total acumulado	$\Sigma \Delta p_{tm}$	[Pa]	: 129.59

SEGMENTO 212:

Tipo: Terminal TRM-46

1 ELEMENTO		2 Caudal Q	3 Diam. D/D _e	4 Ancho A	5 Alto B	6 Long. L	7 $\Delta p/L$	8 Fuente Tab	9 Ashrae X	10 Ashrae Y	11 Coeff. C _o	12 Veloc. V	13 P.Dinám P _v	14 Pérdida Δp_r o Δp_e
N. pz.	Cod.	[m³/h]	[mm]	[mm]	[mm]	[m]	[Pa/m]	n.	-	-	-	[m/s]	[Pa]	[Pa]
2652	11RA	45	98	98	98	0	0	ASH6_26	0.111	0.295	1.010	1.7	1.74	19.28
819	310C	45	98	98	98	0.07	0.57					1.7	1.74	0.04
821	079C	45	98	98	98	0	0	3.1	1.520		0.046	1.7	1.74	0.07
2688	273C	45	75	0	0	0.02	0	5.1	30.000	1.710	0.050	2.8	4.72	0.24
822	310C	45	75	0	0	0.3	2.03					2.8	4.72	0.61
2687	023C	45	75	0	0	0.02	0	4.1	30.000	1.710	0.320	2.8	4.72	1.54
824	05LC	45	98	98	98	0	0	MC4				1.7	1.74	18

Pérdida de carga acumulada del segmento	Δp_t	[Pa]	: 21.78
Velocidad en la sección inicial del segmento	V_m	[m/s]	: 5.6
Velocidad en la sección final del segmento	V_v	[m/s]	: 1.7
Recuperación de presión estática del segmento	Δp_r	[Pa]	: 17.14
Pérdida de carga acumulada del segmento, considerando la recuperación	Δp_{tm}	[Pa]	: 4.92
Pérdida de carga acumulada neta – total acumulado	$\Sigma \Delta p_{tm}$	[Pa]	: 152.5
Desequilibrio del terminal respecto al camino más desfavorable	Δp_{Tmr}	[Pa]	: 45.02

SEGMENTO 211:

Tipo: Tramo

1 ELEMENTO		2 Caudal Q	3 Diam. D/D _e	4 Ancho A	5 Alto B	6 Long. L	7 $\Delta p/L$	8 Fuente Tab	9 Ashrae X	10 Ashrae Y	11 Coeff. C _o	12 Veloc. V	13 P.Dinám P _v	14 Pérdida Δp_r o Δp_e
N. pz.	Cod.	[m³/h]	[mm]	[mm]	[mm]	[m]	[Pa/m]	n.	-	-	-	[m/s]	[Pa]	[Pa]
2653	11RA	360	152	200	100	0	0	ASH6_26M	0.889		0.011	5	15.05	0.21
763	310R	360	152	200	100	0.6	2.85					5	15.05	1.71

Pérdida de carga acumulada del segmento	Δp_t	[Pa]	: 1.92
Velocidad en la sección inicial del segmento	V_m	[m/s]	: 5.6
Velocidad en la sección final del segmento	V_v	[m/s]	: 5
Recuperación de presión estática del segmento	Δp_r	[Pa]	: 3.83
Pérdida de carga acumulada del segmento, considerando la recuperación	Δp_{tm}	[Pa]	: -2.08
Pérdida de carga acumulada neta – total acumulado	$\Sigma \Delta p_{tm}$	[Pa]	: 127.51

SEGMENTO 210:

Tipo: Terminal TRM-46

1 ELEMENTO		2 Caudal Q	3 Diam. D/D _e	4 Ancho A	5 Alto B	6 Long. L	7 $\Delta p/L$	8 Fuente Tab	9 Ashrae X	10 Ashrae Y	11 Coeff. C _o	12 Veloc. V	13 P.Dinám P _v	14 Pérdida Δp_r o Δp_e
N. pz.	Cod.	[m³/h]	[mm]	[mm]	[mm]	[m]	[Pa/m]	n.	-	-	-	[m/s]	[Pa]	[Pa]

2655	11RA	45	98	98	98	0	0	ASH6_26	0.125	0.332	1.020	1.7	1.74	15.39
813	310C	45	98	98	98	0.07	0.57					1.7	1.74	0.04
815	079C	45	98	98	98	0	0	3.1	1.520		0.046	1.7	1.74	0.07
2686	273C	45	75	0	0	0.02	0	5.1	30.000	1.710	0.050	2.8	4.72	0.24
816	310C	45	75	0	0	0.3	2.03					2.8	4.72	0.61
2685	023C	45	75	0	0	0.02	0	4.1	30.000	1.710	0.320	2.8	4.72	1.54
818	05LC	45	98	98	98	0	0	MC4				1.7	1.74	18

Pérdida de carga acumulada del segmento	Δp_t	[Pa]	: 17.89
Velocidad en la sección inicial del segmento	V_m	[m/s]	: 5
Velocidad en la sección final del segmento	V_v	[m/s]	: 1.7
Recuperación de presión estática del segmento	Δp_r	[Pa]	: 13.31
Pérdida de carga acumulada del segmento, considerando la recuperación	Δp_{tm}	[Pa]	: 5.03
Pérdida de carga acumulada neta – total acumulado	$\Sigma \Delta p_{tm}$	[Pa]	: 150.53
Desequilibrio del terminal respecto al camino más desfavorable	Δp_{Tmr}	[Pa]	: 46.99

SEGMENTO 209:

Tipo: Tramo

1 ELEMENTO		2 Caudal Q	3 Diam. D/D _e	4 Ancho A	5 Alto B	6 Long. L	7 $\Delta p/L$	8 Fuente Tab	9 Ashrae X	10 Ashrae Y	11 Coeff. C _o	12 Veloc. V	13 P.Dinám P _v	14 Pérdida Δp_r o Δp_e
N. pz.	Cod.	[m³/h]	[mm]	[mm]	[mm]	[m]	[Pa/m]	n.	-	-	-	[m/s]	[Pa]	[Pa]
2656	11RA	315	152	200	100	0	0	ASH6_26M	0.875		0.012	4.4	11.65	0.19
2659	283R	315	133	150	100	0.14	0	5.1	30.000	1.330	0.050	5.8	20.25	1.02
764	310R	315	133	150	100	0.6	4.32					5.8	20.25	2.59

Pérdida de carga acumulada del segmento	Δp_t	[Pa]	: 3.8
Velocidad en la sección inicial del segmento	V_m	[m/s]	: 5
Velocidad en la sección final del segmento	V_v	[m/s]	: 5.8
Recuperación de presión estática del segmento	Δp_r	[Pa]	: -5.2
Pérdida de carga acumulada del segmento, considerando la recuperación	Δp_{tm}	[Pa]	: 9.24
Pérdida de carga acumulada neta – total acumulado	$\Sigma \Delta p_{tm}$	[Pa]	: 136.74

SEGMENTO 208:

Tipo: Terminal TRM-46

1 ELEMENTO		2 Caudal Q	3 Diam. D/D _e	4 Ancho A	5 Alto B	6 Long. L	7 $\Delta p/L$	8 Fuente Tab	9 Ashrae X	10 Ashrae Y	11 Coeff. C _o	12 Veloc. V	13 P.Dinám P _v	14 Pérdida Δp_r o Δp_e
N. pz.	Cod.	[m³/h]	[mm]	[mm]	[mm]	[m]	[Pa/m]	n.	-	-	-	[m/s]	[Pa]	[Pa]
2657	11RA	45	98	98	98	0	0	ASH6_26	0.143	0.284	1.030	1.7	1.74	21.15
807	310C	45	98	98	98	0.07	0.57					1.7	1.74	0.04
809	079C	45	98	98	98	0	0	3.1	1.520		0.046	1.7	1.74	0.07
2684	273C	45	75	0	0	0.02	0	5.1	30.000	1.710	0.050	2.8	4.72	0.24
810	310C	45	75	0	0	0.3	2.03					2.8	4.72	0.61
2683	023C	45	75	0	0	0.02	0	4.1	30.000	1.710	0.320	2.8	4.72	1.54
812	05LC	45	98	98	98	0	0	MC4				1.7	1.74	18

Pérdida de carga acumulada del segmento	Δp_t	[Pa]	: 23.65
Velocidad en la sección inicial del segmento	V_m	[m/s]	: 5.8
Velocidad en la sección final del segmento	V_v	[m/s]	: 1.7
Recuperación de presión estática del segmento	Δp_r	[Pa]	: 18.51
Pérdida de carga acumulada del segmento, considerando la recuperación	Δp_{tm}	[Pa]	: 5.35
Pérdida de carga acumulada neta – total acumulado	$\Sigma \Delta p_{tm}$	[Pa]	: 160.09
Desequilibrio del terminal respecto al camino más desfavorable	Δp_{Tmr}	[Pa]	: 37.43

SEGMENTO 207:**Tipo:** Tramo

1 ELEMENTO		2 Caudal Q	3 Diam. D/D _e	4 Ancho A	5 Alto B	6 Long. L	7 $\Delta p/L$	8 Fuente Tab	9 Ashrae X	10 Ashrae Y	11 Coeff. C _o	12 Veloc. V	13 P.Dinám P _v	14 Pérdida Δp_r o Δp_c
N. pz.	Cod.	[m³/h]	[mm]	[mm]	[mm]	[m]	[Pa/m]	n.	-	-	-	[m/s]	[Pa]	[Pa]
2658	11RA	270	133	150	100	0	0	ASH6_26M	0.857		0.014	5	15.05	0.29
765	310R	270	133	150	100	0.6	3.23					5	15.05	1.94

Pérdida de carga acumulada del segmento

 Δp_t [Pa] : 2.23

Velocidad en la sección inicial del segmento

 V_m [m/s] : 5.8

Velocidad en la sección final del segmento

 V_v [m/s] : 5

Recuperación de presión estática del segmento

 Δp_r [Pa] : 5.2

Pérdida de carga acumulada del segmento, considerando la recuperación

 Δp_{tm} [Pa] : -3.2

Pérdida de carga acumulada neta – total acumulado

 $\Sigma \Delta p_{tm}$ [Pa] : 133.54**SEGMENTO 206:****Tipo:** Terminal TRM-46

1 ELEMENTO		2 Caudal Q	3 Diam. D/D _e	4 Ancho A	5 Alto B	6 Long. L	7 $\Delta p/L$	8 Fuente Tab	9 Ashrae X	10 Ashrae Y	11 Coeff. C _o	12 Veloc. V	13 P.Dinám P _v	14 Pérdida Δp_r o Δp_c
N. pz.	Cod.	[m³/h]	[mm]	[mm]	[mm]	[m]	[Pa/m]	n.	-	-	-	[m/s]	[Pa]	[Pa]
2660	11RA	45	98	98	98	0	0	ASH6_26	0.167	0.332	1.050	1.7	1.74	15.79
801	310C	45	98	98	98	0.07	0.57					1.7	1.74	0.04
803	079C	45	98	98	98	0	0	3.1	1.520		0.046	1.7	1.74	0.07
2682	273C	45	75	0	0	0.02	0	5.1	30.000	1.710	0.050	2.8	4.72	0.24
804	310C	45	75	0	0	0.3	2.03					2.8	4.72	0.61
2681	023C	45	75	0	0	0.02	0	4.1	30.000	1.710	0.320	2.8	4.72	1.54
806	05LC	45	98	98	98	0	0	MC4				1.7	1.74	18

Pérdida de carga acumulada del segmento

 Δp_t [Pa] : 18.29

Velocidad en la sección inicial del segmento

 V_m [m/s] : 5

Velocidad en la sección final del segmento

 V_v [m/s] : 1.7

Recuperación de presión estática del segmento

 Δp_r [Pa] : 13.31

Pérdida de carga acumulada del segmento, considerando la recuperación

 Δp_{tm} [Pa] : 5.42

Pérdida de carga acumulada neta – total acumulado

 $\Sigma \Delta p_{tm}$ [Pa] : 156.96

Desequilibrio del terminal respecto al camino más desfavorable

 Δp_{Tmr} [Pa] : 40.56**SEGMENTO 205:****Tipo:** Tramo

1 ELEMENTO		2 Caudal Q	3 Diam. D/D _e	4 Ancho A	5 Alto B	6 Long. L	7 $\Delta p/L$	8 Fuente Tab	9 Ashrae X	10 Ashrae Y	11 Coeff. C _o	12 Veloc. V	13 P.Dinám P _v	14 Pérdida Δp_r o Δp_c
N. pz.	Cod.	[m³/h]	[mm]	[mm]	[mm]	[m]	[Pa/m]	n.	-	-	-	[m/s]	[Pa]	[Pa]
2661	11RA	225	133	150	100	0	0	ASH6_26M	0.833		0.017	4.2	10.62	0.25
766	310R	225	133	150	100	0.6	2.3					4.2	10.62	1.38

Pérdida de carga acumulada del segmento

 Δp_t [Pa] : 1.64

Velocidad en la sección inicial del segmento

 V_m [m/s] : 5

Velocidad en la sección final del segmento

 V_v [m/s] : 4.2

Recuperación de presión estática del segmento

 Δp_r [Pa] : 4.43

Pérdida de carga acumulada del segmento, considerando la recuperación
Pérdida de carga acumulada neta – total acumulado

Δp_{tm} [Pa] : -2.96
 $\Sigma \Delta p_{tm}$ [Pa] : 130.58

SEGMENTO 204:

Tipo: Terminal TRM-46

1 ELEMENTO		2 Caudal Q	3 Diam. D/D _e	4 Ancho A	5 Alto B	6 Long. L	7 $\Delta p/L$	8 Fuente Tab	9 Ashrae X	10 Ashrae Y	11 Coeff. C _o	12 Veloc. V	13 P.Dinám P _v	14 Pérdida Δp_r o Δp_c
N. pz.	Cod.	[m³/h]	[mm]	[mm]	[mm]	[m]	[Pa/m]	n.	-	-	-	[m/s]	[Pa]	[Pa]
2662	11RA	45	98	98	98	0	0	ASH6_26	0.200	0.398	1.070	1.7	1.74	11.18
795	310C	45	98	98	98	0.07	0.57					1.7	1.74	0.04
797	079C	45	98	98	98	0	0	3.1	1.520		0.046	1.7	1.74	0.07
2680	273C	45	75	0	0	0.02	0	5.1	30.000	1.710	0.050	2.8	4.72	0.24
798	310C	45	75	0	0	0.3	2.03					2.8	4.72	0.61
2679	023C	45	75	0	0	0.02	0	4.1	30.000	1.710	0.320	2.8	4.72	1.54
800	05LC	45	98	98	98	0	0	MC4				1.7	1.74	18

Pérdida de carga acumulada del segmento
Velocidad en la sección inicial del segmento
Velocidad en la sección final del segmento
Recuperación de presión estática del segmento
Pérdida de carga acumulada del segmento, considerando la recuperación
Pérdida de carga acumulada neta – total acumulado
Desequilibrio del terminal respecto al camino más desfavorable

Δp_t [Pa] : 13.69
 V_m [m/s] : 4.2
 V_v [m/s] : 1.7
 Δp_r [Pa] : 8.88
 Δp_{tm} [Pa] : 5.42
 $\Sigma \Delta p_{tm}$ [Pa] : 154
 Δp_{Tmr} [Pa] : 43.53

SEGMENTO 203:

Tipo: Tramo

1 ELEMENTO		2 Caudal Q	3 Diam. D/D _e	4 Ancho A	5 Alto B	6 Long. L	7 $\Delta p/L$	8 Fuente Tab	9 Ashrae X	10 Ashrae Y	11 Coeff. C _o	12 Veloc. V	13 P.Dinám P _v	14 Pérdida Δp_r o Δp_c
N. pz.	Cod.	[m³/h]	[mm]	[mm]	[mm]	[m]	[Pa/m]	n.	-	-	-	[m/s]	[Pa]	[Pa]
2663	11RA	180	133	150	100	0	0	ASH6_26M	0.800		0.020	3.3	6.56	0.21
2666	283R	180	109	100	100	0.14	0	5.1	30.000	1.500	0.050	5	15.05	0.75
767	310R	180	109	100	100	0.6	4.08					5	15.05	2.45

Pérdida de carga acumulada del segmento
Velocidad en la sección inicial del segmento
Velocidad en la sección final del segmento
Recuperación de presión estática del segmento
Pérdida de carga acumulada del segmento, considerando la recuperación
Pérdida de carga acumulada neta – total acumulado

Δp_t [Pa] : 3.41
 V_m [m/s] : 4.2
 V_v [m/s] : 5
 Δp_r [Pa] : -4.43
 Δp_{tm} [Pa] : 8.01
 $\Sigma \Delta p_{tm}$ [Pa] : 138.59

SEGMENTO 202:

Tipo: Terminal TRM-46

1 ELEMENTO		2 Caudal Q	3 Diam. D/D _e	4 Ancho A	5 Alto B	6 Long. L	7 $\Delta p/L$	8 Fuente Tab	9 Ashrae X	10 Ashrae Y	11 Coeff. C _o	12 Veloc. V	13 P.Dinám P _v	14 Pérdida Δp_r o Δp_c
N. pz.	Cod.	[m³/h]	[mm]	[mm]	[mm]	[m]	[Pa/m]	n.	-	-	-	[m/s]	[Pa]	[Pa]
2664	11RA	45	98	98	98	0	0	ASH6_26	0.250	0.332	1.080	1.7	1.74	16.18
789	310C	45	98	98	98	0.07	0.57					1.7	1.74	0.04
791	079C	45	98	98	98	0	0	3.1	1.520		0.046	1.7	1.74	0.07
2678	273C	45	75	0	0	0.02	0	5.1	30.000	1.710	0.050	2.8	4.72	0.24
792	310C	45	75	0	0	0.3	2.03					2.8	4.72	0.61

2677	023C	45	75	0	0	0.02	0	4.1	30.000	1.710	0.320	2.8	4.72	1.54
794	05LC	45	98	98	98	0	0	MC4				1.7	1.74	18

Pérdida de carga acumulada del segmento	Δp_t	[Pa]	: 18.68
Velocidad en la sección inicial del segmento	V_m	[m/s]	: 5
Velocidad en la sección final del segmento	V_v	[m/s]	: 1.7
Recuperación de presión estática del segmento	Δp_r	[Pa]	: 13.31
Pérdida de carga acumulada del segmento, considerando la recuperación	Δp_{tm}	[Pa]	: 5.82
Pérdida de carga acumulada neta – total acumulado	$\Sigma \Delta p_{tm}$	[Pa]	: 162.41
Desequilibrio del terminal respecto al camino más desfavorable	Δp_{Tmr}	[Pa]	: 35.12

SEGMENTO 201:

Tipo: Tramo

1 ELEMENTO		2 Caudal Q	3 Diam. D/D _e	4 Ancho A	5 Alto B	6 Long. L	7 $\Delta p/L$	8 Fuente Tab	9 Ashrae X	10 Ashrae Y	11 Coeff. C _o	12 Veloc. V	13 P.Dinám P _v	14 Pérdida Δp_r o Δp_e
N. pz.	Cod.	[m³/h]	[mm]	[mm]	[mm]	[m]	[Pa/m]	n.	-	-	-	[m/s]	[Pa]	[Pa]
2665	11RA	135	109	100	100	0	0	ASH6_26M	0.750		0.030	3.7	8.24	0.45
768	310R	135	109	100	100	0.6	2.4					3.7	8.24	1.44

Pérdida de carga acumulada del segmento	Δp_t	[Pa]	: 1.89
Velocidad en la sección inicial del segmento	V_m	[m/s]	: 5
Velocidad en la sección final del segmento	V_v	[m/s]	: 3.7
Recuperación de presión estática del segmento	Δp_r	[Pa]	: 6.81
Pérdida de carga acumulada del segmento, considerando la recuperación	Δp_{tm}	[Pa]	: -4.69
Pérdida de carga acumulada neta – total acumulado	$\Sigma \Delta p_{tm}$	[Pa]	: 133.9

SEGMENTO 200:

Tipo: Terminal TRM-46

1 ELEMENTO		2 Caudal Q	3 Diam. D/D _e	4 Ancho A	5 Alto B	6 Long. L	7 $\Delta p/L$	8 Fuente Tab	9 Ashrae X	10 Ashrae Y	11 Coeff. C _o	12 Veloc. V	13 P.Dinám P _v	14 Pérdida Δp_r o Δp_e
N. pz.	Cod.	[m³/h]	[mm]	[mm]	[mm]	[m]	[Pa/m]	n.	-	-	-	[m/s]	[Pa]	[Pa]
2667	11RA	45	98	98	98	0	0	ASH6_26	0.333	0.442	1.100	1.7	1.74	9.28
783	310C	45	98	98	98	0.07	0.57					1.7	1.74	0.04
785	079C	45	98	98	98	0	0	3.1	1.520		0.046	1.7	1.74	0.07
2676	273C	45	75	0	0	0.02	0	5.1	30.000	1.710	0.050	2.8	4.72	0.24
786	310C	45	75	0	0	0.3	2.03					2.8	4.72	0.61
2675	023C	45	75	0	0	0.02	0	4.1	30.000	1.710	0.320	2.8	4.72	1.54
788	05LC	45	98	98	98	0	0	MC4				1.7	1.74	18

Pérdida de carga acumulada del segmento	Δp_t	[Pa]	: 11.79
Velocidad en la sección inicial del segmento	V_m	[m/s]	: 3.7
Velocidad en la sección final del segmento	V_v	[m/s]	: 1.7
Recuperación de presión estática del segmento	Δp_r	[Pa]	: 6.5
Pérdida de carga acumulada del segmento, considerando la recuperación	Δp_{tm}	[Pa]	: 5.51
Pérdida de carga acumulada neta – total acumulado	$\Sigma \Delta p_{tm}$	[Pa]	: 157.41
Desequilibrio del terminal respecto al camino más desfavorable	Δp_{Tmr}	[Pa]	: 40.12

SEGMENTO 199:

Tipo: Tramo

1	2	3	4	5	6	7	8	9	10	11	12	13	14
---	---	---	---	---	---	---	---	---	----	----	----	----	----

ELEMENTO		Caudal Q	Diam. D/D _e	Ancho A	Alto B	Long. L	$\Delta p/L$	Fuente Tab	Ashrae X	Ashrae Y	Coeff. C _o	Veloc. V	P.Dinám P _v	Pérdida Δp_r o Δp_c
N. pz.	Cod.	[m³/h]	[mm]	[mm]	[mm]	[m]	[Pa/m]	n.	-	-	-	[m/s]	[Pa]	[Pa]
2668	11RA	90	109	100	100	0	0	ASH6_26M	0.667		0.047	2.5	3.76	0.4
769	310R	90	109	100	100	0.6	1.13					2.5	3.76	0.68

Pérdida de carga acumulada del segmento	Δp_t	[Pa]	: 1.07
Velocidad en la sección inicial del segmento	V_m	[m/s]	: 3.7
Velocidad en la sección final del segmento	V_v	[m/s]	: 2.5
Recuperación de presión estática del segmento	Δp_r	[Pa]	: 4.48
Pérdida de carga acumulada del segmento, considerando la recuperación	Δp_{tm}	[Pa]	: -3.63
Pérdida de carga acumulada neta – total acumulado	$\Sigma \Delta p_{tm}$	[Pa]	: 130.27

SEGMENTO 198:

Tipo: Terminal TRM-46

1 ELEMENTO		2 Caudal Q	3 Diam. D/D _e	4 Ancho A	5 Alto B	6 Long. L	7 $\Delta p/L$	8 Fuente Tab	9 Ashrae X	10 Ashrae Y	11 Coeff. C _o	12 Veloc. V	13 P.Dinám P _v	14 Pérdida Δp_r o Δp_c
N. pz.	Cod.	[m³/h]	[mm]	[mm]	[mm]	[m]	[Pa/m]	n.	-	-	-	[m/s]	[Pa]	[Pa]
2669	11RA	45	98	98	98	0	0	ASH6_26	0.500	0.663	1.260	1.7	1.74	4.74
777	310C	45	98	98	98	0.07	0.57					1.7	1.74	0.04
779	079C	45	98	98	98	0	0	3.1	1.520		0.046	1.7	1.74	0.07
2674	273C	45	75	0	0	0.02	0	5.1	30.000	1.710	0.050	2.8	4.72	0.24
780	310C	45	75	0	0	0.3	2.03					2.8	4.72	0.61
2673	023C	45	75	0	0	0.02	0	4.1	30.000	1.710	0.320	2.8	4.72	1.54
782	05LC	45	98	98	98	0	0	MC4				1.7	1.74	18

Pérdida de carga acumulada del segmento	Δp_t	[Pa]	: 7.25
Velocidad en la sección inicial del segmento	V_m	[m/s]	: 2.5
Velocidad en la sección final del segmento	V_v	[m/s]	: 1.7
Recuperación de presión estática del segmento	Δp_r	[Pa]	: 2.02
Pérdida de carga acumulada del segmento, considerando la recuperación	Δp_{tm}	[Pa]	: 5.67
Pérdida de carga acumulada neta – total acumulado	$\Sigma \Delta p_{tm}$	[Pa]	: 153.94
Desequilibrio del terminal respecto al camino más desfavorable	Δp_{Tmr}	[Pa]	: 43.59

SEGMENTO 197:

Tipo: Terminal TRM-46

1 ELEMENTO		2 Caudal Q	3 Diam. D/D _e	4 Ancho A	5 Alto B	6 Long. L	7 $\Delta p/L$	8 Fuente Tab	9 Ashrae X	10 Ashrae Y	11 Coeff. C _o	12 Veloc. V	13 P.Dinám P _v	14 Pérdida Δp_r o Δp_c
N. pz.	Cod.	[m³/h]	[mm]	[mm]	[mm]	[m]	[Pa/m]	n.	-	-	-	[m/s]	[Pa]	[Pa]
2670	11RA	45	109	100	100	0	0	ASH6_26M	0.500		0.090	1.2	0.87	0.34
770	310R	45	109	100	100	0.6	0.32					1.2	0.87	0.19
761	11RAT	45	109	100	100	0	0	2_6	1.000	0.917	2.800	1.2	0.87	4.63
771	310C	45	98	98	98	0.07	0.57					1.7	1.74	0.04
773	079C	45	98	98	98	0	0	3.1	1.520		0.046	1.7	1.74	0.07
2672	023C	45	98	98	98	0	0	4.1	30.000	1.040	0.320	1.7	1.74	0.53
774	310C	45	100	0	0	0.3	0.5					1.6	1.54	0.15
2671	273C	45	98	98	98	0	0	5.1	30.000	1.040	0.050	1.7	1.74	0.08
776	05LC	45	98	98	98	0	0	MC4				1.7	1.74	18

Pérdida de carga acumulada del segmento	Δp_t	[Pa]	: 6.04
Velocidad en la sección inicial del segmento	V_m	[m/s]	: 2.5
Velocidad en la sección final del segmento	V_v	[m/s]	: 1.7
Recuperación de presión estática del segmento	Δp_r	[Pa]	: 2.02

Pérdida de carga acumulada del segmento, considerando la recuperación
 Pérdida de carga acumulada neta – total acumulado
 Desequilibrio del terminal respecto al camino más desfavorable

Δp_{tm} [Pa] : 3.93
 $\Sigma \Delta p_{tm}$ [Pa] : 152.2
 Δp_{Tmr} [Pa] : 45.33

SEGMENTO 235:

Tipo: Tramo

1 ELEMENTO		2 Caudal Q	3 Diam. D/D _e	4 Ancho A	5 Alto B	6 Long. L	7 $\Delta p/L$	8 Fuente Tab	9 Ashrae X	10 Ashrae Y	11 Coeff. C _o	12 Veloc. V	13 P.Dinám P _v	14 Pérdida Δp_r o Δp_c
N. pz.	Cod.	[m³/h]	[mm]	[mm]	[mm]	[m]	[Pa/m]	n.	-	-	-	[m/s]	[Pa]	[Pa]
2648	3736	8100	732	750	600	0	0	MC4	0.900		0.072	5	15.05	1.08
2732	283R	8100	700	750	550	0.19	0	5.1	30.000	1.090	0.050	5.5	18.21	6.5
903	310R	8100	700	750	550	1	0.49					5.5	18.21	0.49

Pérdida de carga acumulada del segmento
 Velocidad en la sección inicial del segmento
 Velocidad en la sección final del segmento
 Recuperación de presión estática del segmento
 Pérdida de carga acumulada del segmento, considerando la recuperación
 Pérdida de carga acumulada neta – total acumulado

Δp_t [Pa] : 8.07
 V_m [m/s] : 5
 V_v [m/s] : 4.5
 Δp_r [Pa] : 2.86
 Δp_{tm} [Pa] : 6.11
 $\Sigma \Delta p_{tm}$ [Pa] : 112.45

SEGMENTO 255:

Tipo: Tramo

1 ELEMENTO		2 Caudal Q	3 Diam. D/D _e	4 Ancho A	5 Alto B	6 Long. L	7 $\Delta p/L$	8 Fuente Tab	9 Ashrae X	10 Ashrae Y	11 Coeff. C _o	12 Veloc. V	13 P.Dinám P _v	14 Pérdida Δp_r o Δp_c
N. pz.	Cod.	[m³/h]	[mm]	[mm]	[mm]	[m]	[Pa/m]	n.	-	-	-	[m/s]	[Pa]	[Pa]
2730	3736	450	299	150	550	0	0	MC4	0.056	0.200	6.090	1.5	1.35	8.22
2777	283R	450	164	150	150	0.79	0	5.1	30.000	3.670	0.042	5.6	18.88	0.81
978	310R	450	164	150	150	1.1	2.95					5.6	18.88	3.25

Pérdida de carga acumulada del segmento
 Velocidad en la sección inicial del segmento
 Velocidad en la sección final del segmento
 Recuperación de presión estática del segmento
 Pérdida de carga acumulada del segmento, considerando la recuperación
 Pérdida de carga acumulada neta – total acumulado

Δp_t [Pa] : 12.28
 V_m [m/s] : 4.5
 V_v [m/s] : 3.3
 Δp_r [Pa] : 5.63
 Δp_{tm} [Pa] : 7.7
 $\Sigma \Delta p_{tm}$ [Pa] : 120.16

SEGMENTO 273:

Tipo: Terminal TRM-18

1 ELEMENTO		2 Caudal Q	3 Diam. D/D _e	4 Ancho A	5 Alto B	6 Long. L	7 $\Delta p/L$	8 Fuente Tab	9 Ashrae X	10 Ashrae Y	11 Coeff. C _o	12 Veloc. V	13 P.Dinám P _v	14 Pérdida Δp_r o Δp_c
N. pz.	Cod.	[m³/h]	[mm]	[mm]	[mm]	[m]	[Pa/m]	n.	-	-	-	[m/s]	[Pa]	[Pa]
2775	11RA	45	98	98	98	0	0	ASH6_26	0.100	0.298	1.070	1.7	1.74	7.18
1044	310C	45	98	98	98	0.07	0.57					1.7	1.74	0.04
1046	079C	45	98	98	98	0	0	3.1	1.520		0.046	1.7	1.74	0.07
2813	273C	45	75	0	0	0.02	0	5.1	30.000	1.710	0.050	2.8	4.72	0.24
1047	310C	45	75	0	0	0.3	2.03					2.8	4.72	0.61
2812	023C	45	75	0	0	0.02	0	4.1	30.000	1.710	0.320	2.8	4.72	1.54
1049	05LC	45	98	98	98	0	0	MC4				1.7	1.74	18

Pérdida de carga acumulada del segmento

Δp_t [Pa] : 9.68

Velocidad en la sección inicial del segmento	V_m	[m/s]	: 3.3
Velocidad en la sección final del segmento	V_v	[m/s]	: 1.7
Recuperación de presión estática del segmento	Δp_r	[Pa]	: 4.82
Pérdida de carga acumulada del segmento, considerando la recuperación	Δp_{tn}	[Pa]	: 5.18
Pérdida de carga acumulada neta – total acumulado	$\Sigma \Delta p_{tn}$	[Pa]	: 143.33
Desequilibrio del terminal respecto al camino más desfavorable	Δp_{Tmr}	[Pa]	: 54.19

SEGMENTO 272:

Tipo: Tramo

1 ELEMENTO		2 Caudal Q	3 Diam. D/D _e	4 Ancho A	5 Alto B	6 Long. L	7 $\Delta p/L$	8 Fuente Tab	9 Ashrae X	10 Ashrae Y	11 Coeff. C _o	12 Veloc. V	13 P.Dinám P _v	14 Pérdida Δp_r o Δp_e
N. pz.	Cod.	[m³/h]	[mm]	[mm]	[mm]	[m]	[Pa/m]	n.	-	-	-	[m/s]	[Pa]	[Pa]
2776	11RA	405	164	150	150	0	0	ASH6_26M	0.900		0.010	5	15.05	0.07
981	310R	405	164	150	150	0.6	2.43					5	15.05	1.46

Pérdida de carga acumulada del segmento	Δp_t	[Pa]	: 1.52
Velocidad en la sección inicial del segmento	V_m	[m/s]	: 3.3
Velocidad en la sección final del segmento	V_v	[m/s]	: 3
Recuperación de presión estática del segmento	Δp_r	[Pa]	: 1.14
Pérdida de carga acumulada del segmento, considerando la recuperación	Δp_{tn}	[Pa]	: 1.76
Pérdida de carga acumulada neta – total acumulado	$\Sigma \Delta p_{tn}$	[Pa]	: 121.91

SEGMENTO 271:

Tipo: Terminal TRM-19

1 ELEMENTO		2 Caudal Q	3 Diam. D/D _e	4 Ancho A	5 Alto B	6 Long. L	7 $\Delta p/L$	8 Fuente Tab	9 Ashrae X	10 Ashrae Y	11 Coeff. C _o	12 Veloc. V	13 P.Dinám P _v	14 Pérdida Δp_r o Δp_e
N. pz.	Cod.	[m³/h]	[mm]	[mm]	[mm]	[m]	[Pa/m]	n.	-	-	-	[m/s]	[Pa]	[Pa]
2778	11RA	45	98	98	98	0	0	ASH6_26	0.111	0.332	1.110	1.7	1.74	6
1038	310C	45	98	98	98	0.07	0.57					1.7	1.74	0.04
1040	079C	45	98	98	98	0	0	3.1	1.520		0.046	1.7	1.74	0.07
2811	273C	45	75	0	0	0.02	0	5.1	30.000	1.710	0.050	2.8	4.72	0.24
1041	310C	45	75	0	0	0.3	2.03					2.8	4.72	0.61
2810	023C	45	75	0	0	0.02	0	4.1	30.000	1.710	0.320	2.8	4.72	1.54
1043	05LC	45	98	98	98	0	0	MC4				1.7	1.74	18

Pérdida de carga acumulada del segmento	Δp_t	[Pa]	: 8.51
Velocidad en la sección inicial del segmento	V_m	[m/s]	: 3
Velocidad en la sección final del segmento	V_v	[m/s]	: 1.7
Recuperación de presión estática del segmento	Δp_r	[Pa]	: 3.68
Pérdida de carga acumulada del segmento, considerando la recuperación	Δp_{tn}	[Pa]	: 5.27
Pérdida de carga acumulada neta – total acumulado	$\Sigma \Delta p_{tn}$	[Pa]	: 145.18
Desequilibrio del terminal respecto al camino más desfavorable	Δp_{Tmr}	[Pa]	: 52.34

SEGMENTO 270:

Tipo: Tramo

1 ELEMENTO		2 Caudal Q	3 Diam. D/D _e	4 Ancho A	5 Alto B	6 Long. L	7 $\Delta p/L$	8 Fuente Tab	9 Ashrae X	10 Ashrae Y	11 Coeff. C _o	12 Veloc. V	13 P.Dinám P _v	14 Pérdida Δp_r o Δp_e
N. pz.	Cod.	[m³/h]	[mm]	[mm]	[mm]	[m]	[Pa/m]	n.	-	-	-	[m/s]	[Pa]	[Pa]
2779	11RA	360	164	150	150	0	0	ASH6_	0.889		0.011	4.4	11.65	0.06

								26M						
982	310R	360	164	150	150	0.6	1.95					4.4	11.65	1.17

Pérdida de carga acumulada del segmento	Δp_t	[Pa]	: 1.23
Velocidad en la sección inicial del segmento	V_m	[m/s]	: 3
Velocidad en la sección final del segmento	V_v	[m/s]	: 2.7
Recuperación de presión estática del segmento	Δp_r	[Pa]	: 1.03
Pérdida de carga acumulada del segmento, considerando la recuperación	Δp_{tm}	[Pa]	: 1.28
Pérdida de carga acumulada neta – total acumulado	$\Sigma \Delta p_{tm}$	[Pa]	: 123.19

SEGMENTO 269:

Tipo: Terminal TRM-20

1 ELEMENTO		2 Caudal Q	3 Diam. D/D _e	4 Ancho A	5 Alto B	6 Long. L	7 $\Delta p/L$	8 Fuente Tab	9 Ashrae X	10 Ashrae Y	11 Coeff. C _o	12 Veloc. V	13 P.Dinám P _v	14 Pérdida Δp_r o Δp_e
N. pz.	Cod.	[m³/h]	[mm]	[mm]	[mm]	[m]	[Pa/m]	n.	-	-	-	[m/s]	[Pa]	[Pa]
2780	11RA	45	98	98	98	0	0	ASH6_26	0.125	0.373	1.140	1.7	1.74	4.88
1032	310C	45	98	98	98	0.07	0.57					1.7	1.74	0.04
1034	079C	45	98	98	98	0	0	3.1	1.520		0.046	1.7	1.74	0.07
2809	273C	45	75	0	0	0.02	0	5.1	30.000	1.710	0.050	2.8	4.72	0.24
1035	310C	45	75	0	0	0.3	2.03					2.8	4.72	0.61
2808	023C	45	75	0	0	0.02	0	4.1	30.000	1.710	0.320	2.8	4.72	1.54
1037	05LC	45	98	98	98	0	0	MC4				1.7	1.74	18

Pérdida de carga acumulada del segmento	Δp_t	[Pa]	: 7.38
Velocidad en la sección inicial del segmento	V_m	[m/s]	: 2.7
Velocidad en la sección final del segmento	V_v	[m/s]	: 1.7
Recuperación de presión estática del segmento	Δp_r	[Pa]	: 2.65
Pérdida de carga acumulada del segmento, considerando la recuperación	Δp_{tm}	[Pa]	: 5.28
Pérdida de carga acumulada neta – total acumulado	$\Sigma \Delta p_{tm}$	[Pa]	: 146.48
Desequilibrio del terminal respecto al camino más desfavorable	Δp_{Tmr}	[Pa]	: 51.05

SEGMENTO 268:

Tipo: Tramo

1 ELEMENTO		2 Caudal Q	3 Diam. D/D _e	4 Ancho A	5 Alto B	6 Long. L	7 $\Delta p/L$	8 Fuente Tab	9 Ashrae X	10 Ashrae Y	11 Coeff. C _o	12 Veloc. V	13 P.Dinám P _v	14 Pérdida Δp_r o Δp_e
N. pz.	Cod.	[m³/h]	[mm]	[mm]	[mm]	[m]	[Pa/m]	n.	-	-	-	[m/s]	[Pa]	[Pa]
2781	11RA	315	164	150	150	0	0	ASH6_26M	0.875		0.012	3.9	9.16	0.05
983	310R	315	164	150	150	0.6	1.52					3.9	9.16	0.91

Pérdida de carga acumulada del segmento	Δp_t	[Pa]	: 0.97
Velocidad en la sección inicial del segmento	V_m	[m/s]	: 2.7
Velocidad en la sección final del segmento	V_v	[m/s]	: 2.3
Recuperación de presión estática del segmento	Δp_r	[Pa]	: 1.2
Pérdida de carga acumulada del segmento, considerando la recuperación	Δp_{tm}	[Pa]	: 0.87
Pérdida de carga acumulada neta – total acumulado	$\Sigma \Delta p_{tm}$	[Pa]	: 124.06

SEGMENTO 267:

Tipo: Terminal TRM-21

1 ELEMENTO	2 Caudal	3 Diam.	4 Ancho	5 Alto	6 Long.	7 $\Delta p/L$	8 Fuente	9 Ashrae	10 Ashrae	11 Coeff.	12 Veloc.	13 P.Dinám	14 Pérdida
---------------	-------------	------------	------------	-----------	------------	-------------------	-------------	-------------	--------------	--------------	--------------	---------------	---------------

1 ELEMENTO		2 Caudal Q	3 Diam. D/D _e	4 Ancho A	5 Alto B	6 Long. L	7 Δp _f /L	8 Fuente Tab	9 Ashrae X	10 Ashrae Y	11 Coeff. C _o	12 Veloc. V	13 P.Dinám P _v	14 Pérdida Δp _f o Δp _c
N. pz.	Cod.	[m³/h]	[mm]	[mm]	[mm]	[m]	[Pa/m]	n.	-	-	-	[m/s]	[Pa]	[Pa]
2782	11RA	45	98	98	98	0	0	ASH6_26	0.143	0.426	1.190	1.7	1.74	3.88
1026	310C	45	98	98	98	0.07	0.57					1.7	1.74	0.04
1028	079C	45	98	98	98	0	0	3.1	1.520		0.046	1.7	1.74	0.07
2807	273C	45	75	0	0	0.02	0	5.1	30.000	1.710	0.050	2.8	4.72	0.24
1029	310C	45	75	0	0	0.3	2.03					2.8	4.72	0.61
2806	023C	45	75	0	0	0.02	0	4.1	30.000	1.710	0.320	2.8	4.72	1.54
1031	05LC	45	98	98	98	0	0	MC4				1.7	1.74	18

Pérdida de carga acumulada del segmento	Δp _t	[Pa]	: 6.39
Velocidad en la sección inicial del segmento	V _m	[m/s]	: 2.3
Velocidad en la sección final del segmento	V _v	[m/s]	: 1.7
Recuperación de presión estática del segmento	Δp _r	[Pa]	: 1.44
Pérdida de carga acumulada del segmento, considerando la recuperación	Δp _{tm}	[Pa]	: 5.29
Pérdida de carga acumulada neta – total acumulado	ΣΔp _{tm}	[Pa]	: 147.36
Desequilibrio del terminal respecto al camino más desfavorable	Δp _{Tmr}	[Pa]	: 50.16

SEGMENTO 266:

Tipo: Tramo

1 ELEMENTO		2 Caudal Q	3 Diam. D/D _e	4 Ancho A	5 Alto B	6 Long. L	7 Δp _f /L	8 Fuente Tab	9 Ashrae X	10 Ashrae Y	11 Coeff. C _o	12 Veloc. V	13 P.Dinám P _v	14 Pérdida Δp _f o Δp _c
N. pz.	Cod.	[m³/h]	[mm]	[mm]	[mm]	[m]	[Pa/m]	n.	-	-	-	[m/s]	[Pa]	[Pa]
2783	11RA	270	164	150	150	0	0	ASH6_26M	0.857		0.014	3.3	6.56	0.05
984	310R	270	164	150	150	0.6	1.15					3.3	6.56	0.69

Pérdida de carga acumulada del segmento	Δp _t	[Pa]	: 0.73
Velocidad en la sección inicial del segmento	V _m	[m/s]	: 2.3
Velocidad en la sección final del segmento	V _v	[m/s]	: 2
Recuperación de presión estática del segmento	Δp _r	[Pa]	: 0.78
Pérdida de carga acumulada del segmento, considerando la recuperación	Δp _{tm}	[Pa]	: 0.53
Pérdida de carga acumulada neta – total acumulado	ΣΔp _{tm}	[Pa]	: 124.6

SEGMENTO 265:

Tipo: Terminal TRM-22

1 ELEMENTO		2 Caudal Q	3 Diam. D/D _e	4 Ancho A	5 Alto B	6 Long. L	7 Δp _f /L	8 Fuente Tab	9 Ashrae X	10 Ashrae Y	11 Coeff. C _o	12 Veloc. V	13 P.Dinám P _v	14 Pérdida Δp _f o Δp _c
N. pz.	Cod.	[m³/h]	[mm]	[mm]	[mm]	[m]	[Pa/m]	n.	-	-	-	[m/s]	[Pa]	[Pa]
2784	11RA	45	98	98	98	0	0	ASH6_26	0.167	0.497	1.280	1.7	1.74	3.08
1020	310C	45	98	98	98	0.07	0.57					1.7	1.74	0.04
1022	079C	45	98	98	98	0	0	3.1	1.520		0.046	1.7	1.74	0.07
2805	273C	45	75	0	0	0.02	0	5.1	30.000	1.710	0.050	2.8	4.72	0.24
1023	310C	45	75	0	0	0.3	2.03					2.8	4.72	0.61
2804	023C	45	75	0	0	0.02	0	4.1	30.000	1.710	0.320	2.8	4.72	1.54
1025	05LC	45	98	98	98	0	0	MC4				1.7	1.74	18

Pérdida de carga acumulada del segmento	Δp _t	[Pa]	: 5.59
Velocidad en la sección inicial del segmento	V _m	[m/s]	: 2
Velocidad en la sección final del segmento	V _v	[m/s]	: 1.7
Recuperación de presión estática del segmento	Δp _r	[Pa]	: 0.67
Pérdida de carga acumulada del segmento, considerando la recuperación	Δp _{tm}	[Pa]	: 5.36
Pérdida de carga acumulada neta – total acumulado	ΣΔp _{tm}	[Pa]	: 147.96

Desequilibrio del terminal respecto al camino más desfavorable

 Δp_{Tmr} [Pa] : 49.57**SEGMENTO 264:****Tipo:** Tramo

1 ELEMENTO		2 Caudal Q	3 Diam. D/D _e	4 Ancho A	5 Alto B	6 Long. L	7 $\Delta p/L$	8 Fuente Tab	9 Ashrae X	10 Ashrae Y	11 Coeff. C _o	12 Veloc. V	13 P.Dinám P _v	14 Pérdida Δp_r o Δp_e
N. pz.	Cod.	[m³/h]	[mm]	[mm]	[mm]	[m]	[Pa/m]	n.	-	-	-	[m/s]	[Pa]	[Pa]
2785	11RA	225	164	150	150	0	0	ASH6_26M	0.833		0.017	2.8	4.72	0.04
985	310R	225	164	150	150	0.6	0.82					2.8	4.72	0.49

Pérdida de carga acumulada del segmento

 Δp_t [Pa] : 0.53

Velocidad en la sección inicial del segmento

 V_m [m/s] : 2

Velocidad en la sección final del segmento

 V_v [m/s] : 3.1

Recuperación de presión estática del segmento

 Δp_r [Pa] : -3.38

Pérdida de carga acumulada del segmento, considerando la recuperación

 Δp_{tn} [Pa] : 4.53

Pérdida de carga acumulada neta – total acumulado

 $\Sigma \Delta p_{tn}$ [Pa] : 129.13**SEGMENTO 263:****Tipo:** Terminal TRM-22

1 ELEMENTO		2 Caudal Q	3 Diam. D/D _e	4 Ancho A	5 Alto B	6 Long. L	7 $\Delta p/L$	8 Fuente Tab	9 Ashrae X	10 Ashrae Y	11 Coeff. C _o	12 Veloc. V	13 P.Dinám P _v	14 Pérdida Δp_r o Δp_e
N. pz.	Cod.	[m³/h]	[mm]	[mm]	[mm]	[m]	[Pa/m]	n.	-	-	-	[m/s]	[Pa]	[Pa]
2786	11RA	45	98	98	98	0	0	ASH6_26	0.200	0.597	1.090	1.7	1.74	6.41
1014	310C	45	98	98	98	0.07	0.57					1.7	1.74	0.04
1016	079C	45	98	98	98	0	0	3.1	1.520		0.046	1.7	1.74	0.07
2803	273C	45	75	0	0	0.02	0	5.1	30.000	1.710	0.050	2.8	4.72	0.24
1017	310C	45	75	0	0	0.3	2.03					2.8	4.72	0.61
2802	023C	45	75	0	0	0.02	0	4.1	30.000	1.710	0.320	2.8	4.72	1.54
1019	05LC	45	98	98	98	0	0	MC4				1.7	1.74	18

Pérdida de carga acumulada del segmento

 Δp_t [Pa] : 8.91

Velocidad en la sección inicial del segmento

 V_m [m/s] : 3.1

Velocidad en la sección final del segmento

 V_v [m/s] : 1.7

Recuperación de presión estática del segmento

 Δp_r [Pa] : 4.05

Pérdida de carga acumulada del segmento, considerando la recuperación

 Δp_{tn} [Pa] : 5.21

Pérdida de carga acumulada neta – total acumulado

 $\Sigma \Delta p_{tn}$ [Pa] : 152.34

Desequilibrio del terminal respecto al camino más desfavorable

 Δp_{Tmr} [Pa] : 45.18**SEGMENTO 262:****Tipo:** Tramo

1 ELEMENTO		2 Caudal Q	3 Diam. D/D _e	4 Ancho A	5 Alto B	6 Long. L	7 $\Delta p/L$	8 Fuente Tab	9 Ashrae X	10 Ashrae Y	11 Coeff. C _o	12 Veloc. V	13 P.Dinám P _v	14 Pérdida Δp_r o Δp_e
N. pz.	Cod.	[m³/h]	[mm]	[mm]	[mm]	[m]	[Pa/m]	n.	-	-	-	[m/s]	[Pa]	[Pa]
2787	11RA	180	164	150	150	0	0	ASH6_26M	0.800		0.020	2.2	2.91	0.12
986	310R	180	164	150	150	0.6	0.55					2.2	2.91	0.33

Pérdida de carga acumulada del segmento

 Δp_t [Pa] : 0.45

Velocidad en la sección inicial del segmento

 V_m [m/s] : 3.1

Velocidad en la sección final del segmento	V_v	[m/s]	: 2.5
Recuperación de presión estática del segmento	Δp_r	[Pa]	: 2.02
Pérdida de carga acumulada del segmento, considerando la recuperación	Δp_{tn}	[Pa]	: -0.35
Pérdida de carga acumulada neta – total acumulado	$\Sigma \Delta p_{tn}$	[Pa]	: 128.77

SEGMENTO 261:

Tipo: Terminal TRM-24

1 ELEMENTO		2 Caudal Q	3 Diam. D/D _e	4 Ancho A	5 Alto B	6 Long. L	7 $\Delta p/L$	8 Fuente Tab	9 Ashrae X	10 Ashrae Y	11 Coeff. C _o	12 Veloc. V	13 P.Dinám P _v	14 Pérdida Δp_r o Δp_e
N. pz.	Cod.	[m³/h]	[mm]	[mm]	[mm]	[m]	[Pa/m]	n.	-	-	-	[m/s]	[Pa]	[Pa]
2788	11RA	45	98	98	98	0	0	ASH6_26	0.250	0.746	1.130	1.7	1.74	4.25
1008	310C	45	98	98	98	0.07	0.57					1.7	1.74	0.04
1010	079C	45	98	98	98	0	0	3.1	1.520		0.046	1.7	1.74	0.07
2801	273C	45	75	0	0	0.02	0	5.1	30.000	1.710	0.050	2.8	4.72	0.24
1011	310C	45	75	0	0	0.3	2.03					2.8	4.72	0.61
2800	023C	45	75	0	0	0.02	0	4.1	30.000	1.710	0.320	2.8	4.72	1.54
1013	05LC	45	98	98	98	0	0	MC4				1.7	1.74	18

Pérdida de carga acumulada del segmento	Δp_t	[Pa]	: 6.76
Velocidad en la sección inicial del segmento	V_m	[m/s]	: 2.5
Velocidad en la sección final del segmento	V_v	[m/s]	: 1.7
Recuperación de presión estática del segmento	Δp_r	[Pa]	: 2.02
Pérdida de carga acumulada del segmento, considerando la recuperación	Δp_{tn}	[Pa]	: 5.17
Pérdida de carga acumulada neta – total acumulado	$\Sigma \Delta p_{tn}$	[Pa]	: 151.95
Desequilibrio del terminal respecto al camino más desfavorable	Δp_{Tmr}	[Pa]	: 45.58

SEGMENTO 260:

Tipo: Tramo

1 ELEMENTO		2 Caudal Q	3 Diam. D/D _e	4 Ancho A	5 Alto B	6 Long. L	7 $\Delta p/L$	8 Fuente Tab	9 Ashrae X	10 Ashrae Y	11 Coeff. C _o	12 Veloc. V	13 P.Dinám P _v	14 Pérdida Δp_r o Δp_e
N. pz.	Cod.	[m³/h]	[mm]	[mm]	[mm]	[m]	[Pa/m]	n.	-	-	-	[m/s]	[Pa]	[Pa]
2789	11RA	135	164	150	150	0	0	ASH6_26M	0.750		0.030	1.7	1.74	0.11
987	310R	135	164	150	150	0.6	0.32					1.7	1.74	0.19

Pérdida de carga acumulada del segmento	Δp_t	[Pa]	: 0.31
Velocidad en la sección inicial del segmento	V_m	[m/s]	: 2.5
Velocidad en la sección final del segmento	V_v	[m/s]	: 2.5
Recuperación de presión estática del segmento	Δp_r	[Pa]	: 0
Pérdida de carga acumulada del segmento, considerando la recuperación	Δp_{tn}	[Pa]	: 1.13
Pérdida de carga acumulada neta – total acumulado	$\Sigma \Delta p_{tn}$	[Pa]	: 129.9

SEGMENTO 259:

Tipo: Terminal TRM-25

1 ELEMENTO		2 Caudal Q	3 Diam. D/D _e	4 Ancho A	5 Alto B	6 Long. L	7 $\Delta p/L$	8 Fuente Tab	9 Ashrae X	10 Ashrae Y	11 Coeff. C _o	12 Veloc. V	13 P.Dinám P _v	14 Pérdida Δp_r o Δp_e
N. pz.	Cod.	[m³/h]	[mm]	[mm]	[mm]	[m]	[Pa/m]	n.	-	-	-	[m/s]	[Pa]	[Pa]
2790	11RA	45	98	98	98	0	0	ASH6_26	0.333	0.995	1.110	1.7	1.74	4.16
1002	310C	45	98	98	98	0.07	0.57					1.7	1.74	0.04
1004	079C	45	98	98	98	0	0	3.1	1.520		0.046	1.7	1.74	0.07

2799	273C	45	75	0	0	0.02	0	5.1	30.000	1.710	0.050	2.8	4.72	0.24
1005	310C	45	75	0	0	0.3	2.03					2.8	4.72	0.61
2798	023C	45	75	0	0	0.02	0	4.1	30.000	1.710	0.320	2.8	4.72	1.54
1007	05LC	45	98	98	98	0	0	MC4				1.7	1.74	18

Pérdida de carga acumulada del segmento	Δp_t	[Pa]	: 6.66
Velocidad en la sección inicial del segmento	V_m	[m/s]	: 2.5
Velocidad en la sección final del segmento	V_v	[m/s]	: 1.7
Recuperación de presión estática del segmento	Δp_r	[Pa]	: 2.02
Pérdida de carga acumulada del segmento, considerando la recuperación	Δp_{tn}	[Pa]	: 5.08
Pérdida de carga acumulada neta – total acumulado	$\Sigma \Delta p_{tn}$	[Pa]	: 152.98
Desequilibrio del terminal respecto al camino más desfavorable	Δp_{Tmr}	[Pa]	: 44.54

SEGMENTO 258:

Tipo: Tramo

1 ELEMENTO		2 Caudal Q	3 Diam. D/D _e	4 Ancho A	5 Alto B	6 Long. L	7 $\Delta p/L$	8 Fuente Tab	9 Ashrae X	10 Ashrae Y	11 Coeff. C _o	12 Veloc. V	13 P.Dinám P _v	14 Pérdida Δp_r o Δp_c
N. pz.	Cod.	[m³/h]	[mm]	[mm]	[mm]	[m]	[Pa/m]	n.	-	-	-	[m/s]	[Pa]	[Pa]
2791	11RA	90	164	150	150	0	0	ASH6_26M	0.667		0.047	1.1	0.73	0.18
988	310R	90	164	150	150	0.6	0.15					1.1	0.73	0.09

Pérdida de carga acumulada del segmento	Δp_t	[Pa]	: 0.27
Velocidad en la sección inicial del segmento	V_m	[m/s]	: 2.5
Velocidad en la sección final del segmento	V_v	[m/s]	: 2.5
Recuperación de presión estática del segmento	Δp_r	[Pa]	: 0
Pérdida de carga acumulada del segmento, considerando la recuperación	Δp_{tn}	[Pa]	: 0.95
Pérdida de carga acumulada neta – total acumulado	$\Sigma \Delta p_{tn}$	[Pa]	: 130.86

SEGMENTO 257:

Tipo: Terminal TRM-26

1 ELEMENTO		2 Caudal Q	3 Diam. D/D _e	4 Ancho A	5 Alto B	6 Long. L	7 $\Delta p/L$	8 Fuente Tab	9 Ashrae X	10 Ashrae Y	11 Coeff. C _o	12 Veloc. V	13 P.Dinám P _v	14 Pérdida Δp_r o Δp_c
N. pz.	Cod.	[m³/h]	[mm]	[mm]	[mm]	[m]	[Pa/m]	n.	-	-	-	[m/s]	[Pa]	[Pa]
2792	11RA	45	98	98	98	0	0	ASH6_26	0.500	1.490	1.260	1.7	1.74	4.74
996	310C	45	98	98	98	0.07	0.57					1.7	1.74	0.04
998	079C	45	98	98	98	0	0	3.1	1.520		0.046	1.7	1.74	0.07
2797	273C	45	75	0	0	0.02	0	5.1	30.000	1.710	0.050	2.8	4.72	0.24
999	310C	45	75	0	0	0.3	2.03					2.8	4.72	0.61
2796	023C	45	75	0	0	0.02	0	4.1	30.000	1.710	0.320	2.8	4.72	1.54
1001	05LC	45	98	98	98	0	0	MC4				1.7	1.74	18

Pérdida de carga acumulada del segmento	Δp_t	[Pa]	: 7.25
Velocidad en la sección inicial del segmento	V_m	[m/s]	: 2.5
Velocidad en la sección final del segmento	V_v	[m/s]	: 1.7
Recuperación de presión estática del segmento	Δp_r	[Pa]	: 2.02
Pérdida de carga acumulada del segmento, considerando la recuperación	Δp_{tn}	[Pa]	: 5.67
Pérdida de carga acumulada neta – total acumulado	$\Sigma \Delta p_{tn}$	[Pa]	: 154.52
Desequilibrio del terminal respecto al camino más desfavorable	Δp_{Tmr}	[Pa]	: 43

SEGMENTO 256:

Tipo: Terminal TRM-27

1 ELEMENTO		2 Caudal Q	3 Diam. D/D _e	4 Ancho A	5 Alto B	6 Long. L	7 $\Delta p/L$	8 Fuente Tab	9 Ashrae X	10 Ashrae Y	11 Coeff. C _o	12 Veloc. V	13 P.Dinám P _v	14 Pérdida Δp_r o Δp_c
N. pz.	Cod.	[m³/h]	[mm]	[mm]	[mm]	[m]	[Pa/m]	n.	-	-	-	[m/s]	[Pa]	[Pa]
2793	11RA	45	164	150	150	0	0	ASH6_26M	0.500		0.090	0.6	0.22	0.34
989	310R	45	164	150	150	0.6	0.05					0.6	0.22	0.03
980	11RAT	45	164	150	150	0	0	2_6	1.000	0.915	2.800	0.6	0.22	0
990	310C	45	98	98	98	0.07	0.57					1.7	1.74	0.04
992	079C	45	98	98	98	0	0	3.1	1.520		0.046	1.7	1.74	0.07
2795	023C	45	98	98	98	0	0	4.1	30.000	1.040	0.320	1.7	1.74	0.53
993	310C	45	100	0	0	0.3	0.5					1.6	1.54	0.15
2794	273C	45	98	98	98	0	0	5.1	30.000	1.040	0.050	1.7	1.74	0.08
995	05LC	45	98	98	98	0	0	MC4				1.7	1.74	18

Pérdida de carga acumulada del segmento	Δp_t	[Pa]	: 1.24
Velocidad en la sección inicial del segmento	V_m	[m/s]	: 2.5
Velocidad en la sección final del segmento	V_v	[m/s]	: 1.7
Recuperación de presión estática del segmento	Δp_r	[Pa]	: 2.02
Pérdida de carga acumulada del segmento, considerando la recuperación	Δp_{tm}	[Pa]	: -0.55
Pérdida de carga acumulada neta – total acumulado	$\Sigma \Delta p_{tm}$	[Pa]	: 148.3
Desequilibrio del terminal respecto al camino más desfavorable	Δp_{Tmr}	[Pa]	: 49.22

SEGMENTO 254:

Tipo: Tramo

1 ELEMENTO		2 Caudal Q	3 Diam. D/D _e	4 Ancho A	5 Alto B	6 Long. L	7 $\Delta p/L$	8 Fuente Tab	9 Ashrae X	10 Ashrae Y	11 Coeff. C _o	12 Veloc. V	13 P.Dinám P _v	14 Pérdida Δp_r o Δp_c
N. pz.	Cod.	[m³/h]	[mm]	[mm]	[mm]	[m]	[Pa/m]	n.	-	-	-	[m/s]	[Pa]	[Pa]
907	3736	450	398	250	550	0	0	MC4	0.056	0.333	23.800	0.9	0.49	11.64
2735	283R	450	210	250	150	0.79	0	5.1	30.000	3.670	0.042	3.3	6.56	0.29
906	310R	450	210	250	150	1.05	0.87					3.3	6.56	0.91

Pérdida de carga acumulada del segmento	Δp_t	[Pa]	: 12.84
Velocidad en la sección inicial del segmento	V_m	[m/s]	: 4.5
Velocidad en la sección final del segmento	V_v	[m/s]	: 3.3
Recuperación de presión estática del segmento	Δp_r	[Pa]	: 5.63
Pérdida de carga acumulada del segmento, considerando la recuperación	Δp_{tm}	[Pa]	: 7.33
Pérdida de carga acumulada neta – total acumulado	$\Sigma \Delta p_{tm}$	[Pa]	: 119.79

SEGMENTO 253:

Tipo: Terminal TRM-46

1 ELEMENTO		2 Caudal Q	3 Diam. D/D _e	4 Ancho A	5 Alto B	6 Long. L	7 $\Delta p/L$	8 Fuente Tab	9 Ashrae X	10 Ashrae Y	11 Coeff. C _o	12 Veloc. V	13 P.Dinám P _v	14 Pérdida Δp_r o Δp_c
N. pz.	Cod.	[m³/h]	[mm]	[mm]	[mm]	[m]	[Pa/m]	n.	-	-	-	[m/s]	[Pa]	[Pa]
2733	11RA	45	98	98	98	0	0	ASH6_26	0.100	0.497	1.070	1.7	1.74	7.18
972	310C	45	98	98	98	0.07	0.57					1.7	1.74	0.04
974	079C	45	98	98	98	0	0	3.1	1.520		0.046	1.7	1.74	0.07
2774	273C	45	75	0	0	0.02	0	5.1	30.000	1.710	0.050	2.8	4.72	0.24
975	310C	45	75	0	0	0.3	2.03					2.8	4.72	0.61
2773	023C	45	75	0	0	0.02	0	4.1	30.000	1.710	0.320	2.8	4.72	1.54
977	05LC	45	98	98	98	0	0	MC4				1.7	1.74	18

Pérdida de carga acumulada del segmento	Δp_t	[Pa]	: 9.68
Velocidad en la sección inicial del segmento	V_m	[m/s]	: 3.3

Velocidad en la sección final del segmento	V_v	[m/s]	: 1.7
Recuperación de presión estática del segmento	Δp_r	[Pa]	: 4.82
Pérdida de carga acumulada del segmento, considerando la recuperación	Δp_{tn}	[Pa]	: 5.18
Pérdida de carga acumulada neta – total acumulado	$\Sigma \Delta p_{tn}$	[Pa]	: 142.96
Desequilibrio del terminal respecto al camino más desfavorable	Δp_{Tmr}	[Pa]	: 54.56

SEGMENTO 252:

Tipo: Tramo

1 ELEMENTO		2 Caudal Q	3 Diam. D/D _e	4 Ancho A	5 Alto B	6 Long. L	7 $\Delta p/L$	8 Fuente Tab	9 Ashrae X	10 Ashrae Y	11 Coeff. C _o	12 Veloc. V	13 P.Dinám P _v	14 Pérdida Δp_r o Δp_c
N. pz.	Cod.	[m³/h]	[mm]	[mm]	[mm]	[m]	[Pa/m]	n.	-	-	-	[m/s]	[Pa]	[Pa]
2734	11RA	405	210	250	150	0	0	ASH6_26M	0.900		0.010	3	5.42	0.07
2738	283R	405	152	200	100	0.19	0	5.1	30.000	1.880	0.050	5.6	18.88	0.95
909	310R	405	152	200	100	0.6	3.53					5.6	18.88	2.12

Pérdida de carga acumulada del segmento	Δp_t	[Pa]	: 3.14
Velocidad en la sección inicial del segmento	V_m	[m/s]	: 3.3
Velocidad en la sección final del segmento	V_v	[m/s]	: 5.6
Recuperación de presión estática del segmento	Δp_r	[Pa]	: -12.32
Pérdida de carga acumulada del segmento, considerando la recuperación	Δp_{tn}	[Pa]	: 15.5
Pérdida de carga acumulada neta – total acumulado	$\Sigma \Delta p_{tn}$	[Pa]	: 135.29

SEGMENTO 251:

Tipo: Terminal TRM-46

1 ELEMENTO		2 Caudal Q	3 Diam. D/D _e	4 Ancho A	5 Alto B	6 Long. L	7 $\Delta p/L$	8 Fuente Tab	9 Ashrae X	10 Ashrae Y	11 Coeff. C _o	12 Veloc. V	13 P.Dinám P _v	14 Pérdida Δp_r o Δp_c
N. pz.	Cod.	[m³/h]	[mm]	[mm]	[mm]	[m]	[Pa/m]	n.	-	-	-	[m/s]	[Pa]	[Pa]
2736	11RA	45	98	98	98	0	0	ASH6_26	0.111	0.295	1.010	1.7	1.74	19.28
966	310C	45	98	98	98	0.07	0.57					1.7	1.74	0.04
968	079C	45	98	98	98	0	0	3.1	1.520		0.046	1.7	1.74	0.07
2772	273C	45	75	0	0	0.02	0	5.1	30.000	1.710	0.050	2.8	4.72	0.24
969	310C	45	75	0	0	0.3	2.03					2.8	4.72	0.61
2771	023C	45	75	0	0	0.02	0	4.1	30.000	1.710	0.320	2.8	4.72	1.54
971	05LC	45	98	98	98	0	0	MC4				1.7	1.74	18

Pérdida de carga acumulada del segmento	Δp_t	[Pa]	: 21.78
Velocidad en la sección inicial del segmento	V_m	[m/s]	: 5.6
Velocidad en la sección final del segmento	V_v	[m/s]	: 1.7
Recuperación de presión estática del segmento	Δp_r	[Pa]	: 17.14
Pérdida de carga acumulada del segmento, considerando la recuperación	Δp_{tn}	[Pa]	: 4.92
Pérdida de carga acumulada neta – total acumulado	$\Sigma \Delta p_{tn}$	[Pa]	: 158.2
Desequilibrio del terminal respecto al camino más desfavorable	Δp_{Tmr}	[Pa]	: 39.32

SEGMENTO 250:

Tipo: Tramo

1 ELEMENTO		2 Caudal Q	3 Diam. D/D _e	4 Ancho A	5 Alto B	6 Long. L	7 $\Delta p/L$	8 Fuente Tab	9 Ashrae X	10 Ashrae Y	11 Coeff. C _o	12 Veloc. V	13 P.Dinám P _v	14 Pérdida Δp_r o Δp_c
N. pz.	Cod.	[m³/h]	[mm]	[mm]	[mm]	[m]	[Pa/m]	n.	-	-	-	[m/s]	[Pa]	[Pa]
2737	11RA	360	152	200	100	0	0	ASH6_26M	0.889		0.011	5	15.05	0.21

910	310R	360	152	200	100	0.6	2.85					5	15.05	1.71
-----	------	-----	-----	-----	-----	-----	------	--	--	--	--	---	-------	------

Pérdida de carga acumulada del segmento	Δp_t	[Pa]	: 1.92
Velocidad en la sección inicial del segmento	V_m	[m/s]	: 5.6
Velocidad en la sección final del segmento	V_v	[m/s]	: 5
Recuperación de presión estática del segmento	Δp_r	[Pa]	: 3.83
Pérdida de carga acumulada del segmento, considerando la recuperación	Δp_{tn}	[Pa]	: -2.08
Pérdida de carga acumulada neta – total acumulado	$\Sigma \Delta p_{tn}$	[Pa]	: 133.21

SEGMENTO 249:

Tipo: Terminal TRM-46

1 ELEMENTO		2 Caudal Q	3 Diam. D/D _e	4 Ancho A	5 Alto B	6 Long. L	7 $\Delta p/L$	8 Fuente Tab	9 Ashrae X	10 Ashrae Y	11 Coeff. C _o	12 Veloc. V	13 P.Dinám P _v	14 Pérdida Δp_r o Δp_c
N. pz.	Cod.	[m³/h]	[mm]	[mm]	[mm]	[m]	[Pa/m]	n.	-	-	-	[m/s]	[Pa]	[Pa]
2739	11RA	45	98	98	98	0	0	ASH6_26	0.125	0.332	1.020	1.7	1.74	15.39
960	310C	45	98	98	98	0.07	0.57					1.7	1.74	0.04
962	079C	45	98	98	98	0	0	3.1	1.520		0.046	1.7	1.74	0.07
2770	273C	45	75	0	0	0.02	0	5.1	30.000	1.710	0.050	2.8	4.72	0.24
963	310C	45	75	0	0	0.3	2.03					2.8	4.72	0.61
2769	023C	45	75	0	0	0.02	0	4.1	30.000	1.710	0.320	2.8	4.72	1.54
965	05LC	45	98	98	98	0	0	MC4				1.7	1.74	18

Pérdida de carga acumulada del segmento	Δp_t	[Pa]	: 17.89
Velocidad en la sección inicial del segmento	V_m	[m/s]	: 5
Velocidad en la sección final del segmento	V_v	[m/s]	: 1.7
Recuperación de presión estática del segmento	Δp_r	[Pa]	: 13.31
Pérdida de carga acumulada del segmento, considerando la recuperación	Δp_{tn}	[Pa]	: 5.03
Pérdida de carga acumulada neta – total acumulado	$\Sigma \Delta p_{tn}$	[Pa]	: 156.23
Desequilibrio del terminal respecto al camino más desfavorable	Δp_{Tmr}	[Pa]	: 41.29

SEGMENTO 248:

Tipo: Tramo

1 ELEMENTO		2 Caudal Q	3 Diam. D/D _e	4 Ancho A	5 Alto B	6 Long. L	7 $\Delta p/L$	8 Fuente Tab	9 Ashrae X	10 Ashrae Y	11 Coeff. C _o	12 Veloc. V	13 P.Dinám P _v	14 Pérdida Δp_r o Δp_c
N. pz.	Cod.	[m³/h]	[mm]	[mm]	[mm]	[m]	[Pa/m]	n.	-	-	-	[m/s]	[Pa]	[Pa]
2740	11RA	315	152	200	100	0	0	ASH6_26M	0.875		0.012	4.4	11.65	0.19
2743	283R	315	133	150	100	0.14	0	5.1	30.000	1.330	0.050	5.8	20.25	1.02
911	310R	315	133	150	100	0.6	4.32					5.8	20.25	2.59

Pérdida de carga acumulada del segmento	Δp_t	[Pa]	: 3.8
Velocidad en la sección inicial del segmento	V_m	[m/s]	: 5
Velocidad en la sección final del segmento	V_v	[m/s]	: 5.8
Recuperación de presión estática del segmento	Δp_r	[Pa]	: -5.2
Pérdida de carga acumulada del segmento, considerando la recuperación	Δp_{tn}	[Pa]	: 9.24
Pérdida de carga acumulada neta – total acumulado	$\Sigma \Delta p_{tn}$	[Pa]	: 142.44

SEGMENTO 247:

Tipo: Terminal TRM-46

1 ELEMENTO	2 Caudal	3 Diam.	4 Ancho	5 Alto	6 Long.	7 $\Delta p/L$	8 Fuente	9 Ashrae	10 Ashrae	11 Coeff.	12 Veloc.	13 P.Dinám	14 Pérdida
---------------	-------------	------------	------------	-----------	------------	-------------------	-------------	-------------	--------------	--------------	--------------	---------------	---------------

1 ELEMENTO		2 Caudal Q	3 Diam. D/D _e	4 Ancho A	5 Alto B	6 Long. L	7 Δp _f /L	8 Fuente Tab	9 Ashrae X	10 Ashrae Y	11 Coeff. C _o	12 Veloc. V	13 P.Dinám P _v	14 Pérdida Δp _f o Δp _e
N. pz.	Cod.	[m³/h]	[mm]	[mm]	[mm]	[m]	[Pa/m]	n.	-	-	-	[m/s]	[Pa]	[Pa]
2741	11RA	45	98	98	98	0	0	ASH6_26	0.143	0.284	1.030	1.7	1.74	21.15
954	310C	45	98	98	98	0.07	0.57					1.7	1.74	0.04
956	079C	45	98	98	98	0	0	3.1	1.520		0.046	1.7	1.74	0.07
2768	273C	45	75	0	0	0.02	0	5.1	30.000	1.710	0.050	2.8	4.72	0.24
957	310C	45	75	0	0	0.3	2.03					2.8	4.72	0.61
2767	023C	45	75	0	0	0.02	0	4.1	30.000	1.710	0.320	2.8	4.72	1.54
959	05LC	45	98	98	98	0	0	MC4				1.7	1.74	18

Pérdida de carga acumulada del segmento	Δp _t	[Pa]	: 23.65
Velocidad en la sección inicial del segmento	V _m	[m/s]	: 5.8
Velocidad en la sección final del segmento	V _v	[m/s]	: 1.7
Recuperación de presión estática del segmento	Δp _r	[Pa]	: 18.51
Pérdida de carga acumulada del segmento, considerando la recuperación	Δp _{tm}	[Pa]	: 5.35
Pérdida de carga acumulada neta – total acumulado	ΣΔp _{tm}	[Pa]	: 165.79
Desequilibrio del terminal respecto al camino más desfavorable	Δp _{Tmr}	[Pa]	: 31.73

SEGMENTO 246:

Tipo: Tramo

1 ELEMENTO		2 Caudal Q	3 Diam. D/D _e	4 Ancho A	5 Alto B	6 Long. L	7 Δp _f /L	8 Fuente Tab	9 Ashrae X	10 Ashrae Y	11 Coeff. C _o	12 Veloc. V	13 P.Dinám P _v	14 Pérdida Δp _f o Δp _e
N. pz.	Cod.	[m³/h]	[mm]	[mm]	[mm]	[m]	[Pa/m]	n.	-	-	-	[m/s]	[Pa]	[Pa]
2742	11RA	270	133	150	100	0	0	ASH6_26M	0.857		0.014	5	15.05	0.29
912	310R	270	133	150	100	0.6	3.23					5	15.05	1.94

Pérdida de carga acumulada del segmento	Δp _t	[Pa]	: 2.23
Velocidad en la sección inicial del segmento	V _m	[m/s]	: 5.8
Velocidad en la sección final del segmento	V _v	[m/s]	: 5
Recuperación de presión estática del segmento	Δp _r	[Pa]	: 5.2
Pérdida de carga acumulada del segmento, considerando la recuperación	Δp _{tm}	[Pa]	: -3.2
Pérdida de carga acumulada neta – total acumulado	ΣΔp _{tm}	[Pa]	: 139.24

SEGMENTO 245:

Tipo: Terminal TRM-46

1 ELEMENTO		2 Caudal Q	3 Diam. D/D _e	4 Ancho A	5 Alto B	6 Long. L	7 Δp _f /L	8 Fuente Tab	9 Ashrae X	10 Ashrae Y	11 Coeff. C _o	12 Veloc. V	13 P.Dinám P _v	14 Pérdida Δp _f o Δp _e
N. pz.	Cod.	[m³/h]	[mm]	[mm]	[mm]	[m]	[Pa/m]	n.	-	-	-	[m/s]	[Pa]	[Pa]
2744	11RA	45	98	98	98	0	0	ASH6_26	0.167	0.332	1.050	1.7	1.74	15.79
948	310C	45	98	98	98	0.07	0.57					1.7	1.74	0.04
950	079C	45	98	98	98	0	0	3.1	1.520		0.046	1.7	1.74	0.07
2766	273C	45	75	0	0	0.02	0	5.1	30.000	1.710	0.050	2.8	4.72	0.24
951	310C	45	75	0	0	0.3	2.03					2.8	4.72	0.61
2765	023C	45	75	0	0	0.02	0	4.1	30.000	1.710	0.320	2.8	4.72	1.54
953	05LC	45	98	98	98	0	0	MC4				1.7	1.74	18

Pérdida de carga acumulada del segmento	Δp _t	[Pa]	: 18.29
Velocidad en la sección inicial del segmento	V _m	[m/s]	: 5
Velocidad en la sección final del segmento	V _v	[m/s]	: 1.7
Recuperación de presión estática del segmento	Δp _r	[Pa]	: 13.31
Pérdida de carga acumulada del segmento, considerando la recuperación	Δp _{tm}	[Pa]	: 5.42
Pérdida de carga acumulada neta – total acumulado	ΣΔp _{tm}	[Pa]	: 162.66

Desequilibrio del terminal respecto al camino más desfavorable

 Δp_{Tmr} [Pa] : 34.86**SEGMENTO 244:****Tipo:** Tramo

1 ELEMENTO		2 Caudal Q	3 Diam. D/D _e	4 Ancho A	5 Alto B	6 Long. L	7 $\Delta p/L$	8 Fuente Tab	9 Ashrae X	10 Ashrae Y	11 Coeff. C _o	12 Veloc. V	13 P.Dinám P _v	14 Pérdida Δp_r o Δp_e
N. pz.	Cod.	[m³/h]	[mm]	[mm]	[mm]	[m]	[Pa/m]	n.	-	-	-	[m/s]	[Pa]	[Pa]
2745	11RA	225	133	150	100	0	0	ASH6_26M	0.833		0.017	4.2	10.62	0.25
913	310R	225	133	150	100	0.6	2.3					4.2	10.62	1.38

Pérdida de carga acumulada del segmento

 Δp_t [Pa] : 1.64

Velocidad en la sección inicial del segmento

 V_m [m/s] : 5

Velocidad en la sección final del segmento

 V_v [m/s] : 4.2

Recuperación de presión estática del segmento

 Δp_r [Pa] : 4.43

Pérdida de carga acumulada del segmento, considerando la recuperación

 Δp_{tn} [Pa] : -2.96

Pérdida de carga acumulada neta – total acumulado

 $\Sigma \Delta p_{tn}$ [Pa] : 136.28**SEGMENTO 243:****Tipo:** Terminal TRM-46

1 ELEMENTO		2 Caudal Q	3 Diam. D/D _e	4 Ancho A	5 Alto B	6 Long. L	7 $\Delta p/L$	8 Fuente Tab	9 Ashrae X	10 Ashrae Y	11 Coeff. C _o	12 Veloc. V	13 P.Dinám P _v	14 Pérdida Δp_r o Δp_e
N. pz.	Cod.	[m³/h]	[mm]	[mm]	[mm]	[m]	[Pa/m]	n.	-	-	-	[m/s]	[Pa]	[Pa]
2746	11RA	45	98	98	98	0	0	ASH6_26	0.200	0.398	1.070	1.7	1.74	11.18
942	310C	45	98	98	98	0.07	0.57					1.7	1.74	0.04
944	079C	45	98	98	98	0	0	3.1	1.520		0.046	1.7	1.74	0.07
2764	273C	45	75	0	0	0.02	0	5.1	30.000	1.710	0.050	2.8	4.72	0.24
945	310C	45	75	0	0	0.3	2.03					2.8	4.72	0.61
2763	023C	45	75	0	0	0.02	0	4.1	30.000	1.710	0.320	2.8	4.72	1.54
947	05LC	45	98	98	98	0	0	MC4				1.7	1.74	18

Pérdida de carga acumulada del segmento

 Δp_t [Pa] : 13.69

Velocidad en la sección inicial del segmento

 V_m [m/s] : 4.2

Velocidad en la sección final del segmento

 V_v [m/s] : 1.7

Recuperación de presión estática del segmento

 Δp_r [Pa] : 8.88

Pérdida de carga acumulada del segmento, considerando la recuperación

 Δp_{tn} [Pa] : 5.42

Pérdida de carga acumulada neta – total acumulado

 $\Sigma \Delta p_{tn}$ [Pa] : 159.69

Desequilibrio del terminal respecto al camino más desfavorable

 Δp_{Tmr} [Pa] : 37.83**SEGMENTO 242:****Tipo:** Tramo

1 ELEMENTO		2 Caudal Q	3 Diam. D/D _e	4 Ancho A	5 Alto B	6 Long. L	7 $\Delta p/L$	8 Fuente Tab	9 Ashrae X	10 Ashrae Y	11 Coeff. C _o	12 Veloc. V	13 P.Dinám P _v	14 Pérdida Δp_r o Δp_e
N. pz.	Cod.	[m³/h]	[mm]	[mm]	[mm]	[m]	[Pa/m]	n.	-	-	-	[m/s]	[Pa]	[Pa]
2747	11RA	180	133	150	100	0	0	ASH6_26M	0.800		0.020	3.3	6.56	0.21
2750	283R	180	109	100	100	0.14	0	5.1	30.000	1.500	0.050	5	15.05	0.75
914	310R	180	109	100	100	0.6	4.08					5	15.05	2.45

Pérdida de carga acumulada del segmento

 Δp_t [Pa] : 3.41

Velocidad en la sección inicial del segmento	V_m	[m/s]	: 4.2
Velocidad en la sección final del segmento	V_v	[m/s]	: 5
Recuperación de presión estática del segmento	Δp_r	[Pa]	: -4.43
Pérdida de carga acumulada del segmento, considerando la recuperación	Δp_{tn}	[Pa]	: 8.01
Pérdida de carga acumulada neta – total acumulado	$\Sigma \Delta p_{tn}$	[Pa]	: 144.29

SEGMENTO 241:

Tipo: Terminal TRM-46

1 ELEMENTO		2 Caudal Q	3 Diam. D/D _e	4 Ancho A	5 Alto B	6 Long. L	7 $\Delta p/L$	8 Fuente Tab	9 Ashrae X	10 Ashrae Y	11 Coeff. C _o	12 Veloc. V	13 P.Dinám P _v	14 Pérdida Δp_r o Δp_c
N. pz.	Cod.	[m³/h]	[mm]	[mm]	[mm]	[m]	[Pa/m]	n.	-	-	-	[m/s]	[Pa]	[Pa]
2748	11RA	45	98	98	98	0	0	ASH6_26	0.250	0.332	1.080	1.7	1.74	16.18
936	310C	45	98	98	98	0.07	0.57					1.7	1.74	0.04
938	079C	45	98	98	98	0	0	3.1	1.520		0.046	1.7	1.74	0.07
2762	273C	45	75	0	0	0.02	0	5.1	30.000	1.710	0.050	2.8	4.72	0.24
939	310C	45	75	0	0	0.3	2.03					2.8	4.72	0.61
2761	023C	45	75	0	0	0.02	0	4.1	30.000	1.710	0.320	2.8	4.72	1.54
941	05LC	45	98	98	98	0	0	MC4				1.7	1.74	18

Pérdida de carga acumulada del segmento	Δp_t	[Pa]	: 18.68
Velocidad en la sección inicial del segmento	V_m	[m/s]	: 5
Velocidad en la sección final del segmento	V_v	[m/s]	: 1.7
Recuperación de presión estática del segmento	Δp_r	[Pa]	: 13.31
Pérdida de carga acumulada del segmento, considerando la recuperación	Δp_{tn}	[Pa]	: 5.82
Pérdida de carga acumulada neta – total acumulado	$\Sigma \Delta p_{tn}$	[Pa]	: 168.11
Desequilibrio del terminal respecto al camino más desfavorable	Δp_{Tmr}	[Pa]	: 29.42

SEGMENTO 240:

Tipo: Tramo

1 ELEMENTO		2 Caudal Q	3 Diam. D/D _e	4 Ancho A	5 Alto B	6 Long. L	7 $\Delta p/L$	8 Fuente Tab	9 Ashrae X	10 Ashrae Y	11 Coeff. C _o	12 Veloc. V	13 P.Dinám P _v	14 Pérdida Δp_r o Δp_c
N. pz.	Cod.	[m³/h]	[mm]	[mm]	[mm]	[m]	[Pa/m]	n.	-	-	-	[m/s]	[Pa]	[Pa]
2749	11RA	135	109	100	100	0	0	ASH6_26M	0.750		0.030	3.7	8.24	0.45
915	310R	135	109	100	100	0.6	2.4					3.7	8.24	1.44

Pérdida de carga acumulada del segmento	Δp_t	[Pa]	: 1.89
Velocidad en la sección inicial del segmento	V_m	[m/s]	: 5
Velocidad en la sección final del segmento	V_v	[m/s]	: 3.7
Recuperación de presión estática del segmento	Δp_r	[Pa]	: 6.81
Pérdida de carga acumulada del segmento, considerando la recuperación	Δp_{tn}	[Pa]	: -4.69
Pérdida de carga acumulada neta – total acumulado	$\Sigma \Delta p_{tn}$	[Pa]	: 139.6

SEGMENTO 239:

Tipo: Terminal TRM-46

1 ELEMENTO		2 Caudal Q	3 Diam. D/D _e	4 Ancho A	5 Alto B	6 Long. L	7 $\Delta p/L$	8 Fuente Tab	9 Ashrae X	10 Ashrae Y	11 Coeff. C _o	12 Veloc. V	13 P.Dinám P _v	14 Pérdida Δp_r o Δp_c
N. pz.	Cod.	[m³/h]	[mm]	[mm]	[mm]	[m]	[Pa/m]	n.	-	-	-	[m/s]	[Pa]	[Pa]
2751	11RA	45	98	98	98	0	0	ASH6_26	0.333	0.442	1.100	1.7	1.74	9.28
930	310C	45	98	98	98	0.07	0.57					1.7	1.74	0.04

932	079C	45	98	98	98	0	0	3.1	1.520		0.046	1.7	1.74	0.07
2760	273C	45	75	0	0	0.02	0	5.1	30.000	1.710	0.050	2.8	4.72	0.24
933	310C	45	75	0	0	0.3	2.03					2.8	4.72	0.61
2759	023C	45	75	0	0	0.02	0	4.1	30.000	1.710	0.320	2.8	4.72	1.54
935	05LC	45	98	98	98	0	0	MC4				1.7	1.74	18

Pérdida de carga acumulada del segmento	Δp_t	[Pa]	: 11.79
Velocidad en la sección inicial del segmento	V_m	[m/s]	: 3.7
Velocidad en la sección final del segmento	V_v	[m/s]	: 1.7
Recuperación de presión estática del segmento	Δp_r	[Pa]	: 6.5
Pérdida de carga acumulada del segmento, considerando la recuperación	Δp_{tn}	[Pa]	: 5.51
Pérdida de carga acumulada neta – total acumulado	$\Sigma \Delta p_{tn}$	[Pa]	: 163.1
Desequilibrio del terminal respecto al camino más desfavorable	Δp_{Tmr}	[Pa]	: 34.42

SEGMENTO 238:

Tipo: Tramo

1 ELEMENTO		2 Caudal Q	3 Diam. D/D _e	4 Ancho A	5 Alto B	6 Long. L	7 $\Delta p/L$	8 Fuente Tab	9 Ashrae X	10 Ashrae Y	11 Coeff. C _o	12 Veloc. V	13 P.Dinám P _v	14 Pérdida Δp_r o Δp_e
N. pz.	Cod.	[m³/h]	[mm]	[mm]	[mm]	[m]	[Pa/m]	n.	-	-	-	[m/s]	[Pa]	[Pa]
2752	11RA	90	109	100	100	0	0	ASH6_26M	0.667		0.047	2.5	3.76	0.4
916	310R	90	109	100	100	0.6	1.13					2.5	3.76	0.68

Pérdida de carga acumulada del segmento	Δp_t	[Pa]	: 1.07
Velocidad en la sección inicial del segmento	V_m	[m/s]	: 3.7
Velocidad en la sección final del segmento	V_v	[m/s]	: 2.5
Recuperación de presión estática del segmento	Δp_r	[Pa]	: 4.48
Pérdida de carga acumulada del segmento, considerando la recuperación	Δp_{tn}	[Pa]	: -3.63
Pérdida de carga acumulada neta – total acumulado	$\Sigma \Delta p_{tn}$	[Pa]	: 135.97

SEGMENTO 237:

Tipo: Terminal TRM-46

1 ELEMENTO		2 Caudal Q	3 Diam. D/D _e	4 Ancho A	5 Alto B	6 Long. L	7 $\Delta p/L$	8 Fuente Tab	9 Ashrae X	10 Ashrae Y	11 Coeff. C _o	12 Veloc. V	13 P.Dinám P _v	14 Pérdida Δp_r o Δp_e
N. pz.	Cod.	[m³/h]	[mm]	[mm]	[mm]	[m]	[Pa/m]	n.	-	-	-	[m/s]	[Pa]	[Pa]
2753	11RA	45	98	98	98	0	0	ASH6_26	0.500	0.663	1.260	1.7	1.74	4.74
924	310C	45	98	98	98	0.07	0.57					1.7	1.74	0.04
926	079C	45	98	98	98	0	0	3.1	1.520		0.046	1.7	1.74	0.07
2758	273C	45	75	0	0	0.02	0	5.1	30.000	1.710	0.050	2.8	4.72	0.24
927	310C	45	75	0	0	0.3	2.03					2.8	4.72	0.61
2757	023C	45	75	0	0	0.02	0	4.1	30.000	1.710	0.320	2.8	4.72	1.54
929	05LC	45	98	98	98	0	0	MC4				1.7	1.74	18

Pérdida de carga acumulada del segmento	Δp_t	[Pa]	: 7.25
Velocidad en la sección inicial del segmento	V_m	[m/s]	: 2.5
Velocidad en la sección final del segmento	V_v	[m/s]	: 1.7
Recuperación de presión estática del segmento	Δp_r	[Pa]	: 2.02
Pérdida de carga acumulada del segmento, considerando la recuperación	Δp_{tn}	[Pa]	: 5.67
Pérdida de carga acumulada neta – total acumulado	$\Sigma \Delta p_{tn}$	[Pa]	: 159.63
Desequilibrio del terminal respecto al camino más desfavorable	Δp_{Tmr}	[Pa]	: 37.89

SEGMENTO 236:

Tipo: Terminal TRM-46

1 ELEMENTO		2 Caudal Q	3 Diam. D/D _e	4 Ancho A	5 Alto B	6 Long. L	7 $\Delta p/L$	8 Fuente Tab	9 Ashrae X	10 Ashrae Y	11 Coeff. C _o	12 Veloc. V	13 P.Dinám P _v	14 Pérdida Δp_r o Δp_c
N. pz.	Cod.	[m³/h]	[mm]	[mm]	[mm]	[m]	[Pa/m]	n.	-	-	-	[m/s]	[Pa]	[Pa]
2754	11RA	45	109	100	100	0	0	ASH6_26M	0.500		0.090	1.2	0.87	0.34
917	310R	45	109	100	100	0.6	0.32					1.2	0.87	0.19
908	11RAT	45	109	100	100	0	0	2_6	1.000	0.917	2.800	1.2	0.87	4.63
918	310C	45	98	98	98	0.07	0.57					1.7	1.74	0.04
920	079C	45	98	98	98	0	0	3.1	1.520		0.046	1.7	1.74	0.07
2756	023C	45	98	98	98	0	0	4.1	30.000	1.040	0.320	1.7	1.74	0.53
921	310C	45	100	0	0	0.3	0.5					1.6	1.54	0.15
2755	273C	45	98	98	98	0	0	5.1	30.000	1.040	0.050	1.7	1.74	0.08
923	05LC	45	98	98	98	0	0	MC4				1.7	1.74	18

Pérdida de carga acumulada del segmento	Δp_t	[Pa] : 6.04
Velocidad en la sección inicial del segmento	V_m	[m/s] : 2.5
Velocidad en la sección final del segmento	V_v	[m/s] : 1.7
Recuperación de presión estática del segmento	Δp_r	[Pa] : 2.02
Pérdida de carga acumulada del segmento, considerando la recuperación	Δp_{tm}	[Pa] : 3.93
Pérdida de carga acumulada neta – total acumulado	$\Sigma \Delta p_{tm}$	[Pa] : 157.9
Desequilibrio del terminal respecto al camino más desfavorable	Δp_{Tmr}	[Pa] : 39.63

SEGMENTO 274:

Tipo: Tramo

1 ELEMENTO		2 Caudal Q	3 Diam. D/D _e	4 Ancho A	5 Alto B	6 Long. L	7 $\Delta p/L$	8 Fuente Tab	9 Ashrae X	10 Ashrae Y	11 Coeff. C _o	12 Veloc. V	13 P.Dinám P _v	14 Pérdida Δp_r o Δp_c
N. pz.	Cod.	[m³/h]	[mm]	[mm]	[mm]	[m]	[Pa/m]	n.	-	-	-	[m/s]	[Pa]	[Pa]
2731	3736	7200	653	650	550	0	0	MC4	1.030		0.060	5.6	18.88	1.14
1050	310R	7200	653	650	550	1	0.55					5.6	18.88	0.55

Pérdida de carga acumulada del segmento	Δp_t	[Pa] : 1.69
Velocidad en la sección inicial del segmento	V_m	[m/s] : 4.5
Velocidad en la sección final del segmento	V_v	[m/s] : 4
Recuperación de presión estática del segmento	Δp_r	[Pa] : 2.56
Pérdida de carga acumulada del segmento, considerando la recuperación	Δp_{tm}	[Pa] : 6.91
Pérdida de carga acumulada neta – total acumulado	$\Sigma \Delta p_{tm}$	[Pa] : 119.36

SEGMENTO 294:

Tipo: Tramo

1 ELEMENTO		2 Caudal Q	3 Diam. D/D _e	4 Ancho A	5 Alto B	6 Long. L	7 $\Delta p/L$	8 Fuente Tab	9 Ashrae X	10 Ashrae Y	11 Coeff. C _o	12 Veloc. V	13 P.Dinám P _v	14 Pérdida Δp_r o Δp_c
N. pz.	Cod.	[m³/h]	[mm]	[mm]	[mm]	[m]	[Pa/m]	n.	-	-	-	[m/s]	[Pa]	[Pa]
2814	3736	450	299	150	550	0	0	MC4	0.063	0.231	4.270	1.5	1.35	5.77
2860	283R	450	164	150	150	0.79	0	5.1	30.000	3.670	0.042	5.6	18.88	0.81
1125	310R	450	164	150	150	1.1	2.95					5.6	18.88	3.25

Pérdida de carga acumulada del segmento	Δp_t	[Pa] : 9.83
Velocidad en la sección inicial del segmento	V_m	[m/s] : 4
Velocidad en la sección final del segmento	V_v	[m/s] : 3.3
Recuperación de presión estática del segmento	Δp_r	[Pa] : 3.08
Pérdida de carga acumulada del segmento, considerando la recuperación	Δp_{tm}	[Pa] : 7.81
Pérdida de carga acumulada neta – total acumulado	$\Sigma \Delta p_{tm}$	[Pa] : 127.18

SEGMENTO 312:**Tipo:** Terminal TRM-18

1 ELEMENTO		2 Caudal Q	3 Diam. D/D _e	4 Ancho A	5 Alto B	6 Long. L	7 $\Delta p/L$	8 Fuente Tab	9 Ashrae X	10 Ashrae Y	11 Coeff. C _o	12 Veloc. V	13 P.Dinám P _v	14 Pérdida Δp_r o Δp_c
N. pz.	Cod.	[m³/h]	[mm]	[mm]	[mm]	[m]	[Pa/m]	n.	-	-	-	[m/s]	[Pa]	[Pa]
2858	11RA	45	98	98	98	0	0	ASH6_26	0.100	0.298	1.070	1.7	1.74	7.18
1191	310C	45	98	98	98	0.07	0.57					1.7	1.74	0.04
1193	079C	45	98	98	98	0	0	3.1	1.520		0.046	1.7	1.74	0.07
2896	273C	45	75	0	0	0.02	0	5.1	30.000	1.710	0.050	2.8	4.72	0.24
1194	310C	45	75	0	0	0.3	2.03					2.8	4.72	0.61
2895	023C	45	75	0	0	0.02	0	4.1	30.000	1.710	0.320	2.8	4.72	1.54
1196	05LC	45	98	98	98	0	0	MC4				1.7	1.74	18

Pérdida de carga acumulada del segmento

 Δp_t [Pa] : 9.68

Velocidad en la sección inicial del segmento

 V_m [m/s] : 3.3

Velocidad en la sección final del segmento

 V_v [m/s] : 1.7

Recuperación de presión estática del segmento

 Δp_r [Pa] : 4.82

Pérdida de carga acumulada del segmento, considerando la recuperación

 Δp_{tm} [Pa] : 5.18

Pérdida de carga acumulada neta – total acumulado

 $\Sigma \Delta p_{tm}$ [Pa] : 150.35

Desequilibrio del terminal respecto al camino más desfavorable

 Δp_{Tmr} [Pa] : 47.17**SEGMENTO 311:****Tipo:** Tramo

1 ELEMENTO		2 Caudal Q	3 Diam. D/D _e	4 Ancho A	5 Alto B	6 Long. L	7 $\Delta p/L$	8 Fuente Tab	9 Ashrae X	10 Ashrae Y	11 Coeff. C _o	12 Veloc. V	13 P.Dinám P _v	14 Pérdida Δp_r o Δp_c
N. pz.	Cod.	[m³/h]	[mm]	[mm]	[mm]	[m]	[Pa/m]	n.	-	-	-	[m/s]	[Pa]	[Pa]
2859	11RA	405	164	150	150	0	0	ASH6_26M	0.900		0.010	5	15.05	0.07
1128	310R	405	164	150	150	0.6	2.43					5	15.05	1.46

Pérdida de carga acumulada del segmento

 Δp_t [Pa] : 1.52

Velocidad en la sección inicial del segmento

 V_m [m/s] : 3.3

Velocidad en la sección final del segmento

 V_v [m/s] : 3

Recuperación de presión estática del segmento

 Δp_r [Pa] : 1.14

Pérdida de carga acumulada del segmento, considerando la recuperación

 Δp_{tm} [Pa] : 1.76

Pérdida de carga acumulada neta – total acumulado

 $\Sigma \Delta p_{tm}$ [Pa] : 128.94**SEGMENTO 310:****Tipo:** Terminal TRM-19

1 ELEMENTO		2 Caudal Q	3 Diam. D/D _e	4 Ancho A	5 Alto B	6 Long. L	7 $\Delta p/L$	8 Fuente Tab	9 Ashrae X	10 Ashrae Y	11 Coeff. C _o	12 Veloc. V	13 P.Dinám P _v	14 Pérdida Δp_r o Δp_c
N. pz.	Cod.	[m³/h]	[mm]	[mm]	[mm]	[m]	[Pa/m]	n.	-	-	-	[m/s]	[Pa]	[Pa]
2861	11RA	45	98	98	98	0	0	ASH6_26	0.111	0.332	1.110	1.7	1.74	6
1185	310C	45	98	98	98	0.07	0.57					1.7	1.74	0.04
1187	079C	45	98	98	98	0	0	3.1	1.520		0.046	1.7	1.74	0.07
2894	273C	45	75	0	0	0.02	0	5.1	30.000	1.710	0.050	2.8	4.72	0.24
1188	310C	45	75	0	0	0.3	2.03					2.8	4.72	0.61
2893	023C	45	75	0	0	0.02	0	4.1	30.000	1.710	0.320	2.8	4.72	1.54
1190	05LC	45	98	98	98	0	0	MC4				1.7	1.74	18

Pérdida de carga acumulada del segmento	Δp_t	[Pa]	: 8.51
Velocidad en la sección inicial del segmento	V_m	[m/s]	: 3
Velocidad en la sección final del segmento	V_v	[m/s]	: 1.7
Recuperación de presión estática del segmento	Δp_r	[Pa]	: 3.68
Pérdida de carga acumulada del segmento, considerando la recuperación	Δp_{tn}	[Pa]	: 5.27
Pérdida de carga acumulada neta – total acumulado	$\Sigma \Delta p_{tn}$	[Pa]	: 152.2
Desequilibrio del terminal respecto al camino más desfavorable	Δp_{Tmr}	[Pa]	: 45.32

SEGMENTO 309:

Tipo: Tramo

1 ELEMENTO		2 Caudal Q	3 Diam. D/D _e	4 Ancho A	5 Alto B	6 Long. L	7 $\Delta p/L$	8 Fuente Tab	9 Ashrae X	10 Ashrae Y	11 Coeff. C _o	12 Veloc. V	13 P.Dinám P _v	14 Pérdida Δp_r o Δp_e
N. pz.	Cod.	[m³/h]	[mm]	[mm]	[mm]	[m]	[Pa/m]	n.	-	-	-	[m/s]	[Pa]	[Pa]
2862	11RA	360	164	150	150	0	0	ASH6_26M	0.889		0.011	4.4	11.65	0.06
1129	310R	360	164	150	150	0.6	1.95					4.4	11.65	1.17

Pérdida de carga acumulada del segmento	Δp_t	[Pa]	: 1.23
Velocidad en la sección inicial del segmento	V_m	[m/s]	: 3
Velocidad en la sección final del segmento	V_v	[m/s]	: 2.7
Recuperación de presión estática del segmento	Δp_r	[Pa]	: 1.03
Pérdida de carga acumulada del segmento, considerando la recuperación	Δp_{tn}	[Pa]	: 1.28
Pérdida de carga acumulada neta – total acumulado	$\Sigma \Delta p_{tn}$	[Pa]	: 130.21

SEGMENTO 308:

Tipo: Terminal TRM-20

1 ELEMENTO		2 Caudal Q	3 Diam. D/D _e	4 Ancho A	5 Alto B	6 Long. L	7 $\Delta p/L$	8 Fuente Tab	9 Ashrae X	10 Ashrae Y	11 Coeff. C _o	12 Veloc. V	13 P.Dinám P _v	14 Pérdida Δp_r o Δp_e
N. pz.	Cod.	[m³/h]	[mm]	[mm]	[mm]	[m]	[Pa/m]	n.	-	-	-	[m/s]	[Pa]	[Pa]
2863	11RA	45	98	98	98	0	0	ASH6_26	0.125	0.373	1.140	1.7	1.74	4.88
1179	310C	45	98	98	98	0.07	0.57					1.7	1.74	0.04
1181	079C	45	98	98	98	0	0	3.1	1.520		0.046	1.7	1.74	0.07
2892	273C	45	75	0	0	0.02	0	5.1	30.000	1.710	0.050	2.8	4.72	0.24
1182	310C	45	75	0	0	0.3	2.03					2.8	4.72	0.61
2891	023C	45	75	0	0	0.02	0	4.1	30.000	1.710	0.320	2.8	4.72	1.54
1184	05LC	45	98	98	98	0	0	MC4				1.7	1.74	18

Pérdida de carga acumulada del segmento	Δp_t	[Pa]	: 7.38
Velocidad en la sección inicial del segmento	V_m	[m/s]	: 2.7
Velocidad en la sección final del segmento	V_v	[m/s]	: 1.7
Recuperación de presión estática del segmento	Δp_r	[Pa]	: 2.65
Pérdida de carga acumulada del segmento, considerando la recuperación	Δp_{tn}	[Pa]	: 5.28
Pérdida de carga acumulada neta – total acumulado	$\Sigma \Delta p_{tn}$	[Pa]	: 153.5
Desequilibrio del terminal respecto al camino más desfavorable	Δp_{Tmr}	[Pa]	: 44.03

SEGMENTO 307:

Tipo: Tramo

1 ELEMENTO		2 Caudal Q	3 Diam. D/D _e	4 Ancho A	5 Alto B	6 Long. L	7 $\Delta p/L$	8 Fuente Tab	9 Ashrae X	10 Ashrae Y	11 Coeff. C _o	12 Veloc. V	13 P.Dinám P _v	14 Pérdida Δp_r o Δp_e
---------------	--	------------------	--------------------------------	-----------------	----------------	-----------------	-------------------	--------------------	------------------	-------------------	--------------------------------	-------------------	---------------------------------	--

N. pz.	Cod.	[m³/h]	[mm]	[mm]	[mm]	[m]	[Pa/m]	n.	-	-	-	[m/s]	[Pa]	[Pa]
2864	11RA	315	164	150	150	0	0	ASH6_26M	0.875		0.012	3.9	9.16	0.05
1130	310R	315	164	150	150	0.6	1.52					3.9	9.16	0.91

Pérdida de carga acumulada del segmento	Δp_t	[Pa]	: 0.97
Velocidad en la sección inicial del segmento	V_m	[m/s]	: 2.7
Velocidad en la sección final del segmento	V_v	[m/s]	: 2.3
Recuperación de presión estática del segmento	Δp_r	[Pa]	: 1.2
Pérdida de carga acumulada del segmento, considerando la recuperación	Δp_{tm}	[Pa]	: 0.87
Pérdida de carga acumulada neta – total acumulado	$\Sigma \Delta p_{tm}$	[Pa]	: 131.09

SEGMENTO 306:

Tipo: Terminal TRM-21

1 ELEMENTO		2 Caudal Q	3 Diam. D/D _e	4 Ancho A	5 Alto B	6 Long. L	7 $\Delta p/L$	8 Fuente Tab	9 Ashrae X	10 Ashrae Y	11 Coeff. C _o	12 Veloc. V	13 P.Dinám P _v	14 Pérdida Δp_r o Δp_c
N. pz.	Cod.	[m³/h]	[mm]	[mm]	[mm]	[m]	[Pa/m]	n.	-	-	-	[m/s]	[Pa]	[Pa]
2865	11RA	45	98	98	98	0	0	ASH6_26	0.143	0.426	1.190	1.7	1.74	3.88
1173	310C	45	98	98	98	0.07	0.57					1.7	1.74	0.04
1175	079C	45	98	98	98	0	0	3.1	1.520		0.046	1.7	1.74	0.07
2890	273C	45	75	0	0	0.02	0	5.1	30.000	1.710	0.050	2.8	4.72	0.24
1176	310C	45	75	0	0	0.3	2.03					2.8	4.72	0.61
2889	023C	45	75	0	0	0.02	0	4.1	30.000	1.710	0.320	2.8	4.72	1.54
1178	05LC	45	98	98	98	0	0	MC4				1.7	1.74	18

Pérdida de carga acumulada del segmento	Δp_t	[Pa]	: 6.39
Velocidad en la sección inicial del segmento	V_m	[m/s]	: 2.3
Velocidad en la sección final del segmento	V_v	[m/s]	: 1.7
Recuperación de presión estática del segmento	Δp_r	[Pa]	: 1.44
Pérdida de carga acumulada del segmento, considerando la recuperación	Δp_{tm}	[Pa]	: 5.29
Pérdida de carga acumulada neta – total acumulado	$\Sigma \Delta p_{tm}$	[Pa]	: 154.38
Desequilibrio del terminal respecto al camino más desfavorable	Δp_{Tmr}	[Pa]	: 43.14

SEGMENTO 305:

Tipo: Tramo

1 ELEMENTO		2 Caudal Q	3 Diam. D/D _e	4 Ancho A	5 Alto B	6 Long. L	7 $\Delta p/L$	8 Fuente Tab	9 Ashrae X	10 Ashrae Y	11 Coeff. C _o	12 Veloc. V	13 P.Dinám P _v	14 Pérdida Δp_r o Δp_c
N. pz.	Cod.	[m³/h]	[mm]	[mm]	[mm]	[m]	[Pa/m]	n.	-	-	-	[m/s]	[Pa]	[Pa]
2866	11RA	270	164	150	150	0	0	ASH6_26M	0.857		0.014	3.3	6.56	0.05
1131	310R	270	164	150	150	0.6	1.15					3.3	6.56	0.69

Pérdida de carga acumulada del segmento	Δp_t	[Pa]	: 0.73
Velocidad en la sección inicial del segmento	V_m	[m/s]	: 2.3
Velocidad en la sección final del segmento	V_v	[m/s]	: 2
Recuperación de presión estática del segmento	Δp_r	[Pa]	: 0.78
Pérdida de carga acumulada del segmento, considerando la recuperación	Δp_{tm}	[Pa]	: 0.53
Pérdida de carga acumulada neta – total acumulado	$\Sigma \Delta p_{tm}$	[Pa]	: 131.62

SEGMENTO 304:

Tipo: Terminal TRM-22

1 ELEMENTO		2 Caudal Q	3 Diam. D/D _e	4 Ancho A	5 Alto B	6 Long. L	7 $\Delta p/L$	8 Fuente Tab	9 Ashrae X	10 Ashrae Y	11 Coeff. C _o	12 Veloc. V	13 P.Dinám P _v	14 Pérdida Δp_r o Δp_e
N. pz.	Cod.	[m³/h]	[mm]	[mm]	[mm]	[m]	[Pa/m]	n.	-	-	-	[m/s]	[Pa]	[Pa]
2867	11RA	45	98	98	98	0	0	ASH6_26	0.167	0.497	1.280	1.7	1.74	3.08
1167	310C	45	98	98	98	0.07	0.57					1.7	1.74	0.04
1169	079C	45	98	98	98	0	0	3.1	1.520		0.046	1.7	1.74	0.07
2888	273C	45	75	0	0	0.02	0	5.1	30.000	1.710	0.050	2.8	4.72	0.24
1170	310C	45	75	0	0	0.3	2.03					2.8	4.72	0.61
2887	023C	45	75	0	0	0.02	0	4.1	30.000	1.710	0.320	2.8	4.72	1.54
1172	05LC	45	98	98	98	0	0	MC4				1.7	1.74	18

Pérdida de carga acumulada del segmento	Δp_t	[Pa] : 5.59
Velocidad en la sección inicial del segmento	V_m	[m/s] : 2
Velocidad en la sección final del segmento	V_v	[m/s] : 1.7
Recuperación de presión estática del segmento	Δp_r	[Pa] : 0.67
Pérdida de carga acumulada del segmento, considerando la recuperación	Δp_{tm}	[Pa] : 5.36
Pérdida de carga acumulada neta – total acumulado	$\Sigma \Delta p_{tm}$	[Pa] : 154.98
Desequilibrio del terminal respecto al camino más desfavorable	Δp_{Tmr}	[Pa] : 42.54

SEGMENTO 303:

Tipo: Tramo

1 ELEMENTO		2 Caudal Q	3 Diam. D/D _e	4 Ancho A	5 Alto B	6 Long. L	7 $\Delta p/L$	8 Fuente Tab	9 Ashrae X	10 Ashrae Y	11 Coeff. C _o	12 Veloc. V	13 P.Dinám P _v	14 Pérdida Δp_r o Δp_e
N. pz.	Cod.	[m³/h]	[mm]	[mm]	[mm]	[m]	[Pa/m]	n.	-	-	-	[m/s]	[Pa]	[Pa]
2868	11RA	225	164	150	150	0	0	ASH6_26M	0.833		0.017	2.8	4.72	0.04
1132	310R	225	164	150	150	0.6	0.82					2.8	4.72	0.49

Pérdida de carga acumulada del segmento	Δp_t	[Pa] : 0.53
Velocidad en la sección inicial del segmento	V_m	[m/s] : 2
Velocidad en la sección final del segmento	V_v	[m/s] : 3.1
Recuperación de presión estática del segmento	Δp_r	[Pa] : -3.38
Pérdida de carga acumulada del segmento, considerando la recuperación	Δp_{tm}	[Pa] : 4.53
Pérdida de carga acumulada neta – total acumulado	$\Sigma \Delta p_{tm}$	[Pa] : 136.15

SEGMENTO 302:

Tipo: Terminal TRM-22

1 ELEMENTO		2 Caudal Q	3 Diam. D/D _e	4 Ancho A	5 Alto B	6 Long. L	7 $\Delta p/L$	8 Fuente Tab	9 Ashrae X	10 Ashrae Y	11 Coeff. C _o	12 Veloc. V	13 P.Dinám P _v	14 Pérdida Δp_r o Δp_e
N. pz.	Cod.	[m³/h]	[mm]	[mm]	[mm]	[m]	[Pa/m]	n.	-	-	-	[m/s]	[Pa]	[Pa]
2869	11RA	45	98	98	98	0	0	ASH6_26	0.200	0.597	1.090	1.7	1.74	6.41
1161	310C	45	98	98	98	0.07	0.57					1.7	1.74	0.04
1163	079C	45	98	98	98	0	0	3.1	1.520		0.046	1.7	1.74	0.07
2886	273C	45	75	0	0	0.02	0	5.1	30.000	1.710	0.050	2.8	4.72	0.24
1164	310C	45	75	0	0	0.3	2.03					2.8	4.72	0.61
2885	023C	45	75	0	0	0.02	0	4.1	30.000	1.710	0.320	2.8	4.72	1.54
1166	05LC	45	98	98	98	0	0	MC4				1.7	1.74	18

Pérdida de carga acumulada del segmento	Δp_t	[Pa] : 8.91
Velocidad en la sección inicial del segmento	V_m	[m/s] : 3.1
Velocidad en la sección final del segmento	V_v	[m/s] : 1.7

Recuperación de presión estática del segmento	Δp_r	[Pa] : 4.05
Pérdida de carga acumulada del segmento, considerando la recuperación	Δp_{tn}	[Pa] : 5.21
Pérdida de carga acumulada neta – total acumulado	$\Sigma \Delta p_{tn}$	[Pa] : 159.36
Desequilibrio del terminal respecto al camino más desfavorable	Δp_{Tmr}	[Pa] : 38.16

SEGMENTO 301:

Tipo: Tramo

1 ELEMENTO		2 Caudal Q	3 Diam. D/D _e	4 Ancho A	5 Alto B	6 Long. L	7 $\Delta p/L$	8 Fuente Tab	9 Ashrae X	10 Ashrae Y	11 Coeff. C _o	12 Veloc. V	13 P.Dinám P _v	14 Pérdida $\Delta p_r \circ \Delta p_c$
N. pz.	Cod.	[m³/h]	[mm]	[mm]	[mm]	[m]	[Pa/m]	n.	-	-	-	[m/s]	[Pa]	[Pa]
2870	11RA	180	164	150	150	0	0	ASH6_26M	0.800		0.020	2.2	2.91	0.12
1133	310R	180	164	150	150	0.6	0.55					2.2	2.91	0.33

Pérdida de carga acumulada del segmento	Δp_t	[Pa] : 0.45
Velocidad en la sección inicial del segmento	V_m	[m/s] : 3.1
Velocidad en la sección final del segmento	V_v	[m/s] : 2.5
Recuperación de presión estática del segmento	Δp_r	[Pa] : 2.02
Pérdida de carga acumulada del segmento, considerando la recuperación	Δp_{tn}	[Pa] : -0.35
Pérdida de carga acumulada neta – total acumulado	$\Sigma \Delta p_{tn}$	[Pa] : 135.79

SEGMENTO 300:

Tipo: Terminal TRM-24

1 ELEMENTO		2 Caudal Q	3 Diam. D/D _e	4 Ancho A	5 Alto B	6 Long. L	7 $\Delta p/L$	8 Fuente Tab	9 Ashrae X	10 Ashrae Y	11 Coeff. C _o	12 Veloc. V	13 P.Dinám P _v	14 Pérdida $\Delta p_r \circ \Delta p_c$
N. pz.	Cod.	[m³/h]	[mm]	[mm]	[mm]	[m]	[Pa/m]	n.	-	-	-	[m/s]	[Pa]	[Pa]
2871	11RA	45	98	98	98	0	0	ASH6_26	0.250	0.746	1.130	1.7	1.74	4.25
1155	310C	45	98	98	98	0.07	0.57					1.7	1.74	0.04
1157	079C	45	98	98	98	0	0	3.1	1.520		0.046	1.7	1.74	0.07
2884	273C	45	75	0	0	0.02	0	5.1	30.000	1.710	0.050	2.8	4.72	0.24
1158	310C	45	75	0	0	0.3	2.03					2.8	4.72	0.61
2883	023C	45	75	0	0	0.02	0	4.1	30.000	1.710	0.320	2.8	4.72	1.54
1160	05LC	45	98	98	98	0	0	MC4				1.7	1.74	18

Pérdida de carga acumulada del segmento	Δp_t	[Pa] : 6.76
Velocidad en la sección inicial del segmento	V_m	[m/s] : 2.5
Velocidad en la sección final del segmento	V_v	[m/s] : 1.7
Recuperación de presión estática del segmento	Δp_r	[Pa] : 2.02
Pérdida de carga acumulada del segmento, considerando la recuperación	Δp_{tn}	[Pa] : 5.17
Pérdida de carga acumulada neta – total acumulado	$\Sigma \Delta p_{tn}$	[Pa] : 158.97
Desequilibrio del terminal respecto al camino más desfavorable	Δp_{Tmr}	[Pa] : 38.56

SEGMENTO 299:

Tipo: Tramo

1 ELEMENTO		2 Caudal Q	3 Diam. D/D _e	4 Ancho A	5 Alto B	6 Long. L	7 $\Delta p/L$	8 Fuente Tab	9 Ashrae X	10 Ashrae Y	11 Coeff. C _o	12 Veloc. V	13 P.Dinám P _v	14 Pérdida $\Delta p_r \circ \Delta p_c$
N. pz.	Cod.	[m³/h]	[mm]	[mm]	[mm]	[m]	[Pa/m]	n.	-	-	-	[m/s]	[Pa]	[Pa]
2872	11RA	135	164	150	150	0	0	ASH6_26M	0.750		0.030	1.7	1.74	0.11
1134	310R	135	164	150	150	0.6	0.32					1.7	1.74	0.19

Pérdida de carga acumulada del segmento	Δp_t	[Pa] : 0.31
Velocidad en la sección inicial del segmento	V_m	[m/s] : 2.5
Velocidad en la sección final del segmento	V_v	[m/s] : 2.5
Recuperación de presión estática del segmento	Δp_r	[Pa] : 0
Pérdida de carga acumulada del segmento, considerando la recuperación	Δp_{tn}	[Pa] : 1.13
Pérdida de carga acumulada neta – total acumulado	$\Sigma \Delta p_{tn}$	[Pa] : 136.92

SEGMENTO 298:

Tipo: Terminal TRM-25

1 ELEMENTO		2 Caudal Q	3 Diam. D/D _e	4 Ancho A	5 Alto B	6 Long. L	7 $\Delta p/L$	8 Fuente Tab	9 Ashrae X	10 Ashrae Y	11 Coeff. C _o	12 Veloc. V	13 P.Dinám P _v	14 Pérdida Δp_r o Δp_e
N. pz.	Cod.	[m³/h]	[mm]	[mm]	[mm]	[m]	[Pa/m]	n.	-	-	-	[m/s]	[Pa]	[Pa]
2873	11RA	45	98	98	98	0	0	ASH6_26	0.333	0.995	1.110	1.7	1.74	4.16
1149	310C	45	98	98	98	0.07	0.57					1.7	1.74	0.04
1151	079C	45	98	98	98	0	0	3.1	1.520		0.046	1.7	1.74	0.07
2882	273C	45	75	0	0	0.02	0	5.1	30.000	1.710	0.050	2.8	4.72	0.24
1152	310C	45	75	0	0	0.3	2.03					2.8	4.72	0.61
2881	023C	45	75	0	0	0.02	0	4.1	30.000	1.710	0.320	2.8	4.72	1.54
1154	05LC	45	98	98	98	0	0	MC4				1.7	1.74	18

Pérdida de carga acumulada del segmento	Δp_t	[Pa] : 6.66
Velocidad en la sección inicial del segmento	V_m	[m/s] : 2.5
Velocidad en la sección final del segmento	V_v	[m/s] : 1.7
Recuperación de presión estática del segmento	Δp_r	[Pa] : 2.02
Pérdida de carga acumulada del segmento, considerando la recuperación	Δp_{tn}	[Pa] : 5.08
Pérdida de carga acumulada neta – total acumulado	$\Sigma \Delta p_{tn}$	[Pa] : 160.01
Desequilibrio del terminal respecto al camino más desfavorable	Δp_{Tmr}	[Pa] : 37.52

SEGMENTO 297:

Tipo: Tramo

1 ELEMENTO		2 Caudal Q	3 Diam. D/D _e	4 Ancho A	5 Alto B	6 Long. L	7 $\Delta p/L$	8 Fuente Tab	9 Ashrae X	10 Ashrae Y	11 Coeff. C _o	12 Veloc. V	13 P.Dinám P _v	14 Pérdida Δp_r o Δp_e
N. pz.	Cod.	[m³/h]	[mm]	[mm]	[mm]	[m]	[Pa/m]	n.	-	-	-	[m/s]	[Pa]	[Pa]
2874	11RA	90	164	150	150	0	0	ASH6_26M	0.667		0.047	1.1	0.73	0.18
1135	310R	90	164	150	150	0.6	0.15					1.1	0.73	0.09

Pérdida de carga acumulada del segmento	Δp_t	[Pa] : 0.27
Velocidad en la sección inicial del segmento	V_m	[m/s] : 2.5
Velocidad en la sección final del segmento	V_v	[m/s] : 2.5
Recuperación de presión estática del segmento	Δp_r	[Pa] : 0
Pérdida de carga acumulada del segmento, considerando la recuperación	Δp_{tn}	[Pa] : 0.95
Pérdida de carga acumulada neta – total acumulado	$\Sigma \Delta p_{tn}$	[Pa] : 137.88

SEGMENTO 296:

Tipo: Terminal TRM-26

1 ELEMENTO		2 Caudal Q	3 Diam. D/D _e	4 Ancho A	5 Alto B	6 Long. L	7 $\Delta p/L$	8 Fuente Tab	9 Ashrae X	10 Ashrae Y	11 Coeff. C _o	12 Veloc. V	13 P.Dinám P _v	14 Pérdida Δp_r o Δp_e
N. pz.	Cod.	[m³/h]	[mm]	[mm]	[mm]	[m]	[Pa/m]	n.	-	-	-	[m/s]	[Pa]	[Pa]

2875	11RA	45	98	98	98	0	0	ASH6_26	0.500	1.490	1.260	1.7	1.74	4.74
1143	310C	45	98	98	98	0.07	0.57					1.7	1.74	0.04
1145	079C	45	98	98	98	0	0	3.1	1.520		0.046	1.7	1.74	0.07
2880	273C	45	75	0	0	0.02	0	5.1	30.000	1.710	0.050	2.8	4.72	0.24
1146	310C	45	75	0	0	0.3	2.03					2.8	4.72	0.61
2879	023C	45	75	0	0	0.02	0	4.1	30.000	1.710	0.320	2.8	4.72	1.54
1148	05LC	45	98	98	98	0	0	MC4				1.7	1.74	18

Pérdida de carga acumulada del segmento	Δp_t	[Pa]	: 7.25
Velocidad en la sección inicial del segmento	V_m	[m/s]	: 2.5
Velocidad en la sección final del segmento	V_v	[m/s]	: 1.7
Recuperación de presión estática del segmento	Δp_r	[Pa]	: 2.02
Pérdida de carga acumulada del segmento, considerando la recuperación	Δp_{tm}	[Pa]	: 5.67
Pérdida de carga acumulada neta – total acumulado	$\Sigma \Delta p_{tm}$	[Pa]	: 161.54
Desequilibrio del terminal respecto al camino más desfavorable	Δp_{Tmr}	[Pa]	: 35.98

SEGMENTO 295:

Tipo: Terminal TRM-27

1 ELEMENTO		2 Caudal Q	3 Diam. D/D _e	4 Ancho A	5 Alto B	6 Long. L	7 $\Delta p/L$	8 Fuente Tab	9 Ashrae X	10 Ashrae Y	11 Coeff. C _o	12 Veloc. V	13 P.Dinám P _v	14 Pérdida Δp_r o Δp_e
N. pz.	Cod.	[m³/h]	[mm]	[mm]	[mm]	[m]	[Pa/m]	n.	-	-	-	[m/s]	[Pa]	[Pa]
2876	11RA	45	164	150	150	0	0	ASH6_26M	0.500		0.090	0.6	0.22	0.34
1136	310R	45	164	150	150	0.6	0.05					0.6	0.22	0.03
1127	11RAT	45	164	150	150	0	0	2_6	1.000	0.915	2.800	0.6	0.22	0
1137	310C	45	98	98	98	0.07	0.57					1.7	1.74	0.04
1139	079C	45	98	98	98	0	0	3.1	1.520		0.046	1.7	1.74	0.07
2878	023C	45	98	98	98	0	0	4.1	30.000	1.040	0.320	1.7	1.74	0.53
1140	310C	45	100	0	0	0.3	0.5					1.6	1.54	0.15
2877	273C	45	98	98	98	0	0	5.1	30.000	1.040	0.050	1.7	1.74	0.08
1142	05LC	45	98	98	98	0	0	MC4				1.7	1.74	18

Pérdida de carga acumulada del segmento	Δp_t	[Pa]	: 1.24
Velocidad en la sección inicial del segmento	V_m	[m/s]	: 2.5
Velocidad en la sección final del segmento	V_v	[m/s]	: 1.7
Recuperación de presión estática del segmento	Δp_r	[Pa]	: 2.02
Pérdida de carga acumulada del segmento, considerando la recuperación	Δp_{tm}	[Pa]	: -0.55
Pérdida de carga acumulada neta – total acumulado	$\Sigma \Delta p_{tm}$	[Pa]	: 155.33
Desequilibrio del terminal respecto al camino más desfavorable	Δp_{Tmr}	[Pa]	: 42.2

SEGMENTO 293:

Tipo: Tramo

1 ELEMENTO		2 Caudal Q	3 Diam. D/D _e	4 Ancho A	5 Alto B	6 Long. L	7 $\Delta p/L$	8 Fuente Tab	9 Ashrae X	10 Ashrae Y	11 Coeff. C _o	12 Veloc. V	13 P.Dinám P _v	14 Pérdida Δp_r o Δp_e
N. pz.	Cod.	[m³/h]	[mm]	[mm]	[mm]	[m]	[Pa/m]	n.	-	-	-	[m/s]	[Pa]	[Pa]
1054	3736	450	398	250	550	0	0	MC4	0.063	0.385	18.100	0.9	0.49	8.89
2818	283R	450	210	250	150	0.79	0	5.1	30.000	3.670	0.042	3.3	6.56	0.29
1053	310R	450	210	250	150	1.05	0.87					3.3	6.56	0.91

Pérdida de carga acumulada del segmento	Δp_t	[Pa]	: 10.09
Velocidad en la sección inicial del segmento	V_m	[m/s]	: 4
Velocidad en la sección final del segmento	V_v	[m/s]	: 3.3
Recuperación de presión estática del segmento	Δp_r	[Pa]	: 3.08
Pérdida de carga acumulada del segmento, considerando la recuperación	Δp_{tm}	[Pa]	: 7.14
Pérdida de carga acumulada neta – total acumulado	$\Sigma \Delta p_{tm}$	[Pa]	: 126.51

SEGMENTO 292:**Tipo:** Terminal TRM-46

1 ELEMENTO		2 Caudal Q	3 Diam. D/D _e	4 Ancho A	5 Alto B	6 Long. L	7 $\Delta p/L$	8 Fuente Tab	9 Ashrae X	10 Ashrae Y	11 Coeff. C _o	12 Veloc. V	13 P.Dinám P _v	14 Pérdida Δp_r o Δp_c
N. pz.	Cod.	[m³/h]	[mm]	[mm]	[mm]	[m]	[Pa/m]	n.	-	-	-	[m/s]	[Pa]	[Pa]
2816	11RA	45	98	98	98	0	0	ASH6_26	0.100	0.497	1.070	1.7	1.74	7.18
1119	310C	45	98	98	98	0.07	0.57					1.7	1.74	0.04
1121	079C	45	98	98	98	0	0	3.1	1.520		0.046	1.7	1.74	0.07
2857	273C	45	75	0	0	0.02	0	5.1	30.000	1.710	0.050	2.8	4.72	0.24
1122	310C	45	75	0	0	0.3	2.03					2.8	4.72	0.61
2856	023C	45	75	0	0	0.02	0	4.1	30.000	1.710	0.320	2.8	4.72	1.54
1124	05LC	45	98	98	98	0	0	MC4				1.7	1.74	18

Pérdida de carga acumulada del segmento

 Δp_t [Pa] : 9.68

Velocidad en la sección inicial del segmento

 V_m [m/s] : 3.3

Velocidad en la sección final del segmento

 V_v [m/s] : 1.7

Recuperación de presión estática del segmento

 Δp_r [Pa] : 4.82

Pérdida de carga acumulada del segmento, considerando la recuperación

 Δp_{tm} [Pa] : 5.18

Pérdida de carga acumulada neta – total acumulado

 $\Sigma \Delta p_{tm}$ [Pa] : 149.69

Desequilibrio del terminal respecto al camino más desfavorable

 Δp_{Tmr} [Pa] : 47.84**SEGMENTO 291:****Tipo:** Tramo

1 ELEMENTO		2 Caudal Q	3 Diam. D/D _e	4 Ancho A	5 Alto B	6 Long. L	7 $\Delta p/L$	8 Fuente Tab	9 Ashrae X	10 Ashrae Y	11 Coeff. C _o	12 Veloc. V	13 P.Dinám P _v	14 Pérdida Δp_r o Δp_c
N. pz.	Cod.	[m³/h]	[mm]	[mm]	[mm]	[m]	[Pa/m]	n.	-	-	-	[m/s]	[Pa]	[Pa]
2817	11RA	405	210	250	150	0	0	ASH6_26M	0.900		0.010	3	5.42	0.07
2821	283R	405	152	200	100	0.19	0	5.1	30.000	1.880	0.050	5.6	18.88	0.95
1056	310R	405	152	200	100	0.6	3.53					5.6	18.88	2.12

Pérdida de carga acumulada del segmento

 Δp_t [Pa] : 3.14

Velocidad en la sección inicial del segmento

 V_m [m/s] : 3.3

Velocidad en la sección final del segmento

 V_v [m/s] : 5.6

Recuperación de presión estática del segmento

 Δp_r [Pa] : -12.32

Pérdida de carga acumulada del segmento, considerando la recuperación

 Δp_{tm} [Pa] : 15.5

Pérdida de carga acumulada neta – total acumulado

 $\Sigma \Delta p_{tm}$ [Pa] : 142.01**SEGMENTO 290:****Tipo:** Terminal TRM-46

1 ELEMENTO		2 Caudal Q	3 Diam. D/D _e	4 Ancho A	5 Alto B	6 Long. L	7 $\Delta p/L$	8 Fuente Tab	9 Ashrae X	10 Ashrae Y	11 Coeff. C _o	12 Veloc. V	13 P.Dinám P _v	14 Pérdida Δp_r o Δp_c
N. pz.	Cod.	[m³/h]	[mm]	[mm]	[mm]	[m]	[Pa/m]	n.	-	-	-	[m/s]	[Pa]	[Pa]
2819	11RA	45	98	98	98	0	0	ASH6_26	0.111	0.295	1.010	1.7	1.74	19.28
1113	310C	45	98	98	98	0.07	0.57					1.7	1.74	0.04
1115	079C	45	98	98	98	0	0	3.1	1.520		0.046	1.7	1.74	0.07
2855	273C	45	75	0	0	0.02	0	5.1	30.000	1.710	0.050	2.8	4.72	0.24
1116	310C	45	75	0	0	0.3	2.03					2.8	4.72	0.61
2854	023C	45	75	0	0	0.02	0	4.1	30.000	1.710	0.320	2.8	4.72	1.54
1118	05LC	45	98	98	98	0	0	MC4				1.7	1.74	18

Pérdida de carga acumulada del segmento	Δp_t	[Pa]	: 21.78
Velocidad en la sección inicial del segmento	V_m	[m/s]	: 5.6
Velocidad en la sección final del segmento	V_v	[m/s]	: 1.7
Recuperación de presión estática del segmento	Δp_r	[Pa]	: 17.14
Pérdida de carga acumulada del segmento, considerando la recuperación	Δp_{tm}	[Pa]	: 4.92
Pérdida de carga acumulada neta – total acumulado	$\Sigma \Delta p_{tm}$	[Pa]	: 164.93
Desequilibrio del terminal respecto al camino más desfavorable	Δp_{Tmr}	[Pa]	: 32.6

SEGMENTO 289:

Tipo: Tramo

1 ELEMENTO		2 Caudal Q	3 Diam. D/D _e	4 Ancho A	5 Alto B	6 Long. L	7 $\Delta p/L$	8 Fuente Tab	9 Ashrae X	10 Ashrae Y	11 Coeff. C _o	12 Veloc. V	13 P.Dinám P _v	14 Pérdida Δp_r o Δp_e
N. pz.	Cod.	[m³/h]	[mm]	[mm]	[mm]	[m]	[Pa/m]	n.	-	-	-	[m/s]	[Pa]	[Pa]
2820	11RA	360	152	200	100	0	0	ASH6_26M	0.889		0.011	5	15.05	0.21
1057	310R	360	152	200	100	0.6	2.85					5	15.05	1.71

Pérdida de carga acumulada del segmento	Δp_t	[Pa]	: 1.92
Velocidad en la sección inicial del segmento	V_m	[m/s]	: 5.6
Velocidad en la sección final del segmento	V_v	[m/s]	: 5
Recuperación de presión estática del segmento	Δp_r	[Pa]	: 3.83
Pérdida de carga acumulada del segmento, considerando la recuperación	Δp_{tm}	[Pa]	: -2.08
Pérdida de carga acumulada neta – total acumulado	$\Sigma \Delta p_{tm}$	[Pa]	: 139.93

SEGMENTO 288:

Tipo: Terminal TRM-46

1 ELEMENTO		2 Caudal Q	3 Diam. D/D _e	4 Ancho A	5 Alto B	6 Long. L	7 $\Delta p/L$	8 Fuente Tab	9 Ashrae X	10 Ashrae Y	11 Coeff. C _o	12 Veloc. V	13 P.Dinám P _v	14 Pérdida Δp_r o Δp_e
N. pz.	Cod.	[m³/h]	[mm]	[mm]	[mm]	[m]	[Pa/m]	n.	-	-	-	[m/s]	[Pa]	[Pa]
2822	11RA	45	98	98	98	0	0	ASH6_26	0.125	0.332	1.020	1.7	1.74	15.39
1107	310C	45	98	98	98	0.07	0.57					1.7	1.74	0.04
1109	079C	45	98	98	98	0	0	3.1	1.520		0.046	1.7	1.74	0.07
2853	273C	45	75	0	0	0.02	0	5.1	30.000	1.710	0.050	2.8	4.72	0.24
1110	310C	45	75	0	0	0.3	2.03					2.8	4.72	0.61
2852	023C	45	75	0	0	0.02	0	4.1	30.000	1.710	0.320	2.8	4.72	1.54
1112	05LC	45	98	98	98	0	0	MC4				1.7	1.74	18

Pérdida de carga acumulada del segmento	Δp_t	[Pa]	: 17.89
Velocidad en la sección inicial del segmento	V_m	[m/s]	: 5
Velocidad en la sección final del segmento	V_v	[m/s]	: 1.7
Recuperación de presión estática del segmento	Δp_r	[Pa]	: 13.31
Pérdida de carga acumulada del segmento, considerando la recuperación	Δp_{tm}	[Pa]	: 5.03
Pérdida de carga acumulada neta – total acumulado	$\Sigma \Delta p_{tm}$	[Pa]	: 162.95
Desequilibrio del terminal respecto al camino más desfavorable	Δp_{Tmr}	[Pa]	: 34.57

SEGMENTO 287:

Tipo: Tramo

1 ELEMENTO		2 Caudal Q	3 Diam. D/D _e	4 Ancho A	5 Alto B	6 Long. L	7 $\Delta p/L$	8 Fuente Tab	9 Ashrae X	10 Ashrae Y	11 Coeff. C _o	12 Veloc. V	13 P.Dinám P _v	14 Pérdida Δp_r o Δp_e
---------------	--	------------------	--------------------------------	-----------------	----------------	-----------------	-------------------	--------------------	------------------	-------------------	--------------------------------	-------------------	---------------------------------	--

N. pz.	Cod.	[m³/h]	[mm]	[mm]	[mm]	[m]	[Pa/m]	n.	-	-	-	[m/s]	[Pa]	[Pa]
2823	11RA	315	152	200	100	0	0	ASH6_26M	0.875		0.012	4.4	11.65	0.19
2826	283R	315	133	150	100	0.14	0	5.1	30.000	1.330	0.050	5.8	20.25	1.02
1058	310R	315	133	150	100	0.6	4.32					5.8	20.25	2.59

Pérdida de carga acumulada del segmento	Δp_t	[Pa] : 3.8
Velocidad en la sección inicial del segmento	V_m	[m/s] : 5
Velocidad en la sección final del segmento	V_v	[m/s] : 5.8
Recuperación de presión estática del segmento	Δp_r	[Pa] : -5.2
Pérdida de carga acumulada del segmento, considerando la recuperación	Δp_{tm}	[Pa] : 9.24
Pérdida de carga acumulada neta – total acumulado	$\Sigma \Delta p_{tm}$	[Pa] : 149.16

SEGMENTO 286:

Tipo: Terminal TRM-46

1 ELEMENTO		2 Caudal Q	3 Diam. D/D _e	4 Ancho A	5 Alto B	6 Long. L	7 $\Delta p/L$	8 Fuente Tab	9 Ashrae X	10 Ashrae Y	11 Coeff. C _o	12 Veloc. V	13 P.Dinám P _v	14 Pérdida Δp_r o Δp_e
N. pz.	Cod.	[m³/h]	[mm]	[mm]	[mm]	[m]	[Pa/m]	n.	-	-	-	[m/s]	[Pa]	[Pa]
2824	11RA	45	98	98	98	0	0	ASH6_26	0.143	0.284	1.030	1.7	1.74	21.15
1101	310C	45	98	98	98	0.07	0.57					1.7	1.74	0.04
1103	079C	45	98	98	98	0	0	3.1	1.520		0.046	1.7	1.74	0.07
2851	273C	45	75	0	0	0.02	0	5.1	30.000	1.710	0.050	2.8	4.72	0.24
1104	310C	45	75	0	0	0.3	2.03					2.8	4.72	0.61
2850	023C	45	75	0	0	0.02	0	4.1	30.000	1.710	0.320	2.8	4.72	1.54
1106	05LC	45	98	98	98	0	0	MC4				1.7	1.74	18

Pérdida de carga acumulada del segmento	Δp_t	[Pa] : 23.65
Velocidad en la sección inicial del segmento	V_m	[m/s] : 5.8
Velocidad en la sección final del segmento	V_v	[m/s] : 1.7
Recuperación de presión estática del segmento	Δp_r	[Pa] : 18.51
Pérdida de carga acumulada del segmento, considerando la recuperación	Δp_{tm}	[Pa] : 5.35
Pérdida de carga acumulada neta – total acumulado	$\Sigma \Delta p_{tm}$	[Pa] : 172.52
Desequilibrio del terminal respecto al camino más desfavorable	Δp_{Tmr}	[Pa] : 25.01

SEGMENTO 285:

Tipo: Tramo

1 ELEMENTO		2 Caudal Q	3 Diam. D/D _e	4 Ancho A	5 Alto B	6 Long. L	7 $\Delta p/L$	8 Fuente Tab	9 Ashrae X	10 Ashrae Y	11 Coeff. C _o	12 Veloc. V	13 P.Dinám P _v	14 Pérdida Δp_r o Δp_e
N. pz.	Cod.	[m³/h]	[mm]	[mm]	[mm]	[m]	[Pa/m]	n.	-	-	-	[m/s]	[Pa]	[Pa]
2825	11RA	270	133	150	100	0	0	ASH6_26M	0.857		0.014	5	15.05	0.29
1059	310R	270	133	150	100	0.6	3.23					5	15.05	1.94

Pérdida de carga acumulada del segmento	Δp_t	[Pa] : 2.23
Velocidad en la sección inicial del segmento	V_m	[m/s] : 5.8
Velocidad en la sección final del segmento	V_v	[m/s] : 5
Recuperación de presión estática del segmento	Δp_r	[Pa] : 5.2
Pérdida de carga acumulada del segmento, considerando la recuperación	Δp_{tm}	[Pa] : -3.2
Pérdida de carga acumulada neta – total acumulado	$\Sigma \Delta p_{tm}$	[Pa] : 145.96

SEGMENTO 284:

Tipo: Terminal TRM-46

1 ELEMENTO		2 Caudal Q	3 Diam. D/D _e	4 Ancho A	5 Alto B	6 Long. L	7 $\Delta p/L$	8 Fuente Tab	9 Ashrae X	10 Ashrae Y	11 Coeff. C _o	12 Veloc. V	13 P.Dinám P _v	14 Pérdida Δp_r o Δp_e
N. pz.	Cod.	[m³/h]	[mm]	[mm]	[mm]	[m]	[Pa/m]	n.	-	-	-	[m/s]	[Pa]	[Pa]
2827	11RA	45	98	98	98	0	0	ASH6_26	0.167	0.332	1.050	1.7	1.74	15.79
1095	310C	45	98	98	98	0.07	0.57					1.7	1.74	0.04
1097	079C	45	98	98	98	0	0	3.1	1.520		0.046	1.7	1.74	0.07
2849	273C	45	75	0	0	0.02	0	5.1	30.000	1.710	0.050	2.8	4.72	0.24
1098	310C	45	75	0	0	0.3	2.03					2.8	4.72	0.61
2848	023C	45	75	0	0	0.02	0	4.1	30.000	1.710	0.320	2.8	4.72	1.54
1100	05LC	45	98	98	98	0	0	MC4				1.7	1.74	18

Pérdida de carga acumulada del segmento	Δp_t	[Pa]	: 18.29
Velocidad en la sección inicial del segmento	V_m	[m/s]	: 5
Velocidad en la sección final del segmento	V_v	[m/s]	: 1.7
Recuperación de presión estática del segmento	Δp_r	[Pa]	: 13.31
Pérdida de carga acumulada del segmento, considerando la recuperación	Δp_{tm}	[Pa]	: 5.42
Pérdida de carga acumulada neta – total acumulado	$\Sigma \Delta p_{tm}$	[Pa]	: 169.38
Desequilibrio del terminal respecto al camino más desfavorable	Δp_{Tmr}	[Pa]	: 28.14

SEGMENTO 283:

Tipo: Tramo

1 ELEMENTO		2 Caudal Q	3 Diam. D/D _e	4 Ancho A	5 Alto B	6 Long. L	7 $\Delta p/L$	8 Fuente Tab	9 Ashrae X	10 Ashrae Y	11 Coeff. C _o	12 Veloc. V	13 P.Dinám P _v	14 Pérdida Δp_r o Δp_e
N. pz.	Cod.	[m³/h]	[mm]	[mm]	[mm]	[m]	[Pa/m]	n.	-	-	-	[m/s]	[Pa]	[Pa]
2828	11RA	225	133	150	100	0	0	ASH6_26M	0.833		0.017	4.2	10.62	0.25
1060	310R	225	133	150	100	0.6	2.3					4.2	10.62	1.38

Pérdida de carga acumulada del segmento	Δp_t	[Pa]	: 1.64
Velocidad en la sección inicial del segmento	V_m	[m/s]	: 5
Velocidad en la sección final del segmento	V_v	[m/s]	: 4.2
Recuperación de presión estática del segmento	Δp_r	[Pa]	: 4.43
Pérdida de carga acumulada del segmento, considerando la recuperación	Δp_{tm}	[Pa]	: -2.96
Pérdida de carga acumulada neta – total acumulado	$\Sigma \Delta p_{tm}$	[Pa]	: 143

SEGMENTO 282:

Tipo: Terminal TRM-46

1 ELEMENTO		2 Caudal Q	3 Diam. D/D _e	4 Ancho A	5 Alto B	6 Long. L	7 $\Delta p/L$	8 Fuente Tab	9 Ashrae X	10 Ashrae Y	11 Coeff. C _o	12 Veloc. V	13 P.Dinám P _v	14 Pérdida Δp_r o Δp_e
N. pz.	Cod.	[m³/h]	[mm]	[mm]	[mm]	[m]	[Pa/m]	n.	-	-	-	[m/s]	[Pa]	[Pa]
2829	11RA	45	98	98	98	0	0	ASH6_26	0.200	0.398	1.070	1.7	1.74	11.18
1089	310C	45	98	98	98	0.07	0.57					1.7	1.74	0.04
1091	079C	45	98	98	98	0	0	3.1	1.520		0.046	1.7	1.74	0.07
2847	273C	45	75	0	0	0.02	0	5.1	30.000	1.710	0.050	2.8	4.72	0.24
1092	310C	45	75	0	0	0.3	2.03					2.8	4.72	0.61
2846	023C	45	75	0	0	0.02	0	4.1	30.000	1.710	0.320	2.8	4.72	1.54
1094	05LC	45	98	98	98	0	0	MC4				1.7	1.74	18

Pérdida de carga acumulada del segmento	Δp_t	[Pa]	: 13.69
Velocidad en la sección inicial del segmento	V_m	[m/s]	: 4.2
Velocidad en la sección final del segmento	V_v	[m/s]	: 1.7

Recuperación de presión estática del segmento

Δp_r [Pa] : 8.88

Pérdida de carga acumulada del segmento, considerando la recuperación

Δp_{tm} [Pa] : 5.42

Pérdida de carga acumulada neta – total acumulado

$\Sigma \Delta p_{tm}$ [Pa] : 166.42

Desequilibrio del terminal respecto al camino más desfavorable

Δp_{Tmr} [Pa] : 31.1

SEGMENTO 281:

Tipo: Tramo

1 ELEMENTO		2 Caudal Q	3 Diam. D/D _e	4 Ancho A	5 Alto B	6 Long. L	7 $\Delta p/L$	8 Fuente Tab	9 Ashrae X	10 Ashrae Y	11 Coeff. C _o	12 Veloc. V	13 P.Dinám P _v	14 Pérdida Δp_r o Δp_e
N. pz.	Cod.	[m³/h]	[mm]	[mm]	[mm]	[m]	[Pa/m]	n.	-	-	-	[m/s]	[Pa]	[Pa]
2830	11RA	180	133	150	100	0	0	ASH6_26M	0.800		0.020	3.3	6.56	0.21
2833	283R	180	109	100	100	0.14	0	5.1	30.000	1.500	0.050	5	15.05	0.75
1061	310R	180	109	100	100	0.6	4.08					5	15.05	2.45

Pérdida de carga acumulada del segmento

Δp_t [Pa] : 3.41

Velocidad en la sección inicial del segmento

V_m [m/s] : 4.2

Velocidad en la sección final del segmento

V_v [m/s] : 5

Recuperación de presión estática del segmento

Δp_r [Pa] : -4.43

Pérdida de carga acumulada del segmento, considerando la recuperación

Δp_{tm} [Pa] : 8.01

Pérdida de carga acumulada neta – total acumulado

$\Sigma \Delta p_{tm}$ [Pa] : 151.01

SEGMENTO 280:

Tipo: Terminal TRM-46

1 ELEMENTO		2 Caudal Q	3 Diam. D/D _e	4 Ancho A	5 Alto B	6 Long. L	7 $\Delta p/L$	8 Fuente Tab	9 Ashrae X	10 Ashrae Y	11 Coeff. C _o	12 Veloc. V	13 P.Dinám P _v	14 Pérdida Δp_r o Δp_e
N. pz.	Cod.	[m³/h]	[mm]	[mm]	[mm]	[m]	[Pa/m]	n.	-	-	-	[m/s]	[Pa]	[Pa]
2831	11RA	45	98	98	98	0	0	ASH6_26	0.250	0.332	1.080	1.7	1.74	16.18
1083	310C	45	98	98	98	0.07	0.57					1.7	1.74	0.04
1085	079C	45	98	98	98	0	0	3.1	1.520		0.046	1.7	1.74	0.07
2845	273C	45	75	0	0	0.02	0	5.1	30.000	1.710	0.050	2.8	4.72	0.24
1086	310C	45	75	0	0	0.3	2.03					2.8	4.72	0.61
2844	023C	45	75	0	0	0.02	0	4.1	30.000	1.710	0.320	2.8	4.72	1.54
1088	05LC	45	98	98	98	0	0	MC4				1.7	1.74	18

Pérdida de carga acumulada del segmento

Δp_t [Pa] : 18.68

Velocidad en la sección inicial del segmento

V_m [m/s] : 5

Velocidad en la sección final del segmento

V_v [m/s] : 1.7

Recuperación de presión estática del segmento

Δp_r [Pa] : 13.31

Pérdida de carga acumulada del segmento, considerando la recuperación

Δp_{tm} [Pa] : 5.82

Pérdida de carga acumulada neta – total acumulado

$\Sigma \Delta p_{tm}$ [Pa] : 174.83

Desequilibrio del terminal respecto al camino más desfavorable

Δp_{Tmr} [Pa] : 22.69

SEGMENTO 279:

Tipo: Tramo

1 ELEMENTO		2 Caudal Q	3 Diam. D/D _e	4 Ancho A	5 Alto B	6 Long. L	7 $\Delta p/L$	8 Fuente Tab	9 Ashrae X	10 Ashrae Y	11 Coeff. C _o	12 Veloc. V	13 P.Dinám P _v	14 Pérdida Δp_r o Δp_e
N. pz.	Cod.	[m³/h]	[mm]	[mm]	[mm]	[m]	[Pa/m]	n.	-	-	-	[m/s]	[Pa]	[Pa]
2832	11RA	135	109	100	100	0	0	ASH6_26M	0.750		0.030	3.7	8.24	0.45
1062	310R	135	109	100	100	0.6	2.4					3.7	8.24	1.44

Pérdida de carga acumulada del segmento	Δp_t	[Pa]	: 1.89
Velocidad en la sección inicial del segmento	V_m	[m/s]	: 5
Velocidad en la sección final del segmento	V_v	[m/s]	: 3.7
Recuperación de presión estática del segmento	Δp_r	[Pa]	: 6.81
Pérdida de carga acumulada del segmento, considerando la recuperación	Δp_{tm}	[Pa]	: -4.69
Pérdida de carga acumulada neta – total acumulado	$\Sigma \Delta p_{tm}$	[Pa]	: 146.32

SEGMENTO 278:

Tipo: Terminal TRM-46

1 ELEMENTO		2 Caudal Q	3 Diam. D/D _e	4 Ancho A	5 Alto B	6 Long. L	7 $\Delta p/L$	8 Fuente Tab	9 Ashrae X	10 Ashrae Y	11 Coeff. C _o	12 Veloc. V	13 P.Dinám P _v	14 Pérdida Δp_r o Δp_c
N. pz.	Cod.	[m³/h]	[mm]	[mm]	[mm]	[m]	[Pa/m]	n.	-	-	-	[m/s]	[Pa]	[Pa]
2834	11RA	45	98	98	98	0	0	ASH6_26	0.333	0.442	1.100	1.7	1.74	9.28
1077	310C	45	98	98	98	0.07	0.57					1.7	1.74	0.04
1079	079C	45	98	98	98	0	0	3.1	1.520		0.046	1.7	1.74	0.07
2843	273C	45	75	0	0	0.02	0	5.1	30.000	1.710	0.050	2.8	4.72	0.24
1080	310C	45	75	0	0	0.3	2.03					2.8	4.72	0.61
2842	023C	45	75	0	0	0.02	0	4.1	30.000	1.710	0.320	2.8	4.72	1.54
1082	05LC	45	98	98	98	0	0	MC4				1.7	1.74	18

Pérdida de carga acumulada del segmento	Δp_t	[Pa]	: 11.79
Velocidad en la sección inicial del segmento	V_m	[m/s]	: 3.7
Velocidad en la sección final del segmento	V_v	[m/s]	: 1.7
Recuperación de presión estática del segmento	Δp_r	[Pa]	: 6.5
Pérdida de carga acumulada del segmento, considerando la recuperación	Δp_{tm}	[Pa]	: 5.51
Pérdida de carga acumulada neta – total acumulado	$\Sigma \Delta p_{tm}$	[Pa]	: 169.83
Desequilibrio del terminal respecto al camino más desfavorable	Δp_{Tmr}	[Pa]	: 27.7

SEGMENTO 277:

Tipo: Tramo

1 ELEMENTO		2 Caudal Q	3 Diam. D/D _e	4 Ancho A	5 Alto B	6 Long. L	7 $\Delta p/L$	8 Fuente Tab	9 Ashrae X	10 Ashrae Y	11 Coeff. C _o	12 Veloc. V	13 P.Dinám P _v	14 Pérdida Δp_r o Δp_c
N. pz.	Cod.	[m³/h]	[mm]	[mm]	[mm]	[m]	[Pa/m]	n.	-	-	-	[m/s]	[Pa]	[Pa]
2835	11RA	90	109	100	100	0	0	ASH6_26M	0.667		0.047	2.5	3.76	0.4
1063	310R	90	109	100	100	0.6	1.13					2.5	3.76	0.68

Pérdida de carga acumulada del segmento	Δp_t	[Pa]	: 1.07
Velocidad en la sección inicial del segmento	V_m	[m/s]	: 3.7
Velocidad en la sección final del segmento	V_v	[m/s]	: 2.5
Recuperación de presión estática del segmento	Δp_r	[Pa]	: 4.48
Pérdida de carga acumulada del segmento, considerando la recuperación	Δp_{tm}	[Pa]	: -3.63
Pérdida de carga acumulada neta – total acumulado	$\Sigma \Delta p_{tm}$	[Pa]	: 142.69

SEGMENTO 276:

Tipo: Terminal TRM-46

1 ELEMENTO		2 Caudal Q	3 Diam. D/D _e	4 Ancho A	5 Alto B	6 Long. L	7 $\Delta p/L$	8 Fuente Tab	9 Ashrae X	10 Ashrae Y	11 Coeff. C _o	12 Veloc. V	13 P.Dinám P _v	14 Pérdida Δp_r o Δp_c
---------------	--	------------------	--------------------------------	-----------------	----------------	-----------------	-------------------	--------------------	------------------	-------------------	--------------------------------	-------------------	---------------------------------	--

N. pz.	Cod.	[m³/h]	[mm]	[mm]	[mm]	[m]	[Pa/m]	n.	-	-	-	[m/s]	[Pa]	[Pa]
2836	11RA	45	98	98	98	0	0	ASH6_26	0.500	0.663	1.260	1.7	1.74	4.74
1071	310C	45	98	98	98	0.07	0.57					1.7	1.74	0.04
1073	079C	45	98	98	98	0	0	3.1	1.520		0.046	1.7	1.74	0.07
2841	273C	45	75	0	0	0.02	0	5.1	30.000	1.710	0.050	2.8	4.72	0.24
1074	310C	45	75	0	0	0.3	2.03					2.8	4.72	0.61
2840	023C	45	75	0	0	0.02	0	4.1	30.000	1.710	0.320	2.8	4.72	1.54
1076	05LC	45	98	98	98	0	0	MC4				1.7	1.74	18

Pérdida de carga acumulada del segmento	Δp_t	[Pa]	: 7.25
Velocidad en la sección inicial del segmento	V_m	[m/s]	: 2.5
Velocidad en la sección final del segmento	V_v	[m/s]	: 1.7
Recuperación de presión estática del segmento	Δp_r	[Pa]	: 2.02
Pérdida de carga acumulada del segmento, considerando la recuperación	Δp_{tn}	[Pa]	: 5.67
Pérdida de carga acumulada neta – total acumulado	$\Sigma \Delta p_{tn}$	[Pa]	: 166.36
Desequilibrio del terminal respecto al camino más desfavorable	Δp_{Tmr}	[Pa]	: 31.17

SEGMENTO 275:

Tipo: Terminal TRM-46

1 ELEMENTO		2 Caudal Q	3 Diam. D/D _e	4 Ancho A	5 Alto B	6 Long. L	7 $\Delta p/L$	8 Fuente Tab	9 Ashrae X	10 Ashrae Y	11 Coeff. C _o	12 Veloc. V	13 P.Dinám P _v	14 Pérdida Δp_r o Δp_c
N. pz.	Cod.	[m³/h]	[mm]	[mm]	[mm]	[m]	[Pa/m]	n.	-	-	-	[m/s]	[Pa]	[Pa]
2837	11RA	45	109	100	100	0	0	ASH6_26M	0.500		0.090	1.2	0.87	0.34
1064	310R	45	109	100	100	0.6	0.32					1.2	0.87	0.19
1055	11RAT	45	109	100	100	0	0	2_6	1.000	0.917	2.800	1.2	0.87	4.63
1065	310C	45	98	98	98	0.07	0.57					1.7	1.74	0.04
1067	079C	45	98	98	98	0	0	3.1	1.520		0.046	1.7	1.74	0.07
2839	023C	45	98	98	98	0	0	4.1	30.000	1.040	0.320	1.7	1.74	0.53
1068	310C	45	100	0	0	0.3	0.5					1.6	1.54	0.15
2838	273C	45	98	98	98	0	0	5.1	30.000	1.040	0.050	1.7	1.74	0.08
1070	05LC	45	98	98	98	0	0	MC4				1.7	1.74	18

Pérdida de carga acumulada del segmento	Δp_t	[Pa]	: 6.04
Velocidad en la sección inicial del segmento	V_m	[m/s]	: 2.5
Velocidad en la sección final del segmento	V_v	[m/s]	: 1.7
Recuperación de presión estática del segmento	Δp_r	[Pa]	: 2.02
Pérdida de carga acumulada del segmento, considerando la recuperación	Δp_{tn}	[Pa]	: 3.93
Pérdida de carga acumulada neta – total acumulado	$\Sigma \Delta p_{tn}$	[Pa]	: 164.62
Desequilibrio del terminal respecto al camino más desfavorable	Δp_{Tmr}	[Pa]	: 32.9

SEGMENTO 313:

Tipo: Tramo

1 ELEMENTO		2 Caudal Q	3 Diam. D/D _e	4 Ancho A	5 Alto B	6 Long. L	7 $\Delta p/L$	8 Fuente Tab	9 Ashrae X	10 Ashrae Y	11 Coeff. C _o	12 Veloc. V	13 P.Dinám P _v	14 Pérdida Δp_r o Δp_c
N. pz.	Cod.	[m³/h]	[mm]	[mm]	[mm]	[m]	[Pa/m]	n.	-	-	-	[m/s]	[Pa]	[Pa]
2815	3736	6300	653	650	550	0	0	MC4	0.875		0.060	4.9	14.45	0.87
2899	283R	6300	622	650	500	0.19	0	5.1	30.000	1.100	0.050	5.4	17.55	0.02
1197	310R	6300	622	650	500	1	0.55					5.4	17.55	0.55

Pérdida de carga acumulada del segmento	Δp_t	[Pa]	: 1.44
Velocidad en la sección inicial del segmento	V_m	[m/s]	: 4
Velocidad en la sección final del segmento	V_v	[m/s]	: 5.5
Recuperación de presión estática del segmento	Δp_r	[Pa]	: -8.58

Pérdida de carga acumulada del segmento, considerando la recuperación
Pérdida de carga acumulada neta – total acumulado

Δp_{tn} [Pa] : 10.69
 $\Sigma \Delta p_{tn}$ [Pa] : 130.05

SEGMENTO 333:

Tipo: Tramo

1 ELEMENTO		2 Caudal Q	3 Diam. D/D _e	4 Ancho A	5 Alto B	6 Long. L	7 $\Delta p/L$	8 Fuente Tab	9 Ashrae X	10 Ashrae Y	11 Coeff. C _o	12 Veloc. V	13 P.Dinám P _v	14 Pérdida Δp_r o Δp_c
N. pz.	Cod.	[m³/h]	[mm]	[mm]	[mm]	[m]	[Pa/m]	n.	-	-	-	[m/s]	[Pa]	[Pa]
2897	3736	450	287	150	500	0	0	MC4	0.071	0.231	6.800	1.7	1.74	11.84
2944	283R	450	164	150	150	0.71	0	5.1	30.000	3.330	0.043	5.6	18.88	0.87
1272	310R	450	164	150	150	1.1	2.95					5.6	18.88	3.25

Pérdida de carga acumulada del segmento
Velocidad en la sección inicial del segmento
Velocidad en la sección final del segmento
Recuperación de presión estática del segmento
Pérdida de carga acumulada del segmento, considerando la recuperación
Pérdida de carga acumulada neta – total acumulado

Δp_t [Pa] : 15.96
 V_m [m/s] : 5.5
 V_v [m/s] : 3.3
 Δp_r [Pa] : 11.65
 Δp_{tn} [Pa] : 5.57
 $\Sigma \Delta p_{tn}$ [Pa] : 135.63

SEGMENTO 351:

Tipo: Terminal TRM-18

1 ELEMENTO		2 Caudal Q	3 Diam. D/D _e	4 Ancho A	5 Alto B	6 Long. L	7 $\Delta p/L$	8 Fuente Tab	9 Ashrae X	10 Ashrae Y	11 Coeff. C _o	12 Veloc. V	13 P.Dinám P _v	14 Pérdida Δp_r o Δp_c
N. pz.	Cod.	[m³/h]	[mm]	[mm]	[mm]	[m]	[Pa/m]	n.	-	-	-	[m/s]	[Pa]	[Pa]
2942	11RA	45	98	98	98	0	0	ASH6_26	0.100	0.298	1.070	1.7	1.74	7.18
1338	310C	45	98	98	98	0.07	0.57					1.7	1.74	0.04
1340	079C	45	98	98	98	0	0	3.1	1.520		0.046	1.7	1.74	0.07
2980	273C	45	75	0	0	0.02	0	5.1	30.000	1.710	0.050	2.8	4.72	0.24
1341	310C	45	75	0	0	0.3	2.03					2.8	4.72	0.61
2979	023C	45	75	0	0	0.02	0	4.1	30.000	1.710	0.320	2.8	4.72	1.54
1343	05LC	45	98	98	98	0	0	MC4				1.7	1.74	18

Pérdida de carga acumulada del segmento
Velocidad en la sección inicial del segmento
Velocidad en la sección final del segmento
Recuperación de presión estática del segmento
Pérdida de carga acumulada del segmento, considerando la recuperación
Pérdida de carga acumulada neta – total acumulado
Desequilibrio del terminal respecto al camino más desfavorable

Δp_t [Pa] : 9.68
 V_m [m/s] : 3.3
 V_v [m/s] : 1.7
 Δp_r [Pa] : 4.82
 Δp_{tn} [Pa] : 5.18
 $\Sigma \Delta p_{tn}$ [Pa] : 158.81
 Δp_{Tmr} [Pa] : 38.72

SEGMENTO 350:

Tipo: Tramo

1 ELEMENTO		2 Caudal Q	3 Diam. D/D _e	4 Ancho A	5 Alto B	6 Long. L	7 $\Delta p/L$	8 Fuente Tab	9 Ashrae X	10 Ashrae Y	11 Coeff. C _o	12 Veloc. V	13 P.Dinám P _v	14 Pérdida Δp_r o Δp_c
N. pz.	Cod.	[m³/h]	[mm]	[mm]	[mm]	[m]	[Pa/m]	n.	-	-	-	[m/s]	[Pa]	[Pa]
2943	11RA	405	164	150	150	0	0	ASH6_26M	0.900		0.010	5	15.05	0.07
1275	310R	405	164	150	150	0.6	2.43					5	15.05	1.46

Pérdida de carga acumulada del segmento

Δp_t [Pa] : 1.52

Velocidad en la sección inicial del segmento	V_m	[m/s]	: 3.3
Velocidad en la sección final del segmento	V_v	[m/s]	: 3
Recuperación de presión estática del segmento	Δp_r	[Pa]	: 1.14
Pérdida de carga acumulada del segmento, considerando la recuperación	Δp_{tn}	[Pa]	: 1.76
Pérdida de carga acumulada neta – total acumulado	$\Sigma \Delta p_{tn}$	[Pa]	: 137.39

SEGMENTO 349:

Tipo: Terminal TRM-19

1 ELEMENTO		2 Caudal Q	3 Diam. D/D _e	4 Ancho A	5 Alto B	6 Long. L	7 $\Delta p/L$	8 Fuente Tab	9 Ashrae X	10 Ashrae Y	11 Coeff. C _o	12 Veloc. V	13 P.Dinám P _v	14 Pérdida Δp_r o Δp_c
N. pz.	Cod.	[m³/h]	[mm]	[mm]	[mm]	[m]	[Pa/m]	n.	-	-	-	[m/s]	[Pa]	[Pa]
2945	11RA	45	98	98	98	0	0	ASH6_26	0.111	0.332	1.110	1.7	1.74	6
1332	310C	45	98	98	98	0.07	0.57					1.7	1.74	0.04
1334	079C	45	98	98	98	0	0	3.1	1.520		0.046	1.7	1.74	0.07
2978	273C	45	75	0	0	0.02	0	5.1	30.000	1.710	0.050	2.8	4.72	0.24
1335	310C	45	75	0	0	0.3	2.03					2.8	4.72	0.61
2977	023C	45	75	0	0	0.02	0	4.1	30.000	1.710	0.320	2.8	4.72	1.54
1337	05LC	45	98	98	98	0	0	MC4				1.7	1.74	18

Pérdida de carga acumulada del segmento	Δp_t	[Pa]	: 8.51
Velocidad en la sección inicial del segmento	V_m	[m/s]	: 3
Velocidad en la sección final del segmento	V_v	[m/s]	: 1.7
Recuperación de presión estática del segmento	Δp_r	[Pa]	: 3.68
Pérdida de carga acumulada del segmento, considerando la recuperación	Δp_{tn}	[Pa]	: 5.27
Pérdida de carga acumulada neta – total acumulado	$\Sigma \Delta p_{tn}$	[Pa]	: 160.66
Desequilibrio del terminal respecto al camino más desfavorable	Δp_{Tmr}	[Pa]	: 36.87

SEGMENTO 348:

Tipo: Tramo

1 ELEMENTO		2 Caudal Q	3 Diam. D/D _e	4 Ancho A	5 Alto B	6 Long. L	7 $\Delta p/L$	8 Fuente Tab	9 Ashrae X	10 Ashrae Y	11 Coeff. C _o	12 Veloc. V	13 P.Dinám P _v	14 Pérdida Δp_r o Δp_c
N. pz.	Cod.	[m³/h]	[mm]	[mm]	[mm]	[m]	[Pa/m]	n.	-	-	-	[m/s]	[Pa]	[Pa]
2946	11RA	360	164	150	150	0	0	ASH6_26M	0.889		0.011	4.4	11.65	0.06
1276	310R	360	164	150	150	0.6	1.95					4.4	11.65	1.17

Pérdida de carga acumulada del segmento	Δp_t	[Pa]	: 1.23
Velocidad en la sección inicial del segmento	V_m	[m/s]	: 3
Velocidad en la sección final del segmento	V_v	[m/s]	: 2.7
Recuperación de presión estática del segmento	Δp_r	[Pa]	: 1.03
Pérdida de carga acumulada del segmento, considerando la recuperación	Δp_{tn}	[Pa]	: 1.28
Pérdida de carga acumulada neta – total acumulado	$\Sigma \Delta p_{tn}$	[Pa]	: 138.67

SEGMENTO 347:

Tipo: Terminal TRM-20

1 ELEMENTO		2 Caudal Q	3 Diam. D/D _e	4 Ancho A	5 Alto B	6 Long. L	7 $\Delta p/L$	8 Fuente Tab	9 Ashrae X	10 Ashrae Y	11 Coeff. C _o	12 Veloc. V	13 P.Dinám P _v	14 Pérdida Δp_r o Δp_c
N. pz.	Cod.	[m³/h]	[mm]	[mm]	[mm]	[m]	[Pa/m]	n.	-	-	-	[m/s]	[Pa]	[Pa]
2947	11RA	45	98	98	98	0	0	ASH6_26	0.125	0.373	1.140	1.7	1.74	4.88
1326	310C	45	98	98	98	0.07	0.57					1.7	1.74	0.04

1328	079C	45	98	98	98	0	0	3.1	1.520		0.046	1.7	1.74	0.07
2976	273C	45	75	0	0	0.02	0	5.1	30.000	1.710	0.050	2.8	4.72	0.24
1329	310C	45	75	0	0	0.3	2.03					2.8	4.72	0.61
2975	023C	45	75	0	0	0.02	0	4.1	30.000	1.710	0.320	2.8	4.72	1.54
1331	05LC	45	98	98	98	0	0	MC4				1.7	1.74	18

Pérdida de carga acumulada del segmento	Δp_t	[Pa]	: 7.38
Velocidad en la sección inicial del segmento	V_m	[m/s]	: 2.7
Velocidad en la sección final del segmento	V_v	[m/s]	: 1.7
Recuperación de presión estática del segmento	Δp_r	[Pa]	: 2.65
Pérdida de carga acumulada del segmento, considerando la recuperación	Δp_{tn}	[Pa]	: 5.28
Pérdida de carga acumulada neta – total acumulado	$\Sigma \Delta p_{tn}$	[Pa]	: 161.95
Desequilibrio del terminal respecto al camino más desfavorable	Δp_{Tmr}	[Pa]	: 35.57

SEGMENTO 346:

Tipo: Tramo

1 ELEMENTO		2 Caudal Q	3 Diam. D/D _e	4 Ancho A	5 Alto B	6 Long. L	7 $\Delta p/L$	8 Fuente Tab	9 Ashrae X	10 Ashrae Y	11 Coeff. C _o	12 Veloc. V	13 P.Dinám P _v	14 Pérdida Δp_r o Δp_e
N. pz.	Cod.	[m³/h]	[mm]	[mm]	[mm]	[m]	[Pa/m]	n.	-	-	-	[m/s]	[Pa]	[Pa]
2948	11RA	315	164	150	150	0	0	ASH6_26M	0.875		0.012	3.9	9.16	0.05
1277	310R	315	164	150	150	0.6	1.52					3.9	9.16	0.91

Pérdida de carga acumulada del segmento	Δp_t	[Pa]	: 0.97
Velocidad en la sección inicial del segmento	V_m	[m/s]	: 2.7
Velocidad en la sección final del segmento	V_v	[m/s]	: 2.3
Recuperación de presión estática del segmento	Δp_r	[Pa]	: 1.2
Pérdida de carga acumulada del segmento, considerando la recuperación	Δp_{tn}	[Pa]	: 0.87
Pérdida de carga acumulada neta – total acumulado	$\Sigma \Delta p_{tn}$	[Pa]	: 139.54

SEGMENTO 345:

Tipo: Terminal TRM-21

1 ELEMENTO		2 Caudal Q	3 Diam. D/D _e	4 Ancho A	5 Alto B	6 Long. L	7 $\Delta p/L$	8 Fuente Tab	9 Ashrae X	10 Ashrae Y	11 Coeff. C _o	12 Veloc. V	13 P.Dinám P _v	14 Pérdida Δp_r o Δp_e
N. pz.	Cod.	[m³/h]	[mm]	[mm]	[mm]	[m]	[Pa/m]	n.	-	-	-	[m/s]	[Pa]	[Pa]
2949	11RA	45	98	98	98	0	0	ASH6_26	0.143	0.426	1.190	1.7	1.74	3.88
1320	310C	45	98	98	98	0.07	0.57					1.7	1.74	0.04
1322	079C	45	98	98	98	0	0	3.1	1.520		0.046	1.7	1.74	0.07
2974	273C	45	75	0	0	0.02	0	5.1	30.000	1.710	0.050	2.8	4.72	0.24
1323	310C	45	75	0	0	0.3	2.03					2.8	4.72	0.61
2973	023C	45	75	0	0	0.02	0	4.1	30.000	1.710	0.320	2.8	4.72	1.54
1325	05LC	45	98	98	98	0	0	MC4				1.7	1.74	18

Pérdida de carga acumulada del segmento	Δp_t	[Pa]	: 6.39
Velocidad en la sección inicial del segmento	V_m	[m/s]	: 2.3
Velocidad en la sección final del segmento	V_v	[m/s]	: 1.7
Recuperación de presión estática del segmento	Δp_r	[Pa]	: 1.44
Pérdida de carga acumulada del segmento, considerando la recuperación	Δp_{tn}	[Pa]	: 5.29
Pérdida de carga acumulada neta – total acumulado	$\Sigma \Delta p_{tn}$	[Pa]	: 162.83
Desequilibrio del terminal respecto al camino más desfavorable	Δp_{Tmr}	[Pa]	: 34.69

SEGMENTO 344:

Tipo: Tramo

1 ELEMENTO		2 Caudal Q	3 Diam. D/D _e	4 Ancho A	5 Alto B	6 Long. L	7 $\Delta p/L$	8 Fuente Tab	9 Ashrae X	10 Ashrae Y	11 Coeff. C _o	12 Veloc. V	13 P.Dinám P _v	14 Pérdida Δp_r o Δp_e
N. pz.	Cod.	[m³/h]	[mm]	[mm]	[mm]	[m]	[Pa/m]	n.	-	-	-	[m/s]	[Pa]	[Pa]
2950	11RA	270	164	150	150	0	0	ASH6_26M	0.857		0.014	3.3	6.56	0.05
1278	310R	270	164	150	150	0.6	1.15					3.3	6.56	0.69

Pérdida de carga acumulada del segmento	Δp_t	[Pa] : 0.73
Velocidad en la sección inicial del segmento	V_m	[m/s] : 2.3
Velocidad en la sección final del segmento	V_v	[m/s] : 2
Recuperación de presión estática del segmento	Δp_r	[Pa] : 0.78
Pérdida de carga acumulada del segmento, considerando la recuperación	Δp_{tm}	[Pa] : 0.53
Pérdida de carga acumulada neta – total acumulado	$\Sigma \Delta p_{tm}$	[Pa] : 140.07

SEGMENTO 343:

Tipo: Terminal TRM-22

1 ELEMENTO		2 Caudal Q	3 Diam. D/D _e	4 Ancho A	5 Alto B	6 Long. L	7 $\Delta p/L$	8 Fuente Tab	9 Ashrae X	10 Ashrae Y	11 Coeff. C _o	12 Veloc. V	13 P.Dinám P _v	14 Pérdida Δp_r o Δp_e
N. pz.	Cod.	[m³/h]	[mm]	[mm]	[mm]	[m]	[Pa/m]	n.	-	-	-	[m/s]	[Pa]	[Pa]
2951	11RA	45	98	98	98	0	0	ASH6_26	0.167	0.497	1.280	1.7	1.74	3.08
1314	310C	45	98	98	98	0.07	0.57					1.7	1.74	0.04
1316	079C	45	98	98	98	0	0	3.1	1.520		0.046	1.7	1.74	0.07
2972	273C	45	75	0	0	0.02	0	5.1	30.000	1.710	0.050	2.8	4.72	0.24
1317	310C	45	75	0	0	0.3	2.03					2.8	4.72	0.61
2971	023C	45	75	0	0	0.02	0	4.1	30.000	1.710	0.320	2.8	4.72	1.54
1319	05LC	45	98	98	98	0	0	MC4				1.7	1.74	18

Pérdida de carga acumulada del segmento	Δp_t	[Pa] : 5.59
Velocidad en la sección inicial del segmento	V_m	[m/s] : 2
Velocidad en la sección final del segmento	V_v	[m/s] : 1.7
Recuperación de presión estática del segmento	Δp_r	[Pa] : 0.67
Pérdida de carga acumulada del segmento, considerando la recuperación	Δp_{tm}	[Pa] : 5.36
Pérdida de carga acumulada neta – total acumulado	$\Sigma \Delta p_{tm}$	[Pa] : 163.43
Desequilibrio del terminal respecto al camino más desfavorable	Δp_{Tmr}	[Pa] : 34.09

SEGMENTO 342:

Tipo: Tramo

1 ELEMENTO		2 Caudal Q	3 Diam. D/D _e	4 Ancho A	5 Alto B	6 Long. L	7 $\Delta p/L$	8 Fuente Tab	9 Ashrae X	10 Ashrae Y	11 Coeff. C _o	12 Veloc. V	13 P.Dinám P _v	14 Pérdida Δp_r o Δp_e
N. pz.	Cod.	[m³/h]	[mm]	[mm]	[mm]	[m]	[Pa/m]	n.	-	-	-	[m/s]	[Pa]	[Pa]
2952	11RA	225	164	150	150	0	0	ASH6_26M	0.833		0.017	2.8	4.72	0.04
1279	310R	225	164	150	150	0.6	0.82					2.8	4.72	0.49

Pérdida de carga acumulada del segmento	Δp_t	[Pa] : 0.53
Velocidad en la sección inicial del segmento	V_m	[m/s] : 2
Velocidad en la sección final del segmento	V_v	[m/s] : 3.1
Recuperación de presión estática del segmento	Δp_r	[Pa] : -3.38
Pérdida de carga acumulada del segmento, considerando la recuperación	Δp_{tm}	[Pa] : 4.53
Pérdida de carga acumulada neta – total acumulado	$\Sigma \Delta p_{tm}$	[Pa] : 144.6

SEGMENTO 341:**Tipo:** Terminal TRM-22

1 ELEMENTO		2 Caudal Q	3 Diam. D/D _e	4 Ancho A	5 Alto B	6 Long. L	7 $\Delta p/L$	8 Fuente Tab	9 Ashrae X	10 Ashrae Y	11 Coeff. C _o	12 Veloc. V	13 P.Dinám P _v	14 Pérdida Δp_r o Δp_c
N. pz.	Cod.	[m³/h]	[mm]	[mm]	[mm]	[m]	[Pa/m]	n.	-	-	-	[m/s]	[Pa]	[Pa]
2953	11RA	45	98	98	98	0	0	ASH6_26	0.200	0.597	1.090	1.7	1.74	6.41
1308	310C	45	98	98	98	0.07	0.57					1.7	1.74	0.04
1310	079C	45	98	98	98	0	0	3.1	1.520		0.046	1.7	1.74	0.07
2970	273C	45	75	0	0	0.02	0	5.1	30.000	1.710	0.050	2.8	4.72	0.24
1311	310C	45	75	0	0	0.3	2.03					2.8	4.72	0.61
2969	023C	45	75	0	0	0.02	0	4.1	30.000	1.710	0.320	2.8	4.72	1.54
1313	05LC	45	98	98	98	0	0	MC4				1.7	1.74	18

Pérdida de carga acumulada del segmento

 Δp_t [Pa] : 8.91

Velocidad en la sección inicial del segmento

 V_m [m/s] : 3.1

Velocidad en la sección final del segmento

 V_v [m/s] : 1.7

Recuperación de presión estática del segmento

 Δp_r [Pa] : 4.05

Pérdida de carga acumulada del segmento, considerando la recuperación

 Δp_{tn} [Pa] : 5.21

Pérdida de carga acumulada neta – total acumulado

 $\Sigma \Delta p_{tn}$ [Pa] : 167.81

Desequilibrio del terminal respecto al camino más desfavorable

 Δp_{Tmr} [Pa] : 29.71**SEGMENTO 340:****Tipo:** Tramo

1 ELEMENTO		2 Caudal Q	3 Diam. D/D _e	4 Ancho A	5 Alto B	6 Long. L	7 $\Delta p/L$	8 Fuente Tab	9 Ashrae X	10 Ashrae Y	11 Coeff. C _o	12 Veloc. V	13 P.Dinám P _v	14 Pérdida Δp_r o Δp_c
N. pz.	Cod.	[m³/h]	[mm]	[mm]	[mm]	[m]	[Pa/m]	n.	-	-	-	[m/s]	[Pa]	[Pa]
2954	11RA	180	164	150	150	0	0	ASH6_26M	0.800		0.020	2.2	2.91	0.12
1280	310R	180	164	150	150	0.6	0.55					2.2	2.91	0.33

Pérdida de carga acumulada del segmento

 Δp_t [Pa] : 0.45

Velocidad en la sección inicial del segmento

 V_m [m/s] : 3.1

Velocidad en la sección final del segmento

 V_v [m/s] : 2.5

Recuperación de presión estática del segmento

 Δp_r [Pa] : 2.02

Pérdida de carga acumulada del segmento, considerando la recuperación

 Δp_{tn} [Pa] : -0.35

Pérdida de carga acumulada neta – total acumulado

 $\Sigma \Delta p_{tn}$ [Pa] : 144.24**SEGMENTO 339:****Tipo:** Terminal TRM-24

1 ELEMENTO		2 Caudal Q	3 Diam. D/D _e	4 Ancho A	5 Alto B	6 Long. L	7 $\Delta p/L$	8 Fuente Tab	9 Ashrae X	10 Ashrae Y	11 Coeff. C _o	12 Veloc. V	13 P.Dinám P _v	14 Pérdida Δp_r o Δp_c
N. pz.	Cod.	[m³/h]	[mm]	[mm]	[mm]	[m]	[Pa/m]	n.	-	-	-	[m/s]	[Pa]	[Pa]
2955	11RA	45	98	98	98	0	0	ASH6_26	0.250	0.746	1.130	1.7	1.74	4.25
1302	310C	45	98	98	98	0.07	0.57					1.7	1.74	0.04
1304	079C	45	98	98	98	0	0	3.1	1.520		0.046	1.7	1.74	0.07
2968	273C	45	75	0	0	0.02	0	5.1	30.000	1.710	0.050	2.8	4.72	0.24
1305	310C	45	75	0	0	0.3	2.03					2.8	4.72	0.61
2967	023C	45	75	0	0	0.02	0	4.1	30.000	1.710	0.320	2.8	4.72	1.54
1307	05LC	45	98	98	98	0	0	MC4				1.7	1.74	18

Pérdida de carga acumulada del segmento	Δp_t	[Pa]	: 6.76
Velocidad en la sección inicial del segmento	V_m	[m/s]	: 2.5
Velocidad en la sección final del segmento	V_v	[m/s]	: 1.7
Recuperación de presión estática del segmento	Δp_r	[Pa]	: 2.02
Pérdida de carga acumulada del segmento, considerando la recuperación	Δp_{tn}	[Pa]	: 5.17
Pérdida de carga acumulada neta – total acumulado	$\Sigma \Delta p_{tn}$	[Pa]	: 167.42
Desequilibrio del terminal respecto al camino más desfavorable	Δp_{Tmr}	[Pa]	: 30.1

SEGMENTO 338:

Tipo: Tramo

1 ELEMENTO		2 Caudal Q	3 Diam. D/D _e	4 Ancho A	5 Alto B	6 Long. L	7 $\Delta p/L$	8 Fuente Tab	9 Ashrae X	10 Ashrae Y	11 Coeff. C _o	12 Veloc. V	13 P.Dinám P _v	14 Pérdida $\Delta p_r \circ \Delta p_e$
N. pz.	Cod.	[m³/h]	[mm]	[mm]	[mm]	[m]	[Pa/m]	n.	-	-	-	[m/s]	[Pa]	[Pa]
2956	11RA	135	164	150	150	0	0	ASH6_26M	0.750		0.030	1.7	1.74	0.11
1281	310R	135	164	150	150	0.6	0.32					1.7	1.74	0.19

Pérdida de carga acumulada del segmento	Δp_t	[Pa]	: 0.31
Velocidad en la sección inicial del segmento	V_m	[m/s]	: 2.5
Velocidad en la sección final del segmento	V_v	[m/s]	: 2.5
Recuperación de presión estática del segmento	Δp_r	[Pa]	: 0
Pérdida de carga acumulada del segmento, considerando la recuperación	Δp_{tn}	[Pa]	: 1.13
Pérdida de carga acumulada neta – total acumulado	$\Sigma \Delta p_{tn}$	[Pa]	: 145.37

SEGMENTO 337:

Tipo: Terminal TRM-25

1 ELEMENTO		2 Caudal Q	3 Diam. D/D _e	4 Ancho A	5 Alto B	6 Long. L	7 $\Delta p/L$	8 Fuente Tab	9 Ashrae X	10 Ashrae Y	11 Coeff. C _o	12 Veloc. V	13 P.Dinám P _v	14 Pérdida $\Delta p_r \circ \Delta p_e$
N. pz.	Cod.	[m³/h]	[mm]	[mm]	[mm]	[m]	[Pa/m]	n.	-	-	-	[m/s]	[Pa]	[Pa]
2957	11RA	45	98	98	98	0	0	ASH6_26	0.333	0.995	1.110	1.7	1.74	4.16
1296	310C	45	98	98	98	0.07	0.57					1.7	1.74	0.04
1298	079C	45	98	98	98	0	0	3.1	1.520		0.046	1.7	1.74	0.07
2966	273C	45	75	0	0	0.02	0	5.1	30.000	1.710	0.050	2.8	4.72	0.24
1299	310C	45	75	0	0	0.3	2.03					2.8	4.72	0.61
2965	023C	45	75	0	0	0.02	0	4.1	30.000	1.710	0.320	2.8	4.72	1.54
1301	05LC	45	98	98	98	0	0	MC4				1.7	1.74	18

Pérdida de carga acumulada del segmento	Δp_t	[Pa]	: 6.66
Velocidad en la sección inicial del segmento	V_m	[m/s]	: 2.5
Velocidad en la sección final del segmento	V_v	[m/s]	: 1.7
Recuperación de presión estática del segmento	Δp_r	[Pa]	: 2.02
Pérdida de carga acumulada del segmento, considerando la recuperación	Δp_{tn}	[Pa]	: 5.08
Pérdida de carga acumulada neta – total acumulado	$\Sigma \Delta p_{tn}$	[Pa]	: 168.46
Desequilibrio del terminal respecto al camino más desfavorable	Δp_{Tmr}	[Pa]	: 29.07

SEGMENTO 336:

Tipo: Tramo

1 ELEMENTO		2 Caudal Q	3 Diam. D/D _e	4 Ancho A	5 Alto B	6 Long. L	7 $\Delta p/L$	8 Fuente Tab	9 Ashrae X	10 Ashrae Y	11 Coeff. C _o	12 Veloc. V	13 P.Dinám P _v	14 Pérdida $\Delta p_r \circ \Delta p_e$
N. pz.	Cod.	[m³/h]	[mm]	[mm]	[mm]	[m]	[Pa/m]	n.	-	-	-	[m/s]	[Pa]	[Pa]

2958	11RA	90	164	150	150	0	0	ASH6_26M	0.667		0.047	1.1	0.73	0.18
1282	310R	90	164	150	150	0.6	0.15					1.1	0.73	0.09

Pérdida de carga acumulada del segmento	Δp_t	[Pa]	: 0.27
Velocidad en la sección inicial del segmento	V_m	[m/s]	: 2.5
Velocidad en la sección final del segmento	V_v	[m/s]	: 2.5
Recuperación de presión estática del segmento	Δp_r	[Pa]	: 0
Pérdida de carga acumulada del segmento, considerando la recuperación	Δp_{tn}	[Pa]	: 0.95
Pérdida de carga acumulada neta – total acumulado	$\Sigma \Delta p_{tn}$	[Pa]	: 146.33

SEGMENTO 335:

Tipo: Terminal TRM-26

1 ELEMENTO		2 Caudal Q	3 Diam. D/D _e	4 Ancho A	5 Alto B	6 Long. L	7 $\Delta p/L$	8 Fuente Tab	9 Ashrae X	10 Ashrae Y	11 Coeff. C _o	12 Veloc. V	13 P.Dinám P _v	14 Pérdida Δp_r o Δp_c
N. pz.	Cod.	[m³/h]	[mm]	[mm]	[mm]	[m]	[Pa/m]	n.	-	-	-	[m/s]	[Pa]	[Pa]
2959	11RA	45	98	98	98	0	0	ASH6_26	0.500	1.490	1.260	1.7	1.74	4.74
1290	310C	45	98	98	98	0.07	0.57					1.7	1.74	0.04
1292	079C	45	98	98	98	0	0	3.1	1.520		0.046	1.7	1.74	0.07
2964	273C	45	75	0	0	0.02	0	5.1	30.000	1.710	0.050	2.8	4.72	0.24
1293	310C	45	75	0	0	0.3	2.03					2.8	4.72	0.61
2963	023C	45	75	0	0	0.02	0	4.1	30.000	1.710	0.320	2.8	4.72	1.54
1295	05LC	45	98	98	98	0	0	MC4				1.7	1.74	18

Pérdida de carga acumulada del segmento	Δp_t	[Pa]	: 7.25
Velocidad en la sección inicial del segmento	V_m	[m/s]	: 2.5
Velocidad en la sección final del segmento	V_v	[m/s]	: 1.7
Recuperación de presión estática del segmento	Δp_r	[Pa]	: 2.02
Pérdida de carga acumulada del segmento, considerando la recuperación	Δp_{tn}	[Pa]	: 5.67
Pérdida de carga acumulada neta – total acumulado	$\Sigma \Delta p_{tn}$	[Pa]	: 169.99
Desequilibrio del terminal respecto al camino más desfavorable	Δp_{Tmr}	[Pa]	: 27.53

SEGMENTO 334:

Tipo: Terminal TRM-27

1 ELEMENTO		2 Caudal Q	3 Diam. D/D _e	4 Ancho A	5 Alto B	6 Long. L	7 $\Delta p/L$	8 Fuente Tab	9 Ashrae X	10 Ashrae Y	11 Coeff. C _o	12 Veloc. V	13 P.Dinám P _v	14 Pérdida Δp_r o Δp_c
N. pz.	Cod.	[m³/h]	[mm]	[mm]	[mm]	[m]	[Pa/m]	n.	-	-	-	[m/s]	[Pa]	[Pa]
2960	11RA	45	164	150	150	0	0	ASH6_26M	0.500		0.090	0.6	0.22	0.34
1283	310R	45	164	150	150	0.6	0.05					0.6	0.22	0.03
1274	11RAT	45	164	150	150	0	0	2_6	1.000	0.915	2.800	0.6	0.22	0
1284	310C	45	98	98	98	0.07	0.57					1.7	1.74	0.04
1286	079C	45	98	98	98	0	0	3.1	1.520		0.046	1.7	1.74	0.07
2962	023C	45	98	98	98	0	0	4.1	30.000	1.040	0.320	1.7	1.74	0.53
1287	310C	45	100	0	0	0.3	0.5					1.6	1.54	0.15
2961	273C	45	98	98	98	0	0	5.1	30.000	1.040	0.050	1.7	1.74	0.08
1289	05LC	45	98	98	98	0	0	MC4				1.7	1.74	18

Pérdida de carga acumulada del segmento	Δp_t	[Pa]	: 1.24
Velocidad en la sección inicial del segmento	V_m	[m/s]	: 2.5
Velocidad en la sección final del segmento	V_v	[m/s]	: 1.7
Recuperación de presión estática del segmento	Δp_r	[Pa]	: 2.02
Pérdida de carga acumulada del segmento, considerando la recuperación	Δp_{tn}	[Pa]	: -0.55
Pérdida de carga acumulada neta – total acumulado	$\Sigma \Delta p_{tn}$	[Pa]	: 163.78
Desequilibrio del terminal respecto al camino más desfavorable	Δp_{Tmr}	[Pa]	: 33.75

SEGMENTO 332:

Tipo: Tramo

1 ELEMENTO		2 Caudal Q	3 Diam. D/D _e	4 Ancho A	5 Alto B	6 Long. L	7 $\Delta p/L$	8 Fuente Tab	9 Ashrae X	10 Ashrae Y	11 Coeff. C _o	12 Veloc. V	13 P.Dinám P _v	14 Pérdida Δp_r o Δp_c
N. pz.	Cod.	[m³/h]	[mm]	[mm]	[mm]	[m]	[Pa/m]	n.	-	-	-	[m/s]	[Pa]	[Pa]
1201	3736	450	381	250	500	0	0	MC4	0.071	0.385	28.300	1	0.6	16.97
2902	283R	450	210	250	150	0.71	0	5.1	30.000	3.330	0.043	3.3	6.56	0.31
1200	310R	450	210	250	150	1.05	0.87					3.3	6.56	0.91

Pérdida de carga acumulada del segmento

Δp_t [Pa] : 18.19

Velocidad en la sección inicial del segmento

V_m [m/s] : 5.5

Velocidad en la sección final del segmento

V_v [m/s] : 3.3

Recuperación de presión estática del segmento

Δp_r [Pa] : 11.65

Pérdida de carga acumulada del segmento, considerando la recuperación

Δp_{tm} [Pa] : 6.88

Pérdida de carga acumulada neta – total acumulado

$\Sigma \Delta p_{tm}$ [Pa] : 136.93

SEGMENTO 331:

Tipo: Terminal TRM-46

1 ELEMENTO		2 Caudal Q	3 Diam. D/D _e	4 Ancho A	5 Alto B	6 Long. L	7 $\Delta p/L$	8 Fuente Tab	9 Ashrae X	10 Ashrae Y	11 Coeff. C _o	12 Veloc. V	13 P.Dinám P _v	14 Pérdida Δp_r o Δp_c
N. pz.	Cod.	[m³/h]	[mm]	[mm]	[mm]	[m]	[Pa/m]	n.	-	-	-	[m/s]	[Pa]	[Pa]
2900	11RA	45	98	98	98	0	0	ASH6_26	0.100	0.497	1.070	1.7	1.74	7.18
1266	310C	45	98	98	98	0.07	0.57					1.7	1.74	0.04
1268	079C	45	98	98	98	0	0	3.1	1.520		0.046	1.7	1.74	0.07
2941	273C	45	75	0	0	0.02	0	5.1	30.000	1.710	0.050	2.8	4.72	0.24
1269	310C	45	75	0	0	0.3	2.03					2.8	4.72	0.61
2940	023C	45	75	0	0	0.02	0	4.1	30.000	1.710	0.320	2.8	4.72	1.54
1271	05LC	45	98	98	98	0	0	MC4				1.7	1.74	18

Pérdida de carga acumulada del segmento

Δp_t [Pa] : 9.68

Velocidad en la sección inicial del segmento

V_m [m/s] : 3.3

Velocidad en la sección final del segmento

V_v [m/s] : 1.7

Recuperación de presión estática del segmento

Δp_r [Pa] : 4.82

Pérdida de carga acumulada del segmento, considerando la recuperación

Δp_{tm} [Pa] : 5.18

Pérdida de carga acumulada neta – total acumulado

$\Sigma \Delta p_{tm}$ [Pa] : 160.11

Desequilibrio del terminal respecto al camino más desfavorable

Δp_{Tmr} [Pa] : 37.41

SEGMENTO 330:

Tipo: Tramo

1 ELEMENTO		2 Caudal Q	3 Diam. D/D _e	4 Ancho A	5 Alto B	6 Long. L	7 $\Delta p/L$	8 Fuente Tab	9 Ashrae X	10 Ashrae Y	11 Coeff. C _o	12 Veloc. V	13 P.Dinám P _v	14 Pérdida Δp_r o Δp_c
N. pz.	Cod.	[m³/h]	[mm]	[mm]	[mm]	[m]	[Pa/m]	n.	-	-	-	[m/s]	[Pa]	[Pa]
2901	11RA	405	210	250	150	0	0	ASH6_26M	0.900		0.010	3	5.42	0.07
2905	283R	405	152	200	100	0.19	0	5.1	30.000	1.880	0.050	5.6	18.88	0.95
1203	310R	405	152	200	100	0.6	3.53					5.6	18.88	2.12

Pérdida de carga acumulada del segmento

Δp_t [Pa] : 3.14

Velocidad en la sección inicial del segmento

V_m [m/s] : 3.3

Velocidad en la sección final del segmento	V_v	[m/s] : 5.6
Recuperación de presión estática del segmento	Δp_r	[Pa] : -12.32
Pérdida de carga acumulada del segmento, considerando la recuperación	Δp_{tn}	[Pa] : 15.5
Pérdida de carga acumulada neta – total acumulado	$\Sigma \Delta p_{tn}$	[Pa] : 152.43

SEGMENTO 329:

Tipo: Terminal TRM-46

1 ELEMENTO		2 Caudal Q	3 Diam. D/D _e	4 Ancho A	5 Alto B	6 Long. L	7 $\Delta p/L$	8 Fuente Tab	9 Ashrae X	10 Ashrae Y	11 Coeff. C _o	12 Veloc. V	13 P.Dinám P _v	14 Pérdida Δp_r o Δp_e
N. pz.	Cod.	[m³/h]	[mm]	[mm]	[mm]	[m]	[Pa/m]	n.	-	-	-	[m/s]	[Pa]	[Pa]
2903	11RA	45	98	98	98	0	0	ASH6_26	0.111	0.295	1.010	1.7	1.74	19.28
1260	310C	45	98	98	98	0.07	0.57					1.7	1.74	0.04
1262	079C	45	98	98	98	0	0	3.1	1.520		0.046	1.7	1.74	0.07
2939	273C	45	75	0	0	0.02	0	5.1	30.000	1.710	0.050	2.8	4.72	0.24
1263	310C	45	75	0	0	0.3	2.03					2.8	4.72	0.61
2938	023C	45	75	0	0	0.02	0	4.1	30.000	1.710	0.320	2.8	4.72	1.54
1265	05LC	45	98	98	98	0	0	MC4				1.7	1.74	18

Pérdida de carga acumulada del segmento	Δp_t	[Pa] : 21.78
Velocidad en la sección inicial del segmento	V_m	[m/s] : 5.6
Velocidad en la sección final del segmento	V_v	[m/s] : 1.7
Recuperación de presión estática del segmento	Δp_r	[Pa] : 17.14
Pérdida de carga acumulada del segmento, considerando la recuperación	Δp_{tn}	[Pa] : 4.92
Pérdida de carga acumulada neta – total acumulado	$\Sigma \Delta p_{tn}$	[Pa] : 175.35
Desequilibrio del terminal respecto al camino más desfavorable	Δp_{Tmr}	[Pa] : 22.17

SEGMENTO 328:

Tipo: Tramo

1 ELEMENTO		2 Caudal Q	3 Diam. D/D _e	4 Ancho A	5 Alto B	6 Long. L	7 $\Delta p/L$	8 Fuente Tab	9 Ashrae X	10 Ashrae Y	11 Coeff. C _o	12 Veloc. V	13 P.Dinám P _v	14 Pérdida Δp_r o Δp_e
N. pz.	Cod.	[m³/h]	[mm]	[mm]	[mm]	[m]	[Pa/m]	n.	-	-	-	[m/s]	[Pa]	[Pa]
2904	11RA	360	152	200	100	0	0	ASH6_26M	0.889		0.011	5	15.05	0.21
1204	310R	360	152	200	100	0.6	2.85					5	15.05	1.71

Pérdida de carga acumulada del segmento	Δp_t	[Pa] : 1.92
Velocidad en la sección inicial del segmento	V_m	[m/s] : 5.6
Velocidad en la sección final del segmento	V_v	[m/s] : 5
Recuperación de presión estática del segmento	Δp_r	[Pa] : 3.83
Pérdida de carga acumulada del segmento, considerando la recuperación	Δp_{tn}	[Pa] : -2.08
Pérdida de carga acumulada neta – total acumulado	$\Sigma \Delta p_{tn}$	[Pa] : 150.35

SEGMENTO 327:

Tipo: Terminal TRM-46

1 ELEMENTO		2 Caudal Q	3 Diam. D/D _e	4 Ancho A	5 Alto B	6 Long. L	7 $\Delta p/L$	8 Fuente Tab	9 Ashrae X	10 Ashrae Y	11 Coeff. C _o	12 Veloc. V	13 P.Dinám P _v	14 Pérdida Δp_r o Δp_e
N. pz.	Cod.	[m³/h]	[mm]	[mm]	[mm]	[m]	[Pa/m]	n.	-	-	-	[m/s]	[Pa]	[Pa]
2906	11RA	45	98	98	98	0	0	ASH6_26	0.125	0.332	1.020	1.7	1.74	15.39
1254	310C	45	98	98	98	0.07	0.57					1.7	1.74	0.04
1256	079C	45	98	98	98	0	0	3.1	1.520		0.046	1.7	1.74	0.07

2937	273C	45	75	0	0	0.02	0	5.1	30.000	1.710	0.050	2.8	4.72	0.24
1257	310C	45	75	0	0	0.3	2.03					2.8	4.72	0.61
2936	023C	45	75	0	0	0.02	0	4.1	30.000	1.710	0.320	2.8	4.72	1.54
1259	05LC	45	98	98	98	0	0	MC4				1.7	1.74	18

Pérdida de carga acumulada del segmento	Δp_t	[Pa]	: 17.89
Velocidad en la sección inicial del segmento	V_m	[m/s]	: 5
Velocidad en la sección final del segmento	V_v	[m/s]	: 1.7
Recuperación de presión estática del segmento	Δp_r	[Pa]	: 13.31
Pérdida de carga acumulada del segmento, considerando la recuperación	Δp_{tn}	[Pa]	: 5.03
Pérdida de carga acumulada neta – total acumulado	$\Sigma \Delta p_{tn}$	[Pa]	: 173.38
Desequilibrio del terminal respecto al camino más desfavorable	Δp_{Tmr}	[Pa]	: 24.14

SEGMENTO 326:

Tipo: Tramo

1 ELEMENTO		2 Caudal Q	3 Diam. D/D _e	4 Ancho A	5 Alto B	6 Long. L	7 $\Delta p/L$	8 Fuente Tab	9 Ashrae X	10 Ashrae Y	11 Coeff. C _o	12 Veloc. V	13 P.Dinám P _v	14 Pérdida Δp_r o Δp_c
N. pz.	Cod.	[m³/h]	[mm]	[mm]	[mm]	[m]	[Pa/m]	n.	-	-	-	[m/s]	[Pa]	[Pa]
2907	11RA	315	152	200	100	0	0	ASH6_26M	0.875		0.012	4.4	11.65	0.19
2910	283R	315	133	150	100	0.14	0	5.1	30.000	1.330	0.050	5.8	20.25	1.02
1205	310R	315	133	150	100	0.6	4.32					5.8	20.25	2.59

Pérdida de carga acumulada del segmento	Δp_t	[Pa]	: 3.8
Velocidad en la sección inicial del segmento	V_m	[m/s]	: 5
Velocidad en la sección final del segmento	V_v	[m/s]	: 5.8
Recuperación de presión estática del segmento	Δp_r	[Pa]	: -5.2
Pérdida de carga acumulada del segmento, considerando la recuperación	Δp_{tn}	[Pa]	: 9.24
Pérdida de carga acumulada neta – total acumulado	$\Sigma \Delta p_{tn}$	[Pa]	: 159.59

SEGMENTO 325:

Tipo: Terminal TRM-46

1 ELEMENTO		2 Caudal Q	3 Diam. D/D _e	4 Ancho A	5 Alto B	6 Long. L	7 $\Delta p/L$	8 Fuente Tab	9 Ashrae X	10 Ashrae Y	11 Coeff. C _o	12 Veloc. V	13 P.Dinám P _v	14 Pérdida Δp_r o Δp_c
N. pz.	Cod.	[m³/h]	[mm]	[mm]	[mm]	[m]	[Pa/m]	n.	-	-	-	[m/s]	[Pa]	[Pa]
2908	11RA	45	98	98	98	0	0	ASH6_26	0.143	0.284	1.030	1.7	1.74	21.15
1248	310C	45	98	98	98	0.07	0.57					1.7	1.74	0.04
1250	079C	45	98	98	98	0	0	3.1	1.520		0.046	1.7	1.74	0.07
2935	273C	45	75	0	0	0.02	0	5.1	30.000	1.710	0.050	2.8	4.72	0.24
1251	310C	45	75	0	0	0.3	2.03					2.8	4.72	0.61
2934	023C	45	75	0	0	0.02	0	4.1	30.000	1.710	0.320	2.8	4.72	1.54
1253	05LC	45	98	98	98	0	0	MC4				1.7	1.74	18

Pérdida de carga acumulada del segmento	Δp_t	[Pa]	: 23.65
Velocidad en la sección inicial del segmento	V_m	[m/s]	: 5.8
Velocidad en la sección final del segmento	V_v	[m/s]	: 1.7
Recuperación de presión estática del segmento	Δp_r	[Pa]	: 18.51
Pérdida de carga acumulada del segmento, considerando la recuperación	Δp_{tn}	[Pa]	: 5.35
Pérdida de carga acumulada neta – total acumulado	$\Sigma \Delta p_{tn}$	[Pa]	: 182.94
Desequilibrio del terminal respecto al camino más desfavorable	Δp_{Tmr}	[Pa]	: 14.58

SEGMENTO 324:

Tipo: Tramo

1 ELEMENTO		2 Caudal Q	3 Diam. D/D _e	4 Ancho A	5 Alto B	6 Long. L	7 $\Delta p/L$	8 Fuente Tab	9 Ashrae X	10 Ashrae Y	11 Coeff. C _o	12 Veloc. V	13 P.Dinám P _v	14 Pérdida Δp_r o Δp_e
N. pz.	Cod.	[m³/h]	[mm]	[mm]	[mm]	[m]	[Pa/m]	n.	-	-	-	[m/s]	[Pa]	[Pa]
2909	11RA	270	133	150	100	0	0	ASH6_26M	0.857		0.014	5	15.05	0.29
1206	310R	270	133	150	100	0.6	3.23					5	15.05	1.94

Pérdida de carga acumulada del segmento	Δp_t	[Pa] : 2.23
Velocidad en la sección inicial del segmento	V_m	[m/s] : 5.8
Velocidad en la sección final del segmento	V_v	[m/s] : 5
Recuperación de presión estática del segmento	Δp_r	[Pa] : 5.2
Pérdida de carga acumulada del segmento, considerando la recuperación	Δp_{tm}	[Pa] : -3.2
Pérdida de carga acumulada neta – total acumulado	$\Sigma \Delta p_{tm}$	[Pa] : 156.39

SEGMENTO 323:

Tipo: Terminal TRM-46

1 ELEMENTO		2 Caudal Q	3 Diam. D/D _e	4 Ancho A	5 Alto B	6 Long. L	7 $\Delta p/L$	8 Fuente Tab	9 Ashrae X	10 Ashrae Y	11 Coeff. C _o	12 Veloc. V	13 P.Dinám P _v	14 Pérdida Δp_r o Δp_e
N. pz.	Cod.	[m³/h]	[mm]	[mm]	[mm]	[m]	[Pa/m]	n.	-	-	-	[m/s]	[Pa]	[Pa]
2911	11RA	45	98	98	98	0	0	ASH6_26	0.167	0.332	1.050	1.7	1.74	15.79
1242	310C	45	98	98	98	0.07	0.57					1.7	1.74	0.04
1244	079C	45	98	98	98	0	0	3.1	1.520		0.046	1.7	1.74	0.07
2933	273C	45	75	0	0	0.02	0	5.1	30.000	1.710	0.050	2.8	4.72	0.24
1245	310C	45	75	0	0	0.3	2.03					2.8	4.72	0.61
2932	023C	45	75	0	0	0.02	0	4.1	30.000	1.710	0.320	2.8	4.72	1.54
1247	05LC	45	98	98	98	0	0	MC4				1.7	1.74	18

Pérdida de carga acumulada del segmento	Δp_t	[Pa] : 18.29
Velocidad en la sección inicial del segmento	V_m	[m/s] : 5
Velocidad en la sección final del segmento	V_v	[m/s] : 1.7
Recuperación de presión estática del segmento	Δp_r	[Pa] : 13.31
Pérdida de carga acumulada del segmento, considerando la recuperación	Δp_{tm}	[Pa] : 5.42
Pérdida de carga acumulada neta – total acumulado	$\Sigma \Delta p_{tm}$	[Pa] : 179.81
Desequilibrio del terminal respecto al camino más desfavorable	Δp_{Tmr}	[Pa] : 17.71

SEGMENTO 322:

Tipo: Tramo

1 ELEMENTO		2 Caudal Q	3 Diam. D/D _e	4 Ancho A	5 Alto B	6 Long. L	7 $\Delta p/L$	8 Fuente Tab	9 Ashrae X	10 Ashrae Y	11 Coeff. C _o	12 Veloc. V	13 P.Dinám P _v	14 Pérdida Δp_r o Δp_e
N. pz.	Cod.	[m³/h]	[mm]	[mm]	[mm]	[m]	[Pa/m]	n.	-	-	-	[m/s]	[Pa]	[Pa]
2912	11RA	225	133	150	100	0	0	ASH6_26M	0.833		0.017	4.2	10.62	0.25
1207	310R	225	133	150	100	0.6	2.3					4.2	10.62	1.38

Pérdida de carga acumulada del segmento	Δp_t	[Pa] : 1.64
Velocidad en la sección inicial del segmento	V_m	[m/s] : 5
Velocidad en la sección final del segmento	V_v	[m/s] : 4.2
Recuperación de presión estática del segmento	Δp_r	[Pa] : 4.43
Pérdida de carga acumulada del segmento, considerando la recuperación	Δp_{tm}	[Pa] : -2.96
Pérdida de carga acumulada neta – total acumulado	$\Sigma \Delta p_{tm}$	[Pa] : 153.42

SEGMENTO 321:

Tipo: Terminal TRM-46

1 ELEMENTO		2 Caudal Q	3 Diam. D/D _e	4 Ancho A	5 Alto B	6 Long. L	7 $\Delta p/L$	8 Fuente Tab	9 Ashrae X	10 Ashrae Y	11 Coeff. C _o	12 Veloc. V	13 P.Dinám P _v	14 Pérdida Δp_r o Δp_c
N. pz.	Cod.	[m³/h]	[mm]	[mm]	[mm]	[m]	[Pa/m]	n.	-	-	-	[m/s]	[Pa]	[Pa]
2913	11RA	45	98	98	98	0	0	ASH6_26	0.200	0.398	1.070	1.7	1.74	11.18
1236	310C	45	98	98	98	0.07	0.57					1.7	1.74	0.04
1238	079C	45	98	98	98	0	0	3.1	1.520		0.046	1.7	1.74	0.07
2931	273C	45	75	0	0	0.02	0	5.1	30.000	1.710	0.050	2.8	4.72	0.24
1239	310C	45	75	0	0	0.3	2.03					2.8	4.72	0.61
2930	023C	45	75	0	0	0.02	0	4.1	30.000	1.710	0.320	2.8	4.72	1.54
1241	05LC	45	98	98	98	0	0	MC4				1.7	1.74	18

Pérdida de carga acumulada del segmento

Δp_t [Pa] : 13.69

Velocidad en la sección inicial del segmento

V_m [m/s] : 4.2

Velocidad en la sección final del segmento

V_v [m/s] : 1.7

Recuperación de presión estática del segmento

Δp_r [Pa] : 8.88

Pérdida de carga acumulada del segmento, considerando la recuperación

Δp_{tn} [Pa] : 5.42

Pérdida de carga acumulada neta – total acumulado

$\Sigma \Delta p_{tn}$ [Pa] : 176.84

Desequilibrio del terminal respecto al camino más desfavorable

Δp_{Tmr} [Pa] : 20.68

SEGMENTO 320:

Tipo: Tramo

1 ELEMENTO		2 Caudal Q	3 Diam. D/D _e	4 Ancho A	5 Alto B	6 Long. L	7 $\Delta p/L$	8 Fuente Tab	9 Ashrae X	10 Ashrae Y	11 Coeff. C _o	12 Veloc. V	13 P.Dinám P _v	14 Pérdida Δp_r o Δp_c
N. pz.	Cod.	[m³/h]	[mm]	[mm]	[mm]	[m]	[Pa/m]	n.	-	-	-	[m/s]	[Pa]	[Pa]
2914	11RA	180	133	150	100	0	0	ASH6_26M	0.800		0.020	3.3	6.56	0.21
2917	283R	180	109	100	100	0.14	0	5.1	30.000	1.500	0.050	5	15.05	0.75
1208	310R	180	109	100	100	0.6	4.08					5	15.05	2.45

Pérdida de carga acumulada del segmento

Δp_t [Pa] : 3.41

Velocidad en la sección inicial del segmento

V_m [m/s] : 4.2

Velocidad en la sección final del segmento

V_v [m/s] : 5

Recuperación de presión estática del segmento

Δp_r [Pa] : -4.43

Pérdida de carga acumulada del segmento, considerando la recuperación

Δp_{tn} [Pa] : 8.01

Pérdida de carga acumulada neta – total acumulado

$\Sigma \Delta p_{tn}$ [Pa] : 161.44

SEGMENTO 319:

Tipo: Terminal TRM-46

1 ELEMENTO		2 Caudal Q	3 Diam. D/D _e	4 Ancho A	5 Alto B	6 Long. L	7 $\Delta p/L$	8 Fuente Tab	9 Ashrae X	10 Ashrae Y	11 Coeff. C _o	12 Veloc. V	13 P.Dinám P _v	14 Pérdida Δp_r o Δp_c
N. pz.	Cod.	[m³/h]	[mm]	[mm]	[mm]	[m]	[Pa/m]	n.	-	-	-	[m/s]	[Pa]	[Pa]
2915	11RA	45	98	98	98	0	0	ASH6_26	0.250	0.332	1.080	1.7	1.74	16.18
1230	310C	45	98	98	98	0.07	0.57					1.7	1.74	0.04
1232	079C	45	98	98	98	0	0	3.1	1.520		0.046	1.7	1.74	0.07
2929	273C	45	75	0	0	0.02	0	5.1	30.000	1.710	0.050	2.8	4.72	0.24
1233	310C	45	75	0	0	0.3	2.03					2.8	4.72	0.61
2928	023C	45	75	0	0	0.02	0	4.1	30.000	1.710	0.320	2.8	4.72	1.54
1235	05LC	45	98	98	98	0	0	MC4				1.7	1.74	18

Pérdida de carga acumulada del segmento	Δp_t	[Pa]	: 18.68
Velocidad en la sección inicial del segmento	V_m	[m/s]	: 5
Velocidad en la sección final del segmento	V_v	[m/s]	: 1.7
Recuperación de presión estática del segmento	Δp_r	[Pa]	: 13.31
Pérdida de carga acumulada del segmento, considerando la recuperación	Δp_{tn}	[Pa]	: 5.82
Pérdida de carga acumulada neta – total acumulado	$\Sigma \Delta p_{tn}$	[Pa]	: 185.25
Desequilibrio del terminal respecto al camino más desfavorable	Δp_{Tmr}	[Pa]	: 12.27

SEGMENTO 318:

Tipo: Tramo

1 ELEMENTO		2 Caudal Q	3 Diam. D/D _e	4 Ancho A	5 Alto B	6 Long. L	7 $\Delta p/L$	8 Fuente Tab	9 Ashrae X	10 Ashrae Y	11 Coeff. C _o	12 Veloc. V	13 P.Dinám P _v	14 Pérdida Δp_r o Δp_e
N. pz.	Cod.	[m³/h]	[mm]	[mm]	[mm]	[m]	[Pa/m]	n.	-	-	-	[m/s]	[Pa]	[Pa]
2916	11RA	135	109	100	100	0	0	ASH6_26M	0.750		0.030	3.7	8.24	0.45
1209	310R	135	109	100	100	0.6	2.4					3.7	8.24	1.44

Pérdida de carga acumulada del segmento	Δp_t	[Pa]	: 1.89
Velocidad en la sección inicial del segmento	V_m	[m/s]	: 5
Velocidad en la sección final del segmento	V_v	[m/s]	: 3.7
Recuperación de presión estática del segmento	Δp_r	[Pa]	: 6.81
Pérdida de carga acumulada del segmento, considerando la recuperación	Δp_{tn}	[Pa]	: -4.69
Pérdida de carga acumulada neta – total acumulado	$\Sigma \Delta p_{tn}$	[Pa]	: 156.75

SEGMENTO 317:

Tipo: Terminal TRM-46

1 ELEMENTO		2 Caudal Q	3 Diam. D/D _e	4 Ancho A	5 Alto B	6 Long. L	7 $\Delta p/L$	8 Fuente Tab	9 Ashrae X	10 Ashrae Y	11 Coeff. C _o	12 Veloc. V	13 P.Dinám P _v	14 Pérdida Δp_r o Δp_e
N. pz.	Cod.	[m³/h]	[mm]	[mm]	[mm]	[m]	[Pa/m]	n.	-	-	-	[m/s]	[Pa]	[Pa]
2918	11RA	45	98	98	98	0	0	ASH6_26	0.333	0.442	1.100	1.7	1.74	9.28
1224	310C	45	98	98	98	0.07	0.57					1.7	1.74	0.04
1226	079C	45	98	98	98	0	0	3.1	1.520		0.046	1.7	1.74	0.07
2927	273C	45	75	0	0	0.02	0	5.1	30.000	1.710	0.050	2.8	4.72	0.24
1227	310C	45	75	0	0	0.3	2.03					2.8	4.72	0.61
2926	023C	45	75	0	0	0.02	0	4.1	30.000	1.710	0.320	2.8	4.72	1.54
1229	05LC	45	98	98	98	0	0	MC4				1.7	1.74	18

Pérdida de carga acumulada del segmento	Δp_t	[Pa]	: 11.79
Velocidad en la sección inicial del segmento	V_m	[m/s]	: 3.7
Velocidad en la sección final del segmento	V_v	[m/s]	: 1.7
Recuperación de presión estática del segmento	Δp_r	[Pa]	: 6.5
Pérdida de carga acumulada del segmento, considerando la recuperación	Δp_{tn}	[Pa]	: 5.51
Pérdida de carga acumulada neta – total acumulado	$\Sigma \Delta p_{tn}$	[Pa]	: 180.25
Desequilibrio del terminal respecto al camino más desfavorable	Δp_{Tmr}	[Pa]	: 17.27

SEGMENTO 316:

Tipo: Tramo

1 ELEMENTO		2 Caudal Q	3 Diam. D/D _e	4 Ancho A	5 Alto B	6 Long. L	7 $\Delta p/L$	8 Fuente Tab	9 Ashrae X	10 Ashrae Y	11 Coeff. C _o	12 Veloc. V	13 P.Dinám P _v	14 Pérdida Δp_r o Δp_e
---------------	--	------------------	--------------------------------	-----------------	----------------	-----------------	-------------------	--------------------	------------------	-------------------	--------------------------------	-------------------	---------------------------------	--

N. pz.	Cod.	[m³/h]	[mm]	[mm]	[mm]	[m]	[Pa/m]	n.	-	-	-	[m/s]	[Pa]	[Pa]
2919	11RA	90	109	100	100	0	0	ASH6_26M	0.667		0.047	2.5	3.76	0.4
1210	310R	90	109	100	100	0.6	1.13					2.5	3.76	0.68

Pérdida de carga acumulada del segmento	Δp_t	[Pa]	: 1.07
Velocidad en la sección inicial del segmento	V_m	[m/s]	: 3.7
Velocidad en la sección final del segmento	V_v	[m/s]	: 2.5
Recuperación de presión estática del segmento	Δp_r	[Pa]	: 4.48
Pérdida de carga acumulada del segmento, considerando la recuperación	Δp_{tm}	[Pa]	: -3.63
Pérdida de carga acumulada neta – total acumulado	$\Sigma \Delta p_{tm}$	[Pa]	: 153.12

SEGMENTO 315:

Tipo: Terminal TRM-46

1 ELEMENTO		2 Caudal Q	3 Diam. D/D _e	4 Ancho A	5 Alto B	6 Long. L	7 $\Delta p/L$	8 Fuente Tab	9 Ashrae X	10 Ashrae Y	11 Coeff. C _o	12 Veloc. V	13 P.Dinám P _v	14 Pérdida Δp_r o Δp_c
N. pz.	Cod.	[m³/h]	[mm]	[mm]	[mm]	[m]	[Pa/m]	n.	-	-	-	[m/s]	[Pa]	[Pa]
2920	11RA	45	98	98	98	0	0	ASH6_26	0.500	0.663	1.260	1.7	1.74	4.74
1218	310C	45	98	98	98	0.07	0.57					1.7	1.74	0.04
1220	079C	45	98	98	98	0	0	3.1	1.520		0.046	1.7	1.74	0.07
2925	273C	45	75	0	0	0.02	0	5.1	30.000	1.710	0.050	2.8	4.72	0.24
1221	310C	45	75	0	0	0.3	2.03					2.8	4.72	0.61
2924	023C	45	75	0	0	0.02	0	4.1	30.000	1.710	0.320	2.8	4.72	1.54
1223	05LC	45	98	98	98	0	0	MC4				1.7	1.74	18

Pérdida de carga acumulada del segmento	Δp_t	[Pa]	: 7.25
Velocidad en la sección inicial del segmento	V_m	[m/s]	: 2.5
Velocidad en la sección final del segmento	V_v	[m/s]	: 1.7
Recuperación de presión estática del segmento	Δp_r	[Pa]	: 2.02
Pérdida de carga acumulada del segmento, considerando la recuperación	Δp_{tm}	[Pa]	: 5.67
Pérdida de carga acumulada neta – total acumulado	$\Sigma \Delta p_{tm}$	[Pa]	: 176.78
Desequilibrio del terminal respecto al camino más desfavorable	Δp_{Tmr}	[Pa]	: 20.74

SEGMENTO 314:

Tipo: Terminal TRM-46

1 ELEMENTO		2 Caudal Q	3 Diam. D/D _e	4 Ancho A	5 Alto B	6 Long. L	7 $\Delta p/L$	8 Fuente Tab	9 Ashrae X	10 Ashrae Y	11 Coeff. C _o	12 Veloc. V	13 P.Dinám P _v	14 Pérdida Δp_r o Δp_c
N. pz.	Cod.	[m³/h]	[mm]	[mm]	[mm]	[m]	[Pa/m]	n.	-	-	-	[m/s]	[Pa]	[Pa]
2921	11RA	45	109	100	100	0	0	ASH6_26M	0.500		0.090	1.2	0.87	0.34
1211	310R	45	109	100	100	0.6	0.32					1.2	0.87	0.19
1202	11RAT	45	109	100	100	0	0	2_6	1.000	0.917	2.800	1.2	0.87	4.63
1212	310C	45	98	98	98	0.07	0.57					1.7	1.74	0.04
1214	079C	45	98	98	98	0	0	3.1	1.520		0.046	1.7	1.74	0.07
2923	023C	45	98	98	98	0	0	4.1	30.000	1.040	0.320	1.7	1.74	0.53
1215	310C	45	100	0	0	0.3	0.5					1.6	1.54	0.15
2922	273C	45	98	98	98	0	0	5.1	30.000	1.040	0.050	1.7	1.74	0.08
1217	05LC	45	98	98	98	0	0	MC4				1.7	1.74	18

Pérdida de carga acumulada del segmento	Δp_t	[Pa]	: 6.04
Velocidad en la sección inicial del segmento	V_m	[m/s]	: 2.5
Velocidad en la sección final del segmento	V_v	[m/s]	: 1.7
Recuperación de presión estática del segmento	Δp_r	[Pa]	: 2.02
Pérdida de carga acumulada del segmento, considerando la recuperación	Δp_{tm}	[Pa]	: 3.93

Pérdida de carga acumulada neta – total acumulado
Desequilibrio del terminal respecto al camino más desfavorable

$\Sigma \Delta p_{tn}$ [Pa] : 175.04
 Δp_{Tmr} [Pa] : 22.48

SEGMENTO 352:

Tipo: Tramo

1 ELEMENTO		2 Caudal Q	3 Diam. D/D _e	4 Ancho A	5 Alto B	6 Long. L	7 $\Delta p/L$	8 Fuente Tab	9 Ashrae X	10 Ashrae Y	11 Coeff. C _o	12 Veloc. V	13 P.Dinám P _v	14 Pérdida Δp_r o Δp_c
N. pz.	Cod.	[m³/h]	[mm]	[mm]	[mm]	[m]	[Pa/m]	n.	-	-	-	[m/s]	[Pa]	[Pa]
2898	3736	5400	573	550	500	0	0	MC4	1.010		0.077	5.5	18.21	1.4
1344	310R	5400	573	550	500	1	0.61					5.5	18.21	0.61

Pérdida de carga acumulada del segmento
Velocidad en la sección inicial del segmento
Velocidad en la sección final del segmento
Recuperación de presión estática del segmento
Pérdida de carga acumulada del segmento, considerando la recuperación
Pérdida de carga acumulada neta – total acumulado

Δp_t [Pa] : 2.01
 V_m [m/s] : 5.5
 V_v [m/s] : 4.7
 Δp_r [Pa] : 4.91
 Δp_{tn} [Pa] : 6.53
 $\Sigma \Delta p_{tn}$ [Pa] : 136.58

SEGMENTO 372:

Tipo: Tramo

1 ELEMENTO		2 Caudal Q	3 Diam. D/D _e	4 Ancho A	5 Alto B	6 Long. L	7 $\Delta p/L$	8 Fuente Tab	9 Ashrae X	10 Ashrae Y	11 Coeff. C _o	12 Veloc. V	13 P.Dinám P _v	14 Pérdida Δp_r o Δp_c
N. pz.	Cod.	[m³/h]	[mm]	[mm]	[mm]	[m]	[Pa/m]	n.	-	-	-	[m/s]	[Pa]	[Pa]
2981	3736	450	287	150	500	0	0	MC4	0.083	0.273	4.130	1.7	1.74	7.18
3027	283R	450	164	150	150	0.71	0	5.1	30.000	3.330	0.043	5.6	18.88	0.87
1419	310R	450	164	150	150	1.1	2.95					5.6	18.88	3.25

Pérdida de carga acumulada del segmento
Velocidad en la sección inicial del segmento
Velocidad en la sección final del segmento
Recuperación de presión estática del segmento
Pérdida de carga acumulada del segmento, considerando la recuperación
Pérdida de carga acumulada neta – total acumulado

Δp_t [Pa] : 11.3
 V_m [m/s] : 4.7
 V_v [m/s] : 3.3
 Δp_r [Pa] : 6.74
 Δp_{tn} [Pa] : 5.69
 $\Sigma \Delta p_{tn}$ [Pa] : 142.28

SEGMENTO 390:

Tipo: Terminal TRM-18

1 ELEMENTO		2 Caudal Q	3 Diam. D/D _e	4 Ancho A	5 Alto B	6 Long. L	7 $\Delta p/L$	8 Fuente Tab	9 Ashrae X	10 Ashrae Y	11 Coeff. C _o	12 Veloc. V	13 P.Dinám P _v	14 Pérdida Δp_r o Δp_c
N. pz.	Cod.	[m³/h]	[mm]	[mm]	[mm]	[m]	[Pa/m]	n.	-	-	-	[m/s]	[Pa]	[Pa]
3025	11RA	45	98	98	98	0	0	ASH6_26	0.100	0.298	1.070	1.7	1.74	7.18
1485	310C	45	98	98	98	0.07	0.57					1.7	1.74	0.04
1487	079C	45	98	98	98	0	0	3.1	1.520		0.046	1.7	1.74	0.07
3063	273C	45	75	0	0	0.02	0	5.1	30.000	1.710	0.050	2.8	4.72	0.24
1488	310C	45	75	0	0	0.3	2.03					2.8	4.72	0.61
3062	023C	45	75	0	0	0.02	0	4.1	30.000	1.710	0.320	2.8	4.72	1.54
1490	05LC	45	98	98	98	0	0	MC4				1.7	1.74	18

Pérdida de carga acumulada del segmento
Velocidad en la sección inicial del segmento

Δp_t [Pa] : 9.68
 V_m [m/s] : 3.3

Velocidad en la sección final del segmento	V_v	[m/s]	: 1.7
Recuperación de presión estática del segmento	Δp_r	[Pa]	: 4.82
Pérdida de carga acumulada del segmento, considerando la recuperación	Δp_{tn}	[Pa]	: 5.18
Pérdida de carga acumulada neta – total acumulado	$\Sigma \Delta p_{tn}$	[Pa]	: 165.45
Desequilibrio del terminal respecto al camino más desfavorable	Δp_{Tmr}	[Pa]	: 32.07

SEGMENTO 389:

Tipo: Tramo

1 ELEMENTO		2 Caudal Q	3 Diam. D/D _e	4 Ancho A	5 Alto B	6 Long. L	7 $\Delta p/L$	8 Fuente Tab	9 Ashrae X	10 Ashrae Y	11 Coeff. C _o	12 Veloc. V	13 P.Dinám P _v	14 Pérdida Δp_r o Δp_c
N. pz.	Cod.	[m³/h]	[mm]	[mm]	[mm]	[m]	[Pa/m]	n.	-	-	-	[m/s]	[Pa]	[Pa]
3026	11RA	405	164	150	150	0	0	ASH6_26M	0.900		0.010	5	15.05	0.07
1422	310R	405	164	150	150	0.6	2.43					5	15.05	1.46

Pérdida de carga acumulada del segmento	Δp_t	[Pa]	: 1.52
Velocidad en la sección inicial del segmento	V_m	[m/s]	: 3.3
Velocidad en la sección final del segmento	V_v	[m/s]	: 3
Recuperación de presión estática del segmento	Δp_r	[Pa]	: 1.14
Pérdida de carga acumulada del segmento, considerando la recuperación	Δp_{tn}	[Pa]	: 1.76
Pérdida de carga acumulada neta – total acumulado	$\Sigma \Delta p_{tn}$	[Pa]	: 144.04

SEGMENTO 388:

Tipo: Terminal TRM-19

1 ELEMENTO		2 Caudal Q	3 Diam. D/D _e	4 Ancho A	5 Alto B	6 Long. L	7 $\Delta p/L$	8 Fuente Tab	9 Ashrae X	10 Ashrae Y	11 Coeff. C _o	12 Veloc. V	13 P.Dinám P _v	14 Pérdida Δp_r o Δp_c
N. pz.	Cod.	[m³/h]	[mm]	[mm]	[mm]	[m]	[Pa/m]	n.	-	-	-	[m/s]	[Pa]	[Pa]
3028	11RA	45	98	98	98	0	0	ASH6_26	0.111	0.332	1.110	1.7	1.74	6
1479	310C	45	98	98	98	0.07	0.57					1.7	1.74	0.04
1481	079C	45	98	98	98	0	0	3.1	1.520		0.046	1.7	1.74	0.07
3061	273C	45	75	0	0	0.02	0	5.1	30.000	1.710	0.050	2.8	4.72	0.24
1482	310C	45	75	0	0	0.3	2.03					2.8	4.72	0.61
3060	023C	45	75	0	0	0.02	0	4.1	30.000	1.710	0.320	2.8	4.72	1.54
1484	05LC	45	98	98	98	0	0	MC4				1.7	1.74	18

Pérdida de carga acumulada del segmento	Δp_t	[Pa]	: 8.51
Velocidad en la sección inicial del segmento	V_m	[m/s]	: 3
Velocidad en la sección final del segmento	V_v	[m/s]	: 1.7
Recuperación de presión estática del segmento	Δp_r	[Pa]	: 3.68
Pérdida de carga acumulada del segmento, considerando la recuperación	Δp_{tn}	[Pa]	: 5.27
Pérdida de carga acumulada neta – total acumulado	$\Sigma \Delta p_{tn}$	[Pa]	: 167.31
Desequilibrio del terminal respecto al camino más desfavorable	Δp_{Tmr}	[Pa]	: 30.22

SEGMENTO 387:

Tipo: Tramo

1 ELEMENTO		2 Caudal Q	3 Diam. D/D _e	4 Ancho A	5 Alto B	6 Long. L	7 $\Delta p/L$	8 Fuente Tab	9 Ashrae X	10 Ashrae Y	11 Coeff. C _o	12 Veloc. V	13 P.Dinám P _v	14 Pérdida Δp_r o Δp_c
N. pz.	Cod.	[m³/h]	[mm]	[mm]	[mm]	[m]	[Pa/m]	n.	-	-	-	[m/s]	[Pa]	[Pa]
3029	11RA	360	164	150	150	0	0	ASH6_26M	0.889		0.011	4.4	11.65	0.06
1423	310R	360	164	150	150	0.6	1.95					4.4	11.65	1.17

Pérdida de carga acumulada del segmento	Δp_t	[Pa]	: 1.23
Velocidad en la sección inicial del segmento	V_m	[m/s]	: 3
Velocidad en la sección final del segmento	V_v	[m/s]	: 2.7
Recuperación de presión estática del segmento	Δp_r	[Pa]	: 1.03
Pérdida de carga acumulada del segmento, considerando la recuperación	Δp_{tm}	[Pa]	: 1.28
Pérdida de carga acumulada neta – total acumulado	$\Sigma \Delta p_{tm}$	[Pa]	: 145.31

SEGMENTO 386:

Tipo: Terminal TRM-20

1 ELEMENTO		2 Caudal Q	3 Diam. D/D _e	4 Ancho A	5 Alto B	6 Long. L	7 $\Delta p/L$	8 Fuente Tab	9 Ashrae X	10 Ashrae Y	11 Coeff. C _o	12 Veloc. V	13 P.Dinám P _v	14 Pérdida Δp_r o Δp_c
N. pz.	Cod.	[m³/h]	[mm]	[mm]	[mm]	[m]	[Pa/m]	n.	-	-	-	[m/s]	[Pa]	[Pa]
3030	11RA	45	98	98	98	0	0	ASH6_26	0.125	0.373	1.140	1.7	1.74	4.88
1473	310C	45	98	98	98	0.07	0.57					1.7	1.74	0.04
1475	079C	45	98	98	98	0	0	3.1	1.520		0.046	1.7	1.74	0.07
3059	273C	45	75	0	0	0.02	0	5.1	30.000	1.710	0.050	2.8	4.72	0.24
1476	310C	45	75	0	0	0.3	2.03					2.8	4.72	0.61
3058	023C	45	75	0	0	0.02	0	4.1	30.000	1.710	0.320	2.8	4.72	1.54
1478	05LC	45	98	98	98	0	0	MC4				1.7	1.74	18

Pérdida de carga acumulada del segmento	Δp_t	[Pa]	: 7.38
Velocidad en la sección inicial del segmento	V_m	[m/s]	: 2.7
Velocidad en la sección final del segmento	V_v	[m/s]	: 1.7
Recuperación de presión estática del segmento	Δp_r	[Pa]	: 2.65
Pérdida de carga acumulada del segmento, considerando la recuperación	Δp_{tm}	[Pa]	: 5.28
Pérdida de carga acumulada neta – total acumulado	$\Sigma \Delta p_{tm}$	[Pa]	: 168.6
Desequilibrio del terminal respecto al camino más desfavorable	Δp_{Tmr}	[Pa]	: 28.93

SEGMENTO 385:

Tipo: Tramo

1 ELEMENTO		2 Caudal Q	3 Diam. D/D _e	4 Ancho A	5 Alto B	6 Long. L	7 $\Delta p/L$	8 Fuente Tab	9 Ashrae X	10 Ashrae Y	11 Coeff. C _o	12 Veloc. V	13 P.Dinám P _v	14 Pérdida Δp_r o Δp_c
N. pz.	Cod.	[m³/h]	[mm]	[mm]	[mm]	[m]	[Pa/m]	n.	-	-	-	[m/s]	[Pa]	[Pa]
3031	11RA	315	164	150	150	0	0	ASH6_26M	0.875		0.012	3.9	9.16	0.05
1424	310R	315	164	150	150	0.6	1.52					3.9	9.16	0.91

Pérdida de carga acumulada del segmento	Δp_t	[Pa]	: 0.97
Velocidad en la sección inicial del segmento	V_m	[m/s]	: 2.7
Velocidad en la sección final del segmento	V_v	[m/s]	: 2.3
Recuperación de presión estática del segmento	Δp_r	[Pa]	: 1.2
Pérdida de carga acumulada del segmento, considerando la recuperación	Δp_{tm}	[Pa]	: 0.87
Pérdida de carga acumulada neta – total acumulado	$\Sigma \Delta p_{tm}$	[Pa]	: 146.19

SEGMENTO 384:

Tipo: Terminal TRM-21

1 ELEMENTO		2 Caudal Q	3 Diam. D/D _e	4 Ancho A	5 Alto B	6 Long. L	7 $\Delta p/L$	8 Fuente Tab	9 Ashrae X	10 Ashrae Y	11 Coeff. C _o	12 Veloc. V	13 P.Dinám P _v	14 Pérdida Δp_r o Δp_c
---------------	--	------------------	--------------------------------	-----------------	----------------	-----------------	-------------------	--------------------	------------------	-------------------	--------------------------------	-------------------	---------------------------------	--

N. pz.	Cod.	[m³/h]	[mm]	[mm]	[mm]	[m]	[Pa/m]	n.	-	-	-	[m/s]	[Pa]	[Pa]
3032	11RA	45	98	98	98	0	0	ASH6_26	0.143	0.426	1.190	1.7	1.74	3.88
1467	310C	45	98	98	98	0.07	0.57					1.7	1.74	0.04
1469	079C	45	98	98	98	0	0	3.1	1.520		0.046	1.7	1.74	0.07
3057	273C	45	75	0	0	0.02	0	5.1	30.000	1.710	0.050	2.8	4.72	0.24
1470	310C	45	75	0	0	0.3	2.03					2.8	4.72	0.61
3056	023C	45	75	0	0	0.02	0	4.1	30.000	1.710	0.320	2.8	4.72	1.54
1472	05LC	45	98	98	98	0	0	MC4				1.7	1.74	18

Pérdida de carga acumulada del segmento	Δp_t	[Pa]	: 6.39
Velocidad en la sección inicial del segmento	V_m	[m/s]	: 2.3
Velocidad en la sección final del segmento	V_v	[m/s]	: 1.7
Recuperación de presión estática del segmento	Δp_r	[Pa]	: 1.44
Pérdida de carga acumulada del segmento, considerando la recuperación	Δp_{tn}	[Pa]	: 5.29
Pérdida de carga acumulada neta – total acumulado	$\Sigma \Delta p_{tn}$	[Pa]	: 169.48
Desequilibrio del terminal respecto al camino más desfavorable	Δp_{Tmr}	[Pa]	: 28.04

SEGMENTO 383:

Tipo: Tramo

1 ELEMENTO		2 Caudal Q	3 Diam. D/D _e	4 Ancho A	5 Alto B	6 Long. L	7 $\Delta p/L$	8 Fuente Tab	9 Ashrae X	10 Ashrae Y	11 Coeff. C _o	12 Veloc. V	13 P.Dinám P _v	14 Pérdida Δp_r o Δp_c
N. pz.	Cod.	[m³/h]	[mm]	[mm]	[mm]	[m]	[Pa/m]	n.	-	-	-	[m/s]	[Pa]	[Pa]
3033	11RA	270	164	150	150	0	0	ASH6_26M	0.857		0.014	3.3	6.56	0.05
1425	310R	270	164	150	150	0.6	1.15					3.3	6.56	0.69

Pérdida de carga acumulada del segmento	Δp_t	[Pa]	: 0.73
Velocidad en la sección inicial del segmento	V_m	[m/s]	: 2.3
Velocidad en la sección final del segmento	V_v	[m/s]	: 2
Recuperación de presión estática del segmento	Δp_r	[Pa]	: 0.78
Pérdida de carga acumulada del segmento, considerando la recuperación	Δp_{tn}	[Pa]	: 0.53
Pérdida de carga acumulada neta – total acumulado	$\Sigma \Delta p_{tn}$	[Pa]	: 146.72

SEGMENTO 382:

Tipo: Terminal TRM-22

1 ELEMENTO		2 Caudal Q	3 Diam. D/D _e	4 Ancho A	5 Alto B	6 Long. L	7 $\Delta p/L$	8 Fuente Tab	9 Ashrae X	10 Ashrae Y	11 Coeff. C _o	12 Veloc. V	13 P.Dinám P _v	14 Pérdida Δp_r o Δp_c
N. pz.	Cod.	[m³/h]	[mm]	[mm]	[mm]	[m]	[Pa/m]	n.	-	-	-	[m/s]	[Pa]	[Pa]
3034	11RA	45	98	98	98	0	0	ASH6_26	0.167	0.497	1.280	1.7	1.74	3.08
1461	310C	45	98	98	98	0.07	0.57					1.7	1.74	0.04
1463	079C	45	98	98	98	0	0	3.1	1.520		0.046	1.7	1.74	0.07
3055	273C	45	75	0	0	0.02	0	5.1	30.000	1.710	0.050	2.8	4.72	0.24
1464	310C	45	75	0	0	0.3	2.03					2.8	4.72	0.61
3054	023C	45	75	0	0	0.02	0	4.1	30.000	1.710	0.320	2.8	4.72	1.54
1466	05LC	45	98	98	98	0	0	MC4				1.7	1.74	18

Pérdida de carga acumulada del segmento	Δp_t	[Pa]	: 5.59
Velocidad en la sección inicial del segmento	V_m	[m/s]	: 2
Velocidad en la sección final del segmento	V_v	[m/s]	: 1.7
Recuperación de presión estática del segmento	Δp_r	[Pa]	: 0.67
Pérdida de carga acumulada del segmento, considerando la recuperación	Δp_{tn}	[Pa]	: 5.36
Pérdida de carga acumulada neta – total acumulado	$\Sigma \Delta p_{tn}$	[Pa]	: 170.08
Desequilibrio del terminal respecto al camino más desfavorable	Δp_{Tmr}	[Pa]	: 27.44

SEGMENTO 381:**Tipo:** Tramo

1 ELEMENTO		2 Caudal Q	3 Diam. D/D _e	4 Ancho A	5 Alto B	6 Long. L	7 $\Delta p/L$	8 Fuente Tab	9 Ashrae X	10 Ashrae Y	11 Coeff. C _o	12 Veloc. V	13 P.Dinám P _v	14 Pérdida Δp_r o Δp_c
N. pz.	Cod.	[m³/h]	[mm]	[mm]	[mm]	[m]	[Pa/m]	n.	-	-	-	[m/s]	[Pa]	[Pa]
3035	11RA	225	164	150	150	0	0	ASH6_26M	0.833		0.017	2.8	4.72	0.04
1426	310R	225	164	150	150	0.6	0.82					2.8	4.72	0.49

Pérdida de carga acumulada del segmento

 Δp_t [Pa] : 0.53

Velocidad en la sección inicial del segmento

 V_m [m/s] : 2

Velocidad en la sección final del segmento

 V_v [m/s] : 3.1

Recuperación de presión estática del segmento

 Δp_r [Pa] : -3.38

Pérdida de carga acumulada del segmento, considerando la recuperación

 Δp_{tn} [Pa] : 4.53

Pérdida de carga acumulada neta – total acumulado

 $\Sigma \Delta p_{tn}$ [Pa] : 151.25**SEGMENTO 380:****Tipo:** Terminal TRM-22

1 ELEMENTO		2 Caudal Q	3 Diam. D/D _e	4 Ancho A	5 Alto B	6 Long. L	7 $\Delta p/L$	8 Fuente Tab	9 Ashrae X	10 Ashrae Y	11 Coeff. C _o	12 Veloc. V	13 P.Dinám P _v	14 Pérdida Δp_r o Δp_c
N. pz.	Cod.	[m³/h]	[mm]	[mm]	[mm]	[m]	[Pa/m]	n.	-	-	-	[m/s]	[Pa]	[Pa]
3036	11RA	45	98	98	98	0	0	ASH6_26	0.200	0.597	1.090	1.7	1.74	6.41
1455	310C	45	98	98	98	0.07	0.57					1.7	1.74	0.04
1457	079C	45	98	98	98	0	0	3.1	1.520		0.046	1.7	1.74	0.07
3053	273C	45	75	0	0	0.02	0	5.1	30.000	1.710	0.050	2.8	4.72	0.24
1458	310C	45	75	0	0	0.3	2.03					2.8	4.72	0.61
3052	023C	45	75	0	0	0.02	0	4.1	30.000	1.710	0.320	2.8	4.72	1.54
1460	05LC	45	98	98	98	0	0	MC4				1.7	1.74	18

Pérdida de carga acumulada del segmento

 Δp_t [Pa] : 8.91

Velocidad en la sección inicial del segmento

 V_m [m/s] : 3.1

Velocidad en la sección final del segmento

 V_v [m/s] : 1.7

Recuperación de presión estática del segmento

 Δp_r [Pa] : 4.05

Pérdida de carga acumulada del segmento, considerando la recuperación

 Δp_{tn} [Pa] : 5.21

Pérdida de carga acumulada neta – total acumulado

 $\Sigma \Delta p_{tn}$ [Pa] : 174.46

Desequilibrio del terminal respecto al camino más desfavorable

 Δp_{Tmr} [Pa] : 23.06**SEGMENTO 379:****Tipo:** Tramo

1 ELEMENTO		2 Caudal Q	3 Diam. D/D _e	4 Ancho A	5 Alto B	6 Long. L	7 $\Delta p/L$	8 Fuente Tab	9 Ashrae X	10 Ashrae Y	11 Coeff. C _o	12 Veloc. V	13 P.Dinám P _v	14 Pérdida Δp_r o Δp_c
N. pz.	Cod.	[m³/h]	[mm]	[mm]	[mm]	[m]	[Pa/m]	n.	-	-	-	[m/s]	[Pa]	[Pa]
3037	11RA	180	164	150	150	0	0	ASH6_26M	0.800		0.020	2.2	2.91	0.12
1427	310R	180	164	150	150	0.6	0.55					2.2	2.91	0.33

Pérdida de carga acumulada del segmento

 Δp_t [Pa] : 0.45

Velocidad en la sección inicial del segmento

 V_m [m/s] : 3.1

Velocidad en la sección final del segmento

 V_v [m/s] : 2.5

Recuperación de presión estática del segmento
 Pérdida de carga acumulada del segmento, considerando la recuperación
 Pérdida de carga acumulada neta – total acumulado

Δp_r [Pa] : 2.02
 Δp_{tn} [Pa] : -0.35
 $\Sigma \Delta p_{tn}$ [Pa] : 150.89

SEGMENTO 378:

Tipo: Terminal TRM-24

1 ELEMENTO		2 Caudal Q	3 Diam. D/D _e	4 Ancho A	5 Alto B	6 Long. L	7 $\Delta p/L$	8 Fuente Tab	9 Ashrae X	10 Ashrae Y	11 Coeff. C _o	12 Veloc. V	13 P.Dinám P _v	14 Pérdida Δp_r o Δp_c
N. pz.	Cod.	[m³/h]	[mm]	[mm]	[mm]	[m]	[Pa/m]	n.	-	-	-	[m/s]	[Pa]	[Pa]
3038	11RA	45	98	98	98	0	0	ASH6_26	0.250	0.746	1.130	1.7	1.74	4.25
1449	310C	45	98	98	98	0.07	0.57					1.7	1.74	0.04
1451	079C	45	98	98	98	0	0	3.1	1.520		0.046	1.7	1.74	0.07
3051	273C	45	75	0	0	0.02	0	5.1	30.000	1.710	0.050	2.8	4.72	0.24
1452	310C	45	75	0	0	0.3	2.03					2.8	4.72	0.61
3050	023C	45	75	0	0	0.02	0	4.1	30.000	1.710	0.320	2.8	4.72	1.54
1454	05LC	45	98	98	98	0	0	MC4				1.7	1.74	18

Pérdida de carga acumulada del segmento
 Velocidad en la sección inicial del segmento
 Velocidad en la sección final del segmento
 Recuperación de presión estática del segmento
 Pérdida de carga acumulada del segmento, considerando la recuperación
 Pérdida de carga acumulada neta – total acumulado
 Desequilibrio del terminal respecto al camino más desfavorable

Δp_t [Pa] : 6.76
 V_m [m/s] : 2.5
 V_v [m/s] : 1.7
 Δp_r [Pa] : 2.02
 Δp_{tn} [Pa] : 5.17
 $\Sigma \Delta p_{tn}$ [Pa] : 174.07
 Δp_{Tmr} [Pa] : 23.46

SEGMENTO 377:

Tipo: Tramo

1 ELEMENTO		2 Caudal Q	3 Diam. D/D _e	4 Ancho A	5 Alto B	6 Long. L	7 $\Delta p/L$	8 Fuente Tab	9 Ashrae X	10 Ashrae Y	11 Coeff. C _o	12 Veloc. V	13 P.Dinám P _v	14 Pérdida Δp_r o Δp_c
N. pz.	Cod.	[m³/h]	[mm]	[mm]	[mm]	[m]	[Pa/m]	n.	-	-	-	[m/s]	[Pa]	[Pa]
3039	11RA	135	164	150	150	0	0	ASH6_26M	0.750		0.030	1.7	1.74	0.11
1428	310R	135	164	150	150	0.6	0.32					1.7	1.74	0.19

Pérdida de carga acumulada del segmento
 Velocidad en la sección inicial del segmento
 Velocidad en la sección final del segmento
 Recuperación de presión estática del segmento
 Pérdida de carga acumulada del segmento, considerando la recuperación
 Pérdida de carga acumulada neta – total acumulado

Δp_t [Pa] : 0.31
 V_m [m/s] : 2.5
 V_v [m/s] : 2.5
 Δp_r [Pa] : 0
 Δp_{tn} [Pa] : 1.13
 $\Sigma \Delta p_{tn}$ [Pa] : 152.02

SEGMENTO 376:

Tipo: Terminal TRM-25

1 ELEMENTO		2 Caudal Q	3 Diam. D/D _e	4 Ancho A	5 Alto B	6 Long. L	7 $\Delta p/L$	8 Fuente Tab	9 Ashrae X	10 Ashrae Y	11 Coeff. C _o	12 Veloc. V	13 P.Dinám P _v	14 Pérdida Δp_r o Δp_c
N. pz.	Cod.	[m³/h]	[mm]	[mm]	[mm]	[m]	[Pa/m]	n.	-	-	-	[m/s]	[Pa]	[Pa]
3040	11RA	45	98	98	98	0	0	ASH6_26	0.333	0.995	1.110	1.7	1.74	4.16
1443	310C	45	98	98	98	0.07	0.57					1.7	1.74	0.04
1445	079C	45	98	98	98	0	0	3.1	1.520		0.046	1.7	1.74	0.07
3049	273C	45	75	0	0	0.02	0	5.1	30.000	1.710	0.050	2.8	4.72	0.24
1446	310C	45	75	0	0	0.3	2.03					2.8	4.72	0.61

3048	023C	45	75	0	0	0.02	0	4.1	30.000	1.710	0.320	2.8	4.72	1.54
1448	05LC	45	98	98	98	0	0	MC4				1.7	1.74	18

Pérdida de carga acumulada del segmento	Δp_t	[Pa]	: 6.66
Velocidad en la sección inicial del segmento	V_m	[m/s]	: 2.5
Velocidad en la sección final del segmento	V_v	[m/s]	: 1.7
Recuperación de presión estática del segmento	Δp_r	[Pa]	: 2.02
Pérdida de carga acumulada del segmento, considerando la recuperación	Δp_{tm}	[Pa]	: 5.08
Pérdida de carga acumulada neta – total acumulado	$\Sigma \Delta p_{tm}$	[Pa]	: 175.11
Desequilibrio del terminal respecto al camino más desfavorable	Δp_{Tmr}	[Pa]	: 22.42

SEGMENTO 375:

Tipo: Tramo

1 ELEMENTO		2 Caudal Q	3 Diam. D/D _e	4 Ancho A	5 Alto B	6 Long. L	7 $\Delta p/L$	8 Fuente Tab	9 Ashrae X	10 Ashrae Y	11 Coeff. C _o	12 Veloc. V	13 P.Dinám P _v	14 Pérdida Δp_r o Δp_e
N. pz.	Cod.	[m³/h]	[mm]	[mm]	[mm]	[m]	[Pa/m]	n.	-	-	-	[m/s]	[Pa]	[Pa]
3041	11RA	90	164	150	150	0	0	ASH6_26M	0.667		0.047	1.1	0.73	0.18
1429	310R	90	164	150	150	0.6	0.15					1.1	0.73	0.09

Pérdida de carga acumulada del segmento	Δp_t	[Pa]	: 0.27
Velocidad en la sección inicial del segmento	V_m	[m/s]	: 2.5
Velocidad en la sección final del segmento	V_v	[m/s]	: 2.5
Recuperación de presión estática del segmento	Δp_r	[Pa]	: 0
Pérdida de carga acumulada del segmento, considerando la recuperación	Δp_{tm}	[Pa]	: 0.95
Pérdida de carga acumulada neta – total acumulado	$\Sigma \Delta p_{tm}$	[Pa]	: 152.98

SEGMENTO 374:

Tipo: Terminal TRM-26

1 ELEMENTO		2 Caudal Q	3 Diam. D/D _e	4 Ancho A	5 Alto B	6 Long. L	7 $\Delta p/L$	8 Fuente Tab	9 Ashrae X	10 Ashrae Y	11 Coeff. C _o	12 Veloc. V	13 P.Dinám P _v	14 Pérdida Δp_r o Δp_e
N. pz.	Cod.	[m³/h]	[mm]	[mm]	[mm]	[m]	[Pa/m]	n.	-	-	-	[m/s]	[Pa]	[Pa]
3042	11RA	45	98	98	98	0	0	ASH6_26	0.500	1.490	1.260	1.7	1.74	4.74
1437	310C	45	98	98	98	0.07	0.57					1.7	1.74	0.04
1439	079C	45	98	98	98	0	0	3.1	1.520		0.046	1.7	1.74	0.07
3047	273C	45	75	0	0	0.02	0	5.1	30.000	1.710	0.050	2.8	4.72	0.24
1440	310C	45	75	0	0	0.3	2.03					2.8	4.72	0.61
3046	023C	45	75	0	0	0.02	0	4.1	30.000	1.710	0.320	2.8	4.72	1.54
1442	05LC	45	98	98	98	0	0	MC4				1.7	1.74	18

Pérdida de carga acumulada del segmento	Δp_t	[Pa]	: 7.25
Velocidad en la sección inicial del segmento	V_m	[m/s]	: 2.5
Velocidad en la sección final del segmento	V_v	[m/s]	: 1.7
Recuperación de presión estática del segmento	Δp_r	[Pa]	: 2.02
Pérdida de carga acumulada del segmento, considerando la recuperación	Δp_{tm}	[Pa]	: 5.67
Pérdida de carga acumulada neta – total acumulado	$\Sigma \Delta p_{tm}$	[Pa]	: 176.64
Desequilibrio del terminal respecto al camino más desfavorable	Δp_{Tmr}	[Pa]	: 20.88

SEGMENTO 373:

Tipo: Terminal TRM-27

1	2	3	4	5	6	7	8	9	10	11	12	13	14
---	---	---	---	---	---	---	---	---	----	----	----	----	----

ELEMENTO		Caudal Q	Diam. D/D _e	Ancho A	Alto B	Long. L	Δp/L	Fuente Tab	Ashrae X	Ashrae Y	Coeff. C _o	Veloc. V	P.Dinám P _v	Pérdida Δp _r o Δp _e
N. pz.	Cod.	[m³/h]	[mm]	[mm]	[mm]	[m]	[Pa/m]	n.	-	-	-	[m/s]	[Pa]	[Pa]
3043	11RA	45	164	150	150	0	0	ASH6_26M	0.500		0.090	0.6	0.22	0.34
1430	310R	45	164	150	150	0.6	0.05					0.6	0.22	0.03
1421	11RAT	45	164	150	150	0	0	2_6	1.000	0.915	2.800	0.6	0.22	0
1431	310C	45	98	98	98	0.07	0.57					1.7	1.74	0.04
1433	079C	45	98	98	98	0	0	3.1	1.520		0.046	1.7	1.74	0.07
3045	023C	45	98	98	98	0	0	4.1	30.000	1.040	0.320	1.7	1.74	0.53
1434	310C	45	100	0	0	0.3	0.5					1.6	1.54	0.15
3044	273C	45	98	98	98	0	0	5.1	30.000	1.040	0.050	1.7	1.74	0.08
1436	05LC	45	98	98	98	0	0	MC4				1.7	1.74	18

Pérdida de carga acumulada del segmento	Δp _t	[Pa]	: 1.24
Velocidad en la sección inicial del segmento	V _m	[m/s]	: 2.5
Velocidad en la sección final del segmento	V _v	[m/s]	: 1.7
Recuperación de presión estática del segmento	Δp _r	[Pa]	: 2.02
Pérdida de carga acumulada del segmento, considerando la recuperación	Δp _{tn}	[Pa]	: -0.55
Pérdida de carga acumulada neta – total acumulado	ΣΔp _{tn}	[Pa]	: 170.43
Desequilibrio del terminal respecto al camino más desfavorable	Δp _{Tmr}	[Pa]	: 27.1

SEGMENTO 371:

Tipo: Tramo

1 ELEMENTO		2 Caudal Q	3 Diam. D/D _e	4 Ancho A	5 Alto B	6 Long. L	7 Δp/L	8 Fuente Tab	9 Ashrae X	10 Ashrae Y	11 Coeff. C _o	12 Veloc. V	13 P.Dinám P _v	14 Pérdida Δp _r o Δp _e
N. pz.	Cod.	[m³/h]	[mm]	[mm]	[mm]	[m]	[Pa/m]	n.	-	-	-	[m/s]	[Pa]	[Pa]
1348	3736	450	381	250	500	0	0	MC4	0.083	0.455	19.200	1	0.6	11.53
2985	283R	450	210	250	150	0.71	0	5.1	30.000	3.330	0.043	3.3	6.56	0.31
1347	310R	450	210	250	150	1.05	0.87					3.3	6.56	0.91

Pérdida de carga acumulada del segmento	Δp _t	[Pa]	: 12.76
Velocidad en la sección inicial del segmento	V _m	[m/s]	: 4.7
Velocidad en la sección final del segmento	V _v	[m/s]	: 3.3
Recuperación de presión estática del segmento	Δp _r	[Pa]	: 6.74
Pérdida de carga acumulada del segmento, considerando la recuperación	Δp _{tn}	[Pa]	: 6.22
Pérdida de carga acumulada neta – total acumulado	ΣΔp _{tn}	[Pa]	: 142.8

SEGMENTO 370:

Tipo: Terminal TRM-46

1 ELEMENTO		2 Caudal Q	3 Diam. D/D _e	4 Ancho A	5 Alto B	6 Long. L	7 Δp/L	8 Fuente Tab	9 Ashrae X	10 Ashrae Y	11 Coeff. C _o	12 Veloc. V	13 P.Dinám P _v	14 Pérdida Δp _r o Δp _e
N. pz.	Cod.	[m³/h]	[mm]	[mm]	[mm]	[m]	[Pa/m]	n.	-	-	-	[m/s]	[Pa]	[Pa]
2983	11RA	45	98	98	98	0	0	ASH6_26	0.100	0.497	1.070	1.7	1.74	7.18
1413	310C	45	98	98	98	0.07	0.57					1.7	1.74	0.04
1415	079C	45	98	98	98	0	0	3.1	1.520		0.046	1.7	1.74	0.07
3024	273C	45	75	0	0	0.02	0	5.1	30.000	1.710	0.050	2.8	4.72	0.24
1416	310C	45	75	0	0	0.3	2.03					2.8	4.72	0.61
3023	023C	45	75	0	0	0.02	0	4.1	30.000	1.710	0.320	2.8	4.72	1.54
1418	05LC	45	98	98	98	0	0	MC4				1.7	1.74	18

Pérdida de carga acumulada del segmento	Δp _t	[Pa]	: 9.68
Velocidad en la sección inicial del segmento	V _m	[m/s]	: 3.3
Velocidad en la sección final del segmento	V _v	[m/s]	: 1.7
Recuperación de presión estática del segmento	Δp _r	[Pa]	: 4.82

Pérdida de carga acumulada del segmento, considerando la recuperación
 Pérdida de carga acumulada neta – total acumulado
 Desequilibrio del terminal respecto al camino más desfavorable

Δp_{tm} [Pa] : 5.18
 $\Sigma \Delta p_{tm}$ [Pa] : 165.98
 Δp_{Tmr} [Pa] : 31.54

SEGMENTO 369:

Tipo: Tramo

1 ELEMENTO		2 Caudal Q	3 Diam. D/D _e	4 Ancho A	5 Alto B	6 Long. L	7 $\Delta p/L$	8 Fuente Tab	9 Ashrae X	10 Ashrae Y	11 Coeff. C _o	12 Veloc. V	13 P.Dinám P _v	14 Pérdida Δp_r o Δp_e
N. pz.	Cod.	[m³/h]	[mm]	[mm]	[mm]	[m]	[Pa/m]	n.	-	-	-	[m/s]	[Pa]	[Pa]
2984	11RA	405	210	250	150	0	0	ASH6_26M	0.900		0.010	3	5.42	0.07
2988	283R	405	152	200	100	0.19	0	5.1	30.000	1.880	0.050	5.6	18.88	0.95
1350	310R	405	152	200	100	0.6	3.53					5.6	18.88	2.12

Pérdida de carga acumulada del segmento
 Velocidad en la sección inicial del segmento
 Velocidad en la sección final del segmento
 Recuperación de presión estática del segmento
 Pérdida de carga acumulada del segmento, considerando la recuperación
 Pérdida de carga acumulada neta – total acumulado

Δp_t [Pa] : 3.14
 V_m [m/s] : 3.3
 V_v [m/s] : 5.6
 Δp_r [Pa] : -12.32
 Δp_{tm} [Pa] : 15.5
 $\Sigma \Delta p_{tm}$ [Pa] : 158.3

SEGMENTO 368:

Tipo: Terminal TRM-46

1 ELEMENTO		2 Caudal Q	3 Diam. D/D _e	4 Ancho A	5 Alto B	6 Long. L	7 $\Delta p/L$	8 Fuente Tab	9 Ashrae X	10 Ashrae Y	11 Coeff. C _o	12 Veloc. V	13 P.Dinám P _v	14 Pérdida Δp_r o Δp_e
N. pz.	Cod.	[m³/h]	[mm]	[mm]	[mm]	[m]	[Pa/m]	n.	-	-	-	[m/s]	[Pa]	[Pa]
2986	11RA	45	98	98	98	0	0	ASH6_26	0.111	0.295	1.010	1.7	1.74	19.28
1407	310C	45	98	98	98	0.07	0.57					1.7	1.74	0.04
1409	079C	45	98	98	98	0	0	3.1	1.520		0.046	1.7	1.74	0.07
3022	273C	45	75	0	0	0.02	0	5.1	30.000	1.710	0.050	2.8	4.72	0.24
1410	310C	45	75	0	0	0.3	2.03					2.8	4.72	0.61
3021	023C	45	75	0	0	0.02	0	4.1	30.000	1.710	0.320	2.8	4.72	1.54
1412	05LC	45	98	98	98	0	0	MC4				1.7	1.74	18

Pérdida de carga acumulada del segmento
 Velocidad en la sección inicial del segmento
 Velocidad en la sección final del segmento
 Recuperación de presión estática del segmento
 Pérdida de carga acumulada del segmento, considerando la recuperación
 Pérdida de carga acumulada neta – total acumulado
 Desequilibrio del terminal respecto al camino más desfavorable

Δp_t [Pa] : 21.78
 V_m [m/s] : 5.6
 V_v [m/s] : 1.7
 Δp_r [Pa] : 17.14
 Δp_{tm} [Pa] : 4.92
 $\Sigma \Delta p_{tm}$ [Pa] : 181.22
 Δp_{Tmr} [Pa] : 16.3

SEGMENTO 367:

Tipo: Tramo

1 ELEMENTO		2 Caudal Q	3 Diam. D/D _e	4 Ancho A	5 Alto B	6 Long. L	7 $\Delta p/L$	8 Fuente Tab	9 Ashrae X	10 Ashrae Y	11 Coeff. C _o	12 Veloc. V	13 P.Dinám P _v	14 Pérdida Δp_r o Δp_e
N. pz.	Cod.	[m³/h]	[mm]	[mm]	[mm]	[m]	[Pa/m]	n.	-	-	-	[m/s]	[Pa]	[Pa]
2987	11RA	360	152	200	100	0	0	ASH6_26M	0.889		0.011	5	15.05	0.21
1351	310R	360	152	200	100	0.6	2.85					5	15.05	1.71

Pérdida de carga acumulada del segmento	Δp_t	[Pa]	: 1.92
Velocidad en la sección inicial del segmento	V_m	[m/s]	: 5.6
Velocidad en la sección final del segmento	V_v	[m/s]	: 5
Recuperación de presión estática del segmento	Δp_r	[Pa]	: 3.83
Pérdida de carga acumulada del segmento, considerando la recuperación	Δp_{tn}	[Pa]	: -2.08
Pérdida de carga acumulada neta – total acumulado	$\Sigma \Delta p_{tn}$	[Pa]	: 156.22

SEGMENTO 366:

Tipo: Terminal TRM-46

1 ELEMENTO		2 Caudal Q	3 Diam. D/D _e	4 Ancho A	5 Alto B	6 Long. L	7 $\Delta p/L$	8 Fuente Tab	9 Ashrae X	10 Ashrae Y	11 Coeff. C _o	12 Veloc. V	13 P.Dinám P _v	14 Pérdida Δp_r o Δp_c
N. pz.	Cod.	[m³/h]	[mm]	[mm]	[mm]	[m]	[Pa/m]	n.	-	-	-	[m/s]	[Pa]	[Pa]
2989	11RA	45	98	98	98	0	0	ASH6_26	0.125	0.332	1.020	1.7	1.74	15.39
1401	310C	45	98	98	98	0.07	0.57					1.7	1.74	0.04
1403	079C	45	98	98	98	0	0	3.1	1.520		0.046	1.7	1.74	0.07
3020	273C	45	75	0	0	0.02	0	5.1	30.000	1.710	0.050	2.8	4.72	0.24
1404	310C	45	75	0	0	0.3	2.03					2.8	4.72	0.61
3019	023C	45	75	0	0	0.02	0	4.1	30.000	1.710	0.320	2.8	4.72	1.54
1406	05LC	45	98	98	98	0	0	MC4				1.7	1.74	18

Pérdida de carga acumulada del segmento	Δp_t	[Pa]	: 17.89
Velocidad en la sección inicial del segmento	V_m	[m/s]	: 5
Velocidad en la sección final del segmento	V_v	[m/s]	: 1.7
Recuperación de presión estática del segmento	Δp_r	[Pa]	: 13.31
Pérdida de carga acumulada del segmento, considerando la recuperación	Δp_{tn}	[Pa]	: 5.03
Pérdida de carga acumulada neta – total acumulado	$\Sigma \Delta p_{tn}$	[Pa]	: 179.25
Desequilibrio del terminal respecto al camino más desfavorable	Δp_{Tmr}	[Pa]	: 18.27

SEGMENTO 365:

Tipo: Tramo

1 ELEMENTO		2 Caudal Q	3 Diam. D/D _e	4 Ancho A	5 Alto B	6 Long. L	7 $\Delta p/L$	8 Fuente Tab	9 Ashrae X	10 Ashrae Y	11 Coeff. C _o	12 Veloc. V	13 P.Dinám P _v	14 Pérdida Δp_r o Δp_c
N. pz.	Cod.	[m³/h]	[mm]	[mm]	[mm]	[m]	[Pa/m]	n.	-	-	-	[m/s]	[Pa]	[Pa]
2990	11RA	315	152	200	100	0	0	ASH6_26M	0.875		0.012	4.4	11.65	0.19
2993	283R	315	133	150	100	0.14	0	5.1	30.000	1.330	0.050	5.8	20.25	1.02
1352	310R	315	133	150	100	0.6	4.32					5.8	20.25	2.59

Pérdida de carga acumulada del segmento	Δp_t	[Pa]	: 3.8
Velocidad en la sección inicial del segmento	V_m	[m/s]	: 5
Velocidad en la sección final del segmento	V_v	[m/s]	: 5.8
Recuperación de presión estática del segmento	Δp_r	[Pa]	: -5.2
Pérdida de carga acumulada del segmento, considerando la recuperación	Δp_{tn}	[Pa]	: 9.24
Pérdida de carga acumulada neta – total acumulado	$\Sigma \Delta p_{tn}$	[Pa]	: 165.46

SEGMENTO 364:

Tipo: Terminal TRM-46

1 ELEMENTO		2 Caudal Q	3 Diam. D/D _e	4 Ancho A	5 Alto B	6 Long. L	7 $\Delta p/L$	8 Fuente Tab	9 Ashrae X	10 Ashrae Y	11 Coeff. C _o	12 Veloc. V	13 P.Dinám P _v	14 Pérdida Δp_r o Δp_c
---------------	--	------------------	--------------------------------	-----------------	----------------	-----------------	-------------------	--------------------	------------------	-------------------	--------------------------------	-------------------	---------------------------------	--

N. pz.	Cod.	[m³/h]	[mm]	[mm]	[mm]	[m]	[Pa/m]	n.	-	-	-	[m/s]	[Pa]	[Pa]
2991	11RA	45	98	98	98	0	0	ASH6_26	0.143	0.284	1.030	1.7	1.74	21.15
1395	310C	45	98	98	98	0.07	0.57					1.7	1.74	0.04
1397	079C	45	98	98	98	0	0	3.1	1.520		0.046	1.7	1.74	0.07
3018	273C	45	75	0	0	0.02	0	5.1	30.000	1.710	0.050	2.8	4.72	0.24
1398	310C	45	75	0	0	0.3	2.03					2.8	4.72	0.61
3017	023C	45	75	0	0	0.02	0	4.1	30.000	1.710	0.320	2.8	4.72	1.54
1400	05LC	45	98	98	98	0	0	MC4				1.7	1.74	18

Pérdida de carga acumulada del segmento	Δp_t	[Pa]	: 23.65
Velocidad en la sección inicial del segmento	V_m	[m/s]	: 5.8
Velocidad en la sección final del segmento	V_v	[m/s]	: 1.7
Recuperación de presión estática del segmento	Δp_r	[Pa]	: 18.51
Pérdida de carga acumulada del segmento, considerando la recuperación	Δp_{tn}	[Pa]	: 5.35
Pérdida de carga acumulada neta – total acumulado	$\Sigma \Delta p_{tn}$	[Pa]	: 188.81
Desequilibrio del terminal respecto al camino más desfavorable	Δp_{Tmr}	[Pa]	: 8.71

SEGMENTO 363:

Tipo: Tramo

1 ELEMENTO		2 Caudal Q	3 Diam. D/D _e	4 Ancho A	5 Alto B	6 Long. L	7 $\Delta p/L$	8 Fuente Tab	9 Ashrae X	10 Ashrae Y	11 Coeff. C _o	12 Veloc. V	13 P.Dinám P _v	14 Pérdida Δp_r o Δp_c
N. pz.	Cod.	[m³/h]	[mm]	[mm]	[mm]	[m]	[Pa/m]	n.	-	-	-	[m/s]	[Pa]	[Pa]
2992	11RA	270	133	150	100	0	0	ASH6_26M	0.857		0.014	5	15.05	0.29
1353	310R	270	133	150	100	0.6	3.23					5	15.05	1.94

Pérdida de carga acumulada del segmento	Δp_t	[Pa]	: 2.23
Velocidad en la sección inicial del segmento	V_m	[m/s]	: 5.8
Velocidad en la sección final del segmento	V_v	[m/s]	: 5
Recuperación de presión estática del segmento	Δp_r	[Pa]	: 5.2
Pérdida de carga acumulada del segmento, considerando la recuperación	Δp_{tn}	[Pa]	: -3.2
Pérdida de carga acumulada neta – total acumulado	$\Sigma \Delta p_{tn}$	[Pa]	: 162.26

SEGMENTO 362:

Tipo: Terminal TRM-46

1 ELEMENTO		2 Caudal Q	3 Diam. D/D _e	4 Ancho A	5 Alto B	6 Long. L	7 $\Delta p/L$	8 Fuente Tab	9 Ashrae X	10 Ashrae Y	11 Coeff. C _o	12 Veloc. V	13 P.Dinám P _v	14 Pérdida Δp_r o Δp_c
N. pz.	Cod.	[m³/h]	[mm]	[mm]	[mm]	[m]	[Pa/m]	n.	-	-	-	[m/s]	[Pa]	[Pa]
2994	11RA	45	98	98	98	0	0	ASH6_26	0.167	0.332	1.050	1.7	1.74	15.79
1389	310C	45	98	98	98	0.07	0.57					1.7	1.74	0.04
1391	079C	45	98	98	98	0	0	3.1	1.520		0.046	1.7	1.74	0.07
3016	273C	45	75	0	0	0.02	0	5.1	30.000	1.710	0.050	2.8	4.72	0.24
1392	310C	45	75	0	0	0.3	2.03					2.8	4.72	0.61
3015	023C	45	75	0	0	0.02	0	4.1	30.000	1.710	0.320	2.8	4.72	1.54
1394	05LC	45	98	98	98	0	0	MC4				1.7	1.74	18

Pérdida de carga acumulada del segmento	Δp_t	[Pa]	: 18.29
Velocidad en la sección inicial del segmento	V_m	[m/s]	: 5
Velocidad en la sección final del segmento	V_v	[m/s]	: 1.7
Recuperación de presión estática del segmento	Δp_r	[Pa]	: 13.31
Pérdida de carga acumulada del segmento, considerando la recuperación	Δp_{tn}	[Pa]	: 5.42
Pérdida de carga acumulada neta – total acumulado	$\Sigma \Delta p_{tn}$	[Pa]	: 185.68
Desequilibrio del terminal respecto al camino más desfavorable	Δp_{Tmr}	[Pa]	: 11.84

SEGMENTO 361:**Tipo:** Tramo

1 ELEMENTO		2 Caudal Q	3 Diam. D/D _e	4 Ancho A	5 Alto B	6 Long. L	7 $\Delta p/L$	8 Fuente Tab	9 Ashrae X	10 Ashrae Y	11 Coeff. C _o	12 Veloc. V	13 P.Dinám P _v	14 Pérdida Δp_r o Δp_c
N. pz.	Cod.	[m³/h]	[mm]	[mm]	[mm]	[m]	[Pa/m]	n.	-	-	-	[m/s]	[Pa]	[Pa]
2995	11RA	225	133	150	100	0	0	ASH6_26M	0.833		0.017	4.2	10.62	0.25
1354	310R	225	133	150	100	0.6	2.3					4.2	10.62	1.38

Pérdida de carga acumulada del segmento

 Δp_t [Pa] : 1.64

Velocidad en la sección inicial del segmento

 V_m [m/s] : 5

Velocidad en la sección final del segmento

 V_v [m/s] : 4.2

Recuperación de presión estática del segmento

 Δp_r [Pa] : 4.43

Pérdida de carga acumulada del segmento, considerando la recuperación

 Δp_{tn} [Pa] : -2.96

Pérdida de carga acumulada neta – total acumulado

 $\Sigma \Delta p_{tn}$ [Pa] : 159.29**SEGMENTO 360:****Tipo:** Terminal TRM-46

1 ELEMENTO		2 Caudal Q	3 Diam. D/D _e	4 Ancho A	5 Alto B	6 Long. L	7 $\Delta p/L$	8 Fuente Tab	9 Ashrae X	10 Ashrae Y	11 Coeff. C _o	12 Veloc. V	13 P.Dinám P _v	14 Pérdida Δp_r o Δp_c
N. pz.	Cod.	[m³/h]	[mm]	[mm]	[mm]	[m]	[Pa/m]	n.	-	-	-	[m/s]	[Pa]	[Pa]
2996	11RA	45	98	98	98	0	0	ASH6_26	0.200	0.398	1.070	1.7	1.74	11.18
1383	310C	45	98	98	98	0.07	0.57					1.7	1.74	0.04
1385	079C	45	98	98	98	0	0	3.1	1.520		0.046	1.7	1.74	0.07
3014	273C	45	75	0	0	0.02	0	5.1	30.000	1.710	0.050	2.8	4.72	0.24
1386	310C	45	75	0	0	0.3	2.03					2.8	4.72	0.61
3013	023C	45	75	0	0	0.02	0	4.1	30.000	1.710	0.320	2.8	4.72	1.54
1388	05LC	45	98	98	98	0	0	MC4				1.7	1.74	18

Pérdida de carga acumulada del segmento

 Δp_t [Pa] : 13.69

Velocidad en la sección inicial del segmento

 V_m [m/s] : 4.2

Velocidad en la sección final del segmento

 V_v [m/s] : 1.7

Recuperación de presión estática del segmento

 Δp_r [Pa] : 8.88

Pérdida de carga acumulada del segmento, considerando la recuperación

 Δp_{tn} [Pa] : 5.42

Pérdida de carga acumulada neta – total acumulado

 $\Sigma \Delta p_{tn}$ [Pa] : 182.71

Desequilibrio del terminal respecto al camino más desfavorable

 Δp_{Tmr} [Pa] : 14.81**SEGMENTO 359:****Tipo:** Tramo

1 ELEMENTO		2 Caudal Q	3 Diam. D/D _e	4 Ancho A	5 Alto B	6 Long. L	7 $\Delta p/L$	8 Fuente Tab	9 Ashrae X	10 Ashrae Y	11 Coeff. C _o	12 Veloc. V	13 P.Dinám P _v	14 Pérdida Δp_r o Δp_c
N. pz.	Cod.	[m³/h]	[mm]	[mm]	[mm]	[m]	[Pa/m]	n.	-	-	-	[m/s]	[Pa]	[Pa]
2997	11RA	180	133	150	100	0	0	ASH6_26M	0.800		0.020	3.3	6.56	0.21
3000	283R	180	109	100	100	0.14	0	5.1	30.000	1.500	0.050	5	15.05	0.75
1355	310R	180	109	100	100	0.6	4.08					5	15.05	2.45

Pérdida de carga acumulada del segmento

 Δp_t [Pa] : 3.41

Velocidad en la sección inicial del segmento

 V_m [m/s] : 4.2

Velocidad en la sección final del segmento
 Recuperación de presión estática del segmento
 Pérdida de carga acumulada del segmento, considerando la recuperación
 Pérdida de carga acumulada neta – total acumulado

V_v [m/s] : 5
 Δp_r [Pa] : -4.43
 Δp_{tm} [Pa] : 8.01
 $\Sigma \Delta p_{tm}$ [Pa] : 167.31

SEGMENTO 358:

Tipo: Terminal TRM-46

1 ELEMENTO		2 Caudal Q	3 Diam. D/D _e	4 Ancho A	5 Alto B	6 Long. L	7 $\Delta p/L$	8 Fuente Tab	9 Ashrae X	10 Ashrae Y	11 Coeff. C _o	12 Veloc. V	13 P.Dinám P _v	14 Pérdida Δp_r o Δp_e
N. pz.	Cod.	[m³/h]	[mm]	[mm]	[mm]	[m]	[Pa/m]	n.	-	-	-	[m/s]	[Pa]	[Pa]
2998	11RA	45	98	98	98	0	0	ASH6_26	0.250	0.332	1.080	1.7	1.74	16.18
1377	310C	45	98	98	98	0.07	0.57					1.7	1.74	0.04
1379	079C	45	98	98	98	0	0	3.1	1.520		0.046	1.7	1.74	0.07
3012	023C	45	98	98	98	0	0	4.1	30.000	1.040	0.320	1.7	1.74	0.24
1380	310C	45	100	0	0	0.3	0.5					1.6	1.54	0.15
3011	273C	45	98	98	98	0	0	5.1	30.000	1.040	0.050	1.7	1.74	0.08
1382	05LC	45	98	98	98	0	0	MC4				1.7	1.74	18

Pérdida de carga acumulada del segmento
 Velocidad en la sección inicial del segmento
 Velocidad en la sección final del segmento
 Recuperación de presión estática del segmento
 Pérdida de carga acumulada del segmento, considerando la recuperación
 Pérdida de carga acumulada neta – total acumulado
 Desequilibrio del terminal respecto al camino más desfavorable

Δp_t [Pa] : 16.76
 V_m [m/s] : 5
 V_v [m/s] : 1.7
 Δp_r [Pa] : 13.31
 Δp_{tm} [Pa] : 3.66
 $\Sigma \Delta p_{tm}$ [Pa] : 188.96
 Δp_{Tmr} [Pa] : 8.56

SEGMENTO 357:

Tipo: Tramo

1 ELEMENTO		2 Caudal Q	3 Diam. D/D _e	4 Ancho A	5 Alto B	6 Long. L	7 $\Delta p/L$	8 Fuente Tab	9 Ashrae X	10 Ashrae Y	11 Coeff. C _o	12 Veloc. V	13 P.Dinám P _v	14 Pérdida Δp_r o Δp_e
N. pz.	Cod.	[m³/h]	[mm]	[mm]	[mm]	[m]	[Pa/m]	n.	-	-	-	[m/s]	[Pa]	[Pa]
2999	11RA	135	109	100	100	0	0	ASH6_26M	0.750		0.030	3.7	8.24	0.45
1356	310R	135	109	100	100	0.6	2.4					3.7	8.24	1.44

Pérdida de carga acumulada del segmento
 Velocidad en la sección inicial del segmento
 Velocidad en la sección final del segmento
 Recuperación de presión estática del segmento
 Pérdida de carga acumulada del segmento, considerando la recuperación
 Pérdida de carga acumulada neta – total acumulado

Δp_t [Pa] : 1.89
 V_m [m/s] : 5
 V_v [m/s] : 3.7
 Δp_r [Pa] : 6.81
 Δp_{tm} [Pa] : -4.69
 $\Sigma \Delta p_{tm}$ [Pa] : 162.62

SEGMENTO 356:

Tipo: Terminal TRM-46

1 ELEMENTO		2 Caudal Q	3 Diam. D/D _e	4 Ancho A	5 Alto B	6 Long. L	7 $\Delta p/L$	8 Fuente Tab	9 Ashrae X	10 Ashrae Y	11 Coeff. C _o	12 Veloc. V	13 P.Dinám P _v	14 Pérdida Δp_r o Δp_e
N. pz.	Cod.	[m³/h]	[mm]	[mm]	[mm]	[m]	[Pa/m]	n.	-	-	-	[m/s]	[Pa]	[Pa]
3001	11RA	45	98	98	98	0	0	ASH6_26	0.333	0.442	1.100	1.7	1.74	9.28
1371	310C	45	98	98	98	0.07	0.57					1.7	1.74	0.04
1373	079C	45	98	98	98	0	0	3.1	1.520		0.046	1.7	1.74	0.07

3010	273C	45	75	0	0	0.02	0	5.1	30.000	1.710	0.050	2.8	4.72	0.24
1374	310C	45	75	0	0	0.3	2.03					2.8	4.72	0.61
3009	023C	45	75	0	0	0.02	0	4.1	30.000	1.710	0.320	2.8	4.72	1.54
1376	05LC	45	98	98	98	0	0	MC4				1.7	1.74	18

Pérdida de carga acumulada del segmento	Δp_t	[Pa]	: 11.79
Velocidad en la sección inicial del segmento	V_m	[m/s]	: 3.7
Velocidad en la sección final del segmento	V_v	[m/s]	: 1.7
Recuperación de presión estática del segmento	Δp_r	[Pa]	: 6.5
Pérdida de carga acumulada del segmento, considerando la recuperación	Δp_{tn}	[Pa]	: 5.51
Pérdida de carga acumulada neta – total acumulado	$\Sigma \Delta p_{tn}$	[Pa]	: 186.12
Desequilibrio del terminal respecto al camino más desfavorable	Δp_{Tmr}	[Pa]	: 11.4

SEGMENTO 355:

Tipo: Tramo

1 ELEMENTO		2 Caudal Q	3 Diam. D/D _e	4 Ancho A	5 Alto B	6 Long. L	7 $\Delta p/L$	8 Fuente Tab	9 Ashrae X	10 Ashrae Y	11 Coeff. C _o	12 Veloc. V	13 P.Dinám P _v	14 Pérdida Δp_r o Δp_c
N. pz.	Cod.	[m³/h]	[mm]	[mm]	[mm]	[m]	[Pa/m]	n.	-	-	-	[m/s]	[Pa]	[Pa]
3002	11RA	90	109	100	100	0	0	ASH6_26M	0.667		0.047	2.5	3.76	0.4
1357	310R	90	109	100	100	0.6	1.13					2.5	3.76	0.68

Pérdida de carga acumulada del segmento	Δp_t	[Pa]	: 1.07
Velocidad en la sección inicial del segmento	V_m	[m/s]	: 3.7
Velocidad en la sección final del segmento	V_v	[m/s]	: 2.5
Recuperación de presión estática del segmento	Δp_r	[Pa]	: 4.48
Pérdida de carga acumulada del segmento, considerando la recuperación	Δp_{tn}	[Pa]	: -3.63
Pérdida de carga acumulada neta – total acumulado	$\Sigma \Delta p_{tn}$	[Pa]	: 158.99

SEGMENTO 354:

Tipo: Terminal TRM-46

1 ELEMENTO		2 Caudal Q	3 Diam. D/D _e	4 Ancho A	5 Alto B	6 Long. L	7 $\Delta p/L$	8 Fuente Tab	9 Ashrae X	10 Ashrae Y	11 Coeff. C _o	12 Veloc. V	13 P.Dinám P _v	14 Pérdida Δp_r o Δp_c
N. pz.	Cod.	[m³/h]	[mm]	[mm]	[mm]	[m]	[Pa/m]	n.	-	-	-	[m/s]	[Pa]	[Pa]
3003	11RA	45	98	98	98	0	0	ASH6_26	0.500	0.663	1.260	1.7	1.74	4.74
1365	310C	45	98	98	98	0.07	0.57					1.7	1.74	0.04
1367	079C	45	98	98	98	0	0	3.1	1.520		0.046	1.7	1.74	0.07
3008	273C	45	75	0	0	0.02	0	5.1	30.000	1.710	0.050	2.8	4.72	0.24
1368	310C	45	75	0	0	0.3	2.03					2.8	4.72	0.61
3007	023C	45	75	0	0	0.02	0	4.1	30.000	1.710	0.320	2.8	4.72	1.54
1370	05LC	45	98	98	98	0	0	MC4				1.7	1.74	18

Pérdida de carga acumulada del segmento	Δp_t	[Pa]	: 7.25
Velocidad en la sección inicial del segmento	V_m	[m/s]	: 2.5
Velocidad en la sección final del segmento	V_v	[m/s]	: 1.7
Recuperación de presión estática del segmento	Δp_r	[Pa]	: 2.02
Pérdida de carga acumulada del segmento, considerando la recuperación	Δp_{tn}	[Pa]	: 5.67
Pérdida de carga acumulada neta – total acumulado	$\Sigma \Delta p_{tn}$	[Pa]	: 182.65
Desequilibrio del terminal respecto al camino más desfavorable	Δp_{Tmr}	[Pa]	: 14.87

SEGMENTO 353:

Tipo: Terminal TRM-46

1 ELEMENTO		2 Caudal Q	3 Diam. D/D _e	4 Ancho A	5 Alto B	6 Long. L	7 $\Delta p/L$	8 Fuente Tab	9 Ashrae X	10 Ashrae Y	11 Coeff. C _o	12 Veloc. V	13 P.Dinám P _v	14 Pérdida Δp_r o Δp_c
N. pz.	Cod.	[m³/h]	[mm]	[mm]	[mm]	[m]	[Pa/m]	n.	-	-	-	[m/s]	[Pa]	[Pa]
3004	11RA	45	109	100	100	0	0	ASH6_26M	0.500		0.090	1.2	0.87	0.34
1358	310R	45	109	100	100	0.6	0.32					1.2	0.87	0.19
1349	11RAT	45	109	100	100	0	0	2_6	1.000	0.917	2.800	1.2	0.87	4.63
1359	310C	45	98	98	98	0.07	0.57					1.7	1.74	0.04
1361	079C	45	98	98	98	0	0	3.1	1.520		0.046	1.7	1.74	0.07
3006	023C	45	98	98	98	0	0	4.1	30.000	1.040	0.320	1.7	1.74	0.53
1362	310C	45	100	0	0	0.3	0.5					1.6	1.54	0.15
3005	273C	45	98	98	98	0	0	5.1	30.000	1.040	0.050	1.7	1.74	0.08
1364	05LC	45	98	98	98	0	0	MC4				1.7	1.74	18

Pérdida de carga acumulada del segmento	Δp_t	[Pa]	: 6.04
Velocidad en la sección inicial del segmento	V_m	[m/s]	: 2.5
Velocidad en la sección final del segmento	V_v	[m/s]	: 1.7
Recuperación de presión estática del segmento	Δp_r	[Pa]	: 2.02
Pérdida de carga acumulada del segmento, considerando la recuperación	Δp_{tm}	[Pa]	: 3.93
Pérdida de carga acumulada neta – total acumulado	$\Sigma \Delta p_{tm}$	[Pa]	: 180.91
Desequilibrio del terminal respecto al camino más desfavorable	Δp_{Tmr}	[Pa]	: 16.61

SEGMENTO 391:

Tipo: Tramo

1 ELEMENTO		2 Caudal Q	3 Diam. D/D _e	4 Ancho A	5 Alto B	6 Long. L	7 $\Delta p/L$	8 Fuente Tab	9 Ashrae X	10 Ashrae Y	11 Coeff. C _o	12 Veloc. V	13 P.Dinám P _v	14 Pérdida Δp_r o Δp_c
N. pz.	Cod.	[m³/h]	[mm]	[mm]	[mm]	[m]	[Pa/m]	n.	-	-	-	[m/s]	[Pa]	[Pa]
2982	3736	4500	573	550	500	0	0	MC4	0.833		0.080	4.5	12.19	0.97
3066	283R	4500	511	550	400	0.27	0	5.1	30.000	1.250	0.050	5.7	19.56	0.04
1491	310R	4500	511	550	400	1	0.77					5.7	19.56	0.77

Pérdida de carga acumulada del segmento	Δp_t	[Pa]	: 1.78
Velocidad en la sección inicial del segmento	V_m	[m/s]	: 4.7
Velocidad en la sección final del segmento	V_v	[m/s]	: 3.9
Recuperación de presión estática del segmento	Δp_r	[Pa]	: 4.14
Pérdida de carga acumulada del segmento, considerando la recuperación	Δp_{tm}	[Pa]	: -1.33
Pérdida de carga acumulada neta – total acumulado	$\Sigma \Delta p_{tm}$	[Pa]	: 135.25

SEGMENTO 411:

Tipo: Tramo

1 ELEMENTO		2 Caudal Q	3 Diam. D/D _e	4 Ancho A	5 Alto B	6 Long. L	7 $\Delta p/L$	8 Fuente Tab	9 Ashrae X	10 Ashrae Y	11 Coeff. C _o	12 Veloc. V	13 P.Dinám P _v	14 Pérdida Δp_r o Δp_c
N. pz.	Cod.	[m³/h]	[mm]	[mm]	[mm]	[m]	[Pa/m]	n.	-	-	-	[m/s]	[Pa]	[Pa]
3064	3736	450	260	150	400	0	0	MC4	0.100	0.273	1.500	2.1	2.65	3.97
3111	283R	450	164	150	150	0.53	0	5.1	30.000	2.670	0.047	5.6	18.88	0.87
1566	310R	450	164	150	150	1.1	2.95					5.6	18.88	3.25

Pérdida de carga acumulada del segmento	Δp_t	[Pa]	: 8.1
Velocidad en la sección inicial del segmento	V_m	[m/s]	: 3.9
Velocidad en la sección final del segmento	V_v	[m/s]	: 3.3
Recuperación de presión estática del segmento	Δp_r	[Pa]	: 2.6
Pérdida de carga acumulada del segmento, considerando la recuperación	Δp_{tm}	[Pa]	: 6.53

Pérdida de carga acumulada neta – total acumulado

 $\Sigma \Delta p_{tn}$ [Pa] : 141.78**SEGMENTO 429:****Tipo:** Terminal TRM-18

1 ELEMENTO		2 Caudal Q	3 Diam. D/D _e	4 Ancho A	5 Alto B	6 Long. L	7 $\Delta p/L$	8 Fuente Tab	9 Ashrae X	10 Ashrae Y	11 Coeff. C _o	12 Veloc. V	13 P.Dinám P _v	14 Pérdida Δp_r o Δp_e
N. pz.	Cod.	[m³/h]	[mm]	[mm]	[mm]	[m]	[Pa/m]	n.	-	-	-	[m/s]	[Pa]	[Pa]
3109	11RA	45	98	98	98	0	0	ASH6_26	0.100	0.298	1.070	1.7	1.74	7.18
1632	310C	45	98	98	98	0.07	0.57					1.7	1.74	0.04
1634	079C	45	98	98	98	0	0	3.1	1.520		0.046	1.7	1.74	0.07
3147	273C	45	75	0	0	0.02	0	5.1	30.000	1.710	0.050	2.8	4.72	0.24
1635	310C	45	75	0	0	0.3	2.03					2.8	4.72	0.61
3146	023C	45	75	0	0	0.02	0	4.1	30.000	1.710	0.320	2.8	4.72	1.54
1637	05LC	45	98	98	98	0	0	MC4				1.7	1.74	18

Pérdida de carga acumulada del segmento

 Δp_t [Pa] : 9.68

Velocidad en la sección inicial del segmento

 V_m [m/s] : 3.3

Velocidad en la sección final del segmento

 V_v [m/s] : 1.7

Recuperación de presión estática del segmento

 Δp_r [Pa] : 4.82

Pérdida de carga acumulada del segmento, considerando la recuperación

 Δp_{tn} [Pa] : 5.18

Pérdida de carga acumulada neta – total acumulado

 $\Sigma \Delta p_{tn}$ [Pa] : 164.96

Desequilibrio del terminal respecto al camino más desfavorable

 Δp_{Tmr} [Pa] : 32.56**SEGMENTO 428:****Tipo:** Tramo

1 ELEMENTO		2 Caudal Q	3 Diam. D/D _e	4 Ancho A	5 Alto B	6 Long. L	7 $\Delta p/L$	8 Fuente Tab	9 Ashrae X	10 Ashrae Y	11 Coeff. C _o	12 Veloc. V	13 P.Dinám P _v	14 Pérdida Δp_r o Δp_e
N. pz.	Cod.	[m³/h]	[mm]	[mm]	[mm]	[m]	[Pa/m]	n.	-	-	-	[m/s]	[Pa]	[Pa]
3110	11RA	405	164	150	150	0	0	ASH6_26M	0.900		0.010	5	15.05	0.07
1569	310R	405	164	150	150	0.6	2.43					5	15.05	1.46

Pérdida de carga acumulada del segmento

 Δp_t [Pa] : 1.52

Velocidad en la sección inicial del segmento

 V_m [m/s] : 3.3

Velocidad en la sección final del segmento

 V_v [m/s] : 3

Recuperación de presión estática del segmento

 Δp_r [Pa] : 1.14

Pérdida de carga acumulada del segmento, considerando la recuperación

 Δp_{tn} [Pa] : 1.76

Pérdida de carga acumulada neta – total acumulado

 $\Sigma \Delta p_{tn}$ [Pa] : 143.54**SEGMENTO 427:****Tipo:** Terminal TRM-19

1 ELEMENTO		2 Caudal Q	3 Diam. D/D _e	4 Ancho A	5 Alto B	6 Long. L	7 $\Delta p/L$	8 Fuente Tab	9 Ashrae X	10 Ashrae Y	11 Coeff. C _o	12 Veloc. V	13 P.Dinám P _v	14 Pérdida Δp_r o Δp_e
N. pz.	Cod.	[m³/h]	[mm]	[mm]	[mm]	[m]	[Pa/m]	n.	-	-	-	[m/s]	[Pa]	[Pa]
3112	11RA	45	98	98	98	0	0	ASH6_26	0.111	0.332	1.110	1.7	1.74	6
1626	310C	45	98	98	98	0.07	0.57					1.7	1.74	0.04
1628	079C	45	98	98	98	0	0	3.1	1.520		0.046	1.7	1.74	0.07
3145	273C	45	75	0	0	0.02	0	5.1	30.000	1.710	0.050	2.8	4.72	0.24
1629	310C	45	75	0	0	0.3	2.03					2.8	4.72	0.61
3144	023C	45	75	0	0	0.02	0	4.1	30.000	1.710	0.320	2.8	4.72	1.54
1631	05LC	45	98	98	98	0	0	MC4				1.7	1.74	18

Pérdida de carga acumulada del segmento	Δp_t	[Pa]	: 8.51
Velocidad en la sección inicial del segmento	V_m	[m/s]	: 3
Velocidad en la sección final del segmento	V_v	[m/s]	: 1.7
Recuperación de presión estática del segmento	Δp_r	[Pa]	: 3.68
Pérdida de carga acumulada del segmento, considerando la recuperación	Δp_{tn}	[Pa]	: 5.27
Pérdida de carga acumulada neta – total acumulado	$\Sigma \Delta p_{tn}$	[Pa]	: 166.81
Desequilibrio del terminal respecto al camino más desfavorable	Δp_{Tmr}	[Pa]	: 30.71

SEGMENTO 426:

Tipo: Tramo

1 ELEMENTO		2 Caudal Q	3 Diam. D/D _e	4 Ancho A	5 Alto B	6 Long. L	7 $\Delta p/L$	8 Fuente Tab	9 Ashrae X	10 Ashrae Y	11 Coeff. C _o	12 Veloc. V	13 P.Dinám P _v	14 Pérdida Δp_r o Δp_e
N. pz.	Cod.	[m³/h]	[mm]	[mm]	[mm]	[m]	[Pa/m]	n.	-	-	-	[m/s]	[Pa]	[Pa]
3113	11RA	360	164	150	150	0	0	ASH6_26M	0.889		0.011	4.4	11.65	0.06
1570	310R	360	164	150	150	0.6	1.95					4.4	11.65	1.17

Pérdida de carga acumulada del segmento	Δp_t	[Pa]	: 1.23
Velocidad en la sección inicial del segmento	V_m	[m/s]	: 3
Velocidad en la sección final del segmento	V_v	[m/s]	: 2.7
Recuperación de presión estática del segmento	Δp_r	[Pa]	: 1.03
Pérdida de carga acumulada del segmento, considerando la recuperación	Δp_{tn}	[Pa]	: 1.28
Pérdida de carga acumulada neta – total acumulado	$\Sigma \Delta p_{tn}$	[Pa]	: 144.82

SEGMENTO 425:

Tipo: Terminal TRM-20

1 ELEMENTO		2 Caudal Q	3 Diam. D/D _e	4 Ancho A	5 Alto B	6 Long. L	7 $\Delta p/L$	8 Fuente Tab	9 Ashrae X	10 Ashrae Y	11 Coeff. C _o	12 Veloc. V	13 P.Dinám P _v	14 Pérdida Δp_r o Δp_e
N. pz.	Cod.	[m³/h]	[mm]	[mm]	[mm]	[m]	[Pa/m]	n.	-	-	-	[m/s]	[Pa]	[Pa]
3114	11RA	45	98	98	98	0	0	ASH6_26	0.125	0.373	1.140	1.7	1.74	4.88
1620	310C	45	98	98	98	0.07	0.57					1.7	1.74	0.04
1622	079C	45	98	98	98	0	0	3.1	1.520		0.046	1.7	1.74	0.07
3143	273C	45	75	0	0	0.02	0	5.1	30.000	1.710	0.050	2.8	4.72	0.24
1623	310C	45	75	0	0	0.3	2.03					2.8	4.72	0.61
3142	023C	45	75	0	0	0.02	0	4.1	30.000	1.710	0.320	2.8	4.72	1.54
1625	05LC	45	98	98	98	0	0	MC4				1.7	1.74	18

Pérdida de carga acumulada del segmento	Δp_t	[Pa]	: 7.38
Velocidad en la sección inicial del segmento	V_m	[m/s]	: 2.7
Velocidad en la sección final del segmento	V_v	[m/s]	: 1.7
Recuperación de presión estática del segmento	Δp_r	[Pa]	: 2.65
Pérdida de carga acumulada del segmento, considerando la recuperación	Δp_{tn}	[Pa]	: 5.28
Pérdida de carga acumulada neta – total acumulado	$\Sigma \Delta p_{tn}$	[Pa]	: 168.1
Desequilibrio del terminal respecto al camino más desfavorable	Δp_{Tmr}	[Pa]	: 29.42

SEGMENTO 424:

Tipo: Tramo

1 ELEMENTO		2 Caudal Q	3 Diam. D/D _e	4 Ancho A	5 Alto B	6 Long. L	7 $\Delta p/L$	8 Fuente Tab	9 Ashrae X	10 Ashrae Y	11 Coeff. C _o	12 Veloc. V	13 P.Dinám P _v	14 Pérdida Δp_r o Δp_e
---------------	--	------------------	--------------------------------	-----------------	----------------	-----------------	-------------------	--------------------	------------------	-------------------	--------------------------------	-------------------	---------------------------------	--

N. pz.	Cod.	[m³/h]	[mm]	[mm]	[mm]	[m]	[Pa/m]	n.	-	-	-	[m/s]	[Pa]	[Pa]
3115	11RA	315	164	150	150	0	0	ASH6_26M	0.875		0.012	3.9	9.16	0.05
1571	310R	315	164	150	150	0.6	1.52					3.9	9.16	0.91

Pérdida de carga acumulada del segmento	Δp_t	[Pa]	: 0.97
Velocidad en la sección inicial del segmento	V_m	[m/s]	: 2.7
Velocidad en la sección final del segmento	V_v	[m/s]	: 2.3
Recuperación de presión estática del segmento	Δp_r	[Pa]	: 1.2
Pérdida de carga acumulada del segmento, considerando la recuperación	Δp_{tm}	[Pa]	: 0.87
Pérdida de carga acumulada neta – total acumulado	$\Sigma \Delta p_{tm}$	[Pa]	: 145.69

SEGMENTO 423:

Tipo: Terminal TRM-21

1 ELEMENTO		2 Caudal Q	3 Diam. D/D _e	4 Ancho A	5 Alto B	6 Long. L	7 $\Delta p/L$	8 Fuente Tab	9 Ashrae X	10 Ashrae Y	11 Coeff. C _o	12 Veloc. V	13 P.Dinám P _v	14 Pérdida Δp_r o Δp_c
N. pz.	Cod.	[m³/h]	[mm]	[mm]	[mm]	[m]	[Pa/m]	n.	-	-	-	[m/s]	[Pa]	[Pa]
3116	11RA	45	98	98	98	0	0	ASH6_26	0.143	0.426	1.190	1.7	1.74	3.88
1614	310C	45	98	98	98	0.07	0.57					1.7	1.74	0.04
1616	079C	45	98	98	98	0	0	3.1	1.520		0.046	1.7	1.74	0.07
3141	273C	45	75	0	0	0.02	0	5.1	30.000	1.710	0.050	2.8	4.72	0.24
1617	310C	45	75	0	0	0.3	2.03					2.8	4.72	0.61
3140	023C	45	75	0	0	0.02	0	4.1	30.000	1.710	0.320	2.8	4.72	1.54
1619	05LC	45	98	98	98	0	0	MC4				1.7	1.74	18

Pérdida de carga acumulada del segmento	Δp_t	[Pa]	: 6.39
Velocidad en la sección inicial del segmento	V_m	[m/s]	: 2.3
Velocidad en la sección final del segmento	V_v	[m/s]	: 1.7
Recuperación de presión estática del segmento	Δp_r	[Pa]	: 1.44
Pérdida de carga acumulada del segmento, considerando la recuperación	Δp_{tm}	[Pa]	: 5.29
Pérdida de carga acumulada neta – total acumulado	$\Sigma \Delta p_{tm}$	[Pa]	: 168.99
Desequilibrio del terminal respecto al camino más desfavorable	Δp_{Tmr}	[Pa]	: 28.54

SEGMENTO 422:

Tipo: Tramo

1 ELEMENTO		2 Caudal Q	3 Diam. D/D _e	4 Ancho A	5 Alto B	6 Long. L	7 $\Delta p/L$	8 Fuente Tab	9 Ashrae X	10 Ashrae Y	11 Coeff. C _o	12 Veloc. V	13 P.Dinám P _v	14 Pérdida Δp_r o Δp_c
N. pz.	Cod.	[m³/h]	[mm]	[mm]	[mm]	[m]	[Pa/m]	n.	-	-	-	[m/s]	[Pa]	[Pa]
3117	11RA	270	164	150	150	0	0	ASH6_26M	0.857		0.014	3.3	6.56	0.05
1572	310R	270	164	150	150	0.6	1.15					3.3	6.56	0.69

Pérdida de carga acumulada del segmento	Δp_t	[Pa]	: 0.73
Velocidad en la sección inicial del segmento	V_m	[m/s]	: 2.3
Velocidad en la sección final del segmento	V_v	[m/s]	: 2
Recuperación de presión estática del segmento	Δp_r	[Pa]	: 0.78
Pérdida de carga acumulada del segmento, considerando la recuperación	Δp_{tm}	[Pa]	: 0.53
Pérdida de carga acumulada neta – total acumulado	$\Sigma \Delta p_{tm}$	[Pa]	: 146.22

SEGMENTO 421:

Tipo: Terminal TRM-22

1 ELEMENTO		2 Caudal Q	3 Diam. D/D _e	4 Ancho A	5 Alto B	6 Long. L	7 $\Delta p/L$	8 Fuente Tab	9 Ashrae X	10 Ashrae Y	11 Coeff. C _o	12 Veloc. V	13 P.Dinám P _v	14 Pérdida Δp_r o Δp_e
N. pz.	Cod.	[m³/h]	[mm]	[mm]	[mm]	[m]	[Pa/m]	n.	-	-	-	[m/s]	[Pa]	[Pa]
3118	11RA	45	98	98	98	0	0	ASH6_26	0.167	0.497	1.280	1.7	1.74	3.08
1608	310C	45	98	98	98	0.07	0.57					1.7	1.74	0.04
1610	079C	45	98	98	98	0	0	3.1	1.520		0.046	1.7	1.74	0.07
3139	273C	45	75	0	0	0.02	0	5.1	30.000	1.710	0.050	2.8	4.72	0.24
1611	310C	45	75	0	0	0.3	2.03					2.8	4.72	0.61
3138	023C	45	75	0	0	0.02	0	4.1	30.000	1.710	0.320	2.8	4.72	1.54
1613	05LC	45	98	98	98	0	0	MC4				1.7	1.74	18

Pérdida de carga acumulada del segmento	Δp_t	[Pa] : 5.59
Velocidad en la sección inicial del segmento	V_m	[m/s] : 2
Velocidad en la sección final del segmento	V_v	[m/s] : 1.7
Recuperación de presión estática del segmento	Δp_r	[Pa] : 0.67
Pérdida de carga acumulada del segmento, considerando la recuperación	Δp_{tm}	[Pa] : 5.36
Pérdida de carga acumulada neta – total acumulado	$\Sigma \Delta p_{tm}$	[Pa] : 169.58
Desequilibrio del terminal respecto al camino más desfavorable	Δp_{Tmr}	[Pa] : 27.94

SEGMENTO 420:

Tipo: Tramo

1 ELEMENTO		2 Caudal Q	3 Diam. D/D _e	4 Ancho A	5 Alto B	6 Long. L	7 $\Delta p/L$	8 Fuente Tab	9 Ashrae X	10 Ashrae Y	11 Coeff. C _o	12 Veloc. V	13 P.Dinám P _v	14 Pérdida Δp_r o Δp_e
N. pz.	Cod.	[m³/h]	[mm]	[mm]	[mm]	[m]	[Pa/m]	n.	-	-	-	[m/s]	[Pa]	[Pa]
3119	11RA	225	164	150	150	0	0	ASH6_26M	0.833		0.017	2.8	4.72	0.04
1573	310R	225	164	150	150	0.6	0.82					2.8	4.72	0.49

Pérdida de carga acumulada del segmento	Δp_t	[Pa] : 0.53
Velocidad en la sección inicial del segmento	V_m	[m/s] : 2
Velocidad en la sección final del segmento	V_v	[m/s] : 3.1
Recuperación de presión estática del segmento	Δp_r	[Pa] : -3.38
Pérdida de carga acumulada del segmento, considerando la recuperación	Δp_{tm}	[Pa] : 4.53
Pérdida de carga acumulada neta – total acumulado	$\Sigma \Delta p_{tm}$	[Pa] : 150.75

SEGMENTO 419:

Tipo: Terminal TRM-22

1 ELEMENTO		2 Caudal Q	3 Diam. D/D _e	4 Ancho A	5 Alto B	6 Long. L	7 $\Delta p/L$	8 Fuente Tab	9 Ashrae X	10 Ashrae Y	11 Coeff. C _o	12 Veloc. V	13 P.Dinám P _v	14 Pérdida Δp_r o Δp_e
N. pz.	Cod.	[m³/h]	[mm]	[mm]	[mm]	[m]	[Pa/m]	n.	-	-	-	[m/s]	[Pa]	[Pa]
3120	11RA	45	98	98	98	0	0	ASH6_26	0.200	0.597	1.090	1.7	1.74	6.41
1602	310C	45	98	98	98	0.07	0.57					1.7	1.74	0.04
1604	079C	45	98	98	98	0	0	3.1	1.520		0.046	1.7	1.74	0.07
3137	273C	45	75	0	0	0.02	0	5.1	30.000	1.710	0.050	2.8	4.72	0.24
1605	310C	45	75	0	0	0.3	2.03					2.8	4.72	0.61
3136	023C	45	75	0	0	0.02	0	4.1	30.000	1.710	0.320	2.8	4.72	1.54
1607	05LC	45	98	98	98	0	0	MC4				1.7	1.74	18

Pérdida de carga acumulada del segmento	Δp_t	[Pa] : 8.91
Velocidad en la sección inicial del segmento	V_m	[m/s] : 3.1
Velocidad en la sección final del segmento	V_v	[m/s] : 1.7

Recuperación de presión estática del segmento	Δp_r	[Pa] : 4.05
Pérdida de carga acumulada del segmento, considerando la recuperación	Δp_{tn}	[Pa] : 5.21
Pérdida de carga acumulada neta – total acumulado	$\Sigma \Delta p_{tn}$	[Pa] : 173.97
Desequilibrio del terminal respecto al camino más desfavorable	Δp_{Tmr}	[Pa] : 23.56

SEGMENTO 418:

Tipo: Tramo

1 ELEMENTO		2 Caudal Q	3 Diam. D/D _e	4 Ancho A	5 Alto B	6 Long. L	7 $\Delta p/L$	8 Fuente Tab	9 Ashrae X	10 Ashrae Y	11 Coeff. C _o	12 Veloc. V	13 P.Dinám P _v	14 Pérdida Δp_r o Δp_c
N. pz.	Cod.	[m³/h]	[mm]	[mm]	[mm]	[m]	[Pa/m]	n.	-	-	-	[m/s]	[Pa]	[Pa]
3121	11RA	180	164	150	150	0	0	ASH6_26M	0.800		0.020	2.2	2.91	0.12
1574	310R	180	164	150	150	0.6	0.55					2.2	2.91	0.33

Pérdida de carga acumulada del segmento	Δp_t	[Pa] : 0.45
Velocidad en la sección inicial del segmento	V_m	[m/s] : 3.1
Velocidad en la sección final del segmento	V_v	[m/s] : 2.5
Recuperación de presión estática del segmento	Δp_r	[Pa] : 2.02
Pérdida de carga acumulada del segmento, considerando la recuperación	Δp_{tn}	[Pa] : -0.35
Pérdida de carga acumulada neta – total acumulado	$\Sigma \Delta p_{tn}$	[Pa] : 150.4

SEGMENTO 417:

Tipo: Terminal TRM-24

1 ELEMENTO		2 Caudal Q	3 Diam. D/D _e	4 Ancho A	5 Alto B	6 Long. L	7 $\Delta p/L$	8 Fuente Tab	9 Ashrae X	10 Ashrae Y	11 Coeff. C _o	12 Veloc. V	13 P.Dinám P _v	14 Pérdida Δp_r o Δp_c
N. pz.	Cod.	[m³/h]	[mm]	[mm]	[mm]	[m]	[Pa/m]	n.	-	-	-	[m/s]	[Pa]	[Pa]
3122	11RA	45	98	98	98	0	0	ASH6_26	0.250	0.746	1.130	1.7	1.74	4.25
1596	310C	45	98	98	98	0.07	0.57					1.7	1.74	0.04
1598	079C	45	98	98	98	0	0	3.1	1.520		0.046	1.7	1.74	0.07
3135	273C	45	75	0	0	0.02	0	5.1	30.000	1.710	0.050	2.8	4.72	0.24
1599	310C	45	75	0	0	0.3	2.03					2.8	4.72	0.61
3134	023C	45	75	0	0	0.02	0	4.1	30.000	1.710	0.320	2.8	4.72	1.54
1601	05LC	45	98	98	98	0	0	MC4				1.7	1.74	18

Pérdida de carga acumulada del segmento	Δp_t	[Pa] : 6.76
Velocidad en la sección inicial del segmento	V_m	[m/s] : 2.5
Velocidad en la sección final del segmento	V_v	[m/s] : 1.7
Recuperación de presión estática del segmento	Δp_r	[Pa] : 2.02
Pérdida de carga acumulada del segmento, considerando la recuperación	Δp_{tn}	[Pa] : 5.17
Pérdida de carga acumulada neta – total acumulado	$\Sigma \Delta p_{tn}$	[Pa] : 173.57
Desequilibrio del terminal respecto al camino más desfavorable	Δp_{Tmr}	[Pa] : 23.95

SEGMENTO 416:

Tipo: Tramo

1 ELEMENTO		2 Caudal Q	3 Diam. D/D _e	4 Ancho A	5 Alto B	6 Long. L	7 $\Delta p/L$	8 Fuente Tab	9 Ashrae X	10 Ashrae Y	11 Coeff. C _o	12 Veloc. V	13 P.Dinám P _v	14 Pérdida Δp_r o Δp_c
N. pz.	Cod.	[m³/h]	[mm]	[mm]	[mm]	[m]	[Pa/m]	n.	-	-	-	[m/s]	[Pa]	[Pa]
3123	11RA	135	164	150	150	0	0	ASH6_26M	0.750		0.030	1.7	1.74	0.11
1575	310R	135	164	150	150	0.6	0.32					1.7	1.74	0.19

Pérdida de carga acumulada del segmento	Δp_t	[Pa]	: 0.31
Velocidad en la sección inicial del segmento	V_m	[m/s]	: 2.5
Velocidad en la sección final del segmento	V_v	[m/s]	: 2.5
Recuperación de presión estática del segmento	Δp_r	[Pa]	: 0
Pérdida de carga acumulada del segmento, considerando la recuperación	Δp_{tm}	[Pa]	: 1.13
Pérdida de carga acumulada neta – total acumulado	$\Sigma \Delta p_{tm}$	[Pa]	: 151.53

SEGMENTO 415:

Tipo: Terminal TRM-25

1 ELEMENTO		2 Caudal Q	3 Diam. D/D _e	4 Ancho A	5 Alto B	6 Long. L	7 $\Delta p/L$	8 Fuente Tab	9 Ashrae X	10 Ashrae Y	11 Coeff. C _o	12 Veloc. V	13 P.Dinám P _v	14 Pérdida Δp_r o Δp_c
N. pz.	Cod.	[m³/h]	[mm]	[mm]	[mm]	[m]	[Pa/m]	n.	-	-	-	[m/s]	[Pa]	[Pa]
3124	11RA	45	98	98	98	0	0	ASH6_26	0.333	0.995	1.110	1.7	1.74	4.16
1590	310C	45	98	98	98	0.07	0.57					1.7	1.74	0.04
1592	079C	45	98	98	98	0	0	3.1	1.520		0.046	1.7	1.74	0.07
3133	273C	45	75	0	0	0.02	0	5.1	30.000	1.710	0.050	2.8	4.72	0.24
1593	310C	45	75	0	0	0.3	2.03					2.8	4.72	0.61
3132	023C	45	75	0	0	0.02	0	4.1	30.000	1.710	0.320	2.8	4.72	1.54
1595	05LC	45	98	98	98	0	0	MC4				1.7	1.74	18

Pérdida de carga acumulada del segmento	Δp_t	[Pa]	: 6.66
Velocidad en la sección inicial del segmento	V_m	[m/s]	: 2.5
Velocidad en la sección final del segmento	V_v	[m/s]	: 1.7
Recuperación de presión estática del segmento	Δp_r	[Pa]	: 2.02
Pérdida de carga acumulada del segmento, considerando la recuperación	Δp_{tm}	[Pa]	: 5.08
Pérdida de carga acumulada neta – total acumulado	$\Sigma \Delta p_{tm}$	[Pa]	: 174.61
Desequilibrio del terminal respecto al camino más desfavorable	Δp_{Tmr}	[Pa]	: 22.91

SEGMENTO 414:

Tipo: Tramo

1 ELEMENTO		2 Caudal Q	3 Diam. D/D _e	4 Ancho A	5 Alto B	6 Long. L	7 $\Delta p/L$	8 Fuente Tab	9 Ashrae X	10 Ashrae Y	11 Coeff. C _o	12 Veloc. V	13 P.Dinám P _v	14 Pérdida Δp_r o Δp_c
N. pz.	Cod.	[m³/h]	[mm]	[mm]	[mm]	[m]	[Pa/m]	n.	-	-	-	[m/s]	[Pa]	[Pa]
3125	11RA	90	164	150	150	0	0	ASH6_26M	0.667		0.047	1.1	0.73	0.18
1576	310R	90	164	150	150	0.6	0.15					1.1	0.73	0.09

Pérdida de carga acumulada del segmento	Δp_t	[Pa]	: 0.27
Velocidad en la sección inicial del segmento	V_m	[m/s]	: 2.5
Velocidad en la sección final del segmento	V_v	[m/s]	: 2.5
Recuperación de presión estática del segmento	Δp_r	[Pa]	: 0
Pérdida de carga acumulada del segmento, considerando la recuperación	Δp_{tm}	[Pa]	: 0.95
Pérdida de carga acumulada neta – total acumulado	$\Sigma \Delta p_{tm}$	[Pa]	: 152.48

SEGMENTO 413:

Tipo: Terminal TRM-26

1 ELEMENTO		2 Caudal Q	3 Diam. D/D _e	4 Ancho A	5 Alto B	6 Long. L	7 $\Delta p/L$	8 Fuente Tab	9 Ashrae X	10 Ashrae Y	11 Coeff. C _o	12 Veloc. V	13 P.Dinám P _v	14 Pérdida Δp_r o Δp_c
N. pz.	Cod.	[m³/h]	[mm]	[mm]	[mm]	[m]	[Pa/m]	n.	-	-	-	[m/s]	[Pa]	[Pa]

3126	11RA	45	98	98	98	0	0	ASH6_26	0.500	1.490	1.260	1.7	1.74	4.74
1584	310C	45	98	98	98	0.07	0.57					1.7	1.74	0.04
1586	079C	45	98	98	98	0	0	3.1	1.520		0.046	1.7	1.74	0.07
3131	273C	45	75	0	0	0.02	0	5.1	30.000	1.710	0.050	2.8	4.72	0.24
1587	310C	45	75	0	0	0.3	2.03					2.8	4.72	0.61
3130	023C	45	75	0	0	0.02	0	4.1	30.000	1.710	0.320	2.8	4.72	1.54
1589	05LC	45	98	98	98	0	0	MC4				1.7	1.74	18

Pérdida de carga acumulada del segmento	Δp_t	[Pa]	: 7.25
Velocidad en la sección inicial del segmento	V_m	[m/s]	: 2.5
Velocidad en la sección final del segmento	V_v	[m/s]	: 1.7
Recuperación de presión estática del segmento	Δp_r	[Pa]	: 2.02
Pérdida de carga acumulada del segmento, considerando la recuperación	Δp_{tm}	[Pa]	: 5.67
Pérdida de carga acumulada neta – total acumulado	$\Sigma \Delta p_{tm}$	[Pa]	: 176.15
Desequilibrio del terminal respecto al camino más desfavorable	Δp_{Tmr}	[Pa]	: 21.37

SEGMENTO 412:

Tipo: Terminal TRM-27

1 ELEMENTO		2 Caudal Q	3 Diam. D/D _e	4 Ancho A	5 Alto B	6 Long. L	7 $\Delta p/L$	8 Fuente Tab	9 Ashrae X	10 Ashrae Y	11 Coeff. C _o	12 Veloc. V	13 P.Dinám P _v	14 Pérdida Δp_r o Δp_e
N. pz.	Cod.	[m³/h]	[mm]	[mm]	[mm]	[m]	[Pa/m]	n.	-	-	-	[m/s]	[Pa]	[Pa]
3127	11RA	45	164	150	150	0	0	ASH6_26M	0.500		0.090	0.6	0.22	0.34
1577	310R	45	164	150	150	0.6	0.05					0.6	0.22	0.03
1568	11RAT	45	164	150	150	0	0	2_6	1.000	0.915	2.800	0.6	0.22	0
1578	310C	45	98	98	98	0.07	0.57					1.7	1.74	0.04
1580	079C	45	98	98	98	0	0	3.1	1.520		0.046	1.7	1.74	0.07
3129	023C	45	98	98	98	0	0	4.1	30.000	1.040	0.320	1.7	1.74	0.53
1581	310C	45	100	0	0	0.3	0.5					1.6	1.54	0.15
3128	273C	45	98	98	98	0	0	5.1	30.000	1.040	0.050	1.7	1.74	0.08
1583	05LC	45	98	98	98	0	0	MC4				1.7	1.74	18

Pérdida de carga acumulada del segmento	Δp_t	[Pa]	: 1.24
Velocidad en la sección inicial del segmento	V_m	[m/s]	: 2.5
Velocidad en la sección final del segmento	V_v	[m/s]	: 1.7
Recuperación de presión estática del segmento	Δp_r	[Pa]	: 2.02
Pérdida de carga acumulada del segmento, considerando la recuperación	Δp_{tm}	[Pa]	: -0.55
Pérdida de carga acumulada neta – total acumulado	$\Sigma \Delta p_{tm}$	[Pa]	: 169.93
Desequilibrio del terminal respecto al camino más desfavorable	Δp_{Tmr}	[Pa]	: 27.59

SEGMENTO 410:

Tipo: Tramo

1 ELEMENTO		2 Caudal Q	3 Diam. D/D _e	4 Ancho A	5 Alto B	6 Long. L	7 $\Delta p/L$	8 Fuente Tab	9 Ashrae X	10 Ashrae Y	11 Coeff. C _o	12 Veloc. V	13 P.Dinám P _v	14 Pérdida Δp_r o Δp_e
N. pz.	Cod.	[m³/h]	[mm]	[mm]	[mm]	[m]	[Pa/m]	n.	-	-	-	[m/s]	[Pa]	[Pa]
1495	3736	450	343	250	400	0	0	MC4	0.100	0.455	8.130	1.2	0.87	7.07
3069	283R	450	210	250	150	0.53	0	5.1	30.000	2.670	0.047	3.3	6.56	0.31
1494	310R	450	210	250	150	1.05	0.87					3.3	6.56	0.91

Pérdida de carga acumulada del segmento	Δp_t	[Pa]	: 8.29
Velocidad en la sección inicial del segmento	V_m	[m/s]	: 3.9
Velocidad en la sección final del segmento	V_v	[m/s]	: 3.3
Recuperación de presión estática del segmento	Δp_r	[Pa]	: 2.6
Pérdida de carga acumulada del segmento, considerando la recuperación	Δp_{tm}	[Pa]	: 5.79
Pérdida de carga acumulada neta – total acumulado	$\Sigma \Delta p_{tm}$	[Pa]	: 141.05

SEGMENTO 409:

Tipo: Terminal TRM-46

1 ELEMENTO		2 Caudal Q	3 Diam. D/D _e	4 Ancho A	5 Alto B	6 Long. L	7 $\Delta p/L$	8 Fuente Tab	9 Ashrae X	10 Ashrae Y	11 Coeff. C _o	12 Veloc. V	13 P.Dinám P _v	14 Pérdida Δp_r o Δp_c
N. pz.	Cod.	[m³/h]	[mm]	[mm]	[mm]	[m]	[Pa/m]	n.	-	-	-	[m/s]	[Pa]	[Pa]
3067	11RA	45	98	98	98	0	0	ASH6_26	0.100	0.497	1.070	1.7	1.74	7.18
1560	310C	45	98	98	98	0.07	0.57					1.7	1.74	0.04
1562	079C	45	98	98	98	0	0	3.1	1.520		0.046	1.7	1.74	0.07
3108	273C	45	75	0	0	0.02	0	5.1	30.000	1.710	0.050	2.8	4.72	0.24
1563	310C	45	75	0	0	0.3	2.03					2.8	4.72	0.61
3107	023C	45	75	0	0	0.02	0	4.1	30.000	1.710	0.320	2.8	4.72	1.54
1565	05LC	45	98	98	98	0	0	MC4				1.7	1.74	18

Pérdida de carga acumulada del segmento

Δp_t [Pa] : 9.68

Velocidad en la sección inicial del segmento

V_m [m/s] : 3.3

Velocidad en la sección final del segmento

V_v [m/s] : 1.7

Recuperación de presión estática del segmento

Δp_r [Pa] : 4.82

Pérdida de carga acumulada del segmento, considerando la recuperación

Δp_{tm} [Pa] : 5.18

Pérdida de carga acumulada neta – total acumulado

$\Sigma \Delta p_{tm}$ [Pa] : 164.23

Desequilibrio del terminal respecto al camino más desfavorable

Δp_{Tmr} [Pa] : 33.3

SEGMENTO 408:

Tipo: Tramo

1 ELEMENTO		2 Caudal Q	3 Diam. D/D _e	4 Ancho A	5 Alto B	6 Long. L	7 $\Delta p/L$	8 Fuente Tab	9 Ashrae X	10 Ashrae Y	11 Coeff. C _o	12 Veloc. V	13 P.Dinám P _v	14 Pérdida Δp_r o Δp_c
N. pz.	Cod.	[m³/h]	[mm]	[mm]	[mm]	[m]	[Pa/m]	n.	-	-	-	[m/s]	[Pa]	[Pa]
3068	11RA	405	210	250	150	0	0	ASH6_26M	0.900		0.010	3	5.42	0.07
3072	283R	405	152	200	100	0.19	0	5.1	30.000	1.880	0.050	5.6	18.88	0.95
1497	310R	405	152	200	100	0.6	3.53					5.6	18.88	2.12

Pérdida de carga acumulada del segmento

Δp_t [Pa] : 3.14

Velocidad en la sección inicial del segmento

V_m [m/s] : 3.3

Velocidad en la sección final del segmento

V_v [m/s] : 5.6

Recuperación de presión estática del segmento

Δp_r [Pa] : -12.32

Pérdida de carga acumulada del segmento, considerando la recuperación

Δp_{tm} [Pa] : 15.5

Pérdida de carga acumulada neta – total acumulado

$\Sigma \Delta p_{tm}$ [Pa] : 156.55

SEGMENTO 407:

Tipo: Terminal TRM-46

1 ELEMENTO		2 Caudal Q	3 Diam. D/D _e	4 Ancho A	5 Alto B	6 Long. L	7 $\Delta p/L$	8 Fuente Tab	9 Ashrae X	10 Ashrae Y	11 Coeff. C _o	12 Veloc. V	13 P.Dinám P _v	14 Pérdida Δp_r o Δp_c
N. pz.	Cod.	[m³/h]	[mm]	[mm]	[mm]	[m]	[Pa/m]	n.	-	-	-	[m/s]	[Pa]	[Pa]
3070	11RA	45	98	98	98	0	0	ASH6_26	0.111	0.295	1.010	1.7	1.74	19.28
1554	310C	45	98	98	98	0.07	0.57					1.7	1.74	0.04
1556	079C	45	98	98	98	0	0	3.1	1.520		0.046	1.7	1.74	0.07
3106	273C	45	75	0	0	0.02	0	5.1	30.000	1.710	0.050	2.8	4.72	0.24
1557	310C	45	75	0	0	0.3	2.03					2.8	4.72	0.61
3105	023C	45	75	0	0	0.02	0	4.1	30.000	1.710	0.320	2.8	4.72	1.54
1559	05LC	45	98	98	98	0	0	MC4				1.7	1.74	18

Pérdida de carga acumulada del segmento	Δp_t	[Pa]	: 21.78
Velocidad en la sección inicial del segmento	V_m	[m/s]	: 5.6
Velocidad en la sección final del segmento	V_v	[m/s]	: 1.7
Recuperación de presión estática del segmento	Δp_r	[Pa]	: 17.14
Pérdida de carga acumulada del segmento, considerando la recuperación	Δp_{tm}	[Pa]	: 4.92
Pérdida de carga acumulada neta – total acumulado	$\Sigma \Delta p_{tm}$	[Pa]	: 179.47
Desequilibrio del terminal respecto al camino más desfavorable	Δp_{Tmr}	[Pa]	: 18.06

SEGMENTO 406:

Tipo: Tramo

1 ELEMENTO		2 Caudal Q	3 Diam. D/D _e	4 Ancho A	5 Alto B	6 Long. L	7 $\Delta p/L$	8 Fuente Tab	9 Ashrae X	10 Ashrae Y	11 Coeff. C _o	12 Veloc. V	13 P.Dinám P _v	14 Pérdida Δp_r o Δp_e
N. pz.	Cod.	[m³/h]	[mm]	[mm]	[mm]	[m]	[Pa/m]	n.	-	-	-	[m/s]	[Pa]	[Pa]
3071	11RA	360	152	200	100	0	0	ASH6_26M	0.889		0.011	5	15.05	0.21
1498	310R	360	152	200	100	0.6	2.85					5	15.05	1.71

Pérdida de carga acumulada del segmento	Δp_t	[Pa]	: 1.92
Velocidad en la sección inicial del segmento	V_m	[m/s]	: 5.6
Velocidad en la sección final del segmento	V_v	[m/s]	: 5
Recuperación de presión estática del segmento	Δp_r	[Pa]	: 3.83
Pérdida de carga acumulada del segmento, considerando la recuperación	Δp_{tm}	[Pa]	: -2.08
Pérdida de carga acumulada neta – total acumulado	$\Sigma \Delta p_{tm}$	[Pa]	: 154.47

SEGMENTO 405:

Tipo: Terminal TRM-46

1 ELEMENTO		2 Caudal Q	3 Diam. D/D _e	4 Ancho A	5 Alto B	6 Long. L	7 $\Delta p/L$	8 Fuente Tab	9 Ashrae X	10 Ashrae Y	11 Coeff. C _o	12 Veloc. V	13 P.Dinám P _v	14 Pérdida Δp_r o Δp_e
N. pz.	Cod.	[m³/h]	[mm]	[mm]	[mm]	[m]	[Pa/m]	n.	-	-	-	[m/s]	[Pa]	[Pa]
3073	11RA	45	98	98	98	0	0	ASH6_26	0.125	0.332	1.020	1.7	1.74	15.39
1548	310C	45	98	98	98	0.07	0.57					1.7	1.74	0.04
1550	079C	45	98	98	98	0	0	3.1	1.520		0.046	1.7	1.74	0.07
3104	273C	45	75	0	0	0.02	0	5.1	30.000	1.710	0.050	2.8	4.72	0.24
1551	310C	45	75	0	0	0.3	2.03					2.8	4.72	0.61
3103	023C	45	75	0	0	0.02	0	4.1	30.000	1.710	0.320	2.8	4.72	1.54
1553	05LC	45	98	98	98	0	0	MC4				1.7	1.74	18

Pérdida de carga acumulada del segmento	Δp_t	[Pa]	: 17.89
Velocidad en la sección inicial del segmento	V_m	[m/s]	: 5
Velocidad en la sección final del segmento	V_v	[m/s]	: 1.7
Recuperación de presión estática del segmento	Δp_r	[Pa]	: 13.31
Pérdida de carga acumulada del segmento, considerando la recuperación	Δp_{tm}	[Pa]	: 5.03
Pérdida de carga acumulada neta – total acumulado	$\Sigma \Delta p_{tm}$	[Pa]	: 177.49
Desequilibrio del terminal respecto al camino más desfavorable	Δp_{Tmr}	[Pa]	: 20.03

SEGMENTO 404:

Tipo: Tramo

1 ELEMENTO		2 Caudal Q	3 Diam. D/D _e	4 Ancho A	5 Alto B	6 Long. L	7 $\Delta p/L$	8 Fuente Tab	9 Ashrae X	10 Ashrae Y	11 Coeff. C _o	12 Veloc. V	13 P.Dinám P _v	14 Pérdida Δp_r o Δp_e
---------------	--	------------------	--------------------------------	-----------------	----------------	-----------------	-------------------	--------------------	------------------	-------------------	--------------------------------	-------------------	---------------------------------	--

N. pz.	Cod.	[m³/h]	[mm]	[mm]	[mm]	[m]	[Pa/m]	n.	-	-	-	[m/s]	[Pa]	[Pa]
3074	11RA	315	152	200	100	0	0	ASH6_26M	0.875		0.012	4.4	11.65	0.19
3077	283R	315	133	150	100	0.14	0	5.1	30.000	1.330	0.050	5.8	20.25	1.02
1499	310R	315	133	150	100	0.6	4.32					5.8	20.25	2.59

Pérdida de carga acumulada del segmento	Δp_t	[Pa] : 3.8
Velocidad en la sección inicial del segmento	V_m	[m/s] : 5
Velocidad en la sección final del segmento	V_v	[m/s] : 5.8
Recuperación de presión estática del segmento	Δp_r	[Pa] : -5.2
Pérdida de carga acumulada del segmento, considerando la recuperación	Δp_{tm}	[Pa] : 9.24
Pérdida de carga acumulada neta – total acumulado	$\Sigma \Delta p_{tm}$	[Pa] : 163.7

SEGMENTO 403:

Tipo: Terminal TRM-46

1 ELEMENTO		2 Caudal Q	3 Diam. D/D _e	4 Ancho A	5 Alto B	6 Long. L	7 $\Delta p/L$	8 Fuente Tab	9 Ashrae X	10 Ashrae Y	11 Coeff. C _o	12 Veloc. V	13 P.Dinám P _v	14 Pérdida Δp_r o Δp_e
N. pz.	Cod.	[m³/h]	[mm]	[mm]	[mm]	[m]	[Pa/m]	n.	-	-	-	[m/s]	[Pa]	[Pa]
3075	11RA	45	98	98	98	0	0	ASH6_26	0.143	0.284	1.030	1.7	1.74	21.15
1542	310C	45	98	98	98	0.07	0.57					1.7	1.74	0.04
1544	079C	45	98	98	98	0	0	3.1	1.520		0.046	1.7	1.74	0.07
3102	273C	45	75	0	0	0.02	0	5.1	30.000	1.710	0.050	2.8	4.72	0.24
1545	310C	45	75	0	0	0.3	2.03					2.8	4.72	0.61
3101	023C	45	75	0	0	0.02	0	4.1	30.000	1.710	0.320	2.8	4.72	1.54
1547	05LC	45	98	98	98	0	0	MC4				1.7	1.74	18

Pérdida de carga acumulada del segmento	Δp_t	[Pa] : 23.65
Velocidad en la sección inicial del segmento	V_m	[m/s] : 5.8
Velocidad en la sección final del segmento	V_v	[m/s] : 1.7
Recuperación de presión estática del segmento	Δp_r	[Pa] : 18.51
Pérdida de carga acumulada del segmento, considerando la recuperación	Δp_{tm}	[Pa] : 5.35
Pérdida de carga acumulada neta – total acumulado	$\Sigma \Delta p_{tm}$	[Pa] : 187.06
Desequilibrio del terminal respecto al camino más desfavorable	Δp_{Tmr}	[Pa] : 10.47

SEGMENTO 402:

Tipo: Tramo

1 ELEMENTO		2 Caudal Q	3 Diam. D/D _e	4 Ancho A	5 Alto B	6 Long. L	7 $\Delta p/L$	8 Fuente Tab	9 Ashrae X	10 Ashrae Y	11 Coeff. C _o	12 Veloc. V	13 P.Dinám P _v	14 Pérdida Δp_r o Δp_e
N. pz.	Cod.	[m³/h]	[mm]	[mm]	[mm]	[m]	[Pa/m]	n.	-	-	-	[m/s]	[Pa]	[Pa]
3076	11RA	270	133	150	100	0	0	ASH6_26M	0.857		0.014	5	15.05	0.29
1500	310R	270	133	150	100	0.6	3.23					5	15.05	1.94

Pérdida de carga acumulada del segmento	Δp_t	[Pa] : 2.23
Velocidad en la sección inicial del segmento	V_m	[m/s] : 5.8
Velocidad en la sección final del segmento	V_v	[m/s] : 5
Recuperación de presión estática del segmento	Δp_r	[Pa] : 5.2
Pérdida de carga acumulada del segmento, considerando la recuperación	Δp_{tm}	[Pa] : -3.2
Pérdida de carga acumulada neta – total acumulado	$\Sigma \Delta p_{tm}$	[Pa] : 160.5

SEGMENTO 401:

Tipo: Terminal TRM-46

1 ELEMENTO		2 Caudal Q	3 Diam. D/D _e	4 Ancho A	5 Alto B	6 Long. L	7 $\Delta p/L$	8 Fuente Tab	9 Ashrae X	10 Ashrae Y	11 Coeff. C _o	12 Veloc. V	13 P.Dinám P _v	14 Pérdida Δp_r o Δp_e
N. pz.	Cod.	[m³/h]	[mm]	[mm]	[mm]	[m]	[Pa/m]	n.	-	-	-	[m/s]	[Pa]	[Pa]
3078	11RA	45	98	98	98	0	0	ASH6_26	0.167	0.332	1.050	1.7	1.74	15.79
1536	310C	45	98	98	98	0.07	0.57					1.7	1.74	0.04
1538	079C	45	98	98	98	0	0	3.1	1.520		0.046	1.7	1.74	0.07
3100	273C	45	75	0	0	0.02	0	5.1	30.000	1.710	0.050	2.8	4.72	0.24
1539	310C	45	75	0	0	0.3	2.03					2.8	4.72	0.61
3099	023C	45	75	0	0	0.02	0	4.1	30.000	1.710	0.320	2.8	4.72	1.54
1541	05LC	45	98	98	98	0	0	MC4				1.7	1.74	18

Pérdida de carga acumulada del segmento	Δp_t	[Pa]	: 18.29
Velocidad en la sección inicial del segmento	V_m	[m/s]	: 5
Velocidad en la sección final del segmento	V_v	[m/s]	: 1.7
Recuperación de presión estática del segmento	Δp_r	[Pa]	: 13.31
Pérdida de carga acumulada del segmento, considerando la recuperación	Δp_{tm}	[Pa]	: 5.42
Pérdida de carga acumulada neta – total acumulado	$\Sigma \Delta p_{tm}$	[Pa]	: 183.92
Desequilibrio del terminal respecto al camino más desfavorable	Δp_{Tmr}	[Pa]	: 13.6

SEGMENTO 400:

Tipo: Tramo

1 ELEMENTO		2 Caudal Q	3 Diam. D/D _e	4 Ancho A	5 Alto B	6 Long. L	7 $\Delta p/L$	8 Fuente Tab	9 Ashrae X	10 Ashrae Y	11 Coeff. C _o	12 Veloc. V	13 P.Dinám P _v	14 Pérdida Δp_r o Δp_e
N. pz.	Cod.	[m³/h]	[mm]	[mm]	[mm]	[m]	[Pa/m]	n.	-	-	-	[m/s]	[Pa]	[Pa]
3079	11RA	225	133	150	100	0	0	ASH6_26M	0.833		0.017	4.2	10.62	0.25
1501	310R	225	133	150	100	0.6	2.3					4.2	10.62	1.38

Pérdida de carga acumulada del segmento	Δp_t	[Pa]	: 1.64
Velocidad en la sección inicial del segmento	V_m	[m/s]	: 5
Velocidad en la sección final del segmento	V_v	[m/s]	: 4.2
Recuperación de presión estática del segmento	Δp_r	[Pa]	: 4.43
Pérdida de carga acumulada del segmento, considerando la recuperación	Δp_{tm}	[Pa]	: -2.96
Pérdida de carga acumulada neta – total acumulado	$\Sigma \Delta p_{tm}$	[Pa]	: 157.54

SEGMENTO 399:

Tipo: Terminal TRM-46

1 ELEMENTO		2 Caudal Q	3 Diam. D/D _e	4 Ancho A	5 Alto B	6 Long. L	7 $\Delta p/L$	8 Fuente Tab	9 Ashrae X	10 Ashrae Y	11 Coeff. C _o	12 Veloc. V	13 P.Dinám P _v	14 Pérdida Δp_r o Δp_e
N. pz.	Cod.	[m³/h]	[mm]	[mm]	[mm]	[m]	[Pa/m]	n.	-	-	-	[m/s]	[Pa]	[Pa]
3080	11RA	45	98	98	98	0	0	ASH6_26	0.200	0.398	1.070	1.7	1.74	11.18
1530	310C	45	98	98	98	0.07	0.57					1.7	1.74	0.04
1532	079C	45	98	98	98	0	0	3.1	1.520		0.046	1.7	1.74	0.07
3098	273C	45	75	0	0	0.02	0	5.1	30.000	1.710	0.050	2.8	4.72	0.24
1533	310C	45	75	0	0	0.3	2.03					2.8	4.72	0.61
3097	023C	45	75	0	0	0.02	0	4.1	30.000	1.710	0.320	2.8	4.72	1.54
1535	05LC	45	98	98	98	0	0	MC4				1.7	1.74	18

Pérdida de carga acumulada del segmento	Δp_t	[Pa]	: 13.69
Velocidad en la sección inicial del segmento	V_m	[m/s]	: 4.2
Velocidad en la sección final del segmento	V_v	[m/s]	: 1.7

Recuperación de presión estática del segmento	Δp_r	[Pa] : 8.88
Pérdida de carga acumulada del segmento, considerando la recuperación	Δp_{tm}	[Pa] : 5.42
Pérdida de carga acumulada neta – total acumulado	$\Sigma \Delta p_{tm}$	[Pa] : 180.96
Desequilibrio del terminal respecto al camino más desfavorable	Δp_{Tmr}	[Pa] : 16.56

SEGMENTO 398:

Tipo: Tramo

1 ELEMENTO		2 Caudal Q	3 Diam. D/D _e	4 Ancho A	5 Alto B	6 Long. L	7 $\Delta p/L$	8 Fuente Tab	9 Ashrae X	10 Ashrae Y	11 Coeff. C _o	12 Veloc. V	13 P.Dinám P _v	14 Pérdida Δp_r o Δp_e
N. pz.	Cod.	[m³/h]	[mm]	[mm]	[mm]	[m]	[Pa/m]	n.	-	-	-	[m/s]	[Pa]	[Pa]
3081	11RA	180	133	150	100	0	0	ASH6_26M	0.800		0.020	3.3	6.56	0.21
3084	283R	180	109	100	100	0.14	0	5.1	30.000	1.500	0.050	5	15.05	0.75
1502	310R	180	109	100	100	0.6	4.08					5	15.05	2.45

Pérdida de carga acumulada del segmento	Δp_t	[Pa] : 3.41
Velocidad en la sección inicial del segmento	V_m	[m/s] : 4.2
Velocidad en la sección final del segmento	V_v	[m/s] : 5
Recuperación de presión estática del segmento	Δp_r	[Pa] : -4.43
Pérdida de carga acumulada del segmento, considerando la recuperación	Δp_{tm}	[Pa] : 8.01
Pérdida de carga acumulada neta – total acumulado	$\Sigma \Delta p_{tm}$	[Pa] : 165.55

SEGMENTO 397:

Tipo: Terminal TRM-46

1 ELEMENTO		2 Caudal Q	3 Diam. D/D _e	4 Ancho A	5 Alto B	6 Long. L	7 $\Delta p/L$	8 Fuente Tab	9 Ashrae X	10 Ashrae Y	11 Coeff. C _o	12 Veloc. V	13 P.Dinám P _v	14 Pérdida Δp_r o Δp_e
N. pz.	Cod.	[m³/h]	[mm]	[mm]	[mm]	[m]	[Pa/m]	n.	-	-	-	[m/s]	[Pa]	[Pa]
3082	11RA	45	98	98	98	0	0	ASH6_26	0.250	0.332	1.080	1.7	1.74	16.18
1524	310C	45	98	98	98	0.07	0.57					1.7	1.74	0.04
1526	079C	45	98	98	98	0	0	3.1	1.520		0.046	1.7	1.74	0.07
3096	273C	45	75	0	0	0.02	0	5.1	30.000	1.710	0.050	2.8	4.72	0.24
1527	310C	45	75	0	0	0.3	2.03					2.8	4.72	0.61
3095	023C	45	75	0	0	0.02	0	4.1	30.000	1.710	0.320	2.8	4.72	1.54
1529	05LC	45	98	98	98	0	0	MC4				1.7	1.74	18

Pérdida de carga acumulada del segmento	Δp_t	[Pa] : 18.68
Velocidad en la sección inicial del segmento	V_m	[m/s] : 5
Velocidad en la sección final del segmento	V_v	[m/s] : 1.7
Recuperación de presión estática del segmento	Δp_r	[Pa] : 13.31
Pérdida de carga acumulada del segmento, considerando la recuperación	Δp_{tm}	[Pa] : 5.82
Pérdida de carga acumulada neta – total acumulado	$\Sigma \Delta p_{tm}$	[Pa] : 189.37
Desequilibrio del terminal respecto al camino más desfavorable	Δp_{Tmr}	[Pa] : 8.15

SEGMENTO 396:

Tipo: Tramo

1 ELEMENTO		2 Caudal Q	3 Diam. D/D _e	4 Ancho A	5 Alto B	6 Long. L	7 $\Delta p/L$	8 Fuente Tab	9 Ashrae X	10 Ashrae Y	11 Coeff. C _o	12 Veloc. V	13 P.Dinám P _v	14 Pérdida Δp_r o Δp_e
N. pz.	Cod.	[m³/h]	[mm]	[mm]	[mm]	[m]	[Pa/m]	n.	-	-	-	[m/s]	[Pa]	[Pa]
3083	11RA	135	109	100	100	0	0	ASH6_26M	0.750		0.030	3.7	8.24	0.45
1503	310R	135	109	100	100	0.6	2.4					3.7	8.24	1.44

Pérdida de carga acumulada del segmento	Δp_t	[Pa]	: 1.89
Velocidad en la sección inicial del segmento	V_m	[m/s]	: 5
Velocidad en la sección final del segmento	V_v	[m/s]	: 3.7
Recuperación de presión estática del segmento	Δp_r	[Pa]	: 6.81
Pérdida de carga acumulada del segmento, considerando la recuperación	Δp_{tm}	[Pa]	: -4.69
Pérdida de carga acumulada neta – total acumulado	$\Sigma \Delta p_{tm}$	[Pa]	: 160.86

SEGMENTO 395:**Tipo:** Terminal TRM-46

1 ELEMENTO		2 Caudal Q	3 Diam. D/D _e	4 Ancho A	5 Alto B	6 Long. L	7 $\Delta p_r/L$	8 Fuente Tab	9 Ashrae X	10 Ashrae Y	11 Coeff. C _o	12 Veloc. V	13 P.Dinám P _v	14 Pérdida $\Delta p_r \circ \Delta p_e$
N. pz.	Cod.	[m³/h]	[mm]	[mm]	[mm]	[m]	[Pa/m]	n.	-	-	-	[m/s]	[Pa]	[Pa]
3085	11RA	45	98	98	98	0	0	ASH6_26	0.333	0.442	1.100	1.7	1.74	9.28
1518	310C	45	98	98	98	0.07	0.57					1.7	1.74	0.04
1520	079C	45	98	98	98	0	0	3.1	1.520		0.046	1.7	1.74	0.07
3094	273C	45	75	0	0	0.02	0	5.1	30.000	1.710	0.050	2.8	4.72	0.24
1521	310C	45	75	0	0	0.3	2.03					2.8	4.72	0.61
3093	023C	45	75	0	0	0.02	0	4.1	30.000	1.710	0.320	2.8	4.72	1.54
1523	05LC	45	98	98	98	0	0	MC4				1.7	1.74	18

Pérdida de carga acumulada del segmento	Δp_t	[Pa]	: 11.79
Velocidad en la sección inicial del segmento	V_m	[m/s]	: 3.7
Velocidad en la sección final del segmento	V_v	[m/s]	: 1.7
Recuperación de presión estática del segmento	Δp_r	[Pa]	: 6.5
Pérdida de carga acumulada del segmento, considerando la recuperación	Δp_{tm}	[Pa]	: 5.51
Pérdida de carga acumulada neta – total acumulado	$\Sigma \Delta p_{tm}$	[Pa]	: 184.37
Desequilibrio del terminal respecto al camino más desfavorable	Δp_{Tmr}	[Pa]	: 13.16

SEGMENTO 394:**Tipo:** Tramo

1 ELEMENTO		2 Caudal Q	3 Diam. D/D _e	4 Ancho A	5 Alto B	6 Long. L	7 $\Delta p_r/L$	8 Fuente Tab	9 Ashrae X	10 Ashrae Y	11 Coeff. C _o	12 Veloc. V	13 P.Dinám P _v	14 Pérdida $\Delta p_r \circ \Delta p_e$
N. pz.	Cod.	[m³/h]	[mm]	[mm]	[mm]	[m]	[Pa/m]	n.	-	-	-	[m/s]	[Pa]	[Pa]
3086	11RA	90	109	100	100	0	0	ASH6_26M	0.667		0.047	2.5	3.76	0.4
1504	310R	90	109	100	100	0.6	1.13					2.5	3.76	0.68

Pérdida de carga acumulada del segmento	Δp_t	[Pa]	: 1.07
Velocidad en la sección inicial del segmento	V_m	[m/s]	: 3.7
Velocidad en la sección final del segmento	V_v	[m/s]	: 2.5
Recuperación de presión estática del segmento	Δp_r	[Pa]	: 4.48
Pérdida de carga acumulada del segmento, considerando la recuperación	Δp_{tm}	[Pa]	: -3.63
Pérdida de carga acumulada neta – total acumulado	$\Sigma \Delta p_{tm}$	[Pa]	: 157.23

SEGMENTO 393:**Tipo:** Terminal TRM-46

1 ELEMENTO		2 Caudal Q	3 Diam. D/D _e	4 Ancho A	5 Alto B	6 Long. L	7 $\Delta p_r/L$	8 Fuente Tab	9 Ashrae X	10 Ashrae Y	11 Coeff. C _o	12 Veloc. V	13 P.Dinám P _v	14 Pérdida $\Delta p_r \circ \Delta p_e$
---------------	--	------------------	--------------------------------	-----------------	----------------	-----------------	---------------------	--------------------	------------------	-------------------	--------------------------------	-------------------	---------------------------------	--

N. pz.	Cod.	[m³/h]	[mm]	[mm]	[mm]	[m]	[Pa/m]	n.	-	-	-	[m/s]	[Pa]	[Pa]
3087	11RA	45	98	98	98	0	0	ASH6_26	0.500	0.663	1.260	1.7	1.74	4.74
1512	310C	45	98	98	98	0.07	0.57					1.7	1.74	0.04
1514	079C	45	98	98	98	0	0	3.1	1.520		0.046	1.7	1.74	0.07
3092	273C	45	75	0	0	0.02	0	5.1	30.000	1.710	0.050	2.8	4.72	0.24
1515	310C	45	75	0	0	0.3	2.03					2.8	4.72	0.61
3091	023C	45	75	0	0	0.02	0	4.1	30.000	1.710	0.320	2.8	4.72	1.54
1517	05LC	45	98	98	98	0	0	MC4				1.7	1.74	18

Pérdida de carga acumulada del segmento	Δp_t	[Pa]	: 7.25
Velocidad en la sección inicial del segmento	V_m	[m/s]	: 2.5
Velocidad en la sección final del segmento	V_v	[m/s]	: 1.7
Recuperación de presión estática del segmento	Δp_r	[Pa]	: 2.02
Pérdida de carga acumulada del segmento, considerando la recuperación	Δp_{tn}	[Pa]	: 5.67
Pérdida de carga acumulada neta – total acumulado	$\Sigma \Delta p_{tn}$	[Pa]	: 180.9
Desequilibrio del terminal respecto al camino más desfavorable	Δp_{Tmr}	[Pa]	: 16.63

SEGMENTO 392:

Tipo: Terminal TRM-46

1 ELEMENTO		2 Caudal Q	3 Diam. D/D _e	4 Ancho A	5 Alto B	6 Long. L	7 $\Delta p/L$	8 Fuente Tab	9 Ashrae X	10 Ashrae Y	11 Coeff. C _o	12 Veloc. V	13 P.Dinám P _v	14 Pérdida Δp_r o Δp_c
N. pz.	Cod.	[m³/h]	[mm]	[mm]	[mm]	[m]	[Pa/m]	n.	-	-	-	[m/s]	[Pa]	[Pa]
3088	11RA	45	109	100	100	0	0	ASH6_26M	0.500		0.090	1.2	0.87	0.34
1505	310R	45	109	100	100	0.6	0.32					1.2	0.87	0.19
1496	11RAT	45	109	100	100	0	0	2_6	1.000	0.917	2.800	1.2	0.87	4.63
1506	310C	45	98	98	98	0.07	0.57					1.7	1.74	0.04
1508	079C	45	98	98	98	0	0	3.1	1.520		0.046	1.7	1.74	0.07
3090	023C	45	98	98	98	0	0	4.1	30.000	1.040	0.320	1.7	1.74	0.53
1509	310C	45	100	0	0	0.3	0.5					1.6	1.54	0.15
3089	273C	45	98	98	98	0	0	5.1	30.000	1.040	0.050	1.7	1.74	0.08
1511	05LC	45	98	98	98	0	0	MC4				1.7	1.74	18

Pérdida de carga acumulada del segmento	Δp_t	[Pa]	: 6.04
Velocidad en la sección inicial del segmento	V_m	[m/s]	: 2.5
Velocidad en la sección final del segmento	V_v	[m/s]	: 1.7
Recuperación de presión estática del segmento	Δp_r	[Pa]	: 2.02
Pérdida de carga acumulada del segmento, considerando la recuperación	Δp_{tn}	[Pa]	: 3.93
Pérdida de carga acumulada neta – total acumulado	$\Sigma \Delta p_{tn}$	[Pa]	: 179.16
Desequilibrio del terminal respecto al camino más desfavorable	Δp_{Tmr}	[Pa]	: 18.36

SEGMENTO 430:

Tipo: Tramo

1 ELEMENTO		2 Caudal Q	3 Diam. D/D _e	4 Ancho A	5 Alto B	6 Long. L	7 $\Delta p/L$	8 Fuente Tab	9 Ashrae X	10 Ashrae Y	11 Coeff. C _o	12 Veloc. V	13 P.Dinám P _v	14 Pérdida Δp_r o Δp_c
N. pz.	Cod.	[m³/h]	[mm]	[mm]	[mm]	[m]	[Pa/m]	n.	-	-	-	[m/s]	[Pa]	[Pa]
3065	3736	3600	464	450	400	0	0	MC4	0.978		0.049	5.6	18.88	0.93
1638	310R	3600	464	450	400	1	0.82					5.6	18.88	0.82

Pérdida de carga acumulada del segmento	Δp_t	[Pa]	: 1.75
Velocidad en la sección inicial del segmento	V_m	[m/s]	: 3.9
Velocidad en la sección final del segmento	V_v	[m/s]	: 5.6
Recuperación de presión estática del segmento	Δp_r	[Pa]	: -9.72
Pérdida de carga acumulada del segmento, considerando la recuperación	Δp_{tn}	[Pa]	: 12.07

Pérdida de carga acumulada neta – total acumulado

 $\Sigma \Delta p_{tn}$ [Pa] : 147.33**SEGMENTO 450:****Tipo:** Tramo

1 ELEMENTO		2 Caudal Q	3 Diam. D/D _e	4 Ancho A	5 Alto B	6 Long. L	7 $\Delta p/L$	8 Fuente Tab	9 Ashrae X	10 Ashrae Y	11 Coeff. C _o	12 Veloc. V	13 P.Dinám P _v	14 Pérdida Δp_r o Δp_c
N. pz.	Cod.	[m³/h]	[mm]	[mm]	[mm]	[m]	[Pa/m]	n.	-	-	-	[m/s]	[Pa]	[Pa]
3148	3736	450	260	150	400	0	0	MC4	0.125	0.333	3.170	2.1	2.65	8.39
3194	283R	450	164	150	150	0.53	0	5.1	30.000	2.670	0.047	5.6	18.88	0.93
1713	310R	450	164	150	150	1.1	2.95					5.6	18.88	3.25

Pérdida de carga acumulada del segmento

 Δp_t [Pa] : 12.57

Velocidad en la sección inicial del segmento

 V_m [m/s] : 5.6

Velocidad en la sección final del segmento

 V_v [m/s] : 3.3

Recuperación de presión estática del segmento

 Δp_r [Pa] : 12.32

Pérdida de carga acumulada del segmento, considerando la recuperación

 Δp_{tn} [Pa] : 1.61

Pérdida de carga acumulada neta – total acumulado

 $\Sigma \Delta p_{tn}$ [Pa] : 148.93**SEGMENTO 468:****Tipo:** Terminal TRM-18

1 ELEMENTO		2 Caudal Q	3 Diam. D/D _e	4 Ancho A	5 Alto B	6 Long. L	7 $\Delta p/L$	8 Fuente Tab	9 Ashrae X	10 Ashrae Y	11 Coeff. C _o	12 Veloc. V	13 P.Dinám P _v	14 Pérdida Δp_r o Δp_c
N. pz.	Cod.	[m³/h]	[mm]	[mm]	[mm]	[m]	[Pa/m]	n.	-	-	-	[m/s]	[Pa]	[Pa]
3192	11RA	45	98	98	98	0	0	ASH6_26	0.100	0.298	1.070	1.7	1.74	7.18
1779	310C	45	98	98	98	0.07	0.57					1.7	1.74	0.04
1781	079C	45	98	98	98	0	0	3.1	1.520		0.046	1.7	1.74	0.07
3230	273C	45	75	0	0	0.02	0	5.1	30.000	1.710	0.050	2.8	4.72	0.24
1782	310C	45	75	0	0	0.3	2.03					2.8	4.72	0.61
3229	023C	45	75	0	0	0.02	0	4.1	30.000	1.710	0.320	2.8	4.72	1.54
1784	05LC	45	98	98	98	0	0	MC4				1.7	1.74	18

Pérdida de carga acumulada del segmento

 Δp_t [Pa] : 9.68

Velocidad en la sección inicial del segmento

 V_m [m/s] : 3.3

Velocidad en la sección final del segmento

 V_v [m/s] : 1.7

Recuperación de presión estática del segmento

 Δp_r [Pa] : 4.82

Pérdida de carga acumulada del segmento, considerando la recuperación

 Δp_{tn} [Pa] : 5.18

Pérdida de carga acumulada neta – total acumulado

 $\Sigma \Delta p_{tn}$ [Pa] : 172.11

Desequilibrio del terminal respecto al camino más desfavorable

 Δp_{Tmr} [Pa] : 25.41**SEGMENTO 467:****Tipo:** Tramo

1 ELEMENTO		2 Caudal Q	3 Diam. D/D _e	4 Ancho A	5 Alto B	6 Long. L	7 $\Delta p/L$	8 Fuente Tab	9 Ashrae X	10 Ashrae Y	11 Coeff. C _o	12 Veloc. V	13 P.Dinám P _v	14 Pérdida Δp_r o Δp_c
N. pz.	Cod.	[m³/h]	[mm]	[mm]	[mm]	[m]	[Pa/m]	n.	-	-	-	[m/s]	[Pa]	[Pa]
3193	11RA	405	164	150	150	0	0	ASH6_26M	0.900		0.010	5	15.05	0.07
1716	310R	405	164	150	150	0.6	2.43					5	15.05	1.46

Pérdida de carga acumulada del segmento

 Δp_t [Pa] : 1.52

Velocidad en la sección inicial del segmento

 V_m [m/s] : 3.3

Velocidad en la sección final del segmento	V_v	[m/s]	: 3
Recuperación de presión estática del segmento	Δp_r	[Pa]	: 1.14
Pérdida de carga acumulada del segmento, considerando la recuperación	Δp_{tn}	[Pa]	: 1.76
Pérdida de carga acumulada neta – total acumulado	$\Sigma \Delta p_{tn}$	[Pa]	: 150.69

SEGMENTO 466:

Tipo: Terminal TRM-19

1 ELEMENTO		2 Caudal Q	3 Diam. D/D _e	4 Ancho A	5 Alto B	6 Long. L	7 $\Delta p/L$	8 Fuente Tab	9 Ashrae X	10 Ashrae Y	11 Coeff. C _o	12 Veloc. V	13 P.Dinám P _v	14 Pérdida Δp_r o Δp_c
N. pz.	Cod.	[m³/h]	[mm]	[mm]	[mm]	[m]	[Pa/m]	n.	-	-	-	[m/s]	[Pa]	[Pa]
3195	11RA	45	98	98	98	0	0	ASH6_26	0.111	0.332	1.110	1.7	1.74	6
1773	310C	45	98	98	98	0.07	0.57					1.7	1.74	0.04
1775	079C	45	98	98	98	0	0	3.1	1.520		0.046	1.7	1.74	0.07
3228	273C	45	75	0	0	0.02	0	5.1	30.000	1.710	0.050	2.8	4.72	0.24
1776	310C	45	75	0	0	0.3	2.03					2.8	4.72	0.61
3227	023C	45	75	0	0	0.02	0	4.1	30.000	1.710	0.320	2.8	4.72	1.54
1778	05LC	45	98	98	98	0	0	MC4				1.7	1.74	18

Pérdida de carga acumulada del segmento	Δp_t	[Pa]	: 8.51
Velocidad en la sección inicial del segmento	V_m	[m/s]	: 3
Velocidad en la sección final del segmento	V_v	[m/s]	: 1.7
Recuperación de presión estática del segmento	Δp_r	[Pa]	: 3.68
Pérdida de carga acumulada del segmento, considerando la recuperación	Δp_{tn}	[Pa]	: 5.27
Pérdida de carga acumulada neta – total acumulado	$\Sigma \Delta p_{tn}$	[Pa]	: 173.96
Desequilibrio del terminal respecto al camino más desfavorable	Δp_{Tmr}	[Pa]	: 23.56

SEGMENTO 465:

Tipo: Tramo

1 ELEMENTO		2 Caudal Q	3 Diam. D/D _e	4 Ancho A	5 Alto B	6 Long. L	7 $\Delta p/L$	8 Fuente Tab	9 Ashrae X	10 Ashrae Y	11 Coeff. C _o	12 Veloc. V	13 P.Dinám P _v	14 Pérdida Δp_r o Δp_c
N. pz.	Cod.	[m³/h]	[mm]	[mm]	[mm]	[m]	[Pa/m]	n.	-	-	-	[m/s]	[Pa]	[Pa]
3196	11RA	360	164	150	150	0	0	ASH6_26M	0.889		0.011	4.4	11.65	0.06
1717	310R	360	164	150	150	0.6	1.95					4.4	11.65	1.17

Pérdida de carga acumulada del segmento	Δp_t	[Pa]	: 1.23
Velocidad en la sección inicial del segmento	V_m	[m/s]	: 3
Velocidad en la sección final del segmento	V_v	[m/s]	: 2.7
Recuperación de presión estática del segmento	Δp_r	[Pa]	: 1.03
Pérdida de carga acumulada del segmento, considerando la recuperación	Δp_{tn}	[Pa]	: 1.28
Pérdida de carga acumulada neta – total acumulado	$\Sigma \Delta p_{tn}$	[Pa]	: 151.97

SEGMENTO 464:

Tipo: Terminal TRM-20

1 ELEMENTO		2 Caudal Q	3 Diam. D/D _e	4 Ancho A	5 Alto B	6 Long. L	7 $\Delta p/L$	8 Fuente Tab	9 Ashrae X	10 Ashrae Y	11 Coeff. C _o	12 Veloc. V	13 P.Dinám P _v	14 Pérdida Δp_r o Δp_c
N. pz.	Cod.	[m³/h]	[mm]	[mm]	[mm]	[m]	[Pa/m]	n.	-	-	-	[m/s]	[Pa]	[Pa]
3197	11RA	45	98	98	98	0	0	ASH6_26	0.125	0.373	1.140	1.7	1.74	4.88
1767	310C	45	98	98	98	0.07	0.57					1.7	1.74	0.04
1769	079C	45	98	98	98	0	0	3.1	1.520		0.046	1.7	1.74	0.07

3226	273C	45	75	0	0	0.02	0	5.1	30.000	1.710	0.050	2.8	4.72	0.24
1770	310C	45	75	0	0	0.3	2.03					2.8	4.72	0.61
3225	023C	45	75	0	0	0.02	0	4.1	30.000	1.710	0.320	2.8	4.72	1.54
1772	05LC	45	98	98	98	0	0	MC4				1.7	1.74	18

Pérdida de carga acumulada del segmento	Δp_t	[Pa]	: 7.38
Velocidad en la sección inicial del segmento	V_m	[m/s]	: 2.7
Velocidad en la sección final del segmento	V_v	[m/s]	: 1.7
Recuperación de presión estática del segmento	Δp_r	[Pa]	: 2.65
Pérdida de carga acumulada del segmento, considerando la recuperación	Δp_{tn}	[Pa]	: 5.28
Pérdida de carga acumulada neta – total acumulado	$\Sigma \Delta p_{tn}$	[Pa]	: 175.25
Desequilibrio del terminal respecto al camino más desfavorable	Δp_{Tmr}	[Pa]	: 22.27

SEGMENTO 463:

Tipo: Tramo

1 ELEMENTO		2 Caudal Q	3 Diam. D/D _e	4 Ancho A	5 Alto B	6 Long. L	7 $\Delta p/L$	8 Fuente Tab	9 Ashrae X	10 Ashrae Y	11 Coeff. C _o	12 Veloc. V	13 P.Dinám P _v	14 Pérdida Δp_r o Δp_c
N. pz.	Cod.	[m³/h]	[mm]	[mm]	[mm]	[m]	[Pa/m]	n.	-	-	-	[m/s]	[Pa]	[Pa]
3198	11RA	315	164	150	150	0	0	ASH6_26M	0.875		0.012	3.9	9.16	0.05
1718	310R	315	164	150	150	0.6	1.52					3.9	9.16	0.91

Pérdida de carga acumulada del segmento	Δp_t	[Pa]	: 0.97
Velocidad en la sección inicial del segmento	V_m	[m/s]	: 2.7
Velocidad en la sección final del segmento	V_v	[m/s]	: 2.3
Recuperación de presión estática del segmento	Δp_r	[Pa]	: 1.2
Pérdida de carga acumulada del segmento, considerando la recuperación	Δp_{tn}	[Pa]	: 0.87
Pérdida de carga acumulada neta – total acumulado	$\Sigma \Delta p_{tn}$	[Pa]	: 152.84

SEGMENTO 462:

Tipo: Terminal TRM-21

1 ELEMENTO		2 Caudal Q	3 Diam. D/D _e	4 Ancho A	5 Alto B	6 Long. L	7 $\Delta p/L$	8 Fuente Tab	9 Ashrae X	10 Ashrae Y	11 Coeff. C _o	12 Veloc. V	13 P.Dinám P _v	14 Pérdida Δp_r o Δp_c
N. pz.	Cod.	[m³/h]	[mm]	[mm]	[mm]	[m]	[Pa/m]	n.	-	-	-	[m/s]	[Pa]	[Pa]
3199	11RA	45	98	98	98	0	0	ASH6_26	0.143	0.426	1.190	1.7	1.74	3.88
1761	310C	45	98	98	98	0.07	0.57					1.7	1.74	0.04
1763	079C	45	98	98	98	0	0	3.1	1.520		0.046	1.7	1.74	0.07
3224	273C	45	75	0	0	0.02	0	5.1	30.000	1.710	0.050	2.8	4.72	0.24
1764	310C	45	75	0	0	0.3	2.03					2.8	4.72	0.61
3223	023C	45	75	0	0	0.02	0	4.1	30.000	1.710	0.320	2.8	4.72	1.54
1766	05LC	45	98	98	98	0	0	MC4				1.7	1.74	18

Pérdida de carga acumulada del segmento	Δp_t	[Pa]	: 6.39
Velocidad en la sección inicial del segmento	V_m	[m/s]	: 2.3
Velocidad en la sección final del segmento	V_v	[m/s]	: 1.7
Recuperación de presión estática del segmento	Δp_r	[Pa]	: 1.44
Pérdida de carga acumulada del segmento, considerando la recuperación	Δp_{tn}	[Pa]	: 5.29
Pérdida de carga acumulada neta – total acumulado	$\Sigma \Delta p_{tn}$	[Pa]	: 176.14
Desequilibrio del terminal respecto al camino más desfavorable	Δp_{Tmr}	[Pa]	: 21.38

SEGMENTO 461:

Tipo: Tramo

1 ELEMENTO		2 Caudal Q	3 Diam. D/D _e	4 Ancho A	5 Alto B	6 Long. L	7 $\Delta p/L$	8 Fuente Tab	9 Ashrae X	10 Ashrae Y	11 Coeff. C _o	12 Veloc. V	13 P.Dinám P _v	14 Pérdida Δp_r o Δp_e
N. pz.	Cod.	[m³/h]	[mm]	[mm]	[mm]	[m]	[Pa/m]	n.	-	-	-	[m/s]	[Pa]	[Pa]
3200	11RA	270	164	150	150	0	0	ASH6_26M	0.857		0.014	3.3	6.56	0.05
1719	310R	270	164	150	150	0.6	1.15					3.3	6.56	0.69

Pérdida de carga acumulada del segmento	Δp_t	[Pa] : 0.73
Velocidad en la sección inicial del segmento	V_m	[m/s] : 2.3
Velocidad en la sección final del segmento	V_v	[m/s] : 2
Recuperación de presión estática del segmento	Δp_r	[Pa] : 0.78
Pérdida de carga acumulada del segmento, considerando la recuperación	Δp_{tm}	[Pa] : 0.53
Pérdida de carga acumulada neta – total acumulado	$\Sigma \Delta p_{tm}$	[Pa] : 153.38

SEGMENTO 460:

Tipo: Terminal TRM-22

1 ELEMENTO		2 Caudal Q	3 Diam. D/D _e	4 Ancho A	5 Alto B	6 Long. L	7 $\Delta p/L$	8 Fuente Tab	9 Ashrae X	10 Ashrae Y	11 Coeff. C _o	12 Veloc. V	13 P.Dinám P _v	14 Pérdida Δp_r o Δp_e
N. pz.	Cod.	[m³/h]	[mm]	[mm]	[mm]	[m]	[Pa/m]	n.	-	-	-	[m/s]	[Pa]	[Pa]
3201	11RA	45	98	98	98	0	0	ASH6_26	0.167	0.497	1.280	1.7	1.74	3.08
1755	310C	45	98	98	98	0.07	0.57					1.7	1.74	0.04
1757	079C	45	98	98	98	0	0	3.1	1.520		0.046	1.7	1.74	0.07
3222	273C	45	75	0	0	0.02	0	5.1	30.000	1.710	0.050	2.8	4.72	0.24
1758	310C	45	75	0	0	0.3	2.03					2.8	4.72	0.61
3221	023C	45	75	0	0	0.02	0	4.1	30.000	1.710	0.320	2.8	4.72	1.54
1760	05LC	45	98	98	98	0	0	MC4				1.7	1.74	18

Pérdida de carga acumulada del segmento	Δp_t	[Pa] : 5.59
Velocidad en la sección inicial del segmento	V_m	[m/s] : 2
Velocidad en la sección final del segmento	V_v	[m/s] : 1.7
Recuperación de presión estática del segmento	Δp_r	[Pa] : 0.67
Pérdida de carga acumulada del segmento, considerando la recuperación	Δp_{tm}	[Pa] : 5.36
Pérdida de carga acumulada neta – total acumulado	$\Sigma \Delta p_{tm}$	[Pa] : 176.74
Desequilibrio del terminal respecto al camino más desfavorable	Δp_{Tmr}	[Pa] : 20.79

SEGMENTO 459:

Tipo: Tramo

1 ELEMENTO		2 Caudal Q	3 Diam. D/D _e	4 Ancho A	5 Alto B	6 Long. L	7 $\Delta p/L$	8 Fuente Tab	9 Ashrae X	10 Ashrae Y	11 Coeff. C _o	12 Veloc. V	13 P.Dinám P _v	14 Pérdida Δp_r o Δp_e
N. pz.	Cod.	[m³/h]	[mm]	[mm]	[mm]	[m]	[Pa/m]	n.	-	-	-	[m/s]	[Pa]	[Pa]
3202	11RA	225	164	150	150	0	0	ASH6_26M	0.833		0.017	2.8	4.72	0.04
1720	310R	225	164	150	150	0.6	0.82					2.8	4.72	0.49

Pérdida de carga acumulada del segmento	Δp_t	[Pa] : 0.53
Velocidad en la sección inicial del segmento	V_m	[m/s] : 2
Velocidad en la sección final del segmento	V_v	[m/s] : 3.1
Recuperación de presión estática del segmento	Δp_r	[Pa] : -3.38
Pérdida de carga acumulada del segmento, considerando la recuperación	Δp_{tm}	[Pa] : 4.53
Pérdida de carga acumulada neta – total acumulado	$\Sigma \Delta p_{tm}$	[Pa] : 157.9

SEGMENTO 458:

Tipo: Terminal TRM-22

1 ELEMENTO		2 Caudal Q	3 Diam. D/D _e	4 Ancho A	5 Alto B	6 Long. L	7 $\Delta p/L$	8 Fuente Tab	9 Ashrae X	10 Ashrae Y	11 Coeff. C _o	12 Veloc. V	13 P.Dinám P _v	14 Pérdida Δp_r o Δp_c
N. pz.	Cod.	[m³/h]	[mm]	[mm]	[mm]	[m]	[Pa/m]	n.	-	-	-	[m/s]	[Pa]	[Pa]
3203	11RA	45	98	98	98	0	0	ASH6_26	0.200	0.597	1.090	1.7	1.74	6.41
1749	310C	45	98	98	98	0.07	0.57					1.7	1.74	0.04
1751	079C	45	98	98	98	0	0	3.1	1.520		0.046	1.7	1.74	0.07
3220	273C	45	75	0	0	0.02	0	5.1	30.000	1.710	0.050	2.8	4.72	0.24
1752	310C	45	75	0	0	0.3	2.03					2.8	4.72	0.61
3219	023C	45	75	0	0	0.02	0	4.1	30.000	1.710	0.320	2.8	4.72	1.54
1754	05LC	45	98	98	98	0	0	MC4				1.7	1.74	18

Pérdida de carga acumulada del segmento

Δp_t [Pa] : 8.91

Velocidad en la sección inicial del segmento

V_m [m/s] : 3.1

Velocidad en la sección final del segmento

V_v [m/s] : 1.7

Recuperación de presión estática del segmento

Δp_r [Pa] : 4.05

Pérdida de carga acumulada del segmento, considerando la recuperación

Δp_{tn} [Pa] : 5.21

Pérdida de carga acumulada neta – total acumulado

$\Sigma \Delta p_{tn}$ [Pa] : 181.12

Desequilibrio del terminal respecto al camino más desfavorable

Δp_{Tmr} [Pa] : 16.4

SEGMENTO 457:

Tipo: Tramo

1 ELEMENTO		2 Caudal Q	3 Diam. D/D _e	4 Ancho A	5 Alto B	6 Long. L	7 $\Delta p/L$	8 Fuente Tab	9 Ashrae X	10 Ashrae Y	11 Coeff. C _o	12 Veloc. V	13 P.Dinám P _v	14 Pérdida Δp_r o Δp_c
N. pz.	Cod.	[m³/h]	[mm]	[mm]	[mm]	[m]	[Pa/m]	n.	-	-	-	[m/s]	[Pa]	[Pa]
3204	11RA	180	164	150	150	0	0	ASH6_26M	0.800		0.020	2.2	2.91	0.12
1721	310R	180	164	150	150	0.6	0.55					2.2	2.91	0.33

Pérdida de carga acumulada del segmento

Δp_t [Pa] : 0.45

Velocidad en la sección inicial del segmento

V_m [m/s] : 3.1

Velocidad en la sección final del segmento

V_v [m/s] : 2.5

Recuperación de presión estática del segmento

Δp_r [Pa] : 2.02

Pérdida de carga acumulada del segmento, considerando la recuperación

Δp_{tn} [Pa] : -0.35

Pérdida de carga acumulada neta – total acumulado

$\Sigma \Delta p_{tn}$ [Pa] : 157.55

SEGMENTO 456:

Tipo: Terminal TRM-24

1 ELEMENTO		2 Caudal Q	3 Diam. D/D _e	4 Ancho A	5 Alto B	6 Long. L	7 $\Delta p/L$	8 Fuente Tab	9 Ashrae X	10 Ashrae Y	11 Coeff. C _o	12 Veloc. V	13 P.Dinám P _v	14 Pérdida Δp_r o Δp_c
N. pz.	Cod.	[m³/h]	[mm]	[mm]	[mm]	[m]	[Pa/m]	n.	-	-	-	[m/s]	[Pa]	[Pa]
3205	11RA	45	98	98	98	0	0	ASH6_26	0.250	0.746	1.130	1.7	1.74	4.25
1743	310C	45	98	98	98	0.07	0.57					1.7	1.74	0.04
1745	079C	45	98	98	98	0	0	3.1	1.520		0.046	1.7	1.74	0.07
3218	273C	45	75	0	0	0.02	0	5.1	30.000	1.710	0.050	2.8	4.72	0.24
1746	310C	45	75	0	0	0.3	2.03					2.8	4.72	0.61
3217	023C	45	75	0	0	0.02	0	4.1	30.000	1.710	0.320	2.8	4.72	1.54
1748	05LC	45	98	98	98	0	0	MC4				1.7	1.74	18

Pérdida de carga acumulada del segmento	Δp_t	[Pa]	: 6.76
Velocidad en la sección inicial del segmento	V_m	[m/s]	: 2.5
Velocidad en la sección final del segmento	V_v	[m/s]	: 1.7
Recuperación de presión estática del segmento	Δp_r	[Pa]	: 2.02
Pérdida de carga acumulada del segmento, considerando la recuperación	Δp_{tn}	[Pa]	: 5.17
Pérdida de carga acumulada neta – total acumulado	$\Sigma \Delta p_{tn}$	[Pa]	: 180.72
Desequilibrio del terminal respecto al camino más desfavorable	Δp_{Tmr}	[Pa]	: 16.8

SEGMENTO 455:

Tipo: Tramo

1 ELEMENTO		2 Caudal Q	3 Diam. D/D _e	4 Ancho A	5 Alto B	6 Long. L	7 $\Delta p/L$	8 Fuente Tab	9 Ashrae X	10 Ashrae Y	11 Coeff. C _o	12 Veloc. V	13 P.Dinám P _v	14 Pérdida $\Delta p_r \circ \Delta p_e$
N. pz.	Cod.	[m³/h]	[mm]	[mm]	[mm]	[m]	[Pa/m]	n.	-	-	-	[m/s]	[Pa]	[Pa]
3206	11RA	135	164	150	150	0	0	ASH6_26M	0.750		0.030	1.7	1.74	0.11
1722	310R	135	164	150	150	0.6	0.32					1.7	1.74	0.19

Pérdida de carga acumulada del segmento	Δp_t	[Pa]	: 0.31
Velocidad en la sección inicial del segmento	V_m	[m/s]	: 2.5
Velocidad en la sección final del segmento	V_v	[m/s]	: 2.5
Recuperación de presión estática del segmento	Δp_r	[Pa]	: 0
Pérdida de carga acumulada del segmento, considerando la recuperación	Δp_{tn}	[Pa]	: 1.13
Pérdida de carga acumulada neta – total acumulado	$\Sigma \Delta p_{tn}$	[Pa]	: 158.68

SEGMENTO 454:

Tipo: Terminal TRM-25

1 ELEMENTO		2 Caudal Q	3 Diam. D/D _e	4 Ancho A	5 Alto B	6 Long. L	7 $\Delta p/L$	8 Fuente Tab	9 Ashrae X	10 Ashrae Y	11 Coeff. C _o	12 Veloc. V	13 P.Dinám P _v	14 Pérdida $\Delta p_r \circ \Delta p_e$
N. pz.	Cod.	[m³/h]	[mm]	[mm]	[mm]	[m]	[Pa/m]	n.	-	-	-	[m/s]	[Pa]	[Pa]
3207	11RA	45	98	98	98	0	0	ASH6_26	0.333	0.995	1.110	1.7	1.74	4.16
1737	310C	45	98	98	98	0.07	0.57					1.7	1.74	0.04
1739	079C	45	98	98	98	0	0	3.1	1.520		0.046	1.7	1.74	0.07
3216	273C	45	75	0	0	0.02	0	5.1	30.000	1.710	0.050	2.8	4.72	0.24
1740	310C	45	75	0	0	0.3	2.03					2.8	4.72	0.61
3215	023C	45	75	0	0	0.02	0	4.1	30.000	1.710	0.320	2.8	4.72	1.54
1742	05LC	45	98	98	98	0	0	MC4				1.7	1.74	18

Pérdida de carga acumulada del segmento	Δp_t	[Pa]	: 6.66
Velocidad en la sección inicial del segmento	V_m	[m/s]	: 2.5
Velocidad en la sección final del segmento	V_v	[m/s]	: 1.7
Recuperación de presión estática del segmento	Δp_r	[Pa]	: 2.02
Pérdida de carga acumulada del segmento, considerando la recuperación	Δp_{tn}	[Pa]	: 5.08
Pérdida de carga acumulada neta – total acumulado	$\Sigma \Delta p_{tn}$	[Pa]	: 181.76
Desequilibrio del terminal respecto al camino más desfavorable	Δp_{Tmr}	[Pa]	: 15.76

SEGMENTO 453:

Tipo: Tramo

1 ELEMENTO		2 Caudal Q	3 Diam. D/D _e	4 Ancho A	5 Alto B	6 Long. L	7 $\Delta p/L$	8 Fuente Tab	9 Ashrae X	10 Ashrae Y	11 Coeff. C _o	12 Veloc. V	13 P.Dinám P _v	14 Pérdida $\Delta p_r \circ \Delta p_e$
N. pz.	Cod.	[m³/h]	[mm]	[mm]	[mm]	[m]	[Pa/m]	n.	-	-	-	[m/s]	[Pa]	[Pa]

3208	11RA	90	164	150	150	0	0	ASH6_26M	0.667		0.047	1.1	0.73	0.18
1723	310R	90	164	150	150	0.6	0.15					1.1	0.73	0.09

Pérdida de carga acumulada del segmento	Δp_t	[Pa]	: 0.27
Velocidad en la sección inicial del segmento	V_m	[m/s]	: 2.5
Velocidad en la sección final del segmento	V_v	[m/s]	: 2.5
Recuperación de presión estática del segmento	Δp_r	[Pa]	: 0
Pérdida de carga acumulada del segmento, considerando la recuperación	Δp_{tm}	[Pa]	: 0.95
Pérdida de carga acumulada neta – total acumulado	$\Sigma \Delta p_{tm}$	[Pa]	: 159.63

SEGMENTO 452:

Tipo: Terminal TRM-26

1 ELEMENTO		2 Caudal Q	3 Diam. D/D _e	4 Ancho A	5 Alto B	6 Long. L	7 $\Delta p/L$	8 Fuente Tab	9 Ashrae X	10 Ashrae Y	11 Coeff. C _o	12 Veloc. V	13 P.Dinám P _v	14 Pérdida Δp_r o Δp_c
N. pz.	Cod.	[m³/h]	[mm]	[mm]	[mm]	[m]	[Pa/m]	n.	-	-	-	[m/s]	[Pa]	[Pa]
3209	11RA	45	98	98	98	0	0	ASH6_26	0.500	1.490	1.260	1.7	1.74	4.74
1731	310C	45	98	98	98	0.07	0.57					1.7	1.74	0.04
1733	079C	45	98	98	98	0	0	3.1	1.520		0.046	1.7	1.74	0.07
3214	273C	45	75	0	0	0.02	0	5.1	30.000	1.710	0.050	2.8	4.72	0.24
1734	310C	45	75	0	0	0.3	2.03					2.8	4.72	0.61
3213	023C	45	75	0	0	0.02	0	4.1	30.000	1.710	0.320	2.8	4.72	1.54
1736	05LC	45	98	98	98	0	0	MC4				1.7	1.74	18

Pérdida de carga acumulada del segmento	Δp_t	[Pa]	: 7.25
Velocidad en la sección inicial del segmento	V_m	[m/s]	: 2.5
Velocidad en la sección final del segmento	V_v	[m/s]	: 1.7
Recuperación de presión estática del segmento	Δp_r	[Pa]	: 2.02
Pérdida de carga acumulada del segmento, considerando la recuperación	Δp_{tm}	[Pa]	: 5.67
Pérdida de carga acumulada neta – total acumulado	$\Sigma \Delta p_{tm}$	[Pa]	: 183.3
Desequilibrio del terminal respecto al camino más desfavorable	Δp_{Tmr}	[Pa]	: 14.22

SEGMENTO 451:

Tipo: Terminal TRM-27

1 ELEMENTO		2 Caudal Q	3 Diam. D/D _e	4 Ancho A	5 Alto B	6 Long. L	7 $\Delta p/L$	8 Fuente Tab	9 Ashrae X	10 Ashrae Y	11 Coeff. C _o	12 Veloc. V	13 P.Dinám P _v	14 Pérdida Δp_r o Δp_c
N. pz.	Cod.	[m³/h]	[mm]	[mm]	[mm]	[m]	[Pa/m]	n.	-	-	-	[m/s]	[Pa]	[Pa]
3210	11RA	45	164	150	150	0	0	ASH6_26M	0.500		0.090	0.6	0.22	0.34
1724	310R	45	164	150	150	0.6	0.05					0.6	0.22	0.03
1715	11RAT	45	164	150	150	0	0	2_6	1.000	0.915	2.800	0.6	0.22	0
1725	310C	45	98	98	98	0.07	0.57					1.7	1.74	0.04
1727	079C	45	98	98	98	0	0	3.1	1.520		0.046	1.7	1.74	0.07
3212	023C	45	98	98	98	0	0	4.1	30.000	1.040	0.320	1.7	1.74	0.53
1728	310C	45	100	0	0	0.3	0.5					1.6	1.54	0.15
3211	273C	45	98	98	98	0	0	5.1	30.000	1.040	0.050	1.7	1.74	0.08
1730	05LC	45	98	98	98	0	0	MC4				1.7	1.74	18

Pérdida de carga acumulada del segmento	Δp_t	[Pa]	: 1.24
Velocidad en la sección inicial del segmento	V_m	[m/s]	: 2.5
Velocidad en la sección final del segmento	V_v	[m/s]	: 1.7
Recuperación de presión estática del segmento	Δp_r	[Pa]	: 2.02
Pérdida de carga acumulada del segmento, considerando la recuperación	Δp_{tm}	[Pa]	: -0.55
Pérdida de carga acumulada neta – total acumulado	$\Sigma \Delta p_{tm}$	[Pa]	: 177.08
Desequilibrio del terminal respecto al camino más desfavorable	Δp_{Tmr}	[Pa]	: 20.44

SEGMENTO 449:

Tipo: Tramo

1 ELEMENTO		2 Caudal Q	3 Diam. D/D _e	4 Ancho A	5 Alto B	6 Long. L	7 $\Delta p/L$	8 Fuente Tab	9 Ashrae X	10 Ashrae Y	11 Coeff. C _o	12 Veloc. V	13 P.Dinám P _v	14 Pérdida Δp_r o Δp_c
N. pz.	Cod.	[m³/h]	[mm]	[mm]	[mm]	[m]	[Pa/m]	n.	-	-	-	[m/s]	[Pa]	[Pa]
1642	3736	450	343	250	400	0	0	MC4	0.125	0.556	16.900	1.2	0.87	14.68
3152	283R	450	210	250	150	0.53	0	5.1	30.000	2.670	0.047	3.3	6.56	0.33
1641	310R	450	210	250	150	1.05	0.87					3.3	6.56	0.91

Pérdida de carga acumulada del segmento

Δp_t [Pa] : 15.93

Velocidad en la sección inicial del segmento

V_m [m/s] : 5.6

Velocidad en la sección final del segmento

V_v [m/s] : 3.3

Recuperación de presión estática del segmento

Δp_r [Pa] : 12.32

Pérdida de carga acumulada del segmento, considerando la recuperación

Δp_{tn} [Pa] : 4.04

Pérdida de carga acumulada neta – total acumulado

$\Sigma \Delta p_{tn}$ [Pa] : 151.36

SEGMENTO 448:

Tipo: Terminal TRM-46

1 ELEMENTO		2 Caudal Q	3 Diam. D/D _e	4 Ancho A	5 Alto B	6 Long. L	7 $\Delta p/L$	8 Fuente Tab	9 Ashrae X	10 Ashrae Y	11 Coeff. C _o	12 Veloc. V	13 P.Dinám P _v	14 Pérdida Δp_r o Δp_c
N. pz.	Cod.	[m³/h]	[mm]	[mm]	[mm]	[m]	[Pa/m]	n.	-	-	-	[m/s]	[Pa]	[Pa]
3150	11RA	45	98	98	98	0	0	ASH6_26	0.100	0.497	1.070	1.7	1.74	7.18
1707	310C	45	98	98	98	0.07	0.57					1.7	1.74	0.04
1709	079C	45	98	98	98	0	0	3.1	1.520		0.046	1.7	1.74	0.07
3191	273C	45	75	0	0	0.02	0	5.1	30.000	1.710	0.050	2.8	4.72	0.24
1710	310C	45	75	0	0	0.3	2.03					2.8	4.72	0.61
3190	023C	45	75	0	0	0.02	0	4.1	30.000	1.710	0.320	2.8	4.72	1.54
1712	05LC	45	98	98	98	0	0	MC4				1.7	1.74	18

Pérdida de carga acumulada del segmento

Δp_t [Pa] : 9.68

Velocidad en la sección inicial del segmento

V_m [m/s] : 3.3

Velocidad en la sección final del segmento

V_v [m/s] : 1.7

Recuperación de presión estática del segmento

Δp_r [Pa] : 4.82

Pérdida de carga acumulada del segmento, considerando la recuperación

Δp_{tn} [Pa] : 5.18

Pérdida de carga acumulada neta – total acumulado

$\Sigma \Delta p_{tn}$ [Pa] : 174.54

Desequilibrio del terminal respecto al camino más desfavorable

Δp_{Tmr} [Pa] : 22.98

SEGMENTO 447:

Tipo: Tramo

1 ELEMENTO		2 Caudal Q	3 Diam. D/D _e	4 Ancho A	5 Alto B	6 Long. L	7 $\Delta p/L$	8 Fuente Tab	9 Ashrae X	10 Ashrae Y	11 Coeff. C _o	12 Veloc. V	13 P.Dinám P _v	14 Pérdida Δp_r o Δp_c
N. pz.	Cod.	[m³/h]	[mm]	[mm]	[mm]	[m]	[Pa/m]	n.	-	-	-	[m/s]	[Pa]	[Pa]
3151	11RA	405	210	250	150	0	0	ASH6_26M	0.900		0.010	3	5.42	0.07
3155	283R	405	152	200	100	0.19	0	5.1	30.000	1.880	0.050	5.6	18.88	0.95
1644	310R	405	152	200	100	0.6	3.53					5.6	18.88	2.12

Pérdida de carga acumulada del segmento

Δp_t [Pa] : 3.14

Velocidad en la sección inicial del segmento

V_m [m/s] : 3.3

Velocidad en la sección final del segmento	V_v	[m/s]	: 5.6
Recuperación de presión estática del segmento	Δp_r	[Pa]	: -12.32
Pérdida de carga acumulada del segmento, considerando la recuperación	Δp_{tn}	[Pa]	: 15.5
Pérdida de carga acumulada neta – total acumulado	$\Sigma \Delta p_{tn}$	[Pa]	: 166.86

SEGMENTO 446:

Tipo: Terminal TRM-46

1 ELEMENTO		2 Caudal Q	3 Diam. D/D _e	4 Ancho A	5 Alto B	6 Long. L	7 $\Delta p/L$	8 Fuente Tab	9 Ashrae X	10 Ashrae Y	11 Coeff. C _o	12 Veloc. V	13 P.Dinám P _v	14 Pérdida Δp_r o Δp_e
N. pz.	Cod.	[m³/h]	[mm]	[mm]	[mm]	[m]	[Pa/m]	n.	-	-	-	[m/s]	[Pa]	[Pa]
3153	11RA	45	98	98	98	0	0	ASH6_26	0.111	0.295	1.010	1.7	1.74	19.28
1701	310C	45	98	98	98	0.07	0.57					1.7	1.74	0.04
1703	079C	45	98	98	98	0	0	3.1	1.520		0.046	1.7	1.74	0.07
3189	273C	45	75	0	0	0.02	0	5.1	30.000	1.710	0.050	2.8	4.72	0.24
1704	310C	45	75	0	0	0.3	2.03					2.8	4.72	0.61
3188	023C	45	75	0	0	0.02	0	4.1	30.000	1.710	0.320	2.8	4.72	1.54
1706	05LC	45	98	98	98	0	0	MC4				1.7	1.74	18

Pérdida de carga acumulada del segmento	Δp_t	[Pa]	: 21.78
Velocidad en la sección inicial del segmento	V_m	[m/s]	: 5.6
Velocidad en la sección final del segmento	V_v	[m/s]	: 1.7
Recuperación de presión estática del segmento	Δp_r	[Pa]	: 17.14
Pérdida de carga acumulada del segmento, considerando la recuperación	Δp_{tn}	[Pa]	: 4.92
Pérdida de carga acumulada neta – total acumulado	$\Sigma \Delta p_{tn}$	[Pa]	: 189.78
Desequilibrio del terminal respecto al camino más desfavorable	Δp_{Tmr}	[Pa]	: 7.74

SEGMENTO 445:

Tipo: Tramo

1 ELEMENTO		2 Caudal Q	3 Diam. D/D _e	4 Ancho A	5 Alto B	6 Long. L	7 $\Delta p/L$	8 Fuente Tab	9 Ashrae X	10 Ashrae Y	11 Coeff. C _o	12 Veloc. V	13 P.Dinám P _v	14 Pérdida Δp_r o Δp_e
N. pz.	Cod.	[m³/h]	[mm]	[mm]	[mm]	[m]	[Pa/m]	n.	-	-	-	[m/s]	[Pa]	[Pa]
3154	11RA	360	152	200	100	0	0	ASH6_26M	0.889		0.011	5	15.05	0.21
1645	310R	360	152	200	100	0.6	2.85					5	15.05	1.71

Pérdida de carga acumulada del segmento	Δp_t	[Pa]	: 1.92
Velocidad en la sección inicial del segmento	V_m	[m/s]	: 5.6
Velocidad en la sección final del segmento	V_v	[m/s]	: 5
Recuperación de presión estática del segmento	Δp_r	[Pa]	: 3.83
Pérdida de carga acumulada del segmento, considerando la recuperación	Δp_{tn}	[Pa]	: -2.08
Pérdida de carga acumulada neta – total acumulado	$\Sigma \Delta p_{tn}$	[Pa]	: 164.78

SEGMENTO 444:

Tipo: Terminal TRM-46

1 ELEMENTO		2 Caudal Q	3 Diam. D/D _e	4 Ancho A	5 Alto B	6 Long. L	7 $\Delta p/L$	8 Fuente Tab	9 Ashrae X	10 Ashrae Y	11 Coeff. C _o	12 Veloc. V	13 P.Dinám P _v	14 Pérdida Δp_r o Δp_e
N. pz.	Cod.	[m³/h]	[mm]	[mm]	[mm]	[m]	[Pa/m]	n.	-	-	-	[m/s]	[Pa]	[Pa]
3156	11RA	45	98	98	98	0	0	ASH6_26	0.125	0.332	1.020	1.7	1.74	15.39
1695	310C	45	98	98	98	0.07	0.57					1.7	1.74	0.04
1697	079C	45	98	98	98	0	0	3.1	1.520		0.046	1.7	1.74	0.07

3187	273C	45	75	0	0	0.02	0	5.1	30.000	1.710	0.050	2.8	4.72	0.24
1698	310C	45	75	0	0	0.3	2.03					2.8	4.72	0.61
3186	023C	45	75	0	0	0.02	0	4.1	30.000	1.710	0.320	2.8	4.72	1.54
1700	05LC	45	98	98	98	0	0	MC4				1.7	1.74	18

Pérdida de carga acumulada del segmento	Δp_t	[Pa]	: 17.89
Velocidad en la sección inicial del segmento	V_m	[m/s]	: 5
Velocidad en la sección final del segmento	V_v	[m/s]	: 1.7
Recuperación de presión estática del segmento	Δp_r	[Pa]	: 13.31
Pérdida de carga acumulada del segmento, considerando la recuperación	Δp_{tn}	[Pa]	: 5.03
Pérdida de carga acumulada neta – total acumulado	$\Sigma \Delta p_{tn}$	[Pa]	: 187.81
Desequilibrio del terminal respecto al camino más desfavorable	Δp_{Tmr}	[Pa]	: 9.71

SEGMENTO 443:

Tipo: Tramo

1 ELEMENTO		2 Caudal Q	3 Diam. D/D _e	4 Ancho A	5 Alto B	6 Long. L	7 $\Delta p/L$	8 Fuente Tab	9 Ashrae X	10 Ashrae Y	11 Coeff. C _o	12 Veloc. V	13 P.Dinám P _v	14 Pérdida Δp_r o Δp_c
N. pz.	Cod.	[m³/h]	[mm]	[mm]	[mm]	[m]	[Pa/m]	n.	-	-	-	[m/s]	[Pa]	[Pa]
3157	11RA	315	152	200	100	0	0	ASH6_26M	0.875		0.012	4.4	11.65	0.19
3160	283R	315	133	150	100	0.14	0	5.1	30.000	1.330	0.050	5.8	20.25	1.02
1646	310R	315	133	150	100	0.6	4.32					5.8	20.25	2.59

Pérdida de carga acumulada del segmento	Δp_t	[Pa]	: 3.8
Velocidad en la sección inicial del segmento	V_m	[m/s]	: 5
Velocidad en la sección final del segmento	V_v	[m/s]	: 5.8
Recuperación de presión estática del segmento	Δp_r	[Pa]	: -5.2
Pérdida de carga acumulada del segmento, considerando la recuperación	Δp_{tn}	[Pa]	: 9.24
Pérdida de carga acumulada neta – total acumulado	$\Sigma \Delta p_{tn}$	[Pa]	: 174.02

SEGMENTO 442:

Tipo: Terminal TRM-46

1 ELEMENTO		2 Caudal Q	3 Diam. D/D _e	4 Ancho A	5 Alto B	6 Long. L	7 $\Delta p/L$	8 Fuente Tab	9 Ashrae X	10 Ashrae Y	11 Coeff. C _o	12 Veloc. V	13 P.Dinám P _v	14 Pérdida Δp_r o Δp_c
N. pz.	Cod.	[m³/h]	[mm]	[mm]	[mm]	[m]	[Pa/m]	n.	-	-	-	[m/s]	[Pa]	[Pa]
3158	11RA	45	98	98	98	0	0	ASH6_26	0.143	0.284	1.030	1.7	1.74	21.15
1689	310C	45	98	98	98	0.07	0.57					1.7	1.74	0.04
1691	079C	45	98	98	98	0	0	3.1	1.520		0.046	1.7	1.74	0.07
3185	023C	45	98	98	98	0	0	4.1	30.000	1.040	0.320	1.7	1.74	0.53
1692	310C	45	100	0	0	0.3	0.5					1.6	1.54	0.15
3184	273C	45	98	98	98	0	0	5.1	30.000	1.040	0.050	1.7	1.74	0.08
1694	05LC	45	98	98	98	0	0	MC4				1.7	1.74	18

Pérdida de carga acumulada del segmento	Δp_t	[Pa]	: 22.02
Velocidad en la sección inicial del segmento	V_m	[m/s]	: 5.8
Velocidad en la sección final del segmento	V_v	[m/s]	: 1.7
Recuperación de presión estática del segmento	Δp_r	[Pa]	: 18.51
Pérdida de carga acumulada del segmento, considerando la recuperación	Δp_{tn}	[Pa]	: 3.19
Pérdida de carga acumulada neta – total acumulado	$\Sigma \Delta p_{tn}$	[Pa]	: 195.21
Desequilibrio del terminal respecto al camino más desfavorable	Δp_{Tmr}	[Pa]	: 2.31

SEGMENTO 441:

Tipo: Tramo

1 ELEMENTO		2 Caudal Q	3 Diam. D/D _e	4 Ancho A	5 Alto B	6 Long. L	7 $\Delta p/L$	8 Fuente Tab	9 Ashrae X	10 Ashrae Y	11 Coeff. C _o	12 Veloc. V	13 P.Dinám P _v	14 Pérdida Δp_r o Δp_e
N. pz.	Cod.	[m³/h]	[mm]	[mm]	[mm]	[m]	[Pa/m]	n.	-	-	-	[m/s]	[Pa]	[Pa]
3159	11RA	270	133	150	100	0	0	ASH6_26M	0.857		0.014	5	15.05	0.29
1647	310R	270	133	150	100	0.6	3.23					5	15.05	1.94

Pérdida de carga acumulada del segmento	Δp_t	[Pa] : 2.23
Velocidad en la sección inicial del segmento	V_m	[m/s] : 5.8
Velocidad en la sección final del segmento	V_v	[m/s] : 5
Recuperación de presión estática del segmento	Δp_r	[Pa] : 5.2
Pérdida de carga acumulada del segmento, considerando la recuperación	Δp_{tm}	[Pa] : -3.2
Pérdida de carga acumulada neta – total acumulado	$\Sigma \Delta p_{tm}$	[Pa] : 170.82

SEGMENTO 440:

Tipo: Terminal TRM-46

1 ELEMENTO		2 Caudal Q	3 Diam. D/D _e	4 Ancho A	5 Alto B	6 Long. L	7 $\Delta p/L$	8 Fuente Tab	9 Ashrae X	10 Ashrae Y	11 Coeff. C _o	12 Veloc. V	13 P.Dinám P _v	14 Pérdida Δp_r o Δp_e
N. pz.	Cod.	[m³/h]	[mm]	[mm]	[mm]	[m]	[Pa/m]	n.	-	-	-	[m/s]	[Pa]	[Pa]
3161	11RA	45	98	98	98	0	0	ASH6_26	0.167	0.332	1.050	1.7	1.74	15.79
1683	310C	45	98	98	98	0.07	0.57					1.7	1.74	0.04
1685	079C	45	98	98	98	0	0	3.1	1.520		0.046	1.7	1.74	0.07
3183	023C	45	98	98	98	0	0	4.1	30.000	1.040	0.320	1.7	1.74	0.53
1686	310C	45	100	0	0	0.3	0.5					1.6	1.54	0.15
3182	273C	45	98	98	98	0	0	5.1	30.000	1.040	0.050	1.7	1.74	0.08
1688	05LC	45	98	98	98	0	0	MC4				1.7	1.74	18

Pérdida de carga acumulada del segmento	Δp_t	[Pa] : 16.66
Velocidad en la sección inicial del segmento	V_m	[m/s] : 5
Velocidad en la sección final del segmento	V_v	[m/s] : 1.7
Recuperación de presión estática del segmento	Δp_r	[Pa] : 13.31
Pérdida de carga acumulada del segmento, considerando la recuperación	Δp_{tm}	[Pa] : 3.26
Pérdida de carga acumulada neta – total acumulado	$\Sigma \Delta p_{tm}$	[Pa] : 192.08
Desequilibrio del terminal respecto al camino más desfavorable	Δp_{Tmr}	[Pa] : 5.44

SEGMENTO 439:

Tipo: Tramo

1 ELEMENTO		2 Caudal Q	3 Diam. D/D _e	4 Ancho A	5 Alto B	6 Long. L	7 $\Delta p/L$	8 Fuente Tab	9 Ashrae X	10 Ashrae Y	11 Coeff. C _o	12 Veloc. V	13 P.Dinám P _v	14 Pérdida Δp_r o Δp_e
N. pz.	Cod.	[m³/h]	[mm]	[mm]	[mm]	[m]	[Pa/m]	n.	-	-	-	[m/s]	[Pa]	[Pa]
3162	11RA	225	133	150	100	0	0	ASH6_26M	0.833		0.017	4.2	10.62	0.25
1648	310R	225	133	150	100	0.6	2.3					4.2	10.62	1.38

Pérdida de carga acumulada del segmento	Δp_t	[Pa] : 1.64
Velocidad en la sección inicial del segmento	V_m	[m/s] : 5
Velocidad en la sección final del segmento	V_v	[m/s] : 4.2
Recuperación de presión estática del segmento	Δp_r	[Pa] : 4.43
Pérdida de carga acumulada del segmento, considerando la recuperación	Δp_{tm}	[Pa] : -2.96
Pérdida de carga acumulada neta – total acumulado	$\Sigma \Delta p_{tm}$	[Pa] : 167.85

SEGMENTO 438:

Tipo: Terminal TRM-46

1 ELEMENTO		2 Caudal Q	3 Diam. D/D _e	4 Ancho A	5 Alto B	6 Long. L	7 $\Delta p/L$	8 Fuente Tab	9 Ashrae X	10 Ashrae Y	11 Coeff. C _o	12 Veloc. V	13 P.Dinám P _v	14 Pérdida Δp_r o Δp_c
N. pz.	Cod.	[m³/h]	[mm]	[mm]	[mm]	[m]	[Pa/m]	n.	-	-	-	[m/s]	[Pa]	[Pa]
3163	11RA	45	98	98	98	0	0	ASH6_26	0.200	0.398	1.070	1.7	1.74	11.18
1677	310C	45	98	98	98	0.07	0.57					1.7	1.74	0.04
1679	079C	45	98	98	98	0	0	3.1	1.520		0.046	1.7	1.74	0.07
3181	023C	45	98	98	98	0	0	4.1	30.000	1.040	0.320	1.7	1.74	0.24
1680	310C	45	100	0	0	0.3	0.5					1.6	1.54	0.15
3180	273C	45	98	98	98	0	0	5.1	30.000	1.040	0.050	1.7	1.74	0.08
1682	05LC	45	98	98	98	0	0	MC4				1.7	1.74	18

Pérdida de carga acumulada del segmento

Δp_t [Pa] : 11.77

Velocidad en la sección inicial del segmento

V_m [m/s] : 4.2

Velocidad en la sección final del segmento

V_v [m/s] : 1.7

Recuperación de presión estática del segmento

Δp_r [Pa] : 8.88

Pérdida de carga acumulada del segmento, considerando la recuperación

Δp_{tn} [Pa] : 3.26

Pérdida de carga acumulada neta – total acumulado

$\Sigma \Delta p_{tn}$ [Pa] : 189.11

Desequilibrio del terminal respecto al camino más desfavorable

Δp_{Tmr} [Pa] : 8.41

SEGMENTO 437:

Tipo: Tramo

1 ELEMENTO		2 Caudal Q	3 Diam. D/D _e	4 Ancho A	5 Alto B	6 Long. L	7 $\Delta p/L$	8 Fuente Tab	9 Ashrae X	10 Ashrae Y	11 Coeff. C _o	12 Veloc. V	13 P.Dinám P _v	14 Pérdida Δp_r o Δp_c
N. pz.	Cod.	[m³/h]	[mm]	[mm]	[mm]	[m]	[Pa/m]	n.	-	-	-	[m/s]	[Pa]	[Pa]
3164	11RA	180	133	150	100	0	0	ASH6_26M	0.800		0.020	3.3	6.56	0.21
3167	283R	180	109	100	100	0.14	0	5.1	30.000	1.500	0.050	5	15.05	0.75
1649	310R	180	109	100	100	0.6	4.08					5	15.05	2.45

Pérdida de carga acumulada del segmento

Δp_t [Pa] : 3.41

Velocidad en la sección inicial del segmento

V_m [m/s] : 4.2

Velocidad en la sección final del segmento

V_v [m/s] : 5

Recuperación de presión estática del segmento

Δp_r [Pa] : -4.43

Pérdida de carga acumulada del segmento, considerando la recuperación

Δp_{tn} [Pa] : 8.01

Pérdida de carga acumulada neta – total acumulado

$\Sigma \Delta p_{tn}$ [Pa] : 175.87

SEGMENTO 436:

Tipo: Terminal TRM-46

1 ELEMENTO		2 Caudal Q	3 Diam. D/D _e	4 Ancho A	5 Alto B	6 Long. L	7 $\Delta p/L$	8 Fuente Tab	9 Ashrae X	10 Ashrae Y	11 Coeff. C _o	12 Veloc. V	13 P.Dinám P _v	14 Pérdida Δp_r o Δp_c
N. pz.	Cod.	[m³/h]	[mm]	[mm]	[mm]	[m]	[Pa/m]	n.	-	-	-	[m/s]	[Pa]	[Pa]
3165	11RA	45	98	98	98	0	0	ASH6_26	0.250	0.332	1.080	1.7	1.74	16.18
1671	310C	45	98	98	98	0.07	0.57					1.7	1.74	0.04
1673	079C	45	98	98	98	0	0	3.1	1.520		0.046	1.7	1.74	0.07
3179	023C	45	98	98	98	0	0	4.1	30.000	1.040	0.320	1.7	1.74	0.53
1674	310C	45	100	0	0	0.3	0.5					1.6	1.54	0.15
3178	273C	45	98	98	98	0	0	5.1	30.000	1.040	0.050	1.7	1.74	0.08
1676	05LC	45	98	98	98	0	0	MC4				1.7	1.74	18

Pérdida de carga acumulada del segmento	Δp_t	[Pa]	: 17.05
Velocidad en la sección inicial del segmento	V_m	[m/s]	: 5
Velocidad en la sección final del segmento	V_v	[m/s]	: 1.7
Recuperación de presión estática del segmento	Δp_r	[Pa]	: 13.31
Pérdida de carga acumulada del segmento, considerando la recuperación	Δp_{tn}	[Pa]	: 3.66
Pérdida de carga acumulada neta – total acumulado	$\Sigma \Delta p_{tn}$	[Pa]	: 197.52

SEGMENTO 435:

Tipo: Tramo

1 ELEMENTO		2 Caudal Q	3 Diam. D/D _e	4 Ancho A	5 Alto B	6 Long. L	7 $\Delta p/L$	8 Fuente Tab	9 Ashrae X	10 Ashrae Y	11 Coeff. C _o	12 Veloc. V	13 P.Dinám P _v	14 Pérdida Δp_r o Δp_e
N. pz.	Cod.	[m³/h]	[mm]	[mm]	[mm]	[m]	[Pa/m]	n.	-	-	-	[m/s]	[Pa]	[Pa]
3166	11RA	135	109	100	100	0	0	ASH6_26M	0.750		0.030	3.7	8.24	0.45
1650	310R	135	109	100	100	0.6	2.4					3.7	8.24	1.44

Pérdida de carga acumulada del segmento	Δp_t	[Pa]	: 1.89
Velocidad en la sección inicial del segmento	V_m	[m/s]	: 5
Velocidad en la sección final del segmento	V_v	[m/s]	: 3.7
Recuperación de presión estática del segmento	Δp_r	[Pa]	: 6.81
Pérdida de carga acumulada del segmento, considerando la recuperación	Δp_{tn}	[Pa]	: -4.69
Pérdida de carga acumulada neta – total acumulado	$\Sigma \Delta p_{tn}$	[Pa]	: 171.18

SEGMENTO 434:

Tipo: Terminal TRM-46

1 ELEMENTO		2 Caudal Q	3 Diam. D/D _e	4 Ancho A	5 Alto B	6 Long. L	7 $\Delta p/L$	8 Fuente Tab	9 Ashrae X	10 Ashrae Y	11 Coeff. C _o	12 Veloc. V	13 P.Dinám P _v	14 Pérdida Δp_r o Δp_e
N. pz.	Cod.	[m³/h]	[mm]	[mm]	[mm]	[m]	[Pa/m]	n.	-	-	-	[m/s]	[Pa]	[Pa]
3168	11RA	45	98	98	98	0	0	ASH6_26	0.333	0.442	1.100	1.7	1.74	9.28
1665	310C	45	98	98	98	0.07	0.57					1.7	1.74	0.04
1667	079C	45	98	98	98	0	0	3.1	1.520		0.046	1.7	1.74	0.07
3177	023C	45	98	98	98	0	0	4.1	30.000	1.040	0.320	1.7	1.74	0.53
1668	310C	45	100	0	0	0.3	0.5					1.6	1.54	0.15
3176	273C	45	98	98	98	0	0	5.1	30.000	1.040	0.050	1.7	1.74	0.08
1670	05LC	45	98	98	98	0	0	MC4				1.7	1.74	18

Pérdida de carga acumulada del segmento	Δp_t	[Pa]	: 10.16
Velocidad en la sección inicial del segmento	V_m	[m/s]	: 3.7
Velocidad en la sección final del segmento	V_v	[m/s]	: 1.7
Recuperación de presión estática del segmento	Δp_r	[Pa]	: 6.5
Pérdida de carga acumulada del segmento, considerando la recuperación	Δp_{tn}	[Pa]	: 3.35
Pérdida de carga acumulada neta – total acumulado	$\Sigma \Delta p_{tn}$	[Pa]	: 192.52
Desequilibrio del terminal respecto al camino más desfavorable	Δp_{Tmr}	[Pa]	: 5

SEGMENTO 433:

Tipo: Tramo

1 ELEMENTO		2 Caudal Q	3 Diam. D/D _e	4 Ancho A	5 Alto B	6 Long. L	7 $\Delta p/L$	8 Fuente Tab	9 Ashrae X	10 Ashrae Y	11 Coeff. C _o	12 Veloc. V	13 P.Dinám P _v	14 Pérdida Δp_r o Δp_e
N. pz.	Cod.	[m³/h]	[mm]	[mm]	[mm]	[m]	[Pa/m]	n.	-	-	-	[m/s]	[Pa]	[Pa]

3169	11RA	90	109	100	100	0	0	ASH6_26M	0.667		0.047	2.5	3.76	0.4
1651	310R	90	109	100	100	0.6	1.13					2.5	3.76	0.68

Pérdida de carga acumulada del segmento	Δp_t	[Pa]	: 1.07
Velocidad en la sección inicial del segmento	V_m	[m/s]	: 3.7
Velocidad en la sección final del segmento	V_v	[m/s]	: 2.5
Recuperación de presión estática del segmento	Δp_r	[Pa]	: 4.48
Pérdida de carga acumulada del segmento, considerando la recuperación	Δp_{tn}	[Pa]	: -3.63
Pérdida de carga acumulada neta – total acumulado	$\Sigma \Delta p_{tn}$	[Pa]	: 167.55

SEGMENTO 432:

Tipo: Terminal TRM-46

1 ELEMENTO		2 Caudal Q	3 Diam. D/D _e	4 Ancho A	5 Alto B	6 Long. L	7 $\Delta p/L$	8 Fuente Tab	9 Ashrae X	10 Ashrae Y	11 Coeff. C _o	12 Veloc. V	13 P.Dinám P _v	14 Pérdida Δp_r o Δp_c
N. pz.	Cod.	[m³/h]	[mm]	[mm]	[mm]	[m]	[Pa/m]	n.	-	-	-	[m/s]	[Pa]	[Pa]
3170	11RA	45	98	98	98	0	0	ASH6_26	0.500	0.663	1.260	1.7	1.74	4.74
1659	310C	45	98	98	98	0.07	0.57					1.7	1.74	0.04
1661	079C	45	98	98	98	0	0	3.1	1.520		0.046	1.7	1.74	0.07
3175	023C	45	98	98	98	0	0	4.1	30.000	1.040	0.320	1.7	1.74	0.24
1662	310C	45	100	0	0	0.3	0.5					1.6	1.54	0.15
3174	273C	45	98	98	98	0	0	5.1	30.000	1.040	0.050	1.7	1.74	0.08
1664	05LC	45	98	98	98	0	0	MC4				1.7	1.74	18

Pérdida de carga acumulada del segmento	Δp_t	[Pa]	: 5.33
Velocidad en la sección inicial del segmento	V_m	[m/s]	: 2.5
Velocidad en la sección final del segmento	V_v	[m/s]	: 1.7
Recuperación de presión estática del segmento	Δp_r	[Pa]	: 2.02
Pérdida de carga acumulada del segmento, considerando la recuperación	Δp_{tn}	[Pa]	: 3.51
Pérdida de carga acumulada neta – total acumulado	$\Sigma \Delta p_{tn}$	[Pa]	: 189.05
Desequilibrio del terminal respecto al camino más desfavorable	Δp_{Tmr}	[Pa]	: 8.47

SEGMENTO 431:

Tipo: Terminal TRM-46

1 ELEMENTO		2 Caudal Q	3 Diam. D/D _e	4 Ancho A	5 Alto B	6 Long. L	7 $\Delta p/L$	8 Fuente Tab	9 Ashrae X	10 Ashrae Y	11 Coeff. C _o	12 Veloc. V	13 P.Dinám P _v	14 Pérdida Δp_r o Δp_c
N. pz.	Cod.	[m³/h]	[mm]	[mm]	[mm]	[m]	[Pa/m]	n.	-	-	-	[m/s]	[Pa]	[Pa]
3171	11RA	45	109	100	100	0	0	ASH6_26M	0.500		0.090	1.2	0.87	0.34
1652	310R	45	109	100	100	0.6	0.32					1.2	0.87	0.19
1643	11RAT	45	109	100	100	0	0	2_6	1.000	0.917	2.800	1.2	0.87	4.63
1653	310C	45	98	98	98	0.07	0.57					1.7	1.74	0.04
1655	079C	45	98	98	98	0	0	3.1	1.520		0.046	1.7	1.74	0.07
3173	023C	45	98	98	98	0	0	4.1	30.000	1.040	0.320	1.7	1.74	0.53
1656	310C	45	100	0	0	0.3	0.5					1.6	1.54	0.15
3172	273C	45	98	98	98	0	0	5.1	30.000	1.040	0.050	1.7	1.74	0.08
1658	05LC	45	98	98	98	0	0	MC4				1.7	1.74	18

Pérdida de carga acumulada del segmento	Δp_t	[Pa]	: 6.04
Velocidad en la sección inicial del segmento	V_m	[m/s]	: 2.5
Velocidad en la sección final del segmento	V_v	[m/s]	: 1.7
Recuperación de presión estática del segmento	Δp_r	[Pa]	: 2.02
Pérdida de carga acumulada del segmento, considerando la recuperación	Δp_{tn}	[Pa]	: 3.93
Pérdida de carga acumulada neta – total acumulado	$\Sigma \Delta p_{tn}$	[Pa]	: 189.47
Desequilibrio del terminal respecto al camino más desfavorable	Δp_{Tmr}	[Pa]	: 8.05

SEGMENTO 469:**Tipo:** Tramo

1 ELEMENTO		2 Caudal Q	3 Diam. D/D _e	4 Ancho A	5 Alto B	6 Long. L	7 $\Delta p/L$	8 Fuente Tab	9 Ashrae X	10 Ashrae Y	11 Coeff. C _o	12 Veloc. V	13 P.Dinám P _v	14 Pérdida Δp_r o Δp_c
N. pz.	Cod.	[m³/h]	[mm]	[mm]	[mm]	[m]	[Pa/m]	n.	-	-	-	[m/s]	[Pa]	[Pa]
3149	3736	2700	464	450	400	0	0	MC4	0.750			4.2	10.62	0
3233	283R	2700	400	450	300	0.27	0	5.1	30.000	1.330	0.050	5.6	18.88	0.1
1785	310R	2700	400	450	300	1	1					5.6	18.88	1

Pérdida de carga acumulada del segmento

 Δp_t [Pa] : 1.1

Velocidad en la sección inicial del segmento

 V_m [m/s] : 5.6

Velocidad en la sección final del segmento

 V_v [m/s] : 4.2

Recuperación de presión estática del segmento

 Δp_r [Pa] : 8.26

Pérdida de carga acumulada del segmento, considerando la recuperación

 Δp_{tm} [Pa] : -6.2

Pérdida de carga acumulada neta – total acumulado

 $\Sigma \Delta p_{tm}$ [Pa] : 141.13**SEGMENTO 489:****Tipo:** Tramo

1 ELEMENTO		2 Caudal Q	3 Diam. D/D _e	4 Ancho A	5 Alto B	6 Long. L	7 $\Delta p/L$	8 Fuente Tab	9 Ashrae X	10 Ashrae Y	11 Coeff. C _o	12 Veloc. V	13 P.Dinám P _v	14 Pérdida Δp_r o Δp_c
N. pz.	Cod.	[m³/h]	[mm]	[mm]	[mm]	[m]	[Pa/m]	n.	-	-	-	[m/s]	[Pa]	[Pa]
3231	3736	450	229	150	300	0	0	MC4	0.167	0.333	0.763	2.8	4.72	3.6
3278	283R	450	164	150	150	0.36	0	5.1	30.000	2.000	0.050	5.6	18.88	0.93
1860	310R	450	164	150	150	1.1	2.95					5.6	18.88	3.25

Pérdida de carga acumulada del segmento

 Δp_t [Pa] : 7.78

Velocidad en la sección inicial del segmento

 V_m [m/s] : 4.2

Velocidad en la sección final del segmento

 V_v [m/s] : 3.3

Recuperación de presión estática del segmento

 Δp_r [Pa] : 4.06

Pérdida de carga acumulada del segmento, considerando la recuperación

 Δp_{tm} [Pa] : 4.95

Pérdida de carga acumulada neta – total acumulado

 $\Sigma \Delta p_{tm}$ [Pa] : 146.08**SEGMENTO 507:****Tipo:** Terminal TRM-18

1 ELEMENTO		2 Caudal Q	3 Diam. D/D _e	4 Ancho A	5 Alto B	6 Long. L	7 $\Delta p/L$	8 Fuente Tab	9 Ashrae X	10 Ashrae Y	11 Coeff. C _o	12 Veloc. V	13 P.Dinám P _v	14 Pérdida Δp_r o Δp_c
N. pz.	Cod.	[m³/h]	[mm]	[mm]	[mm]	[m]	[Pa/m]	n.	-	-	-	[m/s]	[Pa]	[Pa]
3276	11RA	45	98	98	98	0	0	ASH6_26	0.100	0.298	1.070	1.7	1.74	7.18
1926	310C	45	98	98	98	0.07	0.57					1.7	1.74	0.04
1928	079C	45	98	98	98	0	0	3.1	1.520		0.046	1.7	1.74	0.07
3314	273C	45	75	0	0	0.02	0	5.1	30.000	1.710	0.050	2.8	4.72	0.24
1929	310C	45	75	0	0	0.3	2.03					2.8	4.72	0.61
3313	023C	45	75	0	0	0.02	0	4.1	30.000	1.710	0.320	2.8	4.72	1.54
1931	05LC	45	98	98	98	0	0	MC4				1.7	1.74	18

Pérdida de carga acumulada del segmento

 Δp_t [Pa] : 9.68

Velocidad en la sección inicial del segmento

 V_m [m/s] : 3.3

Velocidad en la sección final del segmento

 V_v [m/s] : 1.7

Recuperación de presión estática del segmento

 Δp_r [Pa] : 4.82

Pérdida de carga acumulada del segmento, considerando la recuperación
 Pérdida de carga acumulada neta – total acumulado
 Desequilibrio del terminal respecto al camino más desfavorable

Δp_{tn} [Pa] : 5.18
 $\Sigma \Delta p_{tn}$ [Pa] : 169.25
 Δp_{Tmr} [Pa] : 28.27

SEGMENTO 506:

Tipo: Tramo

1 ELEMENTO		2 Caudal Q	3 Diam. D/D _e	4 Ancho A	5 Alto B	6 Long. L	7 $\Delta p/L$	8 Fuente Tab	9 Ashrae X	10 Ashrae Y	11 Coeff. C _o	12 Veloc. V	13 P.Dinám P _v	14 Pérdida Δp_r o Δp_c
N. pz.	Cod.	[m³/h]	[mm]	[mm]	[mm]	[m]	[Pa/m]	n.	-	-	-	[m/s]	[Pa]	[Pa]
3277	11RA	405	164	150	150	0	0	ASH6_26M	0.900		0.010	5	15.05	0.07
1863	310R	405	164	150	150	0.6	2.43					5	15.05	1.46

Pérdida de carga acumulada del segmento
 Velocidad en la sección inicial del segmento
 Velocidad en la sección final del segmento
 Recuperación de presión estática del segmento
 Pérdida de carga acumulada del segmento, considerando la recuperación
 Pérdida de carga acumulada neta – total acumulado

Δp_t [Pa] : 1.52
 V_m [m/s] : 3.3
 V_v [m/s] : 3
 Δp_r [Pa] : 1.14
 Δp_{tn} [Pa] : 1.76
 $\Sigma \Delta p_{tn}$ [Pa] : 147.83

SEGMENTO 505:

Tipo: Terminal TRM-19

1 ELEMENTO		2 Caudal Q	3 Diam. D/D _e	4 Ancho A	5 Alto B	6 Long. L	7 $\Delta p/L$	8 Fuente Tab	9 Ashrae X	10 Ashrae Y	11 Coeff. C _o	12 Veloc. V	13 P.Dinám P _v	14 Pérdida Δp_r o Δp_c
N. pz.	Cod.	[m³/h]	[mm]	[mm]	[mm]	[m]	[Pa/m]	n.	-	-	-	[m/s]	[Pa]	[Pa]
3279	11RA	45	98	98	98	0	0	ASH6_26	0.111	0.332	1.110	1.7	1.74	6
1920	310C	45	98	98	98	0.07	0.57					1.7	1.74	0.04
1922	079C	45	98	98	98	0	0	3.1	1.520		0.046	1.7	1.74	0.07
3312	273C	45	75	0	0	0.02	0	5.1	30.000	1.710	0.050	2.8	4.72	0.24
1923	310C	45	75	0	0	0.3	2.03					2.8	4.72	0.61
3311	023C	45	75	0	0	0.02	0	4.1	30.000	1.710	0.320	2.8	4.72	1.54
1925	05LC	45	98	98	98	0	0	MC4				1.7	1.74	18

Pérdida de carga acumulada del segmento
 Velocidad en la sección inicial del segmento
 Velocidad en la sección final del segmento
 Recuperación de presión estática del segmento
 Pérdida de carga acumulada del segmento, considerando la recuperación
 Pérdida de carga acumulada neta – total acumulado
 Desequilibrio del terminal respecto al camino más desfavorable

Δp_t [Pa] : 8.51
 V_m [m/s] : 3
 V_v [m/s] : 1.7
 Δp_r [Pa] : 3.68
 Δp_{tn} [Pa] : 5.27
 $\Sigma \Delta p_{tn}$ [Pa] : 171.1
 Δp_{Tmr} [Pa] : 26.42

SEGMENTO 504:

Tipo: Tramo

1 ELEMENTO		2 Caudal Q	3 Diam. D/D _e	4 Ancho A	5 Alto B	6 Long. L	7 $\Delta p/L$	8 Fuente Tab	9 Ashrae X	10 Ashrae Y	11 Coeff. C _o	12 Veloc. V	13 P.Dinám P _v	14 Pérdida Δp_r o Δp_c
N. pz.	Cod.	[m³/h]	[mm]	[mm]	[mm]	[m]	[Pa/m]	n.	-	-	-	[m/s]	[Pa]	[Pa]
3280	11RA	360	164	150	150	0	0	ASH6_26M	0.889		0.011	4.4	11.65	0.06
1864	310R	360	164	150	150	0.6	1.95					4.4	11.65	1.17

Pérdida de carga acumulada del segmento	Δp_t	[Pa]	: 1.23
Velocidad en la sección inicial del segmento	V_m	[m/s]	: 3
Velocidad en la sección final del segmento	V_v	[m/s]	: 2.7
Recuperación de presión estática del segmento	Δp_r	[Pa]	: 1.03
Pérdida de carga acumulada del segmento, considerando la recuperación	Δp_{tn}	[Pa]	: 1.28
Pérdida de carga acumulada neta – total acumulado	$\Sigma \Delta p_{tn}$	[Pa]	: 149.11

SEGMENTO 503:

Tipo: Terminal TRM-20

1 ELEMENTO		2 Caudal Q	3 Diam. D/D _e	4 Ancho A	5 Alto B	6 Long. L	7 $\Delta p/L$	8 Fuente Tab	9 Ashrae X	10 Ashrae Y	11 Coeff. C _o	12 Veloc. V	13 P.Dinám P _v	14 Pérdida Δp_r o Δp_c
N. pz.	Cod.	[m³/h]	[mm]	[mm]	[mm]	[m]	[Pa/m]	n.	-	-	-	[m/s]	[Pa]	[Pa]
3281	11RA	45	98	98	98	0	0	ASH6_26	0.125	0.373	1.140	1.7	1.74	4.88
1914	310C	45	98	98	98	0.07	0.57					1.7	1.74	0.04
1916	079C	45	98	98	98	0	0	3.1	1.520		0.046	1.7	1.74	0.07
3310	273C	45	75	0	0	0.02	0	5.1	30.000	1.710	0.050	2.8	4.72	0.24
1917	310C	45	75	0	0	0.3	2.03					2.8	4.72	0.61
3309	023C	45	75	0	0	0.02	0	4.1	30.000	1.710	0.320	2.8	4.72	1.54
1919	05LC	45	98	98	98	0	0	MC4				1.7	1.74	18

Pérdida de carga acumulada del segmento	Δp_t	[Pa]	: 7.38
Velocidad en la sección inicial del segmento	V_m	[m/s]	: 2.7
Velocidad en la sección final del segmento	V_v	[m/s]	: 1.7
Recuperación de presión estática del segmento	Δp_r	[Pa]	: 2.65
Pérdida de carga acumulada del segmento, considerando la recuperación	Δp_{tn}	[Pa]	: 5.28
Pérdida de carga acumulada neta – total acumulado	$\Sigma \Delta p_{tn}$	[Pa]	: 172.4
Desequilibrio del terminal respecto al camino más desfavorable	Δp_{Tmr}	[Pa]	: 25.13

SEGMENTO 502:

Tipo: Tramo

1 ELEMENTO		2 Caudal Q	3 Diam. D/D _e	4 Ancho A	5 Alto B	6 Long. L	7 $\Delta p/L$	8 Fuente Tab	9 Ashrae X	10 Ashrae Y	11 Coeff. C _o	12 Veloc. V	13 P.Dinám P _v	14 Pérdida Δp_r o Δp_c
N. pz.	Cod.	[m³/h]	[mm]	[mm]	[mm]	[m]	[Pa/m]	n.	-	-	-	[m/s]	[Pa]	[Pa]
3282	11RA	315	164	150	150	0	0	ASH6_26M	0.875		0.012	3.9	9.16	0.05
1865	310R	315	164	150	150	0.6	1.52					3.9	9.16	0.91

Pérdida de carga acumulada del segmento	Δp_t	[Pa]	: 0.97
Velocidad en la sección inicial del segmento	V_m	[m/s]	: 2.7
Velocidad en la sección final del segmento	V_v	[m/s]	: 2.3
Recuperación de presión estática del segmento	Δp_r	[Pa]	: 1.2
Pérdida de carga acumulada del segmento, considerando la recuperación	Δp_{tn}	[Pa]	: 0.87
Pérdida de carga acumulada neta – total acumulado	$\Sigma \Delta p_{tn}$	[Pa]	: 149.99

SEGMENTO 501:

Tipo: Terminal TRM-21

1 ELEMENTO		2 Caudal Q	3 Diam. D/D _e	4 Ancho A	5 Alto B	6 Long. L	7 $\Delta p/L$	8 Fuente Tab	9 Ashrae X	10 Ashrae Y	11 Coeff. C _o	12 Veloc. V	13 P.Dinám P _v	14 Pérdida Δp_r o Δp_c
N. pz.	Cod.	[m³/h]	[mm]	[mm]	[mm]	[m]	[Pa/m]	n.	-	-	-	[m/s]	[Pa]	[Pa]
3283	11RA	45	98	98	98	0	0	ASH6_	0.143	0.426	1.190	1.7	1.74	3.88

								26						
1908	310C	45	98	98	98	0.07	0.57					1.7	1.74	0.04
1910	079C	45	98	98	98	0	0	3.1	1.520		0.046	1.7	1.74	0.07
3308	273C	45	75	0	0	0.02	0	5.1	30.000	1.710	0.050	2.8	4.72	0.24
1911	310C	45	75	0	0	0.3	2.03					2.8	4.72	0.61
3307	023C	45	75	0	0	0.02	0	4.1	30.000	1.710	0.320	2.8	4.72	1.54
1913	05LC	45	98	98	98	0	0	MC4				1.7	1.74	18

Pérdida de carga acumulada del segmento	Δp_t	[Pa]	: 6.39
Velocidad en la sección inicial del segmento	V_m	[m/s]	: 2.3
Velocidad en la sección final del segmento	V_v	[m/s]	: 1.7
Recuperación de presión estática del segmento	Δp_r	[Pa]	: 1.44
Pérdida de carga acumulada del segmento, considerando la recuperación	Δp_{tm}	[Pa]	: 5.29
Pérdida de carga acumulada neta – total acumulado	$\Sigma \Delta p_{tm}$	[Pa]	: 173.28
Desequilibrio del terminal respecto al camino más desfavorable	Δp_{Tmr}	[Pa]	: 24.24

SEGMENTO 500:

Tipo: Tramo

1 ELEMENTO		2 Caudal Q	3 Diam. D/D _e	4 Ancho A	5 Alto B	6 Long. L	7 $\Delta p/L$	8 Fuente Tab	9 Ashrae X	10 Ashrae Y	11 Coeff. C _o	12 Veloc. V	13 P.Dinám P _v	14 Pérdida Δp_r o Δp_e
N. pz.	Cod.	[m³/h]	[mm]	[mm]	[mm]	[m]	[Pa/m]	n.	-	-	-	[m/s]	[Pa]	[Pa]
3284	11RA	270	164	150	150	0	0	ASH6_26M	0.857		0.014	3.3	6.56	0.05
1866	310R	270	164	150	150	0.6	1.15					3.3	6.56	0.69

Pérdida de carga acumulada del segmento	Δp_t	[Pa]	: 0.73
Velocidad en la sección inicial del segmento	V_m	[m/s]	: 2.3
Velocidad en la sección final del segmento	V_v	[m/s]	: 2
Recuperación de presión estática del segmento	Δp_r	[Pa]	: 0.78
Pérdida de carga acumulada del segmento, considerando la recuperación	Δp_{tm}	[Pa]	: 0.53
Pérdida de carga acumulada neta – total acumulado	$\Sigma \Delta p_{tm}$	[Pa]	: 150.52

SEGMENTO 499:

Tipo: Terminal TRM-22

1 ELEMENTO		2 Caudal Q	3 Diam. D/D _e	4 Ancho A	5 Alto B	6 Long. L	7 $\Delta p/L$	8 Fuente Tab	9 Ashrae X	10 Ashrae Y	11 Coeff. C _o	12 Veloc. V	13 P.Dinám P _v	14 Pérdida Δp_r o Δp_e
N. pz.	Cod.	[m³/h]	[mm]	[mm]	[mm]	[m]	[Pa/m]	n.	-	-	-	[m/s]	[Pa]	[Pa]
3285	11RA	45	98	98	98	0	0	ASH6_26	0.167	0.497	1.280	1.7	1.74	3.08
1902	310C	45	98	98	98	0.07	0.57					1.7	1.74	0.04
1904	079C	45	98	98	98	0	0	3.1	1.520		0.046	1.7	1.74	0.07
3306	273C	45	75	0	0	0.02	0	5.1	30.000	1.710	0.050	2.8	4.72	0.24
1905	310C	45	75	0	0	0.3	2.03					2.8	4.72	0.61
3305	023C	45	75	0	0	0.02	0	4.1	30.000	1.710	0.320	2.8	4.72	1.54
1907	05LC	45	98	98	98	0	0	MC4				1.7	1.74	18

Pérdida de carga acumulada del segmento	Δp_t	[Pa]	: 5.59
Velocidad en la sección inicial del segmento	V_m	[m/s]	: 2
Velocidad en la sección final del segmento	V_v	[m/s]	: 1.7
Recuperación de presión estática del segmento	Δp_r	[Pa]	: 0.67
Pérdida de carga acumulada del segmento, considerando la recuperación	Δp_{tm}	[Pa]	: 5.36
Pérdida de carga acumulada neta – total acumulado	$\Sigma \Delta p_{tm}$	[Pa]	: 173.88
Desequilibrio del terminal respecto al camino más desfavorable	Δp_{Tmr}	[Pa]	: 23.65

SEGMENTO 498:**Tipo:** Tramo

1 ELEMENTO		2 Caudal Q	3 Diam. D/D _e	4 Ancho A	5 Alto B	6 Long. L	7 $\Delta p/L$	8 Fuente Tab	9 Ashrae X	10 Ashrae Y	11 Coeff. C _o	12 Veloc. V	13 P.Dinám P _v	14 Pérdida $\Delta p_r \circ \Delta p_e$
N. pz.	Cod.	[m³/h]	[mm]	[mm]	[mm]	[m]	[Pa/m]	n.	-	-	-	[m/s]	[Pa]	[Pa]
3286	11RA	225	164	150	150	0	0	ASH6_26M	0.833		0.017	2.8	4.72	0.04
1867	310R	225	164	150	150	0.6	0.82					2.8	4.72	0.49

Pérdida de carga acumulada del segmento

 Δp_t [Pa] : 0.53

Velocidad en la sección inicial del segmento

 V_m [m/s] : 2

Velocidad en la sección final del segmento

 V_v [m/s] : 3.1

Recuperación de presión estática del segmento

 Δp_r [Pa] : -3.38

Pérdida de carga acumulada del segmento, considerando la recuperación

 Δp_{tn} [Pa] : 4.53

Pérdida de carga acumulada neta – total acumulado

 $\Sigma \Delta p_{tn}$ [Pa] : 155.05**SEGMENTO 497:****Tipo:** Terminal TRM-22

1 ELEMENTO		2 Caudal Q	3 Diam. D/D _e	4 Ancho A	5 Alto B	6 Long. L	7 $\Delta p/L$	8 Fuente Tab	9 Ashrae X	10 Ashrae Y	11 Coeff. C _o	12 Veloc. V	13 P.Dinám P _v	14 Pérdida $\Delta p_r \circ \Delta p_e$
N. pz.	Cod.	[m³/h]	[mm]	[mm]	[mm]	[m]	[Pa/m]	n.	-	-	-	[m/s]	[Pa]	[Pa]
3287	11RA	45	98	98	98	0	0	ASH6_26	0.200	0.597	1.090	1.7	1.74	6.41
1896	310C	45	98	98	98	0.07	0.57					1.7	1.74	0.04
1898	079C	45	98	98	98	0	0	3.1	1.520		0.046	1.7	1.74	0.07
3304	273C	45	75	0	0	0.02	0	5.1	30.000	1.710	0.050	2.8	4.72	0.24
1899	310C	45	75	0	0	0.3	2.03					2.8	4.72	0.61
3303	023C	45	75	0	0	0.02	0	4.1	30.000	1.710	0.320	2.8	4.72	1.54
1901	05LC	45	98	98	98	0	0	MC4				1.7	1.74	18

Pérdida de carga acumulada del segmento

 Δp_t [Pa] : 8.91

Velocidad en la sección inicial del segmento

 V_m [m/s] : 3.1

Velocidad en la sección final del segmento

 V_v [m/s] : 1.7

Recuperación de presión estática del segmento

 Δp_r [Pa] : 4.05

Pérdida de carga acumulada del segmento, considerando la recuperación

 Δp_{tn} [Pa] : 5.21

Pérdida de carga acumulada neta – total acumulado

 $\Sigma \Delta p_{tn}$ [Pa] : 178.26

Desequilibrio del terminal respecto al camino más desfavorable

 Δp_{Tmr} [Pa] : 19.26**SEGMENTO 496:****Tipo:** Tramo

1 ELEMENTO		2 Caudal Q	3 Diam. D/D _e	4 Ancho A	5 Alto B	6 Long. L	7 $\Delta p/L$	8 Fuente Tab	9 Ashrae X	10 Ashrae Y	11 Coeff. C _o	12 Veloc. V	13 P.Dinám P _v	14 Pérdida $\Delta p_r \circ \Delta p_e$
N. pz.	Cod.	[m³/h]	[mm]	[mm]	[mm]	[m]	[Pa/m]	n.	-	-	-	[m/s]	[Pa]	[Pa]
3288	11RA	180	164	150	150	0	0	ASH6_26M	0.800		0.020	2.2	2.91	0.12
1868	310R	180	164	150	150	0.6	0.55					2.2	2.91	0.33

Pérdida de carga acumulada del segmento

 Δp_t [Pa] : 0.45

Velocidad en la sección inicial del segmento

 V_m [m/s] : 3.1

Velocidad en la sección final del segmento

 V_v [m/s] : 2.5

Recuperación de presión estática del segmento

 Δp_r [Pa] : 2.02

Pérdida de carga acumulada del segmento, considerando la recuperación

 Δp_{tn} [Pa] : -0.35

Pérdida de carga acumulada neta – total acumulado

$\Sigma \Delta p_{tn}$ [Pa] : 154.69

SEGMENTO 495:

Tipo: Terminal TRM-24

1 ELEMENTO		2 Caudal Q	3 Diam. D/D _e	4 Ancho A	5 Alto B	6 Long. L	7 $\Delta p/L$	8 Fuente Tab	9 Ashrae X	10 Ashrae Y	11 Coeff. C _o	12 Veloc. V	13 P.Dinám P _v	14 Pérdida Δp_r o Δp_e
N. pz.	Cod.	[m³/h]	[mm]	[mm]	[mm]	[m]	[Pa/m]	n.	-	-	-	[m/s]	[Pa]	[Pa]
3289	11RA	45	98	98	98	0	0	ASH6_26	0.250	0.746	1.130	1.7	1.74	4.25
1890	310C	45	98	98	98	0.07	0.57					1.7	1.74	0.04
1892	079C	45	98	98	98	0	0	3.1	1.520		0.046	1.7	1.74	0.07
3302	273C	45	75	0	0	0.02	0	5.1	30.000	1.710	0.050	2.8	4.72	0.24
1893	310C	45	75	0	0	0.3	2.03					2.8	4.72	0.61
3301	023C	45	75	0	0	0.02	0	4.1	30.000	1.710	0.320	2.8	4.72	1.54
1895	05LC	45	98	98	98	0	0	MC4				1.7	1.74	18

Pérdida de carga acumulada del segmento

Δp_t [Pa] : 6.76

Velocidad en la sección inicial del segmento

V_m [m/s] : 2.5

Velocidad en la sección final del segmento

V_v [m/s] : 1.7

Recuperación de presión estática del segmento

Δp_r [Pa] : 2.02

Pérdida de carga acumulada del segmento, considerando la recuperación

Δp_{tn} [Pa] : 5.17

Pérdida de carga acumulada neta – total acumulado

$\Sigma \Delta p_{tn}$ [Pa] : 177.87

Desequilibrio del terminal respecto al camino más desfavorable

Δp_{Tmr} [Pa] : 19.66

SEGMENTO 494:

Tipo: Tramo

1 ELEMENTO		2 Caudal Q	3 Diam. D/D _e	4 Ancho A	5 Alto B	6 Long. L	7 $\Delta p/L$	8 Fuente Tab	9 Ashrae X	10 Ashrae Y	11 Coeff. C _o	12 Veloc. V	13 P.Dinám P _v	14 Pérdida Δp_r o Δp_e
N. pz.	Cod.	[m³/h]	[mm]	[mm]	[mm]	[m]	[Pa/m]	n.	-	-	-	[m/s]	[Pa]	[Pa]
3290	11RA	135	164	150	150	0	0	ASH6_26M	0.750		0.030	1.7	1.74	0.11
1869	310R	135	164	150	150	0.6	0.32					1.7	1.74	0.19

Pérdida de carga acumulada del segmento

Δp_t [Pa] : 0.31

Velocidad en la sección inicial del segmento

V_m [m/s] : 2.5

Velocidad en la sección final del segmento

V_v [m/s] : 2.5

Recuperación de presión estática del segmento

Δp_r [Pa] : 0

Pérdida de carga acumulada del segmento, considerando la recuperación

Δp_{tn} [Pa] : 1.13

Pérdida de carga acumulada neta – total acumulado

$\Sigma \Delta p_{tn}$ [Pa] : 155.82

SEGMENTO 493:

Tipo: Terminal TRM-25

1 ELEMENTO		2 Caudal Q	3 Diam. D/D _e	4 Ancho A	5 Alto B	6 Long. L	7 $\Delta p/L$	8 Fuente Tab	9 Ashrae X	10 Ashrae Y	11 Coeff. C _o	12 Veloc. V	13 P.Dinám P _v	14 Pérdida Δp_r o Δp_e
N. pz.	Cod.	[m³/h]	[mm]	[mm]	[mm]	[m]	[Pa/m]	n.	-	-	-	[m/s]	[Pa]	[Pa]
3291	11RA	45	98	98	98	0	0	ASH6_26	0.333	0.995	1.110	1.7	1.74	4.16
1884	310C	45	98	98	98	0.07	0.57					1.7	1.74	0.04
1886	079C	45	98	98	98	0	0	3.1	1.520		0.046	1.7	1.74	0.07
3300	273C	45	75	0	0	0.02	0	5.1	30.000	1.710	0.050	2.8	4.72	0.24
1887	310C	45	75	0	0	0.3	2.03					2.8	4.72	0.61
3299	023C	45	75	0	0	0.02	0	4.1	30.000	1.710	0.320	2.8	4.72	1.54
1889	05LC	45	98	98	98	0	0	MC4				1.7	1.74	18

Pérdida de carga acumulada del segmento	Δp_t	[Pa]	: 6.66
Velocidad en la sección inicial del segmento	V_m	[m/s]	: 2.5
Velocidad en la sección final del segmento	V_v	[m/s]	: 1.7
Recuperación de presión estática del segmento	Δp_r	[Pa]	: 2.02
Pérdida de carga acumulada del segmento, considerando la recuperación	Δp_{tm}	[Pa]	: 5.08
Pérdida de carga acumulada neta – total acumulado	$\Sigma \Delta p_{tm}$	[Pa]	: 178.9
Desequilibrio del terminal respecto al camino más desfavorable	Δp_{Tmr}	[Pa]	: 18.62

SEGMENTO 492:

Tipo: Tramo

1 ELEMENTO		2 Caudal Q	3 Diam. D/D _e	4 Ancho A	5 Alto B	6 Long. L	7 $\Delta p/L$	8 Fuente Tab	9 Ashrae X	10 Ashrae Y	11 Coeff. C _o	12 Veloc. V	13 P.Dinám P _v	14 Pérdida Δp_r o Δp_e
N. pz.	Cod.	[m³/h]	[mm]	[mm]	[mm]	[m]	[Pa/m]	n.	-	-	-	[m/s]	[Pa]	[Pa]
3292	11RA	90	164	150	150	0	0	ASH6_26M	0.667		0.047	1.1	0.73	0.18
1870	310R	90	164	150	150	0.6	0.15					1.1	0.73	0.09

Pérdida de carga acumulada del segmento	Δp_t	[Pa]	: 0.27
Velocidad en la sección inicial del segmento	V_m	[m/s]	: 2.5
Velocidad en la sección final del segmento	V_v	[m/s]	: 2.5
Recuperación de presión estática del segmento	Δp_r	[Pa]	: 0
Pérdida de carga acumulada del segmento, considerando la recuperación	Δp_{tm}	[Pa]	: 0.95
Pérdida de carga acumulada neta – total acumulado	$\Sigma \Delta p_{tm}$	[Pa]	: 156.78

SEGMENTO 491:

Tipo: Terminal TRM-26

1 ELEMENTO		2 Caudal Q	3 Diam. D/D _e	4 Ancho A	5 Alto B	6 Long. L	7 $\Delta p/L$	8 Fuente Tab	9 Ashrae X	10 Ashrae Y	11 Coeff. C _o	12 Veloc. V	13 P.Dinám P _v	14 Pérdida Δp_r o Δp_e
N. pz.	Cod.	[m³/h]	[mm]	[mm]	[mm]	[m]	[Pa/m]	n.	-	-	-	[m/s]	[Pa]	[Pa]
3293	11RA	45	98	98	98	0	0	ASH6_26	0.500	1.490	1.260	1.7	1.74	4.74
1878	310C	45	98	98	98	0.07	0.57					1.7	1.74	0.04
1880	079C	45	98	98	98	0	0	3.1	1.520		0.046	1.7	1.74	0.07
3298	273C	45	75	0	0	0.02	0	5.1	30.000	1.710	0.050	2.8	4.72	0.24
1881	310C	45	75	0	0	0.3	2.03					2.8	4.72	0.61
3297	023C	45	75	0	0	0.02	0	4.1	30.000	1.710	0.320	2.8	4.72	1.54
1883	05LC	45	98	98	98	0	0	MC4				1.7	1.74	18

Pérdida de carga acumulada del segmento	Δp_t	[Pa]	: 7.25
Velocidad en la sección inicial del segmento	V_m	[m/s]	: 2.5
Velocidad en la sección final del segmento	V_v	[m/s]	: 1.7
Recuperación de presión estática del segmento	Δp_r	[Pa]	: 2.02
Pérdida de carga acumulada del segmento, considerando la recuperación	Δp_{tm}	[Pa]	: 5.67
Pérdida de carga acumulada neta – total acumulado	$\Sigma \Delta p_{tm}$	[Pa]	: 180.44
Desequilibrio del terminal respecto al camino más desfavorable	Δp_{Tmr}	[Pa]	: 17.08

SEGMENTO 490:

Tipo: Terminal TRM-27

1 ELEMENTO		2 Caudal Q	3 Diam. D/D _e	4 Ancho A	5 Alto B	6 Long. L	7 $\Delta p/L$	8 Fuente Tab	9 Ashrae X	10 Ashrae Y	11 Coeff. C _o	12 Veloc. V	13 P.Dinám P _v	14 Pérdida Δp_r o Δp_e
---------------	--	------------------	--------------------------------	-----------------	----------------	-----------------	-------------------	--------------------	------------------	-------------------	--------------------------------	-------------------	---------------------------------	--

N. pz.	Cod.	[m³/h]	[mm]	[mm]	[mm]	[m]	[Pa/m]	n.	-	-	-	[m/s]	[Pa]	[Pa]
3294	11RA	45	164	150	150	0	0	ASH6_26M	0.500		0.090	0.6	0.22	0.34
1871	310R	45	164	150	150	0.6	0.05					0.6	0.22	0.03
1862	11RAT	45	164	150	150	0	0	2_6	1.000	0.915	2.800	0.6	0.22	0
1872	310C	45	98	98	98	0.07	0.57					1.7	1.74	0.04
1874	079C	45	98	98	98	0	0	3.1	1.520		0.046	1.7	1.74	0.07
3296	023C	45	98	98	98	0	0	4.1	30.000	1.040	0.320	1.7	1.74	0.53
1875	310C	45	100	0	0	0.3	0.5					1.6	1.54	0.15
3295	273C	45	98	98	98	0	0	5.1	30.000	1.040	0.050	1.7	1.74	0.08
1877	05LC	45	98	98	98	0	0	MC4				1.7	1.74	18

Pérdida de carga acumulada del segmento	Δp_t	[Pa]	: 1.24
Velocidad en la sección inicial del segmento	V_m	[m/s]	: 2.5
Velocidad en la sección final del segmento	V_v	[m/s]	: 1.7
Recuperación de presión estática del segmento	Δp_r	[Pa]	: 2.02
Pérdida de carga acumulada del segmento, considerando la recuperación	Δp_{tm}	[Pa]	: -0.55
Pérdida de carga acumulada neta – total acumulado	$\Sigma \Delta p_{tm}$	[Pa]	: 174.22
Desequilibrio del terminal respecto al camino más desfavorable	Δp_{Tmr}	[Pa]	: 23.3

SEGMENTO 488:

Tipo: Tramo

1 ELEMENTO		2 Caudal Q	3 Diam. D/D _e	4 Ancho A	5 Alto B	6 Long. L	7 $\Delta p/L$	8 Fuente Tab	9 Ashrae X	10 Ashrae Y	11 Coeff. C _o	12 Veloc. V	13 P.Dinám P _v	14 Pérdida Δp_r o Δp_c
N. pz.	Cod.	[m³/h]	[mm]	[mm]	[mm]	[m]	[Pa/m]	n.	-	-	-	[m/s]	[Pa]	[Pa]
1789	3736	450	299	250	300	0	0	MC4	0.167	0.556	3.640	1.7	1.74	6.34
3236	283R	450	210	250	150	0.36	0	5.1	30.000	2.000	0.050	3.3	6.56	0.33
1788	310R	450	210	250	150	1.05	0.87					3.3	6.56	0.91

Pérdida de carga acumulada del segmento	Δp_t	[Pa]	: 7.58
Velocidad en la sección inicial del segmento	V_m	[m/s]	: 4.2
Velocidad en la sección final del segmento	V_v	[m/s]	: 3.3
Recuperación de presión estática del segmento	Δp_r	[Pa]	: 4.06
Pérdida de carga acumulada del segmento, considerando la recuperación	Δp_{tm}	[Pa]	: 3.82
Pérdida de carga acumulada neta – total acumulado	$\Sigma \Delta p_{tm}$	[Pa]	: 144.95

SEGMENTO 487:

Tipo: Terminal TRM-46

1 ELEMENTO		2 Caudal Q	3 Diam. D/D _e	4 Ancho A	5 Alto B	6 Long. L	7 $\Delta p/L$	8 Fuente Tab	9 Ashrae X	10 Ashrae Y	11 Coeff. C _o	12 Veloc. V	13 P.Dinám P _v	14 Pérdida Δp_r o Δp_c
N. pz.	Cod.	[m³/h]	[mm]	[mm]	[mm]	[m]	[Pa/m]	n.	-	-	-	[m/s]	[Pa]	[Pa]
3234	11RA	45	98	98	98	0	0	ASH6_26	0.100	0.497	1.070	1.7	1.74	7.18
1854	310C	45	98	98	98	0.07	0.57					1.7	1.74	0.04
1856	079C	45	98	98	98	0	0	3.1	1.520		0.046	1.7	1.74	0.07
3275	273C	45	75	0	0	0.02	0	5.1	30.000	1.710	0.050	2.8	4.72	0.24
1857	310C	45	75	0	0	0.3	2.03					2.8	4.72	0.61
3274	023C	45	75	0	0	0.02	0	4.1	30.000	1.710	0.320	2.8	4.72	1.54
1859	05LC	45	98	98	98	0	0	MC4				1.7	1.74	18

Pérdida de carga acumulada del segmento	Δp_t	[Pa]	: 9.68
Velocidad en la sección inicial del segmento	V_m	[m/s]	: 3.3
Velocidad en la sección final del segmento	V_v	[m/s]	: 1.7
Recuperación de presión estática del segmento	Δp_r	[Pa]	: 4.82
Pérdida de carga acumulada del segmento, considerando la recuperación	Δp_{tm}	[Pa]	: 5.18

Pérdida de carga acumulada neta – total acumulado
Desequilibrio del terminal respecto al camino más desfavorable

$\Sigma \Delta p_{tn}$ [Pa] : 168.13
 Δp_{Tmr} [Pa] : 29.4

SEGMENTO 486:

Tipo: Tramo

1 ELEMENTO		2 Caudal Q	3 Diam. D/D _e	4 Ancho A	5 Alto B	6 Long. L	7 $\Delta p/L$	8 Fuente Tab	9 Ashrae X	10 Ashrae Y	11 Coeff. C _o	12 Veloc. V	13 P.Dinám P _v	14 Pérdida Δp_r o Δp_c
N. pz.	Cod.	[m³/h]	[mm]	[mm]	[mm]	[m]	[Pa/m]	n.	-	-	-	[m/s]	[Pa]	[Pa]
3235	11RA	405	210	250	150	0	0	ASH6_26M	0.900		0.010	3	5.42	0.07
3239	283R	405	152	200	100	0.19	0	5.1	30.000	1.880	0.050	5.6	18.88	0.95
1791	310R	405	152	200	100	0.6	3.53					5.6	18.88	2.12

Pérdida de carga acumulada del segmento
Velocidad en la sección inicial del segmento
Velocidad en la sección final del segmento
Recuperación de presión estática del segmento
Pérdida de carga acumulada del segmento, considerando la recuperación
Pérdida de carga acumulada neta – total acumulado

Δp_t [Pa] : 3.14
 V_m [m/s] : 3.3
 V_v [m/s] : 5.6
 Δp_r [Pa] : -12.32
 Δp_{tn} [Pa] : 15.5
 $\Sigma \Delta p_{tn}$ [Pa] : 160.45

SEGMENTO 485:

Tipo: Terminal TRM-46

1 ELEMENTO		2 Caudal Q	3 Diam. D/D _e	4 Ancho A	5 Alto B	6 Long. L	7 $\Delta p/L$	8 Fuente Tab	9 Ashrae X	10 Ashrae Y	11 Coeff. C _o	12 Veloc. V	13 P.Dinám P _v	14 Pérdida Δp_r o Δp_c
N. pz.	Cod.	[m³/h]	[mm]	[mm]	[mm]	[m]	[Pa/m]	n.	-	-	-	[m/s]	[Pa]	[Pa]
3237	11RA	45	98	98	98	0	0	ASH6_26	0.111	0.295	1.010	1.7	1.74	19.28
1848	310C	45	98	98	98	0.07	0.57					1.7	1.74	0.04
1850	079C	45	98	98	98	0	0	3.1	1.520		0.046	1.7	1.74	0.07
3273	273C	45	75	0	0	0.02	0	5.1	30.000	1.710	0.050	2.8	4.72	0.24
1851	310C	45	75	0	0	0.3	2.03					2.8	4.72	0.61
3272	023C	45	75	0	0	0.02	0	4.1	30.000	1.710	0.320	2.8	4.72	1.54
1853	05LC	45	98	98	98	0	0	MC4				1.7	1.74	18

Pérdida de carga acumulada del segmento
Velocidad en la sección inicial del segmento
Velocidad en la sección final del segmento
Recuperación de presión estática del segmento
Pérdida de carga acumulada del segmento, considerando la recuperación
Pérdida de carga acumulada neta – total acumulado
Desequilibrio del terminal respecto al camino más desfavorable

Δp_t [Pa] : 21.78
 V_m [m/s] : 5.6
 V_v [m/s] : 1.7
 Δp_r [Pa] : 17.14
 Δp_{tn} [Pa] : 4.92
 $\Sigma \Delta p_{tn}$ [Pa] : 183.37
 Δp_{Tmr} [Pa] : 14.16

SEGMENTO 484:

Tipo: Tramo

1 ELEMENTO		2 Caudal Q	3 Diam. D/D _e	4 Ancho A	5 Alto B	6 Long. L	7 $\Delta p/L$	8 Fuente Tab	9 Ashrae X	10 Ashrae Y	11 Coeff. C _o	12 Veloc. V	13 P.Dinám P _v	14 Pérdida Δp_r o Δp_c
N. pz.	Cod.	[m³/h]	[mm]	[mm]	[mm]	[m]	[Pa/m]	n.	-	-	-	[m/s]	[Pa]	[Pa]
3238	11RA	360	152	200	100	0	0	ASH6_26M	0.889		0.011	5	15.05	0.21
1792	310R	360	152	200	100	0.6	2.85					5	15.05	1.71

Pérdida de carga acumulada del segmento	Δp_t	[Pa]	: 1.92
Velocidad en la sección inicial del segmento	V_m	[m/s]	: 5.6
Velocidad en la sección final del segmento	V_v	[m/s]	: 5
Recuperación de presión estática del segmento	Δp_r	[Pa]	: 3.83
Pérdida de carga acumulada del segmento, considerando la recuperación	Δp_{tm}	[Pa]	: -2.08
Pérdida de carga acumulada neta – total acumulado	$\Sigma \Delta p_{tm}$	[Pa]	: 158.37

SEGMENTO 483:

Tipo: Terminal TRM-46

1 ELEMENTO		2 Caudal Q	3 Diam. D/D _e	4 Ancho A	5 Alto B	6 Long. L	7 $\Delta p/L$	8 Fuente Tab	9 Ashrae X	10 Ashrae Y	11 Coeff. C _o	12 Veloc. V	13 P.Dinám P _v	14 Pérdida Δp_r o Δp_c
N. pz.	Cod.	[m³/h]	[mm]	[mm]	[mm]	[m]	[Pa/m]	n.	-	-	-	[m/s]	[Pa]	[Pa]
3240	11RA	45	98	98	98	0	0	ASH6_26	0.125	0.332	1.020	1.7	1.74	15.39
1842	310C	45	98	98	98	0.07	0.57					1.7	1.74	0.04
1844	079C	45	98	98	98	0	0	3.1	1.520		0.046	1.7	1.74	0.07
3271	273C	45	75	0	0	0.02	0	5.1	30.000	1.710	0.050	2.8	4.72	0.24
1845	310C	45	75	0	0	0.3	2.03					2.8	4.72	0.61
3270	023C	45	75	0	0	0.02	0	4.1	30.000	1.710	0.320	2.8	4.72	1.54
1847	05LC	45	98	98	98	0	0	MC4				1.7	1.74	18

Pérdida de carga acumulada del segmento	Δp_t	[Pa]	: 17.89
Velocidad en la sección inicial del segmento	V_m	[m/s]	: 5
Velocidad en la sección final del segmento	V_v	[m/s]	: 1.7
Recuperación de presión estática del segmento	Δp_r	[Pa]	: 13.31
Pérdida de carga acumulada del segmento, considerando la recuperación	Δp_{tm}	[Pa]	: 5.03
Pérdida de carga acumulada neta – total acumulado	$\Sigma \Delta p_{tm}$	[Pa]	: 181.39
Desequilibrio del terminal respecto al camino más desfavorable	Δp_{Tmr}	[Pa]	: 16.13

SEGMENTO 482:

Tipo: Tramo

1 ELEMENTO		2 Caudal Q	3 Diam. D/D _e	4 Ancho A	5 Alto B	6 Long. L	7 $\Delta p/L$	8 Fuente Tab	9 Ashrae X	10 Ashrae Y	11 Coeff. C _o	12 Veloc. V	13 P.Dinám P _v	14 Pérdida Δp_r o Δp_c
N. pz.	Cod.	[m³/h]	[mm]	[mm]	[mm]	[m]	[Pa/m]	n.	-	-	-	[m/s]	[Pa]	[Pa]
3241	11RA	315	152	200	100	0	0	ASH6_26M	0.875		0.012	4.4	11.65	0.19
3244	283R	315	133	150	100	0.14	0	5.1	30.000	1.330	0.050	5.8	20.25	1.02
1793	310R	315	133	150	100	0.6	4.32					5.8	20.25	2.59

Pérdida de carga acumulada del segmento	Δp_t	[Pa]	: 3.8
Velocidad en la sección inicial del segmento	V_m	[m/s]	: 5
Velocidad en la sección final del segmento	V_v	[m/s]	: 5.8
Recuperación de presión estática del segmento	Δp_r	[Pa]	: -5.2
Pérdida de carga acumulada del segmento, considerando la recuperación	Δp_{tm}	[Pa]	: 9.24
Pérdida de carga acumulada neta – total acumulado	$\Sigma \Delta p_{tm}$	[Pa]	: 167.6

SEGMENTO 481:

Tipo: Terminal TRM-46

1 ELEMENTO		2 Caudal Q	3 Diam. D/D _e	4 Ancho A	5 Alto B	6 Long. L	7 $\Delta p/L$	8 Fuente Tab	9 Ashrae X	10 Ashrae Y	11 Coeff. C _o	12 Veloc. V	13 P.Dinám P _v	14 Pérdida Δp_r o Δp_c
N. pz.	Cod.	[m³/h]	[mm]	[mm]	[mm]	[m]	[Pa/m]	n.	-	-	-	[m/s]	[Pa]	[Pa]

3242	11RA	45	98	98	98	0	0	ASH6_26	0.143	0.284	1.030	1.7	1.74	21.15
1836	310C	45	98	98	98	0.07	0.57					1.7	1.74	0.04
1838	079C	45	98	98	98	0	0	3.1	1.520		0.046	1.7	1.74	0.07
3269	023C	45	98	98	98	0	0	4.1	30.000	1.040	0.320	1.7	1.74	0.24
1839	310C	45	100	0	0	0.3	0.5					1.6	1.54	0.15
3268	273C	45	98	98	98	0	0	5.1	30.000	1.040	0.050	1.7	1.74	0.08
1841	05LC	45	98	98	98	0	0	MC4				1.7	1.74	18

Pérdida de carga acumulada del segmento	Δp_t	[Pa]	: 21.73
Velocidad en la sección inicial del segmento	V_m	[m/s]	: 5.8
Velocidad en la sección final del segmento	V_v	[m/s]	: 1.7
Recuperación de presión estática del segmento	Δp_r	[Pa]	: 18.51
Pérdida de carga acumulada del segmento, considerando la recuperación	Δp_{tm}	[Pa]	: 3.19
Pérdida de carga acumulada neta – total acumulado	$\Sigma \Delta p_{tm}$	[Pa]	: 188.79
Desequilibrio del terminal respecto al camino más desfavorable	Δp_{Tmr}	[Pa]	: 8.73

SEGMENTO 480:

Tipo: Tramo

1 ELEMENTO		2 Caudal Q	3 Diam. D/D _e	4 Ancho A	5 Alto B	6 Long. L	7 $\Delta p/L$	8 Fuente Tab	9 Ashrae X	10 Ashrae Y	11 Coeff. C _o	12 Veloc. V	13 P.Dinám P _v	14 Pérdida Δp_r o Δp_e
N. pz.	Cod.	[m³/h]	[mm]	[mm]	[mm]	[m]	[Pa/m]	n.	-	-	-	[m/s]	[Pa]	[Pa]
3243	11RA	270	133	150	100	0	0	ASH6_26M	0.857		0.014	5	15.05	0.29
1794	310R	270	133	150	100	0.6	3.23					5	15.05	1.94

Pérdida de carga acumulada del segmento	Δp_t	[Pa]	: 2.23
Velocidad en la sección inicial del segmento	V_m	[m/s]	: 5.8
Velocidad en la sección final del segmento	V_v	[m/s]	: 5
Recuperación de presión estática del segmento	Δp_r	[Pa]	: 5.2
Pérdida de carga acumulada del segmento, considerando la recuperación	Δp_{tm}	[Pa]	: -3.2
Pérdida de carga acumulada neta – total acumulado	$\Sigma \Delta p_{tm}$	[Pa]	: 164.4

SEGMENTO 479:

Tipo: Terminal TRM-46

1 ELEMENTO		2 Caudal Q	3 Diam. D/D _e	4 Ancho A	5 Alto B	6 Long. L	7 $\Delta p/L$	8 Fuente Tab	9 Ashrae X	10 Ashrae Y	11 Coeff. C _o	12 Veloc. V	13 P.Dinám P _v	14 Pérdida Δp_r o Δp_e
N. pz.	Cod.	[m³/h]	[mm]	[mm]	[mm]	[m]	[Pa/m]	n.	-	-	-	[m/s]	[Pa]	[Pa]
3245	11RA	45	98	98	98	0	0	ASH6_26	0.167	0.332	1.050	1.7	1.74	15.79
1830	310C	45	98	98	98	0.07	0.57					1.7	1.74	0.04
1832	079C	45	98	98	98	0	0	3.1	1.520		0.046	1.7	1.74	0.07
3267	273C	45	75	0	0	0.02	0	5.1	30.000	1.710	0.050	2.8	4.72	0.24
1833	310C	45	75	0	0	0.3	2.03					2.8	4.72	0.61
3266	023C	45	75	0	0	0.02	0	4.1	30.000	1.710	0.320	2.8	4.72	1.54
1835	05LC	45	98	98	98	0	0	MC4				1.7	1.74	18

Pérdida de carga acumulada del segmento	Δp_t	[Pa]	: 18.29
Velocidad en la sección inicial del segmento	V_m	[m/s]	: 5
Velocidad en la sección final del segmento	V_v	[m/s]	: 1.7
Recuperación de presión estática del segmento	Δp_r	[Pa]	: 13.31
Pérdida de carga acumulada del segmento, considerando la recuperación	Δp_{tm}	[Pa]	: 5.42
Pérdida de carga acumulada neta – total acumulado	$\Sigma \Delta p_{tm}$	[Pa]	: 187.82
Desequilibrio del terminal respecto al camino más desfavorable	Δp_{Tmr}	[Pa]	: 9.7

SEGMENTO 478:**Tipo:** Tramo

1 ELEMENTO		2 Caudal Q	3 Diam. D/D _e	4 Ancho A	5 Alto B	6 Long. L	7 $\Delta p/L$	8 Fuente Tab	9 Ashrae X	10 Ashrae Y	11 Coeff. C _o	12 Veloc. V	13 P.Dinám P _v	14 Pérdida Δp_r o Δp_c
N. pz.	Cod.	[m³/h]	[mm]	[mm]	[mm]	[m]	[Pa/m]	n.	-	-	-	[m/s]	[Pa]	[Pa]
3246	11RA	225	133	150	100	0	0	ASH6_26M	0.833		0.017	4.2	10.62	0.25
1795	310R	225	133	150	100	0.6	2.3					4.2	10.62	1.38

Pérdida de carga acumulada del segmento

 Δp_t [Pa] : 1.64

Velocidad en la sección inicial del segmento

 V_m [m/s] : 5

Velocidad en la sección final del segmento

 V_v [m/s] : 4.2

Recuperación de presión estática del segmento

 Δp_r [Pa] : 4.43

Pérdida de carga acumulada del segmento, considerando la recuperación

 Δp_{tm} [Pa] : -2.96

Pérdida de carga acumulada neta – total acumulado

 $\Sigma \Delta p_{tm}$ [Pa] : 161.44**SEGMENTO 477:****Tipo:** Terminal TRM-46

1 ELEMENTO		2 Caudal Q	3 Diam. D/D _e	4 Ancho A	5 Alto B	6 Long. L	7 $\Delta p/L$	8 Fuente Tab	9 Ashrae X	10 Ashrae Y	11 Coeff. C _o	12 Veloc. V	13 P.Dinám P _v	14 Pérdida Δp_r o Δp_c
N. pz.	Cod.	[m³/h]	[mm]	[mm]	[mm]	[m]	[Pa/m]	n.	-	-	-	[m/s]	[Pa]	[Pa]
3247	11RA	45	98	98	98	0	0	ASH6_26	0.200	0.398	1.070	1.7	1.74	11.18
1824	310C	45	98	98	98	0.07	0.57					1.7	1.74	0.04
1826	079C	45	98	98	98	0	0	3.1	1.520		0.046	1.7	1.74	0.07
3265	273C	45	75	0	0	0.02	0	5.1	30.000	1.710	0.050	2.8	4.72	0.24
1827	310C	45	75	0	0	0.3	2.03					2.8	4.72	0.61
3264	023C	45	75	0	0	0.02	0	4.1	30.000	1.710	0.320	2.8	4.72	1.54
1829	05LC	45	98	98	98	0	0	MC4				1.7	1.74	18

Pérdida de carga acumulada del segmento

 Δp_t [Pa] : 13.69

Velocidad en la sección inicial del segmento

 V_m [m/s] : 4.2

Velocidad en la sección final del segmento

 V_v [m/s] : 1.7

Recuperación de presión estática del segmento

 Δp_r [Pa] : 8.88

Pérdida de carga acumulada del segmento, considerando la recuperación

 Δp_{tm} [Pa] : 5.42

Pérdida de carga acumulada neta – total acumulado

 $\Sigma \Delta p_{tm}$ [Pa] : 184.86

Desequilibrio del terminal respecto al camino más desfavorable

 Δp_{Tmr} [Pa] : 12.66**SEGMENTO 476:****Tipo:** Tramo

1 ELEMENTO		2 Caudal Q	3 Diam. D/D _e	4 Ancho A	5 Alto B	6 Long. L	7 $\Delta p/L$	8 Fuente Tab	9 Ashrae X	10 Ashrae Y	11 Coeff. C _o	12 Veloc. V	13 P.Dinám P _v	14 Pérdida Δp_r o Δp_c
N. pz.	Cod.	[m³/h]	[mm]	[mm]	[mm]	[m]	[Pa/m]	n.	-	-	-	[m/s]	[Pa]	[Pa]
3248	11RA	180	133	150	100	0	0	ASH6_26M	0.800		0.020	3.3	6.56	0.21
3251	283R	180	109	100	100	0.14	0	5.1	30.000	1.500	0.050	5	15.05	0.75
1796	310R	180	109	100	100	0.6	4.08					5	15.05	2.45

Pérdida de carga acumulada del segmento

 Δp_t [Pa] : 3.41

Velocidad en la sección inicial del segmento

 V_m [m/s] : 4.2

Velocidad en la sección final del segmento

 V_v [m/s] : 5

Recuperación de presión estática del segmento
 Pérdida de carga acumulada del segmento, considerando la recuperación
 Pérdida de carga acumulada neta – total acumulado

Δp_r [Pa] : -4.43
 Δp_{tn} [Pa] : 8.01
 $\Sigma \Delta p_{tn}$ [Pa] : 169.45

SEGMENTO 475:

Tipo: Terminal TRM-46

1 ELEMENTO		2 Caudal Q	3 Diam. D/D _e	4 Ancho A	5 Alto B	6 Long. L	7 $\Delta p/L$	8 Fuente Tab	9 Ashrae X	10 Ashrae Y	11 Coeff. C _o	12 Veloc. V	13 P.Dinám P _v	14 Pérdida Δp_r o Δp_c
N. pz.	Cod.	[m³/h]	[mm]	[mm]	[mm]	[m]	[Pa/m]	n.	-	-	-	[m/s]	[Pa]	[Pa]
3249	11RA	45	98	98	98	0	0	ASH6_26	0.250	0.332	1.080	1.7	1.74	16.18
1818	310C	45	98	98	98	0.07	0.57					1.7	1.74	0.04
1820	079C	45	98	98	98	0	0	3.1	1.520		0.046	1.7	1.74	0.07
3263	023C	45	98	98	98	0	0	4.1	30.000	1.040	0.320	1.7	1.74	0.24
1821	310C	45	100	0	0	0.3	0.5					1.6	1.54	0.15
3262	273C	45	98	98	98	0	0	5.1	30.000	1.040	0.050	1.7	1.74	0.08
1823	05LC	45	98	98	98	0	0	MC4				1.7	1.74	18

Pérdida de carga acumulada del segmento
 Velocidad en la sección inicial del segmento
 Velocidad en la sección final del segmento
 Recuperación de presión estática del segmento
 Pérdida de carga acumulada del segmento, considerando la recuperación
 Pérdida de carga acumulada neta – total acumulado
 Desequilibrio del terminal respecto al camino más desfavorable

Δp_t [Pa] : 16.76
 V_m [m/s] : 5
 V_v [m/s] : 1.7
 Δp_r [Pa] : 13.31
 Δp_{tn} [Pa] : 3.66
 $\Sigma \Delta p_{tn}$ [Pa] : 191.11
 Δp_{Tmr} [Pa] : 6.42

SEGMENTO 474:

Tipo: Tramo

1 ELEMENTO		2 Caudal Q	3 Diam. D/D _e	4 Ancho A	5 Alto B	6 Long. L	7 $\Delta p/L$	8 Fuente Tab	9 Ashrae X	10 Ashrae Y	11 Coeff. C _o	12 Veloc. V	13 P.Dinám P _v	14 Pérdida Δp_r o Δp_c
N. pz.	Cod.	[m³/h]	[mm]	[mm]	[mm]	[m]	[Pa/m]	n.	-	-	-	[m/s]	[Pa]	[Pa]
3250	11RA	135	109	100	100	0	0	ASH6_26M	0.750		0.030	3.7	8.24	0.45
1797	310R	135	109	100	100	0.6	2.4					3.7	8.24	1.44

Pérdida de carga acumulada del segmento
 Velocidad en la sección inicial del segmento
 Velocidad en la sección final del segmento
 Recuperación de presión estática del segmento
 Pérdida de carga acumulada del segmento, considerando la recuperación
 Pérdida de carga acumulada neta – total acumulado

Δp_t [Pa] : 1.89
 V_m [m/s] : 5
 V_v [m/s] : 3.7
 Δp_r [Pa] : 6.81
 Δp_{tn} [Pa] : -4.69
 $\Sigma \Delta p_{tn}$ [Pa] : 164.76

SEGMENTO 473:

Tipo: Terminal TRM-46

1 ELEMENTO		2 Caudal Q	3 Diam. D/D _e	4 Ancho A	5 Alto B	6 Long. L	7 $\Delta p/L$	8 Fuente Tab	9 Ashrae X	10 Ashrae Y	11 Coeff. C _o	12 Veloc. V	13 P.Dinám P _v	14 Pérdida Δp_r o Δp_c
N. pz.	Cod.	[m³/h]	[mm]	[mm]	[mm]	[m]	[Pa/m]	n.	-	-	-	[m/s]	[Pa]	[Pa]
3252	11RA	45	98	98	98	0	0	ASH6_26	0.333	0.442	1.100	1.7	1.74	9.28
1812	310C	45	98	98	98	0.07	0.57					1.7	1.74	0.04
1814	079C	45	98	98	98	0	0	3.1	1.520		0.046	1.7	1.74	0.07
3261	273C	45	75	0	0	0.02	0	5.1	30.000	1.710	0.050	2.8	4.72	0.24
1815	310C	45	75	0	0	0.3	2.03					2.8	4.72	0.61

3260	023C	45	75	0	0	0.02	0	4.1	30.000	1.710	0.320	2.8	4.72	1.54
1817	05LC	45	98	98	98	0	0	MC4				1.7	1.74	18

Pérdida de carga acumulada del segmento	Δp_t	[Pa]	: 11.79
Velocidad en la sección inicial del segmento	V_m	[m/s]	: 3.7
Velocidad en la sección final del segmento	V_v	[m/s]	: 1.7
Recuperación de presión estática del segmento	Δp_r	[Pa]	: 6.5
Pérdida de carga acumulada del segmento, considerando la recuperación	Δp_{tm}	[Pa]	: 5.51
Pérdida de carga acumulada neta – total acumulado	$\Sigma \Delta p_{tm}$	[Pa]	: 188.27
Desequilibrio del terminal respecto al camino más desfavorable	Δp_{Tmr}	[Pa]	: 9.26

SEGMENTO 472:

Tipo: Tramo

1 ELEMENTO		2 Caudal Q	3 Diam. D/D _e	4 Ancho A	5 Alto B	6 Long. L	7 $\Delta p/L$	8 Fuente Tab	9 Ashrae X	10 Ashrae Y	11 Coeff. C _o	12 Veloc. V	13 P.Dinám P _v	14 Pérdida Δp_r o Δp_e
N. pz.	Cod.	[m³/h]	[mm]	[mm]	[mm]	[m]	[Pa/m]	n.	-	-	-	[m/s]	[Pa]	[Pa]
3253	11RA	90	109	100	100	0	0	ASH6_26M	0.667		0.047	2.5	3.76	0.4
1798	310R	90	109	100	100	0.6	1.13					2.5	3.76	0.68

Pérdida de carga acumulada del segmento	Δp_t	[Pa]	: 1.07
Velocidad en la sección inicial del segmento	V_m	[m/s]	: 3.7
Velocidad en la sección final del segmento	V_v	[m/s]	: 2.5
Recuperación de presión estática del segmento	Δp_r	[Pa]	: 4.48
Pérdida de carga acumulada del segmento, considerando la recuperación	Δp_{tm}	[Pa]	: -3.63
Pérdida de carga acumulada neta – total acumulado	$\Sigma \Delta p_{tm}$	[Pa]	: 161.13

SEGMENTO 471:

Tipo: Terminal TRM-46

1 ELEMENTO		2 Caudal Q	3 Diam. D/D _e	4 Ancho A	5 Alto B	6 Long. L	7 $\Delta p/L$	8 Fuente Tab	9 Ashrae X	10 Ashrae Y	11 Coeff. C _o	12 Veloc. V	13 P.Dinám P _v	14 Pérdida Δp_r o Δp_e
N. pz.	Cod.	[m³/h]	[mm]	[mm]	[mm]	[m]	[Pa/m]	n.	-	-	-	[m/s]	[Pa]	[Pa]
3254	11RA	45	98	98	98	0	0	ASH6_26	0.500	0.663	1.260	1.7	1.74	4.74
1806	310C	45	98	98	98	0.07	0.57					1.7	1.74	0.04
1808	079C	45	98	98	98	0	0	3.1	1.520		0.046	1.7	1.74	0.07
3259	273C	45	75	0	0	0.02	0	5.1	30.000	1.710	0.050	2.8	4.72	0.24
1809	310C	45	75	0	0	0.3	2.03					2.8	4.72	0.61
3258	023C	45	75	0	0	0.02	0	4.1	30.000	1.710	0.320	2.8	4.72	1.54
1811	05LC	45	98	98	98	0	0	MC4				1.7	1.74	18

Pérdida de carga acumulada del segmento	Δp_t	[Pa]	: 7.25
Velocidad en la sección inicial del segmento	V_m	[m/s]	: 2.5
Velocidad en la sección final del segmento	V_v	[m/s]	: 1.7
Recuperación de presión estática del segmento	Δp_r	[Pa]	: 2.02
Pérdida de carga acumulada del segmento, considerando la recuperación	Δp_{tm}	[Pa]	: 5.67
Pérdida de carga acumulada neta – total acumulado	$\Sigma \Delta p_{tm}$	[Pa]	: 184.8
Desequilibrio del terminal respecto al camino más desfavorable	Δp_{Tmr}	[Pa]	: 12.73

SEGMENTO 470:

Tipo: Terminal TRM-46

1	2	3	4	5	6	7	8	9	10	11	12	13	14
---	---	---	---	---	---	---	---	---	----	----	----	----	----

ELEMENTO		Caudal Q	Diam. D/D _e	Ancho A	Alto B	Long. L	$\Delta p/L$	Fuente Tab	Ashrae X	Ashrae Y	Coeff. C _o	Veloc. V	P.Dinám P _v	Pérdida Δp_f o Δp_c
N. pz.	Cod.	[m³/h]	[mm]	[mm]	[mm]	[m]	[Pa/m]	n.	-	-	-	[m/s]	[Pa]	[Pa]
3255	11RA	45	109	100	100	0	0	ASH6_26M	0.500		0.090	1.2	0.87	0.34
1799	310R	45	109	100	100	0.6	0.32					1.2	0.87	0.19
1790	11RAT	45	109	100	100	0	0	2_6	1.000	0.917	2.800	1.2	0.87	4.63
1800	310C	45	98	98	98	0.07	0.57					1.7	1.74	0.04
1802	079C	45	98	98	98	0	0	3.1	1.520		0.046	1.7	1.74	0.07
3257	023C	45	98	98	98	0	0	4.1	30.000	1.040	0.320	1.7	1.74	0.53
1803	310C	45	100	0	0	0.3	0.5					1.6	1.54	0.15
3256	273C	45	98	98	98	0	0	5.1	30.000	1.040	0.050	1.7	1.74	0.08
1805	05LC	45	98	98	98	0	0	MC4				1.7	1.74	18

Pérdida de carga acumulada del segmento	Δp_t	[Pa]	: 6.04
Velocidad en la sección inicial del segmento	V_m	[m/s]	: 2.5
Velocidad en la sección final del segmento	V_v	[m/s]	: 1.7
Recuperación de presión estática del segmento	Δp_r	[Pa]	: 2.02
Pérdida de carga acumulada del segmento, considerando la recuperación	Δp_{tm}	[Pa]	: 3.93
Pérdida de carga acumulada neta – total acumulado	$\Sigma \Delta p_{tm}$	[Pa]	: 183.06
Desequilibrio del terminal respecto al camino más desfavorable	Δp_{Tmr}	[Pa]	: 14.46

SEGMENTO 508:

Tipo: Tramo

1 ELEMENTO		2 Caudal Q	3 Diam. D/D _e	4 Ancho A	5 Alto B	6 Long. L	7 $\Delta p/L$	8 Fuente Tab	9 Ashrae X	10 Ashrae Y	11 Coeff. C _o	12 Veloc. V	13 P.Dinám P _v	14 Pérdida Δp_f o Δp_c
N. pz.	Cod.	[m³/h]	[mm]	[mm]	[mm]	[m]	[Pa/m]	n.	-	-	-	[m/s]	[Pa]	[Pa]
3232	3736	1800	328	300	300	0	0	MC4	1.000		0.049	5.6	18.88	0.93
1932	310R	1800	328	300	300	1	1.26					5.6	18.88	1.26

Pérdida de carga acumulada del segmento	Δp_t	[Pa]	: 2.18
Velocidad en la sección inicial del segmento	V_m	[m/s]	: 4.2
Velocidad en la sección final del segmento	V_v	[m/s]	: 4
Recuperación de presión estática del segmento	Δp_r	[Pa]	: 0.99
Pérdida de carga acumulada del segmento, considerando la recuperación	Δp_{tm}	[Pa]	: 2.29
Pérdida de carga acumulada neta – total acumulado	$\Sigma \Delta p_{tm}$	[Pa]	: 143.42

SEGMENTO 528:

Tipo: Tramo

1 ELEMENTO		2 Caudal Q	3 Diam. D/D _e	4 Ancho A	5 Alto B	6 Long. L	7 $\Delta p/L$	8 Fuente Tab	9 Ashrae X	10 Ashrae Y	11 Coeff. C _o	12 Veloc. V	13 P.Dinám P _v	14 Pérdida Δp_f o Δp_c
N. pz.	Cod.	[m³/h]	[mm]	[mm]	[mm]	[m]	[Pa/m]	n.	-	-	-	[m/s]	[Pa]	[Pa]
3315	3736	450	229	150	300	0	0	MC4	0.250	0.500	0.765	2.8	4.72	3.61
3361	283R	450	164	150	150	0.36	0	5.1	30.000	2.000	0.050	5.6	18.88	0.93
2007	310R	450	164	150	150	1.1	2.95					5.6	18.88	3.25

Pérdida de carga acumulada del segmento	Δp_t	[Pa]	: 7.8
Velocidad en la sección inicial del segmento	V_m	[m/s]	: 4
Velocidad en la sección final del segmento	V_v	[m/s]	: 3.3
Recuperación de presión estática del segmento	Δp_r	[Pa]	: 3.08
Pérdida de carga acumulada del segmento, considerando la recuperación	Δp_{tm}	[Pa]	: 5.78
Pérdida de carga acumulada neta – total acumulado	$\Sigma \Delta p_{tm}$	[Pa]	: 149.2

SEGMENTO 546:**Tipo:** Terminal TRM-18

1 ELEMENTO		2 Caudal Q	3 Diam. D/D _e	4 Ancho A	5 Alto B	6 Long. L	7 $\Delta p/L$	8 Fuente Tab	9 Ashrae X	10 Ashrae Y	11 Coeff. C _o	12 Veloc. V	13 P.Dinám P _v	14 Pérdida Δp_r o Δp_e
N. pz.	Cod.	[m³/h]	[mm]	[mm]	[mm]	[m]	[Pa/m]	n.	-	-	-	[m/s]	[Pa]	[Pa]
3359	11RA	45	98	98	98	0	0	ASH6_26	0.100	0.298	1.070	1.7	1.74	7.18
2073	310C	45	98	98	98	0.08	0.5					1.7	1.74	0.04
2075	079C	45	98	98	98	0	0	3.1	1.520		0.046	1.7	1.74	0.07
3397	273C	45	75	0	0	0.02	0	5.1	30.000	1.710	0.050	2.8	4.72	0.24
2076	310C	45	75	0	0	0.3	2.03					2.8	4.72	0.61
3396	023C	45	75	0	0	0.02	0	4.1	30.000	1.710	0.320	2.8	4.72	1.54
2078	05LC	45	98	98	98	0	0	MC4				1.7	1.74	18

Pérdida de carga acumulada del segmento

 Δp_t [Pa] : 9.68

Velocidad en la sección inicial del segmento

 V_m [m/s] : 3.3

Velocidad en la sección final del segmento

 V_v [m/s] : 1.7

Recuperación de presión estática del segmento

 Δp_r [Pa] : 4.82

Pérdida de carga acumulada del segmento, considerando la recuperación

 Δp_{tn} [Pa] : 5.18

Pérdida de carga acumulada neta – total acumulado

 $\Sigma \Delta p_{tn}$ [Pa] : 172.38

Desequilibrio del terminal respecto al camino más desfavorable

 Δp_{Tmr} [Pa] : 25.14**SEGMENTO 545:****Tipo:** Tramo

1 ELEMENTO		2 Caudal Q	3 Diam. D/D _e	4 Ancho A	5 Alto B	6 Long. L	7 $\Delta p/L$	8 Fuente Tab	9 Ashrae X	10 Ashrae Y	11 Coeff. C _o	12 Veloc. V	13 P.Dinám P _v	14 Pérdida Δp_r o Δp_e
N. pz.	Cod.	[m³/h]	[mm]	[mm]	[mm]	[m]	[Pa/m]	n.	-	-	-	[m/s]	[Pa]	[Pa]
3360	11RA	405	164	150	150	0	0	ASH6_26M	0.900		0.010	5	15.05	0.07
2010	310R	405	164	150	150	0.6	2.43					5	15.05	1.46

Pérdida de carga acumulada del segmento

 Δp_t [Pa] : 1.52

Velocidad en la sección inicial del segmento

 V_m [m/s] : 3.3

Velocidad en la sección final del segmento

 V_v [m/s] : 3

Recuperación de presión estática del segmento

 Δp_r [Pa] : 1.14

Pérdida de carga acumulada del segmento, considerando la recuperación

 Δp_{tn} [Pa] : 1.76

Pérdida de carga acumulada neta – total acumulado

 $\Sigma \Delta p_{tn}$ [Pa] : 150.96**SEGMENTO 544:****Tipo:** Terminal TRM-19

1 ELEMENTO		2 Caudal Q	3 Diam. D/D _e	4 Ancho A	5 Alto B	6 Long. L	7 $\Delta p/L$	8 Fuente Tab	9 Ashrae X	10 Ashrae Y	11 Coeff. C _o	12 Veloc. V	13 P.Dinám P _v	14 Pérdida Δp_r o Δp_e
N. pz.	Cod.	[m³/h]	[mm]	[mm]	[mm]	[m]	[Pa/m]	n.	-	-	-	[m/s]	[Pa]	[Pa]
3362	11RA	45	98	98	98	0	0	ASH6_26	0.111	0.332	1.110	1.7	1.74	6
2067	310C	45	98	98	98	0.08	0.5					1.7	1.74	0.04
2069	079C	45	98	98	98	0	0	3.1	1.520		0.046	1.7	1.74	0.07
3395	273C	45	75	0	0	0.02	0	5.1	30.000	1.710	0.050	2.8	4.72	0.24
2070	310C	45	75	0	0	0.3	2.03					2.8	4.72	0.61
3394	023C	45	75	0	0	0.02	0	4.1	30.000	1.710	0.320	2.8	4.72	1.54
2072	05LC	45	98	98	98	0	0	MC4				1.7	1.74	18

Pérdida de carga acumulada del segmento

 Δp_t [Pa] : 8.51

Velocidad en la sección inicial del segmento	V_m	[m/s] : 3
Velocidad en la sección final del segmento	V_v	[m/s] : 1.7
Recuperación de presión estática del segmento	Δp_r	[Pa] : 3.68
Pérdida de carga acumulada del segmento, considerando la recuperación	Δp_{tn}	[Pa] : 5.27
Pérdida de carga acumulada neta – total acumulado	$\Sigma \Delta p_{tn}$	[Pa] : 174.23
Desequilibrio del terminal respecto al camino más desfavorable	Δp_{Tmr}	[Pa] : 23.29

SEGMENTO 543:

Tipo: Tramo

1 ELEMENTO		2 Caudal Q	3 Diam. D/D _e	4 Ancho A	5 Alto B	6 Long. L	7 $\Delta p/L$	8 Fuente Tab	9 Ashrae X	10 Ashrae Y	11 Coeff. C _o	12 Veloc. V	13 P.Dinám P _v	14 Pérdida Δp_r o Δp_e
N. pz.	Cod.	[m³/h]	[mm]	[mm]	[mm]	[m]	[Pa/m]	n.	-	-	-	[m/s]	[Pa]	[Pa]
3363	11RA	360	164	150	150	0	0	ASH6_26M	0.889		0.011	4.4	11.65	0.06
2011	310R	360	164	150	150	0.6	1.95					4.4	11.65	1.17

Pérdida de carga acumulada del segmento	Δp_t	[Pa] : 1.23
Velocidad en la sección inicial del segmento	V_m	[m/s] : 3
Velocidad en la sección final del segmento	V_v	[m/s] : 2.7
Recuperación de presión estática del segmento	Δp_r	[Pa] : 1.03
Pérdida de carga acumulada del segmento, considerando la recuperación	Δp_{tn}	[Pa] : 1.28
Pérdida de carga acumulada neta – total acumulado	$\Sigma \Delta p_{tn}$	[Pa] : 152.24

SEGMENTO 542:

Tipo: Terminal TRM-20

1 ELEMENTO		2 Caudal Q	3 Diam. D/D _e	4 Ancho A	5 Alto B	6 Long. L	7 $\Delta p/L$	8 Fuente Tab	9 Ashrae X	10 Ashrae Y	11 Coeff. C _o	12 Veloc. V	13 P.Dinám P _v	14 Pérdida Δp_r o Δp_e
N. pz.	Cod.	[m³/h]	[mm]	[mm]	[mm]	[m]	[Pa/m]	n.	-	-	-	[m/s]	[Pa]	[Pa]
3364	11RA	45	98	98	98	0	0	ASH6_26	0.125	0.373	1.140	1.7	1.74	4.88
2061	310C	45	98	98	98	0.08	0.5					1.7	1.74	0.04
2063	079C	45	98	98	98	0	0	3.1	1.520		0.046	1.7	1.74	0.07
3393	273C	45	75	0	0	0.02	0	5.1	30.000	1.710	0.050	2.8	4.72	0.24
2064	310C	45	75	0	0	0.3	2.03					2.8	4.72	0.61
3392	023C	45	75	0	0	0.02	0	4.1	30.000	1.710	0.320	2.8	4.72	1.54
2066	05LC	45	98	98	98	0	0	MC4				1.7	1.74	18

Pérdida de carga acumulada del segmento	Δp_t	[Pa] : 7.38
Velocidad en la sección inicial del segmento	V_m	[m/s] : 2.7
Velocidad en la sección final del segmento	V_v	[m/s] : 1.7
Recuperación de presión estática del segmento	Δp_r	[Pa] : 2.65
Pérdida de carga acumulada del segmento, considerando la recuperación	Δp_{tn}	[Pa] : 5.28
Pérdida de carga acumulada neta – total acumulado	$\Sigma \Delta p_{tn}$	[Pa] : 175.52
Desequilibrio del terminal respecto al camino más desfavorable	Δp_{Tmr}	[Pa] : 22

SEGMENTO 541:

Tipo: Tramo

1 ELEMENTO		2 Caudal Q	3 Diam. D/D _e	4 Ancho A	5 Alto B	6 Long. L	7 $\Delta p/L$	8 Fuente Tab	9 Ashrae X	10 Ashrae Y	11 Coeff. C _o	12 Veloc. V	13 P.Dinám P _v	14 Pérdida Δp_r o Δp_e
N. pz.	Cod.	[m³/h]	[mm]	[mm]	[mm]	[m]	[Pa/m]	n.	-	-	-	[m/s]	[Pa]	[Pa]
3365	11RA	315	164	150	150	0	0	ASH6_	0.875		0.012	3.9	9.16	0.05

								26M						
2012	310R	315	164	150	150	0.6	1.52					3.9	9.16	0.91

Pérdida de carga acumulada del segmento	Δp_t	[Pa]	: 0.97
Velocidad en la sección inicial del segmento	V_m	[m/s]	: 2.7
Velocidad en la sección final del segmento	V_v	[m/s]	: 2.3
Recuperación de presión estática del segmento	Δp_r	[Pa]	: 1.2
Pérdida de carga acumulada del segmento, considerando la recuperación	Δp_{tm}	[Pa]	: 0.87
Pérdida de carga acumulada neta – total acumulado	$\Sigma \Delta p_{tm}$	[Pa]	: 153.11

SEGMENTO 540:

Tipo: Terminal TRM-21

1 ELEMENTO		2 Caudal Q	3 Diam. D/D _e	4 Ancho A	5 Alto B	6 Long. L	7 $\Delta p/L$	8 Fuente Tab	9 Ashrae X	10 Ashrae Y	11 Coeff. C _o	12 Veloc. V	13 P.Dinám P _v	14 Pérdida Δp_r o Δp_e
N. pz.	Cod.	[m³/h]	[mm]	[mm]	[mm]	[m]	[Pa/m]	n.	-	-	-	[m/s]	[Pa]	[Pa]
3366	11RA	45	98	98	98	0	0	ASH6_26	0.143	0.426	1.190	1.7	1.74	3.88
2055	310C	45	98	98	98	0.08	0.5					1.7	1.74	0.04
2057	079C	45	98	98	98	0	0	3.1	1.520		0.046	1.7	1.74	0.07
3391	273C	45	75	0	0	0.02	0	5.1	30.000	1.710	0.050	2.8	4.72	0.24
2058	310C	45	75	0	0	0.3	2.03					2.8	4.72	0.61
3390	023C	45	75	0	0	0.02	0	4.1	30.000	1.710	0.320	2.8	4.72	1.54
2060	05LC	45	98	98	98	0	0	MC4				1.7	1.74	18

Pérdida de carga acumulada del segmento	Δp_t	[Pa]	: 6.39
Velocidad en la sección inicial del segmento	V_m	[m/s]	: 2.3
Velocidad en la sección final del segmento	V_v	[m/s]	: 1.7
Recuperación de presión estática del segmento	Δp_r	[Pa]	: 1.44
Pérdida de carga acumulada del segmento, considerando la recuperación	Δp_{tm}	[Pa]	: 5.29
Pérdida de carga acumulada neta – total acumulado	$\Sigma \Delta p_{tm}$	[Pa]	: 176.41
Desequilibrio del terminal respecto al camino más desfavorable	Δp_{Tmr}	[Pa]	: 21.11

SEGMENTO 539:

Tipo: Tramo

1 ELEMENTO		2 Caudal Q	3 Diam. D/D _e	4 Ancho A	5 Alto B	6 Long. L	7 $\Delta p/L$	8 Fuente Tab	9 Ashrae X	10 Ashrae Y	11 Coeff. C _o	12 Veloc. V	13 P.Dinám P _v	14 Pérdida Δp_r o Δp_e
N. pz.	Cod.	[m³/h]	[mm]	[mm]	[mm]	[m]	[Pa/m]	n.	-	-	-	[m/s]	[Pa]	[Pa]
3367	11RA	270	164	150	150	0	0	ASH6_26M	0.857		0.014	3.3	6.56	0.05
2013	310R	270	164	150	150	0.6	1.15					3.3	6.56	0.69

Pérdida de carga acumulada del segmento	Δp_t	[Pa]	: 0.73
Velocidad en la sección inicial del segmento	V_m	[m/s]	: 2.3
Velocidad en la sección final del segmento	V_v	[m/s]	: 2
Recuperación de presión estática del segmento	Δp_r	[Pa]	: 0.78
Pérdida de carga acumulada del segmento, considerando la recuperación	Δp_{tm}	[Pa]	: 0.53
Pérdida de carga acumulada neta – total acumulado	$\Sigma \Delta p_{tm}$	[Pa]	: 153.65

SEGMENTO 538:

Tipo: Terminal TRM-22

1 ELEMENTO	2 Caudal	3 Diam.	4 Ancho	5 Alto	6 Long.	7 $\Delta p/L$	8 Fuente	9 Ashrae	10 Ashrae	11 Coeff.	12 Veloc.	13 P.Dinám	14 Pérdida
---------------	-------------	------------	------------	-----------	------------	-------------------	-------------	-------------	--------------	--------------	--------------	---------------	---------------

1 ELEMENTO		2 Caudal Q	3 Diam. D/D _e	4 Ancho A	5 Alto B	6 Long. L	7 Δp _f /L	8 Fuente Tab	9 Ashrae X	10 Ashrae Y	11 Coeff. C _o	12 Veloc. V	13 P.Dinám P _v	14 Pérdida Δp _f o Δp _c
N. pz.	Cod.	[m³/h]	[mm]	[mm]	[mm]	[m]	[Pa/m]	n.	-	-	-	[m/s]	[Pa]	[Pa]
3368	11RA	45	98	98	98	0	0	ASH6_26	0.167	0.497	1.280	1.7	1.74	3.08
2049	310C	45	98	98	98	0.08	0.5					1.7	1.74	0.04
2051	079C	45	98	98	98	0	0	3.1	1.520		0.046	1.7	1.74	0.07
3389	273C	45	75	0	0	0.02	0	5.1	30.000	1.710	0.050	2.8	4.72	0.24
2052	310C	45	75	0	0	0.3	2.03					2.8	4.72	0.61
3388	023C	45	75	0	0	0.02	0	4.1	30.000	1.710	0.320	2.8	4.72	1.54
2054	05LC	45	98	98	98	0	0	MC4				1.7	1.74	18

Pérdida de carga acumulada del segmento	Δp _t	[Pa]	: 5.59
Velocidad en la sección inicial del segmento	V _m	[m/s]	: 2
Velocidad en la sección final del segmento	V _v	[m/s]	: 1.7
Recuperación de presión estática del segmento	Δp _r	[Pa]	: 0.67
Pérdida de carga acumulada del segmento, considerando la recuperación	Δp _{tn}	[Pa]	: 5.36
Pérdida de carga acumulada neta – total acumulado	ΣΔp _{tn}	[Pa]	: 177.01
Desequilibrio del terminal respecto al camino más desfavorable	Δp _{Tmr}	[Pa]	: 20.52

SEGMENTO 537:

Tipo: Tramo

1 ELEMENTO		2 Caudal Q	3 Diam. D/D _e	4 Ancho A	5 Alto B	6 Long. L	7 Δp _f /L	8 Fuente Tab	9 Ashrae X	10 Ashrae Y	11 Coeff. C _o	12 Veloc. V	13 P.Dinám P _v	14 Pérdida Δp _f o Δp _c
N. pz.	Cod.	[m³/h]	[mm]	[mm]	[mm]	[m]	[Pa/m]	n.	-	-	-	[m/s]	[Pa]	[Pa]
3369	11RA	225	164	150	150	0	0	ASH6_26M	0.833		0.017	2.8	4.72	0.04
2014	310R	225	164	150	150	0.6	0.82					2.8	4.72	0.49

Pérdida de carga acumulada del segmento	Δp _t	[Pa]	: 0.53
Velocidad en la sección inicial del segmento	V _m	[m/s]	: 2
Velocidad en la sección final del segmento	V _v	[m/s]	: 3.1
Recuperación de presión estática del segmento	Δp _r	[Pa]	: -3.38
Pérdida de carga acumulada del segmento, considerando la recuperación	Δp _{tn}	[Pa]	: 4.53
Pérdida de carga acumulada neta – total acumulado	ΣΔp _{tn}	[Pa]	: 158.17

SEGMENTO 536:

Tipo: Terminal TRM-22

1 ELEMENTO		2 Caudal Q	3 Diam. D/D _e	4 Ancho A	5 Alto B	6 Long. L	7 Δp _f /L	8 Fuente Tab	9 Ashrae X	10 Ashrae Y	11 Coeff. C _o	12 Veloc. V	13 P.Dinám P _v	14 Pérdida Δp _f o Δp _c
N. pz.	Cod.	[m³/h]	[mm]	[mm]	[mm]	[m]	[Pa/m]	n.	-	-	-	[m/s]	[Pa]	[Pa]
3370	11RA	45	98	98	98	0	0	ASH6_26	0.200	0.597	1.090	1.7	1.74	6.41
2043	310C	45	98	98	98	0.08	0.5					1.7	1.74	0.04
2045	079C	45	98	98	98	0	0	3.1	1.520		0.046	1.7	1.74	0.07
3387	273C	45	75	0	0	0.02	0	5.1	30.000	1.710	0.050	2.8	4.72	0.24
2046	310C	45	75	0	0	0.3	2.03					2.8	4.72	0.61
3386	023C	45	75	0	0	0.02	0	4.1	30.000	1.710	0.320	2.8	4.72	1.54
2048	05LC	45	98	98	98	0	0	MC4				1.7	1.74	18

Pérdida de carga acumulada del segmento	Δp _t	[Pa]	: 8.91
Velocidad en la sección inicial del segmento	V _m	[m/s]	: 3.1
Velocidad en la sección final del segmento	V _v	[m/s]	: 1.7
Recuperación de presión estática del segmento	Δp _r	[Pa]	: 4.05
Pérdida de carga acumulada del segmento, considerando la recuperación	Δp _{tn}	[Pa]	: 5.21
Pérdida de carga acumulada neta – total acumulado	ΣΔp _{tn}	[Pa]	: 181.39

Desequilibrio del terminal respecto al camino más desfavorable

 Δp_{Tmr} [Pa] : 16.13**SEGMENTO 535:****Tipo:** Tramo

1 ELEMENTO		2 Caudal Q	3 Diam. D/D _e	4 Ancho A	5 Alto B	6 Long. L	7 $\Delta p/L$	8 Fuente Tab	9 Ashrae X	10 Ashrae Y	11 Coeff. C _o	12 Veloc. V	13 P.Dinám P _v	14 Pérdida Δp_r o Δp_e
N. pz.	Cod.	[m³/h]	[mm]	[mm]	[mm]	[m]	[Pa/m]	n.	-	-	-	[m/s]	[Pa]	[Pa]
3371	11RA	180	164	150	150	0	0	ASH6_26M	0.800		0.020	2.2	2.91	0.12
2015	310R	180	164	150	150	0.6	0.55					2.2	2.91	0.33

Pérdida de carga acumulada del segmento

 Δp_t [Pa] : 0.45

Velocidad en la sección inicial del segmento

 V_m [m/s] : 3.1

Velocidad en la sección final del segmento

 V_v [m/s] : 2.5

Recuperación de presión estática del segmento

 Δp_r [Pa] : 2.02

Pérdida de carga acumulada del segmento, considerando la recuperación

 Δp_{tn} [Pa] : -0.35

Pérdida de carga acumulada neta – total acumulado

 $\Sigma \Delta p_{tn}$ [Pa] : 157.82**SEGMENTO 534:****Tipo:** Terminal TRM-24

1 ELEMENTO		2 Caudal Q	3 Diam. D/D _e	4 Ancho A	5 Alto B	6 Long. L	7 $\Delta p/L$	8 Fuente Tab	9 Ashrae X	10 Ashrae Y	11 Coeff. C _o	12 Veloc. V	13 P.Dinám P _v	14 Pérdida Δp_r o Δp_e
N. pz.	Cod.	[m³/h]	[mm]	[mm]	[mm]	[m]	[Pa/m]	n.	-	-	-	[m/s]	[Pa]	[Pa]
3372	11RA	45	98	98	98	0	0	ASH6_26	0.250	0.746	1.130	1.7	1.74	4.25
2037	310C	45	98	98	98	0.08	0.5					1.7	1.74	0.04
2039	079C	45	98	98	98	0	0	3.1	1.520		0.046	1.7	1.74	0.07
3385	273C	45	75	0	0	0.02	0	5.1	30.000	1.710	0.050	2.8	4.72	0.24
2040	310C	45	75	0	0	0.3	2.03					2.8	4.72	0.61
3384	023C	45	75	0	0	0.02	0	4.1	30.000	1.710	0.320	2.8	4.72	1.54
2042	05LC	45	98	98	98	0	0	MC4				1.7	1.74	18

Pérdida de carga acumulada del segmento

 Δp_t [Pa] : 6.76

Velocidad en la sección inicial del segmento

 V_m [m/s] : 2.5

Velocidad en la sección final del segmento

 V_v [m/s] : 1.7

Recuperación de presión estática del segmento

 Δp_r [Pa] : 2.02

Pérdida de carga acumulada del segmento, considerando la recuperación

 Δp_{tn} [Pa] : 5.17

Pérdida de carga acumulada neta – total acumulado

 $\Sigma \Delta p_{tn}$ [Pa] : 181

Desequilibrio del terminal respecto al camino más desfavorable

 Δp_{Tmr} [Pa] : 16.53**SEGMENTO 533:****Tipo:** Tramo

1 ELEMENTO		2 Caudal Q	3 Diam. D/D _e	4 Ancho A	5 Alto B	6 Long. L	7 $\Delta p/L$	8 Fuente Tab	9 Ashrae X	10 Ashrae Y	11 Coeff. C _o	12 Veloc. V	13 P.Dinám P _v	14 Pérdida Δp_r o Δp_e
N. pz.	Cod.	[m³/h]	[mm]	[mm]	[mm]	[m]	[Pa/m]	n.	-	-	-	[m/s]	[Pa]	[Pa]
3373	11RA	135	164	150	150	0	0	ASH6_26M	0.750		0.030	1.7	1.74	0.11
2016	310R	135	164	150	150	0.6	0.32					1.7	1.74	0.19

Pérdida de carga acumulada del segmento

 Δp_t [Pa] : 0.31

Velocidad en la sección inicial del segmento

 V_m [m/s] : 2.5

Velocidad en la sección final del segmento	V_v	[m/s] : 2.5
Recuperación de presión estática del segmento	Δp_r	[Pa] : 0
Pérdida de carga acumulada del segmento, considerando la recuperación	Δp_{tn}	[Pa] : 1.13
Pérdida de carga acumulada neta – total acumulado	$\Sigma \Delta p_{tn}$	[Pa] : 158.95

SEGMENTO 532:**Tipo:** Terminal TRM-25

1 ELEMENTO		2 Caudal Q	3 Diam. D/D _e	4 Ancho A	5 Alto B	6 Long. L	7 $\Delta p/L$	8 Fuente Tab	9 Ashrae X	10 Ashrae Y	11 Coeff. C _o	12 Veloc. V	13 P.Dinám P _v	14 Pérdida Δp_r o Δp_e
N. pz.	Cod.	[m³/h]	[mm]	[mm]	[mm]	[m]	[Pa/m]	n.	-	-	-	[m/s]	[Pa]	[Pa]
3374	11RA	45	98	98	98	0	0	ASH6_26	0.333	0.995	1.110	1.7	1.74	4.16
2031	310C	45	98	98	98	0.08	0.5					1.7	1.74	0.04
2033	079C	45	98	98	98	0	0	3.1	1.520		0.046	1.7	1.74	0.07
3383	273C	45	75	0	0	0.02	0	5.1	30.000	1.710	0.050	2.8	4.72	0.24
2034	310C	45	75	0	0	0.3	2.03					2.8	4.72	0.61
3382	023C	45	75	0	0	0.02	0	4.1	30.000	1.710	0.320	2.8	4.72	1.54
2036	05LC	45	98	98	98	0	0	MC4				1.7	1.74	18

Pérdida de carga acumulada del segmento	Δp_t	[Pa] : 6.66
Velocidad en la sección inicial del segmento	V_m	[m/s] : 2.5
Velocidad en la sección final del segmento	V_v	[m/s] : 1.7
Recuperación de presión estática del segmento	Δp_r	[Pa] : 2.02
Pérdida de carga acumulada del segmento, considerando la recuperación	Δp_{tn}	[Pa] : 5.08
Pérdida de carga acumulada neta – total acumulado	$\Sigma \Delta p_{tn}$	[Pa] : 182.03
Desequilibrio del terminal respecto al camino más desfavorable	Δp_{Tmr}	[Pa] : 15.49

SEGMENTO 531:**Tipo:** Tramo

1 ELEMENTO		2 Caudal Q	3 Diam. D/D _e	4 Ancho A	5 Alto B	6 Long. L	7 $\Delta p/L$	8 Fuente Tab	9 Ashrae X	10 Ashrae Y	11 Coeff. C _o	12 Veloc. V	13 P.Dinám P _v	14 Pérdida Δp_r o Δp_e
N. pz.	Cod.	[m³/h]	[mm]	[mm]	[mm]	[m]	[Pa/m]	n.	-	-	-	[m/s]	[Pa]	[Pa]
3375	11RA	90	164	150	150	0	0	ASH6_26M	0.667		0.047	1.1	0.73	0.18
2017	310R	90	164	150	150	0.6	0.15					1.1	0.73	0.09

Pérdida de carga acumulada del segmento	Δp_t	[Pa] : 0.27
Velocidad en la sección inicial del segmento	V_m	[m/s] : 2.5
Velocidad en la sección final del segmento	V_v	[m/s] : 2.5
Recuperación de presión estática del segmento	Δp_r	[Pa] : 0
Pérdida de carga acumulada del segmento, considerando la recuperación	Δp_{tn}	[Pa] : 0.95
Pérdida de carga acumulada neta – total acumulado	$\Sigma \Delta p_{tn}$	[Pa] : 159.9

SEGMENTO 530:**Tipo:** Terminal TRM-26

1 ELEMENTO		2 Caudal Q	3 Diam. D/D _e	4 Ancho A	5 Alto B	6 Long. L	7 $\Delta p/L$	8 Fuente Tab	9 Ashrae X	10 Ashrae Y	11 Coeff. C _o	12 Veloc. V	13 P.Dinám P _v	14 Pérdida Δp_r o Δp_e
N. pz.	Cod.	[m³/h]	[mm]	[mm]	[mm]	[m]	[Pa/m]	n.	-	-	-	[m/s]	[Pa]	[Pa]
3376	11RA	45	98	98	98	0	0	ASH6_26	0.500	1.490	1.260	1.7	1.74	4.74
2025	310C	45	98	98	98	0.08	0.5					1.7	1.74	0.04
2027	079C	45	98	98	98	0	0	3.1	1.520		0.046	1.7	1.74	0.07

3381	273C	45	75	0	0	0.02	0	5.1	30.000	1.710	0.050	2.8	4.72	0.24
2028	310C	45	75	0	0	0.3	2.03					2.8	4.72	0.61
3380	023C	45	75	0	0	0.02	0	4.1	30.000	1.710	0.320	2.8	4.72	1.54
2030	05LC	45	98	98	98	0	0	MC4				1.7	1.74	18

Pérdida de carga acumulada del segmento	Δp_t	[Pa]	: 7.25
Velocidad en la sección inicial del segmento	V_m	[m/s]	: 2.5
Velocidad en la sección final del segmento	V_v	[m/s]	: 1.7
Recuperación de presión estática del segmento	Δp_r	[Pa]	: 2.02
Pérdida de carga acumulada del segmento, considerando la recuperación	Δp_{tn}	[Pa]	: 5.67
Pérdida de carga acumulada neta – total acumulado	$\Sigma \Delta p_{tn}$	[Pa]	: 183.57
Desequilibrio del terminal respecto al camino más desfavorable	Δp_{Tmr}	[Pa]	: 13.95

SEGMENTO 529:

Tipo: Terminal TRM-27

1 ELEMENTO		2 Caudal Q	3 Diam. D/D _e	4 Ancho A	5 Alto B	6 Long. L	7 $\Delta p/L$	8 Fuente Tab	9 Ashrae X	10 Ashrae Y	11 Coeff. C _o	12 Veloc. V	13 P.Dinám P _v	14 Pérdida Δp_r o Δp_c
N. pz.	Cod.	[m³/h]	[mm]	[mm]	[mm]	[m]	[Pa/m]	n.	-	-	-	[m/s]	[Pa]	[Pa]
3377	11RA	45	164	150	150	0	0	ASH6_26M	0.500		0.090	0.6	0.22	0.34
2018	310R	45	164	150	150	0.6	0.05					0.6	0.22	0.03
2009	11RAT	45	164	150	150	0	0	2_6	1.000	0.915	2.800	0.6	0.22	0
2019	310C	45	98	98	98	0.08	0.5					1.7	1.74	0.04
2021	079C	45	98	98	98	0	0	3.1	1.520		0.046	1.7	1.74	0.07
3379	023C	45	98	98	98	0	0	4.1	30.000	1.040	0.320	1.7	1.74	0.53
2022	310C	45	100	0	0	0.3	0.5					1.6	1.54	0.15
3378	273C	45	98	98	98	0	0	5.1	30.000	1.040	0.050	1.7	1.74	0.08
2024	05LC	45	98	98	98	0	0	MC4				1.7	1.74	18

Pérdida de carga acumulada del segmento	Δp_t	[Pa]	: 1.24
Velocidad en la sección inicial del segmento	V_m	[m/s]	: 2.5
Velocidad en la sección final del segmento	V_v	[m/s]	: 1.7
Recuperación de presión estática del segmento	Δp_r	[Pa]	: 2.02
Pérdida de carga acumulada del segmento, considerando la recuperación	Δp_{tn}	[Pa]	: -0.55
Pérdida de carga acumulada neta – total acumulado	$\Sigma \Delta p_{tn}$	[Pa]	: 177.35
Desequilibrio del terminal respecto al camino más desfavorable	Δp_{Tmr}	[Pa]	: 20.17

SEGMENTO 527:

Tipo: Tramo

1 ELEMENTO		2 Caudal Q	3 Diam. D/D _e	4 Ancho A	5 Alto B	6 Long. L	7 $\Delta p/L$	8 Fuente Tab	9 Ashrae X	10 Ashrae Y	11 Coeff. C _o	12 Veloc. V	13 P.Dinám P _v	14 Pérdida Δp_r o Δp_c
N. pz.	Cod.	[m³/h]	[mm]	[mm]	[mm]	[m]	[Pa/m]	n.	-	-	-	[m/s]	[Pa]	[Pa]
1936	3736	450	299	250	300	0	0	MC4	0.250	0.833	2.630	1.7	1.74	4.58
3319	283R	450	210	250	150	0.36	0	5.1	30.000	2.000	0.050	3.3	6.56	0.33
1935	310R	450	210	250	150	1.05	0.87					3.3	6.56	0.91

Pérdida de carga acumulada del segmento	Δp_t	[Pa]	: 5.82
Velocidad en la sección inicial del segmento	V_m	[m/s]	: 4
Velocidad en la sección final del segmento	V_v	[m/s]	: 3.3
Recuperación de presión estática del segmento	Δp_r	[Pa]	: 3.08
Pérdida de carga acumulada del segmento, considerando la recuperación	Δp_{tn}	[Pa]	: 2.88
Pérdida de carga acumulada neta – total acumulado	$\Sigma \Delta p_{tn}$	[Pa]	: 146.3

SEGMENTO 526:

Tipo: Terminal TRM-46

1 ELEMENTO		2 Caudal Q	3 Diam. D/D _e	4 Ancho A	5 Alto B	6 Long. L	7 $\Delta p/L$	8 Fuente Tab	9 Ashrae X	10 Ashrae Y	11 Coeff. C _o	12 Veloc. V	13 P.Dinám P _v	14 Pérdida Δp_r o Δp_c
N. pz.	Cod.	[m³/h]	[mm]	[mm]	[mm]	[m]	[Pa/m]	n.	-	-	-	[m/s]	[Pa]	[Pa]
3317	11RA	45	98	98	98	0	0	ASH6_26	0.100	0.497	1.070	1.7	1.74	7.18
2001	310C	45	98	98	98	0.08	0.5					1.7	1.74	0.04
2003	079C	45	98	98	98	0	0	3.1	1.520		0.046	1.7	1.74	0.07
3358	273C	45	75	0	0	0.02	0	5.1	30.000	1.710	0.050	2.8	4.72	0.24
2004	310C	45	75	0	0	0.3	2.03					2.8	4.72	0.61
3357	023C	45	75	0	0	0.02	0	4.1	30.000	1.710	0.320	2.8	4.72	1.54
2006	05LC	45	98	98	98	0	0	MC4				1.7	1.74	18

Pérdida de carga acumulada del segmento	Δp_t	[Pa]	: 9.68
Velocidad en la sección inicial del segmento	V_m	[m/s]	: 3.3
Velocidad en la sección final del segmento	V_v	[m/s]	: 1.7
Recuperación de presión estática del segmento	Δp_r	[Pa]	: 4.82
Pérdida de carga acumulada del segmento, considerando la recuperación	Δp_{tm}	[Pa]	: 5.18
Pérdida de carga acumulada neta – total acumulado	$\Sigma \Delta p_{tm}$	[Pa]	: 169.48
Desequilibrio del terminal respecto al camino más desfavorable	Δp_{Tmr}	[Pa]	: 28.04

SEGMENTO 525:

Tipo: Tramo

1 ELEMENTO		2 Caudal Q	3 Diam. D/D _e	4 Ancho A	5 Alto B	6 Long. L	7 $\Delta p/L$	8 Fuente Tab	9 Ashrae X	10 Ashrae Y	11 Coeff. C _o	12 Veloc. V	13 P.Dinám P _v	14 Pérdida Δp_r o Δp_c
N. pz.	Cod.	[m³/h]	[mm]	[mm]	[mm]	[m]	[Pa/m]	n.	-	-	-	[m/s]	[Pa]	[Pa]
3318	11RA	405	210	250	150	0	0	ASH6_26M	0.900		0.010	3	5.42	0.07
3322	283R	405	152	200	100	0.19	0	5.1	30.000	1.880	0.050	5.6	18.88	0.95
1938	310R	405	152	200	100	0.6	3.53					5.6	18.88	2.12

Pérdida de carga acumulada del segmento	Δp_t	[Pa]	: 3.14
Velocidad en la sección inicial del segmento	V_m	[m/s]	: 3.3
Velocidad en la sección final del segmento	V_v	[m/s]	: 5.6
Recuperación de presión estática del segmento	Δp_r	[Pa]	: -12.32
Pérdida de carga acumulada del segmento, considerando la recuperación	Δp_{tm}	[Pa]	: 15.5
Pérdida de carga acumulada neta – total acumulado	$\Sigma \Delta p_{tm}$	[Pa]	: 161.8

SEGMENTO 524:

Tipo: Terminal TRM-46

1 ELEMENTO		2 Caudal Q	3 Diam. D/D _e	4 Ancho A	5 Alto B	6 Long. L	7 $\Delta p/L$	8 Fuente Tab	9 Ashrae X	10 Ashrae Y	11 Coeff. C _o	12 Veloc. V	13 P.Dinám P _v	14 Pérdida Δp_r o Δp_c
N. pz.	Cod.	[m³/h]	[mm]	[mm]	[mm]	[m]	[Pa/m]	n.	-	-	-	[m/s]	[Pa]	[Pa]
3320	11RA	45	98	98	98	0	0	ASH6_26	0.111	0.295	1.010	1.7	1.74	19.28
1995	310C	45	98	98	98	0.08	0.5					1.7	1.74	0.04
1997	079C	45	98	98	98	0	0	3.1	1.520		0.046	1.7	1.74	0.07
3356	273C	45	75	0	0	0.02	0	5.1	30.000	1.710	0.050	2.8	4.72	0.24
1998	310C	45	75	0	0	0.3	2.03					2.8	4.72	0.61
3355	023C	45	75	0	0	0.02	0	4.1	30.000	1.710	0.320	2.8	4.72	1.54
2000	05LC	45	98	98	98	0	0	MC4				1.7	1.74	18

Pérdida de carga acumulada del segmento	Δp_t	[Pa]	: 21.78
---	--------------	------	---------

Velocidad en la sección inicial del segmento	V_m	[m/s]	: 5.6
Velocidad en la sección final del segmento	V_v	[m/s]	: 1.7
Recuperación de presión estática del segmento	Δp_r	[Pa]	: 17.14
Pérdida de carga acumulada del segmento, considerando la recuperación	Δp_{tn}	[Pa]	: 4.92
Pérdida de carga acumulada neta – total acumulado	$\Sigma \Delta p_{tn}$	[Pa]	: 184.72
Desequilibrio del terminal respecto al camino más desfavorable	Δp_{Tmr}	[Pa]	: 12.81

SEGMENTO 523:

Tipo: Tramo

1 ELEMENTO		2 Caudal Q	3 Diam. D/D _e	4 Ancho A	5 Alto B	6 Long. L	7 $\Delta p/L$	8 Fuente Tab	9 Ashrae X	10 Ashrae Y	11 Coeff. C _o	12 Veloc. V	13 P.Dinám P _v	14 Pérdida Δp_r o Δp_c
N. pz.	Cod.	[m³/h]	[mm]	[mm]	[mm]	[m]	[Pa/m]	n.	-	-	-	[m/s]	[Pa]	[Pa]
3321	11RA	360	152	200	100	0	0	ASH6_26M	0.889		0.011	5	15.05	0.21
1939	310R	360	152	200	100	0.6	2.85					5	15.05	1.71

Pérdida de carga acumulada del segmento	Δp_t	[Pa]	: 1.92
Velocidad en la sección inicial del segmento	V_m	[m/s]	: 5.6
Velocidad en la sección final del segmento	V_v	[m/s]	: 5
Recuperación de presión estática del segmento	Δp_r	[Pa]	: 3.83
Pérdida de carga acumulada del segmento, considerando la recuperación	Δp_{tn}	[Pa]	: -2.08
Pérdida de carga acumulada neta – total acumulado	$\Sigma \Delta p_{tn}$	[Pa]	: 159.72

SEGMENTO 522:

Tipo: Terminal TRM-46

1 ELEMENTO		2 Caudal Q	3 Diam. D/D _e	4 Ancho A	5 Alto B	6 Long. L	7 $\Delta p/L$	8 Fuente Tab	9 Ashrae X	10 Ashrae Y	11 Coeff. C _o	12 Veloc. V	13 P.Dinám P _v	14 Pérdida Δp_r o Δp_c
N. pz.	Cod.	[m³/h]	[mm]	[mm]	[mm]	[m]	[Pa/m]	n.	-	-	-	[m/s]	[Pa]	[Pa]
3323	11RA	45	98	98	98	0	0	ASH6_26	0.125	0.332	1.020	1.7	1.74	15.39
1989	310C	45	98	98	98	0.08	0.5					1.7	1.74	0.04
1991	079C	45	98	98	98	0	0	3.1	1.520		0.046	1.7	1.74	0.07
3354	273C	45	75	0	0	0.02	0	5.1	30.000	1.710	0.050	2.8	4.72	0.24
1992	310C	45	75	0	0	0.3	2.03					2.8	4.72	0.61
3353	023C	45	75	0	0	0.02	0	4.1	30.000	1.710	0.320	2.8	4.72	1.54
1994	05LC	45	98	98	98	0	0	MC4				1.7	1.74	18

Pérdida de carga acumulada del segmento	Δp_t	[Pa]	: 17.89
Velocidad en la sección inicial del segmento	V_m	[m/s]	: 5
Velocidad en la sección final del segmento	V_v	[m/s]	: 1.7
Recuperación de presión estática del segmento	Δp_r	[Pa]	: 13.31
Pérdida de carga acumulada del segmento, considerando la recuperación	Δp_{tn}	[Pa]	: 5.03
Pérdida de carga acumulada neta – total acumulado	$\Sigma \Delta p_{tn}$	[Pa]	: 182.75
Desequilibrio del terminal respecto al camino más desfavorable	Δp_{Tmr}	[Pa]	: 14.78

SEGMENTO 521:

Tipo: Tramo

1 ELEMENTO		2 Caudal Q	3 Diam. D/D _e	4 Ancho A	5 Alto B	6 Long. L	7 $\Delta p/L$	8 Fuente Tab	9 Ashrae X	10 Ashrae Y	11 Coeff. C _o	12 Veloc. V	13 P.Dinám P _v	14 Pérdida Δp_r o Δp_c
N. pz.	Cod.	[m³/h]	[mm]	[mm]	[mm]	[m]	[Pa/m]	n.	-	-	-	[m/s]	[Pa]	[Pa]
3324	11RA	315	152	200	100	0	0	ASH6_	0.875		0.012	4.4	11.65	0.19

								26M						
3327	283R	315	133	150	100	0.14	0	5.1	30.000	1.330	0.050	5.8	20.25	1.02
1940	310R	315	133	150	100	0.6	4.32					5.8	20.25	2.59

Pérdida de carga acumulada del segmento	Δp_t	[Pa]	: 3.8
Velocidad en la sección inicial del segmento	V_m	[m/s]	: 5
Velocidad en la sección final del segmento	V_v	[m/s]	: 5.8
Recuperación de presión estática del segmento	Δp_r	[Pa]	: -5.2
Pérdida de carga acumulada del segmento, considerando la recuperación	Δp_{tm}	[Pa]	: 9.24
Pérdida de carga acumulada neta – total acumulado	$\Sigma \Delta p_{tm}$	[Pa]	: 168.96

SEGMENTO 520:

Tipo: Terminal TRM-46

1 ELEMENTO		2 Caudal Q	3 Diam. D/D _e	4 Ancho A	5 Alto B	6 Long. L	7 $\Delta p/L$	8 Fuente Tab	9 Ashrae X	10 Ashrae Y	11 Coeff. C _o	12 Veloc. V	13 P.Dinám P _v	14 Pérdida Δp_r o Δp_c
N. pz.	Cod.	[m³/h]	[mm]	[mm]	[mm]	[m]	[Pa/m]	n.	-	-	-	[m/s]	[Pa]	[Pa]
3325	11RA	45	98	98	98	0	0	ASH6_26	0.143	0.284	1.030	1.7	1.74	21.15
1983	310C	45	98	98	98	0.08	0.5					1.7	1.74	0.04
1985	079C	45	98	98	98	0	0	3.1	1.520		0.046	1.7	1.74	0.07
3352	023C	45	98	98	98	0	0	4.1	30.000	1.040	0.320	1.7	1.74	0.24
1986	310C	45	100	0	0	0.3	0.5					1.6	1.54	0.15
3351	273C	45	98	98	98	0	0	5.1	30.000	1.040	0.050	1.7	1.74	0.08
1988	05LC	45	98	98	98	0	0	MC4				1.7	1.74	18

Pérdida de carga acumulada del segmento	Δp_t	[Pa]	: 21.73
Velocidad en la sección inicial del segmento	V_m	[m/s]	: 5.8
Velocidad en la sección final del segmento	V_v	[m/s]	: 1.7
Recuperación de presión estática del segmento	Δp_r	[Pa]	: 18.51
Pérdida de carga acumulada del segmento, considerando la recuperación	Δp_{tm}	[Pa]	: 3.19
Pérdida de carga acumulada neta – total acumulado	$\Sigma \Delta p_{tm}$	[Pa]	: 190.15
Desequilibrio del terminal respecto al camino más desfavorable	Δp_{Tmr}	[Pa]	: 7.38

SEGMENTO 519:

Tipo: Tramo

1 ELEMENTO		2 Caudal Q	3 Diam. D/D _e	4 Ancho A	5 Alto B	6 Long. L	7 $\Delta p/L$	8 Fuente Tab	9 Ashrae X	10 Ashrae Y	11 Coeff. C _o	12 Veloc. V	13 P.Dinám P _v	14 Pérdida Δp_r o Δp_c
N. pz.	Cod.	[m³/h]	[mm]	[mm]	[mm]	[m]	[Pa/m]	n.	-	-	-	[m/s]	[Pa]	[Pa]
3326	11RA	270	133	150	100	0	0	ASH6_26M	0.857		0.014	5	15.05	0.29
1941	310R	270	133	150	100	0.6	3.23					5	15.05	1.94

Pérdida de carga acumulada del segmento	Δp_t	[Pa]	: 2.23
Velocidad en la sección inicial del segmento	V_m	[m/s]	: 5.8
Velocidad en la sección final del segmento	V_v	[m/s]	: 5
Recuperación de presión estática del segmento	Δp_r	[Pa]	: 5.2
Pérdida de carga acumulada del segmento, considerando la recuperación	Δp_{tm}	[Pa]	: -3.2
Pérdida de carga acumulada neta – total acumulado	$\Sigma \Delta p_{tm}$	[Pa]	: 165.75

SEGMENTO 518:

Tipo: Terminal TRM-46

1	2	3	4	5	6	7	8	9	10	11	12	13	14
---	---	---	---	---	---	---	---	---	----	----	----	----	----

ELEMENTO		Caudal Q	Diam. D/D _e	Ancho A	Alto B	Long. L	$\Delta p/L$	Fuente Tab	Ashrae X	Ashrae Y	Coeff. C _o	Veloc. V	P.Dinám P _v	Pérdida Δp_r o Δp_c
N. pz.	Cod.	[m³/h]	[mm]	[mm]	[mm]	[m]	[Pa/m]	n.	-	-	-	[m/s]	[Pa]	[Pa]
3328	11RA	45	98	98	98	0	0	ASH6_26	0.167	0.332	1.050	1.7	1.74	15.79
1977	310C	45	98	98	98	0.08	0.5					1.7	1.74	0.04
1979	079C	45	98	98	98	0	0	3.1	1.520		0.046	1.7	1.74	0.07
3350	273C	45	75	0	0	0.02	0	5.1	30.000	1.710	0.050	2.8	4.72	0.24
1980	310C	45	75	0	0	0.3	2.03					2.8	4.72	0.61
3349	023C	45	75	0	0	0.02	0	4.1	30.000	1.710	0.320	2.8	4.72	1.54
1982	05LC	45	98	98	98	0	0	MC4				1.7	1.74	18

Pérdida de carga acumulada del segmento	Δp_t	[Pa]	: 18.29
Velocidad en la sección inicial del segmento	V_m	[m/s]	: 5
Velocidad en la sección final del segmento	V_v	[m/s]	: 1.7
Recuperación de presión estática del segmento	Δp_r	[Pa]	: 13.31
Pérdida de carga acumulada del segmento, considerando la recuperación	Δp_{tn}	[Pa]	: 5.42
Pérdida de carga acumulada neta – total acumulado	$\Sigma \Delta p_{tn}$	[Pa]	: 189.18
Desequilibrio del terminal respecto al camino más desfavorable	Δp_{Tmr}	[Pa]	: 8.35

SEGMENTO 517:

Tipo: Tramo

1 ELEMENTO		2 Caudal Q	3 Diam. D/D _e	4 Ancho A	5 Alto B	6 Long. L	7 $\Delta p/L$	8 Fuente Tab	9 Ashrae X	10 Ashrae Y	11 Coeff. C _o	12 Veloc. V	13 P.Dinám P _v	14 Pérdida Δp_r o Δp_c
N. pz.	Cod.	[m³/h]	[mm]	[mm]	[mm]	[m]	[Pa/m]	n.	-	-	-	[m/s]	[Pa]	[Pa]
3329	11RA	225	133	150	100	0	0	ASH6_26M	0.833		0.017	4.2	10.62	0.25
1942	310R	225	133	150	100	0.6	2.3					4.2	10.62	1.38

Pérdida de carga acumulada del segmento	Δp_t	[Pa]	: 1.64
Velocidad en la sección inicial del segmento	V_m	[m/s]	: 5
Velocidad en la sección final del segmento	V_v	[m/s]	: 4.2
Recuperación de presión estática del segmento	Δp_r	[Pa]	: 4.43
Pérdida de carga acumulada del segmento, considerando la recuperación	Δp_{tn}	[Pa]	: -2.96
Pérdida de carga acumulada neta – total acumulado	$\Sigma \Delta p_{tn}$	[Pa]	: 162.79

SEGMENTO 516:

Tipo: Terminal TRM-46

1 ELEMENTO		2 Caudal Q	3 Diam. D/D _e	4 Ancho A	5 Alto B	6 Long. L	7 $\Delta p/L$	8 Fuente Tab	9 Ashrae X	10 Ashrae Y	11 Coeff. C _o	12 Veloc. V	13 P.Dinám P _v	14 Pérdida Δp_r o Δp_c
N. pz.	Cod.	[m³/h]	[mm]	[mm]	[mm]	[m]	[Pa/m]	n.	-	-	-	[m/s]	[Pa]	[Pa]
3330	11RA	45	98	98	98	0	0	ASH6_26	0.200	0.398	1.070	1.7	1.74	11.18
1971	310C	45	98	98	98	0.08	0.5					1.7	1.74	0.04
1973	079C	45	98	98	98	0	0	3.1	1.520		0.046	1.7	1.74	0.07
3348	273C	45	75	0	0	0.02	0	5.1	30.000	1.710	0.050	2.8	4.72	0.24
1974	310C	45	75	0	0	0.3	2.03					2.8	4.72	0.61
3347	023C	45	75	0	0	0.02	0	4.1	30.000	1.710	0.320	2.8	4.72	1.54
1976	05LC	45	98	98	98	0	0	MC4				1.7	1.74	18

Pérdida de carga acumulada del segmento	Δp_t	[Pa]	: 13.69
Velocidad en la sección inicial del segmento	V_m	[m/s]	: 4.2
Velocidad en la sección final del segmento	V_v	[m/s]	: 1.7
Recuperación de presión estática del segmento	Δp_r	[Pa]	: 8.88
Pérdida de carga acumulada del segmento, considerando la recuperación	Δp_{tn}	[Pa]	: 5.42

Pérdida de carga acumulada neta – total acumulado
Desequilibrio del terminal respecto al camino más desfavorable

$\Sigma \Delta p_{tn}$ [Pa] : 186.21
 Δp_{Tmr} [Pa] : 11.31

SEGMENTO 515:

Tipo: Tramo

1 ELEMENTO		2 Caudal Q	3 Diam. D/D _e	4 Ancho A	5 Alto B	6 Long. L	7 $\Delta p/L$	8 Fuente Tab	9 Ashrae X	10 Ashrae Y	11 Coeff. C _o	12 Veloc. V	13 P.Dinám P _v	14 Pérdida Δp_r o Δp_c
N. pz.	Cod.	[m³/h]	[mm]	[mm]	[mm]	[m]	[Pa/m]	n.	-	-	-	[m/s]	[Pa]	[Pa]
3331	11RA	180	133	150	100	0	0	ASH6_26M	0.800		0.020	3.3	6.56	0.21
3334	283R	180	109	100	100	0.14	0	5.1	30.000	1.500	0.050	5	15.05	0.75
1943	310R	180	109	100	100	0.6	4.08					5	15.05	2.45

Pérdida de carga acumulada del segmento
Velocidad en la sección inicial del segmento
Velocidad en la sección final del segmento
Recuperación de presión estática del segmento
Pérdida de carga acumulada del segmento, considerando la recuperación
Pérdida de carga acumulada neta – total acumulado

Δp_t [Pa] : 3.41
 V_m [m/s] : 4.2
 V_v [m/s] : 5
 Δp_r [Pa] : -4.43
 Δp_{tn} [Pa] : 8.01
 $\Sigma \Delta p_{tn}$ [Pa] : 170.8

SEGMENTO 514:

Tipo: Terminal TRM-46

1 ELEMENTO		2 Caudal Q	3 Diam. D/D _e	4 Ancho A	5 Alto B	6 Long. L	7 $\Delta p/L$	8 Fuente Tab	9 Ashrae X	10 Ashrae Y	11 Coeff. C _o	12 Veloc. V	13 P.Dinám P _v	14 Pérdida Δp_r o Δp_c
N. pz.	Cod.	[m³/h]	[mm]	[mm]	[mm]	[m]	[Pa/m]	n.	-	-	-	[m/s]	[Pa]	[Pa]
3332	11RA	45	98	98	98	0	0	ASH6_26	0.250	0.332	1.080	1.7	1.74	16.18
1965	310C	45	98	98	98	0.08	0.5					1.7	1.74	0.04
1967	079C	45	98	98	98	0	0	3.1	1.520		0.046	1.7	1.74	0.07
3346	023C	45	98	98	98	0	0	4.1	30.000	1.040	0.320	1.7	1.74	0.53
1968	310C	45	100	0	0	0.3	0.5					1.6	1.54	0.15
3345	273C	45	98	98	98	0	0	5.1	30.000	1.040	0.050	1.7	1.74	0.08
1970	05LC	45	98	98	98	0	0	MC4				1.7	1.74	18

Pérdida de carga acumulada del segmento
Velocidad en la sección inicial del segmento
Velocidad en la sección final del segmento
Recuperación de presión estática del segmento
Pérdida de carga acumulada del segmento, considerando la recuperación
Pérdida de carga acumulada neta – total acumulado
Desequilibrio del terminal respecto al camino más desfavorable

Δp_t [Pa] : 17.05
 V_m [m/s] : 5
 V_v [m/s] : 1.7
 Δp_r [Pa] : 13.31
 Δp_{tn} [Pa] : 3.66
 $\Sigma \Delta p_{tn}$ [Pa] : 192.46
 Δp_{Tmr} [Pa] : 5.06

SEGMENTO 513:

Tipo: Tramo

1 ELEMENTO		2 Caudal Q	3 Diam. D/D _e	4 Ancho A	5 Alto B	6 Long. L	7 $\Delta p/L$	8 Fuente Tab	9 Ashrae X	10 Ashrae Y	11 Coeff. C _o	12 Veloc. V	13 P.Dinám P _v	14 Pérdida Δp_r o Δp_c
N. pz.	Cod.	[m³/h]	[mm]	[mm]	[mm]	[m]	[Pa/m]	n.	-	-	-	[m/s]	[Pa]	[Pa]
3333	11RA	135	109	100	100	0	0	ASH6_26M	0.750		0.030	3.7	8.24	0.45
1944	310R	135	109	100	100	0.6	2.4					3.7	8.24	1.44

Pérdida de carga acumulada del segmento	Δp_t	[Pa]	: 1.89
Velocidad en la sección inicial del segmento	V_m	[m/s]	: 5
Velocidad en la sección final del segmento	V_v	[m/s]	: 3.7
Recuperación de presión estática del segmento	Δp_r	[Pa]	: 6.81
Pérdida de carga acumulada del segmento, considerando la recuperación	Δp_{tn}	[Pa]	: -4.69
Pérdida de carga acumulada neta – total acumulado	$\Sigma \Delta p_{tn}$	[Pa]	: 166.11

SEGMENTO 512:

Tipo: Terminal TRM-46

1 ELEMENTO		2 Caudal Q	3 Diam. D/D _e	4 Ancho A	5 Alto B	6 Long. L	7 $\Delta p/L$	8 Fuente Tab	9 Ashrae X	10 Ashrae Y	11 Coeff. C _o	12 Veloc. V	13 P.Dinám P _v	14 Pérdida Δp_r o Δp_c
N. pz.	Cod.	[m³/h]	[mm]	[mm]	[mm]	[m]	[Pa/m]	n.	-	-	-	[m/s]	[Pa]	[Pa]
3335	11RA	45	98	98	98	0	0	ASH6_26	0.333	0.442	1.100	1.7	1.74	9.28
1959	310C	45	98	98	98	0.08	0.5					1.7	1.74	0.04
1961	079C	45	98	98	98	0	0	3.1	1.520		0.046	1.7	1.74	0.07
3344	273C	45	75	0	0	0.02	0	5.1	30.000	1.710	0.050	2.8	4.72	0.24
1962	310C	45	75	0	0	0.3	2.03					2.8	4.72	0.61
3343	023C	45	75	0	0	0.02	0	4.1	30.000	1.710	0.320	2.8	4.72	1.54
1964	05LC	45	98	98	98	0	0	MC4				1.7	1.74	18

Pérdida de carga acumulada del segmento	Δp_t	[Pa]	: 11.79
Velocidad en la sección inicial del segmento	V_m	[m/s]	: 3.7
Velocidad en la sección final del segmento	V_v	[m/s]	: 1.7
Recuperación de presión estática del segmento	Δp_r	[Pa]	: 6.5
Pérdida de carga acumulada del segmento, considerando la recuperación	Δp_{tn}	[Pa]	: 5.51
Pérdida de carga acumulada neta – total acumulado	$\Sigma \Delta p_{tn}$	[Pa]	: 189.62
Desequilibrio del terminal respecto al camino más desfavorable	Δp_{Tmr}	[Pa]	: 7.9

SEGMENTO 511:

Tipo: Tramo

1 ELEMENTO		2 Caudal Q	3 Diam. D/D _e	4 Ancho A	5 Alto B	6 Long. L	7 $\Delta p/L$	8 Fuente Tab	9 Ashrae X	10 Ashrae Y	11 Coeff. C _o	12 Veloc. V	13 P.Dinám P _v	14 Pérdida Δp_r o Δp_c
N. pz.	Cod.	[m³/h]	[mm]	[mm]	[mm]	[m]	[Pa/m]	n.	-	-	-	[m/s]	[Pa]	[Pa]
3336	11RA	90	109	100	100	0	0	ASH6_26M	0.667		0.047	2.5	3.76	0.4
1945	310R	90	109	100	100	0.6	1.13					2.5	3.76	0.68

Pérdida de carga acumulada del segmento	Δp_t	[Pa]	: 1.07
Velocidad en la sección inicial del segmento	V_m	[m/s]	: 3.7
Velocidad en la sección final del segmento	V_v	[m/s]	: 2.5
Recuperación de presión estática del segmento	Δp_r	[Pa]	: 4.48
Pérdida de carga acumulada del segmento, considerando la recuperación	Δp_{tn}	[Pa]	: -3.63
Pérdida de carga acumulada neta – total acumulado	$\Sigma \Delta p_{tn}$	[Pa]	: 162.48

SEGMENTO 510:

Tipo: Terminal TRM-46

1 ELEMENTO		2 Caudal Q	3 Diam. D/D _e	4 Ancho A	5 Alto B	6 Long. L	7 $\Delta p/L$	8 Fuente Tab	9 Ashrae X	10 Ashrae Y	11 Coeff. C _o	12 Veloc. V	13 P.Dinám P _v	14 Pérdida Δp_r o Δp_c
N. pz.	Cod.	[m³/h]	[mm]	[mm]	[mm]	[m]	[Pa/m]	n.	-	-	-	[m/s]	[Pa]	[Pa]
3337	11RA	45	98	98	98	0	0	ASH6_	0.500	0.663	1.260	1.7	1.74	4.74

								26						
1953	310C	45	98	98	98	0.08	0.5					1.7	1.74	0.04
1955	079C	45	98	98	98	0	0	3.1	1.520		0.046	1.7	1.74	0.07
3342	273C	45	75	0	0	0.02	0	5.1	30.000	1.710	0.050	2.8	4.72	0.24
1956	310C	45	75	0	0	0.3	2.03					2.8	4.72	0.61
3341	023C	45	75	0	0	0.02	0	4.1	30.000	1.710	0.320	2.8	4.72	1.54
1958	05LC	45	98	98	98	0	0	MC4				1.7	1.74	18

Pérdida de carga acumulada del segmento	Δp_t	[Pa]	: 7.25
Velocidad en la sección inicial del segmento	V_m	[m/s]	: 2.5
Velocidad en la sección final del segmento	V_v	[m/s]	: 1.7
Recuperación de presión estática del segmento	Δp_r	[Pa]	: 2.02
Pérdida de carga acumulada del segmento, considerando la recuperación	Δp_{tm}	[Pa]	: 5.67
Pérdida de carga acumulada neta – total acumulado	$\Sigma \Delta p_{tm}$	[Pa]	: 186.15
Desequilibrio del terminal respecto al camino más desfavorable	Δp_{Tmr}	[Pa]	: 11.37

SEGMENTO 509:

Tipo: Terminal TRM-46

1 ELEMENTO		2 Caudal Q	3 Diam. D/D _e	4 Ancho A	5 Alto B	6 Long. L	7 $\Delta p/L$	8 Fuente Tab	9 Ashrae X	10 Ashrae Y	11 Coeff. C _o	12 Veloc. V	13 P.Dinám P _v	14 Pérdida Δp_r o Δp_e
N. pz.	Cod.	[m³/h]	[mm]	[mm]	[mm]	[m]	[Pa/m]	n.	-	-	-	[m/s]	[Pa]	[Pa]
3338	11RA	45	109	100	100	0	0	ASH6_26M	0.500		0.090	1.2	0.87	0.34
1946	310R	45	109	100	100	0.6	0.32					1.2	0.87	0.19
1937	11RAT	45	109	100	100	0	0	2_6	1.000	0.917	2.800	1.2	0.87	4.63
1947	310C	45	98	98	98	0.08	0.5					1.7	1.74	0.04
1949	079C	45	98	98	98	0	0	3.1	1.520		0.046	1.7	1.74	0.07
3340	023C	45	98	98	98	0	0	4.1	30.000	1.040	0.320	1.7	1.74	0.53
1950	310C	45	100	0	0	0.3	0.5					1.6	1.54	0.15
3339	273C	45	98	98	98	0	0	5.1	30.000	1.040	0.050	1.7	1.74	0.08
1952	05LC	45	98	98	98	0	0	MC4				1.7	1.74	18

Pérdida de carga acumulada del segmento	Δp_t	[Pa]	: 6.04
Velocidad en la sección inicial del segmento	V_m	[m/s]	: 2.5
Velocidad en la sección final del segmento	V_v	[m/s]	: 1.7
Recuperación de presión estática del segmento	Δp_r	[Pa]	: 2.02
Pérdida de carga acumulada del segmento, considerando la recuperación	Δp_{tm}	[Pa]	: 3.93
Pérdida de carga acumulada neta – total acumulado	$\Sigma \Delta p_{tm}$	[Pa]	: 184.41
Desequilibrio del terminal respecto al camino más desfavorable	Δp_{Tmr}	[Pa]	: 13.11

SEGMENTO 547:

Tipo: Tramo

1 ELEMENTO		2 Caudal Q	3 Diam. D/D _e	4 Ancho A	5 Alto B	6 Long. L	7 $\Delta p/L$	8 Fuente Tab	9 Ashrae X	10 Ashrae Y	11 Coeff. C _o	12 Veloc. V	13 P.Dinám P _v	14 Pérdida Δp_r o Δp_e
N. pz.	Cod.	[m³/h]	[mm]	[mm]	[mm]	[m]	[Pa/m]	n.	-	-	-	[m/s]	[Pa]	[Pa]
3316	3736	900	328	300	300	0	0	MC4	0.500		0.286	2.8	4.72	1.35
3399	283R	900	229	300	150	0.36	0	5.1	30.000	2.000	0.050	5.6	18.88	0.93
2079	310R	900	229	300	150	1	2.04					5.6	18.88	2.04

Pérdida de carga acumulada del segmento	Δp_t	[Pa]	: 4.32
Velocidad en la sección inicial del segmento	V_m	[m/s]	: 4
Velocidad en la sección final del segmento	V_v	[m/s]	: 3.6
Recuperación de presión estática del segmento	Δp_r	[Pa]	: 1.83
Pérdida de carga acumulada del segmento, considerando la recuperación	Δp_{tm}	[Pa]	: 7.94
Pérdida de carga acumulada neta – total acumulado	$\Sigma \Delta p_{tm}$	[Pa]	: 151.36

SEGMENTO 567:**Tipo:** Tramo

1 ELEMENTO		2 Caudal Q	3 Diam. D/D _e	4 Ancho A	5 Alto B	6 Long. L	7 $\Delta p/L$	8 Fuente Tab	9 Ashrae X	10 Ashrae Y	11 Coeff. C _o	12 Veloc. V	13 P.Dinám P _v	14 Pérdida Δp_r o Δp_c
N. pz.	Cod.	[m³/h]	[mm]	[mm]	[mm]	[m]	[Pa/m]	n.	-	-	-	[m/s]	[Pa]	[Pa]
3398	3733D	450	210	250	150	0	0	ASH6_33			0.279	3.3	6.56	2.14
2156	310R	450	210	250	150	1.05	0.87					3.3	6.56	0.91

Pérdida de carga acumulada del segmento

 Δp_t [Pa] : 3.05

Velocidad en la sección inicial del segmento

 V_m [m/s] : 3.6

Velocidad en la sección final del segmento

 V_v [m/s] : 3.3

Recuperación de presión estática del segmento

 Δp_r [Pa] : 1.25

Pérdida de carga acumulada del segmento, considerando la recuperación

 Δp_{tm} [Pa] : 2.4

Pérdida de carga acumulada neta – total acumulado

 $\Sigma \Delta p_{tm}$ [Pa] : 153.76**SEGMENTO 585:****Tipo:** Terminal TRM-30

1 ELEMENTO		2 Caudal Q	3 Diam. D/D _e	4 Ancho A	5 Alto B	6 Long. L	7 $\Delta p/L$	8 Fuente Tab	9 Ashrae X	10 Ashrae Y	11 Coeff. C _o	12 Veloc. V	13 P.Dinám P _v	14 Pérdida Δp_r o Δp_c
N. pz.	Cod.	[m³/h]	[mm]	[mm]	[mm]	[m]	[Pa/m]	n.	-	-	-	[m/s]	[Pa]	[Pa]
3437	11RA	45	98	98	98	0	0	ASH6_26	0.100	0.497	1.070	1.7	1.74	7.18
2222	310C	45	98	98	98	0.08	0.5					1.7	1.74	0.04
2224	079C	45	98	98	98	0	0	3.1	1.520		0.046	1.7	1.74	0.07
3477	273C	45	75	0	0	0.02	0	5.1	30.000	1.710	0.050	2.8	4.72	0.24
2225	310C	45	75	0	0	0.3	2.03					2.8	4.72	0.61
3476	023C	45	75	0	0	0.02	0	4.1	30.000	1.710	0.320	2.8	4.72	1.54
2227	05LC	45	98	98	98	0	0	MC4				1.7	1.74	18

Pérdida de carga acumulada del segmento

 Δp_t [Pa] : 9.68

Velocidad en la sección inicial del segmento

 V_m [m/s] : 3.3

Velocidad en la sección final del segmento

 V_v [m/s] : 1.7

Recuperación de presión estática del segmento

 Δp_r [Pa] : 4.82

Pérdida de carga acumulada del segmento, considerando la recuperación

 Δp_{tm} [Pa] : 5.18

Pérdida de carga acumulada neta – total acumulado

 $\Sigma \Delta p_{tm}$ [Pa] : 176.93

Desequilibrio del terminal respecto al camino más desfavorable

 Δp_{Tmr} [Pa] : 20.59**SEGMENTO 584:****Tipo:** Tramo

1 ELEMENTO		2 Caudal Q	3 Diam. D/D _e	4 Ancho A	5 Alto B	6 Long. L	7 $\Delta p/L$	8 Fuente Tab	9 Ashrae X	10 Ashrae Y	11 Coeff. C _o	12 Veloc. V	13 P.Dinám P _v	14 Pérdida Δp_r o Δp_c
N. pz.	Cod.	[m³/h]	[mm]	[mm]	[mm]	[m]	[Pa/m]	n.	-	-	-	[m/s]	[Pa]	[Pa]
3438	11RA	405	210	250	150	0	0	ASH6_26M	0.900		0.010	3	5.42	0.07
3441	283R	405	152	200	100	0.19	0	5.1	30.000	1.880	0.050	5.6	18.88	0.95
2159	310R	405	152	200	100	0.6	3.53					5.6	18.88	2.12

Pérdida de carga acumulada del segmento

 Δp_t [Pa] : 3.14

Velocidad en la sección inicial del segmento

 V_m [m/s] : 3.3

Velocidad en la sección final del segmento

 V_v [m/s] : 5.6

Recuperación de presión estática del segmento	Δp_r	[Pa] : -12.32
Pérdida de carga acumulada del segmento, considerando la recuperación	Δp_{tn}	[Pa] : 15.5
Pérdida de carga acumulada neta – total acumulado	$\Sigma \Delta p_{tn}$	[Pa] : 169.26

SEGMENTO 583:

Tipo: Terminal TRM-31

1 ELEMENTO		2 Caudal Q	3 Diam. D/D _e	4 Ancho A	5 Alto B	6 Long. L	7 $\Delta p/L$	8 Fuente Tab	9 Ashrae X	10 Ashrae Y	11 Coeff. C _o	12 Veloc. V	13 P.Dinám P _v	14 Pérdida Δp_r o Δp_c
N. pz.	Cod.	[m³/h]	[mm]	[mm]	[mm]	[m]	[Pa/m]	n.	-	-	-	[m/s]	[Pa]	[Pa]
3439	11RA	45	98	98	98	0	0	ASH6_26	0.111	0.295	1.010	1.7	1.74	19.28
2216	310C	45	98	98	98	0.08	0.5					1.7	1.74	0.04
2218	079C	45	98	98	98	0	0	3.1	1.520		0.046	1.7	1.74	0.07
3475	023C	45	98	98	98	0	0	4.1	30.000	1.040	0.320	1.7	1.74	0.24
2219	310C	45	100	0	0	0.3	0.5					1.6	1.54	0.15
3474	273C	45	98	98	98	0	0	5.1	30.000	1.040	0.050	1.7	1.74	0.08
2221	05LC	45	98	98	98	0	0	MC4				1.7	1.74	18

Pérdida de carga acumulada del segmento	Δp_t	[Pa] : 19.86
Velocidad en la sección inicial del segmento	V_m	[m/s] : 5.6
Velocidad en la sección final del segmento	V_v	[m/s] : 1.7
Recuperación de presión estática del segmento	Δp_r	[Pa] : 17.14
Pérdida de carga acumulada del segmento, considerando la recuperación	Δp_{tn}	[Pa] : 2.76
Pérdida de carga acumulada neta – total acumulado	$\Sigma \Delta p_{tn}$	[Pa] : 190.01
Desequilibrio del terminal respecto al camino más desfavorable	Δp_{Tmr}	[Pa] : 7.51

SEGMENTO 582:

Tipo: Tramo

1 ELEMENTO		2 Caudal Q	3 Diam. D/D _e	4 Ancho A	5 Alto B	6 Long. L	7 $\Delta p/L$	8 Fuente Tab	9 Ashrae X	10 Ashrae Y	11 Coeff. C _o	12 Veloc. V	13 P.Dinám P _v	14 Pérdida Δp_r o Δp_c
N. pz.	Cod.	[m³/h]	[mm]	[mm]	[mm]	[m]	[Pa/m]	n.	-	-	-	[m/s]	[Pa]	[Pa]
3440	11RA	360	152	200	100	0	0	ASH6_26M	0.889		0.011	5	15.05	0.21
2160	310R	360	152	200	100	0.6	2.85					5	15.05	1.71

Pérdida de carga acumulada del segmento	Δp_t	[Pa] : 1.92
Velocidad en la sección inicial del segmento	V_m	[m/s] : 5.6
Velocidad en la sección final del segmento	V_v	[m/s] : 5
Recuperación de presión estática del segmento	Δp_r	[Pa] : 3.83
Pérdida de carga acumulada del segmento, considerando la recuperación	Δp_{tn}	[Pa] : -2.08
Pérdida de carga acumulada neta – total acumulado	$\Sigma \Delta p_{tn}$	[Pa] : 167.18

SEGMENTO 581:

Tipo: Terminal TRM-32

1 ELEMENTO		2 Caudal Q	3 Diam. D/D _e	4 Ancho A	5 Alto B	6 Long. L	7 $\Delta p/L$	8 Fuente Tab	9 Ashrae X	10 Ashrae Y	11 Coeff. C _o	12 Veloc. V	13 P.Dinám P _v	14 Pérdida Δp_r o Δp_c
N. pz.	Cod.	[m³/h]	[mm]	[mm]	[mm]	[m]	[Pa/m]	n.	-	-	-	[m/s]	[Pa]	[Pa]
3442	11RA	45	98	98	98	0	0	ASH6_26	0.125	0.332	1.020	1.7	1.74	15.39
2210	310C	45	98	98	98	0.08	0.5					1.7	1.74	0.04
2212	079C	45	98	98	98	0	0	3.1	1.520		0.046	1.7	1.74	0.07
3473	273C	45	75	0	0	0.02	0	5.1	30.000	1.710	0.050	2.8	4.72	0.24
2213	310C	45	75	0	0	0.3	2.03					2.8	4.72	0.61

3472	023C	45	75	0	0	0.02	0	4.1	30.000	1.710	0.320	2.8	4.72	1.54
2215	05LC	45	98	98	98	0	0	MC4				1.7	1.74	18

Pérdida de carga acumulada del segmento	Δp_t	[Pa]	: 17.89
Velocidad en la sección inicial del segmento	V_m	[m/s]	: 5
Velocidad en la sección final del segmento	V_v	[m/s]	: 1.7
Recuperación de presión estática del segmento	Δp_r	[Pa]	: 13.31
Pérdida de carga acumulada del segmento, considerando la recuperación	Δp_{tm}	[Pa]	: 5.03
Pérdida de carga acumulada neta – total acumulado	$\Sigma \Delta p_{tm}$	[Pa]	: 190.2
Desequilibrio del terminal respecto al camino más desfavorable	Δp_{Tmr}	[Pa]	: 7.32

SEGMENTO 580:

Tipo: Tramo

1 ELEMENTO		2 Caudal Q	3 Diam. D/D _e	4 Ancho A	5 Alto B	6 Long. L	7 $\Delta p/L$	8 Fuente Tab	9 Ashrae X	10 Ashrae Y	11 Coeff. C _o	12 Veloc. V	13 P.Dinám P _v	14 Pérdida Δp_r o Δp_e
N. pz.	Cod.	[m³/h]	[mm]	[mm]	[mm]	[m]	[Pa/m]	n.	-	-	-	[m/s]	[Pa]	[Pa]
3443	11RA	315	152	200	100	0	0	ASH6_26M	0.875		0.012	4.4	11.65	0.19
2161	310R	315	152	200	100	0.6	2.22					4.4	11.65	1.33

Pérdida de carga acumulada del segmento	Δp_t	[Pa]	: 1.52
Velocidad en la sección inicial del segmento	V_m	[m/s]	: 5
Velocidad en la sección final del segmento	V_v	[m/s]	: 4.4
Recuperación de presión estática del segmento	Δp_r	[Pa]	: 3.4
Pérdida de carga acumulada del segmento, considerando la recuperación	Δp_{tm}	[Pa]	: -2.01
Pérdida de carga acumulada neta – total acumulado	$\Sigma \Delta p_{tm}$	[Pa]	: 165.16

SEGMENTO 579:

Tipo: Terminal TRM-33

1 ELEMENTO		2 Caudal Q	3 Diam. D/D _e	4 Ancho A	5 Alto B	6 Long. L	7 $\Delta p/L$	8 Fuente Tab	9 Ashrae X	10 Ashrae Y	11 Coeff. C _o	12 Veloc. V	13 P.Dinám P _v	14 Pérdida Δp_r o Δp_e
N. pz.	Cod.	[m³/h]	[mm]	[mm]	[mm]	[m]	[Pa/m]	n.	-	-	-	[m/s]	[Pa]	[Pa]
3444	11RA	45	98	98	98	0	0	ASH6_26	0.143	0.379	1.040	1.7	1.74	11.93
2204	310C	45	98	98	98	0.08	0.5					1.7	1.74	0.04
2206	079C	45	98	98	98	0	0	3.1	1.520		0.046	1.7	1.74	0.07
3471	273C	45	75	0	0	0.02	0	5.1	30.000	1.710	0.050	2.8	4.72	0.24
2207	310C	45	75	0	0	0.3	2.03					2.8	4.72	0.61
3470	023C	45	75	0	0	0.02	0	4.1	30.000	1.710	0.320	2.8	4.72	1.54
2209	05LC	45	98	98	98	0	0	MC4				1.7	1.74	18

Pérdida de carga acumulada del segmento	Δp_t	[Pa]	: 14.43
Velocidad en la sección inicial del segmento	V_m	[m/s]	: 4.4
Velocidad en la sección final del segmento	V_v	[m/s]	: 1.7
Recuperación de presión estática del segmento	Δp_r	[Pa]	: 9.91
Pérdida de carga acumulada del segmento, considerando la recuperación	Δp_{tm}	[Pa]	: 5.09
Pérdida de carga acumulada neta – total acumulado	$\Sigma \Delta p_{tm}$	[Pa]	: 188.26
Desequilibrio del terminal respecto al camino más desfavorable	Δp_{Tmr}	[Pa]	: 9.27

SEGMENTO 578:

Tipo: Tramo

1	2	3	4	5	6	7	8	9	10	11	12	13	14
---	---	---	---	---	---	---	---	---	----	----	----	----	----

ELEMENTO		Caudal Q	Diam. D/D _e	Ancho A	Alto B	Long. L	Δp/L	Fuente Tab	Ashrae X	Ashrae Y	Coeff. C _o	Veloc. V	P.Dinám P _v	Pérdida Δp _r o Δp _c
N. pz.	Cod.	[m³/h]	[mm]	[mm]	[mm]	[m]	[Pa/m]	n.	-	-	-	[m/s]	[Pa]	[Pa]
3445	11RA	270	152	200	100	0	0	ASH6_26M	0.857		0.014	3.7	8.24	0.16
2162	310R	270	152	200	100	0.6	1.67					3.7	8.24	1

Pérdida de carga acumulada del segmento	Δp _t	[Pa]	: 1.16
Velocidad en la sección inicial del segmento	V _m	[m/s]	: 4.4
Velocidad en la sección final del segmento	V _v	[m/s]	: 3.7
Recuperación de presión estática del segmento	Δp _r	[Pa]	: 3.41
Pérdida de carga acumulada del segmento, considerando la recuperación	Δp _{tn}	[Pa]	: -1.89
Pérdida de carga acumulada neta – total acumulado	ΣΔp _{tn}	[Pa]	: 163.27

SEGMENTO 577:

Tipo: Terminal TRM-34

1 ELEMENTO		2 Caudal Q	3 Diam. D/D _e	4 Ancho A	5 Alto B	6 Long. L	7 Δp/L	8 Fuente Tab	9 Ashrae X	10 Ashrae Y	11 Coeff. C _o	12 Veloc. V	13 P.Dinám P _v	14 Pérdida Δp _r o Δp _c
N. pz.	Cod.	[m³/h]	[mm]	[mm]	[mm]	[m]	[Pa/m]	n.	-	-	-	[m/s]	[Pa]	[Pa]
3446	11RA	45	98	98	98	0	0	ASH6_26	0.167	0.442	1.060	1.7	1.74	9
2198	310C	45	98	98	98	0.08	0.5					1.7	1.74	0.04
2200	079C	45	98	98	98	0	0	3.1	1.520		0.046	1.7	1.74	0.07
3469	273C	45	75	0	0	0.02	0	5.1	30.000	1.710	0.050	2.8	4.72	0.24
2201	310C	45	75	0	0	0.3	2.03					2.8	4.72	0.61
3468	023C	45	75	0	0	0.02	0	4.1	30.000	1.710	0.320	2.8	4.72	1.54
2203	05LC	45	98	98	98	0	0	MC4				1.7	1.74	18

Pérdida de carga acumulada del segmento	Δp _t	[Pa]	: 11.51
Velocidad en la sección inicial del segmento	V _m	[m/s]	: 3.7
Velocidad en la sección final del segmento	V _v	[m/s]	: 1.7
Recuperación de presión estática del segmento	Δp _r	[Pa]	: 6.5
Pérdida de carga acumulada del segmento, considerando la recuperación	Δp _{tn}	[Pa]	: 5.22
Pérdida de carga acumulada neta – total acumulado	ΣΔp _{tn}	[Pa]	: 186.5
Desequilibrio del terminal respecto al camino más desfavorable	Δp _{Tmr}	[Pa]	: 11.03

SEGMENTO 576:

Tipo: Tramo

1 ELEMENTO		2 Caudal Q	3 Diam. D/D _e	4 Ancho A	5 Alto B	6 Long. L	7 Δp/L	8 Fuente Tab	9 Ashrae X	10 Ashrae Y	11 Coeff. C _o	12 Veloc. V	13 P.Dinám P _v	14 Pérdida Δp _r o Δp _c
N. pz.	Cod.	[m³/h]	[mm]	[mm]	[mm]	[m]	[Pa/m]	n.	-	-	-	[m/s]	[Pa]	[Pa]
3447	11RA	225	152	200	100	0	0	ASH6_26M	0.833		0.017	3.1	5.79	0.14
3450	283R	225	133	150	100	0.14	0	5.1	30.000	1.330	0.050	4.2	10.62	0.52
2163	310R	225	133	150	100	0.6	2.3					4.2	10.62	1.38

Pérdida de carga acumulada del segmento	Δp _t	[Pa]	: 2.05
Velocidad en la sección inicial del segmento	V _m	[m/s]	: 3.7
Velocidad en la sección final del segmento	V _v	[m/s]	: 4.2
Recuperación de presión estática del segmento	Δp _r	[Pa]	: -2.38
Pérdida de carga acumulada del segmento, considerando la recuperación	Δp _{tn}	[Pa]	: 4.03
Pérdida de carga acumulada neta – total acumulado	ΣΔp _{tn}	[Pa]	: 167.31

SEGMENTO 575:**Tipo:** Terminal TRM-39

1 ELEMENTO		2 Caudal Q	3 Diam. D/D _e	4 Ancho A	5 Alto B	6 Long. L	7 $\Delta p/L$	8 Fuente Tab	9 Ashrae X	10 Ashrae Y	11 Coeff. C _o	12 Veloc. V	13 P.Dinám P _v	14 Pérdida Δp_r o Δp_e
N. pz.	Cod.	[m³/h]	[mm]	[mm]	[mm]	[m]	[Pa/m]	n.	-	-	-	[m/s]	[Pa]	[Pa]
3448	11RA	45	98	98	98	0	0	ASH6_26	0.200	0.398	1.070	1.7	1.74	11.18
2192	310C	45	98	98	98	0.08	0.5					1.7	1.74	0.04
2194	079C	45	98	98	98	0	0	3.1	1.520		0.046	1.7	1.74	0.07
3467	023C	45	98	98	98	0	0	4.1	30.000	1.040	0.320	1.7	1.74	0.24
2195	310C	45	100	0	0	0.3	0.5					1.6	1.54	0.15
3466	273C	45	98	98	98	0	0	5.1	30.000	1.040	0.050	1.7	1.74	0.08
2197	05LC	45	98	98	98	0	0	MC4				1.7	1.74	18

Pérdida de carga acumulada del segmento

 Δp_t [Pa] : 11.77

Velocidad en la sección inicial del segmento

 V_m [m/s] : 4.2

Velocidad en la sección final del segmento

 V_v [m/s] : 1.7

Recuperación de presión estática del segmento

 Δp_r [Pa] : 8.88

Pérdida de carga acumulada del segmento, considerando la recuperación

 Δp_{tn} [Pa] : 3.26

Pérdida de carga acumulada neta – total acumulado

 $\Sigma \Delta p_{tn}$ [Pa] : 188.56

Desequilibrio del terminal respecto al camino más desfavorable

 Δp_{Tmr} [Pa] : 8.96**SEGMENTO 574:****Tipo:** Tramo

1 ELEMENTO		2 Caudal Q	3 Diam. D/D _e	4 Ancho A	5 Alto B	6 Long. L	7 $\Delta p/L$	8 Fuente Tab	9 Ashrae X	10 Ashrae Y	11 Coeff. C _o	12 Veloc. V	13 P.Dinám P _v	14 Pérdida Δp_r o Δp_e
N. pz.	Cod.	[m³/h]	[mm]	[mm]	[mm]	[m]	[Pa/m]	n.	-	-	-	[m/s]	[Pa]	[Pa]
3449	11RA	180	133	150	100	0	0	ASH6_26M	0.800		0.020	3.3	6.56	0.21
2164	310R	180	133	150	100	0.6	1.52					3.3	6.56	0.91

Pérdida de carga acumulada del segmento

 Δp_t [Pa] : 1.12

Velocidad en la sección inicial del segmento

 V_m [m/s] : 4.2

Velocidad en la sección final del segmento

 V_v [m/s] : 3.3

Recuperación de presión estática del segmento

 Δp_r [Pa] : 4.06

Pérdida de carga acumulada del segmento, considerando la recuperación

 Δp_{tn} [Pa] : -2.64

Pérdida de carga acumulada neta – total acumulado

 $\Sigma \Delta p_{tn}$ [Pa] : 164.67**SEGMENTO 573:****Tipo:** Terminal TRM-39

1 ELEMENTO		2 Caudal Q	3 Diam. D/D _e	4 Ancho A	5 Alto B	6 Long. L	7 $\Delta p/L$	8 Fuente Tab	9 Ashrae X	10 Ashrae Y	11 Coeff. C _o	12 Veloc. V	13 P.Dinám P _v	14 Pérdida Δp_r o Δp_e
N. pz.	Cod.	[m³/h]	[mm]	[mm]	[mm]	[m]	[Pa/m]	n.	-	-	-	[m/s]	[Pa]	[Pa]
3451	11RA	45	98	98	98	0	0	ASH6_26	0.250	0.497	1.080	1.7	1.74	7.24
2186	310C	45	98	98	98	0.08	0.5					1.7	1.74	0.04
2188	079C	45	98	98	98	0	0	3.1	1.520		0.046	1.7	1.74	0.07
3465	273C	45	75	0	0	0.02	0	5.1	30.000	1.710	0.050	2.8	4.72	0.24
2189	310C	45	75	0	0	0.3	2.03					2.8	4.72	0.61
3464	023C	45	75	0	0	0.02	0	4.1	30.000	1.710	0.320	2.8	4.72	1.54
2191	05LC	45	98	98	98	0	0	MC4				1.7	1.74	18

Pérdida de carga acumulada del segmento

 Δp_t [Pa] : 9.74

Velocidad en la sección inicial del segmento	V_m	[m/s]	: 3.3
Velocidad en la sección final del segmento	V_v	[m/s]	: 1.7
Recuperación de presión estática del segmento	Δp_r	[Pa]	: 4.82
Pérdida de carga acumulada del segmento, considerando la recuperación	Δp_{tn}	[Pa]	: 5.24
Pérdida de carga acumulada neta – total acumulado	$\Sigma \Delta p_{tn}$	[Pa]	: 187.9
Desequilibrio del terminal respecto al camino más desfavorable	Δp_{Tmr}	[Pa]	: 9.62

SEGMENTO 572:

Tipo: Tramo

1 ELEMENTO		2 Caudal Q	3 Diam. D/D _e	4 Ancho A	5 Alto B	6 Long. L	7 $\Delta p/L$	8 Fuente Tab	9 Ashrae X	10 Ashrae Y	11 Coeff. C _o	12 Veloc. V	13 P.Dinám P _v	14 Pérdida Δp_r o Δp_e
N. pz.	Cod.	[m³/h]	[mm]	[mm]	[mm]	[m]	[Pa/m]	n.	-	-	-	[m/s]	[Pa]	[Pa]
3452	11RA	135	133	150	100	0	0	ASH6_26M	0.750		0.030	2.5	3.76	0.2
3455	283R	135	109	100	100	0.14	0	5.1	30.000	1.500	0.050	3.7	8.24	0.42
2165	310R	135	109	100	100	0.6	2.4					3.7	8.24	1.44

Pérdida de carga acumulada del segmento	Δp_t	[Pa]	: 2.07
Velocidad en la sección inicial del segmento	V_m	[m/s]	: 3.3
Velocidad en la sección final del segmento	V_v	[m/s]	: 3.7
Recuperación de presión estática del segmento	Δp_r	[Pa]	: -1.69
Pérdida de carga acumulada del segmento, considerando la recuperación	Δp_{tn}	[Pa]	: 3.84
Pérdida de carga acumulada neta – total acumulado	$\Sigma \Delta p_{tn}$	[Pa]	: 168.51

SEGMENTO 571:

Tipo: Terminal TRM-39

1 ELEMENTO		2 Caudal Q	3 Diam. D/D _e	4 Ancho A	5 Alto B	6 Long. L	7 $\Delta p/L$	8 Fuente Tab	9 Ashrae X	10 Ashrae Y	11 Coeff. C _o	12 Veloc. V	13 P.Dinám P _v	14 Pérdida Δp_r o Δp_e
N. pz.	Cod.	[m³/h]	[mm]	[mm]	[mm]	[m]	[Pa/m]	n.	-	-	-	[m/s]	[Pa]	[Pa]
3453	11RA	45	98	98	98	0	0	ASH6_26	0.333	0.442	1.100	1.7	1.74	9.28
2180	310C	45	98	98	98	0.08	0.5					1.7	1.74	0.04
2182	079C	45	98	98	98	0	0	3.1	1.520		0.046	1.7	1.74	0.07
3463	023C	45	98	98	98	0	0	4.1	30.000	1.040	0.320	1.7	1.74	0.24
2183	310C	45	100	0	0	0.3	0.5					1.6	1.54	0.15
3462	273C	45	98	98	98	0	0	5.1	30.000	1.040	0.050	1.7	1.74	0.08
2185	05LC	45	98	98	98	0	0	MC4				1.7	1.74	18

Pérdida de carga acumulada del segmento	Δp_t	[Pa]	: 9.87
Velocidad en la sección inicial del segmento	V_m	[m/s]	: 3.7
Velocidad en la sección final del segmento	V_v	[m/s]	: 1.7
Recuperación de presión estática del segmento	Δp_r	[Pa]	: 6.5
Pérdida de carga acumulada del segmento, considerando la recuperación	Δp_{tn}	[Pa]	: 3.35
Pérdida de carga acumulada neta – total acumulado	$\Sigma \Delta p_{tn}$	[Pa]	: 189.85
Desequilibrio del terminal respecto al camino más desfavorable	Δp_{Tmr}	[Pa]	: 7.67

SEGMENTO 570:

Tipo: Tramo

1 ELEMENTO		2 Caudal Q	3 Diam. D/D _e	4 Ancho A	5 Alto B	6 Long. L	7 $\Delta p/L$	8 Fuente Tab	9 Ashrae X	10 Ashrae Y	11 Coeff. C _o	12 Veloc. V	13 P.Dinám P _v	14 Pérdida Δp_r o Δp_e
N. pz.	Cod.	[m³/h]	[mm]	[mm]	[mm]	[m]	[Pa/m]	n.	-	-	-	[m/s]	[Pa]	[Pa]

3454	11RA	90	109	100	100	0	0	ASH6_26M	0.667		0.047	2.5	3.76	0.4
2166	310R	90	109	100	100	0.6	1.13					2.5	3.76	0.68

Pérdida de carga acumulada del segmento	Δp_t	[Pa]	: 1.07
Velocidad en la sección inicial del segmento	V_m	[m/s]	: 3.7
Velocidad en la sección final del segmento	V_v	[m/s]	: 2.5
Recuperación de presión estática del segmento	Δp_r	[Pa]	: 4.48
Pérdida de carga acumulada del segmento, considerando la recuperación	Δp_{tm}	[Pa]	: -3.63
Pérdida de carga acumulada neta – total acumulado	$\Sigma \Delta p_{tm}$	[Pa]	: 164.88

SEGMENTO 569:

Tipo: Terminal TRM-42

1 ELEMENTO		2 Caudal Q	3 Diam. D/D _e	4 Ancho A	5 Alto B	6 Long. L	7 $\Delta p/L$	8 Fuente Tab	9 Ashrae X	10 Ashrae Y	11 Coeff. C _o	12 Veloc. V	13 P.Dinám P _v	14 Pérdida Δp_r o Δp_c
N. pz.	Cod.	[m³/h]	[mm]	[mm]	[mm]	[m]	[Pa/m]	n.	-	-	-	[m/s]	[Pa]	[Pa]
3456	11RA	45	98	98	98	0	0	ASH6_26	0.500	0.663	1.260	1.7	1.74	4.74
2174	310C	45	98	98	98	0.08	0.5					1.7	1.74	0.04
2176	079C	45	98	98	98	0	0	3.1	1.520		0.046	1.7	1.74	0.07
3461	273C	45	75	0	0	0.02	0	5.1	30.000	1.710	0.050	2.8	4.72	0.24
2177	310C	45	75	0	0	0.3	2.03					2.8	4.72	0.61
3460	023C	45	75	0	0	0.02	0	4.1	30.000	1.710	0.320	2.8	4.72	1.54
2179	05LC	45	98	98	98	0	0	MC4				1.7	1.74	18

Pérdida de carga acumulada del segmento	Δp_t	[Pa]	: 7.25
Velocidad en la sección inicial del segmento	V_m	[m/s]	: 2.5
Velocidad en la sección final del segmento	V_v	[m/s]	: 1.7
Recuperación de presión estática del segmento	Δp_r	[Pa]	: 2.02
Pérdida de carga acumulada del segmento, considerando la recuperación	Δp_{tm}	[Pa]	: 5.67
Pérdida de carga acumulada neta – total acumulado	$\Sigma \Delta p_{tm}$	[Pa]	: 188.54
Desequilibrio del terminal respecto al camino más desfavorable	Δp_{Tmr}	[Pa]	: 8.98

SEGMENTO 568:

Tipo: Terminal TRM-41

1 ELEMENTO		2 Caudal Q	3 Diam. D/D _e	4 Ancho A	5 Alto B	6 Long. L	7 $\Delta p/L$	8 Fuente Tab	9 Ashrae X	10 Ashrae Y	11 Coeff. C _o	12 Veloc. V	13 P.Dinám P _v	14 Pérdida Δp_r o Δp_c
N. pz.	Cod.	[m³/h]	[mm]	[mm]	[mm]	[m]	[Pa/m]	n.	-	-	-	[m/s]	[Pa]	[Pa]
3457	11RA	45	109	100	100	0	0	ASH6_26M	0.500		0.090	1.2	0.87	0.34
2167	310R	45	109	100	100	0.6	0.32					1.2	0.87	0.19
2158	11RAT	45	109	100	100	0	0	2_6	1.000	0.917	2.800	1.2	0.87	4.63
2168	310C	45	98	98	98	0.08	0.5					1.7	1.74	0.04
2170	079C	45	98	98	98	0	0	3.1	1.520		0.046	1.7	1.74	0.07
3459	023C	45	98	98	98	0	0	4.1	30.000	1.040	0.320	1.7	1.74	0.53
2171	310C	45	100	0	0	0.3	0.5					1.6	1.54	0.15
3458	273C	45	98	98	98	0	0	5.1	30.000	1.040	0.050	1.7	1.74	0.08
2173	05LC	45	98	98	98	0	0	MC4				1.7	1.74	18

Pérdida de carga acumulada del segmento	Δp_t	[Pa]	: 6.04
Velocidad en la sección inicial del segmento	V_m	[m/s]	: 2.5
Velocidad en la sección final del segmento	V_v	[m/s]	: 1.7
Recuperación de presión estática del segmento	Δp_r	[Pa]	: 2.02
Pérdida de carga acumulada del segmento, considerando la recuperación	Δp_{tm}	[Pa]	: 3.93
Pérdida de carga acumulada neta – total acumulado	$\Sigma \Delta p_{tm}$	[Pa]	: 186.81
Desequilibrio del terminal respecto al camino más desfavorable	Δp_{Tmr}	[Pa]	: 10.72

SEGMENTO 566:

Tipo: Tramo

1 ELEMENTO		2 Caudal Q	3 Diam. D/D _e	4 Ancho A	5 Alto B	6 Long. L	7 $\Delta p/L$	8 Fuente Tab	9 Ashrae X	10 Ashrae Y	11 Coeff. C _o	12 Veloc. V	13 P.Dinám P _v	14 Pérdida Δp_r o Δp_c
N. pz.	Cod.	[m³/h]	[mm]	[mm]	[mm]	[m]	[Pa/m]	n.	-	-	-	[m/s]	[Pa]	[Pa]
2083	3733D	450	164	150	150	0	0	ASH6_33	0.833		0.300	5.6	18.88	2.3
2082	310R	450	164	150	150	1.1	2.95					5.6	18.88	3.25

Pérdida de carga acumulada del segmento

Δp_t [Pa] : 5.56

Velocidad en la sección inicial del segmento

V_m [m/s] : 3.6

Velocidad en la sección final del segmento

V_v [m/s] : 3.3

Recuperación de presión estática del segmento

Δp_r [Pa] : 1.25

Pérdida de carga acumulada del segmento, considerando la recuperación

Δp_{tn} [Pa] : 6.43

Pérdida de carga acumulada neta – total acumulado

$\Sigma \Delta p_{tn}$ [Pa] : 157.79

SEGMENTO 565:

Tipo: Terminal TRM-13

1 ELEMENTO		2 Caudal Q	3 Diam. D/D _e	4 Ancho A	5 Alto B	6 Long. L	7 $\Delta p/L$	8 Fuente Tab	9 Ashrae X	10 Ashrae Y	11 Coeff. C _o	12 Veloc. V	13 P.Dinám P _v	14 Pérdida Δp_r o Δp_c
N. pz.	Cod.	[m³/h]	[mm]	[mm]	[mm]	[m]	[Pa/m]	n.	-	-	-	[m/s]	[Pa]	[Pa]
3400	11RA	45	98	98	98	0	0	ASH6_26	0.100	0.298	1.070	1.7	1.74	7.18
2150	310C	45	98	98	98	0.08	0.5					1.7	1.74	0.04
2152	079C	45	98	98	98	0	0	3.1	1.520		0.046	1.7	1.74	0.07
3436	273C	45	75	0	0	0.02	0	5.1	30.000	1.710	0.050	2.8	4.72	0.24
2153	310C	45	75	0	0	0.3	2.03					2.8	4.72	0.61
3435	023C	45	75	0	0	0.02	0	4.1	30.000	1.710	0.320	2.8	4.72	1.54
2155	05LC	45	98	98	98	0	0	MC4				1.7	1.74	18

Pérdida de carga acumulada del segmento

Δp_t [Pa] : 9.68

Velocidad en la sección inicial del segmento

V_m [m/s] : 3.3

Velocidad en la sección final del segmento

V_v [m/s] : 1.7

Recuperación de presión estática del segmento

Δp_r [Pa] : 4.82

Pérdida de carga acumulada del segmento, considerando la recuperación

Δp_{tn} [Pa] : 5.18

Pérdida de carga acumulada neta – total acumulado

$\Sigma \Delta p_{tn}$ [Pa] : 180.97

Desequilibrio del terminal respecto al camino más desfavorable

Δp_{Tmr} [Pa] : 16.56

SEGMENTO 564:

Tipo: Tramo

1 ELEMENTO		2 Caudal Q	3 Diam. D/D _e	4 Ancho A	5 Alto B	6 Long. L	7 $\Delta p/L$	8 Fuente Tab	9 Ashrae X	10 Ashrae Y	11 Coeff. C _o	12 Veloc. V	13 P.Dinám P _v	14 Pérdida Δp_r o Δp_c
N. pz.	Cod.	[m³/h]	[mm]	[mm]	[mm]	[m]	[Pa/m]	n.	-	-	-	[m/s]	[Pa]	[Pa]
3401	11RA	405	164	150	150	0	0	ASH6_26M	0.900		0.010	5	15.05	0.07
2085	310R	405	164	150	150	0.6	2.43					5	15.05	1.46

Pérdida de carga acumulada del segmento

Δp_t [Pa] : 1.52

Velocidad en la sección inicial del segmento

V_m [m/s] : 3.3

Velocidad en la sección final del segmento

V_v [m/s] : 3

Recuperación de presión estática del segmento
 Pérdida de carga acumulada del segmento, considerando la recuperación
 Pérdida de carga acumulada neta – total acumulado

Δp_r [Pa] : 1.14
 Δp_{tm} [Pa] : 1.76
 $\Sigma \Delta p_{tm}$ [Pa] : 159.55

SEGMENTO 549:

Tipo: Tramo

1 ELEMENTO		2 Caudal Q	3 Diam. D/D _e	4 Ancho A	5 Alto B	6 Long. L	7 $\Delta p/L$	8 Fuente Tab	9 Ashrae X	10 Ashrae Y	11 Coeff. C _o	12 Veloc. V	13 P.Dinám P _v	14 Pérdida Δp_r o Δp_c
N. pz.	Cod.	[m³/h]	[mm]	[mm]	[mm]	[m]	[Pa/m]	n.	-	-	-	[m/s]	[Pa]	[Pa]
3402	11RA	360	164	150	150	0	0	ASH6_26M	0.889		0.011	4.4	11.65	0.06
2092	310R	360	164	150	150	0.6	1.95					4.4	11.65	1.17

Pérdida de carga acumulada del segmento
 Velocidad en la sección inicial del segmento
 Velocidad en la sección final del segmento
 Recuperación de presión estática del segmento
 Pérdida de carga acumulada del segmento, considerando la recuperación
 Pérdida de carga acumulada neta – total acumulado

Δp_t [Pa] : 1.23
 V_m [m/s] : 3
 V_v [m/s] : 2.7
 Δp_r [Pa] : 1.03
 Δp_{tm} [Pa] : 1.28
 $\Sigma \Delta p_{tm}$ [Pa] : 160.83

SEGMENTO 563:

Tipo: Terminal TRM-13

1 ELEMENTO		2 Caudal Q	3 Diam. D/D _e	4 Ancho A	5 Alto B	6 Long. L	7 $\Delta p/L$	8 Fuente Tab	9 Ashrae X	10 Ashrae Y	11 Coeff. C _o	12 Veloc. V	13 P.Dinám P _v	14 Pérdida Δp_r o Δp_c
N. pz.	Cod.	[m³/h]	[mm]	[mm]	[mm]	[m]	[Pa/m]	n.	-	-	-	[m/s]	[Pa]	[Pa]
3405	11RA	45	98	98	98	0	0	ASH6_26	0.125	0.373	1.140	1.7	1.74	4.88
2144	310C	45	98	98	98	0.08	0.5					1.7	1.74	0.04
2146	079C	45	98	98	98	0	0	3.1	1.520		0.046	1.7	1.74	0.07
3434	023C	45	98	98	98	0	0	4.1	30.000	1.040	0.320	1.7	1.74	0.53
2147	310C	45	100	0	0	0.3	0.5					1.6	1.54	0.15
3433	273C	45	98	98	98	0	0	5.1	30.000	1.040	0.050	1.7	1.74	0.08
2149	05LC	45	98	98	98	0	0	MC4				1.7	1.74	18

Pérdida de carga acumulada del segmento
 Velocidad en la sección inicial del segmento
 Velocidad en la sección final del segmento
 Recuperación de presión estática del segmento
 Pérdida de carga acumulada del segmento, considerando la recuperación
 Pérdida de carga acumulada neta – total acumulado
 Desequilibrio del terminal respecto al camino más desfavorable

Δp_t [Pa] : 5.75
 V_m [m/s] : 2.7
 V_v [m/s] : 1.7
 Δp_r [Pa] : 2.65
 Δp_{tm} [Pa] : 3.12
 $\Sigma \Delta p_{tm}$ [Pa] : 181.95
 Δp_{Tmr} [Pa] : 15.58

SEGMENTO 562:

Tipo: Tramo

1 ELEMENTO		2 Caudal Q	3 Diam. D/D _e	4 Ancho A	5 Alto B	6 Long. L	7 $\Delta p/L$	8 Fuente Tab	9 Ashrae X	10 Ashrae Y	11 Coeff. C _o	12 Veloc. V	13 P.Dinám P _v	14 Pérdida Δp_r o Δp_c
N. pz.	Cod.	[m³/h]	[mm]	[mm]	[mm]	[m]	[Pa/m]	n.	-	-	-	[m/s]	[Pa]	[Pa]
3406	11RA	315	164	150	150	0	0	ASH6_26M	0.875		0.012	3.9	9.16	0.05
2095	310R	315	164	150	150	0.6	1.52					3.9	9.16	0.91

Pérdida de carga acumulada del segmento	Δp_t	[Pa]	: 0.97
Velocidad en la sección inicial del segmento	V_m	[m/s]	: 2.7
Velocidad en la sección final del segmento	V_v	[m/s]	: 2.3
Recuperación de presión estática del segmento	Δp_r	[Pa]	: 1.2
Pérdida de carga acumulada del segmento, considerando la recuperación	Δp_{tn}	[Pa]	: 0.87
Pérdida de carga acumulada neta – total acumulado	$\Sigma \Delta p_{tn}$	[Pa]	: 161.7

SEGMENTO 561:

Tipo: Terminal TRM-12

1 ELEMENTO		2 Caudal Q	3 Diam. D/D _e	4 Ancho A	5 Alto B	6 Long. L	7 $\Delta p/L$	8 Fuente Tab	9 Ashrae X	10 Ashrae Y	11 Coeff. C _o	12 Veloc. V	13 P.Dinám P _v	14 Pérdida Δp_r o Δp_c
N. pz.	Cod.	[m³/h]	[mm]	[mm]	[mm]	[m]	[Pa/m]	n.	-	-	-	[m/s]	[Pa]	[Pa]
3407	11RA	45	98	98	98	0	0	ASH6_26	0.143	0.426	1.190	1.7	1.74	3.88
2138	310C	45	98	98	98	0.08	0.5					1.7	1.74	0.04
2140	079C	45	98	98	98	0	0	3.1	1.520		0.046	1.7	1.74	0.07
3432	023C	45	98	98	98	0	0	4.1	30.000	1.040	0.320	1.7	1.74	0.53
2141	310C	45	100	0	0	0.3	0.5					1.6	1.54	0.15
3431	273C	45	98	98	98	0	0	5.1	30.000	1.040	0.050	1.7	1.74	0.08
2143	05LC	45	98	98	98	0	0	MC4				1.7	1.74	18

Pérdida de carga acumulada del segmento	Δp_t	[Pa]	: 4.76
Velocidad en la sección inicial del segmento	V_m	[m/s]	: 2.3
Velocidad en la sección final del segmento	V_v	[m/s]	: 1.7
Recuperación de presión estática del segmento	Δp_r	[Pa]	: 1.44
Pérdida de carga acumulada del segmento, considerando la recuperación	Δp_{tn}	[Pa]	: 3.13
Pérdida de carga acumulada neta – total acumulado	$\Sigma \Delta p_{tn}$	[Pa]	: 182.83
Desequilibrio del terminal respecto al camino más desfavorable	Δp_{Tmr}	[Pa]	: 14.69

SEGMENTO 560:

Tipo: Tramo

1 ELEMENTO		2 Caudal Q	3 Diam. D/D _e	4 Ancho A	5 Alto B	6 Long. L	7 $\Delta p/L$	8 Fuente Tab	9 Ashrae X	10 Ashrae Y	11 Coeff. C _o	12 Veloc. V	13 P.Dinám P _v	14 Pérdida Δp_r o Δp_c
N. pz.	Cod.	[m³/h]	[mm]	[mm]	[mm]	[m]	[Pa/m]	n.	-	-	-	[m/s]	[Pa]	[Pa]
3408	11RA	270	164	150	150	0	0	ASH6_26M	0.857		0.014	3.3	6.56	0.05
2096	310R	270	164	150	150	0.6	1.15					3.3	6.56	0.69

Pérdida de carga acumulada del segmento	Δp_t	[Pa]	: 0.73
Velocidad en la sección inicial del segmento	V_m	[m/s]	: 2.3
Velocidad en la sección final del segmento	V_v	[m/s]	: 2
Recuperación de presión estática del segmento	Δp_r	[Pa]	: 0.78
Pérdida de carga acumulada del segmento, considerando la recuperación	Δp_{tn}	[Pa]	: 0.53
Pérdida de carga acumulada neta – total acumulado	$\Sigma \Delta p_{tn}$	[Pa]	: 162.23

SEGMENTO 559:

Tipo: Terminal TRM-6

1 ELEMENTO		2 Caudal Q	3 Diam. D/D _e	4 Ancho A	5 Alto B	6 Long. L	7 $\Delta p/L$	8 Fuente Tab	9 Ashrae X	10 Ashrae Y	11 Coeff. C _o	12 Veloc. V	13 P.Dinám P _v	14 Pérdida Δp_r o Δp_c
N. pz.	Cod.	[m³/h]	[mm]	[mm]	[mm]	[m]	[Pa/m]	n.	-	-	-	[m/s]	[Pa]	[Pa]
3409	11RA	45	98	98	98	0	0	ASH6_	0.167	0.497	1.280	1.7	1.74	3.08

								26						
2132	310C	45	98	98	98	0.08	0.5					1.7	1.74	0.04
2134	079C	45	98	98	98	0	0	3.1	1.520		0.046	1.7	1.74	0.07
3430	023C	45	98	98	98	0	0	4.1	30.000	1.040	0.320	1.7	1.74	0.53
2135	310C	45	100	0	0	0.3	0.5					1.6	1.54	0.15
3429	273C	45	98	98	98	0	0	5.1	30.000	1.040	0.050	1.7	1.74	0.08
2137	05LC	45	98	98	98	0	0	MC4				1.7	1.74	18

Pérdida de carga acumulada del segmento	Δp_t	[Pa]	: 3.95
Velocidad en la sección inicial del segmento	V_m	[m/s]	: 2
Velocidad en la sección final del segmento	V_v	[m/s]	: 1.7
Recuperación de presión estática del segmento	Δp_r	[Pa]	: 0.67
Pérdida de carga acumulada del segmento, considerando la recuperación	Δp_{tm}	[Pa]	: 3.2
Pérdida de carga acumulada neta – total acumulado	$\Sigma \Delta p_{tm}$	[Pa]	: 183.43
Desequilibrio del terminal respecto al camino más desfavorable	Δp_{Tmr}	[Pa]	: 14.09

SEGMENTO 558:

Tipo: Tramo

1 ELEMENTO		2 Caudal Q	3 Diam. D/D _e	4 Ancho A	5 Alto B	6 Long. L	7 $\Delta p/L$	8 Fuente Tab	9 Ashrae X	10 Ashrae Y	11 Coeff. C _o	12 Veloc. V	13 P.Dinám P _v	14 Pérdida Δp_r o Δp_e
N. pz.	Cod.	[m³/h]	[mm]	[mm]	[mm]	[m]	[Pa/m]	n.	-	-	-	[m/s]	[Pa]	[Pa]
3410	11RA	225	164	150	150	0	0	ASH6_26M	0.833		0.017	2.8	4.72	0.04
2097	310R	225	164	150	150	0.6	0.82					2.8	4.72	0.49

Pérdida de carga acumulada del segmento	Δp_t	[Pa]	: 0.53
Velocidad en la sección inicial del segmento	V_m	[m/s]	: 2
Velocidad en la sección final del segmento	V_v	[m/s]	: 3.1
Recuperación de presión estática del segmento	Δp_r	[Pa]	: -3.38
Pérdida de carga acumulada del segmento, considerando la recuperación	Δp_{tm}	[Pa]	: 4.53
Pérdida de carga acumulada neta – total acumulado	$\Sigma \Delta p_{tm}$	[Pa]	: 166.76

SEGMENTO 557:

Tipo: Terminal TRM-7

1 ELEMENTO		2 Caudal Q	3 Diam. D/D _e	4 Ancho A	5 Alto B	6 Long. L	7 $\Delta p/L$	8 Fuente Tab	9 Ashrae X	10 Ashrae Y	11 Coeff. C _o	12 Veloc. V	13 P.Dinám P _v	14 Pérdida Δp_r o Δp_e
N. pz.	Cod.	[m³/h]	[mm]	[mm]	[mm]	[m]	[Pa/m]	n.	-	-	-	[m/s]	[Pa]	[Pa]
3411	11RA	45	98	98	98	0	0	ASH6_26	0.200	0.597	1.090	1.7	1.74	6.41
2126	310C	45	98	98	98	0.08	0.5					1.7	1.74	0.04
2128	079C	45	98	98	98	0	0	3.1	1.520		0.046	1.7	1.74	0.07
3428	023C	45	98	98	98	0	0	4.1	30.000	1.040	0.320	1.7	1.74	0.53
2129	310C	45	100	0	0	0.3	0.5					1.6	1.54	0.15
3427	273C	45	98	98	98	0	0	5.1	30.000	1.040	0.050	1.7	1.74	0.08
2131	05LC	45	98	98	98	0	0	MC4				1.7	1.74	18

Pérdida de carga acumulada del segmento	Δp_t	[Pa]	: 7.28
Velocidad en la sección inicial del segmento	V_m	[m/s]	: 3.1
Velocidad en la sección final del segmento	V_v	[m/s]	: 1.7
Recuperación de presión estática del segmento	Δp_r	[Pa]	: 4.05
Pérdida de carga acumulada del segmento, considerando la recuperación	Δp_{tm}	[Pa]	: 3.05
Pérdida de carga acumulada neta – total acumulado	$\Sigma \Delta p_{tm}$	[Pa]	: 187.81
Desequilibrio del terminal respecto al camino más desfavorable	Δp_{Tmr}	[Pa]	: 9.71

SEGMENTO 556:**Tipo:** Tramo

1 ELEMENTO		2 Caudal Q	3 Diam. D/D _e	4 Ancho A	5 Alto B	6 Long. L	7 $\Delta p/L$	8 Fuente Tab	9 Ashrae X	10 Ashrae Y	11 Coeff. C _o	12 Veloc. V	13 P.Dinám P _v	14 Pérdida $\Delta p_r \circ \Delta p_e$
N. pz.	Cod.	[m³/h]	[mm]	[mm]	[mm]	[m]	[Pa/m]	n.	-	-	-	[m/s]	[Pa]	[Pa]
3412	11RA	180	164	150	150	0	0	ASH6_26M	0.800		0.020	2.2	2.91	0.12
2098	310R	180	164	150	150	0.6	0.55					2.2	2.91	0.33

Pérdida de carga acumulada del segmento

 Δp_t [Pa] : 0.45

Velocidad en la sección inicial del segmento

 V_m [m/s] : 3.1

Velocidad en la sección final del segmento

 V_v [m/s] : 2.5

Recuperación de presión estática del segmento

 Δp_r [Pa] : 2.02

Pérdida de carga acumulada del segmento, considerando la recuperación

 Δp_{tn} [Pa] : -0.35

Pérdida de carga acumulada neta – total acumulado

 $\Sigma \Delta p_{tn}$ [Pa] : 166.4**SEGMENTO 555:****Tipo:** Terminal TRM-8

1 ELEMENTO		2 Caudal Q	3 Diam. D/D _e	4 Ancho A	5 Alto B	6 Long. L	7 $\Delta p/L$	8 Fuente Tab	9 Ashrae X	10 Ashrae Y	11 Coeff. C _o	12 Veloc. V	13 P.Dinám P _v	14 Pérdida $\Delta p_r \circ \Delta p_e$
N. pz.	Cod.	[m³/h]	[mm]	[mm]	[mm]	[m]	[Pa/m]	n.	-	-	-	[m/s]	[Pa]	[Pa]
3413	11RA	45	98	98	98	0	0	ASH6_26	0.250	0.746	1.130	1.7	1.74	4.25
2120	310C	45	98	98	98	0.08	0.5					1.7	1.74	0.04
2122	079C	45	98	98	98	0	0	3.1	1.520		0.046	1.7	1.74	0.07
3426	023C	45	98	98	98	0	0	4.1	30.000	1.040	0.320	1.7	1.74	0.53
2123	310C	45	100	0	0	0.3	0.5					1.6	1.54	0.15
3425	273C	45	98	98	98	0	0	5.1	30.000	1.040	0.050	1.7	1.74	0.08
2125	05LC	45	98	98	98	0	0	MC4				1.7	1.74	18

Pérdida de carga acumulada del segmento

 Δp_t [Pa] : 5.12

Velocidad en la sección inicial del segmento

 V_m [m/s] : 2.5

Velocidad en la sección final del segmento

 V_v [m/s] : 1.7

Recuperación de presión estática del segmento

 Δp_r [Pa] : 2.02

Pérdida de carga acumulada del segmento, considerando la recuperación

 Δp_{tn} [Pa] : 3.01

Pérdida de carga acumulada neta – total acumulado

 $\Sigma \Delta p_{tn}$ [Pa] : 187.42

Desequilibrio del terminal respecto al camino más desfavorable

 Δp_{Tmr} [Pa] : 10.1**SEGMENTO 554:****Tipo:** Tramo

1 ELEMENTO		2 Caudal Q	3 Diam. D/D _e	4 Ancho A	5 Alto B	6 Long. L	7 $\Delta p/L$	8 Fuente Tab	9 Ashrae X	10 Ashrae Y	11 Coeff. C _o	12 Veloc. V	13 P.Dinám P _v	14 Pérdida $\Delta p_r \circ \Delta p_e$
N. pz.	Cod.	[m³/h]	[mm]	[mm]	[mm]	[m]	[Pa/m]	n.	-	-	-	[m/s]	[Pa]	[Pa]
3414	11RA	135	164	150	150	0	0	ASH6_26M	0.750		0.030	1.7	1.74	0.11
2099	310R	135	164	150	150	0.6	0.32					1.7	1.74	0.19

Pérdida de carga acumulada del segmento

 Δp_t [Pa] : 0.31

Velocidad en la sección inicial del segmento

 V_m [m/s] : 2.5

Velocidad en la sección final del segmento

 V_v [m/s] : 2.5

Recuperación de presión estática del segmento

 Δp_r [Pa] : 0

Pérdida de carga acumulada del segmento, considerando la recuperación

 Δp_{tn} [Pa] : 1.13

Pérdida de carga acumulada neta – total acumulado

 $\Sigma \Delta p_{tn}$ [Pa] : 167.53**SEGMENTO 553:****Tipo:** Terminal TRM-9

1 ELEMENTO		2 Caudal Q	3 Diam. D/D _e	4 Ancho A	5 Alto B	6 Long. L	7 $\Delta p/L$	8 Fuente Tab	9 Ashrae X	10 Ashrae Y	11 Coeff. C _o	12 Veloc. V	13 P.Dinám P _v	14 Pérdida Δp_r o Δp_e
N. pz.	Cod.	[m³/h]	[mm]	[mm]	[mm]	[m]	[Pa/m]	n.	-	-	-	[m/s]	[Pa]	[Pa]
3415	11RA	45	98	98	98	0	0	ASH6_26	0.333	0.995	1.110	1.7	1.74	4.16
2114	310C	45	98	98	98	0.08	0.5					1.7	1.74	0.04
2116	079C	45	98	98	98	0	0	3.1	1.520		0.046	1.7	1.74	0.07
3424	023C	45	98	98	98	0	0	4.1	30.000	1.040	0.320	1.7	1.74	0.53
2117	310C	45	100	0	0	0.3	0.5					1.6	1.54	0.15
3423	273C	45	98	98	98	0	0	5.1	30.000	1.040	0.050	1.7	1.74	0.08
2119	05LC	45	98	98	98	0	0	MC4				1.7	1.74	18

Pérdida de carga acumulada del segmento

 Δp_t [Pa] : 5.03

Velocidad en la sección inicial del segmento

 V_m [m/s] : 2.5

Velocidad en la sección final del segmento

 V_v [m/s] : 1.7

Recuperación de presión estática del segmento

 Δp_r [Pa] : 2.02

Pérdida de carga acumulada del segmento, considerando la recuperación

 Δp_{tn} [Pa] : 2.92

Pérdida de carga acumulada neta – total acumulado

 $\Sigma \Delta p_{tn}$ [Pa] : 188.46

Desequilibrio del terminal respecto al camino más desfavorable

 Δp_{Tmr} [Pa] : 9.07**SEGMENTO 552:****Tipo:** Tramo

1 ELEMENTO		2 Caudal Q	3 Diam. D/D _e	4 Ancho A	5 Alto B	6 Long. L	7 $\Delta p/L$	8 Fuente Tab	9 Ashrae X	10 Ashrae Y	11 Coeff. C _o	12 Veloc. V	13 P.Dinám P _v	14 Pérdida Δp_r o Δp_e
N. pz.	Cod.	[m³/h]	[mm]	[mm]	[mm]	[m]	[Pa/m]	n.	-	-	-	[m/s]	[Pa]	[Pa]
3416	11RA	90	164	150	150	0	0	ASH6_26M	0.667		0.047	1.1	0.73	0.18
2100	310R	90	164	150	150	0.6	0.15					1.1	0.73	0.09

Pérdida de carga acumulada del segmento

 Δp_t [Pa] : 0.27

Velocidad en la sección inicial del segmento

 V_m [m/s] : 2.5

Velocidad en la sección final del segmento

 V_v [m/s] : 2.5

Recuperación de presión estática del segmento

 Δp_r [Pa] : 0

Pérdida de carga acumulada del segmento, considerando la recuperación

 Δp_{tn} [Pa] : 0.95

Pérdida de carga acumulada neta – total acumulado

 $\Sigma \Delta p_{tn}$ [Pa] : 168.49**SEGMENTO 551:****Tipo:** Terminal TRM-10

1 ELEMENTO		2 Caudal Q	3 Diam. D/D _e	4 Ancho A	5 Alto B	6 Long. L	7 $\Delta p/L$	8 Fuente Tab	9 Ashrae X	10 Ashrae Y	11 Coeff. C _o	12 Veloc. V	13 P.Dinám P _v	14 Pérdida Δp_r o Δp_e
N. pz.	Cod.	[m³/h]	[mm]	[mm]	[mm]	[m]	[Pa/m]	n.	-	-	-	[m/s]	[Pa]	[Pa]
3417	11RA	45	98	98	98	0	0	ASH6_26	0.500	1.490	1.260	1.7	1.74	4.74
2108	310C	45	98	98	98	0.08	0.5					1.7	1.74	0.04
2110	079C	45	98	98	98	0	0	3.1	1.520		0.046	1.7	1.74	0.07
3422	023C	45	98	98	98	0	0	4.1	30.000	1.040	0.320	1.7	1.74	0.53
2111	310C	45	100	0	0	0.3	0.5					1.6	1.54	0.15
3421	273C	45	98	98	98	0	0	5.1	30.000	1.040	0.050	1.7	1.74	0.08
2113	05LC	45	98	98	98	0	0	MC4				1.7	1.74	18

Pérdida de carga acumulada del segmento	Δp_t	[Pa] : 5.61
Velocidad en la sección inicial del segmento	V_m	[m/s] : 2.5
Velocidad en la sección final del segmento	V_v	[m/s] : 1.7
Recuperación de presión estática del segmento	Δp_r	[Pa] : 2.02
Pérdida de carga acumulada del segmento, considerando la recuperación	Δp_{tn}	[Pa] : 3.51
Pérdida de carga acumulada neta – total acumulado	$\Sigma \Delta p_{tn}$	[Pa] : 189.99
Desequilibrio del terminal respecto al camino más desfavorable	Δp_{Tmr}	[Pa] : 7.53

SEGMENTO 550:

Tipo: Terminal TRM-11

1 ELEMENTO		2 Caudal Q	3 Diam. D/D _e	4 Ancho A	5 Alto B	6 Long. L	7 $\Delta p/L$	8 Fuente Tab	9 Ashrae X	10 Ashrae Y	11 Coeff. C _o	12 Veloc. V	13 P.Dinám P _v	14 Pérdida Δp_r o Δp_e
N. pz.	Cod.	[m³/h]	[mm]	[mm]	[mm]	[m]	[Pa/m]	n.	-	-	-	[m/s]	[Pa]	[Pa]
3418	11RA	45	164	150	150	0	0	ASH6_26M	0.500		0.090	0.6	0.22	0.34
2101	310R	45	164	150	150	0.6	0.05					0.6	0.22	0.03
2094	11RAT	45	164	150	150	0	0	2_6	1.000	0.915	2.800	0.6	0.22	4.63
2102	310C	45	98	98	98	0.08	0.5					1.7	1.74	0.04
2104	079C	45	98	98	98	0	0	3.1	1.520		0.046	1.7	1.74	0.07
3420	023C	45	98	98	98	0	0	4.1	30.000	1.040	0.320	1.7	1.74	0.53
2105	310C	45	100	0	0	0.3	0.5					1.6	1.54	0.15
3419	273C	45	98	98	98	0	0	5.1	30.000	1.040	0.050	1.7	1.74	0.08
2107	05LC	45	98	98	98	0	0	MC4				1.7	1.74	18

Pérdida de carga acumulada del segmento	Δp_t	[Pa] : 5.87
Velocidad en la sección inicial del segmento	V_m	[m/s] : 2.5
Velocidad en la sección final del segmento	V_v	[m/s] : 1.7
Recuperación de presión estática del segmento	Δp_r	[Pa] : 2.02
Pérdida de carga acumulada del segmento, considerando la recuperación	Δp_{tn}	[Pa] : 4.11
Pérdida de carga acumulada neta – total acumulado	$\Sigma \Delta p_{tn}$	[Pa] : 190.6
Desequilibrio del terminal respecto al camino más desfavorable	Δp_{Tmr}	[Pa] : 6.92

SEGMENTO 548:

Tipo: Terminal TRM-13

1 ELEMENTO		2 Caudal Q	3 Diam. D/D _e	4 Ancho A	5 Alto B	6 Long. L	7 $\Delta p/L$	8 Fuente Tab	9 Ashrae X	10 Ashrae Y	11 Coeff. C _o	12 Veloc. V	13 P.Dinám P _v	14 Pérdida Δp_r o Δp_e
N. pz.	Cod.	[m³/h]	[mm]	[mm]	[mm]	[m]	[Pa/m]	n.	-	-	-	[m/s]	[Pa]	[Pa]
2087	11RA	45	98	98	98	0	0	ASH6_26	0.111	0.332	1.110	1.7	1.74	6
2086	310C	45	98	98	98	0.08	0.5					1.7	1.74	0.04
2088	079C	45	98	98	98	0	0	3.1	1.520		0.046	1.7	1.74	0.07
3404	023C	45	98	98	98	0	0	4.1	30.000	1.040	0.320	1.7	1.74	0.53
2089	310C	45	100	0	0	0.3	0.5					1.6	1.54	0.15
3403	273C	45	98	98	98	0	0	5.1	30.000	1.040	0.050	1.7	1.74	0.08
2091	05LC	45	98	98	98	0	0	MC4				1.7	1.74	18

Pérdida de carga acumulada del segmento	Δp_t	[Pa] : 6.87
Velocidad en la sección inicial del segmento	V_m	[m/s] : 3
Velocidad en la sección final del segmento	V_v	[m/s] : 1.7
Recuperación de presión estática del segmento	Δp_r	[Pa] : 3.68
Pérdida de carga acumulada del segmento, considerando la recuperación	Δp_{tn}	[Pa] : 3.11
Pérdida de carga acumulada neta – total acumulado	$\Sigma \Delta p_{tn}$	[Pa] : 180.66
Desequilibrio del terminal respecto al camino más desfavorable	Δp_{Tmr}	[Pa] : 16.87

DATOS GENERALES**Cliente:****Ciudad:** Alicante**Proyectista:****SISTEMA:****Nº Expediente:****Dibujo n.:****Referencia:****Construcción:****Sistema:****Zona:** CL Vestibulo SA impulsion**Circuito:****Altitud s.n.m** [m]: 7**Altura** [m]: 0**Temperatura aire** [°C]: 20**Humedad Relativa aire** [%]:**Método de cálculo: DIMENSIONADO DEL LA RED CON EL METODO DE PERDIDA DE CARGA CONSTANTE****DATOS DE CALCULO****Viscosidad del aire** [Pa*s]: 0.01816**Densidad del aire** [kg/m³]: 1.2**Revestimiento interior** :**Espesor** [mm]: 0**Rugosidad pared** [mm]: 0.15**CONDUCTOS Ratio B/A:** 0.5**OPCIONES****Tipo de cálculo elegido:** : 2

- Pérdida de carga distribuida [Pa/m]: 0.8
- Máxima velocidad en los tramos [m/s]: 6
- Máxima velocidad en los ramales [m/s]: 6

Cálculo con dimensiones normalizadas [Si/No]: Si

- Paso para el cálculo con dimensiones no normalizadas [mm]: 0
- Dimensión mínima [mm]: 0
- Dimensión máxima [mm]: 0

LIMITES**Mínimo desequilibrio para justificar el equilibrado y la inserción de compuertas en ramales** (Δp_{mr}) [Pa]: 10**Mínimo desequilibrio para justificar el equilibrado y la inserción de compuertas en terminales** (Δp_{msr}) [Pa]: 10**Máxima pérdida de carga admisible para las compuertas en terminales** (Δp_{MT}) [Pa]: 0**MAXIMA PERDIDA****Presión total para el camino más desfavorable** [Pa]: 188.74**Presión estática para el camino más desfavorable** [Pa]: 171.08**CAMINO MAS DESFAVOR.**

000-001-028-016-008-004-003

SEGMENTO 1:

Tipo: Tramo

1 ELEMENTO		2 Caudal Q	3 Diam. D/D _e	4 Ancho A	5 Alto B	6 Long. L	7 $\Delta p/L$	8 Fuente Tab	9 Ashrae X	10 Ashrae Y	11 Coeff. C _o	12 Veloc. V	13 P.Dinám P _v	14 Pérdida Δp_r o Δp_c
N. pz.	Cod.	[m³/h]	[mm]	[mm]	[mm]	[m]	[Pa/m]	n.	-	-	-	[m/s]	[Pa]	[Pa]
1	310R	10530	780	1200	450	0.48	0.46					5.4	17.55	0.22

Pérdida de carga acumulada del segmento	Δp_t	[Pa]	: 0.22
Velocidad en la sección inicial del segmento	V_m	[m/s]	: 5.4
Velocidad en la sección final del segmento	V_v	[m/s]	: 5.4
Recuperación de presión estática del segmento	Δp_r	[Pa]	: 0
Pérdida de carga acumulada del segmento, considerando la recuperación	Δp_{tm}	[Pa]	: 0.22
Pérdida de carga acumulada neta – total acumulado	$\Sigma \Delta p_{tm}$	[Pa]	: 0.22

SEGMENTO 29:

Tipo: Tramo

1 ELEMENTO		2 Caudal Q	3 Diam. D/D _e	4 Ancho A	5 Alto B	6 Long. L	7 $\Delta p/L$	8 Fuente Tab	9 Ashrae X	10 Ashrae Y	11 Coeff. C _o	12 Veloc. V	13 P.Dinám P _v	14 Pérdida Δp_r o Δp_c
N. pz.	Cod.	[m³/h]	[mm]	[mm]	[mm]	[m]	[Pa/m]	n.	-	-	-	[m/s]	[Pa]	[Pa]
144	3722D	870	321	200	450	0	0	MC4	0.083	0.182	1.840	2.7	4.39	8.08
185	273R	870	244	200	250	0.27	0	5.1	30.000	1.800	0.050	4.8	13.87	0.7
111	310R	870	244	200	250	1.44	1.4					4.8	13.87	2.02
113	079R	870	244	200	250	0	0	3.5	1.250	1.000	0.277	4.8	13.87	3.9
114	310R	870	244	200	250	7.51	1.4					4.8	13.87	10.54
116	079R	870	244	200	250	0	0	3.5	1.250	1.000	0.277	4.8	13.87	3.9
117	310R	870	244	200	250	4.28	1.4					4.8	13.87	6
119	079R	870	244	200	250	0	0	3.5	1.250	1.000	0.125	4.8	13.87	1.76
120	310R	870	244	200	250	1.07	1.4					4.8	13.87	1.5
122	079R	870	244	200	250	0	0	3.5	1.250	1.000	0.125	4.8	13.87	1.76
123	310R	870	244	200	250	9.77	1.4					4.8	13.87	13.71
125	079R	870	244	200	250	0	0	3.5	1.250	1.000	0.277	4.8	13.87	3.9
126	310R	870	244	200	250	6.79	1.4					4.8	13.87	9.53
128	079R	870	244	200	250	0	0	3.5	1.250	1.000	0.277	4.8	13.87	12.97
129	310R	870	244	250	200	1.81	1.4					4.8	13.87	2.53
131	079R	870	244	250	200	0	0	3.5	0.800	0.900	0.450	4.8	13.87	8.3
132	310R	870	244	250	200	8.1	1.4					4.8	13.87	11.36
134	079R	870	244	250	200	0	0	3.5	0.800	0.900	0.450	4.8	13.87	8.3
135	310R	870	244	250	200	0.72	1.4					4.8	13.87	1.01

Pérdida de carga acumulada del segmento	Δp_t	[Pa]	: 111.76
Velocidad en la sección inicial del segmento	V_m	[m/s]	: 5.4
Velocidad en la sección final del segmento	V_v	[m/s]	: 4.8
Recuperación de presión estática del segmento	Δp_r	[Pa]	: 3.68
Pérdida de carga acumulada del segmento, considerando la recuperación	Δp_{tm}	[Pa]	: 116.87
Pérdida de carga acumulada neta – total acumulado	$\Sigma \Delta p_{tm}$	[Pa]	: 117.09

SEGMENTO 31:

Tipo: Terminal TRM-29

1 ELEMENTO		2 Caudal Q	3 Diam. D/D _e	4 Ancho A	5 Alto B	6 Long. L	7 $\Delta p/L$	8 Fuente Tab	9 Ashrae X	10 Ashrae Y	11 Coeff. C _o	12 Veloc. V	13 P.Dinám P _v	14 Pérdida Δp_r o Δp_c
N. pz.	Cod.	[m³/h]	[mm]	[mm]	[mm]	[m]	[Pa/m]	n.	-	-	-	[m/s]	[Pa]	[Pa]
186	3733D	435	219	200	200	0	0	ASH6_33			0.270	3	5.42	3.8

141	310R	435	219	200	200	1.22	0.66					3	5.42	0.81
188	42C1	435	198	198	198	0	0	4.7	30.000	1.300	0.300	3.9	9.16	2.78
143	05LC	435	198	198	198	0	0	MC4				3.9	9.16	15.73

Pérdida de carga acumulada del segmento	Δp_t	[Pa]	: 7.39
Velocidad en la sección inicial del segmento	V_m	[m/s]	: 4.8
Velocidad en la sección final del segmento	V_v	[m/s]	: 3.9
Recuperación de presión estática del segmento	Δp_r	[Pa]	: 4.71
Pérdida de carga acumulada del segmento, considerando la recuperación	Δp_{tm}	[Pa]	: 2.59
Pérdida de carga acumulada neta – total acumulado	$\Sigma \Delta p_{tm}$	[Pa]	: 135.41
Desequilibrio del terminal respecto al camino más desfavorable	Δp_{Tmr}	[Pa]	: 35.67

SEGMENTO 30:

Tipo: Terminal TRM-29

1 ELEMENTO		2 Caudal Q	3 Diam. D/D _e	4 Ancho A	5 Alto B	6 Long. L	7 $\Delta p/L$	8 Fuente Tab	9 Ashrae X	10 Ashrae Y	11 Coeff. C _o	12 Veloc. V	13 P.Dinám P _v	14 Pérdida Δp_r o Δp_e
N. pz.	Cod.	[m³/h]	[mm]	[mm]	[mm]	[m]	[Pa/m]	n.	-	-	-	[m/s]	[Pa]	[Pa]
139	3733D	435	219	200	200	0	0	ASH6_33	0.800		0.270	3	5.42	3.8
138	310R	435	219	200	200	1.18	0.66					3	5.42	0.78
187	42C1	435	198	198	198	0	0	4.7	30.000	1.300	0.300	3.9	9.16	2.78
140	05LC	435	198	198	198	0	0	MC4				3.9	9.16	15.73

Pérdida de carga acumulada del segmento	Δp_t	[Pa]	: 7.36
Velocidad en la sección inicial del segmento	V_m	[m/s]	: 4.8
Velocidad en la sección final del segmento	V_v	[m/s]	: 3.9
Recuperación de presión estática del segmento	Δp_r	[Pa]	: 4.71
Pérdida de carga acumulada del segmento, considerando la recuperación	Δp_{tm}	[Pa]	: 2.57
Pérdida de carga acumulada neta – total acumulado	$\Sigma \Delta p_{tm}$	[Pa]	: 135.39
Desequilibrio del terminal respecto al camino más desfavorable	Δp_{Tmr}	[Pa]	: 35.69

SEGMENTO 28:

Tipo: Tramo

1 ELEMENTO		2 Caudal Q	3 Diam. D/D _e	4 Ancho A	5 Alto B	6 Long. L	7 $\Delta p/L$	8 Fuente Tab	9 Ashrae X	10 Ashrae Y	11 Coeff. C _o	12 Veloc. V	13 P.Dinám P _v	14 Pérdida Δp_r o Δp_e
N. pz.	Cod.	[m³/h]	[mm]	[mm]	[mm]	[m]	[Pa/m]	n.	-	-	-	[m/s]	[Pa]	[Pa]
145	3722D	9660	751	1100	450	0	0	MC4	0.083	0.182	0.050	5.4	17.55	0.88
3	310R	9660	751	1100	450	0.63	0.48					5.4	17.55	0.3
2	079R	9660	751	1100	450	0	0	3.5	0.409	0.727	0.364	5.4	17.55	6.45
4	310R	9660	751	1100	450	2.68	0.48					5.4	17.55	1.28
6	079R	9660	751	1100	450	0	0	3.5	0.409	0.727	0.364	5.4	17.55	6.45
7	310R	9660	751	1100	450	12.99	0.48					5.4	17.55	6.19
9	079R	9660	751	1100	450	0	0	3.5	0.409	0.727	0.607	5.4	17.55	10.75
10	310R	9660	751	1100	450	8.69	0.48					5.4	17.55	4.14
12	079R	9660	751	1100	450	0	0	3.5	0.409	0.727	0.607	5.4	17.55	14.47
13	310R	9660	751	1100	450	4.87	0.48					5.4	17.55	2.32
15	079R	9660	751	1100	450	0	0	3.5	0.409	0.727	0.607	5.4	17.55	10.75
16	310R	9660	751	1100	450	2.25	0.48					5.4	17.55	1.07

Pérdida de carga acumulada del segmento	Δp_t	[Pa]	: 65.05
Velocidad en la sección inicial del segmento	V_m	[m/s]	: 5.4
Velocidad en la sección final del segmento	V_v	[m/s]	: 5.4
Recuperación de presión estática del segmento	Δp_r	[Pa]	: 0
Pérdida de carga acumulada del segmento, considerando la recuperación	Δp_{tm}	[Pa]	: 72.92
Pérdida de carga acumulada neta – total acumulado	$\Sigma \Delta p_{tm}$	[Pa]	: 73.14

SEGMENTO 17:**Tipo:** Tramo

1 ELEMENTO		2 Caudal Q	3 Diam. D/D _e	4 Ancho A	5 Alto B	6 Long. L	7 $\Delta p/L$	8 Fuente Tab	9 Ashrae X	10 Ashrae Y	11 Coeff. C _o	12 Veloc. V	13 P.Dinám P _v	14 Pérdida Δp_r o Δp_c
N. pz.	Cod.	[m³/h]	[mm]	[mm]	[mm]	[m]	[Pa/m]	n.	-	-	-	[m/s]	[Pa]	[Pa]
146	3722D	4140	433	350	450	0	0	MC4	0.571	1.710	0.041	7.3	32.08	1.3
79	310R	4140	433	350	450	3.42	1.51					7.3	32.08	5.15

Pérdida de carga acumulada del segmento

 Δp_t [Pa] : 6.45

Velocidad en la sección inicial del segmento

 V_m [m/s] : 5.4

Velocidad en la sección final del segmento

 V_v [m/s] : 3.6

Recuperación de presión estática del segmento

 Δp_r [Pa] : 9.75

Pérdida de carga acumulada del segmento, considerando la recuperación

 Δp_{tn} [Pa] : 0.09

Pérdida de carga acumulada neta – total acumulado

 $\Sigma \Delta p_{tn}$ [Pa] : 73.23**SEGMENTO 25:****Tipo:** Tramo

1 ELEMENTO		2 Caudal Q	3 Diam. D/D _e	4 Ancho A	5 Alto B	6 Long. L	7 $\Delta p/L$	8 Fuente Tab	9 Ashrae X	10 Ashrae Y	11 Coeff. C _o	12 Veloc. V	13 P.Dinám P _v	14 Pérdida Δp_r o Δp_c
N. pz.	Cod.	[m³/h]	[mm]	[mm]	[mm]	[m]	[Pa/m]	n.	-	-	-	[m/s]	[Pa]	[Pa]
169	3722D	1380	400	300	450	0	0	MC4	0.333	0.857	0.752	2.8	4.72	3.55
182	273R	1380	299	300	250	0.27	0	5.1	30.000	1.800	0.050	5.1	15.66	0.79
102	310R	1380	299	300	250	0.34	1.21					5.1	15.66	0.41

Pérdida de carga acumulada del segmento

 Δp_t [Pa] : 4.75

Velocidad en la sección inicial del segmento

 V_m [m/s] : 3.6

Velocidad en la sección final del segmento

 V_v [m/s] : 4.8

Recuperación de presión estática del segmento

 Δp_r [Pa] : -6.07

Pérdida de carga acumulada del segmento, considerando la recuperación

 Δp_{tn} [Pa] : 11.58

Pérdida de carga acumulada neta – total acumulado

 $\Sigma \Delta p_{tn}$ [Pa] : 84.81**SEGMENTO 27:****Tipo:** Terminal TRM-30

1 ELEMENTO		2 Caudal Q	3 Diam. D/D _e	4 Ancho A	5 Alto B	6 Long. L	7 $\Delta p/L$	8 Fuente Tab	9 Ashrae X	10 Ashrae Y	11 Coeff. C _o	12 Veloc. V	13 P.Dinám P _v	14 Pérdida Δp_r o Δp_c
N. pz.	Cod.	[m³/h]	[mm]	[mm]	[mm]	[m]	[Pa/m]	n.	-	-	-	[m/s]	[Pa]	[Pa]
181	3733D	690	273	250	250	0	0	ASH6_33			0.287	3.1	5.79	3.97
108	310R	690	273	250	250	1.7	0.52					3.1	5.79	0.88
184	42C1	690	248	248	248	0	0	4.7	30.000	1.290	0.300	4	9.63	2.84
110	05LC	690	248	248	248	0	0	MC4				4	9.63	12.77

Pérdida de carga acumulada del segmento

 Δp_t [Pa] : 7.7

Velocidad en la sección inicial del segmento

 V_m [m/s] : 4.8

Velocidad en la sección final del segmento

 V_v [m/s] : 4

Recuperación de presión estática del segmento

 Δp_r [Pa] : 4.24

Pérdida de carga acumulada del segmento, considerando la recuperación

 Δp_{tn} [Pa] : 6.01

Pérdida de carga acumulada neta – total acumulado

 $\Sigma \Delta p_{tn}$ [Pa] : 103.59

Desequilibrio del terminal respecto al camino más desfavorable

 Δp_{Tmr} [Pa] : 67.49

SEGMENTO 26:**Tipo:** Terminal TRM-30

1 ELEMENTO		2 Caudal Q	3 Diam. D/D _e	4 Ancho A	5 Alto B	6 Long. L	7 $\Delta p/L$	8 Fuente Tab	9 Ashrae X	10 Ashrae Y	11 Coeff. C _o	12 Veloc. V	13 P.Dinám P _v	14 Pérdida Δp_r o Δp_c
N. pz.	Cod.	[m³/h]	[mm]	[mm]	[mm]	[m]	[Pa/m]	n.	-	-	-	[m/s]	[Pa]	[Pa]
106	3733D	690	273	250	250	0	0	ASH6_33	0.833		0.287	3.1	5.79	3.97
105	310R	690	273	250	250	1.31	0.52					3.1	5.79	0.68
183	42C1	690	248	248	248	0	0	4.7	30.000	1.290	0.300	4	9.63	2.84
107	05LC	690	248	248	248	0	0	MC4				4	9.63	12.77

Pérdida de carga acumulada del segmento

 Δp_t [Pa] : 7.5

Velocidad en la sección inicial del segmento

 V_m [m/s] : 4.8

Velocidad en la sección final del segmento

 V_v [m/s] : 4

Recuperación de presión estática del segmento

 Δp_r [Pa] : 4.24

Pérdida de carga acumulada del segmento, considerando la recuperación

 Δp_{tm} [Pa] : 5.81

Pérdida de carga acumulada neta – total acumulado

 $\Sigma \Delta p_{tm}$ [Pa] : 103.39

Desequilibrio del terminal respecto al camino más desfavorable

 Δp_{Tmr} [Pa] : 67.69**SEGMENTO 24:****Tipo:** Tramo

1 ELEMENTO		2 Caudal Q	3 Diam. D/D _e	4 Ancho A	5 Alto B	6 Long. L	7 $\Delta p/L$	8 Fuente Tab	9 Ashrae X	10 Ashrae Y	11 Coeff. C _o	12 Veloc. V	13 P.Dinám P _v	14 Pérdida Δp_r o Δp_c
N. pz.	Cod.	[m³/h]	[mm]	[mm]	[mm]	[m]	[Pa/m]	n.	-	-	-	[m/s]	[Pa]	[Pa]
170	3722D	2760	433	350	450	0	0	MC4	0.333	0.857	0.062	4.9	14.45	0.9
82	310R	2760	433	350	450	2.6	0.7					4.9	14.45	1.83

Pérdida de carga acumulada del segmento

 Δp_t [Pa] : 2.73

Velocidad en la sección inicial del segmento

 V_m [m/s] : 3.6

Velocidad en la sección final del segmento

 V_v [m/s] : 4.3

Recuperación de presión estática del segmento

 Δp_r [Pa] : -3.33

Pérdida de carga acumulada del segmento, considerando la recuperación

 Δp_{tm} [Pa] : 12

Pérdida de carga acumulada neta – total acumulado

 $\Sigma \Delta p_{tm}$ [Pa] : 85.24**SEGMENTO 21:****Tipo:** Tramo

1 ELEMENTO		2 Caudal Q	3 Diam. D/D _e	4 Ancho A	5 Alto B	6 Long. L	7 $\Delta p/L$	8 Fuente Tab	9 Ashrae X	10 Ashrae Y	11 Coeff. C _o	12 Veloc. V	13 P.Dinám P _v	14 Pérdida Δp_r o Δp_c
N. pz.	Cod.	[m³/h]	[mm]	[mm]	[mm]	[m]	[Pa/m]	n.	-	-	-	[m/s]	[Pa]	[Pa]
171	3722D	1380	400	300	450	0	0	MC4	0.500	1.000	0.928	2.8	4.72	4.38
178	273R	1380	299	300	250	0.27	0	5.1	30.000	1.800	0.050	5.1	15.66	0.79
93	310R	1380	299	300	250	2.14	1.21					5.1	15.66	2.58

Pérdida de carga acumulada del segmento

 Δp_t [Pa] : 7.75

Velocidad en la sección inicial del segmento

 V_m [m/s] : 4.3

Velocidad en la sección final del segmento

 V_v [m/s] : 4.8

Recuperación de presión estática del segmento

 Δp_r [Pa] : -2.74

Pérdida de carga acumulada del segmento, considerando la recuperación

 Δp_{tm} [Pa] : 11.44

Pérdida de carga acumulada neta – total acumulado

 $\Sigma \Delta p_{tm}$ [Pa] : 96.67

SEGMENTO 23:**Tipo:** Terminal TRM-30

1 ELEMENTO		2 Caudal Q	3 Diam. D/D _e	4 Ancho A	5 Alto B	6 Long. L	7 $\Delta p/L$	8 Fuente Tab	9 Ashrae X	10 Ashrae Y	11 Coeff. C _o	12 Veloc. V	13 P.Dinám P _v	14 Pérdida Δp_r o Δp_c
N. pz.	Cod.	[m³/h]	[mm]	[mm]	[mm]	[m]	[Pa/m]	n.	-	-	-	[m/s]	[Pa]	[Pa]
177	3733D	690	273	250	250	0	0	ASH6_33			0.287	3.1	5.79	3.97
99	310R	690	273	250	250	1.29	0.52					3.1	5.79	0.67
180	42C1	690	248	248	248	0	0	4.7	30.000	1.290	0.300	4	9.63	2.84
101	05LC	690	248	248	248	0	0	MC4				4	9.63	12.77

Pérdida de carga acumulada del segmento

 Δp_t [Pa] : 7.49

Velocidad en la sección inicial del segmento

 V_m [m/s] : 4.8

Velocidad en la sección final del segmento

 V_v [m/s] : 4

Recuperación de presión estática del segmento

 Δp_r [Pa] : 4.24

Pérdida de carga acumulada del segmento, considerando la recuperación

 Δp_{tn} [Pa] : 5.8

Pérdida de carga acumulada neta – total acumulado

 $\Sigma \Delta p_{tn}$ [Pa] : 115.24

Desequilibrio del terminal respecto al camino más desfavorable

 Δp_{Tmr} [Pa] : 55.84**SEGMENTO 22:****Tipo:** Terminal TRM-30

1 ELEMENTO		2 Caudal Q	3 Diam. D/D _e	4 Ancho A	5 Alto B	6 Long. L	7 $\Delta p/L$	8 Fuente Tab	9 Ashrae X	10 Ashrae Y	11 Coeff. C _o	12 Veloc. V	13 P.Dinám P _v	14 Pérdida Δp_r o Δp_c
N. pz.	Cod.	[m³/h]	[mm]	[mm]	[mm]	[m]	[Pa/m]	n.	-	-	-	[m/s]	[Pa]	[Pa]
97	3733D	690	273	250	250	0	0	ASH6_33	0.833		0.287	3.1	5.79	3.97
96	310R	690	273	250	250	1.31	0.52					3.1	5.79	0.68
179	42C1	690	248	248	248	0	0	4.7	30.000	1.290	0.300	4	9.63	2.84
98	05LC	690	248	248	248	0	0	MC4				4	9.63	12.77

Pérdida de carga acumulada del segmento

 Δp_t [Pa] : 7.5

Velocidad en la sección inicial del segmento

 V_m [m/s] : 4.8

Velocidad en la sección final del segmento

 V_v [m/s] : 4

Recuperación de presión estática del segmento

 Δp_r [Pa] : 4.24

Pérdida de carga acumulada del segmento, considerando la recuperación

 Δp_{tn} [Pa] : 5.81

Pérdida de carga acumulada neta – total acumulado

 $\Sigma \Delta p_{tn}$ [Pa] : 115.25

Desequilibrio del terminal respecto al camino más desfavorable

 Δp_{Tmr} [Pa] : 55.83**SEGMENTO 20:****Tipo:** Tramo

1 ELEMENTO		2 Caudal Q	3 Diam. D/D _e	4 Ancho A	5 Alto B	6 Long. L	7 $\Delta p/L$	8 Fuente Tab	9 Ashrae X	10 Ashrae Y	11 Coeff. C _o	12 Veloc. V	13 P.Dinám P _v	14 Pérdida Δp_r o Δp_c
N. pz.	Cod.	[m³/h]	[mm]	[mm]	[mm]	[m]	[Pa/m]	n.	-	-	-	[m/s]	[Pa]	[Pa]
172	3722D	1380	400	300	450	0	0	MC4	0.500	1.000		2.8	4.72	0
173	273R	1380	299	300	250	0.27	0	5.1	30.000	1.800	0.050	5.1	15.66	0.79
83	310R	1380	299	300	250	2.43	1.21					5.1	15.66	2.94
81	079R	1380	299	300	250	0	0	3.5	0.833	0.900	0.415	5.1	15.66	6.53
84	310R	1380	299	300	250	0.34	1.21					5.1	15.66	0.41

Pérdida de carga acumulada del segmento

 Δp_t [Pa] : 10.66

Velocidad en la sección inicial del segmento

 V_m [m/s] : 4.3

Velocidad en la sección final del segmento	V_v	[m/s] : 5.1
Recuperación de presión estática del segmento	Δp_r	[Pa] : -4.53
Pérdida de carga acumulada del segmento, considerando la recuperación	Δp_{tn}	[Pa] : 15.47
Pérdida de carga acumulada neta – total acumulado	$\Sigma \Delta p_{tn}$	[Pa] : 100.71

SEGMENTO 19:

Tipo: Terminal TRM-30

1 ELEMENTO		2 Caudal Q	3 Diam. D/D _e	4 Ancho A	5 Alto B	6 Long. L	7 $\Delta p/L$	8 Fuente Tab	9 Ashrae X	10 Ashrae Y	11 Coeff. C _o	12 Veloc. V	13 P.Dinám P _v	14 Pérdida Δp_r o Δp_e
N. pz.	Cod.	[m³/h]	[mm]	[mm]	[mm]	[m]	[Pa/m]	n.	-	-	-	[m/s]	[Pa]	[Pa]
174	3733D	690	273	250	250	0	0	ASH6_33	0.833		0.267	3.1	5.79	4.19
90	310R	690	273	250	250	1.28	0.52					3.1	5.79	0.67
176	42C1	690	248	248	248	0	0	4.7	30.000	1.290	0.300	4	9.63	2.84
92	05LC	690	248	248	248	0	0	MC4				4	9.63	12.77

Pérdida de carga acumulada del segmento	Δp_t	[Pa] : 7.7
Velocidad en la sección inicial del segmento	V_m	[m/s] : 5.1
Velocidad en la sección final del segmento	V_v	[m/s] : 4
Recuperación de presión estática del segmento	Δp_r	[Pa] : 6.03
Pérdida de carga acumulada del segmento, considerando la recuperación	Δp_{tn}	[Pa] : 1.45
Pérdida de carga acumulada neta – total acumulado	$\Sigma \Delta p_{tn}$	[Pa] : 114.92
Desequilibrio del terminal respecto al camino más desfavorable	Δp_{Tmr}	[Pa] : 56.15

SEGMENTO 18:

Tipo: Terminal TRM-30

1 ELEMENTO		2 Caudal Q	3 Diam. D/D _e	4 Ancho A	5 Alto B	6 Long. L	7 $\Delta p/L$	8 Fuente Tab	9 Ashrae X	10 Ashrae Y	11 Coeff. C _o	12 Veloc. V	13 P.Dinám P _v	14 Pérdida Δp_r o Δp_e
N. pz.	Cod.	[m³/h]	[mm]	[mm]	[mm]	[m]	[Pa/m]	n.	-	-	-	[m/s]	[Pa]	[Pa]
88	3733D	690	273	250	250	0	0	ASH6_33			0.267	3.1	5.79	4.19
87	310R	690	273	250	250	1.13	0.52					3.1	5.79	0.59
175	42C1	690	248	248	248	0	0	4.7	30.000	1.290	0.300	4	9.63	2.84
89	05LC	690	248	248	248	0	0	MC4				4	9.63	12.77

Pérdida de carga acumulada del segmento	Δp_t	[Pa] : 7.62
Velocidad en la sección inicial del segmento	V_m	[m/s] : 5.1
Velocidad en la sección final del segmento	V_v	[m/s] : 4
Recuperación de presión estática del segmento	Δp_r	[Pa] : 6.03
Pérdida de carga acumulada del segmento, considerando la recuperación	Δp_{tn}	[Pa] : 1.38
Pérdida de carga acumulada neta – total acumulado	$\Sigma \Delta p_{tn}$	[Pa] : 114.85
Desequilibrio del terminal respecto al camino más desfavorable	Δp_{Tmr}	[Pa] : 56.23

SEGMENTO 16:

Tipo: Tramo

1 ELEMENTO		2 Caudal Q	3 Diam. D/D _e	4 Ancho A	5 Alto B	6 Long. L	7 $\Delta p/L$	8 Fuente Tab	9 Ashrae X	10 Ashrae Y	11 Coeff. C _o	12 Veloc. V	13 P.Dinám P _v	14 Pérdida Δp_r o Δp_e
N. pz.	Cod.	[m³/h]	[mm]	[mm]	[mm]	[m]	[Pa/m]	n.	-	-	-	[m/s]	[Pa]	[Pa]
20	3722D	5520	567	600	450	0	0	MC4	0.571	1.710	0.446	5.7	19.56	8.73
19	310R	5520	567	600	450	3.82	0.68					5.7	19.56	2.58

Pérdida de carga acumulada del segmento	Δp_t	[Pa]	: 11.31
Velocidad en la sección inicial del segmento	V_m	[m/s]	: 5.4
Velocidad en la sección final del segmento	V_v	[m/s]	: 4.8
Recuperación de presión estática del segmento	Δp_r	[Pa]	: 3.68
Pérdida de carga acumulada del segmento, considerando la recuperación	Δp_{tn}	[Pa]	: 9.74
Pérdida de carga acumulada neta – total acumulado	$\Sigma \Delta p_{tn}$	[Pa]	: 82.88

SEGMENTO 9:

Tipo: Tramo

1 ELEMENTO		2 Caudal Q	3 Diam. D/D _e	4 Ancho A	5 Alto B	6 Long. L	7 $\Delta p/L$	8 Fuente Tab	9 Ashrae X	10 Ashrae Y	11 Coeff. C _o	12 Veloc. V	13 P.Dinám P _v	14 Pérdida Δp_r o Δp_e
N. pz.	Cod.	[m³/h]	[mm]	[mm]	[mm]	[m]	[Pa/m]	n.	-	-	-	[m/s]	[Pa]	[Pa]
147	3722D	2760	433	350	450	0	0	MC4	0.500	1.000	0.498	4.9	14.45	7.19
45	310R	2760	433	350	450	3.22	0.7					4.9	14.45	2.26

Pérdida de carga acumulada del segmento	Δp_t	[Pa]	: 9.45
Velocidad en la sección inicial del segmento	V_m	[m/s]	: 4.8
Velocidad en la sección final del segmento	V_v	[m/s]	: 4.3
Recuperación de presión estática del segmento	Δp_r	[Pa]	: 2.74
Pérdida de carga acumulada del segmento, considerando la recuperación	Δp_{tn}	[Pa]	: 12.68
Pérdida de carga acumulada neta – total acumulado	$\Sigma \Delta p_{tn}$	[Pa]	: 95.56

SEGMENTO 13:

Tipo: Tramo

1 ELEMENTO		2 Caudal Q	3 Diam. D/D _e	4 Ancho A	5 Alto B	6 Long. L	7 $\Delta p/L$	8 Fuente Tab	9 Ashrae X	10 Ashrae Y	11 Coeff. C _o	12 Veloc. V	13 P.Dinám P _v	14 Pérdida Δp_r o Δp_e
N. pz.	Cod.	[m³/h]	[mm]	[mm]	[mm]	[m]	[Pa/m]	n.	-	-	-	[m/s]	[Pa]	[Pa]
159	3722D	1380	400	300	450	0	0	MC4	0.500	1.000	0.928	2.8	4.72	4.38
166	273R	1380	299	300	250	0.27	0	5.1	30.000	1.800	0.050	5.1	15.66	0.79
58	310R	1380	299	300	250	0.89	1.21					5.1	15.66	1.08

Pérdida de carga acumulada del segmento	Δp_t	[Pa]	: 6.25
Velocidad en la sección inicial del segmento	V_m	[m/s]	: 4.3
Velocidad en la sección final del segmento	V_v	[m/s]	: 4.8
Recuperación de presión estática del segmento	Δp_r	[Pa]	: -2.74
Pérdida de carga acumulada del segmento, considerando la recuperación	Δp_{tn}	[Pa]	: 9.94
Pérdida de carga acumulada neta – total acumulado	$\Sigma \Delta p_{tn}$	[Pa]	: 105.49

SEGMENTO 15:

Tipo: Terminal TRM-30

1 ELEMENTO		2 Caudal Q	3 Diam. D/D _e	4 Ancho A	5 Alto B	6 Long. L	7 $\Delta p/L$	8 Fuente Tab	9 Ashrae X	10 Ashrae Y	11 Coeff. C _o	12 Veloc. V	13 P.Dinám P _v	14 Pérdida Δp_r o Δp_e
N. pz.	Cod.	[m³/h]	[mm]	[mm]	[mm]	[m]	[Pa/m]	n.	-	-	-	[m/s]	[Pa]	[Pa]
165	3733D	690	273	250	250	0	0	ASH6_33	0.833		0.287	3.1	5.79	3.97
70	310R	690	273	250	250	0.42	0.52					3.1	5.79	0.22
72	079R	690	273	250	250	0	0	3.5	1.000	0.900	0.201	3.1	5.79	2.45
73	310R	690	273	250	250	0.38	0.53					3.1	5.79	0.2
75	079R	690	273	250	250	0	0	3.5	1.000	0.900	0.201	3.1	5.79	2.45
76	310R	690	273	250	250	0.75	0.52					3.1	5.79	0.39

168	42C1	690	248	248	248	0	0	4.7	30.000	1.290	0.300	4	9.63	2.84
78	05LC	690	248	248	248	0	0	MC4				4	9.63	12.77

Pérdida de carga acumulada del segmento	Δp_t	[Pa]	: 12.53
Velocidad en la sección inicial del segmento	V_m	[m/s]	: 4.8
Velocidad en la sección final del segmento	V_v	[m/s]	: 4
Recuperación de presión estática del segmento	Δp_r	[Pa]	: 4.24
Pérdida de carga acumulada del segmento, considerando la recuperación	Δp_{tm}	[Pa]	: 16.71
Pérdida de carga acumulada neta – total acumulado	$\Sigma \Delta p_{tm}$	[Pa]	: 134.97
Desequilibrio del terminal respecto al camino más desfavorable	Δp_{Tmr}	[Pa]	: 36.11

SEGMENTO 14:

Tipo: Terminal TRM-30

1 ELEMENTO		2 Caudal Q	3 Diam. D/D _e	4 Ancho A	5 Alto B	6 Long. L	7 $\Delta p/L$	8 Fuente Tab	9 Ashrae X	10 Ashrae Y	11 Coeff. C _o	12 Veloc. V	13 P.Dinám P _v	14 Pérdida Δp_r o Δp_e
N. pz.	Cod.	[m³/h]	[mm]	[mm]	[mm]	[m]	[Pa/m]	n.	-	-	-	[m/s]	[Pa]	[Pa]
62	3733D	690	273	250	250	0	0	ASH6_33			0.287	3.1	5.79	3.97
61	310R	690	273	250	250	0.42	0.52					3.1	5.79	0.22
63	079R	690	273	250	250	0	0	3.5	1.000	0.900	0.201	3.1	5.79	2.45
64	310R	690	273	250	250	0.38	0.53					3.1	5.79	0.2
66	079R	690	273	250	250	0	0	3.5	1.000	0.900	0.201	3.1	5.79	2.45
67	310R	690	273	250	250	0.74	0.53					3.1	5.79	0.39
167	42C1	690	248	248	248	0	0	4.7	30.000	1.290	0.300	4	9.63	2.84
69	05LC	690	248	248	248	0	0	MC4				4	9.63	12.77

Pérdida de carga acumulada del segmento	Δp_t	[Pa]	: 12.52
Velocidad en la sección inicial del segmento	V_m	[m/s]	: 4.8
Velocidad en la sección final del segmento	V_v	[m/s]	: 4
Recuperación de presión estática del segmento	Δp_r	[Pa]	: 4.24
Pérdida de carga acumulada del segmento, considerando la recuperación	Δp_{tm}	[Pa]	: 16.71
Pérdida de carga acumulada neta – total acumulado	$\Sigma \Delta p_{tm}$	[Pa]	: 134.97
Desequilibrio del terminal respecto al camino más desfavorable	Δp_{Tmr}	[Pa]	: 36.11

SEGMENTO 12:

Tipo: Tramo

1 ELEMENTO		2 Caudal Q	3 Diam. D/D _e	4 Ancho A	5 Alto B	6 Long. L	7 $\Delta p/L$	8 Fuente Tab	9 Ashrae X	10 Ashrae Y	11 Coeff. C _o	12 Veloc. V	13 P.Dinám P _v	14 Pérdida Δp_r o Δp_e
N. pz.	Cod.	[m³/h]	[mm]	[mm]	[mm]	[m]	[Pa/m]	n.	-	-	-	[m/s]	[Pa]	[Pa]
160	3722D	1380	400	300	450	0	0	MC4	0.500	1.000		2.8	4.72	0
161	273R	1380	299	300	250	0.27	0	5.1	30.000	1.800	0.050	5.1	15.66	0.79
48	310R	1380	299	300	250	5.23	1.21					5.1	15.66	6.31
47	079R	1380	299	300	250	0	0	3.5	0.833	0.900	0.415	5.1	15.66	15.03
49	310R	1380	299	300	250	0.71	1.21					5.1	15.66	0.86

Pérdida de carga acumulada del segmento	Δp_t	[Pa]	: 22.99
Velocidad en la sección inicial del segmento	V_m	[m/s]	: 4.3
Velocidad en la sección final del segmento	V_v	[m/s]	: 4.8
Recuperación de presión estática del segmento	Δp_r	[Pa]	: -2.74
Pérdida de carga acumulada del segmento, considerando la recuperación	Δp_{tm}	[Pa]	: 34.84
Pérdida de carga acumulada neta – total acumulado	$\Sigma \Delta p_{tm}$	[Pa]	: 130.39

SEGMENTO 11:

Tipo: Terminal TRM-30

1 ELEMENTO		2 Caudal Q	3 Diam. D/D _e	4 Ancho A	5 Alto B	6 Long. L	7 $\Delta p/L$	8 Fuente Tab	9 Ashrae X	10 Ashrae Y	11 Coeff. C _o	12 Veloc. V	13 P.Dinám P _v	14 Pérdida Δp_r o Δp_c
N. pz.	Cod.	[m³/h]	[mm]	[mm]	[mm]	[m]	[Pa/m]	n.	-	-	-	[m/s]	[Pa]	[Pa]
162	3733D	690	273	250	250	0	0	ASH6_33	0.833		0.287	3.1	5.79	3.97
55	310R	690	273	250	250	1.28	0.52					3.1	5.79	0.67
164	42C1	690	248	248	248	0	0	4.7	30.000	1.290	0.300	4	9.63	2.84
57	05LC	690	248	248	248	0	0	MC4				4	9.63	12.77

Pérdida de carga acumulada del segmento	Δp_t	[Pa] : 7.48
Velocidad en la sección inicial del segmento	V_m	[m/s] : 4.8
Velocidad en la sección final del segmento	V_v	[m/s] : 4
Recuperación de presión estática del segmento	Δp_r	[Pa] : 4.24
Pérdida de carga acumulada del segmento, considerando la recuperación	Δp_{tn}	[Pa] : 5.79
Pérdida de carga acumulada neta – total acumulado	$\Sigma \Delta p_{tn}$	[Pa] : 148.95
Desequilibrio del terminal respecto al camino más desfavorable	Δp_{Tmr}	[Pa] : 22.13

SEGMENTO 10:**Tipo:** Terminal TRM-30

1 ELEMENTO		2 Caudal Q	3 Diam. D/D _e	4 Ancho A	5 Alto B	6 Long. L	7 $\Delta p/L$	8 Fuente Tab	9 Ashrae X	10 Ashrae Y	11 Coeff. C _o	12 Veloc. V	13 P.Dinám P _v	14 Pérdida Δp_r o Δp_c
N. pz.	Cod.	[m³/h]	[mm]	[mm]	[mm]	[m]	[Pa/m]	n.	-	-	-	[m/s]	[Pa]	[Pa]
53	3733D	690	273	250	250	0	0	ASH6_33			0.287	3.1	5.79	3.97
52	310R	690	273	250	250	1.13	0.52					3.1	5.79	0.59
163	42C1	690	248	248	248	0	0	4.7	30.000	1.290	0.300	4	9.63	2.84
54	05LC	690	248	248	248	0	0	MC4				4	9.63	12.77

Pérdida de carga acumulada del segmento	Δp_t	[Pa] : 7.4
Velocidad en la sección inicial del segmento	V_m	[m/s] : 4.8
Velocidad en la sección final del segmento	V_v	[m/s] : 4
Recuperación de presión estática del segmento	Δp_r	[Pa] : 4.24
Pérdida de carga acumulada del segmento, considerando la recuperación	Δp_{tn}	[Pa] : 5.71
Pérdida de carga acumulada neta – total acumulado	$\Sigma \Delta p_{tn}$	[Pa] : 148.87
Desequilibrio del terminal respecto al camino más desfavorable	Δp_{Tmr}	[Pa] : 22.21

SEGMENTO 8:**Tipo:** Tramo

1 ELEMENTO		2 Caudal Q	3 Diam. D/D _e	4 Ancho A	5 Alto B	6 Long. L	7 $\Delta p/L$	8 Fuente Tab	9 Ashrae X	10 Ashrae Y	11 Coeff. C _o	12 Veloc. V	13 P.Dinám P _v	14 Pérdida Δp_r o Δp_c
N. pz.	Cod.	[m³/h]	[mm]	[mm]	[mm]	[m]	[Pa/m]	n.	-	-	-	[m/s]	[Pa]	[Pa]
148	3722D	2760	433	350	450	0	0	MC4	0.500	1.000	0.062	4.9	14.45	0.9
22	310R	2760	433	350	450	2.3	0.7					4.9	14.45	1.62
21	079R	2760	433	350	450	0	0	3.5	1.290	0.843	0.387	4.9	14.45	16.44
23	310R	2760	433	350	450	3.42	0.7					4.9	14.45	2.4

Pérdida de carga acumulada del segmento	Δp_t	[Pa] : 21.36
Velocidad en la sección inicial del segmento	V_m	[m/s] : 4.8
Velocidad en la sección final del segmento	V_v	[m/s] : 4.3
Recuperación de presión estática del segmento	Δp_r	[Pa] : 2.74
Pérdida de carga acumulada del segmento, considerando la recuperación	Δp_{tn}	[Pa] : 34.93
Pérdida de carga acumulada neta – total acumulado	$\Sigma \Delta p_{tn}$	[Pa] : 117.81

SEGMENTO 5:

Tipo: Tramo

1 ELEMENTO		2 Caudal Q	3 Diam. D/D _e	4 Ancho A	5 Alto B	6 Long. L	7 $\Delta p/L$	8 Fuente Tab	9 Ashrae X	10 Ashrae Y	11 Coeff. C _o	12 Veloc. V	13 P.Dinám P _v	14 Pérdida Δp_r o Δp_c
N. pz.	Cod.	[m³/h]	[mm]	[mm]	[mm]	[m]	[Pa/m]	n.	-	-	-	[m/s]	[Pa]	[Pa]
149	3722D	1380	400	300	450	0	0	MC4	0.500	1.000	0.928	2.8	4.72	4.38
156	273R	1380	299	300	250	0.27	0	5.1	30.000	1.800	0.050	5.1	15.66	0.79
36	310R	1380	299	300	250	0.81	1.21					5.1	15.66	0.98

Pérdida de carga acumulada del segmento

Δp_t [Pa] : 6.15

Velocidad en la sección inicial del segmento

V_m [m/s] : 4.3

Velocidad en la sección final del segmento

V_v [m/s] : 4.8

Recuperación de presión estática del segmento

Δp_r [Pa] : -2.74

Pérdida de carga acumulada del segmento, considerando la recuperación

Δp_{tm} [Pa] : 9.84

Pérdida de carga acumulada neta – total acumulado

$\Sigma \Delta p_{tm}$ [Pa] : 127.65

SEGMENTO 7:

Tipo: Terminal TRM-30

1 ELEMENTO		2 Caudal Q	3 Diam. D/D _e	4 Ancho A	5 Alto B	6 Long. L	7 $\Delta p/L$	8 Fuente Tab	9 Ashrae X	10 Ashrae Y	11 Coeff. C _o	12 Veloc. V	13 P.Dinám P _v	14 Pérdida Δp_r o Δp_c
N. pz.	Cod.	[m³/h]	[mm]	[mm]	[mm]	[m]	[Pa/m]	n.	-	-	-	[m/s]	[Pa]	[Pa]
155	3733D	690	273	250	250	0	0	ASH6_33	0.833		0.287	3.1	5.79	3.97
42	310R	690	273	250	250	1.31	0.52					3.1	5.79	0.68
158	42C1	690	248	248	248	0	0	4.7	30.000	1.290	0.300	4	9.63	2.84
44	05LC	690	248	248	248	0	0	MC4				4	9.63	12.77

Pérdida de carga acumulada del segmento

Δp_t [Pa] : 7.5

Velocidad en la sección inicial del segmento

V_m [m/s] : 4.8

Velocidad en la sección final del segmento

V_v [m/s] : 4

Recuperación de presión estática del segmento

Δp_r [Pa] : 4.24

Pérdida de carga acumulada del segmento, considerando la recuperación

Δp_{tm} [Pa] : 5.81

Pérdida de carga acumulada neta – total acumulado

$\Sigma \Delta p_{tm}$ [Pa] : 146.22

Desequilibrio del terminal respecto al camino más desfavorable

Δp_{Tmr} [Pa] : 24.86

SEGMENTO 6:

Tipo: Terminal TRM-30

1 ELEMENTO		2 Caudal Q	3 Diam. D/D _e	4 Ancho A	5 Alto B	6 Long. L	7 $\Delta p/L$	8 Fuente Tab	9 Ashrae X	10 Ashrae Y	11 Coeff. C _o	12 Veloc. V	13 P.Dinám P _v	14 Pérdida Δp_r o Δp_c
N. pz.	Cod.	[m³/h]	[mm]	[mm]	[mm]	[m]	[Pa/m]	n.	-	-	-	[m/s]	[Pa]	[Pa]
40	3733D	690	273	250	250	0	0	ASH6_33			0.287	3.1	5.79	3.97
39	310R	690	273	250	250	1.7	0.52					3.1	5.79	0.88
157	42C1	690	248	248	248	0	0	4.7	30.000	1.290	0.300	4	9.63	2.84
41	05LC	690	248	248	248	0	0	MC4				4	9.63	12.77

Pérdida de carga acumulada del segmento

Δp_t [Pa] : 7.7

Velocidad en la sección inicial del segmento

V_m [m/s] : 4.8

Velocidad en la sección final del segmento

V_v [m/s] : 4

Recuperación de presión estática del segmento

Δp_r [Pa] : 4.24

Pérdida de carga acumulada del segmento, considerando la recuperación
 Pérdida de carga acumulada neta – total acumulado
 Desequilibrio del terminal respecto al camino más desfavorable

Δp_{tm} [Pa] : 6.01
 $\Sigma \Delta p_{tm}$ [Pa] : 146.42
 Δp_{Tmr} [Pa] : 24.66

SEGMENTO 4:

Tipo: Tramo

1 ELEMENTO		2 Caudal Q	3 Diam. D/D _e	4 Ancho A	5 Alto B	6 Long. L	7 $\Delta p/L$	8 Fuente Tab	9 Ashrae X	10 Ashrae Y	11 Coeff. C _o	12 Veloc. V	13 P.Dinám P _v	14 Pérdida Δp_r o Δp_c
N. pz.	Cod.	[m³/h]	[mm]	[mm]	[mm]	[m]	[Pa/m]	n.	-	-	-	[m/s]	[Pa]	[Pa]
150	3722D	1380	400	300	450	0	0	MC4	0.500	1.000		2.8	4.72	0
151	273R	1380	299	300	250	0.27	0	5.1	30.000	1.800	0.050	5.1	15.66	0.79
26	310R	1380	299	300	250	5.03	1.21					5.1	15.66	6.07
25	079R	1380	299	300	250	0	0	3.5	0.833	0.900	0.415	5.1	15.66	15.03
27	310R	1380	299	300	250	0.81	1.21					5.1	15.66	0.98

Pérdida de carga acumulada del segmento
 Velocidad en la sección inicial del segmento
 Velocidad en la sección final del segmento
 Recuperación de presión estática del segmento
 Pérdida de carga acumulada del segmento, considerando la recuperación
 Pérdida de carga acumulada neta – total acumulado

Δp_t [Pa] : 22.87
 V_m [m/s] : 4.3
 V_v [m/s] : 4.8
 Δp_r [Pa] : -2.74
 Δp_{tm} [Pa] : 34.71
 $\Sigma \Delta p_{tm}$ [Pa] : 152.52

SEGMENTO 3:

Tipo: Terminal TRM-30

1 ELEMENTO		2 Caudal Q	3 Diam. D/D _e	4 Ancho A	5 Alto B	6 Long. L	7 $\Delta p/L$	8 Fuente Tab	9 Ashrae X	10 Ashrae Y	11 Coeff. C _o	12 Veloc. V	13 P.Dinám P _v	14 Pérdida Δp_r o Δp_c
N. pz.	Cod.	[m³/h]	[mm]	[mm]	[mm]	[m]	[Pa/m]	n.	-	-	-	[m/s]	[Pa]	[Pa]
152	3733D	690	273	250	250	0	0	ASH6_33	0.833		0.287	3.1	5.79	3.97
33	310R	690	273	250	250	1.28	0.52					3.1	5.79	0.67
154	42C1	690	248	248	248	0	0	4.7	30.000	1.290	0.300	4	9.63	2.84
35	05LC	690	248	248	248	0	0	MC4				4	9.63	12.77

Pérdida de carga acumulada del segmento
 Velocidad en la sección inicial del segmento
 Velocidad en la sección final del segmento
 Recuperación de presión estática del segmento
 Pérdida de carga acumulada del segmento, considerando la recuperación
 Pérdida de carga acumulada neta – total acumulado

Δp_t [Pa] : 7.48
 V_m [m/s] : 4.8
 V_v [m/s] : 4
 Δp_r [Pa] : 4.24
 Δp_{tm} [Pa] : 5.79
 $\Sigma \Delta p_{tm}$ [Pa] : 171.08

SEGMENTO 2:

Tipo: Terminal TRM-30

1 ELEMENTO		2 Caudal Q	3 Diam. D/D _e	4 Ancho A	5 Alto B	6 Long. L	7 $\Delta p/L$	8 Fuente Tab	9 Ashrae X	10 Ashrae Y	11 Coeff. C _o	12 Veloc. V	13 P.Dinám P _v	14 Pérdida Δp_r o Δp_c
N. pz.	Cod.	[m³/h]	[mm]	[mm]	[mm]	[m]	[Pa/m]	n.	-	-	-	[m/s]	[Pa]	[Pa]
31	3733D	690	273	250	250	0	0	ASH6_33			0.287	3.1	5.79	3.97
30	310R	690	273	250	250	1.13	0.52					3.1	5.79	0.59
153	42C1	690	248	248	248	0	0	4.7	30.000	1.290	0.300	4	9.63	2.84
32	05LC	690	248	248	248	0	0	MC4				4	9.63	12.77

Pérdida de carga acumulada del segmento	Δp_t	[Pa] : 7.4
Velocidad en la sección inicial del segmento	V_m	[m/s] : 4.8
Velocidad en la sección final del segmento	V_v	[m/s] : 4
Recuperación de presión estática del segmento	Δp_r	[Pa] : 4.24
Pérdida de carga acumulada del segmento, considerando la recuperación	Δp_{tn}	[Pa] : 5.71
Pérdida de carga acumulada neta – total acumulado	$\Sigma \Delta p_{tn}$	[Pa] : 171
Desequilibrio del terminal respecto al camino más desfavorable	Δp_{Tmr}	[Pa] : 0.08

DATOS GENERALES**Cliente:****Ciudad:** Alicante**Proyectista:****SISTEMA:****Nº Expediente:****Dibujo n.º:****Referencia:****Construcción:****Sistema:****Zona:** CL Vestibulo SA retorno**Circuito:****Altitud s.n.m** [m]: 7 **Altura** [m]: 0**Temperatura aire** [°C]: 20 **Humedad Relativa aire** [%]:**Método de cálculo: DIMENSIONADO DEL LA RED CON EL METODO DE PERDIDA DE CARGA CONSTANTE****DATOS DE CALCULO****Viscosidad del aire** [Pa*s]: 0.01816**Densidad del aire** [kg/m³]: 1.2**Revestimiento interior** :**Espesor** [mm]: 0**Rugosidad pared** [mm]: 0.15**CONDUCTOS Ratio B/A:** 0.5**OPCIONES****Tipo de cálculo elegido:** : 2

- Pérdida de carga distribuida [Pa/m]: 0.8
- Máxima velocidad en los tramos [m/s]: 6
- Máxima velocidad en los ramales [m/s]: 6

Cálculo con dimensiones normalizadas [Si/No]: Si

- Paso para el cálculo con dimensiones no normalizadas [mm]: 0
- Dimensión mínima [mm]: 0
- Dimensión máxima [mm]: 0

LIMITES**Mínimo desequilibrio para justificar el equilibrado y la inserción de compuertas en ramales** (Δp_{mr}) [Pa]: 10**Mínimo desequilibrio para justificar el equilibrado y la inserción de compuertas en terminales** (Δp_{msr}) [Pa]: 10**Máxima pérdida de carga admisible para las compuertas en terminales** (Δp_{MT}) [Pa]: 0**MAXIMA PERDIDA****Presión total para el camino más desfavorable** [Pa]: 180.56**Presión estática para el camino más desfavorable** [Pa]: 198.22**CAMINO MAS DESFAVOR.**

000-001-028-016-008-004-003

SEGMENTO 1:

Tipo: Tramo

1 ELEMENTO		2 Caudal Q	3 Diam. D/D _e	4 Ancho A	5 Alto B	6 Long. L	7 $\Delta p/L$	8 Fuente Tab	9 Ashrae X	10 Ashrae Y	11 Coeff. C _o	12 Veloc. V	13 P.Dinám P _v	14 Pérdida Δp_r o Δp_c
N. pz.	Cod.	[m³/h]	[mm]	[mm]	[mm]	[m]	[Pa/m]	n.	-	-	-	[m/s]	[Pa]	[Pa]
1	310R	10530	780	1200	450	0.48	0.46					5.4	17.55	0.22

Pérdida de carga acumulada del segmento	Δp_t	[Pa]	: 0.22
Velocidad en la sección inicial del segmento	V_m	[m/s]	: 5.4
Velocidad en la sección final del segmento	V_v	[m/s]	: 5.4
Recuperación de presión estática del segmento	Δp_r	[Pa]	: 0
Pérdida de carga acumulada del segmento, considerando la recuperación	Δp_{tm}	[Pa]	: 0.22
Pérdida de carga acumulada neta – total acumulado	$\Sigma \Delta p_{tm}$	[Pa]	: 0.22

SEGMENTO 29:

Tipo: Tramo

1 ELEMENTO		2 Caudal Q	3 Diam. D/D _e	4 Ancho A	5 Alto B	6 Long. L	7 $\Delta p/L$	8 Fuente Tab	9 Ashrae X	10 Ashrae Y	11 Coeff. C _o	12 Veloc. V	13 P.Dinám P _v	14 Pérdida Δp_r o Δp_c
N. pz.	Cod.	[m³/h]	[mm]	[mm]	[mm]	[m]	[Pa/m]	n.	-	-	-	[m/s]	[Pa]	[Pa]
144	3722D	870	321	200	450	0	0	MC4	0.083	0.182	1.840	2.7	4.39	8.08
185	273R	870	244	200	250	0.27	0	5.1	30.000	1.800	0.050	4.8	13.87	0.7
111	310R	870	244	200	250	1.44	1.4					4.8	13.87	2.02
113	079R	870	244	200	250	0	0	3.5	1.250	1.000	0.277	4.8	13.87	3.9
114	310R	870	244	200	250	7.51	1.4					4.8	13.87	10.54
116	079R	870	244	200	250	0	0	3.5	1.250	1.000	0.277	4.8	13.87	3.9
117	310R	870	244	200	250	4.28	1.4					4.8	13.87	6
119	079R	870	244	200	250	0	0	3.5	1.250	1.000	0.125	4.8	13.87	1.76
120	310R	870	244	200	250	1.07	1.4					4.8	13.87	1.5
122	079R	870	244	200	250	0	0	3.5	1.250	1.000	0.125	4.8	13.87	1.76
123	310R	870	244	200	250	9.77	1.4					4.8	13.87	13.71
125	079R	870	244	200	250	0	0	3.5	1.250	1.000	0.277	4.8	13.87	3.9
126	310R	870	244	200	250	6.79	1.4					4.8	13.87	9.53
128	079R	870	244	200	250	0	0	3.5	1.250	1.000	0.277	4.8	13.87	12.97
129	310R	870	244	250	200	1.81	1.4					4.8	13.87	2.53
131	079R	870	244	250	200	0	0	3.5	0.800	0.900	0.450	4.8	13.87	8.3
132	310R	870	244	250	200	8.1	1.4					4.8	13.87	11.36
134	079R	870	244	250	200	0	0	3.5	0.800	0.900	0.450	4.8	13.87	8.3
135	310R	870	244	250	200	0.72	1.4					4.8	13.87	1.01

Pérdida de carga acumulada del segmento	Δp_t	[Pa]	: 111.76
Velocidad en la sección inicial del segmento	V_m	[m/s]	: 5.4
Velocidad en la sección final del segmento	V_v	[m/s]	: 4.8
Recuperación de presión estática del segmento	Δp_r	[Pa]	: 3.68
Pérdida de carga acumulada del segmento, considerando la recuperación	Δp_{tm}	[Pa]	: 116.87
Pérdida de carga acumulada neta – total acumulado	$\Sigma \Delta p_{tm}$	[Pa]	: 117.09

SEGMENTO 31:

Tipo: Terminal TRM-29

1 ELEMENTO		2 Caudal Q	3 Diam. D/D _e	4 Ancho A	5 Alto B	6 Long. L	7 $\Delta p/L$	8 Fuente Tab	9 Ashrae X	10 Ashrae Y	11 Coeff. C _o	12 Veloc. V	13 P.Dinám P _v	14 Pérdida Δp_r o Δp_c
N. pz.	Cod.	[m³/h]	[mm]	[mm]	[mm]	[m]	[Pa/m]	n.	-	-	-	[m/s]	[Pa]	[Pa]
186	3733D	435	219	200	200	0	0	ASH6_33			0.270	3	5.42	3.8

141	310R	435	219	200	200	1.22	0.66					3	5.42	0.81
188	42C1	435	198	198	198	0	0	4.7	30.000	1.300	0.300	3.9	9.16	2.78
143	05LC	435	198	198	198	0	0	MC4				3.9	9.16	25

Pérdida de carga acumulada del segmento	Δp_t	[Pa]	: 7.39
Velocidad en la sección inicial del segmento	V_m	[m/s]	: 4.8
Velocidad en la sección final del segmento	V_v	[m/s]	: 3.9
Recuperación de presión estática del segmento	Δp_r	[Pa]	: 4.71
Pérdida de carga acumulada del segmento, considerando la recuperación	Δp_{tm}	[Pa]	: 2.59
Pérdida de carga acumulada neta – total acumulado	$\Sigma \Delta p_{tm}$	[Pa]	: 144.68
Desequilibrio del terminal respecto al camino más desfavorable	Δp_{Tmr}	[Pa]	: 35.87

SEGMENTO 30:

Tipo: Terminal TRM-29

1 ELEMENTO		2 Caudal Q	3 Diam. D/D _e	4 Ancho A	5 Alto B	6 Long. L	7 $\Delta p/L$	8 Fuente Tab	9 Ashrae X	10 Ashrae Y	11 Coeff. C _o	12 Veloc. V	13 P.Dinám P _v	14 Pérdida Δp_r o Δp_e
N. pz.	Cod.	[m³/h]	[mm]	[mm]	[mm]	[m]	[Pa/m]	n.	-	-	-	[m/s]	[Pa]	[Pa]
139	3733D	435	219	200	200	0	0	ASH6_33	0.800		0.270	3	5.42	3.8
138	310R	435	219	200	200	1.18	0.66					3	5.42	0.78
187	42C1	435	198	198	198	0	0	4.7	30.000	1.300	0.300	3.9	9.16	2.78
140	05LC	435	198	198	198	0	0	MC4				3.9	9.16	25

Pérdida de carga acumulada del segmento	Δp_t	[Pa]	: 7.36
Velocidad en la sección inicial del segmento	V_m	[m/s]	: 4.8
Velocidad en la sección final del segmento	V_v	[m/s]	: 3.9
Recuperación de presión estática del segmento	Δp_r	[Pa]	: 4.71
Pérdida de carga acumulada del segmento, considerando la recuperación	Δp_{tm}	[Pa]	: 2.57
Pérdida de carga acumulada neta – total acumulado	$\Sigma \Delta p_{tm}$	[Pa]	: 144.66
Desequilibrio del terminal respecto al camino más desfavorable	Δp_{Tmr}	[Pa]	: 35.9

SEGMENTO 28:

Tipo: Tramo

1 ELEMENTO		2 Caudal Q	3 Diam. D/D _e	4 Ancho A	5 Alto B	6 Long. L	7 $\Delta p/L$	8 Fuente Tab	9 Ashrae X	10 Ashrae Y	11 Coeff. C _o	12 Veloc. V	13 P.Dinám P _v	14 Pérdida Δp_r o Δp_e
N. pz.	Cod.	[m³/h]	[mm]	[mm]	[mm]	[m]	[Pa/m]	n.	-	-	-	[m/s]	[Pa]	[Pa]
145	3722D	9660	751	1100	450	0	0	MC4	0.083	0.182	0.050	5.4	17.55	0.88
3	310R	9660	751	1100	450	0.63	0.48					5.4	17.55	0.3
2	079R	9660	751	1100	450	0	0	3.5	0.409	0.727	0.364	5.4	17.55	6.45
4	310R	9660	751	1100	450	2.68	0.48					5.4	17.55	1.28
6	079R	9660	751	1100	450	0	0	3.5	0.409	0.727	0.364	5.4	17.55	6.45
7	310R	9660	751	1100	450	12.99	0.48					5.4	17.55	6.19
9	079R	9660	751	1100	450	0	0	3.5	0.409	0.727	0.607	5.4	17.55	10.75
10	310R	9660	751	1100	450	8.69	0.48					5.4	17.55	4.14
12	079R	9660	751	1100	450	0	0	3.5	0.409	0.727	0.607	5.4	17.55	14.47
13	310R	9660	751	1100	450	4.87	0.48					5.4	17.55	2.32
15	079R	9660	751	1100	450	0	0	3.5	0.409	0.727	0.607	5.4	17.55	10.75
16	310R	9660	751	1100	450	2.25	0.48					5.4	17.55	1.07

Pérdida de carga acumulada del segmento	Δp_t	[Pa]	: 65.05
Velocidad en la sección inicial del segmento	V_m	[m/s]	: 5.4
Velocidad en la sección final del segmento	V_v	[m/s]	: 5.4
Recuperación de presión estática del segmento	Δp_r	[Pa]	: 0
Pérdida de carga acumulada del segmento, considerando la recuperación	Δp_{tm}	[Pa]	: 72.92
Pérdida de carga acumulada neta – total acumulado	$\Sigma \Delta p_{tm}$	[Pa]	: 73.14

SEGMENTO 17:**Tipo:** Tramo

1 ELEMENTO		2 Caudal Q	3 Diam. D/D _e	4 Ancho A	5 Alto B	6 Long. L	7 $\Delta p/L$	8 Fuente Tab	9 Ashrae X	10 Ashrae Y	11 Coeff. C _o	12 Veloc. V	13 P.Dinám P _v	14 Pérdida Δp_r o Δp_c
N. pz.	Cod.	[m³/h]	[mm]	[mm]	[mm]	[m]	[Pa/m]	n.	-	-	-	[m/s]	[Pa]	[Pa]
146	3722D	4140	433	350	450	0	0	MC4	0.571	1.710	0.041	7.3	32.08	1.3
79	310R	4140	433	350	450	3.42	1.51					7.3	32.08	5.15

Pérdida de carga acumulada del segmento

 Δp_t [Pa] : 6.45

Velocidad en la sección inicial del segmento

 V_m [m/s] : 5.4

Velocidad en la sección final del segmento

 V_v [m/s] : 3.6

Recuperación de presión estática del segmento

 Δp_r [Pa] : 9.75

Pérdida de carga acumulada del segmento, considerando la recuperación

 Δp_{tm} [Pa] : 0.09

Pérdida de carga acumulada neta – total acumulado

 $\Sigma \Delta p_{tm}$ [Pa] : 73.23**SEGMENTO 25:****Tipo:** Tramo

1 ELEMENTO		2 Caudal Q	3 Diam. D/D _e	4 Ancho A	5 Alto B	6 Long. L	7 $\Delta p/L$	8 Fuente Tab	9 Ashrae X	10 Ashrae Y	11 Coeff. C _o	12 Veloc. V	13 P.Dinám P _v	14 Pérdida Δp_r o Δp_c
N. pz.	Cod.	[m³/h]	[mm]	[mm]	[mm]	[m]	[Pa/m]	n.	-	-	-	[m/s]	[Pa]	[Pa]
169	3722D	1380	400	300	450	0	0	MC4	0.333	0.857	0.752	2.8	4.72	3.55
182	273R	1380	299	300	250	0.27	0	5.1	30.000	1.800	0.050	5.1	15.66	0.79
102	310R	1380	299	300	250	0.34	1.21					5.1	15.66	0.41

Pérdida de carga acumulada del segmento

 Δp_t [Pa] : 4.75

Velocidad en la sección inicial del segmento

 V_m [m/s] : 3.6

Velocidad en la sección final del segmento

 V_v [m/s] : 4.8

Recuperación de presión estática del segmento

 Δp_r [Pa] : -6.07

Pérdida de carga acumulada del segmento, considerando la recuperación

 Δp_{tm} [Pa] : 11.58

Pérdida de carga acumulada neta – total acumulado

 $\Sigma \Delta p_{tm}$ [Pa] : 84.81**SEGMENTO 27:****Tipo:** Terminal TRM-30

1 ELEMENTO		2 Caudal Q	3 Diam. D/D _e	4 Ancho A	5 Alto B	6 Long. L	7 $\Delta p/L$	8 Fuente Tab	9 Ashrae X	10 Ashrae Y	11 Coeff. C _o	12 Veloc. V	13 P.Dinám P _v	14 Pérdida Δp_r o Δp_c
N. pz.	Cod.	[m³/h]	[mm]	[mm]	[mm]	[m]	[Pa/m]	n.	-	-	-	[m/s]	[Pa]	[Pa]
181	3733D	690	273	250	250	0	0	ASH6_33			0.287	3.1	5.79	3.97
108	310R	690	273	250	250	1.7	0.52					3.1	5.79	0.88
184	42C1	690	248	248	248	0	0	4.7	30.000	1.290	0.300	4	9.63	2.84
110	05LC	690	248	248	248	0	0	MC4				4	9.63	22.24

Pérdida de carga acumulada del segmento

 Δp_t [Pa] : 7.7

Velocidad en la sección inicial del segmento

 V_m [m/s] : 4.8

Velocidad en la sección final del segmento

 V_v [m/s] : 4

Recuperación de presión estática del segmento

 Δp_r [Pa] : 4.24

Pérdida de carga acumulada del segmento, considerando la recuperación

 Δp_{tm} [Pa] : 6.01

Pérdida de carga acumulada neta – total acumulado

 $\Sigma \Delta p_{tm}$ [Pa] : 113.07

Desequilibrio del terminal respecto al camino más desfavorable

 Δp_{Tmr} [Pa] : 67.49

SEGMENTO 26:**Tipo:** Terminal TRM-30

1 ELEMENTO		2 Caudal Q	3 Diam. D/D _e	4 Ancho A	5 Alto B	6 Long. L	7 $\Delta p/L$	8 Fuente Tab	9 Ashrae X	10 Ashrae Y	11 Coeff. C _o	12 Veloc. V	13 P.Dinám P _v	14 Pérdida Δp_r o Δp_c
N. pz.	Cod.	[m³/h]	[mm]	[mm]	[mm]	[m]	[Pa/m]	n.	-	-	-	[m/s]	[Pa]	[Pa]
106	3733D	690	273	250	250	0	0	ASH6_33	0.833		0.287	3.1	5.79	3.97
105	310R	690	273	250	250	1.31	0.52					3.1	5.79	0.68
183	42C1	690	248	248	248	0	0	4.7	30.000	1.290	0.300	4	9.63	2.84
107	05LC	690	248	248	248	0	0	MC4				4	9.63	22.24

Pérdida de carga acumulada del segmento

 Δp_t [Pa] : 7.5

Velocidad en la sección inicial del segmento

 V_m [m/s] : 4.8

Velocidad en la sección final del segmento

 V_v [m/s] : 4

Recuperación de presión estática del segmento

 Δp_r [Pa] : 4.24

Pérdida de carga acumulada del segmento, considerando la recuperación

 Δp_{tm} [Pa] : 5.81

Pérdida de carga acumulada neta – total acumulado

 $\Sigma \Delta p_{tm}$ [Pa] : 112.86

Desequilibrio del terminal respecto al camino más desfavorable

 Δp_{Tmr} [Pa] : 67.69**SEGMENTO 24:****Tipo:** Tramo

1 ELEMENTO		2 Caudal Q	3 Diam. D/D _e	4 Ancho A	5 Alto B	6 Long. L	7 $\Delta p/L$	8 Fuente Tab	9 Ashrae X	10 Ashrae Y	11 Coeff. C _o	12 Veloc. V	13 P.Dinám P _v	14 Pérdida Δp_r o Δp_c
N. pz.	Cod.	[m³/h]	[mm]	[mm]	[mm]	[m]	[Pa/m]	n.	-	-	-	[m/s]	[Pa]	[Pa]
170	3722D	2760	433	350	450	0	0	MC4	0.333	0.857	0.062	4.9	14.45	0.9
82	310R	2760	433	350	450	2.6	0.7					4.9	14.45	1.83

Pérdida de carga acumulada del segmento

 Δp_t [Pa] : 2.73

Velocidad en la sección inicial del segmento

 V_m [m/s] : 3.6

Velocidad en la sección final del segmento

 V_v [m/s] : 4.3

Recuperación de presión estática del segmento

 Δp_r [Pa] : -3.33

Pérdida de carga acumulada del segmento, considerando la recuperación

 Δp_{tm} [Pa] : 12

Pérdida de carga acumulada neta – total acumulado

 $\Sigma \Delta p_{tm}$ [Pa] : 85.24**SEGMENTO 21:****Tipo:** Tramo

1 ELEMENTO		2 Caudal Q	3 Diam. D/D _e	4 Ancho A	5 Alto B	6 Long. L	7 $\Delta p/L$	8 Fuente Tab	9 Ashrae X	10 Ashrae Y	11 Coeff. C _o	12 Veloc. V	13 P.Dinám P _v	14 Pérdida Δp_r o Δp_c
N. pz.	Cod.	[m³/h]	[mm]	[mm]	[mm]	[m]	[Pa/m]	n.	-	-	-	[m/s]	[Pa]	[Pa]
171	3722D	1380	400	300	450	0	0	MC4	0.500	1.000	0.928	2.8	4.72	4.38
178	273R	1380	299	300	250	0.27	0	5.1	30.000	1.800	0.050	5.1	15.66	0.79
93	310R	1380	299	300	250	2.14	1.21					5.1	15.66	2.58

Pérdida de carga acumulada del segmento

 Δp_t [Pa] : 7.75

Velocidad en la sección inicial del segmento

 V_m [m/s] : 4.3

Velocidad en la sección final del segmento

 V_v [m/s] : 4.8

Recuperación de presión estática del segmento

 Δp_r [Pa] : -2.74

Pérdida de carga acumulada del segmento, considerando la recuperación

 Δp_{tm} [Pa] : 11.44

Pérdida de carga acumulada neta – total acumulado

 $\Sigma \Delta p_{tm}$ [Pa] : 96.67

SEGMENTO 23:

Tipo: Terminal TRM-30

1 ELEMENTO		2 Caudal Q	3 Diam. D/D _e	4 Ancho A	5 Alto B	6 Long. L	7 $\Delta p/L$	8 Fuente Tab	9 Ashrae X	10 Ashrae Y	11 Coeff. C _o	12 Veloc. V	13 P.Dinám P _v	14 Pérdida Δp_r o Δp_c
N. pz.	Cod.	[m³/h]	[mm]	[mm]	[mm]	[m]	[Pa/m]	n.	-	-	-	[m/s]	[Pa]	[Pa]
177	3733D	690	273	250	250	0	0	ASH6_33			0.287	3.1	5.79	3.97
99	310R	690	273	250	250	1.29	0.52					3.1	5.79	0.67
180	42C1	690	248	248	248	0	0	4.7	30.000	1.290	0.300	4	9.63	2.84
101	05LC	690	248	248	248	0	0	MC4				4	9.63	22.24

Pérdida de carga acumulada del segmento

Δp_t [Pa] : 7.49

Velocidad en la sección inicial del segmento

V_m [m/s] : 4.8

Velocidad en la sección final del segmento

V_v [m/s] : 4

Recuperación de presión estática del segmento

Δp_r [Pa] : 4.24

Pérdida de carga acumulada del segmento, considerando la recuperación

Δp_{tm} [Pa] : 5.8

Pérdida de carga acumulada neta – total acumulado

$\Sigma \Delta p_{tm}$ [Pa] : 124.72

Desequilibrio del terminal respecto al camino más desfavorable

Δp_{Tmr} [Pa] : 55.84

SEGMENTO 22:

Tipo: Terminal TRM-30

1 ELEMENTO		2 Caudal Q	3 Diam. D/D _e	4 Ancho A	5 Alto B	6 Long. L	7 $\Delta p/L$	8 Fuente Tab	9 Ashrae X	10 Ashrae Y	11 Coeff. C _o	12 Veloc. V	13 P.Dinám P _v	14 Pérdida Δp_r o Δp_c
N. pz.	Cod.	[m³/h]	[mm]	[mm]	[mm]	[m]	[Pa/m]	n.	-	-	-	[m/s]	[Pa]	[Pa]
97	3733D	690	273	250	250	0	0	ASH6_33	0.833		0.287	3.1	5.79	3.97
96	310R	690	273	250	250	1.31	0.52					3.1	5.79	0.68
179	42C1	690	248	248	248	0	0	4.7	30.000	1.290	0.300	4	9.63	2.84
98	05LC	690	248	248	248	0	0	MC4				4	9.63	22.24

Pérdida de carga acumulada del segmento

Δp_t [Pa] : 7.5

Velocidad en la sección inicial del segmento

V_m [m/s] : 4.8

Velocidad en la sección final del segmento

V_v [m/s] : 4

Recuperación de presión estática del segmento

Δp_r [Pa] : 4.24

Pérdida de carga acumulada del segmento, considerando la recuperación

Δp_{tm} [Pa] : 5.81

Pérdida de carga acumulada neta – total acumulado

$\Sigma \Delta p_{tm}$ [Pa] : 124.72

Desequilibrio del terminal respecto al camino más desfavorable

Δp_{Tmr} [Pa] : 55.83

SEGMENTO 20:

Tipo: Tramo

1 ELEMENTO		2 Caudal Q	3 Diam. D/D _e	4 Ancho A	5 Alto B	6 Long. L	7 $\Delta p/L$	8 Fuente Tab	9 Ashrae X	10 Ashrae Y	11 Coeff. C _o	12 Veloc. V	13 P.Dinám P _v	14 Pérdida Δp_r o Δp_c
N. pz.	Cod.	[m³/h]	[mm]	[mm]	[mm]	[m]	[Pa/m]	n.	-	-	-	[m/s]	[Pa]	[Pa]
172	3722D	1380	400	300	450	0	0	MC4	0.500	1.000		2.8	4.72	0
173	273R	1380	299	300	250	0.27	0	5.1	30.000	1.800	0.050	5.1	15.66	0.79
83	310R	1380	299	300	250	2.43	1.21					5.1	15.66	2.94
81	079R	1380	299	300	250	0	0	3.5	0.833	0.900	0.415	5.1	15.66	6.53
84	310R	1380	299	300	250	0.34	1.21					5.1	15.66	0.41

Pérdida de carga acumulada del segmento

Δp_t [Pa] : 10.66

Velocidad en la sección inicial del segmento

V_m [m/s] : 4.3

Velocidad en la sección final del segmento	V_v	[m/s] : 5.1
Recuperación de presión estática del segmento	Δp_r	[Pa] : -4.53
Pérdida de carga acumulada del segmento, considerando la recuperación	Δp_{tn}	[Pa] : 15.47
Pérdida de carga acumulada neta – total acumulado	$\Sigma \Delta p_{tn}$	[Pa] : 100.71

SEGMENTO 19:**Tipo:** Terminal TRM-30

1 ELEMENTO		2 Caudal Q	3 Diam. D/D _e	4 Ancho A	5 Alto B	6 Long. L	7 $\Delta p/L$	8 Fuente Tab	9 Ashrae X	10 Ashrae Y	11 Coeff. C _o	12 Veloc. V	13 P.Dinám P _v	14 Pérdida Δp_r o Δp_e
N. pz.	Cod.	[m³/h]	[mm]	[mm]	[mm]	[m]	[Pa/m]	n.	-	-	-	[m/s]	[Pa]	[Pa]
174	3733D	690	273	250	250	0	0	ASH6_33	0.833		0.267	3.1	5.79	4.19
90	310R	690	273	250	250	1.28	0.52					3.1	5.79	0.67
176	42C1	690	248	248	248	0	0	4.7	30.000	1.290	0.300	4	9.63	2.84
92	05LC	690	248	248	248	0	0	MC4				4	9.63	22.24

Pérdida de carga acumulada del segmento	Δp_t	[Pa] : 7.7
Velocidad en la sección inicial del segmento	V_m	[m/s] : 5.1
Velocidad en la sección final del segmento	V_v	[m/s] : 4
Recuperación de presión estática del segmento	Δp_r	[Pa] : 6.03
Pérdida de carga acumulada del segmento, considerando la recuperación	Δp_{tn}	[Pa] : 1.45
Pérdida de carga acumulada neta – total acumulado	$\Sigma \Delta p_{tn}$	[Pa] : 124.4
Desequilibrio del terminal respecto al camino más desfavorable	Δp_{Tmr}	[Pa] : 56.15

SEGMENTO 18:**Tipo:** Terminal TRM-30

1 ELEMENTO		2 Caudal Q	3 Diam. D/D _e	4 Ancho A	5 Alto B	6 Long. L	7 $\Delta p/L$	8 Fuente Tab	9 Ashrae X	10 Ashrae Y	11 Coeff. C _o	12 Veloc. V	13 P.Dinám P _v	14 Pérdida Δp_r o Δp_e
N. pz.	Cod.	[m³/h]	[mm]	[mm]	[mm]	[m]	[Pa/m]	n.	-	-	-	[m/s]	[Pa]	[Pa]
88	3733D	690	273	250	250	0	0	ASH6_33			0.267	3.1	5.79	4.19
87	310R	690	273	250	250	1.13	0.52					3.1	5.79	0.59
175	42C1	690	248	248	248	0	0	4.7	30.000	1.290	0.300	4	9.63	2.84
89	05LC	690	248	248	248	0	0	MC4				4	9.63	22.24

Pérdida de carga acumulada del segmento	Δp_t	[Pa] : 7.62
Velocidad en la sección inicial del segmento	V_m	[m/s] : 5.1
Velocidad en la sección final del segmento	V_v	[m/s] : 4
Recuperación de presión estática del segmento	Δp_r	[Pa] : 6.03
Pérdida de carga acumulada del segmento, considerando la recuperación	Δp_{tn}	[Pa] : 1.38
Pérdida de carga acumulada neta – total acumulado	$\Sigma \Delta p_{tn}$	[Pa] : 124.32
Desequilibrio del terminal respecto al camino más desfavorable	Δp_{Tmr}	[Pa] : 56.23

SEGMENTO 16:**Tipo:** Tramo

1 ELEMENTO		2 Caudal Q	3 Diam. D/D _e	4 Ancho A	5 Alto B	6 Long. L	7 $\Delta p/L$	8 Fuente Tab	9 Ashrae X	10 Ashrae Y	11 Coeff. C _o	12 Veloc. V	13 P.Dinám P _v	14 Pérdida Δp_r o Δp_e
N. pz.	Cod.	[m³/h]	[mm]	[mm]	[mm]	[m]	[Pa/m]	n.	-	-	-	[m/s]	[Pa]	[Pa]
20	3722D	5520	567	600	450	0	0	MC4	0.571	1.710	0.446	5.7	19.56	8.73
19	310R	5520	567	600	450	3.82	0.68					5.7	19.56	2.58

Pérdida de carga acumulada del segmento	Δp_t	[Pa]	: 11.31
Velocidad en la sección inicial del segmento	V_m	[m/s]	: 5.4
Velocidad en la sección final del segmento	V_v	[m/s]	: 4.8
Recuperación de presión estática del segmento	Δp_r	[Pa]	: 3.68
Pérdida de carga acumulada del segmento, considerando la recuperación	Δp_{tn}	[Pa]	: 9.74
Pérdida de carga acumulada neta – total acumulado	$\Sigma \Delta p_{tn}$	[Pa]	: 82.88

SEGMENTO 9:

Tipo: Tramo

1 ELEMENTO		2 Caudal Q	3 Diam. D/D _e	4 Ancho A	5 Alto B	6 Long. L	7 $\Delta p/L$	8 Fuente Tab	9 Ashrae X	10 Ashrae Y	11 Coeff. C _o	12 Veloc. V	13 P.Dinám P _v	14 Pérdida Δp_r o Δp_e
N. pz.	Cod.	[m³/h]	[mm]	[mm]	[mm]	[m]	[Pa/m]	n.	-	-	-	[m/s]	[Pa]	[Pa]
147	3722D	2760	433	350	450	0	0	MC4	0.500	1.000	0.498	4.9	14.45	7.19
45	310R	2760	433	350	450	3.22	0.7					4.9	14.45	2.26

Pérdida de carga acumulada del segmento	Δp_t	[Pa]	: 9.45
Velocidad en la sección inicial del segmento	V_m	[m/s]	: 4.8
Velocidad en la sección final del segmento	V_v	[m/s]	: 4.3
Recuperación de presión estática del segmento	Δp_r	[Pa]	: 2.74
Pérdida de carga acumulada del segmento, considerando la recuperación	Δp_{tn}	[Pa]	: 12.68
Pérdida de carga acumulada neta – total acumulado	$\Sigma \Delta p_{tn}$	[Pa]	: 95.56

SEGMENTO 13:

Tipo: Tramo

1 ELEMENTO		2 Caudal Q	3 Diam. D/D _e	4 Ancho A	5 Alto B	6 Long. L	7 $\Delta p/L$	8 Fuente Tab	9 Ashrae X	10 Ashrae Y	11 Coeff. C _o	12 Veloc. V	13 P.Dinám P _v	14 Pérdida Δp_r o Δp_e
N. pz.	Cod.	[m³/h]	[mm]	[mm]	[mm]	[m]	[Pa/m]	n.	-	-	-	[m/s]	[Pa]	[Pa]
159	3722D	1380	400	300	450	0	0	MC4	0.500	1.000	0.928	2.8	4.72	4.38
166	273R	1380	299	300	250	0.27	0	5.1	30.000	1.800	0.050	5.1	15.66	0.79
58	310R	1380	299	300	250	0.89	1.21					5.1	15.66	1.08

Pérdida de carga acumulada del segmento	Δp_t	[Pa]	: 6.25
Velocidad en la sección inicial del segmento	V_m	[m/s]	: 4.3
Velocidad en la sección final del segmento	V_v	[m/s]	: 4.8
Recuperación de presión estática del segmento	Δp_r	[Pa]	: -2.74
Pérdida de carga acumulada del segmento, considerando la recuperación	Δp_{tn}	[Pa]	: 9.94
Pérdida de carga acumulada neta – total acumulado	$\Sigma \Delta p_{tn}$	[Pa]	: 105.49

SEGMENTO 15:

Tipo: Terminal TRM-30

1 ELEMENTO		2 Caudal Q	3 Diam. D/D _e	4 Ancho A	5 Alto B	6 Long. L	7 $\Delta p/L$	8 Fuente Tab	9 Ashrae X	10 Ashrae Y	11 Coeff. C _o	12 Veloc. V	13 P.Dinám P _v	14 Pérdida Δp_r o Δp_e
N. pz.	Cod.	[m³/h]	[mm]	[mm]	[mm]	[m]	[Pa/m]	n.	-	-	-	[m/s]	[Pa]	[Pa]
165	3733D	690	273	250	250	0	0	ASH6_33	0.833		0.287	3.1	5.79	3.97
70	310R	690	273	250	250	0.42	0.52					3.1	5.79	0.22
72	079R	690	273	250	250	0	0	3.5	1.000	0.900	0.201	3.1	5.79	2.45
73	310R	690	273	250	250	0.38	0.53					3.1	5.79	0.2
75	079R	690	273	250	250	0	0	3.5	1.000	0.900	0.201	3.1	5.79	2.45
76	310R	690	273	250	250	0.75	0.52					3.1	5.79	0.39

168	42C1	690	248	248	248	0	0	4.7	30.000	1.290	0.300	4	9.63	2.84
78	05LC	690	248	248	248	0	0	MC4				4	9.63	22.24

Pérdida de carga acumulada del segmento	Δp_t	[Pa]	: 12.53
Velocidad en la sección inicial del segmento	V_m	[m/s]	: 4.8
Velocidad en la sección final del segmento	V_v	[m/s]	: 4
Recuperación de presión estática del segmento	Δp_r	[Pa]	: 4.24
Pérdida de carga acumulada del segmento, considerando la recuperación	Δp_{tm}	[Pa]	: 16.71
Pérdida de carga acumulada neta – total acumulado	$\Sigma \Delta p_{tm}$	[Pa]	: 144.45
Desequilibrio del terminal respecto al camino más desfavorable	Δp_{Tmr}	[Pa]	: 36.11

SEGMENTO 14:

Tipo: Terminal TRM-30

1 ELEMENTO		2 Caudal Q	3 Diam. D/D _e	4 Ancho A	5 Alto B	6 Long. L	7 $\Delta p/L$	8 Fuente Tab	9 Ashrae X	10 Ashrae Y	11 Coeff. C _o	12 Veloc. V	13 P.Dinám P _v	14 Pérdida Δp_r o Δp_e
N. pz.	Cod.	[m³/h]	[mm]	[mm]	[mm]	[m]	[Pa/m]	n.	-	-	-	[m/s]	[Pa]	[Pa]
62	3733D	690	273	250	250	0	0	ASH6_33			0.287	3.1	5.79	3.97
61	310R	690	273	250	250	0.42	0.52					3.1	5.79	0.22
63	079R	690	273	250	250	0	0	3.5	1.000	0.900	0.201	3.1	5.79	2.45
64	310R	690	273	250	250	0.38	0.53					3.1	5.79	0.2
66	079R	690	273	250	250	0	0	3.5	1.000	0.900	0.201	3.1	5.79	2.45
67	310R	690	273	250	250	0.74	0.53					3.1	5.79	0.39
167	42C1	690	248	248	248	0	0	4.7	30.000	1.290	0.300	4	9.63	2.84
69	05LC	690	248	248	248	0	0	MC4				4	9.63	22.24

Pérdida de carga acumulada del segmento	Δp_t	[Pa]	: 12.52
Velocidad en la sección inicial del segmento	V_m	[m/s]	: 4.8
Velocidad en la sección final del segmento	V_v	[m/s]	: 4
Recuperación de presión estática del segmento	Δp_r	[Pa]	: 4.24
Pérdida de carga acumulada del segmento, considerando la recuperación	Δp_{tm}	[Pa]	: 16.71
Pérdida de carga acumulada neta – total acumulado	$\Sigma \Delta p_{tm}$	[Pa]	: 144.45
Desequilibrio del terminal respecto al camino más desfavorable	Δp_{Tmr}	[Pa]	: 36.11

SEGMENTO 12:

Tipo: Tramo

1 ELEMENTO		2 Caudal Q	3 Diam. D/D _e	4 Ancho A	5 Alto B	6 Long. L	7 $\Delta p/L$	8 Fuente Tab	9 Ashrae X	10 Ashrae Y	11 Coeff. C _o	12 Veloc. V	13 P.Dinám P _v	14 Pérdida Δp_r o Δp_e
N. pz.	Cod.	[m³/h]	[mm]	[mm]	[mm]	[m]	[Pa/m]	n.	-	-	-	[m/s]	[Pa]	[Pa]
160	3722D	1380	400	300	450	0	0	MC4	0.500	1.000		2.8	4.72	0
161	273R	1380	299	300	250	0.27	0	5.1	30.000	1.800	0.050	5.1	15.66	0.79
48	310R	1380	299	300	250	5.23	1.21					5.1	15.66	6.31
47	079R	1380	299	300	250	0	0	3.5	0.833	0.900	0.415	5.1	15.66	15.03
49	310R	1380	299	300	250	0.71	1.21					5.1	15.66	0.86

Pérdida de carga acumulada del segmento	Δp_t	[Pa]	: 22.99
Velocidad en la sección inicial del segmento	V_m	[m/s]	: 4.3
Velocidad en la sección final del segmento	V_v	[m/s]	: 4.8
Recuperación de presión estática del segmento	Δp_r	[Pa]	: -2.74
Pérdida de carga acumulada del segmento, considerando la recuperación	Δp_{tm}	[Pa]	: 34.84
Pérdida de carga acumulada neta – total acumulado	$\Sigma \Delta p_{tm}$	[Pa]	: 130.39

SEGMENTO 11:

Tipo: Terminal TRM-30

1 ELEMENTO		2 Caudal Q	3 Diam. D/D _e	4 Ancho A	5 Alto B	6 Long. L	7 $\Delta p/L$	8 Fuente Tab	9 Ashrae X	10 Ashrae Y	11 Coeff. C _o	12 Veloc. V	13 P.Dinám P _v	14 Pérdida Δp_r o Δp_c
N. pz.	Cod.	[m³/h]	[mm]	[mm]	[mm]	[m]	[Pa/m]	n.	-	-	-	[m/s]	[Pa]	[Pa]
162	3733D	690	273	250	250	0	0	ASH6_33	0.833		0.287	3.1	5.79	3.97
55	310R	690	273	250	250	1.28	0.52					3.1	5.79	0.67
164	42C1	690	248	248	248	0	0	4.7	30.000	1.290	0.300	4	9.63	2.84
57	05LC	690	248	248	248	0	0	MC4				4	9.63	22.24

Pérdida de carga acumulada del segmento	Δp_t	[Pa] : 7.48
Velocidad en la sección inicial del segmento	V_m	[m/s] : 4.8
Velocidad en la sección final del segmento	V_v	[m/s] : 4
Recuperación de presión estática del segmento	Δp_r	[Pa] : 4.24
Pérdida de carga acumulada del segmento, considerando la recuperación	Δp_{tn}	[Pa] : 5.79
Pérdida de carga acumulada neta – total acumulado	$\Sigma \Delta p_{tn}$	[Pa] : 158.43
Desequilibrio del terminal respecto al camino más desfavorable	Δp_{Tmr}	[Pa] : 22.13

SEGMENTO 10:

Tipo: Terminal TRM-30

1 ELEMENTO		2 Caudal Q	3 Diam. D/D _e	4 Ancho A	5 Alto B	6 Long. L	7 $\Delta p/L$	8 Fuente Tab	9 Ashrae X	10 Ashrae Y	11 Coeff. C _o	12 Veloc. V	13 P.Dinám P _v	14 Pérdida Δp_r o Δp_c
N. pz.	Cod.	[m³/h]	[mm]	[mm]	[mm]	[m]	[Pa/m]	n.	-	-	-	[m/s]	[Pa]	[Pa]
53	3733D	690	273	250	250	0	0	ASH6_33			0.287	3.1	5.79	3.97
52	310R	690	273	250	250	1.13	0.52					3.1	5.79	0.59
163	42C1	690	248	248	248	0	0	4.7	30.000	1.290	0.300	4	9.63	2.84
54	05LC	690	248	248	248	0	0	MC4				4	9.63	22.24

Pérdida de carga acumulada del segmento	Δp_t	[Pa] : 7.4
Velocidad en la sección inicial del segmento	V_m	[m/s] : 4.8
Velocidad en la sección final del segmento	V_v	[m/s] : 4
Recuperación de presión estática del segmento	Δp_r	[Pa] : 4.24
Pérdida de carga acumulada del segmento, considerando la recuperación	Δp_{tn}	[Pa] : 5.71
Pérdida de carga acumulada neta – total acumulado	$\Sigma \Delta p_{tn}$	[Pa] : 158.35
Desequilibrio del terminal respecto al camino más desfavorable	Δp_{Tmr}	[Pa] : 22.21

SEGMENTO 8:

Tipo: Tramo

1 ELEMENTO		2 Caudal Q	3 Diam. D/D _e	4 Ancho A	5 Alto B	6 Long. L	7 $\Delta p/L$	8 Fuente Tab	9 Ashrae X	10 Ashrae Y	11 Coeff. C _o	12 Veloc. V	13 P.Dinám P _v	14 Pérdida Δp_r o Δp_c
N. pz.	Cod.	[m³/h]	[mm]	[mm]	[mm]	[m]	[Pa/m]	n.	-	-	-	[m/s]	[Pa]	[Pa]
148	3722D	2760	433	350	450	0	0	MC4	0.500	1.000	0.062	4.9	14.45	0.9
22	310R	2760	433	350	450	2.3	0.7					4.9	14.45	1.62
21	079R	2760	433	350	450	0	0	3.5	1.290	0.843	0.387	4.9	14.45	16.44
23	310R	2760	433	350	450	3.42	0.7					4.9	14.45	2.4

Pérdida de carga acumulada del segmento	Δp_t	[Pa] : 21.36
Velocidad en la sección inicial del segmento	V_m	[m/s] : 4.8
Velocidad en la sección final del segmento	V_v	[m/s] : 4.3
Recuperación de presión estática del segmento	Δp_r	[Pa] : 2.74
Pérdida de carga acumulada del segmento, considerando la recuperación	Δp_{tn}	[Pa] : 34.93
Pérdida de carga acumulada neta – total acumulado	$\Sigma \Delta p_{tn}$	[Pa] : 117.81

SEGMENTO 5:

Tipo: Tramo

1 ELEMENTO		2 Caudal Q	3 Diam. D/D _e	4 Ancho A	5 Alto B	6 Long. L	7 $\Delta p/L$	8 Fuente Tab	9 Ashrae X	10 Ashrae Y	11 Coeff. C _o	12 Veloc. V	13 P.Dinám P _v	14 Pérdida Δp_r o Δp_c
N. pz.	Cod.	[m³/h]	[mm]	[mm]	[mm]	[m]	[Pa/m]	n.	-	-	-	[m/s]	[Pa]	[Pa]
149	3722D	1380	400	300	450	0	0	MC4	0.500	1.000	0.928	2.8	4.72	4.38
156	273R	1380	299	300	250	0.27	0	5.1	30.000	1.800	0.050	5.1	15.66	0.79
36	310R	1380	299	300	250	0.81	1.21					5.1	15.66	0.98

Pérdida de carga acumulada del segmento

Δp_t [Pa] : 6.15

Velocidad en la sección inicial del segmento

V_m [m/s] : 4.3

Velocidad en la sección final del segmento

V_v [m/s] : 4.8

Recuperación de presión estática del segmento

Δp_r [Pa] : -2.74

Pérdida de carga acumulada del segmento, considerando la recuperación

Δp_{tm} [Pa] : 9.84

Pérdida de carga acumulada neta – total acumulado

$\Sigma \Delta p_{tm}$ [Pa] : 127.65

SEGMENTO 7:

Tipo: Terminal TRM-30

1 ELEMENTO		2 Caudal Q	3 Diam. D/D _e	4 Ancho A	5 Alto B	6 Long. L	7 $\Delta p/L$	8 Fuente Tab	9 Ashrae X	10 Ashrae Y	11 Coeff. C _o	12 Veloc. V	13 P.Dinám P _v	14 Pérdida Δp_r o Δp_c
N. pz.	Cod.	[m³/h]	[mm]	[mm]	[mm]	[m]	[Pa/m]	n.	-	-	-	[m/s]	[Pa]	[Pa]
155	3733D	690	273	250	250	0	0	ASH6_33	0.833		0.287	3.1	5.79	3.97
42	310R	690	273	250	250	1.31	0.52					3.1	5.79	0.68
158	42C1	690	248	248	248	0	0	4.7	30.000	1.290	0.300	4	9.63	2.84
44	05LC	690	248	248	248	0	0	MC4				4	9.63	22.24

Pérdida de carga acumulada del segmento

Δp_t [Pa] : 7.5

Velocidad en la sección inicial del segmento

V_m [m/s] : 4.8

Velocidad en la sección final del segmento

V_v [m/s] : 4

Recuperación de presión estática del segmento

Δp_r [Pa] : 4.24

Pérdida de carga acumulada del segmento, considerando la recuperación

Δp_{tm} [Pa] : 5.81

Pérdida de carga acumulada neta – total acumulado

$\Sigma \Delta p_{tm}$ [Pa] : 155.7

Desequilibrio del terminal respecto al camino más desfavorable

Δp_{Tmr} [Pa] : 24.86

SEGMENTO 6:

Tipo: Terminal TRM-30

1 ELEMENTO		2 Caudal Q	3 Diam. D/D _e	4 Ancho A	5 Alto B	6 Long. L	7 $\Delta p/L$	8 Fuente Tab	9 Ashrae X	10 Ashrae Y	11 Coeff. C _o	12 Veloc. V	13 P.Dinám P _v	14 Pérdida Δp_r o Δp_c
N. pz.	Cod.	[m³/h]	[mm]	[mm]	[mm]	[m]	[Pa/m]	n.	-	-	-	[m/s]	[Pa]	[Pa]
40	3733D	690	273	250	250	0	0	ASH6_33			0.287	3.1	5.79	3.97
39	310R	690	273	250	250	1.7	0.52					3.1	5.79	0.88
157	42C1	690	248	248	248	0	0	4.7	30.000	1.290	0.300	4	9.63	2.84
41	05LC	690	248	248	248	0	0	MC4				4	9.63	22.24

Pérdida de carga acumulada del segmento

Δp_t [Pa] : 7.7

Velocidad en la sección inicial del segmento

V_m [m/s] : 4.8

Velocidad en la sección final del segmento

V_v [m/s] : 4

Recuperación de presión estática del segmento

Δp_r [Pa] : 4.24

Pérdida de carga acumulada del segmento, considerando la recuperación
 Pérdida de carga acumulada neta – total acumulado
 Desequilibrio del terminal respecto al camino más desfavorable

Δp_{tm} [Pa] : 6.01
 $\Sigma \Delta p_{tm}$ [Pa] : 155.9
 Δp_{Tmr} [Pa] : 24.66

SEGMENTO 4:

Tipo: Tramo

1 ELEMENTO		2 Caudal Q	3 Diam. D/D _e	4 Ancho A	5 Alto B	6 Long. L	7 $\Delta p/L$	8 Fuente Tab	9 Ashrae X	10 Ashrae Y	11 Coeff. C _o	12 Veloc. V	13 P.Dinám P _v	14 Pérdida Δp_r o Δp_c
N. pz.	Cod.	[m³/h]	[mm]	[mm]	[mm]	[m]	[Pa/m]	n.	-	-	-	[m/s]	[Pa]	[Pa]
150	3722D	1380	400	300	450	0	0	MC4	0.500	1.000		2.8	4.72	0
151	273R	1380	299	300	250	0.27	0	5.1	30.000	1.800	0.050	5.1	15.66	0.79
26	310R	1380	299	300	250	5.03	1.21					5.1	15.66	6.07
25	079R	1380	299	300	250	0	0	3.5	0.833	0.900	0.415	5.1	15.66	15.03
27	310R	1380	299	300	250	0.81	1.21					5.1	15.66	0.98

Pérdida de carga acumulada del segmento
 Velocidad en la sección inicial del segmento
 Velocidad en la sección final del segmento
 Recuperación de presión estática del segmento
 Pérdida de carga acumulada del segmento, considerando la recuperación
 Pérdida de carga acumulada neta – total acumulado

Δp_t [Pa] : 22.87
 V_m [m/s] : 4.3
 V_v [m/s] : 4.8
 Δp_r [Pa] : -2.74
 Δp_{tm} [Pa] : 34.71
 $\Sigma \Delta p_{tm}$ [Pa] : 152.52

SEGMENTO 3:

Tipo: Terminal TRM-30

1 ELEMENTO		2 Caudal Q	3 Diam. D/D _e	4 Ancho A	5 Alto B	6 Long. L	7 $\Delta p/L$	8 Fuente Tab	9 Ashrae X	10 Ashrae Y	11 Coeff. C _o	12 Veloc. V	13 P.Dinám P _v	14 Pérdida Δp_r o Δp_c
N. pz.	Cod.	[m³/h]	[mm]	[mm]	[mm]	[m]	[Pa/m]	n.	-	-	-	[m/s]	[Pa]	[Pa]
152	3733D	690	273	250	250	0	0	ASH6_33	0.833		0.287	3.1	5.79	3.97
33	310R	690	273	250	250	1.28	0.52					3.1	5.79	0.67
154	42C1	690	248	248	248	0	0	4.7	30.000	1.290	0.300	4	9.63	2.84
35	05LC	690	248	248	248	0	0	MC4				4	9.63	22.24

Pérdida de carga acumulada del segmento
 Velocidad en la sección inicial del segmento
 Velocidad en la sección final del segmento
 Recuperación de presión estática del segmento
 Pérdida de carga acumulada del segmento, considerando la recuperación
 Pérdida de carga acumulada neta – total acumulado

Δp_t [Pa] : 7.48
 V_m [m/s] : 4.8
 V_v [m/s] : 4
 Δp_r [Pa] : 4.24
 Δp_{tm} [Pa] : 5.79
 $\Sigma \Delta p_{tm}$ [Pa] : 180.56

SEGMENTO 2:

Tipo: Terminal TRM-30

1 ELEMENTO		2 Caudal Q	3 Diam. D/D _e	4 Ancho A	5 Alto B	6 Long. L	7 $\Delta p/L$	8 Fuente Tab	9 Ashrae X	10 Ashrae Y	11 Coeff. C _o	12 Veloc. V	13 P.Dinám P _v	14 Pérdida Δp_r o Δp_c
N. pz.	Cod.	[m³/h]	[mm]	[mm]	[mm]	[m]	[Pa/m]	n.	-	-	-	[m/s]	[Pa]	[Pa]
31	3733D	690	273	250	250	0	0	ASH6_33			0.287	3.1	5.79	3.97
30	310R	690	273	250	250	1.13	0.52					3.1	5.79	0.59
153	42C1	690	248	248	248	0	0	4.7	30.000	1.290	0.300	4	9.63	2.84
32	05LC	690	248	248	248	0	0	MC4				4	9.63	22.24

Pérdida de carga acumulada del segmento	Δp_t	[Pa] : 7.4
Velocidad en la sección inicial del segmento	V_m	[m/s] : 4.8
Velocidad en la sección final del segmento	V_v	[m/s] : 4
Recuperación de presión estática del segmento	Δp_r	[Pa] : 4.24
Pérdida de carga acumulada del segmento, considerando la recuperación	Δp_{tn}	[Pa] : 5.71
Pérdida de carga acumulada neta – total acumulado	$\Sigma \Delta p_{tn}$	[Pa] : 180.48
Desequilibrio del terminal respecto al camino más desfavorable	Δp_{Tmr}	[Pa] : 0.08

DATOS GENERALES**Cliente:****Ciudad:** Alicante**Proyectista:****SISTEMA:****Nº Expediente:****Dibujo n.º:****Referencia:****Construcción:****Sistema:****Zona:** CL Vestuarios
impulsion**Circuito:****Altitud s.n.m** [m]: 7**Altura** [m]: 0**Temperatura aire** [°C]: 20**Humedad Relativa aire** [%]:**Método de cálculo: DIMENSIONADO DEL LA RED CON EL METODO DE PERDIDA DE CARGA CONSTANTE****DATOS DE CALCULO****Viscosidad del aire** [Pa*s]: 0.01816**Densidad del aire** [kg/m³]: 1.2**Revestimiento interior** :**Espesor** [mm]: 0**Rugosidad pared** [mm]: 0.15**CONDUCTOS Ratio B/A:** 0.5**OPCIONES****Tipo de cálculo elegido:** : 2

- Pérdida de carga distribuida [Pa/m]: 0.8
- Máxima velocidad en los tramos [m/s]: 6
- Máxima velocidad en los ramales [m/s]: 6

Cálculo con dimensiones normalizadas [Si/No]: Si

- Paso para el cálculo con dimensiones no normalizadas [mm]: 0
- Dimensión mínima [mm]: 0
- Dimensión máxima [mm]: 0

LIMITES**Mínimo desequilibrio para justificar el equilibrado y la inserción de compuertas en ramales** (Δp_{mr}) [Pa]: 10**Mínimo desequilibrio para justificar el equilibrado y la inserción de compuertas en terminales** (Δp_{msr}) [Pa]: 10**Máxima pérdida de carga admisible para las compuertas en terminales** (Δp_{MT}) [Pa]: 0**MAXIMA PERDIDA****Presión total para el camino más desfavorable** [Pa]: 1746.77**Presión estática para el camino más desfavorable** [Pa]: 1686.3**CAMINO MAS DESFAVOR.**

000-001-009-010

SEGMENTO 1:

Tipo: Tramo

1 ELEMENTO		2 Caudal Q	3 Diam. D/D _e	4 Ancho A	5 Alto B	6 Long. L	7 $\Delta p/L$	8 Fuente Tab	9 Ashrae X	10 Ashrae Y	11 Coeff. C _o	12 Veloc. V	13 P.Dinám P _v	14 Pérdida Δp_r o Δp_e
N. pz.	Cod.	[m³/h]	[mm]	[mm]	[mm]	[m]	[Pa/m]	n.	-	-	-	[m/s]	[Pa]	[Pa]
1	310R	3155	322	350	250	1.46	3.97					10	60.2	5.79
2	079R	3155	322	350	250	0	0	3.5	0.714	0.843	0.392	10	60.2	23.69
3	310R	3155	322	350	250	1.28	3.99					10	60.2	5.11
5	079R	3155	322	350	250	0	0	3.5	0.714	0.843	0.392	10	60.2	23.69
6	310R	3155	322	350	250	10.75	3.98					10	60.2	42.81

Pérdida de carga acumulada del segmento

Δp_t [Pa] : 101.09

Velocidad en la sección inicial del segmento

V_m [m/s] : 10

Velocidad en la sección final del segmento

V_v [m/s] : 4.9

Recuperación de presión estática del segmento

Δp_r [Pa] : 45.75

Pérdida de carga acumulada del segmento, considerando la recuperación

Δp_{tm} [Pa] : 73.43

Pérdida de carga acumulada neta – total acumulado

$\Sigma \Delta p_{tm}$ [Pa] : 73.43

SEGMENTO 9:

Tipo: Tramo

1 ELEMENTO		2 Caudal Q	3 Diam. D/D _e	4 Ancho A	5 Alto B	6 Long. L	7 $\Delta p/L$	8 Fuente Tab	9 Ashrae X	10 Ashrae Y	11 Coeff. C _o	12 Veloc. V	13 P.Dinám P _v	14 Pérdida Δp_r o Δp_e
N. pz.	Cod.	[m³/h]	[mm]	[mm]	[mm]	[m]	[Pa/m]	n.	-	-	-	[m/s]	[Pa]	[Pa]
80	3722D	1775	245	350	150	0	0	MC4	0.563	0.600	0.168	9.4	53.19	8.94
100	273R	1775	164	150	150	0.27	0	5.1	30.000	2.330	0.048	21.9	288.73	11.59
55	310R	1775	164	150	150	3.87	40.93					21.9	288.73	158.41
57	079R	1775	164	150	150	0	0	3.5	1.000	1.170	0.197	21.9	288.73	18.55
58	310R	1775	164	150	150	1.47	40.8					21.9	288.73	59.98
60	079R	1775	164	150	150	0	0	3.5	1.000	1.170	0.197	21.9	288.73	74.2
61	310R	1775	164	150	150	5.94	40.93					21.9	288.73	243.12
63	079R	1775	164	150	150	0	0	3.5	1.000	1.170	0.197	21.9	288.73	18.55
64	310R	1775	164	150	150	1	40.91					21.9	288.73	40.91
66	079R	1775	164	150	150	0	0	3.5	1.000	1.170	0.197	21.9	288.73	56.98
67	310R	1775	164	150	150	2.05	40.87					21.9	288.73	83.79
69	079R	1775	164	150	150	0	0	3.5	1.000	1.170	0.197	21.9	288.73	56.98
70	310R	1775	164	150	150	0.93	40.81					21.9	288.73	37.95

Pérdida de carga acumulada del segmento

Δp_t [Pa] : 869.94

Velocidad en la sección inicial del segmento

V_m [m/s] : 4.9

Velocidad en la sección final del segmento

V_v [m/s] : 21.9

Recuperación de presión estática del segmento

Δp_r [Pa] : -274.27

Pérdida de carga acumulada del segmento, considerando la recuperación

Δp_{tm} [Pa] : 1711.34

Pérdida de carga acumulada neta – total acumulado

$\Sigma \Delta p_{tm}$ [Pa] : 1784.77

SEGMENTO 11:

Tipo: Terminal TRM-25

1 ELEMENTO		2 Caudal Q	3 Diam. D/D _e	4 Ancho A	5 Alto B	6 Long. L	7 $\Delta p/L$	8 Fuente Tab	9 Ashrae X	10 Ashrae Y	11 Coeff. C _o	12 Veloc. V	13 P.Dinám P _v	14 Pérdida Δp_r o Δp_e
N. pz.	Cod.	[m³/h]	[mm]	[mm]	[mm]	[m]	[Pa/m]	n.	-	-	-	[m/s]	[Pa]	[Pa]
101	3722D	950	164	150	150	0	0	MC4	0.535	1.000	1.230	11.7	82.41	101.73
77	310R	950	164	150	150	1.06	12.18					11.7	82.41	12.91
104	42C1	950	164	150	150	0.08	0	4.7	30.000	2.150	0.316	11.7	82.41	26.17

79	05LC	950	248	248	248	0	0	MC4				5.5	18.21	-18.97
----	------	-----	-----	-----	-----	---	---	-----	--	--	--	-----	-------	--------

Pérdida de carga acumulada del segmento	Δp_t	[Pa]	: 140.81
Velocidad en la sección inicial del segmento	V_m	[m/s]	: 21.9
Velocidad en la sección final del segmento	V_v	[m/s]	: 5.5
Recuperación de presión estática del segmento	Δp_r	[Pa]	: 270.51
Pérdida de carga acumulada del segmento, considerando la recuperación	Δp_{tm}	[Pa]	: -130.96
Pérdida de carga acumulada neta – total acumulado	$\Sigma \Delta p_{tm}$	[Pa]	: 1634.85
Desequilibrio del terminal respecto al camino más desfavorable	Δp_{Tmr}	[Pa]	: 51.45

SEGMENTO 10:

Tipo: Terminal TRM-25

1 ELEMENTO		2 Caudal Q	3 Diam. D/D _e	4 Ancho A	5 Alto B	6 Long. L	7 $\Delta p/L$	8 Fuente Tab	9 Ashrae X	10 Ashrae Y	11 Coeff. C _o	12 Veloc. V	13 P.Dinám P _v	14 Pérdida Δp_r o Δp_c
N. pz.	Cod.	[m³/h]	[mm]	[mm]	[mm]	[m]	[Pa/m]	n.	-	-	-	[m/s]	[Pa]	[Pa]
102	3722D	825	164	150	150	0	0	MC4	0.535	1.000	1.600	10.2	62.63	99.92
73	310R	825	164	150	150	5.05	9.33					10.2	62.63	47.1
72	079R	825	164	150	150	0	0	3.5	1.000	1.170	0.248	10.2	62.63	15.53
74	310R	825	164	150	150	1.06	9.32					10.2	62.63	9.88
103	42C1	825	164	150	150	0.08	0	4.7	30.000	2.150	0.316	10.2	62.63	19.83
76	05LC	825	248	248	248	0	0	MC4				4.8	13.87	-14.61

Pérdida de carga acumulada del segmento	Δp_t	[Pa]	: 192.26
Velocidad en la sección inicial del segmento	V_m	[m/s]	: 21.9
Velocidad en la sección final del segmento	V_v	[m/s]	: 4.8
Recuperación de presión estática del segmento	Δp_r	[Pa]	: 274.86
Pérdida de carga acumulada del segmento, considerando la recuperación	Δp_{tm}	[Pa]	: -83.86
Pérdida de carga acumulada neta – total acumulado	$\Sigma \Delta p_{tm}$	[Pa]	: 1686.3

SEGMENTO 8:

Tipo: Tramo

1 ELEMENTO		2 Caudal Q	3 Diam. D/D _e	4 Ancho A	5 Alto B	6 Long. L	7 $\Delta p/L$	8 Fuente Tab	9 Ashrae X	10 Ashrae Y	11 Coeff. C _o	12 Veloc. V	13 P.Dinám P _v	14 Pérdida Δp_r o Δp_c
N. pz.	Cod.	[m³/h]	[mm]	[mm]	[mm]	[m]	[Pa/m]	n.	-	-	-	[m/s]	[Pa]	[Pa]
81	3722D	1380	322	350	250	0	0	MC4	0.563	0.600	0.421	4.4	11.65	4.9
82	273R	1380	299	300	250	0.14	0	5.1	30.000	1.170	0.050	5.1	15.66	0.79
9	310R	1380	299	300	250	6.35	1.21					5.1	15.66	7.66
8	079R	1380	299	300	250	0	0	3.5	0.833	0.900	0.415	5.1	15.66	8.45
10	310R	1380	299	300	250	4.62	1.21					5.1	15.66	5.58
12	079R	1380	299	300	250	0	0	3.5	0.833	0.900	0.415	5.1	15.66	6.53
13	310R	1380	299	300	250	1.02	1.21					5.1	15.66	1.23
84	023R	1380	299	300	250	0.53	0	4.3	30.000	1.100	0.300	5.1	15.66	4.72
16	310R	1380	299	550	150	1.85	1.21					4.6	12.74	2.24
87	033R	1380	299	300	250	0.53	0	4.3	30.000	1.100	0.300	5.1	15.66	4.72
17	310R	1380	299	300	250	4.79	1.21					5.1	15.66	5.78

Pérdida de carga acumulada del segmento	Δp_t	[Pa]	: 52.59
Velocidad en la sección inicial del segmento	V_m	[m/s]	: 4.9
Velocidad en la sección final del segmento	V_v	[m/s]	: 4.8
Recuperación de presión estática del segmento	Δp_r	[Pa]	: 0.58
Pérdida de carga acumulada del segmento, considerando la recuperación	Δp_{tm}	[Pa]	: 54.48
Pérdida de carga acumulada neta – total acumulado	$\Sigma \Delta p_{tm}$	[Pa]	: 127.91

SEGMENTO 7:

Tipo: Terminal TRM-26

1 ELEMENTO		2 Caudal Q	3 Diam. D/D _e	4 Ancho A	5 Alto B	6 Long. L	7 $\Delta p/L$	8 Fuente Tab	9 Ashrae X	10 Ashrae Y	11 Coeff. C _o	12 Veloc. V	13 P.Dinám P _v	14 Pérdida Δp_r o Δp_e
N. pz.	Cod.	[m³/h]	[mm]	[mm]	[mm]	[m]	[Pa/m]	n.	-	-	-	[m/s]	[Pa]	[Pa]
85	3722D	345	244	200	250	0	0	MC4	0.750	1.250	0.954	1.9	2.17	2.07
98	283R	345	219	200	200	0.14	0	5.1	30.000	1.250	0.050	2.4	3.47	0
46	310R	345	219	200	200	0.6	0.43					2.4	3.47	0.26
48	079R	345	219	200	200	0	0	3.5	1.000	1.000	0.336	2.4	3.47	3.4
49	310R	345	219	200	200	2.65	0.43					2.4	3.47	1.15
51	079R	345	219	200	200	0	0	3.5	1.000	1.000	0.336	2.4	3.47	3.4
52	310R	345	219	200	200	0.7	0.43					2.4	3.47	0.3
99	42C1	345	198	198	198	0	0	4.7	30.000	1.300	0.300	3.1	5.79	1.75
54	05LC	345	198	198	198	0	0	MC4				3.1	5.79	24.17

Pérdida de carga acumulada del segmento	Δp_t	[Pa]	: 12.33
Velocidad en la sección inicial del segmento	V_m	[m/s]	: 4.8
Velocidad en la sección final del segmento	V_v	[m/s]	: 3.1
Recuperación de presión estática del segmento	Δp_r	[Pa]	: 8.08
Pérdida de carga acumulada del segmento, considerando la recuperación	Δp_{tm}	[Pa]	: 8.42
Pérdida de carga acumulada neta – total acumulado	$\Sigma \Delta p_{tm}$	[Pa]	: 160.5
Desequilibrio del terminal respecto al camino más desfavorable	Δp_{Tmr}	[Pa]	: 1525.8

SEGMENTO 6:

Tipo: Tramo

1 ELEMENTO		2 Caudal Q	3 Diam. D/D _e	4 Ancho A	5 Alto B	6 Long. L	7 $\Delta p/L$	8 Fuente Tab	9 Ashrae X	10 Ashrae Y	11 Coeff. C _o	12 Veloc. V	13 P.Dinám P _v	14 Pérdida Δp_r o Δp_e
N. pz.	Cod.	[m³/h]	[mm]	[mm]	[mm]	[m]	[Pa/m]	n.	-	-	-	[m/s]	[Pa]	[Pa]
19	3722D	1035	273	250	250	0	0	MC4	0.750	1.250	0.579	4.6	12.74	7.38
18	310R	1035	273	250	250	7.85	1.11					4.6	12.74	8.73

Pérdida de carga acumulada del segmento	Δp_t	[Pa]	: 16.11
Velocidad en la sección inicial del segmento	V_m	[m/s]	: 4.8
Velocidad en la sección final del segmento	V_v	[m/s]	: 4.6
Recuperación de presión estática del segmento	Δp_r	[Pa]	: 1.13
Pérdida de carga acumulada del segmento, considerando la recuperación	Δp_{tm}	[Pa]	: 21
Pérdida de carga acumulada neta – total acumulado	$\Sigma \Delta p_{tm}$	[Pa]	: 148.91

SEGMENTO 5:

Tipo: Terminal TRM-26

1 ELEMENTO		2 Caudal Q	3 Diam. D/D _e	4 Ancho A	5 Alto B	6 Long. L	7 $\Delta p/L$	8 Fuente Tab	9 Ashrae X	10 Ashrae Y	11 Coeff. C _o	12 Veloc. V	13 P.Dinám P _v	14 Pérdida Δp_r o Δp_e
N. pz.	Cod.	[m³/h]	[mm]	[mm]	[mm]	[m]	[Pa/m]	n.	-	-	-	[m/s]	[Pa]	[Pa]
88	3722D	345	244	200	250	0	0	MC4	0.333	0.800	3.380	1.9	2.17	7.33
96	273R	345	219	200	200	0.14	0	5.1	30.000	1.250	0.050	2.4	3.47	0.17
37	310R	345	219	200	200	0.6	0.43					2.4	3.47	0.26
39	079R	345	219	200	200	0	0	3.5	1.000	1.000	0.336	2.4	3.47	3.4
40	310R	345	219	200	200	2.65	0.43					2.4	3.47	1.15
42	079R	345	219	200	200	0	0	3.5	1.000	1.000	0.336	2.4	3.47	3.4
43	310R	345	219	200	200	0.7	0.43					2.4	3.47	0.3
97	42C1	345	198	198	198	0	0	4.7	30.000	1.300	0.300	3.1	5.79	1.75
45	05LC	345	198	198	198	0	0	MC4				3.1	5.79	24.17

Pérdida de carga acumulada del segmento	Δp_t	[Pa]	: 17.76
---	--------------	------	---------

Velocidad en la sección inicial del segmento	V_m	[m/s]	: 4.6
Velocidad en la sección final del segmento	V_v	[m/s]	: 3.1
Recuperación de presión estática del segmento	Δp_r	[Pa]	: 6.95
Pérdida de carga acumulada del segmento, considerando la recuperación	Δp_{tn}	[Pa]	: 14.93
Pérdida de carga acumulada neta – total acumulado	$\Sigma \Delta p_{tn}$	[Pa]	: 188.01
Desequilibrio del terminal respecto al camino más desfavorable	Δp_{Tmr}	[Pa]	: 1498.29

SEGMENTO 4:

Tipo: Tramo

1 ELEMENTO		2 Caudal Q	3 Diam. D/D _e	4 Ancho A	5 Alto B	6 Long. L	7 $\Delta p/L$	8 Fuente Tab	9 Ashrae X	10 Ashrae Y	11 Coeff. C _o	12 Veloc. V	13 P.Dinám P _v	14 Pérdida Δp_r o Δp_c
N. pz.	Cod.	[m³/h]	[mm]	[mm]	[mm]	[m]	[Pa/m]	n.	-	-	-	[m/s]	[Pa]	[Pa]
89	3722D	690	273	250	250	0	0	MC4	0.333	0.800	0.468	3.1	5.79	2.71
21	310R	690	273	250	250	23.27	0.52					3.1	5.79	12.14

Pérdida de carga acumulada del segmento	Δp_t	[Pa]	: 14.86
Velocidad en la sección inicial del segmento	V_m	[m/s]	: 4.6
Velocidad en la sección final del segmento	V_v	[m/s]	: 3.1
Recuperación de presión estática del segmento	Δp_r	[Pa]	: 6.95
Pérdida de carga acumulada del segmento, considerando la recuperación	Δp_{tn}	[Pa]	: 7.78
Pérdida de carga acumulada neta – total acumulado	$\Sigma \Delta p_{tn}$	[Pa]	: 156.69

SEGMENTO 3:

Tipo: Terminal TRM-26

1 ELEMENTO		2 Caudal Q	3 Diam. D/D _e	4 Ancho A	5 Alto B	6 Long. L	7 $\Delta p/L$	8 Fuente Tab	9 Ashrae X	10 Ashrae Y	11 Coeff. C _o	12 Veloc. V	13 P.Dinám P _v	14 Pérdida Δp_r o Δp_c
N. pz.	Cod.	[m³/h]	[mm]	[mm]	[mm]	[m]	[Pa/m]	n.	-	-	-	[m/s]	[Pa]	[Pa]
90	3722D	345	244	200	250	0	0	MC4	0.500	1.000	0.484	1.9	2.17	1.05
93	273R	345	219	200	200	0.14	0	5.1	30.000	1.250	0.050	2.4	3.47	0.17
31	310R	345	219	200	200	10.65	0.43					2.4	3.47	4.61
33	079R	345	219	200	200	0	0	3.5	1.000	1.000	0.336	2.4	3.47	1.16
95	273R	345	152	200	100	0.09	0	5.1	30.000	2.000	0.050	4.8	13.87	0.69
34	310R	345	152	200	100	1.3	2.62					4.8	13.87	3.41
94	42C1	345	152	200	100	0.08	0	4.7	30.000	1.540	0.300	4.8	13.87	4.15
36	05LC	345	198	198	198	0	0	MC4				3.1	5.79	24.17

Pérdida de carga acumulada del segmento	Δp_t	[Pa]	: 15.24
Velocidad en la sección inicial del segmento	V_m	[m/s]	: 3.1
Velocidad en la sección final del segmento	V_v	[m/s]	: 3.1
Recuperación de presión estática del segmento	Δp_r	[Pa]	: 0
Pérdida de carga acumulada del segmento, considerando la recuperación	Δp_{tn}	[Pa]	: 15.41
Pérdida de carga acumulada neta – total acumulado	$\Sigma \Delta p_{tn}$	[Pa]	: 196.27
Desequilibrio del terminal respecto al camino más desfavorable	Δp_{Tmr}	[Pa]	: 1490.02

SEGMENTO 2:

Tipo: Terminal TRM-26

1 ELEMENTO		2 Caudal Q	3 Diam. D/D _e	4 Ancho A	5 Alto B	6 Long. L	7 $\Delta p/L$	8 Fuente Tab	9 Ashrae X	10 Ashrae Y	11 Coeff. C _o	12 Veloc. V	13 P.Dinám P _v	14 Pérdida Δp_r o Δp_c
N. pz.	Cod.	[m³/h]	[mm]	[mm]	[mm]	[m]	[Pa/m]	n.	-	-	-	[m/s]	[Pa]	[Pa]
23	3722D	345	244	200	250	0	0	MC4	0.500	1.000	1.010	1.9	2.17	2.2
91	273R	345	219	200	200	0.14	0	5.1	30.000	1.250	0.050	2.4	3.47	0.17

Cálculo de Conductos

22	310R	345	219	200	200	0.6	0.43					2.4	3.47	0.26
24	079R	345	219	200	200	0	0	3.5	1.000	1.000	0.336	2.4	3.47	3.4
25	310R	345	219	200	200	2.65	0.43					2.4	3.47	1.15
27	079R	345	219	200	200	0	0	3.5	1.000	1.000	0.336	2.4	3.47	3.4
28	310R	345	219	200	200	0.7	0.43					2.4	3.47	0.3
92	42C1	345	198	198	198	0	0	4.7	30.000	1.300	0.300	3.1	5.79	1.75
30	05LC	345	198	198	198	0	0	MC4				3.1	5.79	24.17

Pérdida de carga acumulada del segmento

Δp_t [Pa] : 12.63

Velocidad en la sección inicial del segmento

V_m [m/s] : 3.1

Velocidad en la sección final del segmento

V_v [m/s] : 3.1

Recuperación de presión estática del segmento

Δp_r [Pa] : 0

Pérdida de carga acumulada del segmento, considerando la recuperación

Δp_{tn} [Pa] : 16.88

Pérdida de carga acumulada neta – total acumulado

$\Sigma \Delta p_{tn}$ [Pa] : 197.74

Desequilibrio del terminal respecto al camino más desfavorable

Δp_{Tmr} [Pa] : 1488.56

DATOS GENERALES**Cliente:****Ciudad:** Alicante**Proyectista:****SISTEMA:****Nº Expediente:****Dibujo n.:****Referencia:****Construcción:****Sistema:****Zona:** CL Vestuarios
impulsion**Circuito:****Altitud s.n.m** [m]: 7**Altura** [m]: 0**Temperatura aire** [°C]: 20**Humedad Relativa aire** [%]:**Método de cálculo: DIMENSIONADO DEL LA RED CON EL METODO DE PERDIDA DE CARGA CONSTANTE****DATOS DE CALCULO****Viscosidad del aire** [Pa*s]: 0.01816**Densidad del aire** [kg/m³]: 1.2**Revestimiento interior** :**Espesor** [mm]: 0**Rugosidad pared** [mm]: 0.15**CONDUCTOS Ratio B/A:** 0.5**OPCIONES****Tipo de cálculo elegido :** 2

- Pérdida de carga distribuida [Pa/m]: 0.8
- Máxima velocidad en los tramos [m/s]: 6
- Máxima velocidad en los ramales [m/s]: 6

Cálculo con dimensiones normalizadas [Si/No]: Si

- Paso para el cálculo con dimensiones no normalizadas [mm]: 0
- Dimensión mínima [mm]: 0
- Dimensión máxima [mm]: 0

LIMITES**Mínimo desequilibrio para justificar el equilibrado y la inserción de compuertas en ramales** (Δp_{mr}) [Pa]: 10**Mínimo desequilibrio para justificar el equilibrado y la inserción de compuertas en terminales** (Δp_{msr}) [Pa]: 10**Máxima pérdida de carga admisible para las compuertas en terminales** (Δp_{MT}) [Pa]: 0**MAXIMA PERDIDA****Presión total para el camino más desfavorable** [Pa]: 1746.77**Presión estática para el camino más desfavorable** [Pa]: 1686.3**CAMINO MAS DESFAVOR.**

000-001-009-010

SEGMENTO 1:

Tipo: Tramo

1 ELEMENTO		2 Caudal Q	3 Diam. D/D _e	4 Ancho A	5 Alto B	6 Long. L	7 $\Delta p/L$	8 Fuente Tab	9 Ashrae X	10 Ashrae Y	11 Coeff. C _o	12 Veloc. V	13 P.Dinám P _v	14 Pérdida Δp_r o Δp_e
N. pz.	Cod.	[m³/h]	[mm]	[mm]	[mm]	[m]	[Pa/m]	n.	-	-	-	[m/s]	[Pa]	[Pa]
1	310R	3155	322	350	250	1.46	3.97					10	60.2	5.79
2	079R	3155	322	350	250	0	0	3.5	0.714	0.843	0.392	10	60.2	23.69
3	310R	3155	322	350	250	1.28	3.99					10	60.2	5.11
5	079R	3155	322	350	250	0	0	3.5	0.714	0.843	0.392	10	60.2	23.69
6	310R	3155	322	350	250	10.75	3.98					10	60.2	42.81

Pérdida de carga acumulada del segmento

Δp_t [Pa] : 101.09

Velocidad en la sección inicial del segmento

V_m [m/s] : 10

Velocidad en la sección final del segmento

V_v [m/s] : 4.9

Recuperación de presión estática del segmento

Δp_r [Pa] : 45.75

Pérdida de carga acumulada del segmento, considerando la recuperación

Δp_{tm} [Pa] : 73.43

Pérdida de carga acumulada neta – total acumulado

$\Sigma \Delta p_{tm}$ [Pa] : 73.43

SEGMENTO 9:

Tipo: Tramo

1 ELEMENTO		2 Caudal Q	3 Diam. D/D _e	4 Ancho A	5 Alto B	6 Long. L	7 $\Delta p/L$	8 Fuente Tab	9 Ashrae X	10 Ashrae Y	11 Coeff. C _o	12 Veloc. V	13 P.Dinám P _v	14 Pérdida Δp_r o Δp_e
N. pz.	Cod.	[m³/h]	[mm]	[mm]	[mm]	[m]	[Pa/m]	n.	-	-	-	[m/s]	[Pa]	[Pa]
80	3722D	1775	245	350	150	0	0	MC4	0.563	0.600	0.168	9.4	53.19	8.94
100	273R	1775	164	150	150	0.27	0	5.1	30.000	2.330	0.048	21.9	288.73	11.59
55	310R	1775	164	150	150	3.87	40.93					21.9	288.73	158.41
57	079R	1775	164	150	150	0	0	3.5	1.000	1.170	0.197	21.9	288.73	18.55
58	310R	1775	164	150	150	1.47	40.8					21.9	288.73	59.98
60	079R	1775	164	150	150	0	0	3.5	1.000	1.170	0.197	21.9	288.73	74.2
61	310R	1775	164	150	150	5.94	40.93					21.9	288.73	243.12
63	079R	1775	164	150	150	0	0	3.5	1.000	1.170	0.197	21.9	288.73	18.55
64	310R	1775	164	150	150	1	40.91					21.9	288.73	40.91
66	079R	1775	164	150	150	0	0	3.5	1.000	1.170	0.197	21.9	288.73	56.98
67	310R	1775	164	150	150	2.05	40.87					21.9	288.73	83.79
69	079R	1775	164	150	150	0	0	3.5	1.000	1.170	0.197	21.9	288.73	56.98
70	310R	1775	164	150	150	0.93	40.81					21.9	288.73	37.95

Pérdida de carga acumulada del segmento

Δp_t [Pa] : 869.94

Velocidad en la sección inicial del segmento

V_m [m/s] : 4.9

Velocidad en la sección final del segmento

V_v [m/s] : 21.9

Recuperación de presión estática del segmento

Δp_r [Pa] : -274.27

Pérdida de carga acumulada del segmento, considerando la recuperación

Δp_{tm} [Pa] : 1711.34

Pérdida de carga acumulada neta – total acumulado

$\Sigma \Delta p_{tm}$ [Pa] : 1784.77

SEGMENTO 11:

Tipo: Terminal TRM-25

1 ELEMENTO		2 Caudal Q	3 Diam. D/D _e	4 Ancho A	5 Alto B	6 Long. L	7 $\Delta p/L$	8 Fuente Tab	9 Ashrae X	10 Ashrae Y	11 Coeff. C _o	12 Veloc. V	13 P.Dinám P _v	14 Pérdida Δp_r o Δp_e
N. pz.	Cod.	[m³/h]	[mm]	[mm]	[mm]	[m]	[Pa/m]	n.	-	-	-	[m/s]	[Pa]	[Pa]
101	3722D	950	164	150	150	0	0	MC4	0.535	1.000	1.230	11.7	82.41	101.73
77	310R	950	164	150	150	1.06	12.18					11.7	82.41	12.91
104	42C1	950	164	150	150	0.08	0	4.7	30.000	2.150	0.316	11.7	82.41	26.17

79	05LC	950	248	248	248	0	0	MC4				5.5	18.21	-18.97
----	------	-----	-----	-----	-----	---	---	-----	--	--	--	-----	-------	--------

Pérdida de carga acumulada del segmento	Δp_t	[Pa]	: 140.81
Velocidad en la sección inicial del segmento	V_m	[m/s]	: 21.9
Velocidad en la sección final del segmento	V_v	[m/s]	: 5.5
Recuperación de presión estática del segmento	Δp_r	[Pa]	: 270.51
Pérdida de carga acumulada del segmento, considerando la recuperación	Δp_{tm}	[Pa]	: -130.96
Pérdida de carga acumulada neta – total acumulado	$\Sigma \Delta p_{tm}$	[Pa]	: 1634.85
Desequilibrio del terminal respecto al camino más desfavorable	Δp_{Tmr}	[Pa]	: 51.45

SEGMENTO 10:

Tipo: Terminal TRM-25

1 ELEMENTO		2 Caudal Q	3 Diam. D/D _e	4 Ancho A	5 Alto B	6 Long. L	7 $\Delta p/L$	8 Fuente Tab	9 Ashrae X	10 Ashrae Y	11 Coeff. C _o	12 Veloc. V	13 P.Dinám P _v	14 Pérdida Δp_r o Δp_c
N. pz.	Cod.	[m³/h]	[mm]	[mm]	[mm]	[m]	[Pa/m]	n.	-	-	-	[m/s]	[Pa]	[Pa]
102	3722D	825	164	150	150	0	0	MC4	0.535	1.000	1.600	10.2	62.63	99.92
73	310R	825	164	150	150	5.05	9.33					10.2	62.63	47.1
72	079R	825	164	150	150	0	0	3.5	1.000	1.170	0.248	10.2	62.63	15.53
74	310R	825	164	150	150	1.06	9.32					10.2	62.63	9.88
103	42C1	825	164	150	150	0.08	0	4.7	30.000	2.150	0.316	10.2	62.63	19.83
76	05LC	825	248	248	248	0	0	MC4				4.8	13.87	-14.61

Pérdida de carga acumulada del segmento	Δp_t	[Pa]	: 192.26
Velocidad en la sección inicial del segmento	V_m	[m/s]	: 21.9
Velocidad en la sección final del segmento	V_v	[m/s]	: 4.8
Recuperación de presión estática del segmento	Δp_r	[Pa]	: 274.86
Pérdida de carga acumulada del segmento, considerando la recuperación	Δp_{tm}	[Pa]	: -83.86
Pérdida de carga acumulada neta – total acumulado	$\Sigma \Delta p_{tm}$	[Pa]	: 1686.3

SEGMENTO 8:

Tipo: Tramo

1 ELEMENTO		2 Caudal Q	3 Diam. D/D _e	4 Ancho A	5 Alto B	6 Long. L	7 $\Delta p/L$	8 Fuente Tab	9 Ashrae X	10 Ashrae Y	11 Coeff. C _o	12 Veloc. V	13 P.Dinám P _v	14 Pérdida Δp_r o Δp_c
N. pz.	Cod.	[m³/h]	[mm]	[mm]	[mm]	[m]	[Pa/m]	n.	-	-	-	[m/s]	[Pa]	[Pa]
81	3722D	1380	322	350	250	0	0	MC4	0.563	0.600	0.421	4.4	11.65	4.9
82	273R	1380	299	300	250	0.14	0	5.1	30.000	1.170	0.050	5.1	15.66	0.79
9	310R	1380	299	300	250	6.35	1.21					5.1	15.66	7.66
8	079R	1380	299	300	250	0	0	3.5	0.833	0.900	0.415	5.1	15.66	8.45
10	310R	1380	299	300	250	4.62	1.21					5.1	15.66	5.58
12	079R	1380	299	300	250	0	0	3.5	0.833	0.900	0.415	5.1	15.66	6.53
13	310R	1380	299	300	250	1.02	1.21					5.1	15.66	1.23
84	023R	1380	299	300	250	0.53	0	4.3	30.000	1.100	0.300	5.1	15.66	4.72
16	310R	1380	299	550	150	1.85	1.21					4.6	12.74	2.24
87	033R	1380	299	300	250	0.53	0	4.3	30.000	1.100	0.300	5.1	15.66	4.72
17	310R	1380	299	300	250	4.79	1.21					5.1	15.66	5.78

Pérdida de carga acumulada del segmento	Δp_t	[Pa]	: 52.59
Velocidad en la sección inicial del segmento	V_m	[m/s]	: 4.9
Velocidad en la sección final del segmento	V_v	[m/s]	: 4.8
Recuperación de presión estática del segmento	Δp_r	[Pa]	: 0.58
Pérdida de carga acumulada del segmento, considerando la recuperación	Δp_{tm}	[Pa]	: 54.48
Pérdida de carga acumulada neta – total acumulado	$\Sigma \Delta p_{tm}$	[Pa]	: 127.91

SEGMENTO 7:

Tipo: Terminal TRM-26

1 ELEMENTO		2 Caudal Q	3 Diam. D/D _e	4 Ancho A	5 Alto B	6 Long. L	7 $\Delta p/L$	8 Fuente Tab	9 Ashrae X	10 Ashrae Y	11 Coeff. C _o	12 Veloc. V	13 P.Dinám P _v	14 Pérdida Δp_r o Δp_e
N. pz.	Cod.	[m³/h]	[mm]	[mm]	[mm]	[m]	[Pa/m]	n.	-	-	-	[m/s]	[Pa]	[Pa]
85	3722D	345	244	200	250	0	0	MC4	0.750	1.250	0.954	1.9	2.17	2.07
98	283R	345	219	200	200	0.14	0	5.1	30.000	1.250	0.050	2.4	3.47	0
46	310R	345	219	200	200	0.6	0.43					2.4	3.47	0.26
48	079R	345	219	200	200	0	0	3.5	1.000	1.000	0.336	2.4	3.47	3.4
49	310R	345	219	200	200	2.65	0.43					2.4	3.47	1.15
51	079R	345	219	200	200	0	0	3.5	1.000	1.000	0.336	2.4	3.47	3.4
52	310R	345	219	200	200	0.7	0.43					2.4	3.47	0.3
99	42C1	345	198	198	198	0	0	4.7	30.000	1.300	0.300	3.1	5.79	1.75
54	05LC	345	198	198	198	0	0	MC4				3.1	5.79	24.17

Pérdida de carga acumulada del segmento	Δp_t	[Pa]	: 12.33
Velocidad en la sección inicial del segmento	V_m	[m/s]	: 4.8
Velocidad en la sección final del segmento	V_v	[m/s]	: 3.1
Recuperación de presión estática del segmento	Δp_r	[Pa]	: 8.08
Pérdida de carga acumulada del segmento, considerando la recuperación	Δp_{tm}	[Pa]	: 8.42
Pérdida de carga acumulada neta – total acumulado	$\Sigma \Delta p_{tm}$	[Pa]	: 160.5
Desequilibrio del terminal respecto al camino más desfavorable	Δp_{Tmr}	[Pa]	: 1525.8

SEGMENTO 6:

Tipo: Tramo

1 ELEMENTO		2 Caudal Q	3 Diam. D/D _e	4 Ancho A	5 Alto B	6 Long. L	7 $\Delta p/L$	8 Fuente Tab	9 Ashrae X	10 Ashrae Y	11 Coeff. C _o	12 Veloc. V	13 P.Dinám P _v	14 Pérdida Δp_r o Δp_e
N. pz.	Cod.	[m³/h]	[mm]	[mm]	[mm]	[m]	[Pa/m]	n.	-	-	-	[m/s]	[Pa]	[Pa]
19	3722D	1035	273	250	250	0	0	MC4	0.750	1.250	0.579	4.6	12.74	7.38
18	310R	1035	273	250	250	7.85	1.11					4.6	12.74	8.73

Pérdida de carga acumulada del segmento	Δp_t	[Pa]	: 16.11
Velocidad en la sección inicial del segmento	V_m	[m/s]	: 4.8
Velocidad en la sección final del segmento	V_v	[m/s]	: 4.6
Recuperación de presión estática del segmento	Δp_r	[Pa]	: 1.13
Pérdida de carga acumulada del segmento, considerando la recuperación	Δp_{tm}	[Pa]	: 21
Pérdida de carga acumulada neta – total acumulado	$\Sigma \Delta p_{tm}$	[Pa]	: 148.91

SEGMENTO 5:

Tipo: Terminal TRM-26

1 ELEMENTO		2 Caudal Q	3 Diam. D/D _e	4 Ancho A	5 Alto B	6 Long. L	7 $\Delta p/L$	8 Fuente Tab	9 Ashrae X	10 Ashrae Y	11 Coeff. C _o	12 Veloc. V	13 P.Dinám P _v	14 Pérdida Δp_r o Δp_e
N. pz.	Cod.	[m³/h]	[mm]	[mm]	[mm]	[m]	[Pa/m]	n.	-	-	-	[m/s]	[Pa]	[Pa]
88	3722D	345	244	200	250	0	0	MC4	0.333	0.800	3.380	1.9	2.17	7.33
96	273R	345	219	200	200	0.14	0	5.1	30.000	1.250	0.050	2.4	3.47	0.17
37	310R	345	219	200	200	0.6	0.43					2.4	3.47	0.26
39	079R	345	219	200	200	0	0	3.5	1.000	1.000	0.336	2.4	3.47	3.4
40	310R	345	219	200	200	2.65	0.43					2.4	3.47	1.15
42	079R	345	219	200	200	0	0	3.5	1.000	1.000	0.336	2.4	3.47	3.4
43	310R	345	219	200	200	0.7	0.43					2.4	3.47	0.3
97	42C1	345	198	198	198	0	0	4.7	30.000	1.300	0.300	3.1	5.79	1.75
45	05LC	345	198	198	198	0	0	MC4				3.1	5.79	24.17

Pérdida de carga acumulada del segmento	Δp_t	[Pa]	: 17.76
---	--------------	------	---------

Velocidad en la sección inicial del segmento	V_m	[m/s]	: 4.6
Velocidad en la sección final del segmento	V_v	[m/s]	: 3.1
Recuperación de presión estática del segmento	Δp_r	[Pa]	: 6.95
Pérdida de carga acumulada del segmento, considerando la recuperación	Δp_{tn}	[Pa]	: 14.93
Pérdida de carga acumulada neta – total acumulado	$\Sigma \Delta p_{tn}$	[Pa]	: 188.01
Desequilibrio del terminal respecto al camino más desfavorable	Δp_{Tmr}	[Pa]	: 1498.29

SEGMENTO 4:

Tipo: Tramo

1 ELEMENTO		2 Caudal Q	3 Diam. D/D _e	4 Ancho A	5 Alto B	6 Long. L	7 $\Delta p/L$	8 Fuente Tab	9 Ashrae X	10 Ashrae Y	11 Coeff. C _o	12 Veloc. V	13 P.Dinám P _v	14 Pérdida Δp_r o Δp_c
N. pz.	Cod.	[m³/h]	[mm]	[mm]	[mm]	[m]	[Pa/m]	n.	-	-	-	[m/s]	[Pa]	[Pa]
89	3722D	690	273	250	250	0	0	MC4	0.333	0.800	0.468	3.1	5.79	2.71
21	310R	690	273	250	250	23.27	0.52					3.1	5.79	12.14

Pérdida de carga acumulada del segmento	Δp_t	[Pa]	: 14.86
Velocidad en la sección inicial del segmento	V_m	[m/s]	: 4.6
Velocidad en la sección final del segmento	V_v	[m/s]	: 3.1
Recuperación de presión estática del segmento	Δp_r	[Pa]	: 6.95
Pérdida de carga acumulada del segmento, considerando la recuperación	Δp_{tn}	[Pa]	: 7.78
Pérdida de carga acumulada neta – total acumulado	$\Sigma \Delta p_{tn}$	[Pa]	: 156.69

SEGMENTO 3:

Tipo: Terminal TRM-26

1 ELEMENTO		2 Caudal Q	3 Diam. D/D _e	4 Ancho A	5 Alto B	6 Long. L	7 $\Delta p/L$	8 Fuente Tab	9 Ashrae X	10 Ashrae Y	11 Coeff. C _o	12 Veloc. V	13 P.Dinám P _v	14 Pérdida Δp_r o Δp_c
N. pz.	Cod.	[m³/h]	[mm]	[mm]	[mm]	[m]	[Pa/m]	n.	-	-	-	[m/s]	[Pa]	[Pa]
90	3722D	345	244	200	250	0	0	MC4	0.500	1.000	0.484	1.9	2.17	1.05
93	273R	345	219	200	200	0.14	0	5.1	30.000	1.250	0.050	2.4	3.47	0.17
31	310R	345	219	200	200	10.65	0.43					2.4	3.47	4.61
33	079R	345	219	200	200	0	0	3.5	1.000	1.000	0.336	2.4	3.47	1.16
95	273R	345	152	200	100	0.09	0	5.1	30.000	2.000	0.050	4.8	13.87	0.69
34	310R	345	152	200	100	1.3	2.62					4.8	13.87	3.41
94	42C1	345	152	200	100	0.08	0	4.7	30.000	1.540	0.300	4.8	13.87	4.15
36	05LC	345	198	198	198	0	0	MC4				3.1	5.79	24.17

Pérdida de carga acumulada del segmento	Δp_t	[Pa]	: 15.24
Velocidad en la sección inicial del segmento	V_m	[m/s]	: 3.1
Velocidad en la sección final del segmento	V_v	[m/s]	: 3.1
Recuperación de presión estática del segmento	Δp_r	[Pa]	: 0
Pérdida de carga acumulada del segmento, considerando la recuperación	Δp_{tn}	[Pa]	: 15.41
Pérdida de carga acumulada neta – total acumulado	$\Sigma \Delta p_{tn}$	[Pa]	: 196.27
Desequilibrio del terminal respecto al camino más desfavorable	Δp_{Tmr}	[Pa]	: 1490.02

SEGMENTO 2:

Tipo: Terminal TRM-26

1 ELEMENTO		2 Caudal Q	3 Diam. D/D _e	4 Ancho A	5 Alto B	6 Long. L	7 $\Delta p/L$	8 Fuente Tab	9 Ashrae X	10 Ashrae Y	11 Coeff. C _o	12 Veloc. V	13 P.Dinám P _v	14 Pérdida Δp_r o Δp_c
N. pz.	Cod.	[m³/h]	[mm]	[mm]	[mm]	[m]	[Pa/m]	n.	-	-	-	[m/s]	[Pa]	[Pa]
23	3722D	345	244	200	250	0	0	MC4	0.500	1.000	1.010	1.9	2.17	2.2
91	273R	345	219	200	200	0.14	0	5.1	30.000	1.250	0.050	2.4	3.47	0.17

Cálculo de Conductos

22	310R	345	219	200	200	0.6	0.43					2.4	3.47	0.26
24	079R	345	219	200	200	0	0	3.5	1.000	1.000	0.336	2.4	3.47	3.4
25	310R	345	219	200	200	2.65	0.43					2.4	3.47	1.15
27	079R	345	219	200	200	0	0	3.5	1.000	1.000	0.336	2.4	3.47	3.4
28	310R	345	219	200	200	0.7	0.43					2.4	3.47	0.3
92	42C1	345	198	198	198	0	0	4.7	30.000	1.300	0.300	3.1	5.79	1.75
30	05LC	345	198	198	198	0	0	MC4				3.1	5.79	24.17

Pérdida de carga acumulada del segmento	Δp_t	[Pa] : 12.63
Velocidad en la sección inicial del segmento	V_m	[m/s] : 3.1
Velocidad en la sección final del segmento	V_v	[m/s] : 3.1
Recuperación de presión estática del segmento	Δp_r	[Pa] : 0
Pérdida de carga acumulada del segmento, considerando la recuperación	Δp_{tn}	[Pa] : 16.88
Pérdida de carga acumulada neta – total acumulado	$\Sigma \Delta p_{tn}$	[Pa] : 197.74
Desequilibrio del terminal respecto al camino más desfavorable	Δp_{Tmr}	[Pa] : 1488.56